

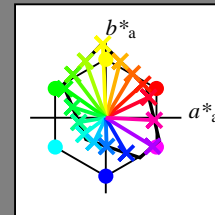
Ein und Ausgabe:
 Farbmatisches Drucker-Reflektiv-System FRS15_90a

Daten für jede Farbe:
 u^*_e und Nummer $Nr. = 00 \dots 15$

Elementar-Bunttextext:
 $u^*_e = 16$ Bunttoene $r00j, r25j, \dots, b75r$

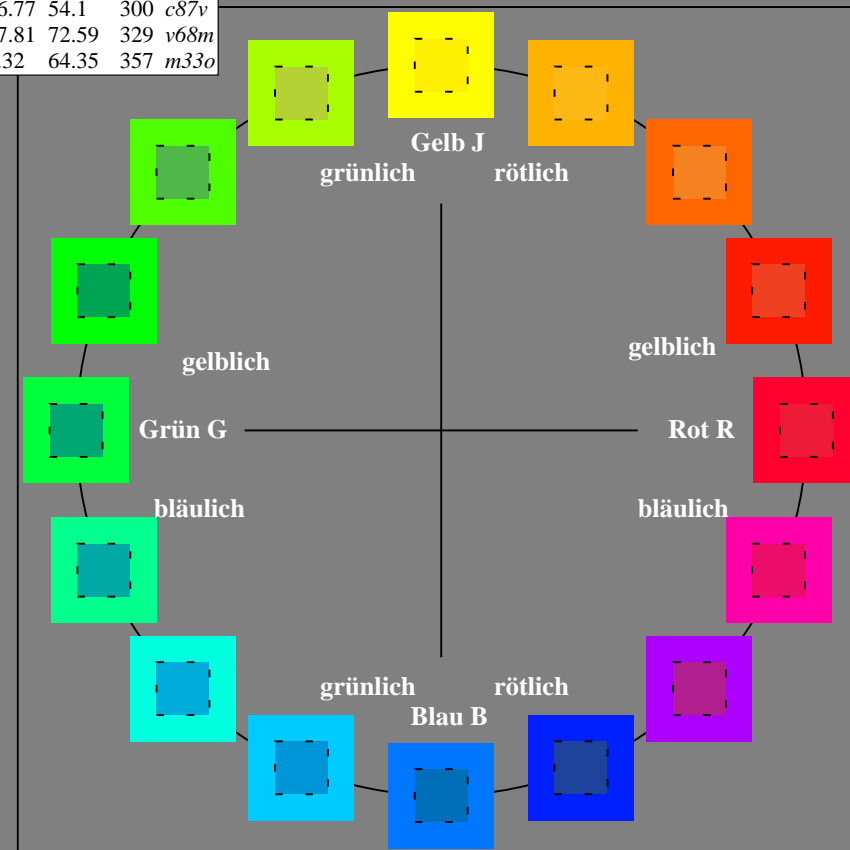
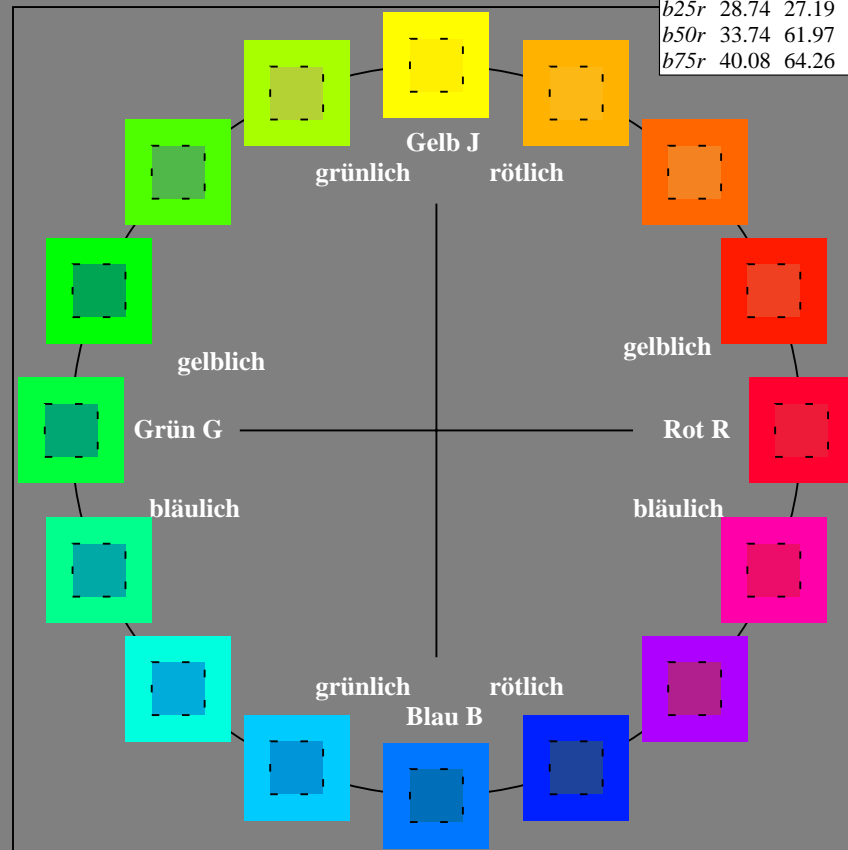
Kontrastreduzierungsfaktor:
 $c_R = 0.9$

FRS15_90a; adaptierte CIELAB-Daten						
u^*_e	$L^*=L^*_a$	a^*_a	b^*_a	$C^*_{ab,a}$	$h^*_{ab,a}$	u^*_d
<i>r00j</i>	39.18	56.94	27.13	63.07	25	<i>m8lo</i>
<i>r25j</i>	42.41	49.1	44.5	66.26	42	<i>o10y</i>
<i>r50j</i>	52.78	35.22	58.37	68.17	59	<i>o40y</i>
<i>r75j</i>	64.82	19.12	74.47	76.89	76	<i>o69y</i>
<i>j00g</i>	82.06	-3.94	97.52	97.6	92	<i>o98y</i>
<i>j25g</i>	67.26	-26.87	74.67	79.36	110	<i>y34l</i>
<i>j50g</i>	55.83	-43.45	57.11	71.76	127	<i>y69l</i>
<i>j75g</i>	47.5	-54.18	38.3	66.35	145	<i>l03c</i>
<i>g00b</i>	50.07	-44.09	14.13	46.3	162	<i>l23c</i>
<i>g25b</i>	52.21	-35.66	-6.03	36.17	190	<i>l55c</i>
<i>g50b</i>	53.9	-29.04	-21.87	36.36	217	<i>l87c</i>
<i>g75b</i>	49.44	-15.51	-32.31	35.84	244	<i>c20v</i>
<i>b00r</i>	41.36	1.15	-37.95	37.97	272	<i>c53v</i>
<i>b25r</i>	28.74	27.19	-46.77	54.1	300	<i>c87v</i>
<i>b50r</i>	33.74	61.97	-37.81	72.59	329	<i>v68m</i>
<i>b75r</i>	40.08	64.26	-3.32	64.35	357	<i>m33o</i>



%Umfang
 $u^*_{rel} = 88$
 %Regularität
 $g^*_{H,rel} = 31$
 $g^*_{C,rel} = 40$

FRS15_90a; adaptierte CIELAB-Daten					
Name	$L^*=L^*_a$	a^*_a	b^*_a	$C^*_{ab,a}$	$h^*_{ab,a}$
O _{Ma}	38.8	53.92	39.68	66.95	36
Y _{Ma}	82.58	-4.64	98.22	98.33	93
L _{Ma}	46.95	-56.34	43.46	71.15	142
C _{Ma}	54.62	-26.2	-28.68	38.85	228
V _{Ma}	20.01	45.2	-52.87	69.56	311
M _{Ma}	40.88	70.68	-29.99	76.78	337
N _{Ma}	15.0	0.0	0.0	0.0	0
W _{Ma}	90.0	0.0	0.0	0.0	0
R _{CIE}	39.92	58.74	27.99	65.07	25
J _{CIE}	81.26	-2.89	71.56	71.62	92
G _{CIE}	52.23	-42.42	13.6	44.55	162
B _{CIE}	30.57	1.41	-46.47	46.49	272



Ein und Ausgabe: Farbmatisches Drucker-Reflektiv-System FRS15_90a für relativen CIELAB-Bunton $h^* = lab^*h^* = h_{ab}^*/360 = 0.071$

$u^*_e = r00j$

Daten für jede Farbe:

lab^*tch^* und lab^*icu^*

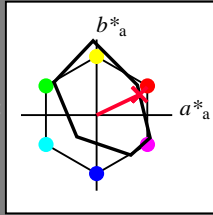
Buntontexte:

$u^*_e = r00j$ $u^*_d = m81o$

Kontrastreduzierungsfaktor:

$c_R = 0.9$

Dreiecks-Helligkeit t^*



FRS15_90a; adaptierte CIELAB-Daten						
u^*_e	$L^*=L^*_a$	a^*_a	b^*_a	$C^*_{ab,a}$	$h^*_{ab,a}$	
O _{Ma}	38.8	53.92	39.68	66.95	36	
Y _{Ma}	82.58	-4.64	98.22	98.33	93	
L _{Ma}	46.95	-56.34	43.46	71.15	142	
C _{Ma}	54.62	-26.2	-28.68	38.85	228	
V _{Ma}	20.01	45.2	-52.87	69.56	311	
M _{Ma}	40.88	70.68	-29.99	76.78	337	
N _{Ma}	15.0	0.0	0.0	0.0	0	
W _{Ma}	90.0	0.0	0.0	0.0	0	
R _{Ma}	39.92	58.74	27.99	65.07	25	
J _{Ma}	81.26	-2.89	71.56	71.62	92	
G _{Ma}	52.23	-42.42	13.6	44.55	162	
B _{Ma}	30.57	1.41	-46.47	46.49	272	

Daten für Maximalfarbe (Ma):

$LAB^*LAB^*_{Ma}$: 39 57 27

$LAB^*LCH^*_{Ma}$: 39 63 25

$lab^*rgb^*_{Ma}$: 1.0 0.0 0.0

$lab^*olv^*_{Ma}$: 1.0 0.0 0.18

Dreiecks-Helligkeit t^*

%Umfang

$u^*_{rel} = 88$

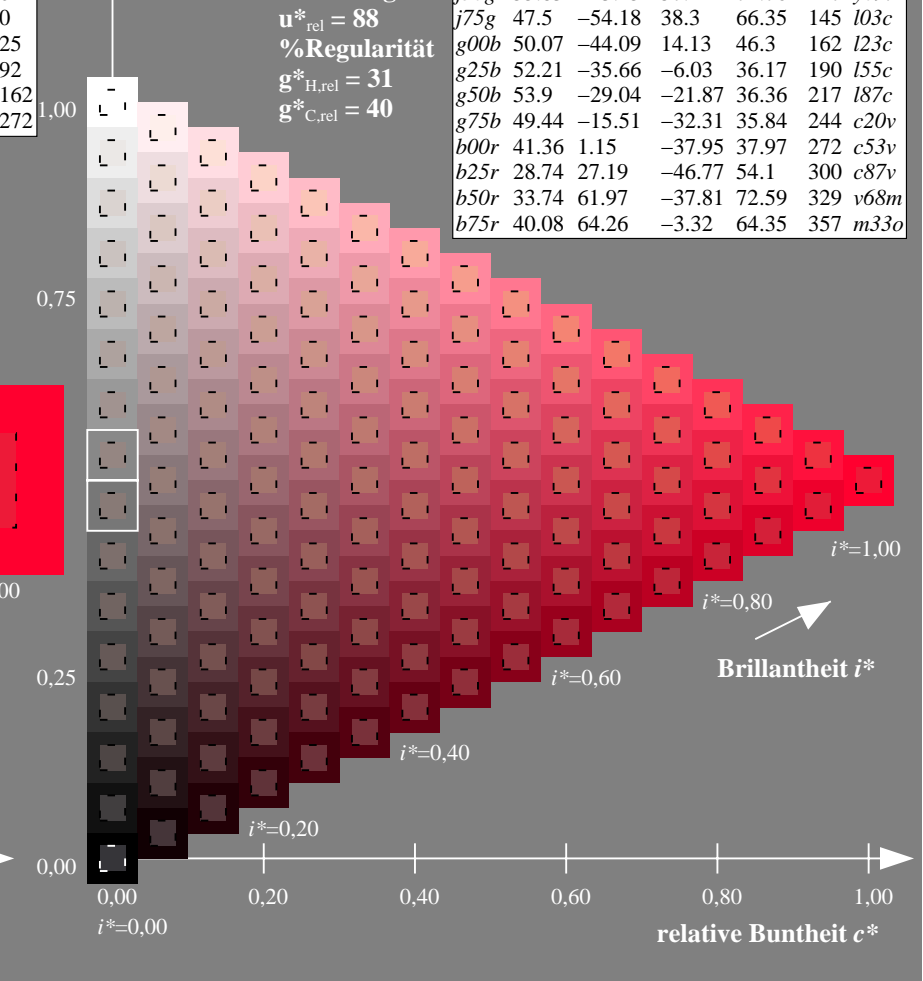
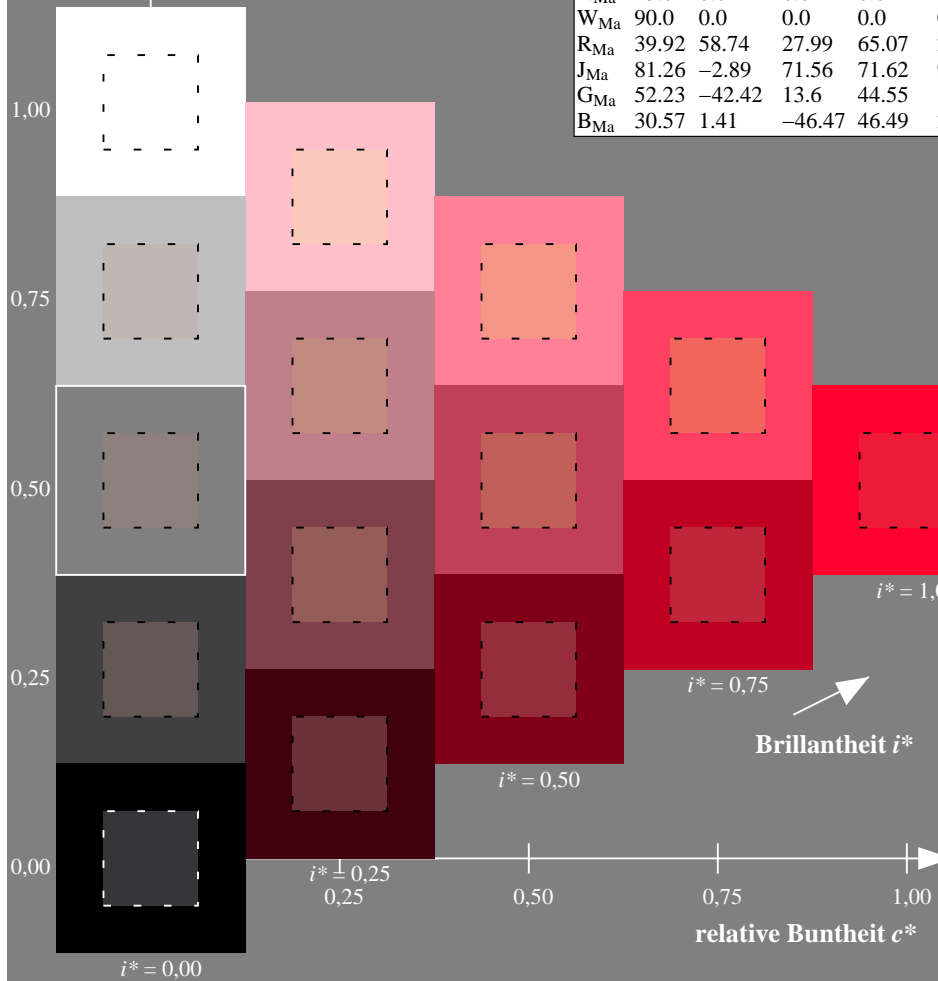
%Regularität

$g^*_{H,rel} = 31$

$g^*_{C,rel} = 40$

FRS15_90a; adaptierte CIELAB-Daten

u^*_e	$L^*=L^*_a$	a^*_a	b^*_a	$C^*_{ab,a}$	$h^*_{ab,a}$	u^*_d
r00j	39.18	56.94	27.13	63.07	25	m81o
r25j	42.41	49.1	44.5	66.26	42	o10y
r50j	52.78	35.22	58.37	68.17	59	o40y
r75j	64.82	19.12	74.47	76.89	76	o69y
j00g	82.06	-3.94	97.52	97.6	92	o98y
j25g	67.26	-26.87	74.67	79.36	110	y34l
j50g	55.83	-43.45	57.11	71.76	127	y69l
j75g	47.5	-54.18	38.3	66.35	145	l03c
g00b	50.07	-44.09	14.13	46.3	162	l23c
g25b	52.21	-35.66	-6.03	36.17	190	l55c
g50b	53.9	-29.04	-21.87	36.36	217	l87c
g75b	49.44	-15.51	-32.31	35.84	244	c20v
b00r	41.36	1.15	-37.95	37.97	272	c53v
b25r	28.74	27.19	-46.77	54.1	300	c87v
b50r	33.74	61.97	-37.81	72.59	329	v68m
b75r	40.08	64.26	-3.32	64.35	357	m33o



Ein und Ausgabe: Farbmatisches Drucker-Reflektiv-System FRS15_90a für relativen CIELAB-Bunton $h^* = lab^*h^* = h_{ab}/360 = 0.117$

$u^*_e = r25j$

Daten für jede Farbe:

lab^*tch^* und lab^*icu^*

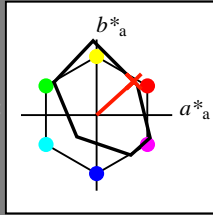
Buntontexte:

$u^*_e = r25j$ $u^*_d = o10y$

Kontrastreduzierungsfaktor:

$c_R = 0.9$

Dreiecks-Helligkeit t^*



FRS15_90a; adaptierte CIELAB-Daten						
u^*_e	$L^*=L^*_a$	a^*_a	b^*_a	$C^*_{ab,a}$	$h^*_{ab,a}$	
O _{Ma}	38.8	53.92	39.68	66.95	36	
Y _{Ma}	82.58	-4.64	98.22	98.33	93	
L _{Ma}	46.95	-56.34	43.46	71.15	142	
C _{Ma}	54.62	-26.2	-28.68	38.85	228	
V _{Ma}	20.01	45.2	-52.87	69.56	311	
M _{Ma}	40.88	70.68	-29.99	76.78	337	
N _{Ma}	15.0	0.0	0.0	0.0	0	
W _{Ma}	90.0	0.0	0.0	0.0	0	
R _{Ma}	39.92	58.74	27.99	65.07	25	
J _{Ma}	81.26	-2.89	71.56	71.62	92	
G _{Ma}	52.23	-42.42	13.6	44.55	162	
B _{Ma}	30.57	1.41	-46.47	46.49	272	

Daten für Maximalfarbe (Ma):

$LAB^*LAB^*_{Ma}$: 42 49 44

$LAB^*LCH^*_{Ma}$: 42 66 42

$lab^*rgb^*_{Ma}$: 1.0 0.25 0.0

$lab^*olv^*_{Ma}$: 1.0 0.1 0.0

Dreiecks-Helligkeit t^*

%Umfang

$u^*_{rel} = 88$

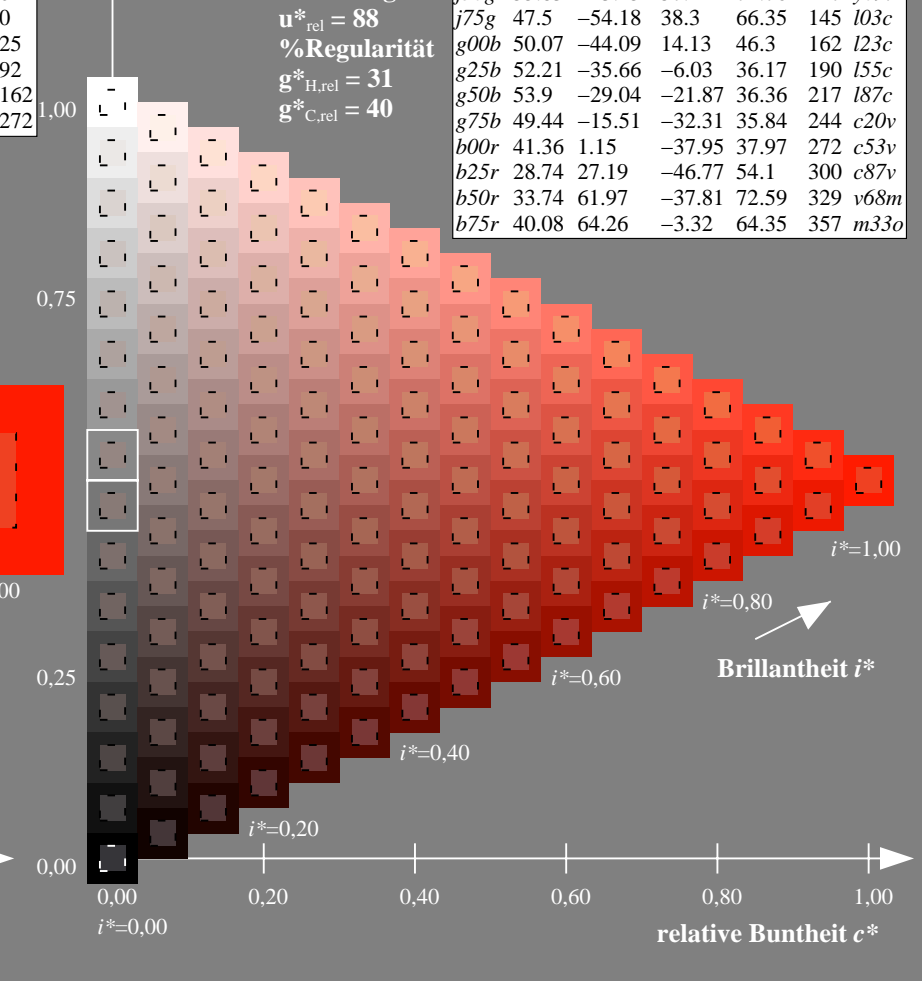
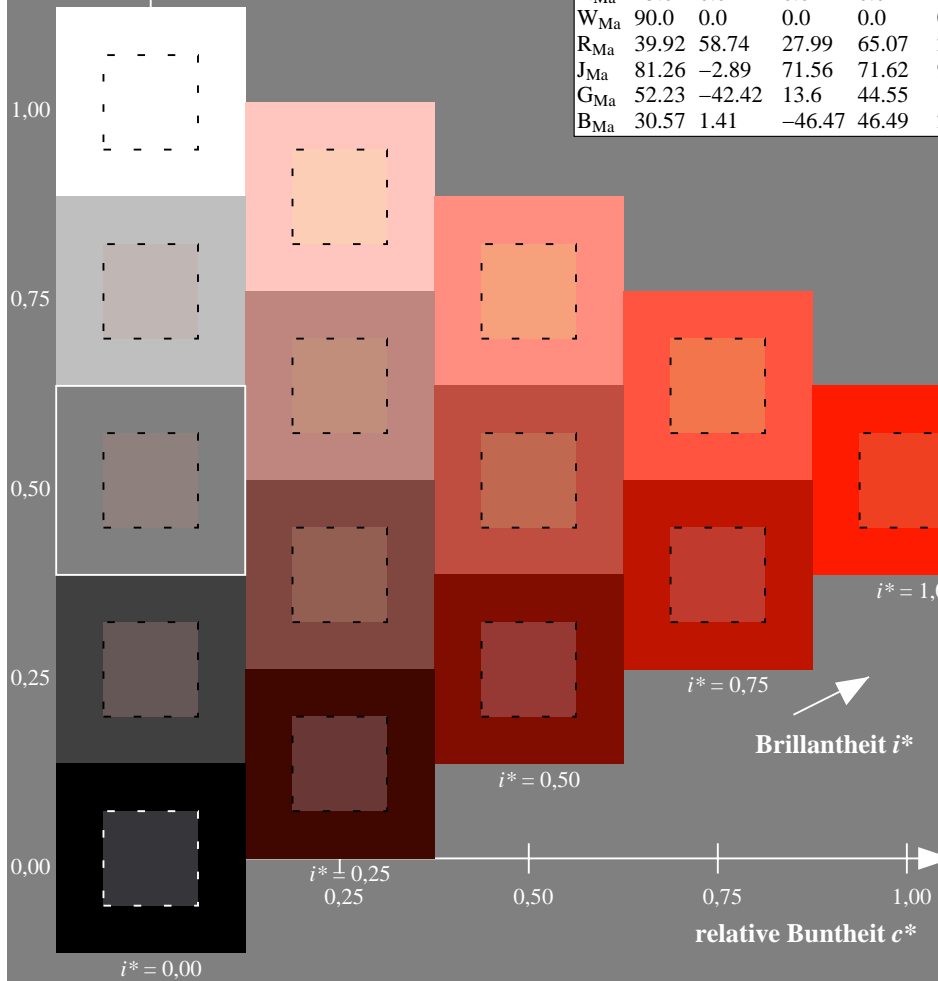
%Regularität

$g^*_{H,rel} = 31$

$g^*_{C,rel} = 40$

FRS15_90a; adaptierte CIELAB-Daten

u^*_e	$L^*=L^*_a$	a^*_a	b^*_a	$C^*_{ab,a}$	$h^*_{ab,a}$	u^*_d
r00j	39.18	56.94	27.13	63.07	25	m81o
r25j	42.41	49.1	44.5	66.26	42	o10y
r50j	52.78	35.22	58.37	68.17	59	o40y
r75j	64.82	19.12	74.47	76.89	76	o69y
j00g	82.06	-3.94	97.52	97.6	92	o98y
j25g	67.26	-26.87	74.67	79.36	110	y34l
j50g	55.83	-43.45	57.11	71.76	127	y69l
j75g	47.5	-54.18	38.3	66.35	145	l03c
g00b	50.07	-44.09	14.13	46.3	162	l23c
g25b	52.21	-35.66	-6.03	36.17	190	l55c
g50b	53.9	-29.04	-21.87	36.36	217	l87c
g75b	49.44	-15.51	-32.31	35.84	244	c20v
b00r	41.36	1.15	-37.95	37.97	272	c53v
b25r	28.74	27.19	-46.77	54.1	300	c87v
b50r	33.74	61.97	-37.81	72.59	329	v68m
b75r	40.08	64.26	-3.32	64.35	357	m33o



Ein und Ausgabe: Farbmatisches Drucker-Reflektiv-System FRS15_90a für relativen CIELAB-Bunton $h^* = lab^*h^* = h_{ab}/360 = 0.164$

$u^*_e = r50j$

Daten für jede Farbe:

lab^*tch^* und lab^*icu^*

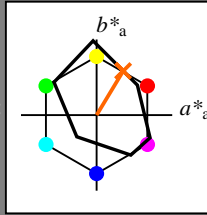
Buntontexte:

$u^*_e = r50j$ $u^*_d = o40y$

Kontrastreduzierungsfaktor:

$c_R = 0.9$

Dreiecks-Helligkeit t^*



FRS15_90a; adaptierte CIELAB-Daten						
u^*_e	$L^*=L^*_a$	a^*_a	b^*_a	$C^*_{ab,a}$	$h^*_{ab,a}$	
O _{Ma}	38.8	53.92	39.68	66.95	36	
Y _{Ma}	82.58	-4.64	98.22	98.33	93	
L _{Ma}	46.95	-56.34	43.46	71.15	142	
C _{Ma}	54.62	-26.2	-28.68	38.85	228	
V _{Ma}	20.01	45.2	-52.87	69.56	311	
M _{Ma}	40.88	70.68	-29.99	76.78	337	
N _{Ma}	15.0	0.0	0.0	0.0	0	
W _{Ma}	90.0	0.0	0.0	0.0	0	
R _{Ma}	39.92	58.74	27.99	65.07	25	
J _{Ma}	81.26	-2.89	71.56	71.62	92	
G _{Ma}	52.23	-42.42	13.6	44.55	162	
B _{Ma}	30.57	1.41	-46.47	46.49	272	

Daten für Maximalfarbe (Ma):

$LAB^*LAB^*_{Ma}$: 53 35 58

$LAB^*LCH^*_{Ma}$: 53 68 58

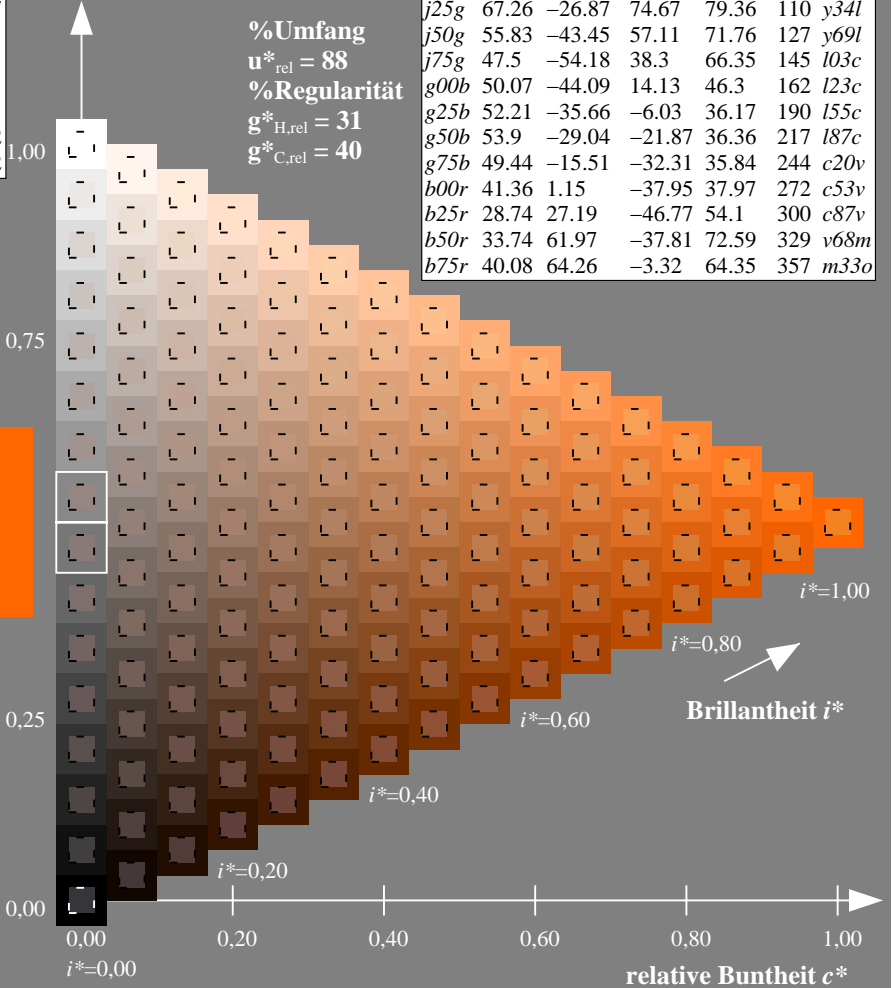
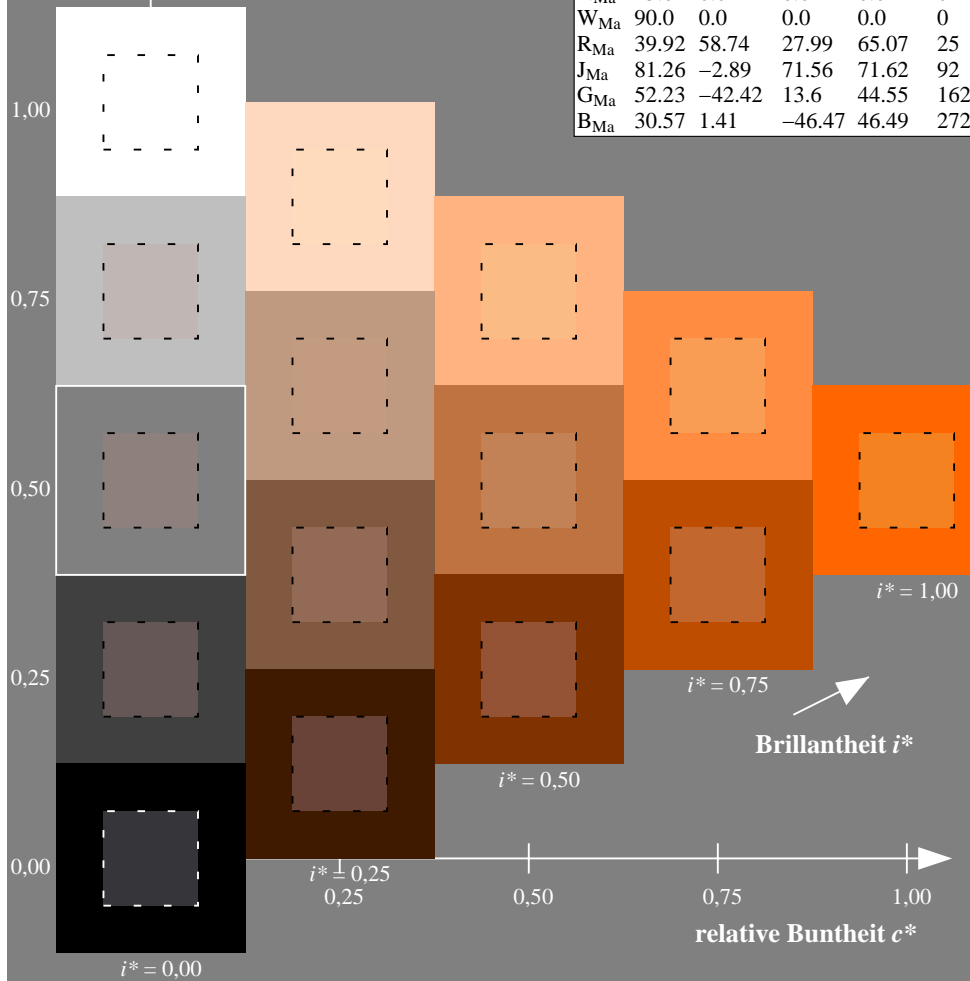
$lab^*rgb^*_{Ma}$: 1.0 0.5 0.0

$lab^*olv^*_{Ma}$: 1.0 0.4 0.0

Dreiecks-Helligkeit t^*

FRS15_90a; adaptierte CIELAB-Daten

u^*_e	$L^*=L^*_a$	a^*_a	b^*_a	$C^*_{ab,a}$	$h^*_{ab,a}$	u^*_d
r00j	39.18	56.94	27.13	63.07	25	m81o
r25j	42.41	49.1	44.5	66.26	42	o10y
r50j	52.78	35.22	58.37	68.17	59	o40y
r75j	64.82	19.12	74.47	76.89	76	o69y
j00g	82.06	-3.94	97.52	97.6	92	o98y
j25g	67.26	-26.87	74.67	79.36	110	y34l
j50g	55.83	-43.45	57.11	71.76	127	y69l
j75g	47.5	-54.18	38.3	66.35	145	l03c
g00b	50.07	-44.09	14.13	46.3	162	l23c
g25b	52.21	-35.66	-6.03	36.17	190	l55c
g50b	53.9	-29.04	-21.87	36.36	217	l87c
g75b	49.44	-15.51	-32.31	35.84	244	c20v
b00r	41.36	1.15	-37.95	37.97	272	c53v
b25r	28.74	27.19	-46.77	54.1	300	c87v
b50r	33.74	61.97	-37.81	72.59	329	v68m
b75r	40.08	64.26	-3.32	64.35	357	m33o



Ein und Ausgabe: Farbmatisches Drucker-Reflektiv-System FRS15_90a für relativen CIELAB-Bunton $h^* = lab^*h^* = h_{ab}/360 = 0.21$

$u^*_e = r75j$

Daten für jede Farbe:

lab^*tch^* und lab^*icu^*

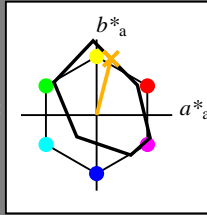
Buntontexte:

$u^*_e = r75j$ $u^*_d = o69y$

Kontrastreduzierungsfaktor:

$c_R = 0.9$

Dreiecks-Helligkeit t^*



FRS15_90a; adaptierte CIELAB-Daten

u^*_e	$L^*=L^*_a$	a^*_a	b^*_a	$C^*_{ab,a}$	$h^*_{ab,a}$
O _{Ma}	38.8	53.92	39.68	66.95	36
Y _{Ma}	82.58	-4.64	98.22	98.33	93
L _{Ma}	46.95	-56.34	43.46	71.15	142
C _{Ma}	54.62	-26.2	-28.68	38.85	228
V _{Ma}	20.01	45.2	-52.87	69.56	311
M _{Ma}	40.88	70.68	-29.99	76.78	337
N _{Ma}	15.0	0.0	0.0	0.0	0
W _{Ma}	90.0	0.0	0.0	0.0	0
R _{Ma}	39.92	58.74	27.99	65.07	25
J _{Ma}	81.26	-2.89	71.56	71.62	92
G _{Ma}	52.23	-42.42	13.6	44.55	162
B _{Ma}	30.57	1.41	-46.47	46.49	272

Daten für Maximalfarbe (Ma):

$LAB^*LAB^*_{Ma}$: 65 19 74

$LAB^*LCH^*_{Ma}$: 65 77 75

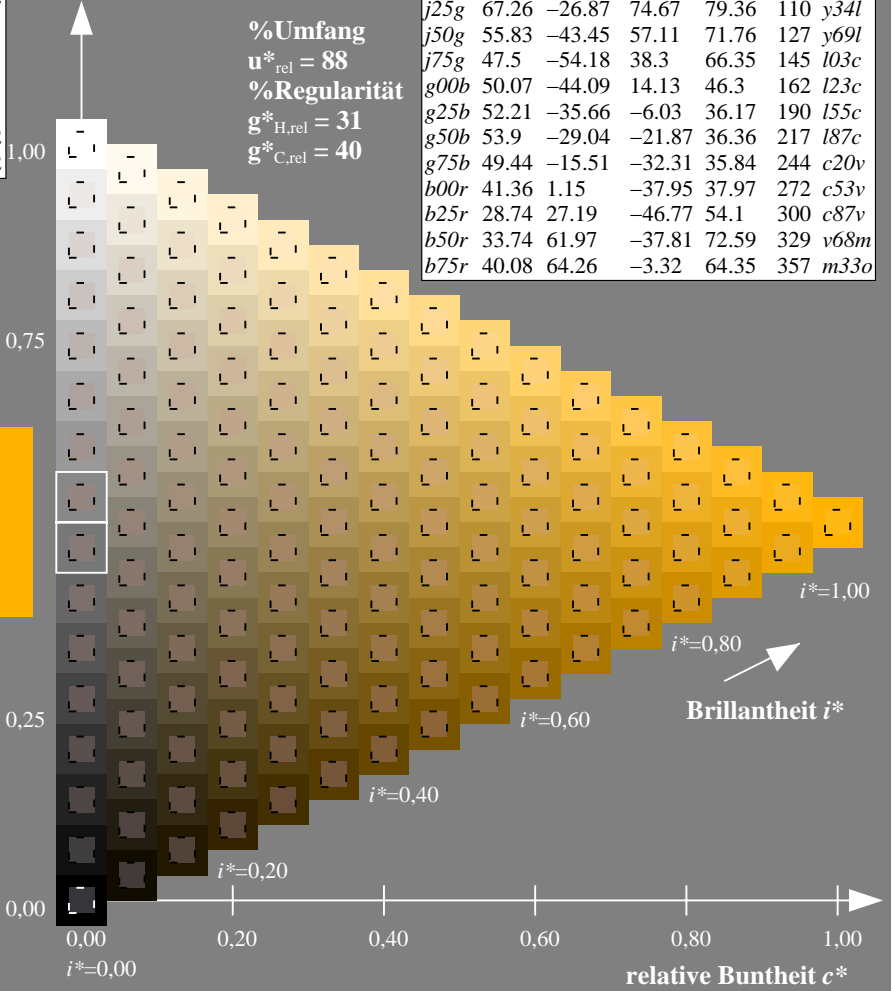
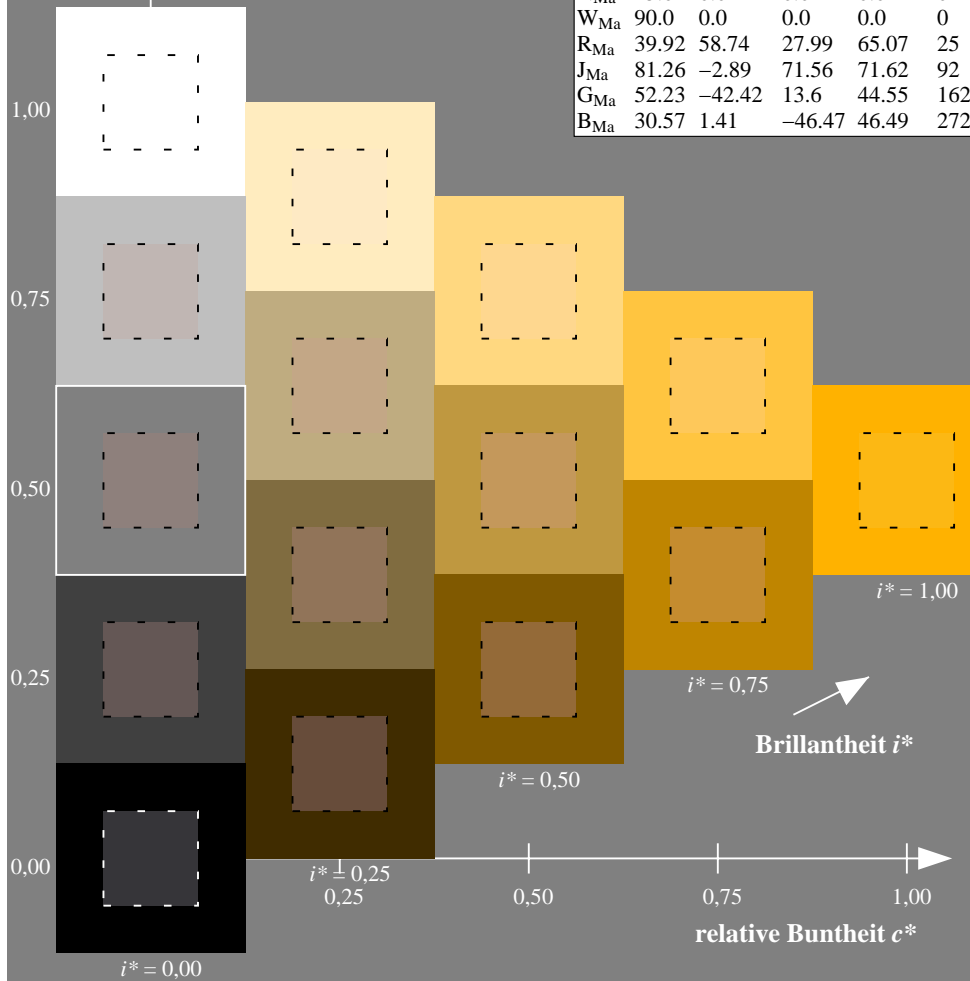
$lab^*rgb^*_{Ma}$: 1.0 0.75 0.0

$lab^*olv^*_{Ma}$: 1.0 0.7 0.0

Dreiecks-Helligkeit t^*

FRS15_90a; adaptierte CIELAB-Daten

u^*_e	$L^*=L^*_a$	a^*_a	b^*_a	$C^*_{ab,a}$	$h^*_{ab,a}$	u^*_d
r00j	39.18	56.94	27.13	63.07	25	m81o
r25j	42.41	49.1	44.5	66.26	42	o10y
r50j	52.78	35.22	58.37	68.17	59	o40y
r75j	64.82	19.12	74.47	76.89	76	o69y
j00g	82.06	-3.94	97.52	97.6	92	o98y
j25g	67.26	-26.87	74.67	79.36	110	y34l
j50g	55.83	-43.45	57.11	71.76	127	y69l
j75g	47.5	-54.18	38.3	66.35	145	l03c
g00b	50.07	-44.09	14.13	46.3	162	l23c
g25b	52.21	-35.66	-6.03	36.17	190	l55c
g50b	53.9	-29.04	-21.87	36.36	217	l87c
g75b	49.44	-15.51	-32.31	35.84	244	c20v
b00r	41.36	1.15	-37.95	37.97	272	c53v
b25r	28.74	27.19	-46.77	54.1	300	c87v
b50r	33.74	61.97	-37.81	72.59	329	v68m
b75r	40.08	64.26	-3.32	64.35	357	m33o



Ein und Ausgabe: Farbmatisches Drucker-Reflektiv-System FRS15_90a für relativen CIELAB-Bunton $h^* = lab^*h^* = h_{ab}/360 = 0.256$

$u^*_e = j00g$

Daten für jede Farbe:

lab^*tch^* und lab^*icu^*

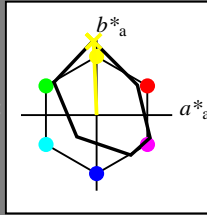
Buntontexte:

$u^*_e = j00g$ $u^*_d = o98y$

Kontrastreduzierungsfaktor:

$c_R = 0.9$

Dreiecks-Helligkeit t^*



FRS15_90a; adaptierte CIELAB-Daten						
u^*_e	$L^*=L^*_a$	a^*_a	b^*_a	$C^*_{ab,a}$	$h^*_{ab,a}$	
O _{Ma}	38.8	53.92	39.68	66.95	36	
Y _{Ma}	82.58	-4.64	98.22	98.33	93	
L _{Ma}	46.95	-56.34	43.46	71.15	142	
C _{Ma}	54.62	-26.2	-28.68	38.85	228	
V _{Ma}	20.01	45.2	-52.87	69.56	311	
M _{Ma}	40.88	70.68	-29.99	76.78	337	
N _{Ma}	15.0	0.0	0.0	0.0	0	
W _{Ma}	90.0	0.0	0.0	0.0	0	
R _{Ma}	39.92	58.74	27.99	65.07	25	
J _{Ma}	81.26	-2.89	71.56	71.62	92	
G _{Ma}	52.23	-42.42	13.6	44.55	162	
B _{Ma}	30.57	1.41	-46.47	46.49	272	

Daten für Maximalfarbe (Ma):

$LAB^*LAB^*_{Ma}$: 82 -4 98

$LAB^*LCH^*_{Ma}$: 82 98 92

$lab^*rgb^*_{Ma}$: 1.0 1.0 0.0

$lab^*olv^*_{Ma}$: 1.0 0.99 0.0

Dreiecks-Helligkeit t^*

%Umfang

$u^*_{rel} = 88$

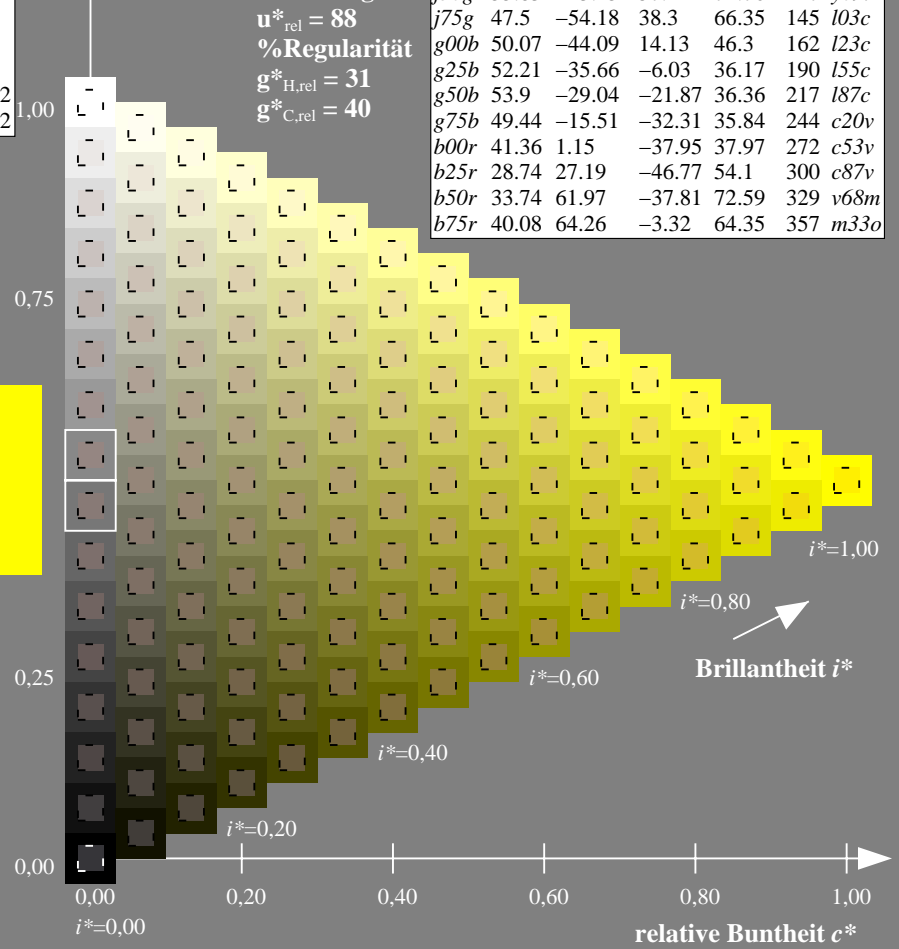
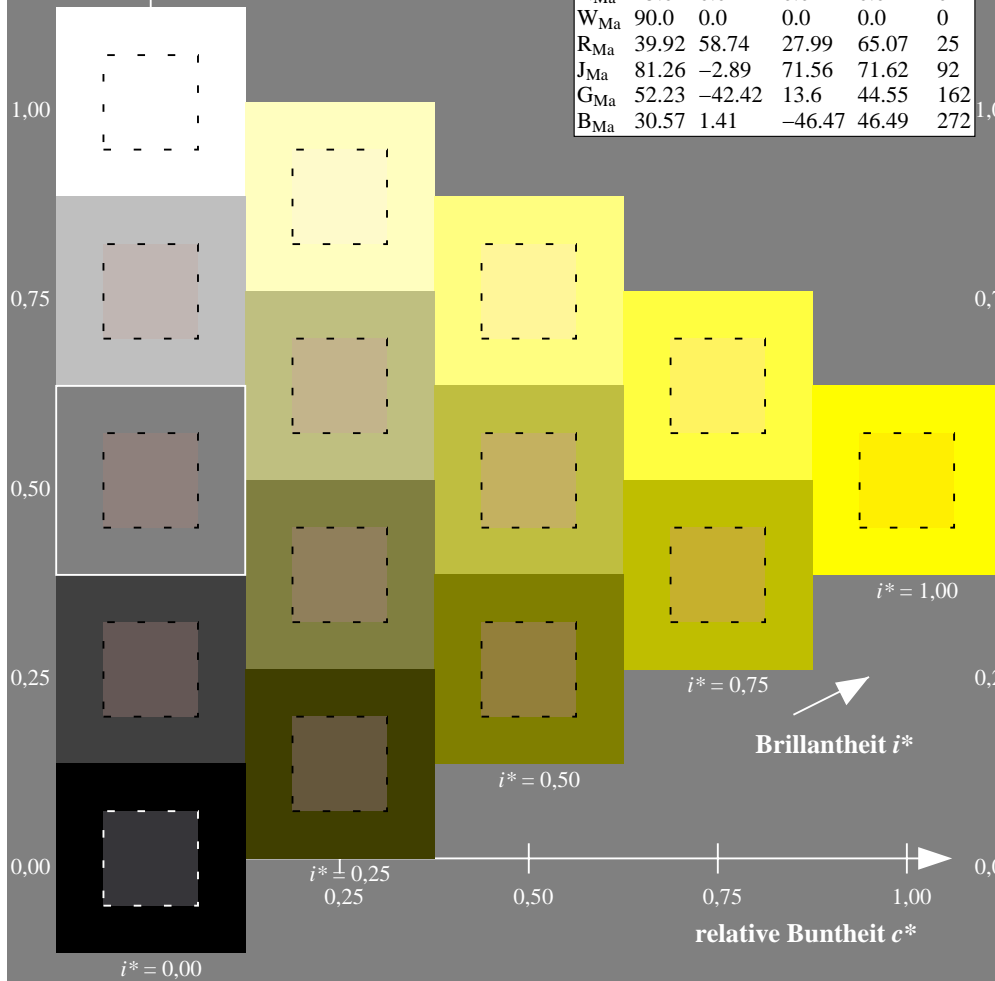
%Regularität

$g^*_{H,rel} = 31$

$g^*_{C,rel} = 40$

FRS15_90a; adaptierte CIELAB-Daten

u^*_e	$L^*=L^*_a$	a^*_a	b^*_a	$C^*_{ab,a}$	$h^*_{ab,a}$	u^*_d
r00j	39.18	56.94	27.13	63.07	25	m81o
r25j	42.41	49.1	44.5	66.26	42	o10y
r50j	52.78	35.22	58.37	68.17	59	o40y
r75j	64.82	19.12	74.47	76.89	76	o69y
j00g	82.06	-3.94	97.52	97.6	92	o98y
j25g	67.26	-26.87	74.67	79.36	110	y34l
j50g	55.83	-43.45	57.11	71.76	127	y69l
j75g	47.5	-54.18	38.3	66.35	145	l03c
g00b	50.07	-44.09	14.13	46.3	162	l23c
g25b	52.21	-35.66	-6.03	36.17	190	l55c
g50b	53.9	-29.04	-21.87	36.36	217	l87c
g75b	49.44	-15.51	-32.31	35.84	244	c20v
b00r	41.36	1.15	-37.95	37.97	272	c53v
b25r	28.74	27.19	-46.77	54.1	300	c87v
b50r	33.74	61.97	-37.81	72.59	329	v68m
b75r	40.08	64.26	-3.32	64.35	357	m33o



Ein und Ausgabe: Farbmatisches Drucker-Reflektiv-System FRS15_90a für relativen CIELAB-Bunton $h^* = lab^*h^* = h_{ab}/360 = 0.305$

$u^*_e = j25g$

Daten für jede Farbe:

lab^*tch^* und lab^*icu^*

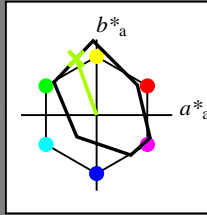
Buntontexte:

$u^*_e = j25g$ $u^*_d = y34l$

Kontrastreduzierungsfaktor:

$c_R = 0.9$

Dreiecks-Helligkeit t^*



FRS15_90a; adaptierte CIELAB-Daten						
u^*_e	$L^*=L^*_a$	a^*_a	b^*_a	$C^*_{ab,a}$	$h^*_{ab,a}$	
O _{Ma}	38.8	53.92	39.68	66.95	36	
Y _{Ma}	82.58	-4.64	98.22	98.33	93	
L _{Ma}	46.95	-56.34	43.46	71.15	142	
C _{Ma}	54.62	-26.2	-28.68	38.85	228	
V _{Ma}	20.01	45.2	-52.87	69.56	311	
M _{Ma}	40.88	70.68	-29.99	76.78	337	
N _{Ma}	15.0	0.0	0.0	0.0	0	
W _{Ma}	90.0	0.0	0.0	0.0	0	
R _{Ma}	39.92	58.74	27.99	65.07	25	
J _{Ma}	81.26	-2.89	71.56	71.62	92	
G _{Ma}	52.23	-42.42	13.6	44.55	162	
B _{Ma}	30.57	1.41	-46.47	46.49	272	

Daten für Maximalfarbe (Ma):

$LAB^*LAB^*_{Ma}: 67 -27 75$

$LAB^*LCH^*_{Ma}: 67 79 109$

$lab^*rgb^*_{Ma}: 0.75 1.0 0.0$

$lab^*olv^*_{Ma}: 0.66 1.0 0.0$

Dreiecks-Helligkeit t^*

%Umfang

$u^*_{rel} = 88$

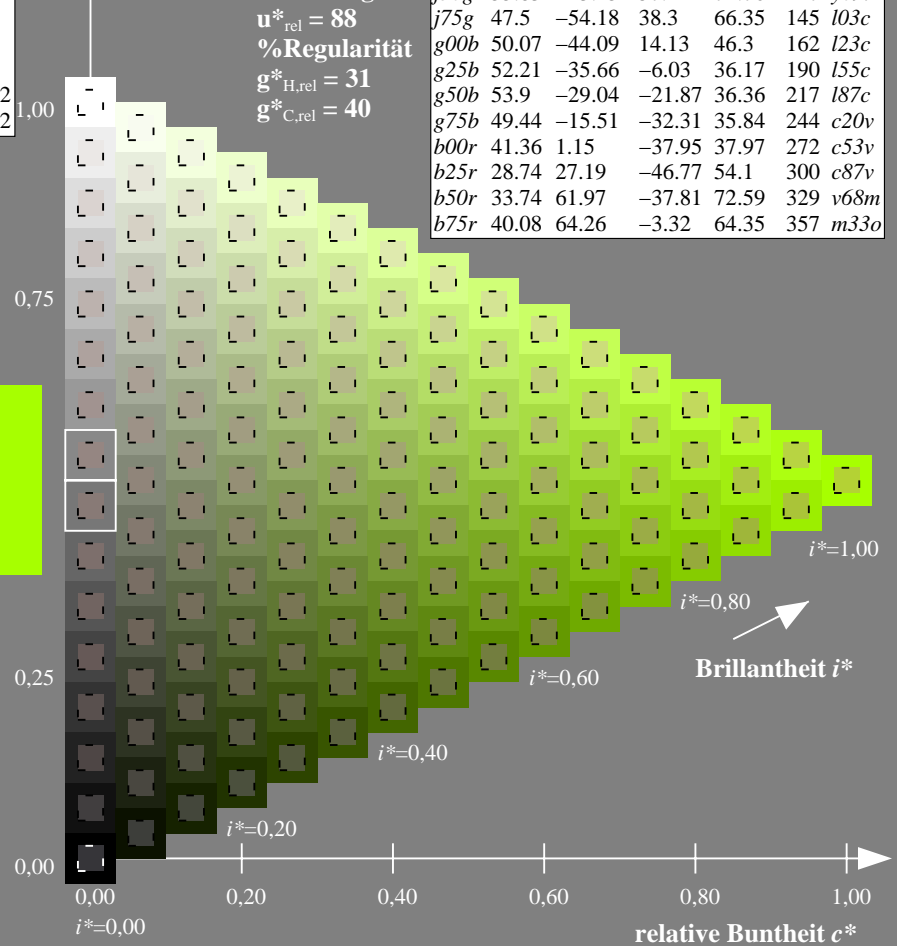
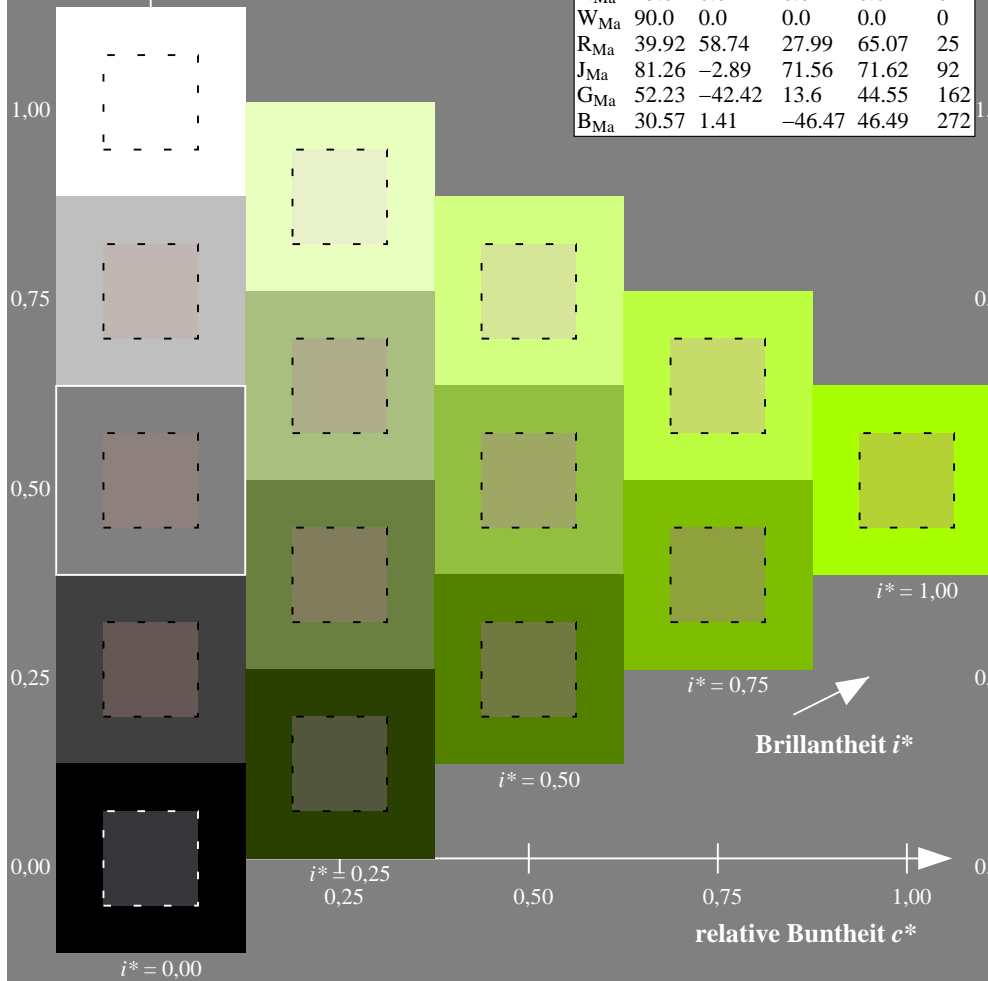
%Regularität

$g^*_{H,rel} = 31$

$g^*_{C,rel} = 40$

FRS15_90a; adaptierte CIELAB-Daten

u^*_e	$L^*=L^*_a$	a^*_a	b^*_a	$C^*_{ab,a}$	$h^*_{ab,a}$	u^*_d
r00j	39.18	56.94	27.13	63.07	25	m81o
r25j	42.41	49.1	44.5	66.26	42	o10y
r50j	52.78	35.22	58.37	68.17	59	o40y
r75j	64.82	19.12	74.47	76.89	76	o69y
j00g	82.06	-3.94	97.52	97.6	92	o98y
j25g	67.26	-26.87	74.67	79.36	110	y34l
j50g	55.83	-43.45	57.11	71.76	127	y69l
j75g	47.5	-54.18	38.3	66.35	145	l03c
g00b	50.07	-44.09	14.13	46.3	162	l23c
g25b	52.21	-35.66	-6.03	36.17	190	l55c
g50b	53.9	-29.04	-21.87	36.36	217	l87c
g75b	49.44	-15.51	-32.31	35.84	244	c20v
b00r	41.36	1.15	-37.95	37.97	272	c53v
b25r	28.74	27.19	-46.77	54.1	300	c87v
b50r	33.74	61.97	-37.81	72.59	329	v68m
b75r	40.08	64.26	-3.32	64.35	357	m33o



Ein und Ausgabe: Farbmatisches Drucker-Reflektiv-System FRS15_90a für relativen CIELAB-Bunton $h^* = lab^*h^* = h_{ab}/360 = 0.354$

$u^*_e = j50g$

Daten für jede Farbe:

lab^*tch^* und lab^*icu^*

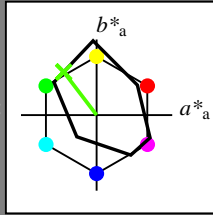
Buntontexte:

$u^*_e = j50g$ $u^*_d = y69l$

Kontrastreduzierungsfaktor:

$c_R = 0.9$

Dreiecks-Helligkeit t^*



FRS15_90a; adaptierte CIELAB-Daten						
u^*_e	$L^*=L^*_a$	a^*_a	b^*_a	$C^*_{ab,a}$	$h^*_{ab,a}$	
O _{Ma}	38.8	53.92	39.68	66.95	36	
Y _{Ma}	82.58	-4.64	98.22	98.33	93	
L _{Ma}	46.95	-56.34	43.46	71.15	142	
C _{Ma}	54.62	-26.2	-28.68	38.85	228	
V _{Ma}	20.01	45.2	-52.87	69.56	311	
M _{Ma}	40.88	70.68	-29.99	76.78	337	
N _{Ma}	15.0	0.0	0.0	0.0	0	
W _{Ma}	90.0	0.0	0.0	0.0	0	
R _{Ma}	39.92	58.74	27.99	65.07	25	
J _{Ma}	81.26	-2.89	71.56	71.62	92	
G _{Ma}	52.23	-42.42	13.6	44.55	162	
B _{Ma}	30.57	1.41	-46.47	46.49	272	

Daten für Maximalfarbe (Ma):

$LAB^*LAB^*_{Ma}: 56 -43 57$

$LAB^*LCH^*_{Ma}: 56 72 127$

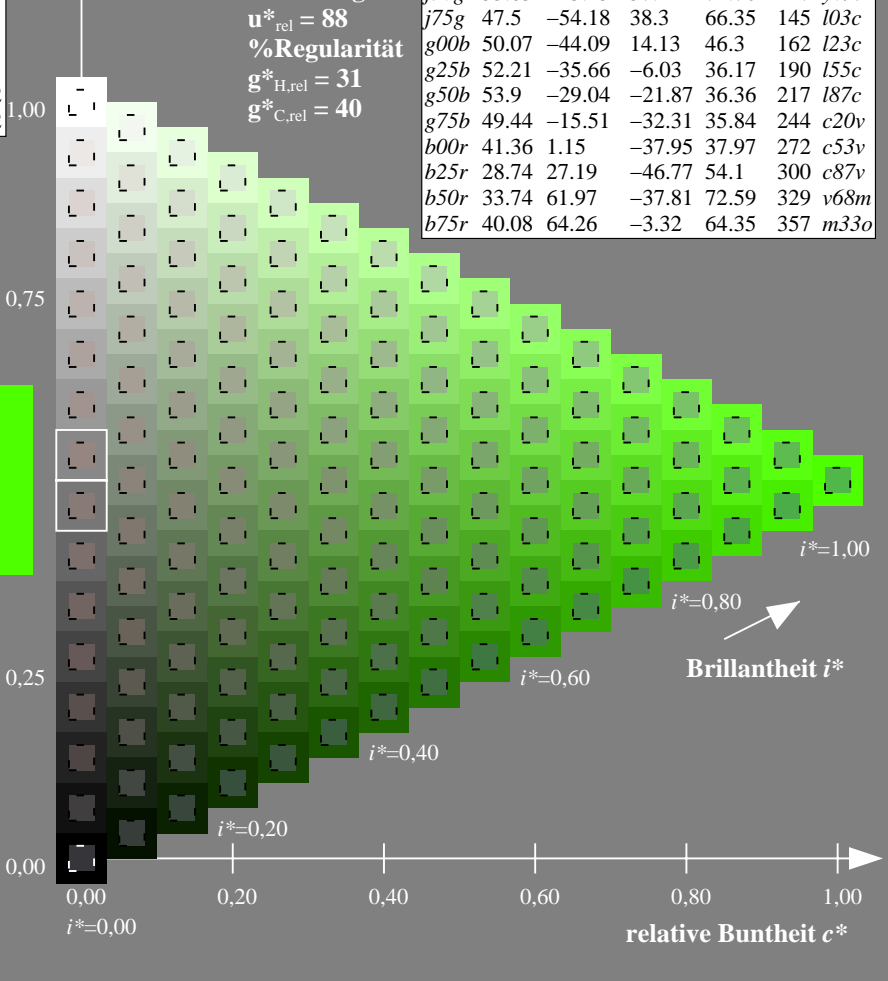
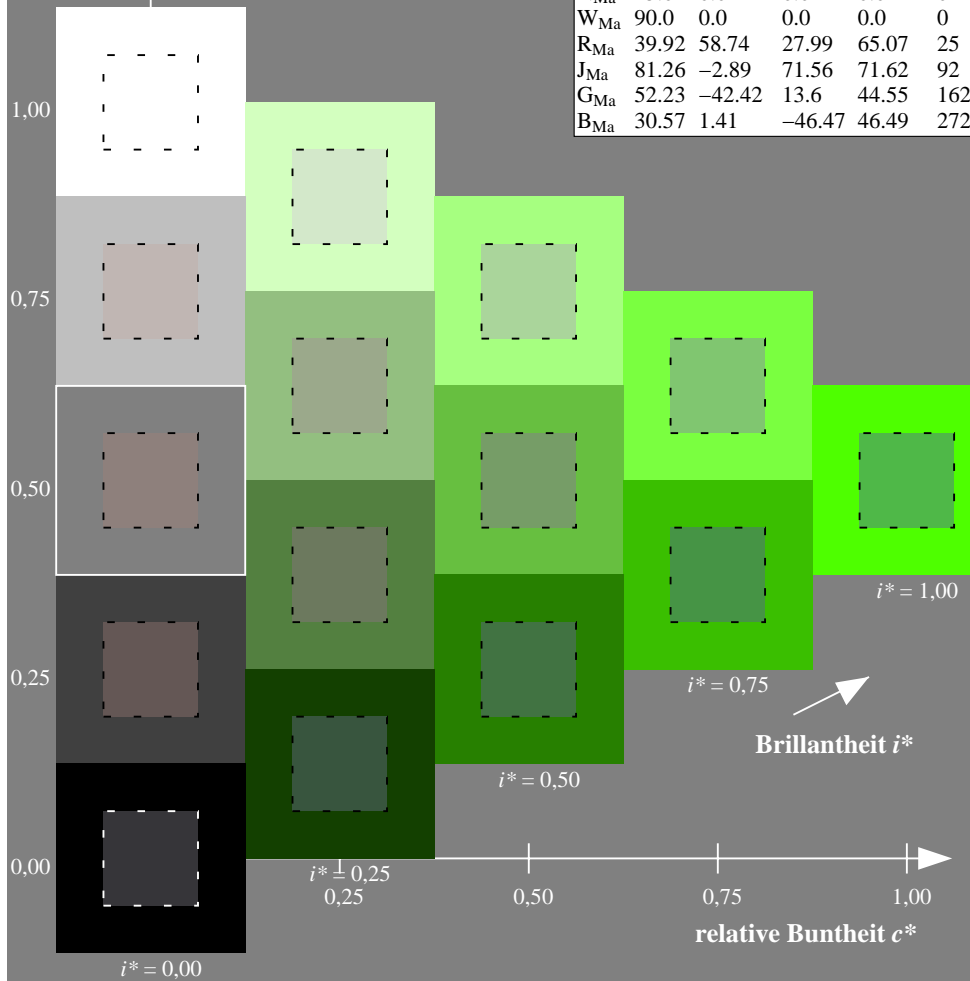
$lab^*rgb^*_{Ma}: 0.5 1.0 0.0$

$lab^*olv^*_{Ma}: 0.3 1.0 0.0$

Dreiecks-Helligkeit t^*

FRS15_90a; adaptierte CIELAB-Daten

u^*_e	$L^*=L^*_a$	a^*_a	b^*_a	$C^*_{ab,a}$	$h^*_{ab,a}$	u^*_d
r00j	39.18	56.94	27.13	63.07	25	m81o
r25j	42.41	49.1	44.5	66.26	42	o10y
r50j	52.78	35.22	58.37	68.17	59	o40y
r75j	64.82	19.12	74.47	76.89	76	o69y
j00g	82.06	-3.94	97.52	97.6	92	o98y
j25g	67.26	-26.87	74.67	79.36	110	y34l
j50g	55.83	-43.45	57.11	71.76	127	y69l
j75g	47.5	-54.18	38.3	66.35	145	l03c
g00b	50.07	-44.09	14.13	46.3	162	l23c
g25b	52.21	-35.66	-6.03	36.17	190	l55c
g50b	53.9	-29.04	-21.87	36.36	217	l87c
g75b	49.44	-15.51	-32.31	35.84	244	c20v
b00r	41.36	1.15	-37.95	37.97	272	c53v
b25r	28.74	27.19	-46.77	54.1	300	c87v
b50r	33.74	61.97	-37.81	72.59	329	v68m
b75r	40.08	64.26	-3.32	64.35	357	m33o



Ein und Ausgabe: Farbmatisches Drucker-Reflektiv-System FRS15_90a für relativen CIELAB-Bunton $h^* = lab^*h^* = h_{ab}/360 = 0.402$

$u^*_e = j75g$

Daten für jede Farbe:

lab^*tch^* und lab^*icu^*

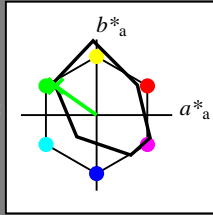
Buntontexte:

$u^*_e = j75g$ $u^*_d = l03c$

Kontrastreduzierungsfaktor:

$c_R = 0.9$

Dreiecks-Helligkeit t^*



FRS15_90a; adaptierte CIELAB-Daten						
u^*_e	$L^*=L^*_a$	a^*_a	b^*_a	$C^*_{ab,a}$	$h^*_{ab,a}$	
O _{Ma}	38.8	53.92	39.68	66.95	36	
Y _{Ma}	82.58	-4.64	98.22	98.33	93	
L _{Ma}	46.95	-56.34	43.46	71.15	142	
C _{Ma}	54.62	-26.2	-28.68	38.85	228	
V _{Ma}	20.01	45.2	-52.87	69.56	311	
M _{Ma}	40.88	70.68	-29.99	76.78	337	
N _{Ma}	15.0	0.0	0.0	0.0	0	
W _{Ma}	90.0	0.0	0.0	0.0	0	
R _{Ma}	39.92	58.74	27.99	65.07	25	
J _{Ma}	81.26	-2.89	71.56	71.62	92	
G _{Ma}	52.23	-42.42	13.6	44.55	162	
B _{Ma}	30.57	1.41	-46.47	46.49	272	

Daten für Maximalfarbe (Ma):

$LAB^*LAB^*_{Ma}$: 48 -54 38

$LAB^*LCH^*_{Ma}$: 48 66 144

$lab^*rgb^*_{Ma}$: 0.25 1.0 0.0

$lab^*olv^*_{Ma}$: 0.0 1.0 0.03

Dreiecks-Helligkeit t^*

%Umfang

$u^*_{rel} = 88$

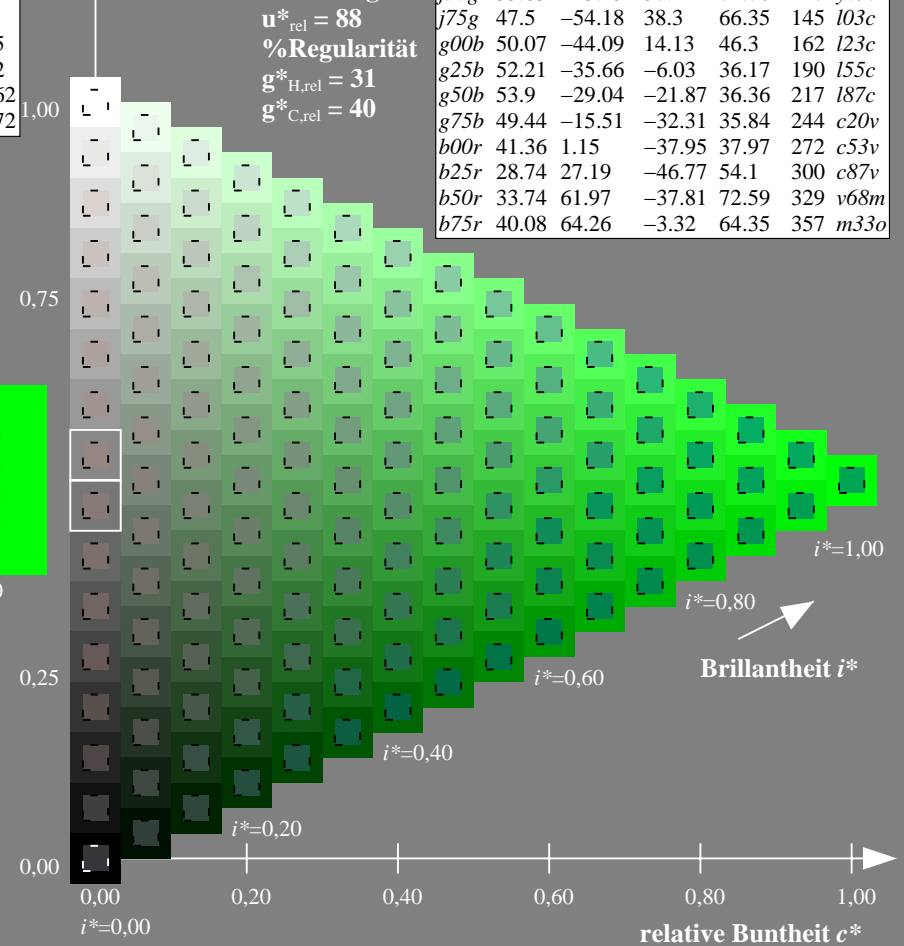
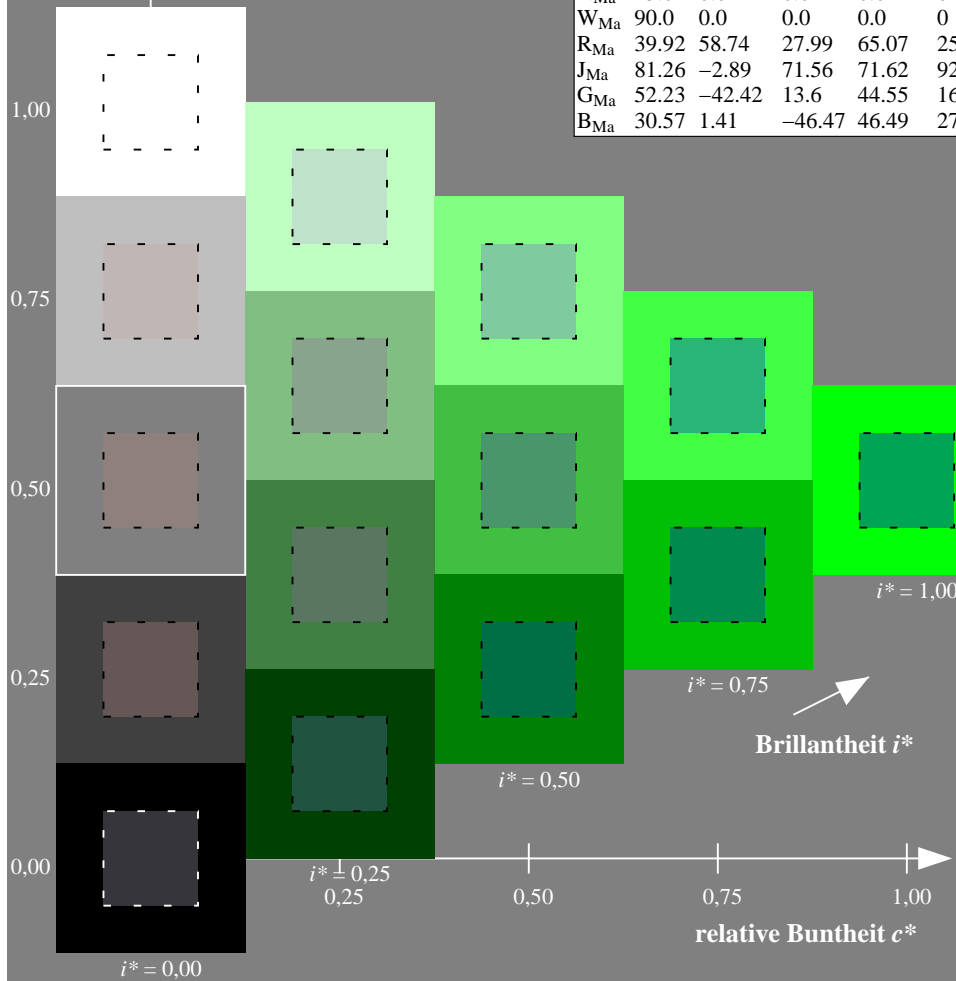
%Regularität

$g^*_{H,rel} = 31$

$g^*_{C,rel} = 40$

FRS15_90a; adaptierte CIELAB-Daten

u^*_e	$L^*=L^*_a$	a^*_a	b^*_a	$C^*_{ab,a}$	$h^*_{ab,a}$	u^*_d
r00j	39.18	56.94	27.13	63.07	25	m81o
r25j	42.41	49.1	44.5	66.26	42	o10y
r50j	52.78	35.22	58.37	68.17	59	o40y
r75j	64.82	19.12	74.47	76.89	76	o69y
j00g	82.06	-3.94	97.52	97.6	92	o98y
j25g	67.26	-26.87	74.67	79.36	110	y34l
j50g	55.83	-43.45	57.11	71.76	127	y69l
j75g	47.5	-54.18	38.3	66.35	145	l03c
g00b	50.07	-44.09	14.13	46.3	162	l23c
g25b	52.21	-35.66	-6.03	36.17	190	l55c
g50b	53.9	-29.04	-21.87	36.36	217	l87c
g75b	49.44	-15.51	-32.31	35.84	244	c20v
b00r	41.36	1.15	-37.95	37.97	272	c53v
b25r	28.74	27.19	-46.77	54.1	300	c87v
b50r	33.74	61.97	-37.81	72.59	329	v68m
b75r	40.08	64.26	-3.32	64.35	357	m33o



Ein und Ausgabe: Farbmatisches Drucker-Reflektiv-System FRS15_90a für relativen CIELAB-Bunton $h^* = lab^*h^* = h_{ab}/360 = 0.451$

$u^*_e = g00b$

Daten für jede Farbe:

lab^*tch^* und lab^*icu^*

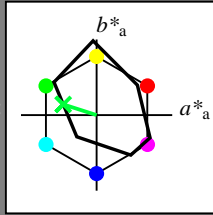
Buntontexte:

$u^*_e = g00b$ $u^*_d = l23c$

Kontrastreduzierungsfaktor:

$c_R = 0.9$

Dreiecks-Helligkeit t^*



FRS15_90a; adaptierte CIELAB-Daten						
u^*_e	$L^*=L^*_a$	a^*_a	b^*_a	$C^*_{ab,a}$	$h^*_{ab,a}$	
O _{Ma}	38.8	53.92	39.68	66.95	36	
Y _{Ma}	82.58	-4.64	98.22	98.33	93	
L _{Ma}	46.95	-56.34	43.46	71.15	142	
C _{Ma}	54.62	-26.2	-28.68	38.85	228	
V _{Ma}	20.01	45.2	-52.87	69.56	311	
M _{Ma}	40.88	70.68	-29.99	76.78	337	
N _{Ma}	15.0	0.0	0.0	0.0	0	
W _{Ma}	90.0	0.0	0.0	0.0	0	
R _{Ma}	39.92	58.74	27.99	65.07	25	
J _{Ma}	81.26	-2.89	71.56	71.62	92	
G _{Ma}	52.23	-42.42	13.6	44.55	162	
B _{Ma}	30.57	1.41	-46.47	46.49	272	

Daten für Maximalfarbe (Ma):

$LAB^*LAB^*_{Ma}: 50 -44 14$

$LAB^*LCH^*_{Ma}: 50 46 162$

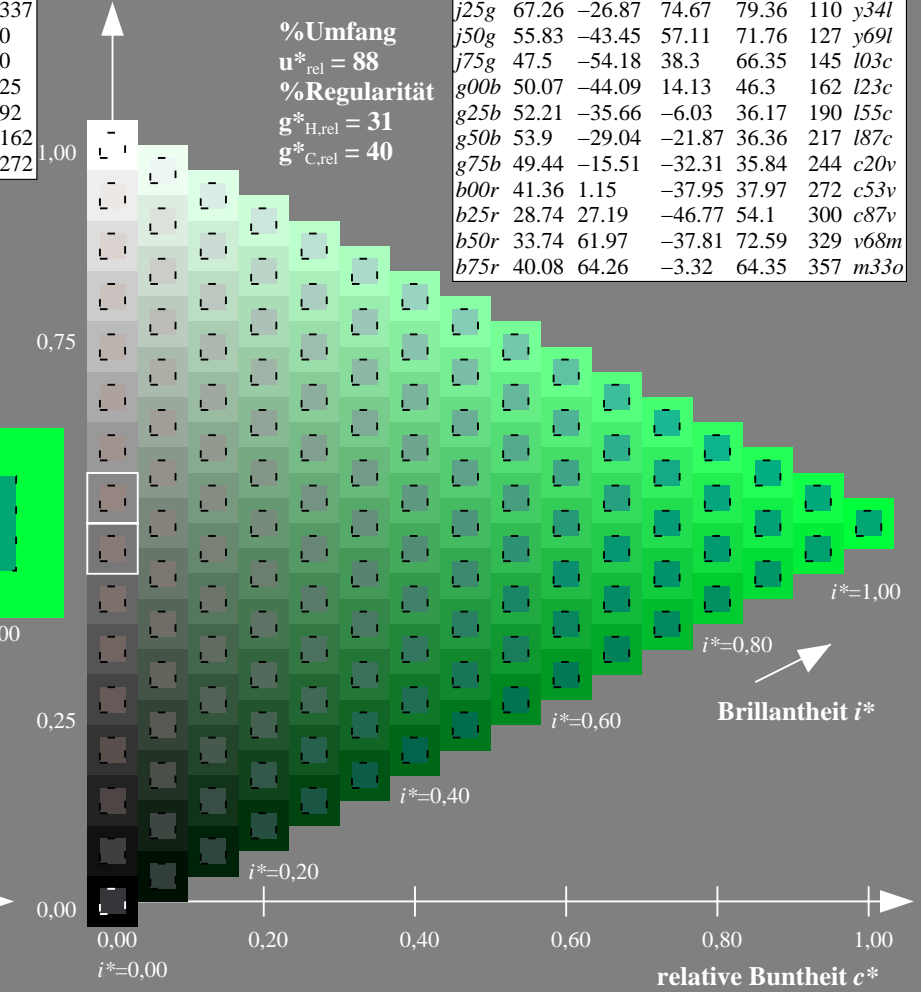
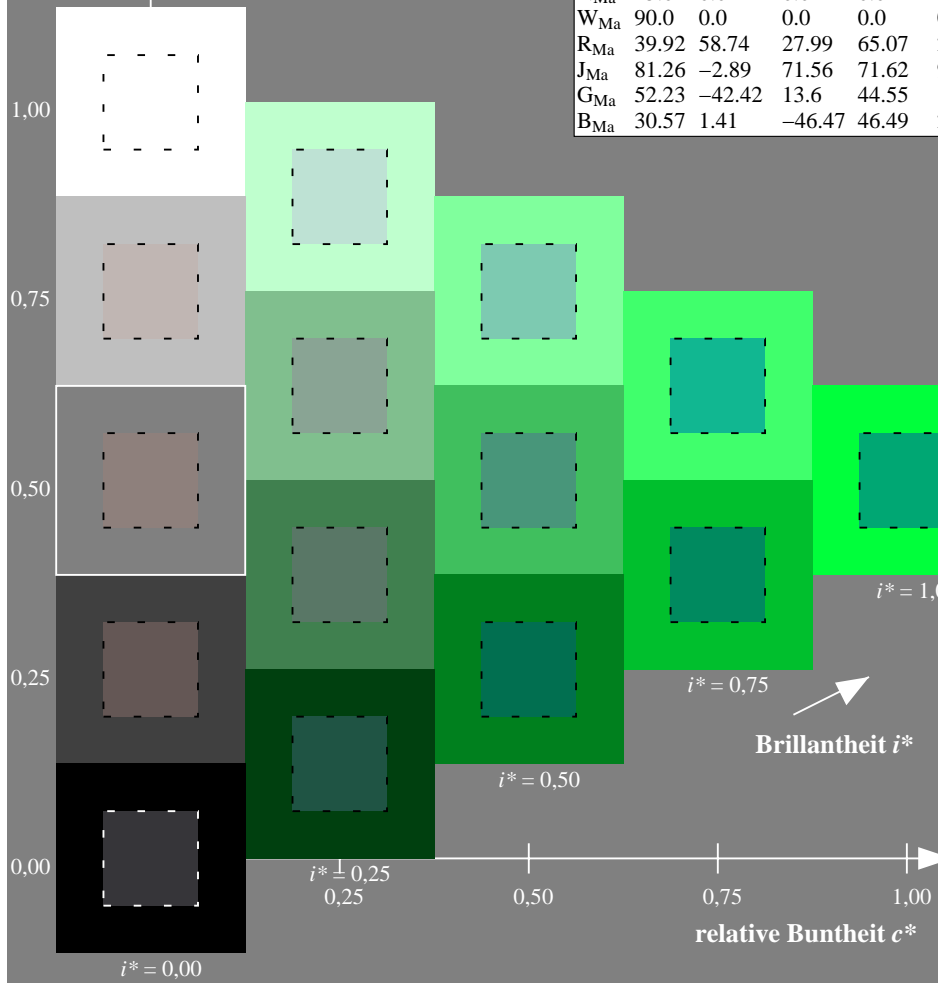
$lab^*rgb^*_{Ma}: 0.0 1.0 0.0$

$lab^*olv^*_{Ma}: 0.0 1.0 0.23$

Dreiecks-Helligkeit t^*

FRS15_90a; adaptierte CIELAB-Daten

u^*_e	$L^*=L^*_a$	a^*_a	b^*_a	$C^*_{ab,a}$	$h^*_{ab,a}$	u^*_d
r00j	39.18	56.94	27.13	63.07	25	m81o
r25j	42.41	49.1	44.5	66.26	42	o10y
r50j	52.78	35.22	58.37	68.17	59	o40y
r75j	64.82	19.12	74.47	76.89	76	o69y
j00g	82.06	-3.94	97.52	97.6	92	o98y
j25g	67.26	-26.87	74.67	79.36	110	y34l
j50g	55.83	-43.45	57.11	71.76	127	y69l
j75g	47.5	-54.18	38.3	66.35	145	l03c
g00b	50.07	-44.09	14.13	46.3	162	l23c
g25b	52.21	-35.66	-6.03	36.17	190	l55c
g50b	53.9	-29.04	-21.87	36.36	217	l87c
g75b	49.44	-15.51	-32.31	35.84	244	c20v
b00r	41.36	1.15	-37.95	37.97	272	c53v
b25r	28.74	27.19	-46.77	54.1	300	c87v
b50r	33.74	61.97	-37.81	72.59	329	v68m
b75r	40.08	64.26	-3.32	64.35	357	m33o



Ein und Ausgabe: Farbmatisches Drucker-Reflektiv-System FRS15_90a für relativen CIELAB-Bunton $h^* = lab^*h^* = h_{ab}/360 = 0.527$

$u^*_e = g25b$

Daten für jede Farbe:

lab^*tch^* und lab^*icu^*

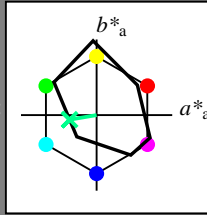
Buntontexte:

$u^*_e = g25b$ $u^*_d = l55c$

Kontrastreduzierungsfaktor:

$c_R = 0.9$

Dreiecks-Helligkeit t^*



FRS15_90a; adaptierte CIELAB-Daten						
u^*_e	$L^*=L^*_a$	a^*_a	b^*_a	$C^*_{ab,a}$	$h^*_{ab,a}$	
O _{Ma}	38.8	53.92	39.68	66.95	36	
Y _{Ma}	82.58	-4.64	98.22	98.33	93	
L _{Ma}	46.95	-56.34	43.46	71.15	142	
C _{Ma}	54.62	-26.2	-28.68	38.85	228	
V _{Ma}	20.01	45.2	-52.87	69.56	311	
M _{Ma}	40.88	70.68	-29.99	76.78	337	
N _{Ma}	15.0	0.0	0.0	0.0	0	
W _{Ma}	90.0	0.0	0.0	0.0	0	
R _{Ma}	39.92	58.74	27.99	65.07	25	
J _{Ma}	81.26	-2.89	71.56	71.62	92	
G _{Ma}	52.23	-42.42	13.6	44.55	162	
B _{Ma}	30.57	1.41	-46.47	46.49	272	

Daten für Maximalfarbe (Ma):

$LAB^*LAB^*_{Ma}: 52 -36 -6$

$LAB^*LCH^*_{Ma}: 52 36 189$

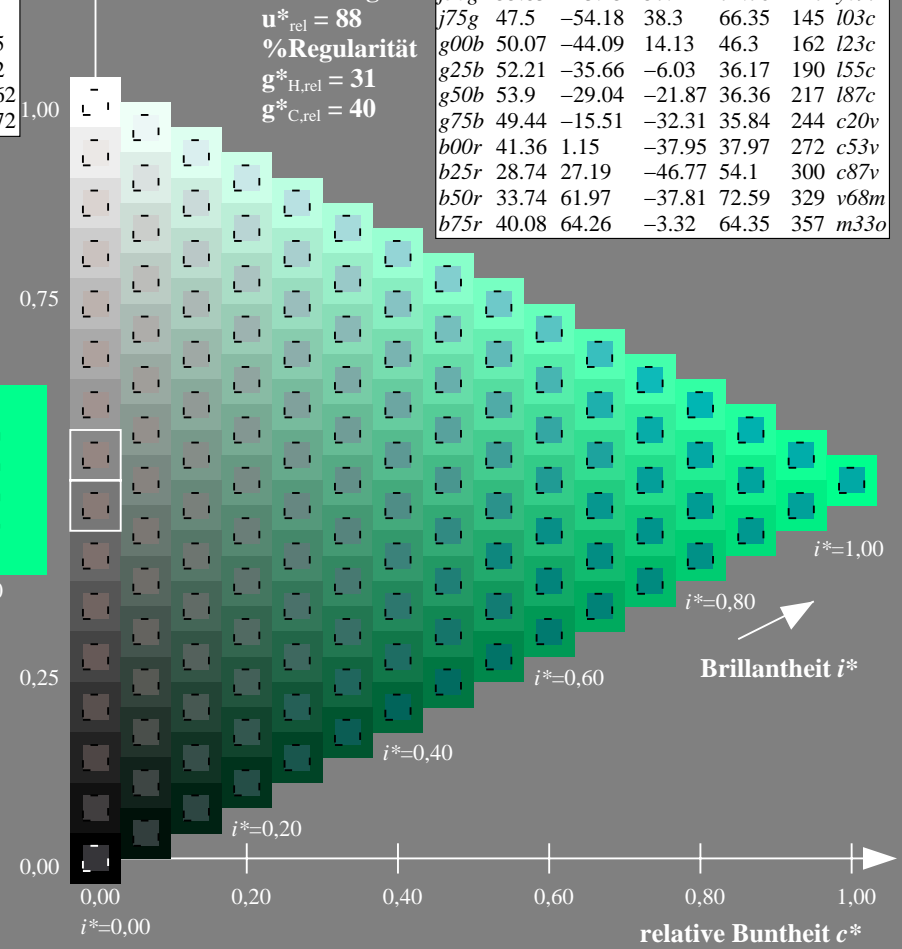
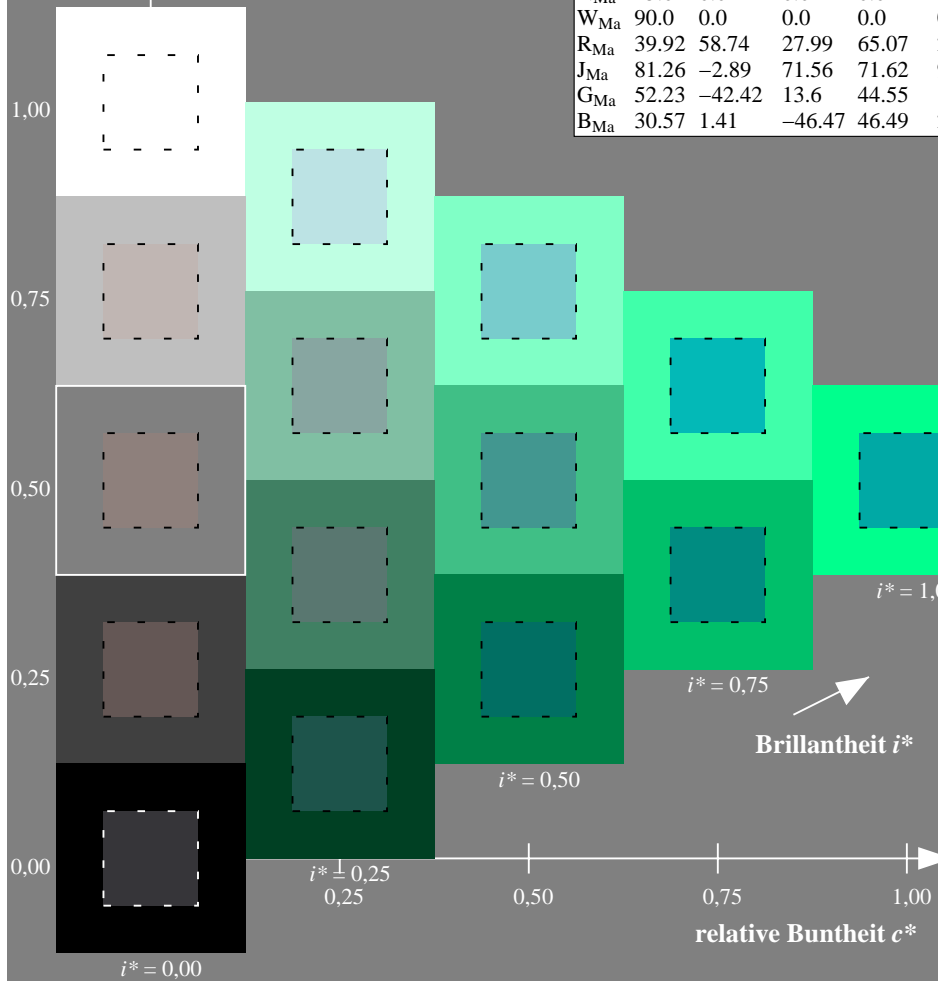
$lab^*rgb^*_{Ma}: 0.0 1.0 0.5$

$lab^*olv^*_{Ma}: 0.0 1.0 0.55$

Dreiecks-Helligkeit t^*

FRS15_90a; adaptierte CIELAB-Daten

u^*_e	$L^*=L^*_a$	a^*_a	b^*_a	$C^*_{ab,a}$	$h^*_{ab,a}$	u^*_d
r00j	39.18	56.94	27.13	63.07	25	m81o
r25j	42.41	49.1	44.5	66.26	42	o10y
r50j	52.78	35.22	58.37	68.17	59	o40y
r75j	64.82	19.12	74.47	76.89	76	o69y
j00g	82.06	-3.94	97.52	97.6	92	o98y
j25g	67.26	-26.87	74.67	79.36	110	y34l
j50g	55.83	-43.45	57.11	71.76	127	y69l
j75g	47.5	-54.18	38.3	66.35	145	l03c
g00b	50.07	-44.09	14.13	46.3	162	l23c
g25b	52.21	-35.66	-6.03	36.17	190	l55c
g50b	53.9	-29.04	-21.87	36.36	217	l87c
g75b	49.44	-15.51	-32.31	35.84	244	c20v
b00r	41.36	1.15	-37.95	37.97	272	c53v
b25r	28.74	27.19	-46.77	54.1	300	c87v
b50r	33.74	61.97	-37.81	72.59	329	v68m
b75r	40.08	64.26	-3.32	64.35	357	m33o



%Umfang
 $u^*_{rel} = 88$
 %Regularität
 $g^*_{H,rel} = 31$
 $g^*_{C,rel} = 40$

Ein und Ausgabe: Farbmetrisches Drucker-Reflektiv-System FRS15_90a für relativen CIELAB-Bunton $h^* = lab^*h^* = h_{ab}/360 = 0.603$

$u^*_e = g50b$

Daten für jede Farbe:

lab^*tch^* und lab^*icu^*

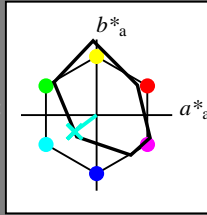
Buntontexte:

$u^*_e = g50b$ $u^*_d = l87c$

Kontrastreduzierungsfaktor:

$c_R = 0.9$

Dreiecks-Helligkeit t^*



FRS15_90a; adaptierte CIELAB-Daten						
u^*_e	$L^*=L^*_a$	a^*_a	b^*_a	$C^*_{ab,a}$	$h^*_{ab,a}$	
O_{Ma}	38.8	53.92	39.68	66.95	36	
Y_{Ma}	82.58	-4.64	98.22	98.33	93	
L_{Ma}	46.95	-56.34	43.46	71.15	142	
C_{Ma}	54.62	-26.2	-28.68	38.85	228	
V_{Ma}	20.01	45.2	-52.87	69.56	311	
M_{Ma}	40.88	70.68	-29.99	76.78	337	
N_{Ma}	15.0	0.0	0.0	0.0	0	
W_{Ma}	90.0	0.0	0.0	0.0	0	
R_{Ma}	39.92	58.74	27.99	65.07	25	
J_{Ma}	81.26	-2.89	71.56	71.62	92	
G_{Ma}	52.23	-42.42	13.6	44.55	162	
B_{Ma}	30.57	1.41	-46.47	46.49	272	

Daten für Maximalfarbe (Ma):

$LAB^*LAB^*_{Ma}: 54 -29 -22$

$LAB^*LCH^*_{Ma}: 54 36 216$

$lab^*rgb^*_{Ma}: 0.0 1.0 1.0$

$lab^*olv^*_{Ma}: 0.0 1.0 0.88$

Dreiecks-Helligkeit t^*

%Umfang

$u^*_{rel} = 88$

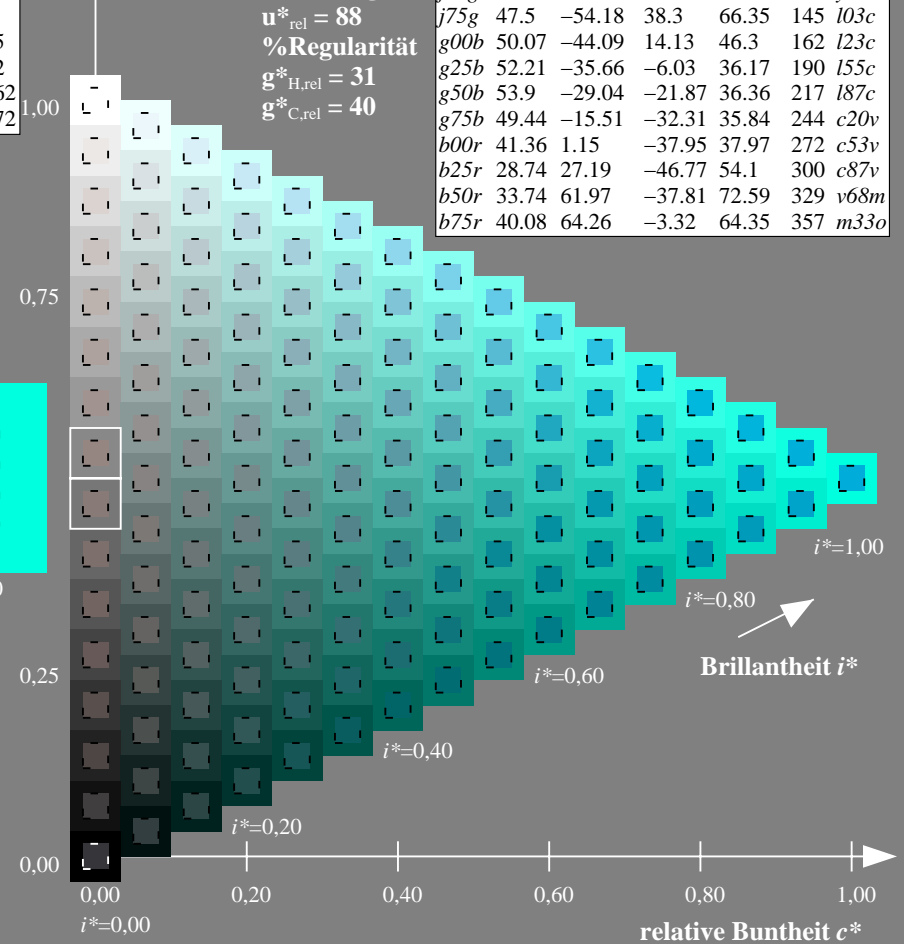
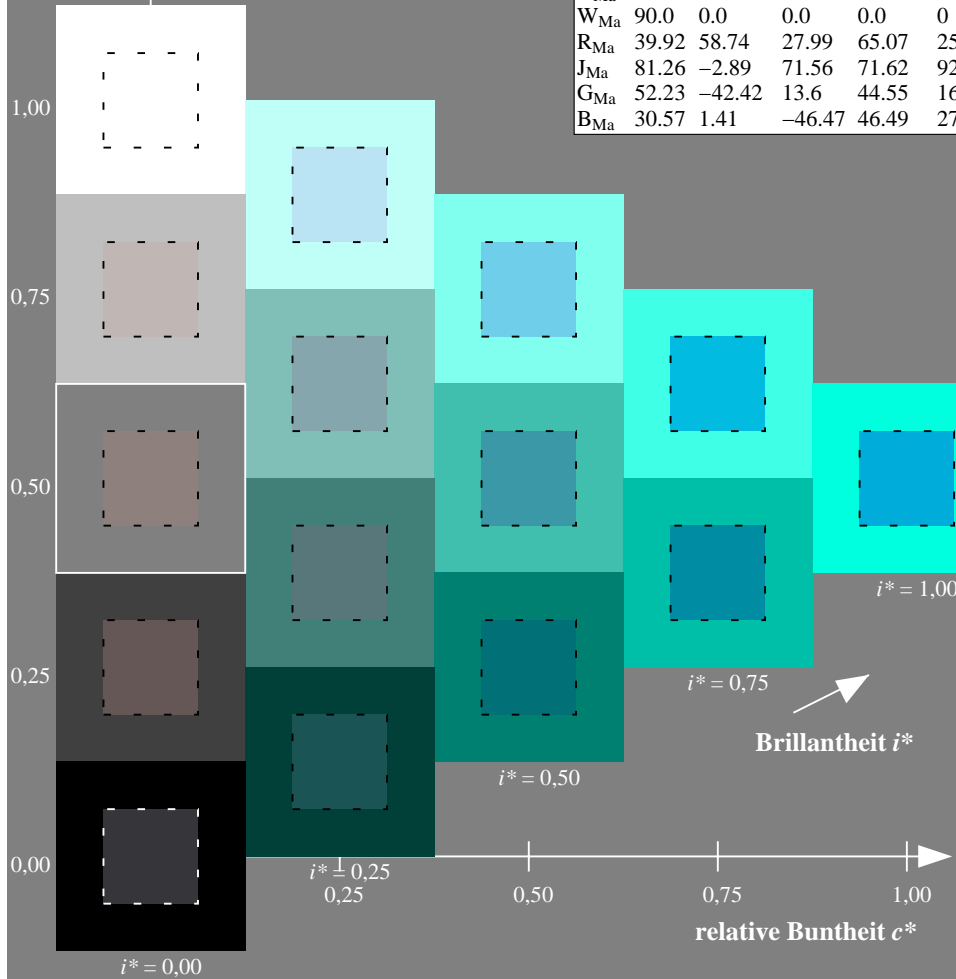
%Regularität

$g^*_{H,rel} = 31$

$g^*_{C,rel} = 40$

FRS15_90a; adaptierte CIELAB-Daten

u^*_e	$L^*=L^*_a$	a^*_a	b^*_a	$C^*_{ab,a}$	$h^*_{ab,a}$	u^*_d
$r00j$	39.18	56.94	27.13	63.07	25	$m81o$
$r25j$	42.41	49.1	44.5	66.26	42	$o10y$
$r50j$	52.78	35.22	58.37	68.17	59	$o40y$
$r75j$	64.82	19.12	74.47	76.89	76	$o69y$
$j00g$	82.06	-3.94	97.52	97.6	92	$o98y$
$j25g$	67.26	-26.87	74.67	79.36	110	$y34l$
$j50g$	55.83	-43.45	57.11	71.76	127	$y69l$
$j75g$	47.5	-54.18	38.3	66.35	145	$l03c$
$g00b$	50.07	-44.09	14.13	46.3	162	$l23c$
$g25b$	52.21	-35.66	-6.03	36.17	190	$l55c$
$g50b$	53.9	-29.04	-21.87	36.36	217	$l87c$
$g75b$	49.44	-15.51	-32.31	35.84	244	$c20v$
$b00r$	41.36	1.15	-37.95	37.97	272	$c53v$
$b25r$	28.74	27.19	-46.77	54.1	300	$c87v$
$b50r$	33.74	61.97	-37.81	72.59	329	$v68m$
$b75r$	40.08	64.26	-3.32	64.35	357	$m33o$



Ein und Ausgabe: Farbmatisches Drucker-Reflektiv-System FRS15_90a für relativen CIELAB-Bunton $h^* = lab^*h^* = h_{ab}/360 = 0.679$

$u^*_e = g75b$

Daten für jede Farbe:

lab^*tch^* und lab^*icu^*

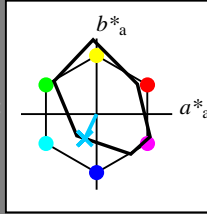
Buntontexte:

$u^*_e = g75b$ $u^*_d = c20v$

Kontrastreduzierungsfaktor:

$c_R = 0.9$

Dreiecks-Helligkeit t^*



FRS15_90a; adaptierte CIELAB-Daten

u^*_e	$L^*=L^*_a$	a^*_a	b^*_a	$C^*_{ab,a}$	$h^*_{ab,a}$
O _{Ma}	38.8	53.92	39.68	66.95	36
Y _{Ma}	82.58	-4.64	98.22	98.33	93
L _{Ma}	46.95	-56.34	43.46	71.15	142
C _{Ma}	54.62	-26.2	-28.68	38.85	228
V _{Ma}	20.01	45.2	-52.87	69.56	311
M _{Ma}	40.88	70.68	-29.99	76.78	337
N _{Ma}	15.0	0.0	0.0	0.0	0
W _{Ma}	90.0	0.0	0.0	0.0	0
R _{Ma}	39.92	58.74	27.99	65.07	25
J _{Ma}	81.26	-2.89	71.56	71.62	92
G _{Ma}	52.23	-42.42	13.6	44.55	162
B _{Ma}	30.57	1.41	-46.47	46.49	272

Daten für Maximalfarbe (Ma):

$LAB^*LAB^*_{Ma}$: 49 -16 -32

$LAB^*LCH^*_{Ma}$: 49 36 244

$lab^*rgb^*_{Ma}$: 0.0 0.5 1.0

$lab^*olv^*_{Ma}$: 0.0 0.8 1.0

Dreiecks-Helligkeit t^*

%Umfang

$u^*_{rel} = 88$

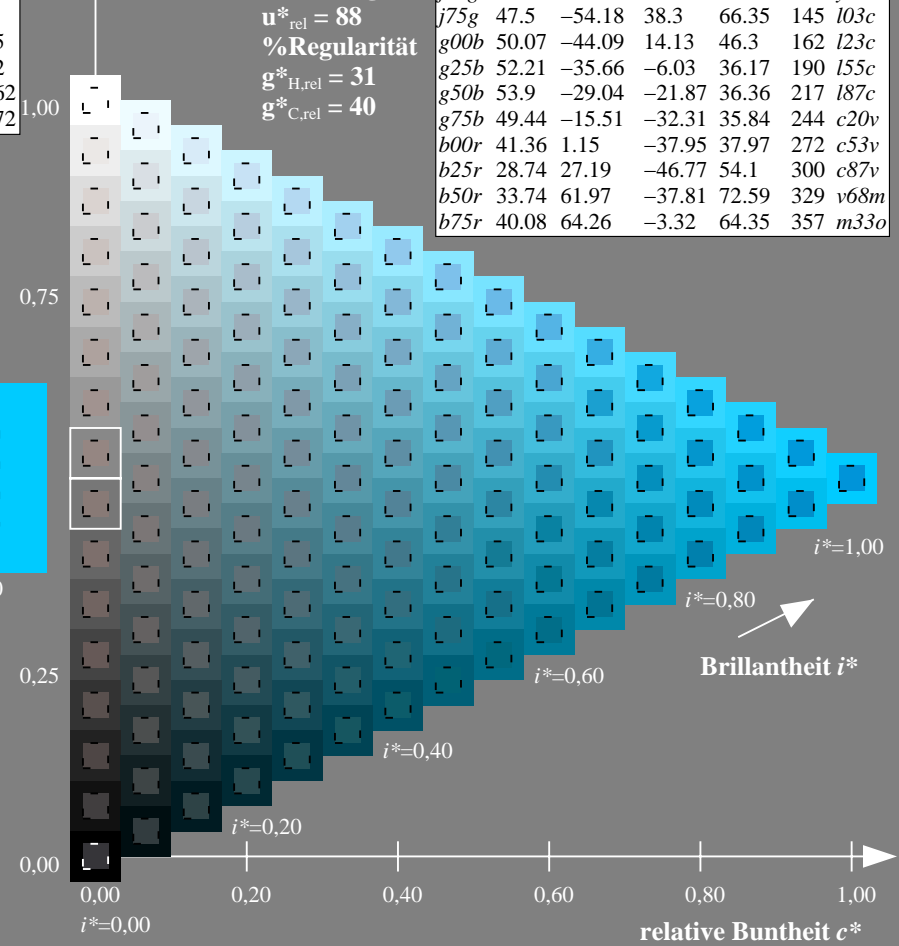
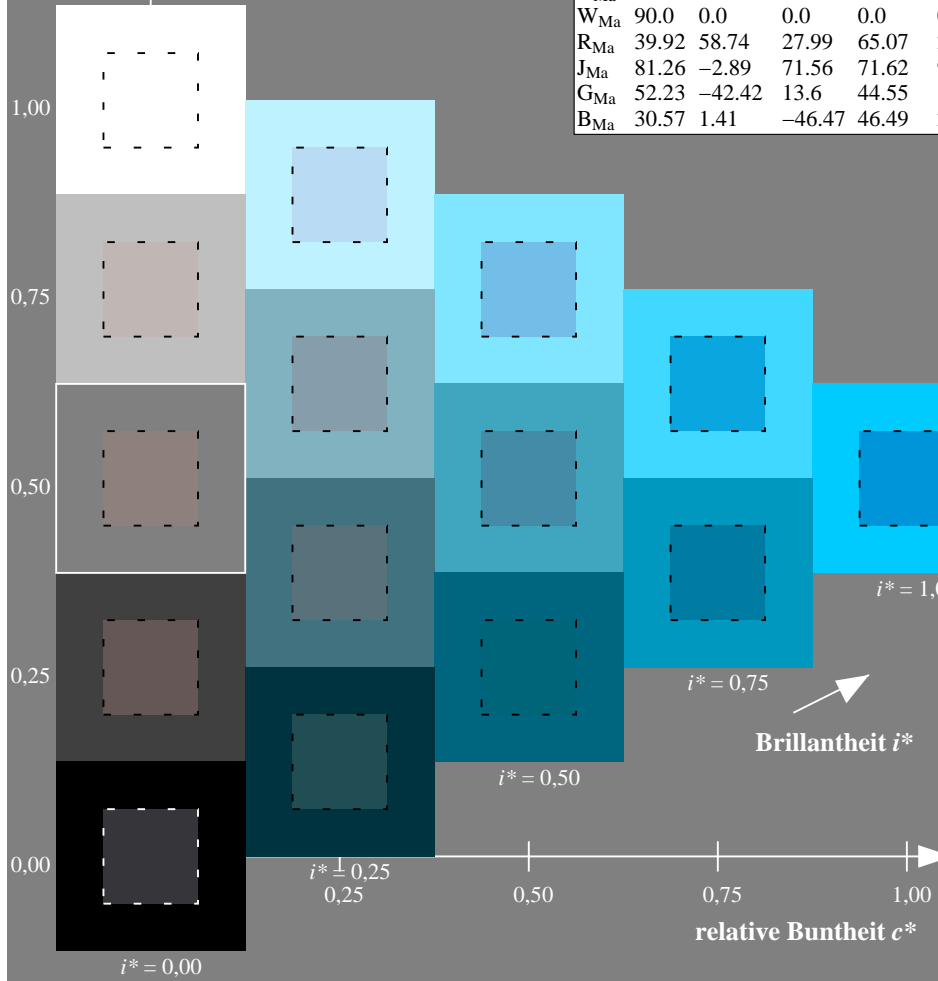
%Regularität

$g^*_{H,rel} = 31$

$g^*_{C,rel} = 40$

FRS15_90a; adaptierte CIELAB-Daten

u^*_e	$L^*=L^*_a$	a^*_a	b^*_a	$C^*_{ab,a}$	$h^*_{ab,a}$	u^*_d
r00j	39.18	56.94	27.13	63.07	25	m81o
r25j	42.41	49.1	44.5	66.26	42	o10y
r50j	52.78	35.22	58.37	68.17	59	o40y
r75j	64.82	19.12	74.47	76.89	76	o69y
j00g	82.06	-3.94	97.52	97.6	92	o98y
j25g	67.26	-26.87	74.67	79.36	110	y34l
j50g	55.83	-43.45	57.11	71.76	127	y69l
j75g	47.5	-54.18	38.3	66.35	145	l03c
g00b	50.07	-44.09	14.13	46.3	162	l23c
g25b	52.21	-35.66	-6.03	36.17	190	l55c
g50b	53.9	-29.04	-21.87	36.36	217	l87c
g75b	49.44	-15.51	-32.31	35.84	244	c20v
b00r	41.36	1.15	-37.95	37.97	272	c53v
b25r	28.74	27.19	-46.77	54.1	300	c87v
b50r	33.74	61.97	-37.81	72.59	329	v68m
b75r	40.08	64.26	-3.32	64.35	357	m33o



Ein und Ausgabe: Farbmatisches Drucker-Reflektiv-System FRS15_90a für relativen CIELAB-Bunton $h^* = lab^*h^* = h_{ab}/360 = 0.755$

$u^*_e = b00r$

Daten für jede Farbe:

lab^*tch^* und lab^*icu^*

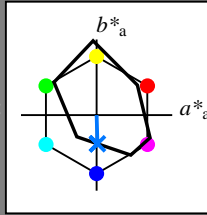
Buntontexte:

$u^*_e = b00r$ $u^*_d = c53v$

Kontrastreduzierungsfaktor:

$c_R = 0.9$

Dreiecks-Helligkeit t^*



FRS15_90a; adaptierte CIELAB-Daten						
u^*_e	$L^*=L^*_a$	a^*_a	b^*_a	$C^*_{ab,a}$	$h^*_{ab,a}$	
O _{Ma}	38.8	53.92	39.68	66.95	36	
Y _{Ma}	82.58	-4.64	98.22	98.33	93	
L _{Ma}	46.95	-56.34	43.46	71.15	142	
C _{Ma}	54.62	-26.2	-28.68	38.85	228	
V _{Ma}	20.01	45.2	-52.87	69.56	311	
M _{Ma}	40.88	70.68	-29.99	76.78	337	
N _{Ma}	15.0	0.0	0.0	0.0	0	
W _{Ma}	90.0	0.0	0.0	0.0	0	
R _{Ma}	39.92	58.74	27.99	65.07	25	
J _{Ma}	81.26	-2.89	71.56	71.62	92	
G _{Ma}	52.23	-42.42	13.6	44.55	162	
B _{Ma}	30.57	1.41	-46.47	46.49	272	

Daten für Maximalfarbe (Ma):

$LAB^*LAB^*_{Ma}$: 41 1 -38

$LAB^*LCH^*_{Ma}$: 41 38 271

$lab^*rgb^*_{Ma}$: 0.0 0.0 1.0

$lab^*olv^*_{Ma}$: 0.0 0.47 1.0

Dreiecks-Helligkeit t^*

%Umfang

$u^*_{rel} = 88$

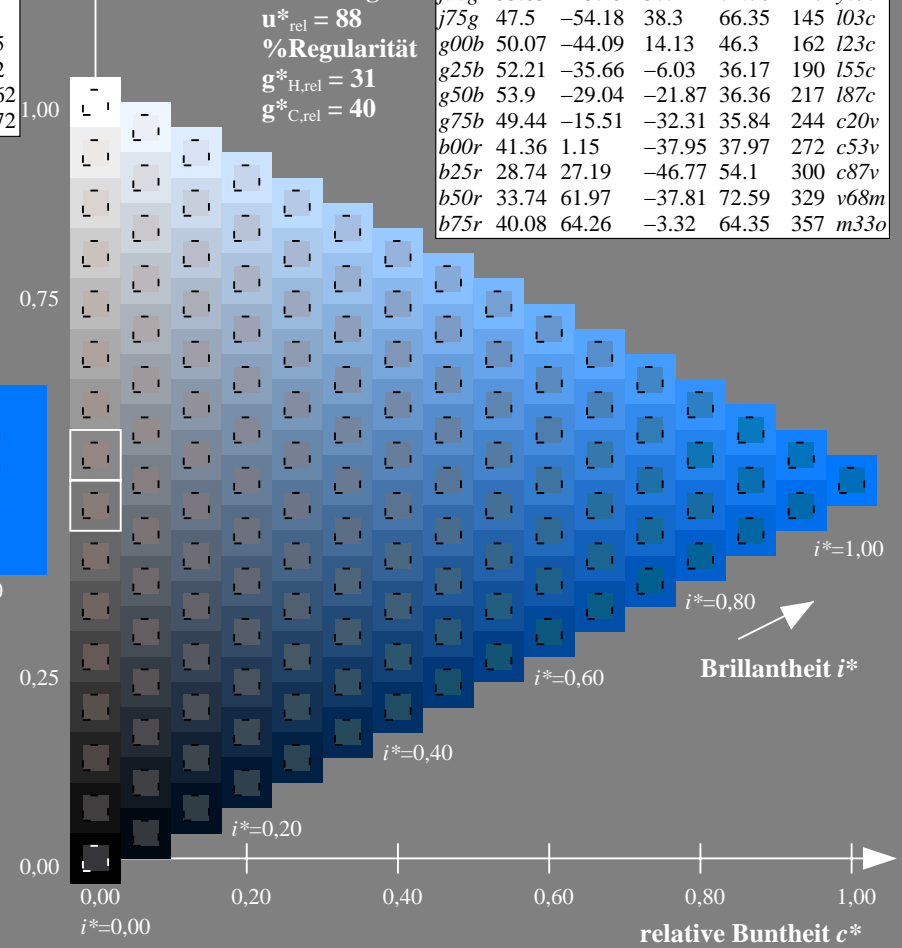
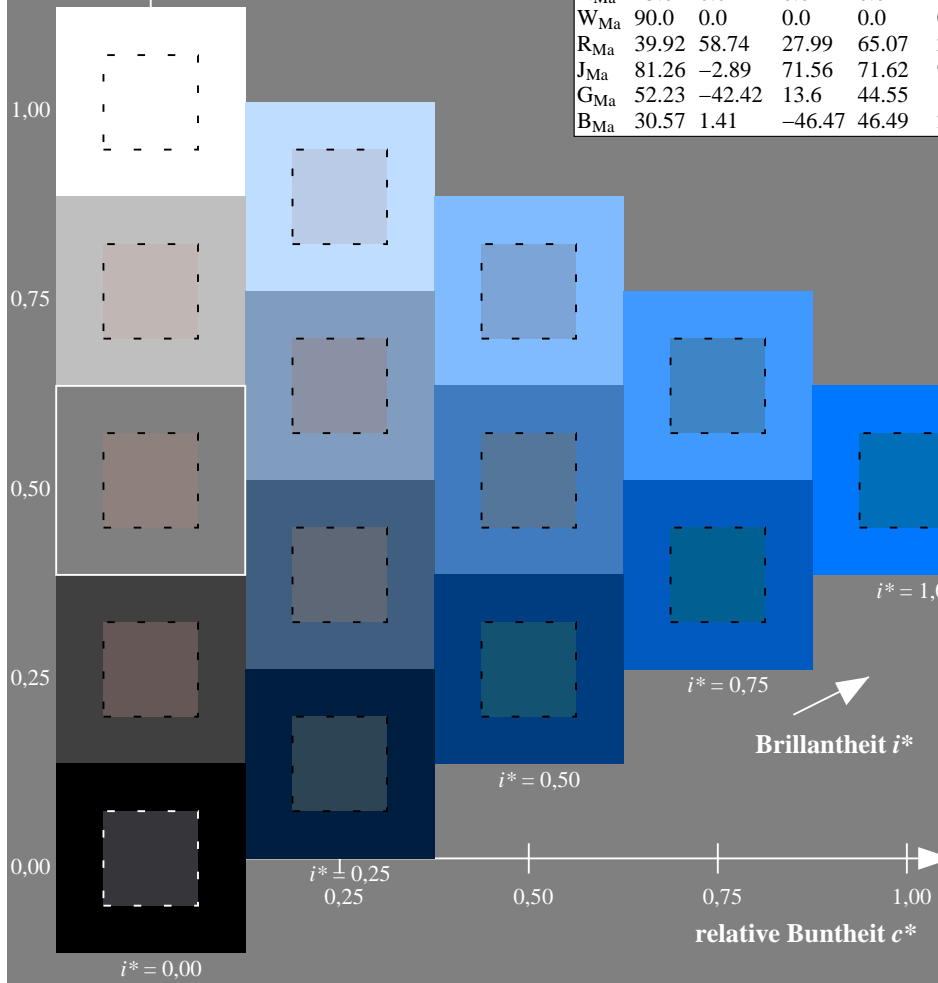
%Regularität

$g^*_{H,rel} = 31$

$g^*_{C,rel} = 40$

FRS15_90a; adaptierte CIELAB-Daten

u^*_e	$L^*=L^*_a$	a^*_a	b^*_a	$C^*_{ab,a}$	$h^*_{ab,a}$	u^*_d
r00j	39.18	56.94	27.13	63.07	25	m81o
r25j	42.41	49.1	44.5	66.26	42	o10y
r50j	52.78	35.22	58.37	68.17	59	o40y
r75j	64.82	19.12	74.47	76.89	76	o69y
j00g	82.06	-3.94	97.52	97.6	92	o98y
j25g	67.26	-26.87	74.67	79.36	110	y34l
j50g	55.83	-43.45	57.11	71.76	127	y69l
j75g	47.5	-54.18	38.3	66.35	145	l03c
g00b	50.07	-44.09	14.13	46.3	162	l23c
g25b	52.21	-35.66	-6.03	36.17	190	l55c
g50b	53.9	-29.04	-21.87	36.36	217	l87c
g75b	49.44	-15.51	-32.31	35.84	244	c20v
b00r	41.36	1.15	-37.95	37.97	272	c53v
b25r	28.74	27.19	-46.77	54.1	300	c87v
b50r	33.74	61.97	-37.81	72.59	329	v68m
b75r	40.08	64.26	-3.32	64.35	357	m33o



Ein und Ausgabe: Farbmatisches Drucker-Reflektiv-System FRS15_90a für relativen CIELAB-Bunton $h^* = lab^*h^* = h_{ab}/360 = 0.834$

$u^*_e = b25r$

Daten für jede Farbe:

lab^*tch^* und lab^*icu^*

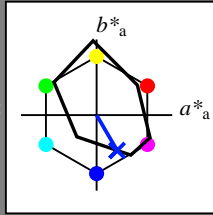
Buntontexte:

$u^*_e = b25r$ $u^*_d = c87v$

Kontrastreduzierungsfaktor:

$c_R = 0.9$

Dreiecks-Helligkeit t^*



FRS15_90a; adaptierte CIELAB-Daten						
u^*_e	$L^*=L^*_a$	a^*_a	b^*_a	$C^*_{ab,a}$	$h^*_{ab,a}$	
O _{Ma}	38.8	53.92	39.68	66.95	36	
Y _{Ma}	82.58	-4.64	98.22	98.33	93	
L _{Ma}	46.95	-56.34	43.46	71.15	142	
C _{Ma}	54.62	-26.2	-28.68	38.85	228	
V _{Ma}	20.01	45.2	-52.87	69.56	311	
M _{Ma}	40.88	70.68	-29.99	76.78	337	
N _{Ma}	15.0	0.0	0.0	0.0	0	
W _{Ma}	90.0	0.0	0.0	0.0	0	
R _{Ma}	39.92	58.74	27.99	65.07	25	
J _{Ma}	81.26	-2.89	71.56	71.62	92	
G _{Ma}	52.23	-42.42	13.6	44.55	162	
B _{Ma}	30.57	1.41	-46.47	46.49	272	

Daten für Maximalfarbe (Ma):

$LAB^*LAB^*_{Ma}$: 29 27 -47

$LAB^*LCH^*_{Ma}$: 29 54 300

$lab^*rgb^*_{Ma}$: 0.5 0.0 1.0

$lab^*olv^*_{Ma}$: 0.0 0.12 1.0

Dreiecks-Helligkeit t^*

%Umfang

$u^*_{rel} = 88$

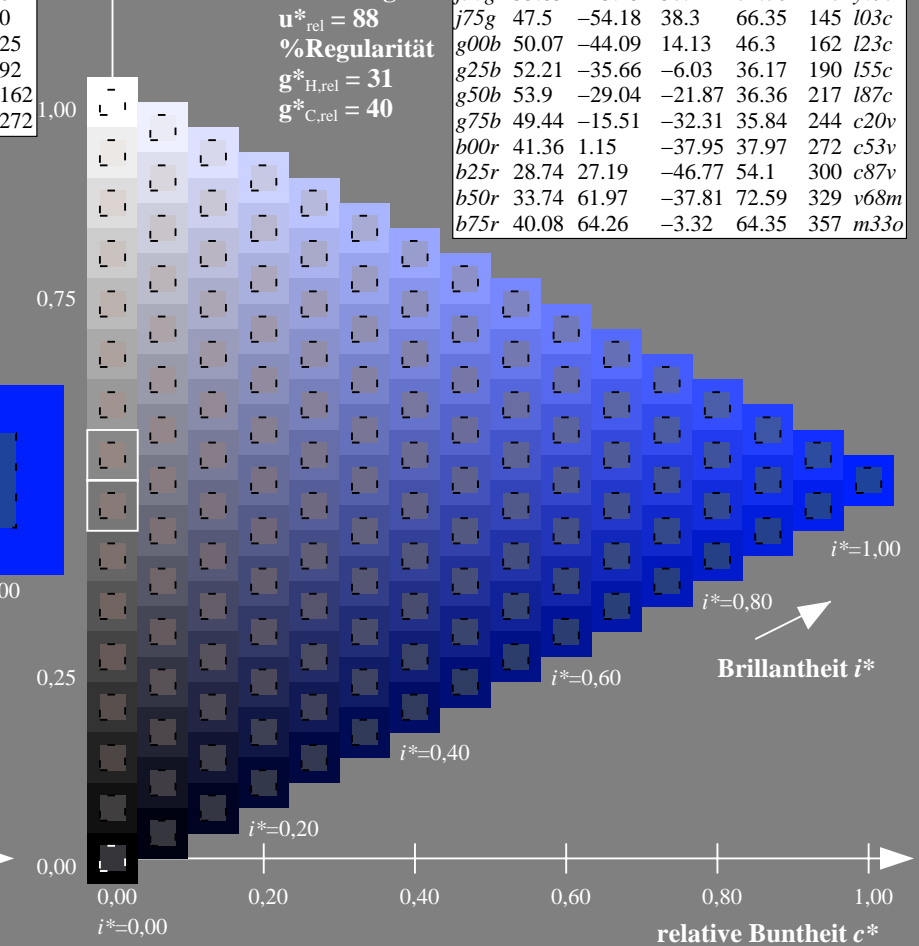
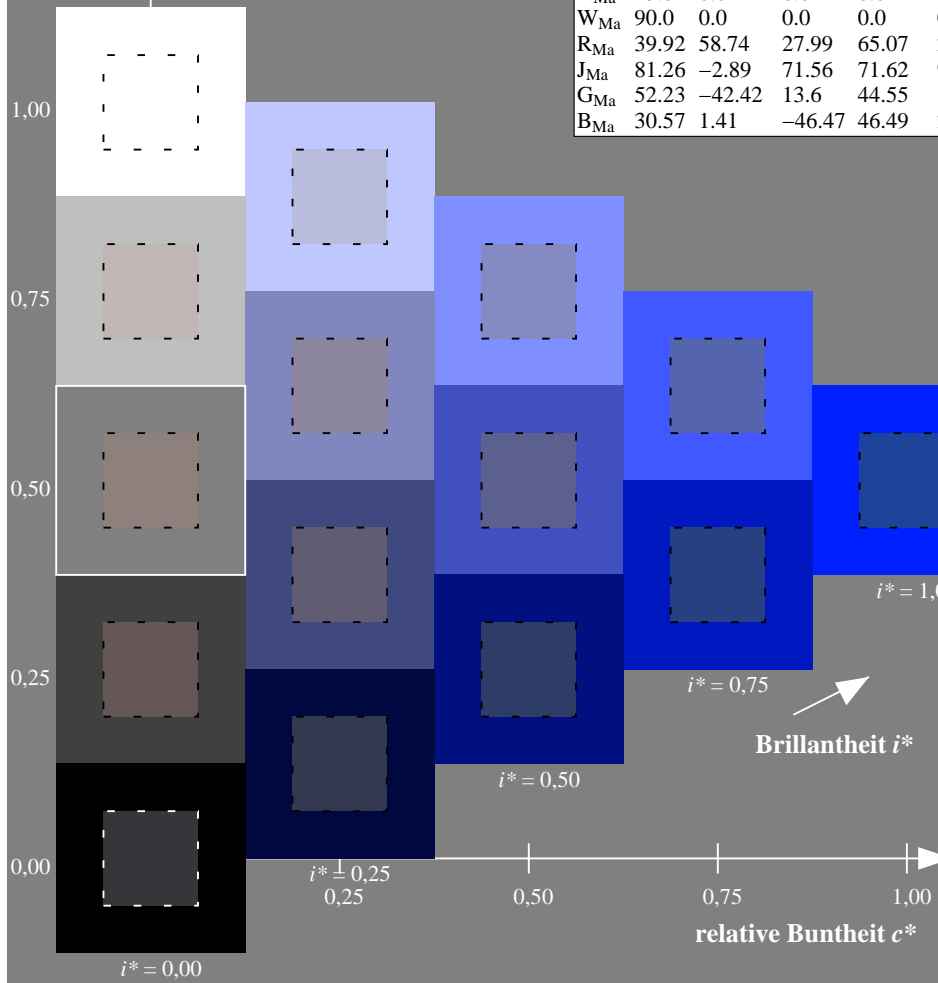
%Regularität

$g^*_{H,rel} = 31$

$g^*_{C,rel} = 40$

FRS15_90a; adaptierte CIELAB-Daten

u^*_e	$L^*=L^*_a$	a^*_a	b^*_a	$C^*_{ab,a}$	$h^*_{ab,a}$	u^*_d
r00j	39.18	56.94	27.13	63.07	25	m81o
r25j	42.41	49.1	44.5	66.26	42	o10y
r50j	52.78	35.22	58.37	68.17	59	o40y
r75j	64.82	19.12	74.47	76.89	76	o69y
j00g	82.06	-3.94	97.52	97.6	92	o98y
j25g	67.26	-26.87	74.67	79.36	110	y34l
j50g	55.83	-43.45	57.11	71.76	127	y69l
j75g	47.5	-54.18	38.3	66.35	145	l03c
g00b	50.07	-44.09	14.13	46.3	162	l23c
g25b	52.21	-35.66	-6.03	36.17	190	l55c
g50b	53.9	-29.04	-21.87	36.36	217	l87c
g75b	49.44	-15.51	-32.31	35.84	244	c20v
b00r	41.36	1.15	-37.95	37.97	272	c53v
b25r	28.74	27.19	-46.77	54.1	300	c87v
b50r	33.74	61.97	-37.81	72.59	329	v68m
b75r	40.08	64.26	-3.32	64.35	357	m33o



Ein und Ausgabe: Farbmatisches Drucker-Reflektiv-System FRS15_90a für relativen CIELAB-Bunton $h^* = lab^*h^* = h_{ab}^*/360 = 0.913$

$u^*_e = b50r$

Daten für jede Farbe:

lab^*tch^* und lab^*icu^*

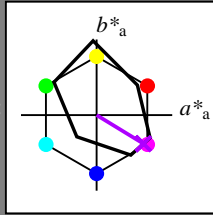
Buntontexte:

$u^*_e = b50r$ $u^*_d = v68m$

Kontrastreduzierungsfaktor:

$c_R = 0.9$

Dreiecks-Helligkeit t^*



FRS15_90a; adaptierte CIELAB-Daten						
u^*_e	$L^*=L^*_a$	a^*_a	b^*_a	$C^*_{ab,a}$	$h^*_{ab,a}$	
O_{Ma}	38.8	53.92	39.68	66.95	36	
Y_{Ma}	82.58	-4.64	98.22	98.33	93	
L_{Ma}	46.95	-56.34	43.46	71.15	142	
C_{Ma}	54.62	-26.2	-28.68	38.85	228	
V_{Ma}	20.01	45.2	-52.87	69.56	311	
M_{Ma}	40.88	70.68	-29.99	76.78	337	
N_{Ma}	15.0	0.0	0.0	0.0	0	
W_{Ma}	90.0	0.0	0.0	0.0	0	
R_{Ma}	39.92	58.74	27.99	65.07	25	
J_{Ma}	81.26	-2.89	71.56	71.62	92	
G_{Ma}	52.23	-42.42	13.6	44.55	162	
B_{Ma}	30.57	1.41	-46.47	46.49	272	

Daten für Maximalfarbe (M_a):

$LAB^*LAB^*_{Ma}$: 34 62 -38

$LAB^*LCH^*_{Ma}$: 34 73 328

$lab^*rgb^*_{Ma}$: 1.0 0.0 1.0

$lab^*olv^*_{Ma}$: 0.68 0.0 1.0

Dreiecks-Helligkeit t^*

%Umfang

$u^*_{rel} = 88$

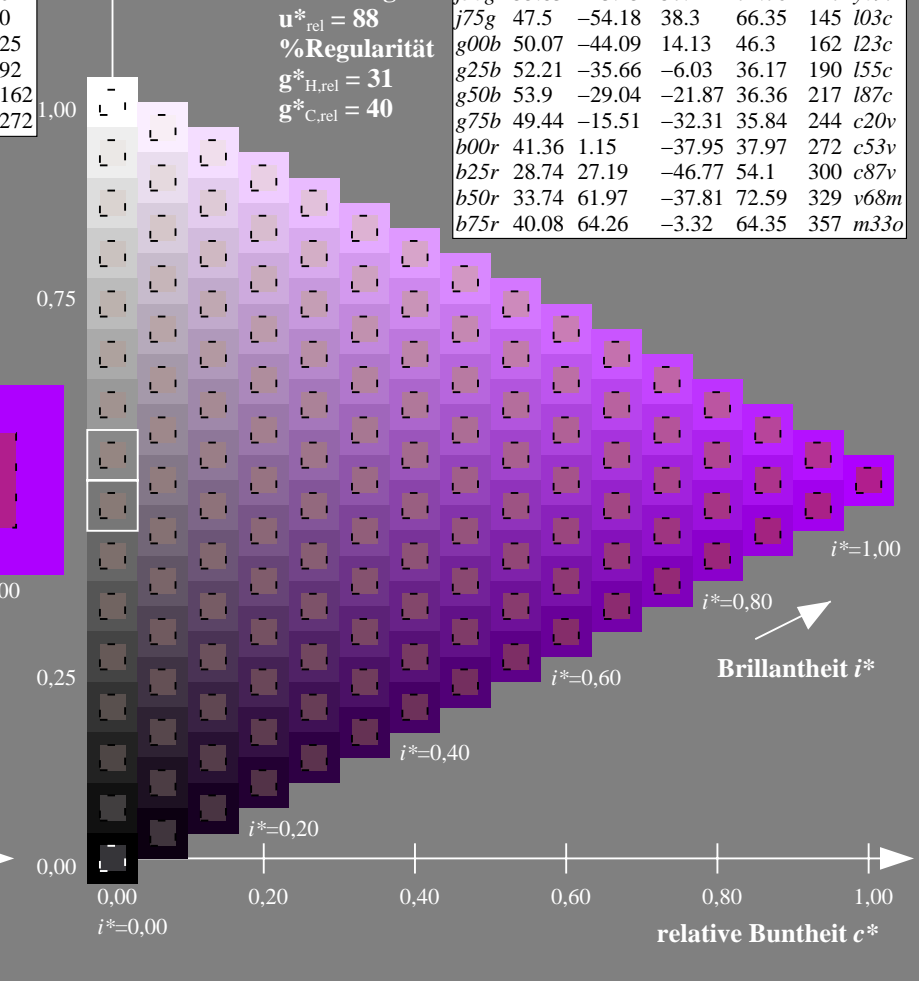
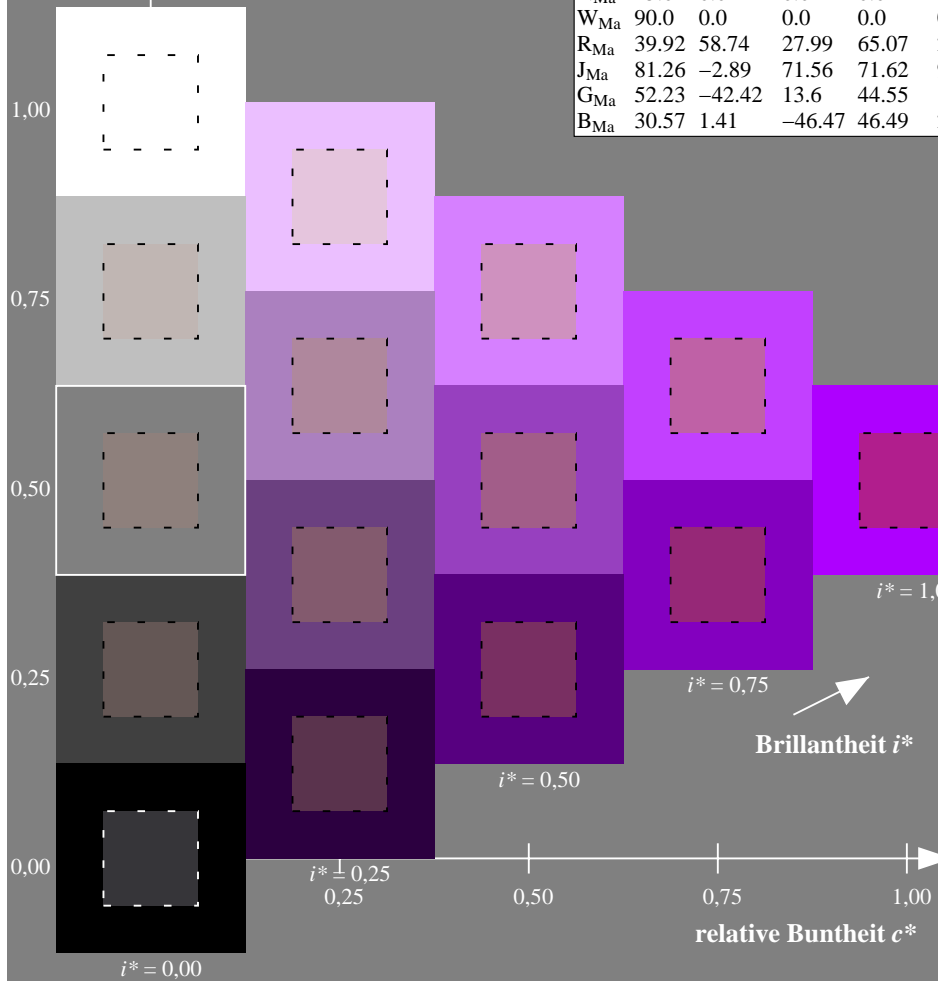
%Regularität

$g^*_{H,rel} = 31$

$g^*_{C,rel} = 40$

FRS15_90a; adaptierte CIELAB-Daten

u^*_e	$L^*=L^*_a$	a^*_a	b^*_a	$C^*_{ab,a}$	$h^*_{ab,a}$	u^*_d
$r00j$	39.18	56.94	27.13	63.07	25	$m81o$
$r25j$	42.41	49.1	44.5	66.26	42	$o10y$
$r50j$	52.78	35.22	58.37	68.17	59	$o40y$
$r75j$	64.82	19.12	74.47	76.89	76	$o69y$
$j00g$	82.06	-3.94	97.52	97.6	92	$o98y$
$j25g$	67.26	-26.87	74.67	79.36	110	$y34l$
$j50g$	55.83	-43.45	57.11	71.76	127	$y69l$
$j75g$	47.5	-54.18	38.3	66.35	145	$l03c$
$g00b$	50.07	-44.09	14.13	46.3	162	$l23c$
$g25b$	52.21	-35.66	-6.03	36.17	190	$l55c$
$g50b$	53.9	-29.04	-21.87	36.36	217	$l87c$
$g75b$	49.44	-15.51	-32.31	35.84	244	$c20v$
$b00r$	41.36	1.15	-37.95	37.97	272	$c53v$
$b25r$	28.74	27.19	-46.77	54.1	300	$c87v$
$b50r$	33.74	61.97	-37.81	72.59	329	$v68m$
$b75r$	40.08	64.26	-3.32	64.35	357	$m33o$



Ein und Ausgabe: Farbmatisches Drucker-Reflektiv-System FRS15_90a für relativen CIELAB-Bunton $h^* = lab^*h^* = h_{ab}/360 = 0.992$

$u^*_e = b75r$

Daten für jede Farbe:

lab^*tch^* und lab^*icu^*

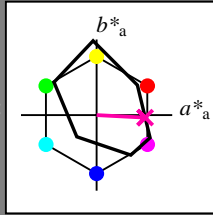
Buntontexte:

$u^*_e = b75r$ $u^*_d = m33o$

Kontrastreduzierungsfaktor:

$c_R = 0.9$

Dreiecks-Helligkeit t^*



FRS15_90a; adaptierte CIELAB-Daten						
u^*_e	$L^*=L^*_a$	a^*_a	b^*_a	$C^*_{ab,a}$	$h^*_{ab,a}$	
O _{Ma}	38.8	53.92	39.68	66.95	36	
Y _{Ma}	82.58	-4.64	98.22	98.33	93	
L _{Ma}	46.95	-56.34	43.46	71.15	142	
C _{Ma}	54.62	-26.2	-28.68	38.85	228	
V _{Ma}	20.01	45.2	-52.87	69.56	311	
M _{Ma}	40.88	70.68	-29.99	76.78	337	
N _{Ma}	15.0	0.0	0.0	0.0	0	
W _{Ma}	90.0	0.0	0.0	0.0	0	
R _{Ma}	39.92	58.74	27.99	65.07	25	
J _{Ma}	81.26	-2.89	71.56	71.62	92	
G _{Ma}	52.23	-42.42	13.6	44.55	162	
B _{Ma}	30.57	1.41	-46.47	46.49	272	

Daten für Maximalfarbe (Ma):

$LAB^*LAB^*_{Ma}: 40 \ 64 \ -3$

$LAB^*LCH^*_{Ma}: 40 \ 64 \ 357$

$lab^*rgb^*_{Ma}: 1.0 \ 0.0 \ 0.5$

$lab^*olv^*_{Ma}: 1.0 \ 0.0 \ 0.66$

Dreiecks-Helligkeit t^*

%Umfang

$u^*_{rel} = 88$

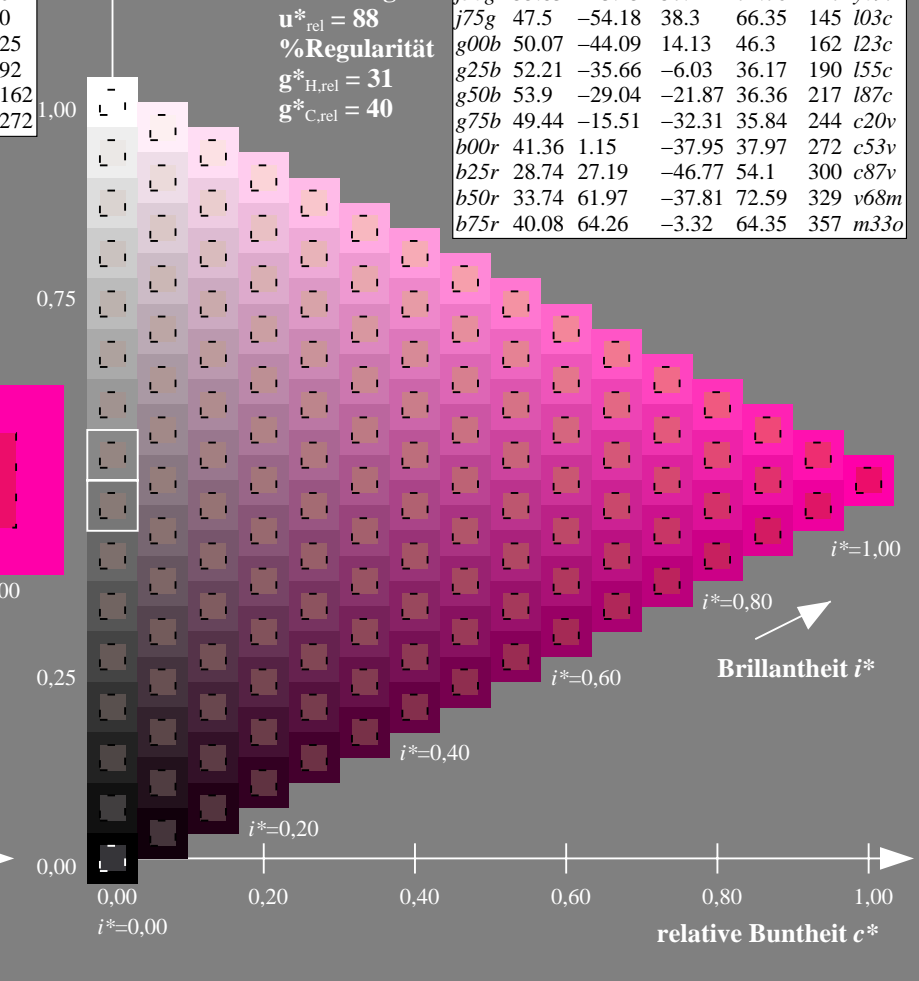
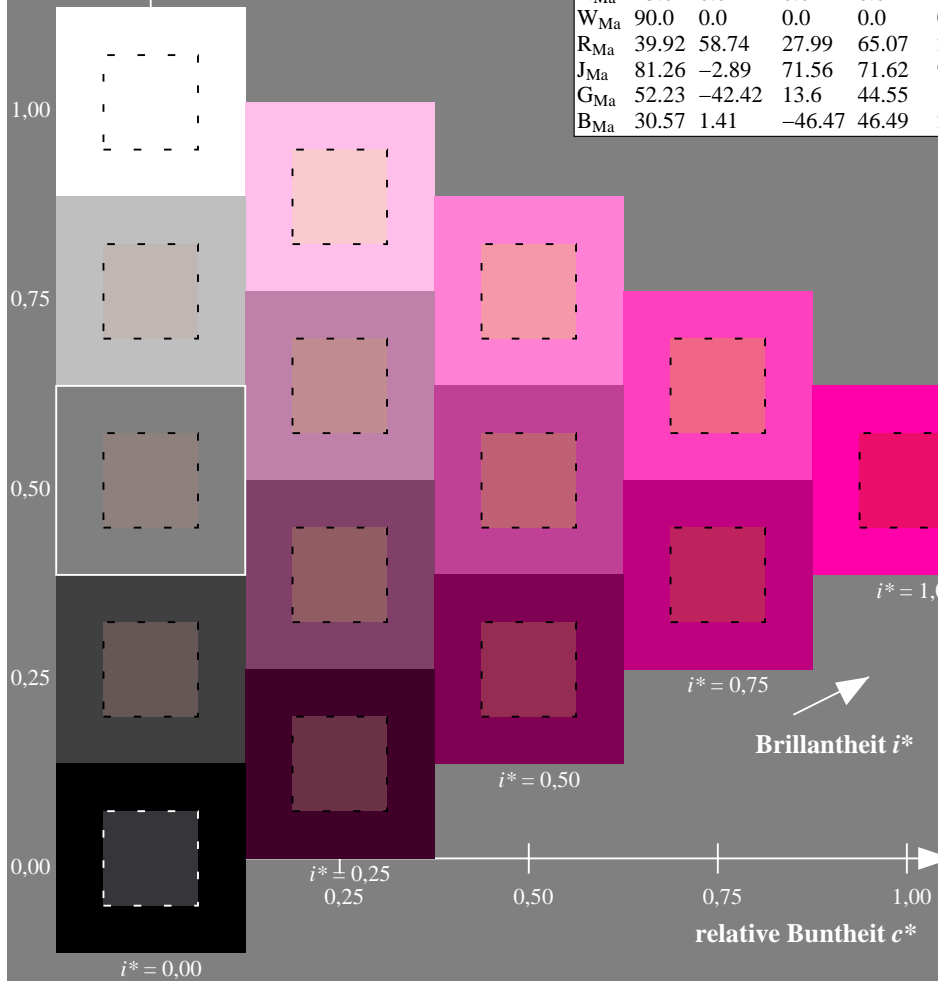
%Regularität

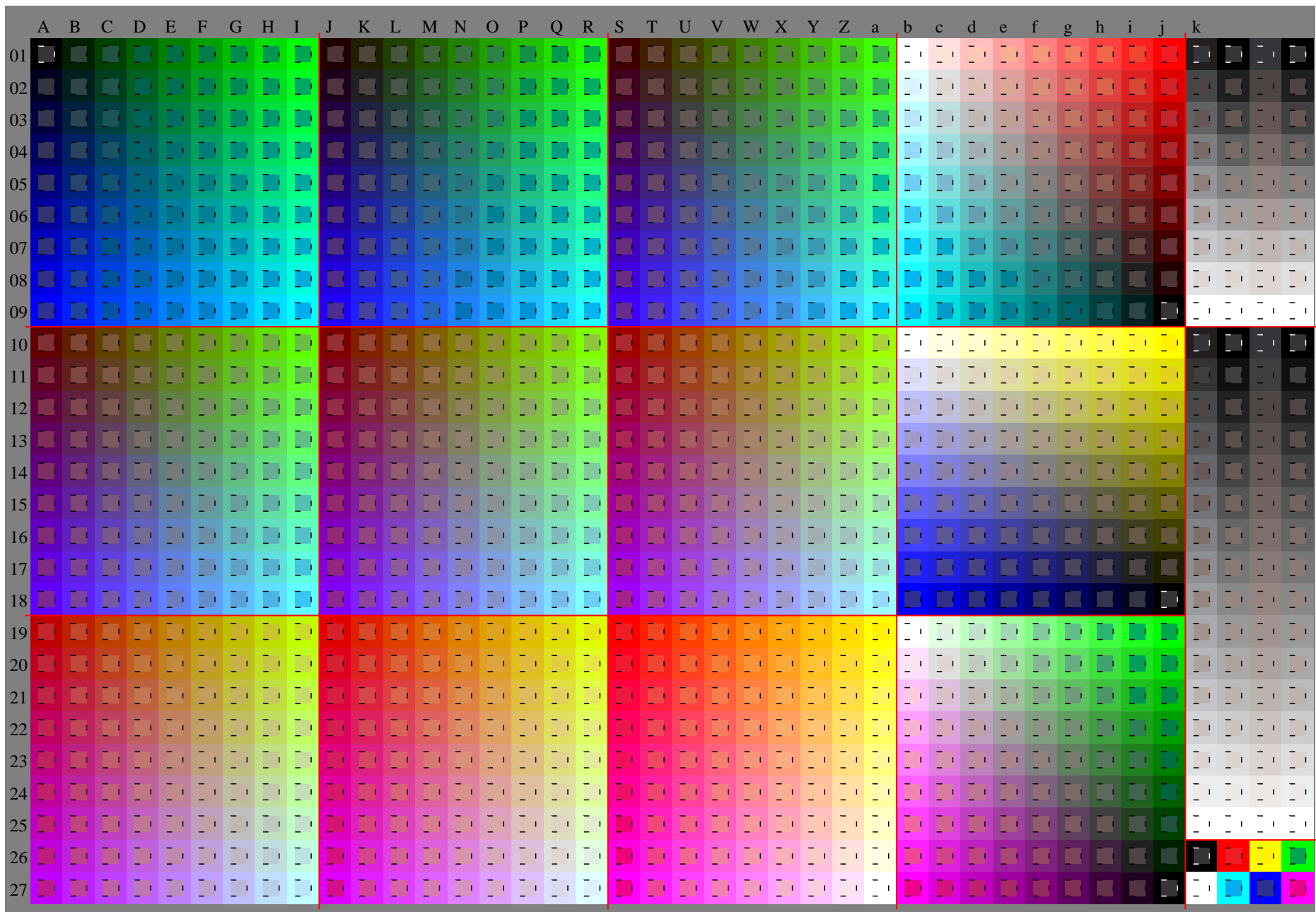
$g^*_{H,rel} = 31$

$g^*_{C,rel} = 40$

FRS15_90a; adaptierte CIELAB-Daten

u^*_e	$L^*=L^*_a$	a^*_a	b^*_a	$C^*_{ab,a}$	$h^*_{ab,a}$	u^*_d
r00j	39.18	56.94	27.13	63.07	25	m81o
r25j	42.41	49.1	44.5	66.26	42	o10y
r50j	52.78	35.22	58.37	68.17	59	o40y
r75j	64.82	19.12	74.47	76.89	76	o69y
j00g	82.06	-3.94	97.52	97.6	92	o98y
j25g	67.26	-26.87	74.67	79.36	110	y34l
j50g	55.83	-43.45	57.11	71.76	127	y69l
j75g	47.5	-54.18	38.3	66.35	145	l03c
g00b	50.07	-44.09	14.13	46.3	162	l23c
g25b	52.21	-35.66	-6.03	36.17	190	l55c
g50b	53.9	-29.04	-21.87	36.36	217	l87c
g75b	49.44	-15.51	-32.31	35.84	244	c20v
b00r	41.36	1.15	-37.95	37.97	272	c53v
b25r	28.74	27.19	-46.77	54.1	300	c87v
b50r	33.74	61.97	-37.81	72.59	329	v68m
b75r	40.08	64.26	-3.32	64.35	357	m33o





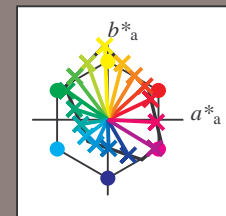
Ein und Ausgabe:
 Farbmimetrisches Drucker-Reflektiv-System FRS15_90a

Daten für jede Farbe:
 u^*_e und Nummer *Nr.* = 00 .. 15

Elementar-Bunttextext:
 $u^*_e = 16$ Bunttoene *r00j, r25j, ..., b75r*

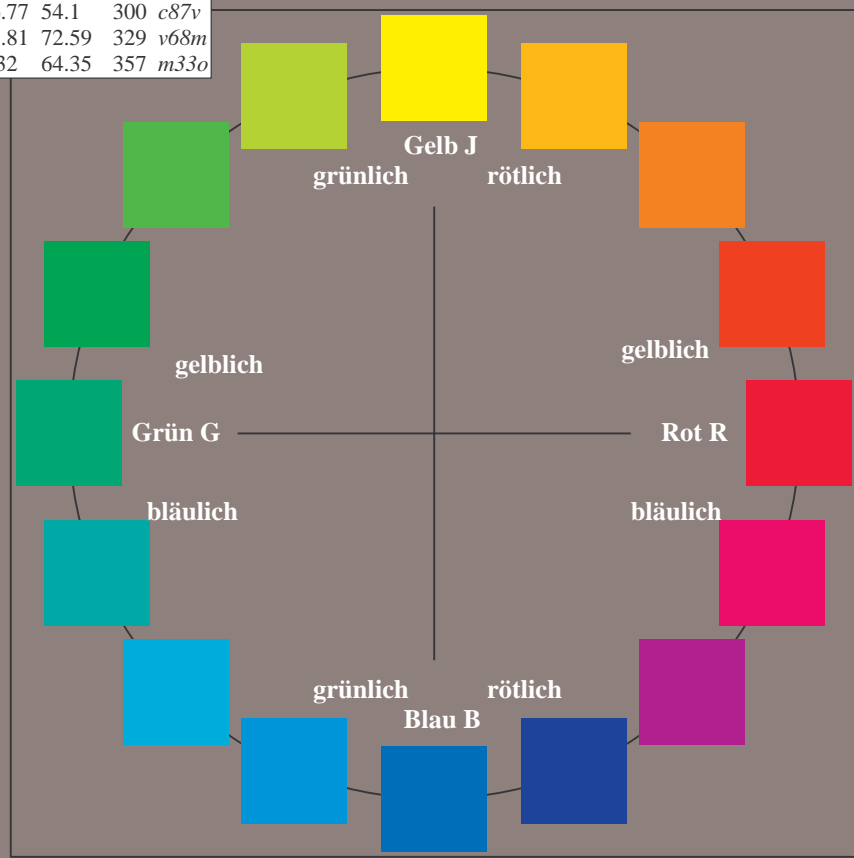
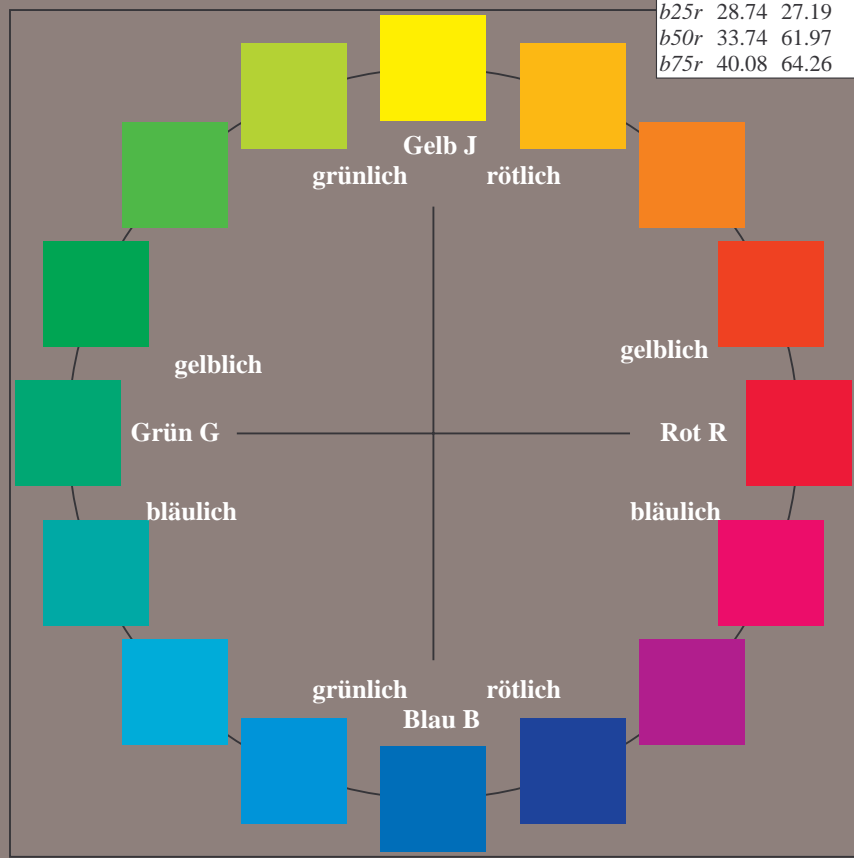
Kontrastreduzierungsfaktor:
 $c_R = 0.9$

FRS15_90a; adaptierte CIELAB-Daten						
u^*_e	$L^*=L^*_a$	a^*_a	b^*_a	$C^*_{ab,a}$	$h^*_{ab,a}$	u^*_d
<i>r00j</i>	39.18	56.94	27.13	63.07	25	<i>m81o</i>
<i>r25j</i>	42.41	49.1	44.5	66.26	42	<i>o10y</i>
<i>r50j</i>	52.78	35.22	58.37	68.17	59	<i>o40y</i>
<i>r75j</i>	64.82	19.12	74.47	76.89	76	<i>o69y</i>
<i>j00g</i>	82.06	-3.94	97.52	97.6	92	<i>o98y</i>
<i>j25g</i>	67.26	-26.87	74.67	79.36	110	<i>y34l</i>
<i>j50g</i>	55.83	-43.45	57.11	71.76	127	<i>y69l</i>
<i>j75g</i>	47.5	-54.18	38.3	66.35	145	<i>l03c</i>
<i>g00b</i>	50.07	-44.09	14.13	46.3	162	<i>l23c</i>
<i>g25b</i>	52.21	-35.66	-6.03	36.17	190	<i>l55c</i>
<i>g50b</i>	53.9	-29.04	-21.87	36.36	217	<i>l87c</i>
<i>g75b</i>	49.44	-15.51	-32.31	35.84	244	<i>c20v</i>
<i>b00r</i>	41.36	1.15	-37.95	37.97	272	<i>c53v</i>
<i>b25r</i>	28.74	27.19	-46.77	54.1	300	<i>c87v</i>
<i>b50r</i>	33.74	61.97	-37.81	72.59	329	<i>v68m</i>
<i>b75r</i>	40.08	64.26	-3.32	64.35	357	<i>m33o</i>



%Umfang
 $u^*_{rel} = 88$
 %Regularität
 $g^*_{H,rel} = 31$
 $g^*_{C,rel} = 40$

FRS15_90a; adaptierte CIELAB-Daten					
Name	$L^*=L^*_a$	a^*_a	b^*_a	$C^*_{ab,a}$	$h^*_{ab,a}$
O _{Ma}	38.8	53.92	39.68	66.95	36
Y _{Ma}	82.58	-4.64	98.22	98.33	93
L _{Ma}	46.95	-56.34	43.46	71.15	142
C _{Ma}	54.62	-26.2	-28.68	38.85	228
V _{Ma}	20.01	45.2	-52.87	69.56	311
M _{Ma}	40.88	70.68	-29.99	76.78	337
N _{Ma}	15.0	0.0	0.0	0.0	0
W _{Ma}	90.0	0.0	0.0	0.0	0
R _{CIE}	39.92	58.74	27.99	65.07	25
J _{CIE}	81.26	-2.89	71.56	71.62	92
G _{CIE}	52.23	-42.42	13.6	44.55	162
B _{CIE}	30.57	1.41	-46.47	46.49	272



Ein und Ausgabe: Farbmatisches Drucker-Reflektiv-System FRS15_90a für relativen CIELAB-Bunton $h^* = lab^*h^* = h_{ab}/360 = 0.071$

$u^*_e = r00j$

Daten für jede Farbe:

lab^*tch^* und lab^*icu^*

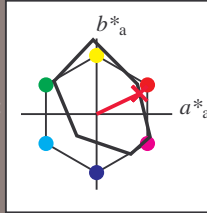
Buntontexte:

$u^*_e = r00j$ $u^*_d = m81o$

Kontrastreduzierungsfaktor:

$c_R = 0.9$

Dreiecks-Helligkeit t^*



FRS15_90a; adaptierte CIELAB-Daten						
u^*_e	$L^*=L^*_a$	a^*_a	b^*_a	$C^*_{ab,a}$	$h^*_{ab,a}$	
O _{Ma}	38.8	53.92	39.68	66.95	36	
Y _{Ma}	82.58	-4.64	98.22	98.33	93	
L _{Ma}	46.95	-56.34	43.46	71.15	142	
C _{Ma}	54.62	-26.2	-28.68	38.85	228	
V _{Ma}	20.01	45.2	-52.87	69.56	311	
M _{Ma}	40.88	70.68	-29.99	76.78	337	
N _{Ma}	15.0	0.0	0.0	0.0	0	
W _{Ma}	90.0	0.0	0.0	0.0	0	
R _{Ma}	39.92	58.74	27.99	65.07	25	
J _{Ma}	81.26	-2.89	71.56	71.62	92	
G _{Ma}	52.23	-42.42	13.6	44.55	162	
B _{Ma}	30.57	1.41	-46.47	46.49	272	

Daten für Maximalfarbe (Ma):

$LAB^*LAB^*_{Ma}$: 39 57 27

$LAB^*LCH^*_{Ma}$: 39 63 25

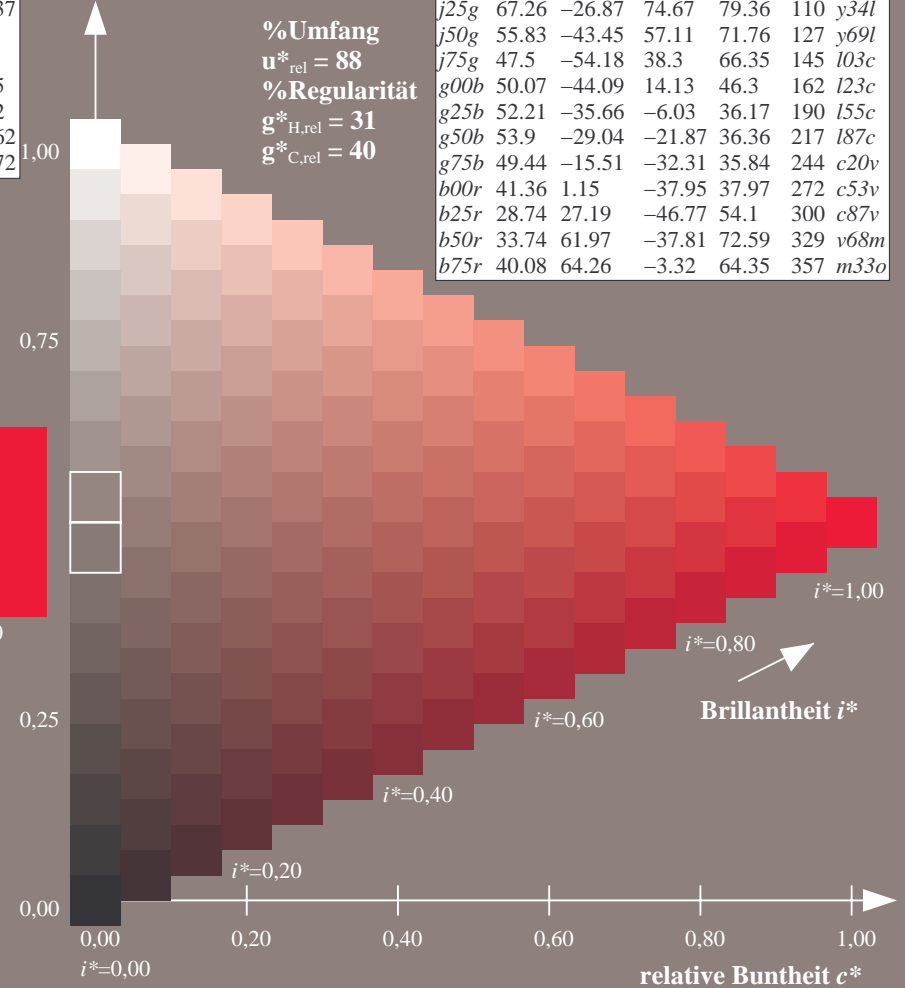
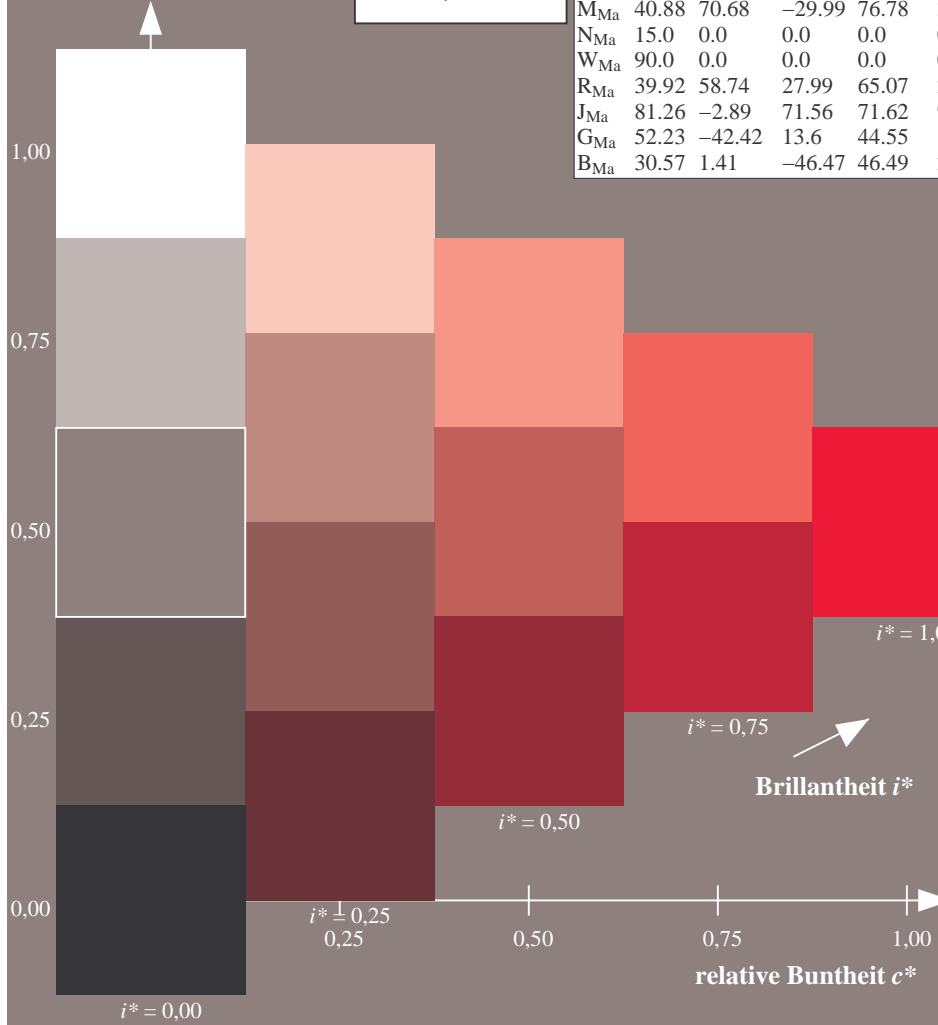
$lab^*rgb^*_{Ma}$: 1.0 0.0 0.0

$lab^*olv^*_{Ma}$: 1.0 0.0 0.18

Dreiecks-Helligkeit t^*

FRS15_90a; adaptierte CIELAB-Daten

u^*_e	$L^*=L^*_a$	a^*_a	b^*_a	$C^*_{ab,a}$	$h^*_{ab,a}$	u^*_d
r00j	39.18	56.94	27.13	63.07	25	m81o
r25j	42.41	49.1	44.5	66.26	42	o10y
r50j	52.78	35.22	58.37	68.17	59	o40y
r75j	64.82	19.12	74.47	76.89	76	o69y
j00g	82.06	-3.94	97.52	97.6	92	o98y
j25g	67.26	-26.87	74.67	79.36	110	y34l
j50g	55.83	-43.45	57.11	71.76	127	y69l
j75g	47.5	-54.18	38.3	66.35	145	l03c
g00b	50.07	-44.09	14.13	46.3	162	l23c
g25b	52.21	-35.66	-6.03	36.17	190	l55c
g50b	53.9	-29.04	-21.87	36.36	217	l87c
g75b	49.44	-15.51	-32.31	35.84	244	c20v
b00r	41.36	1.15	-37.95	37.97	272	c53v
b25r	28.74	27.19	-46.77	54.1	300	c87v
b50r	33.74	61.97	-37.81	72.59	329	v68m
b75r	40.08	64.26	-3.32	64.35	357	m33o



Daten für jede Farbe:

lab^*tch^* und lab^*icu^*

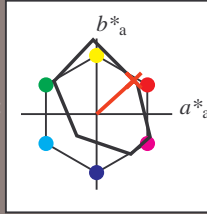
Buntontexte:

$u^*_e = r25j$ $u^*_d = o10y$

Kontrastreduzierungsfaktor:

$c_R = 0.9$

Dreiecks-Helligkeit t^*



FRS15_90a; adaptierte CIELAB-Daten						
u^*_e	$L^*=L^*_a$	a^*_a	b^*_a	$C^*_{ab,a}$	$h^*_{ab,a}$	
O _{Ma}	38.8	53.92	39.68	66.95	36	
Y _{Ma}	82.58	-4.64	98.22	98.33	93	
L _{Ma}	46.95	-56.34	43.46	71.15	142	
C _{Ma}	54.62	-26.2	-28.68	38.85	228	
V _{Ma}	20.01	45.2	-52.87	69.56	311	
M _{Ma}	40.88	70.68	-29.99	76.78	337	
N _{Ma}	15.0	0.0	0.0	0.0	0	
W _{Ma}	90.0	0.0	0.0	0.0	0	
R _{Ma}	39.92	58.74	27.99	65.07	25	
J _{Ma}	81.26	-2.89	71.56	71.62	92	
G _{Ma}	52.23	-42.42	13.6	44.55	162	
B _{Ma}	30.57	1.41	-46.47	46.49	272	

Daten für Maximalfarbe (Ma):

$LAB^*LAB^*_{Ma}$: 42 49 44

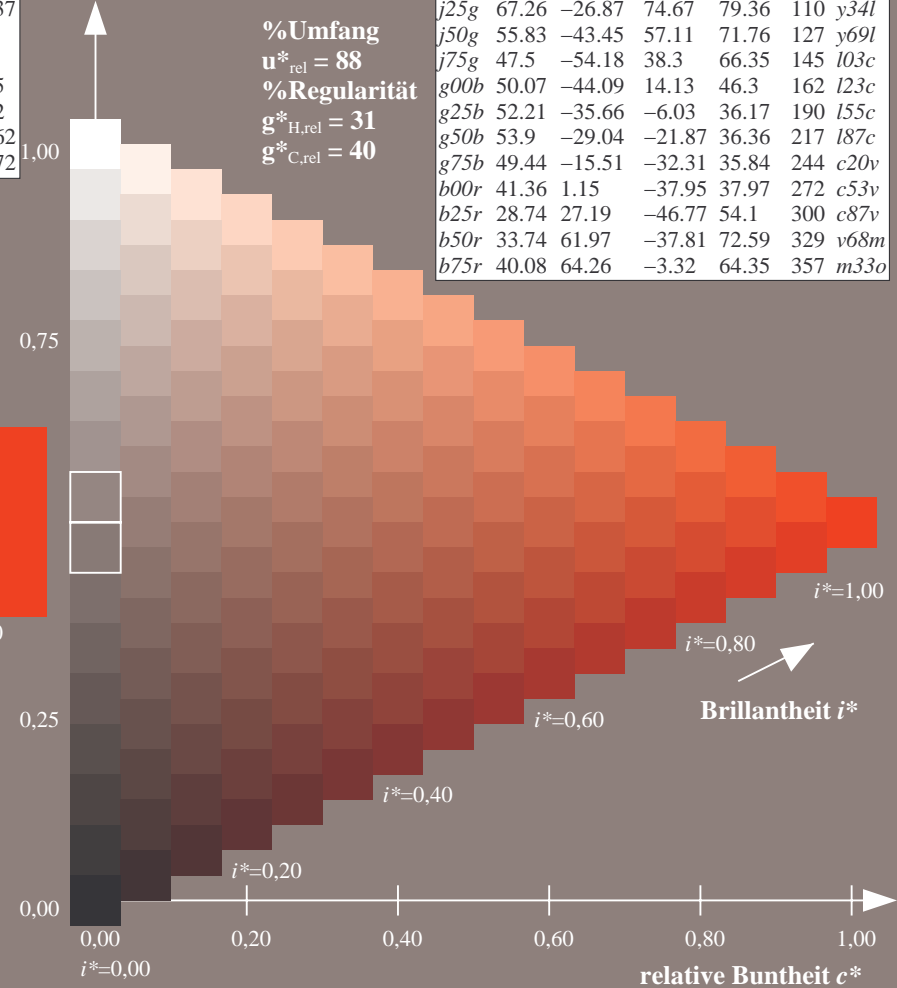
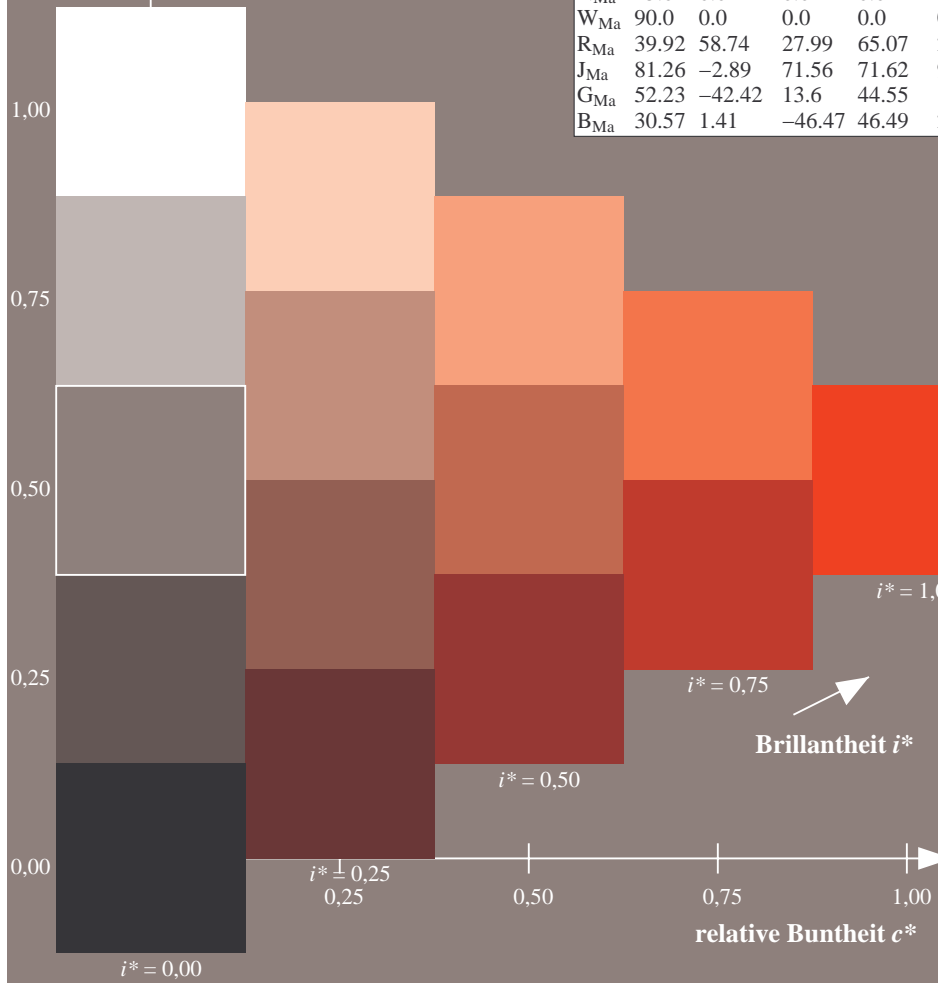
$LAB^*LCH^*_{Ma}$: 42 66 42

$lab^*rgb^*_{Ma}$: 1.0 0.25 0.0

$lab^*olv^*_{Ma}$: 1.0 0.1 0.0

Dreiecks-Helligkeit t^*

FRS15_90a; adaptierte CIELAB-Daten							
u^*_e	$L^*=L^*_a$	a^*_a	b^*_a	$C^*_{ab,a}$	$h^*_{ab,a}$	u^*_d	
r00j	39.18	56.94	27.13	63.07	25	m81o	
r25j	42.41	49.1	44.5	66.26	42	o10y	
r50j	52.78	35.22	58.37	68.17	59	o40y	
r75j	64.82	19.12	74.47	76.89	76	o69y	
j00g	82.06	-3.94	97.52	97.6	92	o98y	
j25g	67.26	-26.87	74.67	79.36	110	y34l	
j50g	55.83	-43.45	57.11	71.76	127	y69l	
j75g	47.5	-54.18	38.3	66.35	145	l03c	
g00b	50.07	-44.09	14.13	46.3	162	l23c	
g25b	52.21	-35.66	-6.03	36.17	190	l55c	
g50b	53.9	-29.04	-21.87	36.36	217	l87c	
g75b	49.44	-15.51	-32.31	35.84	244	c20v	
b00r	41.36	1.15	-37.95	37.97	272	c53v	
b25r	28.74	27.19	-46.77	54.1	300	c87v	
b50r	33.74	61.97	-37.81	72.59	329	v68m	
b75r	40.08	64.26	-3.32	64.35	357	m33o	



%Umfang
 $u^*_{rel} = 88$
 %Regularität
 $g^*_{H,rel} = 31$
 $g^*_{C,rel} = 40$

Ein und Ausgabe: Farbmetrisches Drucker-Reflektiv-System FRS15_90a für relativen CIELAB-Bunton $h^* = lab^*h^* = h_{ab}/360 = 0.164$

$u^*_e = r50j$

Daten für jede Farbe:

lab^*tch^* und lab^*icu^*

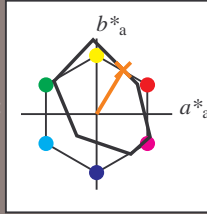
Buntontexte:

$u^*_e = r50j$ $u^*_d = o40y$

Kontrastreduzierungsfaktor:

$c_R = 0.9$

Dreiecks-Helligkeit t^*



FRS15_90a; adaptierte CIELAB-Daten						
u^*_e	$L^*=L^*_a$	a^*_a	b^*_a	$C^*_{ab,a}$	$h^*_{ab,a}$	
O _{Ma}	38.8	53.92	39.68	66.95	36	
Y _{Ma}	82.58	-4.64	98.22	98.33	93	
L _{Ma}	46.95	-56.34	43.46	71.15	142	
C _{Ma}	54.62	-26.2	-28.68	38.85	228	
V _{Ma}	20.01	45.2	-52.87	69.56	311	
M _{Ma}	40.88	70.68	-29.99	76.78	337	
N _{Ma}	15.0	0.0	0.0	0.0	0	
W _{Ma}	90.0	0.0	0.0	0.0	0	
R _{Ma}	39.92	58.74	27.99	65.07	25	
J _{Ma}	81.26	-2.89	71.56	71.62	92	
G _{Ma}	52.23	-42.42	13.6	44.55	162	
B _{Ma}	30.57	1.41	-46.47	46.49	272	

Daten für Maximalfarbe (Ma):

$LAB^*LAB^*_{Ma}: 53\ 35\ 58$

$LAB^*LCH^*_{Ma}: 53\ 68\ 58$

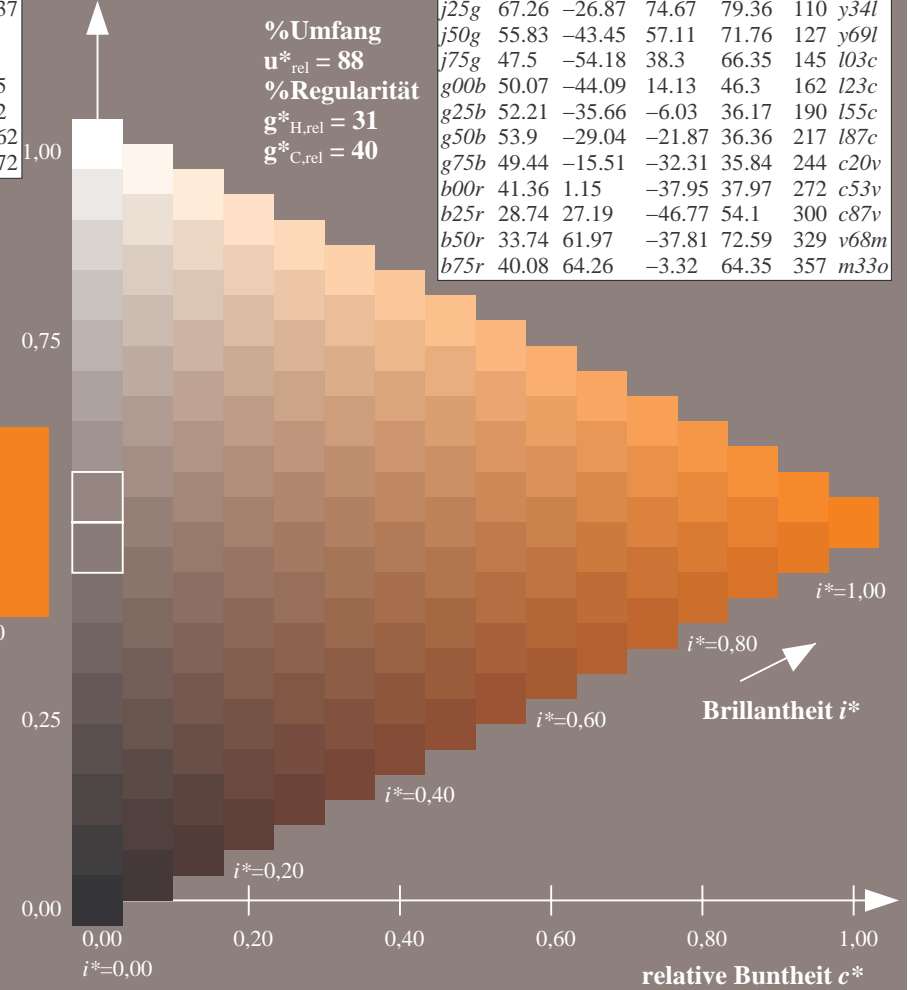
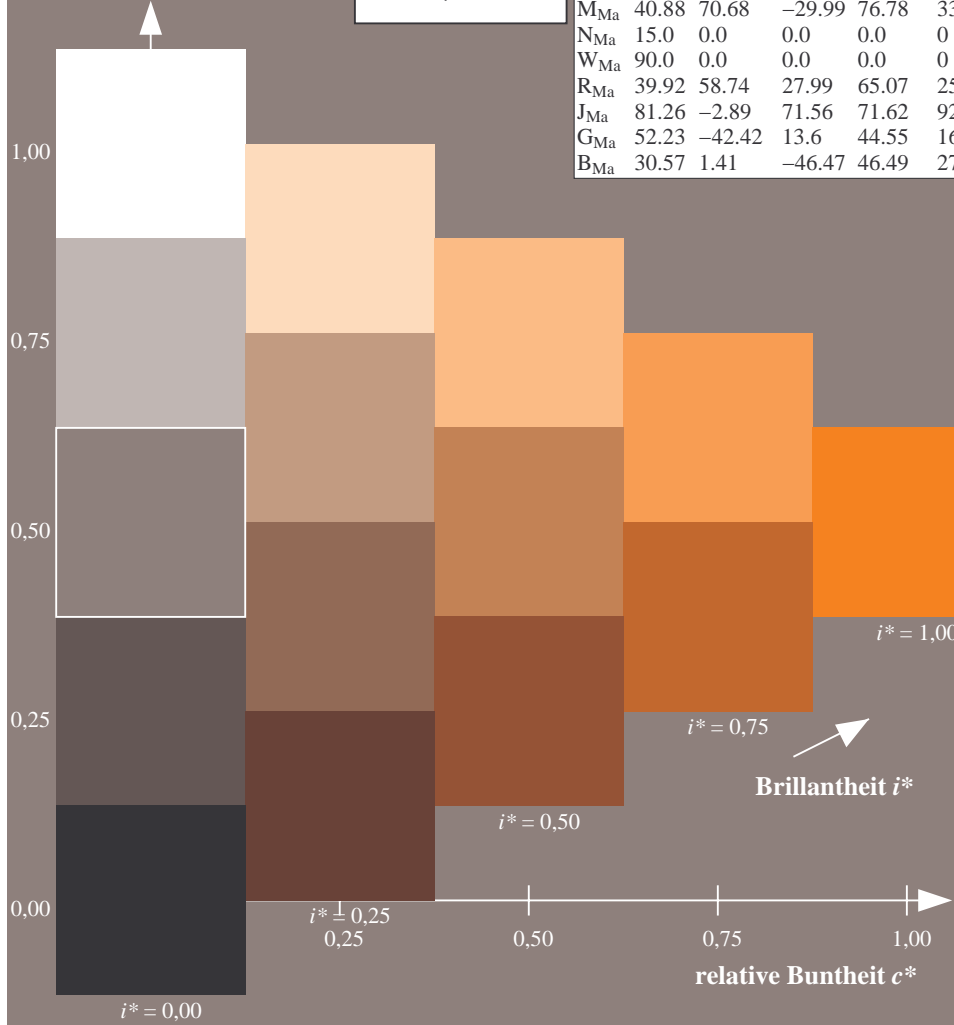
$lab^*rgb^*_{Ma}: 1.0\ 0.5\ 0.0$

$lab^*olv^*_{Ma}: 1.0\ 0.4\ 0.0$

Dreiecks-Helligkeit t^*

FRS15_90a; adaptierte CIELAB-Daten

u^*_e	$L^*=L^*_a$	a^*_a	b^*_a	$C^*_{ab,a}$	$h^*_{ab,a}$	u^*_d
r00j	39.18	56.94	27.13	63.07	25	m81o
r25j	42.41	49.1	44.5	66.26	42	o10y
r50j	52.78	35.22	58.37	68.17	59	o40y
r75j	64.82	19.12	74.47	76.89	76	o69y
j00g	82.06	-3.94	97.52	97.6	92	o98y
j25g	67.26	-26.87	74.67	79.36	110	y34l
j50g	55.83	-43.45	57.11	71.76	127	y69l
j75g	47.5	-54.18	38.3	66.35	145	l03c
g00b	50.07	-44.09	14.13	46.3	162	l23c
g25b	52.21	-35.66	-6.03	36.17	190	l55c
g50b	53.9	-29.04	-21.87	36.36	217	l87c
g75b	49.44	-15.51	-32.31	35.84	244	c20v
b00r	41.36	1.15	-37.95	37.97	272	c53v
b25r	28.74	27.19	-46.77	54.1	300	c87v
b50r	33.74	61.97	-37.81	72.59	329	v68m
b75r	40.08	64.26	-3.32	64.35	357	m33o



Ein und Ausgabe: Farbmetrisches Drucker-Reflektiv-System FRS15_90a für relativen CIELAB-Bunton $h^* = lab^*h^* = h_{ab}/360 = 0.21$

$u^*_e = r75j$

Daten für jede Farbe:

lab^*tch^* und lab^*icu^*

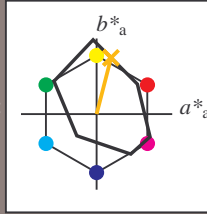
Buntontexte:

$u^*_e = r75j$ $u^*_d = o69y$

Kontrastreduzierungsfaktor:

$c_R = 0.9$

Dreiecks-Helligkeit t^*



FRS15_90a; adaptierte CIELAB-Daten						
u^*_e	$L^*=L^*_a$	a^*_a	b^*_a	$C^*_{ab,a}$	$h^*_{ab,a}$	
O_{Ma}	38.8	53.92	39.68	66.95	36	
Y_{Ma}	82.58	-4.64	98.22	98.33	93	
L_{Ma}	46.95	-56.34	43.46	71.15	142	
C_{Ma}	54.62	-26.2	-28.68	38.85	228	
V_{Ma}	20.01	45.2	-52.87	69.56	311	
M_{Ma}	40.88	70.68	-29.99	76.78	337	
N_{Ma}	15.0	0.0	0.0	0.0	0	
W_{Ma}	90.0	0.0	0.0	0.0	0	
R_{Ma}	39.92	58.74	27.99	65.07	25	
J_{Ma}	81.26	-2.89	71.56	71.62	92	
G_{Ma}	52.23	-42.42	13.6	44.55	162	
B_{Ma}	30.57	1.41	-46.47	46.49	272	

Daten für Maximalfarbe (Ma):

$LAB^*LAB^*_{Ma}$: 65 19 74

$LAB^*LCH^*_{Ma}$: 65 77 75

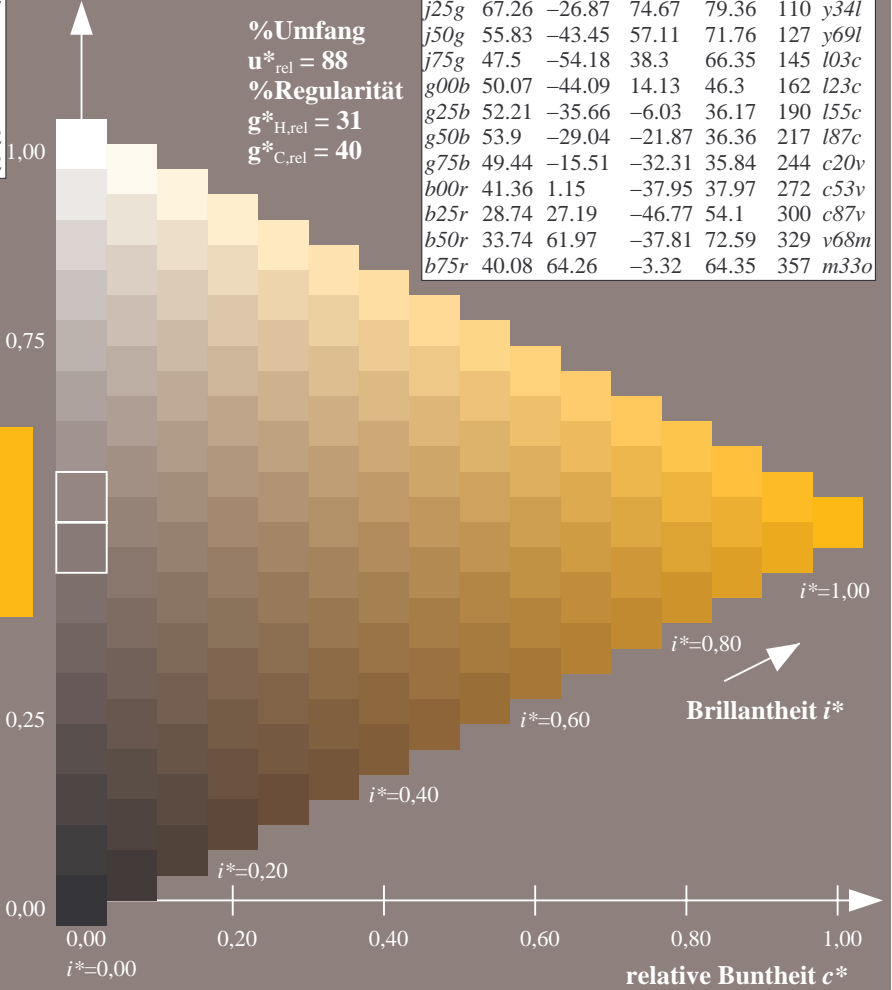
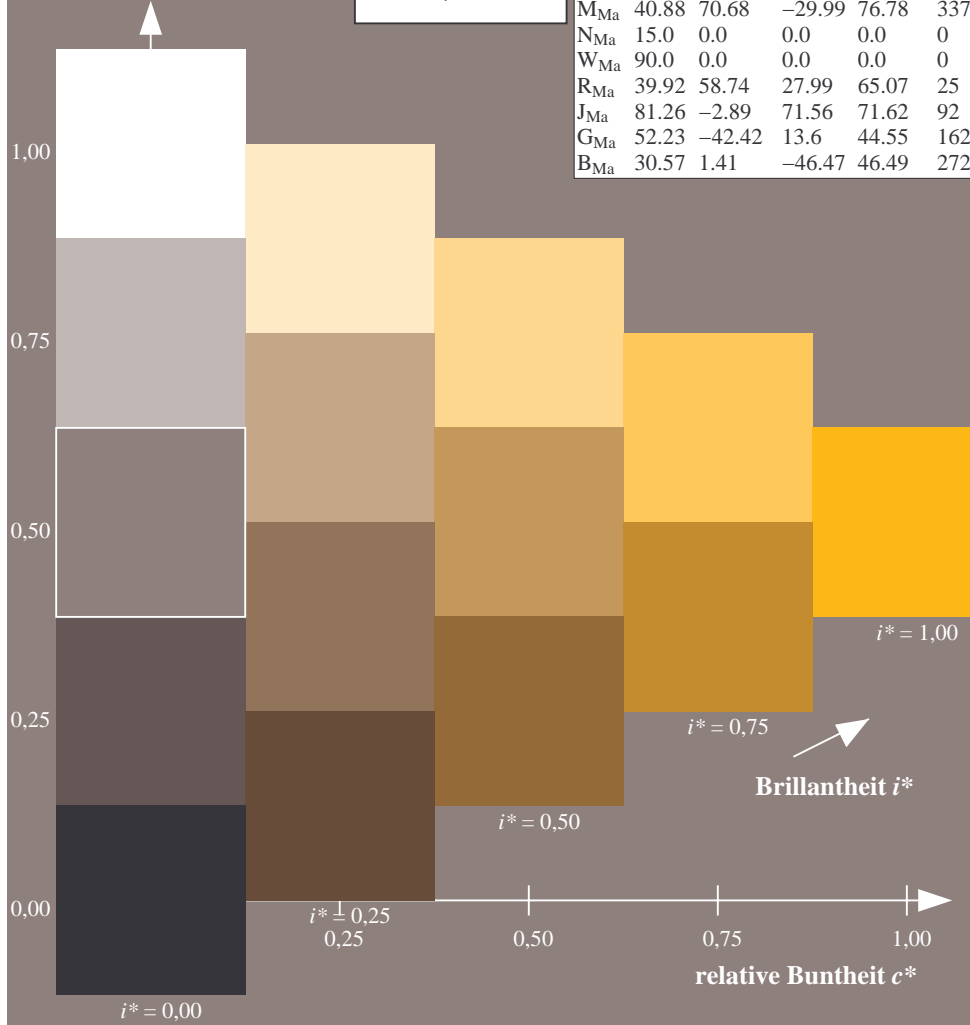
$lab^*rgb^*_{Ma}$: 1.0 0.75 0.0

$lab^*olv^*_{Ma}$: 1.0 0.7 0.0

Dreiecks-Helligkeit t^*

FRS15_90a; adaptierte CIELAB-Daten

u^*_e	$L^*=L^*_a$	a^*_a	b^*_a	$C^*_{ab,a}$	$h^*_{ab,a}$	u^*_d
$r00j$	39.18	56.94	27.13	63.07	25	$m81o$
$r25j$	42.41	49.1	44.5	66.26	42	$o10y$
$r50j$	52.78	35.22	58.37	68.17	59	$o40y$
$r75j$	64.82	19.12	74.47	76.89	76	$o69y$
$j00g$	82.06	-3.94	97.52	97.6	92	$o98y$
$j25g$	67.26	-26.87	74.67	79.36	110	$y34l$
$j50g$	55.83	-43.45	57.11	71.76	127	$y69l$
$j75g$	47.5	-54.18	38.3	66.35	145	$l03c$
$g00b$	50.07	-44.09	14.13	46.3	162	$l23c$
$g25b$	52.21	-35.66	-6.03	36.17	190	$l55c$
$g50b$	53.9	-29.04	-21.87	36.36	217	$l87c$
$g75b$	49.44	-15.51	-32.31	35.84	244	$c20v$
$b00r$	41.36	1.15	-37.95	37.97	272	$c53v$
$b25r$	28.74	27.19	-46.77	54.1	300	$c87v$
$b50r$	33.74	61.97	-37.81	72.59	329	$v68m$
$b75r$	40.08	64.26	-3.32	64.35	357	$m33o$



%Umfang
 $u^*_{rel} = 88$
 %Regularität
 $g^*_{H,rel} = 31$
 $g^*_{C,rel} = 40$

Ein und Ausgabe: Farbmatisches Drucker-Reflektiv-System FRS15_90a für relativen CIELAB-Bunton $h^* = lab^*h^* = h_{ab}/360 = 0.256$

$u^*_e = j00g$

Daten für jede Farbe:

lab^*tch^* und lab^*icu^*

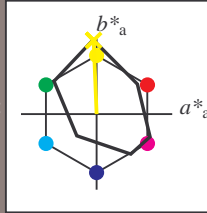
Buntontexte:

$u^*_e = j00g$ $u^*_d = o98y$

Kontrastreduzierungsfaktor:

$c_R = 0.9$

Dreiecks-Helligkeit t^*



FRS15_90a; adaptierte CIELAB-Daten						
u^*_e	$L^*=L^*_a$	a^*_a	b^*_a	$C^*_{ab,a}$	$h^*_{ab,a}$	
O _{Ma}	38.8	53.92	39.68	66.95	36	
Y _{Ma}	82.58	-4.64	98.22	98.33	93	
L _{Ma}	46.95	-56.34	43.46	71.15	142	
C _{Ma}	54.62	-26.2	-28.68	38.85	228	
V _{Ma}	20.01	45.2	-52.87	69.56	311	
M _{Ma}	40.88	70.68	-29.99	76.78	337	
N _{Ma}	15.0	0.0	0.0	0.0	0	
W _{Ma}	90.0	0.0	0.0	0.0	0	
R _{Ma}	39.92	58.74	27.99	65.07	25	
J _{Ma}	81.26	-2.89	71.56	71.62	92	
G _{Ma}	52.23	-42.42	13.6	44.55	162	
B _{Ma}	30.57	1.41	-46.47	46.49	272	

Daten für Maximalfarbe (Ma):

$LAB^*LAB^*_{Ma}: 82 -4 98$

$LAB^*LCH^*_{Ma}: 82 98 92$

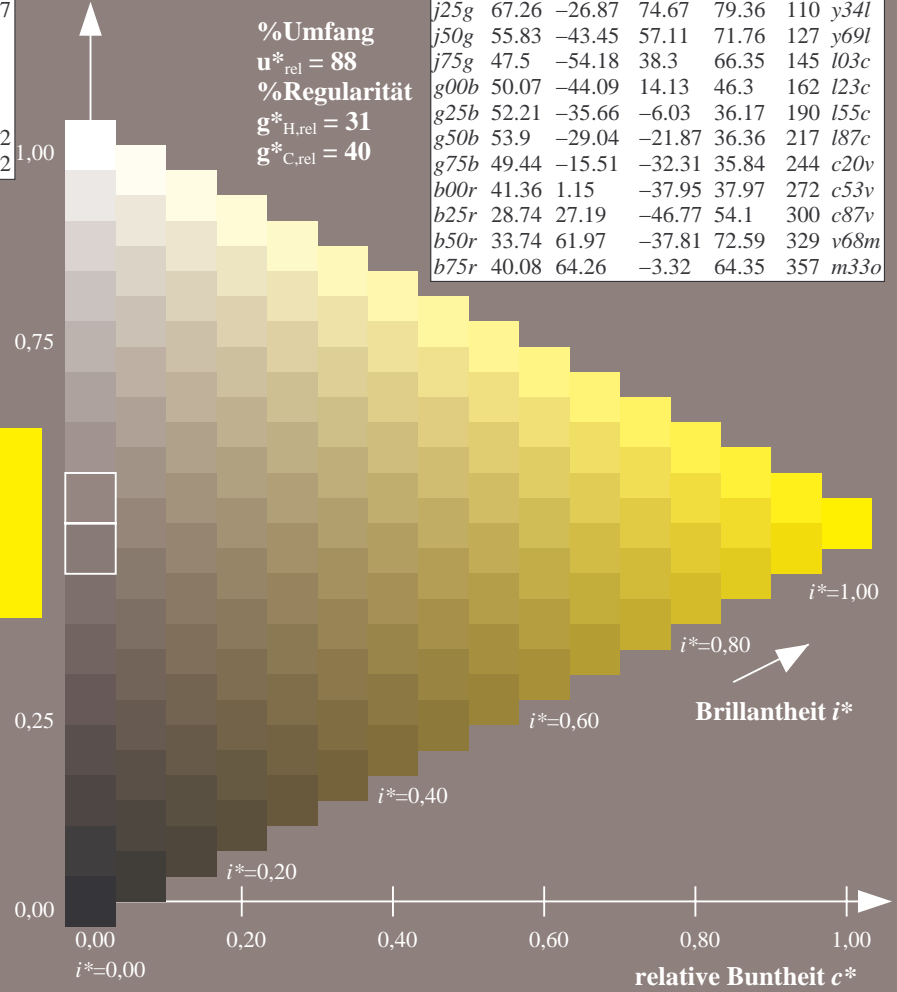
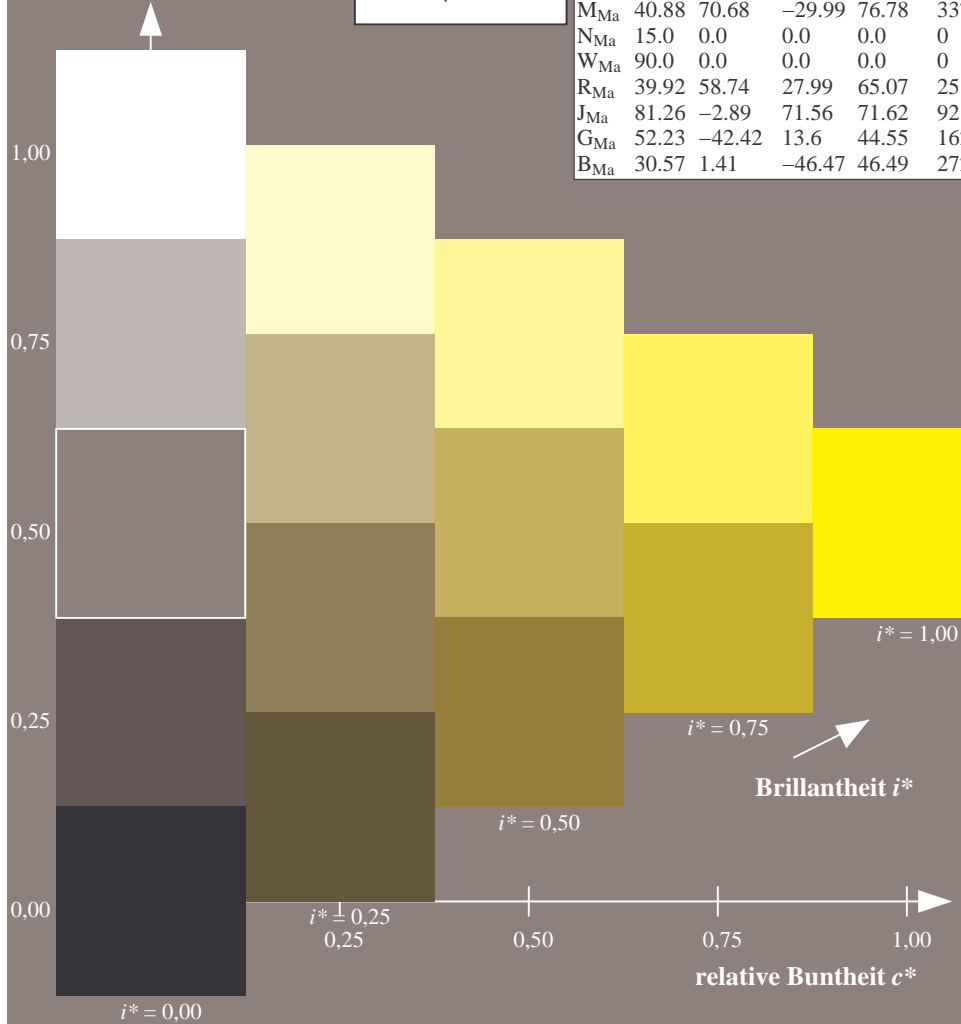
$lab^*rgb^*_{Ma}: 1.0 1.0 0.0$

$lab^*olv^*_{Ma}: 1.0 0.99 0.0$

Dreiecks-Helligkeit t^*

FRS15_90a; adaptierte CIELAB-Daten

u^*_e	$L^*=L^*_a$	a^*_a	b^*_a	$C^*_{ab,a}$	$h^*_{ab,a}$	u^*_d
r00j	39.18	56.94	27.13	63.07	25	m81o
r25j	42.41	49.1	44.5	66.26	42	o10y
r50j	52.78	35.22	58.37	68.17	59	o40y
r75j	64.82	19.12	74.47	76.89	76	o69y
j00g	82.06	-3.94	97.52	97.6	92	o98y
j25g	67.26	-26.87	74.67	79.36	110	y34l
j50g	55.83	-43.45	57.11	71.76	127	y69l
j75g	47.5	-54.18	38.3	66.35	145	l03c
g00b	50.07	-44.09	14.13	46.3	162	l23c
g25b	52.21	-35.66	-6.03	36.17	190	l55c
g50b	53.9	-29.04	-21.87	36.36	217	l87c
g75b	49.44	-15.51	-32.31	35.84	244	c20v
b00r	41.36	1.15	-37.95	37.97	272	c53v
b25r	28.74	27.19	-46.77	54.1	300	c87v
b50r	33.74	61.97	-37.81	72.59	329	v68m
b75r	40.08	64.26	-3.32	64.35	357	m33o



Ein und Ausgabe: Farbmatisches Drucker-Reflektiv-System FRS15_90a für relativen CIELAB-Bunton $h^* = lab^*h^* = h_{ab}/360 = 0.305$

$u^*_e = j25g$

Daten für jede Farbe:

lab^*tch^* und lab^*icu^*

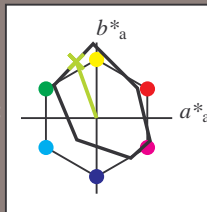
Buntontexte:

$u^*_e = j25g$ $u^*_d = y34l$

Kontrastreduzierungsfaktor:

$c_R = 0.9$

Dreiecks-Helligkeit t^*



FRS15_90a; adaptierte CIELAB-Daten

u^*_e	$L^*=L^*_a$	a^*_a	b^*_a	$C^*_{ab,a}$	$h^*_{ab,a}$
O _{Ma}	38.8	53.92	39.68	66.95	36
Y _{Ma}	82.58	-4.64	98.22	98.33	93
L _{Ma}	46.95	-56.34	43.46	71.15	142
C _{Ma}	54.62	-26.2	-28.68	38.85	228
V _{Ma}	20.01	45.2	-52.87	69.56	311
M _{Ma}	40.88	70.68	-29.99	76.78	337
N _{Ma}	15.0	0.0	0.0	0.0	0
W _{Ma}	90.0	0.0	0.0	0.0	0
R _{Ma}	39.92	58.74	27.99	65.07	25
J _{Ma}	81.26	-2.89	71.56	71.62	92
G _{Ma}	52.23	-42.42	13.6	44.55	162
B _{Ma}	30.57	1.41	-46.47	46.49	272

Daten für Maximalfarbe (Ma):

$LAB^*LAB^*_{Ma}$: 67 -27 75

$LAB^*LCH^*_{Ma}$: 67 79 109

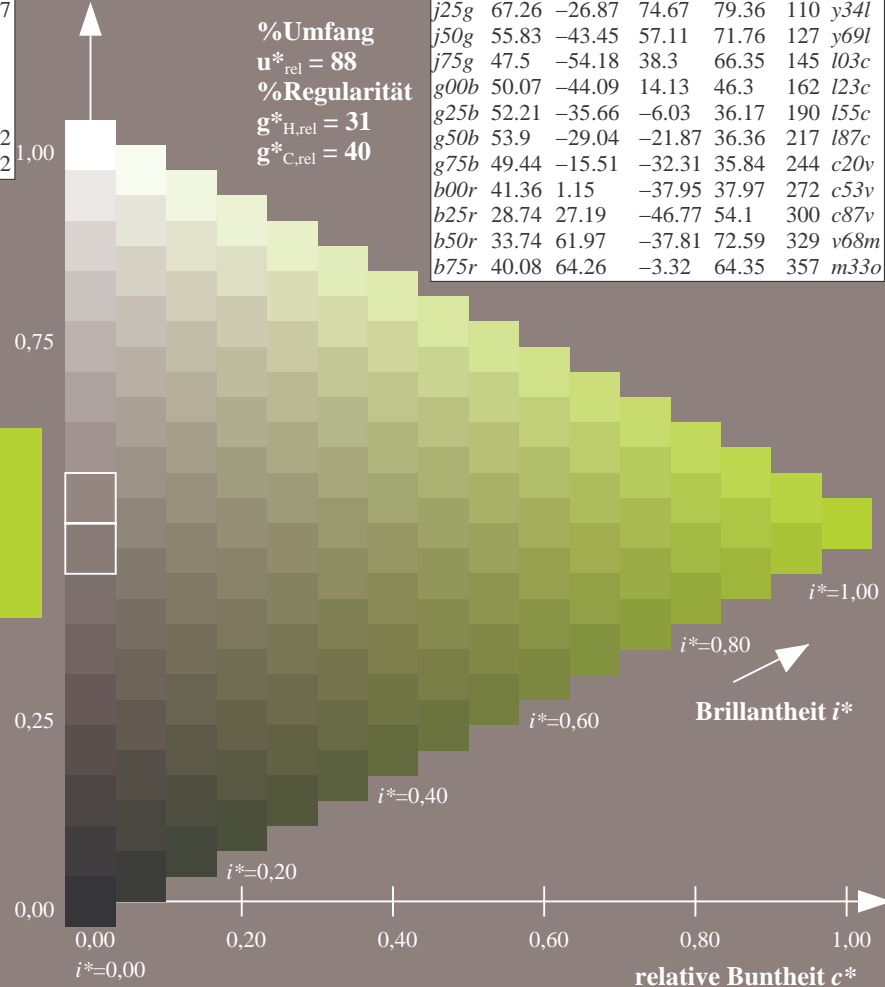
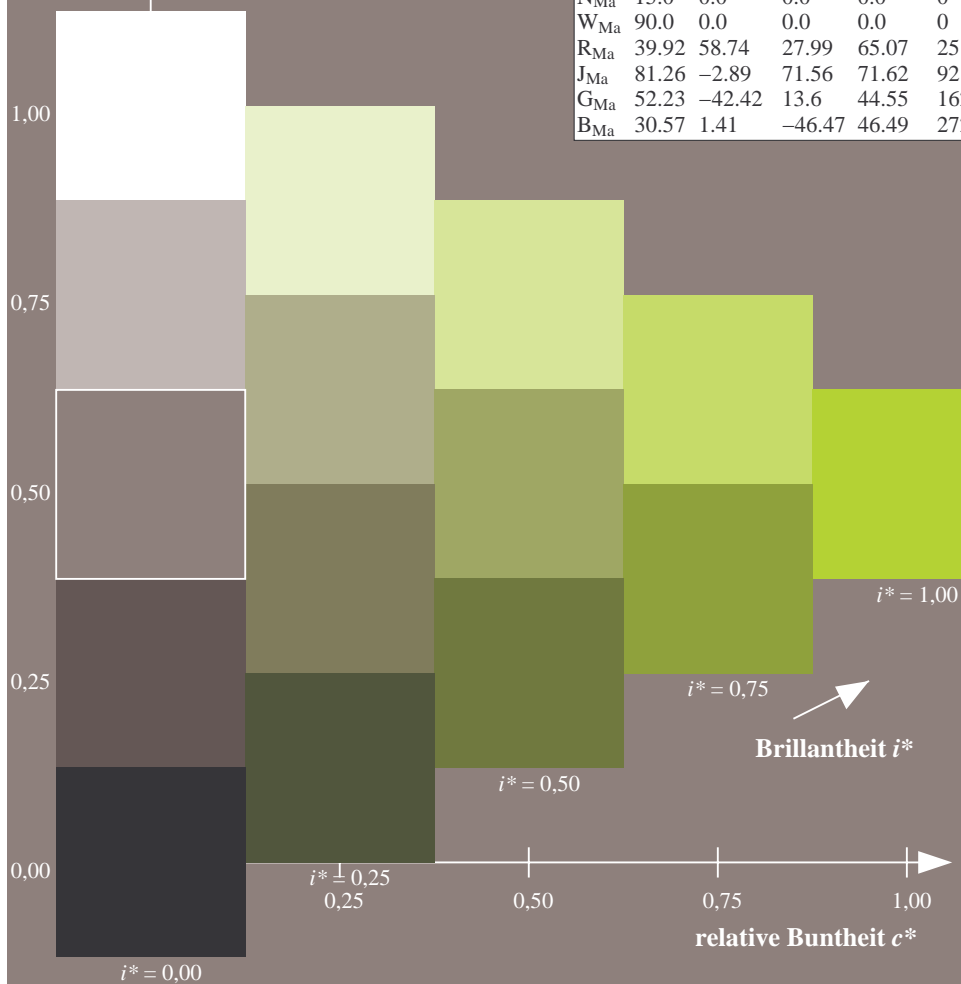
$lab^*rgb^*_{Ma}$: 0.75 1.0 0.0

$lab^*olv^*_{Ma}$: 0.66 1.0 0.0

Dreiecks-Helligkeit t^*

FRS15_90a; adaptierte CIELAB-Daten

u^*_e	$L^*=L^*_a$	a^*_a	b^*_a	$C^*_{ab,a}$	$h^*_{ab,a}$	u^*_d
r00j	39.18	56.94	27.13	63.07	25	m81o
r25j	42.41	49.1	44.5	66.26	42	o10y
r50j	52.78	35.22	58.37	68.17	59	o40y
r75j	64.82	19.12	74.47	76.89	76	o69y
j00g	82.06	-3.94	97.52	97.6	92	o98y
j25g	67.26	-26.87	74.67	79.36	110	y34l
j50g	55.83	-43.45	57.11	71.76	127	y69l
j75g	47.5	-54.18	38.3	66.35	145	l03c
g00b	50.07	-44.09	14.13	46.3	162	l23c
g25b	52.21	-35.66	-6.03	36.17	190	l55c
g50b	53.9	-29.04	-21.87	36.36	217	l87c
g75b	49.44	-15.51	-32.31	35.84	244	c20v
b00r	41.36	1.15	-37.95	37.97	272	c53v
b25r	28.74	27.19	-46.77	54.1	300	c87v
b50r	33.74	61.97	-37.81	72.59	329	v68m
b75r	40.08	64.26	-3.32	64.35	357	m33o



Ein und Ausgabe: Farbmatisches Drucker-Reflektiv-System FRS15_90a für relativen CIELAB-Bunton $h^* = lab^*h^* = h_{ab}/360 = 0.354$

$u^*_e = j50g$

Daten für jede Farbe:

lab^*tch^* und lab^*icu^*

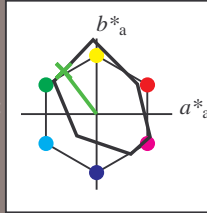
Buntontexte:

$u^*_e = j50g$ $u^*_d = y69l$

Kontrastreduzierungsfaktor:

$c_R = 0.9$

Dreiecks-Helligkeit t^*



FRS15_90a; adaptierte CIELAB-Daten						
u^*_e	$L^*=L^*_a$	a^*_a	b^*_a	$C^*_{ab,a}$	$h^*_{ab,a}$	
O _{Ma}	38.8	53.92	39.68	66.95	36	
Y _{Ma}	82.58	-4.64	98.22	98.33	93	
L _{Ma}	46.95	-56.34	43.46	71.15	142	
C _{Ma}	54.62	-26.2	-28.68	38.85	228	
V _{Ma}	20.01	45.2	-52.87	69.56	311	
M _{Ma}	40.88	70.68	-29.99	76.78	337	
N _{Ma}	15.0	0.0	0.0	0.0	0	
W _{Ma}	90.0	0.0	0.0	0.0	0	
R _{Ma}	39.92	58.74	27.99	65.07	25	
J _{Ma}	81.26	-2.89	71.56	71.62	92	
G _{Ma}	52.23	-42.42	13.6	44.55	162	
B _{Ma}	30.57	1.41	-46.47	46.49	272	

Daten für Maximalfarbe (Ma):

$LAB^*LAB^*_{Ma}: 56 -43 57$

$LAB^*LCH^*_{Ma}: 56 72 127$

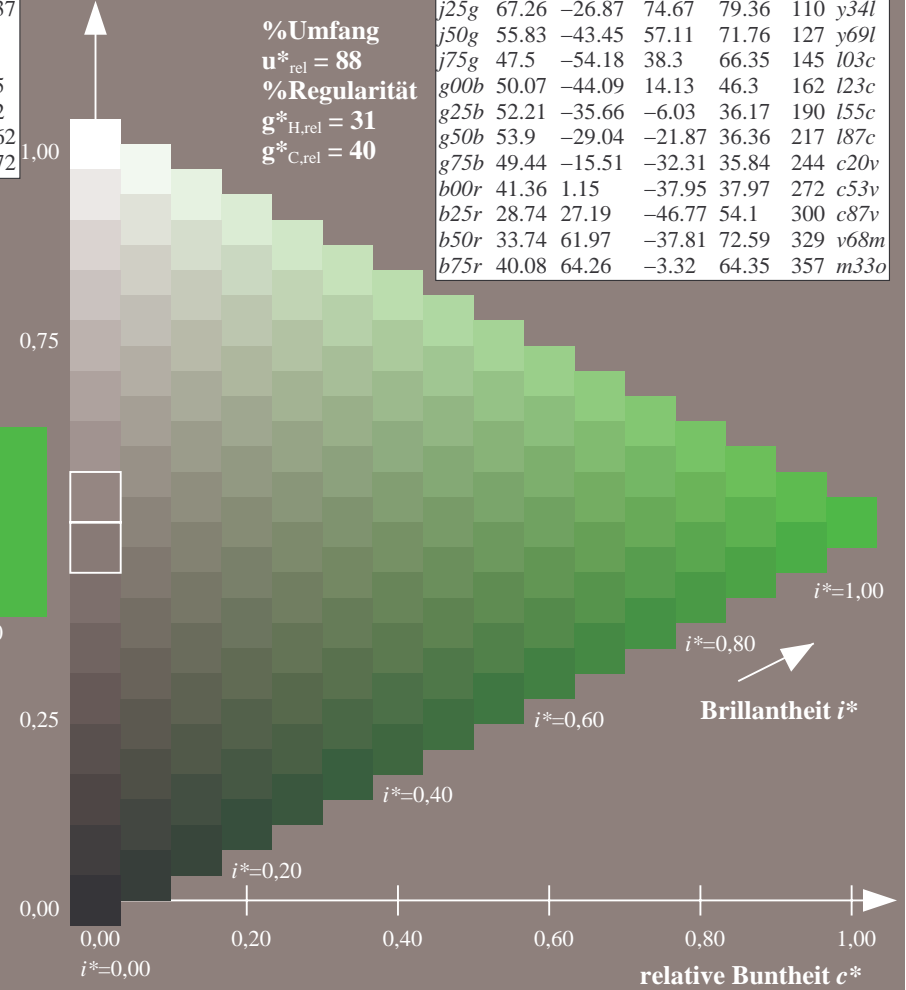
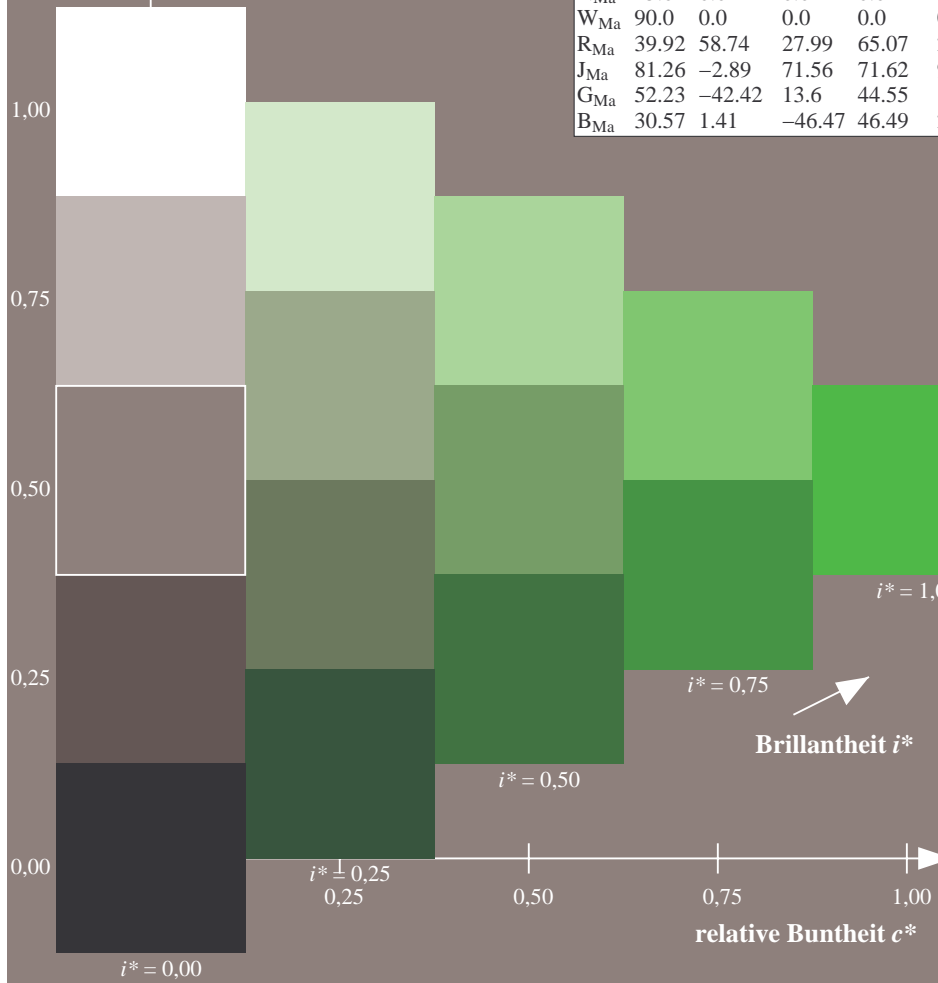
$lab^*rgb^*_{Ma}: 0.5 1.0 0.0$

$lab^*olv^*_{Ma}: 0.3 1.0 0.0$

Dreiecks-Helligkeit t^*

FRS15_90a; adaptierte CIELAB-Daten

u^*_e	$L^*=L^*_a$	a^*_a	b^*_a	$C^*_{ab,a}$	$h^*_{ab,a}$	u^*_d
r00j	39.18	56.94	27.13	63.07	25	m81o
r25j	42.41	49.1	44.5	66.26	42	o10y
r50j	52.78	35.22	58.37	68.17	59	o40y
r75j	64.82	19.12	74.47	76.89	76	o69y
j00g	82.06	-3.94	97.52	97.6	92	o98y
j25g	67.26	-26.87	74.67	79.36	110	y34l
j50g	55.83	-43.45	57.11	71.76	127	y69l
j75g	47.5	-54.18	38.3	66.35	145	l03c
g00b	50.07	-44.09	14.13	46.3	162	l23c
g25b	52.21	-35.66	-6.03	36.17	190	l55c
g50b	53.9	-29.04	-21.87	36.36	217	l87c
g75b	49.44	-15.51	-32.31	35.84	244	c20v
b00r	41.36	1.15	-37.95	37.97	272	c53v
b25r	28.74	27.19	-46.77	54.1	300	c87v
b50r	33.74	61.97	-37.81	72.59	329	v68m
b75r	40.08	64.26	-3.32	64.35	357	m33o



Ein und Ausgabe: Farbmatisches Drucker-Reflektiv-System FRS15_90a für relativen CIELAB-Bunton $h^* = lab^*h^* = h_{ab}/360 = 0.402$

$u^*_e = j75g$

Daten für jede Farbe:

lab^*tch^* und lab^*icu^*

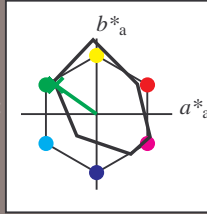
Buntontexte:

$u^*_e = j75g$ $u^*_d = l03c$

Kontrastreduzierungsfaktor:

$c_R = 0.9$

Dreiecks-Helligkeit t^*



FRS15_90a; adaptierte CIELAB-Daten						
u^*_e	$L^*=L^*_a$	a^*_a	b^*_a	$C^*_{ab,a}$	$h^*_{ab,a}$	
O _{Ma}	38.8	53.92	39.68	66.95	36	
Y _{Ma}	82.58	-4.64	98.22	98.33	93	
L _{Ma}	46.95	-56.34	43.46	71.15	142	
C _{Ma}	54.62	-26.2	-28.68	38.85	228	
V _{Ma}	20.01	45.2	-52.87	69.56	311	
M _{Ma}	40.88	70.68	-29.99	76.78	337	
N _{Ma}	15.0	0.0	0.0	0.0	0	
W _{Ma}	90.0	0.0	0.0	0.0	0	
R _{Ma}	39.92	58.74	27.99	65.07	25	
J _{Ma}	81.26	-2.89	71.56	71.62	92	
G _{Ma}	52.23	-42.42	13.6	44.55	162	
B _{Ma}	30.57	1.41	-46.47	46.49	272	

Daten für Maximalfarbe (Ma):

$LAB^*LAB^*_{Ma}$: 48 -54 38

$LAB^*LCH^*_{Ma}$: 48 66 144

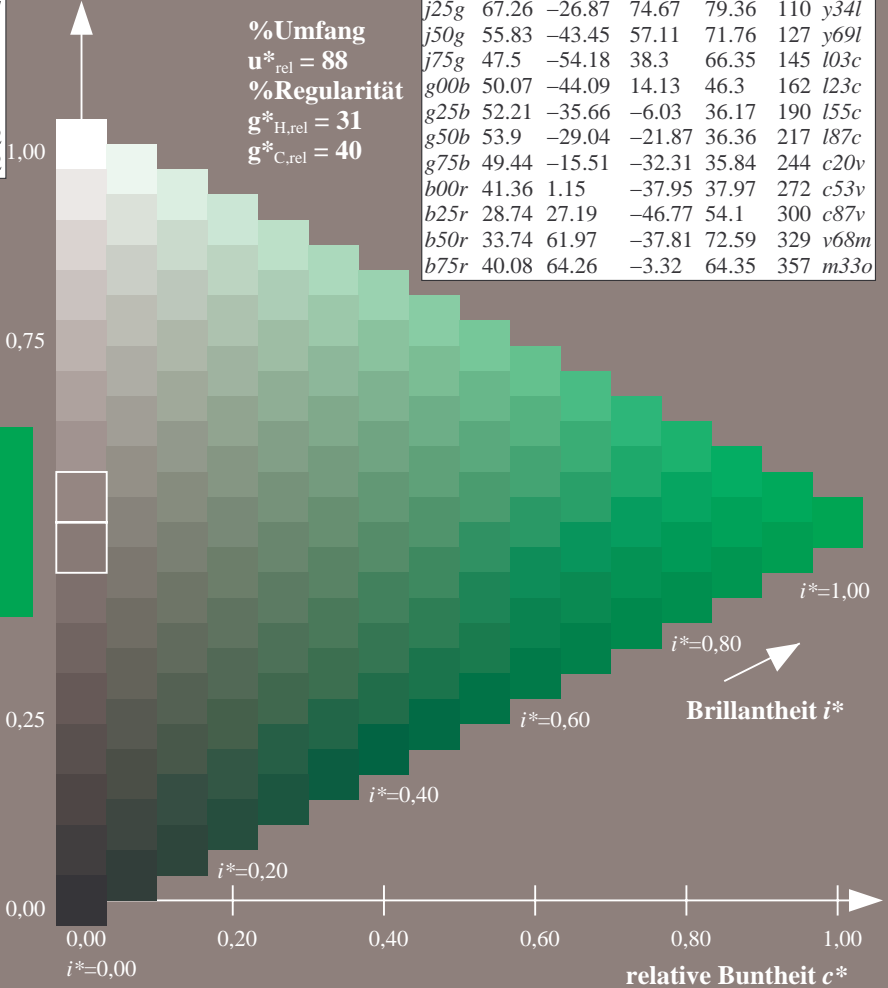
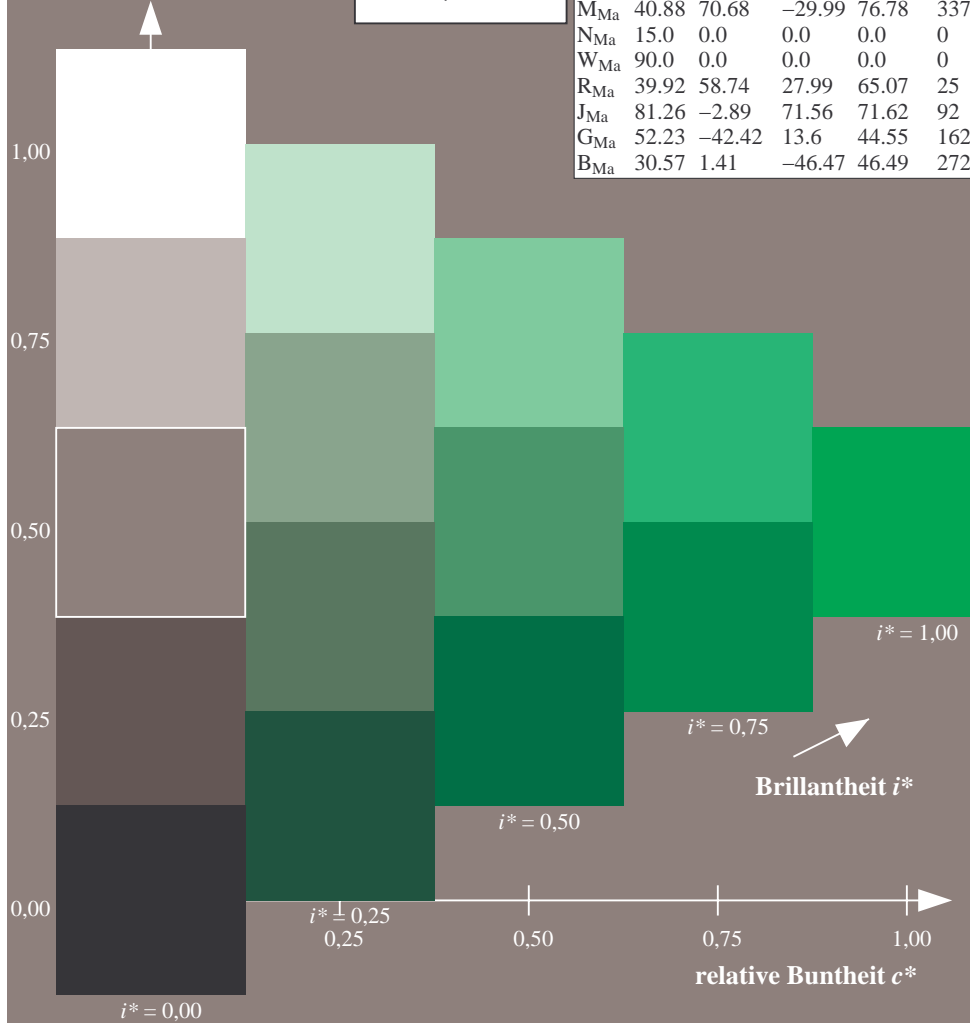
$lab^*rgb^*_{Ma}$: 0.25 1.0 0.0

$lab^*olv^*_{Ma}$: 0.0 1.0 0.03

Dreiecks-Helligkeit t^*

FRS15_90a; adaptierte CIELAB-Daten

u^*_e	$L^*=L^*_a$	a^*_a	b^*_a	$C^*_{ab,a}$	$h^*_{ab,a}$	u^*_d
r00j	39.18	56.94	27.13	63.07	25	m81o
r25j	42.41	49.1	44.5	66.26	42	o10y
r50j	52.78	35.22	58.37	68.17	59	o40y
r75j	64.82	19.12	74.47	76.89	76	o69y
j00g	82.06	-3.94	97.52	97.6	92	o98y
j25g	67.26	-26.87	74.67	79.36	110	y34l
j50g	55.83	-43.45	57.11	71.76	127	y69l
j75g	47.5	-54.18	38.3	66.35	145	l03c
g00b	50.07	-44.09	14.13	46.3	162	l23c
g25b	52.21	-35.66	-6.03	36.17	190	l55c
g50b	53.9	-29.04	-21.87	36.36	217	l87c
g75b	49.44	-15.51	-32.31	35.84	244	c20v
b00r	41.36	1.15	-37.95	37.97	272	c53v
b25r	28.74	27.19	-46.77	54.1	300	c87v
b50r	33.74	61.97	-37.81	72.59	329	v68m
b75r	40.08	64.26	-3.32	64.35	357	m33o



%Umfang
 $u^*_{rel} = 88$
%Regularität
 $g^*_{H,rel} = 31$
 $g^*_{C,rel} = 40$

Ein und Ausgabe: Farbmatisches Drucker-Reflektiv-System FRS15_90a für relativen CIELAB-Bunton $h^* = lab^*h^* = h_{ab}/360 = 0.451$

$u^*_e = g00b$

Daten für jede Farbe:

lab^*tch^* und lab^*icu^*

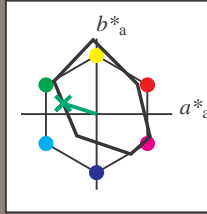
Buntontexte:

$u^*_e = g00b$ $u^*_d = l23c$

Kontrastreduzierungsfaktor:

$c_R = 0.9$

Dreiecks-Helligkeit t^*



FRS15_90a; adaptierte CIELAB-Daten						
u^*_e	$L^*=L^*_a$	a^*_a	b^*_a	$C^*_{ab,a}$	$h^*_{ab,a}$	
O _{Ma}	38.8	53.92	39.68	66.95	36	
Y _{Ma}	82.58	-4.64	98.22	98.33	93	
L _{Ma}	46.95	-56.34	43.46	71.15	142	
C _{Ma}	54.62	-26.2	-28.68	38.85	228	
V _{Ma}	20.01	45.2	-52.87	69.56	311	
M _{Ma}	40.88	70.68	-29.99	76.78	337	
N _{Ma}	15.0	0.0	0.0	0.0	0	
W _{Ma}	90.0	0.0	0.0	0.0	0	
R _{Ma}	39.92	58.74	27.99	65.07	25	
J _{Ma}	81.26	-2.89	71.56	71.62	92	
G _{Ma}	52.23	-42.42	13.6	44.55	162	
B _{Ma}	30.57	1.41	-46.47	46.49	272	

Daten für Maximalfarbe (Ma):

$LAB^*LAB^*_{Ma}: 50 -44 14$

$LAB^*LCH^*_{Ma}: 50 46 162$

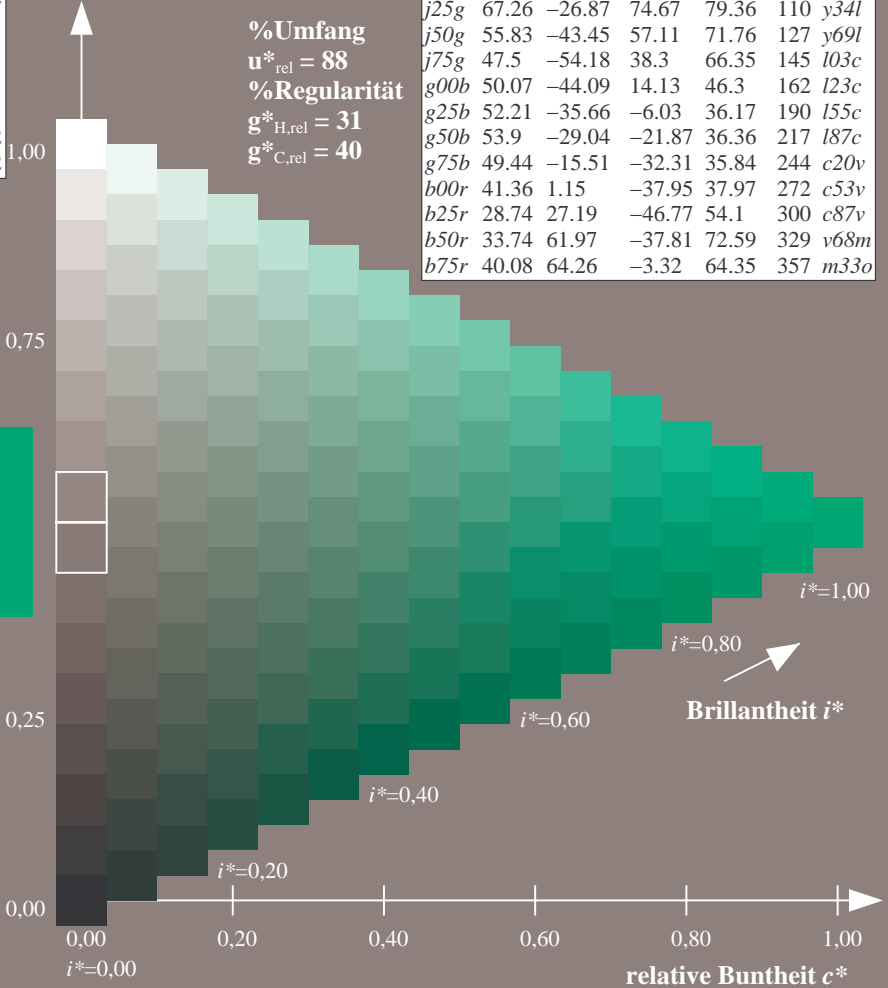
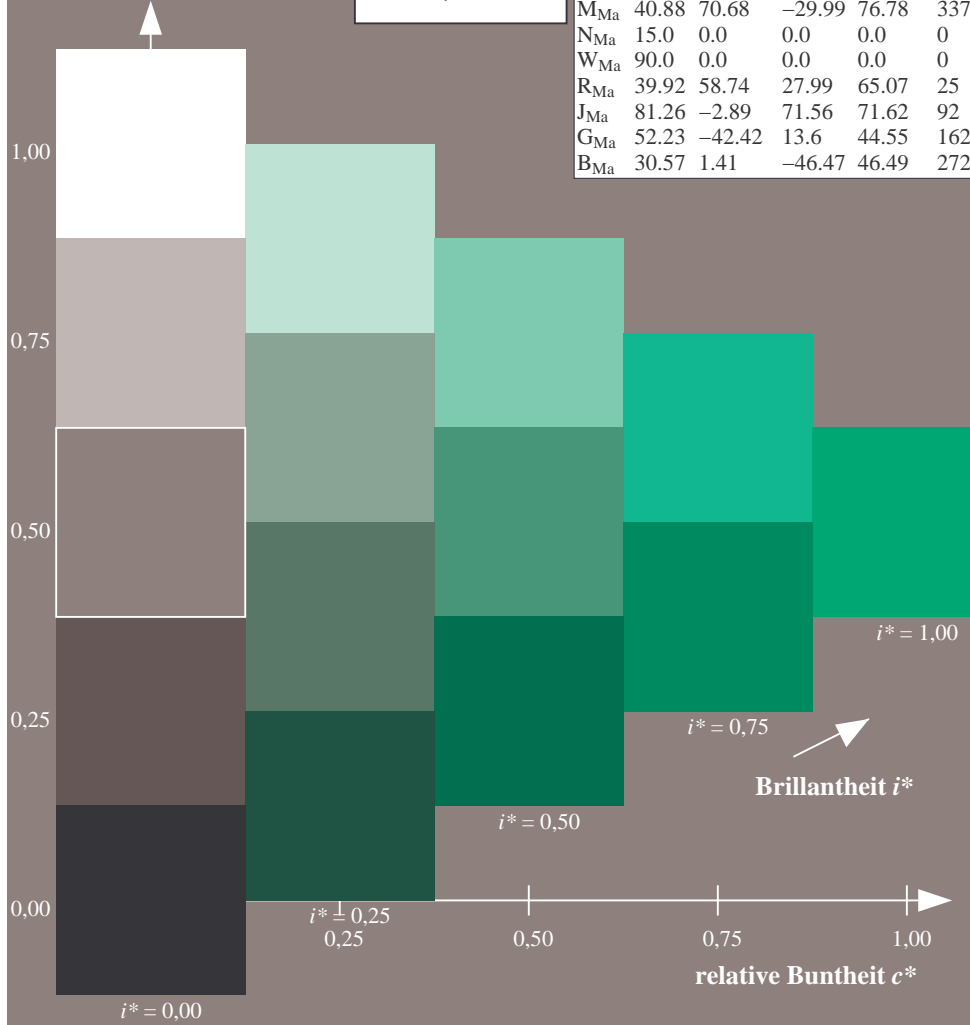
$lab^*rgb^*_{Ma}: 0.0 1.0 0.0$

$lab^*olv^*_{Ma}: 0.0 1.0 0.23$

Dreiecks-Helligkeit t^*

FRS15_90a; adaptierte CIELAB-Daten

u^*_e	$L^*=L^*_a$	a^*_a	b^*_a	$C^*_{ab,a}$	$h^*_{ab,a}$	u^*_d
r00j	39.18	56.94	27.13	63.07	25	m81o
r25j	42.41	49.1	44.5	66.26	42	o10y
r50j	52.78	35.22	58.37	68.17	59	o40y
r75j	64.82	19.12	74.47	76.89	76	o69y
j00g	82.06	-3.94	97.52	97.6	92	o98y
j25g	67.26	-26.87	74.67	79.36	110	y34l
j50g	55.83	-43.45	57.11	71.76	127	y69l
j75g	47.5	-54.18	38.3	66.35	145	l03c
g00b	50.07	-44.09	14.13	46.3	162	l23c
g25b	52.21	-35.66	-6.03	36.17	190	l55c
g50b	53.9	-29.04	-21.87	36.36	217	l87c
g75b	49.44	-15.51	-32.31	35.84	244	c20v
b00r	41.36	1.15	-37.95	37.97	272	c53v
b25r	28.74	27.19	-46.77	54.1	300	c87v
b50r	33.74	61.97	-37.81	72.59	329	v68m
b75r	40.08	64.26	-3.32	64.35	357	m33o



Ein und Ausgabe: Farbmatisches Drucker-Reflektiv-System FRS15_90a für relativen CIELAB-Bunton $h^* = lab^*h^* = h_{ab}/360 = 0.527$

$u^*_e = g25b$

Daten für jede Farbe:

lab^*tch^* und lab^*icu^*

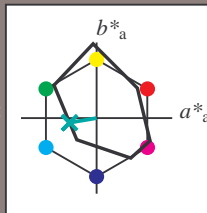
Buntontexte:

$u^*_e = g25b$ $u^*_d = l55c$

Kontrastreduzierungsfaktor:

$c_R = 0.9$

Dreiecks-Helligkeit t^*



FRS15_90a; adaptierte CIELAB-Daten

u^*_e	$L^*=L^*_a$	a^*_a	b^*_a	$C^*_{ab,a}$	$h^*_{ab,a}$
O _{Ma}	38.8	53.92	39.68	66.95	36
Y _{Ma}	82.58	-4.64	98.22	98.33	93
L _{Ma}	46.95	-56.34	43.46	71.15	142
C _{Ma}	54.62	-26.2	-28.68	38.85	228
V _{Ma}	20.01	45.2	-52.87	69.56	311
M _{Ma}	40.88	70.68	-29.99	76.78	337
N _{Ma}	15.0	0.0	0.0	0.0	0
W _{Ma}	90.0	0.0	0.0	0.0	0
R _{Ma}	39.92	58.74	27.99	65.07	25
J _{Ma}	81.26	-2.89	71.56	71.62	92
G _{Ma}	52.23	-42.42	13.6	44.55	162
B _{Ma}	30.57	1.41	-46.47	46.49	272

Daten für Maximalfarbe (Ma):

$LAB^*LAB^*_{Ma}: 52 -36 -6$

$LAB^*LCH^*_{Ma}: 52 36 189$

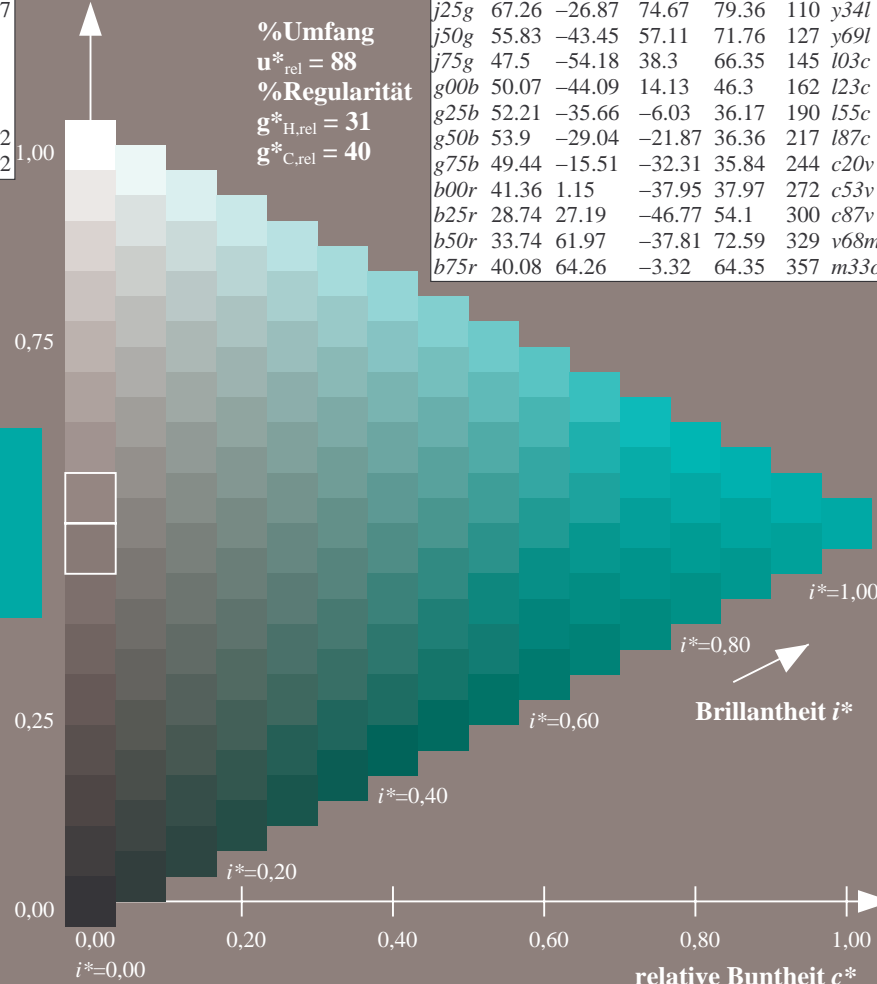
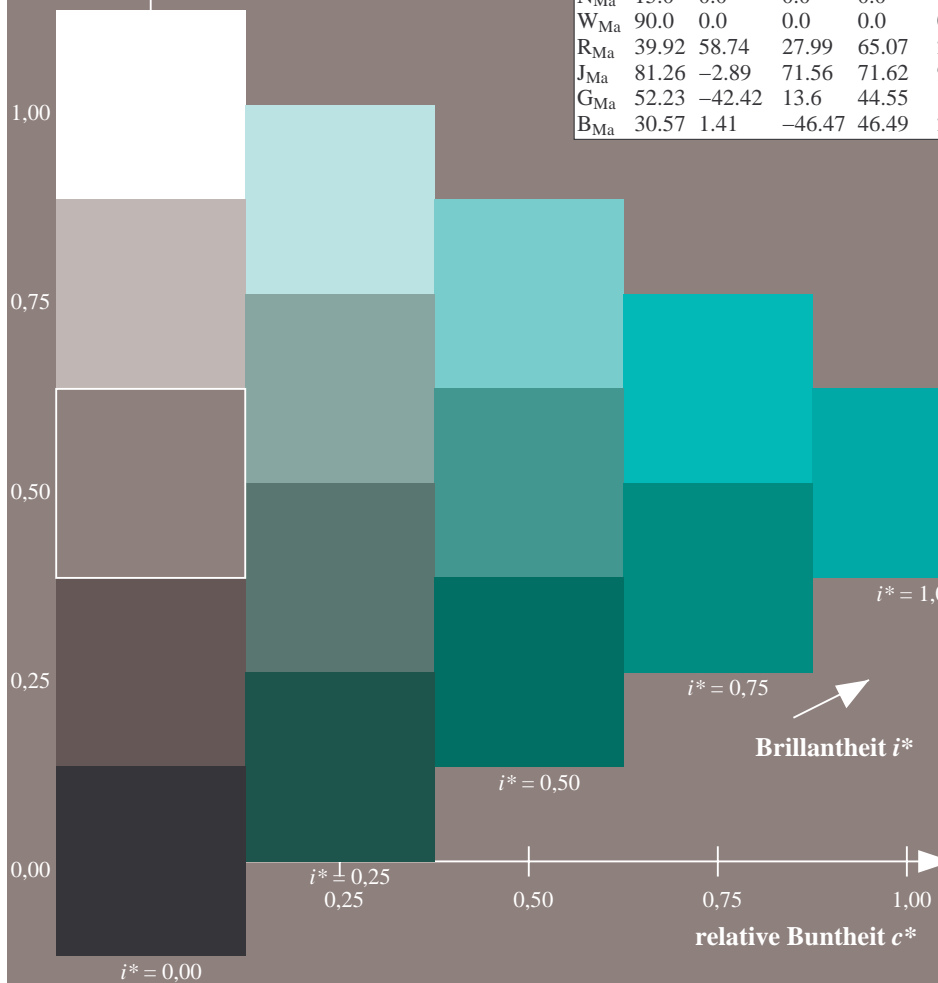
$lab^*rgb^*_{Ma}: 0.0 1.0 0.5$

$lab^*olv^*_{Ma}: 0.0 1.0 0.55$

Dreiecks-Helligkeit t^*

FRS15_90a; adaptierte CIELAB-Daten

u^*_e	$L^*=L^*_a$	a^*_a	b^*_a	$C^*_{ab,a}$	$h^*_{ab,a}$	u^*_d
r00j	39.18	56.94	27.13	63.07	25	m81o
r25j	42.41	49.1	44.5	66.26	42	o10y
r50j	52.78	35.22	58.37	68.17	59	o40y
r75j	64.82	19.12	74.47	76.89	76	o69y
j00g	82.06	-3.94	97.52	97.6	92	o98y
j25g	67.26	-26.87	74.67	79.36	110	y34l
j50g	55.83	-43.45	57.11	71.76	127	y69l
j75g	47.5	-54.18	38.3	66.35	145	l03c
g00b	50.07	-44.09	14.13	46.3	162	l23c
g25b	52.21	-35.66	-6.03	36.17	190	l55c
g50b	53.9	-29.04	-21.87	36.36	217	l87c
g75b	49.44	-15.51	-32.31	35.84	244	c20v
b00r	41.36	1.15	-37.95	37.97	272	c53v
b25r	28.74	27.19	-46.77	54.1	300	c87v
b50r	33.74	61.97	-37.81	72.59	329	v68m
b75r	40.08	64.26	-3.32	64.35	357	m33o



Ein und Ausgabe: Farbmatisches Drucker-Reflektiv-System FRS15_90a für relativen CIELAB-Bunton $h^* = lab^*h^* = h_{ab}/360 = 0.603$

$u^*_e = g50b$

Daten für jede Farbe:

lab^*tch^* und lab^*icu^*

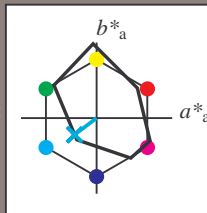
Buntontexte:

$u^*_e = g50b$ $u^*_d = l87c$

Kontrastreduzierungsfaktor:

$c_R = 0.9$

Dreiecks-Helligkeit t^*



FRS15_90a; adaptierte CIELAB-Daten

u^*_e	$L^*=L^*_a$	a^*_a	b^*_a	$C^*_{ab,a}$	$h^*_{ab,a}$
O _{Ma}	38.8	53.92	39.68	66.95	36
Y _{Ma}	82.58	-4.64	98.22	98.33	93
L _{Ma}	46.95	-56.34	43.46	71.15	142
C _{Ma}	54.62	-26.2	-28.68	38.85	228
V _{Ma}	20.01	45.2	-52.87	69.56	311
M _{Ma}	40.88	70.68	-29.99	76.78	337
N _{Ma}	15.0	0.0	0.0	0.0	0
W _{Ma}	90.0	0.0	0.0	0.0	0
R _{Ma}	39.92	58.74	27.99	65.07	25
J _{Ma}	81.26	-2.89	71.56	71.62	92
G _{Ma}	52.23	-42.42	13.6	44.55	162
B _{Ma}	30.57	1.41	-46.47	46.49	272

Daten für Maximalfarbe (Ma):

$LAB^*LAB^*_{Ma}: 54 -29 -22$

$LAB^*LCH^*_{Ma}: 54 36 216$

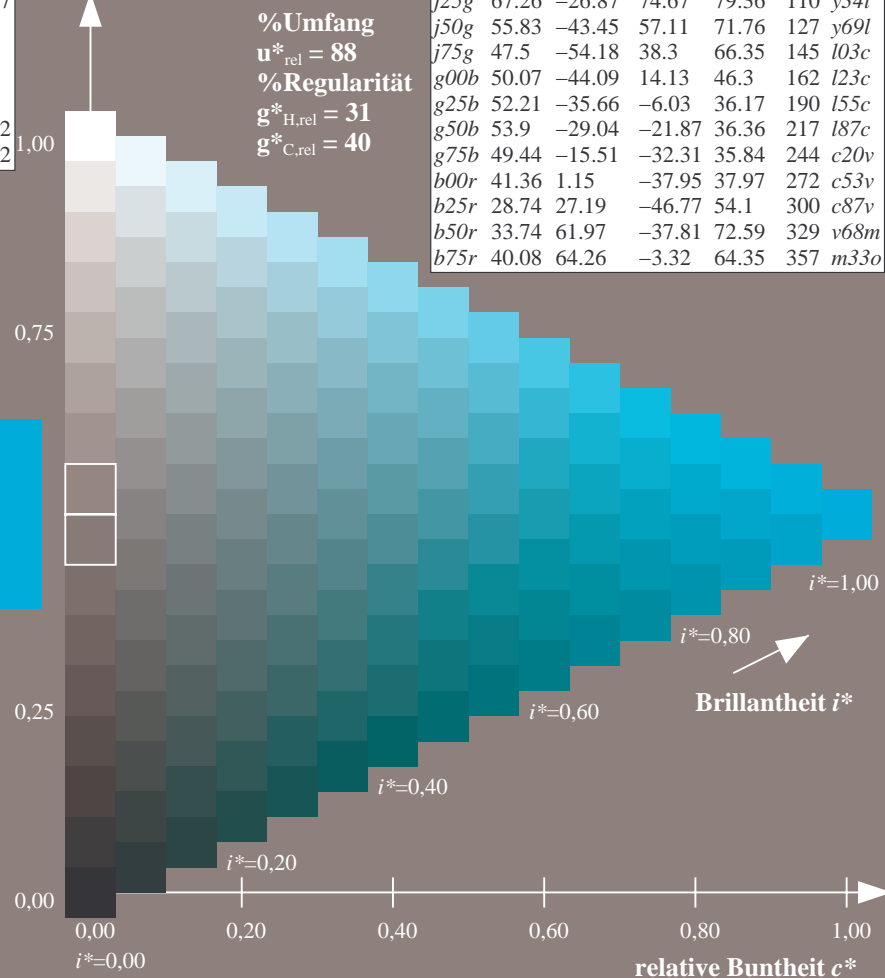
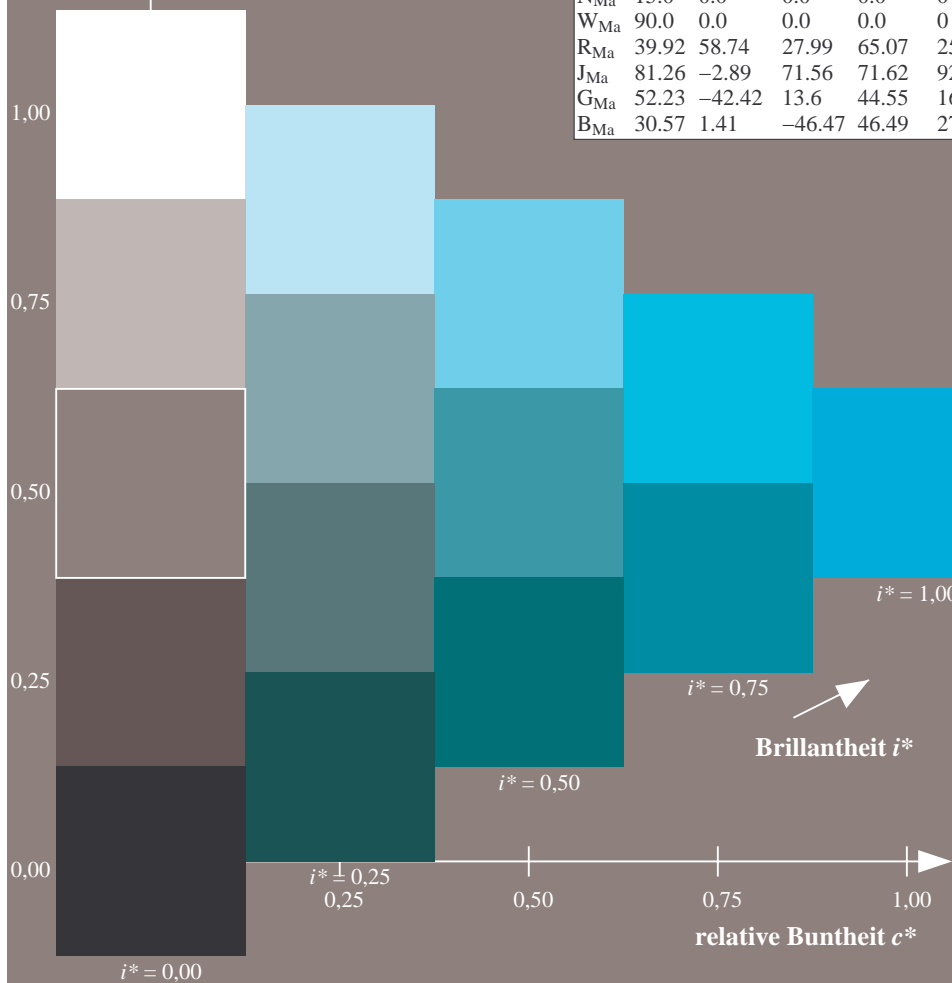
$lab^*rgb^*_{Ma}: 0.0 1.0 1.0$

$lab^*olv^*_{Ma}: 0.0 1.0 0.88$

Dreiecks-Helligkeit t^*

FRS15_90a; adaptierte CIELAB-Daten

u^*_e	$L^*=L^*_a$	a^*_a	b^*_a	$C^*_{ab,a}$	$h^*_{ab,a}$	u^*_d
r00j	39.18	56.94	27.13	63.07	25	m81o
r25j	42.41	49.1	44.5	66.26	42	o10y
r50j	52.78	35.22	58.37	68.17	59	o40y
r75j	64.82	19.12	74.47	76.89	76	o69y
j00g	82.06	-3.94	97.52	97.6	92	o98y
j25g	67.26	-26.87	74.67	79.36	110	y34l
j50g	55.83	-43.45	57.11	71.76	127	y69l
j75g	47.5	-54.18	38.3	66.35	145	l03c
g00b	50.07	-44.09	14.13	46.3	162	l23c
g25b	52.21	-35.66	-6.03	36.17	190	l55c
g50b	53.9	-29.04	-21.87	36.36	217	l87c
g75b	49.44	-15.51	-32.31	35.84	244	c20v
b00r	41.36	1.15	-37.95	37.97	272	c53v
b25r	28.74	27.19	-46.77	54.1	300	c87v
b50r	33.74	61.97	-37.81	72.59	329	v68m
b75r	40.08	64.26	-3.32	64.35	357	m33o



Ein und Ausgabe: Farbmatisches Drucker-Reflektiv-System FRS15_90a für relativen CIELAB-Bunton $h^* = lab^*h^* = h_{ab}/360 = 0.679$

$u^*_e = g75b$

Daten für jede Farbe:

lab^*tch^* und lab^*icu^*

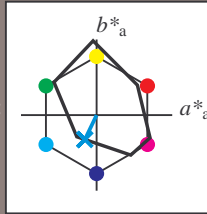
Buntontexte:

$u^*_e = g75b$ $u^*_d = c20v$

Kontrastreduzierungsfaktor:

$c_R = 0.9$

Dreiecks-Helligkeit t^*



FRS15_90a; adaptierte CIELAB-Daten						
u^*_e	$L^*=L^*_a$	a^*_a	b^*_a	$C^*_{ab,a}$	$h^*_{ab,a}$	
O_{Ma}	38.8	53.92	39.68	66.95	36	
Y_{Ma}	82.58	-4.64	98.22	98.33	93	
L_{Ma}	46.95	-56.34	43.46	71.15	142	
C_{Ma}	54.62	-26.2	-28.68	38.85	228	
V_{Ma}	20.01	45.2	-52.87	69.56	311	
M_{Ma}	40.88	70.68	-29.99	76.78	337	
N_{Ma}	15.0	0.0	0.0	0.0	0	
W_{Ma}	90.0	0.0	0.0	0.0	0	
R_{Ma}	39.92	58.74	27.99	65.07	25	
J_{Ma}	81.26	-2.89	71.56	71.62	92	
G_{Ma}	52.23	-42.42	13.6	44.55	162	
B_{Ma}	30.57	1.41	-46.47	46.49	272	

Daten für Maximalfarbe (Ma):

$LAB^*LAB^*_{Ma}$: 49 -16 -32

$LAB^*LCH^*_{Ma}$: 49 36 244

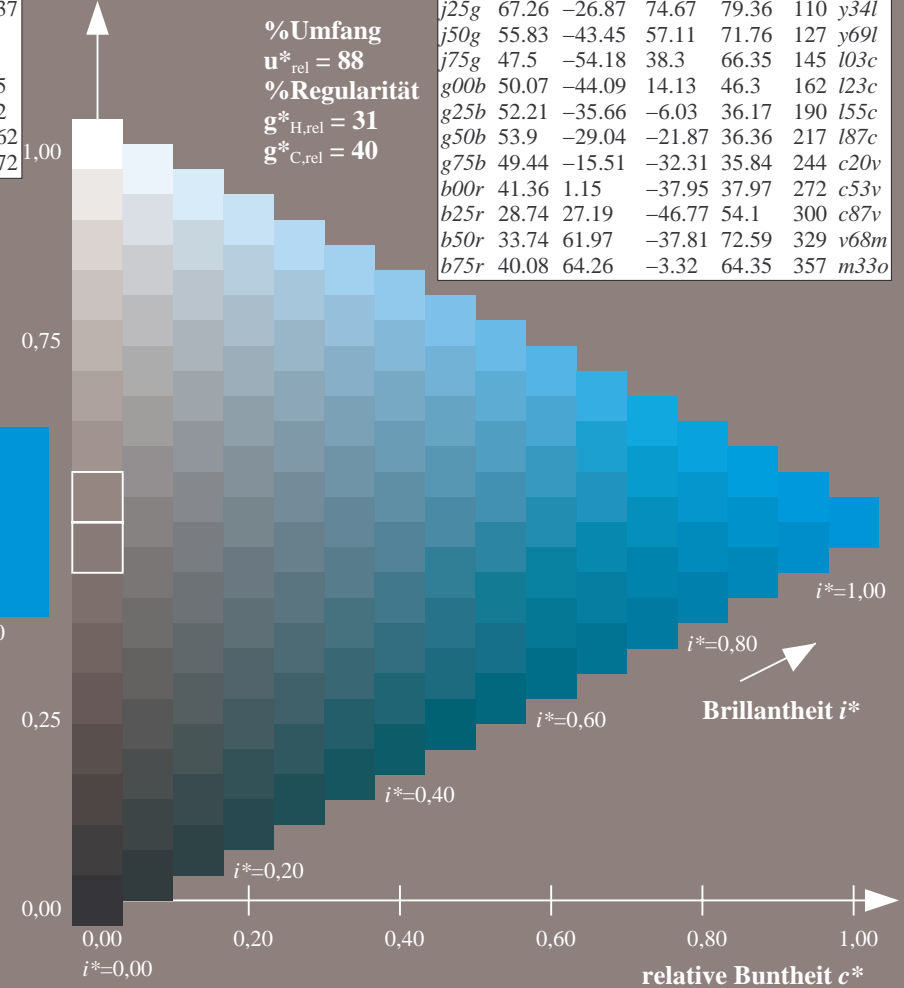
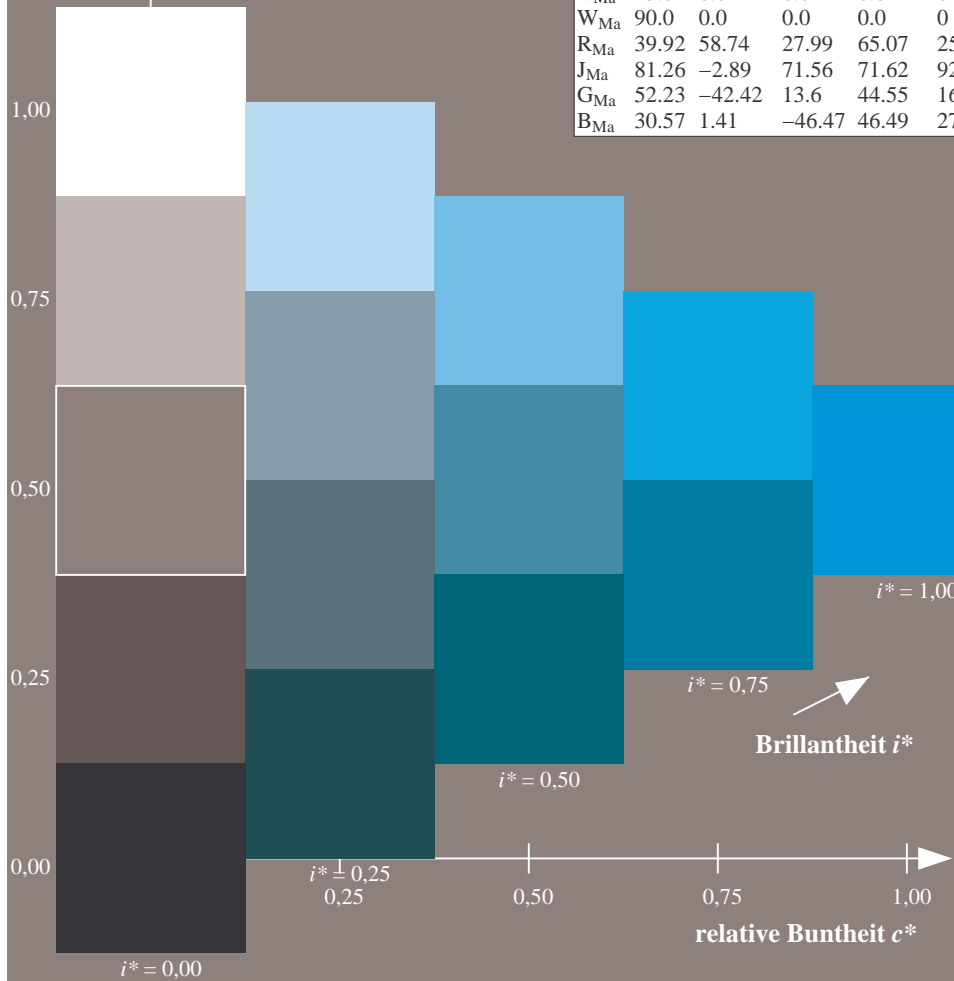
$lab^*rgb^*_{Ma}$: 0.0 0.5 1.0

$lab^*olv^*_{Ma}$: 0.0 0.8 1.0

Dreiecks-Helligkeit t^*

FRS15_90a; adaptierte CIELAB-Daten

u^*_e	$L^*=L^*_a$	a^*_a	b^*_a	$C^*_{ab,a}$	$h^*_{ab,a}$	u^*_d
$r00j$	39.18	56.94	27.13	63.07	25	$m81o$
$r25j$	42.41	49.1	44.5	66.26	42	$o10y$
$r50j$	52.78	35.22	58.37	68.17	59	$o40y$
$r75j$	64.82	19.12	74.47	76.89	76	$o69y$
$j00g$	82.06	-3.94	97.52	97.6	92	$o98y$
$j25g$	67.26	-26.87	74.67	79.36	110	$y34l$
$j50g$	55.83	-43.45	57.11	71.76	127	$y69l$
$j75g$	47.5	-54.18	38.3	66.35	145	$l03c$
$g00b$	50.07	-44.09	14.13	46.3	162	$l23c$
$g25b$	52.21	-35.66	-6.03	36.17	190	$l55c$
$g50b$	53.9	-29.04	-21.87	36.36	217	$l87c$
$g75b$	49.44	-15.51	-32.31	35.84	244	$c20v$
$b00r$	41.36	1.15	-37.95	37.97	272	$c53v$
$b25r$	28.74	27.19	-46.77	54.1	300	$c87v$
$b50r$	33.74	61.97	-37.81	72.59	329	$v68m$
$b75r$	40.08	64.26	-3.32	64.35	357	$m33o$



Ein und Ausgabe: Farbmetrisches Drucker-Reflektiv-System FRS15_90a für relativen CIELAB-Bunton $h^* = lab^*h^* = h_{ab}/360 = 0.755$

$u^*_e = b00r$

Daten für jede Farbe:

lab^*tch^* und lab^*icu^*

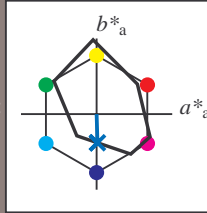
Buntontexte:

$u^*_e = b00r$ $u^*_d = c53v$

Kontrastreduzierungsfaktor:

$c_R = 0.9$

Dreiecks-Helligkeit t^*



FRS15_90a; adaptierte CIELAB-Daten						
u^*_e	$L^*=L^*_a$	a^*_a	b^*_a	$C^*_{ab,a}$	$h^*_{ab,a}$	
O _{Ma}	38.8	53.92	39.68	66.95	36	
Y _{Ma}	82.58	-4.64	98.22	98.33	93	
L _{Ma}	46.95	-56.34	43.46	71.15	142	
C _{Ma}	54.62	-26.2	-28.68	38.85	228	
V _{Ma}	20.01	45.2	-52.87	69.56	311	
M _{Ma}	40.88	70.68	-29.99	76.78	337	
N _{Ma}	15.0	0.0	0.0	0.0	0	
W _{Ma}	90.0	0.0	0.0	0.0	0	
R _{Ma}	39.92	58.74	27.99	65.07	25	
J _{Ma}	81.26	-2.89	71.56	71.62	92	
G _{Ma}	52.23	-42.42	13.6	44.55	162	
B _{Ma}	30.57	1.41	-46.47	46.49	272	

Daten für Maximalfarbe (Ma):

$LAB^*LAB^*_{Ma}$: 41 1 -38

$LAB^*LCH^*_{Ma}$: 41 38 271

$lab^*rgb^*_{Ma}$: 0.0 0.0 1.0

$lab^*olv^*_{Ma}$: 0.0 0.47 1.0

Dreiecks-Helligkeit t^*

%Umfang

$u^*_{rel} = 88$

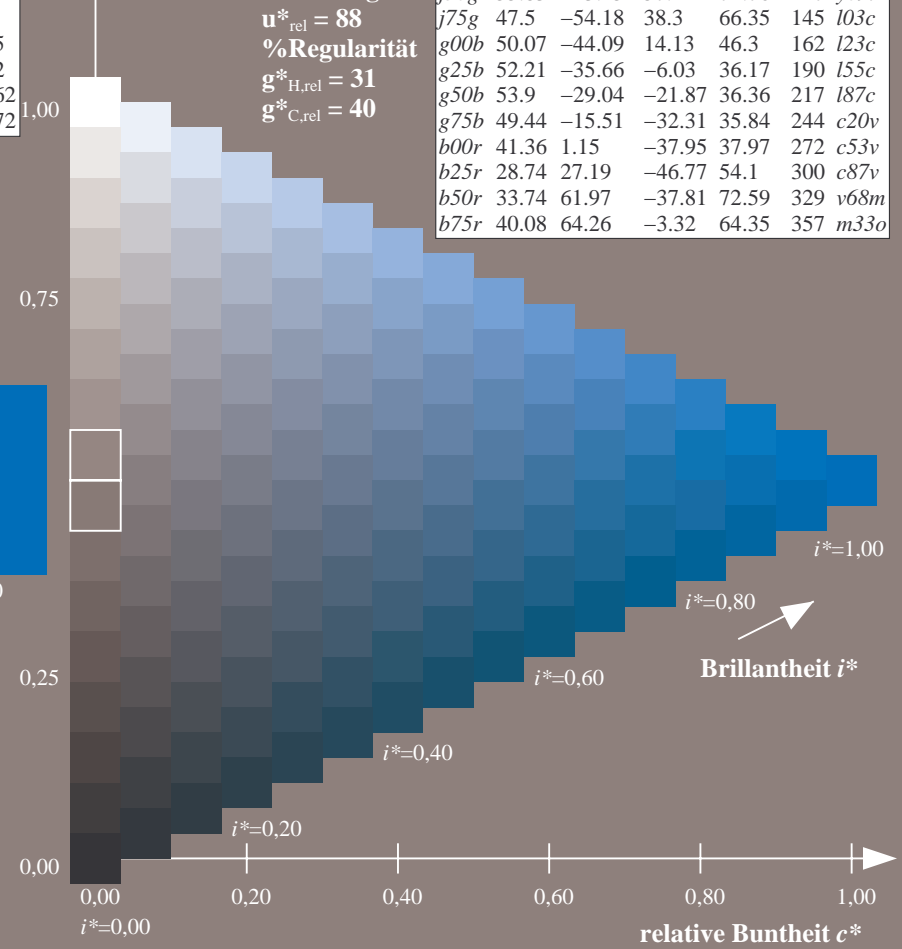
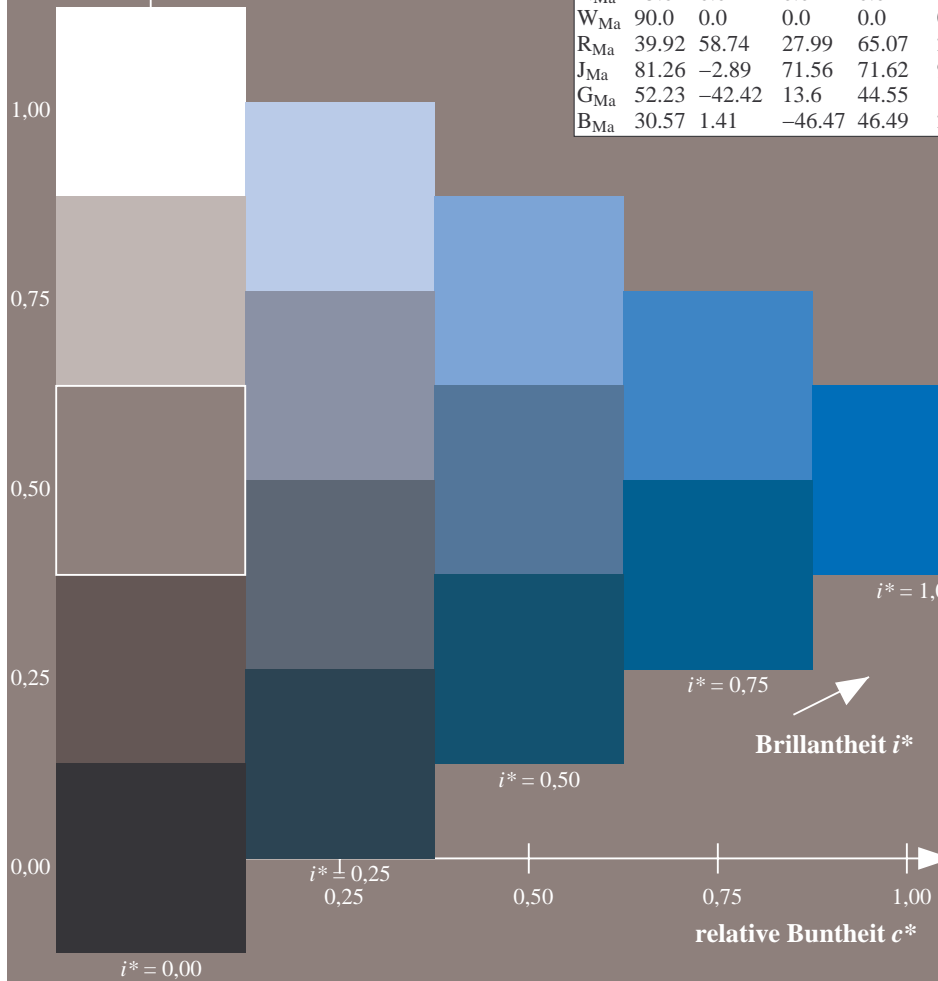
%Regularität

$g^*_{H,rel} = 31$

$g^*_{C,rel} = 40$

FRS15_90a; adaptierte CIELAB-Daten

u^*_e	$L^*=L^*_a$	a^*_a	b^*_a	$C^*_{ab,a}$	$h^*_{ab,a}$	u^*_d
r00j	39.18	56.94	27.13	63.07	25	m81o
r25j	42.41	49.1	44.5	66.26	42	o10y
r50j	52.78	35.22	58.37	68.17	59	o40y
r75j	64.82	19.12	74.47	76.89	76	o69y
j00g	82.06	-3.94	97.52	97.6	92	o98y
j25g	67.26	-26.87	74.67	79.36	110	y34l
j50g	55.83	-43.45	57.11	71.76	127	y69l
j75g	47.5	-54.18	38.3	66.35	145	l03c
g00b	50.07	-44.09	14.13	46.3	162	l23c
g25b	52.21	-35.66	-6.03	36.17	190	l55c
g50b	53.9	-29.04	-21.87	36.36	217	l87c
g75b	49.44	-15.51	-32.31	35.84	244	c20v
b00r	41.36	1.15	-37.95	37.97	272	c53v
b25r	28.74	27.19	-46.77	54.1	300	c87v
b50r	33.74	61.97	-37.81	72.59	329	v68m
b75r	40.08	64.26	-3.32	64.35	357	m33o



Ein und Ausgabe: Farbmetrisches Drucker-Reflektiv-System FRS15_90a für relativen CIELAB-Bunton $h^* = lab^*h^* = h_{ab}/360 = 0.834$

$u^*_e = b25r$

Daten für jede Farbe:

lab^*tch^* und lab^*icu^*

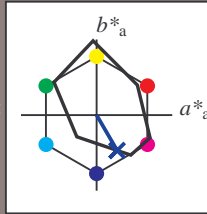
Buntontexte:

$u^*_e = b25r$ $u^*_d = c87v$

Kontrastreduzierungsfaktor:

$c_R = 0.9$

Dreiecks-Helligkeit t^*



FRS15_90a; adaptierte CIELAB-Daten						
u^*_e	$L^*=L^*_a$	a^*_a	b^*_a	$C^*_{ab,a}$	$h^*_{ab,a}$	
O_{Ma}	38.8	53.92	39.68	66.95	36	
Y_{Ma}	82.58	-4.64	98.22	98.33	93	
L_{Ma}	46.95	-56.34	43.46	71.15	142	
C_{Ma}	54.62	-26.2	-28.68	38.85	228	
V_{Ma}	20.01	45.2	-52.87	69.56	311	
M_{Ma}	40.88	70.68	-29.99	76.78	337	
N_{Ma}	15.0	0.0	0.0	0.0	0	
W_{Ma}	90.0	0.0	0.0	0.0	0	
R_{Ma}	39.92	58.74	27.99	65.07	25	
J_{Ma}	81.26	-2.89	71.56	71.62	92	
G_{Ma}	52.23	-42.42	13.6	44.55	162	
B_{Ma}	30.57	1.41	-46.47	46.49	272	

Daten für Maximalfarbe (Ma):

$LAB^*LAB^*_{Ma}$: 29 27 -47

$LAB^*LCH^*_{Ma}$: 29 54 300

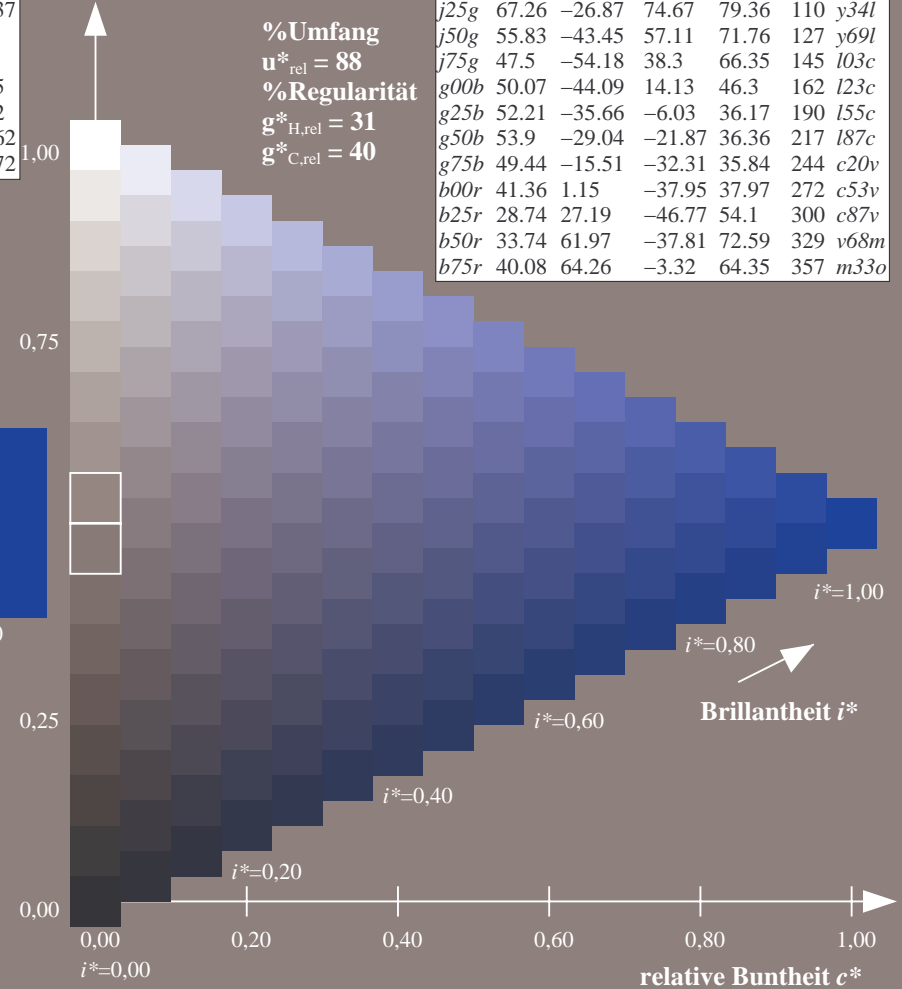
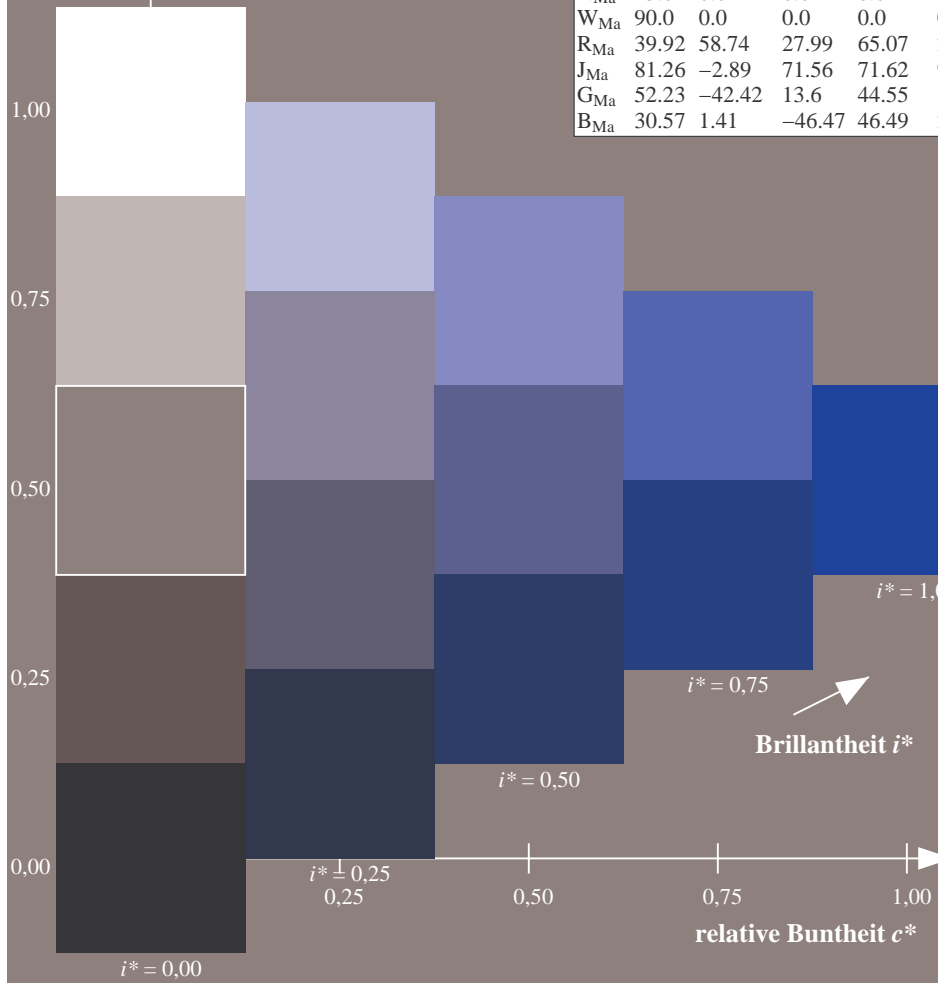
$lab^*rgb^*_{Ma}$: 0.5 0.0 1.0

$lab^*olv^*_{Ma}$: 0.0 0.12 1.0

Dreiecks-Helligkeit t^*

FRS15_90a; adaptierte CIELAB-Daten

u^*_e	$L^*=L^*_a$	a^*_a	b^*_a	$C^*_{ab,a}$	$h^*_{ab,a}$	u^*_d
$r00j$	39.18	56.94	27.13	63.07	25	$m81o$
$r25j$	42.41	49.1	44.5	66.26	42	$o10y$
$r50j$	52.78	35.22	58.37	68.17	59	$o40y$
$r75j$	64.82	19.12	74.47	76.89	76	$o69y$
$j00g$	82.06	-3.94	97.52	97.6	92	$o98y$
$j25g$	67.26	-26.87	74.67	79.36	110	$y34l$
$j50g$	55.83	-43.45	57.11	71.76	127	$y69l$
$j75g$	47.5	-54.18	38.3	66.35	145	$l03c$
$g00b$	50.07	-44.09	14.13	46.3	162	$l23c$
$g25b$	52.21	-35.66	-6.03	36.17	190	$l55c$
$g50b$	53.9	-29.04	-21.87	36.36	217	$l87c$
$g75b$	49.44	-15.51	-32.31	35.84	244	$c20v$
$b00r$	41.36	1.15	-37.95	37.97	272	$c53v$
$b25r$	28.74	27.19	-46.77	54.1	300	$c87v$
$b50r$	33.74	61.97	-37.81	72.59	329	$v68m$
$b75r$	40.08	64.26	-3.32	64.35	357	$m33o$



Daten für jede Farbe:

lab^*tch^* und lab^*icu^*

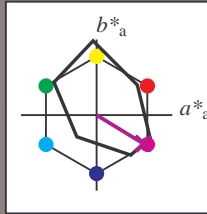
Buntontexte:

$u^*_e = b50r$ $u^*_d = v68m$

Kontrastreduzierungsfaktor:

$c_R = 0.9$

Dreiecks-Helligkeit t^*



FRS15_90a; adaptierte CIELAB-Daten						
u^*_e	$L^*=L^*_a$	a^*_a	b^*_a	$C^*_{ab,a}$	$h^*_{ab,a}$	
O _{Ma}	38.8	53.92	39.68	66.95	36	
Y _{Ma}	82.58	-4.64	98.22	98.33	93	
L _{Ma}	46.95	-56.34	43.46	71.15	142	
C _{Ma}	54.62	-26.2	-28.68	38.85	228	
V _{Ma}	20.01	45.2	-52.87	69.56	311	
M _{Ma}	40.88	70.68	-29.99	76.78	337	
N _{Ma}	15.0	0.0	0.0	0.0	0	
W _{Ma}	90.0	0.0	0.0	0.0	0	
R _{Ma}	39.92	58.74	27.99	65.07	25	
J _{Ma}	81.26	-2.89	71.56	71.62	92	
G _{Ma}	52.23	-42.42	13.6	44.55	162	
B _{Ma}	30.57	1.41	-46.47	46.49	272	

Daten für Maximalfarbe (Ma):

$LAB^*LAB^*_{Ma}$: 34 62 -38

$LAB^*LCH^*_{Ma}$: 34 73 328

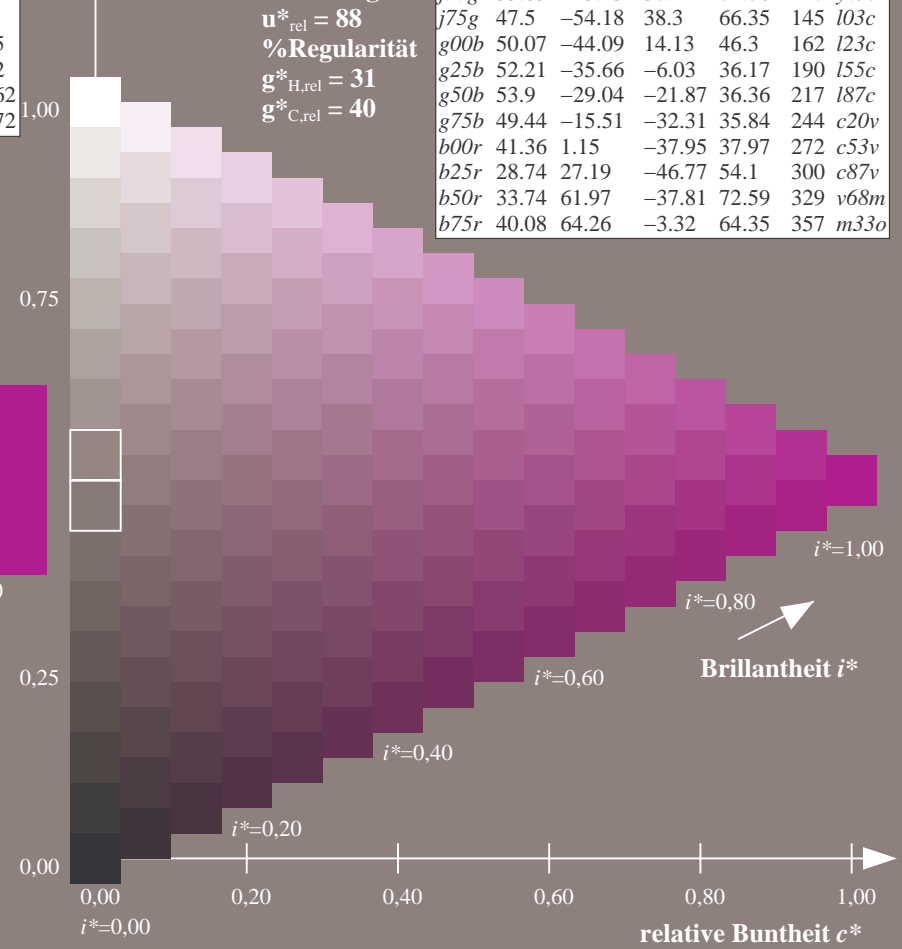
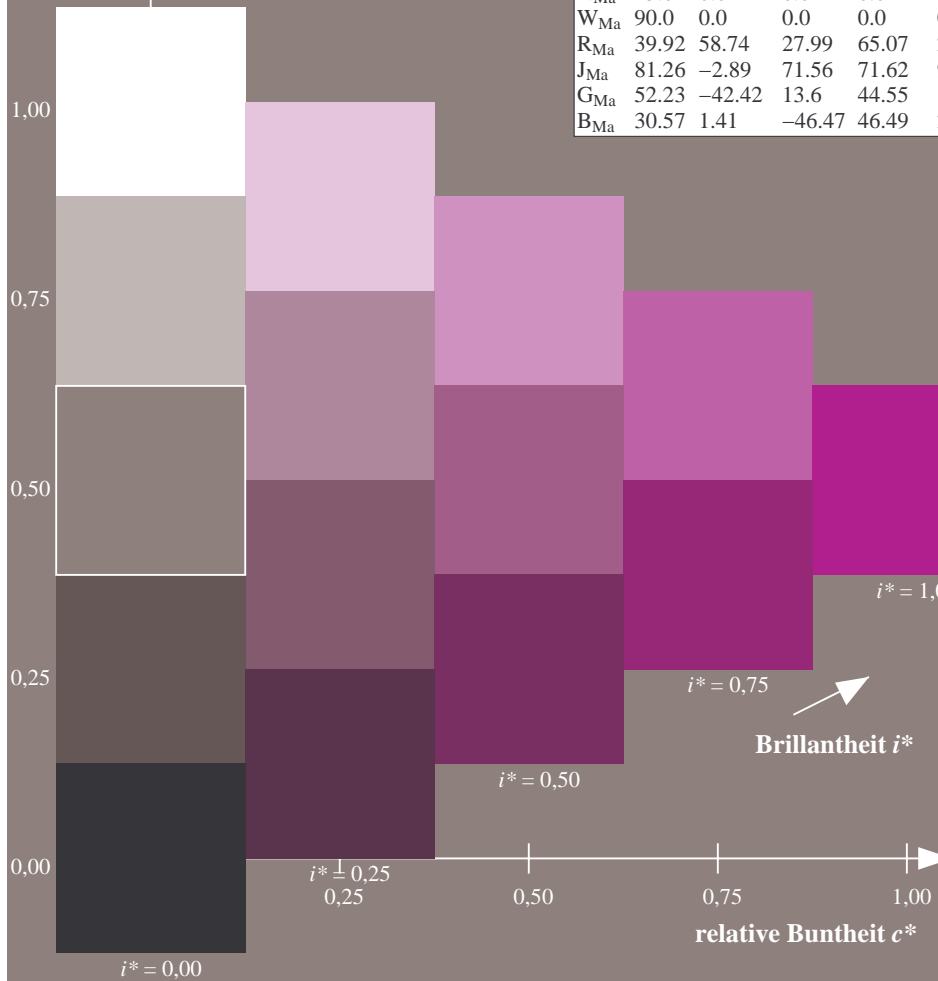
$lab^*rgb^*_{Ma}$: 1.0 0.0 1.0

$lab^*olv^*_{Ma}$: 0.68 0.0 1.0

Dreiecks-Helligkeit t^*

FRS15_90a; adaptierte CIELAB-Daten

u^*_e	$L^*=L^*_a$	a^*_a	b^*_a	$C^*_{ab,a}$	$h^*_{ab,a}$	u^*_d
r00j	39.18	56.94	27.13	63.07	25	m81o
r25j	42.41	49.1	44.5	66.26	42	o10y
r50j	52.78	35.22	58.37	68.17	59	o40y
r75j	64.82	19.12	74.47	76.89	76	o69y
j00g	82.06	-3.94	97.52	97.6	92	o98y
j25g	67.26	-26.87	74.67	79.36	110	y34l
j50g	55.83	-43.45	57.11	71.76	127	y69l
j75g	47.5	-54.18	38.3	66.35	145	l03c
g00b	50.07	-44.09	14.13	46.3	162	l23c
g25b	52.21	-35.66	-6.03	36.17	190	l55c
g50b	53.9	-29.04	-21.87	36.36	217	l87c
g75b	49.44	-15.51	-32.31	35.84	244	c20v
b00r	41.36	1.15	-37.95	37.97	272	c53v
b25r	28.74	27.19	-46.77	54.1	300	c87v
b50r	33.74	61.97	-37.81	72.59	329	v68m
b75r	40.08	64.26	-3.32	64.35	357	m33o



Daten für jede Farbe:

lab^*tch^* und lab^*icu^*

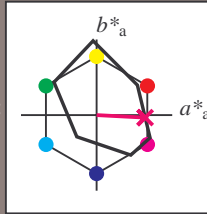
Buntontexte:

$u^*_e = b75r$ $u^*_d = m33o$

Kontrastreduzierungsfaktor:

$c_R = 0.9$

Dreiecks-Helligkeit t^*



FRS15_90a; adaptierte CIELAB-Daten						
u^*_e	$L^*=L^*_a$	a^*_a	b^*_a	$C^*_{ab,a}$	$h^*_{ab,a}$	
O _{Ma}	38.8	53.92	39.68	66.95	36	
Y _{Ma}	82.58	-4.64	98.22	98.33	93	
L _{Ma}	46.95	-56.34	43.46	71.15	142	
C _{Ma}	54.62	-26.2	-28.68	38.85	228	
V _{Ma}	20.01	45.2	-52.87	69.56	311	
M _{Ma}	40.88	70.68	-29.99	76.78	337	
N _{Ma}	15.0	0.0	0.0	0.0	0	
W _{Ma}	90.0	0.0	0.0	0.0	0	
R _{Ma}	39.92	58.74	27.99	65.07	25	
J _{Ma}	81.26	-2.89	71.56	71.62	92	
G _{Ma}	52.23	-42.42	13.6	44.55	162	
B _{Ma}	30.57	1.41	-46.47	46.49	272	

Daten für Maximalfarbe (Ma):

$LAB^*LAB^*_{Ma}$: 40 64 -3

$LAB^*LCH^*_{Ma}$: 40 64 357

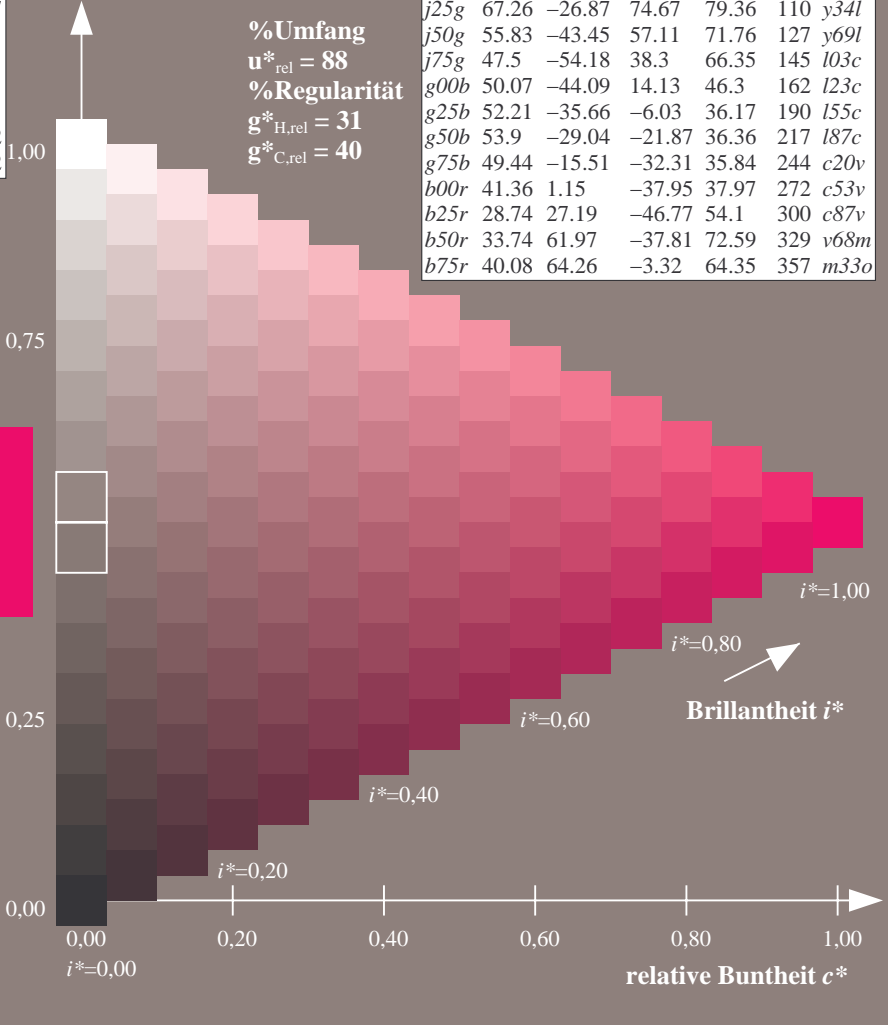
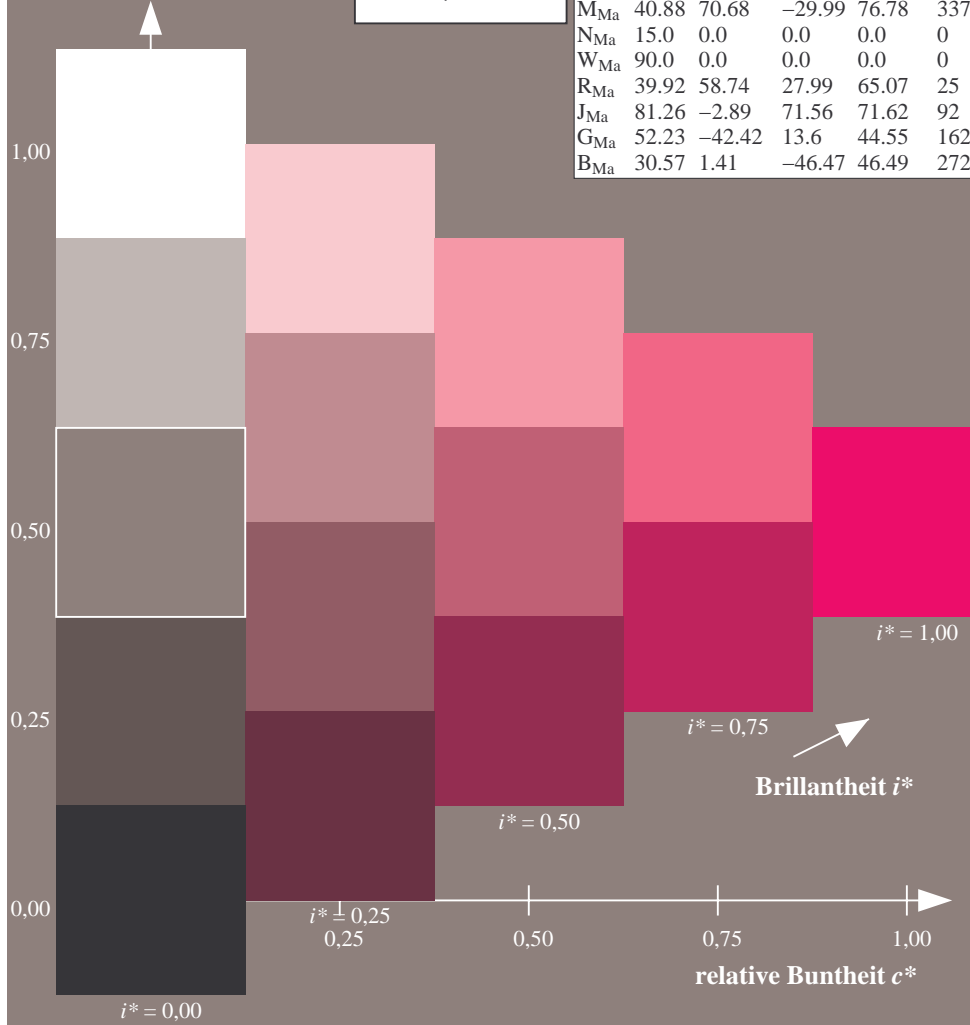
$lab^*rgb^*_{Ma}$: 1.0 0.0 0.5

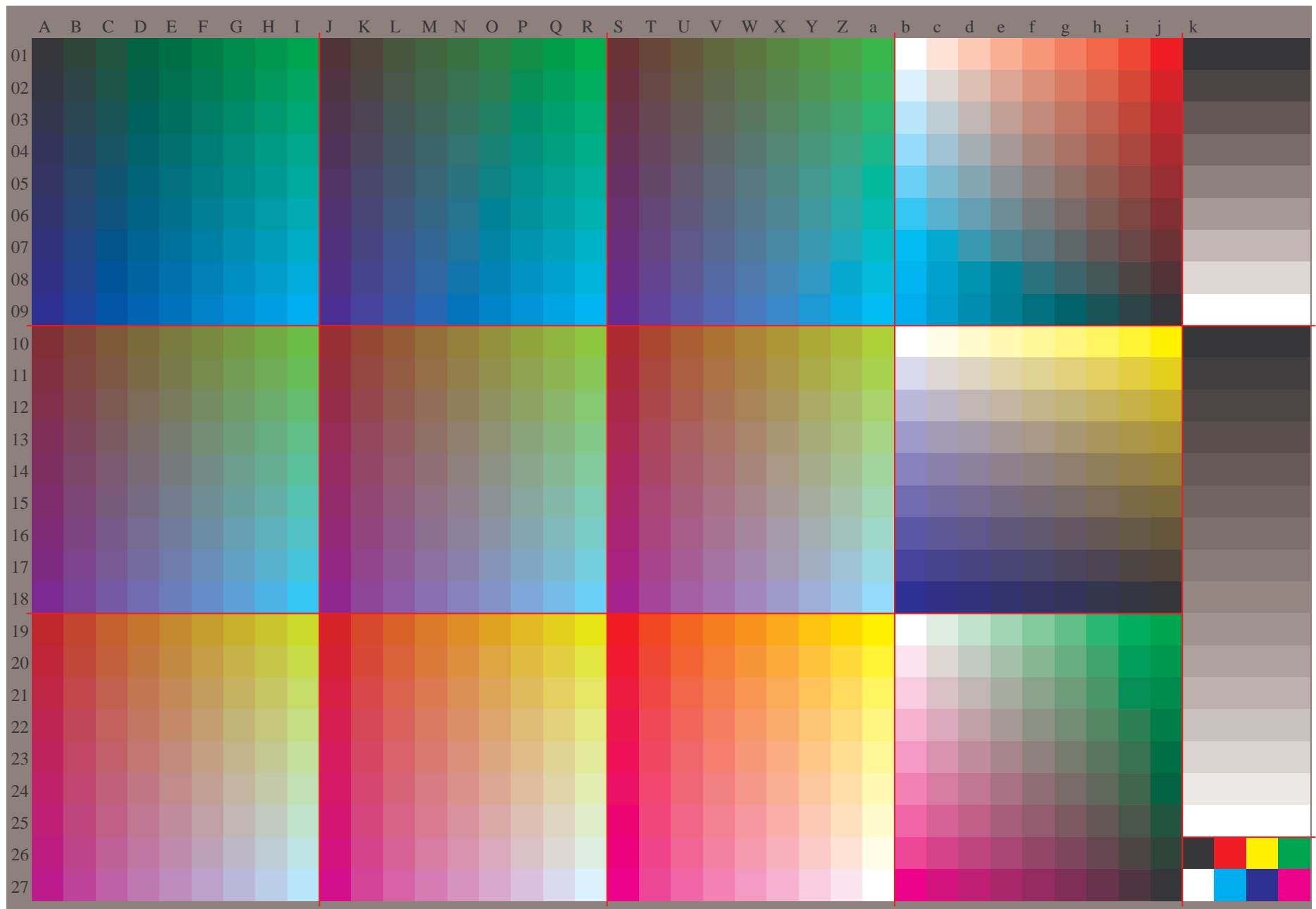
$lab^*olv^*_{Ma}$: 1.0 0.0 0.66

Dreiecks-Helligkeit t^*

FRS15_90a; adaptierte CIELAB-Daten

u^*_e	$L^*=L^*_a$	a^*_a	b^*_a	$C^*_{ab,a}$	$h^*_{ab,a}$	u^*_d
r00j	39.18	56.94	27.13	63.07	25	m81o
r25j	42.41	49.1	44.5	66.26	42	o10y
r50j	52.78	35.22	58.37	68.17	59	o40y
r75j	64.82	19.12	74.47	76.89	76	o69y
j00g	82.06	-3.94	97.52	97.6	92	o98y
j25g	67.26	-26.87	74.67	79.36	110	y34l
j50g	55.83	-43.45	57.11	71.76	127	y69l
j75g	47.5	-54.18	38.3	66.35	145	l03c
g00b	50.07	-44.09	14.13	46.3	162	l23c
g25b	52.21	-35.66	-6.03	36.17	190	l55c
g50b	53.9	-29.04	-21.87	36.36	217	l87c
g75b	49.44	-15.51	-32.31	35.84	244	c20v
b00r	41.36	1.15	-37.95	37.97	272	c53v
b25r	28.74	27.19	-46.77	54.1	300	c87v
b50r	33.74	61.97	-37.81	72.59	329	v68m
b75r	40.08	64.26	-3.32	64.35	357	m33o





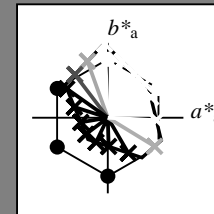
Ein und Ausgabe:
 Farbmimetrisches Drucker-Reflektiv-System FRS15_90a

Daten für jede Farbe:
 u^*_e und Nummer *Nr.* = 00 .. 15

Elementar-Bunttextext:
 $u^*_e = 16$ Bunttoene *r00j, r25j, ..., b75r*

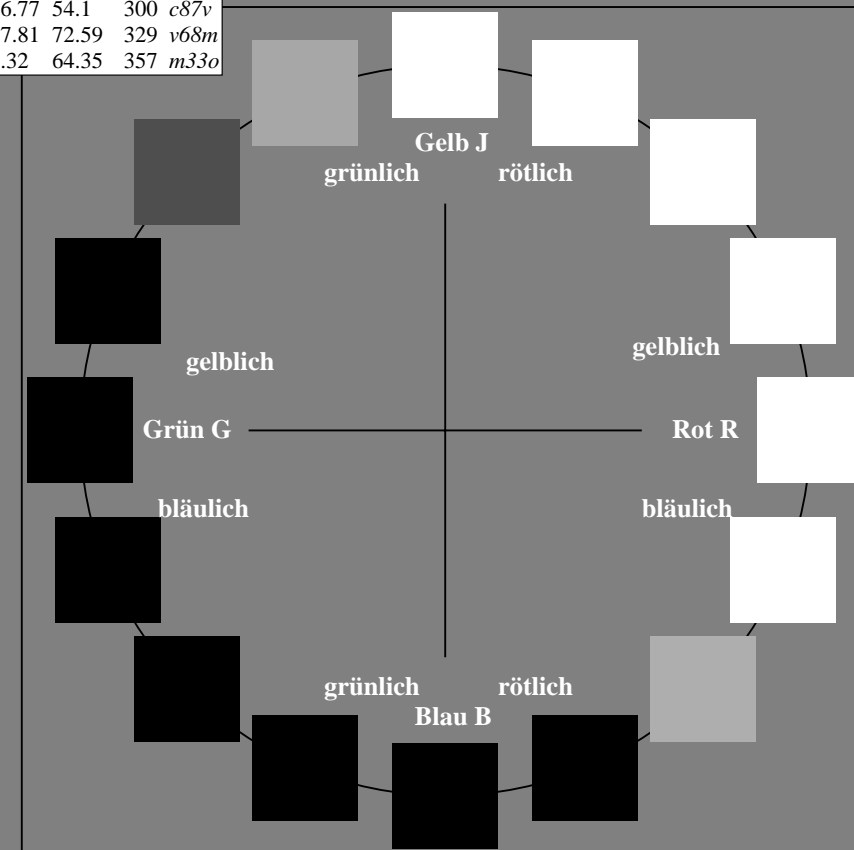
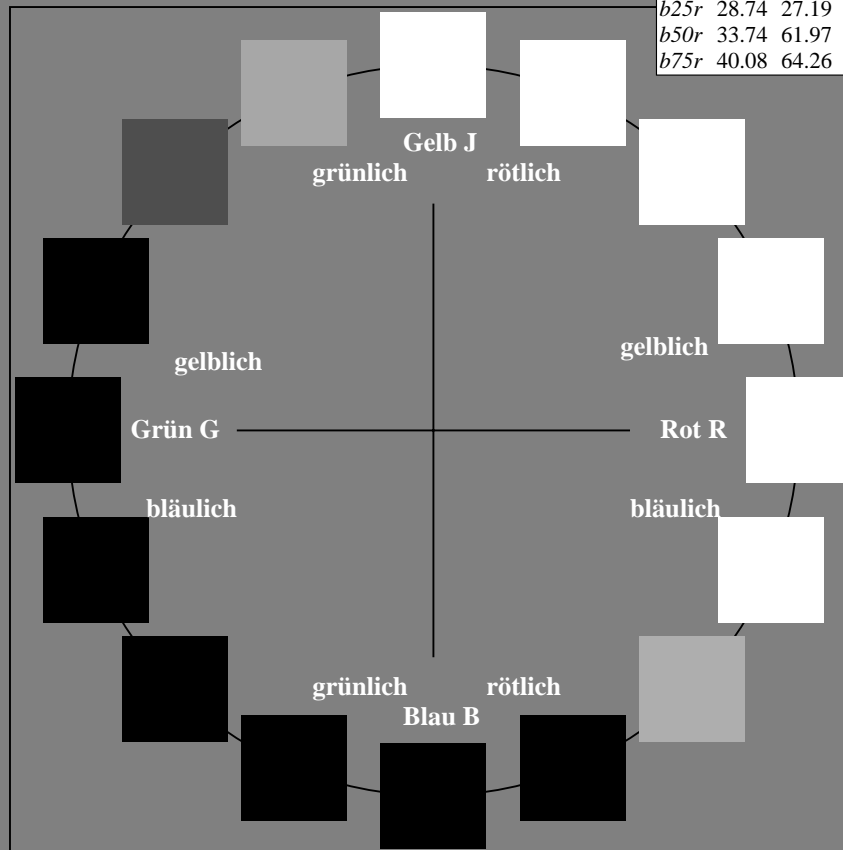
Kontrastreduzierungsfaktor:
 $c_R = 0.9$

FRS15_90a; adaptierte CIELAB-Daten						
u^*_e	$L^*=L^*_a$	a^*_a	b^*_a	$C^*_{ab,a}$	$h^*_{ab,a}$	u^*_d
<i>r00j</i>	39.18	56.94	27.13	63.07	25	<i>m81o</i>
<i>r25j</i>	42.41	49.1	44.5	66.26	42	<i>o10y</i>
<i>r50j</i>	52.78	35.22	58.37	68.17	59	<i>o40y</i>
<i>r75j</i>	64.82	19.12	74.47	76.89	76	<i>o69y</i>
<i>j00g</i>	82.06	-3.94	97.52	97.6	92	<i>o98y</i>
<i>j25g</i>	67.26	-26.87	74.67	79.36	110	<i>y34l</i>
<i>j50g</i>	55.83	-43.45	57.11	71.76	127	<i>y69l</i>
<i>j75g</i>	47.5	-54.18	38.3	66.35	145	<i>l03c</i>
<i>g00b</i>	50.07	-44.09	14.13	46.3	162	<i>l23c</i>
<i>g25b</i>	52.21	-35.66	-6.03	36.17	190	<i>l55c</i>
<i>g50b</i>	53.9	-29.04	-21.87	36.36	217	<i>l87c</i>
<i>g75b</i>	49.44	-15.51	-32.31	35.84	244	<i>c20v</i>
<i>b00r</i>	41.36	1.15	-37.95	37.97	272	<i>c53v</i>
<i>b25r</i>	28.74	27.19	-46.77	54.1	300	<i>c87v</i>
<i>b50r</i>	33.74	61.97	-37.81	72.59	329	<i>v68m</i>
<i>b75r</i>	40.08	64.26	-3.32	64.35	357	<i>m33o</i>



%Umfang
 $u^*_{rel} = 88$
 %Regularität
 $g^*_{H,rel} = 31$
 $g^*_{C,rel} = 40$

FRS15_90a; adaptierte CIELAB-Daten					
Name	$L^*=L^*_a$	a^*_a	b^*_a	$C^*_{ab,a}$	$h^*_{ab,a}$
O _{Ma}	38.8	53.92	39.68	66.95	36
Y _{Ma}	82.58	-4.64	98.22	98.33	93
L _{Ma}	46.95	-56.34	43.46	71.15	142
C _{Ma}	54.62	-26.2	-28.68	38.85	228
V _{Ma}	20.01	45.2	-52.87	69.56	311
M _{Ma}	40.88	70.68	-29.99	76.78	337
N _{Ma}	15.0	0.0	0.0	0.0	0
W _{Ma}	90.0	0.0	0.0	0.0	0
R _{CIE}	39.92	58.74	27.99	65.07	25
J _{CIE}	81.26	-2.89	71.56	71.62	92
G _{CIE}	52.23	-42.42	13.6	44.55	162
B _{CIE}	30.57	1.41	-46.47	46.49	272



Ein und Ausgabe: Farbmetrisches Drucker-Reflektiv-System FRS15_90a für relativen CIELAB-Bunton $h^* = lab^*h^* = h_{ab}/360 = 0.071$

$u^*_e = r00j$

Daten für jede Farbe:

lab^*tch^* und lab^*icu^*

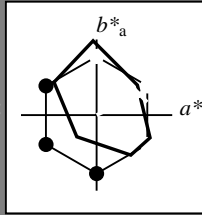
Buntontexte:

$u^*_e = r00j$ $u^*_d = m81o$

Kontrastreduzierungsfaktor:

$c_R = 0.9$

Dreiecks-Helligkeit t^*



FRS15_90a; adaptierte CIELAB-Daten						
u^*_e	$L^*=L^*_a$	a^*_a	b^*_a	$C^*_{ab,a}$	$h^*_{ab,a}$	
O _{Ma}	38.8	53.92	39.68	66.95	36	
Y _{Ma}	82.58	-4.64	98.22	98.33	93	
L _{Ma}	46.95	-56.34	43.46	71.15	142	
C _{Ma}	54.62	-26.2	-28.68	38.85	228	
V _{Ma}	20.01	45.2	-52.87	69.56	311	
M _{Ma}	40.88	70.68	-29.99	76.78	337	
N _{Ma}	15.0	0.0	0.0	0.0	0	
W _{Ma}	90.0	0.0	0.0	0.0	0	
R _{Ma}	39.92	58.74	27.99	65.07	25	
J _{Ma}	81.26	-2.89	71.56	71.62	92	
G _{Ma}	52.23	-42.42	13.6	44.55	162	
B _{Ma}	30.57	1.41	-46.47	46.49	272	

Daten für Maximalfarbe (Ma):

$LAB^*LAB^*_{Ma}$: 39 57 27

$LAB^*LCH^*_{Ma}$: 39 63 25

$lab^*rgb^*_{Ma}$: 1.0 0.0 0.0

$lab^*olv^*_{Ma}$: 1.0 0.0 0.18

Dreiecks-Helligkeit t^*

%Umfang

$u^*_{rel} = 88$

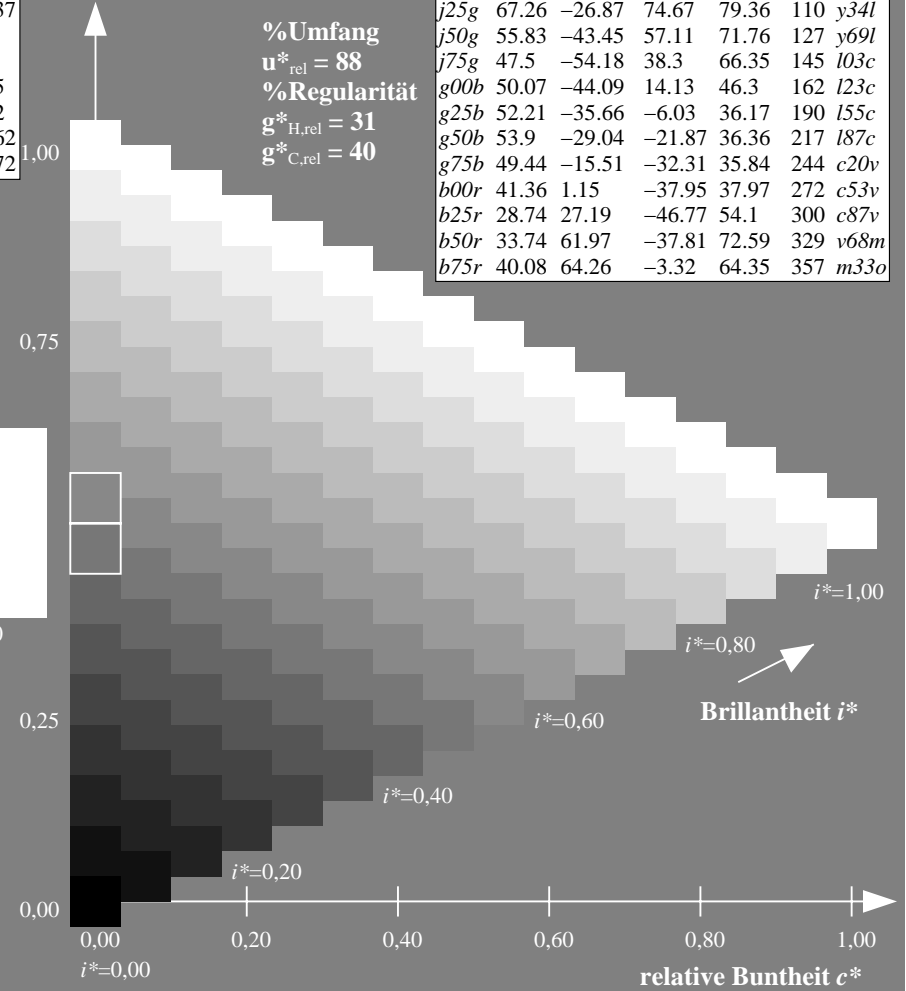
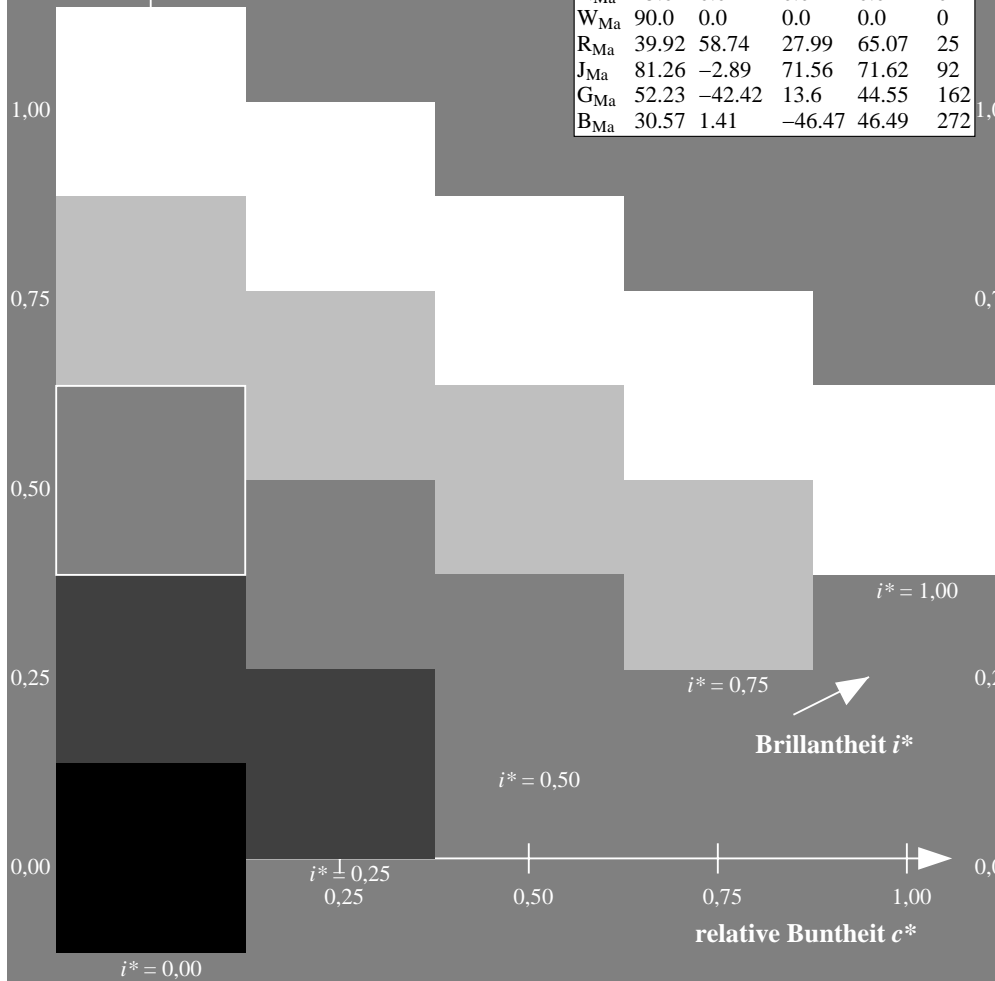
%Regularität

$g^*_{H,rel} = 31$

$g^*_{C,rel} = 40$

FRS15_90a; adaptierte CIELAB-Daten

u^*_e	$L^*=L^*_a$	a^*_a	b^*_a	$C^*_{ab,a}$	$h^*_{ab,a}$	u^*_d
r00j	39.18	56.94	27.13	63.07	25	m81o
r25j	42.41	49.1	44.5	66.26	42	o10y
r50j	52.78	35.22	58.37	68.17	59	o40y
r75j	64.82	19.12	74.47	76.89	76	o69y
j00g	82.06	-3.94	97.52	97.6	92	o98y
j25g	67.26	-26.87	74.67	79.36	110	y34l
j50g	55.83	-43.45	57.11	71.76	127	y69l
j75g	47.5	-54.18	38.3	66.35	145	l03c
g00b	50.07	-44.09	14.13	46.3	162	l23c
g25b	52.21	-35.66	-6.03	36.17	190	l55c
g50b	53.9	-29.04	-21.87	36.36	217	l87c
g75b	49.44	-15.51	-32.31	35.84	244	c20v
b00r	41.36	1.15	-37.95	37.97	272	c53v
b25r	28.74	27.19	-46.77	54.1	300	c87v
b50r	33.74	61.97	-37.81	72.59	329	v68m
b75r	40.08	64.26	-3.32	64.35	357	m33o



Ein und Ausgabe: Farbmetrisches Drucker-Reflektiv-System FRS15_90a für relativen CIELAB-Bunton $h^* = lab^*h^* = h_{ab}/360 = 0.117$

$u^*_e = r25j$

Daten für jede Farbe:

lab^*tch^* und lab^*icu^*

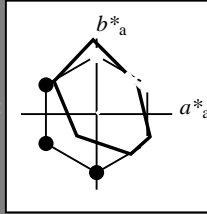
Buntontexte:

$u^*_e = r25j$ $u^*_d = o10y$

Kontrastreduzierungsfaktor:

$c_R = 0.9$

Dreiecks-Helligkeit t^*



FRS15_90a; adaptierte CIELAB-Daten						
u^*_e	$L^*=L^*_a$	a^*_a	b^*_a	$C^*_{ab,a}$	$h^*_{ab,a}$	
O _{Ma}	38.8	53.92	39.68	66.95	36	
Y _{Ma}	82.58	-4.64	98.22	98.33	93	
L _{Ma}	46.95	-56.34	43.46	71.15	142	
C _{Ma}	54.62	-26.2	-28.68	38.85	228	
V _{Ma}	20.01	45.2	-52.87	69.56	311	
M _{Ma}	40.88	70.68	-29.99	76.78	337	
N _{Ma}	15.0	0.0	0.0	0.0	0	
W _{Ma}	90.0	0.0	0.0	0.0	0	
R _{Ma}	39.92	58.74	27.99	65.07	25	
J _{Ma}	81.26	-2.89	71.56	71.62	92	
G _{Ma}	52.23	-42.42	13.6	44.55	162	
B _{Ma}	30.57	1.41	-46.47	46.49	272	

Daten für Maximalfarbe (Ma):

$LAB^*LAB^*_{Ma}$: 42 49 44

$LAB^*LCH^*_{Ma}$: 42 66 42

$lab^*rgb^*_{Ma}$: 1.0 0.25 0.0

$lab^*olv^*_{Ma}$: 1.0 0.1 0.0

Dreiecks-Helligkeit t^*

%Umfang

$u^*_{rel} = 88$

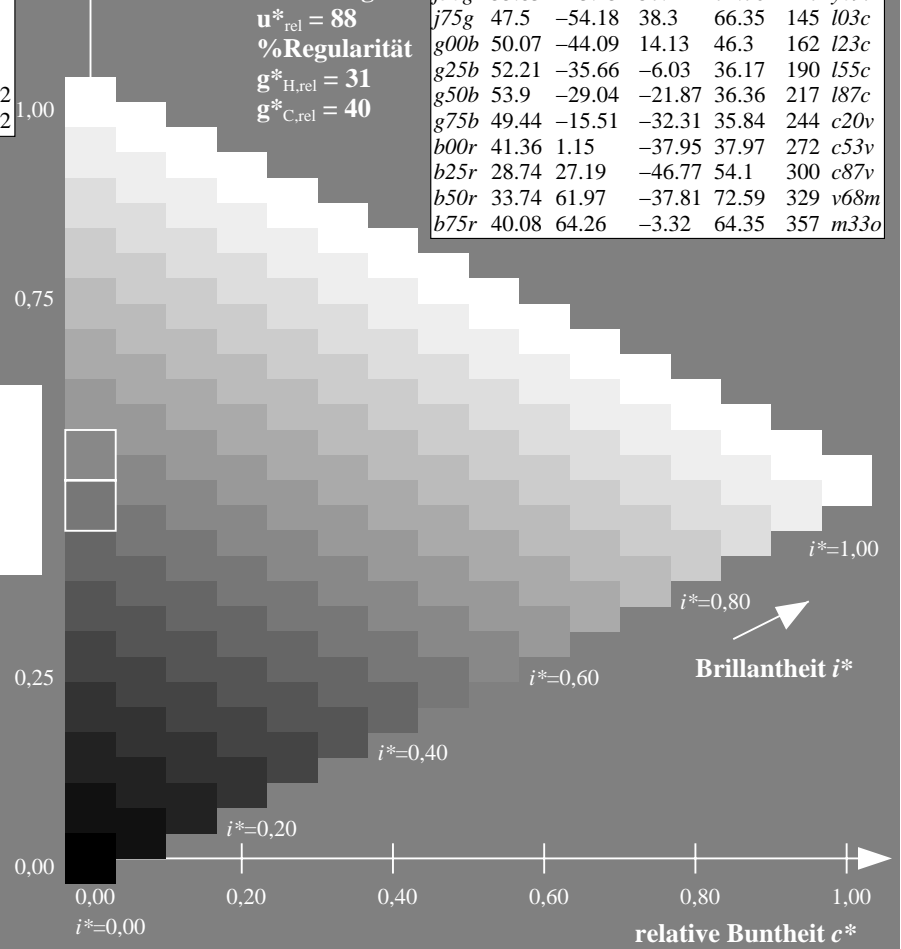
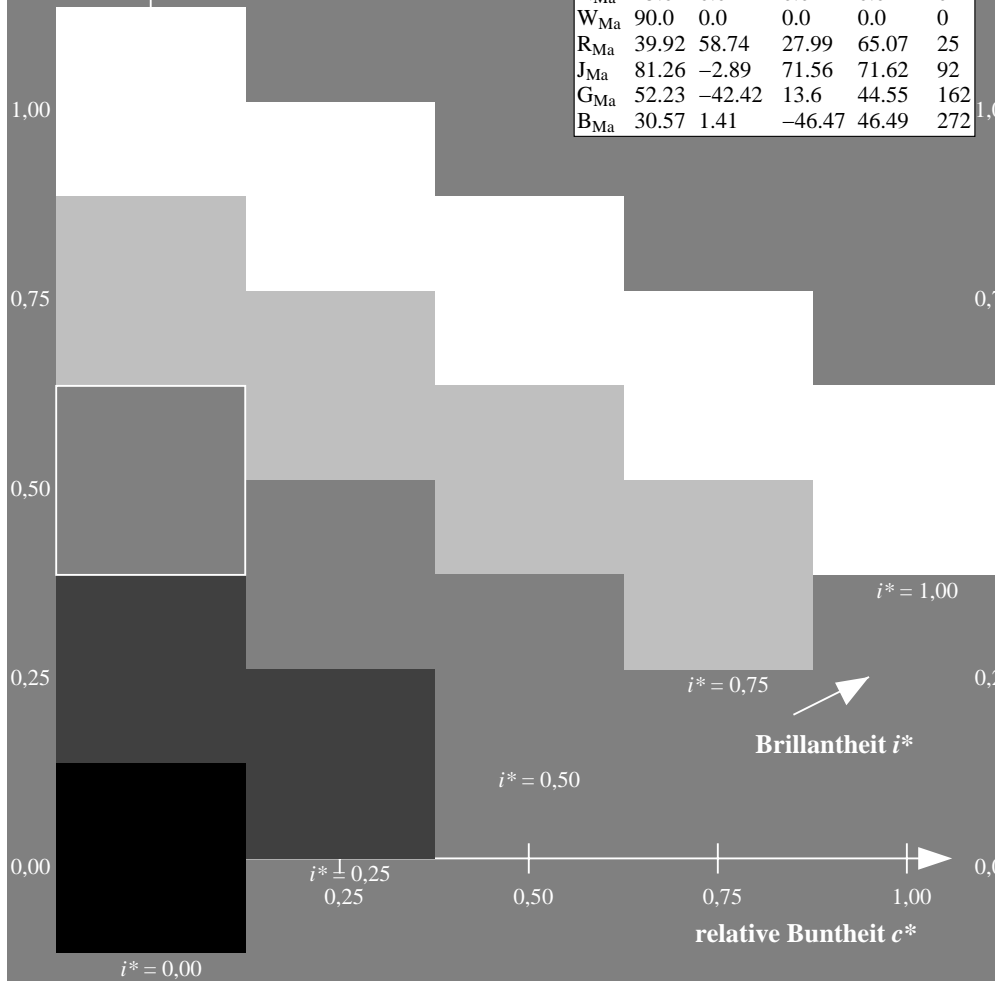
%Regularität

$g^*_{H,rel} = 31$

$g^*_{C,rel} = 40$

FRS15_90a; adaptierte CIELAB-Daten

u^*_e	$L^*=L^*_a$	a^*_a	b^*_a	$C^*_{ab,a}$	$h^*_{ab,a}$	u^*_d
r00j	39.18	56.94	27.13	63.07	25	m81o
r25j	42.41	49.1	44.5	66.26	42	o10y
r50j	52.78	35.22	58.37	68.17	59	o40y
r75j	64.82	19.12	74.47	76.89	76	o69y
j00g	82.06	-3.94	97.52	97.6	92	o98y
j25g	67.26	-26.87	74.67	79.36	110	y34l
j50g	55.83	-43.45	57.11	71.76	127	y69l
j75g	47.5	-54.18	38.3	66.35	145	l03c
g00b	50.07	-44.09	14.13	46.3	162	l23c
g25b	52.21	-35.66	-6.03	36.17	190	l55c
g50b	53.9	-29.04	-21.87	36.36	217	l87c
g75b	49.44	-15.51	-32.31	35.84	244	c20v
b00r	41.36	1.15	-37.95	37.97	272	c53v
b25r	28.74	27.19	-46.77	54.1	300	c87v
b50r	33.74	61.97	-37.81	72.59	329	v68m
b75r	40.08	64.26	-3.32	64.35	357	m33o



Ein und Ausgabe: Farbmatisches Drucker-Reflektiv-System FRS15_90a für relativen CIELAB-Bunton $h^* = lab^*h^* = h_{ab}/360 = 0.164$

$u^*_e = r50j$

Daten für jede Farbe:

lab^*tch^* und lab^*icu^*

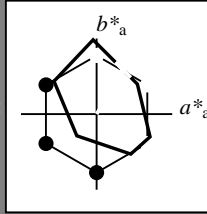
Buntontexte:

$u^*_e = r50j$ $u^*_d = o40y$

Kontrastreduzierungsfaktor:

$c_R = 0.9$

Dreiecks-Helligkeit t^*



FRS15_90a; adaptierte CIELAB-Daten						
u^*_e	$L^*=L^*_a$	a^*_a	b^*_a	$C^*_{ab,a}$	$h^*_{ab,a}$	
O _{Ma}	38.8	53.92	39.68	66.95	36	
Y _{Ma}	82.58	-4.64	98.22	98.33	93	
L _{Ma}	46.95	-56.34	43.46	71.15	142	
C _{Ma}	54.62	-26.2	-28.68	38.85	228	
V _{Ma}	20.01	45.2	-52.87	69.56	311	
M _{Ma}	40.88	70.68	-29.99	76.78	337	
N _{Ma}	15.0	0.0	0.0	0.0	0	
W _{Ma}	90.0	0.0	0.0	0.0	0	
R _{Ma}	39.92	58.74	27.99	65.07	25	
J _{Ma}	81.26	-2.89	71.56	71.62	92	
G _{Ma}	52.23	-42.42	13.6	44.55	162	
B _{Ma}	30.57	1.41	-46.47	46.49	272	

Daten für Maximalfarbe (Ma):

$LAB^*LAB^*_{Ma}$: 53 35 58

$LAB^*LCH^*_{Ma}$: 53 68 58

$lab^*rgb^*_{Ma}$: 1.0 0.5 0.0

$lab^*olv^*_{Ma}$: 1.0 0.4 0.0

Dreiecks-Helligkeit t^*

%Umfang

$u^*_{rel} = 88$

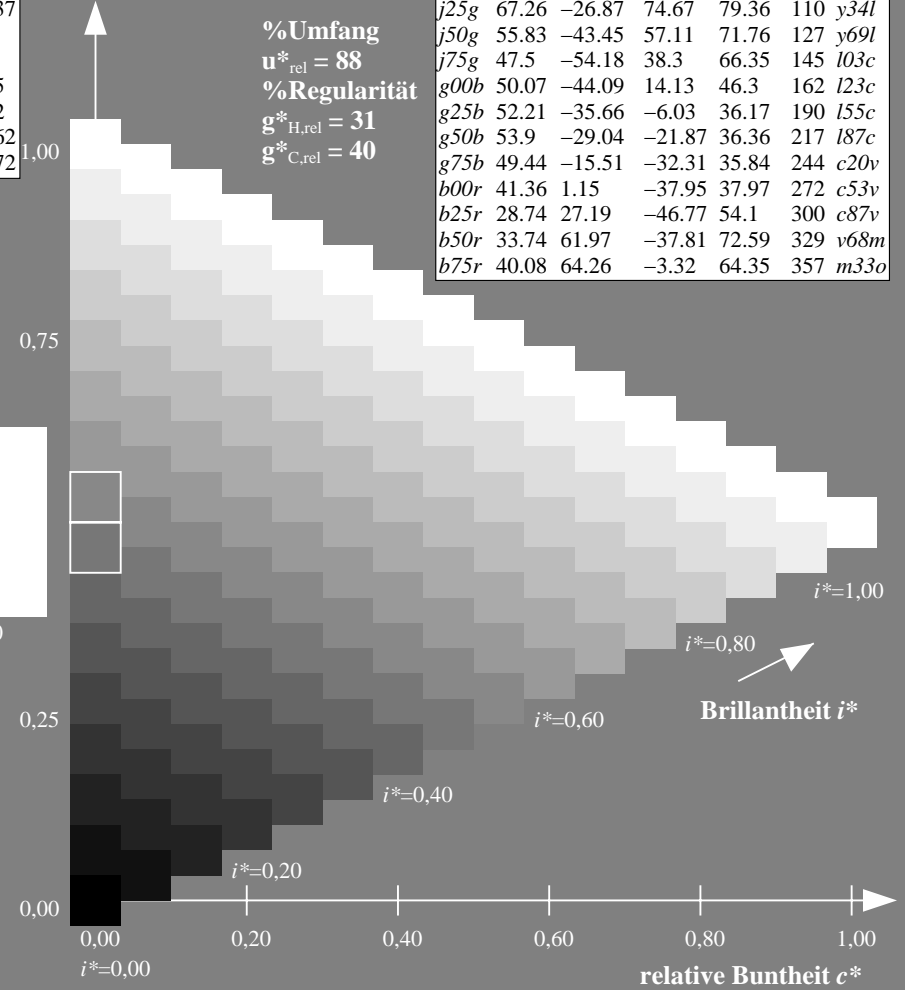
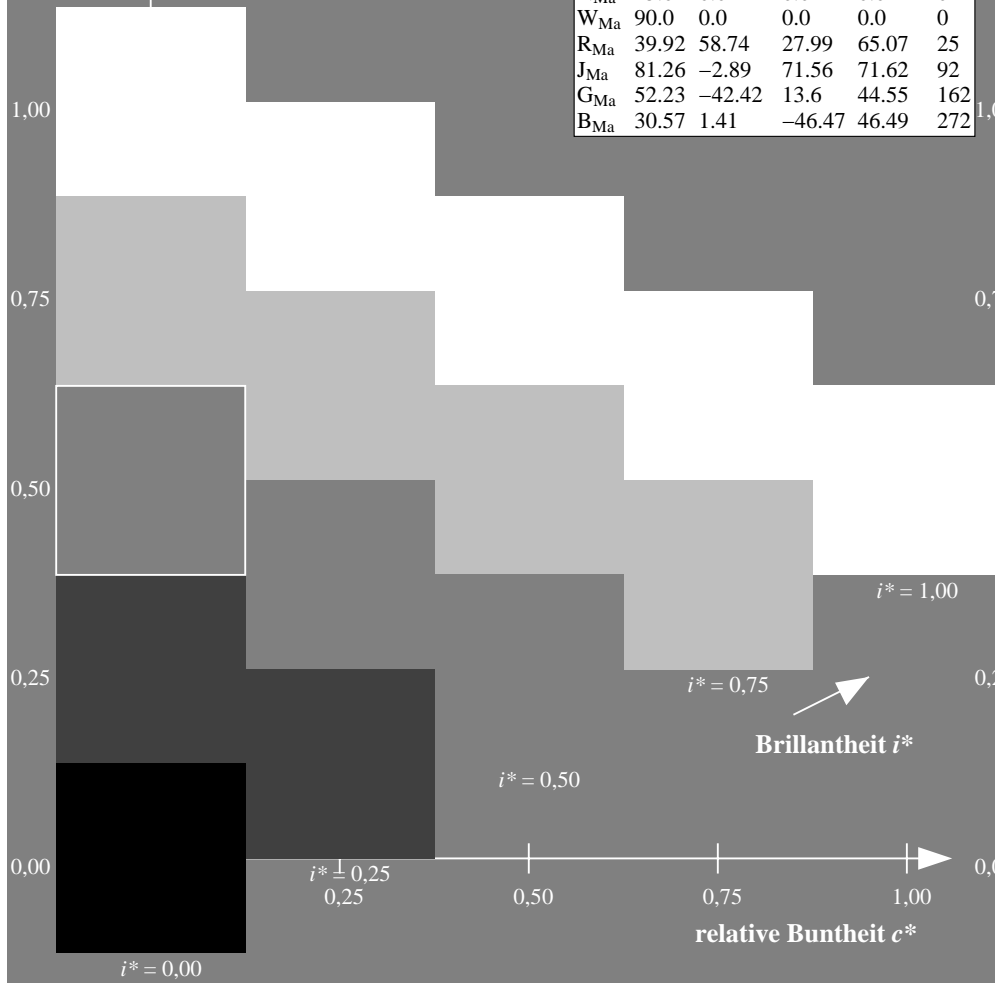
%Regularität

$g^*_{H,rel} = 31$

$g^*_{C,rel} = 40$

FRS15_90a; adaptierte CIELAB-Daten

u^*_e	$L^*=L^*_a$	a^*_a	b^*_a	$C^*_{ab,a}$	$h^*_{ab,a}$	u^*_d
r00j	39.18	56.94	27.13	63.07	25	m81o
r25j	42.41	49.1	44.5	66.26	42	o10y
r50j	52.78	35.22	58.37	68.17	59	o40y
r75j	64.82	19.12	74.47	76.89	76	o69y
j00g	82.06	-3.94	97.52	97.6	92	o98y
j25g	67.26	-26.87	74.67	79.36	110	y34l
j50g	55.83	-43.45	57.11	71.76	127	y69l
j75g	47.5	-54.18	38.3	66.35	145	l03c
g00b	50.07	-44.09	14.13	46.3	162	l23c
g25b	52.21	-35.66	-6.03	36.17	190	l55c
g50b	53.9	-29.04	-21.87	36.36	217	l87c
g75b	49.44	-15.51	-32.31	35.84	244	c20v
b00r	41.36	1.15	-37.95	37.97	272	c53v
b25r	28.74	27.19	-46.77	54.1	300	c87v
b50r	33.74	61.97	-37.81	72.59	329	v68m
b75r	40.08	64.26	-3.32	64.35	357	m33o



Ein und Ausgabe: Farbmetrisches Drucker-Reflektiv-System FRS15_90a für relativen CIELAB-Bunton $h^* = lab^*h^* = h_{ab}/360 = 0.21$

$u^*_e = r75j$

Daten für jede Farbe:

lab^*tch^* und lab^*icu^*

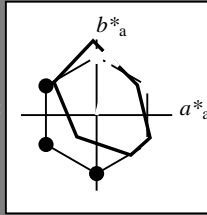
Buntontexte:

$u^*_e = r75j$ $u^*_d = o69y$

Kontrastreduzierungsfaktor:

$c_R = 0.9$

Dreiecks-Helligkeit t^*



FRS15_90a; adaptierte CIELAB-Daten						
u^*_e	$L^*=L^*_a$	a^*_a	b^*_a	$C^*_{ab,a}$	$h^*_{ab,a}$	
O _{Ma}	38.8	53.92	39.68	66.95	36	
Y _{Ma}	82.58	-4.64	98.22	98.33	93	
L _{Ma}	46.95	-56.34	43.46	71.15	142	
C _{Ma}	54.62	-26.2	-28.68	38.85	228	
V _{Ma}	20.01	45.2	-52.87	69.56	311	
M _{Ma}	40.88	70.68	-29.99	76.78	337	
N _{Ma}	15.0	0.0	0.0	0.0	0	
W _{Ma}	90.0	0.0	0.0	0.0	0	
R _{Ma}	39.92	58.74	27.99	65.07	25	
J _{Ma}	81.26	-2.89	71.56	71.62	92	
G _{Ma}	52.23	-42.42	13.6	44.55	162	
B _{Ma}	30.57	1.41	-46.47	46.49	272	

Daten für Maximalfarbe (Ma):

$LAB^*LAB^*_{Ma}$: 65 19 74

$LAB^*LCH^*_{Ma}$: 65 77 75

$lab^*rgb^*_{Ma}$: 1.0 0.75 0.0

$lab^*olv^*_{Ma}$: 1.0 0.7 0.0

Dreiecks-Helligkeit t^*

%Umfang

$u^*_{rel} = 88$

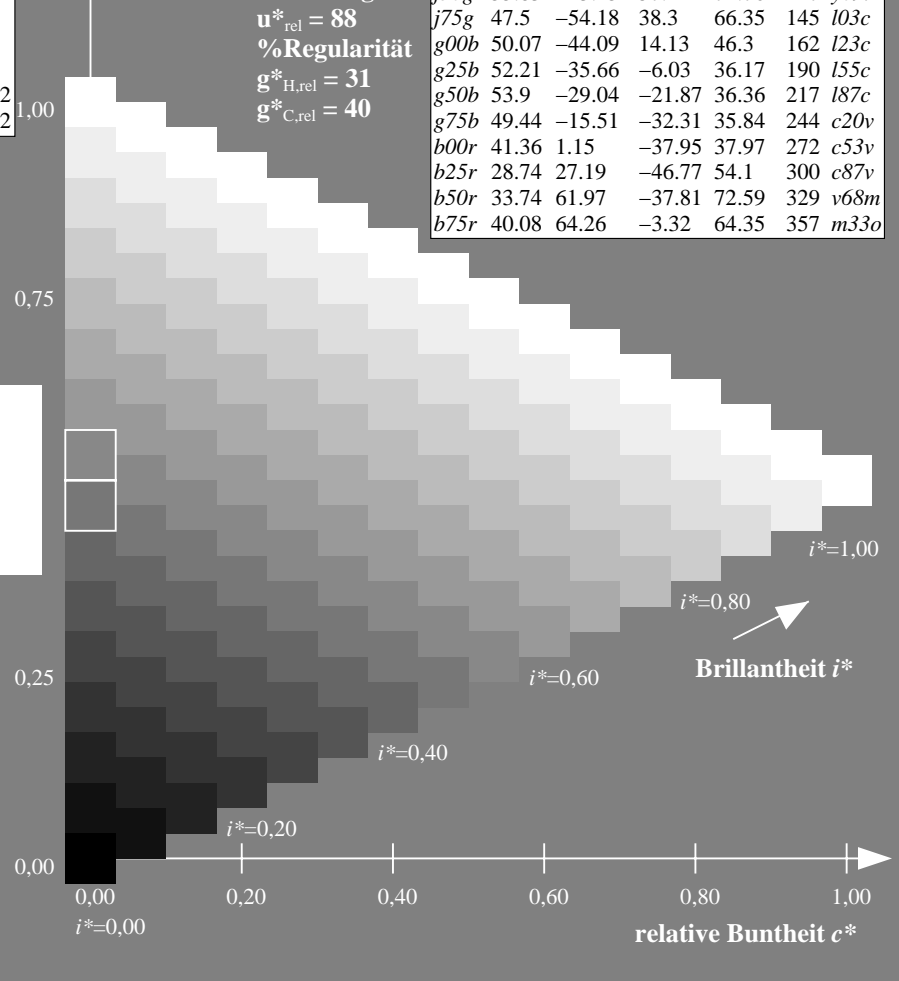
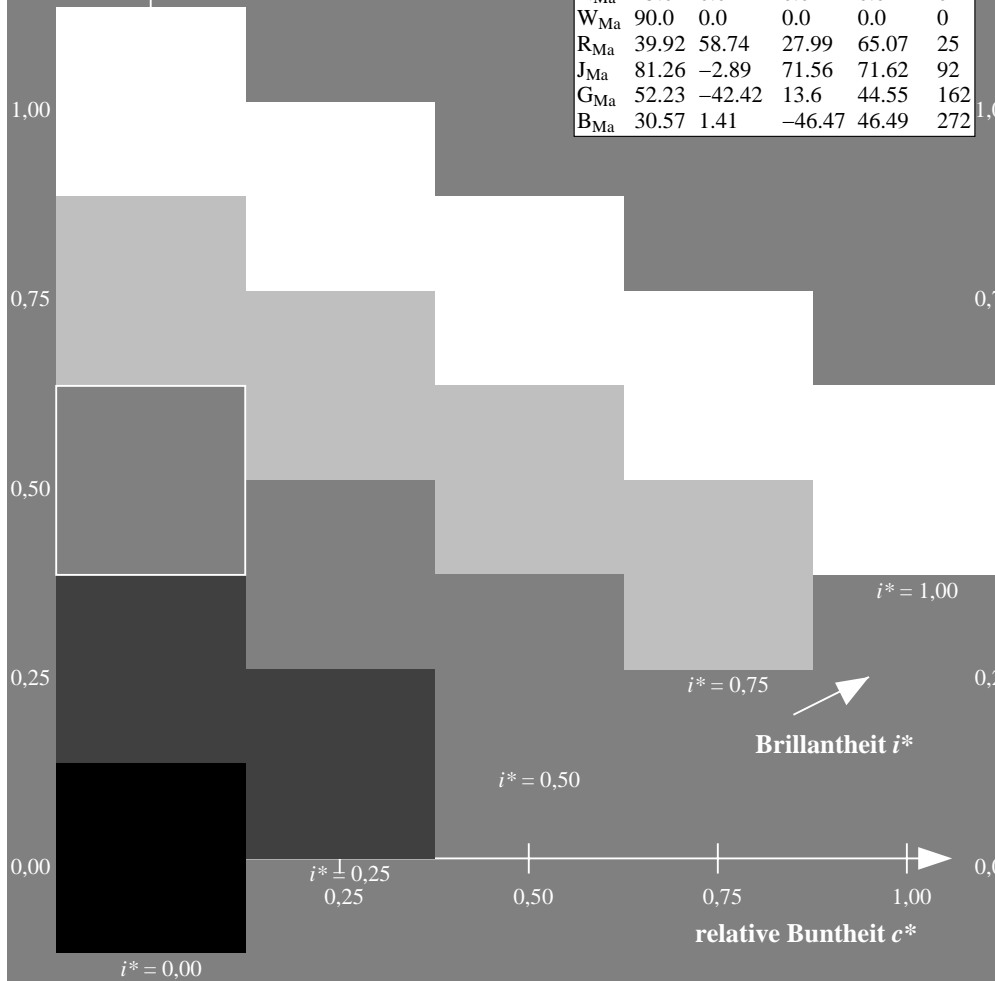
%Regularität

$g^*_{H,rel} = 31$

$g^*_{C,rel} = 40$

FRS15_90a; adaptierte CIELAB-Daten

u^*_e	$L^*=L^*_a$	a^*_a	b^*_a	$C^*_{ab,a}$	$h^*_{ab,a}$	u^*_d
r00j	39.18	56.94	27.13	63.07	25	m81o
r25j	42.41	49.1	44.5	66.26	42	o10y
r50j	52.78	35.22	58.37	68.17	59	o40y
r75j	64.82	19.12	74.47	76.89	76	o69y
j00g	82.06	-3.94	97.52	97.6	92	o98y
j25g	67.26	-26.87	74.67	79.36	110	y34l
j50g	55.83	-43.45	57.11	71.76	127	y69l
j75g	47.5	-54.18	38.3	66.35	145	l03c
g00b	50.07	-44.09	14.13	46.3	162	l23c
g25b	52.21	-35.66	-6.03	36.17	190	l55c
g50b	53.9	-29.04	-21.87	36.36	217	l87c
g75b	49.44	-15.51	-32.31	35.84	244	c20v
b00r	41.36	1.15	-37.95	37.97	272	c53v
b25r	28.74	27.19	-46.77	54.1	300	c87v
b50r	33.74	61.97	-37.81	72.59	329	v68m
b75r	40.08	64.26	-3.32	64.35	357	m33o



Ein und Ausgabe: Farbmatisches Drucker-Reflektiv-System FRS15_90a für relativen CIELAB-Bunton $h^* = lab^*h^* = h_{ab}/360 = 0.256$

$u^*_e = j00g$

Daten für jede Farbe:

lab^*tch^* und lab^*icu^*

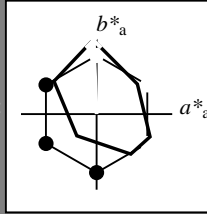
Buntontexte:

$u^*_e = j00g$ $u^*_d = o98y$

Kontrastreduzierungsfaktor:

$c_R = 0.9$

Dreiecks-Helligkeit t^*



FRS15_90a; adaptierte CIELAB-Daten						
u^*_e	$L^*=L^*_a$	a^*_a	b^*_a	$C^*_{ab,a}$	$h^*_{ab,a}$	
O _{Ma}	38.8	53.92	39.68	66.95	36	
Y _{Ma}	82.58	-4.64	98.22	98.33	93	
L _{Ma}	46.95	-56.34	43.46	71.15	142	
C _{Ma}	54.62	-26.2	-28.68	38.85	228	
V _{Ma}	20.01	45.2	-52.87	69.56	311	
M _{Ma}	40.88	70.68	-29.99	76.78	337	
N _{Ma}	15.0	0.0	0.0	0.0	0	
W _{Ma}	90.0	0.0	0.0	0.0	0	
R _{Ma}	39.92	58.74	27.99	65.07	25	
J _{Ma}	81.26	-2.89	71.56	71.62	92	
G _{Ma}	52.23	-42.42	13.6	44.55	162	
B _{Ma}	30.57	1.41	-46.47	46.49	272	

Daten für Maximalfarbe (Ma):

$LAB^*LAB^*_{Ma}$: 82 -4 98

$LAB^*LCH^*_{Ma}$: 82 98 92

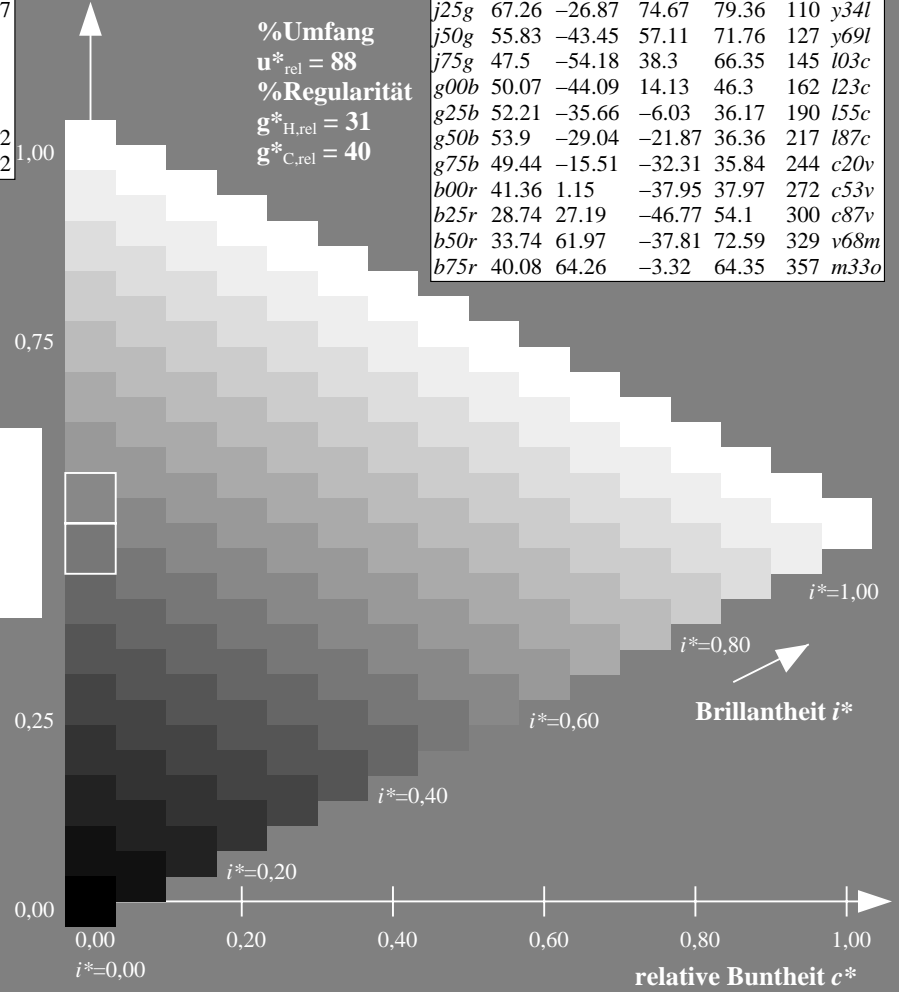
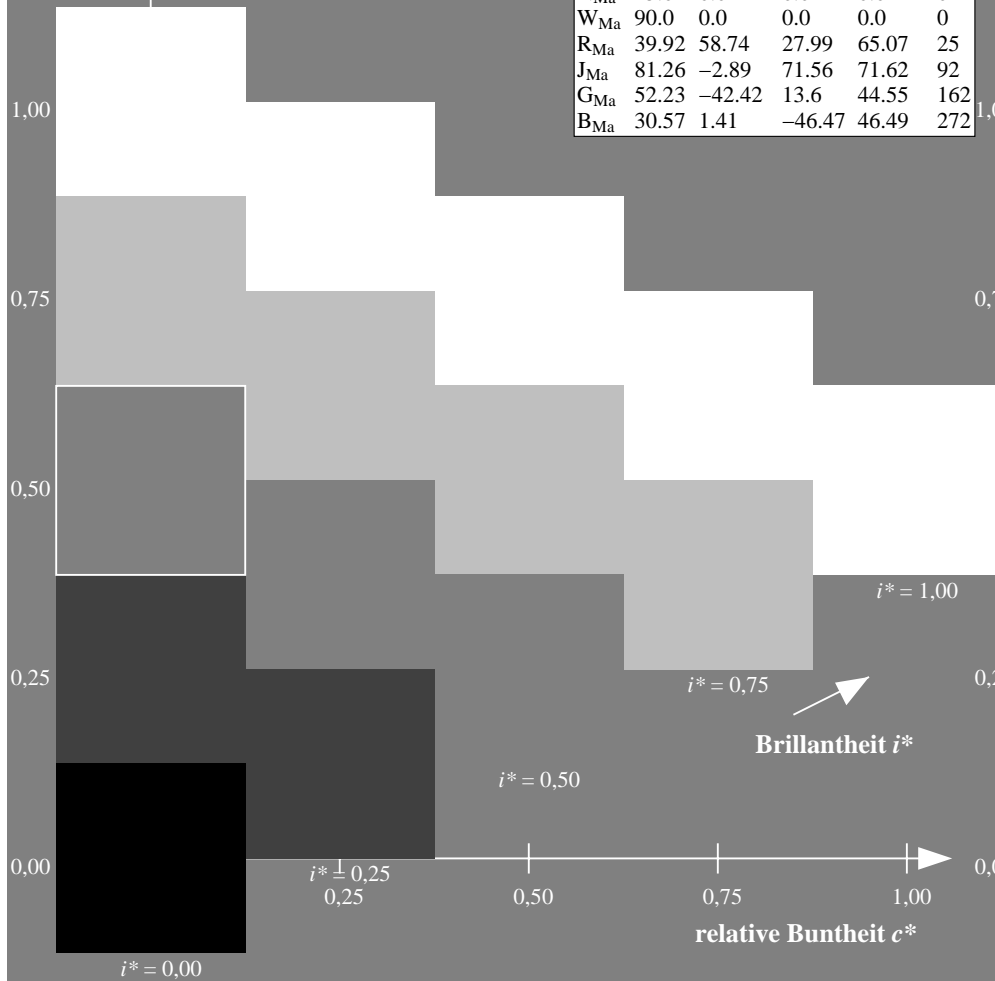
$lab^*rgb^*_{Ma}$: 1.0 1.0 0.0

$lab^*olv^*_{Ma}$: 1.0 0.99 0.0

Dreiecks-Helligkeit t^*

FRS15_90a; adaptierte CIELAB-Daten

u^*_e	$L^*=L^*_a$	a^*_a	b^*_a	$C^*_{ab,a}$	$h^*_{ab,a}$	u^*_d
r00j	39.18	56.94	27.13	63.07	25	m81o
r25j	42.41	49.1	44.5	66.26	42	o10y
r50j	52.78	35.22	58.37	68.17	59	o40y
r75j	64.82	19.12	74.47	76.89	76	o69y
j00g	82.06	-3.94	97.52	97.6	92	o98y
j25g	67.26	-26.87	74.67	79.36	110	y34l
j50g	55.83	-43.45	57.11	71.76	127	y69l
j75g	47.5	-54.18	38.3	66.35	145	l03c
g00b	50.07	-44.09	14.13	46.3	162	l23c
g25b	52.21	-35.66	-6.03	36.17	190	l55c
g50b	53.9	-29.04	-21.87	36.36	217	l87c
g75b	49.44	-15.51	-32.31	35.84	244	c20v
b00r	41.36	1.15	-37.95	37.97	272	c53v
b25r	28.74	27.19	-46.77	54.1	300	c87v
b50r	33.74	61.97	-37.81	72.59	329	v68m
b75r	40.08	64.26	-3.32	64.35	357	m33o



Ein und Ausgabe: Farbmetrisches Drucker-Reflektiv-System FRS15_90a für relativen CIELAB-Bunton $h^* = lab^*h^* = h_{ab}/360 = 0.305$

$u^*_e = j25g$

Daten für jede Farbe:

lab^*tch^* und lab^*icu^*

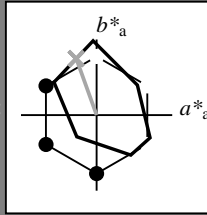
Buntontexte:

$u^*_e = j25g$ $u^*_d = y34l$

Kontrastreduzierungsfaktor:

$c_R = 0.9$

Dreiecks-Helligkeit t^*



FRS15_90a; adaptierte CIELAB-Daten						
u^*_e	$L^*=L^*_a$	a^*_a	b^*_a	$C^*_{ab,a}$	$h^*_{ab,a}$	
O _{Ma}	38.8	53.92	39.68	66.95	36	
Y _{Ma}	82.58	-4.64	98.22	98.33	93	
L _{Ma}	46.95	-56.34	43.46	71.15	142	
C _{Ma}	54.62	-26.2	-28.68	38.85	228	
V _{Ma}	20.01	45.2	-52.87	69.56	311	
M _{Ma}	40.88	70.68	-29.99	76.78	337	
N _{Ma}	15.0	0.0	0.0	0.0	0	
W _{Ma}	90.0	0.0	0.0	0.0	0	
R _{Ma}	39.92	58.74	27.99	65.07	25	
J _{Ma}	81.26	-2.89	71.56	71.62	92	
G _{Ma}	52.23	-42.42	13.6	44.55	162	
B _{Ma}	30.57	1.41	-46.47	46.49	272	

Daten für Maximalfarbe (Ma):

$LAB^*LAB^*_{Ma}$: 67 -27 75

$LAB^*LCH^*_{Ma}$: 67 79 109

$lab^*rgb^*_{Ma}$: 0.75 1.0 0.0

$lab^*olv^*_{Ma}$: 0.66 1.0 0.0

Dreiecks-Helligkeit t^*

%Umfang

$u^*_{rel} = 88$

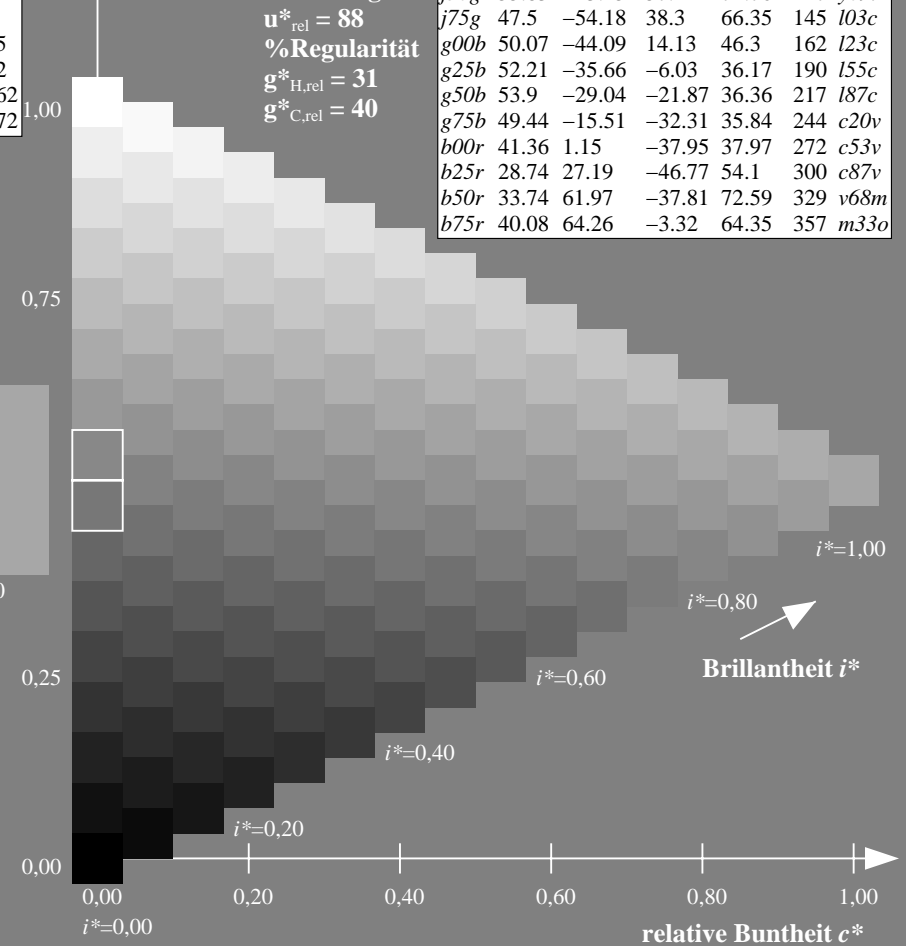
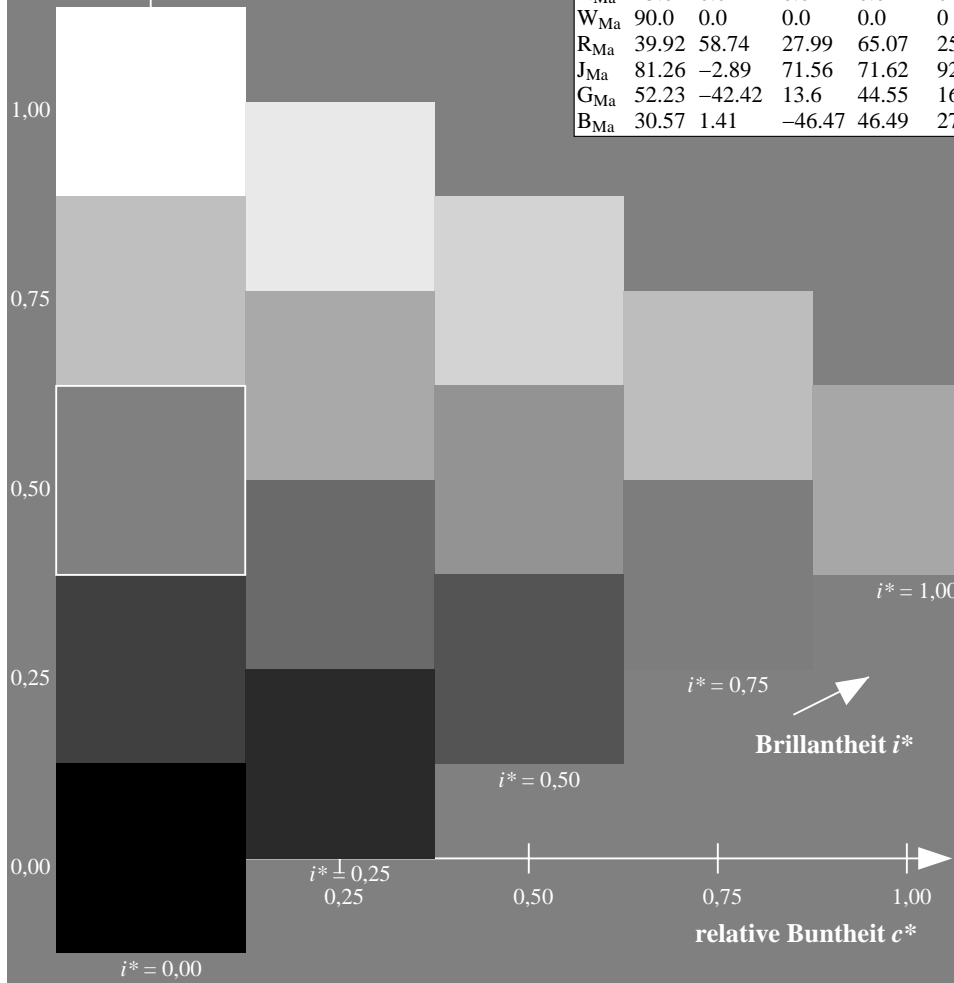
%Regularität

$g^*_{H,rel} = 31$

$g^*_{C,rel} = 40$

FRS15_90a; adaptierte CIELAB-Daten

u^*_e	$L^*=L^*_a$	a^*_a	b^*_a	$C^*_{ab,a}$	$h^*_{ab,a}$	u^*_d
r00j	39.18	56.94	27.13	63.07	25	m81o
r25j	42.41	49.1	44.5	66.26	42	o10y
r50j	52.78	35.22	58.37	68.17	59	o40y
r75j	64.82	19.12	74.47	76.89	76	o69y
j00g	82.06	-3.94	97.52	97.6	92	o98y
j25g	67.26	-26.87	74.67	79.36	110	y34l
j50g	55.83	-43.45	57.11	71.76	127	y69l
j75g	47.5	-54.18	38.3	66.35	145	l03c
g00b	50.07	-44.09	14.13	46.3	162	l23c
g25b	52.21	-35.66	-6.03	36.17	190	l55c
g50b	53.9	-29.04	-21.87	36.36	217	l87c
g75b	49.44	-15.51	-32.31	35.84	244	c20v
b00r	41.36	1.15	-37.95	37.97	272	c53v
b25r	28.74	27.19	-46.77	54.1	300	c87v
b50r	33.74	61.97	-37.81	72.59	329	v68m
b75r	40.08	64.26	-3.32	64.35	357	m33o



Ein und Ausgabe: Farbmatisches Drucker-Reflektiv-System FRS15_90a für relativen CIELAB-Bunton $h^* = lab^*h^* = h_{ab}/360 = 0.354$

$u^*_e = j50g$

Daten für jede Farbe:

lab^*tch^* und lab^*icu^*

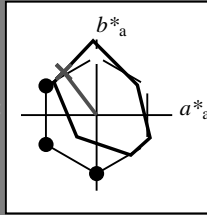
Buntontexte:

$u^*_e = j50g$ $u^*_d = y69l$

Kontrastreduzierungsfaktor:

$c_R = 0.9$

Dreiecks-Helligkeit t^*



FRS15_90a; adaptierte CIELAB-Daten						
u^*_e	$L^*=L^*_a$	a^*_a	b^*_a	$C^*_{ab,a}$	$h^*_{ab,a}$	
O_{Ma}	38.8	53.92	39.68	66.95	36	
Y_{Ma}	82.58	-4.64	98.22	98.33	93	
L_{Ma}	46.95	-56.34	43.46	71.15	142	
C_{Ma}	54.62	-26.2	-28.68	38.85	228	
V_{Ma}	20.01	45.2	-52.87	69.56	311	
M_{Ma}	40.88	70.68	-29.99	76.78	337	
N_{Ma}	15.0	0.0	0.0	0.0	0	
W_{Ma}	90.0	0.0	0.0	0.0	0	
R_{Ma}	39.92	58.74	27.99	65.07	25	
J_{Ma}	81.26	-2.89	71.56	71.62	92	
G_{Ma}	52.23	-42.42	13.6	44.55	162	
B_{Ma}	30.57	1.41	-46.47	46.49	272	

Daten für Maximalfarbe (Ma):

$LAB^*LAB^*_{Ma}: 56 -43 57$

$LAB^*LCH^*_{Ma}: 56 72 127$

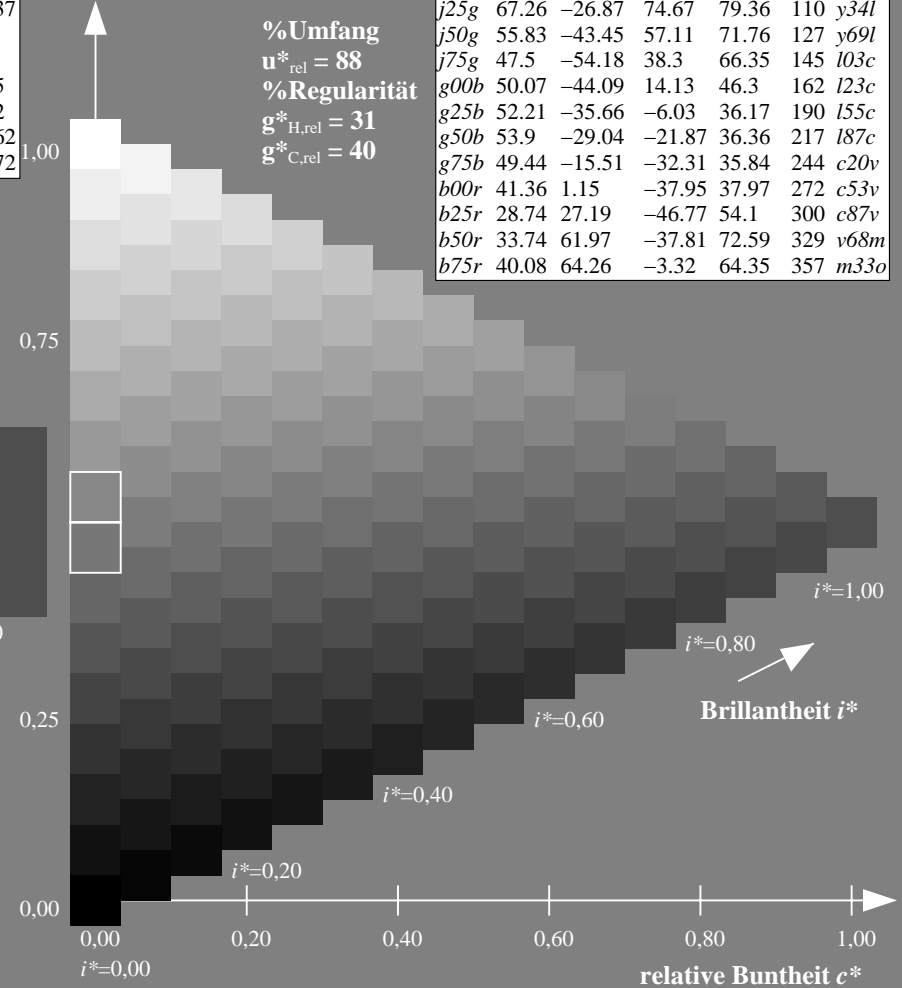
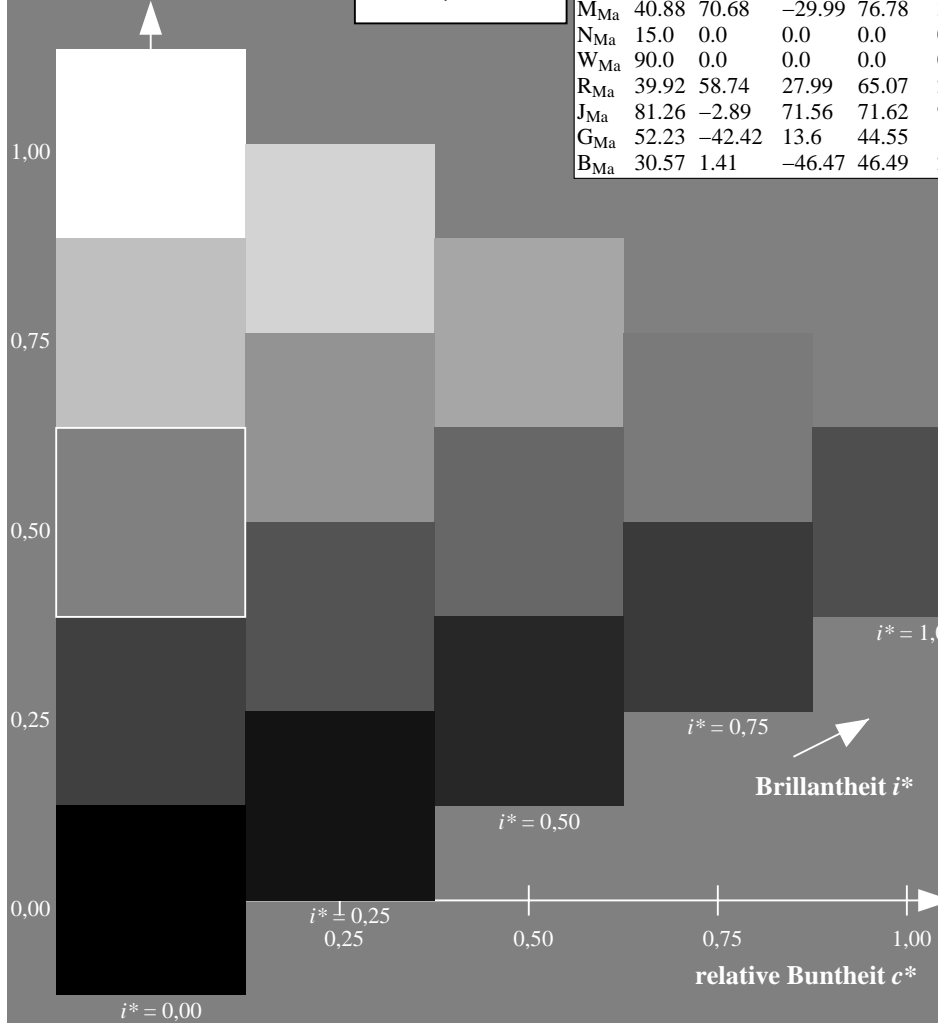
$lab^*rgb^*_{Ma}: 0.5 1.0 0.0$

$lab^*olv^*_{Ma}: 0.3 1.0 0.0$

Dreiecks-Helligkeit t^*

FRS15_90a; adaptierte CIELAB-Daten

u^*_e	$L^*=L^*_a$	a^*_a	b^*_a	$C^*_{ab,a}$	$h^*_{ab,a}$	u^*_d
$r00j$	39.18	56.94	27.13	63.07	25	$m81o$
$r25j$	42.41	49.1	44.5	66.26	42	$o10y$
$r50j$	52.78	35.22	58.37	68.17	59	$o40y$
$r75j$	64.82	19.12	74.47	76.89	76	$o69y$
$j00g$	82.06	-3.94	97.52	97.6	92	$o98y$
$j25g$	67.26	-26.87	74.67	79.36	110	$y34l$
$j50g$	55.83	-43.45	57.11	71.76	127	$y69l$
$j75g$	47.5	-54.18	38.3	66.35	145	$l03c$
$g00b$	50.07	-44.09	14.13	46.3	162	$l23c$
$g25b$	52.21	-35.66	-6.03	36.17	190	$l55c$
$g50b$	53.9	-29.04	-21.87	36.36	217	$l87c$
$g75b$	49.44	-15.51	-32.31	35.84	244	$c20v$
$b00r$	41.36	1.15	-37.95	37.97	272	$c53v$
$b25r$	28.74	27.19	-46.77	54.1	300	$c87v$
$b50r$	33.74	61.97	-37.81	72.59	329	$v68m$
$b75r$	40.08	64.26	-3.32	64.35	357	$m33o$



%Umfang
 $u^*_{rel} = 88$
 %Regularität
 $g^*_{H,rel} = 31$
 $g^*_{C,rel} = 40$

Ein und Ausgabe: Farbmatisches Drucker-Reflektiv-System FRS15_90a für relativen CIELAB-Bunton $h^* = lab^*h^* = h_{ab}/360 = 0.402$

$u^*_e = j75g$

Daten für jede Farbe:

lab^*tch^* und lab^*icu^*

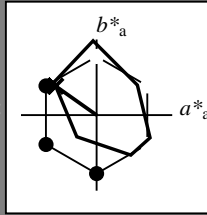
Buntontexte:

$u^*_e = j75g$ $u^*_d = l03c$

Kontrastreduzierungsfaktor:

$c_R = 0.9$

Dreiecks-Helligkeit t^*



FRS15_90a; adaptierte CIELAB-Daten

u^*_e	$L^*=L^*_a$	a^*_a	b^*_a	$C^*_{ab,a}$	$h^*_{ab,a}$
O _{Ma}	38.8	53.92	39.68	66.95	36
Y _{Ma}	82.58	-4.64	98.22	98.33	93
L _{Ma}	46.95	-56.34	43.46	71.15	142
C _{Ma}	54.62	-26.2	-28.68	38.85	228
V _{Ma}	20.01	45.2	-52.87	69.56	311
M _{Ma}	40.88	70.68	-29.99	76.78	337
N _{Ma}	15.0	0.0	0.0	0.0	0
W _{Ma}	90.0	0.0	0.0	0.0	0
R _{Ma}	39.92	58.74	27.99	65.07	25
J _{Ma}	81.26	-2.89	71.56	71.62	92
G _{Ma}	52.23	-42.42	13.6	44.55	162
B _{Ma}	30.57	1.41	-46.47	46.49	272

Daten für Maximalfarbe (Ma):

$LAB^*LAB^*_{Ma}$: 48 -54 38

$LAB^*LCH^*_{Ma}$: 48 66 144

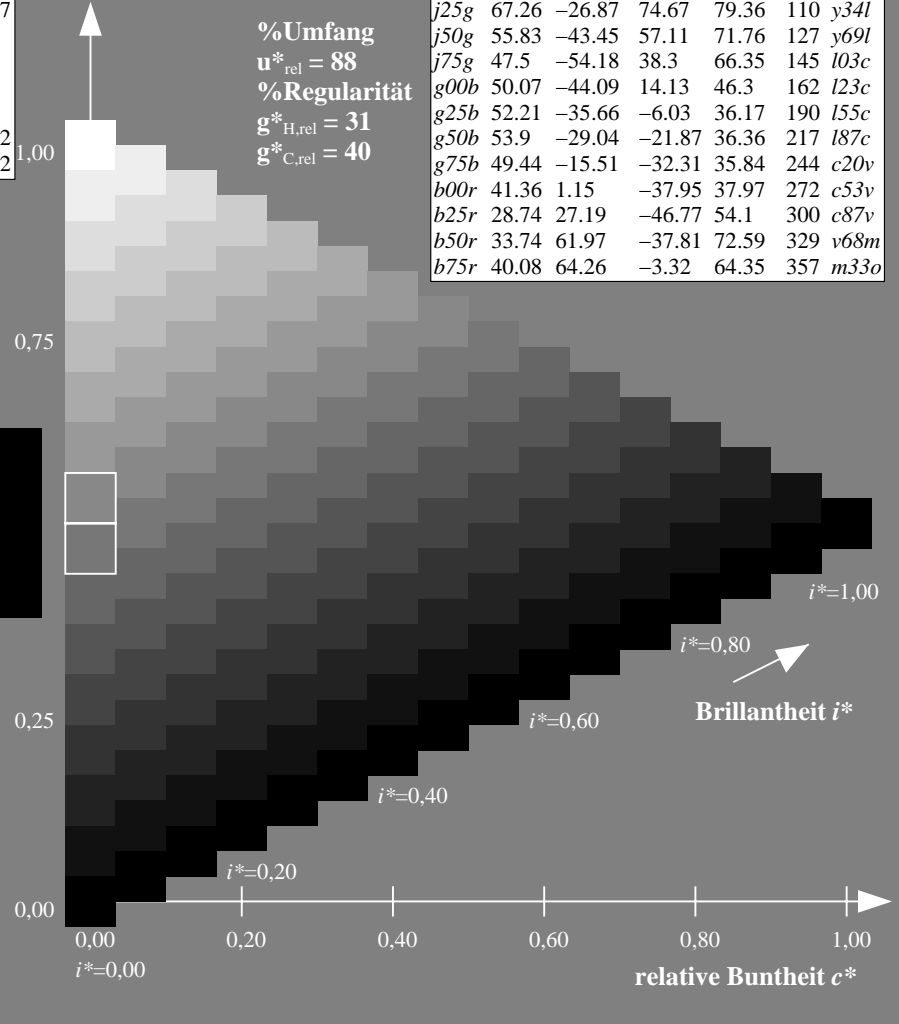
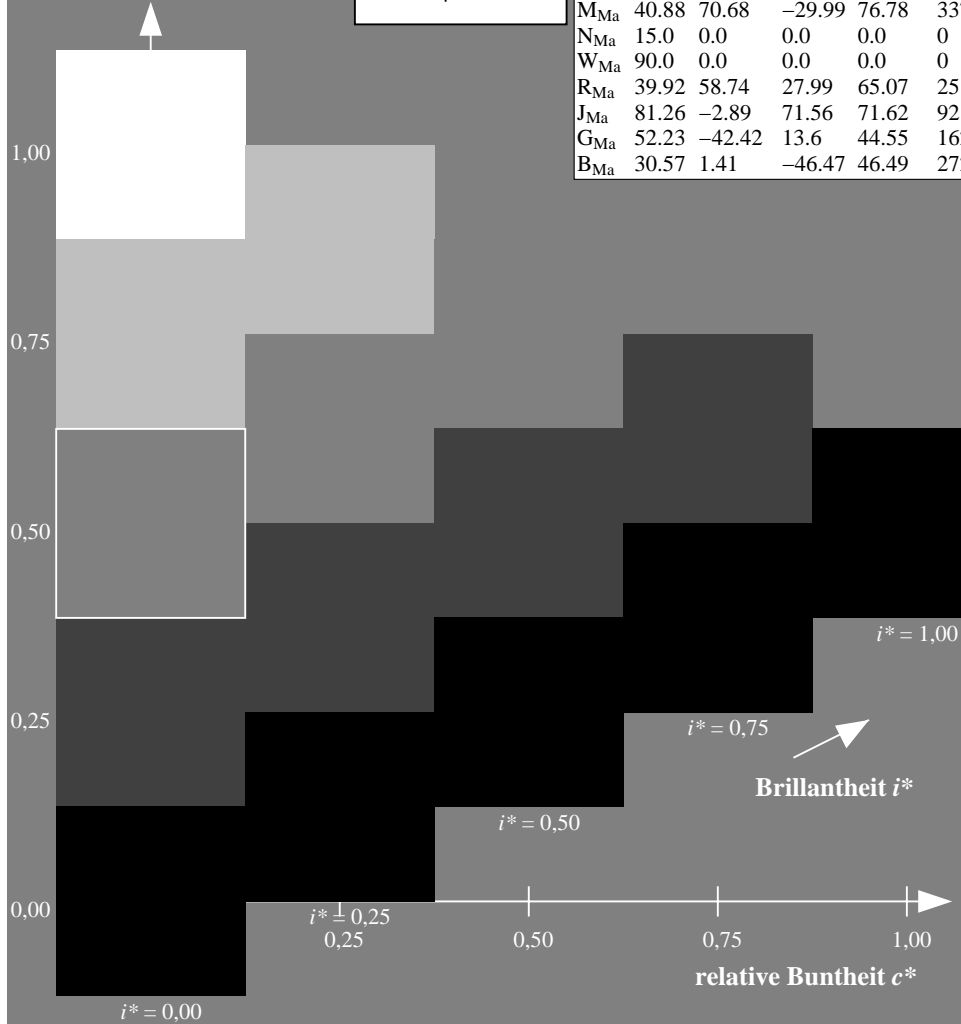
$lab^*rgb^*_{Ma}$: 0.25 1.0 0.0

$lab^*olv^*_{Ma}$: 0.0 1.0 0.03

Dreiecks-Helligkeit t^*

FRS15_90a; adaptierte CIELAB-Daten

u^*_e	$L^*=L^*_a$	a^*_a	b^*_a	$C^*_{ab,a}$	$h^*_{ab,a}$	u^*_d
r00j	39.18	56.94	27.13	63.07	25	m81o
r25j	42.41	49.1	44.5	66.26	42	o10y
r50j	52.78	35.22	58.37	68.17	59	o40y
r75j	64.82	19.12	74.47	76.89	76	o69y
j00g	82.06	-3.94	97.52	97.6	92	o98y
j25g	67.26	-26.87	74.67	79.36	110	y34l
j50g	55.83	-43.45	57.11	71.76	127	y69l
j75g	47.5	-54.18	38.3	66.35	145	l03c
g00b	50.07	-44.09	14.13	46.3	162	l23c
g25b	52.21	-35.66	-6.03	36.17	190	l55c
g50b	53.9	-29.04	-21.87	36.36	217	l87c
g75b	49.44	-15.51	-32.31	35.84	244	c20v
b00r	41.36	1.15	-37.95	37.97	272	c53v
b25r	28.74	27.19	-46.77	54.1	300	c87v
b50r	33.74	61.97	-37.81	72.59	329	v68m
b75r	40.08	64.26	-3.32	64.35	357	m33o



%Umfang
 $u^*_{rel} = 88$
 %Regularität
 $g^*_{H,rel} = 31$
 $g^*_{C,rel} = 40$

Ein und Ausgabe: Farbmetrisches Drucker-Reflektiv-System FRS15_90a für relativen CIELAB-Bunton $h^* = lab^*h^* = h_{ab}/360 = 0.451$

$u^*_e = g00b$

Daten für jede Farbe:

lab^*tch^* und lab^*icu^*

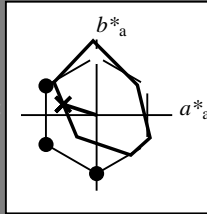
Buntontexte:

$u^*_e = g00b$ $u^*_d = l23c$

Kontrastreduzierungsfaktor:

$c_R = 0.9$

Dreiecks-Helligkeit t^*



FRS15_90a; adaptierte CIELAB-Daten						
u^*_e	$L^*=L^*_a$	a^*_a	b^*_a	$C^*_{ab,a}$	$h^*_{ab,a}$	
O _{Ma}	38.8	53.92	39.68	66.95	36	
Y _{Ma}	82.58	-4.64	98.22	98.33	93	
L _{Ma}	46.95	-56.34	43.46	71.15	142	
C _{Ma}	54.62	-26.2	-28.68	38.85	228	
V _{Ma}	20.01	45.2	-52.87	69.56	311	
M _{Ma}	40.88	70.68	-29.99	76.78	337	
N _{Ma}	15.0	0.0	0.0	0.0	0	
W _{Ma}	90.0	0.0	0.0	0.0	0	
R _{Ma}	39.92	58.74	27.99	65.07	25	
J _{Ma}	81.26	-2.89	71.56	71.62	92	
G _{Ma}	52.23	-42.42	13.6	44.55	162	
B _{Ma}	30.57	1.41	-46.47	46.49	272	

Daten für Maximalfarbe (Ma):

$LAB^*LAB^*_{Ma}: 50 -44 14$

$LAB^*LCH^*_{Ma}: 50 46 162$

$lab^*rgb^*_{Ma}: 0.0 1.0 0.0$

$lab^*olv^*_{Ma}: 0.0 1.0 0.23$

Dreiecks-Helligkeit t^*

%Umfang

$u^*_{rel} = 88$

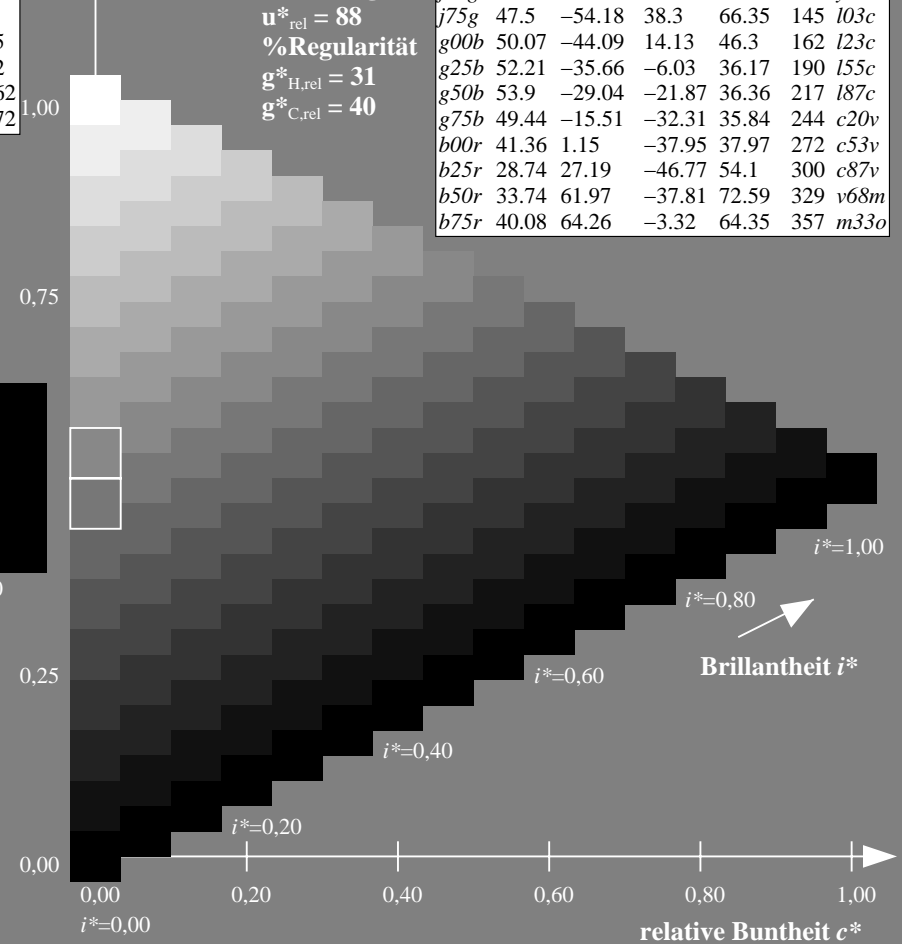
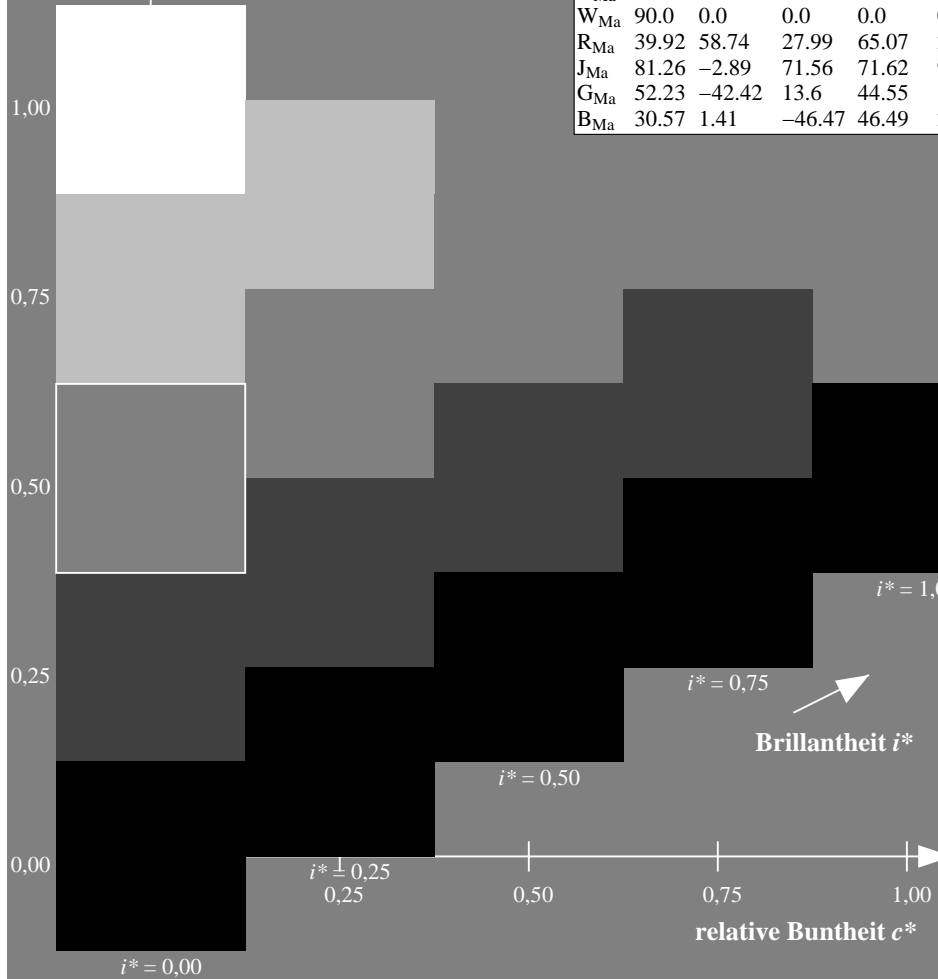
%Regularität

$g^*_{H,rel} = 31$

$g^*_{C,rel} = 40$

FRS15_90a; adaptierte CIELAB-Daten

u^*_e	$L^*=L^*_a$	a^*_a	b^*_a	$C^*_{ab,a}$	$h^*_{ab,a}$	u^*_d
r00j	39.18	56.94	27.13	63.07	25	m81o
r25j	42.41	49.1	44.5	66.26	42	o10y
r50j	52.78	35.22	58.37	68.17	59	o40y
r75j	64.82	19.12	74.47	76.89	76	o69y
j00g	82.06	-3.94	97.52	97.6	92	o98y
j25g	67.26	-26.87	74.67	79.36	110	y34l
j50g	55.83	-43.45	57.11	71.76	127	y69l
j75g	47.5	-54.18	38.3	66.35	145	l03c
g00b	50.07	-44.09	14.13	46.3	162	l23c
g25b	52.21	-35.66	-6.03	36.17	190	l55c
g50b	53.9	-29.04	-21.87	36.36	217	l87c
g75b	49.44	-15.51	-32.31	35.84	244	c20v
b00r	41.36	1.15	-37.95	37.97	272	c53v
b25r	28.74	27.19	-46.77	54.1	300	c87v
b50r	33.74	61.97	-37.81	72.59	329	v68m
b75r	40.08	64.26	-3.32	64.35	357	m33o



Ein und Ausgabe: Farbmetrisches Drucker-Reflektiv-System FRS15_90a für relativen CIELAB-Bunton $h^* = lab^*h^* = h_{ab}^*/360 = 0.527$

$u^*_e = g25b$

Daten für jede Farbe:

lab^*tch^* und lab^*icu^*

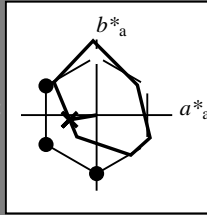
Buntontexte:

$u^*_e = g25b$ $u^*_d = l55c$

Kontrastreduzierungsfaktor:

$c_R = 0.9$

Dreiecks-Helligkeit t^*



FRS15_90a; adaptierte CIELAB-Daten						
u^*_e	$L^*=L^*_a$	a^*_a	b^*_a	$C^*_{ab,a}$	$h^*_{ab,a}$	
O_{Ma}	38.8	53.92	39.68	66.95	36	
Y_{Ma}	82.58	-4.64	98.22	98.33	93	
L_{Ma}	46.95	-56.34	43.46	71.15	142	
C_{Ma}	54.62	-26.2	-28.68	38.85	228	
V_{Ma}	20.01	45.2	-52.87	69.56	311	
M_{Ma}	40.88	70.68	-29.99	76.78	337	
N_{Ma}	15.0	0.0	0.0	0.0	0	
W_{Ma}	90.0	0.0	0.0	0.0	0	
R_{Ma}	39.92	58.74	27.99	65.07	25	
J_{Ma}	81.26	-2.89	71.56	71.62	92	
G_{Ma}	52.23	-42.42	13.6	44.55	162	
B_{Ma}	30.57	1.41	-46.47	46.49	272	

Daten für Maximalfarbe (M_a):

$LAB^*LAB^*_{Ma}: 52 -36 -6$

$LAB^*LCH^*_{Ma}: 52 36 189$

$lab^*rgb^*_{Ma}: 0.0 1.0 0.5$

$lab^*olv^*_{Ma}: 0.0 1.0 0.55$

Dreiecks-Helligkeit t^*

%Umfang

$u^*_{rel} = 88$

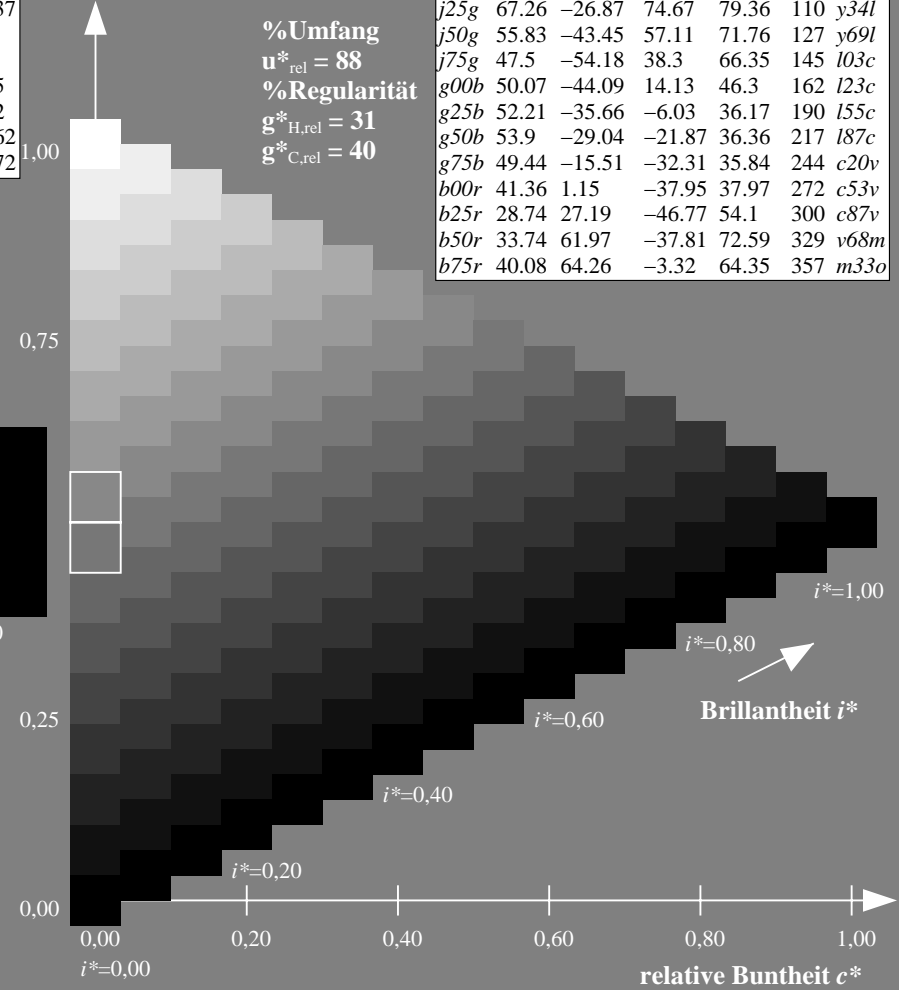
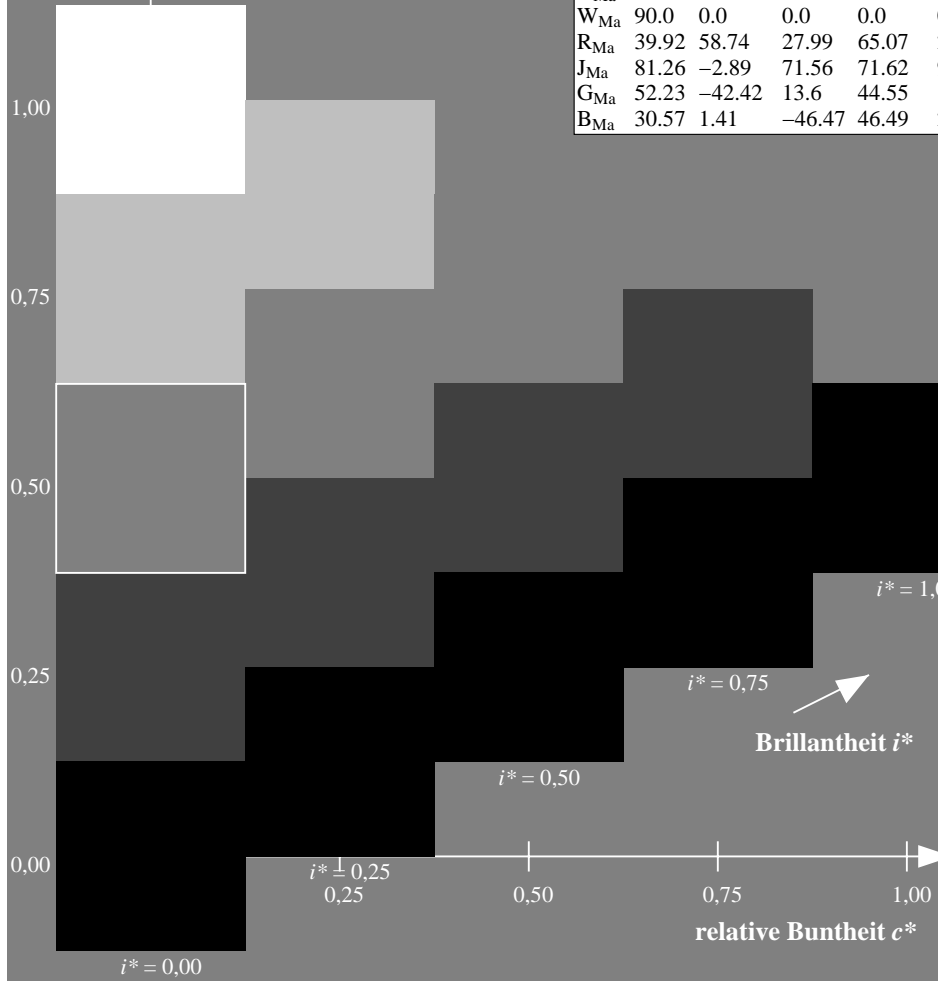
%Regularität

$g^*_{H,rel} = 31$

$g^*_{C,rel} = 40$

FRS15_90a; adaptierte CIELAB-Daten

u^*_e	$L^*=L^*_a$	a^*_a	b^*_a	$C^*_{ab,a}$	$h^*_{ab,a}$	u^*_d
$r00j$	39.18	56.94	27.13	63.07	25	$m81o$
$r25j$	42.41	49.1	44.5	66.26	42	$o10y$
$r50j$	52.78	35.22	58.37	68.17	59	$o40y$
$r75j$	64.82	19.12	74.47	76.89	76	$o69y$
$j00g$	82.06	-3.94	97.52	97.6	92	$o98y$
$j25g$	67.26	-26.87	74.67	79.36	110	$y34l$
$j50g$	55.83	-43.45	57.11	71.76	127	$y69l$
$j75g$	47.5	-54.18	38.3	66.35	145	$l03c$
$g00b$	50.07	-44.09	14.13	46.3	162	$l23c$
$g25b$	52.21	-35.66	-6.03	36.17	190	$l55c$
$g50b$	53.9	-29.04	-21.87	36.36	217	$l87c$
$g75b$	49.44	-15.51	-32.31	35.84	244	$c20v$
$b00r$	41.36	1.15	-37.95	37.97	272	$c53v$
$b25r$	28.74	27.19	-46.77	54.1	300	$c87v$
$b50r$	33.74	61.97	-37.81	72.59	329	$v68m$
$b75r$	40.08	64.26	-3.32	64.35	357	$m33o$



Ein und Ausgabe: Farbmatisches Drucker-Reflektiv-System FRS15_90a für relativen CIELAB-Bunton $h^* = lab^*h^* = h_{ab}/360 = 0.603$

$u^*_e = g50b$

Daten für jede Farbe:

lab^*tch^* und lab^*icu^*

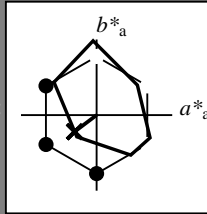
Buntontexte:

$u^*_e = g50b$ $u^*_d = l87c$

Kontrastreduzierungsfaktor:

$c_R = 0.9$

Dreiecks-Helligkeit t^*



FRS15_90a; adaptierte CIELAB-Daten						
u^*_e	$L^*=L^*_a$	a^*_a	b^*_a	$C^*_{ab,a}$	$h^*_{ab,a}$	
O _{Ma}	38.8	53.92	39.68	66.95	36	
Y _{Ma}	82.58	-4.64	98.22	98.33	93	
L _{Ma}	46.95	-56.34	43.46	71.15	142	
C _{Ma}	54.62	-26.2	-28.68	38.85	228	
V _{Ma}	20.01	45.2	-52.87	69.56	311	
M _{Ma}	40.88	70.68	-29.99	76.78	337	
N _{Ma}	15.0	0.0	0.0	0.0	0	
W _{Ma}	90.0	0.0	0.0	0.0	0	
R _{Ma}	39.92	58.74	27.99	65.07	25	
J _{Ma}	81.26	-2.89	71.56	71.62	92	
G _{Ma}	52.23	-42.42	13.6	44.55	162	
B _{Ma}	30.57	1.41	-46.47	46.49	272	

Daten für Maximalfarbe (Ma):

$LAB^*LAB^*_{Ma}: 54 -29 -22$

$LAB^*LCH^*_{Ma}: 54 36 216$

$lab^*rgb^*_{Ma}: 0.0 1.0 1.0$

$lab^*olv^*_{Ma}: 0.0 1.0 0.88$

Dreiecks-Helligkeit t^*

%Umfang

$u^*_{rel} = 88$

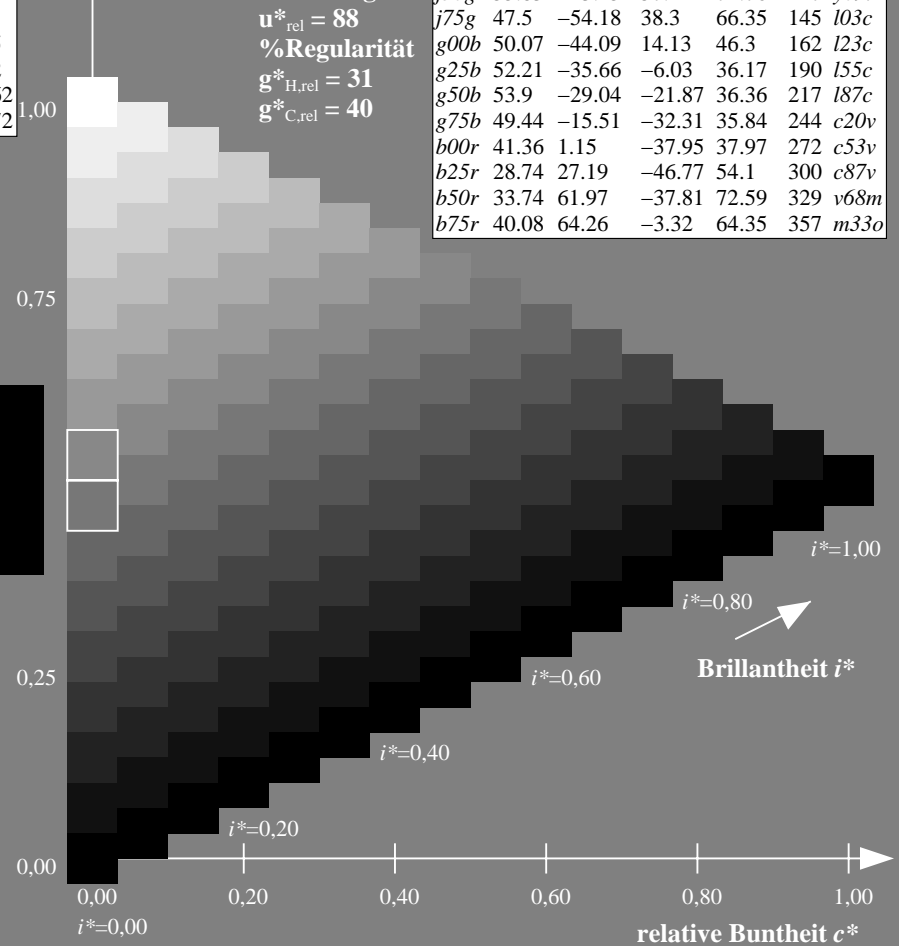
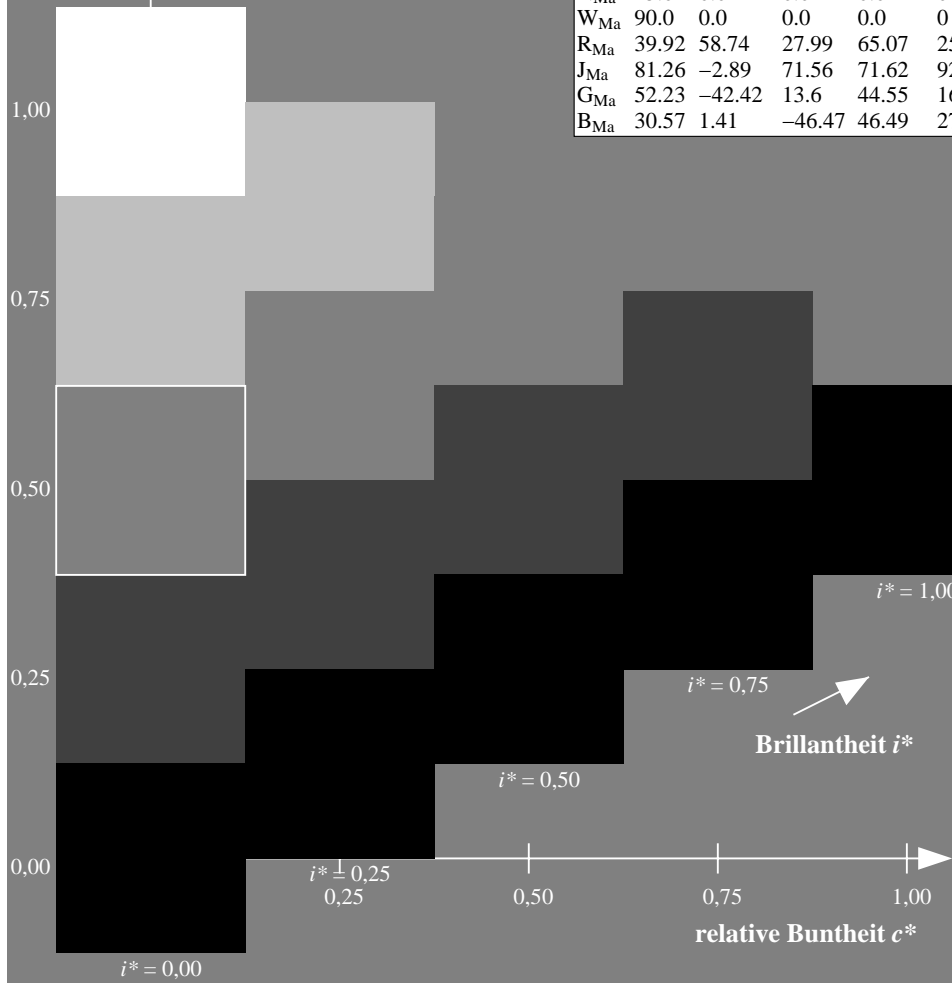
%Regularität

$g^*_{H,rel} = 31$

$g^*_{C,rel} = 40$

FRS15_90a; adaptierte CIELAB-Daten

u^*_e	$L^*=L^*_a$	a^*_a	b^*_a	$C^*_{ab,a}$	$h^*_{ab,a}$	u^*_d
r00j	39.18	56.94	27.13	63.07	25	m81o
r25j	42.41	49.1	44.5	66.26	42	o10y
r50j	52.78	35.22	58.37	68.17	59	o40y
r75j	64.82	19.12	74.47	76.89	76	o69y
j00g	82.06	-3.94	97.52	97.6	92	o98y
j25g	67.26	-26.87	74.67	79.36	110	y34l
j50g	55.83	-43.45	57.11	71.76	127	y69l
j75g	47.5	-54.18	38.3	66.35	145	l03c
g00b	50.07	-44.09	14.13	46.3	162	l23c
g25b	52.21	-35.66	-6.03	36.17	190	l55c
g50b	53.9	-29.04	-21.87	36.36	217	l87c
g75b	49.44	-15.51	-32.31	35.84	244	c20v
b00r	41.36	1.15	-37.95	37.97	272	c53v
b25r	28.74	27.19	-46.77	54.1	300	c87v
b50r	33.74	61.97	-37.81	72.59	329	v68m
b75r	40.08	64.26	-3.32	64.35	357	m33o



Daten für jede Farbe:

lab^*tch^* und lab^*icu^*

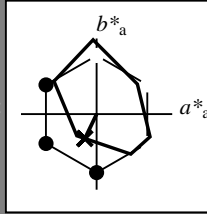
Buntontexte:

$u^*_e = g75b$ $u^*_d = c20v$

Kontrastreduzierungsfaktor:

$c_R = 0.9$

Dreiecks-Helligkeit t^*



FRS15_90a; adaptierte CIELAB-Daten						
u^*_e	$L^*=L^*_a$	a^*_a	b^*_a	$C^*_{ab,a}$	$h^*_{ab,a}$	
O _{Ma}	38.8	53.92	39.68	66.95	36	
Y _{Ma}	82.58	-4.64	98.22	98.33	93	
L _{Ma}	46.95	-56.34	43.46	71.15	142	
C _{Ma}	54.62	-26.2	-28.68	38.85	228	
V _{Ma}	20.01	45.2	-52.87	69.56	311	
M _{Ma}	40.88	70.68	-29.99	76.78	337	
N _{Ma}	15.0	0.0	0.0	0.0	0	
W _{Ma}	90.0	0.0	0.0	0.0	0	
R _{Ma}	39.92	58.74	27.99	65.07	25	
J _{Ma}	81.26	-2.89	71.56	71.62	92	
G _{Ma}	52.23	-42.42	13.6	44.55	162	
B _{Ma}	30.57	1.41	-46.47	46.49	272	

Daten für Maximalfarbe (Ma):

$LAB^*LAB^*_{Ma}$: 49 -16 -32

$LAB^*LCH^*_{Ma}$: 49 36 244

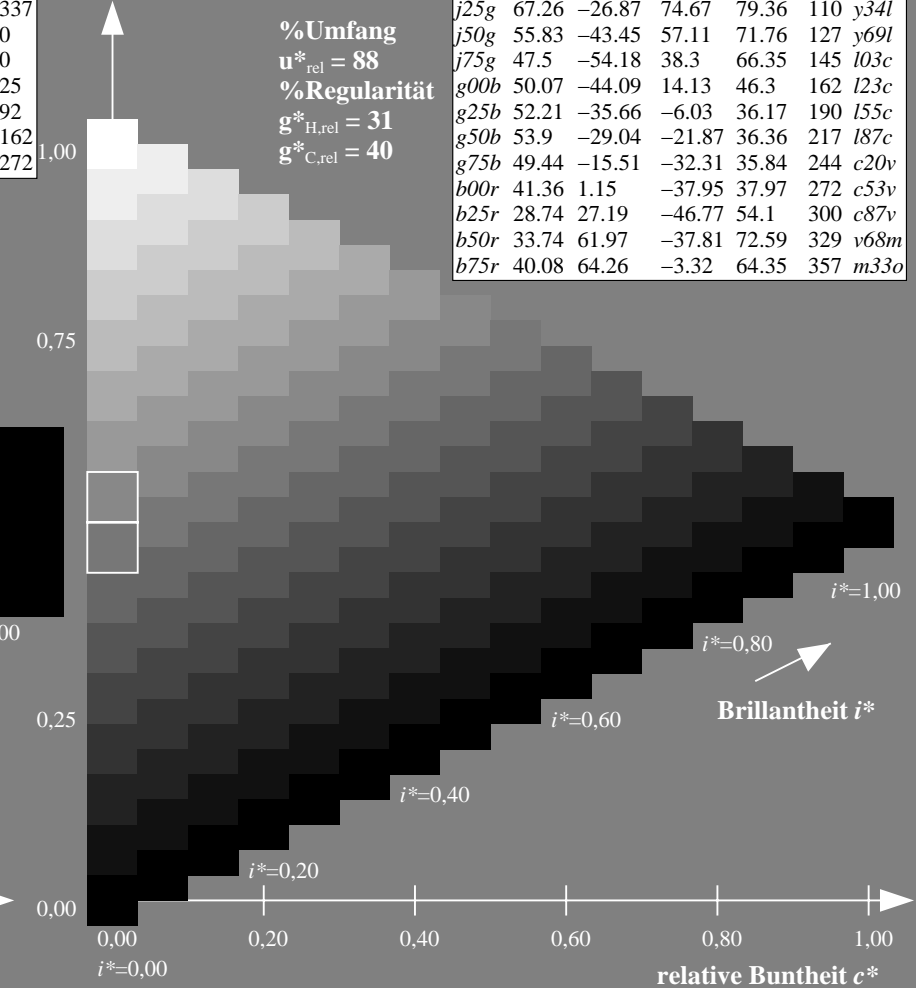
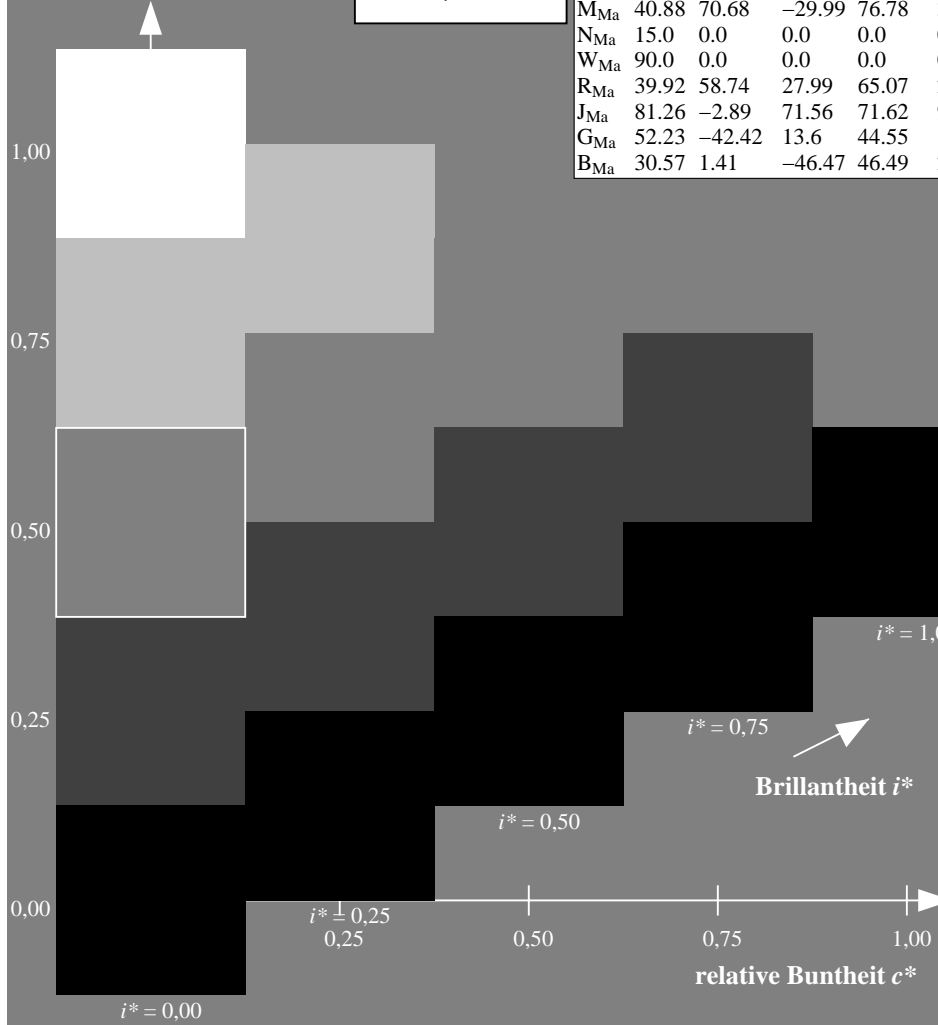
$lab^*rgb^*_{Ma}$: 0.0 0.5 1.0

$lab^*olv^*_{Ma}$: 0.0 0.8 1.0

Dreiecks-Helligkeit t^*

FRS15_90a; adaptierte CIELAB-Daten

u^*_e	$L^*=L^*_a$	a^*_a	b^*_a	$C^*_{ab,a}$	$h^*_{ab,a}$	u^*_d
r00j	39.18	56.94	27.13	63.07	25	m81o
r25j	42.41	49.1	44.5	66.26	42	o10y
r50j	52.78	35.22	58.37	68.17	59	o40y
r75j	64.82	19.12	74.47	76.89	76	o69y
j00g	82.06	-3.94	97.52	97.6	92	o98y
j25g	67.26	-26.87	74.67	79.36	110	y34l
j50g	55.83	-43.45	57.11	71.76	127	y69l
j75g	47.5	-54.18	38.3	66.35	145	l03c
g00b	50.07	-44.09	14.13	46.3	162	l23c
g25b	52.21	-35.66	-6.03	36.17	190	l55c
g50b	53.9	-29.04	-21.87	36.36	217	l87c
g75b	49.44	-15.51	-32.31	35.84	244	c20v
b00r	41.36	1.15	-37.95	37.97	272	c53v
b25r	28.74	27.19	-46.77	54.1	300	c87v
b50r	33.74	61.97	-37.81	72.59	329	v68m
b75r	40.08	64.26	-3.32	64.35	357	m33o



%Umfang
 $u^*_{rel} = 88$
 %Regularität
 $g^*_{H,rel} = 31$
 $g^*_{C,rel} = 40$

Ein und Ausgabe: Farbmetrisches Drucker-Reflektiv-System FRS15_90a für relativen CIELAB-Bunton $h^* = lab^*h^* = h_{ab}/360 = 0.755$

$u^*_e = b00r$

Daten für jede Farbe:

lab^*tch^* und lab^*icu^*

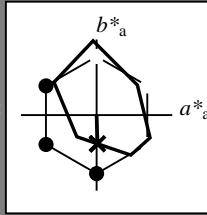
Buntontexte:

$u^*_e = b00r$ $u^*_d = c53v$

Kontrastreduzierungsfaktor:

$c_R = 0.9$

Dreiecks-Helligkeit t^*



FRS15_90a; adaptierte CIELAB-Daten						
u^*_e	$L^*=L^*_a$	a^*_a	b^*_a	$C^*_{ab,a}$	$h^*_{ab,a}$	
O _{Ma}	38.8	53.92	39.68	66.95	36	
Y _{Ma}	82.58	-4.64	98.22	98.33	93	
L _{Ma}	46.95	-56.34	43.46	71.15	142	
C _{Ma}	54.62	-26.2	-28.68	38.85	228	
V _{Ma}	20.01	45.2	-52.87	69.56	311	
M _{Ma}	40.88	70.68	-29.99	76.78	337	
N _{Ma}	15.0	0.0	0.0	0.0	0	
W _{Ma}	90.0	0.0	0.0	0.0	0	
R _{Ma}	39.92	58.74	27.99	65.07	25	
J _{Ma}	81.26	-2.89	71.56	71.62	92	
G _{Ma}	52.23	-42.42	13.6	44.55	162	
B _{Ma}	30.57	1.41	-46.47	46.49	272	

Daten für Maximalfarbe (Ma):

$LAB^*LAB^*_{Ma}$: 41 1 -38

$LAB^*LCH^*_{Ma}$: 41 38 271

$lab^*rgb^*_{Ma}$: 0.0 0.0 1.0

$lab^*olv^*_{Ma}$: 0.0 0.47 1.0

Dreiecks-Helligkeit t^*

%Umfang

$u^*_{rel} = 88$

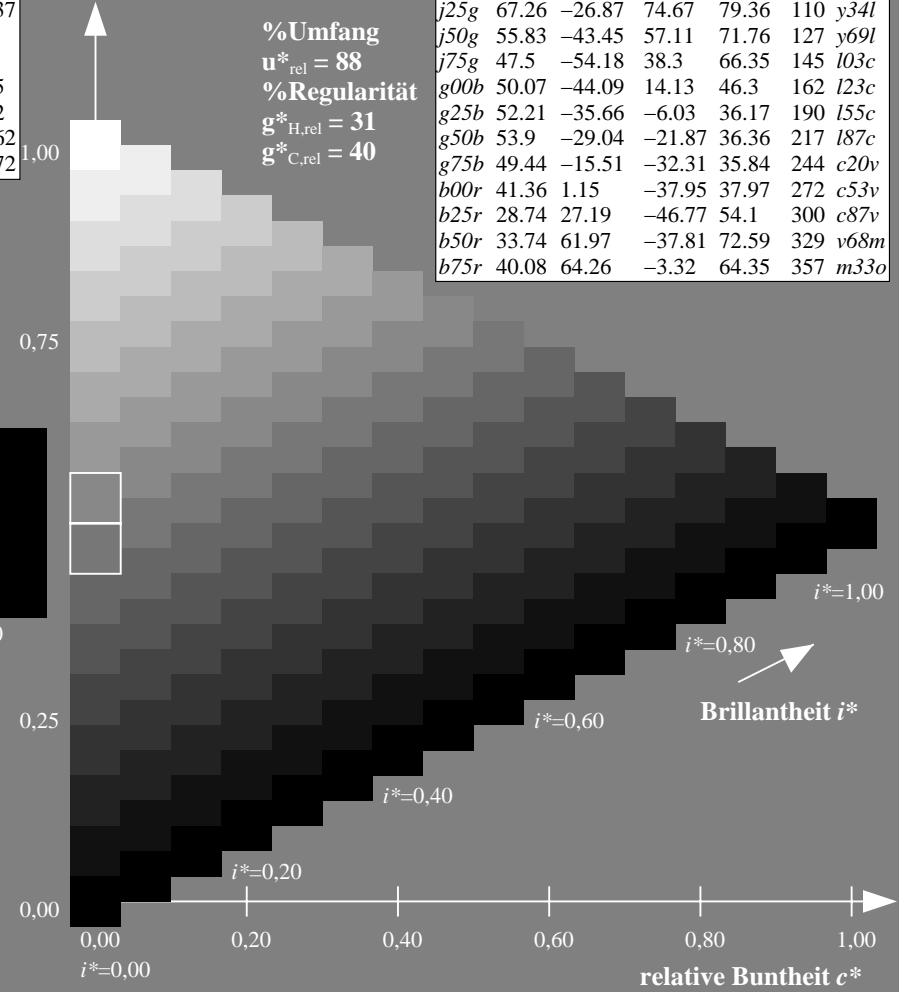
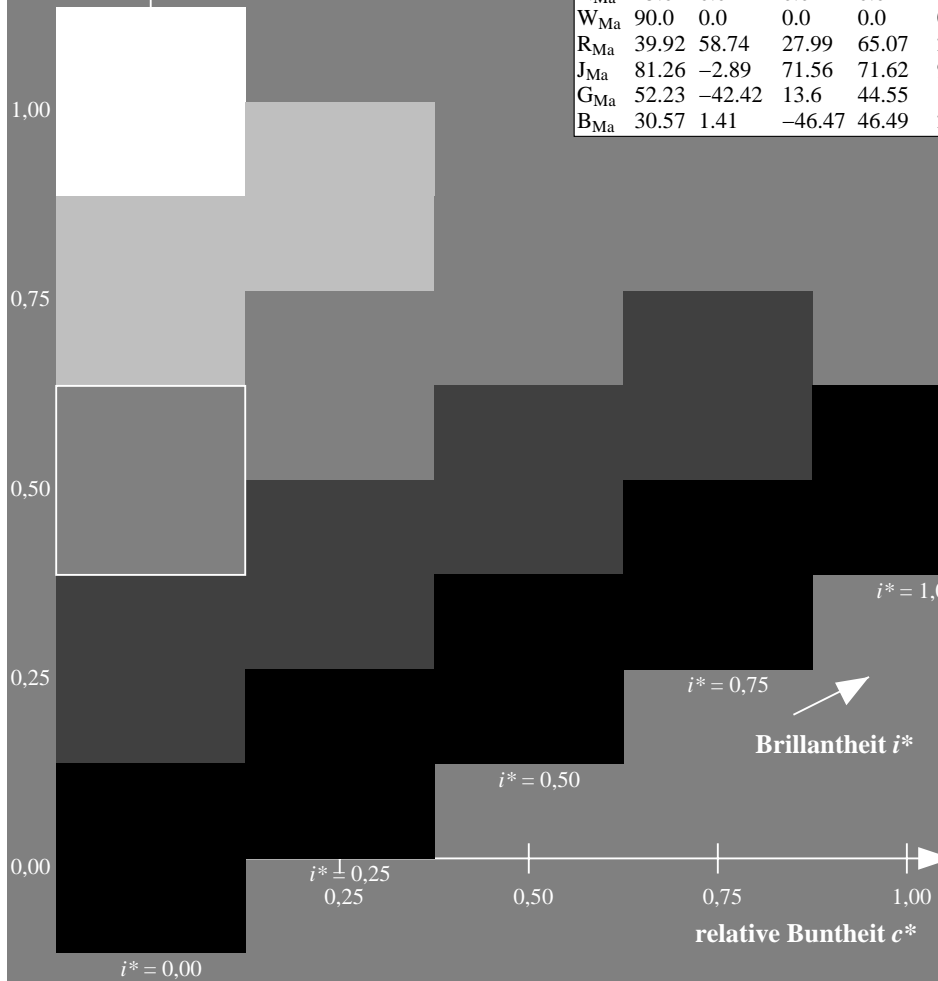
%Regularität

$g^*_{H,rel} = 31$

$g^*_{C,rel} = 40$

FRS15_90a; adaptierte CIELAB-Daten

u^*_e	$L^*=L^*_a$	a^*_a	b^*_a	$C^*_{ab,a}$	$h^*_{ab,a}$	u^*_d
r00j	39.18	56.94	27.13	63.07	25	m81o
r25j	42.41	49.1	44.5	66.26	42	o10y
r50j	52.78	35.22	58.37	68.17	59	o40y
r75j	64.82	19.12	74.47	76.89	76	o69y
j00g	82.06	-3.94	97.52	97.6	92	o98y
j25g	67.26	-26.87	74.67	79.36	110	y34l
j50g	55.83	-43.45	57.11	71.76	127	y69l
j75g	47.5	-54.18	38.3	66.35	145	l03c
g00b	50.07	-44.09	14.13	46.3	162	l23c
g25b	52.21	-35.66	-6.03	36.17	190	l55c
g50b	53.9	-29.04	-21.87	36.36	217	l87c
g75b	49.44	-15.51	-32.31	35.84	244	c20v
b00r	41.36	1.15	-37.95	37.97	272	c53v
b25r	28.74	27.19	-46.77	54.1	300	c87v
b50r	33.74	61.97	-37.81	72.59	329	v68m
b75r	40.08	64.26	-3.32	64.35	357	m33o



Ein und Ausgabe: Farbmetrisches Drucker-Reflektiv-System FRS15_90a für relativen CIELAB-Bunton $h^* = lab^*h^* = h_{ab}/360 = 0.834$

$u^*_e = b25r$

Daten für jede Farbe:

lab^*tch^* und lab^*icu^*

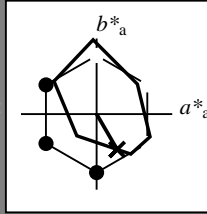
Buntontexte:

$u^*_e = b25r$ $u^*_d = c87v$

Kontrastreduzierungsfaktor:

$c_R = 0.9$

Dreiecks-Helligkeit t^*



FRS15_90a; adaptierte CIELAB-Daten						
u^*_e	$L^*=L^*_a$	a^*_a	b^*_a	$C^*_{ab,a}$	$h^*_{ab,a}$	
O _{Ma}	38.8	53.92	39.68	66.95	36	
Y _{Ma}	82.58	-4.64	98.22	98.33	93	
L _{Ma}	46.95	-56.34	43.46	71.15	142	
C _{Ma}	54.62	-26.2	-28.68	38.85	228	
V _{Ma}	20.01	45.2	-52.87	69.56	311	
M _{Ma}	40.88	70.68	-29.99	76.78	337	
N _{Ma}	15.0	0.0	0.0	0.0	0	
W _{Ma}	90.0	0.0	0.0	0.0	0	
R _{Ma}	39.92	58.74	27.99	65.07	25	
J _{Ma}	81.26	-2.89	71.56	71.62	92	
G _{Ma}	52.23	-42.42	13.6	44.55	162	
B _{Ma}	30.57	1.41	-46.47	46.49	272	

Daten für Maximalfarbe (Ma):

$LAB^*LAB^*_{Ma}$: 29 27 -47

$LAB^*LCH^*_{Ma}$: 29 54 300

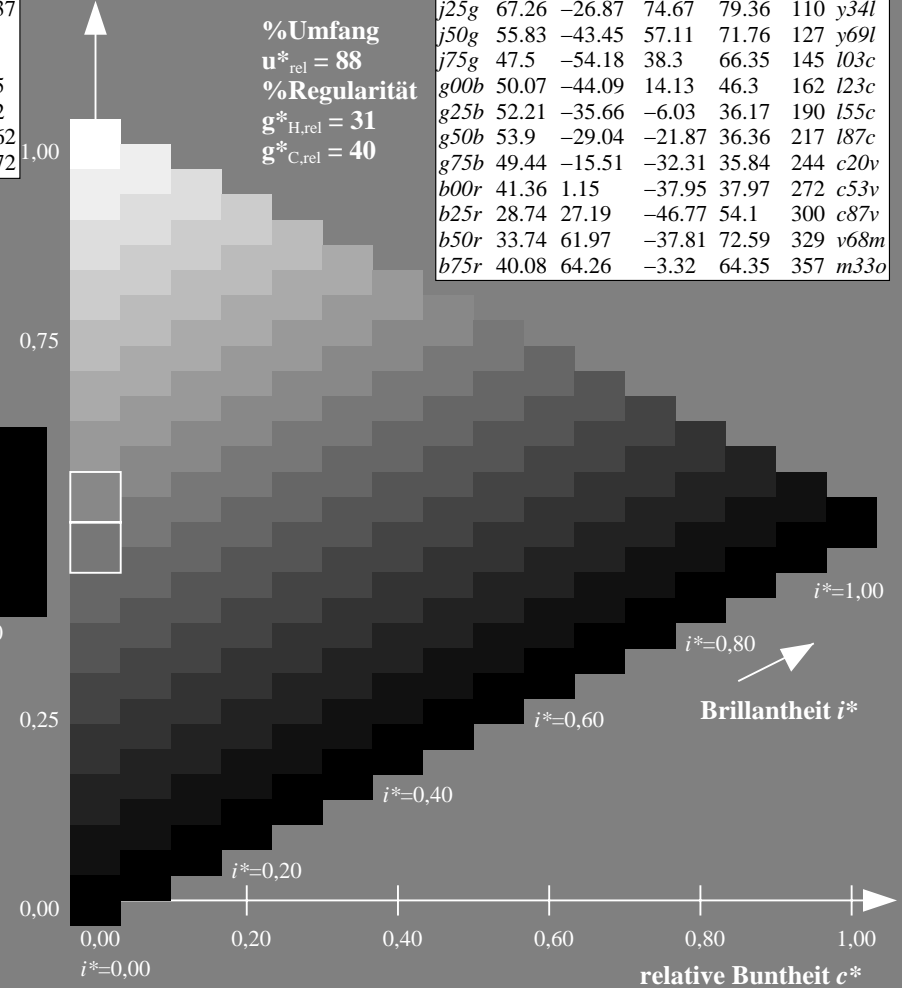
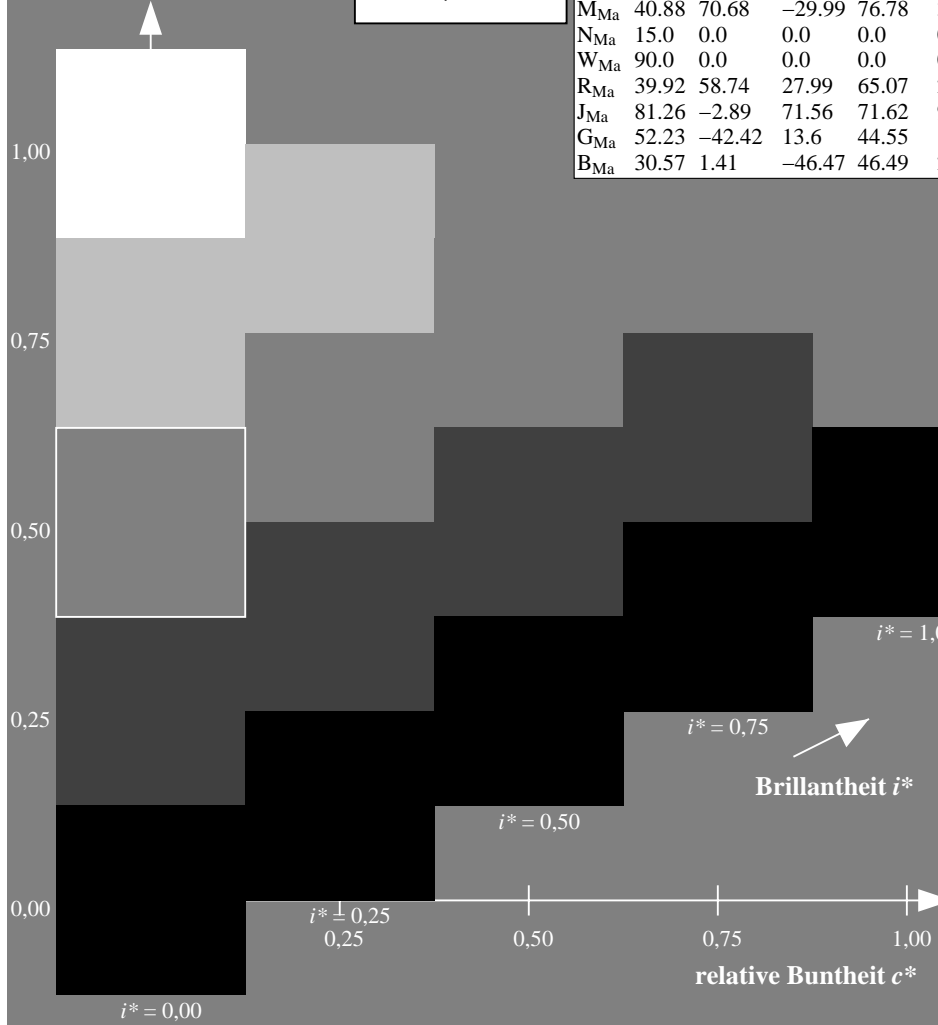
$lab^*rgb^*_{Ma}$: 0.5 0.0 1.0

$lab^*olv^*_{Ma}$: 0.0 0.12 1.0

Dreiecks-Helligkeit t^*

FRS15_90a; adaptierte CIELAB-Daten

u^*_e	$L^*=L^*_a$	a^*_a	b^*_a	$C^*_{ab,a}$	$h^*_{ab,a}$	u^*_d
r00j	39.18	56.94	27.13	63.07	25	m81o
r25j	42.41	49.1	44.5	66.26	42	o10y
r50j	52.78	35.22	58.37	68.17	59	o40y
r75j	64.82	19.12	74.47	76.89	76	o69y
j00g	82.06	-3.94	97.52	97.6	92	o98y
j25g	67.26	-26.87	74.67	79.36	110	y34l
j50g	55.83	-43.45	57.11	71.76	127	y69l
j75g	47.5	-54.18	38.3	66.35	145	l03c
g00b	50.07	-44.09	14.13	46.3	162	l23c
g25b	52.21	-35.66	-6.03	36.17	190	l55c
g50b	53.9	-29.04	-21.87	36.36	217	l87c
g75b	49.44	-15.51	-32.31	35.84	244	c20v
b00r	41.36	1.15	-37.95	37.97	272	c53v
b25r	28.74	27.19	-46.77	54.1	300	c87v
b50r	33.74	61.97	-37.81	72.59	329	v68m
b75r	40.08	64.26	-3.32	64.35	357	m33o



%Umfang
 $u^*_{rel} = 88$
 %Regularität
 $g^*_{H,rel} = 31$
 $g^*_{C,rel} = 40$

Ein und Ausgabe: Farbmatisches Drucker-Reflektiv-System FRS15_90a für relativen CIELAB-Bunton $h^* = lab^*h^* = h_{ab}/360 = 0.913$

$u^*_e = b50r$

Daten für jede Farbe:

lab^*tch^* und lab^*icu^*

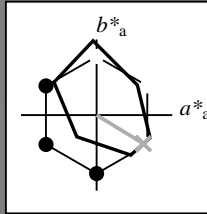
Buntontexte:

$u^*_e = b50r$ $u^*_d = v68m$

Kontrastreduzierungsfaktor:

$c_R = 0.9$

Dreiecks-Helligkeit t^*



FRS15_90a; adaptierte CIELAB-Daten						
u^*_e	$L^*=L^*_a$	a^*_a	b^*_a	$C^*_{ab,a}$	$h^*_{ab,a}$	
O _{Ma}	38.8	53.92	39.68	66.95	36	
Y _{Ma}	82.58	-4.64	98.22	98.33	93	
L _{Ma}	46.95	-56.34	43.46	71.15	142	
C _{Ma}	54.62	-26.2	-28.68	38.85	228	
V _{Ma}	20.01	45.2	-52.87	69.56	311	
M _{Ma}	40.88	70.68	-29.99	76.78	337	
N _{Ma}	15.0	0.0	0.0	0.0	0	
W _{Ma}	90.0	0.0	0.0	0.0	0	
R _{Ma}	39.92	58.74	27.99	65.07	25	
J _{Ma}	81.26	-2.89	71.56	71.62	92	
G _{Ma}	52.23	-42.42	13.6	44.55	162	
B _{Ma}	30.57	1.41	-46.47	46.49	272	

Daten für Maximalfarbe (Ma):

$LAB^*LAB^*_{Ma}$: 34 62 -38

$LAB^*LCH^*_{Ma}$: 34 73 328

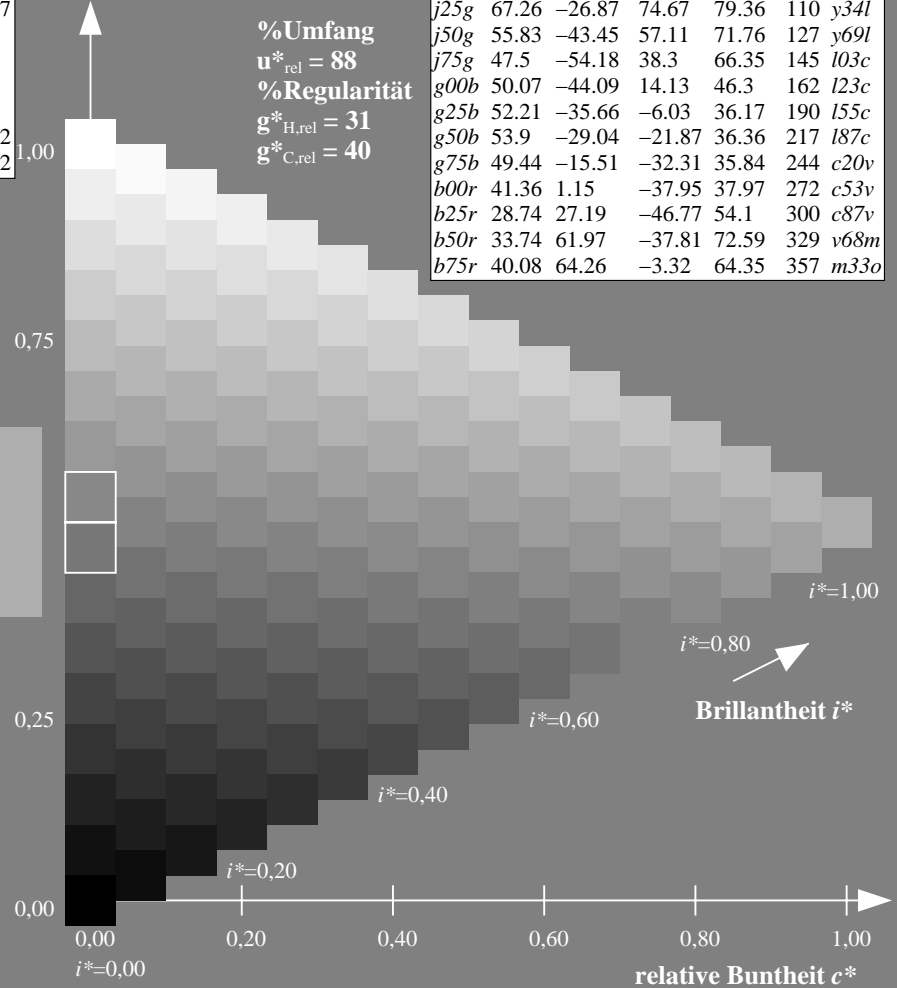
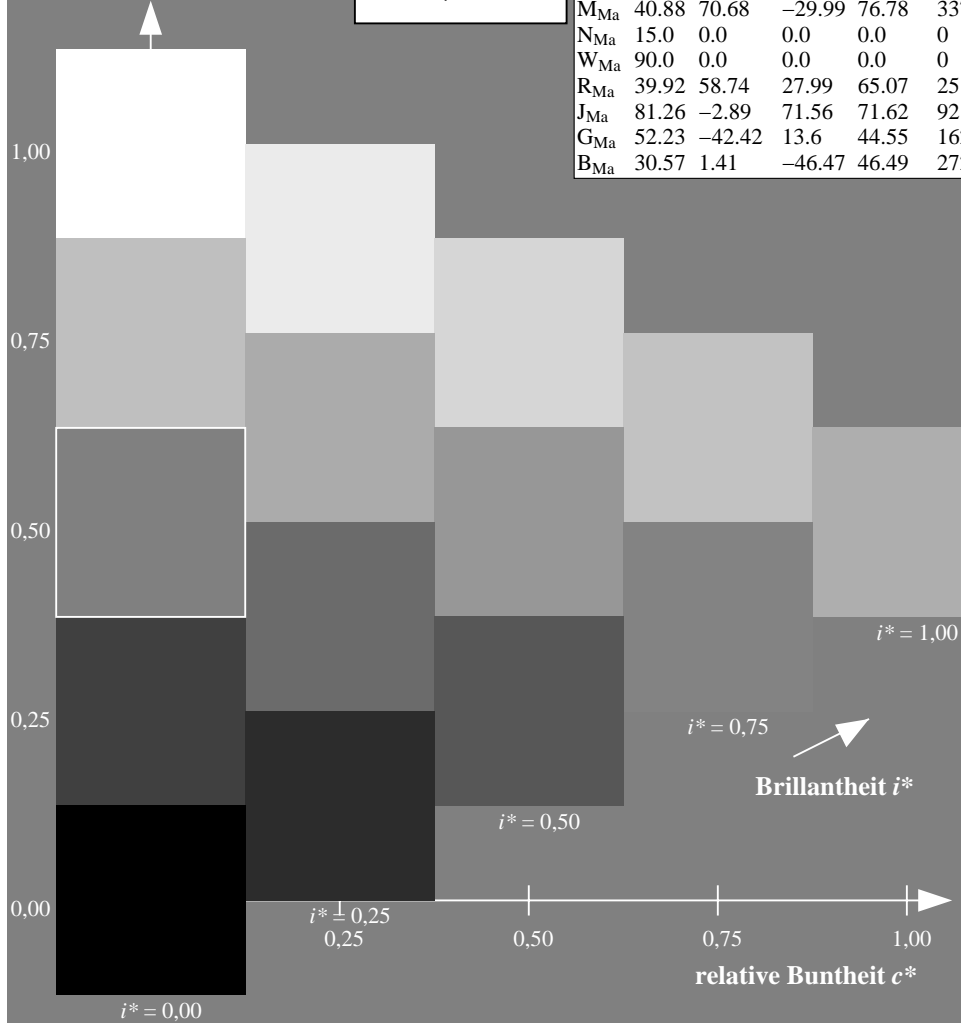
$lab^*rgb^*_{Ma}$: 1.0 0.0 1.0

$lab^*olv^*_{Ma}$: 0.68 0.0 1.0

Dreiecks-Helligkeit t^*

FRS15_90a; adaptierte CIELAB-Daten

u^*_e	$L^*=L^*_a$	a^*_a	b^*_a	$C^*_{ab,a}$	$h^*_{ab,a}$	u^*_d
r00j	39.18	56.94	27.13	63.07	25	m81o
r25j	42.41	49.1	44.5	66.26	42	o10y
r50j	52.78	35.22	58.37	68.17	59	o40y
r75j	64.82	19.12	74.47	76.89	76	o69y
j00g	82.06	-3.94	97.52	97.6	92	o98y
j25g	67.26	-26.87	74.67	79.36	110	y34l
j50g	55.83	-43.45	57.11	71.76	127	y69l
j75g	47.5	-54.18	38.3	66.35	145	l03c
g00b	50.07	-44.09	14.13	46.3	162	l23c
g25b	52.21	-35.66	-6.03	36.17	190	l55c
g50b	53.9	-29.04	-21.87	36.36	217	l87c
g75b	49.44	-15.51	-32.31	35.84	244	c20v
b00r	41.36	1.15	-37.95	37.97	272	c53v
b25r	28.74	27.19	-46.77	54.1	300	c87v
b50r	33.74	61.97	-37.81	72.59	329	v68m
b75r	40.08	64.26	-3.32	64.35	357	m33o



Ein und Ausgabe: Farbmetrisches Drucker-Reflektiv-System FRS15_90a für relativen CIELAB-Bunton $h^* = lab^*h^* = h_{ab}/360 = 0.992$

$u^*_e = b75r$

Daten für jede Farbe:

lab^*tch^* und lab^*icu^*

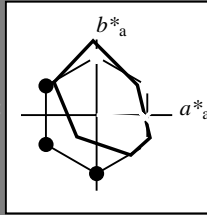
Buntontexte:

$u^*_e = b75r$ $u^*_d = m33o$

Kontrastreduzierungsfaktor:

$c_R = 0.9$

Dreiecks-Helligkeit t^*



FRS15_90a; adaptierte CIELAB-Daten						
u^*_e	$L^*=L^*_a$	a^*_a	b^*_a	$C^*_{ab,a}$	$h^*_{ab,a}$	
O _{Ma}	38.8	53.92	39.68	66.95	36	
Y _{Ma}	82.58	-4.64	98.22	98.33	93	
L _{Ma}	46.95	-56.34	43.46	71.15	142	
C _{Ma}	54.62	-26.2	-28.68	38.85	228	
V _{Ma}	20.01	45.2	-52.87	69.56	311	
M _{Ma}	40.88	70.68	-29.99	76.78	337	
N _{Ma}	15.0	0.0	0.0	0.0	0	
W _{Ma}	90.0	0.0	0.0	0.0	0	
R _{Ma}	39.92	58.74	27.99	65.07	25	
J _{Ma}	81.26	-2.89	71.56	71.62	92	
G _{Ma}	52.23	-42.42	13.6	44.55	162	
B _{Ma}	30.57	1.41	-46.47	46.49	272	

Daten für Maximalfarbe (Ma):

$LAB^*LAB^*_{Ma}$: 40 64 -3

$LAB^*LCH^*_{Ma}$: 40 64 357

$lab^*rgb^*_{Ma}$: 1.0 0.0 0.5

$lab^*olv^*_{Ma}$: 1.0 0.0 0.66

Dreiecks-Helligkeit t^*

%Umfang

$u^*_{rel} = 88$

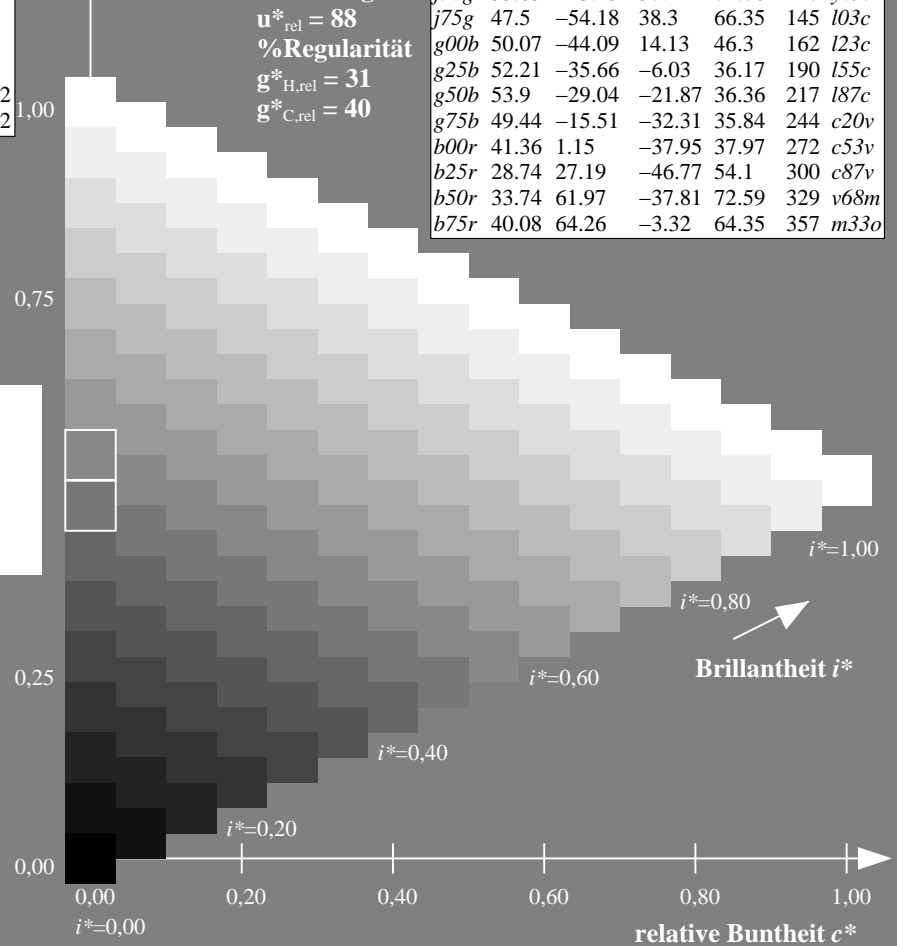
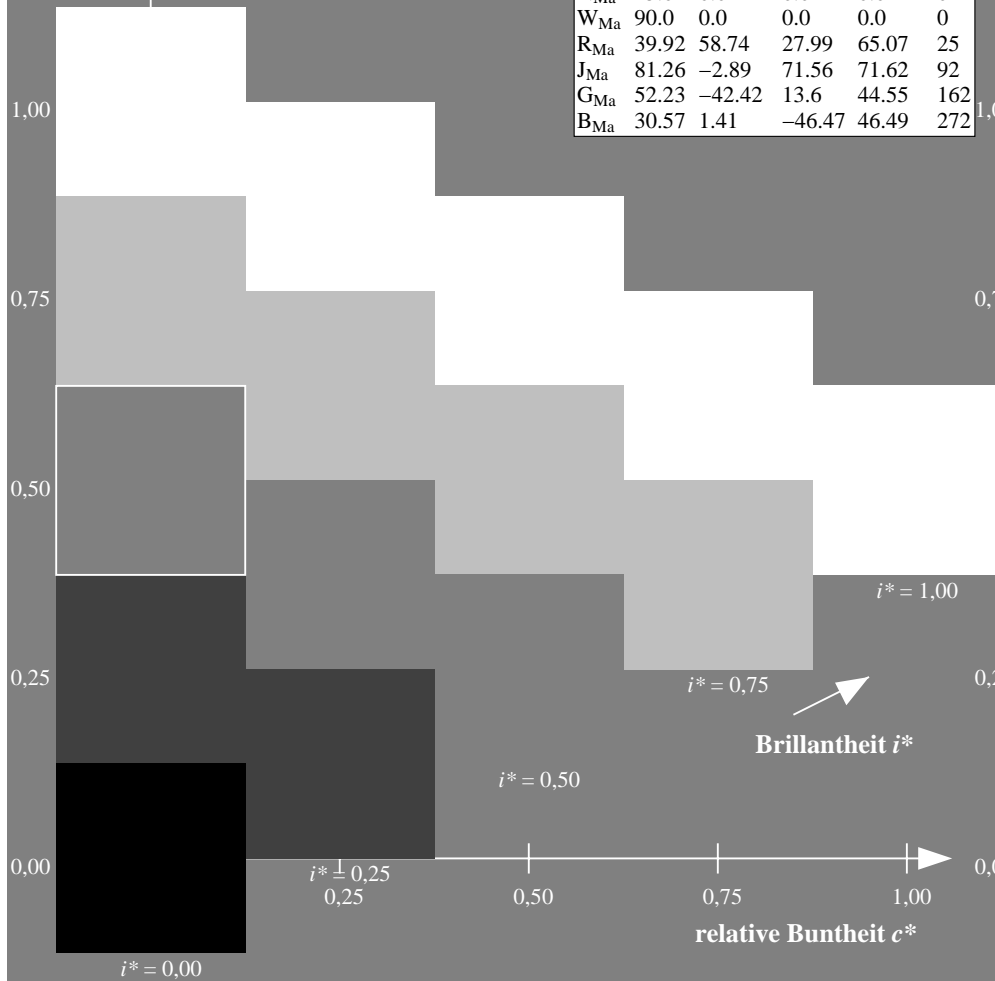
%Regularität

$g^*_{H,rel} = 31$

$g^*_{C,rel} = 40$

FRS15_90a; adaptierte CIELAB-Daten

u^*_e	$L^*=L^*_a$	a^*_a	b^*_a	$C^*_{ab,a}$	$h^*_{ab,a}$	u^*_d
r00j	39.18	56.94	27.13	63.07	25	m81o
r25j	42.41	49.1	44.5	66.26	42	o10y
r50j	52.78	35.22	58.37	68.17	59	o40y
r75j	64.82	19.12	74.47	76.89	76	o69y
j00g	82.06	-3.94	97.52	97.6	92	o98y
j25g	67.26	-26.87	74.67	79.36	110	y34l
j50g	55.83	-43.45	57.11	71.76	127	y69l
j75g	47.5	-54.18	38.3	66.35	145	l03c
g00b	50.07	-44.09	14.13	46.3	162	l23c
g25b	52.21	-35.66	-6.03	36.17	190	l55c
g50b	53.9	-29.04	-21.87	36.36	217	l87c
g75b	49.44	-15.51	-32.31	35.84	244	c20v
b00r	41.36	1.15	-37.95	37.97	272	c53v
b25r	28.74	27.19	-46.77	54.1	300	c87v
b50r	33.74	61.97	-37.81	72.59	329	v68m
b75r	40.08	64.26	-3.32	64.35	357	m33o



	A	B	C	D	E	F	G	H	I	J	K	L	M	N	O	P	Q	R	S	T	U	V	W	X	Y	Z	a	b	c	d	e	f	g	h	i	j	k								
01	[Solid Black]									[Solid Black]									[Solid Black]									[White]									[Solid Black]								
02	[Solid Black]									[Solid Black]									[Solid Black]									[Light Gray]									[Dark Gray]								
03	[Solid Black]									[Solid Black]									[Solid Black]									[Medium Gray]									[Medium-Dark Gray]								
04	[Solid Black]									[Solid Black]									[Solid Black]									[Dark Gray]									[Medium-Dark Gray]								
05	[Solid Black]									[Solid Black]									[Solid Black]									[Medium-Dark Gray]									[Dark Gray]								
06	[Solid Black]									[Solid Black]									[Solid Black]									[Dark Gray]									[Medium-Dark Gray]								
07	[Solid Black]									[Solid Black]									[Solid Black]									[Medium-Dark Gray]									[Dark Gray]								
08	[Solid Black]									[Solid Black]									[Solid Black]									[Dark Gray]									[Medium-Dark Gray]								
09	[Solid Black]									[Solid Black]									[Solid Black]									[Medium-Dark Gray]									[Dark Gray]								
10	[Dark Gray]									[Dark Gray]									[Dark Gray]									[White]									[Solid Black]								
11	[Dark Gray]									[Dark Gray]									[Dark Gray]									[Light Gray]									[Dark Gray]								
12	[Dark Gray]									[Dark Gray]									[Dark Gray]									[Medium Gray]									[Dark Gray]								
13	[Dark Gray]									[Dark Gray]									[Dark Gray]									[Dark Gray]									[Dark Gray]								
14	[Dark Gray]									[Dark Gray]									[Dark Gray]									[Medium-Dark Gray]									[Dark Gray]								
15	[Dark Gray]									[Dark Gray]									[Dark Gray]									[Dark Gray]									[Dark Gray]								
16	[Dark Gray]									[Dark Gray]									[Dark Gray]									[Dark Gray]									[Dark Gray]								
17	[Dark Gray]									[Dark Gray]									[Dark Gray]									[Dark Gray]									[Dark Gray]								
18	[Dark Gray]									[Dark Gray]									[Dark Gray]									[Dark Gray]									[Dark Gray]								
19	[Dark Gray]									[Dark Gray]									[Dark Gray]									[Medium-Dark Gray]									[Dark Gray]								
20	[Dark Gray]									[Dark Gray]									[Dark Gray]									[Dark Gray]									[Dark Gray]								
21	[Dark Gray]									[Dark Gray]									[Dark Gray]									[Dark Gray]									[Dark Gray]								
22	[Dark Gray]									[Dark Gray]									[Dark Gray]									[Dark Gray]									[Dark Gray]								
23	[Dark Gray]									[Dark Gray]									[Dark Gray]									[Dark Gray]									[Dark Gray]								
24	[Dark Gray]									[Dark Gray]									[Dark Gray]									[Dark Gray]									[Dark Gray]								
25	[Dark Gray]									[Dark Gray]									[Dark Gray]									[Dark Gray]									[Dark Gray]								
26	[Dark Gray]									[Dark Gray]									[Dark Gray]									[Dark Gray]									[Dark Gray]								
27	[Dark Gray]									[Dark Gray]									[Dark Gray]									[Dark Gray]									[Dark Gray]								

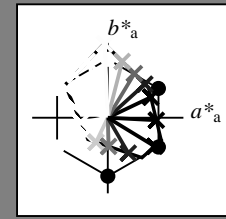
Ein und Ausgabe:
 Farbmimetrisches Drucker-Reflektiv-System FRS15_90a

Daten für jede Farbe:
 u^*_e und Nummer *Nr.* = 00 .. 15

Elementar-Bunttextext:
 $u^*_e = 16$ Bunttoene *r00j, r25j, ..., b75r*

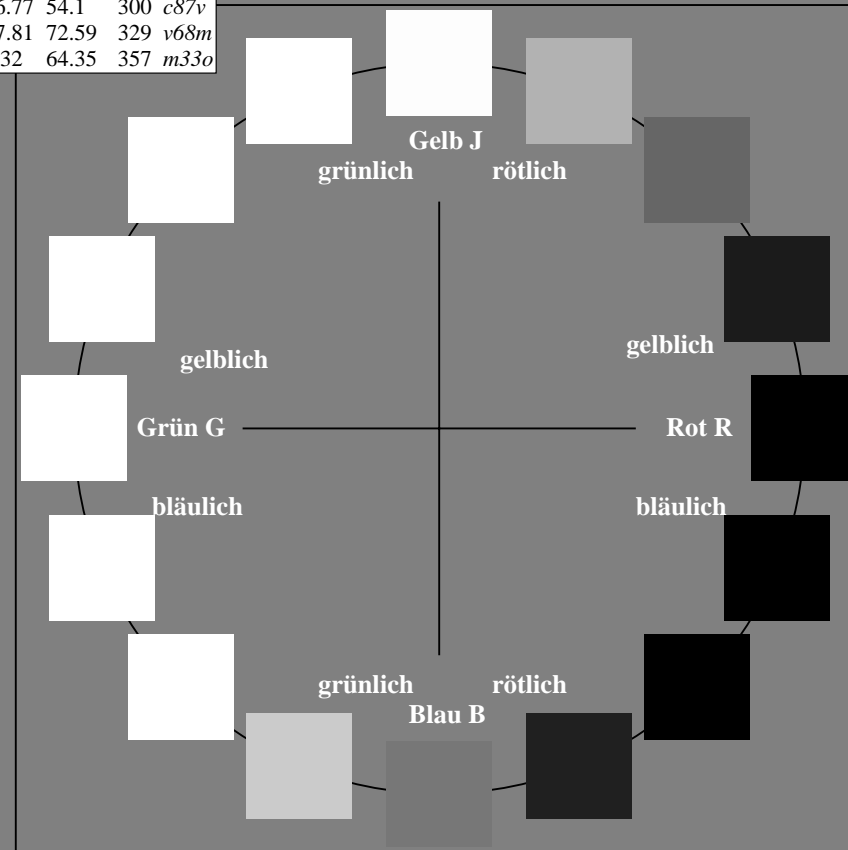
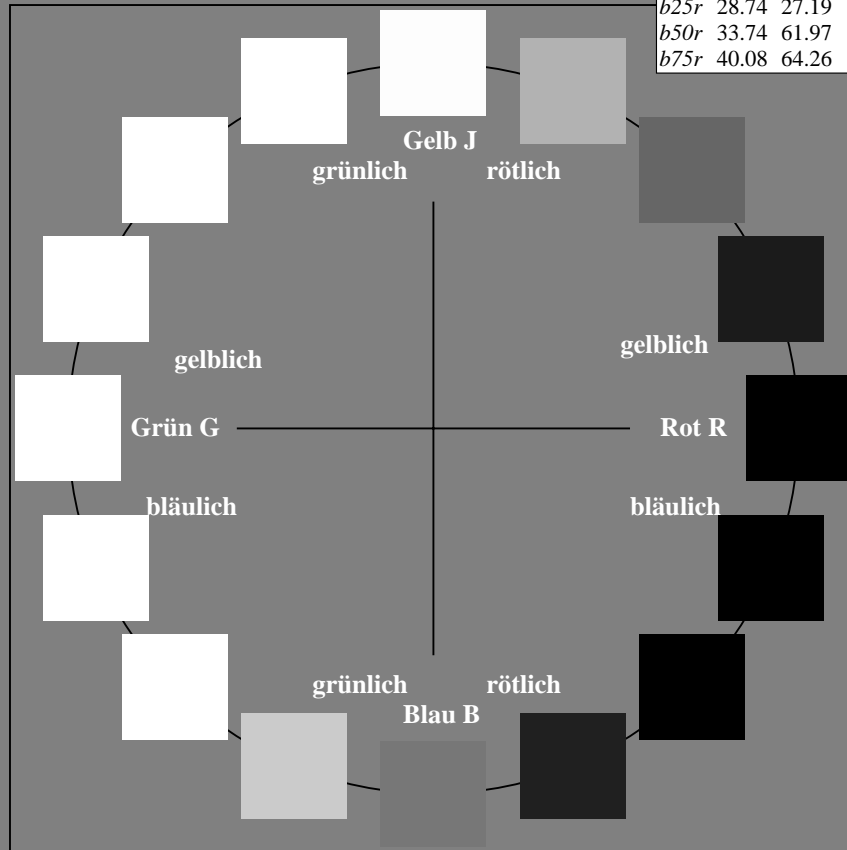
Kontrastreduzierungsfaktor:
 $c_R = 0.9$

FRS15_90a; adaptierte CIELAB-Daten						
u^*_e	$L^*=L^*_a$	a^*_a	b^*_a	$C^*_{ab,a}$	$h^*_{ab,a}$	u^*_d
r00j	39.18	56.94	27.13	63.07	25	m81o
r25j	42.41	49.1	44.5	66.26	42	o10y
r50j	52.78	35.22	58.37	68.17	59	o40y
r75j	64.82	19.12	74.47	76.89	76	o69y
j00g	82.06	-3.94	97.52	97.6	92	o98y
j25g	67.26	-26.87	74.67	79.36	110	y34l
j50g	55.83	-43.45	57.11	71.76	127	y69l
j75g	47.5	-54.18	38.3	66.35	145	l03c
g00b	50.07	-44.09	14.13	46.3	162	l23c
g25b	52.21	-35.66	-6.03	36.17	190	l55c
g50b	53.9	-29.04	-21.87	36.36	217	l87c
g75b	49.44	-15.51	-32.31	35.84	244	c20v
b00r	41.36	1.15	-37.95	37.97	272	c53v
b25r	28.74	27.19	-46.77	54.1	300	c87v
b50r	33.74	61.97	-37.81	72.59	329	v68m
b75r	40.08	64.26	-3.32	64.35	357	m33o



%Umfang
 $u^*_{rel} = 88$
 %Regularität
 $g^*_{H,rel} = 31$
 $g^*_{C,rel} = 40$

FRS15_90a; adaptierte CIELAB-Daten					
Name	$L^*=L^*_a$	a^*_a	b^*_a	$C^*_{ab,a}$	$h^*_{ab,a}$
O _{Ma}	38.8	53.92	39.68	66.95	36
Y _{Ma}	82.58	-4.64	98.22	98.33	93
L _{Ma}	46.95	-56.34	43.46	71.15	142
C _{Ma}	54.62	-26.2	-28.68	38.85	228
V _{Ma}	20.01	45.2	-52.87	69.56	311
M _{Ma}	40.88	70.68	-29.99	76.78	337
N _{Ma}	15.0	0.0	0.0	0.0	0
W _{Ma}	90.0	0.0	0.0	0.0	0
R _{CIE}	39.92	58.74	27.99	65.07	25
J _{CIE}	81.26	-2.89	71.56	71.62	92
G _{CIE}	52.23	-42.42	13.6	44.55	162
B _{CIE}	30.57	1.41	-46.47	46.49	272



Daten für jede Farbe:

lab^*tch^* und lab^*icu^*

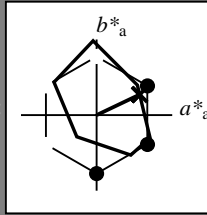
Buntontexte:

$u^*_e = r00j$ $u^*_d = m81o$

Kontrastreduzierungsfaktor:

$c_R = 0.9$

Dreiecks-Helligkeit t^*



FRS15_90a; adaptierte CIELAB-Daten

u^*_e	$L^*=L^*_a$	a^*_a	b^*_a	$C^*_{ab,a}$	$h^*_{ab,a}$
O _{Ma}	38.8	53.92	39.68	66.95	36
Y _{Ma}	82.58	-4.64	98.22	98.33	93
L _{Ma}	46.95	-56.34	43.46	71.15	142
C _{Ma}	54.62	-26.2	-28.68	38.85	228
V _{Ma}	20.01	45.2	-52.87	69.56	311
M _{Ma}	40.88	70.68	-29.99	76.78	337
N _{Ma}	15.0	0.0	0.0	0.0	0
W _{Ma}	90.0	0.0	0.0	0.0	0
R _{Ma}	39.92	58.74	27.99	65.07	25
J _{Ma}	81.26	-2.89	71.56	71.62	92
G _{Ma}	52.23	-42.42	13.6	44.55	162
B _{Ma}	30.57	1.41	-46.47	46.49	272

Daten für Maximalfarbe (Ma):

$LAB^*LAB^*_{Ma}$: 39 57 27

$LAB^*LCH^*_{Ma}$: 39 63 25

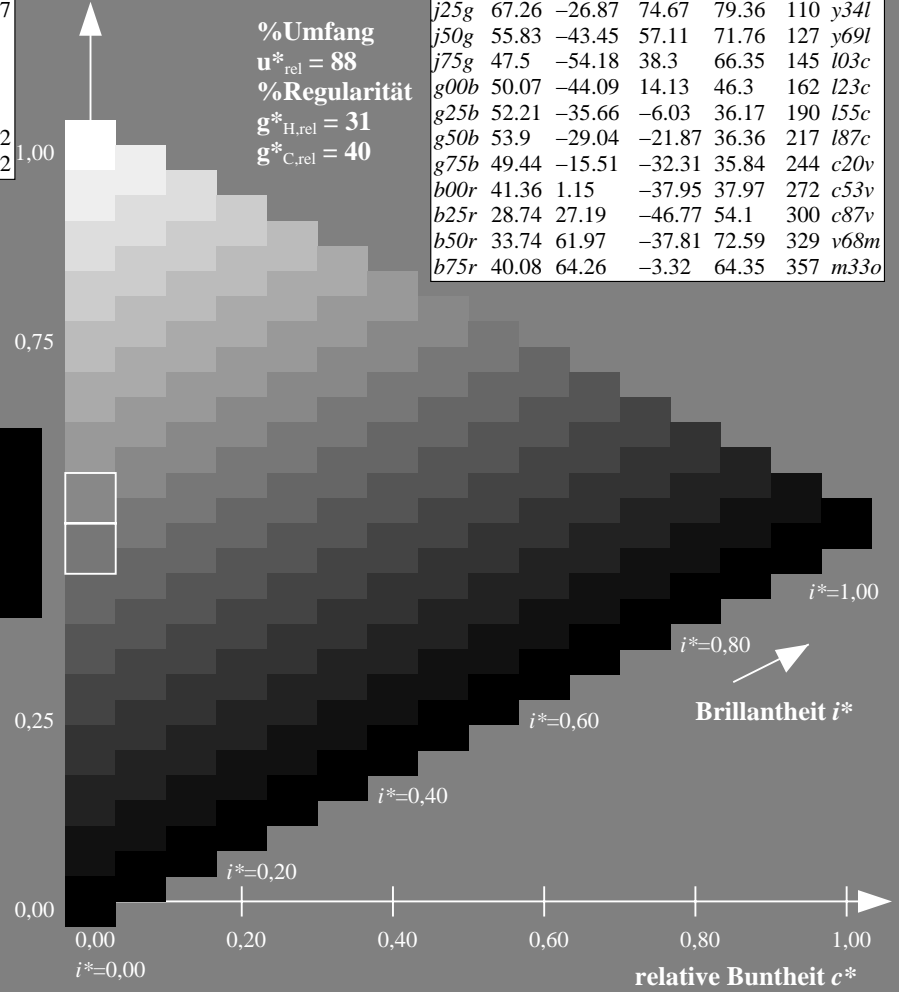
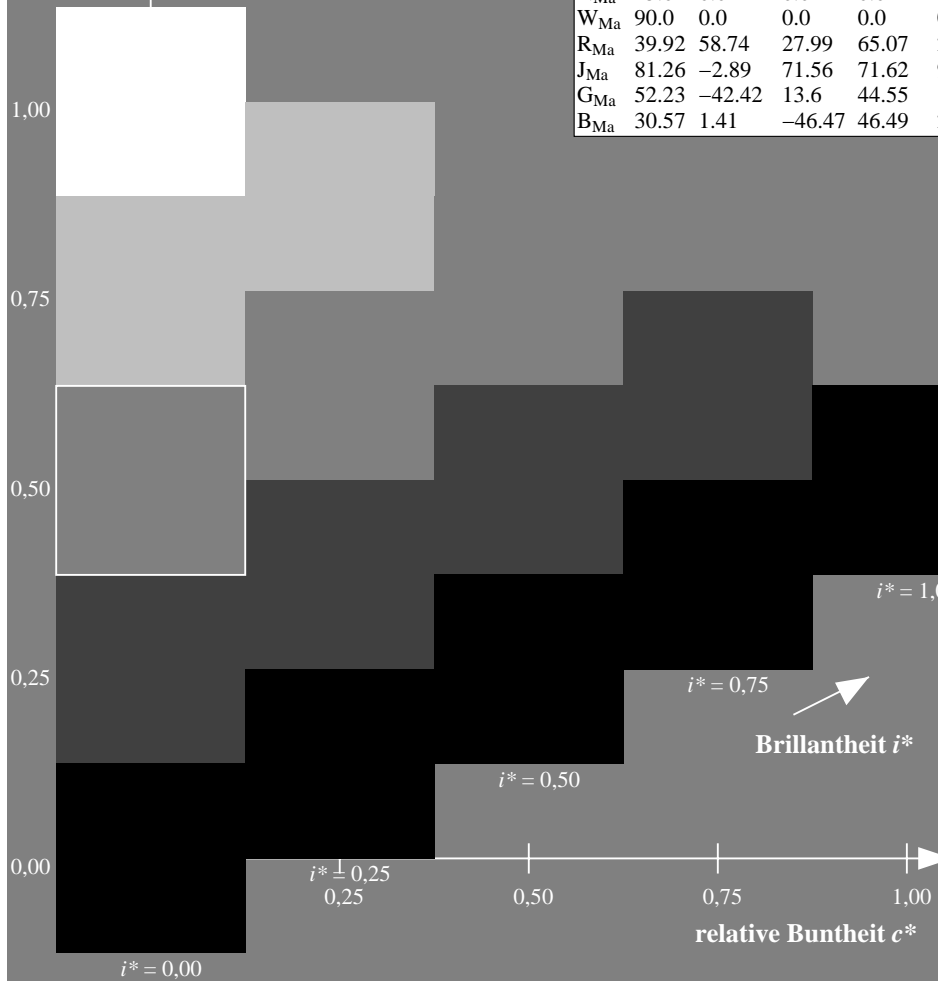
$lab^*rgb^*_{Ma}$: 1.0 0.0 0.0

$lab^*olv^*_{Ma}$: 1.0 0.0 0.18

Dreiecks-Helligkeit t^*

FRS15_90a; adaptierte CIELAB-Daten

u^*_e	$L^*=L^*_a$	a^*_a	b^*_a	$C^*_{ab,a}$	$h^*_{ab,a}$	u^*_d
r00j	39.18	56.94	27.13	63.07	25	m81o
r25j	42.41	49.1	44.5	66.26	42	o10y
r50j	52.78	35.22	58.37	68.17	59	o40y
r75j	64.82	19.12	74.47	76.89	76	o69y
j00g	82.06	-3.94	97.52	97.6	92	o98y
j25g	67.26	-26.87	74.67	79.36	110	y34l
j50g	55.83	-43.45	57.11	71.76	127	y69l
j75g	47.5	-54.18	38.3	66.35	145	l03c
g00b	50.07	-44.09	14.13	46.3	162	l23c
g25b	52.21	-35.66	-6.03	36.17	190	l55c
g50b	53.9	-29.04	-21.87	36.36	217	l87c
g75b	49.44	-15.51	-32.31	35.84	244	c20v
b00r	41.36	1.15	-37.95	37.97	272	c53v
b25r	28.74	27.19	-46.77	54.1	300	c87v
b50r	33.74	61.97	-37.81	72.59	329	v68m
b75r	40.08	64.26	-3.32	64.35	357	m33o



Daten für jede Farbe:

lab^*tch^* und lab^*icu^*

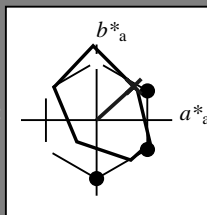
Buntontexte:

$u^*_e = r25j$ $u^*_d = o10y$

Kontrastreduzierungsfaktor:

$c_R = 0.9$

Dreiecks-Helligkeit t^*



FRS15_90a; adaptierte CIELAB-Daten

u^*_e	$L^*=L^*_a$	a^*_a	b^*_a	$C^*_{ab,a}$	$h^*_{ab,a}$
O _{Ma}	38.8	53.92	39.68	66.95	36
Y _{Ma}	82.58	-4.64	98.22	98.33	93
L _{Ma}	46.95	-56.34	43.46	71.15	142
C _{Ma}	54.62	-26.2	-28.68	38.85	228
V _{Ma}	20.01	45.2	-52.87	69.56	311
M _{Ma}	40.88	70.68	-29.99	76.78	337
N _{Ma}	15.0	0.0	0.0	0.0	0
W _{Ma}	90.0	0.0	0.0	0.0	0
R _{Ma}	39.92	58.74	27.99	65.07	25
J _{Ma}	81.26	-2.89	71.56	71.62	92
G _{Ma}	52.23	-42.42	13.6	44.55	162
B _{Ma}	30.57	1.41	-46.47	46.49	272

Daten für Maximalfarbe (Ma):

$LAB^*LAB^*_{Ma}$: 42 49 44

$LAB^*LCH^*_{Ma}$: 42 66 42

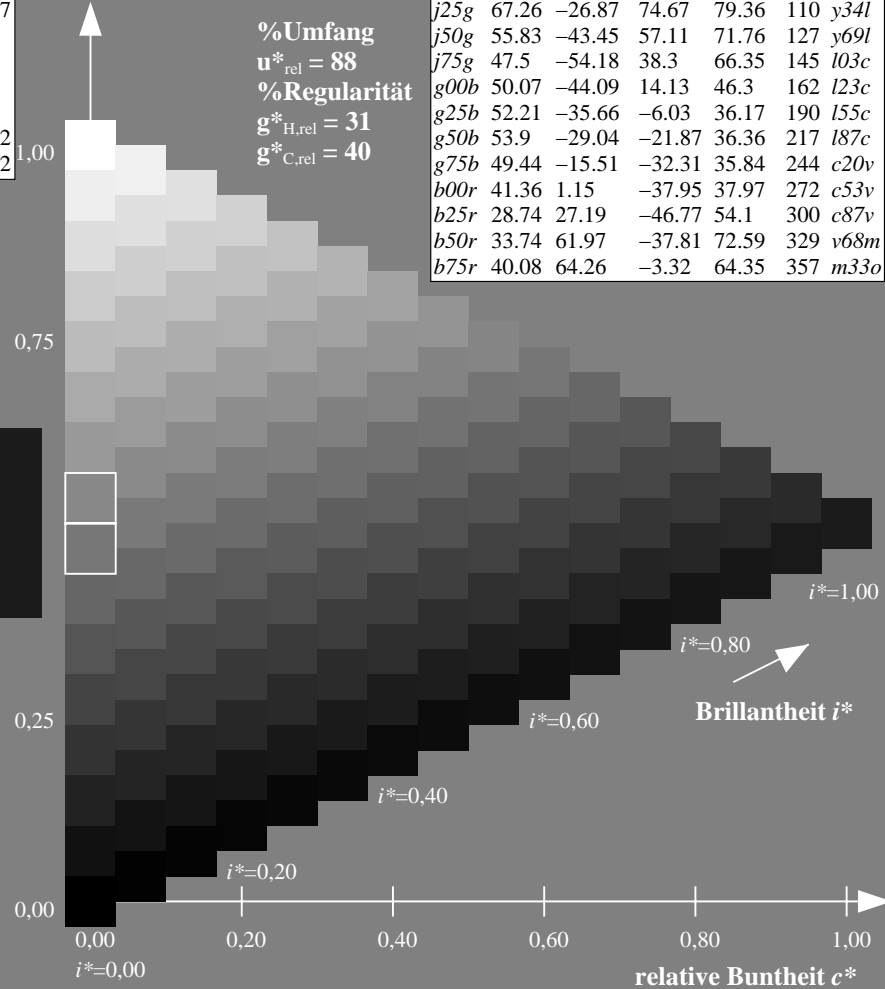
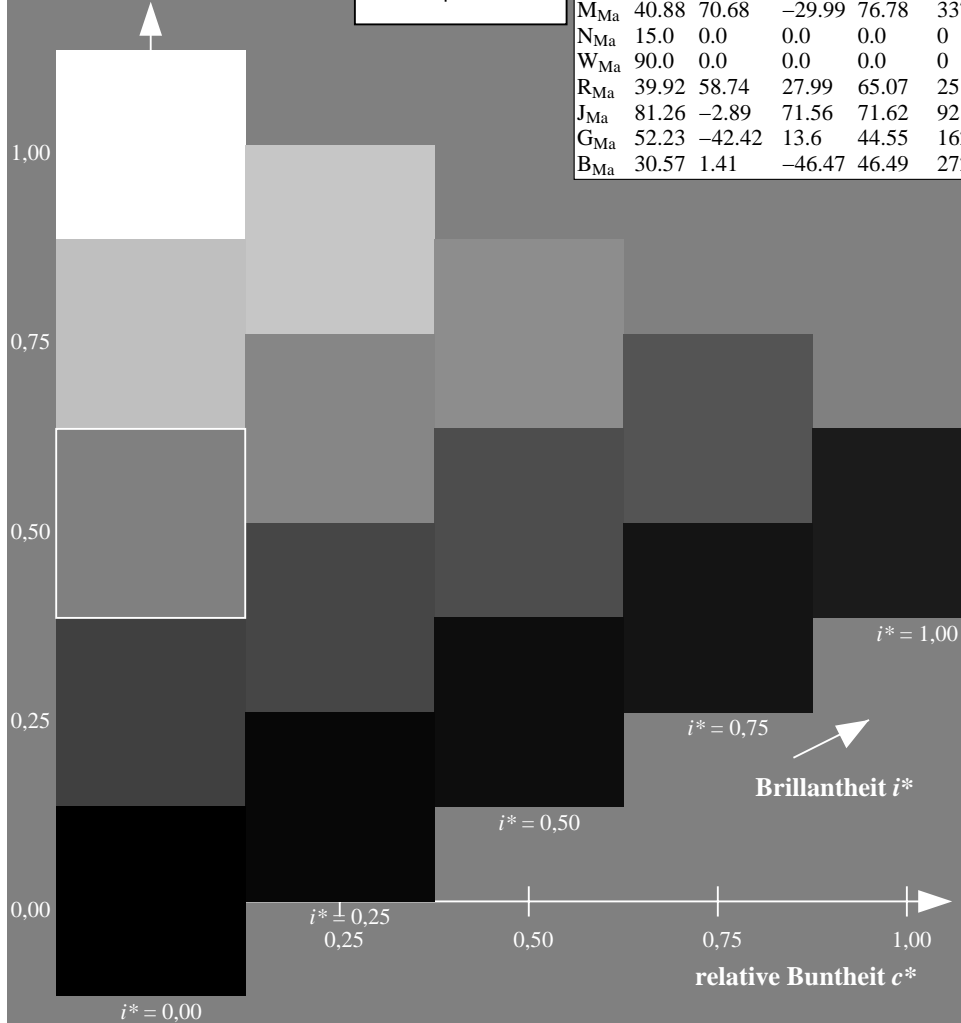
$lab^*rgb^*_{Ma}$: 1.0 0.25 0.0

$lab^*olv^*_{Ma}$: 1.0 0.1 0.0

Dreiecks-Helligkeit t^*

FRS15_90a; adaptierte CIELAB-Daten

u^*_e	$L^*=L^*_a$	a^*_a	b^*_a	$C^*_{ab,a}$	$h^*_{ab,a}$	u^*_d
r00j	39.18	56.94	27.13	63.07	25	m81o
r25j	42.41	49.1	44.5	66.26	42	o10y
r50j	52.78	35.22	58.37	68.17	59	o40y
r75j	64.82	19.12	74.47	76.89	76	o69y
j00g	82.06	-3.94	97.52	97.6	92	o98y
j25g	67.26	-26.87	74.67	79.36	110	y34l
j50g	55.83	-43.45	57.11	71.76	127	y69l
j75g	47.5	-54.18	38.3	66.35	145	l03c
g00b	50.07	-44.09	14.13	46.3	162	l23c
g25b	52.21	-35.66	-6.03	36.17	190	l55c
g50b	53.9	-29.04	-21.87	36.36	217	l87c
g75b	49.44	-15.51	-32.31	35.84	244	c20v
b00r	41.36	1.15	-37.95	37.97	272	c53v
b25r	28.74	27.19	-46.77	54.1	300	c87v
b50r	33.74	61.97	-37.81	72.59	329	v68m
b75r	40.08	64.26	-3.32	64.35	357	m33o



Ein und Ausgabe: Farbmetrisches Drucker-Reflektiv-System FRS15_90a für relativen CIELAB-Bunton $h^* = lab^*h^* = h_{ab}/360 = 0.164$

$u^*_e = r50j$

Daten für jede Farbe:

lab^*tch^* und lab^*icu^*

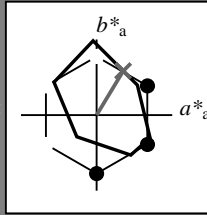
Buntontexte:

$u^*_e = r50j$ $u^*_d = o40y$

Kontrastreduzierungsfaktor:

$c_R = 0.9$

Dreiecks-Helligkeit t^*



FRS15_90a; adaptierte CIELAB-Daten						
u^*_e	$L^*=L^*_a$	a^*_a	b^*_a	$C^*_{ab,a}$	$h^*_{ab,a}$	
O_{Ma}	38.8	53.92	39.68	66.95	36	
Y_{Ma}	82.58	-4.64	98.22	98.33	93	
L_{Ma}	46.95	-56.34	43.46	71.15	142	
C_{Ma}	54.62	-26.2	-28.68	38.85	228	
V_{Ma}	20.01	45.2	-52.87	69.56	311	
M_{Ma}	40.88	70.68	-29.99	76.78	337	
N_{Ma}	15.0	0.0	0.0	0.0	0	
W_{Ma}	90.0	0.0	0.0	0.0	0	
R_{Ma}	39.92	58.74	27.99	65.07	25	
J_{Ma}	81.26	-2.89	71.56	71.62	92	
G_{Ma}	52.23	-42.42	13.6	44.55	162	
B_{Ma}	30.57	1.41	-46.47	46.49	272	

Daten für Maximalfarbe (Ma):

$LAB^*LAB^*_{Ma}: 53\ 35\ 58$

$LAB^*LCH^*_{Ma}: 53\ 68\ 58$

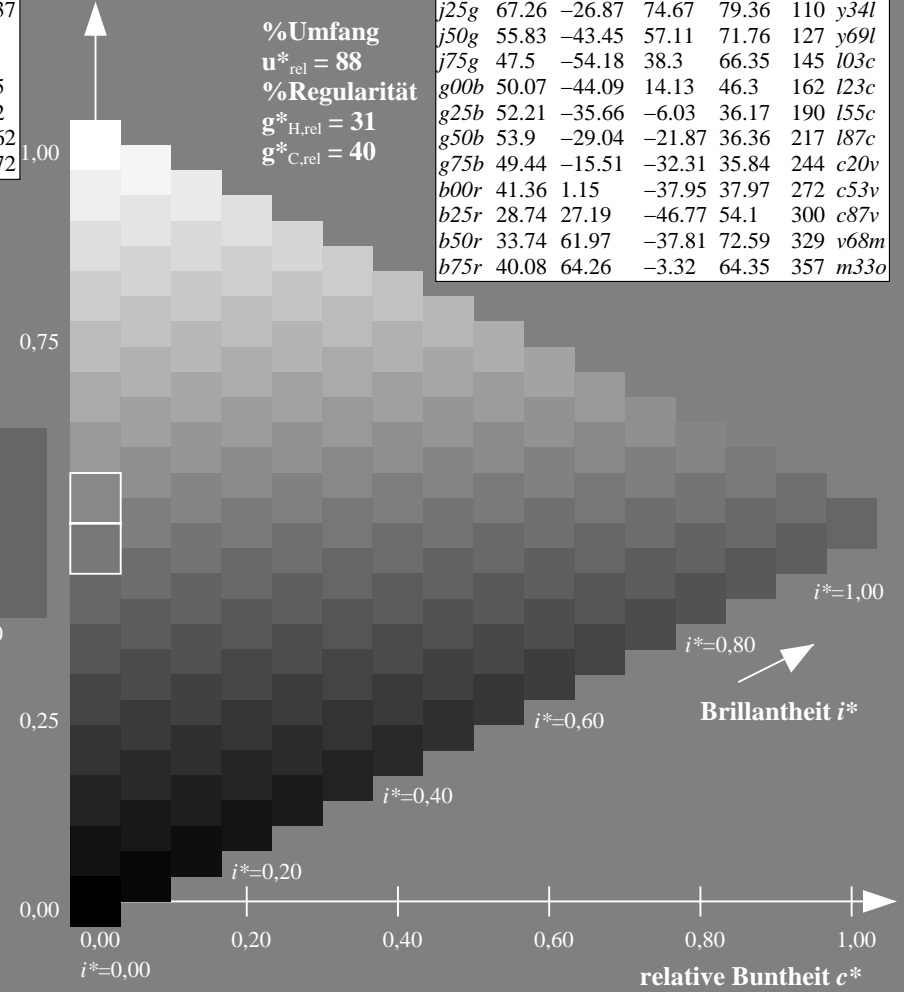
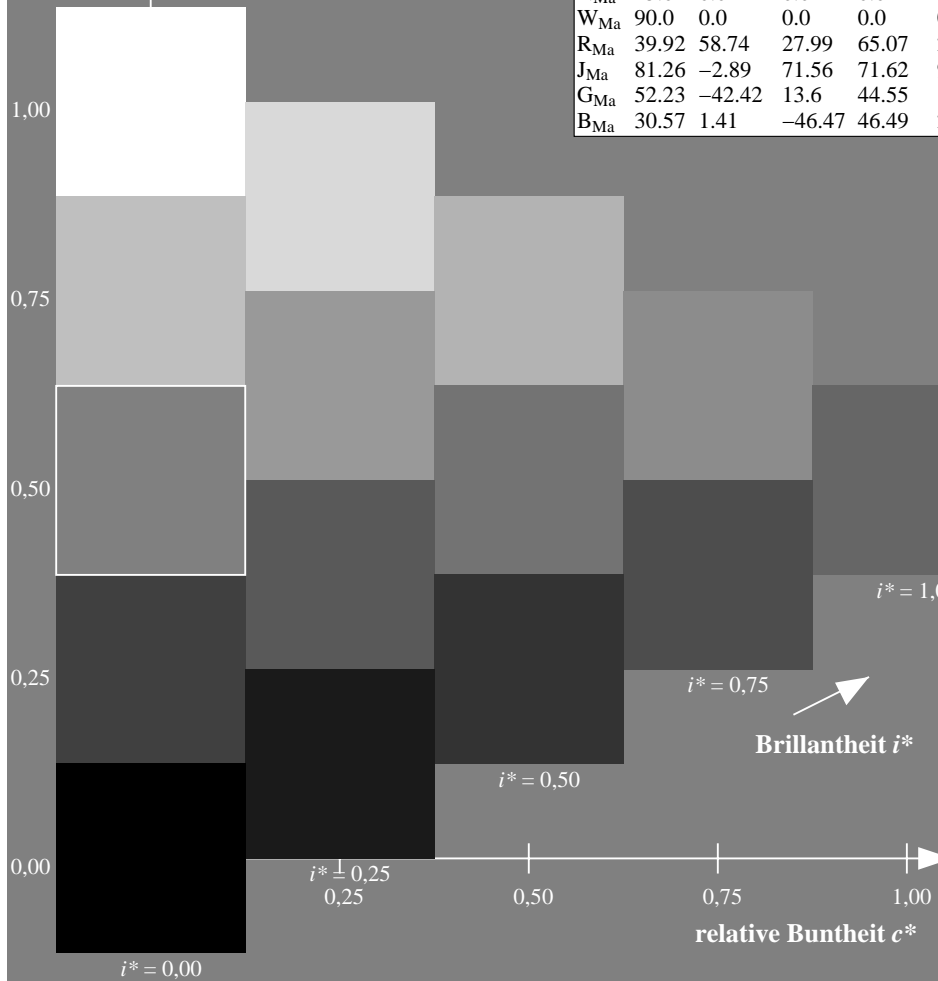
$lab^*rgb^*_{Ma}: 1.0\ 0.5\ 0.0$

$lab^*olv^*_{Ma}: 1.0\ 0.4\ 0.0$

Dreiecks-Helligkeit t^*

FRS15_90a; adaptierte CIELAB-Daten

u^*_e	$L^*=L^*_a$	a^*_a	b^*_a	$C^*_{ab,a}$	$h^*_{ab,a}$	u^*_d
$r00j$	39.18	56.94	27.13	63.07	25	$m81o$
$r25j$	42.41	49.1	44.5	66.26	42	$o10y$
$r50j$	52.78	35.22	58.37	68.17	59	$o40y$
$r75j$	64.82	19.12	74.47	76.89	76	$o69y$
$j00g$	82.06	-3.94	97.52	97.6	92	$o98y$
$j25g$	67.26	-26.87	74.67	79.36	110	$y34l$
$j50g$	55.83	-43.45	57.11	71.76	127	$y69l$
$j75g$	47.5	-54.18	38.3	66.35	145	$l03c$
$g00b$	50.07	-44.09	14.13	46.3	162	$l23c$
$g25b$	52.21	-35.66	-6.03	36.17	190	$l55c$
$g50b$	53.9	-29.04	-21.87	36.36	217	$l87c$
$g75b$	49.44	-15.51	-32.31	35.84	244	$c20v$
$b00r$	41.36	1.15	-37.95	37.97	272	$c53v$
$b25r$	28.74	27.19	-46.77	54.1	300	$c87v$
$b50r$	33.74	61.97	-37.81	72.59	329	$v68m$
$b75r$	40.08	64.26	-3.32	64.35	357	$m33o$



Ein und Ausgabe: Farbmatisches Drucker-Reflektiv-System FRS15_90a für relativen CIELAB-Bunton $h^* = lab^*h^* = h_{ab}/360 = 0.21$

$u^*_e = r75j$

Daten für jede Farbe:

lab^*tch^* und lab^*icu^*

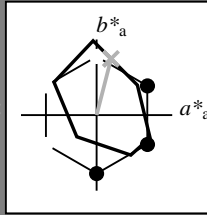
Buntontexte:

$u^*_e = r75j$ $u^*_d = o69y$

Kontrastreduzierungsfaktor:

$c_R = 0.9$

Dreiecks-Helligkeit t^*



FRS15_90a; adaptierte CIELAB-Daten						
u^*_e	$L^*=L^*_a$	a^*_a	b^*_a	$C^*_{ab,a}$	$h^*_{ab,a}$	
O _{Ma}	38.8	53.92	39.68	66.95	36	
Y _{Ma}	82.58	-4.64	98.22	98.33	93	
L _{Ma}	46.95	-56.34	43.46	71.15	142	
C _{Ma}	54.62	-26.2	-28.68	38.85	228	
V _{Ma}	20.01	45.2	-52.87	69.56	311	
M _{Ma}	40.88	70.68	-29.99	76.78	337	
N _{Ma}	15.0	0.0	0.0	0.0	0	
W _{Ma}	90.0	0.0	0.0	0.0	0	
R _{Ma}	39.92	58.74	27.99	65.07	25	
J _{Ma}	81.26	-2.89	71.56	71.62	92	
G _{Ma}	52.23	-42.42	13.6	44.55	162	
B _{Ma}	30.57	1.41	-46.47	46.49	272	

Daten für Maximalfarbe (Ma):

$LAB^*LAB^*_{Ma}$: 65 19 74

$LAB^*LCH^*_{Ma}$: 65 77 75

$lab^*rgb^*_{Ma}$: 1.0 0.75 0.0

$lab^*olv^*_{Ma}$: 1.0 0.7 0.0

Dreiecks-Helligkeit t^*

%Umfang

$u^*_{rel} = 88$

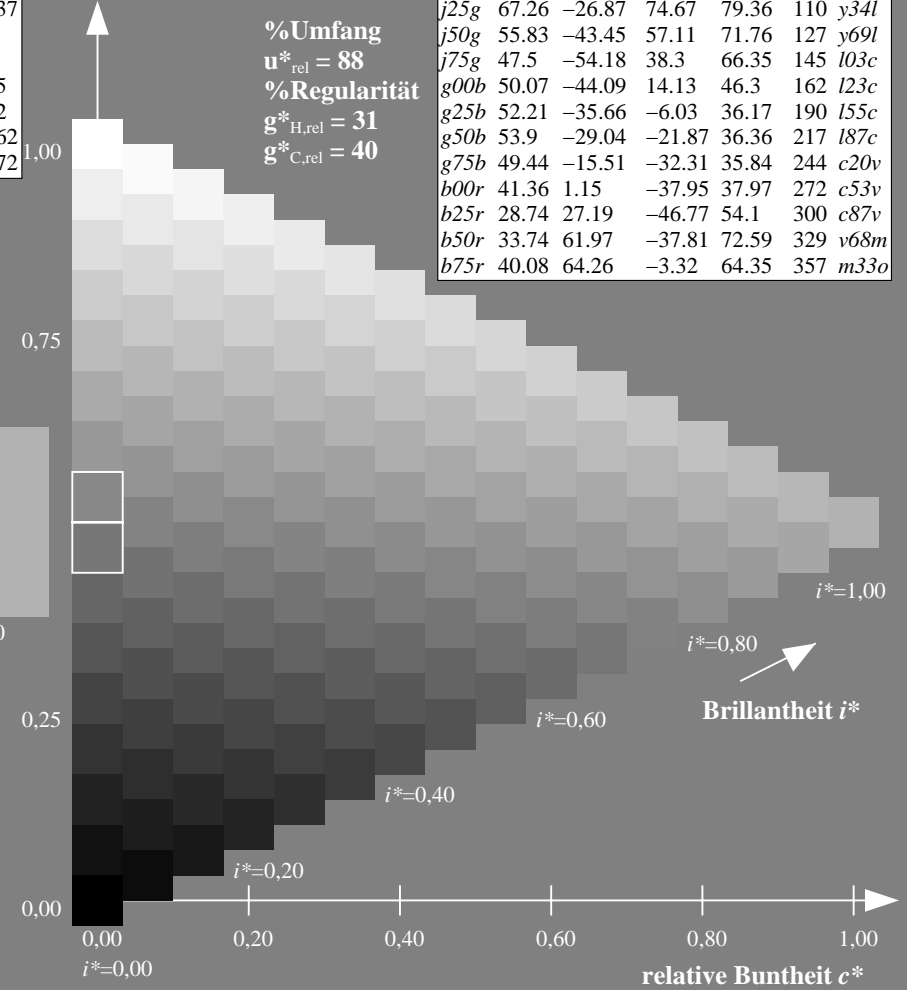
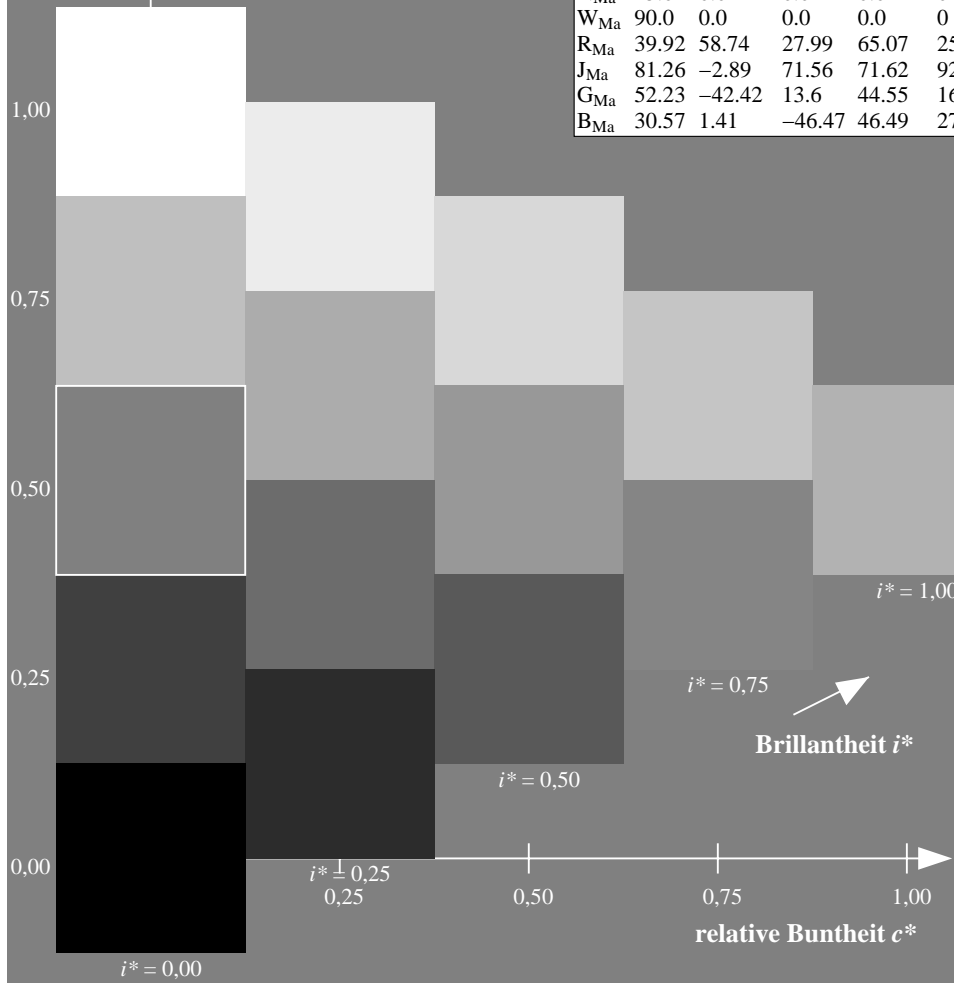
%Regularität

$g^*_{H,rel} = 31$

$g^*_{C,rel} = 40$

FRS15_90a; adaptierte CIELAB-Daten

u^*_e	$L^*=L^*_a$	a^*_a	b^*_a	$C^*_{ab,a}$	$h^*_{ab,a}$	u^*_d
r00j	39.18	56.94	27.13	63.07	25	m81o
r25j	42.41	49.1	44.5	66.26	42	o10y
r50j	52.78	35.22	58.37	68.17	59	o40y
r75j	64.82	19.12	74.47	76.89	76	o69y
j00g	82.06	-3.94	97.52	97.6	92	o98y
j25g	67.26	-26.87	74.67	79.36	110	y34l
j50g	55.83	-43.45	57.11	71.76	127	y69l
j75g	47.5	-54.18	38.3	66.35	145	l03c
g00b	50.07	-44.09	14.13	46.3	162	l23c
g25b	52.21	-35.66	-6.03	36.17	190	l55c
g50b	53.9	-29.04	-21.87	36.36	217	l87c
g75b	49.44	-15.51	-32.31	35.84	244	c20v
b00r	41.36	1.15	-37.95	37.97	272	c53v
b25r	28.74	27.19	-46.77	54.1	300	c87v
b50r	33.74	61.97	-37.81	72.59	329	v68m
b75r	40.08	64.26	-3.32	64.35	357	m33o



Ein und Ausgabe: Farbmatisches Drucker-Reflektiv-System FRS15_90a für relativen CIELAB-Bunton $h^* = lab^*h^* = h_{ab}/360 = 0.256$

$u^*_e = j00g$

Daten für jede Farbe:

lab^*tch^* und lab^*icu^*

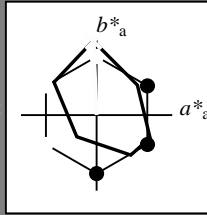
Buntontexte:

$u^*_e = j00g$ $u^*_d = o98y$

Kontrastreduzierungsfaktor:

$c_R = 0.9$

Dreiecks-Helligkeit t^*



FRS15_90a; adaptierte CIELAB-Daten						
u^*_e	$L^*=L^*_a$	a^*_a	b^*_a	$C^*_{ab,a}$	$h^*_{ab,a}$	
O _{Ma}	38.8	53.92	39.68	66.95	36	
Y _{Ma}	82.58	-4.64	98.22	98.33	93	
L _{Ma}	46.95	-56.34	43.46	71.15	142	
C _{Ma}	54.62	-26.2	-28.68	38.85	228	
V _{Ma}	20.01	45.2	-52.87	69.56	311	
M _{Ma}	40.88	70.68	-29.99	76.78	337	
N _{Ma}	15.0	0.0	0.0	0.0	0	
W _{Ma}	90.0	0.0	0.0	0.0	0	
R _{Ma}	39.92	58.74	27.99	65.07	25	
J _{Ma}	81.26	-2.89	71.56	71.62	92	
G _{Ma}	52.23	-42.42	13.6	44.55	162	
B _{Ma}	30.57	1.41	-46.47	46.49	272	

Daten für Maximalfarbe (Ma):

$LAB^*LAB^*_{Ma}$: 82 -4 98

$LAB^*LCH^*_{Ma}$: 82 98 92

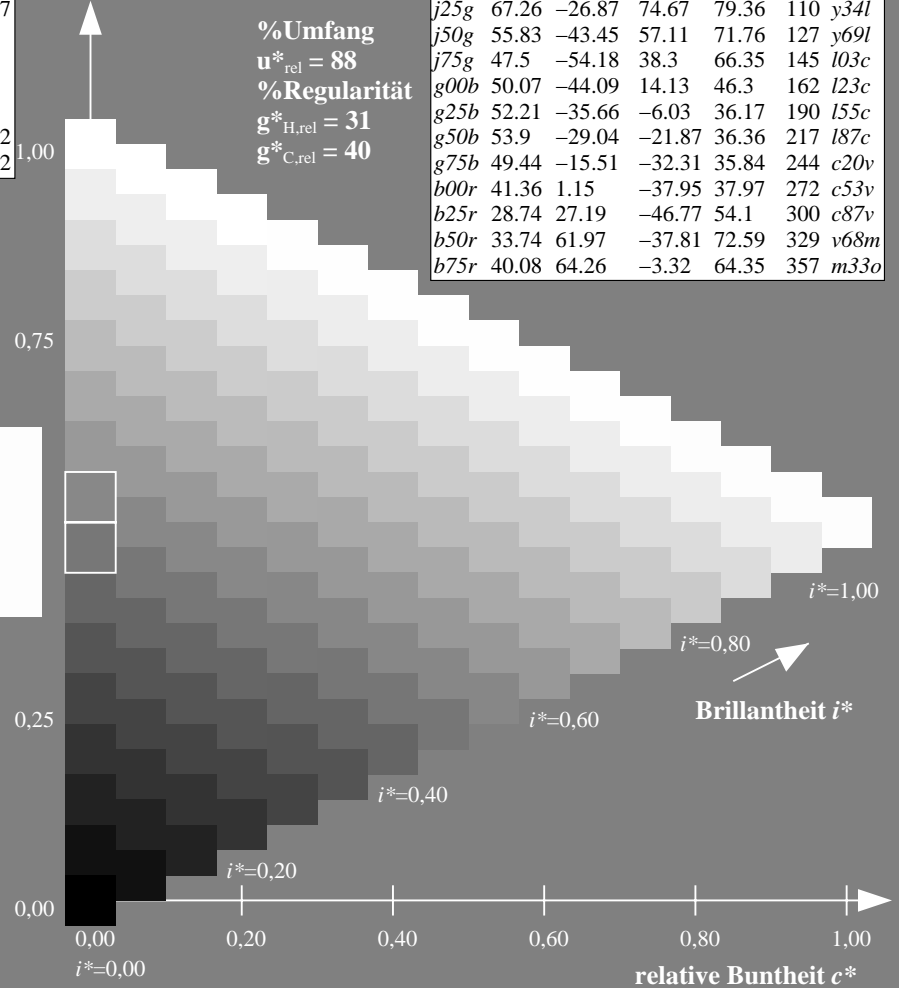
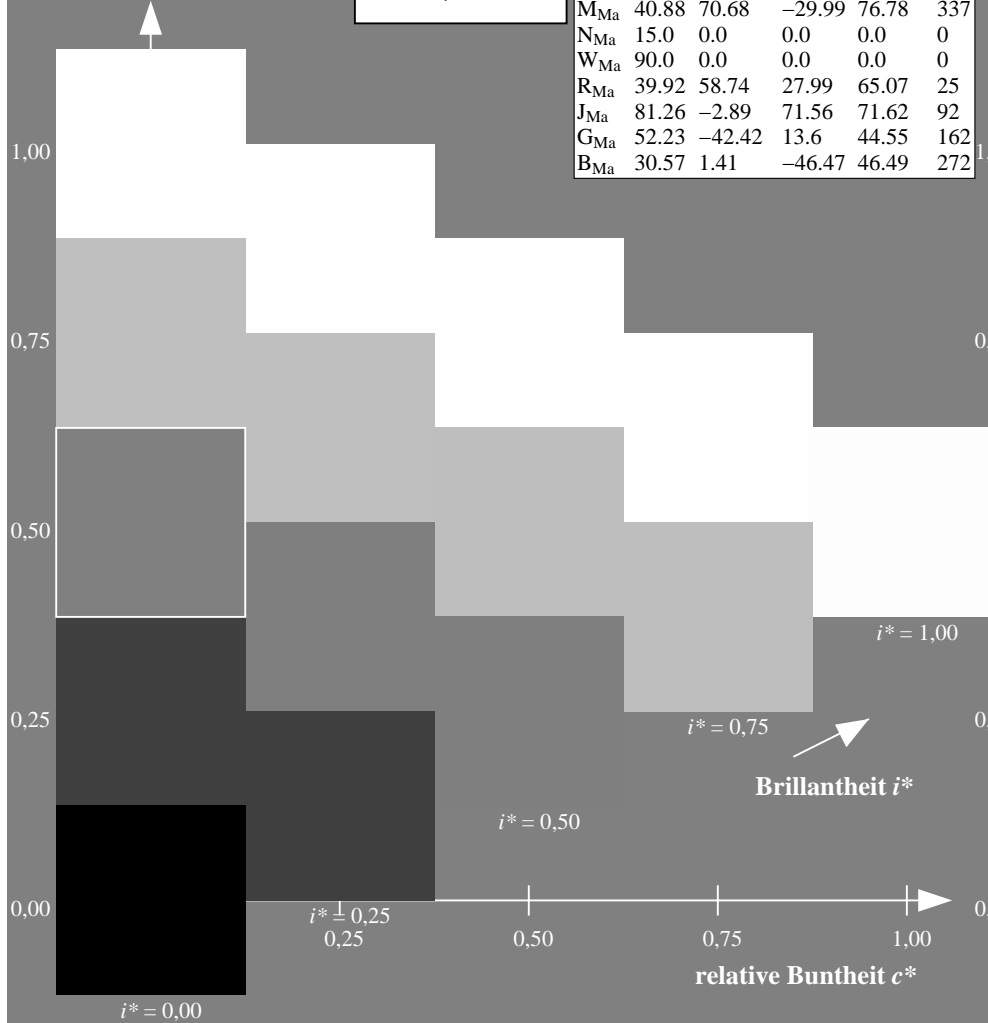
$lab^*rgb^*_{Ma}$: 1.0 1.0 0.0

$lab^*olv^*_{Ma}$: 1.0 0.99 0.0

Dreiecks-Helligkeit t^*

FRS15_90a; adaptierte CIELAB-Daten

u^*_e	$L^*=L^*_a$	a^*_a	b^*_a	$C^*_{ab,a}$	$h^*_{ab,a}$	u^*_d
r00j	39.18	56.94	27.13	63.07	25	m81o
r25j	42.41	49.1	44.5	66.26	42	o10y
r50j	52.78	35.22	58.37	68.17	59	o40y
r75j	64.82	19.12	74.47	76.89	76	o69y
j00g	82.06	-3.94	97.52	97.6	92	o98y
j25g	67.26	-26.87	74.67	79.36	110	y34l
j50g	55.83	-43.45	57.11	71.76	127	y69l
j75g	47.5	-54.18	38.3	66.35	145	l03c
g00b	50.07	-44.09	14.13	46.3	162	l23c
g25b	52.21	-35.66	-6.03	36.17	190	l55c
g50b	53.9	-29.04	-21.87	36.36	217	l87c
g75b	49.44	-15.51	-32.31	35.84	244	c20v
b00r	41.36	1.15	-37.95	37.97	272	c53v
b25r	28.74	27.19	-46.77	54.1	300	c87v
b50r	33.74	61.97	-37.81	72.59	329	v68m
b75r	40.08	64.26	-3.32	64.35	357	m33o



Ein und Ausgabe: Farbmatisches Drucker-Reflektiv-System FRS15_90a für relativen CIELAB-Bunton $h^* = lab^*h^* = h_{ab}/360 = 0.305$

$u^*_e = j25g$

Daten für jede Farbe:

lab^*tch^* und lab^*icu^*

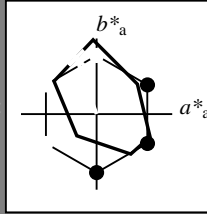
Buntontexte:

$u^*_e = j25g$ $u^*_d = y34l$

Kontrastreduzierungsfaktor:

$c_R = 0.9$

Dreiecks-Helligkeit t^*



FRS15_90a; adaptierte CIELAB-Daten						
u^*_e	$L^*=L^*_a$	a^*_a	b^*_a	$C^*_{ab,a}$	$h^*_{ab,a}$	
O _{Ma}	38.8	53.92	39.68	66.95	36	
Y _{Ma}	82.58	-4.64	98.22	98.33	93	
L _{Ma}	46.95	-56.34	43.46	71.15	142	
C _{Ma}	54.62	-26.2	-28.68	38.85	228	
V _{Ma}	20.01	45.2	-52.87	69.56	311	
M _{Ma}	40.88	70.68	-29.99	76.78	337	
N _{Ma}	15.0	0.0	0.0	0.0	0	
W _{Ma}	90.0	0.0	0.0	0.0	0	
R _{Ma}	39.92	58.74	27.99	65.07	25	
J _{Ma}	81.26	-2.89	71.56	71.62	92	
G _{Ma}	52.23	-42.42	13.6	44.55	162	
B _{Ma}	30.57	1.41	-46.47	46.49	272	

Daten für Maximalfarbe (Ma):

$LAB^*LAB^*_{Ma}$: 67 -27 75

$LAB^*LCH^*_{Ma}$: 67 79 109

$lab^*rgb^*_{Ma}$: 0.75 1.0 0.0

$lab^*olv^*_{Ma}$: 0.66 1.0 0.0

Dreiecks-Helligkeit t^*

%Umfang

$u^*_{rel} = 88$

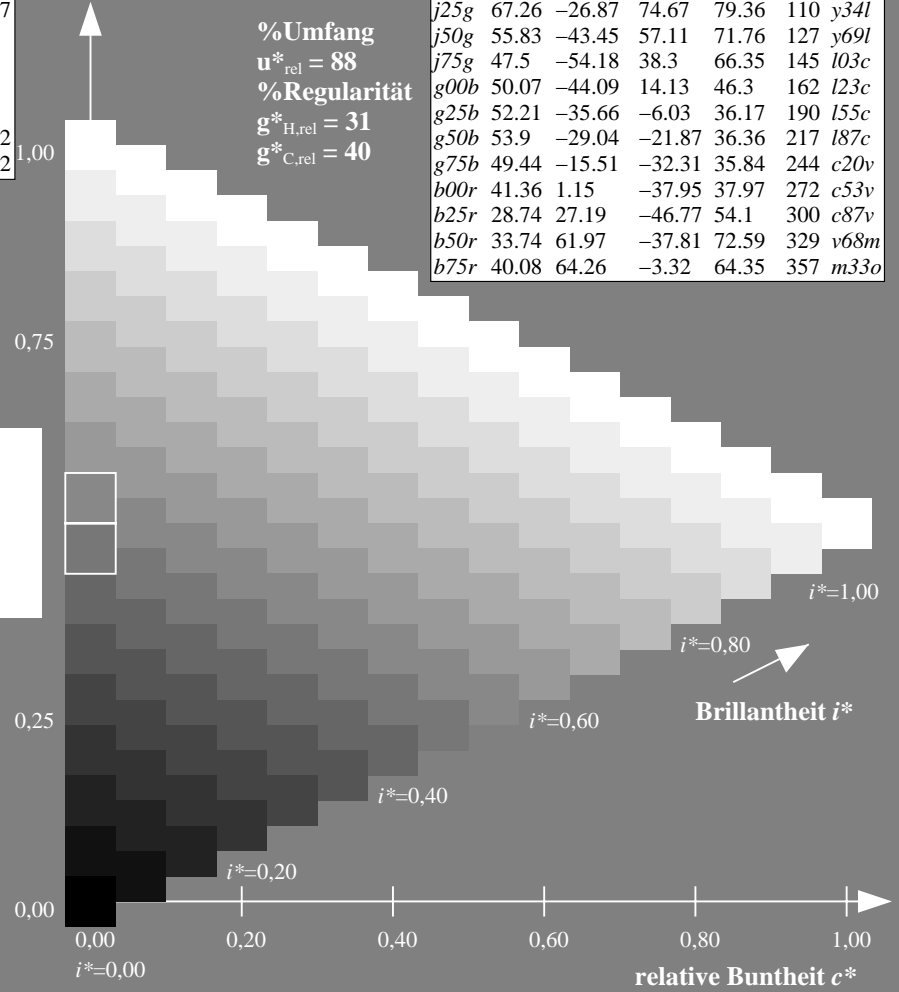
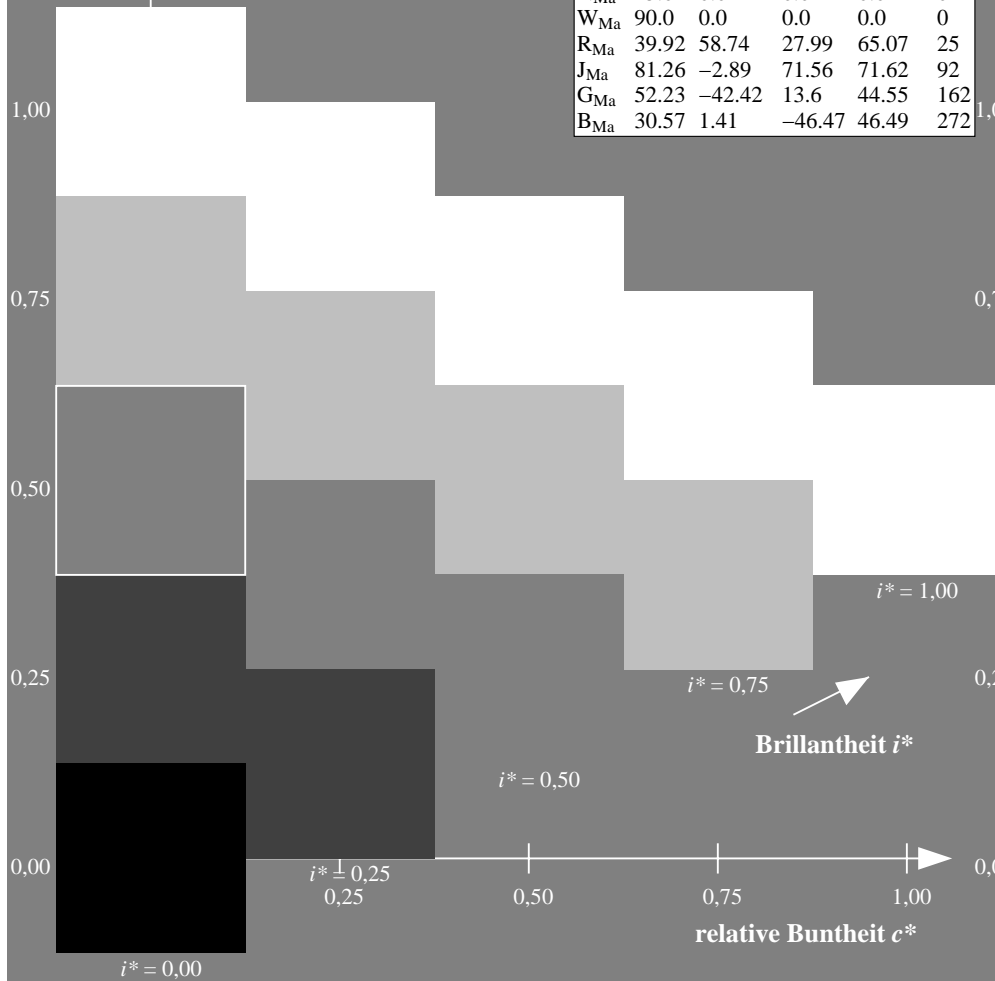
%Regularität

$g^*_{H,rel} = 31$

$g^*_{C,rel} = 40$

FRS15_90a; adaptierte CIELAB-Daten

u^*_e	$L^*=L^*_a$	a^*_a	b^*_a	$C^*_{ab,a}$	$h^*_{ab,a}$	u^*_d
r00j	39.18	56.94	27.13	63.07	25	m81o
r25j	42.41	49.1	44.5	66.26	42	o10y
r50j	52.78	35.22	58.37	68.17	59	o40y
r75j	64.82	19.12	74.47	76.89	76	o69y
j00g	82.06	-3.94	97.52	97.6	92	o98y
j25g	67.26	-26.87	74.67	79.36	110	y34l
j50g	55.83	-43.45	57.11	71.76	127	y69l
j75g	47.5	-54.18	38.3	66.35	145	l03c
g00b	50.07	-44.09	14.13	46.3	162	l23c
g25b	52.21	-35.66	-6.03	36.17	190	l55c
g50b	53.9	-29.04	-21.87	36.36	217	l87c
g75b	49.44	-15.51	-32.31	35.84	244	c20v
b00r	41.36	1.15	-37.95	37.97	272	c53v
b25r	28.74	27.19	-46.77	54.1	300	c87v
b50r	33.74	61.97	-37.81	72.59	329	v68m
b75r	40.08	64.26	-3.32	64.35	357	m33o



Ein und Ausgabe: Farbmatisches Drucker-Reflektiv-System FRS15_90a für relativen CIELAB-Bunton $h^* = lab^*h^* = h_{ab}/360 = 0.354$

$u^*_e = j50g$

Daten für jede Farbe:

lab^*tch^* und lab^*icu^*

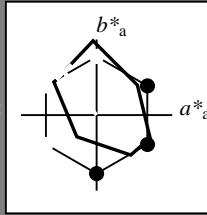
Buntontexte:

$u^*_e = j50g$ $u^*_d = y69l$

Kontrastreduzierungsfaktor:

$c_R = 0.9$

Dreiecks-Helligkeit t^*



FRS15_90a; adaptierte CIELAB-Daten						
u^*_e	$L^*=L^*_a$	a^*_a	b^*_a	$C^*_{ab,a}$	$h^*_{ab,a}$	
O _{Ma}	38.8	53.92	39.68	66.95	36	
Y _{Ma}	82.58	-4.64	98.22	98.33	93	
L _{Ma}	46.95	-56.34	43.46	71.15	142	
C _{Ma}	54.62	-26.2	-28.68	38.85	228	
V _{Ma}	20.01	45.2	-52.87	69.56	311	
M _{Ma}	40.88	70.68	-29.99	76.78	337	
N _{Ma}	15.0	0.0	0.0	0.0	0	
W _{Ma}	90.0	0.0	0.0	0.0	0	
R _{Ma}	39.92	58.74	27.99	65.07	25	
J _{Ma}	81.26	-2.89	71.56	71.62	92	
G _{Ma}	52.23	-42.42	13.6	44.55	162	
B _{Ma}	30.57	1.41	-46.47	46.49	272	

Daten für Maximalfarbe (Ma):

$LAB^*LAB^*_{Ma}$: 56 -43 57

$LAB^*LCH^*_{Ma}$: 56 72 127

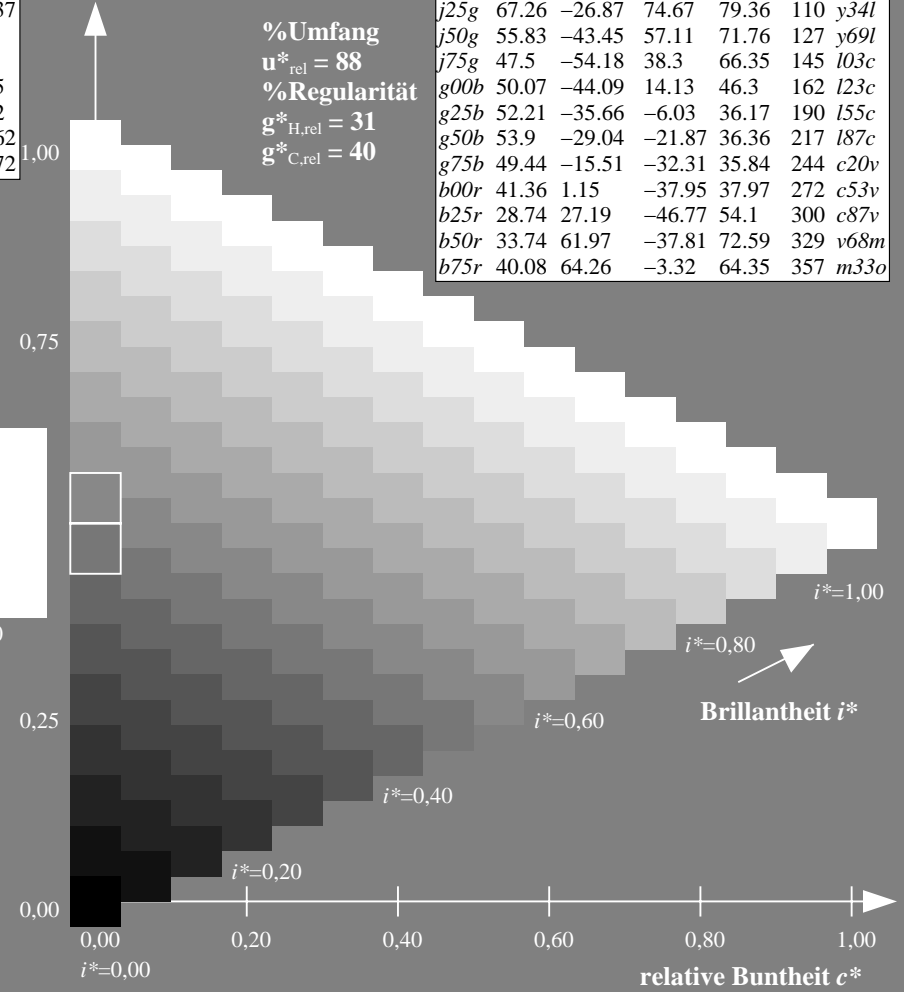
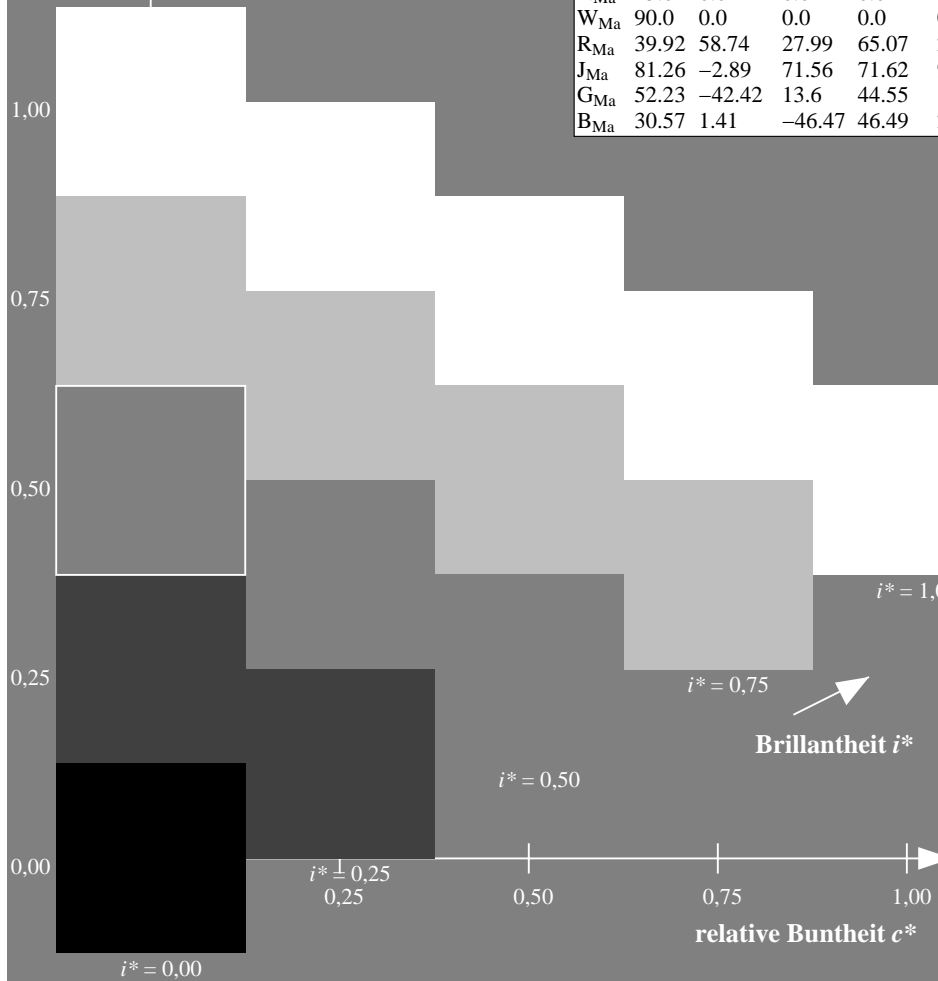
$lab^*rgb^*_{Ma}$: 0.5 1.0 0.0

$lab^*olv^*_{Ma}$: 0.3 1.0 0.0

Dreiecks-Helligkeit t^*

FRS15_90a; adaptierte CIELAB-Daten

u^*_e	$L^*=L^*_a$	a^*_a	b^*_a	$C^*_{ab,a}$	$h^*_{ab,a}$	u^*_d
r00j	39.18	56.94	27.13	63.07	25	m81o
r25j	42.41	49.1	44.5	66.26	42	o10y
r50j	52.78	35.22	58.37	68.17	59	o40y
r75j	64.82	19.12	74.47	76.89	76	o69y
j00g	82.06	-3.94	97.52	97.6	92	o98y
j25g	67.26	-26.87	74.67	79.36	110	y34l
j50g	55.83	-43.45	57.11	71.76	127	y69l
j75g	47.5	-54.18	38.3	66.35	145	l03c
g00b	50.07	-44.09	14.13	46.3	162	l23c
g25b	52.21	-35.66	-6.03	36.17	190	l55c
g50b	53.9	-29.04	-21.87	36.36	217	l87c
g75b	49.44	-15.51	-32.31	35.84	244	c20v
b00r	41.36	1.15	-37.95	37.97	272	c53v
b25r	28.74	27.19	-46.77	54.1	300	c87v
b50r	33.74	61.97	-37.81	72.59	329	v68m
b75r	40.08	64.26	-3.32	64.35	357	m33o



Ein und Ausgabe: Farbmatisches Drucker-Reflektiv-System FRS15_90a für relativen CIELAB-Bunton $h^* = lab^*h^* = h_{ab}/360 = 0.402$

$u^*_e = j75g$

Daten für jede Farbe:

lab^*tch^* und lab^*icu^*

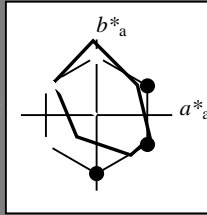
Buntontexte:

$u^*_e = j75g$ $u^*_d = l03c$

Kontrastreduzierungsfaktor:

$c_R = 0.9$

Dreiecks-Helligkeit t^*



FRS15_90a; adaptierte CIELAB-Daten						
u^*_e	$L^*=L^*_a$	a^*_a	b^*_a	$C^*_{ab,a}$	$h^*_{ab,a}$	
O _{Ma}	38.8	53.92	39.68	66.95	36	
Y _{Ma}	82.58	-4.64	98.22	98.33	93	
L _{Ma}	46.95	-56.34	43.46	71.15	142	
C _{Ma}	54.62	-26.2	-28.68	38.85	228	
V _{Ma}	20.01	45.2	-52.87	69.56	311	
M _{Ma}	40.88	70.68	-29.99	76.78	337	
N _{Ma}	15.0	0.0	0.0	0.0	0	
W _{Ma}	90.0	0.0	0.0	0.0	0	
R _{Ma}	39.92	58.74	27.99	65.07	25	
J _{Ma}	81.26	-2.89	71.56	71.62	92	
G _{Ma}	52.23	-42.42	13.6	44.55	162	
B _{Ma}	30.57	1.41	-46.47	46.49	272	

Daten für Maximalfarbe (Ma):

$LAB^*LAB^*_{Ma}$: 48 -54 38

$LAB^*LCH^*_{Ma}$: 48 66 144

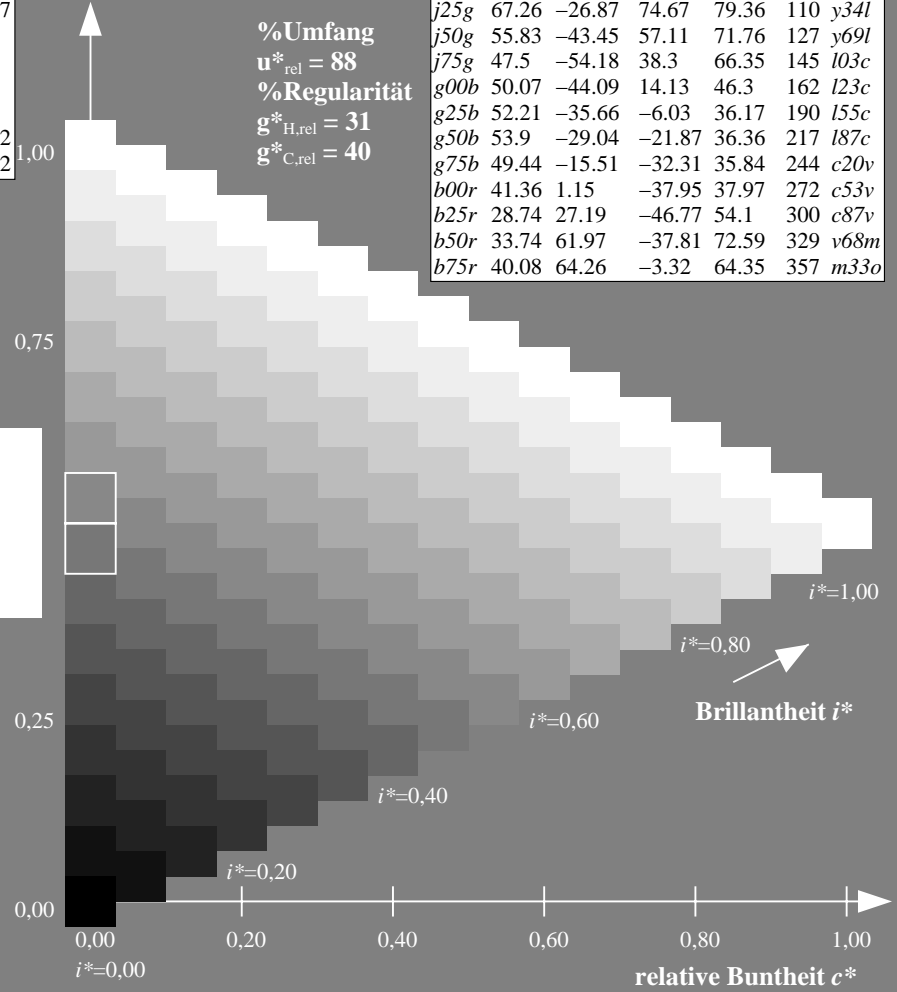
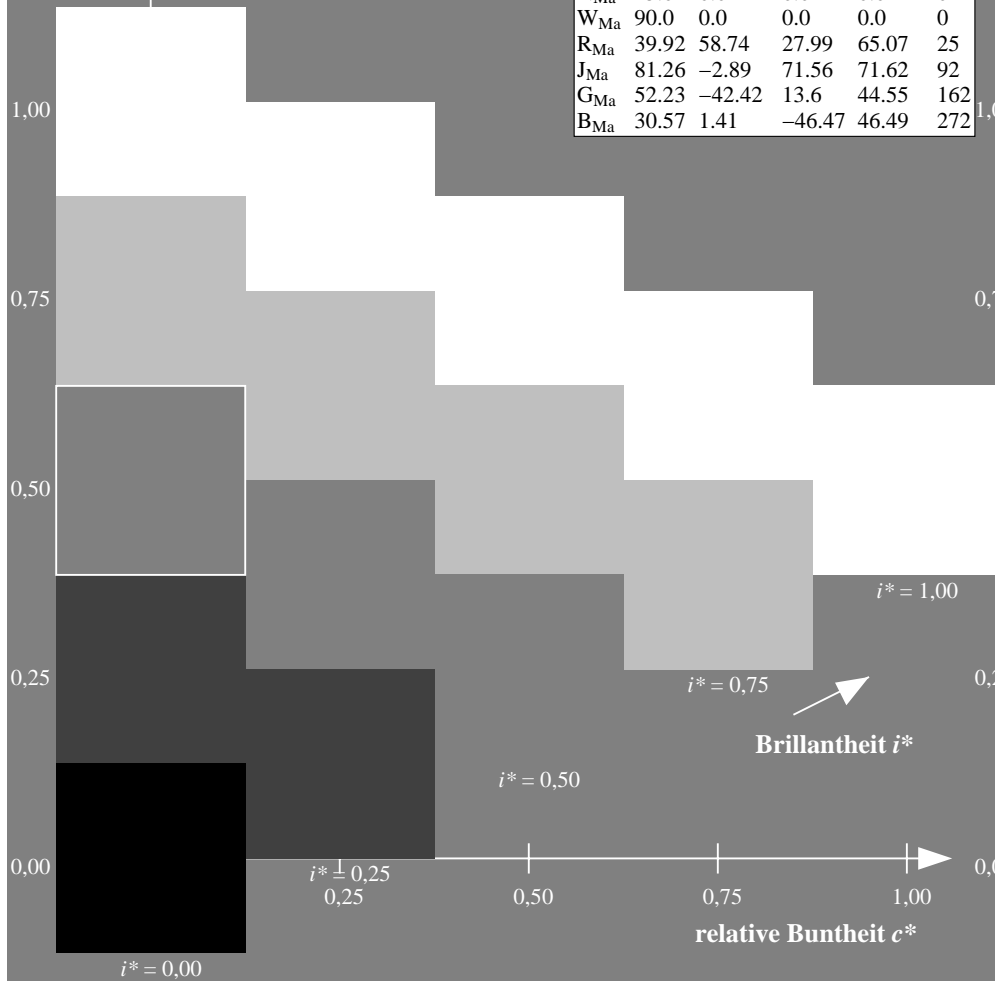
$lab^*rgb^*_{Ma}$: 0.25 1.0 0.0

$lab^*olv^*_{Ma}$: 0.0 1.0 0.03

Dreiecks-Helligkeit t^*

FRS15_90a; adaptierte CIELAB-Daten

u^*_e	$L^*=L^*_a$	a^*_a	b^*_a	$C^*_{ab,a}$	$h^*_{ab,a}$	u^*_d
r00j	39.18	56.94	27.13	63.07	25	m81o
r25j	42.41	49.1	44.5	66.26	42	o10y
r50j	52.78	35.22	58.37	68.17	59	o40y
r75j	64.82	19.12	74.47	76.89	76	o69y
j00g	82.06	-3.94	97.52	97.6	92	o98y
j25g	67.26	-26.87	74.67	79.36	110	y34l
j50g	55.83	-43.45	57.11	71.76	127	y69l
j75g	47.5	-54.18	38.3	66.35	145	l03c
g00b	50.07	-44.09	14.13	46.3	162	l23c
g25b	52.21	-35.66	-6.03	36.17	190	l55c
g50b	53.9	-29.04	-21.87	36.36	217	l87c
g75b	49.44	-15.51	-32.31	35.84	244	c20v
b00r	41.36	1.15	-37.95	37.97	272	c53v
b25r	28.74	27.19	-46.77	54.1	300	c87v
b50r	33.74	61.97	-37.81	72.59	329	v68m
b75r	40.08	64.26	-3.32	64.35	357	m33o



Ein und Ausgabe: Farbmetrisches Drucker-Reflektiv-System FRS15_90a für relativen CIELAB-Bunton $h^* = lab^*h^* = h_{ab}/360 = 0.451$

$u^*_e = g00b$

Daten für jede Farbe:

lab^*tch^* und lab^*icu^*

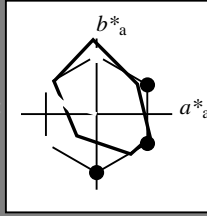
Buntontexte:

$u^*_e = g00b$ $u^*_d = l23c$

Kontrastreduzierungsfaktor:

$c_R = 0.9$

Dreiecks-Helligkeit t^*



FRS15_90a; adaptierte CIELAB-Daten						
u^*_e	$L^*=L^*_a$	a^*_a	b^*_a	$C^*_{ab,a}$	$h^*_{ab,a}$	
O _{Ma}	38.8	53.92	39.68	66.95	36	
Y _{Ma}	82.58	-4.64	98.22	98.33	93	
L _{Ma}	46.95	-56.34	43.46	71.15	142	
C _{Ma}	54.62	-26.2	-28.68	38.85	228	
V _{Ma}	20.01	45.2	-52.87	69.56	311	
M _{Ma}	40.88	70.68	-29.99	76.78	337	
N _{Ma}	15.0	0.0	0.0	0.0	0	
W _{Ma}	90.0	0.0	0.0	0.0	0	
R _{Ma}	39.92	58.74	27.99	65.07	25	
J _{Ma}	81.26	-2.89	71.56	71.62	92	
G _{Ma}	52.23	-42.42	13.6	44.55	162	
B _{Ma}	30.57	1.41	-46.47	46.49	272	

Daten für Maximalfarbe (Ma):

$LAB^*LAB^*_{Ma}: 50 -44 14$

$LAB^*LCH^*_{Ma}: 50 46 162$

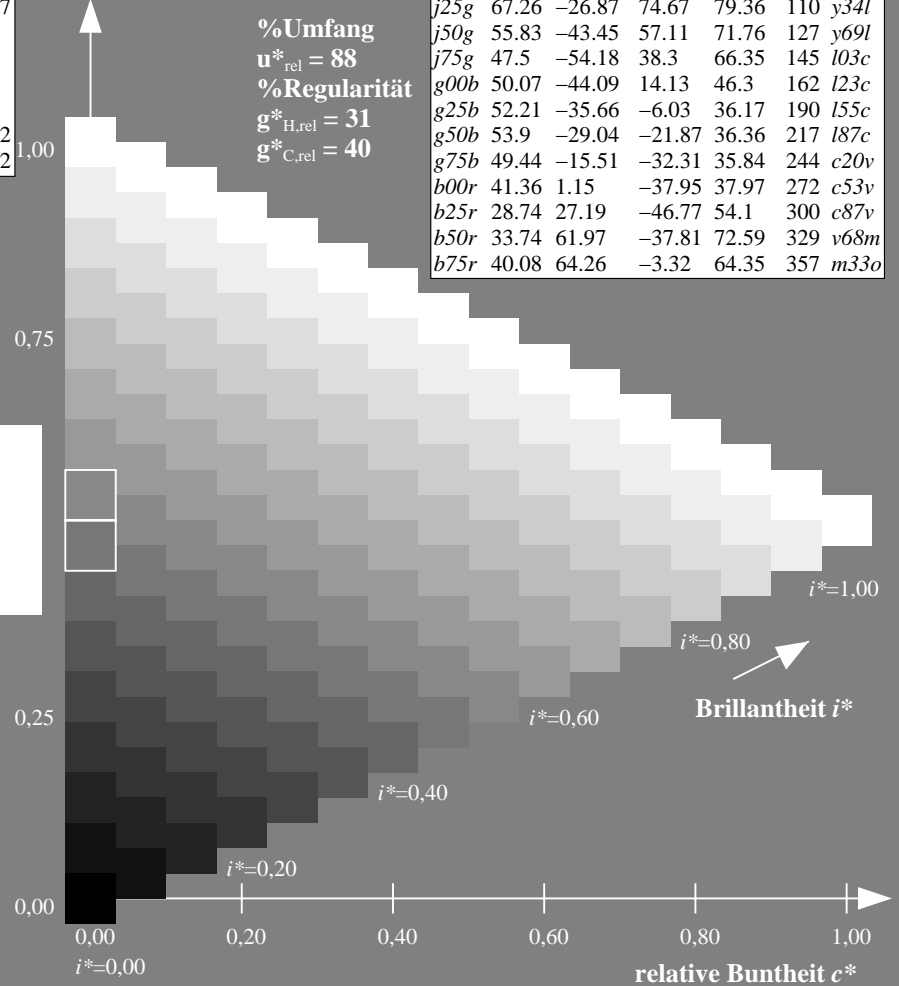
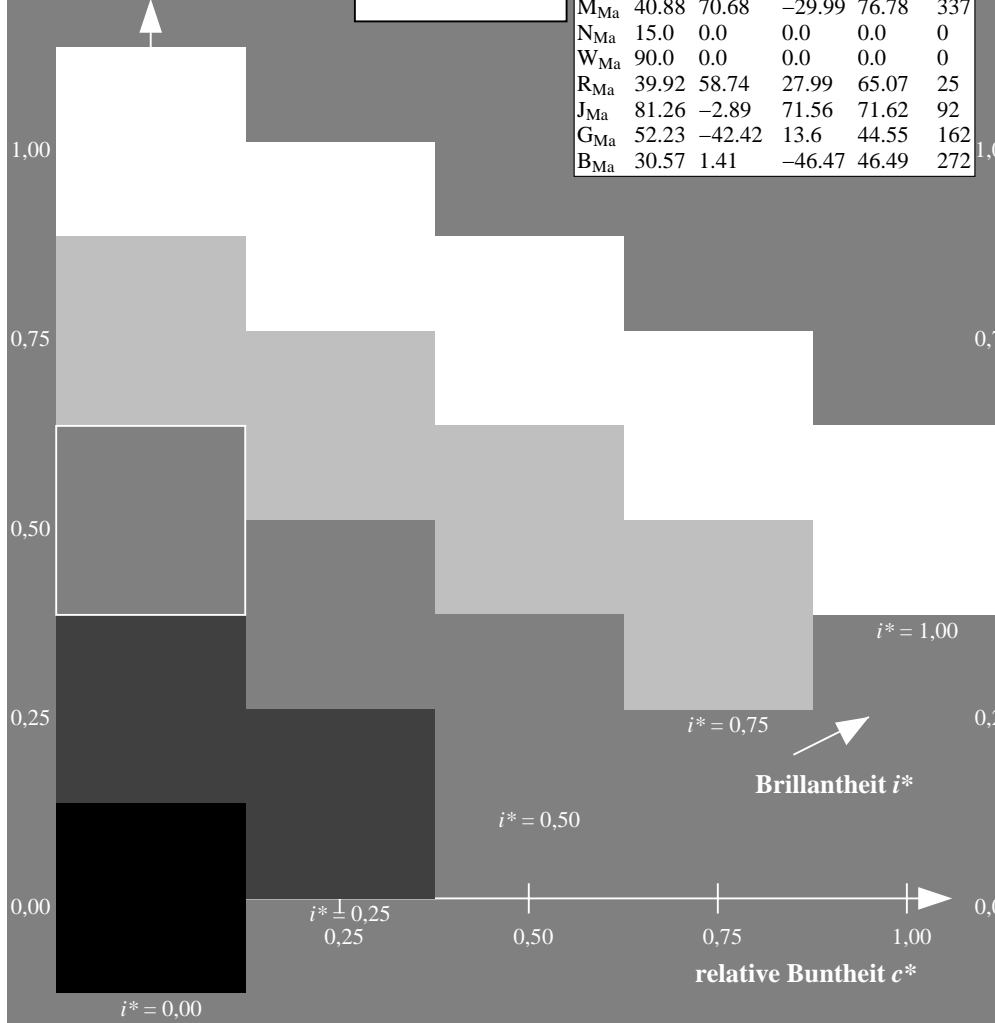
$lab^*rgb^*_{Ma}: 0.0 1.0 0.0$

$lab^*olv^*_{Ma}: 0.0 1.0 0.23$

Dreiecks-Helligkeit t^*

FRS15_90a; adaptierte CIELAB-Daten

u^*_e	$L^*=L^*_a$	a^*_a	b^*_a	$C^*_{ab,a}$	$h^*_{ab,a}$	u^*_d
r00j	39.18	56.94	27.13	63.07	25	m81o
r25j	42.41	49.1	44.5	66.26	42	o10y
r50j	52.78	35.22	58.37	68.17	59	o40y
r75j	64.82	19.12	74.47	76.89	76	o69y
j00g	82.06	-3.94	97.52	97.6	92	o98y
j25g	67.26	-26.87	74.67	79.36	110	y34l
j50g	55.83	-43.45	57.11	71.76	127	y69l
j75g	47.5	-54.18	38.3	66.35	145	l03c
g00b	50.07	-44.09	14.13	46.3	162	l23c
g25b	52.21	-35.66	-6.03	36.17	190	l55c
g50b	53.9	-29.04	-21.87	36.36	217	l87c
g75b	49.44	-15.51	-32.31	35.84	244	c20v
b00r	41.36	1.15	-37.95	37.97	272	c53v
b25r	28.74	27.19	-46.77	54.1	300	c87v
b50r	33.74	61.97	-37.81	72.59	329	v68m
b75r	40.08	64.26	-3.32	64.35	357	m33o



Ein und Ausgabe: Farbmetrisches Drucker-Reflektiv-System FRS15_90a für relativen CIELAB-Bunton $h^* = lab^*h^* = h_{ab}/360 = 0.527$

$u^*_e = g25b$

Daten für jede Farbe:

lab^*tch^* und lab^*icu^*

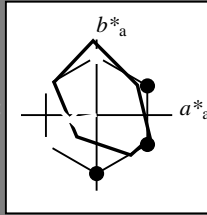
Buntontexte:

$u^*_e = g25b$ $u^*_d = l55c$

Kontrastreduzierungsfaktor:

$c_R = 0.9$

Dreiecks-Helligkeit t^*



FRS15_90a; adaptierte CIELAB-Daten						
u^*_e	$L^*=L^*_a$	a^*_a	b^*_a	$C^*_{ab,a}$	$h^*_{ab,a}$	
O _{Ma}	38.8	53.92	39.68	66.95	36	
Y _{Ma}	82.58	-4.64	98.22	98.33	93	
L _{Ma}	46.95	-56.34	43.46	71.15	142	
C _{Ma}	54.62	-26.2	-28.68	38.85	228	
V _{Ma}	20.01	45.2	-52.87	69.56	311	
M _{Ma}	40.88	70.68	-29.99	76.78	337	
N _{Ma}	15.0	0.0	0.0	0.0	0	
W _{Ma}	90.0	0.0	0.0	0.0	0	
R _{Ma}	39.92	58.74	27.99	65.07	25	
J _{Ma}	81.26	-2.89	71.56	71.62	92	
G _{Ma}	52.23	-42.42	13.6	44.55	162	
B _{Ma}	30.57	1.41	-46.47	46.49	272	

Daten für Maximalfarbe (Ma):

$LAB^*LAB^*_{Ma}: 52 -36 -6$

$LAB^*LCH^*_{Ma}: 52 36 189$

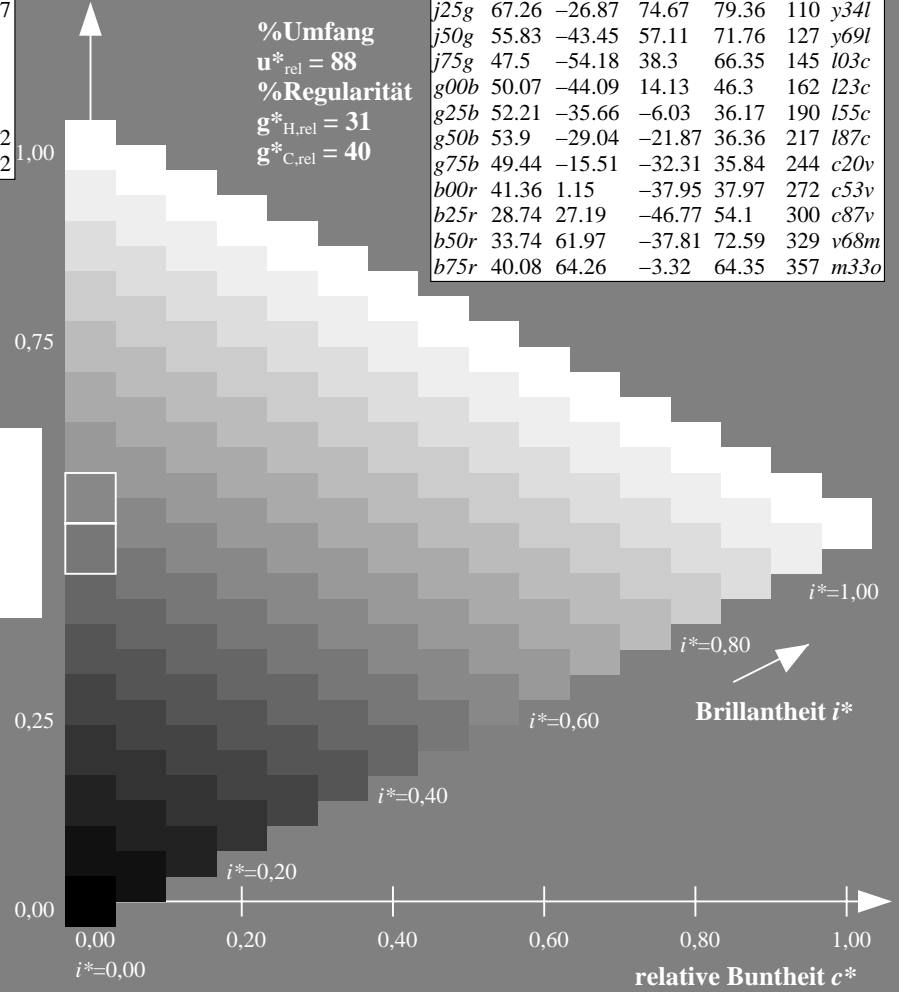
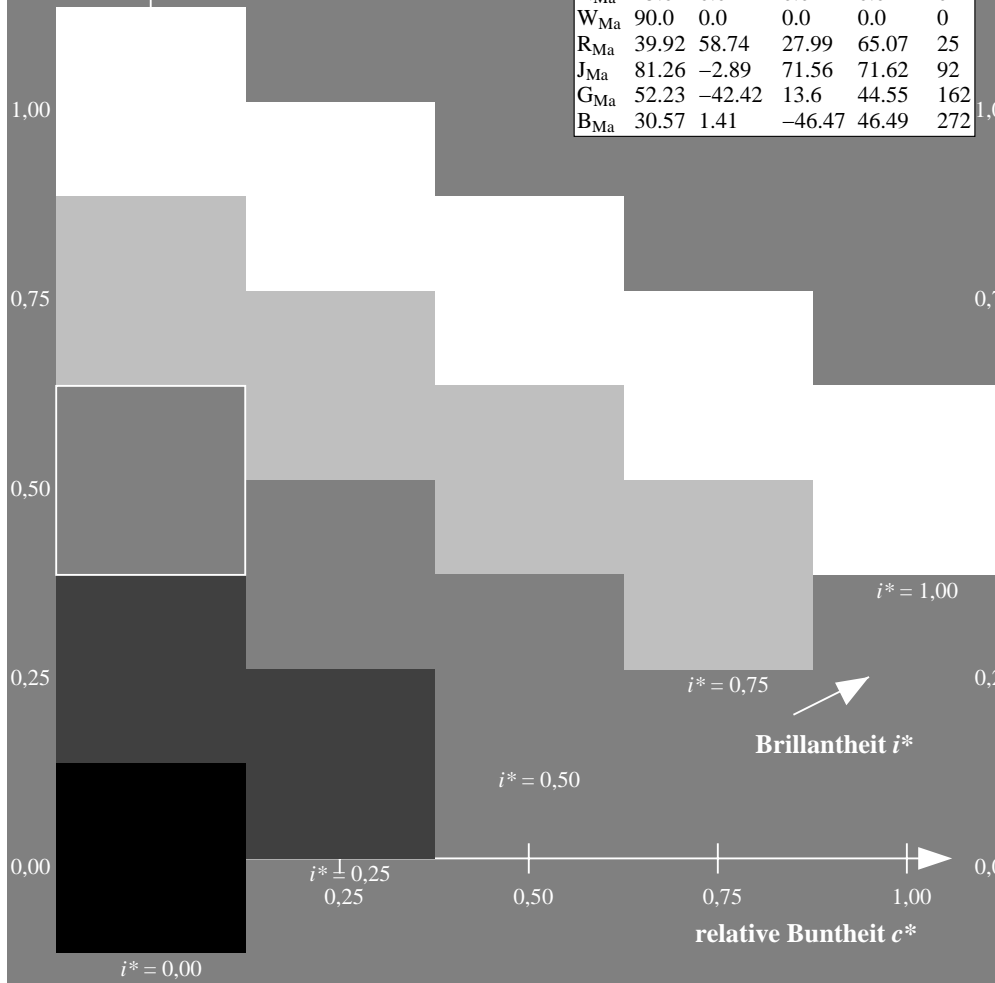
$lab^*rgb^*_{Ma}: 0.0 1.0 0.5$

$lab^*olv^*_{Ma}: 0.0 1.0 0.55$

Dreiecks-Helligkeit t^*

FRS15_90a; adaptierte CIELAB-Daten

u^*_e	$L^*=L^*_a$	a^*_a	b^*_a	$C^*_{ab,a}$	$h^*_{ab,a}$	u^*_d
r00j	39.18	56.94	27.13	63.07	25	m81o
r25j	42.41	49.1	44.5	66.26	42	o10y
r50j	52.78	35.22	58.37	68.17	59	o40y
r75j	64.82	19.12	74.47	76.89	76	o69y
j00g	82.06	-3.94	97.52	97.6	92	o98y
j25g	67.26	-26.87	74.67	79.36	110	y34l
j50g	55.83	-43.45	57.11	71.76	127	y69l
j75g	47.5	-54.18	38.3	66.35	145	l03c
g00b	50.07	-44.09	14.13	46.3	162	l23c
g25b	52.21	-35.66	-6.03	36.17	190	l55c
g50b	53.9	-29.04	-21.87	36.36	217	l87c
g75b	49.44	-15.51	-32.31	35.84	244	c20v
b00r	41.36	1.15	-37.95	37.97	272	c53v
b25r	28.74	27.19	-46.77	54.1	300	c87v
b50r	33.74	61.97	-37.81	72.59	329	v68m
b75r	40.08	64.26	-3.32	64.35	357	m33o



Ein und Ausgabe: Farbmatisches Drucker-Reflektiv-System FRS15_90a für relativen CIELAB-Bunton $h^* = lab^*h^* = h_{ab}/360 = 0.603$

$u^*_e = g50b$

Daten für jede Farbe:

lab^*tch^* und lab^*icu^*

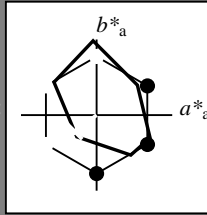
Buntontexte:

$u^*_e = g50b$ $u^*_d = l87c$

Kontrastreduzierungsfaktor:

$c_R = 0.9$

Dreiecks-Helligkeit t^*



FRS15_90a; adaptierte CIELAB-Daten						
u^*_e	$L^*=L^*_a$	a^*_a	b^*_a	$C^*_{ab,a}$	$h^*_{ab,a}$	
O _{Ma}	38.8	53.92	39.68	66.95	36	
Y _{Ma}	82.58	-4.64	98.22	98.33	93	
L _{Ma}	46.95	-56.34	43.46	71.15	142	
C _{Ma}	54.62	-26.2	-28.68	38.85	228	
V _{Ma}	20.01	45.2	-52.87	69.56	311	
M _{Ma}	40.88	70.68	-29.99	76.78	337	
N _{Ma}	15.0	0.0	0.0	0.0	0	
W _{Ma}	90.0	0.0	0.0	0.0	0	
R _{Ma}	39.92	58.74	27.99	65.07	25	
J _{Ma}	81.26	-2.89	71.56	71.62	92	
G _{Ma}	52.23	-42.42	13.6	44.55	162	
B _{Ma}	30.57	1.41	-46.47	46.49	272	

Daten für Maximalfarbe (Ma):

$LAB^*LAB^*_{Ma}$: 54 -29 -22

$LAB^*LCH^*_{Ma}$: 54 36 216

$lab^*rgb^*_{Ma}$: 0.0 1.0 1.0

$lab^*olv^*_{Ma}$: 0.0 1.0 0.88

Dreiecks-Helligkeit t^*

%Umfang

$u^*_{rel} = 88$

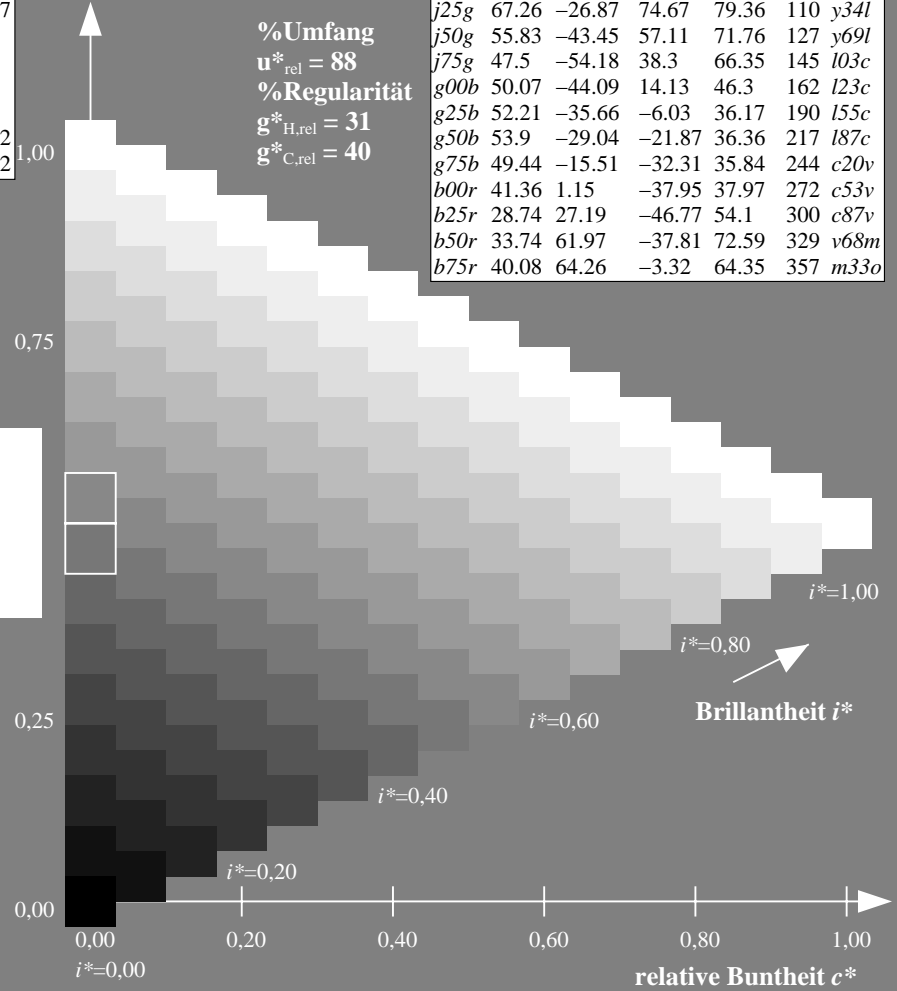
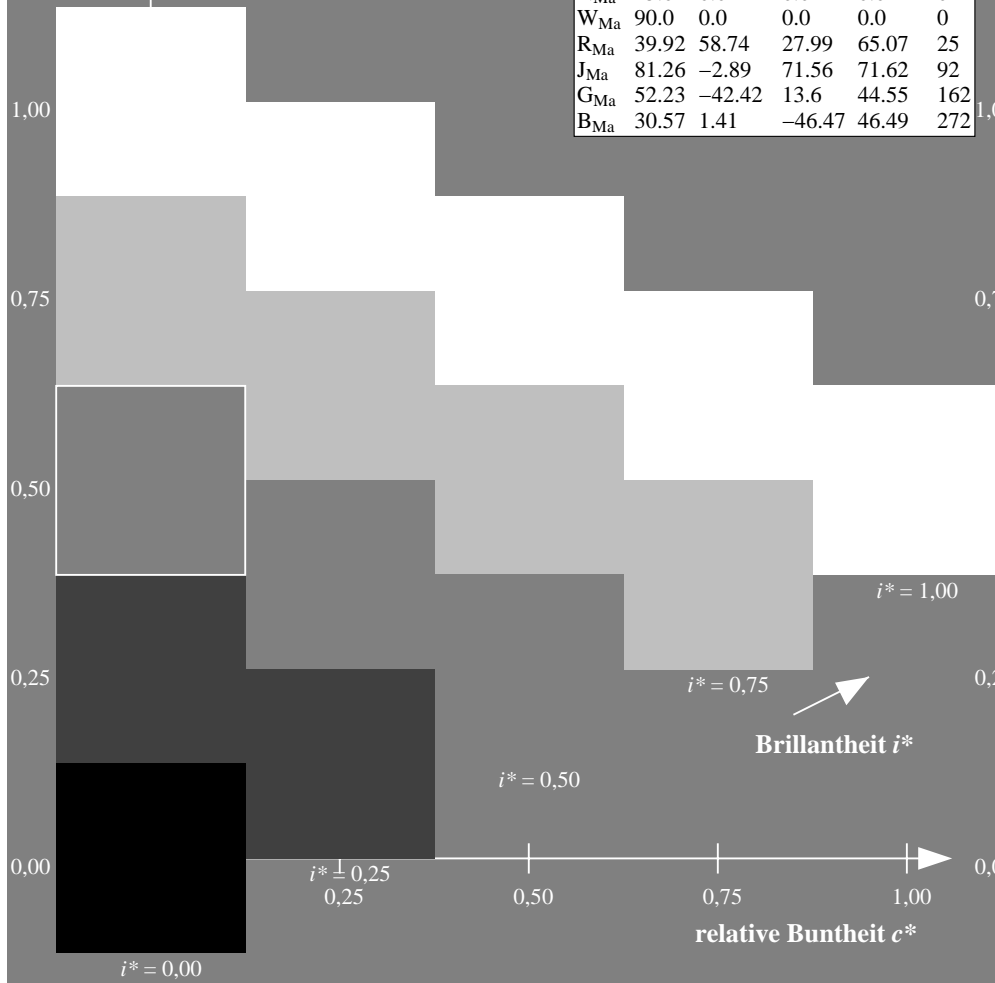
%Regularität

$g^*_{H,rel} = 31$

$g^*_{C,rel} = 40$

FRS15_90a; adaptierte CIELAB-Daten

u^*_e	$L^*=L^*_a$	a^*_a	b^*_a	$C^*_{ab,a}$	$h^*_{ab,a}$	u^*_d
r00j	39.18	56.94	27.13	63.07	25	m81o
r25j	42.41	49.1	44.5	66.26	42	o10y
r50j	52.78	35.22	58.37	68.17	59	o40y
r75j	64.82	19.12	74.47	76.89	76	o69y
j00g	82.06	-3.94	97.52	97.6	92	o98y
j25g	67.26	-26.87	74.67	79.36	110	y34l
j50g	55.83	-43.45	57.11	71.76	127	y69l
j75g	47.5	-54.18	38.3	66.35	145	l03c
g00b	50.07	-44.09	14.13	46.3	162	l23c
g25b	52.21	-35.66	-6.03	36.17	190	l55c
g50b	53.9	-29.04	-21.87	36.36	217	l87c
g75b	49.44	-15.51	-32.31	35.84	244	c20v
b00r	41.36	1.15	-37.95	37.97	272	c53v
b25r	28.74	27.19	-46.77	54.1	300	c87v
b50r	33.74	61.97	-37.81	72.59	329	v68m
b75r	40.08	64.26	-3.32	64.35	357	m33o



Ein und Ausgabe: Farbmatisches Drucker-Reflektiv-System FRS15_90a für relativen CIELAB-Bunton $h^* = lab^*h^* = h_{ab}/360 = 0.679$

$u^*_e = g75b$

Daten für jede Farbe:

lab^*tch^* und lab^*icu^*

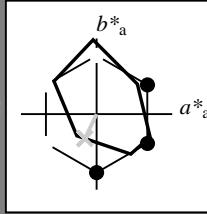
Buntontexte:

$u^*_e = g75b$ $u^*_d = c20v$

Kontrastreduzierungsfaktor:

$c_R = 0.9$

Dreiecks-Helligkeit t^*



FRS15_90a; adaptierte CIELAB-Daten						
u^*_e	$L^*=L^*_a$	a^*_a	b^*_a	$C^*_{ab,a}$	$h^*_{ab,a}$	
O _{Ma}	38.8	53.92	39.68	66.95	36	
Y _{Ma}	82.58	-4.64	98.22	98.33	93	
L _{Ma}	46.95	-56.34	43.46	71.15	142	
C _{Ma}	54.62	-26.2	-28.68	38.85	228	
V _{Ma}	20.01	45.2	-52.87	69.56	311	
M _{Ma}	40.88	70.68	-29.99	76.78	337	
N _{Ma}	15.0	0.0	0.0	0.0	0	
W _{Ma}	90.0	0.0	0.0	0.0	0	
R _{Ma}	39.92	58.74	27.99	65.07	25	
J _{Ma}	81.26	-2.89	71.56	71.62	92	
G _{Ma}	52.23	-42.42	13.6	44.55	162	
B _{Ma}	30.57	1.41	-46.47	46.49	272	

Daten für Maximalfarbe (Ma):

$LAB^*LAB^*_{Ma}$: 49 -16 -32

$LAB^*LCH^*_{Ma}$: 49 36 244

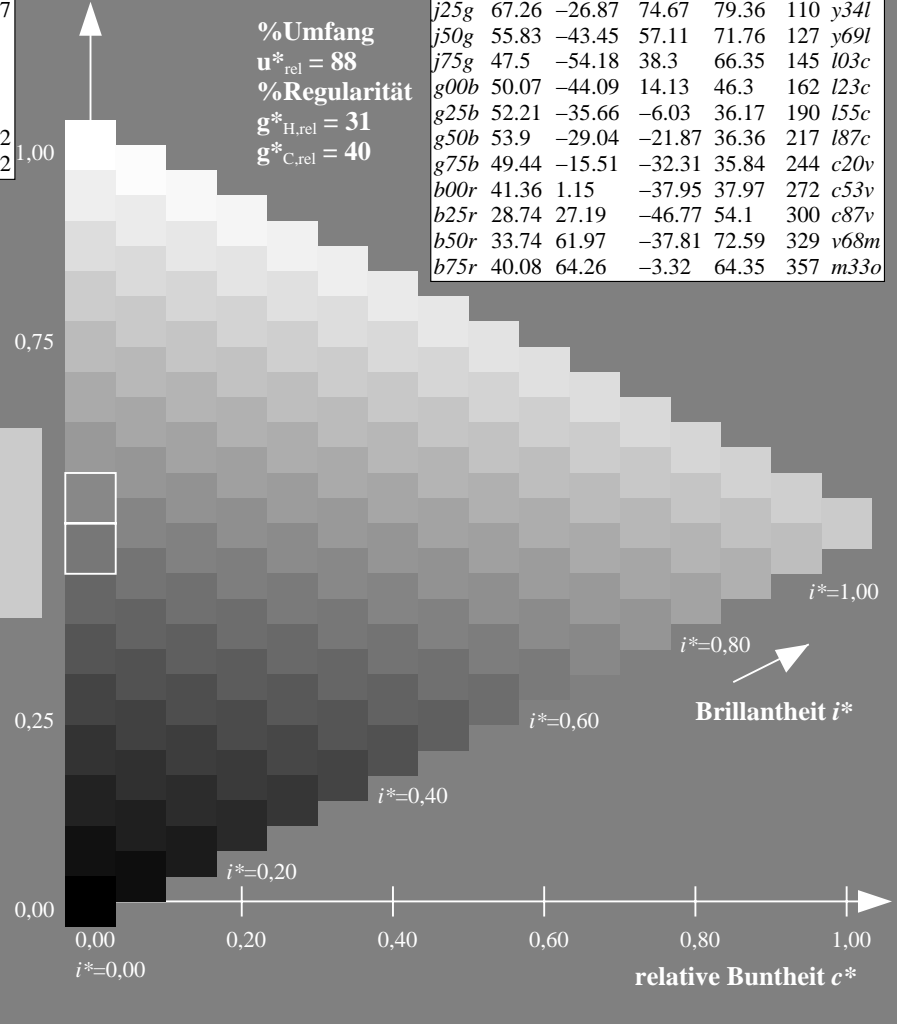
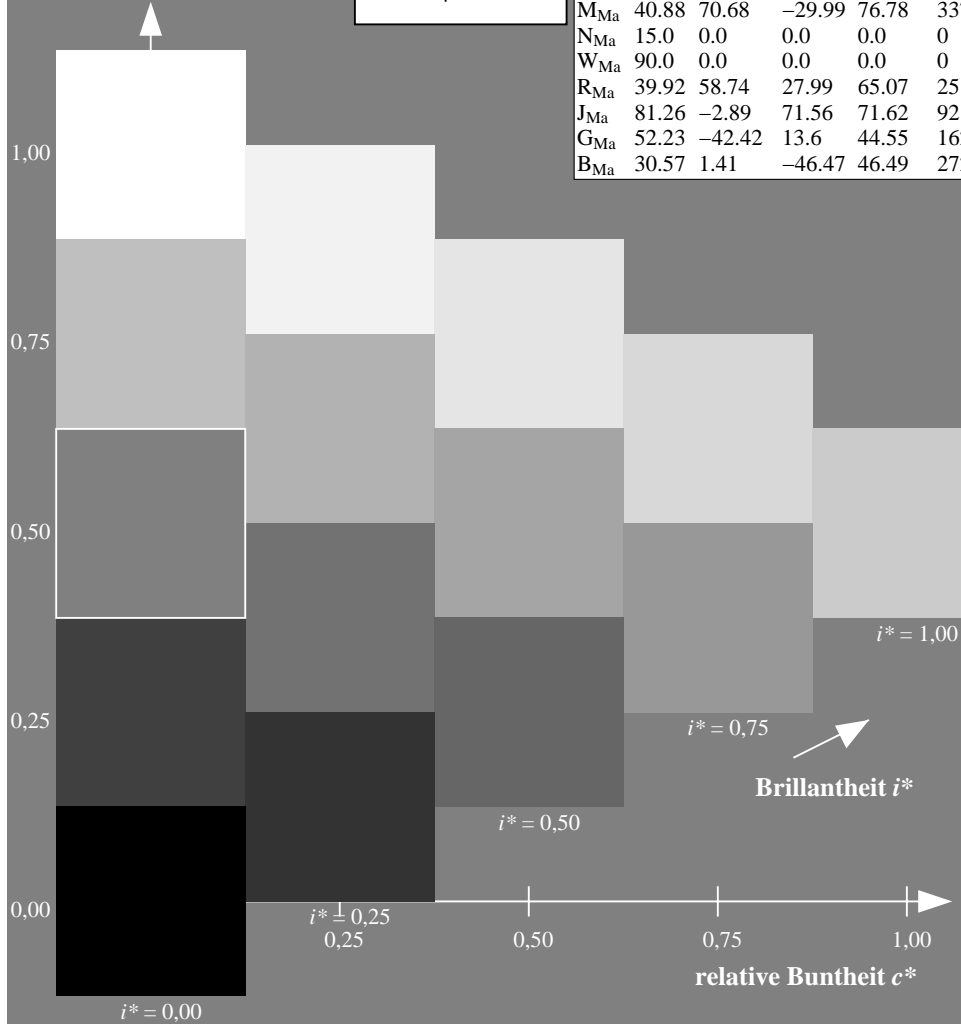
$lab^*rgb^*_{Ma}$: 0.0 0.5 1.0

$lab^*olv^*_{Ma}$: 0.0 0.8 1.0

Dreiecks-Helligkeit t^*

FRS15_90a; adaptierte CIELAB-Daten

u^*_e	$L^*=L^*_a$	a^*_a	b^*_a	$C^*_{ab,a}$	$h^*_{ab,a}$	u^*_d
r00j	39.18	56.94	27.13	63.07	25	m81o
r25j	42.41	49.1	44.5	66.26	42	o10y
r50j	52.78	35.22	58.37	68.17	59	o40y
r75j	64.82	19.12	74.47	76.89	76	o69y
j00g	82.06	-3.94	97.52	97.6	92	o98y
j25g	67.26	-26.87	74.67	79.36	110	y34l
j50g	55.83	-43.45	57.11	71.76	127	y69l
j75g	47.5	-54.18	38.3	66.35	145	l03c
g00b	50.07	-44.09	14.13	46.3	162	l23c
g25b	52.21	-35.66	-6.03	36.17	190	l55c
g50b	53.9	-29.04	-21.87	36.36	217	l87c
g75b	49.44	-15.51	-32.31	35.84	244	c20v
b00r	41.36	1.15	-37.95	37.97	272	c53v
b25r	28.74	27.19	-46.77	54.1	300	c87v
b50r	33.74	61.97	-37.81	72.59	329	v68m
b75r	40.08	64.26	-3.32	64.35	357	m33o



%Umfang
 $u^*_{rel} = 88$
 %Regularität
 $g^*_{H,rel} = 31$
 $g^*_{C,rel} = 40$

Ein und Ausgabe: Farbmetrisches Drucker-Reflektiv-System FRS15_90a für relativen CIELAB-Bunton $h^* = lab^*h^* = h_{ab}/360 = 0.755$

$u^*_e = b00r$

Daten für jede Farbe:

lab^*tch^* und lab^*icu^*

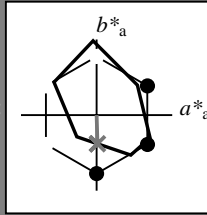
Buntontexte:

$u^*_e = b00r$ $u^*_d = c53v$

Kontrastreduzierungsfaktor:

$c_R = 0.9$

Dreiecks-Helligkeit t^*



FRS15_90a; adaptierte CIELAB-Daten						
u^*_e	$L^*=L^*_a$	a^*_a	b^*_a	$C^*_{ab,a}$	$h^*_{ab,a}$	
O _{Ma}	38.8	53.92	39.68	66.95	36	
Y _{Ma}	82.58	-4.64	98.22	98.33	93	
L _{Ma}	46.95	-56.34	43.46	71.15	142	
C _{Ma}	54.62	-26.2	-28.68	38.85	228	
V _{Ma}	20.01	45.2	-52.87	69.56	311	
M _{Ma}	40.88	70.68	-29.99	76.78	337	
N _{Ma}	15.0	0.0	0.0	0.0	0	
W _{Ma}	90.0	0.0	0.0	0.0	0	
R _{Ma}	39.92	58.74	27.99	65.07	25	
J _{Ma}	81.26	-2.89	71.56	71.62	92	
G _{Ma}	52.23	-42.42	13.6	44.55	162	
B _{Ma}	30.57	1.41	-46.47	46.49	272	

Daten für Maximalfarbe (Ma):

$LAB^*LAB^*_{Ma}$: 41 1 -38

$LAB^*LCH^*_{Ma}$: 41 38 271

$lab^*rgb^*_{Ma}$: 0.0 0.0 1.0

$lab^*olv^*_{Ma}$: 0.0 0.47 1.0

Dreiecks-Helligkeit t^*

%Umfang

$u^*_{rel} = 88$

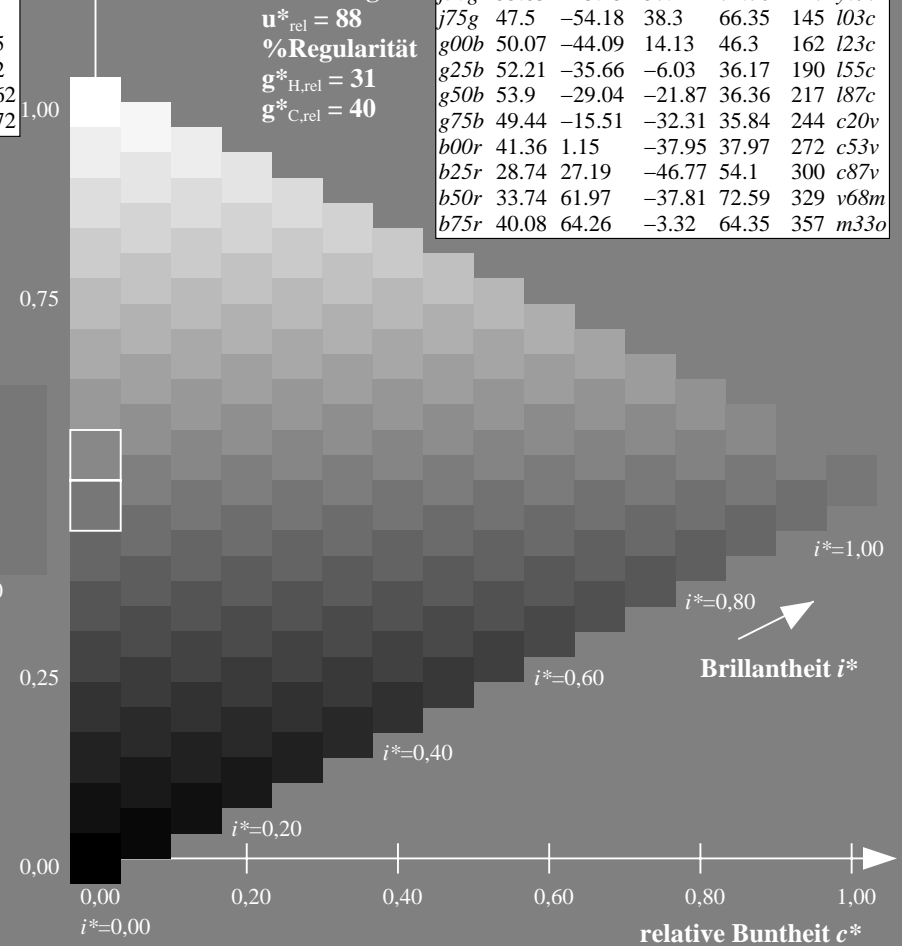
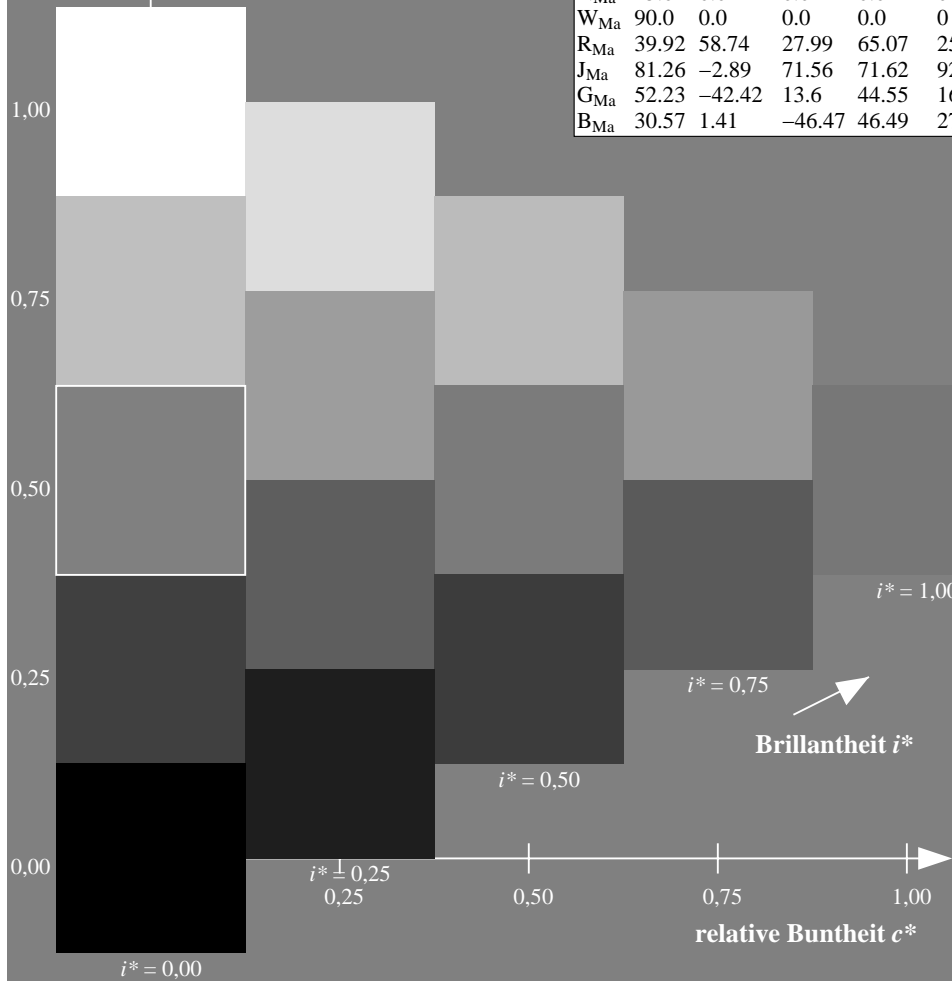
%Regularität

$g^*_{H,rel} = 31$

$g^*_{C,rel} = 40$

FRS15_90a; adaptierte CIELAB-Daten

u^*_e	$L^*=L^*_a$	a^*_a	b^*_a	$C^*_{ab,a}$	$h^*_{ab,a}$	u^*_d
r00j	39.18	56.94	27.13	63.07	25	m81o
r25j	42.41	49.1	44.5	66.26	42	o10y
r50j	52.78	35.22	58.37	68.17	59	o40y
r75j	64.82	19.12	74.47	76.89	76	o69y
j00g	82.06	-3.94	97.52	97.6	92	o98y
j25g	67.26	-26.87	74.67	79.36	110	y34l
j50g	55.83	-43.45	57.11	71.76	127	y69l
j75g	47.5	-54.18	38.3	66.35	145	l03c
g00b	50.07	-44.09	14.13	46.3	162	l23c
g25b	52.21	-35.66	-6.03	36.17	190	l55c
g50b	53.9	-29.04	-21.87	36.36	217	l87c
g75b	49.44	-15.51	-32.31	35.84	244	c20v
b00r	41.36	1.15	-37.95	37.97	272	c53v
b25r	28.74	27.19	-46.77	54.1	300	c87v
b50r	33.74	61.97	-37.81	72.59	329	v68m
b75r	40.08	64.26	-3.32	64.35	357	m33o



Ein und Ausgabe: Farbmatisches Drucker-Reflektiv-System FRS15_90a für relativen CIELAB-Bunton $h^* = lab^*h^* = h_{ab}/360 = 0.834$

$u^*_e = b25r$

Daten für jede Farbe:

lab^*tch^* und lab^*icu^*

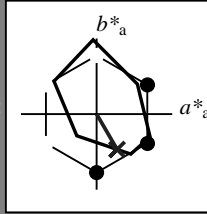
Buntontexte:

$u^*_e = b25r$ $u^*_d = c87v$

Kontrastreduzierungsfaktor:

$c_R = 0.9$

Dreiecks-Helligkeit t^*



FRS15_90a; adaptierte CIELAB-Daten						
u^*_e	$L^*=L^*_a$	a^*_a	b^*_a	$C^*_{ab,a}$	$h^*_{ab,a}$	
O _{Ma}	38.8	53.92	39.68	66.95	36	
Y _{Ma}	82.58	-4.64	98.22	98.33	93	
L _{Ma}	46.95	-56.34	43.46	71.15	142	
C _{Ma}	54.62	-26.2	-28.68	38.85	228	
V _{Ma}	20.01	45.2	-52.87	69.56	311	
M _{Ma}	40.88	70.68	-29.99	76.78	337	
N _{Ma}	15.0	0.0	0.0	0.0	0	
W _{Ma}	90.0	0.0	0.0	0.0	0	
R _{Ma}	39.92	58.74	27.99	65.07	25	
J _{Ma}	81.26	-2.89	71.56	71.62	92	
G _{Ma}	52.23	-42.42	13.6	44.55	162	
B _{Ma}	30.57	1.41	-46.47	46.49	272	

Daten für Maximalfarbe (Ma):

$LAB^*LAB^*_{Ma}$: 29 27 -47

$LAB^*LCH^*_{Ma}$: 29 54 300

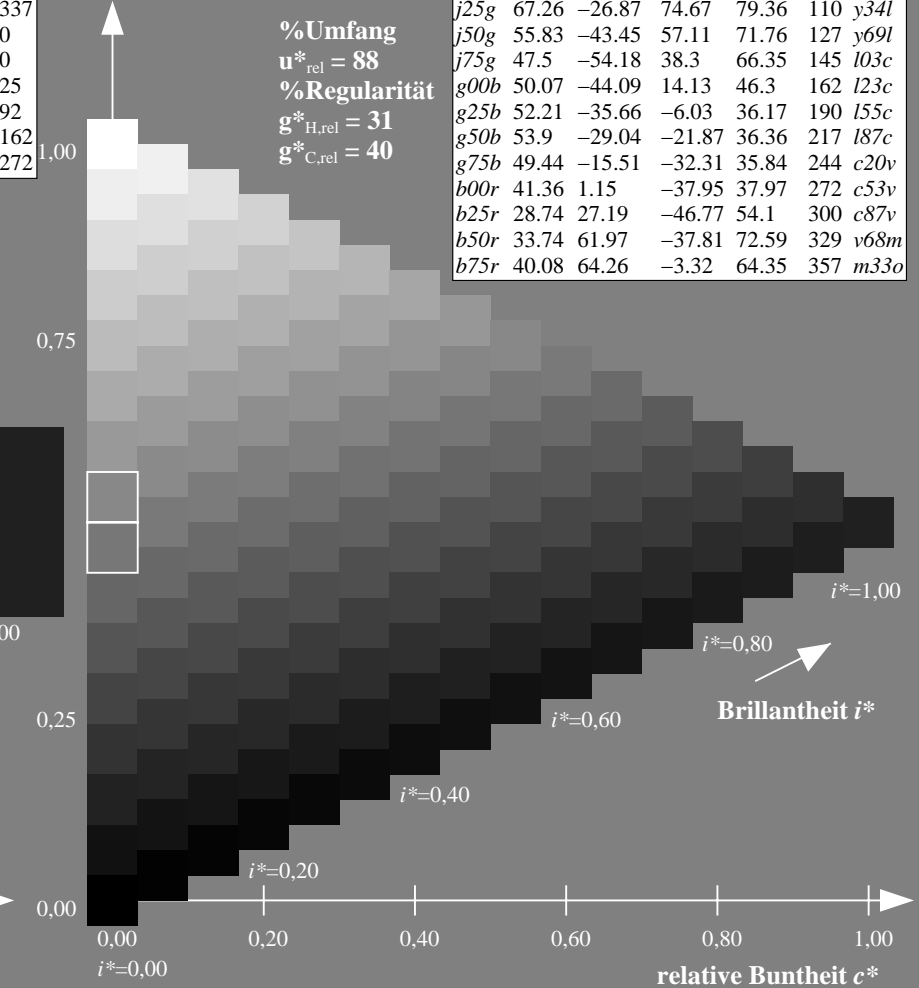
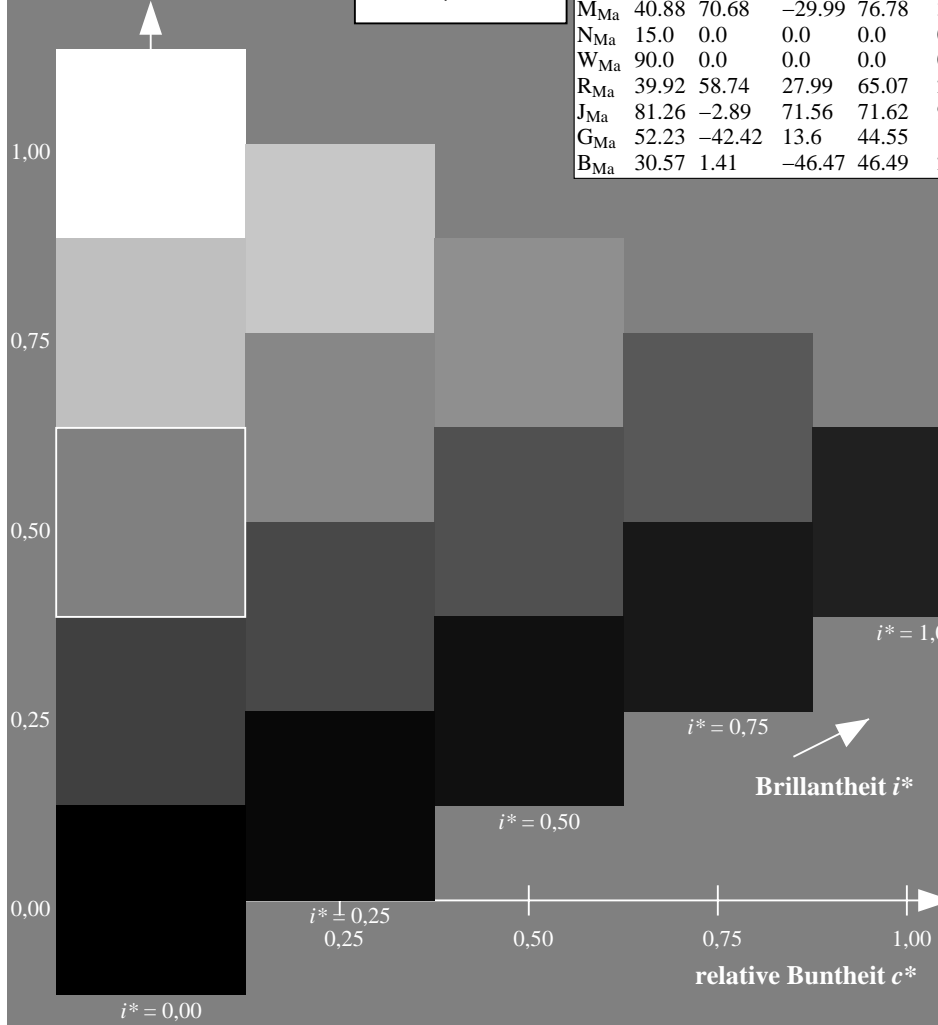
$lab^*rgb^*_{Ma}$: 0.5 0.0 1.0

$lab^*olv^*_{Ma}$: 0.0 0.12 1.0

Dreiecks-Helligkeit t^*

FRS15_90a; adaptierte CIELAB-Daten

u^*_e	$L^*=L^*_a$	a^*_a	b^*_a	$C^*_{ab,a}$	$h^*_{ab,a}$	u^*_d
r00j	39.18	56.94	27.13	63.07	25	m81o
r25j	42.41	49.1	44.5	66.26	42	o10y
r50j	52.78	35.22	58.37	68.17	59	o40y
r75j	64.82	19.12	74.47	76.89	76	o69y
j00g	82.06	-3.94	97.52	97.6	92	o98y
j25g	67.26	-26.87	74.67	79.36	110	y34l
j50g	55.83	-43.45	57.11	71.76	127	y69l
j75g	47.5	-54.18	38.3	66.35	145	l03c
g00b	50.07	-44.09	14.13	46.3	162	l23c
g25b	52.21	-35.66	-6.03	36.17	190	l55c
g50b	53.9	-29.04	-21.87	36.36	217	l87c
g75b	49.44	-15.51	-32.31	35.84	244	c20v
b00r	41.36	1.15	-37.95	37.97	272	c53v
b25r	28.74	27.19	-46.77	54.1	300	c87v
b50r	33.74	61.97	-37.81	72.59	329	v68m
b75r	40.08	64.26	-3.32	64.35	357	m33o



Ein und Ausgabe: Farbmatisches Drucker-Reflektiv-System FRS15_90a für relativen CIELAB-Bunton $h^* = lab^*h^* = h_{ab}/360 = 0.913$

$u^*_e = b50r$

Daten für jede Farbe:

lab^*tch^* und lab^*icu^*

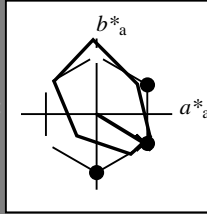
Buntontexte:

$u^*_e = b50r$ $u^*_d = v68m$

Kontrastreduzierungsfaktor:

$c_R = 0.9$

Dreiecks-Helligkeit t^*



FRS15_90a; adaptierte CIELAB-Daten						
u^*_e	$L^*=L^*_a$	a^*_a	b^*_a	$C^*_{ab,a}$	$h^*_{ab,a}$	
O _{Ma}	38.8	53.92	39.68	66.95	36	
Y _{Ma}	82.58	-4.64	98.22	98.33	93	
L _{Ma}	46.95	-56.34	43.46	71.15	142	
C _{Ma}	54.62	-26.2	-28.68	38.85	228	
V _{Ma}	20.01	45.2	-52.87	69.56	311	
M _{Ma}	40.88	70.68	-29.99	76.78	337	
N _{Ma}	15.0	0.0	0.0	0.0	0	
W _{Ma}	90.0	0.0	0.0	0.0	0	
R _{Ma}	39.92	58.74	27.99	65.07	25	
J _{Ma}	81.26	-2.89	71.56	71.62	92	
G _{Ma}	52.23	-42.42	13.6	44.55	162	
B _{Ma}	30.57	1.41	-46.47	46.49	272	

Daten für Maximalfarbe (Ma):

$LAB^*LAB^*_{Ma}$: 34 62 -38

$LAB^*LCH^*_{Ma}$: 34 73 328

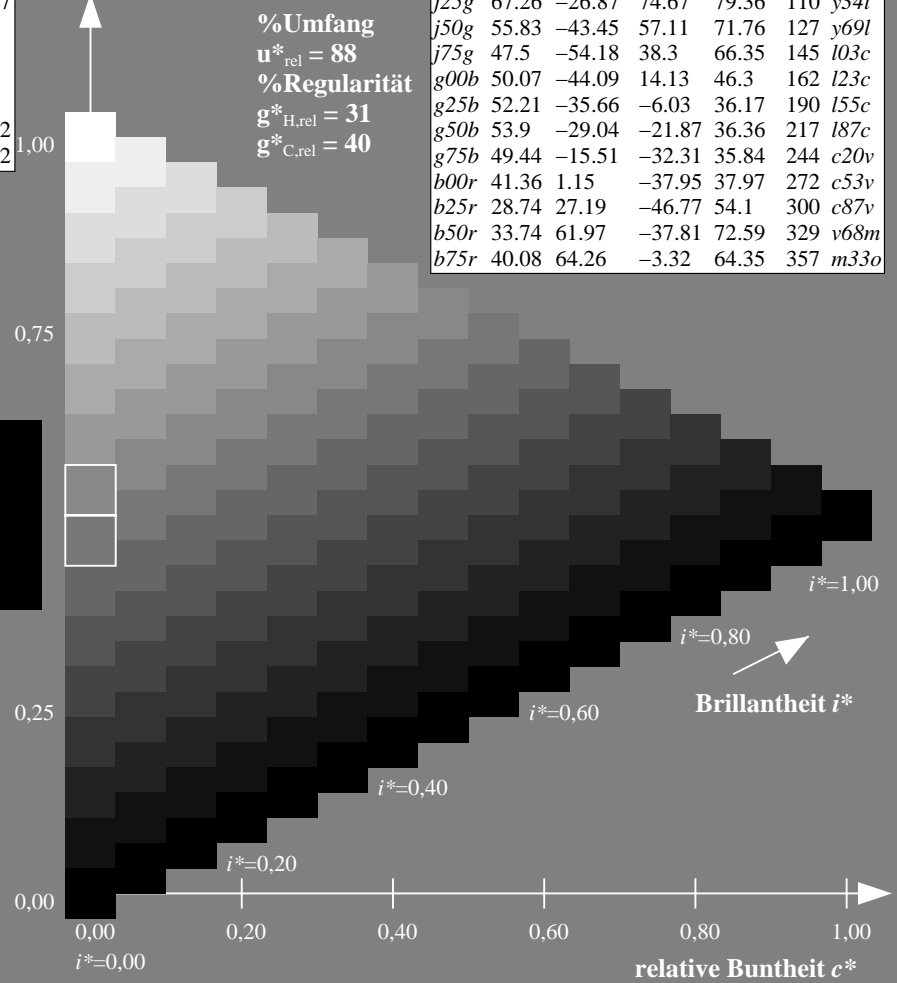
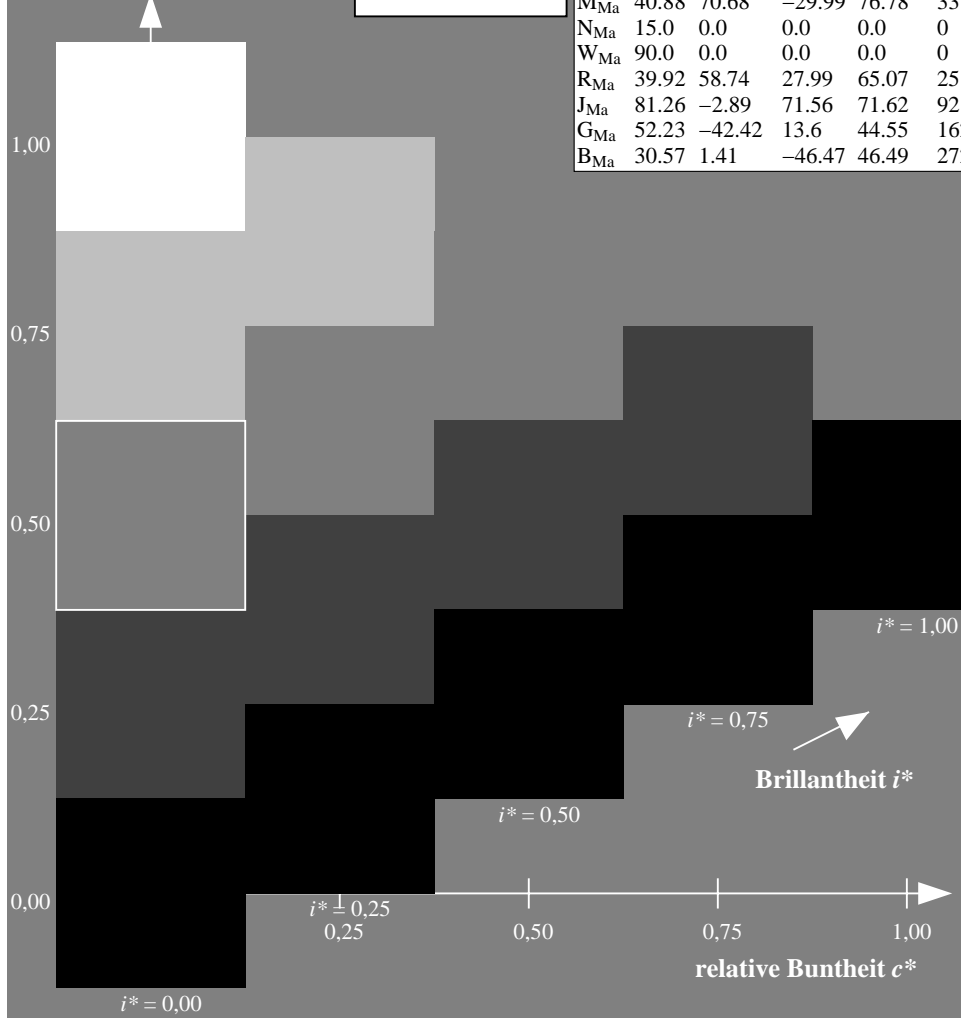
$lab^*rgb^*_{Ma}$: 1.0 0.0 1.0

$lab^*olv^*_{Ma}$: 0.68 0.0 1.0

Dreiecks-Helligkeit t^*

FRS15_90a; adaptierte CIELAB-Daten

u^*_e	$L^*=L^*_a$	a^*_a	b^*_a	$C^*_{ab,a}$	$h^*_{ab,a}$	u^*_d
r00j	39.18	56.94	27.13	63.07	25	m81o
r25j	42.41	49.1	44.5	66.26	42	o10y
r50j	52.78	35.22	58.37	68.17	59	o40y
r75j	64.82	19.12	74.47	76.89	76	o69y
j00g	82.06	-3.94	97.52	97.6	92	o98y
j25g	67.26	-26.87	74.67	79.36	110	y34l
j50g	55.83	-43.45	57.11	71.76	127	y69l
j75g	47.5	-54.18	38.3	66.35	145	l03c
g00b	50.07	-44.09	14.13	46.3	162	l23c
g25b	52.21	-35.66	-6.03	36.17	190	l55c
g50b	53.9	-29.04	-21.87	36.36	217	l87c
g75b	49.44	-15.51	-32.31	35.84	244	c20v
b00r	41.36	1.15	-37.95	37.97	272	c53v
b25r	28.74	27.19	-46.77	54.1	300	c87v
b50r	33.74	61.97	-37.81	72.59	329	v68m
b75r	40.08	64.26	-3.32	64.35	357	m33o



Ein und Ausgabe: Farbmetrisches Drucker-Reflektiv-System FRS15_90a für relativen CIELAB-Bunton $h^* = lab^*h^* = h_{ab}^*/360 = 0.992$

$u^*_e = b75r$

Daten für jede Farbe:

lab^*tch^* und lab^*icu^*

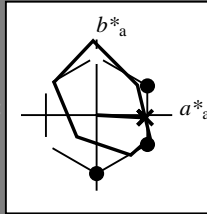
Buntontexte:

$u^*_e = b75r$ $u^*_d = m33o$

Kontrastreduzierungsfaktor:

$c_R = 0.9$

Dreiecks-Helligkeit t^*



FRS15_90a; adaptierte CIELAB-Daten						
u^*_e	$L^*=L^*_a$	a^*_a	b^*_a	$C^*_{ab,a}$	$h^*_{ab,a}$	
O _{Ma}	38.8	53.92	39.68	66.95	36	
Y _{Ma}	82.58	-4.64	98.22	98.33	93	
L _{Ma}	46.95	-56.34	43.46	71.15	142	
C _{Ma}	54.62	-26.2	-28.68	38.85	228	
V _{Ma}	20.01	45.2	-52.87	69.56	311	
M _{Ma}	40.88	70.68	-29.99	76.78	337	
N _{Ma}	15.0	0.0	0.0	0.0	0	
W _{Ma}	90.0	0.0	0.0	0.0	0	
R _{Ma}	39.92	58.74	27.99	65.07	25	
J _{Ma}	81.26	-2.89	71.56	71.62	92	
G _{Ma}	52.23	-42.42	13.6	44.55	162	
B _{Ma}	30.57	1.41	-46.47	46.49	272	

Daten für Maximalfarbe (Ma):

$LAB^*LAB^*_{Ma}: 40 \ 64 \ -3$

$LAB^*LCH^*_{Ma}: 40 \ 64 \ 357$

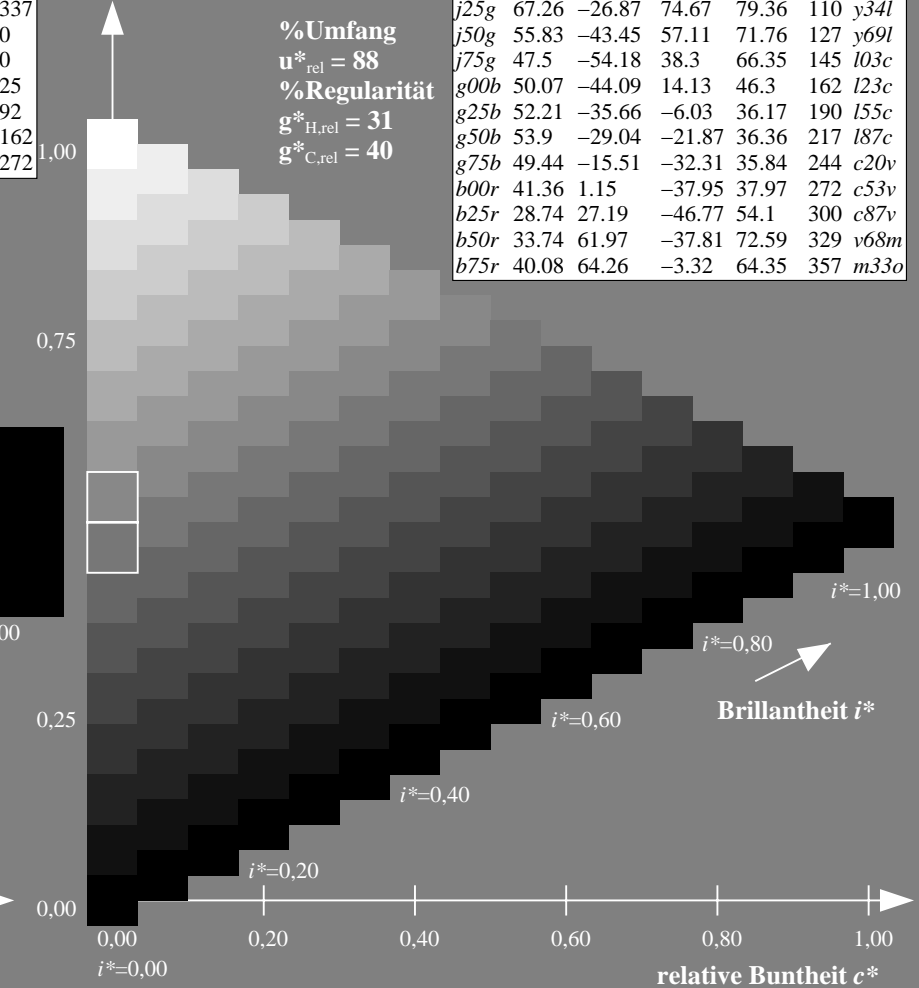
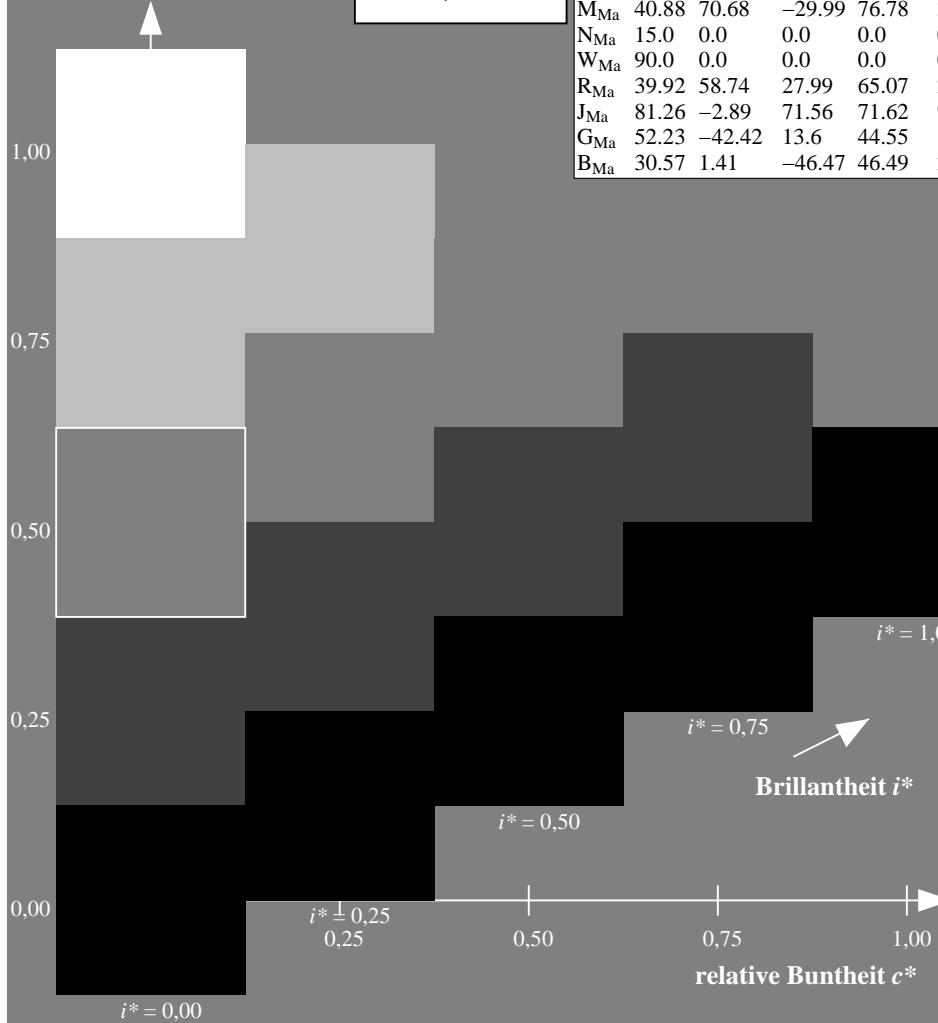
$lab^*rgb^*_{Ma}: 1.0 \ 0.0 \ 0.5$

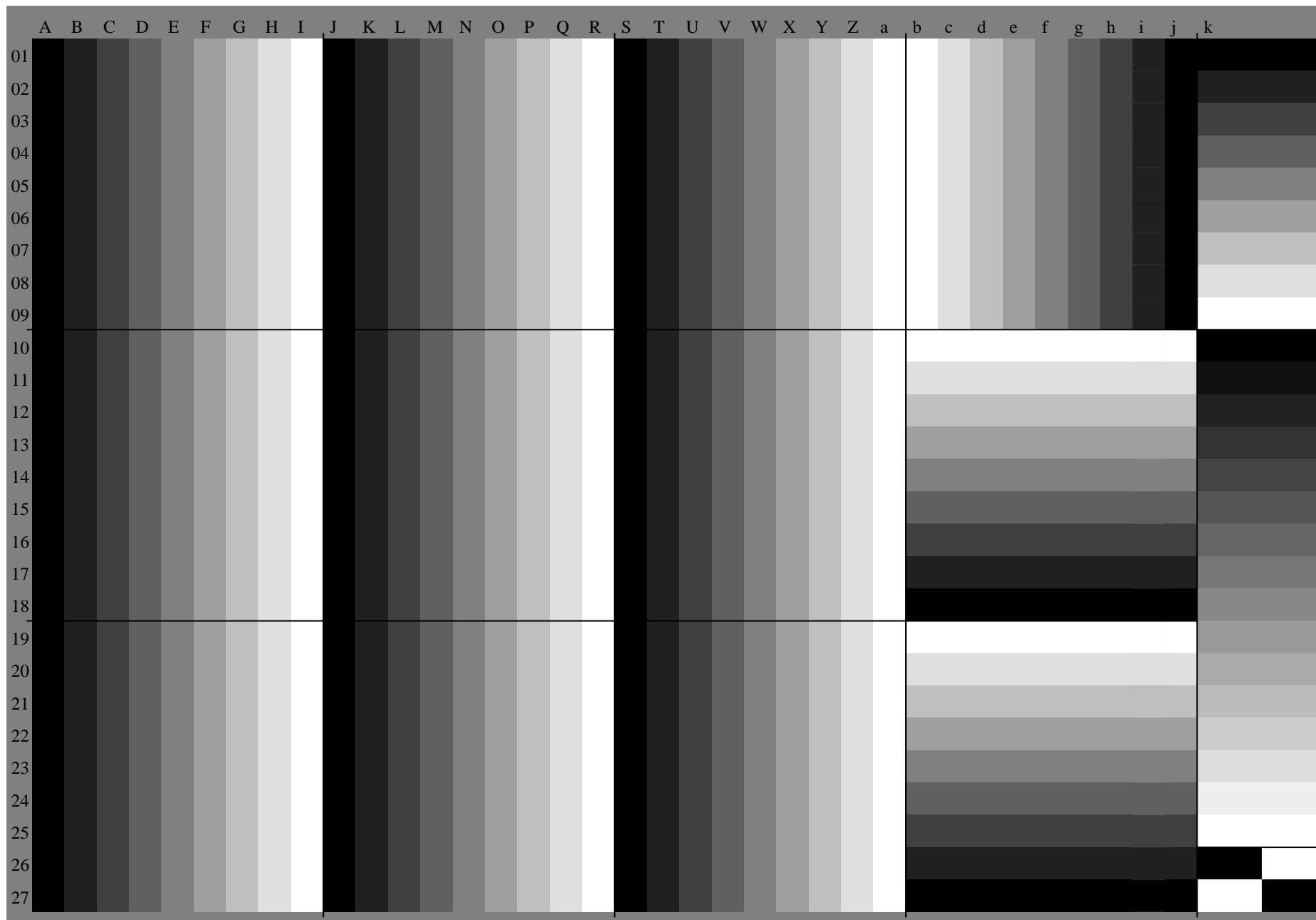
$lab^*olv^*_{Ma}: 1.0 \ 0.0 \ 0.66$

Dreiecks-Helligkeit t^*

FRS15_90a; adaptierte CIELAB-Daten

u^*_e	$L^*=L^*_a$	a^*_a	b^*_a	$C^*_{ab,a}$	$h^*_{ab,a}$	u^*_d
r00j	39.18	56.94	27.13	63.07	25	m81o
r25j	42.41	49.1	44.5	66.26	42	o10y
r50j	52.78	35.22	58.37	68.17	59	o40y
r75j	64.82	19.12	74.47	76.89	76	o69y
j00g	82.06	-3.94	97.52	97.6	92	o98y
j25g	67.26	-26.87	74.67	79.36	110	y34l
j50g	55.83	-43.45	57.11	71.76	127	y69l
j75g	47.5	-54.18	38.3	66.35	145	l03c
g00b	50.07	-44.09	14.13	46.3	162	l23c
g25b	52.21	-35.66	-6.03	36.17	190	l55c
g50b	53.9	-29.04	-21.87	36.36	217	l87c
g75b	49.44	-15.51	-32.31	35.84	244	c20v
b00r	41.36	1.15	-37.95	37.97	272	c53v
b25r	28.74	27.19	-46.77	54.1	300	c87v
b50r	33.74	61.97	-37.81	72.59	329	v68m
b75r	40.08	64.26	-3.32	64.35	357	m33o





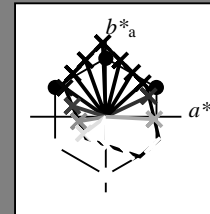
Ein und Ausgabe:
 Farbmétrisches Drucker-Reflektiv-System FRS15_90a

Daten für jede Farbe:
 u^*_e und Nummer *Nr.* = 00 .. 15

Elementar-Bunttextext:
 $u^*_e = 16$ Bunttoene *r00j, r25j, ..., b75r*

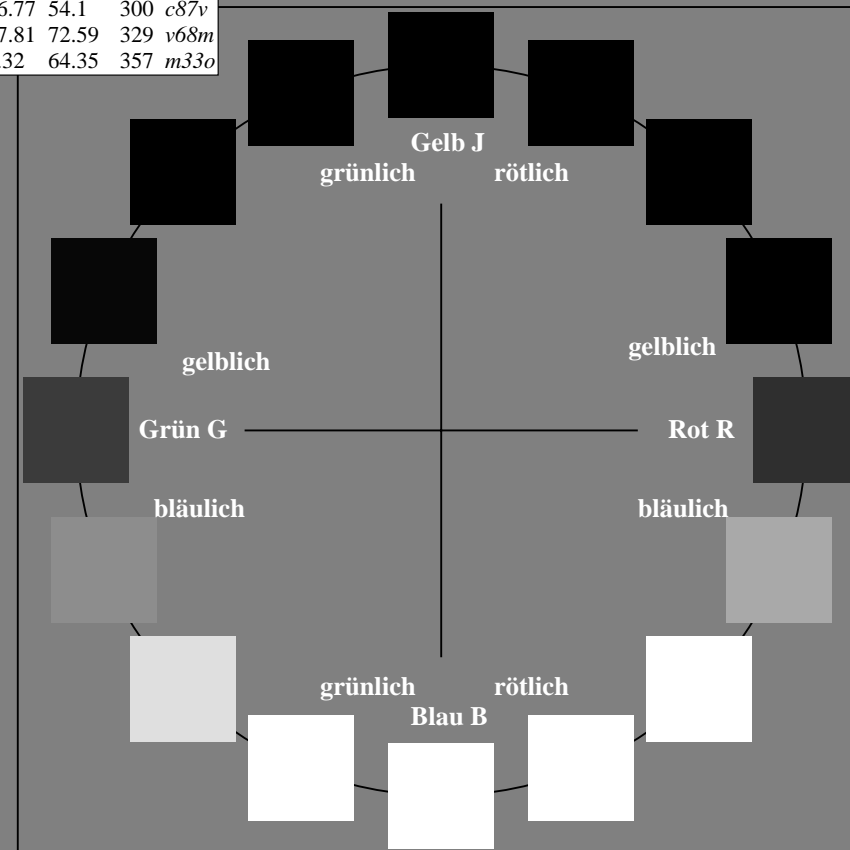
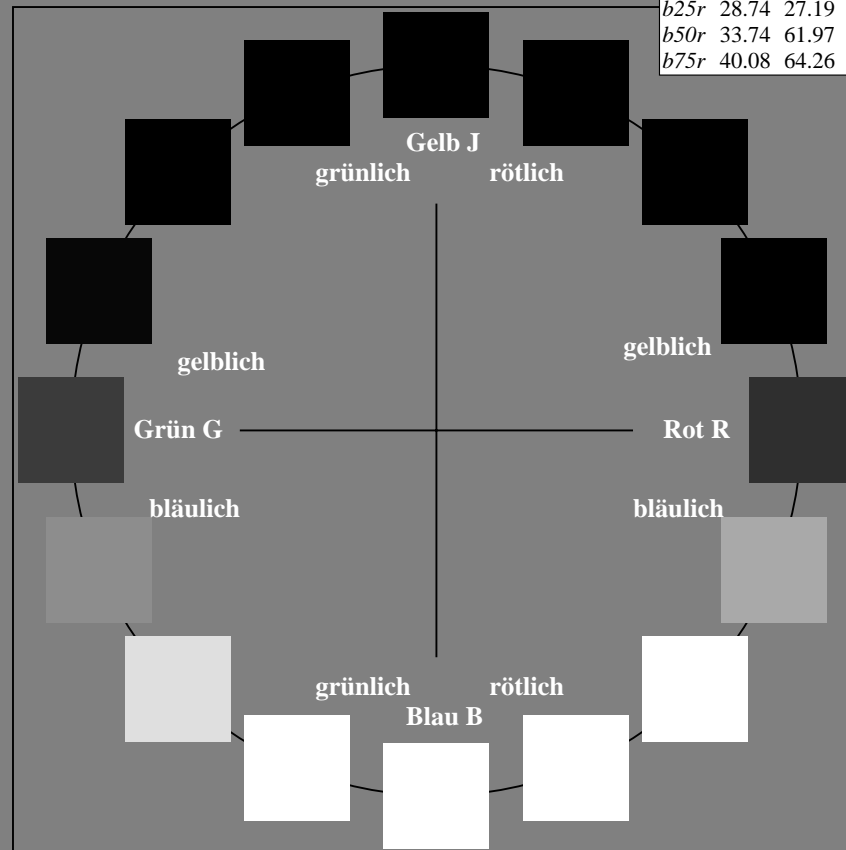
Kontrastreduzierungsfaktor:
 $c_R = 0.9$

FRS15_90a; adaptierte CIELAB-Daten						
u^*_e	$L^*=L^*_a$	a^*_a	b^*_a	$C^*_{ab,a}$	$h^*_{ab,a}$	u^*_d
<i>r00j</i>	39.18	56.94	27.13	63.07	25	<i>m81o</i>
<i>r25j</i>	42.41	49.1	44.5	66.26	42	<i>o10y</i>
<i>r50j</i>	52.78	35.22	58.37	68.17	59	<i>o40y</i>
<i>r75j</i>	64.82	19.12	74.47	76.89	76	<i>o69y</i>
<i>j00g</i>	82.06	-3.94	97.52	97.6	92	<i>o98y</i>
<i>j25g</i>	67.26	-26.87	74.67	79.36	110	<i>y34l</i>
<i>j50g</i>	55.83	-43.45	57.11	71.76	127	<i>y69l</i>
<i>j75g</i>	47.5	-54.18	38.3	66.35	145	<i>l03c</i>
<i>g00b</i>	50.07	-44.09	14.13	46.3	162	<i>l23c</i>
<i>g25b</i>	52.21	-35.66	-6.03	36.17	190	<i>l55c</i>
<i>g50b</i>	53.9	-29.04	-21.87	36.36	217	<i>l87c</i>
<i>g75b</i>	49.44	-15.51	-32.31	35.84	244	<i>c20v</i>
<i>b00r</i>	41.36	1.15	-37.95	37.97	272	<i>c53v</i>
<i>b25r</i>	28.74	27.19	-46.77	54.1	300	<i>c87v</i>
<i>b50r</i>	33.74	61.97	-37.81	72.59	329	<i>v68m</i>
<i>b75r</i>	40.08	64.26	-3.32	64.35	357	<i>m33o</i>



%Umfang
 $u^*_{rel} = 88$
 %Regularität
 $g^*_{H,rel} = 31$
 $g^*_{C,rel} = 40$

FRS15_90a; adaptierte CIELAB-Daten					
Name	$L^*=L^*_a$	a^*_a	b^*_a	$C^*_{ab,a}$	$h^*_{ab,a}$
O _{Ma}	38.8	53.92	39.68	66.95	36
Y _{Ma}	82.58	-4.64	98.22	98.33	93
L _{Ma}	46.95	-56.34	43.46	71.15	142
C _{Ma}	54.62	-26.2	-28.68	38.85	228
V _{Ma}	20.01	45.2	-52.87	69.56	311
M _{Ma}	40.88	70.68	-29.99	76.78	337
N _{Ma}	15.0	0.0	0.0	0.0	0
W _{Ma}	90.0	0.0	0.0	0.0	0
R _{CIE}	39.92	58.74	27.99	65.07	25
J _{CIE}	81.26	-2.89	71.56	71.62	92
G _{CIE}	52.23	-42.42	13.6	44.55	162
B _{CIE}	30.57	1.41	-46.47	46.49	272



Daten für jede Farbe:

lab^*tch^* und lab^*icu^*

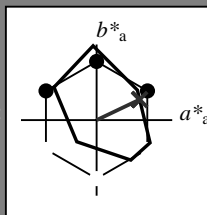
Buntontexte:

$u^*_e = r00j$ $u^*_d = m81o$

Kontrastreduzierungsfaktor:

$c_R = 0.9$

Dreiecks-Helligkeit t^*



FRS15_90a; adaptierte CIELAB-Daten

u^*_e	$L^*=L^*_a$	a^*_a	b^*_a	$C^*_{ab,a}$	$h^*_{ab,a}$
O _{Ma}	38.8	53.92	39.68	66.95	36
Y _{Ma}	82.58	-4.64	98.22	98.33	93
L _{Ma}	46.95	-56.34	43.46	71.15	142
C _{Ma}	54.62	-26.2	-28.68	38.85	228
V _{Ma}	20.01	45.2	-52.87	69.56	311
M _{Ma}	40.88	70.68	-29.99	76.78	337
N _{Ma}	15.0	0.0	0.0	0.0	0
W _{Ma}	90.0	0.0	0.0	0.0	0
R _{Ma}	39.92	58.74	27.99	65.07	25
J _{Ma}	81.26	-2.89	71.56	71.62	92
G _{Ma}	52.23	-42.42	13.6	44.55	162
B _{Ma}	30.57	1.41	-46.47	46.49	272

Daten für Maximalfarbe (Ma):

$LAB^*LAB^*_{Ma}$: 39 57 27

$LAB^*LCH^*_{Ma}$: 39 63 25

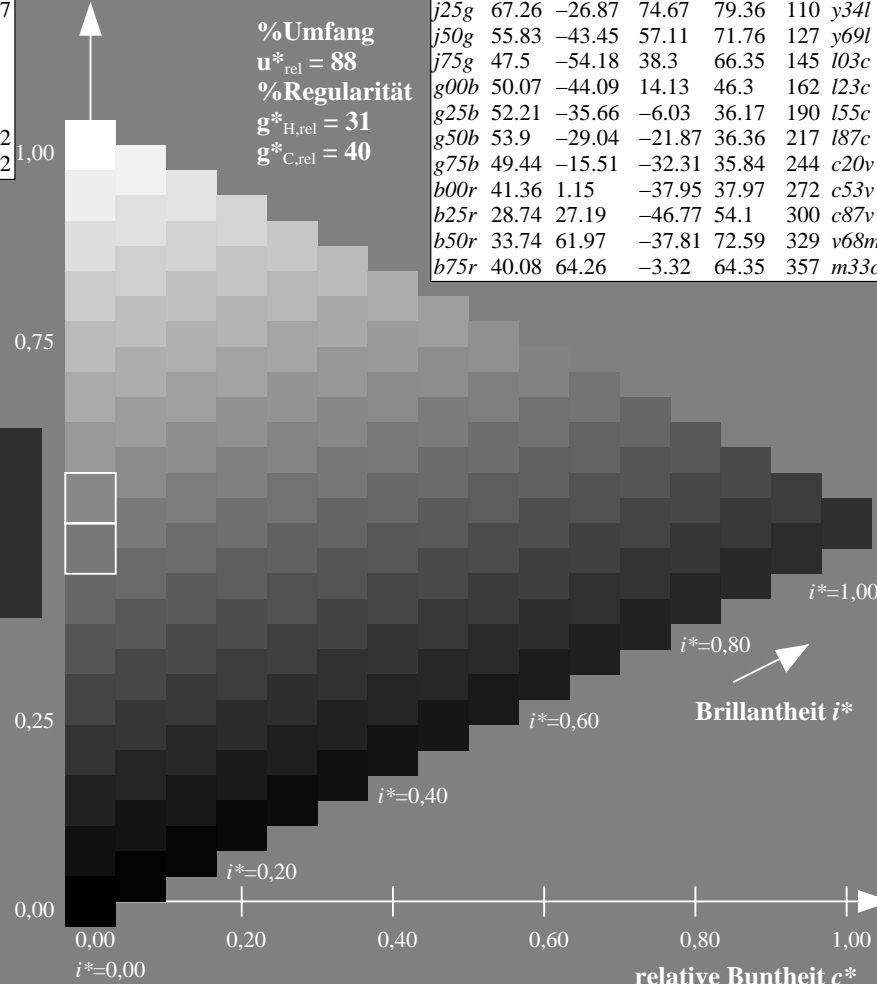
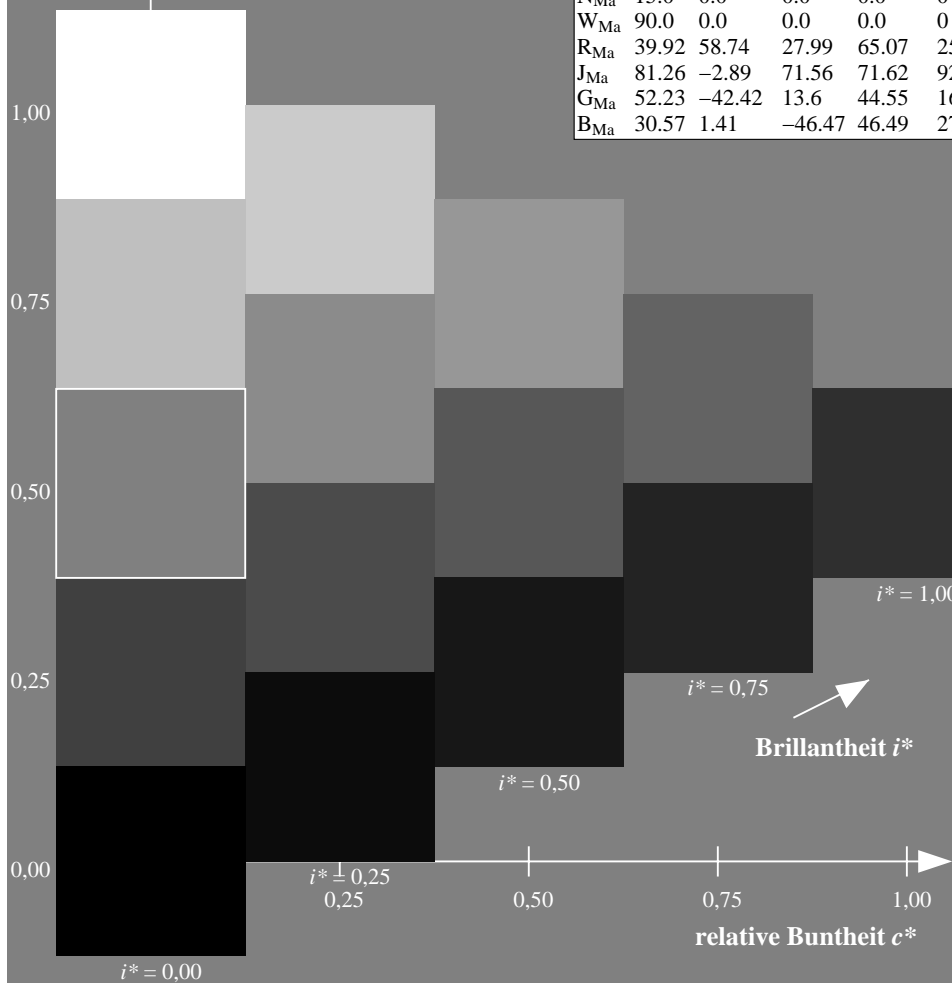
$lab^*rgb^*_{Ma}$: 1.0 0.0 0.0

$lab^*olv^*_{Ma}$: 1.0 0.0 0.18

Dreiecks-Helligkeit t^*

FRS15_90a; adaptierte CIELAB-Daten

u^*_e	$L^*=L^*_a$	a^*_a	b^*_a	$C^*_{ab,a}$	$h^*_{ab,a}$	u^*_d
r00j	39.18	56.94	27.13	63.07	25	m81o
r25j	42.41	49.1	44.5	66.26	42	o10y
r50j	52.78	35.22	58.37	68.17	59	o40y
r75j	64.82	19.12	74.47	76.89	76	o69y
j00g	82.06	-3.94	97.52	97.6	92	o98y
j25g	67.26	-26.87	74.67	79.36	110	y34l
j50g	55.83	-43.45	57.11	71.76	127	y69l
j75g	47.5	-54.18	38.3	66.35	145	l03c
g00b	50.07	-44.09	14.13	46.3	162	l23c
g25b	52.21	-35.66	-6.03	36.17	190	l55c
g50b	53.9	-29.04	-21.87	36.36	217	l87c
g75b	49.44	-15.51	-32.31	35.84	244	c20v
b00r	41.36	1.15	-37.95	37.97	272	c53v
b25r	28.74	27.19	-46.77	54.1	300	c87v
b50r	33.74	61.97	-37.81	72.59	329	v68m
b75r	40.08	64.26	-3.32	64.35	357	m33o



Daten für jede Farbe:

lab^*tch^* und lab^*icu^*

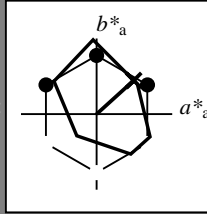
Buntontexte:

$u^*_e = r25j$ $u^*_d = o10y$

Kontrastreduzierungsfaktor:

$c_R = 0.9$

Dreiecks-Helligkeit t^*



FRS15_90a; adaptierte CIELAB-Daten						
u^*_e	$L^*=L^*_a$	a^*_a	b^*_a	$C^*_{ab,a}$	$h^*_{ab,a}$	
O _{Ma}	38.8	53.92	39.68	66.95	36	
Y _{Ma}	82.58	-4.64	98.22	98.33	93	
L _{Ma}	46.95	-56.34	43.46	71.15	142	
C _{Ma}	54.62	-26.2	-28.68	38.85	228	
V _{Ma}	20.01	45.2	-52.87	69.56	311	
M _{Ma}	40.88	70.68	-29.99	76.78	337	
N _{Ma}	15.0	0.0	0.0	0.0	0	
W _{Ma}	90.0	0.0	0.0	0.0	0	
R _{Ma}	39.92	58.74	27.99	65.07	25	
J _{Ma}	81.26	-2.89	71.56	71.62	92	
G _{Ma}	52.23	-42.42	13.6	44.55	162	
B _{Ma}	30.57	1.41	-46.47	46.49	272	

Daten für Maximalfarbe (Ma):

$LAB^*LAB^*_{Ma}$: 42 49 44

$LAB^*LCH^*_{Ma}$: 42 66 42

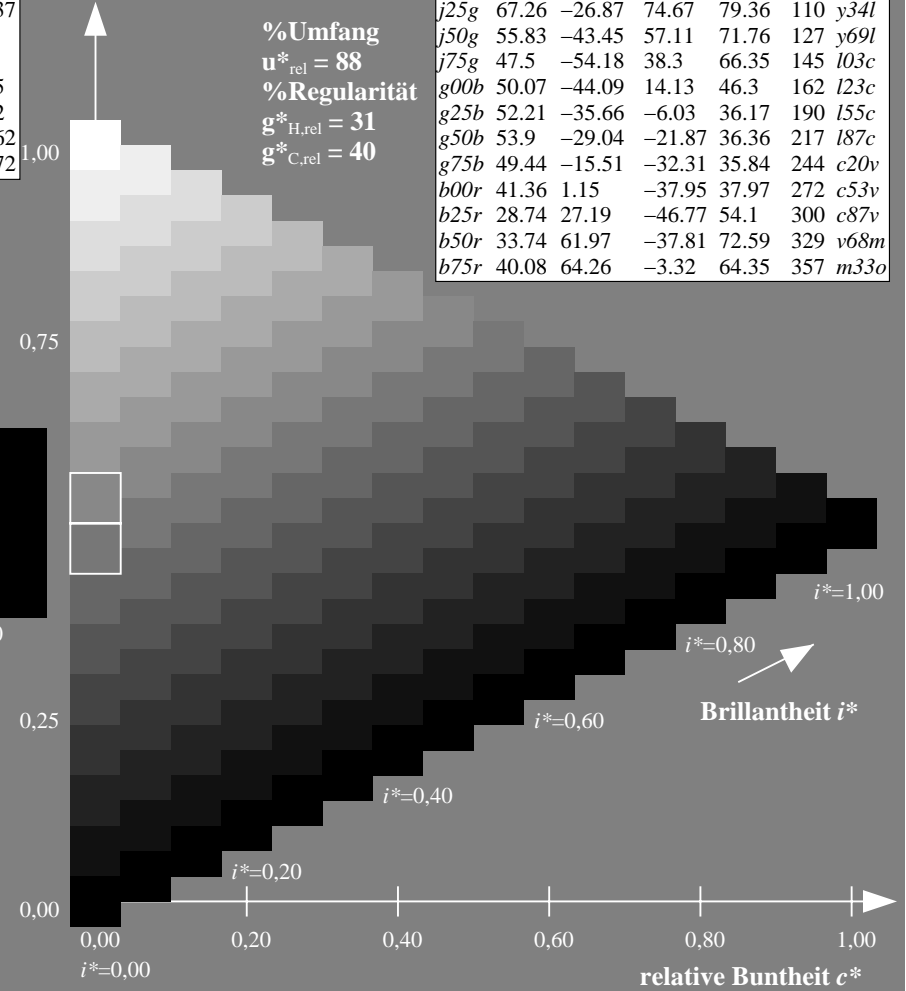
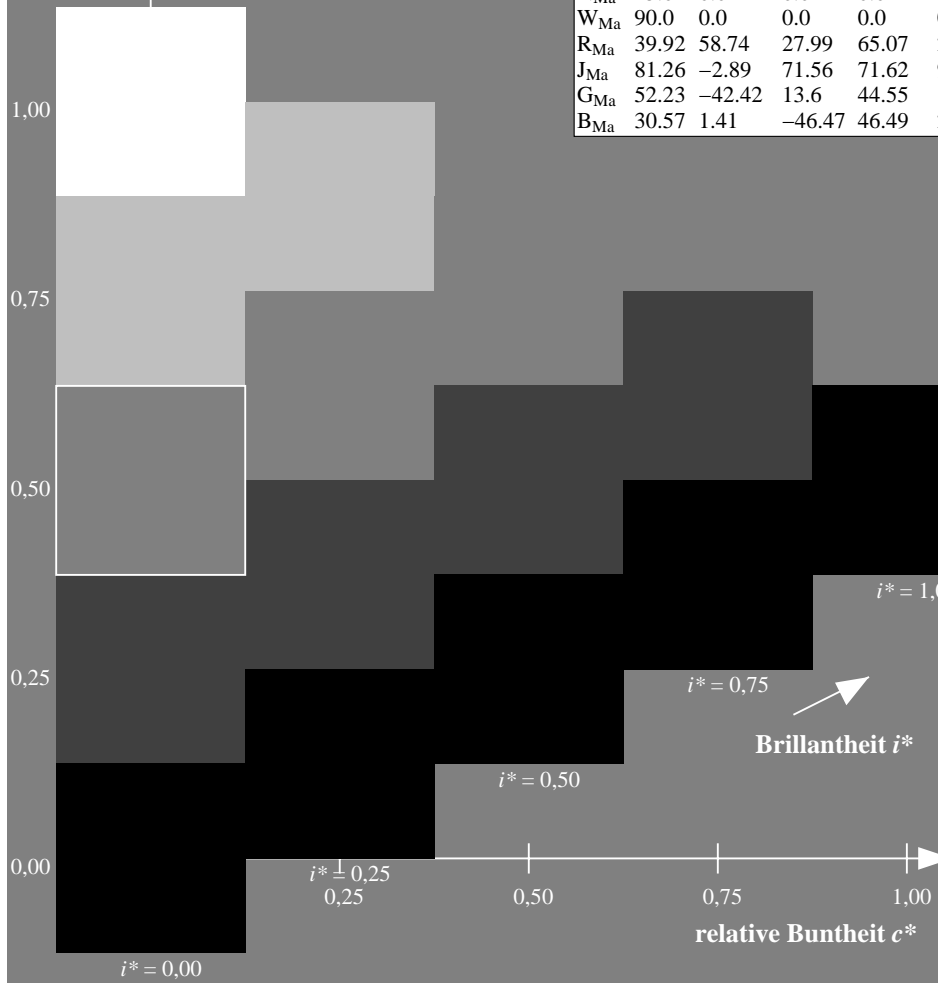
$lab^*rgb^*_{Ma}$: 1.0 0.25 0.0

$lab^*olv^*_{Ma}$: 1.0 0.1 0.0

Dreiecks-Helligkeit t^*

FRS15_90a; adaptierte CIELAB-Daten

u^*_e	$L^*=L^*_a$	a^*_a	b^*_a	$C^*_{ab,a}$	$h^*_{ab,a}$	u^*_d
r00j	39.18	56.94	27.13	63.07	25	m81o
r25j	42.41	49.1	44.5	66.26	42	o10y
r50j	52.78	35.22	58.37	68.17	59	o40y
r75j	64.82	19.12	74.47	76.89	76	o69y
j00g	82.06	-3.94	97.52	97.6	92	o98y
j25g	67.26	-26.87	74.67	79.36	110	y34l
j50g	55.83	-43.45	57.11	71.76	127	y69l
j75g	47.5	-54.18	38.3	66.35	145	l03c
g00b	50.07	-44.09	14.13	46.3	162	l23c
g25b	52.21	-35.66	-6.03	36.17	190	l55c
g50b	53.9	-29.04	-21.87	36.36	217	l87c
g75b	49.44	-15.51	-32.31	35.84	244	c20v
b00r	41.36	1.15	-37.95	37.97	272	c53v
b25r	28.74	27.19	-46.77	54.1	300	c87v
b50r	33.74	61.97	-37.81	72.59	329	v68m
b75r	40.08	64.26	-3.32	64.35	357	m33o



%Umfang
 $u^*_{rel} = 88$
 %Regularität
 $g^*_{H,rel} = 31$
 $g^*_{C,rel} = 40$

Ein und Ausgabe: Farbmetrisches Drucker-Reflektiv-System FRS15_90a für relativen CIELAB-Bunton $h^* = lab^*h^* = h_{ab}/360 = 0.164$

$u^*_e = r50j$

Daten für jede Farbe:

lab^*tch^* und lab^*icu^*

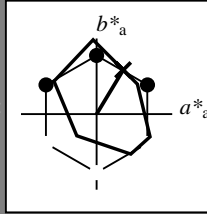
Buntontexte:

$u^*_e = r50j$ $u^*_d = o40y$

Kontrastreduzierungsfaktor:

$c_R = 0.9$

Dreiecks-Helligkeit t^*



FRS15_90a; adaptierte CIELAB-Daten						
u^*_e	$L^*=L^*_a$	a^*_a	b^*_a	$C^*_{ab,a}$	$h^*_{ab,a}$	
O _{Ma}	38.8	53.92	39.68	66.95	36	
Y _{Ma}	82.58	-4.64	98.22	98.33	93	
L _{Ma}	46.95	-56.34	43.46	71.15	142	
C _{Ma}	54.62	-26.2	-28.68	38.85	228	
V _{Ma}	20.01	45.2	-52.87	69.56	311	
M _{Ma}	40.88	70.68	-29.99	76.78	337	
N _{Ma}	15.0	0.0	0.0	0.0	0	
W _{Ma}	90.0	0.0	0.0	0.0	0	
R _{Ma}	39.92	58.74	27.99	65.07	25	
J _{Ma}	81.26	-2.89	71.56	71.62	92	
G _{Ma}	52.23	-42.42	13.6	44.55	162	
B _{Ma}	30.57	1.41	-46.47	46.49	272	

Daten für Maximalfarbe (Ma):

$LAB^*LAB^*_{Ma}: 53\ 35\ 58$

$LAB^*LCH^*_{Ma}: 53\ 68\ 58$

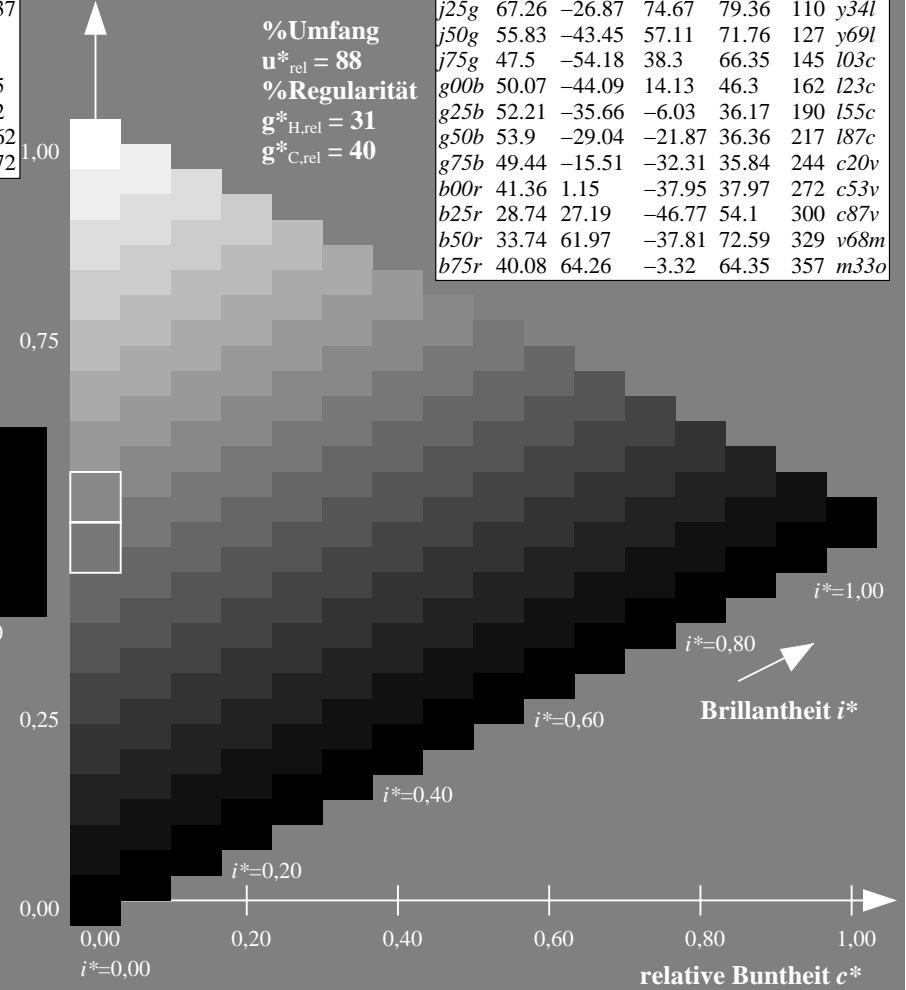
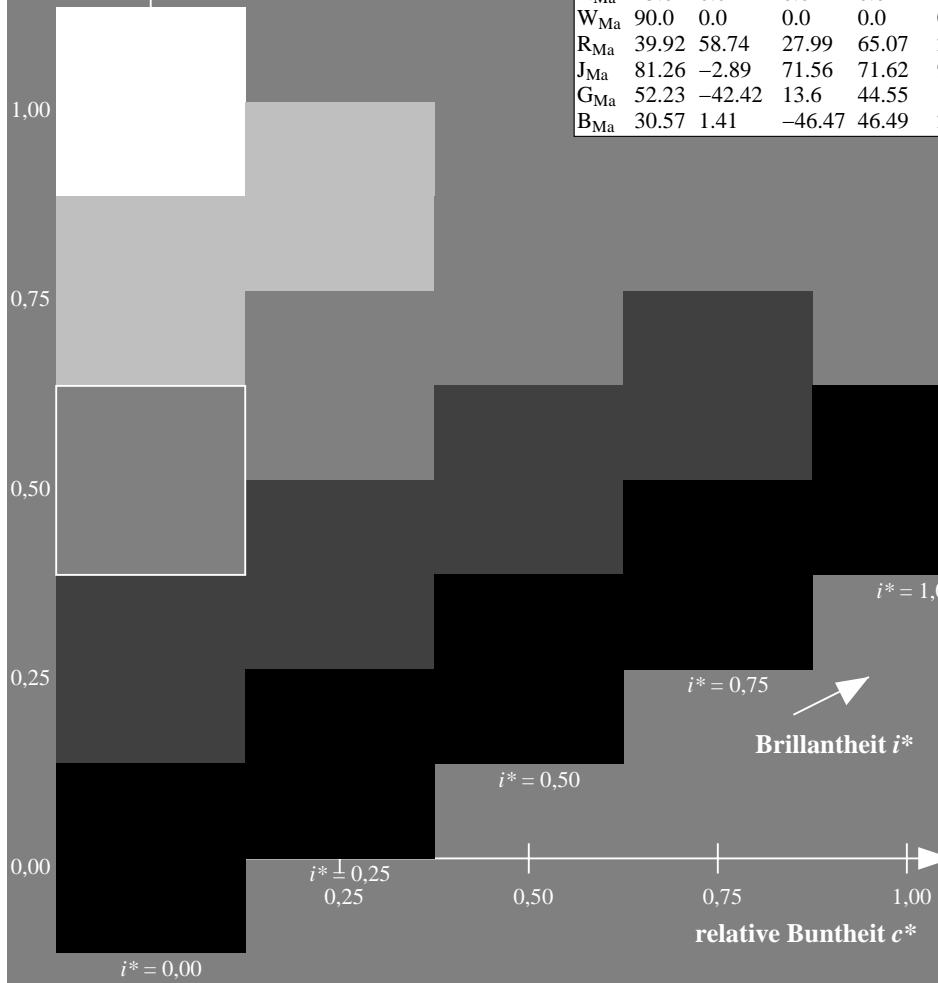
$lab^*rgb^*_{Ma}: 1.0\ 0.5\ 0.0$

$lab^*olv^*_{Ma}: 1.0\ 0.4\ 0.0$

Dreiecks-Helligkeit t^*

FRS15_90a; adaptierte CIELAB-Daten

u^*_e	$L^*=L^*_a$	a^*_a	b^*_a	$C^*_{ab,a}$	$h^*_{ab,a}$	u^*_d
r00j	39.18	56.94	27.13	63.07	25	m81o
r25j	42.41	49.1	44.5	66.26	42	o10y
r50j	52.78	35.22	58.37	68.17	59	o40y
r75j	64.82	19.12	74.47	76.89	76	o69y
j00g	82.06	-3.94	97.52	97.6	92	o98y
j25g	67.26	-26.87	74.67	79.36	110	y34l
j50g	55.83	-43.45	57.11	71.76	127	y69l
j75g	47.5	-54.18	38.3	66.35	145	l03c
g00b	50.07	-44.09	14.13	46.3	162	l23c
g25b	52.21	-35.66	-6.03	36.17	190	l55c
g50b	53.9	-29.04	-21.87	36.36	217	l87c
g75b	49.44	-15.51	-32.31	35.84	244	c20v
b00r	41.36	1.15	-37.95	37.97	272	c53v
b25r	28.74	27.19	-46.77	54.1	300	c87v
b50r	33.74	61.97	-37.81	72.59	329	v68m
b75r	40.08	64.26	-3.32	64.35	357	m33o



%Umfang

$u^*_{rel} = 88$

%Regularität

$g^*_{H,rel} = 31$

$g^*_{C,rel} = 40$

Daten für jede Farbe:

lab^*tch^* und lab^*icu^*

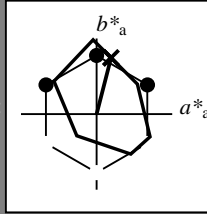
Buntontexte:

$u^*_e = r75j$ $u^*_d = o69y$

Kontrastreduzierungsfaktor:

$c_R = 0.9$

Dreiecks-Helligkeit t^*



FRS15_90a; adaptierte CIELAB-Daten						
u^*_e	$L^*=L^*_a$	a^*_a	b^*_a	$C^*_{ab,a}$	$h^*_{ab,a}$	
O _{Ma}	38.8	53.92	39.68	66.95	36	
Y _{Ma}	82.58	-4.64	98.22	98.33	93	
L _{Ma}	46.95	-56.34	43.46	71.15	142	
C _{Ma}	54.62	-26.2	-28.68	38.85	228	
V _{Ma}	20.01	45.2	-52.87	69.56	311	
M _{Ma}	40.88	70.68	-29.99	76.78	337	
N _{Ma}	15.0	0.0	0.0	0.0	0	
W _{Ma}	90.0	0.0	0.0	0.0	0	
R _{Ma}	39.92	58.74	27.99	65.07	25	
J _{Ma}	81.26	-2.89	71.56	71.62	92	
G _{Ma}	52.23	-42.42	13.6	44.55	162	
B _{Ma}	30.57	1.41	-46.47	46.49	272	

Daten für Maximalfarbe (Ma):

$LAB^*LAB^*_{Ma}$: 65 19 74

$LAB^*LCH^*_{Ma}$: 65 77 75

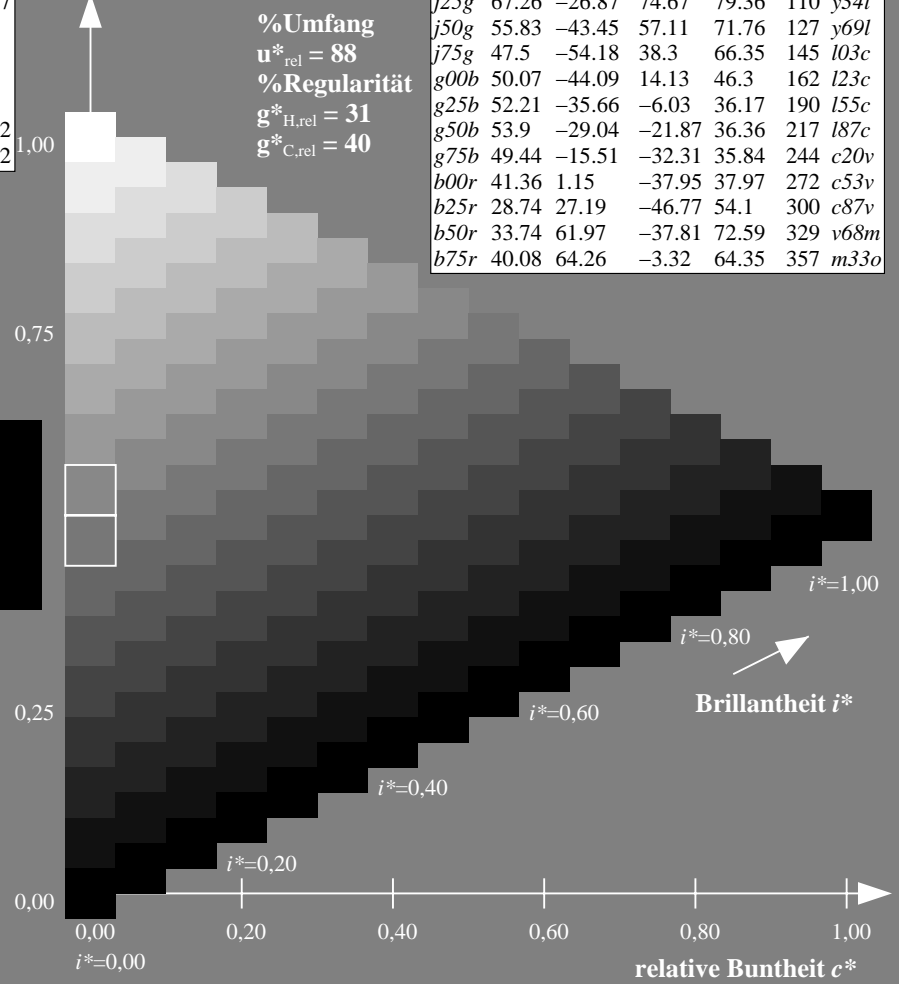
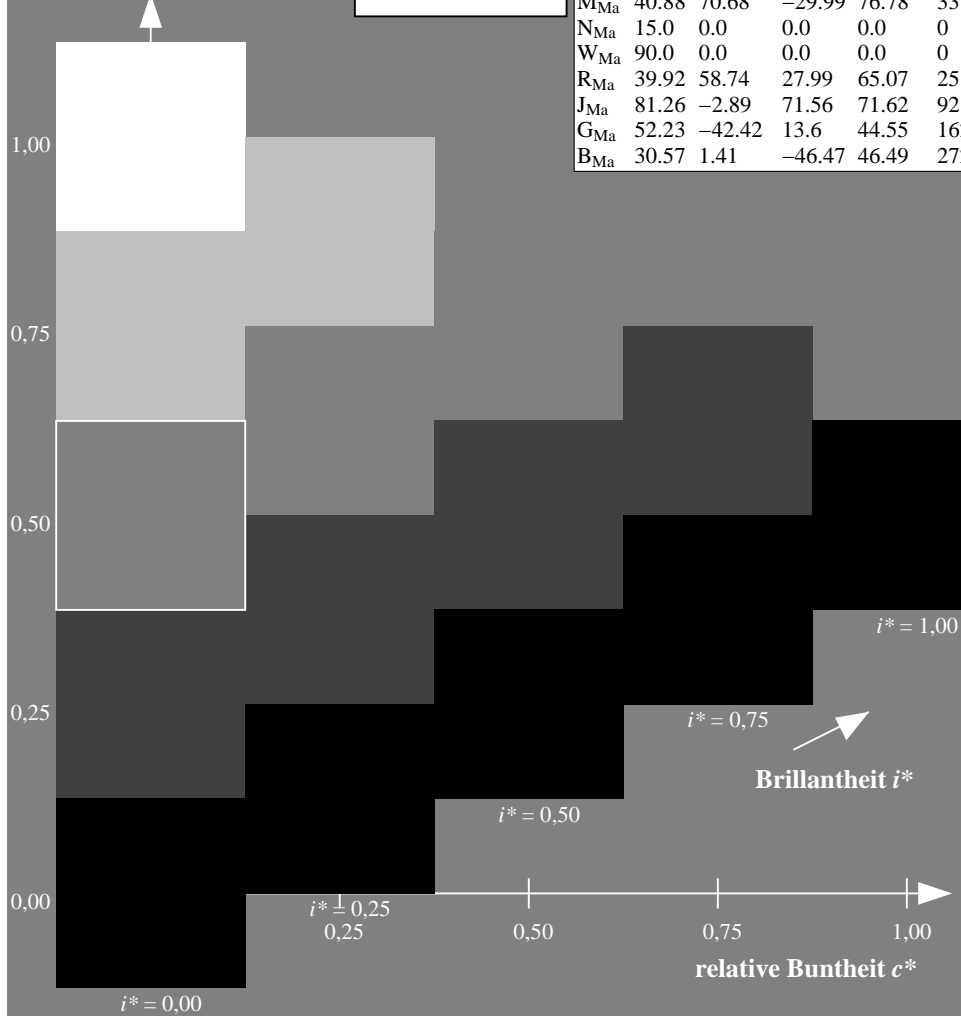
$lab^*rgb^*_{Ma}$: 1.0 0.75 0.0

$lab^*olv^*_{Ma}$: 1.0 0.7 0.0

Dreiecks-Helligkeit t^*

FRS15_90a; adaptierte CIELAB-Daten

u^*_e	$L^*=L^*_a$	a^*_a	b^*_a	$C^*_{ab,a}$	$h^*_{ab,a}$	u^*_d
r00j	39.18	56.94	27.13	63.07	25	m81o
r25j	42.41	49.1	44.5	66.26	42	o10y
r50j	52.78	35.22	58.37	68.17	59	o40y
r75j	64.82	19.12	74.47	76.89	76	o69y
j00g	82.06	-3.94	97.52	97.6	92	o98y
j25g	67.26	-26.87	74.67	79.36	110	y34l
j50g	55.83	-43.45	57.11	71.76	127	y69l
j75g	47.5	-54.18	38.3	66.35	145	l03c
g00b	50.07	-44.09	14.13	46.3	162	l23c
g25b	52.21	-35.66	-6.03	36.17	190	l55c
g50b	53.9	-29.04	-21.87	36.36	217	l87c
g75b	49.44	-15.51	-32.31	35.84	244	c20v
b00r	41.36	1.15	-37.95	37.97	272	c53v
b25r	28.74	27.19	-46.77	54.1	300	c87v
b50r	33.74	61.97	-37.81	72.59	329	v68m
b75r	40.08	64.26	-3.32	64.35	357	m33o



Daten für jede Farbe:

lab^*tch^* und lab^*icu^*

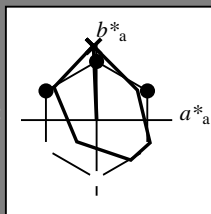
Buntontexte:

$u^*_e = j00g$ $u^*_d = o98y$

Kontrastreduzierungsfaktor:

$c_R = 0.9$

Dreiecks-Helligkeit t^*



FRS15_90a; adaptierte CIELAB-Daten						
u^*_e	$L^*=L^*_a$	a^*_a	b^*_a	$C^*_{ab,a}$	$h^*_{ab,a}$	
O _{Ma}	38.8	53.92	39.68	66.95	36	
Y _{Ma}	82.58	-4.64	98.22	98.33	93	
L _{Ma}	46.95	-56.34	43.46	71.15	142	
C _{Ma}	54.62	-26.2	-28.68	38.85	228	
V _{Ma}	20.01	45.2	-52.87	69.56	311	
M _{Ma}	40.88	70.68	-29.99	76.78	337	
N _{Ma}	15.0	0.0	0.0	0.0	0	
W _{Ma}	90.0	0.0	0.0	0.0	0	
R _{Ma}	39.92	58.74	27.99	65.07	25	
J _{Ma}	81.26	-2.89	71.56	71.62	92	
G _{Ma}	52.23	-42.42	13.6	44.55	162	
B _{Ma}	30.57	1.41	-46.47	46.49	272	

Daten für Maximalfarbe (Ma):

$LAB^*LAB^*_{Ma}: 82 -4 98$

$LAB^*LCH^*_{Ma}: 82 98 92$

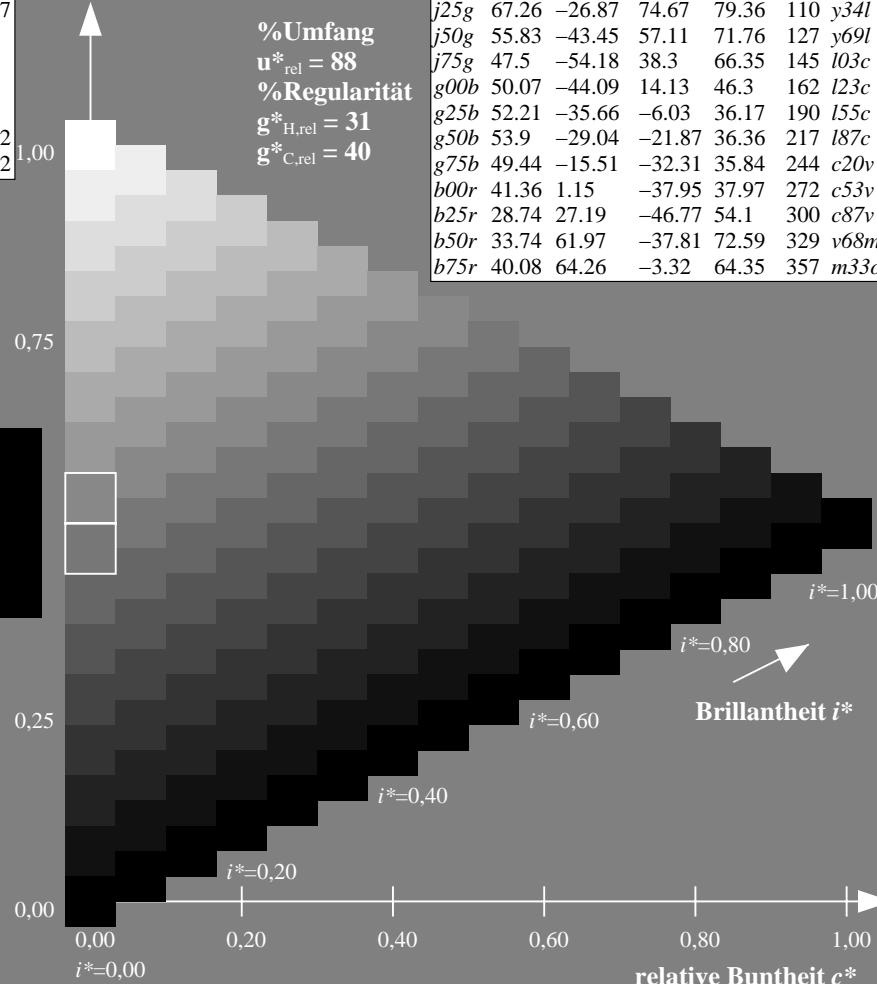
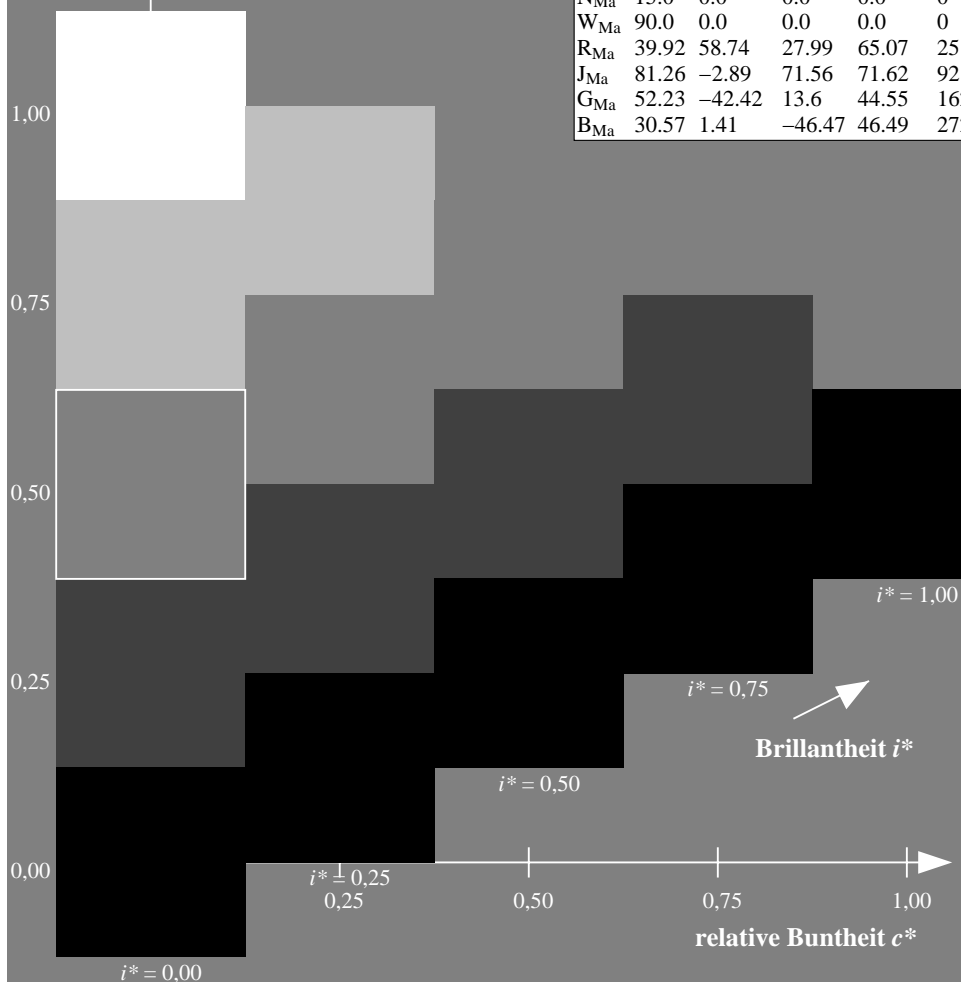
$lab^*rgb^*_{Ma}: 1.0 1.0 0.0$

$lab^*olv^*_{Ma}: 1.0 0.99 0.0$

Dreiecks-Helligkeit t^*

FRS15_90a; adaptierte CIELAB-Daten

u^*_e	$L^*=L^*_a$	a^*_a	b^*_a	$C^*_{ab,a}$	$h^*_{ab,a}$	u^*_d
r00j	39.18	56.94	27.13	63.07	25	m81o
r25j	42.41	49.1	44.5	66.26	42	o10y
r50j	52.78	35.22	58.37	68.17	59	o40y
r75j	64.82	19.12	74.47	76.89	76	o69y
j00g	82.06	-3.94	97.52	97.6	92	o98y
j25g	67.26	-26.87	74.67	79.36	110	y34l
j50g	55.83	-43.45	57.11	71.76	127	y69l
j75g	47.5	-54.18	38.3	66.35	145	l03c
g00b	50.07	-44.09	14.13	46.3	162	l23c
g25b	52.21	-35.66	-6.03	36.17	190	l55c
g50b	53.9	-29.04	-21.87	36.36	217	l87c
g75b	49.44	-15.51	-32.31	35.84	244	c20v
b00r	41.36	1.15	-37.95	37.97	272	c53v
b25r	28.74	27.19	-46.77	54.1	300	c87v
b50r	33.74	61.97	-37.81	72.59	329	v68m
b75r	40.08	64.26	-3.32	64.35	357	m33o



Daten für jede Farbe:

lab^*tch^* und lab^*icu^*

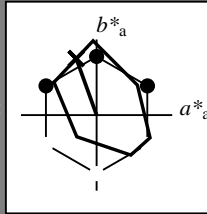
Buntontexte:

$u^*_e = j25g$ $u^*_d = y34l$

Kontrastreduzierungsfaktor:

$c_R = 0.9$

Dreiecks-Helligkeit t^*



FRS15_90a; adaptierte CIELAB-Daten						
u^*_e	$L^*=L^*_a$	a^*_a	b^*_a	$C^*_{ab,a}$	$h^*_{ab,a}$	
O_{Ma}	38.8	53.92	39.68	66.95	36	
Y_{Ma}	82.58	-4.64	98.22	98.33	93	
L_{Ma}	46.95	-56.34	43.46	71.15	142	
C_{Ma}	54.62	-26.2	-28.68	38.85	228	
V_{Ma}	20.01	45.2	-52.87	69.56	311	
M_{Ma}	40.88	70.68	-29.99	76.78	337	
N_{Ma}	15.0	0.0	0.0	0.0	0	
W_{Ma}	90.0	0.0	0.0	0.0	0	
R_{Ma}	39.92	58.74	27.99	65.07	25	
J_{Ma}	81.26	-2.89	71.56	71.62	92	
G_{Ma}	52.23	-42.42	13.6	44.55	162	
B_{Ma}	30.57	1.41	-46.47	46.49	272	

Daten für Maximalfarbe (Ma):

$LAB^*LAB^*_{Ma}: 67 -27 75$

$LAB^*LCH^*_{Ma}: 67 79 109$

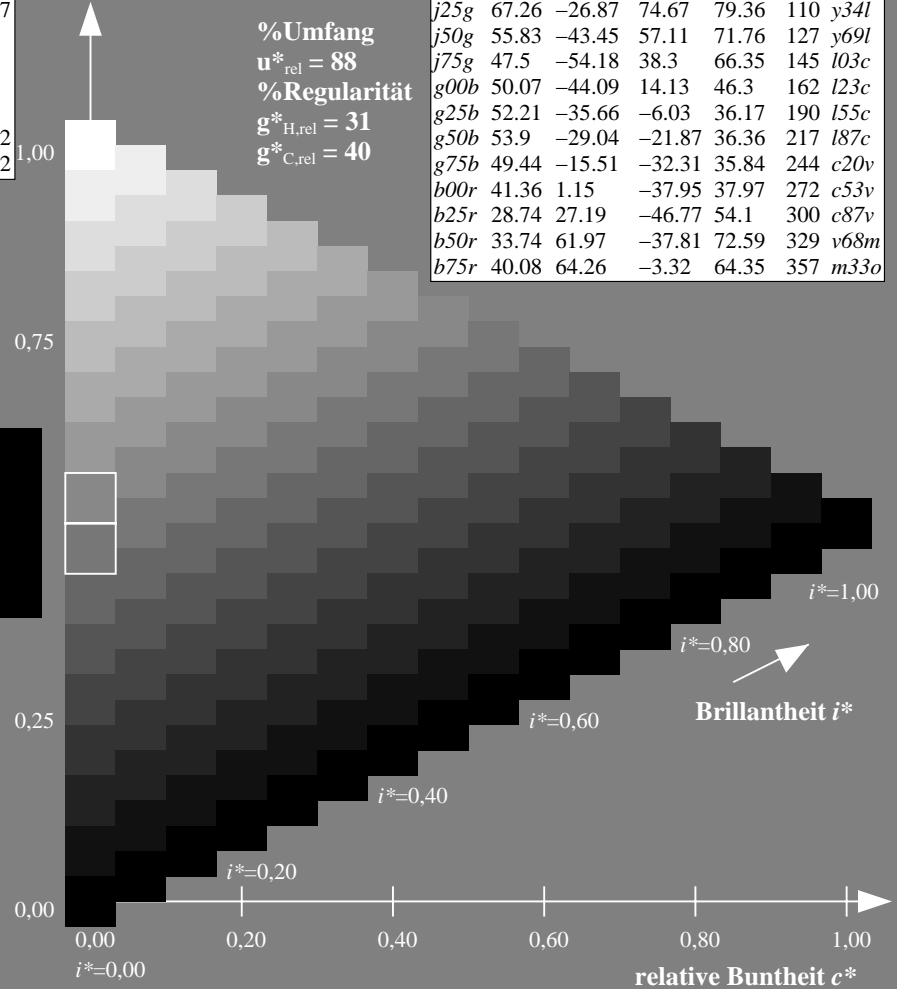
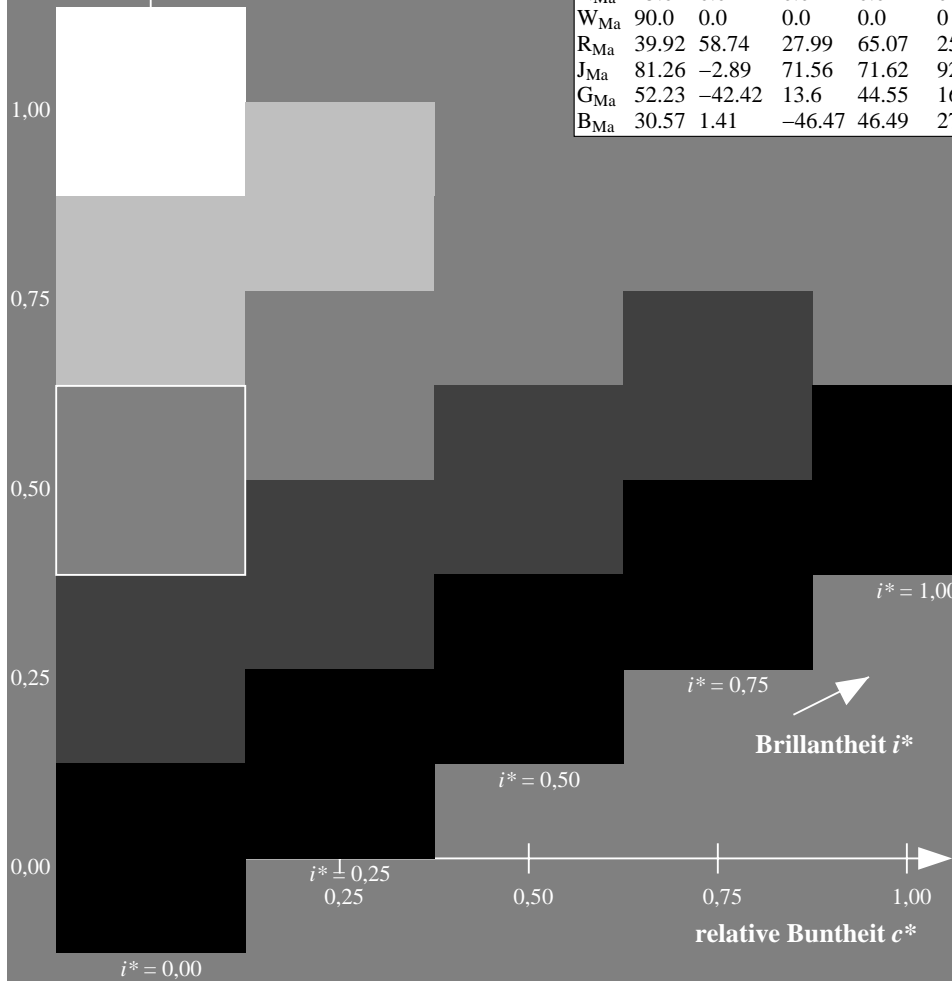
$lab^*rgb^*_{Ma}: 0.75 1.0 0.0$

$lab^*olv^*_{Ma}: 0.66 1.0 0.0$

Dreiecks-Helligkeit t^*

FRS15_90a; adaptierte CIELAB-Daten

u^*_e	$L^*=L^*_a$	a^*_a	b^*_a	$C^*_{ab,a}$	$h^*_{ab,a}$	u^*_d
$r00j$	39.18	56.94	27.13	63.07	25	$m81o$
$r25j$	42.41	49.1	44.5	66.26	42	$o10y$
$r50j$	52.78	35.22	58.37	68.17	59	$o40y$
$r75j$	64.82	19.12	74.47	76.89	76	$o69y$
$j00g$	82.06	-3.94	97.52	97.6	92	$o98y$
$j25g$	67.26	-26.87	74.67	79.36	110	$y34l$
$j50g$	55.83	-43.45	57.11	71.76	127	$y69l$
$j75g$	47.5	-54.18	38.3	66.35	145	$l03c$
$g00b$	50.07	-44.09	14.13	46.3	162	$l23c$
$g25b$	52.21	-35.66	-6.03	36.17	190	$l55c$
$g50b$	53.9	-29.04	-21.87	36.36	217	$l87c$
$g75b$	49.44	-15.51	-32.31	35.84	244	$c20v$
$b00r$	41.36	1.15	-37.95	37.97	272	$c53v$
$b25r$	28.74	27.19	-46.77	54.1	300	$c87v$
$b50r$	33.74	61.97	-37.81	72.59	329	$v68m$
$b75r$	40.08	64.26	-3.32	64.35	357	$m33o$



%Umfang
 $u^*_{rel} = 88$
 %Regularität
 $g^*_{H,rel} = 31$
 $g^*_{C,rel} = 40$

Ein und Ausgabe: Farbmetrisches Drucker-Reflektiv-System FRS15_90a für relativen CIELAB-Bunton $h^* = lab^*h^* = h_{ab}/360 = 0.354$

$u^*_e = j50g$

Daten für jede Farbe:

lab^*tch^* und lab^*icu^*

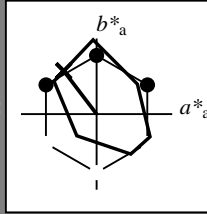
Buntontexte:

$u^*_e = j50g$ $u^*_d = y69l$

Kontrastreduzierungsfaktor:

$c_R = 0.9$

Dreiecks-Helligkeit t^*



FRS15_90a; adaptierte CIELAB-Daten						
u^*_e	$L^*=L^*_a$	a^*_a	b^*_a	$C^*_{ab,a}$	$h^*_{ab,a}$	
O _{Ma}	38.8	53.92	39.68	66.95	36	
Y _{Ma}	82.58	-4.64	98.22	98.33	93	
L _{Ma}	46.95	-56.34	43.46	71.15	142	
C _{Ma}	54.62	-26.2	-28.68	38.85	228	
V _{Ma}	20.01	45.2	-52.87	69.56	311	
M _{Ma}	40.88	70.68	-29.99	76.78	337	
N _{Ma}	15.0	0.0	0.0	0.0	0	
W _{Ma}	90.0	0.0	0.0	0.0	0	
R _{Ma}	39.92	58.74	27.99	65.07	25	
J _{Ma}	81.26	-2.89	71.56	71.62	92	
G _{Ma}	52.23	-42.42	13.6	44.55	162	
B _{Ma}	30.57	1.41	-46.47	46.49	272	

Daten für Maximalfarbe (Ma):

$LAB^*LAB^*_{Ma}$: 56 -43 57

$LAB^*LCH^*_{Ma}$: 56 72 127

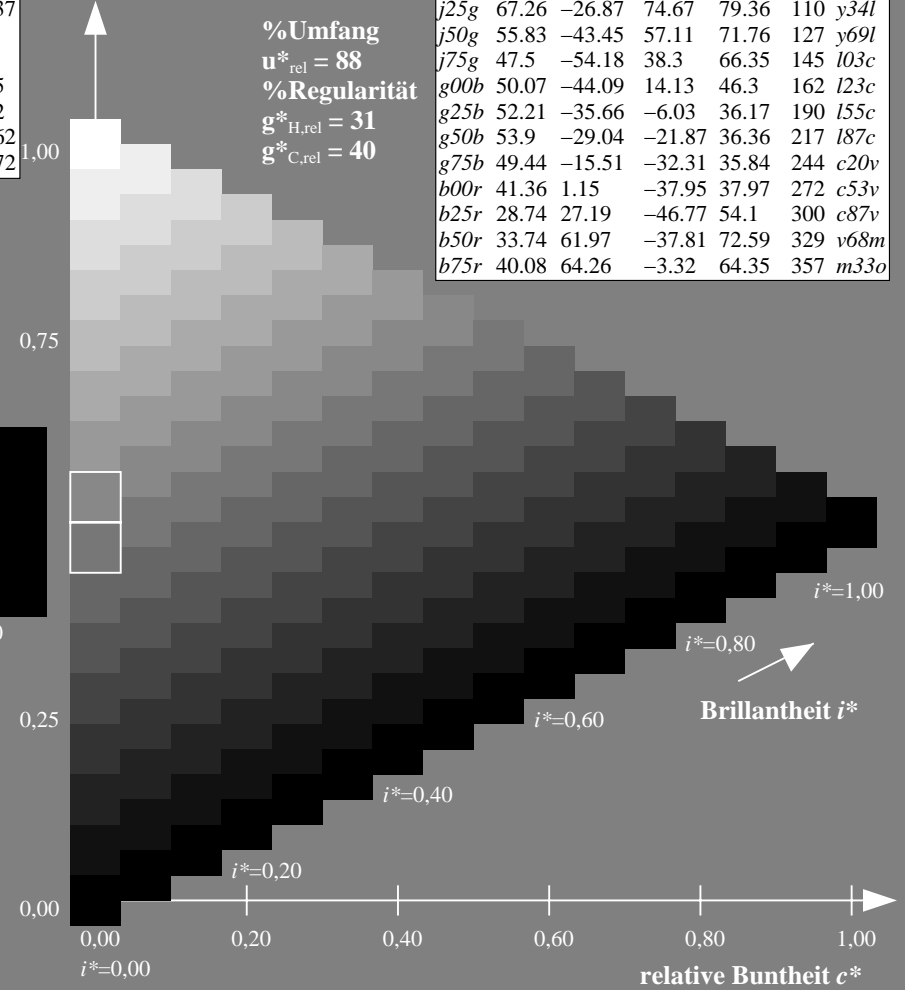
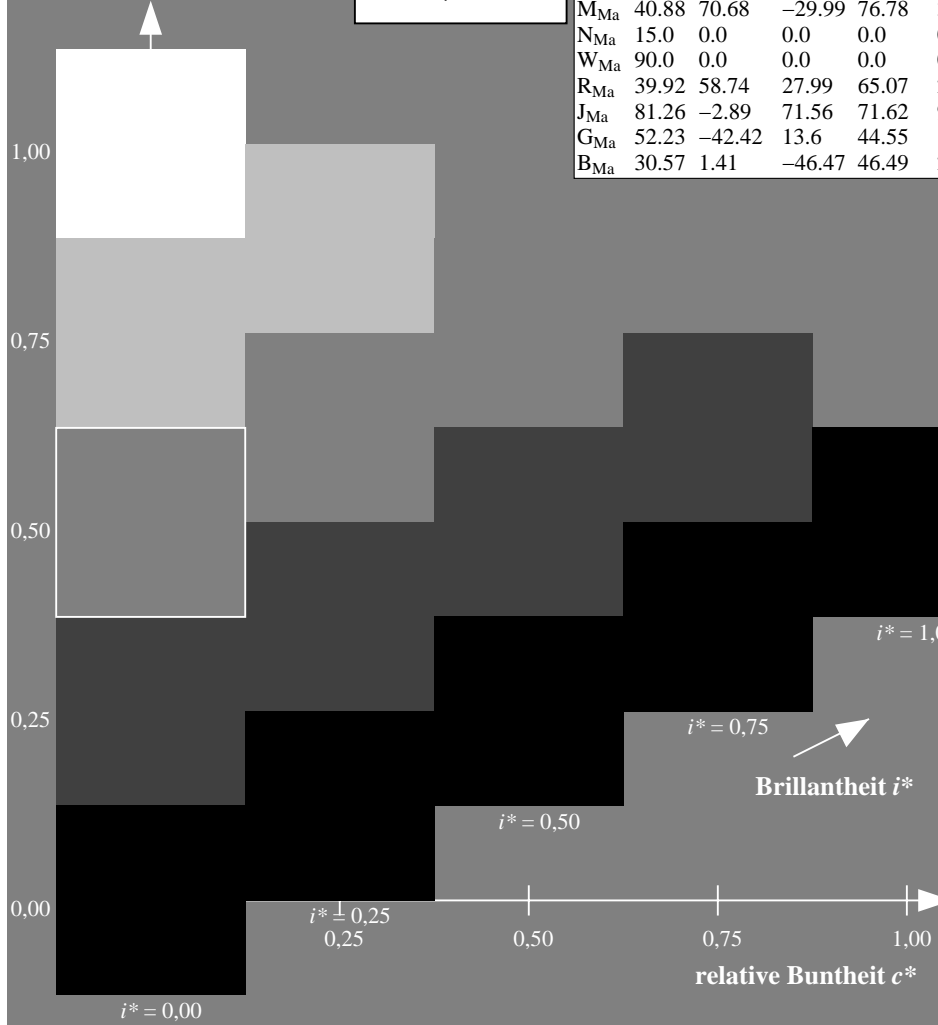
$lab^*rgb^*_{Ma}$: 0.5 1.0 0.0

$lab^*olv^*_{Ma}$: 0.3 1.0 0.0

Dreiecks-Helligkeit t^*

FRS15_90a; adaptierte CIELAB-Daten

u^*_e	$L^*=L^*_a$	a^*_a	b^*_a	$C^*_{ab,a}$	$h^*_{ab,a}$	u^*_d
r00j	39.18	56.94	27.13	63.07	25	m81o
r25j	42.41	49.1	44.5	66.26	42	o10y
r50j	52.78	35.22	58.37	68.17	59	o40y
r75j	64.82	19.12	74.47	76.89	76	o69y
j00g	82.06	-3.94	97.52	97.6	92	o98y
j25g	67.26	-26.87	74.67	79.36	110	y34l
j50g	55.83	-43.45	57.11	71.76	127	y69l
j75g	47.5	-54.18	38.3	66.35	145	l03c
g00b	50.07	-44.09	14.13	46.3	162	l23c
g25b	52.21	-35.66	-6.03	36.17	190	l55c
g50b	53.9	-29.04	-21.87	36.36	217	l87c
g75b	49.44	-15.51	-32.31	35.84	244	c20v
b00r	41.36	1.15	-37.95	37.97	272	c53v
b25r	28.74	27.19	-46.77	54.1	300	c87v
b50r	33.74	61.97	-37.81	72.59	329	v68m
b75r	40.08	64.26	-3.32	64.35	357	m33o



%Umfang

$u^*_{rel} = 88$

%Regularität

$g^*_{H,rel} = 31$

$g^*_{C,rel} = 40$

Ein und Ausgabe: Farbmetrisches Drucker-Reflektiv-System FRS15_90a für relativen CIELAB-Bunton $h^* = lab^*h^* = h_{ab}/360 = 0.402$

$u^*_e = j75g$

Daten für jede Farbe:

lab^*tch^* und lab^*icu^*

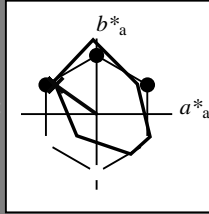
Buntontexte:

$u^*_e = j75g$ $u^*_d = l03c$

Kontrastreduzierungsfaktor:

$c_R = 0.9$

Dreiecks-Helligkeit t^*



FRS15_90a; adaptierte CIELAB-Daten

u^*_e	$L^*=L^*_a$	a^*_a	b^*_a	$C^*_{ab,a}$	$h^*_{ab,a}$
O _{Ma}	38.8	53.92	39.68	66.95	36
Y _{Ma}	82.58	-4.64	98.22	98.33	93
L _{Ma}	46.95	-56.34	43.46	71.15	142
C _{Ma}	54.62	-26.2	-28.68	38.85	228
V _{Ma}	20.01	45.2	-52.87	69.56	311
M _{Ma}	40.88	70.68	-29.99	76.78	337
N _{Ma}	15.0	0.0	0.0	0.0	0
W _{Ma}	90.0	0.0	0.0	0.0	0
R _{Ma}	39.92	58.74	27.99	65.07	25
J _{Ma}	81.26	-2.89	71.56	71.62	92
G _{Ma}	52.23	-42.42	13.6	44.55	162
B _{Ma}	30.57	1.41	-46.47	46.49	272

Daten für Maximalfarbe (Ma):

$LAB^*LAB^*_{Ma}$: 48 -54 38

$LAB^*LCH^*_{Ma}$: 48 66 144

$lab^*rgb^*_{Ma}$: 0.25 1.0 0.0

$lab^*olv^*_{Ma}$: 0.0 1.0 0.03

Dreiecks-Helligkeit t^*

%Umfang

$u^*_{rel} = 88$

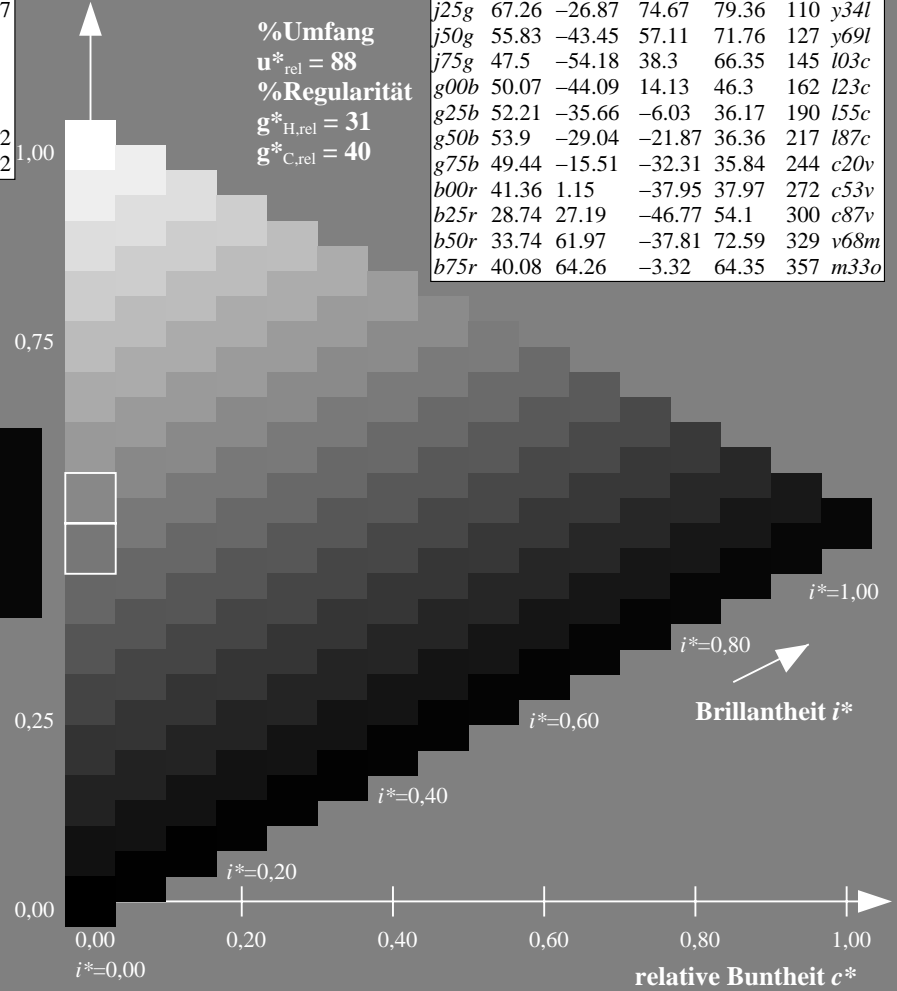
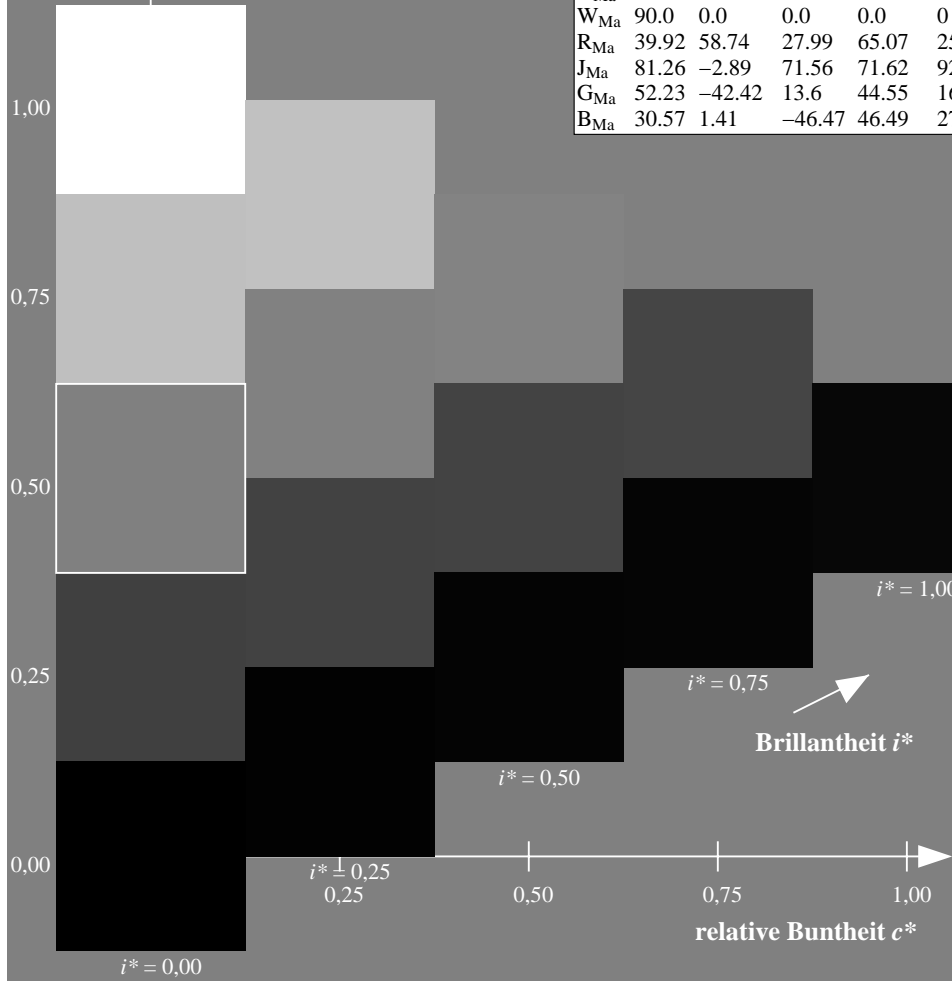
%Regularität

$g^*_{H,rel} = 31$

$g^*_{C,rel} = 40$

FRS15_90a; adaptierte CIELAB-Daten

u^*_e	$L^*=L^*_a$	a^*_a	b^*_a	$C^*_{ab,a}$	$h^*_{ab,a}$	u^*_d
r00j	39.18	56.94	27.13	63.07	25	m81o
r25j	42.41	49.1	44.5	66.26	42	o10y
r50j	52.78	35.22	58.37	68.17	59	o40y
r75j	64.82	19.12	74.47	76.89	76	o69y
j00g	82.06	-3.94	97.52	97.6	92	o98y
j25g	67.26	-26.87	74.67	79.36	110	y34l
j50g	55.83	-43.45	57.11	71.76	127	y69l
j75g	47.5	-54.18	38.3	66.35	145	l03c
g00b	50.07	-44.09	14.13	46.3	162	l23c
g25b	52.21	-35.66	-6.03	36.17	190	l55c
g50b	53.9	-29.04	-21.87	36.36	217	l87c
g75b	49.44	-15.51	-32.31	35.84	244	c20v
b00r	41.36	1.15	-37.95	37.97	272	c53v
b25r	28.74	27.19	-46.77	54.1	300	c87v
b50r	33.74	61.97	-37.81	72.59	329	v68m
b75r	40.08	64.26	-3.32	64.35	357	m33o



Ein und Ausgabe: Farbmetrisches Drucker-Reflektiv-System FRS15_90a für relativen CIELAB-Bunton $h^* = lab^*h^* = h_{ab}/360 = 0.451$

$u^*_e = g00b$

Daten für jede Farbe:

lab^*tch^* und lab^*icu^*

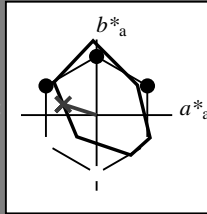
Buntontexte:

$u^*_e = g00b$ $u^*_d = l23c$

Kontrastreduzierungsfaktor:

$c_R = 0.9$

Dreiecks-Helligkeit t^*



FRS15_90a; adaptierte CIELAB-Daten						
u^*_e	$L^*=L^*_a$	a^*_a	b^*_a	$C^*_{ab,a}$	$h^*_{ab,a}$	
O_{Ma}	38.8	53.92	39.68	66.95	36	
Y_{Ma}	82.58	-4.64	98.22	98.33	93	
L_{Ma}	46.95	-56.34	43.46	71.15	142	
C_{Ma}	54.62	-26.2	-28.68	38.85	228	
V_{Ma}	20.01	45.2	-52.87	69.56	311	
M_{Ma}	40.88	70.68	-29.99	76.78	337	
N_{Ma}	15.0	0.0	0.0	0.0	0	
W_{Ma}	90.0	0.0	0.0	0.0	0	
R_{Ma}	39.92	58.74	27.99	65.07	25	
J_{Ma}	81.26	-2.89	71.56	71.62	92	
G_{Ma}	52.23	-42.42	13.6	44.55	162	
B_{Ma}	30.57	1.41	-46.47	46.49	272	

Daten für Maximalfarbe (Ma):

$LAB^*LAB^*_{Ma}: 50 -44 14$

$LAB^*LCH^*_{Ma}: 50 46 162$

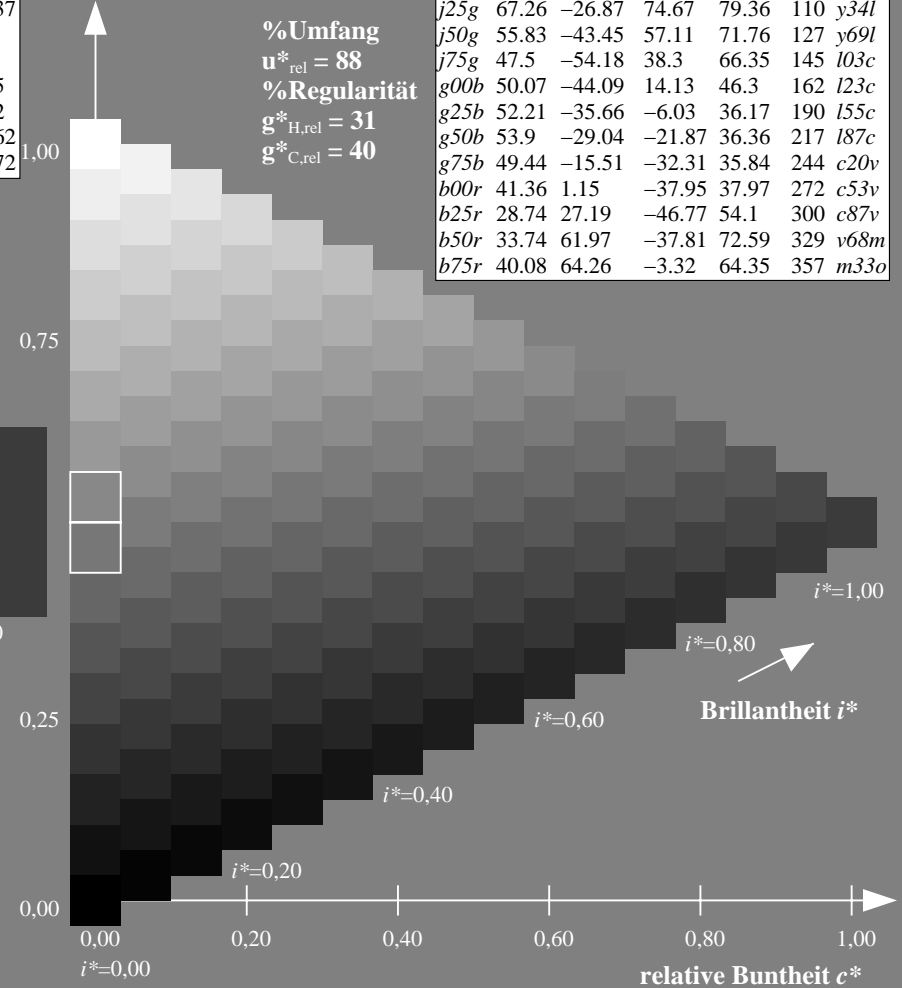
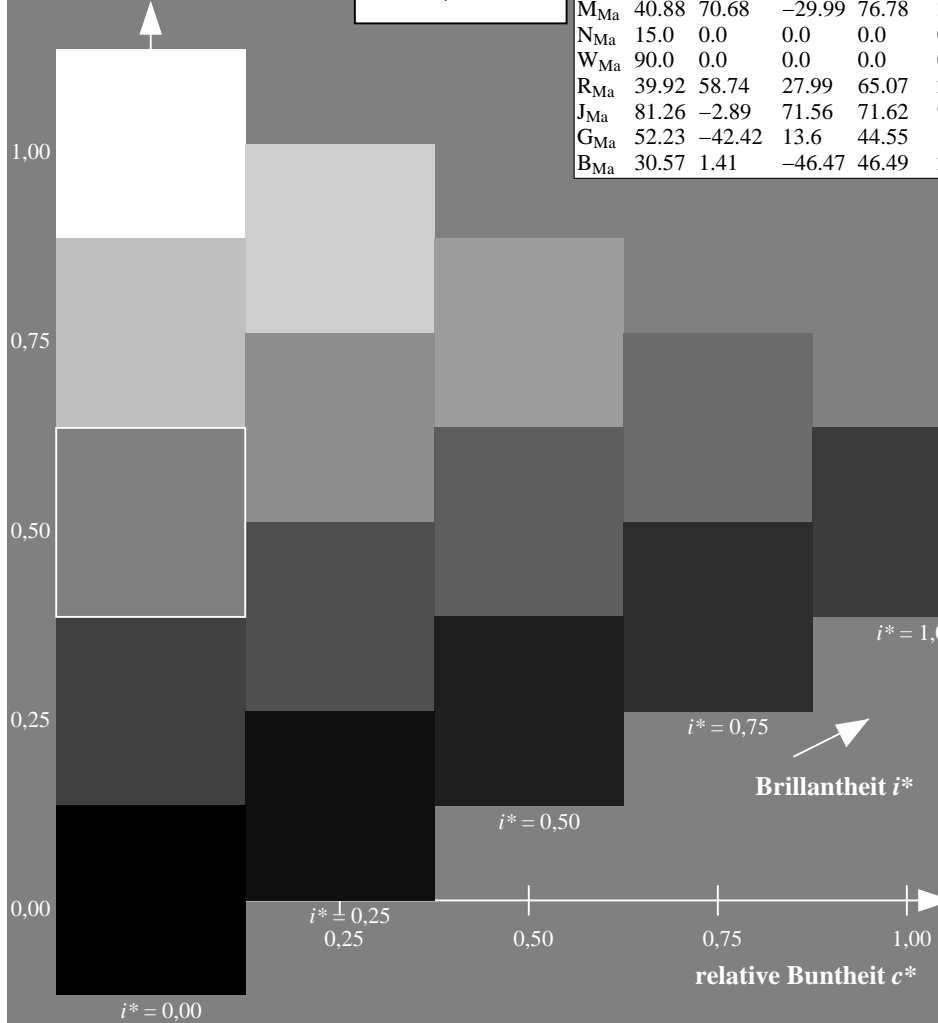
$lab^*rgb^*_{Ma}: 0.0 1.0 0.0$

$lab^*olv^*_{Ma}: 0.0 1.0 0.23$

Dreiecks-Helligkeit t^*

FRS15_90a; adaptierte CIELAB-Daten

u^*_e	$L^*=L^*_a$	a^*_a	b^*_a	$C^*_{ab,a}$	$h^*_{ab,a}$	u^*_d
$r00j$	39.18	56.94	27.13	63.07	25	$m81o$
$r25j$	42.41	49.1	44.5	66.26	42	$o10y$
$r50j$	52.78	35.22	58.37	68.17	59	$o40y$
$r75j$	64.82	19.12	74.47	76.89	76	$o69y$
$j00g$	82.06	-3.94	97.52	97.6	92	$o98y$
$j25g$	67.26	-26.87	74.67	79.36	110	$y34l$
$j50g$	55.83	-43.45	57.11	71.76	127	$y69l$
$j75g$	47.5	-54.18	38.3	66.35	145	$l03c$
$g00b$	50.07	-44.09	14.13	46.3	162	$l23c$
$g25b$	52.21	-35.66	-6.03	36.17	190	$l55c$
$g50b$	53.9	-29.04	-21.87	36.36	217	$l87c$
$g75b$	49.44	-15.51	-32.31	35.84	244	$c20v$
$b00r$	41.36	1.15	-37.95	37.97	272	$c53v$
$b25r$	28.74	27.19	-46.77	54.1	300	$c87v$
$b50r$	33.74	61.97	-37.81	72.59	329	$v68m$
$b75r$	40.08	64.26	-3.32	64.35	357	$m33o$



%Umfang
 $u^*_{rel} = 88$
 %Regularität
 $g^*_{H,rel} = 31$
 $g^*_{C,rel} = 40$

Ein und Ausgabe: Farbmatisches Drucker-Reflektiv-System FRS15_90a für relativen CIELAB-Bunton $h^* = lab^*h^* = h_{ab}/360 = 0.527$

$u^*_e = g25b$

Daten für jede Farbe:

lab^*tch^* und lab^*icu^*

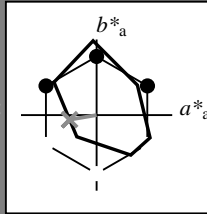
Buntontexte:

$u^*_e = g25b$ $u^*_d = l55c$

Kontrastreduzierungsfaktor:

$c_R = 0.9$

Dreiecks-Helligkeit t^*



FRS15_90a; adaptierte CIELAB-Daten						
u^*_e	$L^*=L^*_a$	a^*_a	b^*_a	$C^*_{ab,a}$	$h^*_{ab,a}$	
O _{Ma}	38.8	53.92	39.68	66.95	36	
Y _{Ma}	82.58	-4.64	98.22	98.33	93	
L _{Ma}	46.95	-56.34	43.46	71.15	142	
C _{Ma}	54.62	-26.2	-28.68	38.85	228	
V _{Ma}	20.01	45.2	-52.87	69.56	311	
M _{Ma}	40.88	70.68	-29.99	76.78	337	
N _{Ma}	15.0	0.0	0.0	0.0	0	
W _{Ma}	90.0	0.0	0.0	0.0	0	
R _{Ma}	39.92	58.74	27.99	65.07	25	
J _{Ma}	81.26	-2.89	71.56	71.62	92	
G _{Ma}	52.23	-42.42	13.6	44.55	162	
B _{Ma}	30.57	1.41	-46.47	46.49	272	

Daten für Maximalfarbe (Ma):

$LAB^*LAB^*_{Ma}: 52 -36 -6$

$LAB^*LCH^*_{Ma}: 52 36 189$

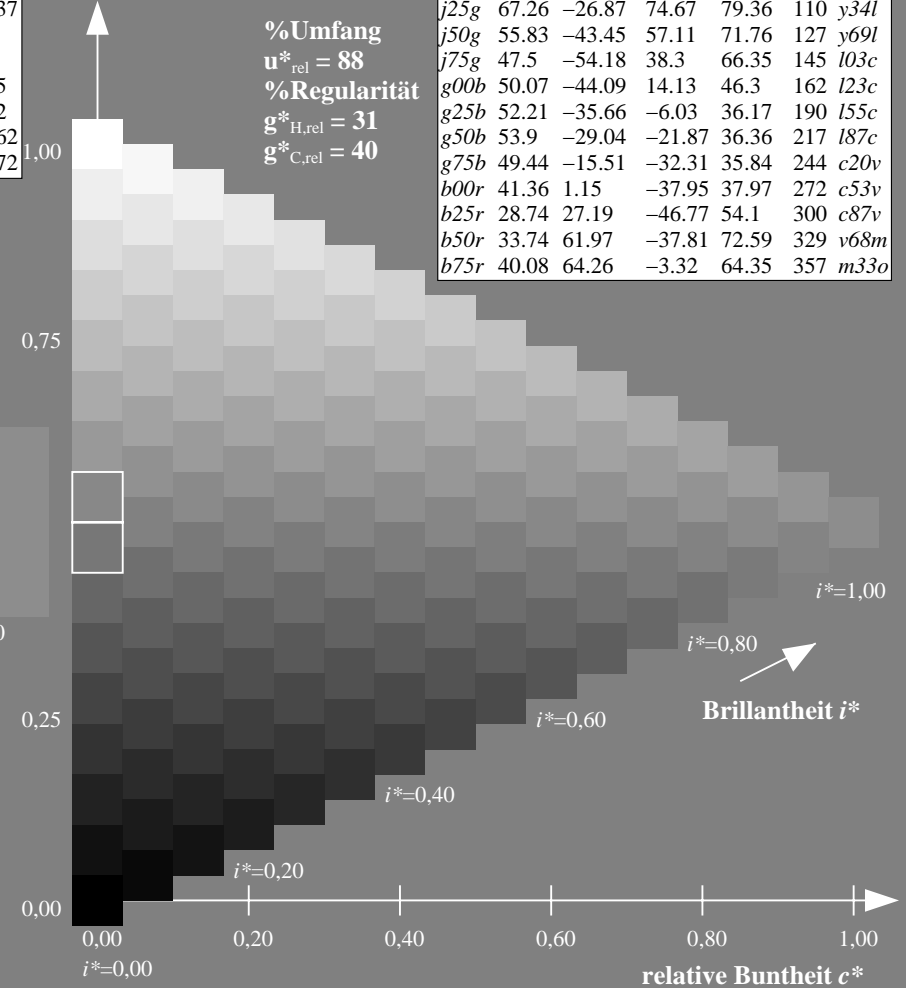
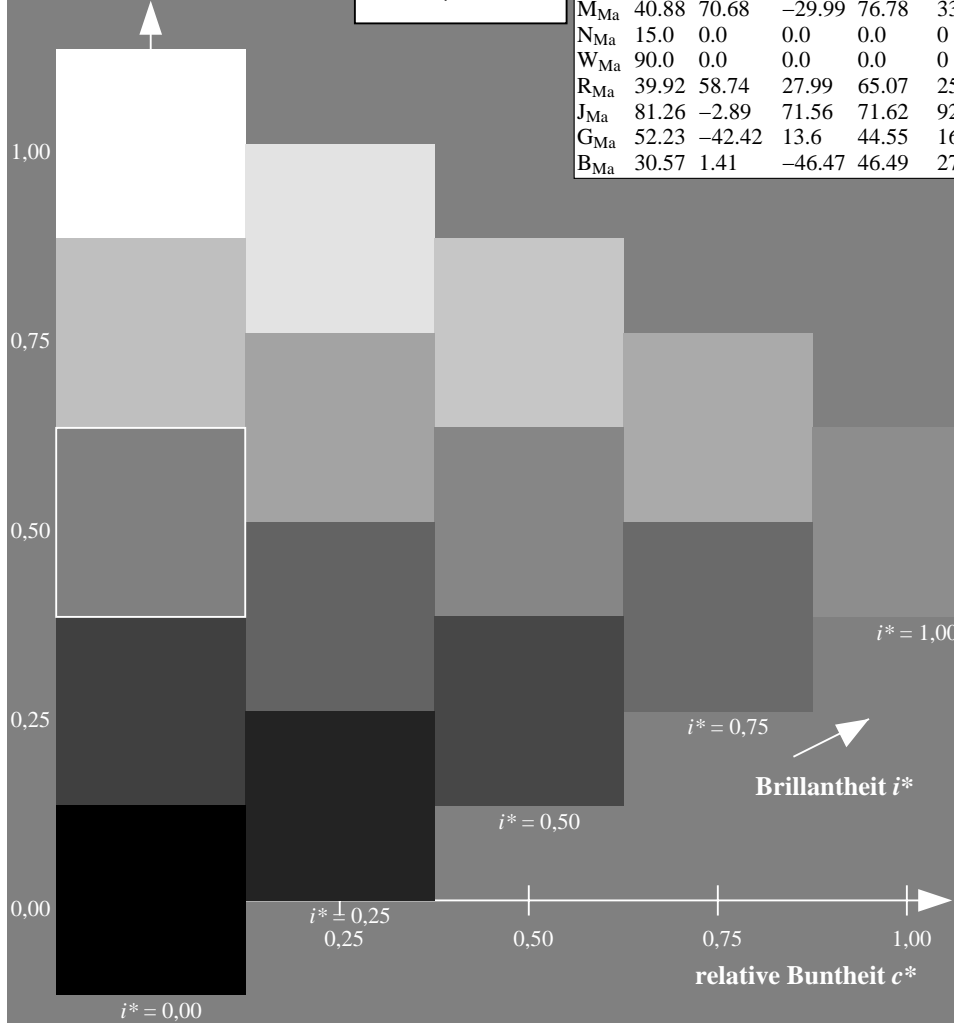
$lab^*rgb^*_{Ma}: 0.0 1.0 0.5$

$lab^*olv^*_{Ma}: 0.0 1.0 0.55$

Dreiecks-Helligkeit t^*

FRS15_90a; adaptierte CIELAB-Daten

u^*_e	$L^*=L^*_a$	a^*_a	b^*_a	$C^*_{ab,a}$	$h^*_{ab,a}$	u^*_d
r00j	39.18	56.94	27.13	63.07	25	m81o
r25j	42.41	49.1	44.5	66.26	42	o10y
r50j	52.78	35.22	58.37	68.17	59	o40y
r75j	64.82	19.12	74.47	76.89	76	o69y
j00g	82.06	-3.94	97.52	97.6	92	o98y
j25g	67.26	-26.87	74.67	79.36	110	y34l
j50g	55.83	-43.45	57.11	71.76	127	y69l
j75g	47.5	-54.18	38.3	66.35	145	l03c
g00b	50.07	-44.09	14.13	46.3	162	l23c
g25b	52.21	-35.66	-6.03	36.17	190	l55c
g50b	53.9	-29.04	-21.87	36.36	217	l87c
g75b	49.44	-15.51	-32.31	35.84	244	c20v
b00r	41.36	1.15	-37.95	37.97	272	c53v
b25r	28.74	27.19	-46.77	54.1	300	c87v
b50r	33.74	61.97	-37.81	72.59	329	v68m
b75r	40.08	64.26	-3.32	64.35	357	m33o



Ein und Ausgabe: Farbmatisches Drucker-Reflektiv-System FRS15_90a für relativen CIELAB-Bunton $h^* = lab^*h^* = h_{ab}/360 = 0.603$

$u^*_e = g50b$

Daten für jede Farbe:

lab^*tch^* und lab^*icu^*

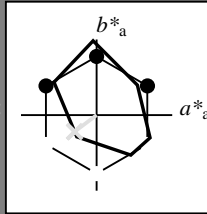
Buntontexte:

$u^*_e = g50b$ $u^*_d = l87c$

Kontrastreduzierungsfaktor:

$c_R = 0.9$

Dreiecks-Helligkeit t^*



FRS15_90a; adaptierte CIELAB-Daten						
u^*_e	$L^*=L^*_a$	a^*_a	b^*_a	$C^*_{ab,a}$	$h^*_{ab,a}$	
O_{Ma}	38.8	53.92	39.68	66.95	36	
Y_{Ma}	82.58	-4.64	98.22	98.33	93	
L_{Ma}	46.95	-56.34	43.46	71.15	142	
C_{Ma}	54.62	-26.2	-28.68	38.85	228	
V_{Ma}	20.01	45.2	-52.87	69.56	311	
M_{Ma}	40.88	70.68	-29.99	76.78	337	
N_{Ma}	15.0	0.0	0.0	0.0	0	
W_{Ma}	90.0	0.0	0.0	0.0	0	
R_{Ma}	39.92	58.74	27.99	65.07	25	
J_{Ma}	81.26	-2.89	71.56	71.62	92	
G_{Ma}	52.23	-42.42	13.6	44.55	162	
B_{Ma}	30.57	1.41	-46.47	46.49	272	

Daten für Maximalfarbe (Ma):

$LAB^*LAB^*_{Ma}: 54 -29 -22$

$LAB^*LCH^*_{Ma}: 54 36 216$

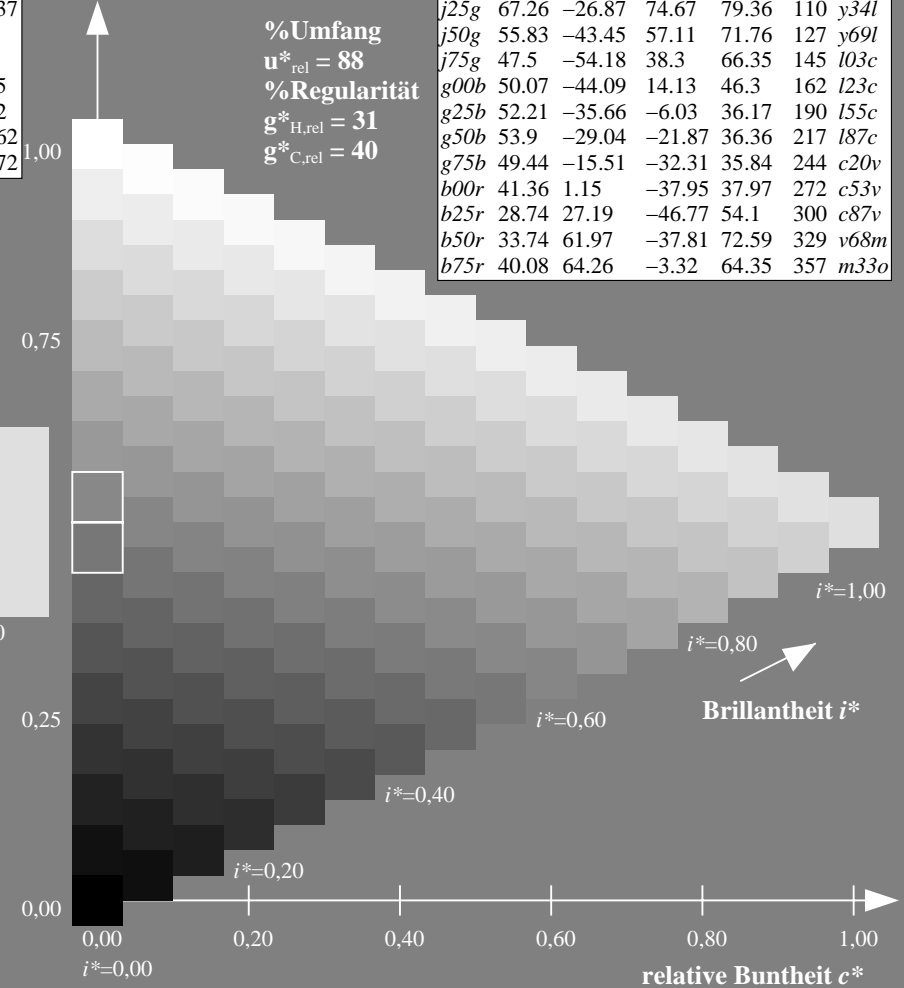
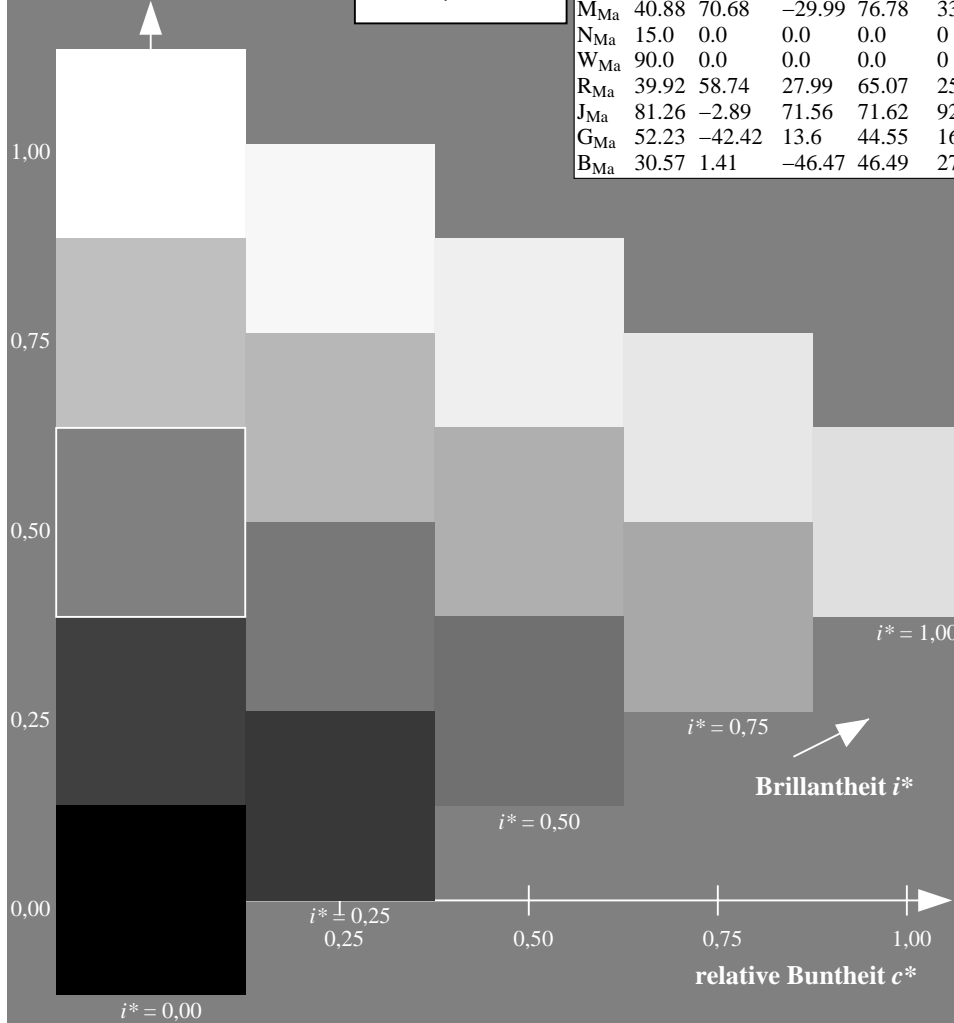
$lab^*rgb^*_{Ma}: 0.0 1.0 1.0$

$lab^*olv^*_{Ma}: 0.0 1.0 0.88$

Dreiecks-Helligkeit t^*

FRS15_90a; adaptierte CIELAB-Daten

u^*_e	$L^*=L^*_a$	a^*_a	b^*_a	$C^*_{ab,a}$	$h^*_{ab,a}$	u^*_d
$r00j$	39.18	56.94	27.13	63.07	25	$m81o$
$r25j$	42.41	49.1	44.5	66.26	42	$o10y$
$r50j$	52.78	35.22	58.37	68.17	59	$o40y$
$r75j$	64.82	19.12	74.47	76.89	76	$o69y$
$j00g$	82.06	-3.94	97.52	97.6	92	$o98y$
$j25g$	67.26	-26.87	74.67	79.36	110	$y34l$
$j50g$	55.83	-43.45	57.11	71.76	127	$y69l$
$j75g$	47.5	-54.18	38.3	66.35	145	$l03c$
$g00b$	50.07	-44.09	14.13	46.3	162	$l23c$
$g25b$	52.21	-35.66	-6.03	36.17	190	$l55c$
$g50b$	53.9	-29.04	-21.87	36.36	217	$l87c$
$g75b$	49.44	-15.51	-32.31	35.84	244	$c20v$
$b00r$	41.36	1.15	-37.95	37.97	272	$c53v$
$b25r$	28.74	27.19	-46.77	54.1	300	$c87v$
$b50r$	33.74	61.97	-37.81	72.59	329	$v68m$
$b75r$	40.08	64.26	-3.32	64.35	357	$m33o$



Ein und Ausgabe: Farbmetrisches Drucker-Reflektiv-System FRS15_90a für relativen CIELAB-Bunton $h^* = lab^*h^* = h_{ab}/360 = 0.679$

$u^*_e = g75b$

Daten für jede Farbe:

lab^*tch^* und lab^*icu^*

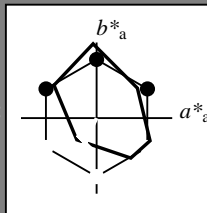
Buntontexte:

$u^*_e = g75b$ $u^*_d = c20v$

Kontrastreduzierungsfaktor:

$c_R = 0.9$

Dreiecks-Helligkeit t^*



FRS15_90a; adaptierte CIELAB-Daten						
u^*_e	$L^*=L^*_a$	a^*_a	b^*_a	$C^*_{ab,a}$	$h^*_{ab,a}$	
O _{Ma}	38.8	53.92	39.68	66.95	36	
Y _{Ma}	82.58	-4.64	98.22	98.33	93	
L _{Ma}	46.95	-56.34	43.46	71.15	142	
C _{Ma}	54.62	-26.2	-28.68	38.85	228	
V _{Ma}	20.01	45.2	-52.87	69.56	311	
M _{Ma}	40.88	70.68	-29.99	76.78	337	
N _{Ma}	15.0	0.0	0.0	0.0	0	
W _{Ma}	90.0	0.0	0.0	0.0	0	
R _{Ma}	39.92	58.74	27.99	65.07	25	
J _{Ma}	81.26	-2.89	71.56	71.62	92	
G _{Ma}	52.23	-42.42	13.6	44.55	162	
B _{Ma}	30.57	1.41	-46.47	46.49	272	

Daten für Maximalfarbe (Ma):

$LAB^*LAB^*_{Ma}$: 49 -16 -32

$LAB^*LCH^*_{Ma}$: 49 36 244

$lab^*rgb^*_{Ma}$: 0.0 0.5 1.0

$lab^*olv^*_{Ma}$: 0.0 0.8 1.0

Dreiecks-Helligkeit t^*

%Umfang

$u^*_{rel} = 88$

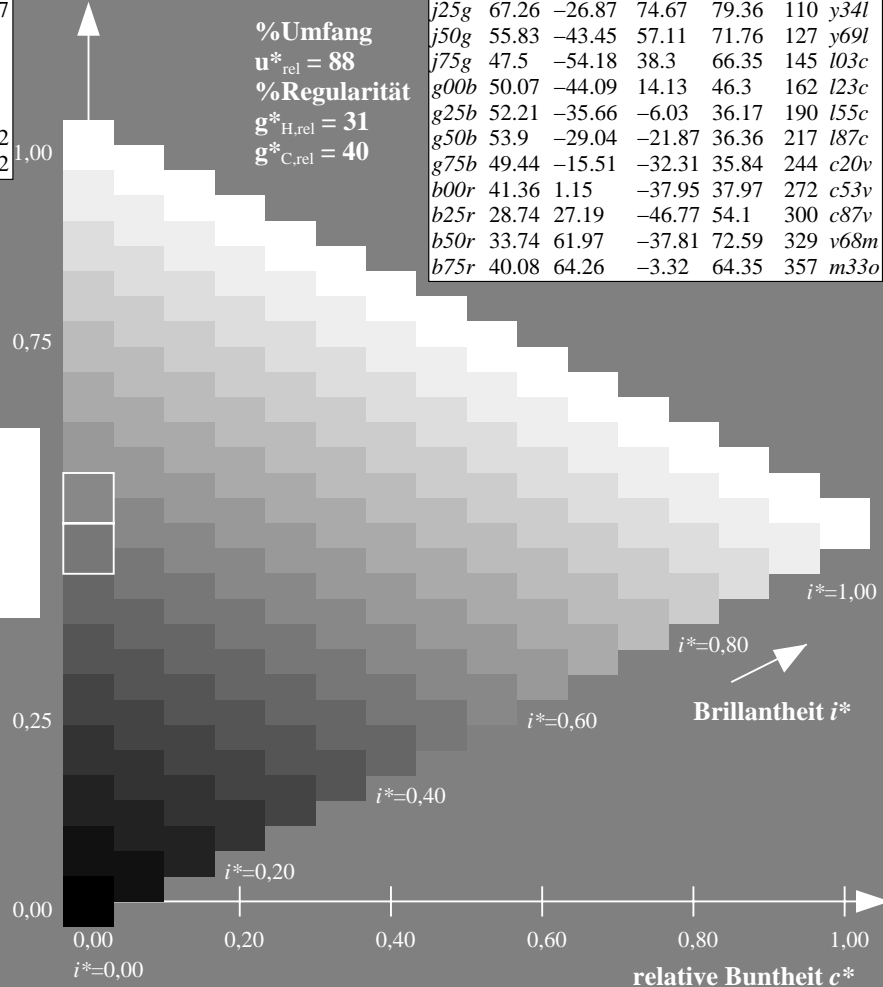
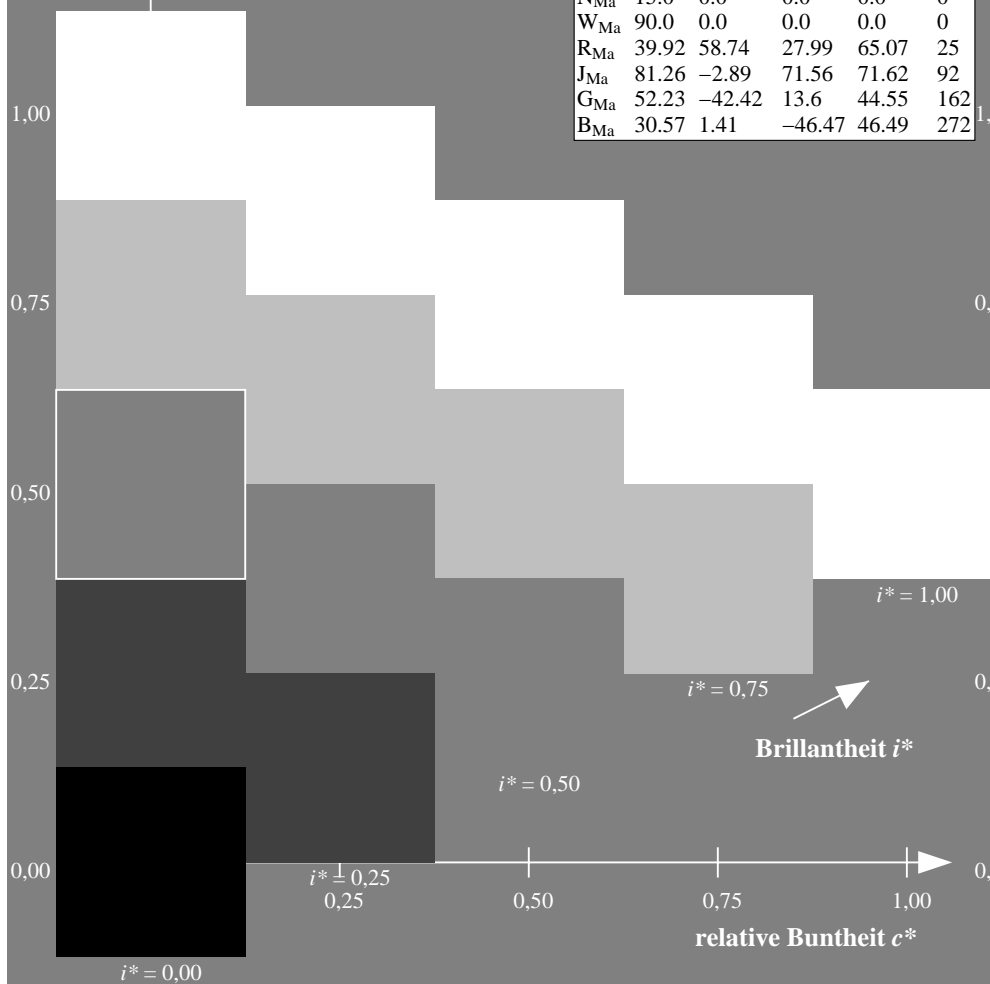
%Regularität

$g^*_{H,rel} = 31$

$g^*_{C,rel} = 40$

FRS15_90a; adaptierte CIELAB-Daten

u^*_e	$L^*=L^*_a$	a^*_a	b^*_a	$C^*_{ab,a}$	$h^*_{ab,a}$	u^*_d
r00j	39.18	56.94	27.13	63.07	25	m81o
r25j	42.41	49.1	44.5	66.26	42	o10y
r50j	52.78	35.22	58.37	68.17	59	o40y
r75j	64.82	19.12	74.47	76.89	76	o69y
j00g	82.06	-3.94	97.52	97.6	92	o98y
j25g	67.26	-26.87	74.67	79.36	110	y34l
j50g	55.83	-43.45	57.11	71.76	127	y69l
j75g	47.5	-54.18	38.3	66.35	145	l03c
g00b	50.07	-44.09	14.13	46.3	162	l23c
g25b	52.21	-35.66	-6.03	36.17	190	l55c
g50b	53.9	-29.04	-21.87	36.36	217	l87c
g75b	49.44	-15.51	-32.31	35.84	244	c20v
b00r	41.36	1.15	-37.95	37.97	272	c53v
b25r	28.74	27.19	-46.77	54.1	300	c87v
b50r	33.74	61.97	-37.81	72.59	329	v68m
b75r	40.08	64.26	-3.32	64.35	357	m33o



Ein und Ausgabe: Farbmetrisches Drucker-Reflektiv-System FRS15_90a für relativen CIELAB-Bunton $h^* = lab^*h^* = h_{ab}/360 = 0.755$

$u^*_e = b00r$

Daten für jede Farbe:

lab^*tch^* und lab^*icu^*

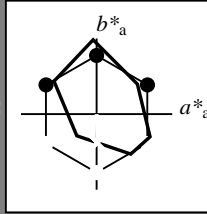
Buntontexte:

$u^*_e = b00r$ $u^*_d = c53v$

Kontrastreduzierungsfaktor:

$c_R = 0.9$

Dreiecks-Helligkeit t^*



FRS15_90a; adaptierte CIELAB-Daten						
u^*_e	$L^*=L^*_a$	a^*_a	b^*_a	$C^*_{ab,a}$	$h^*_{ab,a}$	
O _{Ma}	38.8	53.92	39.68	66.95	36	
Y _{Ma}	82.58	-4.64	98.22	98.33	93	
L _{Ma}	46.95	-56.34	43.46	71.15	142	
C _{Ma}	54.62	-26.2	-28.68	38.85	228	
V _{Ma}	20.01	45.2	-52.87	69.56	311	
M _{Ma}	40.88	70.68	-29.99	76.78	337	
N _{Ma}	15.0	0.0	0.0	0.0	0	
W _{Ma}	90.0	0.0	0.0	0.0	0	
R _{Ma}	39.92	58.74	27.99	65.07	25	
J _{Ma}	81.26	-2.89	71.56	71.62	92	
G _{Ma}	52.23	-42.42	13.6	44.55	162	
B _{Ma}	30.57	1.41	-46.47	46.49	272	

Daten für Maximalfarbe (Ma):

$LAB^*LAB^*_{Ma}$: 41 1 -38

$LAB^*LCH^*_{Ma}$: 41 38 271

$lab^*rgb^*_{Ma}$: 0.0 0.0 1.0

$lab^*olv^*_{Ma}$: 0.0 0.47 1.0

Dreiecks-Helligkeit t^*

%Umfang

$u^*_{rel} = 88$

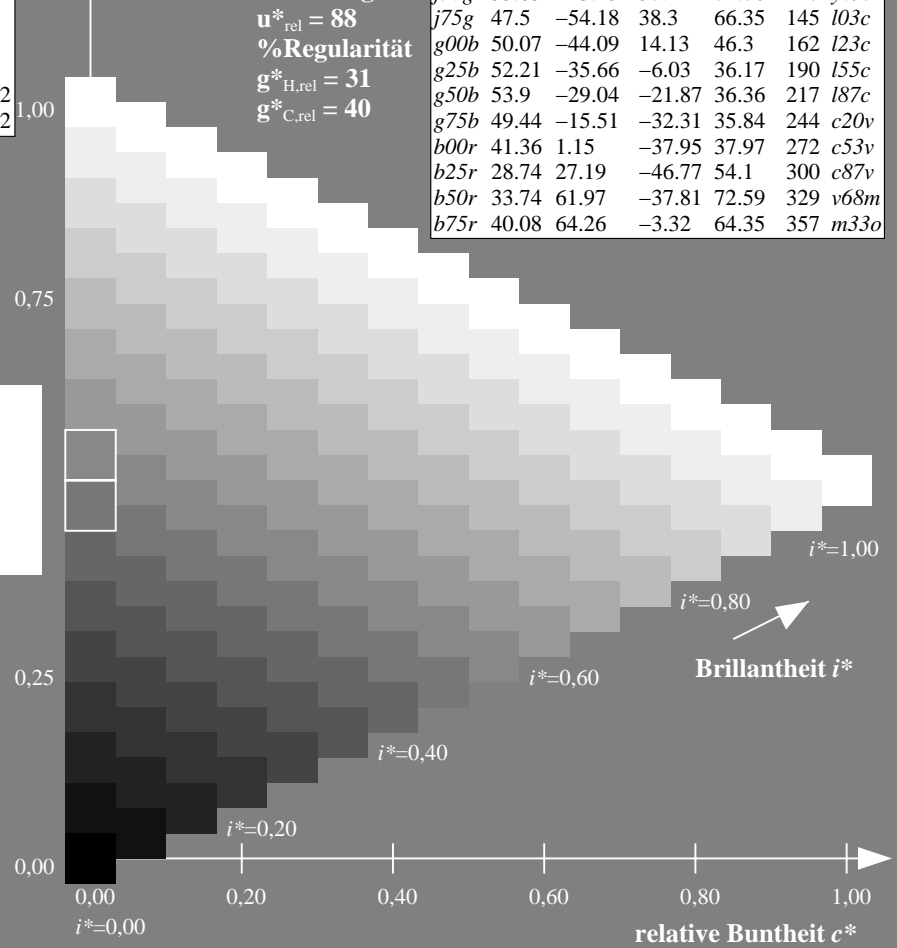
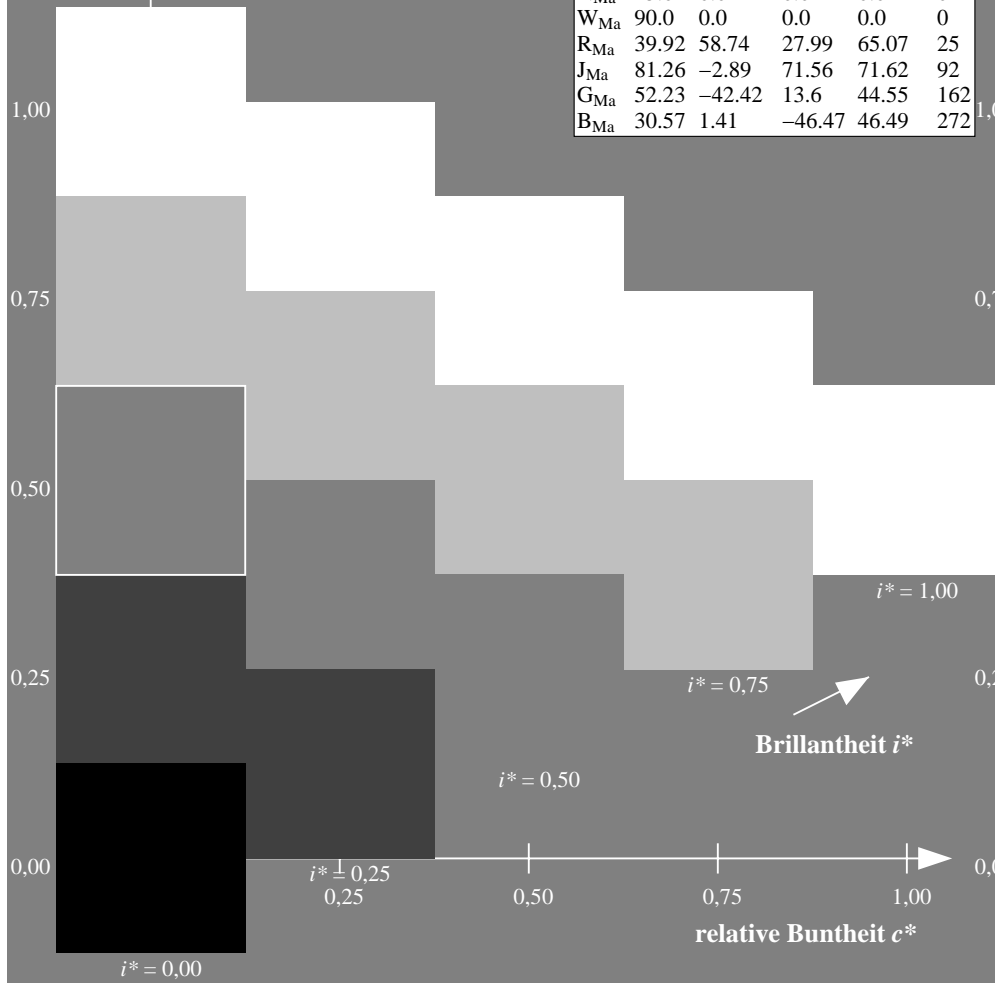
%Regularität

$g^*_{H,rel} = 31$

$g^*_{C,rel} = 40$

FRS15_90a; adaptierte CIELAB-Daten

u^*_e	$L^*=L^*_a$	a^*_a	b^*_a	$C^*_{ab,a}$	$h^*_{ab,a}$	u^*_d
r00j	39.18	56.94	27.13	63.07	25	m81o
r25j	42.41	49.1	44.5	66.26	42	o10y
r50j	52.78	35.22	58.37	68.17	59	o40y
r75j	64.82	19.12	74.47	76.89	76	o69y
j00g	82.06	-3.94	97.52	97.6	92	o98y
j25g	67.26	-26.87	74.67	79.36	110	y34l
j50g	55.83	-43.45	57.11	71.76	127	y69l
j75g	47.5	-54.18	38.3	66.35	145	l03c
g00b	50.07	-44.09	14.13	46.3	162	l23c
g25b	52.21	-35.66	-6.03	36.17	190	l55c
g50b	53.9	-29.04	-21.87	36.36	217	l87c
g75b	49.44	-15.51	-32.31	35.84	244	c20v
b00r	41.36	1.15	-37.95	37.97	272	c53v
b25r	28.74	27.19	-46.77	54.1	300	c87v
b50r	33.74	61.97	-37.81	72.59	329	v68m
b75r	40.08	64.26	-3.32	64.35	357	m33o



Ein und Ausgabe: Farbmetrisches Drucker-Reflektiv-System FRS15_90a für relativen CIELAB-Bunton $h^* = lab^*h^* = h_{ab}/360 = 0.834$

$u^*_e = b25r$

Daten für jede Farbe:

lab^*tch^* und lab^*icu^*

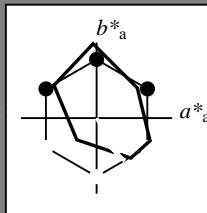
Buntontexte:

$u^*_e = b25r$ $u^*_d = c87v$

Kontrastreduzierungsfaktor:

$c_R = 0.9$

Dreiecks-Helligkeit t^*



FRS15_90a; adaptierte CIELAB-Daten						
u^*_e	$L^*=L^*_a$	a^*_a	b^*_a	$C^*_{ab,a}$	$h^*_{ab,a}$	
O _{Ma}	38.8	53.92	39.68	66.95	36	
Y _{Ma}	82.58	-4.64	98.22	98.33	93	
L _{Ma}	46.95	-56.34	43.46	71.15	142	
C _{Ma}	54.62	-26.2	-28.68	38.85	228	
V _{Ma}	20.01	45.2	-52.87	69.56	311	
M _{Ma}	40.88	70.68	-29.99	76.78	337	
N _{Ma}	15.0	0.0	0.0	0.0	0	
W _{Ma}	90.0	0.0	0.0	0.0	0	
R _{Ma}	39.92	58.74	27.99	65.07	25	
J _{Ma}	81.26	-2.89	71.56	71.62	92	
G _{Ma}	52.23	-42.42	13.6	44.55	162	
B _{Ma}	30.57	1.41	-46.47	46.49	272	

Daten für Maximalfarbe (Ma):

$LAB^*LAB^*_{Ma}$: 29 27 -47

$LAB^*LCH^*_{Ma}$: 29 54 300

$lab^*rgb^*_{Ma}$: 0.5 0.0 1.0

$lab^*olv^*_{Ma}$: 0.0 0.12 1.0

Dreiecks-Helligkeit t^*

%Umfang

$u^*_{rel} = 88$

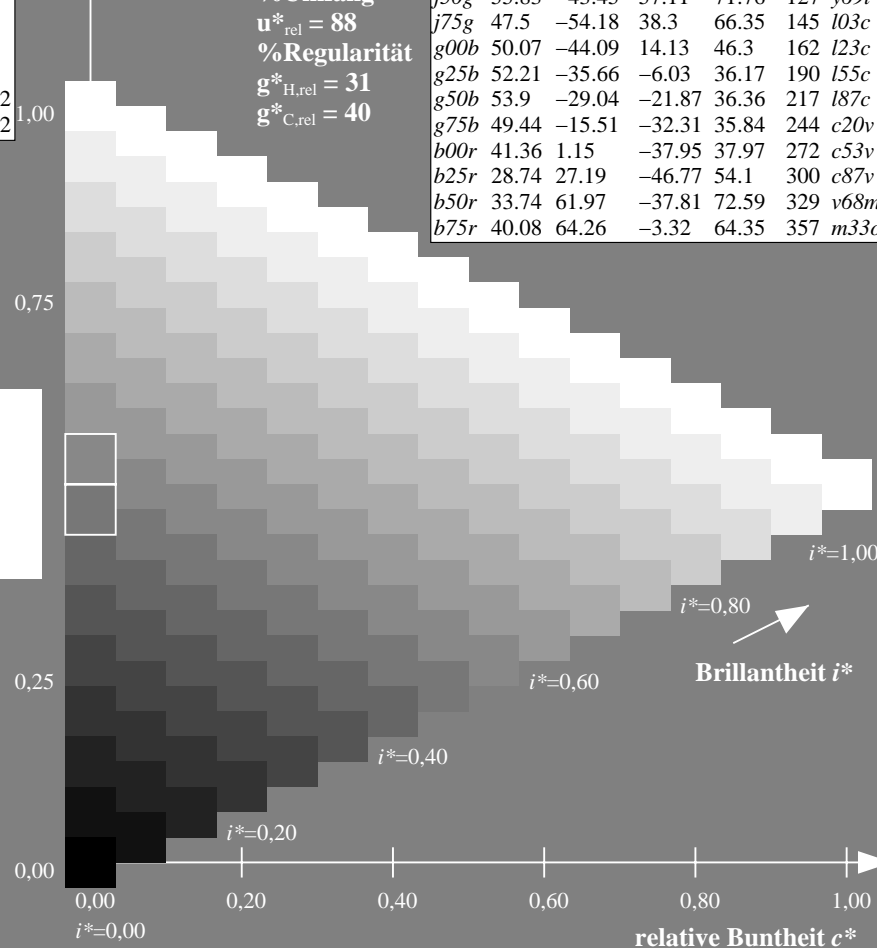
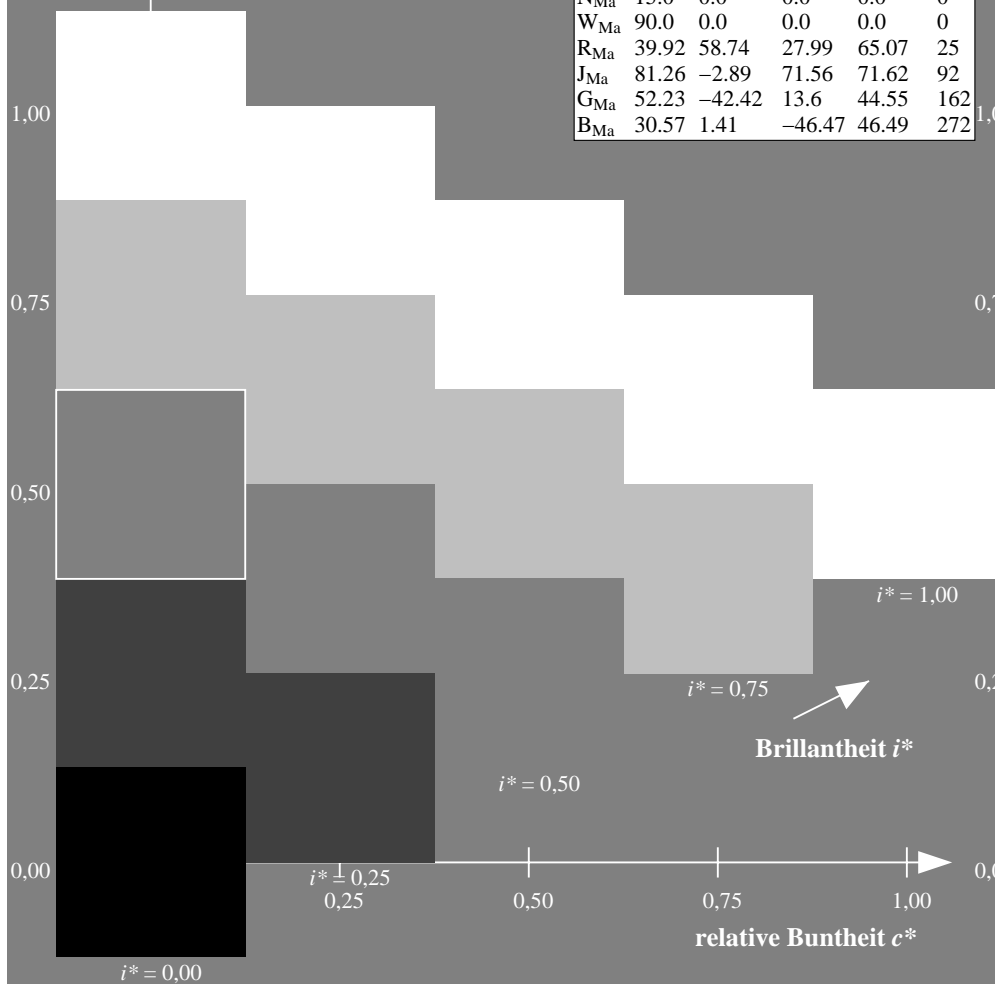
%Regularität

$g^*_{H,rel} = 31$

$g^*_{C,rel} = 40$

FRS15_90a; adaptierte CIELAB-Daten

u^*_e	$L^*=L^*_a$	a^*_a	b^*_a	$C^*_{ab,a}$	$h^*_{ab,a}$	u^*_d
r00j	39.18	56.94	27.13	63.07	25	m81o
r25j	42.41	49.1	44.5	66.26	42	o10y
r50j	52.78	35.22	58.37	68.17	59	o40y
r75j	64.82	19.12	74.47	76.89	76	o69y
j00g	82.06	-3.94	97.52	97.6	92	o98y
j25g	67.26	-26.87	74.67	79.36	110	y34l
j50g	55.83	-43.45	57.11	71.76	127	y69l
j75g	47.5	-54.18	38.3	66.35	145	l03c
g00b	50.07	-44.09	14.13	46.3	162	l23c
g25b	52.21	-35.66	-6.03	36.17	190	l55c
g50b	53.9	-29.04	-21.87	36.36	217	l87c
g75b	49.44	-15.51	-32.31	35.84	244	c20v
b00r	41.36	1.15	-37.95	37.97	272	c53v
b25r	28.74	27.19	-46.77	54.1	300	c87v
b50r	33.74	61.97	-37.81	72.59	329	v68m
b75r	40.08	64.26	-3.32	64.35	357	m33o



Ein und Ausgabe: Farbmatisches Drucker-Reflektiv-System FRS15_90a für relativen CIELAB-Bunton $h^* = lab^*h^* = h_{ab}/360 = 0.913$

$u^*_e = b50r$

Daten für jede Farbe:

lab^*tch^* und lab^*icu^*

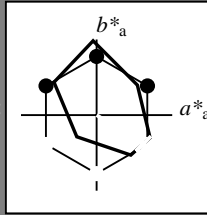
Buntontexte:

$u^*_e = b50r$ $u^*_d = v68m$

Kontrastreduzierungsfaktor:

$c_R = 0.9$

Dreiecks-Helligkeit t^*



FRS15_90a; adaptierte CIELAB-Daten						
u^*_e	$L^*=L^*_a$	a^*_a	b^*_a	$C^*_{ab,a}$	$h^*_{ab,a}$	
O _{Ma}	38.8	53.92	39.68	66.95	36	
Y _{Ma}	82.58	-4.64	98.22	98.33	93	
L _{Ma}	46.95	-56.34	43.46	71.15	142	
C _{Ma}	54.62	-26.2	-28.68	38.85	228	
V _{Ma}	20.01	45.2	-52.87	69.56	311	
M _{Ma}	40.88	70.68	-29.99	76.78	337	
N _{Ma}	15.0	0.0	0.0	0.0	0	
W _{Ma}	90.0	0.0	0.0	0.0	0	
R _{Ma}	39.92	58.74	27.99	65.07	25	
J _{Ma}	81.26	-2.89	71.56	71.62	92	
G _{Ma}	52.23	-42.42	13.6	44.55	162	
B _{Ma}	30.57	1.41	-46.47	46.49	272	

Daten für Maximalfarbe (Ma):

$LAB^*LAB^*_{Ma}$: 34 62 -38

$LAB^*LCH^*_{Ma}$: 34 73 328

$lab^*rgb^*_{Ma}$: 1.0 0.0 1.0

$lab^*olv^*_{Ma}$: 0.68 0.0 1.0

Dreiecks-Helligkeit t^*

%Umfang

$u^*_{rel} = 88$

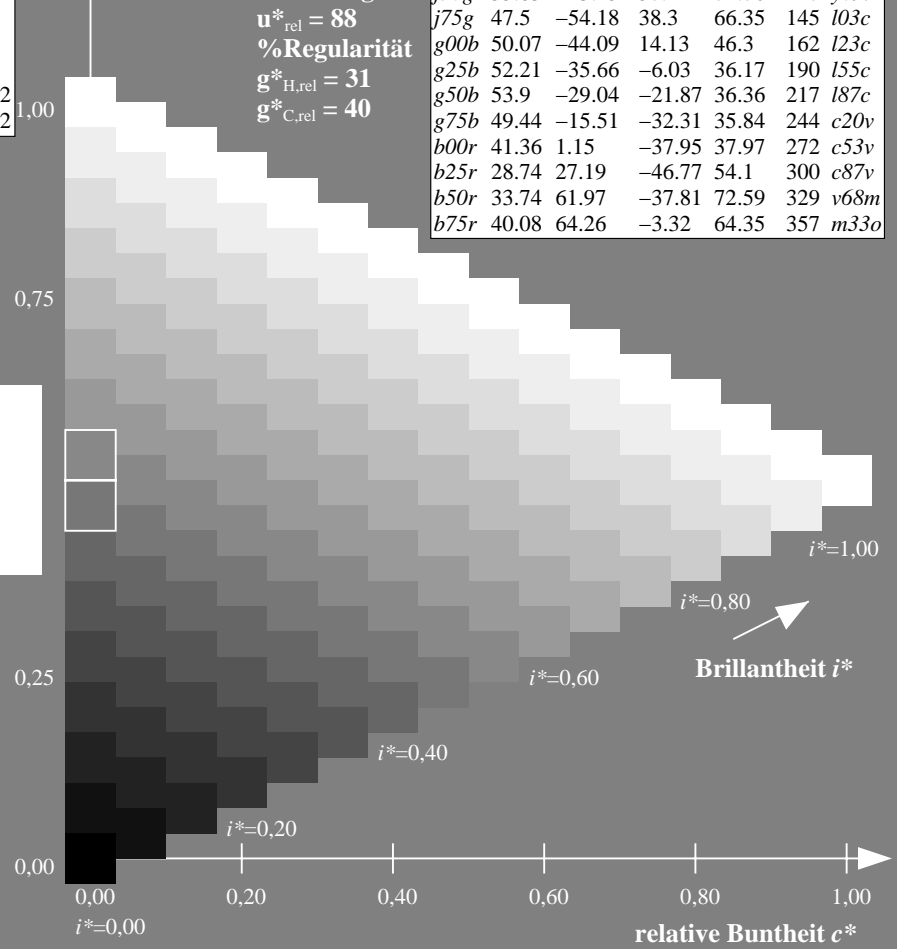
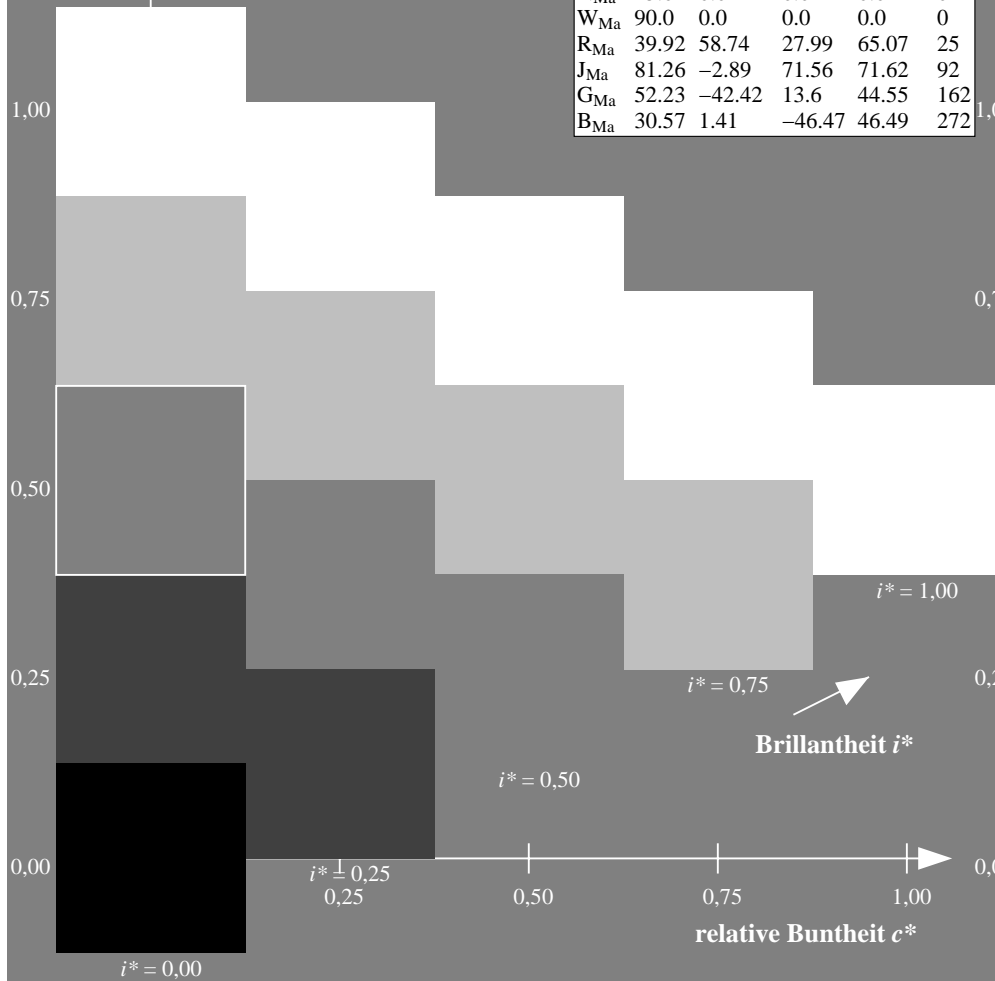
%Regularität

$g^*_{H,rel} = 31$

$g^*_{C,rel} = 40$

FRS15_90a; adaptierte CIELAB-Daten

u^*_e	$L^*=L^*_a$	a^*_a	b^*_a	$C^*_{ab,a}$	$h^*_{ab,a}$	u^*_d
r00j	39.18	56.94	27.13	63.07	25	m81o
r25j	42.41	49.1	44.5	66.26	42	o10y
r50j	52.78	35.22	58.37	68.17	59	o40y
r75j	64.82	19.12	74.47	76.89	76	o69y
j00g	82.06	-3.94	97.52	97.6	92	o98y
j25g	67.26	-26.87	74.67	79.36	110	y34l
j50g	55.83	-43.45	57.11	71.76	127	y69l
j75g	47.5	-54.18	38.3	66.35	145	l03c
g00b	50.07	-44.09	14.13	46.3	162	l23c
g25b	52.21	-35.66	-6.03	36.17	190	l55c
g50b	53.9	-29.04	-21.87	36.36	217	l87c
g75b	49.44	-15.51	-32.31	35.84	244	c20v
b00r	41.36	1.15	-37.95	37.97	272	c53v
b25r	28.74	27.19	-46.77	54.1	300	c87v
b50r	33.74	61.97	-37.81	72.59	329	v68m
b75r	40.08	64.26	-3.32	64.35	357	m33o



Ein und Ausgabe: Farbmatisches Drucker-Reflektiv-System FRS15_90a für relativen CIELAB-Bunton $h^* = lab^*h^* = h_{ab}/360 = 0.992$

$u^*_e = b75r$

Daten für jede Farbe:

lab^*tch^* und lab^*icu^*

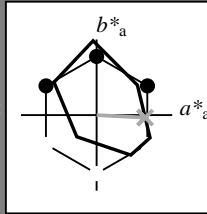
Buntontexte:

$u^*_e = b75r$ $u^*_d = m33o$

Kontrastreduzierungsfaktor:

$c_R = 0.9$

Dreiecks-Helligkeit t^*



FRS15_90a; adaptierte CIELAB-Daten						
u^*_e	$L^*=L^*_a$	a^*_a	b^*_a	$C^*_{ab,a}$	$h^*_{ab,a}$	
O _{Ma}	38.8	53.92	39.68	66.95	36	
Y _{Ma}	82.58	-4.64	98.22	98.33	93	
L _{Ma}	46.95	-56.34	43.46	71.15	142	
C _{Ma}	54.62	-26.2	-28.68	38.85	228	
V _{Ma}	20.01	45.2	-52.87	69.56	311	
M _{Ma}	40.88	70.68	-29.99	76.78	337	
N _{Ma}	15.0	0.0	0.0	0.0	0	
W _{Ma}	90.0	0.0	0.0	0.0	0	
R _{Ma}	39.92	58.74	27.99	65.07	25	
J _{Ma}	81.26	-2.89	71.56	71.62	92	
G _{Ma}	52.23	-42.42	13.6	44.55	162	
B _{Ma}	30.57	1.41	-46.47	46.49	272	

Daten für Maximalfarbe (Ma):

$LAB^*LAB^*_{Ma}: 40 \ 64 \ -3$

$LAB^*LCH^*_{Ma}: 40 \ 64 \ 357$

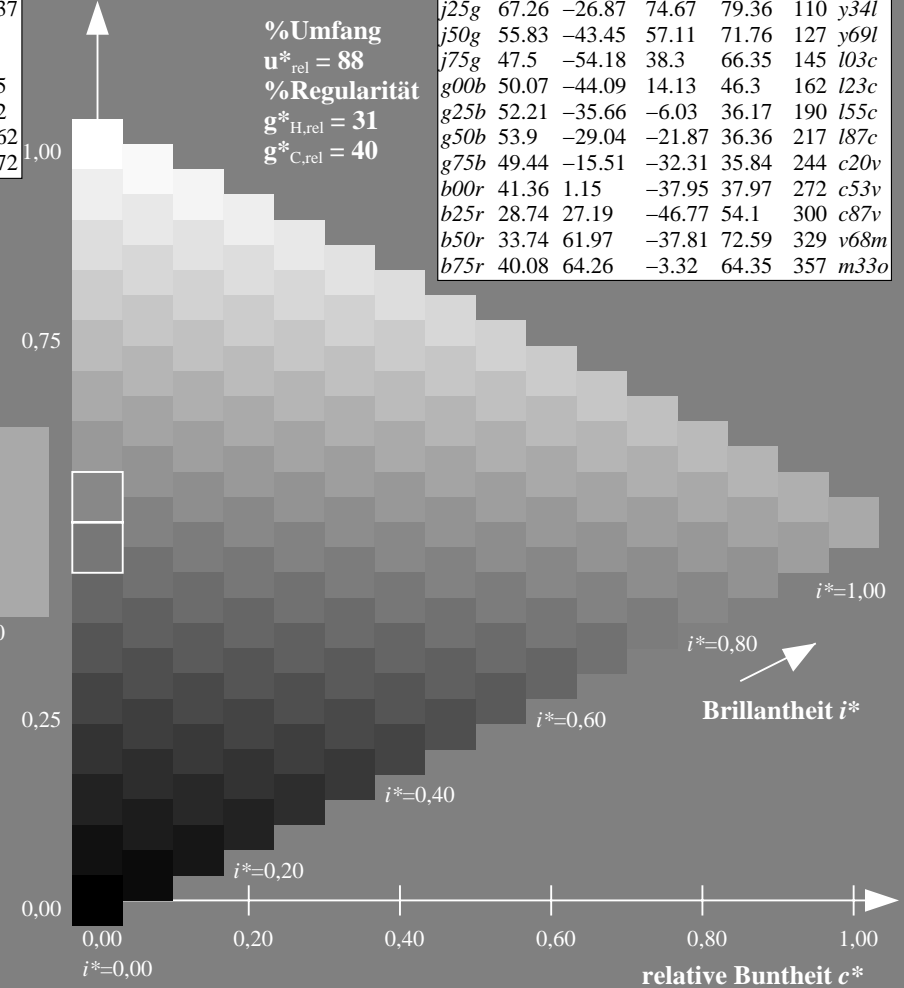
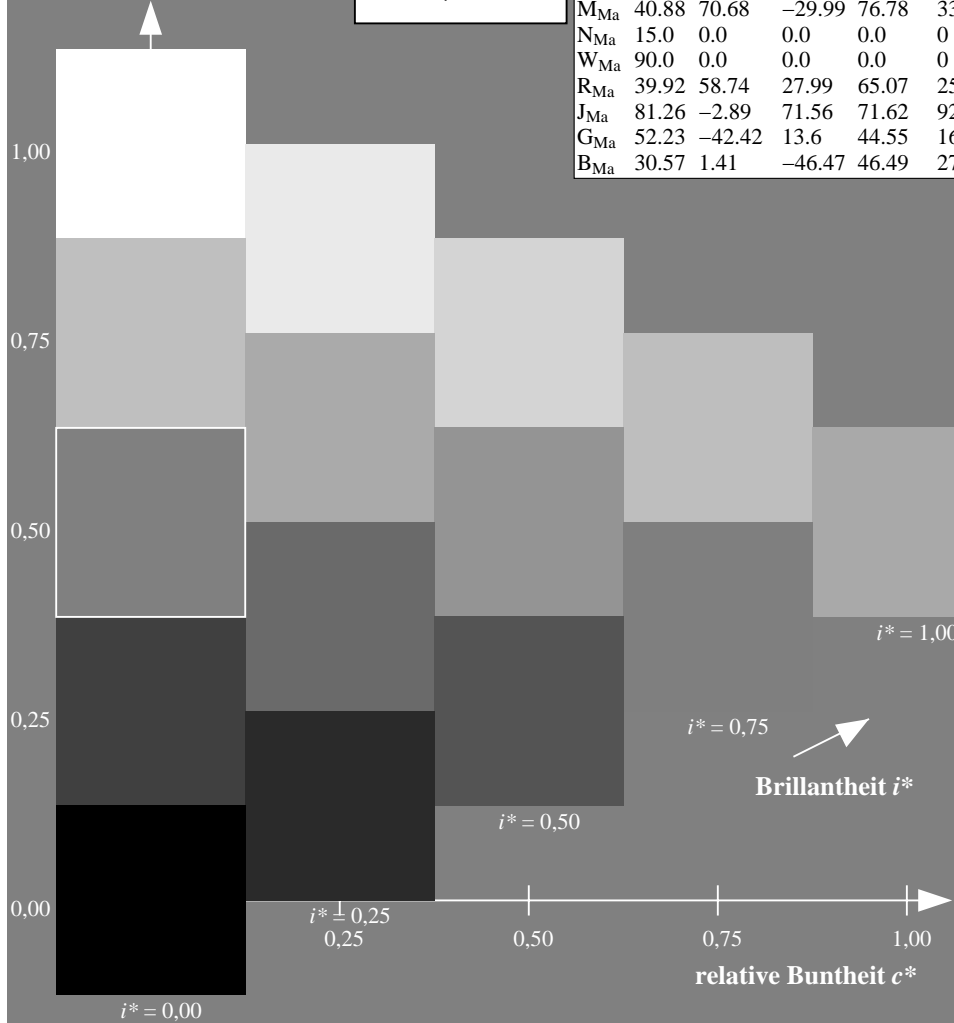
$lab^*rgb^*_{Ma}: 1.0 \ 0.0 \ 0.5$

$lab^*olv^*_{Ma}: 1.0 \ 0.0 \ 0.66$

Dreiecks-Helligkeit t^*

FRS15_90a; adaptierte CIELAB-Daten

u^*_e	$L^*=L^*_a$	a^*_a	b^*_a	$C^*_{ab,a}$	$h^*_{ab,a}$	u^*_d
r00j	39.18	56.94	27.13	63.07	25	m81o
r25j	42.41	49.1	44.5	66.26	42	o10y
r50j	52.78	35.22	58.37	68.17	59	o40y
r75j	64.82	19.12	74.47	76.89	76	o69y
j00g	82.06	-3.94	97.52	97.6	92	o98y
j25g	67.26	-26.87	74.67	79.36	110	y34l
j50g	55.83	-43.45	57.11	71.76	127	y69l
j75g	47.5	-54.18	38.3	66.35	145	l03c
g00b	50.07	-44.09	14.13	46.3	162	l23c
g25b	52.21	-35.66	-6.03	36.17	190	l55c
g50b	53.9	-29.04	-21.87	36.36	217	l87c
g75b	49.44	-15.51	-32.31	35.84	244	c20v
b00r	41.36	1.15	-37.95	37.97	272	c53v
b25r	28.74	27.19	-46.77	54.1	300	c87v
b50r	33.74	61.97	-37.81	72.59	329	v68m
b75r	40.08	64.26	-3.32	64.35	357	m33o



Schwarz-Separation leer

Schwarz-Separation leer

Schwarz-Separation leer

Schwarz-Separation leer

Schwarz-Separation leer

Schwarz-Separation leer

Schwarz-Separation leer

Schwarz-Separation leer

Schwarz-Separation leer

Schwarz-Separation leer

Schwarz-Separation leer

Schwarz-Separation leer

Schwarz-Separation leer

Schwarz-Separation leer

Schwarz-Separation leer

Schwarz-Separation leer

Schwarz-Separation leer

Schwarz-Separation leer

Ein und Ausgabe:
 Farbmetrisches Drucker-Reflektiv-System FRS15_90a

Daten für jede Farbe:

u^*_e und Nummer $Nr. = 00 \dots 15$

Elementar-Bunttextext:

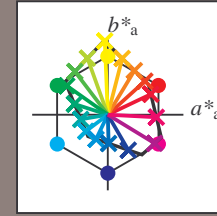
$u^*_e = 16$ Bunttoene $r00j, r25j, \dots, b75r$

Kontrastreduzierungsfaktor:

$c_R = 0.9$

FRS15_90a; adaptierte CIELAB-Daten

u^*_e	$L^*=L^*_a$	a^*_a	b^*_a	$C^*_{ab,a}$	$h^*_{ab,a}$	u^*_d
r00j	39.18	56.94	27.13	63.07	25	m81o
r25j	42.41	49.1	44.5	66.26	42	o10y
r50j	52.78	35.22	58.37	68.17	59	o40y
r75j	64.82	19.12	74.47	76.89	76	o69y
j00g	82.06	-3.94	97.52	97.6	92	o98y
j25g	67.26	-26.87	74.67	79.36	110	y34l
j50g	55.83	-43.45	57.11	71.76	127	y69l
j75g	47.5	-54.18	38.3	66.35	145	l03c
g00b	50.07	-44.09	14.13	46.3	162	l23c
g25b	52.21	-35.66	-6.03	36.17	190	l55c
g50b	53.9	-29.04	-21.87	36.36	217	l87c
g75b	49.44	-15.51	-32.31	35.84	244	c20v
b00r	41.36	1.15	-37.95	37.97	272	c53v
b25r	28.74	27.19	-46.77	54.1	300	c87v
b50r	33.74	61.97	-37.81	72.59	329	v68m
b75r	40.08	64.26	-3.32	64.35	357	m33o



%Umfang

$u^*_{rel} = 88$

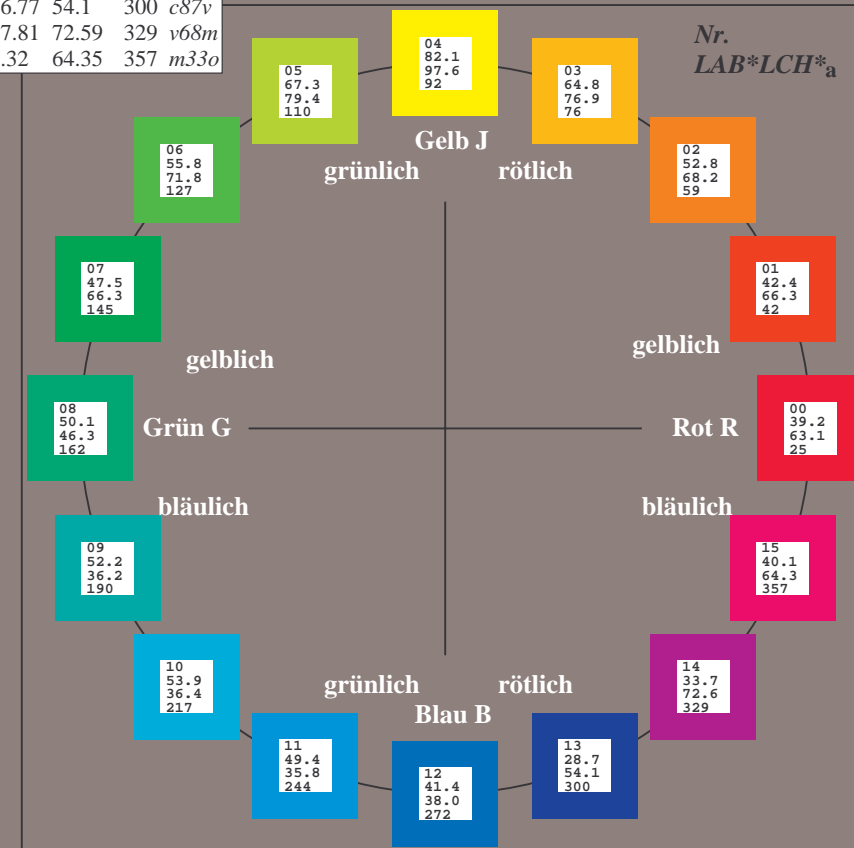
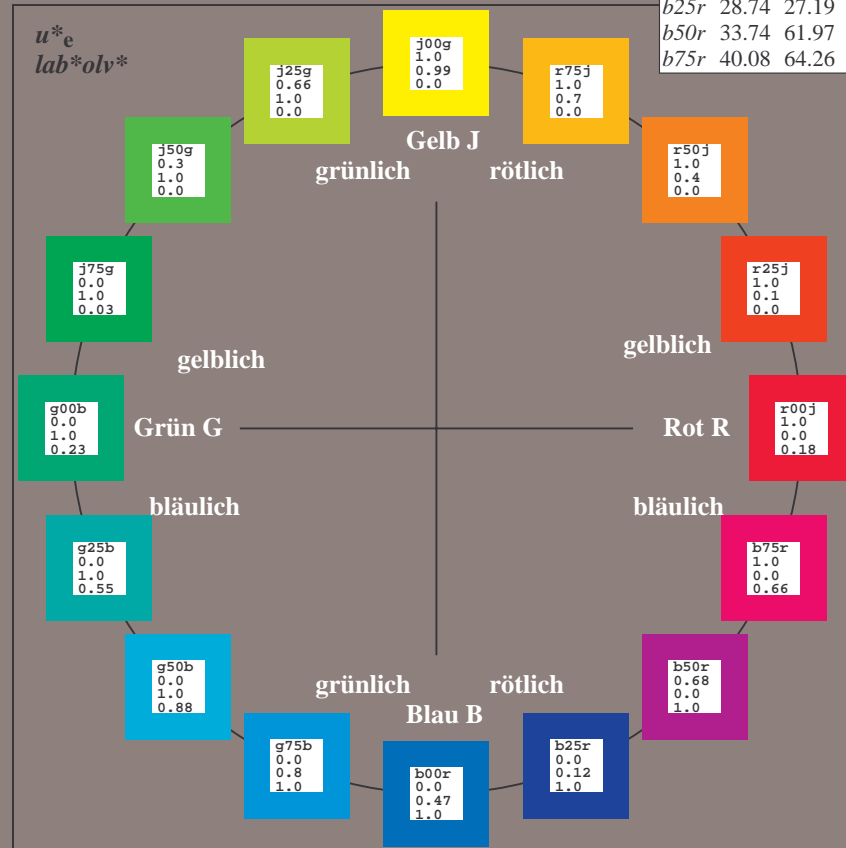
%Regularität

$g^*_{H,rel} = 31$

$g^*_{C,rel} = 40$

FRS15_90a; adaptierte CIELAB-Daten

Name	$L^*=L^*_a$	a^*_a	b^*_a	$C^*_{ab,a}$	$h^*_{ab,a}$
OMa	38.8	53.92	39.68	66.95	36
YMa	82.58	-4.64	98.22	98.33	93
LMa	46.95	-56.34	43.46	71.15	142
CMa	54.62	-26.2	-28.68	38.85	228
VMa	20.01	45.2	-52.87	69.56	311
MMa	40.88	70.68	-29.99	76.78	337
NMa	15.0	0.0	0.0	0.0	0
WMa	90.0	0.0	0.0	0.0	0
RCIE	39.92	58.74	27.99	65.07	25
JCIE	81.26	-2.89	71.56	71.62	92
GCIE	52.23	-42.42	13.6	44.55	162
BCIE	30.57	1.41	-46.47	46.49	272



Ein und Ausgabe: Farbmatisches Drucker-Reflektiv-System FRS15_90a für relativen CIELAB-Bunton $h^* = lab^*h^* = h_{ab}/360 = 0.071$

$$u^*_e = r00j$$

$$lab^*olv^*$$

Daten für jede Farbe:

lab^*tch^* und lab^*icu^*

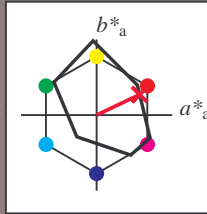
Buntontexte:

$u^*_e = r00j$ $u^*_d = m81o$

Kontrastreduzierungsfaktor:

$c_R = 0.9$

Dreiecks-Helligkeit t^*



FRS15_90a; adaptierte CIELAB-Daten

	u^*_e	$L^*=L^*_a$	a^*_a	b^*_a	$C^*_{ab,a}$	$h^*_{ab,a}$
O _{Ma}	38.8	53.92	39.68	66.95	36	
Y _{Ma}	82.58	-4.64	98.22	98.33	93	
L _{Ma}	46.95	-56.34	43.46	71.15	142	
C _{Ma}	54.62	-26.2	-28.68	38.85	228	
V _{Ma}	20.01	45.2	-52.87	69.56	311	
M _{Ma}	40.88	70.68	-29.99	76.78	337	
N _{Ma}	15.0	0.0	0.0	0.0	0	
W _{Ma}	90.0	0.0	0.0	0.0	0	
R _{Ma}	39.92	58.74	27.99	65.07	25	
J _{Ma}	81.26	-2.89	71.56	71.62	92	
G _{Ma}	52.23	-42.42	13.6	44.55	162	
B _{Ma}	30.57	1.41	-46.47	46.49	272	

Daten für Maximalfarbe (Ma):

$LAB^*LAB^*_{Ma}$: 39 57 27

$LAB^*LCH^*_{Ma}$: 39 63 25

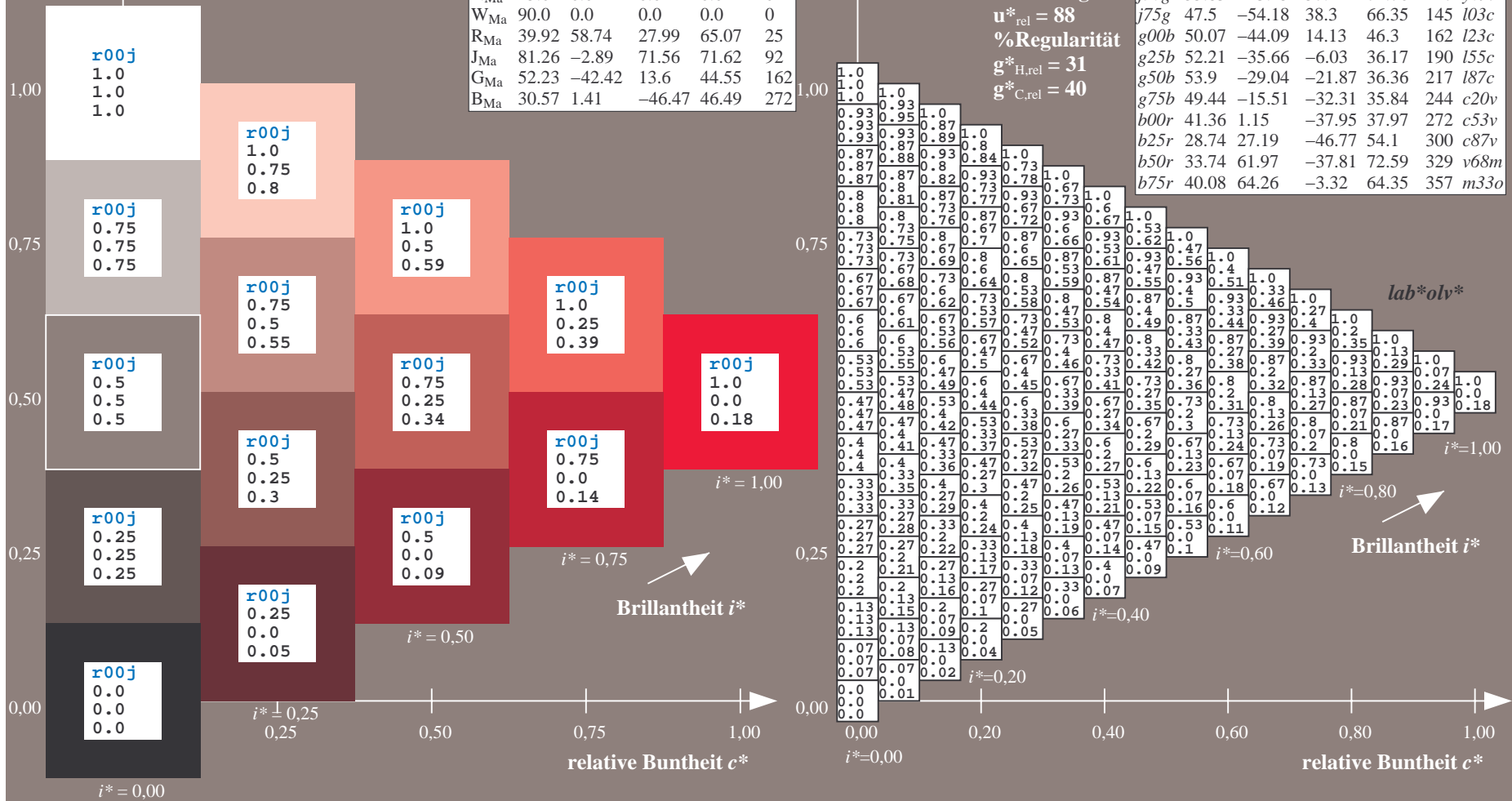
$lab^*rgb^*_{Ma}$: 1.0 0.0 0.0

$lab^*olv^*_{Ma}$: 1.0 0.0 0.18

Dreiecks-Helligkeit t^*

FRS15_90a; adaptierte CIELAB-Daten

	u^*_e	$L^*=L^*_a$	a^*_a	b^*_a	$C^*_{ab,a}$	$h^*_{ab,a}$	u^*_d
r00j	39.18	56.94	27.13	63.07	25	m81o	
r25j	42.41	49.1	44.5	66.26	42	o10y	
r50j	52.78	35.22	58.37	68.17	59	o40y	
r75j	64.82	19.12	74.47	76.89	76	o69y	
j00g	82.06	-3.94	97.52	97.6	92	o98y	
j25g	67.26	-26.87	74.67	79.36	110	y34l	
j50g	55.83	-43.45	57.11	71.76	127	y69l	
j75g	47.5	-54.18	38.3	66.35	145	l03c	
g00b	50.07	-44.09	14.13	46.3	162	l23c	
g25b	52.21	-35.66	-6.03	36.17	190	l55c	
g50b	53.9	-29.04	-21.87	36.36	217	l87c	
g75b	49.44	-15.51	-32.31	35.84	244	c20v	
b00r	41.36	1.15	-37.95	37.97	272	c53v	
b25r	28.74	27.19	-46.77	54.1	300	c87v	
b50r	33.74	61.97	-37.81	72.59	329	v68m	
b75r	40.08	64.26	-3.32	64.35	357	m33o	



Ein und Ausgabe: Farbmatisches Drucker-Reflektiv-System FRS15_90a für relativen CIELAB-Bunton $h^* = lab^*h^* = h_{ab}/360 = 0.117$

$u^*_e = r25j$
 lab^*olv^*

Daten für jede Farbe:

lab^*tch^* und lab^*icu^*

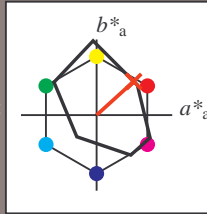
Buntontexte:

$u^*_e = r25j$ $u^*_d = o10y$

Kontrastreduzierungsfaktor:

$c_R = 0.9$

Dreiecks-Helligkeit t^*



FRS15_90a; adaptierte CIELAB-Daten

	u^*_e	$L^*=L^*_a$	a^*_a	b^*_a	$C^*_{ab,a}$	$h^*_{ab,a}$
O _{Ma}	38.8	53.92	39.68	66.95	36	
Y _{Ma}	82.58	-4.64	98.22	98.33	93	
L _{Ma}	46.95	-56.34	43.46	71.15	142	
C _{Ma}	54.62	-26.2	-28.68	38.85	228	
V _{Ma}	20.01	45.2	-52.87	69.56	311	
M _{Ma}	40.88	70.68	-29.99	76.78	337	
N _{Ma}	15.0	0.0	0.0	0.0	0	
W _{Ma}	90.0	0.0	0.0	0.0	0	
R _{Ma}	39.92	58.74	27.99	65.07	25	
J _{Ma}	81.26	-2.89	71.56	71.62	92	
G _{Ma}	52.23	-42.42	13.6	44.55	162	
B _{Ma}	30.57	1.41	-46.47	46.49	272	

Daten für Maximalfarbe (Ma):

$LAB^*LAB^*_{Ma}$: 42 49 44

$LAB^*LCH^*_{Ma}$: 42 66 42

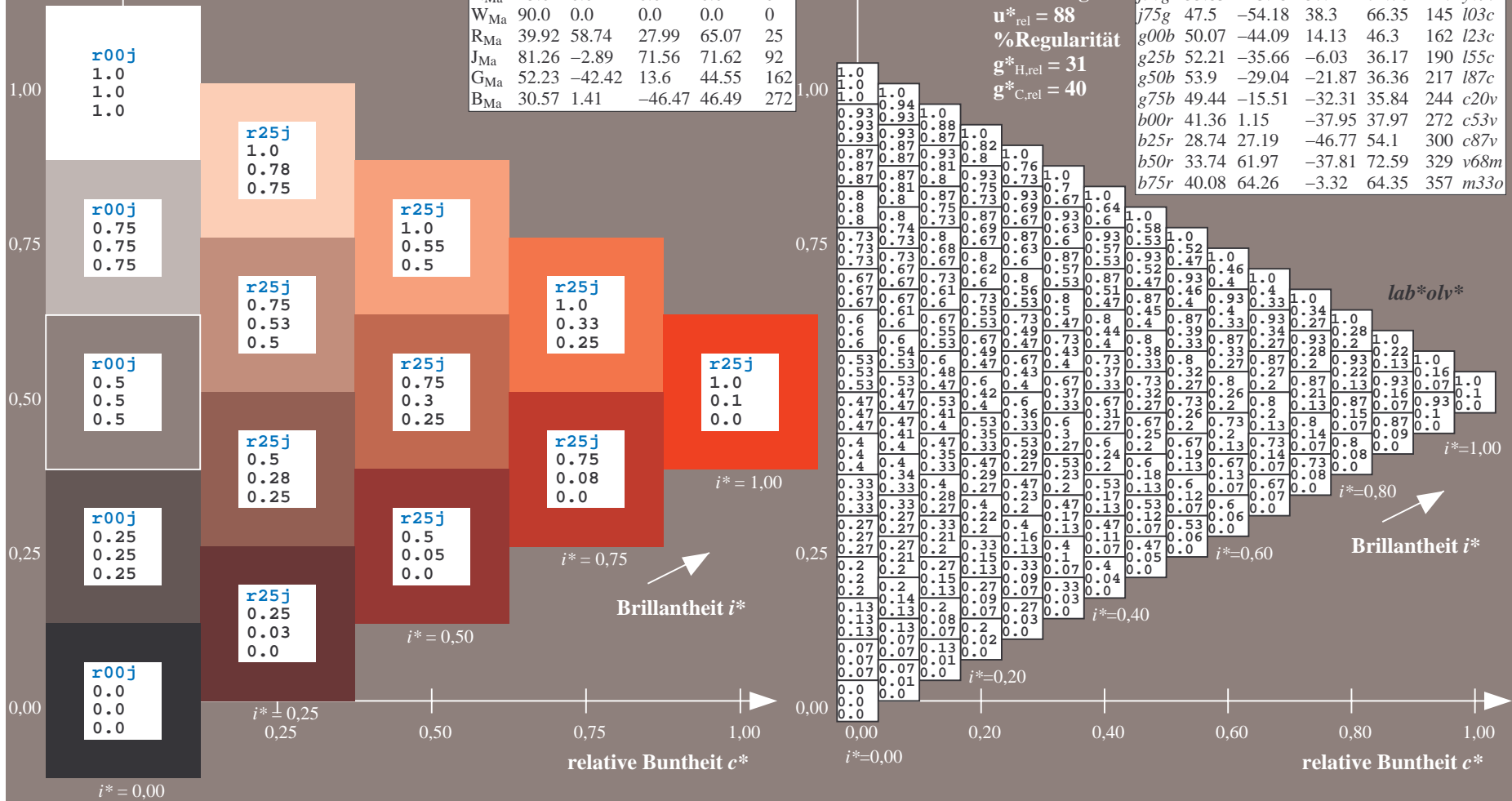
$lab^*rgb^*_{Ma}$: 1.0 0.25 0.0

$lab^*olv^*_{Ma}$: 1.0 0.1 0.0

Dreiecks-Helligkeit t^*

FRS15_90a; adaptierte CIELAB-Daten

	u^*_e	$L^*=L^*_a$	a^*_a	b^*_a	$C^*_{ab,a}$	$h^*_{ab,a}$	u^*_d
r00j	39.18	56.94	27.13	63.07	25	m81o	
r25j	42.41	49.1	44.5	66.26	42	o10y	
r50j	52.78	35.22	58.37	68.17	59	o40y	
r75j	64.82	19.12	74.47	76.89	76	o69y	
j00g	82.06	-3.94	97.52	97.6	92	o98y	
j25g	67.26	-26.87	74.67	79.36	110	y34l	
j50g	55.83	-43.45	57.11	71.76	127	y69l	
j75g	47.5	-54.18	38.3	66.35	145	l03c	
g00b	50.07	-44.09	14.13	46.3	162	l23c	
g25b	52.21	-35.66	-6.03	36.17	190	l55c	
g50b	53.9	-29.04	-21.87	36.36	217	l87c	
g75b	49.44	-15.51	-32.31	35.84	244	c20v	
b00r	41.36	1.15	-37.95	37.97	272	c53v	
b25r	28.74	27.19	-46.77	54.1	300	c87v	
b50r	33.74	61.97	-37.81	72.59	329	v68m	
b75r	40.08	64.26	-3.32	64.35	357	m33o	



Ein und Ausgabe: Farbmatisches Drucker-Reflektiv-System FRS15_90a für relativen CIELAB-Bunton $h^* = lab^*h^* = h_{ab}/360 = 0.164$

$u^*_e = r50j$
 lab^*olv^*

Daten für jede Farbe:

lab^*tch^* und lab^*icu^*

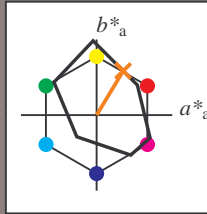
Buntontexte:

$u^*_e = r50j$ $u^*_d = o40y$

Kontrastreduzierungsfaktor:

$c_R = 0.9$

Dreiecks-Helligkeit t^*



FRS15_90a; adaptierte CIELAB-Daten

u^*_e	$L^*=L^*_a$	a^*_a	b^*_a	$C^*_{ab,a}$	$h^*_{ab,a}$
O _{Ma}	38.8	53.92	39.68	66.95	36
Y _{Ma}	82.58	-4.64	98.22	98.33	93
L _{Ma}	46.95	-56.34	43.46	71.15	142
C _{Ma}	54.62	-26.2	-28.68	38.85	228
V _{Ma}	20.01	45.2	-52.87	69.56	311
M _{Ma}	40.88	70.68	-29.99	76.78	337
N _{Ma}	15.0	0.0	0.0	0.0	0
W _{Ma}	90.0	0.0	0.0	0.0	0
R _{Ma}	39.92	58.74	27.99	65.07	25
J _{Ma}	81.26	-2.89	71.56	71.62	92
G _{Ma}	52.23	-42.42	13.6	44.55	162
B _{Ma}	30.57	1.41	-46.47	46.49	272

Daten für Maximalfarbe (Ma):

$LAB^*LAB^*_{Ma}$: 53 35 58

$LAB^*LCH^*_{Ma}$: 53 68 58

$lab^*rgb^*_{Ma}$: 1.0 0.5 0.0

$lab^*olv^*_{Ma}$: 1.0 0.4 0.0

Dreiecks-Helligkeit t^*

%Umfang

$u^*_{rel} = 88$

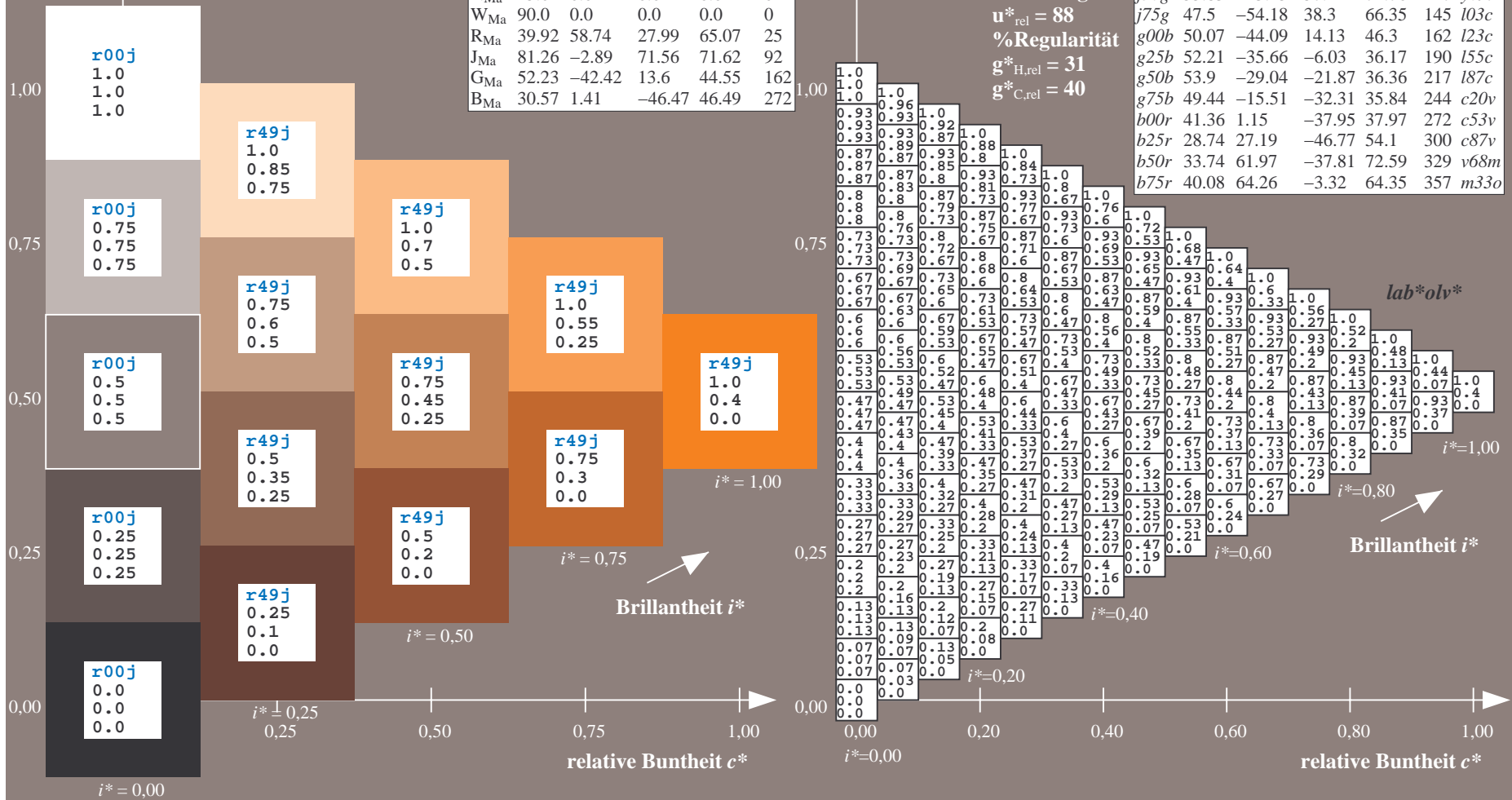
%Regularität

$g^*_{H,rel} = 31$

$g^*_{C,rel} = 40$

FRS15_90a; adaptierte CIELAB-Daten

u^*_e	$L^*=L^*_a$	a^*_a	b^*_a	$C^*_{ab,a}$	$h^*_{ab,a}$	u^*_d
r00j	39.18	56.94	27.13	63.07	25	m81o
r25j	42.41	49.1	44.5	66.26	42	o10y
r50j	52.78	35.22	58.37	68.17	59	o40y
r75j	64.82	19.12	74.47	76.89	76	o69y
j00g	82.06	-3.94	97.52	97.6	92	o98y
j25g	67.26	-26.87	74.67	79.36	110	y34l
j50g	55.83	-43.45	57.11	71.76	127	y69l
j75g	47.5	-54.18	38.3	66.35	145	l03c
g00b	50.07	-44.09	14.13	46.3	162	l23c
g25b	52.21	-35.66	-6.03	36.17	190	l55c
g50b	53.9	-29.04	-21.87	36.36	217	l87c
g75b	49.44	-15.51	-32.31	35.84	244	c20v
b00r	41.36	1.15	-37.95	37.97	272	c53v
b25r	28.74	27.19	-46.77	54.1	300	c87v
b50r	33.74	61.97	-37.81	72.59	329	v68m
b75r	40.08	64.26	-3.32	64.35	357	m33o



Ein und Ausgabe: Farbmatisches Drucker-Reflektiv-System FRS15_90a für relativen CIELAB-Bunton $h^* = lab^*h^* = h_{ab}/360 = 0.21$

$u^*_e = r75j$
 lab^*olv^*

Daten für jede Farbe:

lab^*tch^* und lab^*icu^*

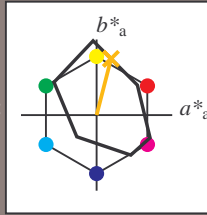
Buntontexte:

$u^*_e = r75j$ $u^*_d = o69y$

Kontrastreduzierungsfaktor:

$c_R = 0.9$

Dreiecks-Helligkeit t^*



FRS15_90a; adaptierte CIELAB-Daten

u^*_e	$L^*=L^*_a$	a^*_a	b^*_a	$C^*_{ab,a}$	$h^*_{ab,a}$
O _{Ma}	38.8	53.92	39.68	66.95	36
Y _{Ma}	82.58	-4.64	98.22	98.33	93
L _{Ma}	46.95	-56.34	43.46	71.15	142
C _{Ma}	54.62	-26.2	-28.68	38.85	228
V _{Ma}	20.01	45.2	-52.87	69.56	311
M _{Ma}	40.88	70.68	-29.99	76.78	337
N _{Ma}	15.0	0.0	0.0	0.0	0
W _{Ma}	90.0	0.0	0.0	0.0	0
R _{Ma}	39.92	58.74	27.99	65.07	25
J _{Ma}	81.26	-2.89	71.56	71.62	92
G _{Ma}	52.23	-42.42	13.6	44.55	162
B _{Ma}	30.57	1.41	-46.47	46.49	272

Daten für Maximalfarbe (Ma):

$LAB^*LAB^*_{Ma}$: 65 19 74

$LAB^*LCH^*_{Ma}$: 65 77 75

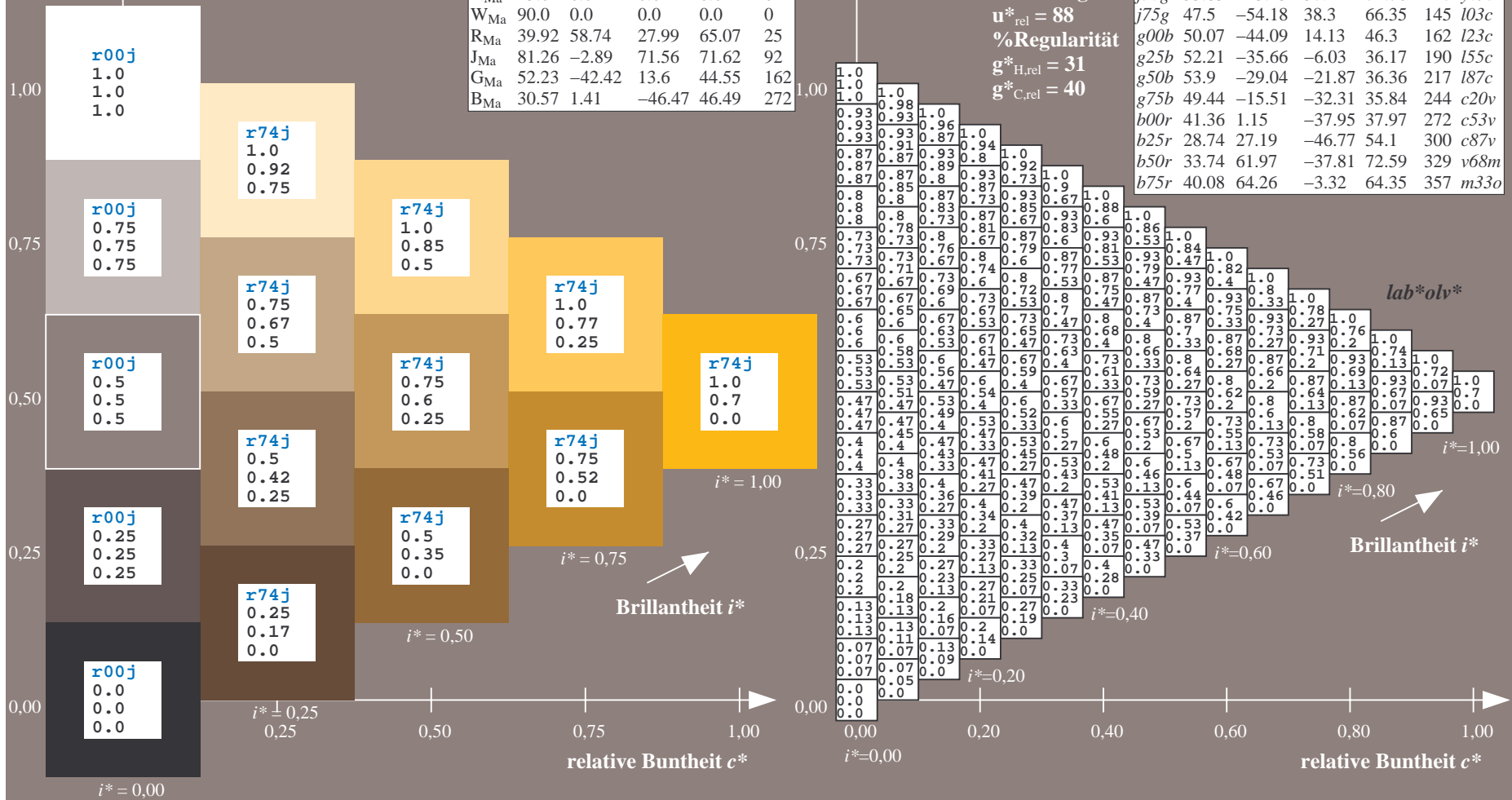
$lab^*rgb^*_{Ma}$: 1.0 0.75 0.0

$lab^*olv^*_{Ma}$: 1.0 0.7 0.0

Dreiecks-Helligkeit t^*

FRS15_90a; adaptierte CIELAB-Daten

u^*_e	$L^*=L^*_a$	a^*_a	b^*_a	$C^*_{ab,a}$	$h^*_{ab,a}$	u^*_d
r00j	39.18	56.94	27.13	63.07	25	m81o
r25j	42.41	49.1	44.5	66.26	42	o10y
r50j	52.78	35.22	58.37	68.17	59	o40y
r75j	64.82	19.12	74.47	76.89	76	o69y
j00g	82.06	-3.94	97.52	97.6	92	o98y
j25g	67.26	-26.87	74.67	79.36	110	y34l
j50g	55.83	-43.45	57.11	71.76	127	y69l
j75g	47.5	-54.18	38.3	66.35	145	103c
g00b	50.07	-44.09	14.13	46.3	162	l23c
g25b	52.21	-35.66	-6.03	36.17	190	l55c
g50b	53.9	-29.04	-21.87	36.36	217	l87c
g75b	49.44	-15.51	-32.31	35.84	244	c20v
b00r	41.36	1.15	-37.95	37.97	272	c53v
b25r	28.74	27.19	-46.77	54.1	300	c87v
b50r	33.74	61.97	-37.81	72.59	329	v68m
b75r	40.08	64.26	-3.32	64.35	357	m33o



Ein und Ausgabe: Farbmatisches Drucker-Reflexiv-System FRS15_90a für relativen CIELAB-Bunton $h^* = lab^*h^* = h_{ab}/360 = 0.256$

$u^*_e = j00g$
 lab^*olv^*

Daten für jede Farbe:

lab^*tch^* und lab^*icu^*

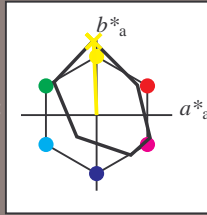
Buntontexte:

$u^*_e = j00g$ $u^*_d = o98y$

Kontrastreduzierungsfaktor:

$c_R = 0.9$

Dreiecks-Helligkeit t^*



FRS15_90a; adaptierte CIELAB-Daten

u^*_e	$L^*=L^*_a$	a^*_a	b^*_a	$C^*_{ab,a}$	$h^*_{ab,a}$
O _{Ma}	38.8	53.92	39.68	66.95	36
Y _{Ma}	82.58	-4.64	98.22	98.33	93
L _{Ma}	46.95	-56.34	43.46	71.15	142
C _{Ma}	54.62	-26.2	-28.68	38.85	228
V _{Ma}	20.01	45.2	-52.87	69.56	311
M _{Ma}	40.88	70.68	-29.99	76.78	337
N _{Ma}	15.0	0.0	0.0	0.0	0
W _{Ma}	90.0	0.0	0.0	0.0	0
R _{Ma}	39.92	58.74	27.99	65.07	25
J _{Ma}	81.26	-2.89	71.56	71.62	92
G _{Ma}	52.23	-42.42	13.6	44.55	162
B _{Ma}	30.57	1.41	-46.47	46.49	272

Daten für Maximalfarbe (Ma):

$LAB^*LAB^*_{Ma}$: 82 -4 98

$LAB^*LCH^*_{Ma}$: 82 98 92

$lab^*rgb^*_{Ma}$: 1.0 1.0 0.0

$lab^*olv^*_{Ma}$: 1.0 0.99 0.0

Dreiecks-Helligkeit t^*

%Umfang

$u^*_{rel} = 88$

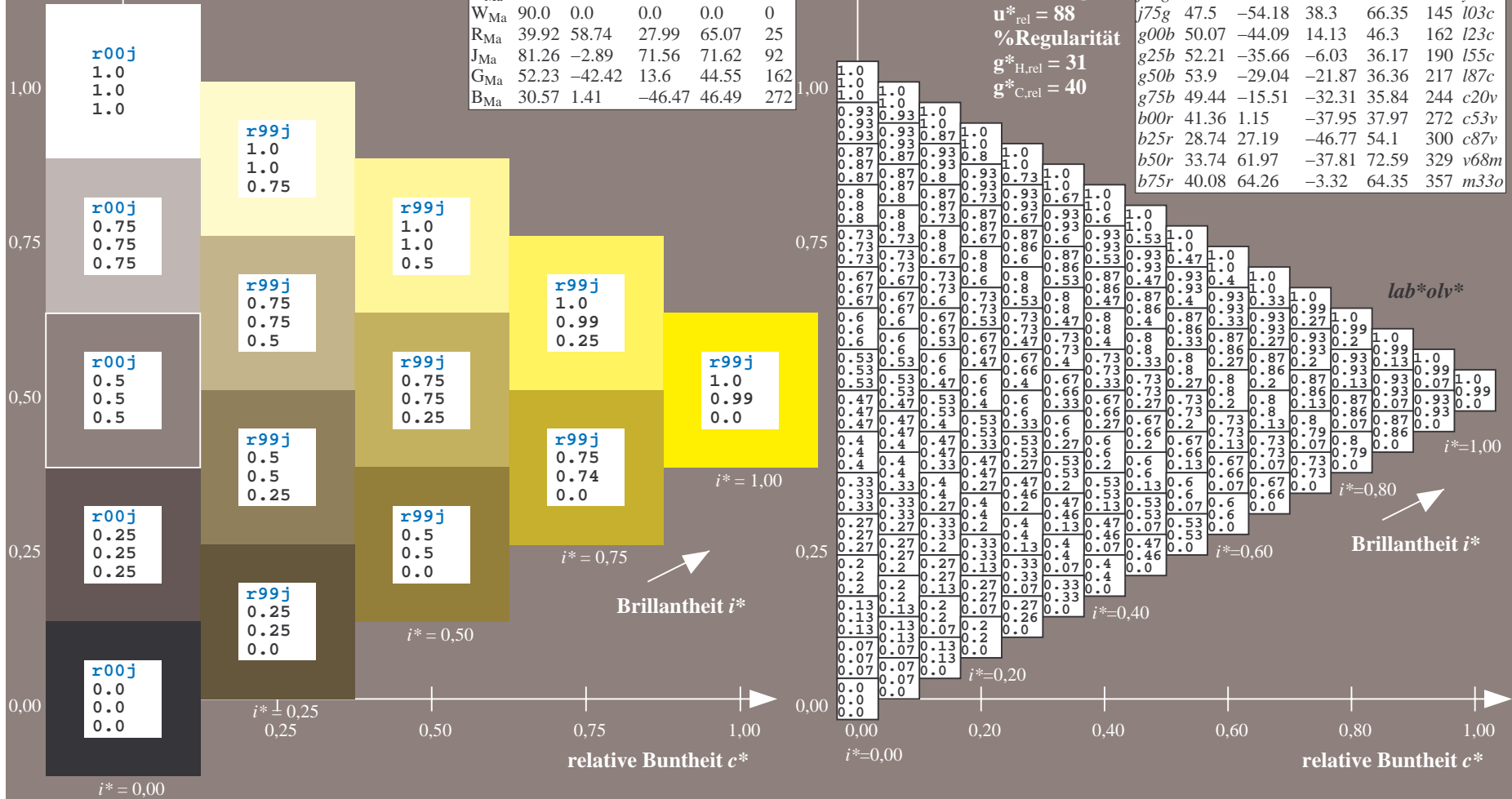
%Regularität

$g^*_{H,rel} = 31$

$g^*_{C,rel} = 40$

FRS15_90a; adaptierte CIELAB-Daten

u^*_e	$L^*=L^*_a$	a^*_a	b^*_a	$C^*_{ab,a}$	$h^*_{ab,a}$	u^*_d
r00j	39.18	56.94	27.13	63.07	25	m81o
r25j	42.41	49.1	44.5	66.26	42	o10y
r50j	52.78	35.22	58.37	68.17	59	o40y
r75j	64.82	19.12	74.47	76.89	76	o69y
j00g	82.06	-3.94	97.52	97.6	92	o98y
j25g	67.26	-26.87	74.67	79.36	110	y34l
j50g	55.83	-43.45	57.11	71.76	127	y69l
j75g	47.5	-54.18	38.3	66.35	145	l03c
g00b	50.07	-44.09	14.13	46.3	162	l23c
g25b	52.21	-35.66	-6.03	36.17	190	l55c
g50b	53.9	-29.04	-21.87	36.36	217	l87c
g75b	49.44	-15.51	-32.31	35.84	244	c20v
b00r	41.36	1.15	-37.95	37.97	272	c53v
b25r	28.74	27.19	-46.77	54.1	300	c87v
b50r	33.74	61.97	-37.81	72.59	329	v68m
b75r	40.08	64.26	-3.32	64.35	357	m33o



Ein und Ausgabe: Farbmatisches Drucker-Reflektiv-System FRS15_90a für relativen CIELAB-Bunton $h^* = lab^*h^* = h_{ab}/360 = 0.305$

$u^*_e = j25g$

Daten für jede Farbe:

lab^*ch^* und lab^*icu^*

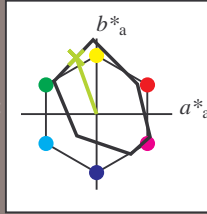
Buntontexte:

$u^*_e = j25g$ $u^*_d = y34l$

Kontrastreduzierungsfaktor:

$c_R = 0.9$

Dreiecks-Helligkeit t^*



FRS15_90a; adaptierte CIELAB-Daten						
u^*_e	$L^*=L^*_a$	a^*_a	b^*_a	$C^*_{ab,a}$	$h^*_{ab,a}$	
O _{Ma}	38.8	53.92	39.68	66.95	36	
Y _{Ma}	82.58	-4.64	98.22	98.33	93	
L _{Ma}	46.95	-56.34	43.46	71.15	142	
C _{Ma}	54.62	-26.2	-28.68	38.85	228	
V _{Ma}	20.01	45.2	-52.87	69.56	311	
M _{Ma}	40.88	70.68	-29.99	76.78	337	
N _{Ma}	15.0	0.0	0.0	0.0	0	
W _{Ma}	90.0	0.0	0.0	0.0	0	
R _{Ma}	39.92	58.74	27.99	65.07	25	
J _{Ma}	81.26	-2.89	71.56	71.62	92	
G _{Ma}	52.23	-42.42	13.6	44.55	162	
B _{Ma}	30.57	1.41	-46.47	46.49	272	

Daten für Maximalfarbe (Ma):

$LAB^*LAB^*_{Ma}: 67 -27 75$

$LAB^*LCH^*_{Ma}: 67 79 109$

$lab^*rgb^*_{Ma}: 0.75 1.0 0.0$

$lab^*olv^*_{Ma}: 0.66 1.0 0.0$

Dreiecks-Helligkeit t^*

%Umfang

$u^*_{rel} = 88$

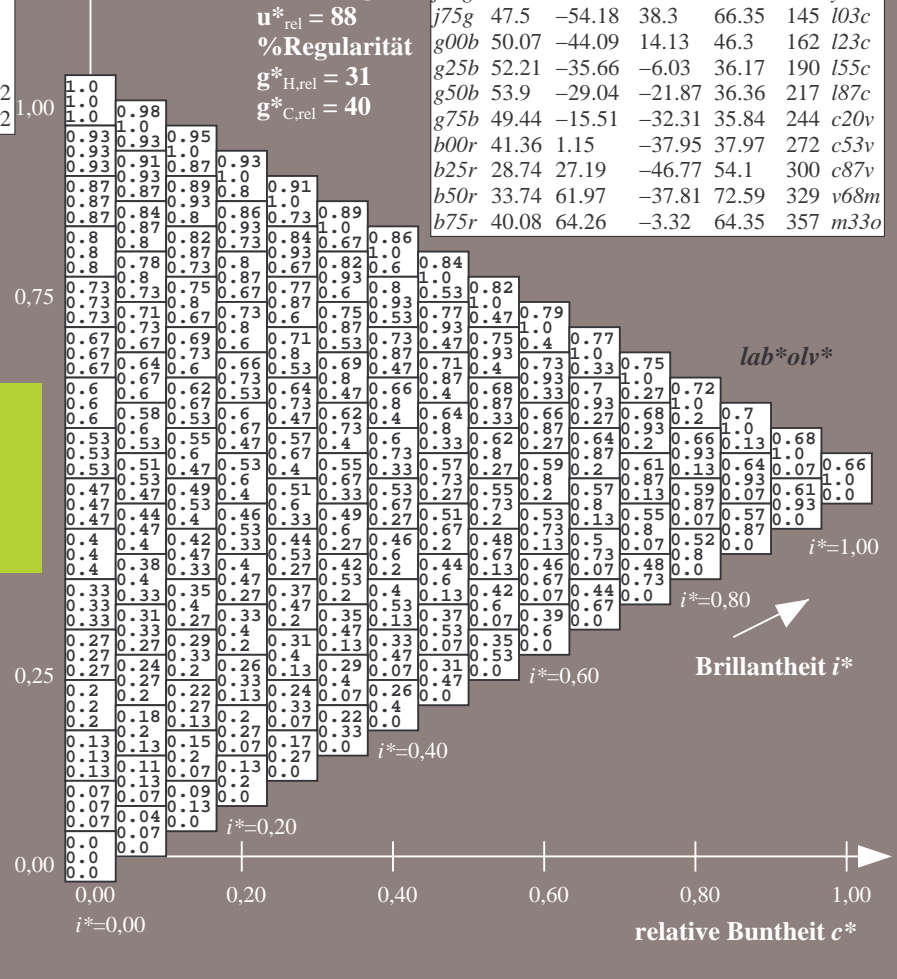
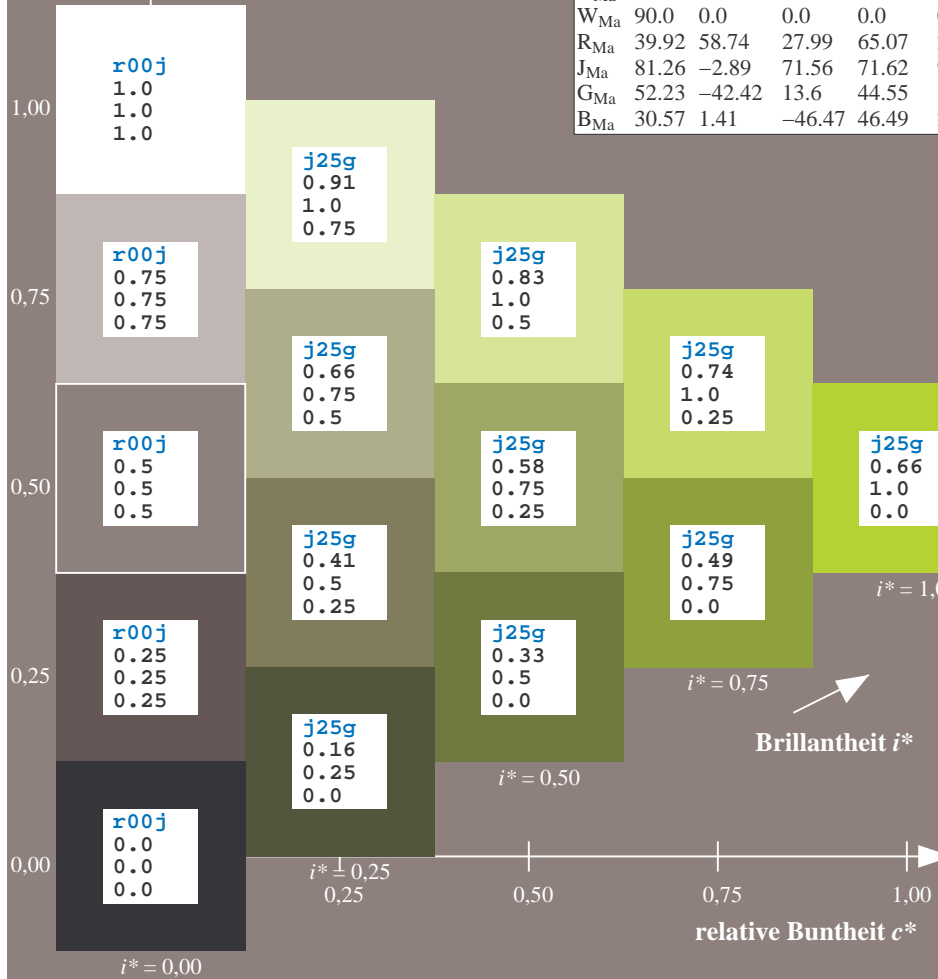
%Regularität

$g^*_{H,rel} = 31$

$g^*_{C,rel} = 40$

FRS15_90a; adaptierte CIELAB-Daten

u^*_e	$L^*=L^*_a$	a^*_a	b^*_a	$C^*_{ab,a}$	$h^*_{ab,a}$	u^*_d
r00j	39.18	56.94	27.13	63.07	25	m81o
r25j	42.41	49.1	44.5	66.26	42	o10y
r50j	52.78	35.22	58.37	68.17	59	o40y
r75j	64.82	19.12	74.47	76.89	76	o69y
j00g	82.06	-3.94	97.52	97.6	92	o98y
j25g	67.26	-26.87	74.67	79.36	110	y34l
j50g	55.83	-43.45	57.11	71.76	127	y69l
j75g	47.5	-54.18	38.3	66.35	145	l03c
g00b	50.07	-44.09	14.13	46.3	162	i23c
g25b	52.21	-35.66	-6.03	36.17	190	i55c
g50b	53.9	-29.04	-21.87	36.36	217	i87c
g75b	49.44	-15.51	-32.31	35.84	244	c20v
b00r	41.36	1.15	-37.95	37.97	272	c53v
b25r	28.74	27.19	-46.77	54.1	300	c87v
b50r	33.74	61.97	-37.81	72.59	329	v68m
b75r	40.08	64.26	-3.32	64.35	357	m33o



Ein und Ausgabe: Farbmatisches Drucker-Reflektiv-System FRS15_90a für relativen CIELAB-Bunton $h^* = lab^*h^* = h_{ab}/360 = 0.354$

$u^*_e = j50g$

Daten für jede Farbe:

lab^*ch^* und lab^*icu^*

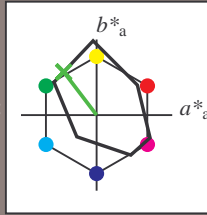
Buntontexte:

$u^*_e = j50g$ $u^*_d = y69l$

Kontrastreduzierungsfaktor:

$c_R = 0.9$

Dreiecks-Helligkeit t^*



FRS15_90a; adaptierte CIELAB-Daten

u^*_e	$L^*=L^*_a$	a^*_a	b^*_a	$C^*_{ab,a}$	$h^*_{ab,a}$
O _{Ma}	38.8	53.92	39.68	66.95	36
Y _{Ma}	82.58	-4.64	98.22	98.33	93
L _{Ma}	46.95	-56.34	43.46	71.15	142
C _{Ma}	54.62	-26.2	-28.68	38.85	228
V _{Ma}	20.01	45.2	-52.87	69.56	311
M _{Ma}	40.88	70.68	-29.99	76.78	337
N _{Ma}	15.0	0.0	0.0	0.0	0
W _{Ma}	90.0	0.0	0.0	0.0	0
R _{Ma}	39.92	58.74	27.99	65.07	25
J _{Ma}	81.26	-2.89	71.56	71.62	92
G _{Ma}	52.23	-42.42	13.6	44.55	162
B _{Ma}	30.57	1.41	-46.47	46.49	272

Daten für Maximalfarbe (Ma):

$LAB^*LAB^*_{Ma}$: 56 -43 57

$LAB^*LCH^*_{Ma}$: 56 72 127

$lab^*rgb^*_{Ma}$: 0.5 1.0 0.0

$lab^*olv^*_{Ma}$: 0.3 1.0 0.0

Dreiecks-Helligkeit t^*

%Umfang

$u^*_{rel} = 88$

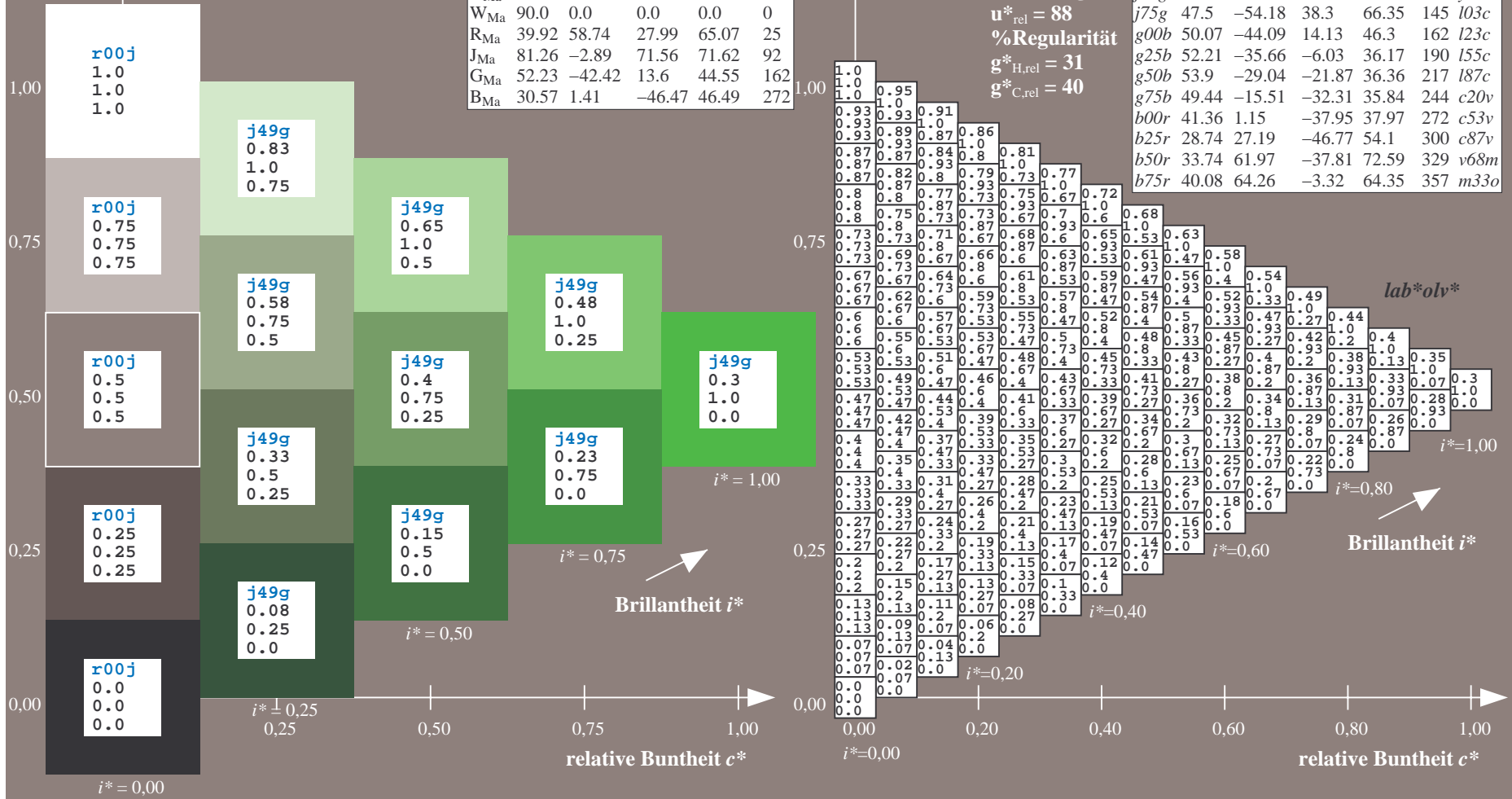
%Regularität

$g^*_{H,rel} = 31$

$g^*_{C,rel} = 40$

FRS15_90a; adaptierte CIELAB-Daten

u^*_e	$L^*=L^*_a$	a^*_a	b^*_a	$C^*_{ab,a}$	$h^*_{ab,a}$	u^*_d
r00j	39.18	56.94	27.13	63.07	25	m81o
r25j	42.41	49.1	44.5	66.26	42	o10y
r50j	52.78	35.22	58.37	68.17	59	o40y
r75j	64.82	19.12	74.47	76.89	76	o69y
j00g	82.06	-3.94	97.52	97.6	92	o98y
j25g	67.26	-26.87	74.67	79.36	110	y34l
j50g	55.83	-43.45	57.11	71.76	127	y69l
j75g	47.5	-54.18	38.3	66.35	145	i03c
g00b	50.07	-44.09	14.13	46.3	162	i23c
g25b	52.21	-35.66	-6.03	36.17	190	i55c
g50b	53.9	-29.04	-21.87	36.36	217	i87c
g75b	49.44	-15.51	-32.31	35.84	244	c20v
b00r	41.36	1.15	-37.95	37.97	272	c53v
b25r	28.74	27.19	-46.77	54.1	300	c87v
b50r	33.74	61.97	-37.81	72.59	329	v68m
b75r	40.08	64.26	-3.32	64.35	357	m33o



Ein und Ausgabe: Farbmatisches Drucker-Reflektiv-System FRS15_90a für relativen CIELAB-Bunton $h^* = lab^*h^* = h_{ab}/360 = 0.402$

$u^*_e = j75g$

Daten für jede Farbe:

lab^*ch^* und lab^*icu^*

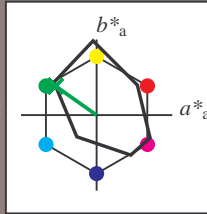
Buntontexte:

$u^*_e = j75g$ $u^*_d = l03c$

Kontrastreduzierungsfaktor:

$c_R = 0.9$

Dreiecks-Helligkeit t^*



FRS15_90a; adaptierte CIELAB-Daten

u^*_e	$L^*=L^*_a$	a^*_a	b^*_a	$C^*_{ab,a}$	$h^*_{ab,a}$
O _{Ma}	38.8	53.92	39.68	66.95	36
Y _{Ma}	82.58	-4.64	98.22	98.33	93
L _{Ma}	46.95	-56.34	43.46	71.15	142
C _{Ma}	54.62	-26.2	-28.68	38.85	228
V _{Ma}	20.01	45.2	-52.87	69.56	311
M _{Ma}	40.88	70.68	-29.99	76.78	337
N _{Ma}	15.0	0.0	0.0	0.0	0
W _{Ma}	90.0	0.0	0.0	0.0	0
R _{Ma}	39.92	58.74	27.99	65.07	25
J _{Ma}	81.26	-2.89	71.56	71.62	92
G _{Ma}	52.23	-42.42	13.6	44.55	162
B _{Ma}	30.57	1.41	-46.47	46.49	272

Daten für Maximalfarbe (Ma):

$LAB^*LAB^*_{Ma}$: 48 -54 38

$LAB^*LCH^*_{Ma}$: 48 66 144

$lab^*rgb^*_{Ma}$: 0.25 1.0 0.0

$lab^*olv^*_{Ma}$: 0.0 1.0 0.03

Dreiecks-Helligkeit t^*

%Umfang

$u^*_{rel} = 88$

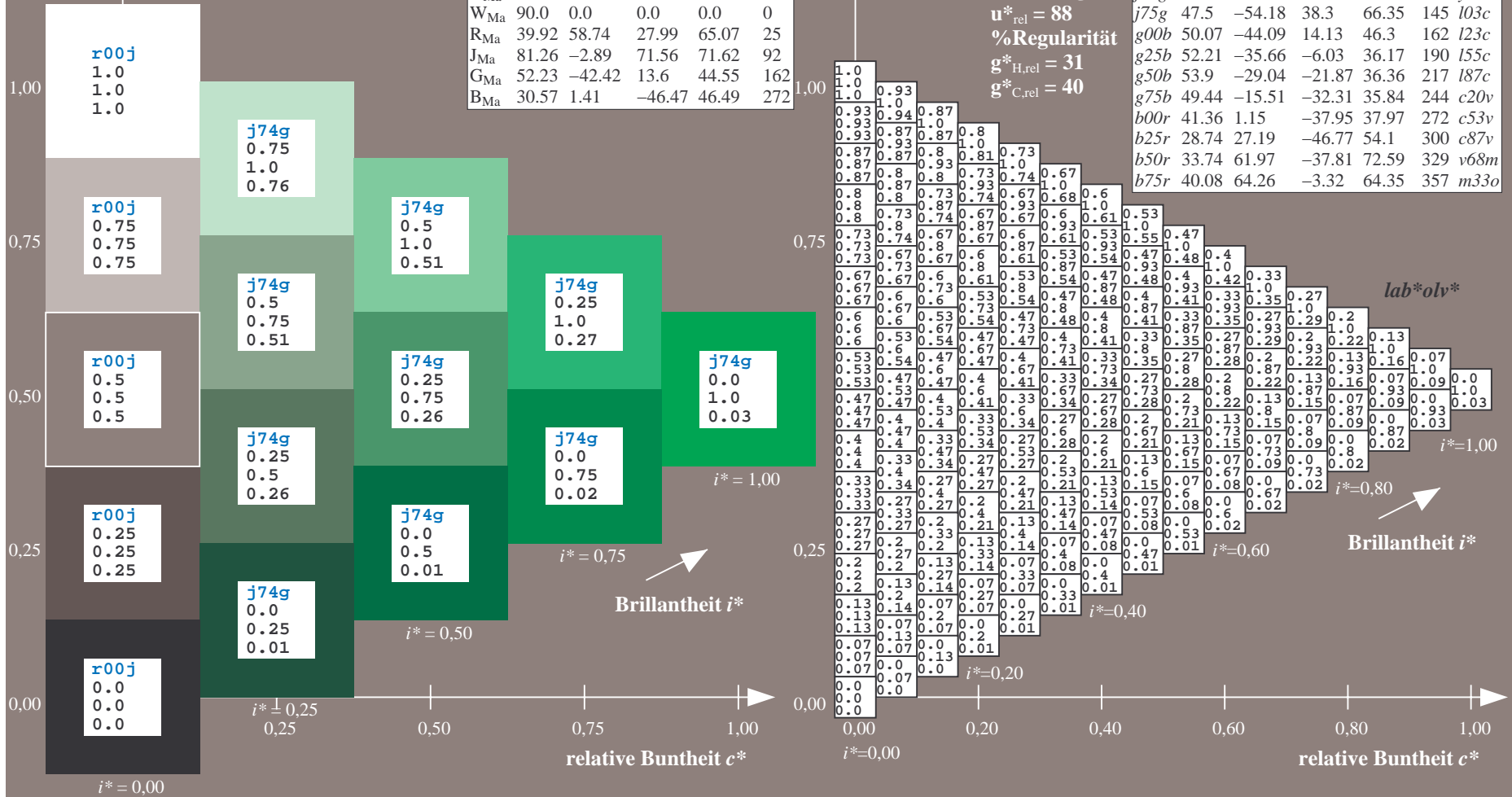
%Regularität

$g^*_{H,rel} = 31$

$g^*_{C,rel} = 40$

FRS15_90a; adaptierte CIELAB-Daten

u^*_e	$L^*=L^*_a$	a^*_a	b^*_a	$C^*_{ab,a}$	$h^*_{ab,a}$	u^*_d
r00j	39.18	56.94	27.13	63.07	25	m81o
r25j	42.41	49.1	44.5	66.26	42	o10y
r50j	52.78	35.22	58.37	68.17	59	o40y
r75j	64.82	19.12	74.47	76.89	76	o69y
j00g	82.06	-3.94	97.52	97.6	92	o98y
j25g	67.26	-26.87	74.67	79.36	110	y34l
j50g	55.83	-43.45	57.11	71.76	127	y69l
j75g	47.5	-54.18	38.3	66.35	145	l03c
g00b	50.07	-44.09	14.13	46.3	162	l23c
g25b	52.21	-35.66	-6.03	36.17	190	l55c
g50b	53.9	-29.04	-21.87	36.36	217	l87c
g75b	49.44	-15.51	-32.31	35.84	244	c20v
b00r	41.36	1.15	-37.95	37.97	272	c53v
b25r	28.74	27.19	-46.77	54.1	300	c87v
b50r	33.74	61.97	-37.81	72.59	329	v68m
b75r	40.08	64.26	-3.32	64.35	357	m33o



Ein und Ausgabe: Farbmatisches Drucker-Reflektiv-System FRS15_90a für relativen CIELAB-Bunton $h^* = lab^*h^* = h_{ab}/360 = 0.451$

$u^*_e = g00b$

Daten für jede Farbe:

lab^*ch^* und lab^*icu^*

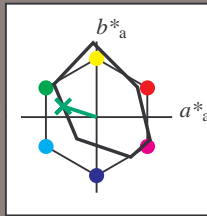
Buntontexte:

$u^*_e = g00b$ $u^*_d = l23c$

Kontrastreduzierungsfaktor:

$c_R = 0.9$

Dreiecks-Helligkeit t^*



FRS15_90a; adaptierte CIELAB-Daten

u^*_e	$L^*=L^*_a$	a^*_a	b^*_a	$C^*_{ab,a}$	$h^*_{ab,a}$
O _{Ma}	38.8	53.92	39.68	66.95	36
Y _{Ma}	82.58	-4.64	98.22	98.33	93
L _{Ma}	46.95	-56.34	43.46	71.15	142
C _{Ma}	54.62	-26.2	-28.68	38.85	228
V _{Ma}	20.01	45.2	-52.87	69.56	311
M _{Ma}	40.88	70.68	-29.99	76.78	337
N _{Ma}	15.0	0.0	0.0	0.0	0
W _{Ma}	90.0	0.0	0.0	0.0	0
R _{Ma}	39.92	58.74	27.99	65.07	25
J _{Ma}	81.26	-2.89	71.56	71.62	92
G _{Ma}	52.23	-42.42	13.6	44.55	162
B _{Ma}	30.57	1.41	-46.47	46.49	272

Daten für Maximalfarbe (Ma):

$LAB^*LAB^*_{Ma}: 50 -44 14$

$LAB^*LCH^*_{Ma}: 50 46 162$

$lab^*rgb^*_{Ma}: 0.0 1.0 0.0$

$lab^*olv^*_{Ma}: 0.0 1.0 0.23$

Dreiecks-Helligkeit t^*

%Umfang

$u^*_{rel} = 88$

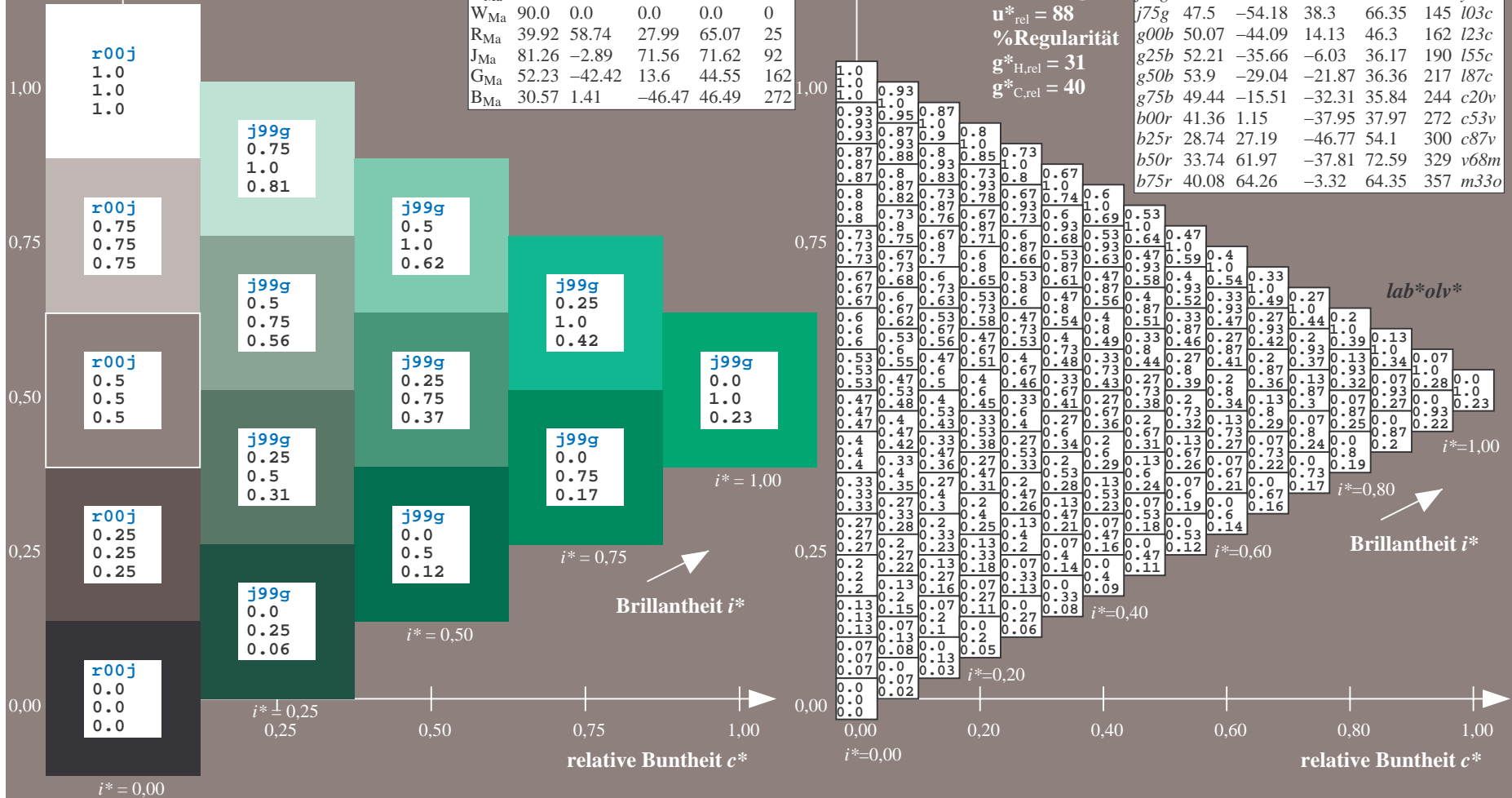
%Regularität

$g^*_{H,rel} = 31$

$g^*_{C,rel} = 40$

FRS15_90a; adaptierte CIELAB-Daten

u^*_e	$L^*=L^*_a$	a^*_a	b^*_a	$C^*_{ab,a}$	$h^*_{ab,a}$	u^*_d
r00j	39.18	56.94	27.13	63.07	25	m81o
r25j	42.41	49.1	44.5	66.26	42	o10y
r50j	52.78	35.22	58.37	68.17	59	o40y
r75j	64.82	19.12	74.47	76.89	76	o69y
j00g	82.06	-3.94	97.52	97.6	92	o98y
j25g	67.26	-26.87	74.67	79.36	110	y34l
j50g	55.83	-43.45	57.11	71.76	127	y69l
j75g	47.5	-54.18	38.3	66.35	145	l03c
g00b	50.07	-44.09	14.13	46.3	162	l23c
g25b	52.21	-35.66	-6.03	36.17	190	l55c
g50b	53.9	-29.04	-21.87	36.36	217	l87c
g75b	49.44	-15.51	-32.31	35.84	244	c20v
b00r	41.36	1.15	-37.95	37.97	272	c53v
b25r	28.74	27.19	-46.77	54.1	300	c87v
b50r	33.74	61.97	-37.81	72.59	329	v68m
b75r	40.08	64.26	-3.32	64.35	357	m33o



Ein und Ausgabe: Farbmatisches Drucker-Reflektiv-System FRS15_90a für relativen CIELAB-Bunton $h^* = lab^*h^* = h_{ab}/360 = 0.527$

$u^*_e = g25b$

Daten für jede Farbe:

lab^*ch^* und lab^*icu^*

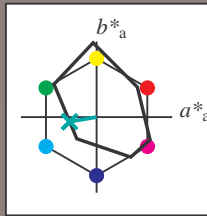
Buntontexte:

$u^*_e = g25b$ $u^*_d = l55c$

Kontrastreduzierungsfaktor:

$c_R = 0.9$

Dreiecks-Helligkeit t^*



FRS15_90a; adaptierte CIELAB-Daten

	u^*_e	$L^*=L^*_a$	a^*_a	b^*_a	$C^*_{ab,a}$	$h^*_{ab,a}$
O _{Ma}	38.8	53.92	39.68	66.95	36	
Y _{Ma}	82.58	-4.64	98.22	98.33	93	
L _{Ma}	46.95	-56.34	43.46	71.15	142	
C _{Ma}	54.62	-26.2	-28.68	38.85	228	
V _{Ma}	20.01	45.2	-52.87	69.56	311	
M _{Ma}	40.88	70.68	-29.99	76.78	337	
N _{Ma}	15.0	0.0	0.0	0.0	0	
W _{Ma}	90.0	0.0	0.0	0.0	0	
R _{Ma}	39.92	58.74	27.99	65.07	25	
J _{Ma}	81.26	-2.89	71.56	71.62	92	
G _{Ma}	52.23	-42.42	13.6	44.55	162	
B _{Ma}	30.57	1.41	-46.47	46.49	272	

Daten für Maximalfarbe (Ma):

$LAB^*LAB^*_{Ma}: 52 -36 -6$

$LAB^*LCH^*_{Ma}: 52 36 189$

$lab^*rgb^*_{Ma}: 0.0 1.0 0.5$

$lab^*olv^*_{Ma}: 0.0 1.0 0.55$

Dreiecks-Helligkeit t^*

FRS15_90a; adaptierte CIELAB-Daten

	u^*_e	$L^*=L^*_a$	a^*_a	b^*_a	$C^*_{ab,a}$	$h^*_{ab,a}$	u^*_d
r00j	39.18	56.94	27.13	63.07	25	m81o	
r25j	42.41	49.1	44.5	66.26	42	o10y	
r50j	52.78	35.22	58.37	68.17	59	o40y	
r75j	64.82	19.12	74.47	76.89	76	o69y	
j00g	82.06	-3.94	97.52	97.6	92	o98y	
j25g	67.26	-26.87	74.67	79.36	110	y34l	
j50g	55.83	-43.45	57.11	71.76	127	y69l	
j75g	47.5	-54.18	38.3	66.35	145	l03c	
g00b	50.07	-44.09	14.13	46.3	162	l23c	
g25b	52.21	-35.66	-6.03	36.17	190	l55c	
g50b	53.9	-29.04	-21.87	36.36	217	l87c	
g75b	49.44	-15.51	-32.31	35.84	244	c20v	
b00r	41.36	1.15	-37.95	37.97	272	c53v	
b25r	28.74	27.19	-46.77	54.1	300	c87v	
b50r	33.74	61.97	-37.81	72.59	329	v68m	
b75r	40.08	64.26	-3.32	64.35	357	m33o	

lab^*olv^*

Brillantheit i^*

$i^* = 1.00$

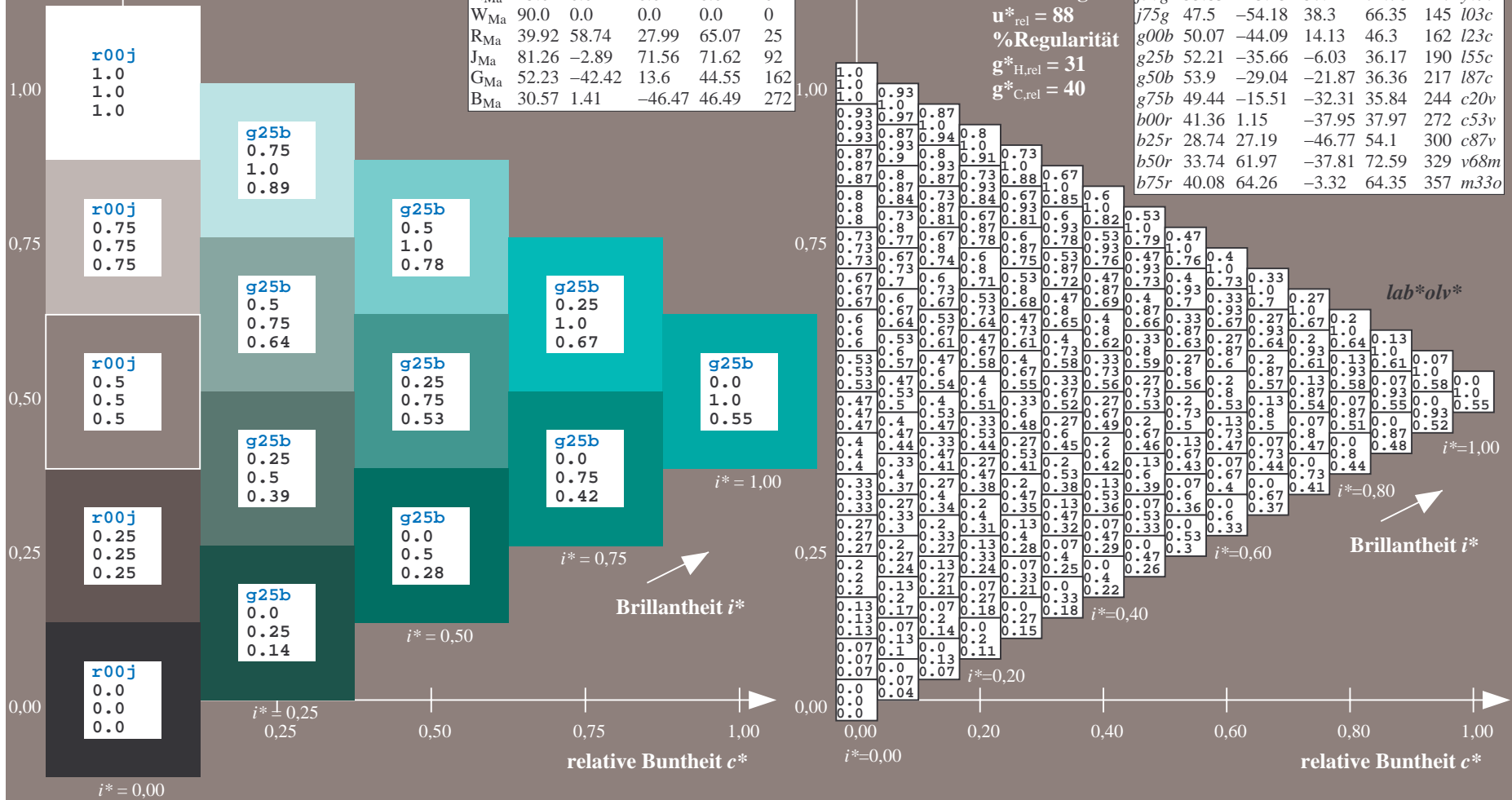
$i^* = 0.80$

$i^* = 0.60$

$i^* = 0.40$

$i^* = 0.20$

$i^* = 0.00$



Ein und Ausgabe: Farbmatisches Drucker-Reflektiv-System FRS15_90a für relativen CIELAB-Bunton $h^* = lab^*h^* = h_{ab}/360 = 0.603$

$u^*_e = g50b$
 lab^*olv^*

Daten für jede Farbe:

lab^*tch^* und lab^*icu^*

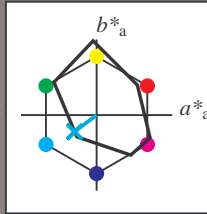
Buntontexte:

$u^*_e = g50b$ $u^*_d = l87c$

Kontrastreduzierungsfaktor:

$c_R = 0.9$

Dreiecks-Helligkeit t^*



FRS15_90a; adaptierte CIELAB-Daten

u^*_e	$L^*=L^*_a$	a^*_a	b^*_a	$C^*_{ab,a}$	$h^*_{ab,a}$
O _{Ma}	38.8	53.92	39.68	66.95	36
Y _{Ma}	82.58	-4.64	98.22	98.33	93
L _{Ma}	46.95	-56.34	43.46	71.15	142
C _{Ma}	54.62	-26.2	-28.68	38.85	228
V _{Ma}	20.01	45.2	-52.87	69.56	311
M _{Ma}	40.88	70.68	-29.99	76.78	337
N _{Ma}	15.0	0.0	0.0	0.0	0
W _{Ma}	90.0	0.0	0.0	0.0	0
R _{Ma}	39.92	58.74	27.99	65.07	25
J _{Ma}	81.26	-2.89	71.56	71.62	92
G _{Ma}	52.23	-42.42	13.6	44.55	162
B _{Ma}	30.57	1.41	-46.47	46.49	272

Daten für Maximalfarbe (Ma):

$LAB^*LAB^*_{Ma}$: 54 -29 -22

$LAB^*LCH^*_{Ma}$: 54 36 216

$lab^*rgb^*_{Ma}$: 0.0 1.0 1.0

$lab^*olv^*_{Ma}$: 0.0 1.0 0.88

Dreiecks-Helligkeit t^*

%Umfang

$u^*_{rel} = 88$

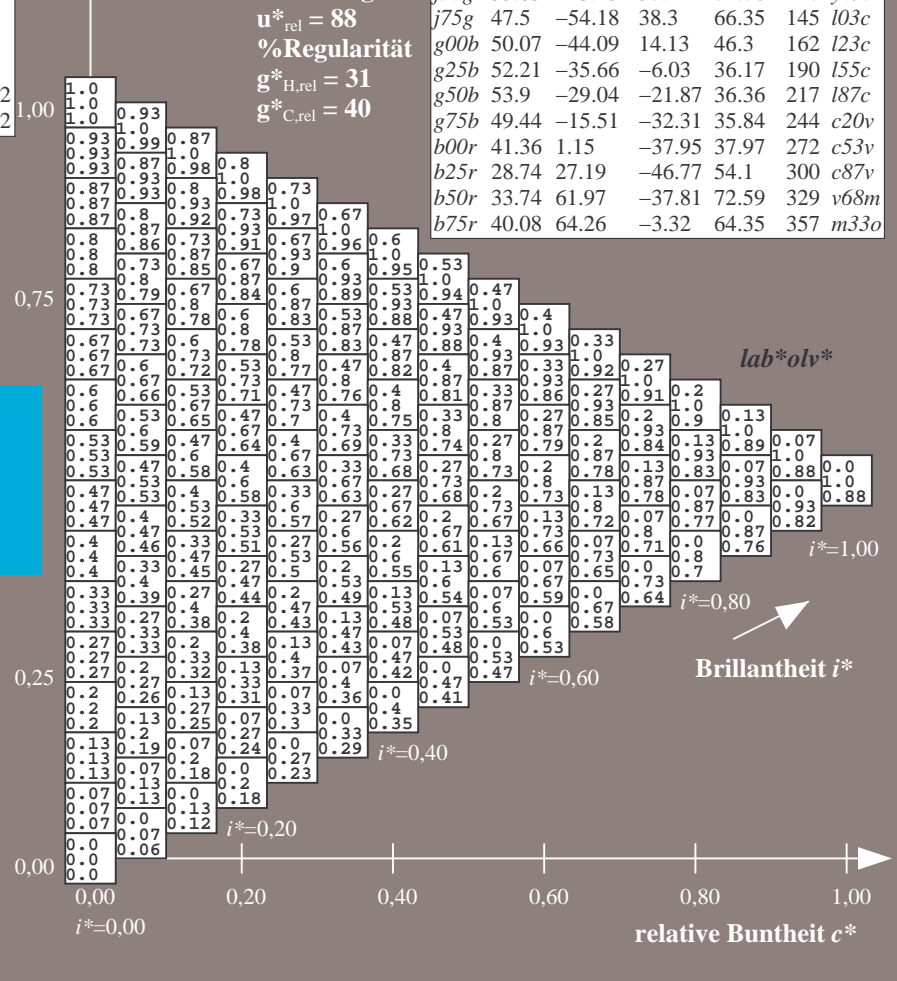
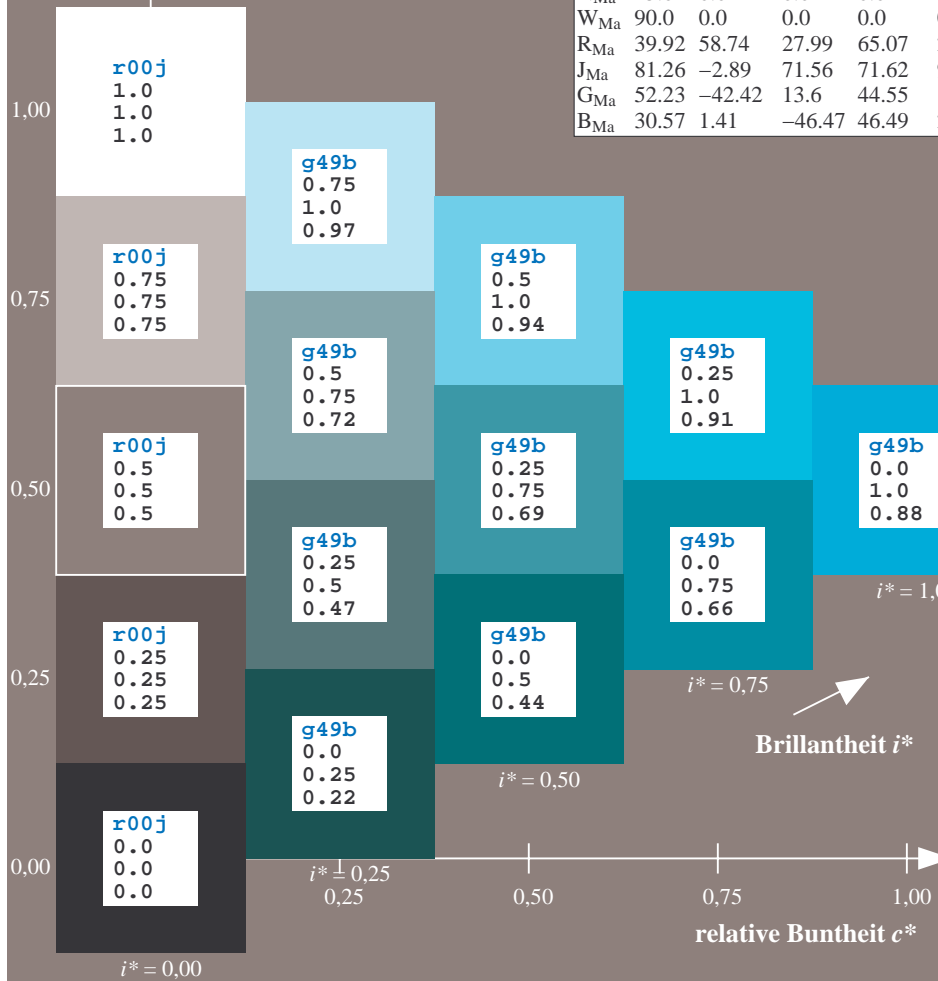
%Regularität

$g^*_{H,rel} = 31$

$g^*_{C,rel} = 40$

FRS15_90a; adaptierte CIELAB-Daten

u^*_e	$L^*=L^*_a$	a^*_a	b^*_a	$C^*_{ab,a}$	$h^*_{ab,a}$	u^*_d
r00j	39.18	56.94	27.13	63.07	25	m81o
r25j	42.41	49.1	44.5	66.26	42	o10y
r50j	52.78	35.22	58.37	68.17	59	o40y
r75j	64.82	19.12	74.47	76.89	76	o69y
j00g	82.06	-3.94	97.52	97.6	92	o98y
j25g	67.26	-26.87	74.67	79.36	110	y34l
j50g	55.83	-43.45	57.11	71.76	127	y69l
j75g	47.5	-54.18	38.3	66.35	145	l03c
g00b	50.07	-44.09	14.13	46.3	162	l23c
g25b	52.21	-35.66	-6.03	36.17	190	l55c
g50b	53.9	-29.04	-21.87	36.36	217	l87c
g75b	49.44	-15.51	-32.31	35.84	244	c20v
b00r	41.36	1.15	-37.95	37.97	272	c53v
b25r	28.74	27.19	-46.77	54.1	300	c87v
b50r	33.74	61.97	-37.81	72.59	329	v68m
b75r	40.08	64.26	-3.32	64.35	357	m33o



Ein und Ausgabe: Farbmatisches Drucker-Reflektiv-System FRS15_90a für relativen CIELAB-Bunton $h^* = lab^*h^* = h_{ab}/360 = 0.679$

$u^*_e = g75b$

Daten für jede Farbe:

lab^*ch^* und lab^*icu^*

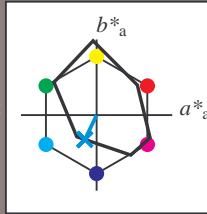
Buntontexte:

$u^*_e = g75b$ $u^*_d = c20v$

Kontrastreduzierungsfaktor:

$c_R = 0.9$

Dreiecks-Helligkeit t^*



FRS15_90a; adaptierte CIELAB-Daten

	u^*_e	$L^*=L^*_a$	a^*_a	b^*_a	$C^*_{ab,a}$	$h^*_{ab,a}$
O _{Ma}	38.8	53.92	39.68	66.95	36	
Y _{Ma}	82.58	-4.64	98.22	98.33	93	
L _{Ma}	46.95	-56.34	43.46	71.15	142	
C _{Ma}	54.62	-26.2	-28.68	38.85	228	
V _{Ma}	20.01	45.2	-52.87	69.56	311	
M _{Ma}	40.88	70.68	-29.99	76.78	337	
N _{Ma}	15.0	0.0	0.0	0.0	0	
W _{Ma}	90.0	0.0	0.0	0.0	0	
R _{Ma}	39.92	58.74	27.99	65.07	25	
J _{Ma}	81.26	-2.89	71.56	71.62	92	
G _{Ma}	52.23	-42.42	13.6	44.55	162	
B _{Ma}	30.57	1.41	-46.47	46.49	272	

Daten für Maximalfarbe (Ma):

$LAB^*LAB^*_{Ma}$: 49 -16 -32

$LAB^*LCH^*_{Ma}$: 49 36 244

$lab^*rgb^*_{Ma}$: 0.0 0.5 1.0

$lab^*olv^*_{Ma}$: 0.0 0.8 1.0

Dreiecks-Helligkeit t^*

%Umfang

$u^*_{rel} = 88$

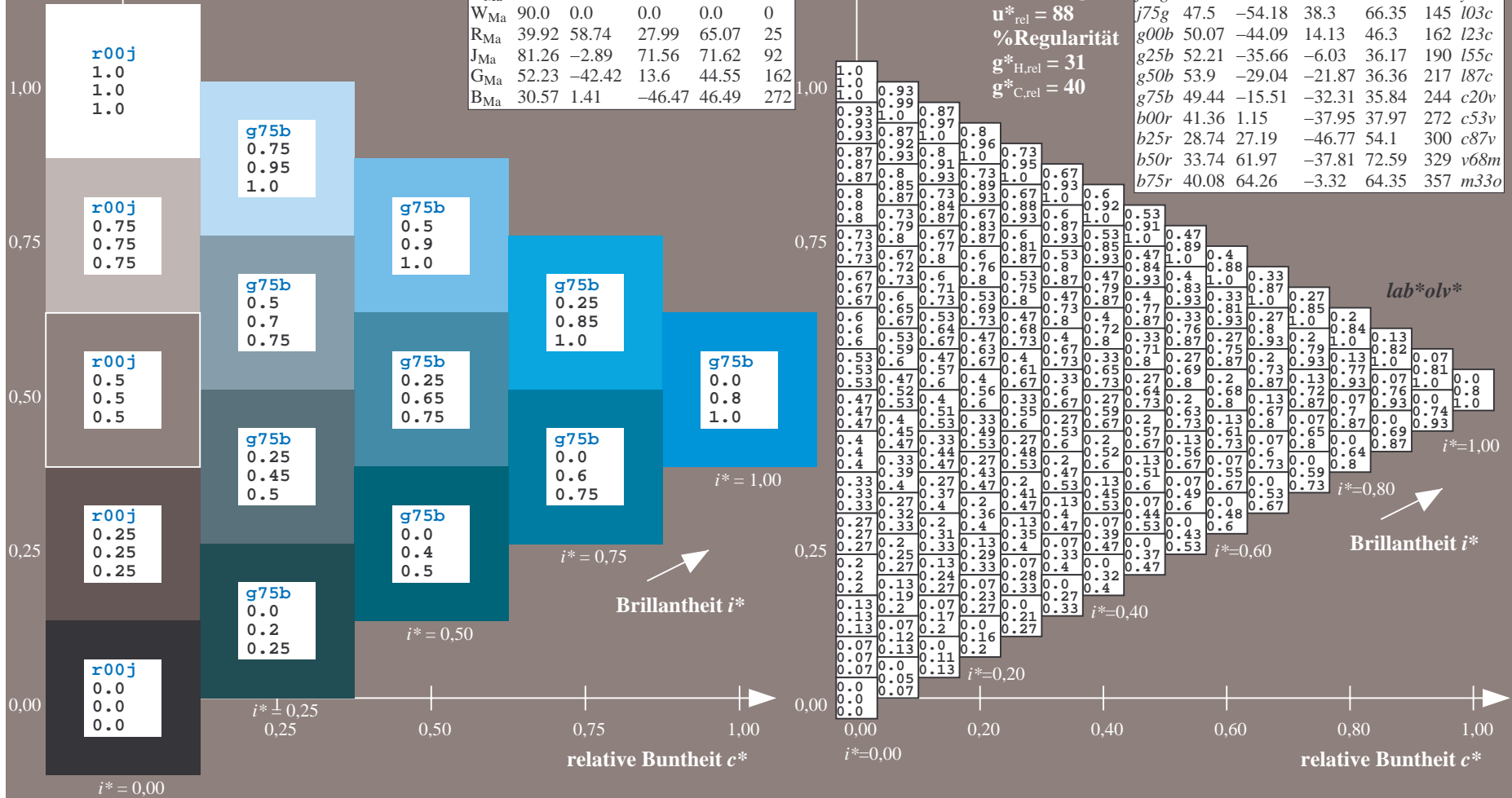
%Regularität

$g^*_{H,rel} = 31$

$g^*_{C,rel} = 40$

FRS15_90a; adaptierte CIELAB-Daten

	u^*_e	$L^*=L^*_a$	a^*_a	b^*_a	$C^*_{ab,a}$	$h^*_{ab,a}$	u^*_d
r00j	39.18	56.94	27.13	63.07	25	m81o	
r25j	42.41	49.1	44.5	66.26	42	o10y	
r50j	52.78	35.22	58.37	68.17	59	o40y	
r75j	64.82	19.12	74.47	76.89	76	o69y	
j00g	82.06	-3.94	97.52	97.6	92	o98y	
j25g	67.26	-26.87	74.67	79.36	110	y34l	
j50g	55.83	-43.45	57.11	71.76	127	y69l	
j75g	47.5	-54.18	38.3	66.35	145	103c	
g00b	50.07	-44.09	14.13	46.3	162	l23c	
g25b	52.21	-35.66	-6.03	36.17	190	l55c	
g50b	53.9	-29.04	-21.87	36.36	217	l87c	
g75b	49.44	-15.51	-32.31	35.84	244	c20v	
b00r	41.36	1.15	-37.95	37.97	272	c53v	
b25r	28.74	27.19	-46.77	54.1	300	c87v	
b50r	33.74	61.97	-37.81	72.59	329	v68m	
b75r	40.08	64.26	-3.32	64.35	357	m33o	



Ein und Ausgabe: Farbmatisches Drucker-Reflektiv-System FRS15_90a für relativen CIELAB-Bunton $h^* = lab^*h^* = h_{ab}/360 = 0.755$

$u^*_e = b00r$

Daten für jede Farbe:

lab^*ch^* und lab^*icu^*

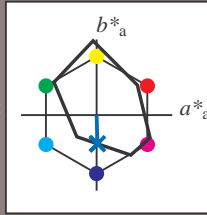
Buntontexte:

$u^*_e = b00r$ $u^*_d = c53v$

Kontrastreduzierungsfaktor:

$c_R = 0.9$

Dreiecks-Helligkeit t^*



FRS15_90a; adaptierte CIELAB-Daten

	u^*_e	$L^*=L^*_a$	a^*_a	b^*_a	$C^*_{ab,a}$	$h^*_{ab,a}$
O _{Ma}	38.8	53.92	39.68	66.95	36	
Y _{Ma}	82.58	-4.64	98.22	98.33	93	
L _{Ma}	46.95	-56.34	43.46	71.15	142	
C _{Ma}	54.62	-26.2	-28.68	38.85	228	
V _{Ma}	20.01	45.2	-52.87	69.56	311	
M _{Ma}	40.88	70.68	-29.99	76.78	337	
N _{Ma}	15.0	0.0	0.0	0.0	0	
W _{Ma}	90.0	0.0	0.0	0.0	0	
R _{Ma}	39.92	58.74	27.99	65.07	25	
J _{Ma}	81.26	-2.89	71.56	71.62	92	
G _{Ma}	52.23	-42.42	13.6	44.55	162	
B _{Ma}	30.57	1.41	-46.47	46.49	272	

Daten für Maximalfarbe (Ma):

$LAB^*LAB^*_{Ma}$: 41 1 -38

$LAB^*LCH^*_{Ma}$: 41 38 271

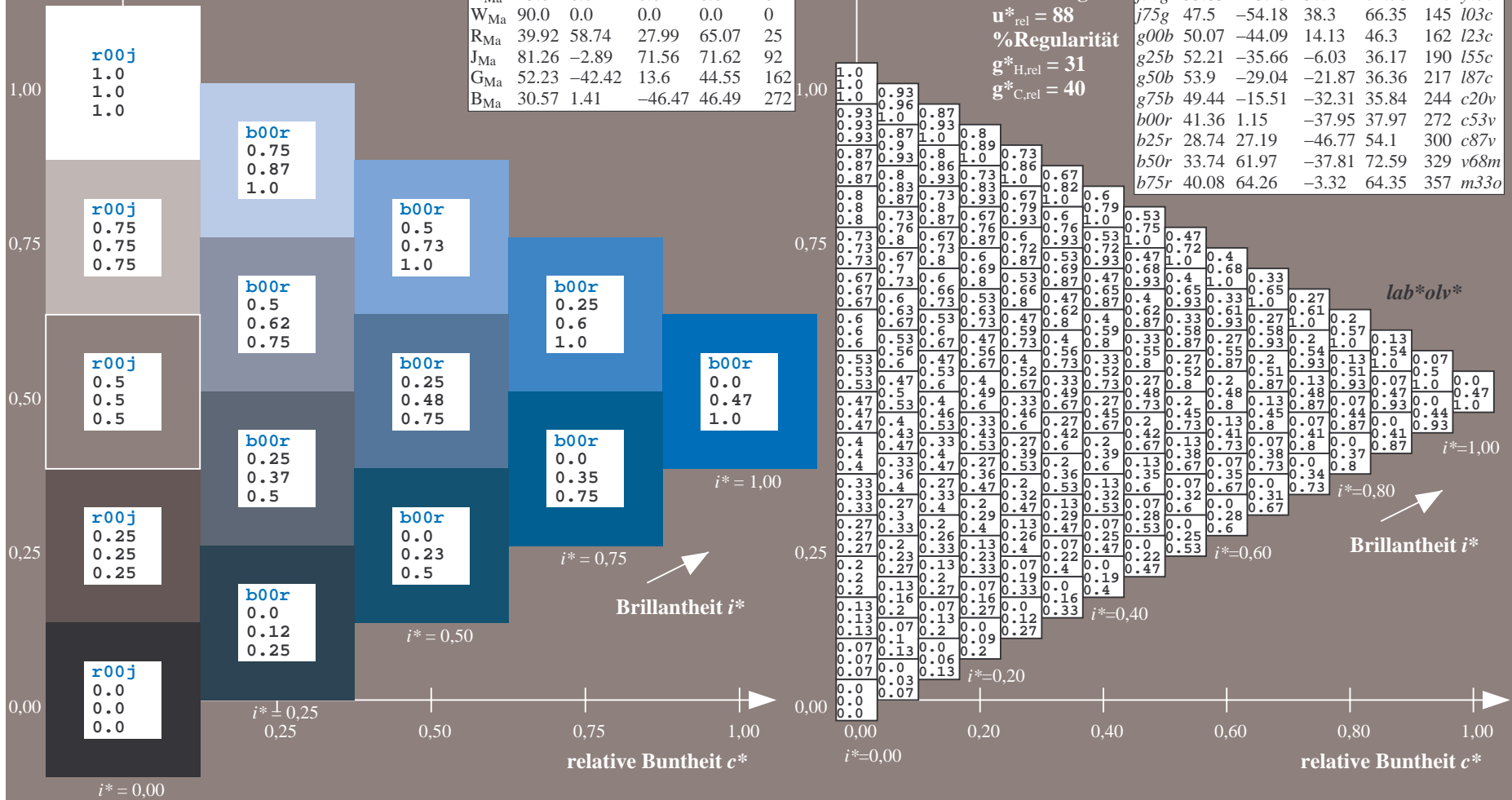
$lab^*rgb^*_{Ma}$: 0.0 0.0 1.0

$lab^*olv^*_{Ma}$: 0.0 0.47 1.0

Dreiecks-Helligkeit t^*

FRS15_90a; adaptierte CIELAB-Daten

	u^*_e	$L^*=L^*_a$	a^*_a	b^*_a	$C^*_{ab,a}$	$h^*_{ab,a}$	u^*_d
r00j	39.18	56.94	27.13	63.07	25	m81o	
r25j	42.41	49.1	44.5	66.26	42	o10y	
r50j	52.78	35.22	58.37	68.17	59	o40y	
r75j	64.82	19.12	74.47	76.89	76	o69y	
j00g	82.06	-3.94	97.52	97.6	92	o98y	
j25g	67.26	-26.87	74.67	79.36	110	y34l	
j50g	55.83	-43.45	57.11	71.76	127	y69l	
j75g	47.5	-54.18	38.3	66.35	145	l03c	
g00b	50.07	-44.09	14.13	46.3	162	l23c	
g25b	52.21	-35.66	-6.03	36.17	190	l55c	
g50b	53.9	-29.04	-21.87	36.36	217	l87c	
g75b	49.44	-15.51	-32.31	35.84	244	c20v	
b00r	41.36	1.15	-37.95	37.97	272	c53v	
b25r	28.74	27.19	-46.77	54.1	300	c87v	
b50r	33.74	61.97	-37.81	72.59	329	v68m	
b75r	40.08	64.26	-3.32	64.35	357	m33o	



Ein und Ausgabe: Farbmatisches Drucker-Reflektiv-System FRS15_90a für relativen CIELAB-Bunton $h^* = lab^*h^* = h_{ab}/360 = 0.834$

$u^*_e = b25r$

Daten für jede Farbe:

lab^*ch^* und lab^*icu^*

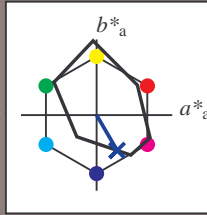
Buntontexte:

$u^*_e = b25r$ $u^*_d = c87v$

Kontrastreduzierungsfaktor:

$c_R = 0.9$

Dreiecks-Helligkeit t^*



FRS15_90a; adaptierte CIELAB-Daten

	u^*_e	$L^*=L^*_a$	a^*_a	b^*_a	$C^*_{ab,a}$	$h^*_{ab,a}$
O _{Ma}	38.8	53.92	39.68	66.95	36	
Y _{Ma}	82.58	-4.64	98.22	98.33	93	
L _{Ma}	46.95	-56.34	43.46	71.15	142	
C _{Ma}	54.62	-26.2	-28.68	38.85	228	
V _{Ma}	20.01	45.2	-52.87	69.56	311	
M _{Ma}	40.88	70.68	-29.99	76.78	337	
N _{Ma}	15.0	0.0	0.0	0.0	0	
W _{Ma}	90.0	0.0	0.0	0.0	0	
R _{Ma}	39.92	58.74	27.99	65.07	25	
J _{Ma}	81.26	-2.89	71.56	71.62	92	
G _{Ma}	52.23	-42.42	13.6	44.55	162	
B _{Ma}	30.57	1.41	-46.47	46.49	272	

Daten für Maximalfarbe (Ma):

$LAB^*LAB^*_{Ma}$: 29 27 -47

$LAB^*LCH^*_{Ma}$: 29 54 300

$lab^*rgb^*_{Ma}$: 0.5 0.0 1.0

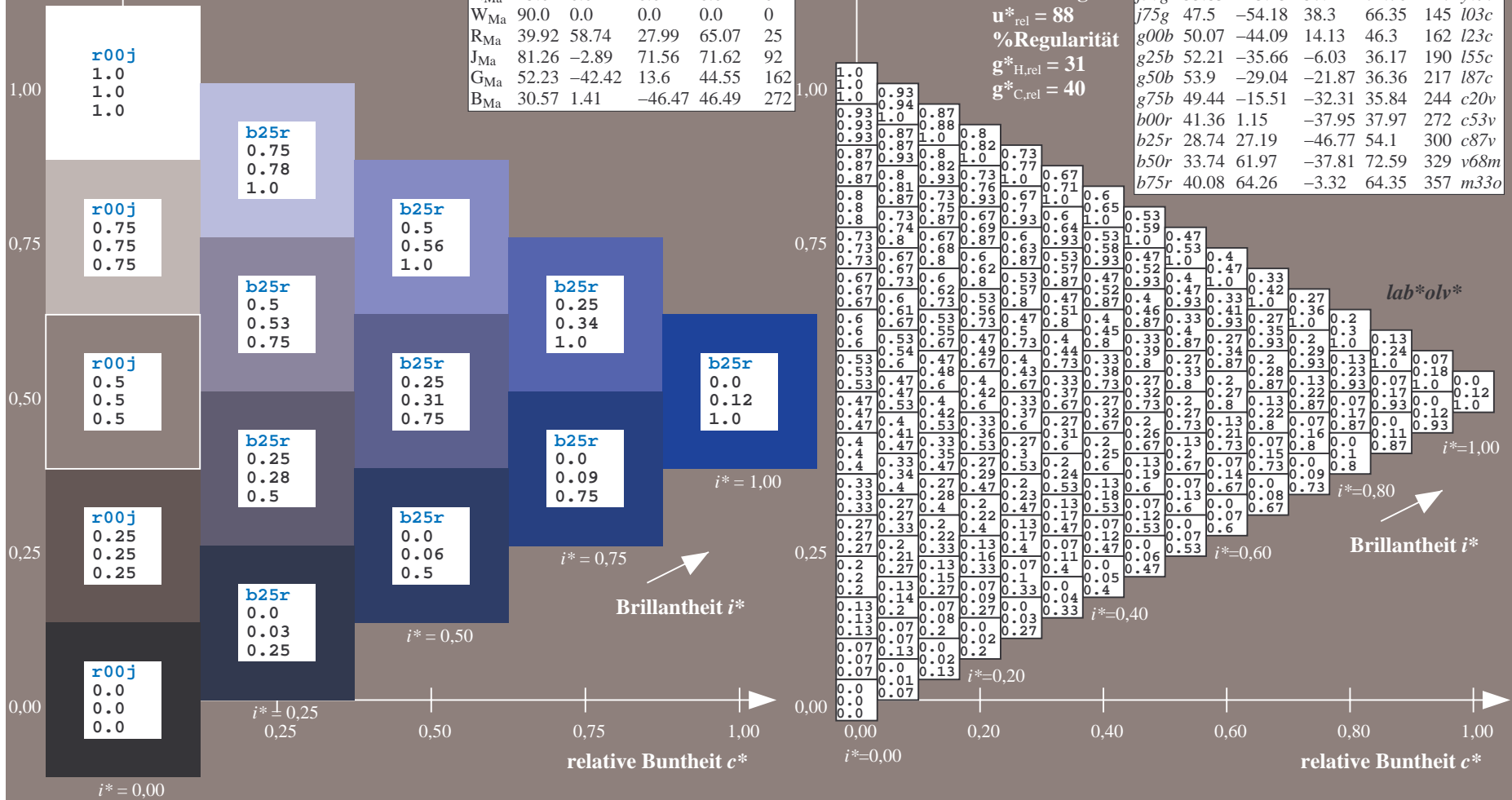
$lab^*olv^*_{Ma}$: 0.0 0.12 1.0

Dreiecks-Helligkeit t^*

FRS15_90a; adaptierte CIELAB-Daten

	u^*_e	$L^*=L^*_a$	a^*_a	b^*_a	$C^*_{ab,a}$	$h^*_{ab,a}$	u^*_d
r00j	39.18	56.94	27.13	63.07	25	m81o	
r25j	42.41	49.1	44.5	66.26	42	o10y	
r50j	52.78	35.22	58.37	68.17	59	o40y	
r75j	64.82	19.12	74.47	76.89	76	o69y	
j00g	82.06	-3.94	97.52	97.6	92	o98y	
j25g	67.26	-26.87	74.67	79.36	110	y34l	
j50g	55.83	-43.45	57.11	71.76	127	y69l	
j75g	47.5	-54.18	38.3	66.35	145	l03c	
g00b	50.07	-44.09	14.13	46.3	162	i23c	
g25b	52.21	-35.66	-6.03	36.17	190	i55c	
g50b	53.9	-29.04	-21.87	36.36	217	i87c	
g75b	49.44	-15.51	-32.31	35.84	244	c20v	
b00r	41.36	1.15	-37.95	37.97	272	c53v	
b25r	28.74	27.19	-46.77	54.1	300	c87v	
b50r	33.74	61.97	-37.81	72.59	329	v68m	
b75r	40.08	64.26	-3.32	64.35	357	m33o	

lab^*olv^*



Ein und Ausgabe: Farbmatisches Drucker-Reflektiv-System FRS15_90a für relativen CIELAB-Bunton $h^* = lab^*h^* = h_{ab}/360 = 0.913$

$u^*_e = b50r$

Daten für jede Farbe:

lab^*ch^* und lab^*icu^*

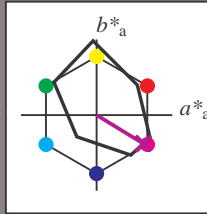
Buntontexte:

$u^*_e = b50r$ $u^*_d = v68m$

Kontrastreduzierungsfaktor:

$c_R = 0.9$

Dreiecks-Helligkeit t^*



FRS15_90a; adaptierte CIELAB-Daten

u^*_e	$L^*=L^*_a$	a^*_a	b^*_a	$C^*_{ab,a}$	$h^*_{ab,a}$
O _{Ma}	38.8	53.92	39.68	66.95	36
Y _{Ma}	82.58	-4.64	98.22	98.33	93
L _{Ma}	46.95	-56.34	43.46	71.15	142
C _{Ma}	54.62	-26.2	-28.68	38.85	228
V _{Ma}	20.01	45.2	-52.87	69.56	311
M _{Ma}	40.88	70.68	-29.99	76.78	337
N _{Ma}	15.0	0.0	0.0	0.0	0
W _{Ma}	90.0	0.0	0.0	0.0	0
R _{Ma}	39.92	58.74	27.99	65.07	25
J _{Ma}	81.26	-2.89	71.56	71.62	92
G _{Ma}	52.23	-42.42	13.6	44.55	162
B _{Ma}	30.57	1.41	-46.47	46.49	272

Daten für Maximalfarbe (Ma):

$LAB^*LAB^*_{Ma}$: 34 62 -38

$LAB^*LCH^*_{Ma}$: 34 73 328

$lab^*rgb^*_{Ma}$: 1.0 0.0 1.0

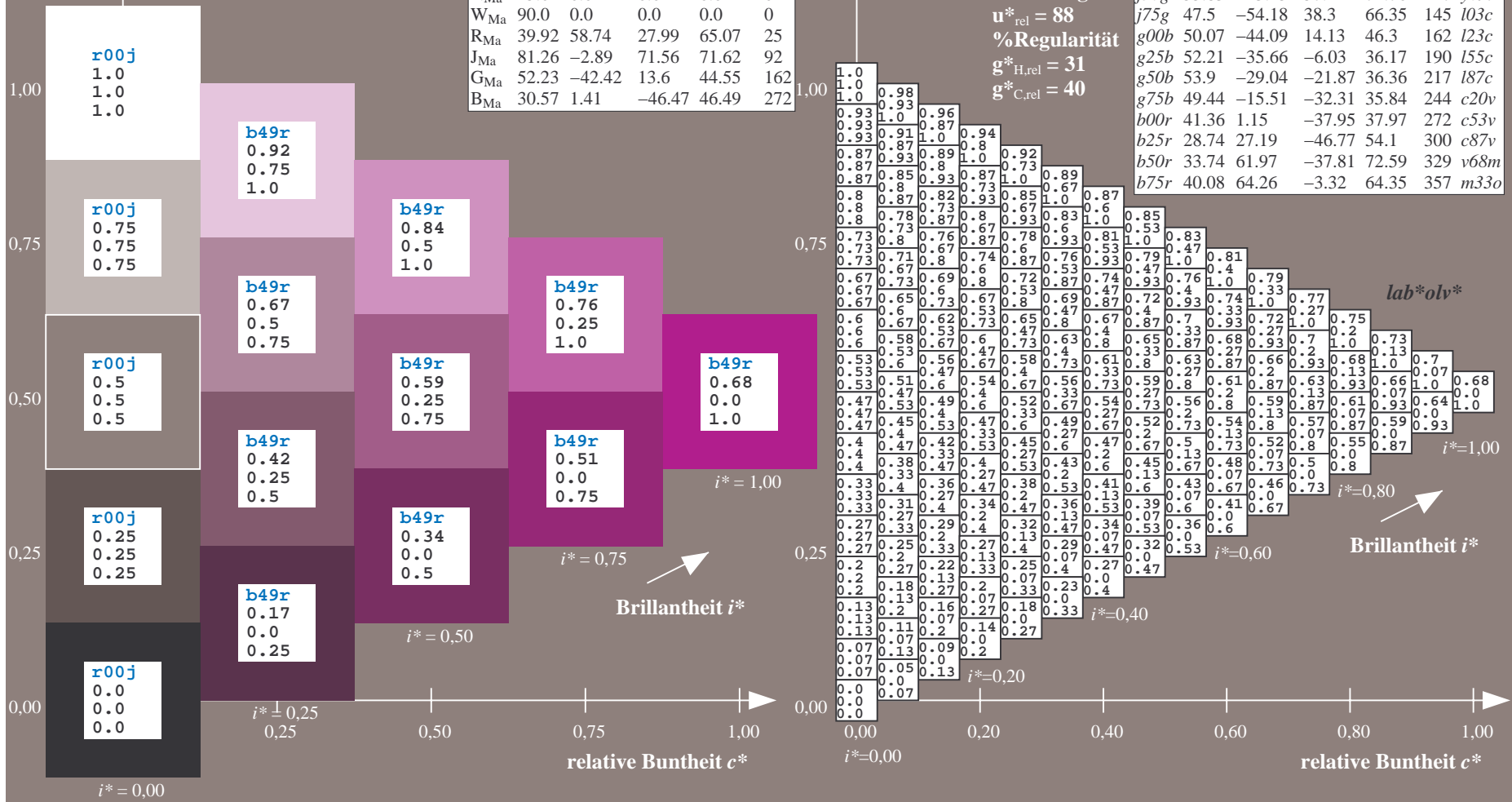
$lab^*olv^*_{Ma}$: 0.68 0.0 1.0

Dreiecks-Helligkeit t^*

FRS15_90a; adaptierte CIELAB-Daten

u^*_e	$L^*=L^*_a$	a^*_a	b^*_a	$C^*_{ab,a}$	$h^*_{ab,a}$	u^*_d
r00j	39.18	56.94	27.13	63.07	25	m81o
r25j	42.41	49.1	44.5	66.26	42	o10y
r50j	52.78	35.22	58.37	68.17	59	o40y
r75j	64.82	19.12	74.47	76.89	76	o69y
j00g	82.06	-3.94	97.52	97.6	92	o98y
j25g	67.26	-26.87	74.67	79.36	110	y34l
j50g	55.83	-43.45	57.11	71.76	127	y69l
j75g	47.5	-54.18	38.3	66.35	145	l03c
g00b	50.07	-44.09	14.13	46.3	162	l23c
g25b	52.21	-35.66	-6.03	36.17	190	l55c
g50b	53.9	-29.04	-21.87	36.36	217	l87c
g75b	49.44	-15.51	-32.31	35.84	244	c20v
b00r	41.36	1.15	-37.95	37.97	272	c53v
b25r	28.74	27.19	-46.77	54.1	300	c87v
b50r	33.74	61.97	-37.81	72.59	329	v68m
b75r	40.08	64.26	-3.32	64.35	357	m33o

lab^*olv^*



Ein und Ausgabe: Farbmatisches Drucker-Reflektiv-System FRS15_90a für relativen CIELAB-Bunton $h^* = lab^*h^* = h_{ab}/360 = 0.992$

$u^*_e = b75r$

Daten für jede Farbe:

lab^*ch^* und lab^*icu^*

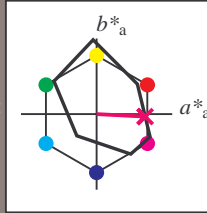
Buntontexte:

$u^*_e = b75r$ $u^*_d = m33o$

Kontrastreduzierungsfaktor:

$c_R = 0.9$

Dreiecks-Helligkeit t^*



FRS15_90a; adaptierte CIELAB-Daten

	u^*_e	$L^*=L^*_a$	a^*_a	b^*_a	$C^*_{ab,a}$	$h^*_{ab,a}$
O _{Ma}	38.8	53.92	39.68	66.95	36	
Y _{Ma}	82.58	-4.64	98.22	98.33	93	
L _{Ma}	46.95	-56.34	43.46	71.15	142	
C _{Ma}	54.62	-26.2	-28.68	38.85	228	
V _{Ma}	20.01	45.2	-52.87	69.56	311	
M _{Ma}	40.88	70.68	-29.99	76.78	337	
N _{Ma}	15.0	0.0	0.0	0.0	0	
W _{Ma}	90.0	0.0	0.0	0.0	0	
R _{Ma}	39.92	58.74	27.99	65.07	25	
J _{Ma}	81.26	-2.89	71.56	71.62	92	
G _{Ma}	52.23	-42.42	13.6	44.55	162	
B _{Ma}	30.57	1.41	-46.47	46.49	272	

Daten für Maximalfarbe (Ma):

$LAB^*LAB^*_{Ma}$: 40 64 -3

$LAB^*LCH^*_{Ma}$: 40 64 357

$lab^*rgb^*_{Ma}$: 1.0 0.0 0.5

$lab^*olv^*_{Ma}$: 1.0 0.0 0.66

Dreiecks-Helligkeit t^*

%Umfang

$u^*_{rel} = 88$

%Regularität

$g^*_{H,rel} = 31$

$g^*_{C,rel} = 40$

FRS15_90a; adaptierte CIELAB-Daten

	u^*_e	$L^*=L^*_a$	a^*_a	b^*_a	$C^*_{ab,a}$	$h^*_{ab,a}$	u^*_d
r00j	39.18	56.94	27.13	63.07	25	m81o	
r25j	42.41	49.1	44.5	66.26	42	o10y	
r50j	52.78	35.22	58.37	68.17	59	o40y	
r75j	64.82	19.12	74.47	76.89	76	o69y	
j00g	82.06	-3.94	97.52	97.6	92	o98y	
j25g	67.26	-26.87	74.67	79.36	110	y34l	
j50g	55.83	-43.45	57.11	71.76	127	y69l	
j75g	47.5	-54.18	38.3	66.35	145	l03c	
g00b	50.07	-44.09	14.13	46.3	162	l23c	
g25b	52.21	-35.66	-6.03	36.17	190	l55c	
g50b	53.9	-29.04	-21.87	36.36	217	l87c	
g75b	49.44	-15.51	-32.31	35.84	244	c20v	
b00r	41.36	1.15	-37.95	37.97	272	c53v	
b25r	28.74	27.19	-46.77	54.1	300	c87v	
b50r	33.74	61.97	-37.81	72.59	329	v68m	
b75r	40.08	64.26	-3.32	64.35	357	m33o	

lab^*olv^*

$i^* = 1.00$

Brillantheit i^*

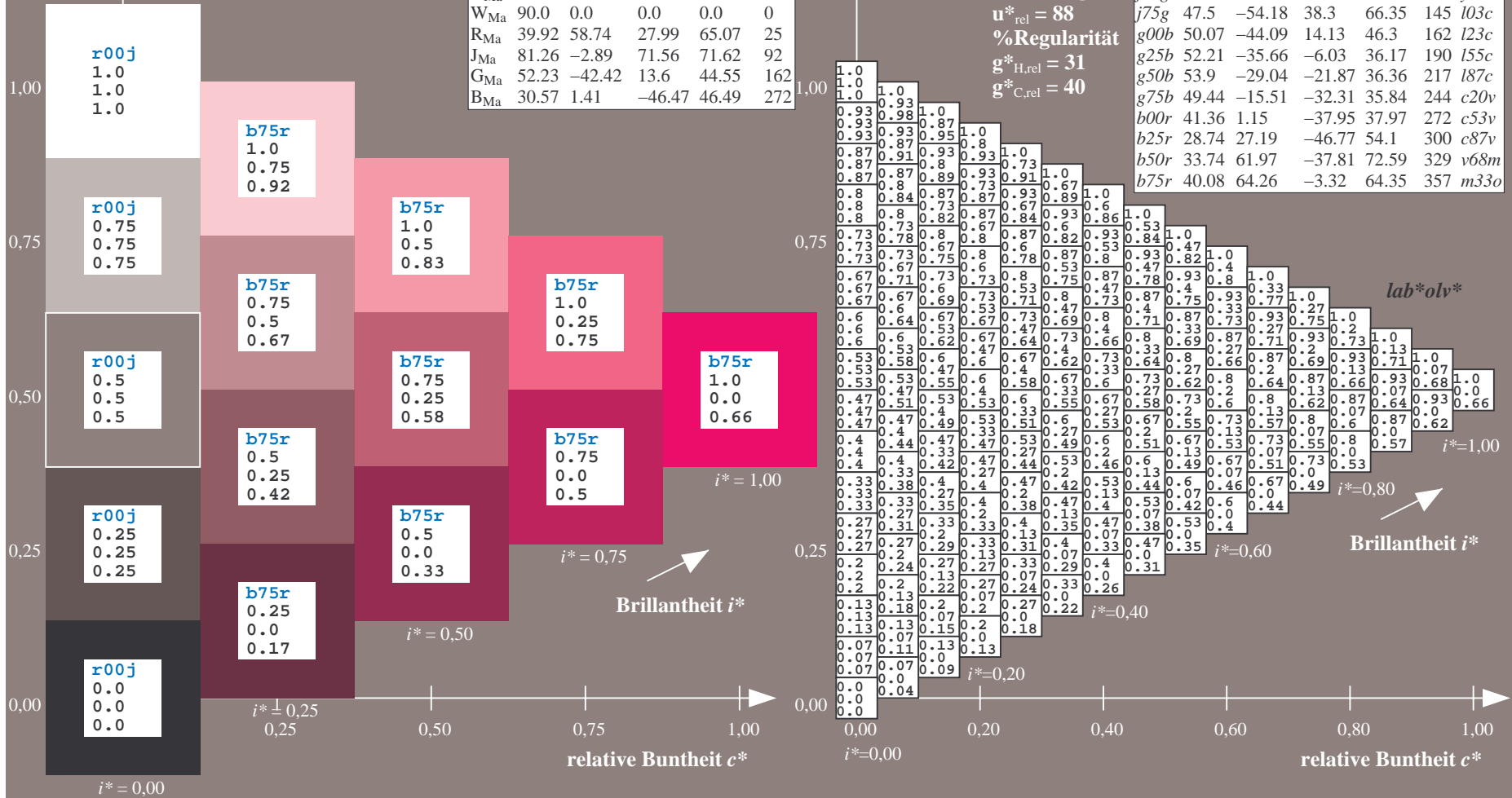
$i^* = 0.80$

$i^* = 0.60$

$i^* = 0.40$

$i^* = 0.20$

$i^* = 0.04$



Ein und Ausgabe:
 Farbmetrisches Drucker-Reflektiv-System FRS15_90a

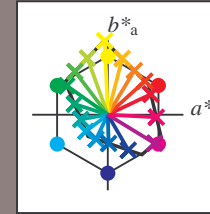
Daten für jede Farbe:
 u^*_e und Nummer $Nr. = 00 \dots 15$

Elementar-Bunttextext:
 $u^*_e = 16$ Bunttoene $r00j, r25j, \dots, b75r$

Kontrastreduzierungsfaktor:
 $c_R = 0.9$

FRS15_90a; adaptierte CIELAB-Daten

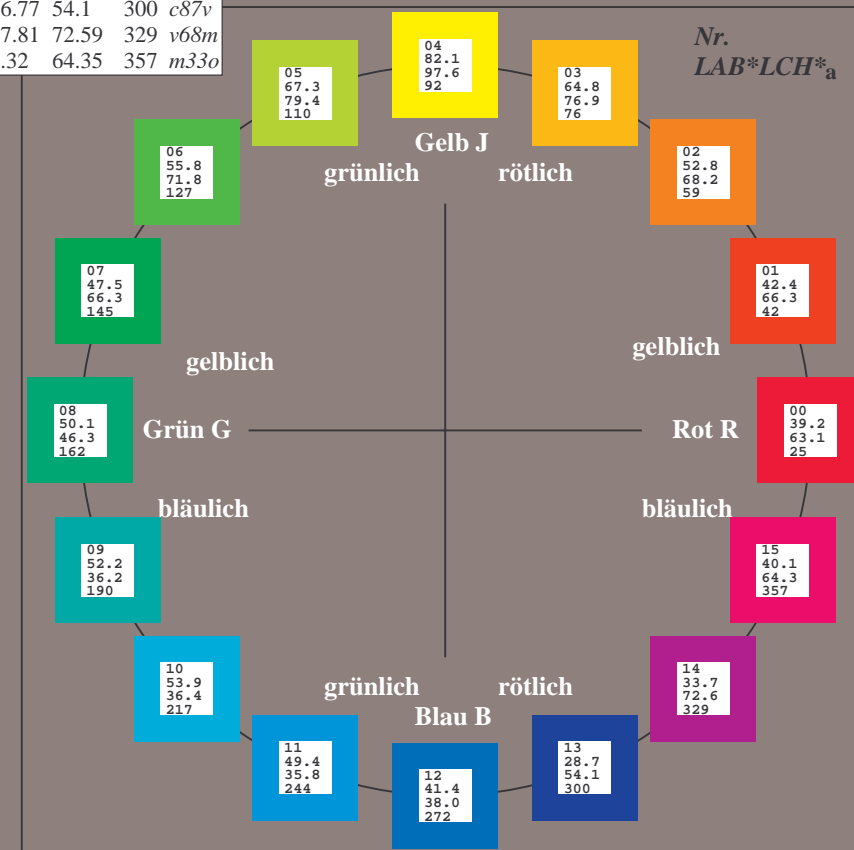
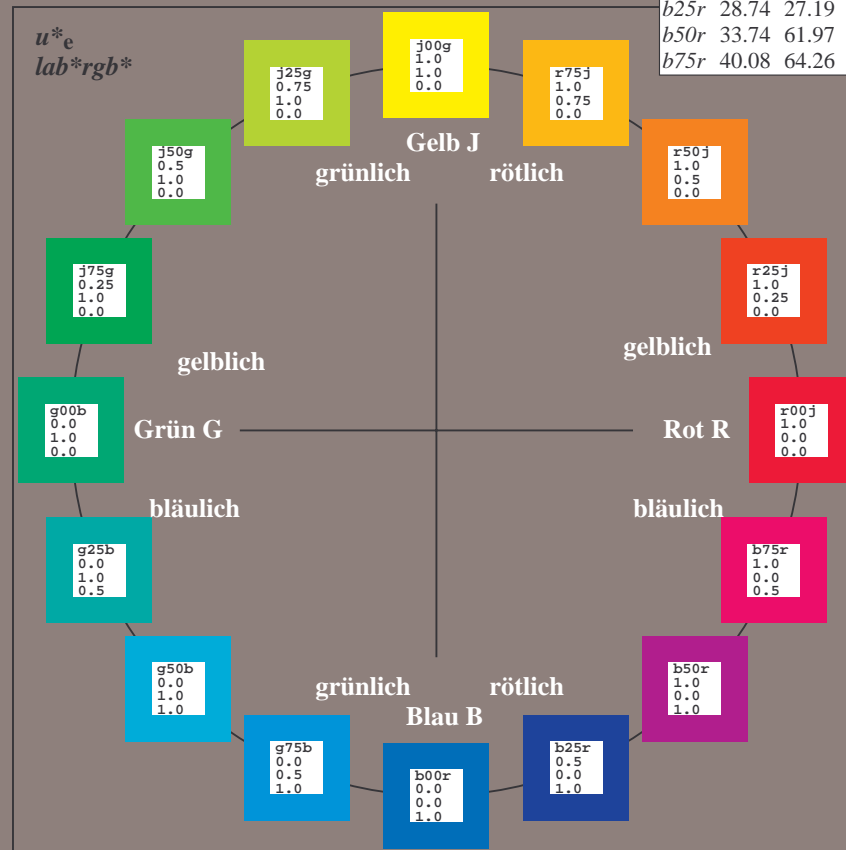
u^*_e	$L^*=L^*_a$	a^*_a	b^*_a	$C^*_{ab,a}$	$h^*_{ab,a}$	u^*_d
r00j	39.18	56.94	27.13	63.07	25	m81o
r25j	42.41	49.1	44.5	66.26	42	o10y
r50j	52.78	35.22	58.37	68.17	59	o40y
r75j	64.82	19.12	74.47	76.89	76	o69y
j00g	82.06	-3.94	97.52	97.6	92	o98y
j25g	67.26	-26.87	74.67	79.36	110	y34l
j50g	55.83	-43.45	57.11	71.76	127	y69l
j75g	47.5	-54.18	38.3	66.35	145	l03c
g00b	50.07	-44.09	14.13	46.3	162	l23c
g25b	52.21	-35.66	-6.03	36.17	190	l55c
g50b	53.9	-29.04	-21.87	36.36	217	l87c
g75b	49.44	-15.51	-32.31	35.84	244	c20v
b00r	41.36	1.15	-37.95	37.97	272	c53v
b25r	28.74	27.19	-46.77	54.1	300	c87v
b50r	33.74	61.97	-37.81	72.59	329	v68m
b75r	40.08	64.26	-3.32	64.35	357	m33o



%Umfang
 $u^*_{rel} = 88$
 %Regularität
 $g^*_{H,rel} = 31$
 $g^*_{C,rel} = 40$

FRS15_90a; adaptierte CIELAB-Daten

Name	$L^*=L^*_a$	a^*_a	b^*_a	$C^*_{ab,a}$	$h^*_{ab,a}$
OMa	38.8	53.92	39.68	66.95	36
YMa	82.58	-4.64	98.22	98.33	93
LMa	46.95	-56.34	43.46	71.15	142
CMa	54.62	-26.2	-28.68	38.85	228
VMa	20.01	45.2	-52.87	69.56	311
MMa	40.88	70.68	-29.99	76.78	337
NMa	15.0	0.0	0.0	0.0	0
WMa	90.0	0.0	0.0	0.0	0
RCIE	39.92	58.74	27.99	65.07	25
JCIE	81.26	-2.89	71.56	71.62	92
GCIE	52.23	-42.42	13.6	44.55	162
BCIE	30.57	1.41	-46.47	46.49	272



Ein und Ausgabe: Farbmatisches Drucker-Reflektiv-System FRS15_90a für relativen CIELAB-Bunton $h^* = lab^*h^* = h_{ab}/360 = 0.071$

$$u^*_e = r00j$$

$$lab^*rgb^*$$

Daten für jede Farbe:

lab^*tch^* und lab^*icu^*

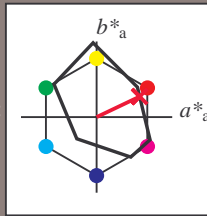
Buntontexte:

$u^*_e = r00j$ $u^*_d = m81o$

Kontrastreduzierungsfaktor:

$c_R = 0.9$

Dreiecks-Helligkeit t^*



FRS15_90a; adaptierte CIELAB-Daten

u^*_e	$L^*=L^*_a$	a^*_a	b^*_a	$C^*_{ab,a}$	$h^*_{ab,a}$
O _{Ma}	38.8	53.92	39.68	66.95	36
Y _{Ma}	82.58	-4.64	98.22	98.33	93
L _{Ma}	46.95	-56.34	43.46	71.15	142
C _{Ma}	54.62	-26.2	-28.68	38.85	228
V _{Ma}	20.01	45.2	-52.87	69.56	311
M _{Ma}	40.88	70.68	-29.99	76.78	337
N _{Ma}	15.0	0.0	0.0	0.0	0
W _{Ma}	90.0	0.0	0.0	0.0	0
R _{Ma}	39.92	58.74	27.99	65.07	25
J _{Ma}	81.26	-2.89	71.56	71.62	92
G _{Ma}	52.23	-42.42	13.6	44.55	162
B _{Ma}	30.57	1.41	-46.47	46.49	272

Daten für Maximalfarbe (Ma):

$LAB^*LAB^*_{Ma}$: 39 57 27

$LAB^*LCH^*_{Ma}$: 39 63 25

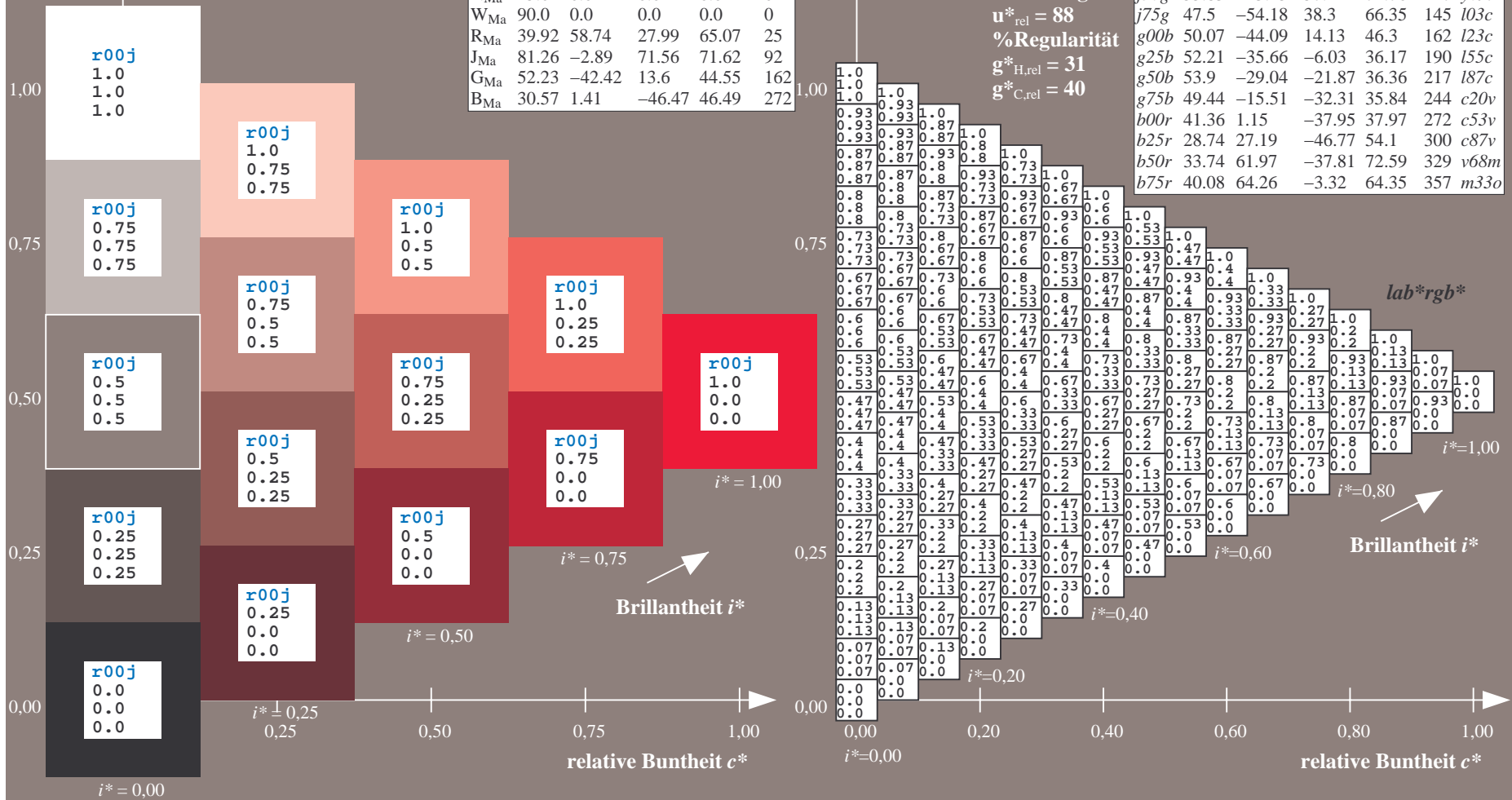
$lab^*rgb^*_{Ma}$: 1.0 0.0 0.0

$lab^*olv^*_{Ma}$: 1.0 0.0 0.18

Dreiecks-Helligkeit t^*

FRS15_90a; adaptierte CIELAB-Daten

u^*_e	$L^*=L^*_a$	a^*_a	b^*_a	$C^*_{ab,a}$	$h^*_{ab,a}$	u^*_d
r00j	39.18	56.94	27.13	63.07	25	m81o
r25j	42.41	49.1	44.5	66.26	42	o10y
r50j	52.78	35.22	58.37	68.17	59	o40y
r75j	64.82	19.12	74.47	76.89	76	o69y
j00g	82.06	-3.94	97.52	97.6	92	o98y
j25g	67.26	-26.87	74.67	79.36	110	y34l
j50g	55.83	-43.45	57.11	71.76	127	y69l
j75g	47.5	-54.18	38.3	66.35	145	l03c
g00b	50.07	-44.09	14.13	46.3	162	l23c
g25b	52.21	-35.66	-6.03	36.17	190	l55c
g50b	53.9	-29.04	-21.87	36.36	217	l87c
g75b	49.44	-15.51	-32.31	35.84	244	c20v
b00r	41.36	1.15	-37.95	37.97	272	c53v
b25r	28.74	27.19	-46.77	54.1	300	c87v
b50r	33.74	61.97	-37.81	72.59	329	v68m
b75r	40.08	64.26	-3.32	64.35	357	m33o



Ein und Ausgabe: Farbmatisches Drucker-Reflektiv-System FRS15_90a für relativen CIELAB-Bunton $h^* = lab^*h^* = h_{ab}/360 = 0.117$

$u^*_e = r25j$
 lab^*rgb^*

Daten für jede Farbe:

lab^*tch^* und lab^*icu^*

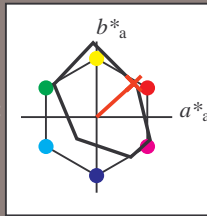
Buntontexte:

$u^*_e = r25j$ $u^*_d = o10y$

Kontrastreduzierungsfaktor:

$c_R = 0.9$

Dreiecks-Helligkeit t^*



FRS15_90a; adaptierte CIELAB-Daten

u^*_e	$L^*=L^*_a$	a^*_a	b^*_a	$C^*_{ab,a}$	$h^*_{ab,a}$
O _{Ma}	38.8	53.92	39.68	66.95	36
Y _{Ma}	82.58	-4.64	98.22	98.33	93
L _{Ma}	46.95	-56.34	43.46	71.15	142
C _{Ma}	54.62	-26.2	-28.68	38.85	228
V _{Ma}	20.01	45.2	-52.87	69.56	311
M _{Ma}	40.88	70.68	-29.99	76.78	337
N _{Ma}	15.0	0.0	0.0	0.0	0
W _{Ma}	90.0	0.0	0.0	0.0	0
R _{Ma}	39.92	58.74	27.99	65.07	25
J _{Ma}	81.26	-2.89	71.56	71.62	92
G _{Ma}	52.23	-42.42	13.6	44.55	162
B _{Ma}	30.57	1.41	-46.47	46.49	272

Daten für Maximalfarbe (Ma):

$LAB^*LAB^*_{Ma}$: 42 49 44

$LAB^*LCH^*_{Ma}$: 42 66 42

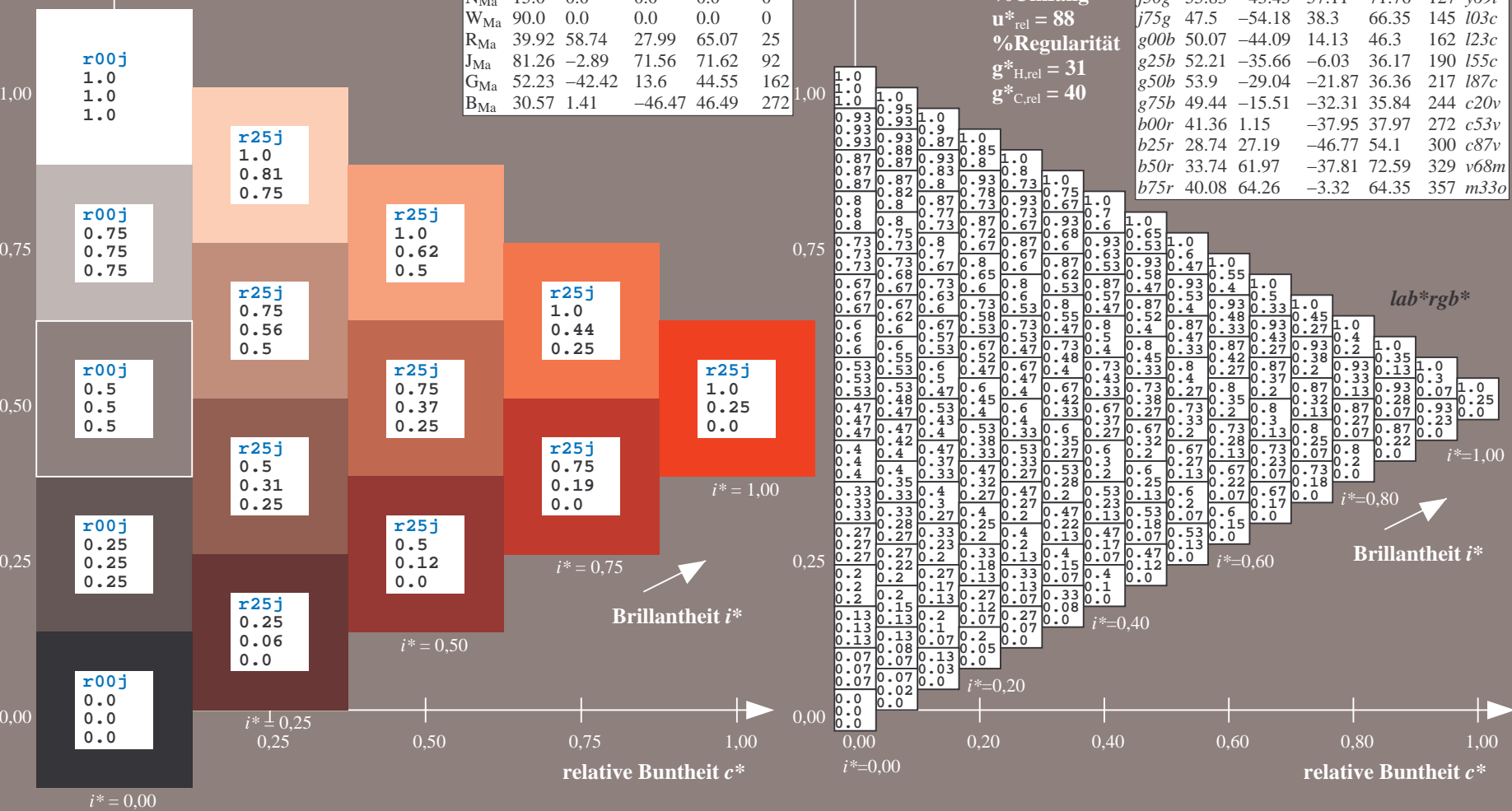
$lab^*rgb^*_{Ma}$: 1.0 0.25 0.0

$lab^*olv^*_{Ma}$: 1.0 0.1 0.0

Dreiecks-Helligkeit t^*

FRS15_90a; adaptierte CIELAB-Daten

u^*_e	$L^*=L^*_a$	a^*_a	b^*_a	$C^*_{ab,a}$	$h^*_{ab,a}$	u^*_d
r00j	39.18	56.94	27.13	63.07	25	m81o
r25j	42.41	49.1	44.5	66.26	42	o10y
r50j	52.78	35.22	58.37	68.17	59	o40y
r75j	64.82	19.12	74.47	76.89	76	o69y
j00g	82.06	-3.94	97.52	97.6	92	o98y
j25g	67.26	-26.87	74.67	79.36	110	y34l
j50g	55.83	-43.45	57.11	71.76	127	y69l
j75g	47.5	-54.18	38.3	66.35	145	l03c
g00b	50.07	-44.09	14.13	46.3	162	l23c
g25b	52.21	-35.66	-6.03	36.17	190	l55c
g50b	53.9	-29.04	-21.87	36.36	217	l87c
g75b	49.44	-15.51	-32.31	35.84	244	c20v
b00r	41.36	1.15	-37.95	37.97	272	c53v
b25r	28.74	27.19	-46.77	54.1	300	c87v
b50r	33.74	61.97	-37.81	72.59	329	v68m
b75r	40.08	64.26	-3.32	64.35	357	m33o



%Umfang
 $u^*_{rel} = 88$
%Regularität
 $g^*_{H,rel} = 31$
 $g^*_{C,rel} = 40$

lab^*rgb^*
 $i^* = 1.00$
 $i^* = 0.80$
 $i^* = 0.60$
 $i^* = 0.40$
 $i^* = 0.20$
 $i^* = 0.00$

Brillantheit i^*

Brillantheit i^*

Ein und Ausgabe: Farbmatisches Drucker-Reflektiv-System FRS15_90a für relativen CIELAB-Bunton $h^* = lab^*h^* = h_{ab}/360 = 0.164$

$u^*_e = r50j$
 lab^*rgb^*

Daten für jede Farbe:

lab^*tch^* und lab^*icu^*

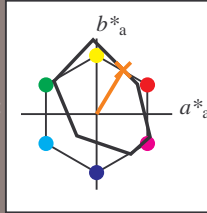
Buntontexte:

$u^*_e = r50j$ $u^*_d = o40y$

Kontrastreduzierungsfaktor:

$c_R = 0.9$

Dreiecks-Helligkeit t^*



FRS15_90a; adaptierte CIELAB-Daten						
u^*_e	$L^*=L^*_a$	a^*_a	b^*_a	$C^*_{ab,a}$	$h^*_{ab,a}$	
O _{Ma}	38.8	53.92	39.68	66.95	36	
Y _{Ma}	82.58	-4.64	98.22	98.33	93	
L _{Ma}	46.95	-56.34	43.46	71.15	142	
C _{Ma}	54.62	-26.2	-28.68	38.85	228	
V _{Ma}	20.01	45.2	-52.87	69.56	311	
M _{Ma}	40.88	70.68	-29.99	76.78	337	
N _{Ma}	15.0	0.0	0.0	0.0	0	
W _{Ma}	90.0	0.0	0.0	0.0	0	
R _{Ma}	39.92	58.74	27.99	65.07	25	
J _{Ma}	81.26	-2.89	71.56	71.62	92	
G _{Ma}	52.23	-42.42	13.6	44.55	162	
B _{Ma}	30.57	1.41	-46.47	46.49	272	

Daten für Maximalfarbe (Ma):

$LAB^*LAB^*_{Ma}: 53\ 35\ 58$

$LAB^*LCH^*_{Ma}: 53\ 68\ 58$

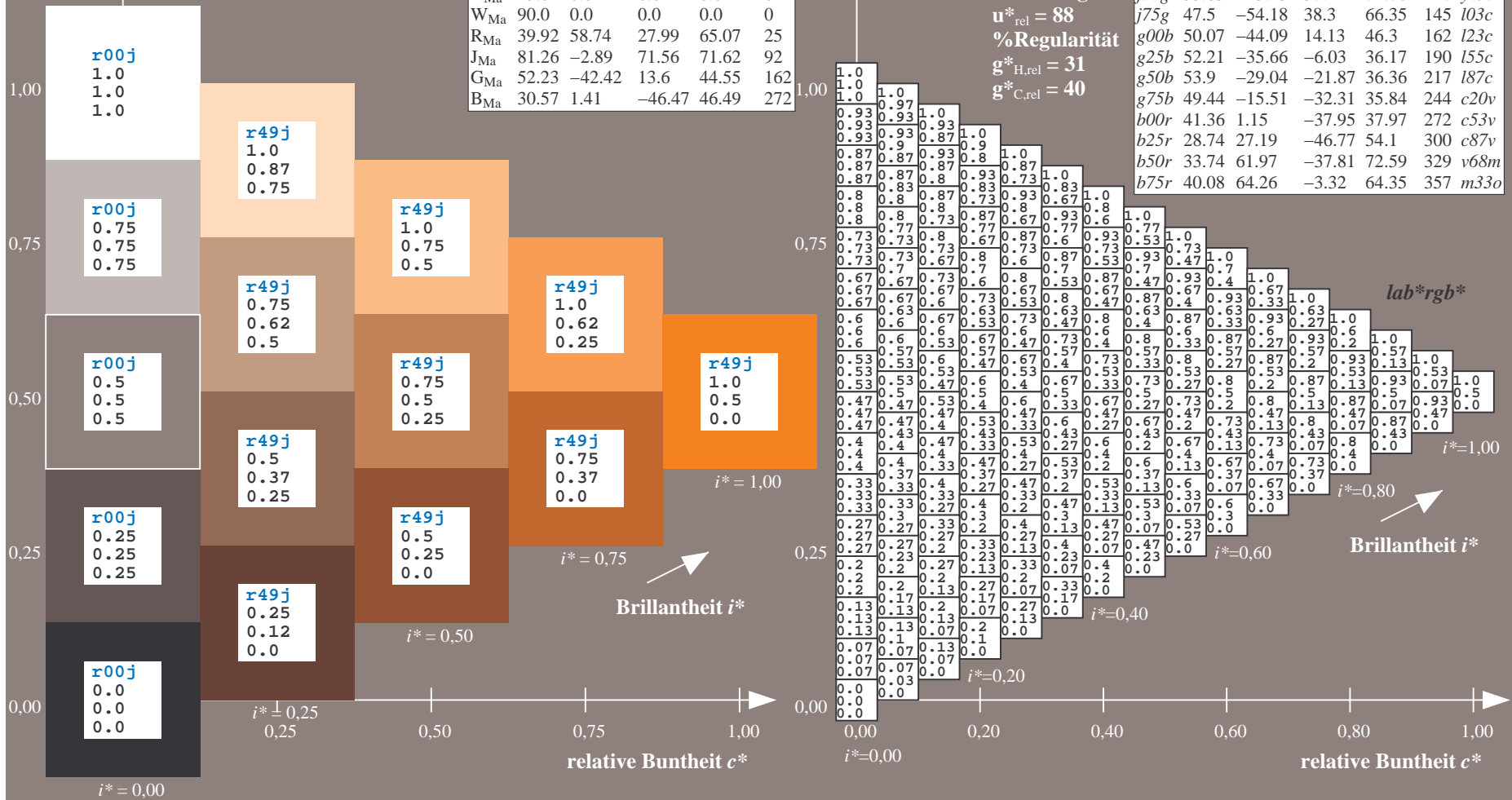
$lab^*rgb^*_{Ma}: 1.0\ 0.5\ 0.0$

$lab^*olv^*_{Ma}: 1.0\ 0.4\ 0.0$

Dreiecks-Helligkeit t^*

FRS15_90a; adaptierte CIELAB-Daten

u^*_e	$L^*=L^*_a$	a^*_a	b^*_a	$C^*_{ab,a}$	$h^*_{ab,a}$	u^*_d
r00j	39.18	56.94	27.13	63.07	25	m81o
r25j	42.41	49.1	44.5	66.26	42	o10y
r50j	52.78	35.22	58.37	68.17	59	o40y
r75j	64.82	19.12	74.47	76.89	76	o69y
j00g	82.06	-3.94	97.52	97.6	92	o98y
j25g	67.26	-26.87	74.67	79.36	110	y34l
j50g	55.83	-43.45	57.11	71.76	127	y69l
j75g	47.5	-54.18	38.3	66.35	145	l03c
g00b	50.07	-44.09	14.13	46.3	162	l23c
g25b	52.21	-35.66	-6.03	36.17	190	l55c
g50b	53.9	-29.04	-21.87	36.36	217	l87c
g75b	49.44	-15.51	-32.31	35.84	244	c20v
b00r	41.36	1.15	-37.95	37.97	272	c53v
b25r	28.74	27.19	-46.77	54.1	300	c87v
b50r	33.74	61.97	-37.81	72.59	329	v68m
b75r	40.08	64.26	-3.32	64.35	357	m33o



Ein und Ausgabe: Farbmatisches Drucker-Reflektiv-System FRS15_90a für relativen CIELAB-Bunton $h^* = lab^*h^* = h_{ab}/360 = 0.21$

$u^*_e = r75j$
 lab^*rgb^*

Daten für jede Farbe:

lab^*ch^* und lab^*icu^*

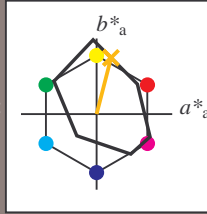
Buntontexte:

$u^*_e = r75j$ $u^*_d = o69y$

Kontrastreduzierungsfaktor:

$c_R = 0.9$

Dreiecks-Helligkeit t^*



FRS15_90a; adaptierte CIELAB-Daten						
u^*_e	$L^*=L^*_a$	a^*_a	b^*_a	$C^*_{ab,a}$	$h^*_{ab,a}$	
O _{Ma}	38.8	53.92	39.68	66.95	36	
Y _{Ma}	82.58	-4.64	98.22	98.33	93	
L _{Ma}	46.95	-56.34	43.46	71.15	142	
C _{Ma}	54.62	-26.2	-28.68	38.85	228	
V _{Ma}	20.01	45.2	-52.87	69.56	311	
M _{Ma}	40.88	70.68	-29.99	76.78	337	
N _{Ma}	15.0	0.0	0.0	0.0	0	
W _{Ma}	90.0	0.0	0.0	0.0	0	
R _{Ma}	39.92	58.74	27.99	65.07	25	
J _{Ma}	81.26	-2.89	71.56	71.62	92	
G _{Ma}	52.23	-42.42	13.6	44.55	162	
B _{Ma}	30.57	1.41	-46.47	46.49	272	

Daten für Maximalfarbe (Ma):

$LAB^*LAB^*_{Ma}$: 65 19 74

$LAB^*LCH^*_{Ma}$: 65 77 75

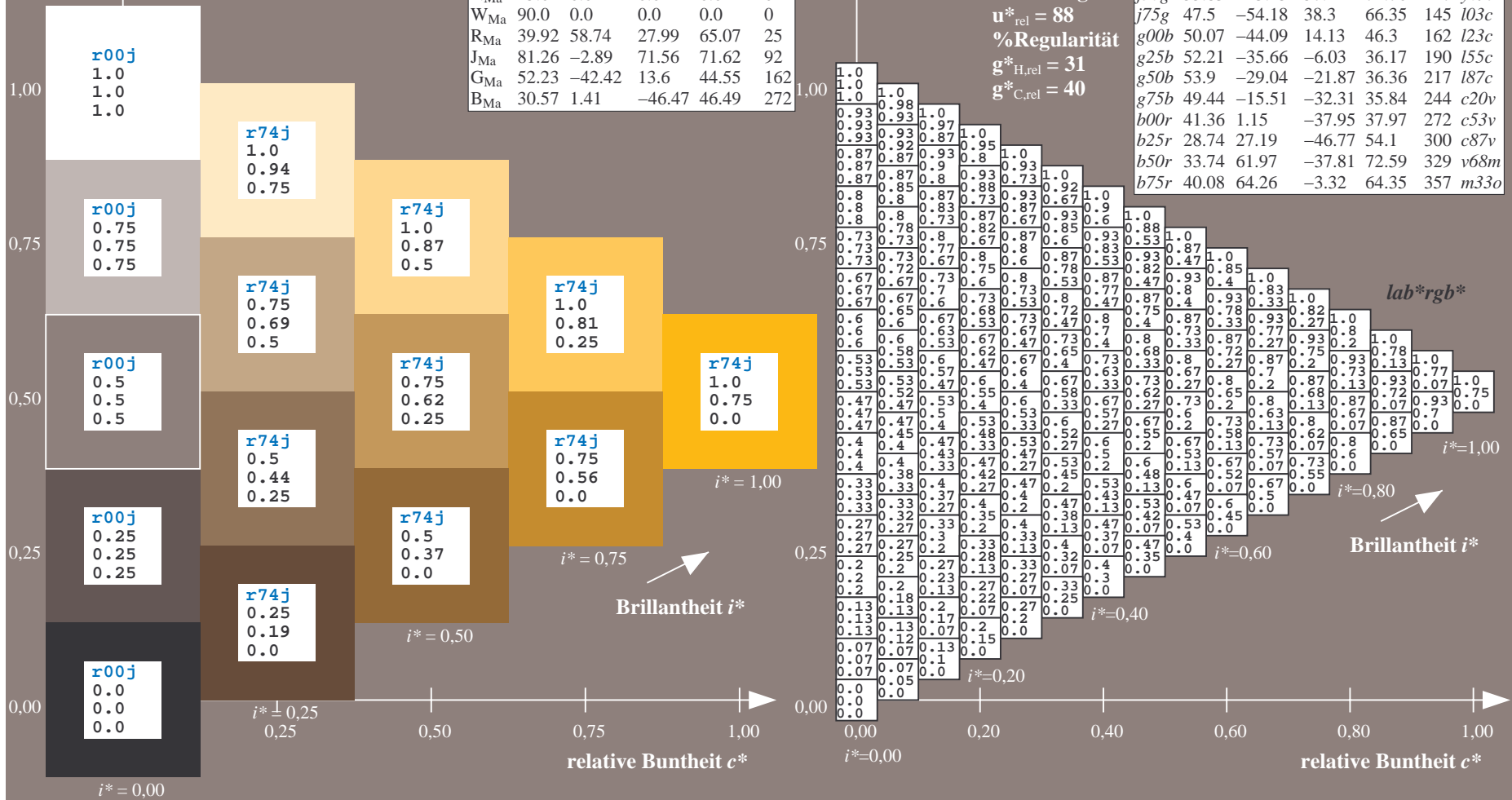
$lab^*rgb^*_{Ma}$: 1.0 0.75 0.0

$lab^*olv^*_{Ma}$: 1.0 0.7 0.0

Dreiecks-Helligkeit t^*

FRS15_90a; adaptierte CIELAB-Daten

u^*_e	$L^*=L^*_a$	a^*_a	b^*_a	$C^*_{ab,a}$	$h^*_{ab,a}$	u^*_d
r00j	39.18	56.94	27.13	63.07	25	m81o
r25j	42.41	49.1	44.5	66.26	42	o10y
r50j	52.78	35.22	58.37	68.17	59	o40y
r75j	64.82	19.12	74.47	76.89	76	o69y
j00g	82.06	-3.94	97.52	97.6	92	o98y
j25g	67.26	-26.87	74.67	79.36	110	y34l
j50g	55.83	-43.45	57.11	71.76	127	y69l
j75g	47.5	-54.18	38.3	66.35	145	l03c
g00b	50.07	-44.09	14.13	46.3	162	l23c
g25b	52.21	-35.66	-6.03	36.17	190	l55c
g50b	53.9	-29.04	-21.87	36.36	217	l87c
g75b	49.44	-15.51	-32.31	35.84	244	c20v
b00r	41.36	1.15	-37.95	37.97	272	c53v
b25r	28.74	27.19	-46.77	54.1	300	c87v
b50r	33.74	61.97	-37.81	72.59	329	v68m
b75r	40.08	64.26	-3.32	64.35	357	m33o



Ein und Ausgabe: Farbmatisches Drucker-Reflektiv-System FRS15_90a für relativen CIELAB-Bunton $h^* = lab^*h^* = h_{ab}/360 = 0.256$

$u^*_e = j00g$
 lab^*rgb^*

Daten für jede Farbe:

lab^*tch^* und lab^*icu^*

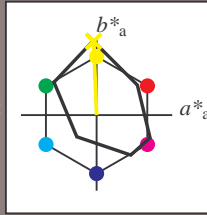
Buntontexte:

$u^*_e = j00g$ $u^*_d = o98y$

Kontrastreduzierungsfaktor:

$c_R = 0.9$

Dreiecks-Helligkeit t^*



FRS15_90a; adaptierte CIELAB-Daten

u^*_e	$L^*=L^*_a$	a^*_a	b^*_a	$C^*_{ab,a}$	$h^*_{ab,a}$
O _{Ma}	38.8	53.92	39.68	66.95	36
Y _{Ma}	82.58	-4.64	98.22	98.33	93
L _{Ma}	46.95	-56.34	43.46	71.15	142
C _{Ma}	54.62	-26.2	-28.68	38.85	228
V _{Ma}	20.01	45.2	-52.87	69.56	311
M _{Ma}	40.88	70.68	-29.99	76.78	337
N _{Ma}	15.0	0.0	0.0	0.0	0
W _{Ma}	90.0	0.0	0.0	0.0	0
R _{Ma}	39.92	58.74	27.99	65.07	25
J _{Ma}	81.26	-2.89	71.56	71.62	92
G _{Ma}	52.23	-42.42	13.6	44.55	162
B _{Ma}	30.57	1.41	-46.47	46.49	272

Daten für Maximalfarbe (Ma):

$LAB^*LAB^*_{Ma}$: 82 -4 98

$LAB^*LCH^*_{Ma}$: 82 98 92

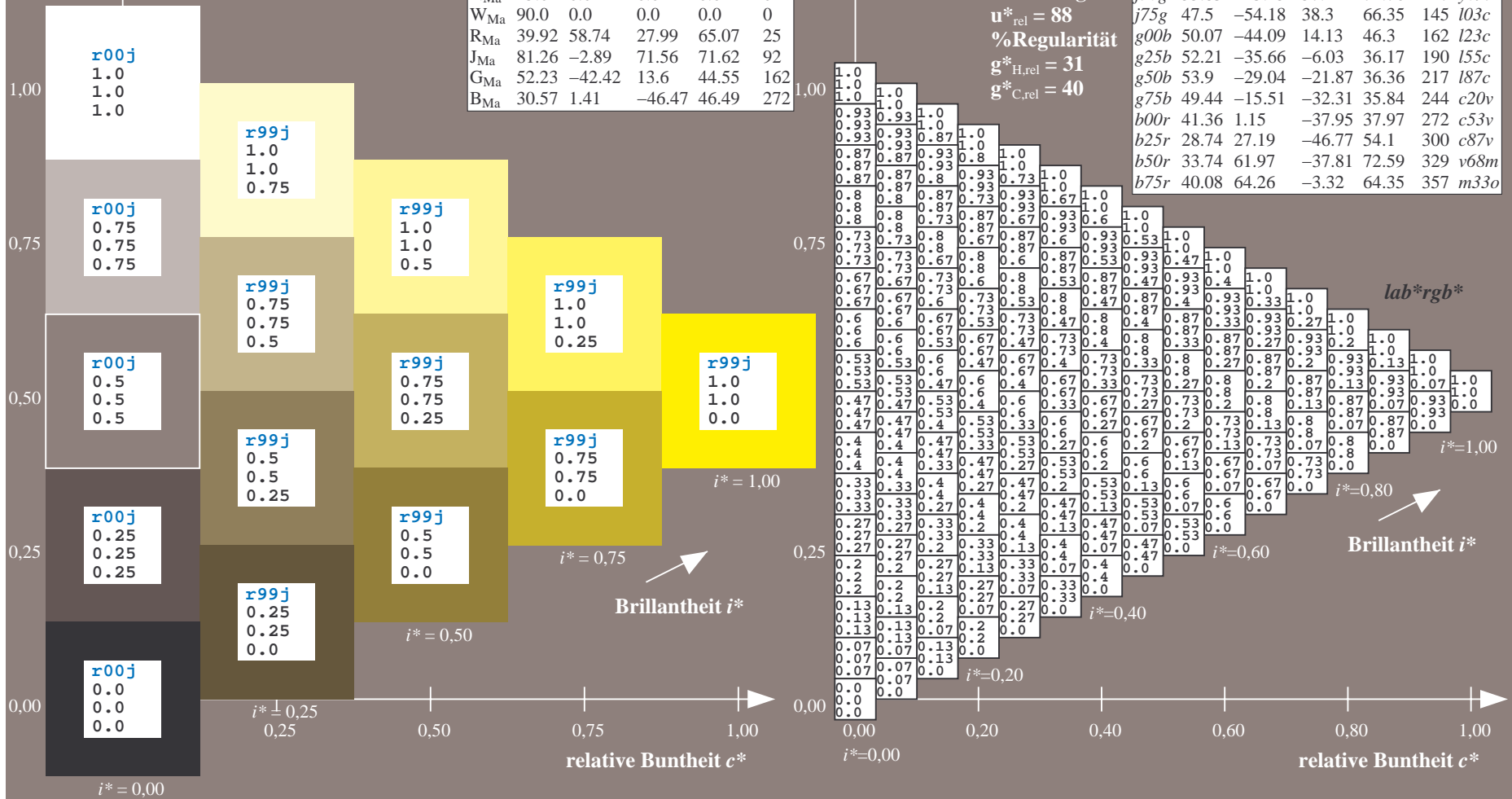
$lab^*rgb^*_{Ma}$: 1.0 1.0 0.0

$lab^*olv^*_{Ma}$: 1.0 0.99 0.0

Dreiecks-Helligkeit t^*

FRS15_90a; adaptierte CIELAB-Daten

u^*_e	$L^*=L^*_a$	a^*_a	b^*_a	$C^*_{ab,a}$	$h^*_{ab,a}$	u^*_d
r00j	39.18	56.94	27.13	63.07	25	m81o
r25j	42.41	49.1	44.5	66.26	42	o10y
r50j	52.78	35.22	58.37	68.17	59	o40y
r75j	64.82	19.12	74.47	76.89	76	o69y
j00g	82.06	-3.94	97.52	97.6	92	o98y
j25g	67.26	-26.87	74.67	79.36	110	y34l
j50g	55.83	-43.45	57.11	71.76	127	y69l
j75g	47.5	-54.18	38.3	66.35	145	l03c
g00b	50.07	-44.09	14.13	46.3	162	l23c
g25b	52.21	-35.66	-6.03	36.17	190	l55c
g50b	53.9	-29.04	-21.87	36.36	217	l87c
g75b	49.44	-15.51	-32.31	35.84	244	c20v
b00r	41.36	1.15	-37.95	37.97	272	c53v
b25r	28.74	27.19	-46.77	54.1	300	c87v
b50r	33.74	61.97	-37.81	72.59	329	v68m
b75r	40.08	64.26	-3.32	64.35	357	m33o



Ein und Ausgabe: Farbmatisches Drucker-Reflektiv-System FRS15_90a für relativen CIELAB-Bunton $h^* = lab^*h^* = h_{ab}/360 = 0.305$

$u^*_e = j25g$

Daten für jede Farbe:

lab^*ch^* und lab^*icu^*

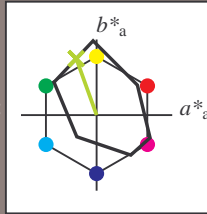
Buntontexte:

$u^*_e = j25g$ $u^*_d = y34l$

Kontrastreduzierungsfaktor:

$c_R = 0.9$

Dreiecks-Helligkeit t^*



FRS15_90a; adaptierte CIELAB-Daten

u^*_e	$L^*=L^*_a$	a^*_a	b^*_a	$C^*_{ab,a}$	$h^*_{ab,a}$
O _{Ma}	38.8	53.92	39.68	66.95	36
Y _{Ma}	82.58	-4.64	98.22	98.33	93
L _{Ma}	46.95	-56.34	43.46	71.15	142
C _{Ma}	54.62	-26.2	-28.68	38.85	228
V _{Ma}	20.01	45.2	-52.87	69.56	311
M _{Ma}	40.88	70.68	-29.99	76.78	337
N _{Ma}	15.0	0.0	0.0	0.0	0
W _{Ma}	90.0	0.0	0.0	0.0	0
R _{Ma}	39.92	58.74	27.99	65.07	25
J _{Ma}	81.26	-2.89	71.56	71.62	92
G _{Ma}	52.23	-42.42	13.6	44.55	162
B _{Ma}	30.57	1.41	-46.47	46.49	272

Daten für Maximalfarbe (Ma):

$LAB^*LAB^*_{Ma}$: 67 -27 75

$LAB^*LCH^*_{Ma}$: 67 79 109

$lab^*rgb^*_{Ma}$: 0.75 1.0 0.0

$lab^*olv^*_{Ma}$: 0.66 1.0 0.0

Dreiecks-Helligkeit t^*

%Umfang

$u^*_{rel} = 88$

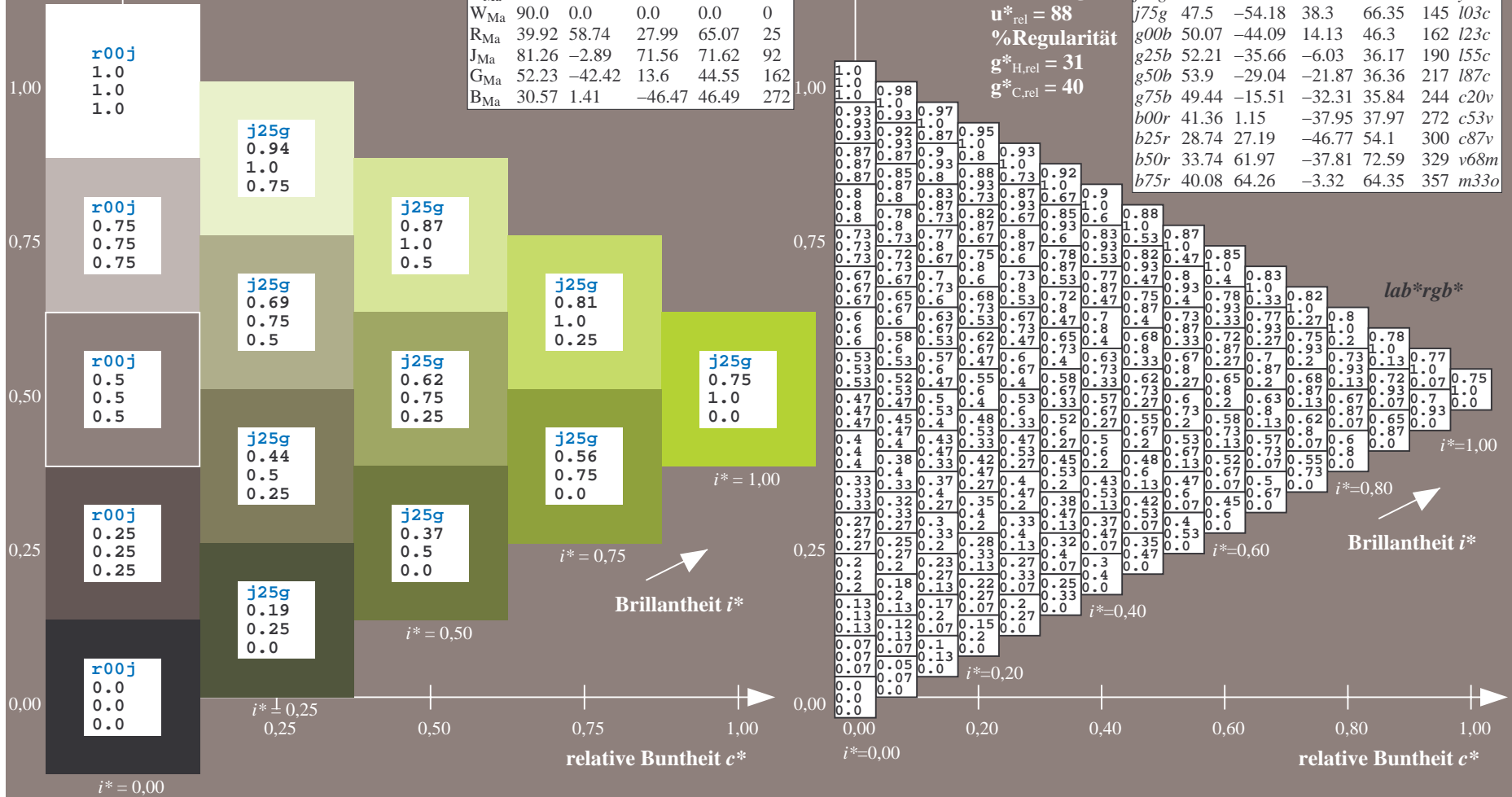
%Regularität

$g^*_{H,rel} = 31$

$g^*_{C,rel} = 40$

FRS15_90a; adaptierte CIELAB-Daten

u^*_e	$L^*=L^*_a$	a^*_a	b^*_a	$C^*_{ab,a}$	$h^*_{ab,a}$	u^*_d
r00j	39.18	56.94	27.13	63.07	25	m81o
r25j	42.41	49.1	44.5	66.26	42	o10y
r50j	52.78	35.22	58.37	68.17	59	o40y
r75j	64.82	19.12	74.47	76.89	76	o69y
j00g	82.06	-3.94	97.52	97.6	92	o98y
j25g	67.26	-26.87	74.67	79.36	110	y34l
j50g	55.83	-43.45	57.11	71.76	127	y69l
j75g	47.5	-54.18	38.3	66.35	145	l03c
g00b	50.07	-44.09	14.13	46.3	162	i23c
g25b	52.21	-35.66	-6.03	36.17	190	i55c
g50b	53.9	-29.04	-21.87	36.36	217	i87c
g75b	49.44	-15.51	-32.31	35.84	244	c20v
b00r	41.36	1.15	-37.95	37.97	272	c53v
b25r	28.74	27.19	-46.77	54.1	300	c87v
b50r	33.74	61.97	-37.81	72.59	329	v68m
b75r	40.08	64.26	-3.32	64.35	357	m33o



Ein und Ausgabe: Farbmatisches Drucker-Reflektiv-System FRS15_90a für relativen CIELAB-Bunton $h^* = lab^*h^* = h_{ab}/360 = 0.354$

$u^*_e = j50g$
 lab^*rgb^*

Daten für jede Farbe:

lab^*tch^* und lab^*icu^*

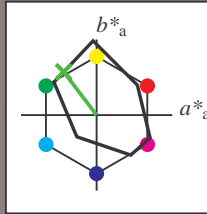
Buntontexte:

$u^*_e = j50g$ $u^*_d = y69l$

Kontrastreduzierungsfaktor:

$c_R = 0.9$

Dreiecks-Helligkeit t^*



FRS15_90a; adaptierte CIELAB-Daten

u^*_e	$L^*=L^*_a$	a^*_a	b^*_a	$C^*_{ab,a}$	$h^*_{ab,a}$
O _{Ma}	38.8	53.92	39.68	66.95	36
Y _{Ma}	82.58	-4.64	98.22	98.33	93
L _{Ma}	46.95	-56.34	43.46	71.15	142
C _{Ma}	54.62	-26.2	-28.68	38.85	228
V _{Ma}	20.01	45.2	-52.87	69.56	311
M _{Ma}	40.88	70.68	-29.99	76.78	337
N _{Ma}	15.0	0.0	0.0	0.0	0
W _{Ma}	90.0	0.0	0.0	0.0	0
R _{Ma}	39.92	58.74	27.99	65.07	25
J _{Ma}	81.26	-2.89	71.56	71.62	92
G _{Ma}	52.23	-42.42	13.6	44.55	162
B _{Ma}	30.57	1.41	-46.47	46.49	272

Daten für Maximalfarbe (Ma):

$LAB^*LAB^*_{Ma}$: 56 -43 57

$LAB^*LCH^*_{Ma}$: 56 72 127

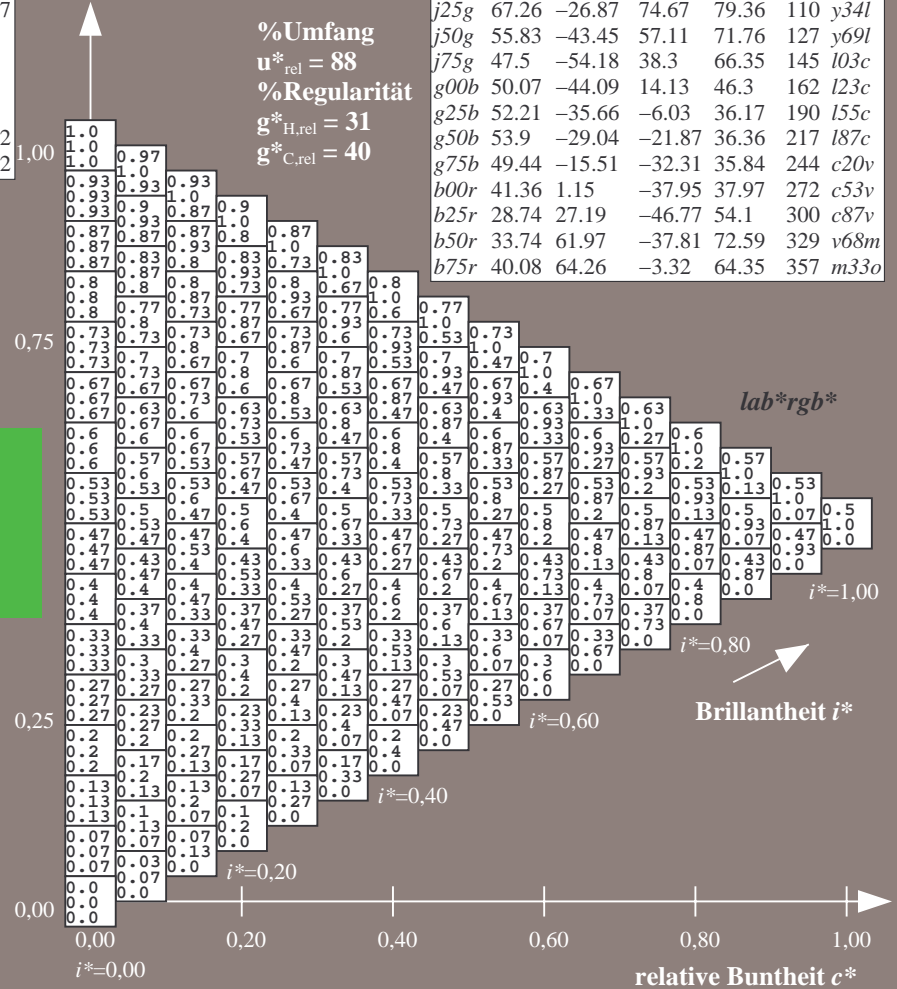
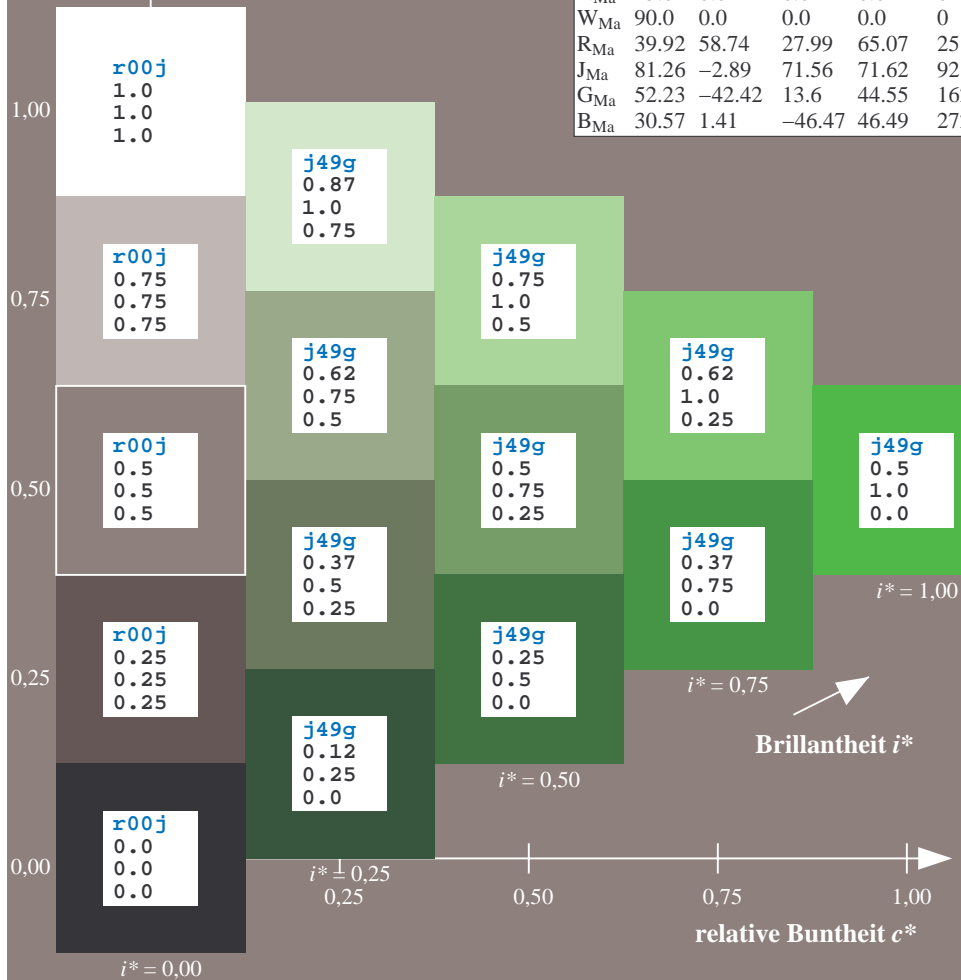
$lab^*rgb^*_{Ma}$: 0.5 1.0 0.0

$lab^*olv^*_{Ma}$: 0.3 1.0 0.0

Dreiecks-Helligkeit t^*

FRS15_90a; adaptierte CIELAB-Daten

u^*_e	$L^*=L^*_a$	a^*_a	b^*_a	$C^*_{ab,a}$	$h^*_{ab,a}$	u^*_d
r00j	39.18	56.94	27.13	63.07	25	m81o
r25j	42.41	49.1	44.5	66.26	42	o10y
r50j	52.78	35.22	58.37	68.17	59	o40y
r75j	64.82	19.12	74.47	76.89	76	o69y
j00g	82.06	-3.94	97.52	97.6	92	o98y
j25g	67.26	-26.87	74.67	79.36	110	y34l
j50g	55.83	-43.45	57.11	71.76	127	y69l
j75g	47.5	-54.18	38.3	66.35	145	l03c
g00b	50.07	-44.09	14.13	46.3	162	l23c
g25b	52.21	-35.66	-6.03	36.17	190	l55c
g50b	53.9	-29.04	-21.87	36.36	217	l87c
g75b	49.44	-15.51	-32.31	35.84	244	c20v
b00r	41.36	1.15	-37.95	37.97	272	c53v
b25r	28.74	27.19	-46.77	54.1	300	c87v
b50r	33.74	61.97	-37.81	72.59	329	v68m
b75r	40.08	64.26	-3.32	64.35	357	m33o



%Umfang
 $u^*_{rel} = 88$
%Regularität
 $g^*_{H,rel} = 31$
 $g^*_{C,rel} = 40$

Brillantheit i^*

$i^* = 1.00$

$i^* = 0.80$

$i^* = 0.40$

$i^* = 0.20$

relative Buntheit c^*

Ein und Ausgabe: Farbmatisches Drucker-Reflektiv-System FRS15_90a für relativen CIELAB-Bunton $h^* = lab^*h^* = h_{ab}/360 = 0.402$

$u^*_e = j75g$
 lab^*rgb^*

Daten für jede Farbe:

lab^*tch^* und lab^*icu^*

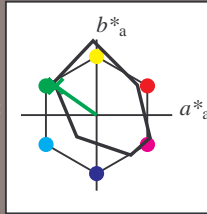
Buntontexte:

$u^*_e = j75g$ $u^*_d = l03c$

Kontrastreduzierungsfaktor:

$c_R = 0.9$

Dreiecks-Helligkeit t^*



FRS15_90a; adaptierte CIELAB-Daten

u^*_e	$L^*=L^*_a$	a^*_a	b^*_a	$C^*_{ab,a}$	$h^*_{ab,a}$
O _{Ma}	38.8	53.92	39.68	66.95	36
Y _{Ma}	82.58	-4.64	98.22	98.33	93
L _{Ma}	46.95	-56.34	43.46	71.15	142
C _{Ma}	54.62	-26.2	-28.68	38.85	228
V _{Ma}	20.01	45.2	-52.87	69.56	311
M _{Ma}	40.88	70.68	-29.99	76.78	337
N _{Ma}	15.0	0.0	0.0	0.0	0
W _{Ma}	90.0	0.0	0.0	0.0	0
R _{Ma}	39.92	58.74	27.99	65.07	25
J _{Ma}	81.26	-2.89	71.56	71.62	92
G _{Ma}	52.23	-42.42	13.6	44.55	162
B _{Ma}	30.57	1.41	-46.47	46.49	272

Daten für Maximalfarbe (Ma):

$LAB^*LAB^*_{Ma}$: 48 -54 38

$LAB^*LCH^*_{Ma}$: 48 66 144

$lab^*rgb^*_{Ma}$: 0.25 1.0 0.0

$lab^*olv^*_{Ma}$: 0.0 1.0 0.03

Dreiecks-Helligkeit t^*

%Umfang

$u^*_{rel} = 88$

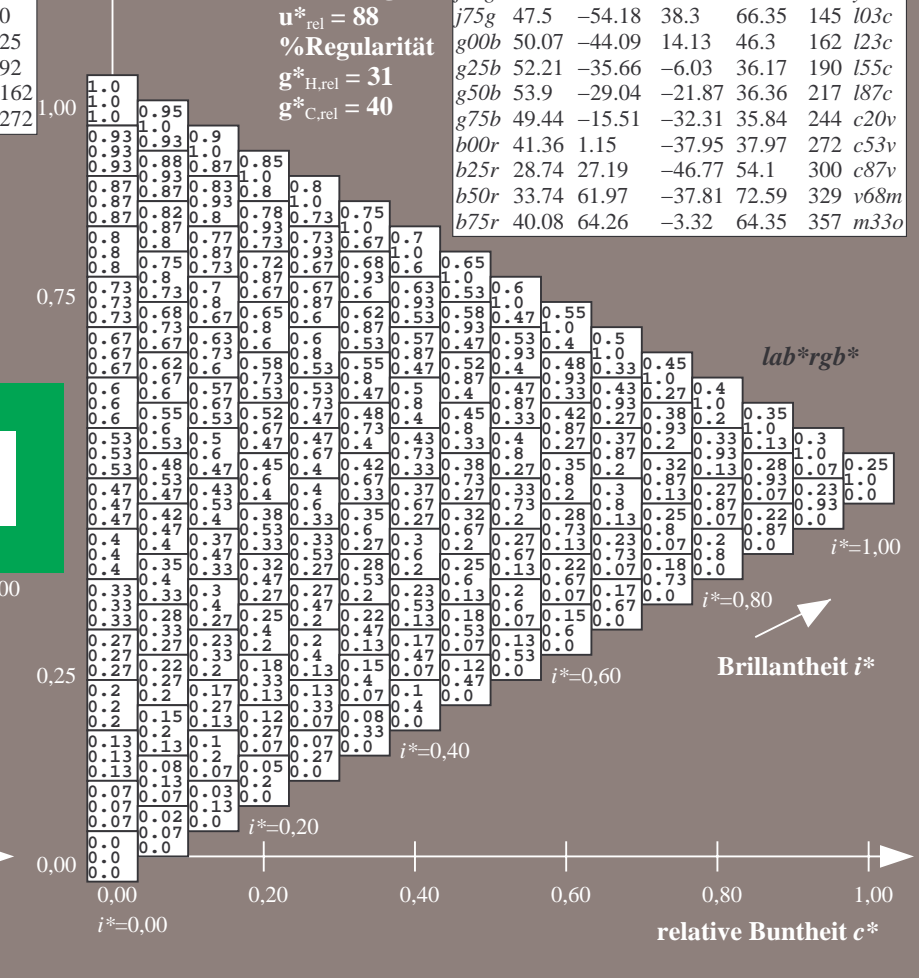
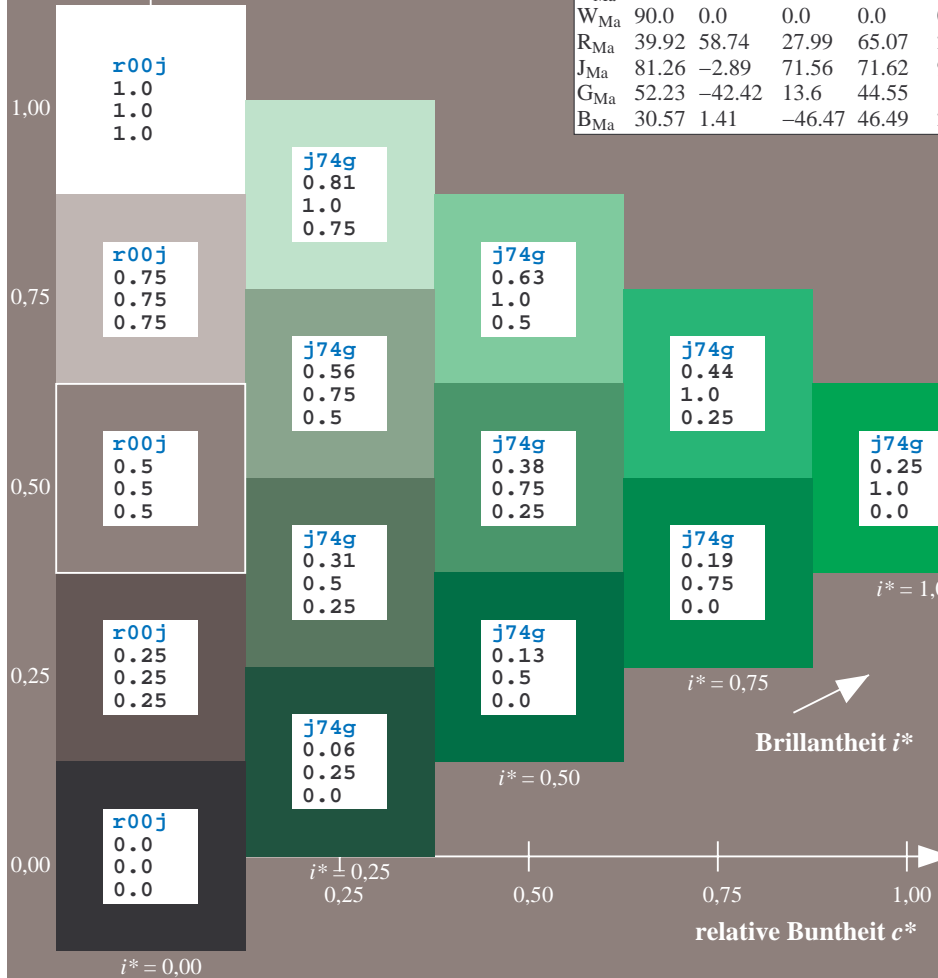
%Regularität

$g^*_{H,rel} = 31$

$g^*_{C,rel} = 40$

FRS15_90a; adaptierte CIELAB-Daten

u^*_e	$L^*=L^*_a$	a^*_a	b^*_a	$C^*_{ab,a}$	$h^*_{ab,a}$	u^*_d
r00j	39.18	56.94	27.13	63.07	25	m81o
r25j	42.41	49.1	44.5	66.26	42	o10y
r50j	52.78	35.22	58.37	68.17	59	o40y
r75j	64.82	19.12	74.47	76.89	76	o69y
j00g	82.06	-3.94	97.52	97.6	92	o98y
j25g	67.26	-26.87	74.67	79.36	110	y34l
j50g	55.83	-43.45	57.11	71.76	127	y69l
j75g	47.5	-54.18	38.3	66.35	145	l03c
g00b	50.07	-44.09	14.13	46.3	162	l23c
g25b	52.21	-35.66	-6.03	36.17	190	l55c
g50b	53.9	-29.04	-21.87	36.36	217	l87c
g75b	49.44	-15.51	-32.31	35.84	244	c20v
b00r	41.36	1.15	-37.95	37.97	272	c53v
b25r	28.74	27.19	-46.77	54.1	300	c87v
b50r	33.74	61.97	-37.81	72.59	329	v68m
b75r	40.08	64.26	-3.32	64.35	357	m33o



Ein und Ausgabe: Farbmatisches Drucker-Reflektiv-System FRS15_90a für relativen CIELAB-Bunton $h^* = lab^*h^* = h_{ab}/360 = 0.451$

$u^*_e = g00b$
 lab^*rgb^*

Daten für jede Farbe:

lab^*tch^* und lab^*icu^*

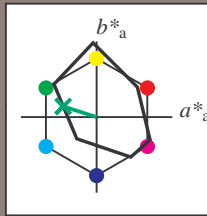
Buntontexte:

$u^*_e = g00b$ $u^*_d = l23c$

Kontrastreduzierungsfaktor:

$c_R = 0.9$

Dreiecks-Helligkeit t^*



FRS15_90a; adaptierte CIELAB-Daten

u^*_e	$L^*=L^*_a$	a^*_a	b^*_a	$C^*_{ab,a}$	$h^*_{ab,a}$
O _{Ma}	38.8	53.92	39.68	66.95	36
Y _{Ma}	82.58	-4.64	98.22	98.33	93
L _{Ma}	46.95	-56.34	43.46	71.15	142
C _{Ma}	54.62	-26.2	-28.68	38.85	228
V _{Ma}	20.01	45.2	-52.87	69.56	311
M _{Ma}	40.88	70.68	-29.99	76.78	337
N _{Ma}	15.0	0.0	0.0	0.0	0
W _{Ma}	90.0	0.0	0.0	0.0	0
R _{Ma}	39.92	58.74	27.99	65.07	25
J _{Ma}	81.26	-2.89	71.56	71.62	92
G _{Ma}	52.23	-42.42	13.6	44.55	162
B _{Ma}	30.57	1.41	-46.47	46.49	272

Daten für Maximalfarbe (Ma):

$LAB^*LAB^*_{Ma}$: 50 -44 14

$LAB^*LCH^*_{Ma}$: 50 46 162

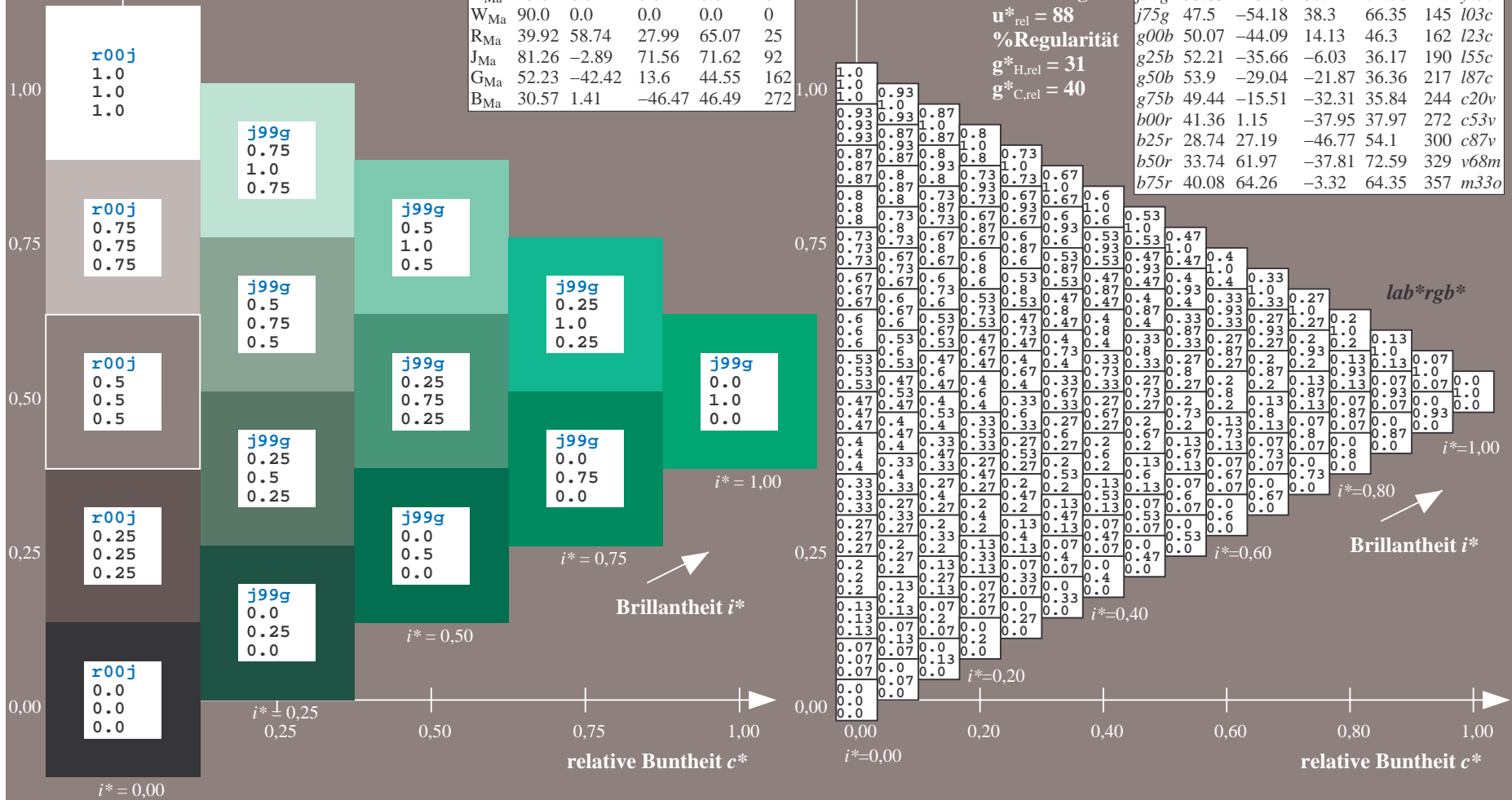
$lab^*rgb^*_{Ma}$: 0.0 1.0 0.0

$lab^*olv^*_{Ma}$: 0.0 1.0 0.23

Dreiecks-Helligkeit t^*

FRS15_90a; adaptierte CIELAB-Daten

u^*_e	$L^*=L^*_a$	a^*_a	b^*_a	$C^*_{ab,a}$	$h^*_{ab,a}$	u^*_d
r00j	39.18	56.94	27.13	63.07	25	m81o
r25j	42.41	49.1	44.5	66.26	42	o10y
r50j	52.78	35.22	58.37	68.17	59	o40y
r75j	64.82	19.12	74.47	76.89	76	o69y
j00g	82.06	-3.94	97.52	97.6	92	o98y
j25g	67.26	-26.87	74.67	79.36	110	y34l
j50g	55.83	-43.45	57.11	71.76	127	y69l
j75g	47.5	-54.18	38.3	66.35	145	l03c
g00b	50.07	-44.09	14.13	46.3	162	l23c
g25b	52.21	-35.66	-6.03	36.17	190	l55c
g50b	53.9	-29.04	-21.87	36.36	217	l87c
g75b	49.44	-15.51	-32.31	35.84	244	c20v
b00r	41.36	1.15	-37.95	37.97	272	c53v
b25r	28.74	27.19	-46.77	54.1	300	c87v
b50r	33.74	61.97	-37.81	72.59	329	v68m
b75r	40.08	64.26	-3.32	64.35	357	m33o



Ein und Ausgabe: Farbmatisches Drucker-Reflektiv-System FRS15_90a für relativen CIELAB-Bunton $h^* = lab^*h^* = h_{ab}/360 = 0.527$

$u^*_e = g25b$

Daten für jede Farbe:

lab^*ch^* und lab^*icu^*

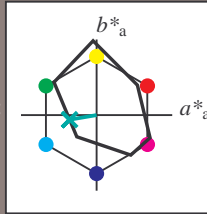
Buntontexte:

$u^*_e = g25b$ $u^*_d = l55c$

Kontrastreduzierungsfaktor:

$c_R = 0.9$

Dreiecks-Helligkeit t^*



FRS15_90a; adaptierte CIELAB-Daten

u^*_e	$L^*=L^*_a$	a^*_a	b^*_a	$C^*_{ab,a}$	$h^*_{ab,a}$
O _{Ma}	38.8	53.92	39.68	66.95	36
Y _{Ma}	82.58	-4.64	98.22	98.33	93
L _{Ma}	46.95	-56.34	43.46	71.15	142
C _{Ma}	54.62	-26.2	-28.68	38.85	228
V _{Ma}	20.01	45.2	-52.87	69.56	311
M _{Ma}	40.88	70.68	-29.99	76.78	337
N _{Ma}	15.0	0.0	0.0	0.0	0
W _{Ma}	90.0	0.0	0.0	0.0	0
R _{Ma}	39.92	58.74	27.99	65.07	25
J _{Ma}	81.26	-2.89	71.56	71.62	92
G _{Ma}	52.23	-42.42	13.6	44.55	162
B _{Ma}	30.57	1.41	-46.47	46.49	272

Daten für Maximalfarbe (Ma):

$LAB^*LAB^*_{Ma}: 52 -36 -6$

$LAB^*LCH^*_{Ma}: 52 36 189$

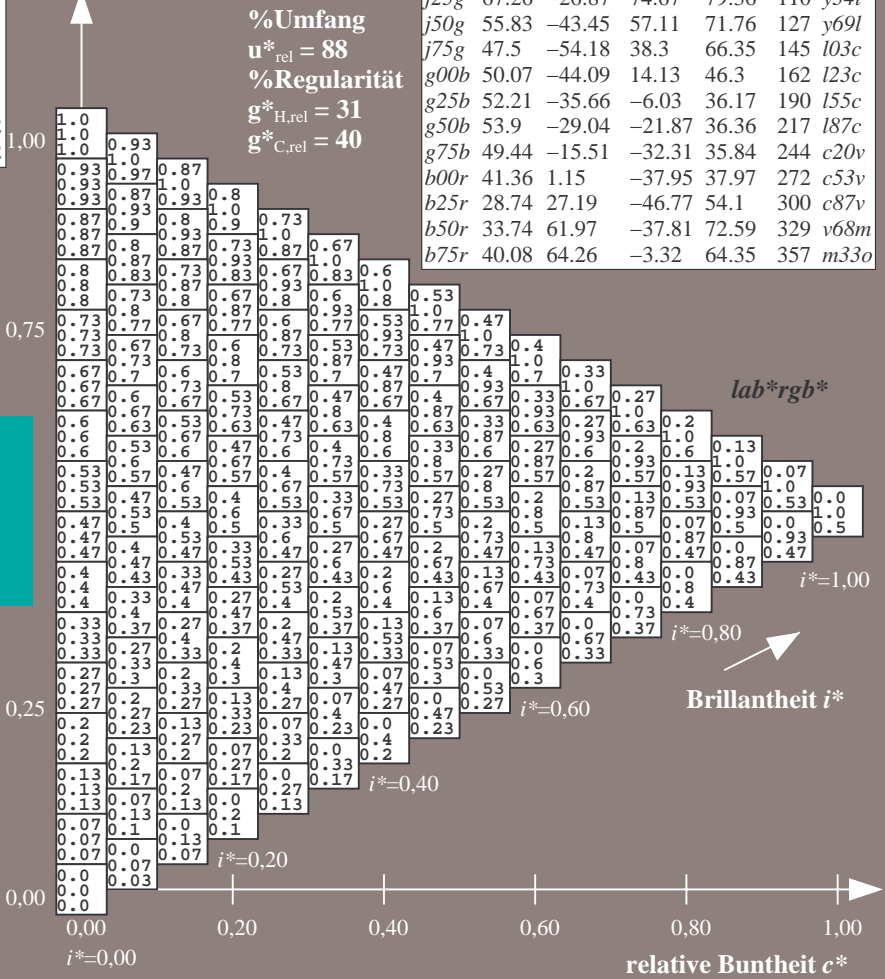
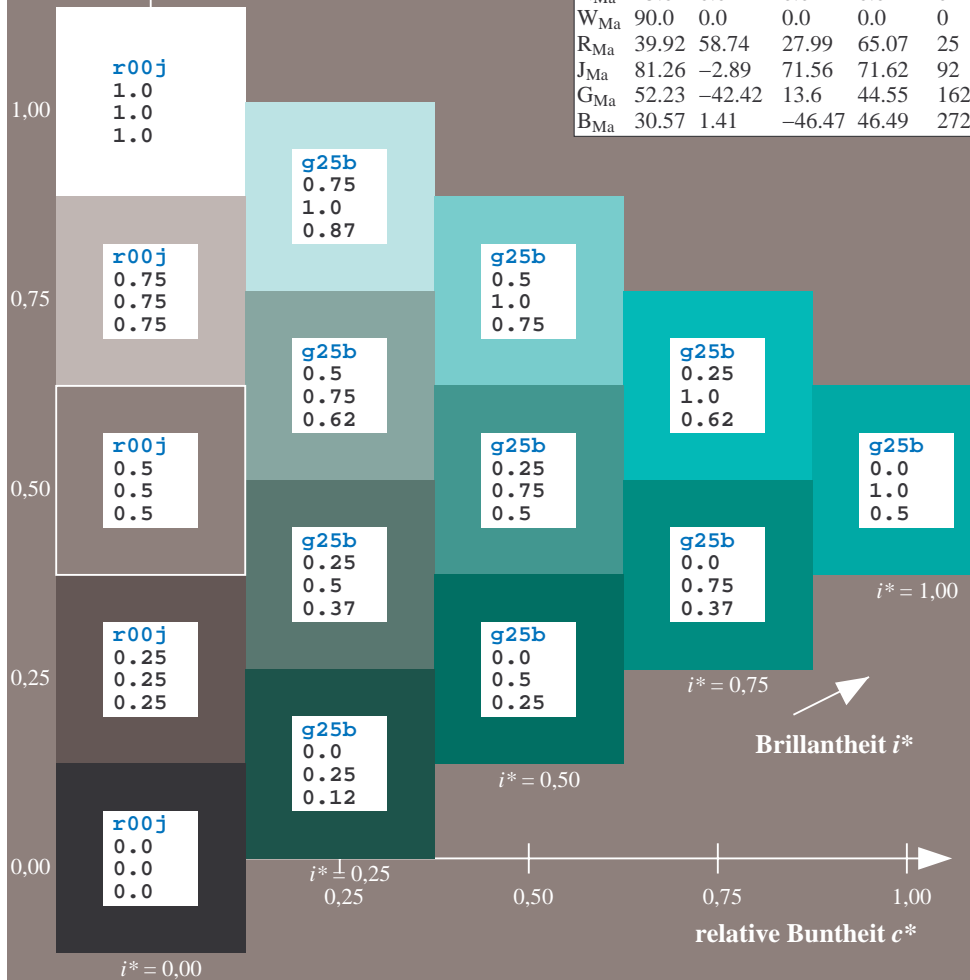
$lab^*rgb^*_{Ma}: 0.0 1.0 0.5$

$lab^*olv^*_{Ma}: 0.0 1.0 0.55$

Dreiecks-Helligkeit t^*

FRS15_90a; adaptierte CIELAB-Daten

u^*_e	$L^*=L^*_a$	a^*_a	b^*_a	$C^*_{ab,a}$	$h^*_{ab,a}$	u^*_d
r00j	39.18	56.94	27.13	63.07	25	m81o
r25j	42.41	49.1	44.5	66.26	42	o10y
r50j	52.78	35.22	58.37	68.17	59	o40y
r75j	64.82	19.12	74.47	76.89	76	o69y
j00g	82.06	-3.94	97.52	97.6	92	o98y
j25g	67.26	-26.87	74.67	79.36	110	y34l
j50g	55.83	-43.45	57.11	71.76	127	y69l
j75g	47.5	-54.18	38.3	66.35	145	l03c
g00b	50.07	-44.09	14.13	46.3	162	l23c
g25b	52.21	-35.66	-6.03	36.17	190	l55c
g50b	53.9	-29.04	-21.87	36.36	217	l87c
g75b	49.44	-15.51	-32.31	35.84	244	c20v
b00r	41.36	1.15	-37.95	37.97	272	c53v
b25r	28.74	27.19	-46.77	54.1	300	c87v
b50r	33.74	61.97	-37.81	72.59	329	v68m
b75r	40.08	64.26	-3.32	64.35	357	m33o



%Umfang
 $u^*_{rel} = 88$
 %Regularität
 $g^*_{H,rel} = 31$
 $g^*_{C,rel} = 40$

lab^*rgb^*

Brillantheit i^*

$i^* = 1,00$

$i^* = 0,80$

$i^* = 0,60$

$i^* = 0,40$

$i^* = 0,20$

Ein und Ausgabe: Farbmatisches Drucker-Reflektiv-System FRS15_90a für relativen CIELAB-Bunton $h^* = lab^*h^* = h_{ab}/360 = 0.603$

$u^*_e = g50b$
 lab^*rgb^*

Daten für jede Farbe:

lab^*tch^* und lab^*icu^*

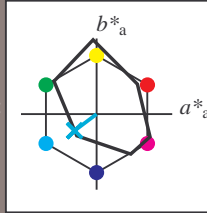
Buntontexte:

$u^*_e = g50b$ $u^*_d = l87c$

Kontrastreduzierungsfaktor:

$c_R = 0.9$

Dreiecks-Helligkeit t^*



FRS15_90a; adaptierte CIELAB-Daten						
u^*_e	$L^*=L^*_a$	a^*_a	b^*_a	$C^*_{ab,a}$	$h^*_{ab,a}$	
O _{Ma}	38.8	53.92	39.68	66.95	36	
Y _{Ma}	82.58	-4.64	98.22	98.33	93	
L _{Ma}	46.95	-56.34	43.46	71.15	142	
C _{Ma}	54.62	-26.2	-28.68	38.85	228	
V _{Ma}	20.01	45.2	-52.87	69.56	311	
M _{Ma}	40.88	70.68	-29.99	76.78	337	
N _{Ma}	15.0	0.0	0.0	0.0	0	
W _{Ma}	90.0	0.0	0.0	0.0	0	
R _{Ma}	39.92	58.74	27.99	65.07	25	
J _{Ma}	81.26	-2.89	71.56	71.62	92	
G _{Ma}	52.23	-42.42	13.6	44.55	162	
B _{Ma}	30.57	1.41	-46.47	46.49	272	

Daten für Maximalfarbe (Ma):

$LAB^*LAB^*_{Ma}$: 54 -29 -22

$LAB^*LCH^*_{Ma}$: 54 36 216

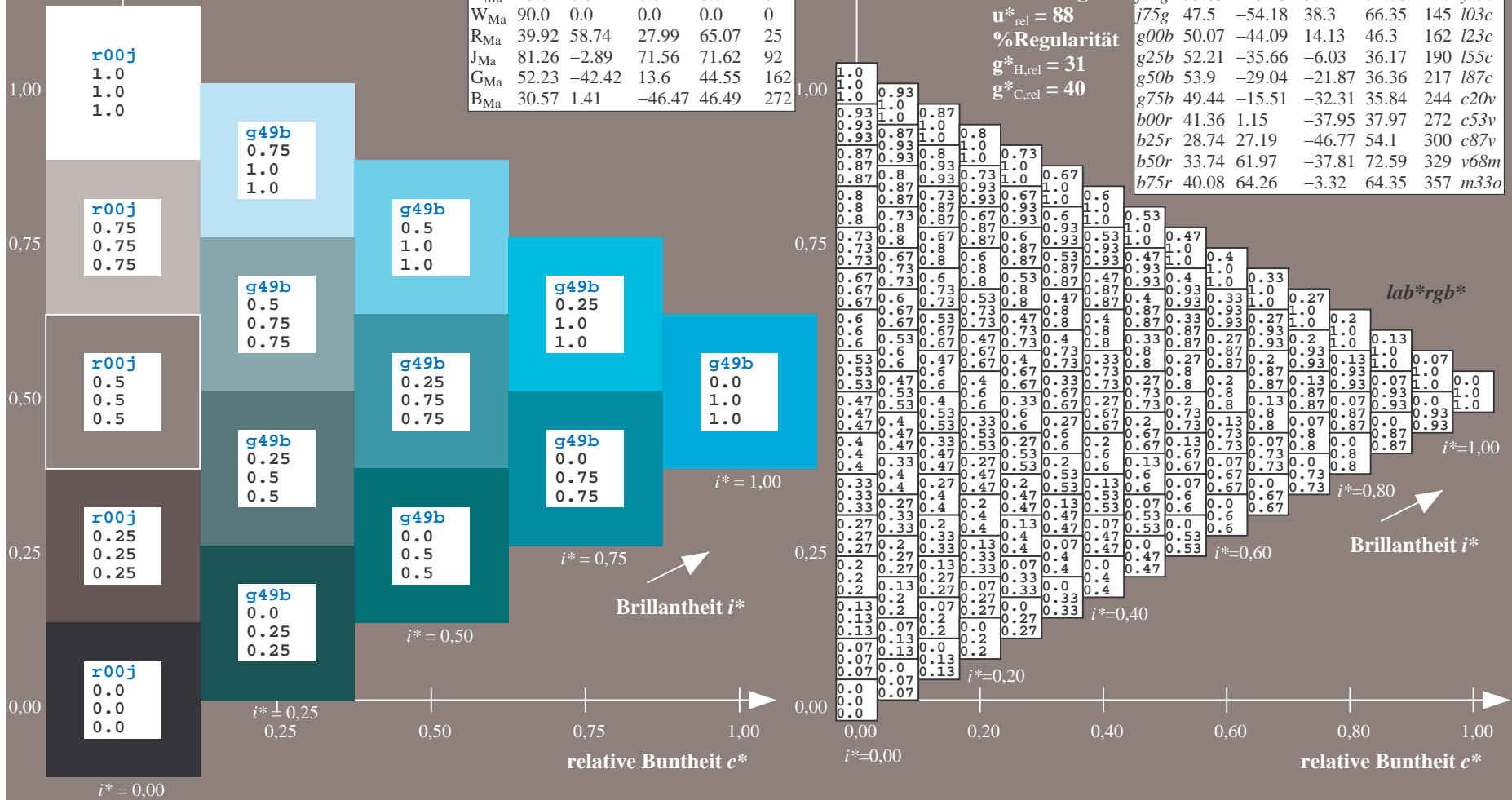
$lab^*rgb^*_{Ma}$: 0.0 1.0 1.0

$lab^*olv^*_{Ma}$: 0.0 1.0 0.88

Dreiecks-Helligkeit t^*

FRS15_90a; adaptierte CIELAB-Daten

u^*_e	$L^*=L^*_a$	a^*_a	b^*_a	$C^*_{ab,a}$	$h^*_{ab,a}$	u^*_d
r00j	39.18	56.94	27.13	63.07	25	m81o
r25j	42.41	49.1	44.5	66.26	42	o10y
r50j	52.78	35.22	58.37	68.17	59	o40y
r75j	64.82	19.12	74.47	76.89	76	o69y
j00g	82.06	-3.94	97.52	97.6	92	o98y
j25g	67.26	-26.87	74.67	79.36	110	y34l
j50g	55.83	-43.45	57.11	71.76	127	y69l
j75g	47.5	-54.18	38.3	66.35	145	l03c
g00b	50.07	-44.09	14.13	46.3	162	l23c
g25b	52.21	-35.66	-6.03	36.17	190	l55c
g50b	53.9	-29.04	-21.87	36.36	217	l87c
g75b	49.44	-15.51	-32.31	35.84	244	c20v
b00r	41.36	1.15	-37.95	37.97	272	c53v
b25r	28.74	27.19	-46.77	54.1	300	c87v
b50r	33.74	61.97	-37.81	72.59	329	v68m
b75r	40.08	64.26	-3.32	64.35	357	m33o



Ein und Ausgabe: Farbmatisches Drucker-Reflektiv-System FRS15_90a für relativen CIELAB-Bunton $h^* = lab^*h^* = h_{ab}/360 = 0.679$

$u^*_e = g75b$
 lab^*rgb^*

Daten für jede Farbe:

lab^*tch^* und lab^*icu^*

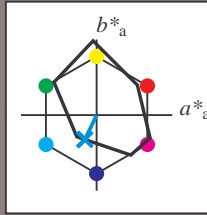
Buntontexte:

$u^*_e = g75b$ $u^*_d = c20v$

Kontrastreduzierungsfaktor:

$c_R = 0.9$

Dreiecks-Helligkeit t^*



FRS15_90a; adaptierte CIELAB-Daten						
u^*_e	$L^*=L^*_a$	a^*_a	b^*_a	$C^*_{ab,a}$	$h^*_{ab,a}$	
O _{Ma}	38.8	53.92	39.68	66.95	36	
Y _{Ma}	82.58	-4.64	98.22	98.33	93	
L _{Ma}	46.95	-56.34	43.46	71.15	142	
C _{Ma}	54.62	-26.2	-28.68	38.85	228	
V _{Ma}	20.01	45.2	-52.87	69.56	311	
M _{Ma}	40.88	70.68	-29.99	76.78	337	
N _{Ma}	15.0	0.0	0.0	0.0	0	
W _{Ma}	90.0	0.0	0.0	0.0	0	
R _{Ma}	39.92	58.74	27.99	65.07	25	
J _{Ma}	81.26	-2.89	71.56	71.62	92	
G _{Ma}	52.23	-42.42	13.6	44.55	162	
B _{Ma}	30.57	1.41	-46.47	46.49	272	

Daten für Maximalfarbe (Ma):

$LAB^*LAB^*_{Ma}$: 49 -16 -32

$LAB^*LCH^*_{Ma}$: 49 36 244

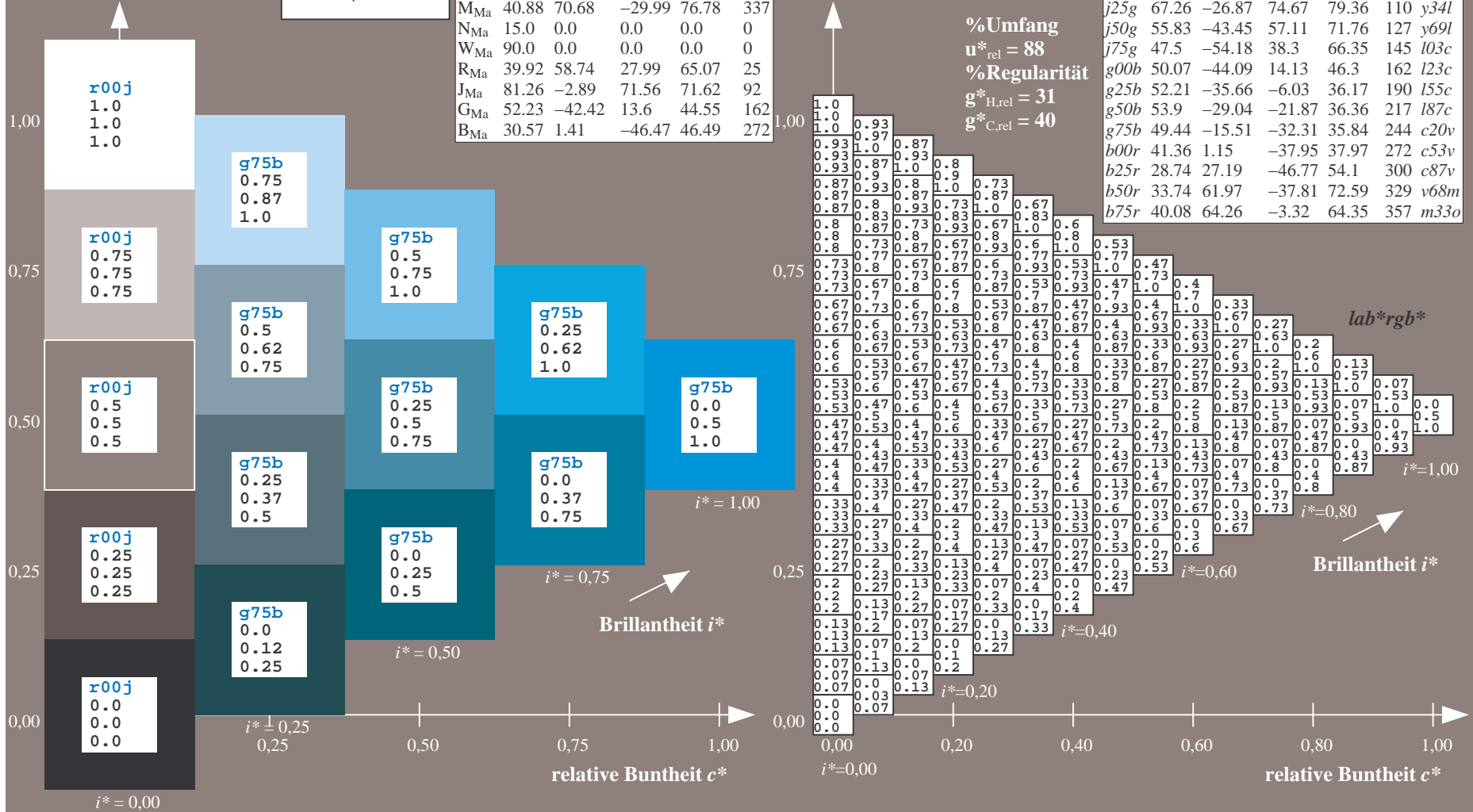
$lab^*rgb^*_{Ma}$: 0.0 0.5 1.0

$lab^*olv^*_{Ma}$: 0.0 0.8 1.0

Dreiecks-Helligkeit t^*

FRS15_90a; adaptierte CIELAB-Daten

u^*_e	$L^*=L^*_a$	a^*_a	b^*_a	$C^*_{ab,a}$	$h^*_{ab,a}$	u^*_d
r00j	39.18	56.94	27.13	63.07	25	m81o
r25j	42.41	49.1	44.5	66.26	42	o10y
r50j	52.78	35.22	58.37	68.17	59	o40y
r75j	64.82	19.12	74.47	76.89	76	o69y
j00g	82.06	-3.94	97.52	97.6	92	o98y
j25g	67.26	-26.87	74.67	79.36	110	y34l
j50g	55.83	-43.45	57.11	71.76	127	y69l
j75g	47.5	-54.18	38.3	66.35	145	l03c
g00b	50.07	-44.09	14.13	46.3	162	l23c
g25b	52.21	-35.66	-6.03	36.17	190	l55c
g50b	53.9	-29.04	-21.87	36.36	217	l87c
g75b	49.44	-15.51	-32.31	35.84	244	c20v
b00r	41.36	1.15	-37.95	37.97	272	c53v
b25r	28.74	27.19	-46.77	54.1	300	c87v
b50r	33.74	61.97	-37.81	72.59	329	v68m
b75r	40.08	64.26	-3.32	64.35	357	m33o



Ein und Ausgabe: Farbmatisches Drucker-Reflektiv-System FRS15_90a für relativen CIELAB-Bunton $h^* = lab^*h^* = h_{ab}/360 = 0.755$

$u^*_e = b00r$
 lab^*rgb^*

Daten für jede Farbe:

lab^*tch^* und lab^*icu^*

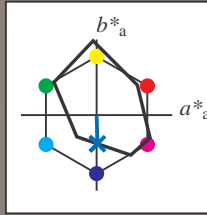
Buntontexte:

$u^*_e = b00r$ $u^*_d = c53v$

Kontrastreduzierungsfaktor:

$c_R = 0.9$

Dreiecks-Helligkeit t^*



FRS15_90a; adaptierte CIELAB-Daten

u^*_e	$L^*=L^*_a$	a^*_a	b^*_a	$C^*_{ab,a}$	$h^*_{ab,a}$
O _{Ma}	38.8	53.92	39.68	66.95	36
Y _{Ma}	82.58	-4.64	98.22	98.33	93
L _{Ma}	46.95	-56.34	43.46	71.15	142
C _{Ma}	54.62	-26.2	-28.68	38.85	228
V _{Ma}	20.01	45.2	-52.87	69.56	311
M _{Ma}	40.88	70.68	-29.99	76.78	337
N _{Ma}	15.0	0.0	0.0	0.0	0
W _{Ma}	90.0	0.0	0.0	0.0	0
R _{Ma}	39.92	58.74	27.99	65.07	25
J _{Ma}	81.26	-2.89	71.56	71.62	92
G _{Ma}	52.23	-42.42	13.6	44.55	162
B _{Ma}	30.57	1.41	-46.47	46.49	272

Daten für Maximalfarbe (Ma):

$LAB^*LAB^*_{Ma}$: 41 1 -38

$LAB^*LCH^*_{Ma}$: 41 38 271

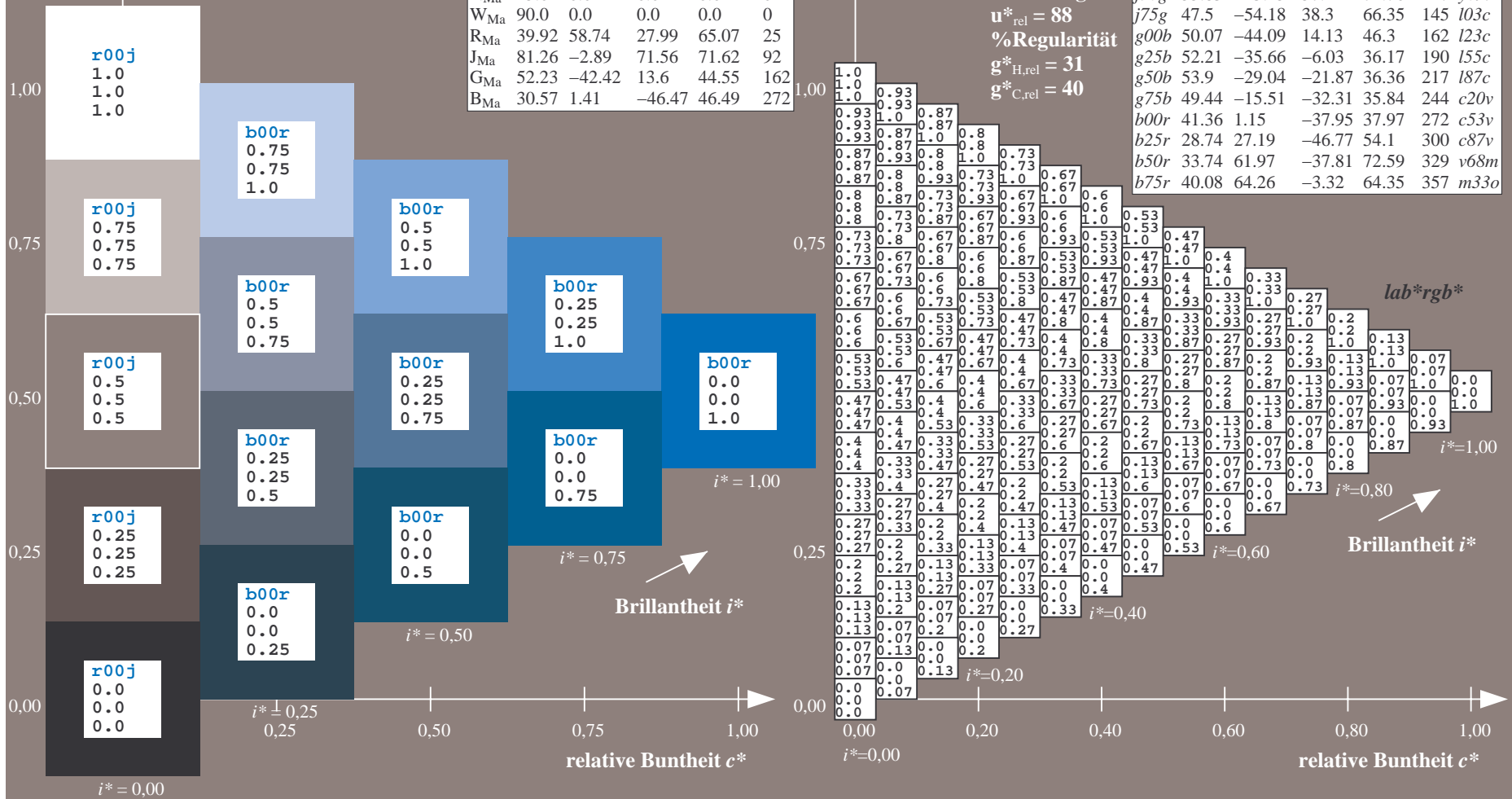
$lab^*rgb^*_{Ma}$: 0.0 0.0 1.0

$lab^*olv^*_{Ma}$: 0.0 0.47 1.0

Dreiecks-Helligkeit t^*

FRS15_90a; adaptierte CIELAB-Daten

u^*_e	$L^*=L^*_a$	a^*_a	b^*_a	$C^*_{ab,a}$	$h^*_{ab,a}$	u^*_d
r00j	39.18	56.94	27.13	63.07	25	m81o
r25j	42.41	49.1	44.5	66.26	42	o10y
r50j	52.78	35.22	58.37	68.17	59	o40y
r75j	64.82	19.12	74.47	76.89	76	o69y
j00g	82.06	-3.94	97.52	97.6	92	o98y
j25g	67.26	-26.87	74.67	79.36	110	y34l
j50g	55.83	-43.45	57.11	71.76	127	y69l
j75g	47.5	-54.18	38.3	66.35	145	l03c
g00b	50.07	-44.09	14.13	46.3	162	l23c
g25b	52.21	-35.66	-6.03	36.17	190	l55c
g50b	53.9	-29.04	-21.87	36.36	217	l87c
g75b	49.44	-15.51	-32.31	35.84	244	c20v
b00r	41.36	1.15	-37.95	37.97	272	c53v
b25r	28.74	27.19	-46.77	54.1	300	c87v
b50r	33.74	61.97	-37.81	72.59	329	v68m
b75r	40.08	64.26	-3.32	64.35	357	m33o



Ein und Ausgabe: Farbmetrisches Drucker-Reflektiv-System FRS15_90a für relativen CIELAB-Bunton $h^* = lab^*h^* = h_{ab}/360 = 0.834$

$u^*_e = b25r$

Daten für jede Farbe:

lab^*tch^* und lab^*icu^*

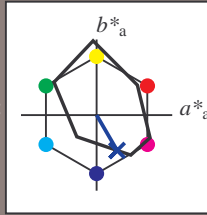
Buntontexte:

$u^*_e = b25r$ $u^*_d = c87v$

Kontrastreduzierungsfaktor:

$c_R = 0.9$

Dreiecks-Helligkeit t^*



FRS15_90a; adaptierte CIELAB-Daten

u^*_e	$L^*=L^*_a$	a^*_a	b^*_a	$C^*_{ab,a}$	$h^*_{ab,a}$
O _{Ma}	38.8	53.92	39.68	66.95	36
Y _{Ma}	82.58	-4.64	98.22	98.33	93
L _{Ma}	46.95	-56.34	43.46	71.15	142
C _{Ma}	54.62	-26.2	-28.68	38.85	228
V _{Ma}	20.01	45.2	-52.87	69.56	311
M _{Ma}	40.88	70.68	-29.99	76.78	337
N _{Ma}	15.0	0.0	0.0	0.0	0
W _{Ma}	90.0	0.0	0.0	0.0	0
R _{Ma}	39.92	58.74	27.99	65.07	25
J _{Ma}	81.26	-2.89	71.56	71.62	92
G _{Ma}	52.23	-42.42	13.6	44.55	162
B _{Ma}	30.57	1.41	-46.47	46.49	272

Daten für Maximalfarbe (Ma):

$LAB^*LAB^*_{Ma}: 29\ 27\ -47$

$LAB^*LCH^*_{Ma}: 29\ 54\ 300$

$lab^*rgb^*_{Ma}: 0.5\ 0.0\ 1.0$

$lab^*olv^*_{Ma}: 0.0\ 0.12\ 1.0$

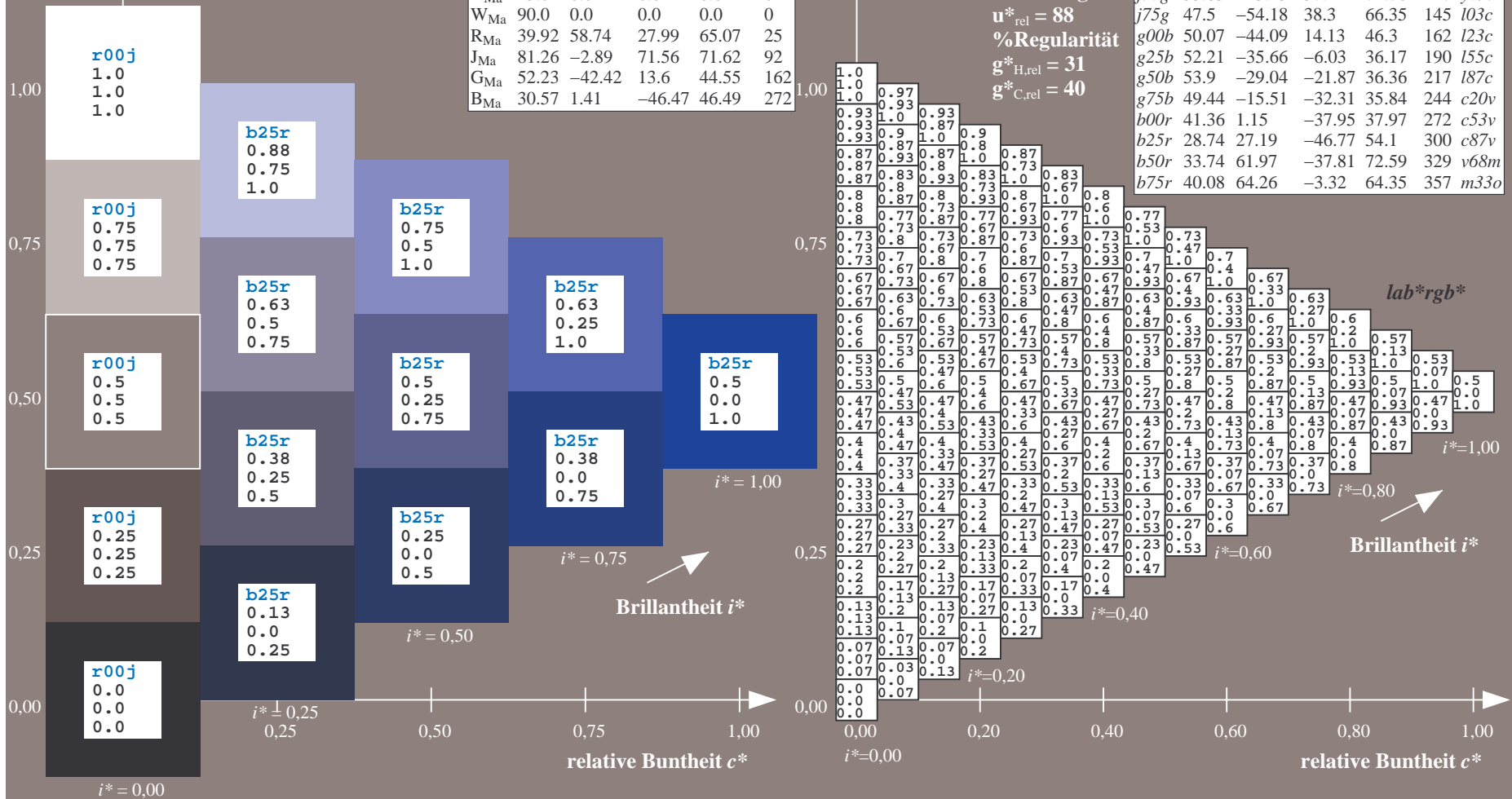
Dreiecks-Helligkeit t^*

FRS15_90a; adaptierte CIELAB-Daten

u^*_e	$L^*=L^*_a$	a^*_a	b^*_a	$C^*_{ab,a}$	$h^*_{ab,a}$	u^*_d
r00j	39.18	56.94	27.13	63.07	25	m81o
r25j	42.41	49.1	44.5	66.26	42	o10y
r50j	52.78	35.22	58.37	68.17	59	o40y
r75j	64.82	19.12	74.47	76.89	76	o69y
j00g	82.06	-3.94	97.52	97.6	92	o98y
j25g	67.26	-26.87	74.67	79.36	110	y34l
j50g	55.83	-43.45	57.11	71.76	127	y69l
j75g	47.5	-54.18	38.3	66.35	145	l03c
g00b	50.07	-44.09	14.13	46.3	162	l23c
g25b	52.21	-35.66	-6.03	36.17	190	l55c
g50b	53.9	-29.04	-21.87	36.36	217	l87c
g75b	49.44	-15.51	-32.31	35.84	244	c20v
b00r	41.36	1.15	-37.95	37.97	272	c53v
b25r	28.74	27.19	-46.77	54.1	300	c87v
b50r	33.74	61.97	-37.81	72.59	329	v68m
b75r	40.08	64.26	-3.32	64.35	357	m33o

lab^*rgb^*

Brillantheit i^*



Ein und Ausgabe: Farbmatisches Drucker-Reflektiv-System FRS15_90a für relativen CIELAB-Bunton $h^* = lab^*h^* = h_{ab}/360 = 0.913$

$u^*_e = b50r$

Daten für jede Farbe:

lab^*ch^* und lab^*icu^*

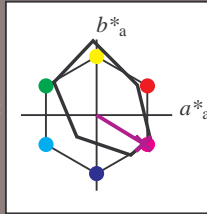
Buntontexte:

$u^*_e = b50r$ $u^*_d = v68m$

Kontrastreduzierungsfaktor:

$c_R = 0.9$

Dreiecks-Helligkeit t^*



FRS15_90a; adaptierte CIELAB-Daten

u^*_e	$L^*=L^*_a$	a^*_a	b^*_a	$C^*_{ab,a}$	$h^*_{ab,a}$
O _{Ma}	38.8	53.92	39.68	66.95	36
Y _{Ma}	82.58	-4.64	98.22	98.33	93
L _{Ma}	46.95	-56.34	43.46	71.15	142
C _{Ma}	54.62	-26.2	-28.68	38.85	228
V _{Ma}	20.01	45.2	-52.87	69.56	311
M _{Ma}	40.88	70.68	-29.99	76.78	337
N _{Ma}	15.0	0.0	0.0	0.0	0
W _{Ma}	90.0	0.0	0.0	0.0	0
R _{Ma}	39.92	58.74	27.99	65.07	25
J _{Ma}	81.26	-2.89	71.56	71.62	92
G _{Ma}	52.23	-42.42	13.6	44.55	162
B _{Ma}	30.57	1.41	-46.47	46.49	272

Daten für Maximalfarbe (Ma):

$LAB^*LAB^*_{Ma}$: 34 62 -38

$LAB^*LCH^*_{Ma}$: 34 73 328

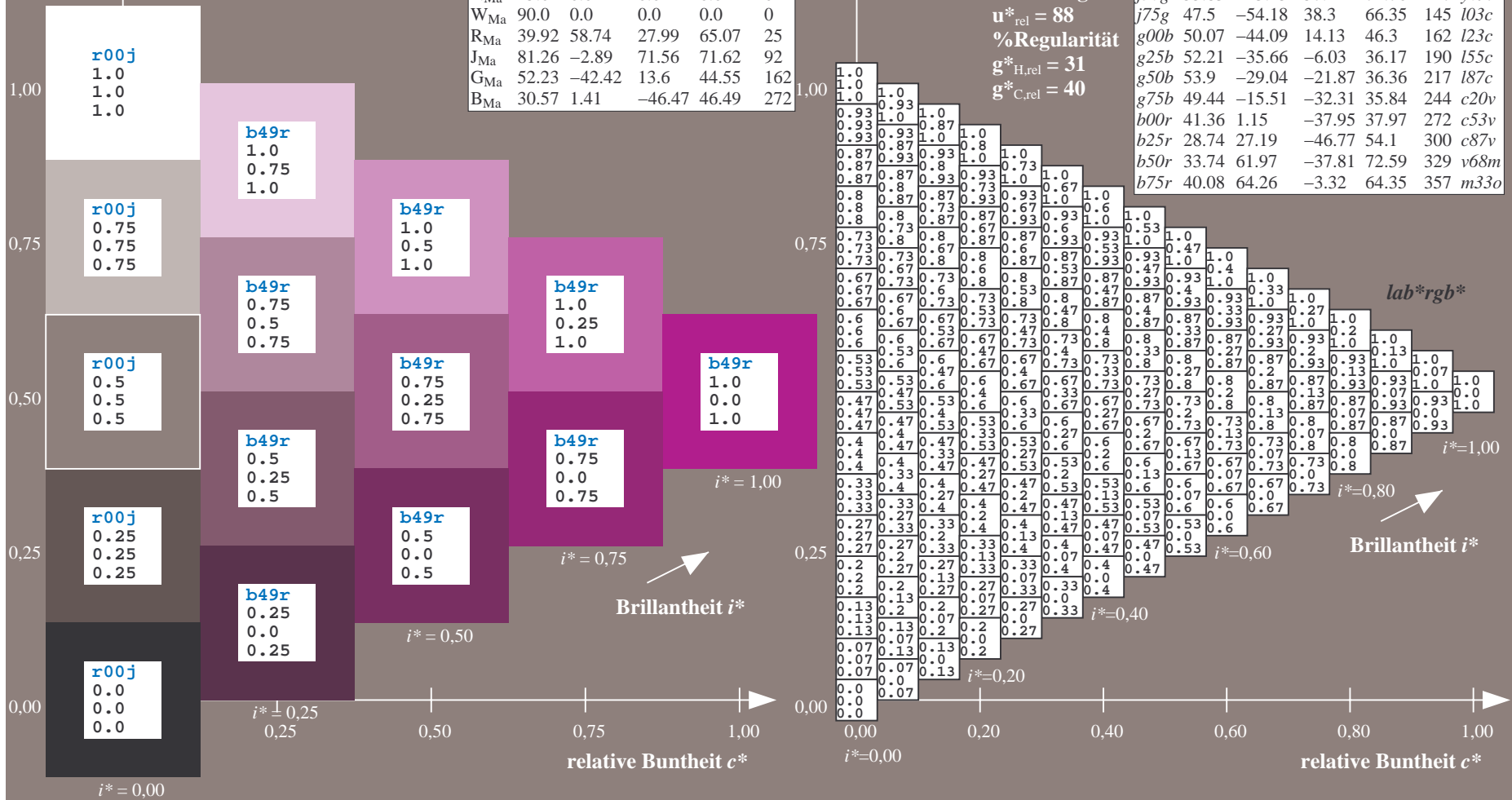
$lab^*rgb^*_{Ma}$: 1.0 0.0 1.0

$lab^*olv^*_{Ma}$: 0.68 0.0 1.0

Dreiecks-Helligkeit t^*

FRS15_90a; adaptierte CIELAB-Daten

u^*_e	$L^*=L^*_a$	a^*_a	b^*_a	$C^*_{ab,a}$	$h^*_{ab,a}$	u^*_d
r00j	39.18	56.94	27.13	63.07	25	m81o
r25j	42.41	49.1	44.5	66.26	42	o10y
r50j	52.78	35.22	58.37	68.17	59	o40y
r75j	64.82	19.12	74.47	76.89	76	o69y
j00g	82.06	-3.94	97.52	97.6	92	o98y
j25g	67.26	-26.87	74.67	79.36	110	y34l
j50g	55.83	-43.45	57.11	71.76	127	y69l
j75g	47.5	-54.18	38.3	66.35	145	l03c
g00b	50.07	-44.09	14.13	46.3	162	l23c
g25b	52.21	-35.66	-6.03	36.17	190	l55c
g50b	53.9	-29.04	-21.87	36.36	217	l87c
g75b	49.44	-15.51	-32.31	35.84	244	c20v
b00r	41.36	1.15	-37.95	37.97	272	c53v
b25r	28.74	27.19	-46.77	54.1	300	c87v
b50r	33.74	61.97	-37.81	72.59	329	v68m
b75r	40.08	64.26	-3.32	64.35	357	m33o



Ein und Ausgabe: Farbmatisches Drucker-Reflektiv-System FRS15_90a für relativen CIELAB-Bunton $h^* = lab^*h^* = h_{ab}/360 = 0.992$

$u^*_e = b75r$

Daten für jede Farbe:

lab^*ch^* und lab^*icu^*

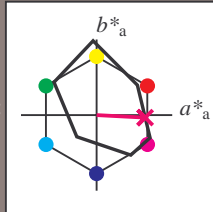
Buntontexte:

$u^*_e = b75r$ $u^*_d = m33o$

Kontrastreduzierungsfaktor:

$c_R = 0.9$

Dreiecks-Helligkeit t^*



FRS15_90a; adaptierte CIELAB-Daten

u^*_e	$L^*=L^*_a$	a^*_a	b^*_a	$C^*_{ab,a}$	$h^*_{ab,a}$
O _{Ma}	38.8	53.92	39.68	66.95	36
Y _{Ma}	82.58	-4.64	98.22	98.33	93
L _{Ma}	46.95	-56.34	43.46	71.15	142
C _{Ma}	54.62	-26.2	-28.68	38.85	228
V _{Ma}	20.01	45.2	-52.87	69.56	311
M _{Ma}	40.88	70.68	-29.99	76.78	337
N _{Ma}	15.0	0.0	0.0	0.0	0
W _{Ma}	90.0	0.0	0.0	0.0	0
R _{Ma}	39.92	58.74	27.99	65.07	25
J _{Ma}	81.26	-2.89	71.56	71.62	92
G _{Ma}	52.23	-42.42	13.6	44.55	162
B _{Ma}	30.57	1.41	-46.47	46.49	272

Daten für Maximalfarbe (Ma):

$LAB^*LAB^*_{Ma}: 40\ 64\ -3$

$LAB^*LCH^*_{Ma}: 40\ 64\ 357$

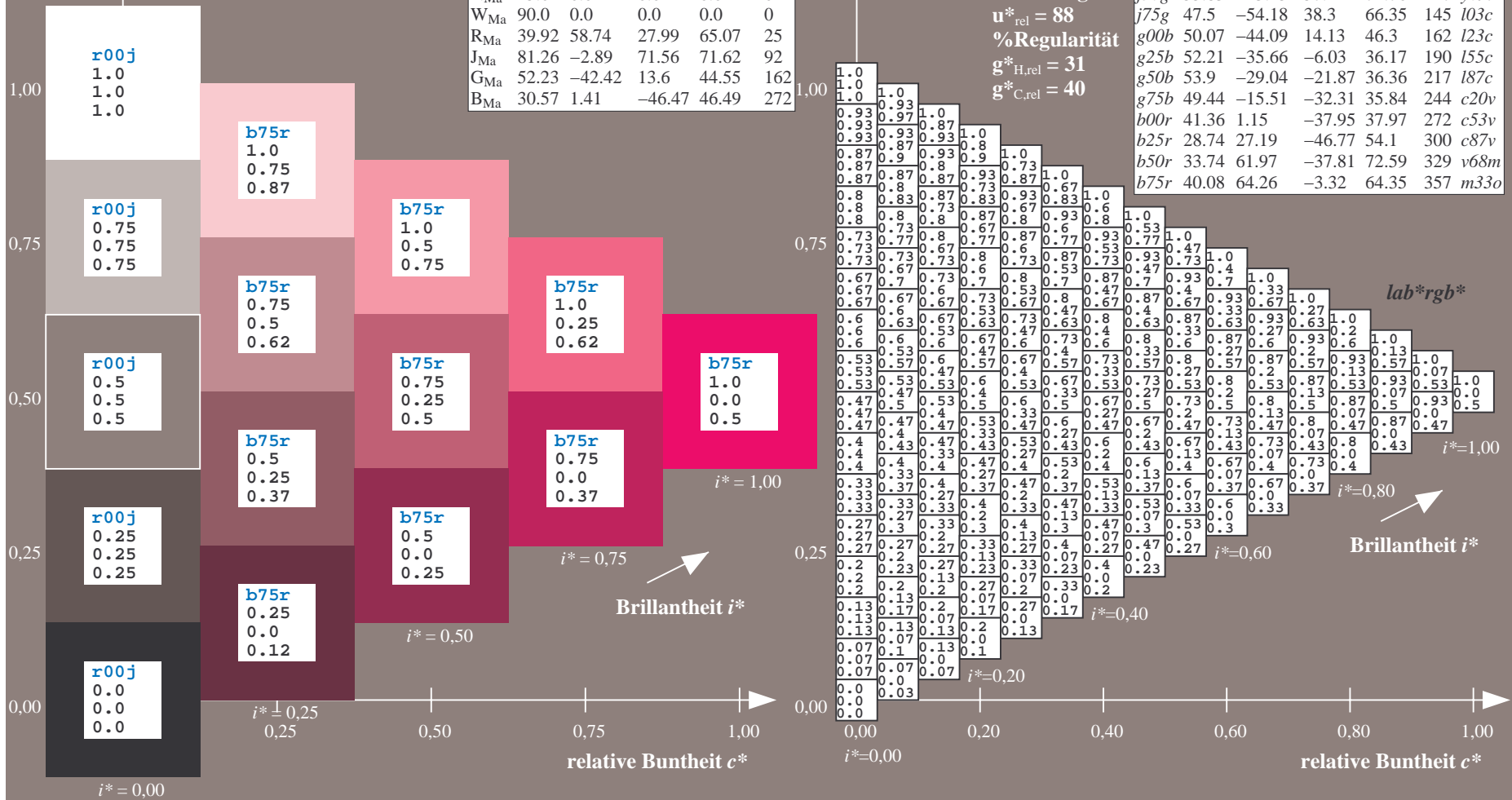
$lab^*rgb^*_{Ma}: 1.0\ 0.0\ 0.5$

$lab^*olv^*_{Ma}: 1.0\ 0.0\ 0.66$

Dreiecks-Helligkeit t^*

FRS15_90a; adaptierte CIELAB-Daten

u^*_e	$L^*=L^*_a$	a^*_a	b^*_a	$C^*_{ab,a}$	$h^*_{ab,a}$	u^*_d
r00j	39.18	56.94	27.13	63.07	25	m81o
r25j	42.41	49.1	44.5	66.26	42	o10y
r50j	52.78	35.22	58.37	68.17	59	o40y
r75j	64.82	19.12	74.47	76.89	76	o69y
j00g	82.06	-3.94	97.52	97.6	92	o98y
j25g	67.26	-26.87	74.67	79.36	110	y34l
j50g	55.83	-43.45	57.11	71.76	127	y69l
j75g	47.5	-54.18	38.3	66.35	145	l03c
g00b	50.07	-44.09	14.13	46.3	162	l23c
g25b	52.21	-35.66	-6.03	36.17	190	l55c
g50b	53.9	-29.04	-21.87	36.36	217	l87c
g75b	49.44	-15.51	-32.31	35.84	244	c20v
b00r	41.36	1.15	-37.95	37.97	272	c53v
b25r	28.74	27.19	-46.77	54.1	300	c87v
b50r	33.74	61.97	-37.81	72.59	329	v68m
b75r	40.08	64.26	-3.32	64.35	357	m33o



Ein und Ausgabe:
Farbmetrisches Drucker-Reflektiv-System FRS15_90a

Daten für jede Farbe:

u^*_e und Nummer $Nr. = 00 \dots 15$

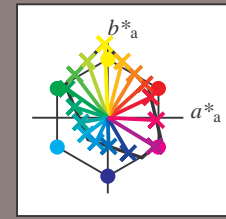
Elementar-Bunttextext:

$u^*_e = 16$ Bunttoene $r00j, r25j, \dots, b75r$

Kontrastreduzierungsfaktor:

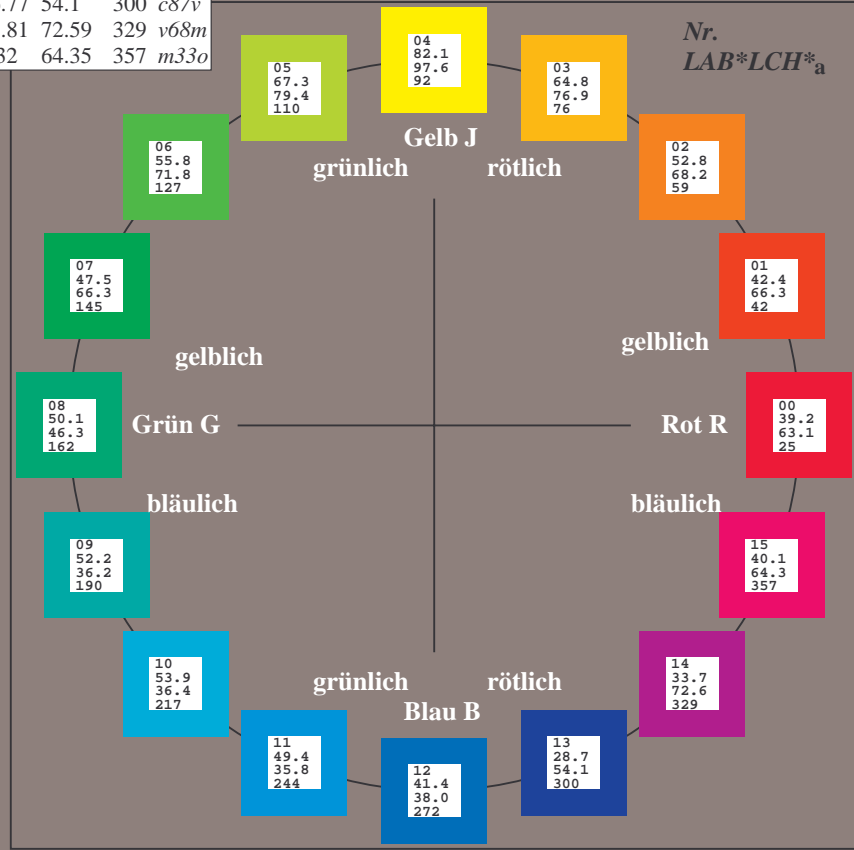
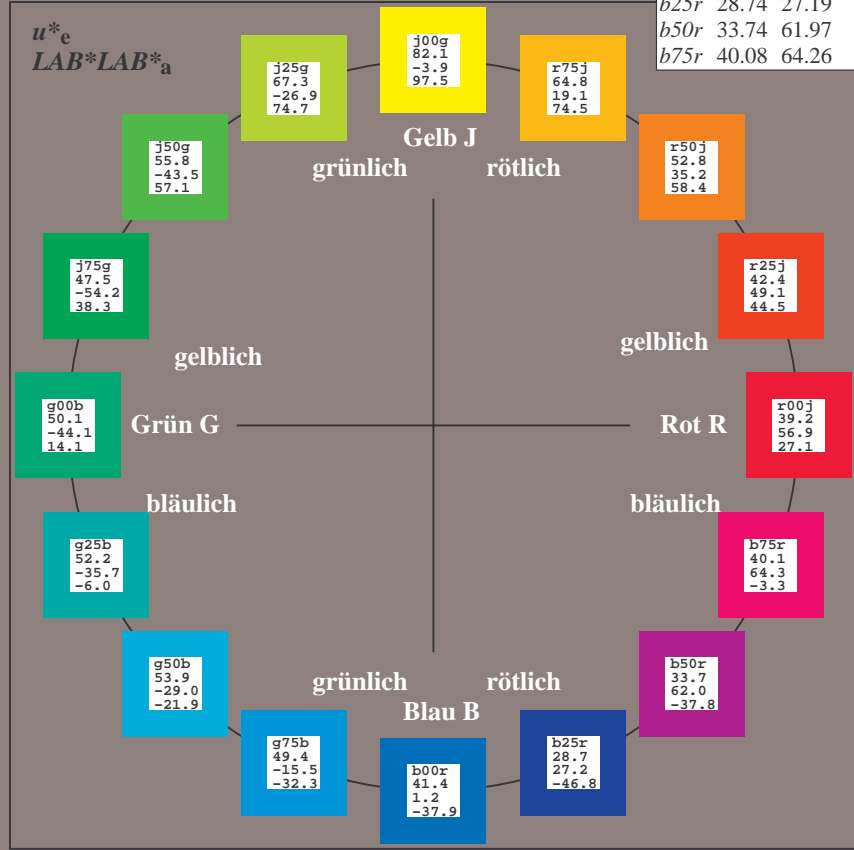
$c_R = 0.9$

FRS15_90a; adaptierte CIELAB-Daten							
u^*_e	$L^*=L^*_a$	a^*_a	b^*_a	$C^*_{ab,a}$	$h^*_{ab,a}$	u^*_d	
r00j	39.18	56.94	27.13	63.07	25	m8l0	
r25j	42.41	49.1	44.5	66.26	42	o10y	
r50j	52.78	35.22	58.37	68.17	59	o40y	
r75j	64.82	19.12	74.47	76.89	76	o69y	
j00g	82.06	-3.94	97.52	97.6	92	o98y	
j25g	67.26	-26.87	74.67	79.36	110	y34l	
j50g	55.83	-43.45	57.11	71.76	127	y69l	
j75g	47.5	-54.18	38.3	66.35	145	l03c	
g00b	50.07	-44.09	14.13	46.3	162	l23c	
g25b	52.21	-35.66	-6.03	36.17	190	l55c	
g50b	53.9	-29.04	-21.87	36.36	217	l87c	
g75b	49.44	-15.51	-32.31	35.84	244	c20v	
b00r	41.36	1.15	-37.95	37.97	272	c53v	
b25r	28.74	27.19	-46.77	54.1	300	c87v	
b50r	33.74	61.97	-37.81	72.59	329	v68m	
b75r	40.08	64.26	-3.32	64.35	357	m33o	



%Umfang
 $u^*_{rel} = 88$
%Regularität
 $g^*_{H,rel} = 31$
 $g^*_{C,rel} = 40$

FRS15_90a; adaptierte CIELAB-Daten					
Name	$L^*=L^*_a$	a^*_a	b^*_a	$C^*_{ab,a}$	$h^*_{ab,a}$
OMa	38.8	53.92	39.68	66.95	36
YMa	82.58	-4.64	98.22	98.33	93
LMa	46.95	-56.34	43.46	71.15	142
CMa	54.62	-26.2	-28.68	38.85	228
VMa	20.01	45.2	-52.87	69.56	311
MMa	40.88	70.68	-29.99	76.78	337
NMa	15.0	0.0	0.0	0.0	0
WMa	90.0	0.0	0.0	0.0	0
RCIE	39.92	58.74	27.99	65.07	25
JCIE	81.26	-2.89	71.56	71.62	92
GCIE	52.23	-42.42	13.6	44.55	162
BCIE	30.57	1.41	-46.47	46.49	272



Ein und Ausgabe: Farbmatisches Drucker-Reflektiv-System FRS15_90a für relativen CIELAB-Bunton $h^* = lab^*h^* = h_{ab}/360 = 0.071$

$u^*_e = r00j$
 $LAB^*LAB^*_a$

Daten für jede Farbe:

lab^*ch^* und lab^*icu^*

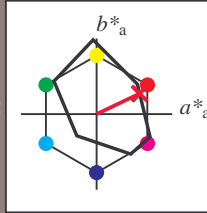
Buntontexte:

$u^*_e = r00j$ $u^*_d = m81o$

Kontrastreduzierungsfaktor:

$c_R = 0.9$

Dreiecks-Helligkeit t^*



FRS15_90a; adaptierte CIELAB-Daten

u^*_e	$L^*=L^*_a$	a^*_a	b^*_a	$C^*_{ab,a}$	$h^*_{ab,a}$
O _{Ma}	38.8	53.92	39.68	66.95	36
Y _{Ma}	82.58	-4.64	98.22	98.33	93
L _{Ma}	46.95	-56.34	43.46	71.15	142
C _{Ma}	54.62	-26.2	-28.68	38.85	228
V _{Ma}	20.01	45.2	-52.87	69.56	311
M _{Ma}	40.88	70.68	-29.99	76.78	337
N _{Ma}	15.0	0.0	0.0	0.0	0
W _{Ma}	90.0	0.0	0.0	0.0	0
R _{Ma}	39.92	58.74	27.99	65.07	25
J _{Ma}	81.26	-2.89	71.56	71.62	92
G _{Ma}	52.23	-42.42	13.6	44.55	162
B _{Ma}	30.57	1.41	-46.47	46.49	272

Daten für Maximalfarbe (Ma):

$LAB^*LAB^*_Ma: 39\ 57\ 27$

$LAB^*LCH^*_Ma: 39\ 63\ 25$

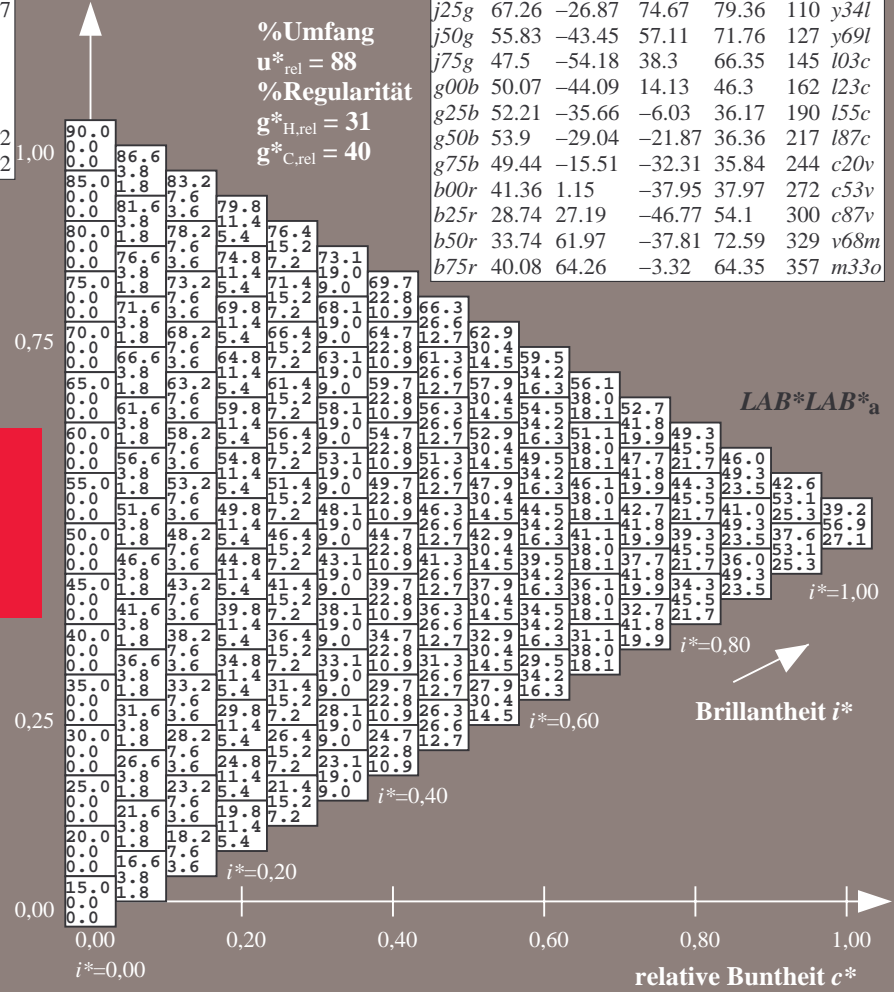
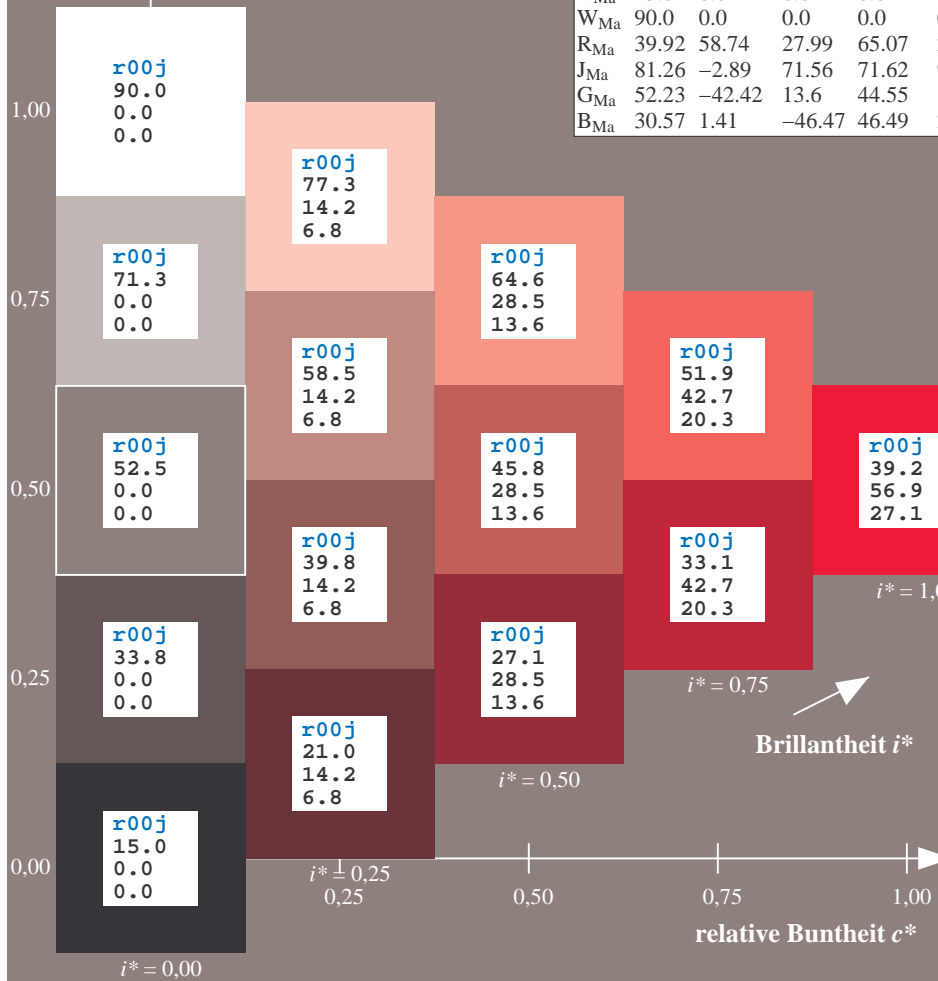
$lab^*rgb^*_Ma: 1.0\ 0.0\ 0.0$

$lab^*olv^*_Ma: 1.0\ 0.0\ 0.18$

Dreiecks-Helligkeit t^*

FRS15_90a; adaptierte CIELAB-Daten

u^*_e	$L^*=L^*_a$	a^*_a	b^*_a	$C^*_{ab,a}$	$h^*_{ab,a}$	u^*_d
r00j	39.18	56.94	27.13	63.07	25	m81o
r25j	42.41	49.1	44.5	66.26	42	o10y
r50j	52.78	35.22	58.37	68.17	59	o40y
r75j	64.82	19.12	74.47	76.89	76	o69y
j00g	82.06	-3.94	97.52	97.6	92	o98y
j25g	67.26	-26.87	74.67	79.36	110	y34l
j50g	55.83	-43.45	57.11	71.76	127	y69l
j75g	47.5	-54.18	38.3	66.35	145	l03c
g00b	50.07	-44.09	14.13	46.3	162	l23c
g25b	52.21	-35.66	-6.03	36.17	190	l55c
g50b	53.9	-29.04	-21.87	36.36	217	l87c
g75b	49.44	-15.51	-32.31	35.84	244	c20v
b00r	41.36	1.15	-37.95	37.97	272	c53v
b25r	28.74	27.19	-46.77	54.1	300	c87v
b50r	33.74	61.97	-37.81	72.59	329	v68m
b75r	40.08	64.26	-3.32	64.35	357	m33o



Ein und Ausgabe: Farbmatisches Drucker-Reflektiv-System FRS15_90a für relativen CIELAB-Bunton $h^* = lab^*h^* = h_{ab}/360 = 0.117$

$u^*_e = r25j$
 $LAB^*LAB^*_a$

Daten für jede Farbe:

lab^*tch^* und lab^*icu^*

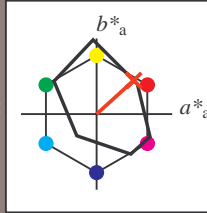
Buntontexte:

$u^*_e = r25j$ $u^*_d = o10y$

Kontrastreduzierungsfaktor:

$c_R = 0.9$

Dreiecks-Helligkeit t^*



FRS15_90a; adaptierte CIELAB-Daten

	u^*_e	$L^*=L^*_a$	a^*_a	b^*_a	$C^*_{ab,a}$	$h^*_{ab,a}$
O _{Ma}	38.8	53.92	39.68	66.95	36	
Y _{Ma}	82.58	-4.64	98.22	98.33	93	
L _{Ma}	46.95	-56.34	43.46	71.15	142	
C _{Ma}	54.62	-26.2	-28.68	38.85	228	
V _{Ma}	20.01	45.2	-52.87	69.56	311	
M _{Ma}	40.88	70.68	-29.99	76.78	337	
N _{Ma}	15.0	0.0	0.0	0.0	0	
W _{Ma}	90.0	0.0	0.0	0.0	0	
R _{Ma}	39.92	58.74	27.99	65.07	25	
J _{Ma}	81.26	-2.89	71.56	71.62	92	
G _{Ma}	52.23	-42.42	13.6	44.55	162	
B _{Ma}	30.57	1.41	-46.47	46.49	272	

Daten für Maximalfarbe (Ma):

$LAB^*LAB^*_Ma: 42\ 49\ 44$

$LAB^*LCH^*_Ma: 42\ 66\ 42$

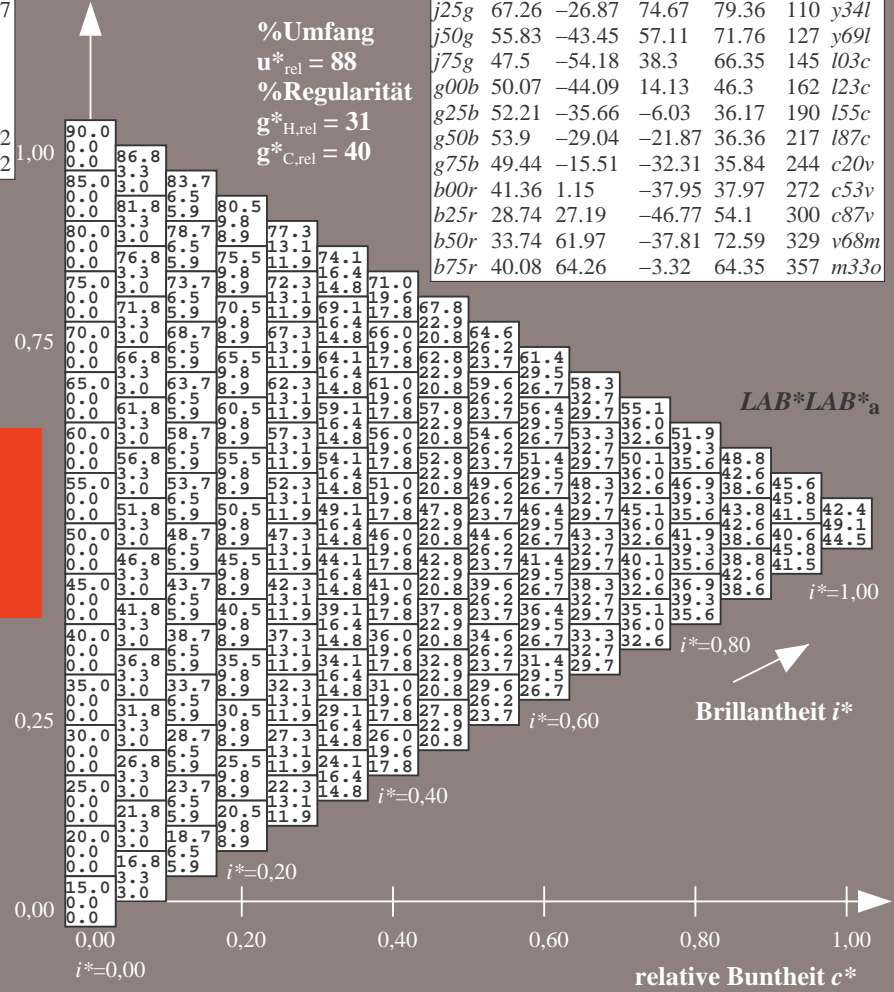
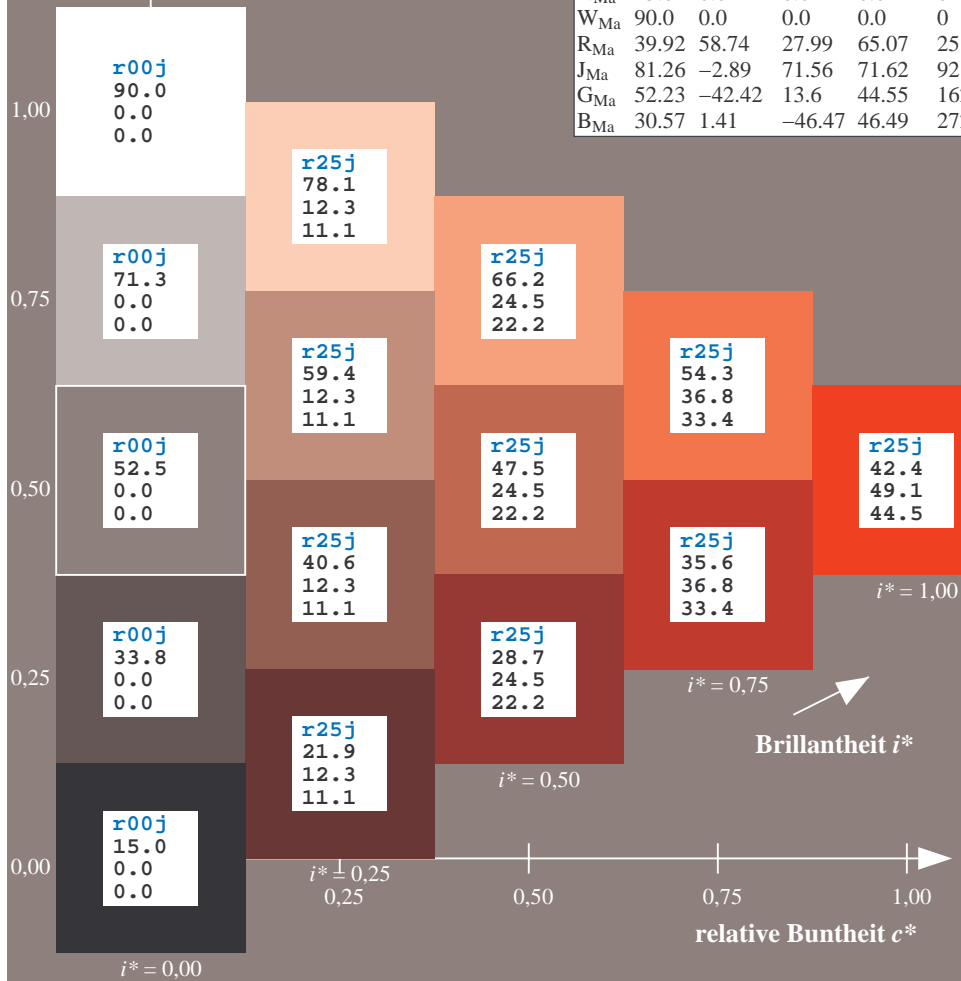
$lab^*rgb^*_Ma: 1.0\ 0.25\ 0.0$

$lab^*olv^*_Ma: 1.0\ 0.1\ 0.0$

Dreiecks-Helligkeit t^*

FRS15_90a; adaptierte CIELAB-Daten

	u^*_e	$L^*=L^*_a$	a^*_a	b^*_a	$C^*_{ab,a}$	$h^*_{ab,a}$	u^*_d
r00j	39.18	56.94	27.13	63.07	25	m81o	
r25j	42.41	49.1	44.5	66.26	42	o10y	
r50j	52.78	35.22	58.37	68.17	59	o40y	
r75j	64.82	19.12	74.47	76.89	76	o69y	
j00g	82.06	-3.94	97.52	97.6	92	o98y	
j25g	67.26	-26.87	74.67	79.36	110	y34l	
j50g	55.83	-43.45	57.11	71.76	127	y69l	
j75g	47.5	-54.18	38.3	66.35	145	l03c	
g00b	50.07	-44.09	14.13	46.3	162	l23c	
g25b	52.21	-35.66	-6.03	36.17	190	l55c	
g50b	53.9	-29.04	-21.87	36.36	217	l87c	
g75b	49.44	-15.51	-32.31	35.84	244	c20v	
b00r	41.36	1.15	-37.95	37.97	272	c53v	
b25r	28.74	27.19	-46.77	54.1	300	c87v	
b50r	33.74	61.97	-37.81	72.59	329	v68m	
b75r	40.08	64.26	-3.32	64.35	357	m33o	



Ein und Ausgabe: Farbmatisches Drucker-Reflektiv-System FRS15_90a für relativen CIELAB-Bunton $h^* = lab \cdot h^* = h_{ab}/360 = 0.164$

$u^*_e = r50j$
 $LAB^*LAB^*_a$

Daten für jede Farbe:

lab^*tch^* und lab^*icu^*

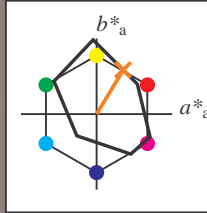
Buntontexte:

$u^*_e = r50j$ $u^*_d = o40y$

Kontrastreduzierungsfaktor:

$c_R = 0.9$

Dreiecks-Helligkeit t^*



FRS15_90a; adaptierte CIELAB-Daten

	u^*_e	$L^*=L^*_a$	a^*_a	b^*_a	$C^*_{ab,a}$	$h^*_{ab,a}$
O _{Ma}	38.8	53.92	39.68	66.95	36	
Y _{Ma}	82.58	-4.64	98.22	98.33	93	
L _{Ma}	46.95	-56.34	43.46	71.15	142	
C _{Ma}	54.62	-26.2	-28.68	38.85	228	
V _{Ma}	20.01	45.2	-52.87	69.56	311	
M _{Ma}	40.88	70.68	-29.99	76.78	337	
N _{Ma}	15.0	0.0	0.0	0.0	0	
W _{Ma}	90.0	0.0	0.0	0.0	0	
R _{Ma}	39.92	58.74	27.99	65.07	25	
J _{Ma}	81.26	-2.89	71.56	71.62	92	
G _{Ma}	52.23	-42.42	13.6	44.55	162	
B _{Ma}	30.57	1.41	-46.47	46.49	272	

Daten für Maximalfarbe (Ma):

$LAB^*LAB^*_Ma: 53 \ 35 \ 58$

$LAB^*LCH^*_Ma: 53 \ 68 \ 58$

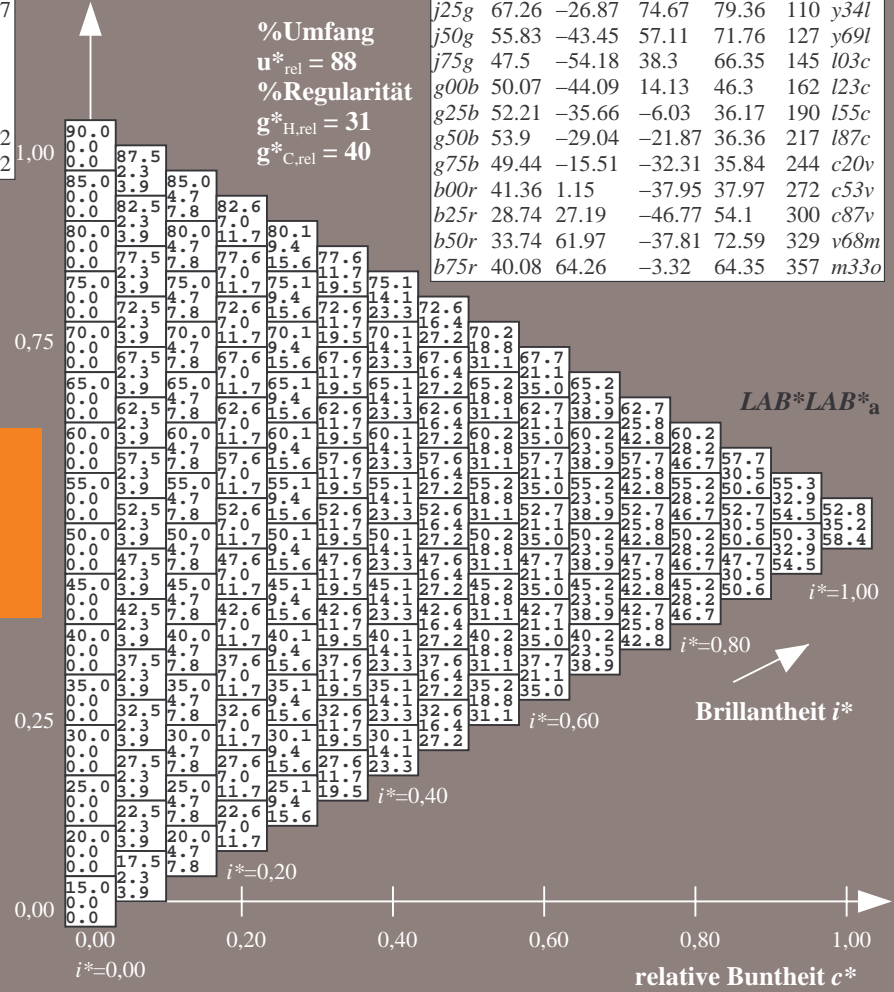
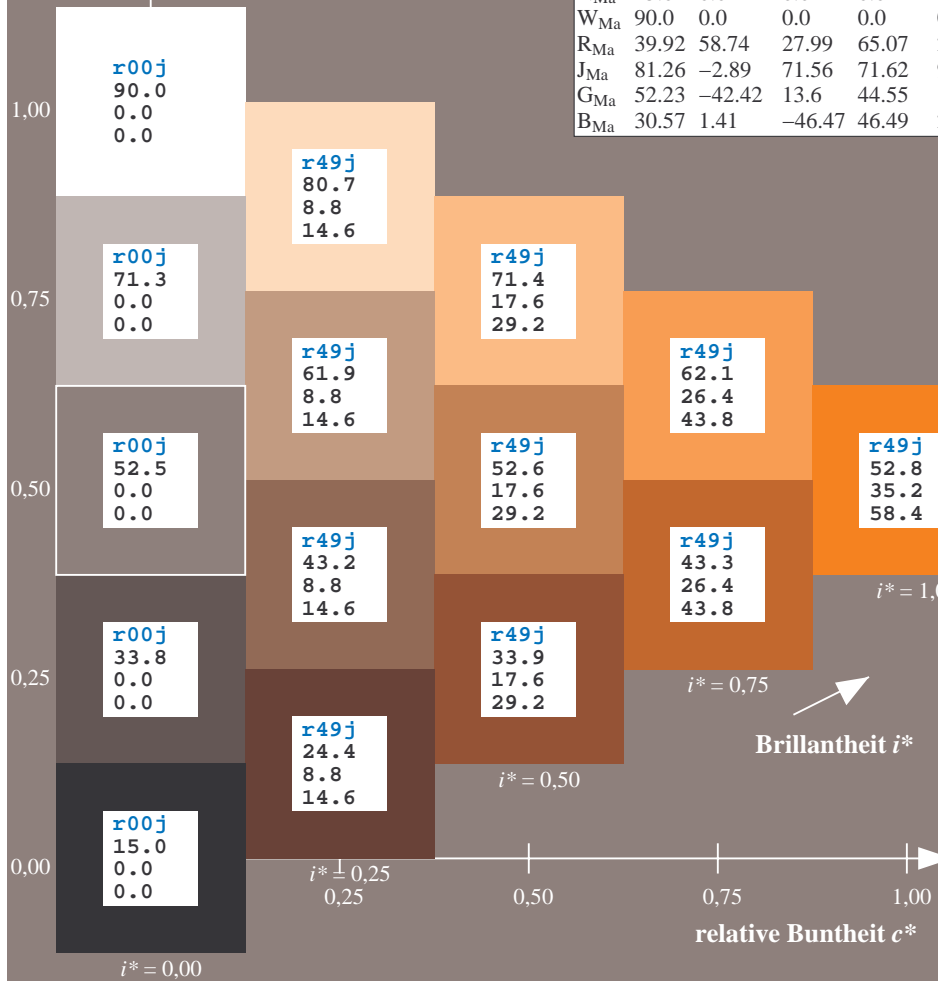
$lab^*rgb^*_Ma: 1.0 \ 0.5 \ 0.0$

$lab^*olv^*_Ma: 1.0 \ 0.4 \ 0.0$

Dreiecks-Helligkeit t^*

FRS15_90a; adaptierte CIELAB-Daten

	u^*_e	$L^*=L^*_a$	a^*_a	b^*_a	$C^*_{ab,a}$	$h^*_{ab,a}$	u^*_d
r00j	39.18	56.94	27.13	63.07	25	m81o	
r25j	42.41	49.1	44.5	66.26	42	o10y	
r50j	52.78	35.22	58.37	68.17	59	o40y	
r75j	64.82	19.12	74.47	76.89	76	o69y	
j00g	82.06	-3.94	97.52	97.6	92	o98y	
j25g	67.26	-26.87	74.67	79.36	110	y34l	
j50g	55.83	-43.45	57.11	71.76	127	y69l	
j75g	47.5	-54.18	38.3	66.35	145	l03c	
g00b	50.07	-44.09	14.13	46.3	162	l23c	
g25b	52.21	-35.66	-6.03	36.17	190	l55c	
g50b	53.9	-29.04	-21.87	36.36	217	l87c	
g75b	49.44	-15.51	-32.31	35.84	244	c20v	
b00r	41.36	1.15	-37.95	37.97	272	c53v	
b25r	28.74	27.19	-46.77	54.1	300	c87v	
b50r	33.74	61.97	-37.81	72.59	329	v68m	
b75r	40.08	64.26	-3.32	64.35	357	m33o	



Ein und Ausgabe: Farbmatisches Drucker-Reflektiv-System FRS15_90a für relativen CIELAB-Bunton $h^* = lab \cdot h^* = h_{ab}/360 = 0.21$

$u^*_e = r75j$
 $LAB^*LAB^*_a$

Daten für jede Farbe:

lab^*tch^* und lab^*icu^*

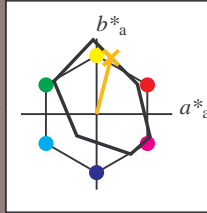
Buntontexte:

$u^*_e = r75j$ $u^*_d = o69y$

Kontrastreduzierungsfaktor:

$c_R = 0.9$

Dreiecks-Helligkeit t^*



FRS15_90a; adaptierte CIELAB-Daten

	u^*_e	$L^*=L^*_a$	a^*_a	b^*_a	$C^*_{ab,a}$	$h^*_{ab,a}$
O _{Ma}	38.8	53.92	39.68	66.95	36	
Y _{Ma}	82.58	-4.64	98.22	98.33	93	
L _{Ma}	46.95	-56.34	43.46	71.15	142	
C _{Ma}	54.62	-26.2	-28.68	38.85	228	
V _{Ma}	20.01	45.2	-52.87	69.56	311	
M _{Ma}	40.88	70.68	-29.99	76.78	337	
N _{Ma}	15.0	0.0	0.0	0.0	0	
W _{Ma}	90.0	0.0	0.0	0.0	0	
R _{Ma}	39.92	58.74	27.99	65.07	25	
J _{Ma}	81.26	-2.89	71.56	71.62	92	
G _{Ma}	52.23	-42.42	13.6	44.55	162	
B _{Ma}	30.57	1.41	-46.47	46.49	272	

Daten für Maximalfarbe (Ma):

$LAB^*LAB^*_Ma: 65 19 74$

$LAB^*LCH^*_Ma: 65 77 75$

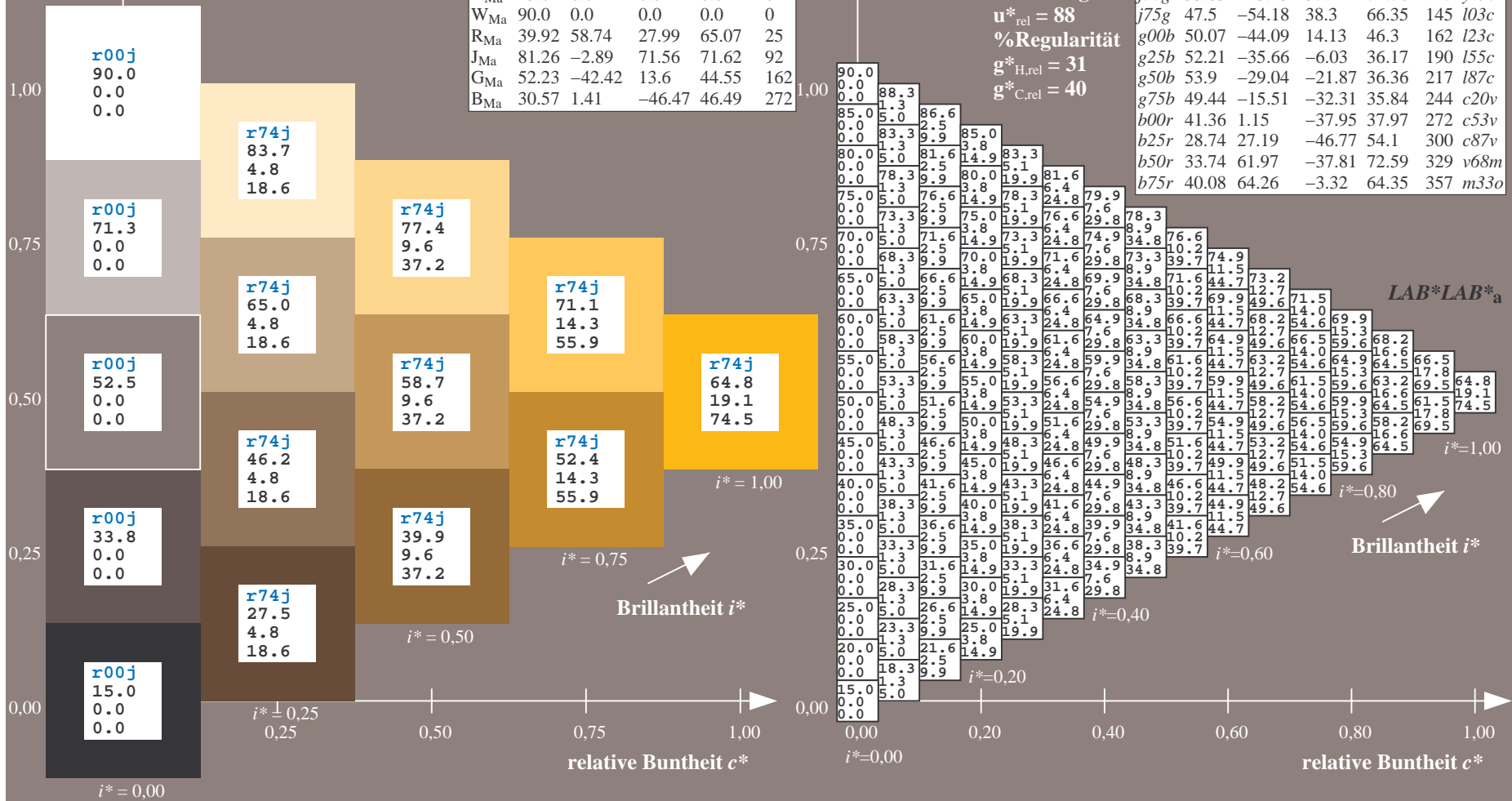
$lab^*rgb^*_Ma: 1.0 0.75 0.0$

$lab^*olv^*_Ma: 1.0 0.7 0.0$

Dreiecks-Helligkeit t^*

FRS15_90a; adaptierte CIELAB-Daten

	u^*_e	$L^*=L^*_a$	a^*_a	b^*_a	$C^*_{ab,a}$	$h^*_{ab,a}$	u^*_d
r00j	39.18	56.94	27.13	63.07	25	m81o	
r25j	42.41	49.1	44.5	66.26	42	o10y	
r50j	52.78	35.22	58.37	68.17	59	o40y	
r75j	64.82	19.12	74.47	76.89	76	o69y	
j00g	82.06	-3.94	97.52	97.6	92	o98y	
j25g	67.26	-26.87	74.67	79.36	110	y34l	
j50g	55.83	-43.45	57.11	71.76	127	y69l	
j75g	47.5	-54.18	38.3	66.35	145	l03c	
g00b	50.07	-44.09	14.13	46.3	162	l23c	
g25b	52.21	-35.66	-6.03	36.17	190	l55c	
g50b	53.9	-29.04	-21.87	36.36	217	l87c	
g75b	49.44	-15.51	-32.31	35.84	244	c20v	
b00r	41.36	1.15	-37.95	37.97	272	c53v	
b25r	28.74	27.19	-46.77	54.1	300	c87v	
b50r	33.74	61.97	-37.81	72.59	329	v68m	
b75r	40.08	64.26	-3.32	64.35	357	m33o	



Ein und Ausgabe: Farbmatisches Drucker-Reflektiv-System FRS15_90a für relativen CIELAB-Bunton $h^* = lab \cdot h^* = h_{ab}/360 = 0.256$

$u^*_e = j00g$
 $LAB^*LAB^*_a$

Daten für jede Farbe:

lab^*tch^* und lab^*icu^*

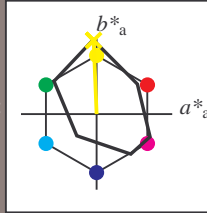
Buntontexte:

$u^*_e = j00g$ $u^*_d = o98y$

Kontrastreduzierungsfaktor:

$c_R = 0.9$

Dreiecks-Helligkeit t^*



FRS15_90a; adaptierte CIELAB-Daten

	u^*_e	$L^*=L^*_a$	a^*_a	b^*_a	$C^*_{ab,a}$	$h^*_{ab,a}$
O _{Ma}	38.8	53.92	39.68	66.95	36	
Y _{Ma}	82.58	-4.64	98.22	98.33	93	
L _{Ma}	46.95	-56.34	43.46	71.15	142	
C _{Ma}	54.62	-26.2	-28.68	38.85	228	
V _{Ma}	20.01	45.2	-52.87	69.56	311	
M _{Ma}	40.88	70.68	-29.99	76.78	337	
N _{Ma}	15.0	0.0	0.0	0.0	0	
W _{Ma}	90.0	0.0	0.0	0.0	0	
R _{Ma}	39.92	58.74	27.99	65.07	25	
J _{Ma}	81.26	-2.89	71.56	71.62	92	
G _{Ma}	52.23	-42.42	13.6	44.55	162	
B _{Ma}	30.57	1.41	-46.47	46.49	272	

Daten für Maximalfarbe (Ma):

$LAB^*LAB^*_Ma: 82 -4 98$

$LAB^*LCH^*_Ma: 82 98 92$

$lab^*rgb^*_Ma: 1.0 1.0 0.0$

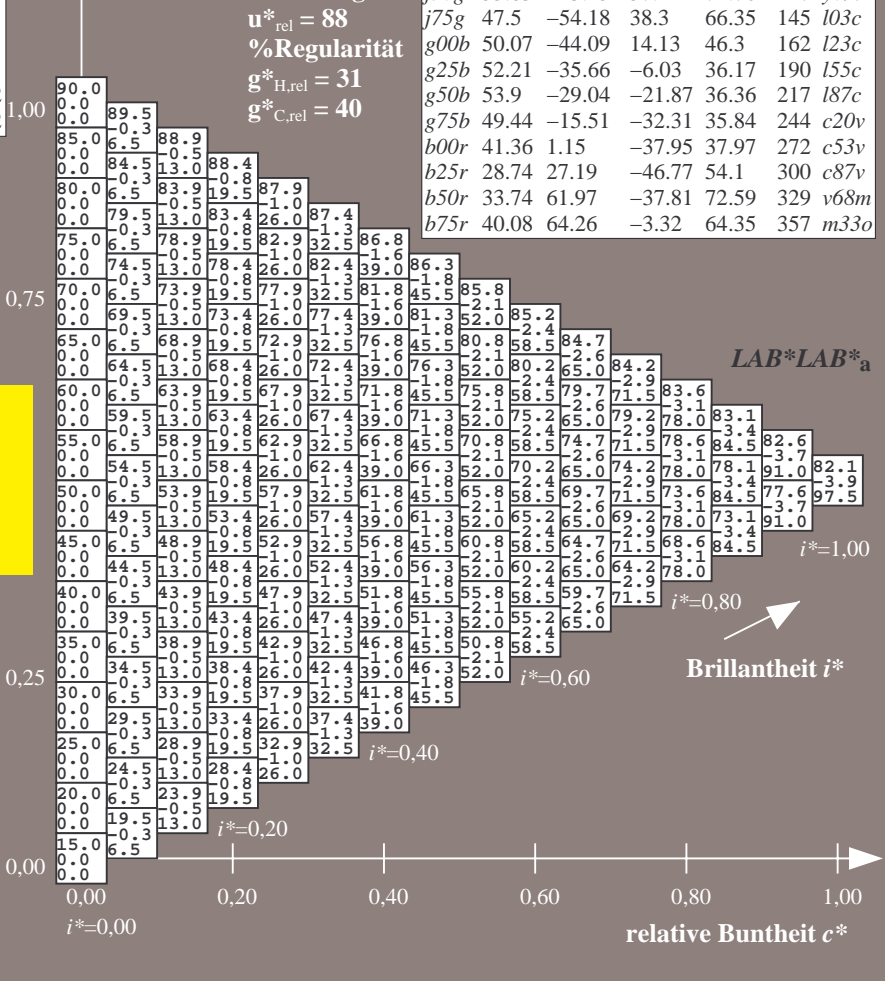
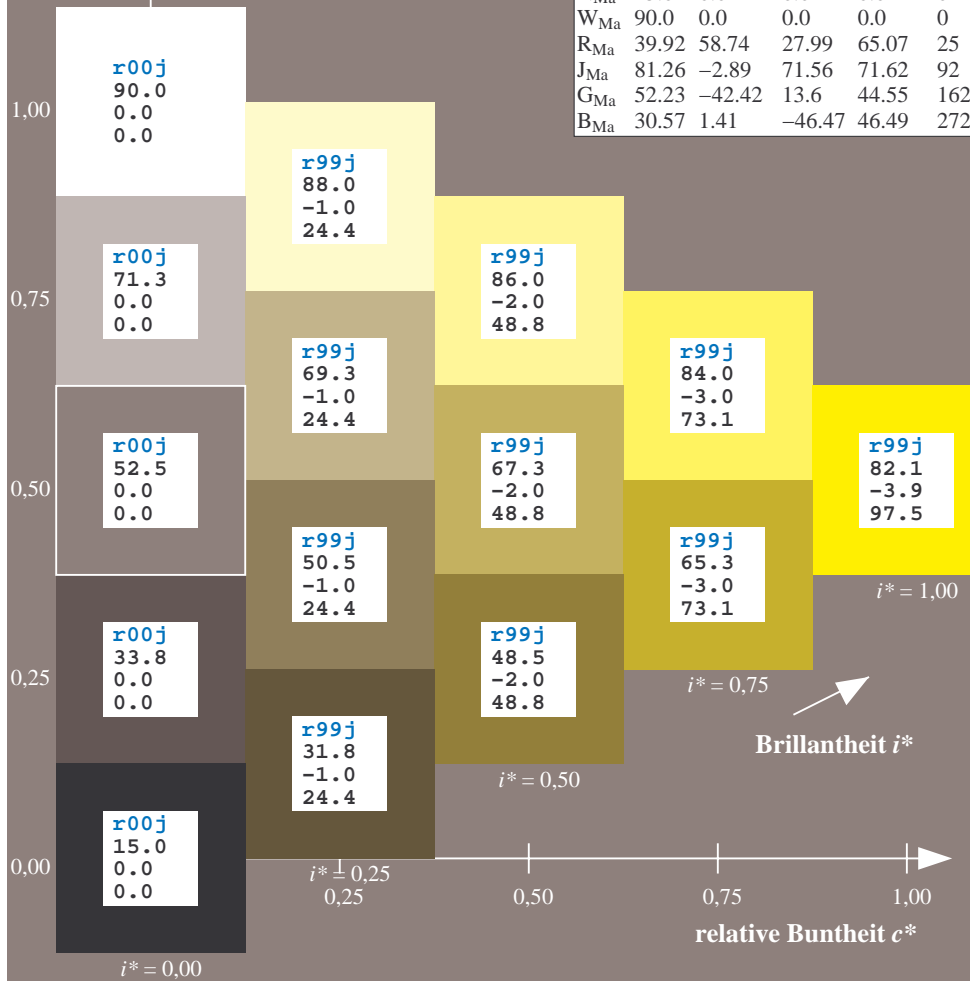
$lab^*olv^*_Ma: 1.0 0.99 0.0$

Dreiecks-Helligkeit t^*

FRS15_90a; adaptierte CIELAB-Daten

	u^*_e	$L^*=L^*_a$	a^*_a	b^*_a	$C^*_{ab,a}$	$h^*_{ab,a}$	u^*_d
r00j	39.18	56.94	27.13	63.07	25	m81o	
r25j	42.41	49.1	44.5	66.26	42	o10y	
r50j	52.78	35.22	58.37	68.17	59	o40y	
r75j	64.82	19.12	74.47	76.89	76	o69y	
j00g	82.06	-3.94	97.52	97.6	92	o98y	
j25g	67.26	-26.87	74.67	79.36	110	y34l	
j50g	55.83	-43.45	57.11	71.76	127	y69l	
j75g	47.5	-54.18	38.3	66.35	145	l03c	
g00b	50.07	-44.09	14.13	46.3	162	l23c	
g25b	52.21	-35.66	-6.03	36.17	190	l55c	
g50b	53.9	-29.04	-21.87	36.36	217	l87c	
g75b	49.44	-15.51	-32.31	35.84	244	c20v	
b00r	41.36	1.15	-37.95	37.97	272	c53v	
b25r	28.74	27.19	-46.77	54.1	300	c87v	
b50r	33.74	61.97	-37.81	72.59	329	v68m	
b75r	40.08	64.26	-3.32	64.35	357	m33o	

%Umfang
 $u^*_{rel} = 88$
%Regularität
 $g^*_{H,rel} = 31$
 $g^*_{C,rel} = 40$



Ein und Ausgabe: Farbmatisches Drucker-Reflektiv-System FRS15_90a für relativen CIELAB-Bunton $h^* = lab^*h^* = h_{ab}/360 = 0.305$

$u^*_e = j25g$
 $LAB^*LAB^*_a$

Daten für jede Farbe:

lab^*tch^* und lab^*icu^*

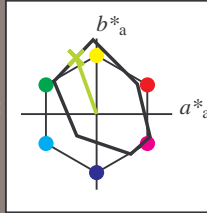
Buntontexte:

$u^*_e = j25g$ $u^*_d = y34l$

Kontrastreduzierungsfaktor:

$c_R = 0.9$

Dreiecks-Helligkeit t^*



FRS15_90a; adaptierte CIELAB-Daten

u^*_e	$L^*=L^*_a$	a^*_a	b^*_a	$C^*_{ab,a}$	$h^*_{ab,a}$
O _{Ma}	38.8	53.92	39.68	66.95	36
Y _{Ma}	82.58	-4.64	98.22	98.33	93
L _{Ma}	46.95	-56.34	43.46	71.15	142
C _{Ma}	54.62	-26.2	-28.68	38.85	228
V _{Ma}	20.01	45.2	-52.87	69.56	311
M _{Ma}	40.88	70.68	-29.99	76.78	337
N _{Ma}	15.0	0.0	0.0	0.0	0
W _{Ma}	90.0	0.0	0.0	0.0	0
R _{Ma}	39.92	58.74	27.99	65.07	25
J _{Ma}	81.26	-2.89	71.56	71.62	92
G _{Ma}	52.23	-42.42	13.6	44.55	162
B _{Ma}	30.57	1.41	-46.47	46.49	272

Daten für Maximalfarbe (Ma):

$LAB^*LAB^*_Ma: 67 -27 75$

$LAB^*LCH^*_Ma: 67 79 109$

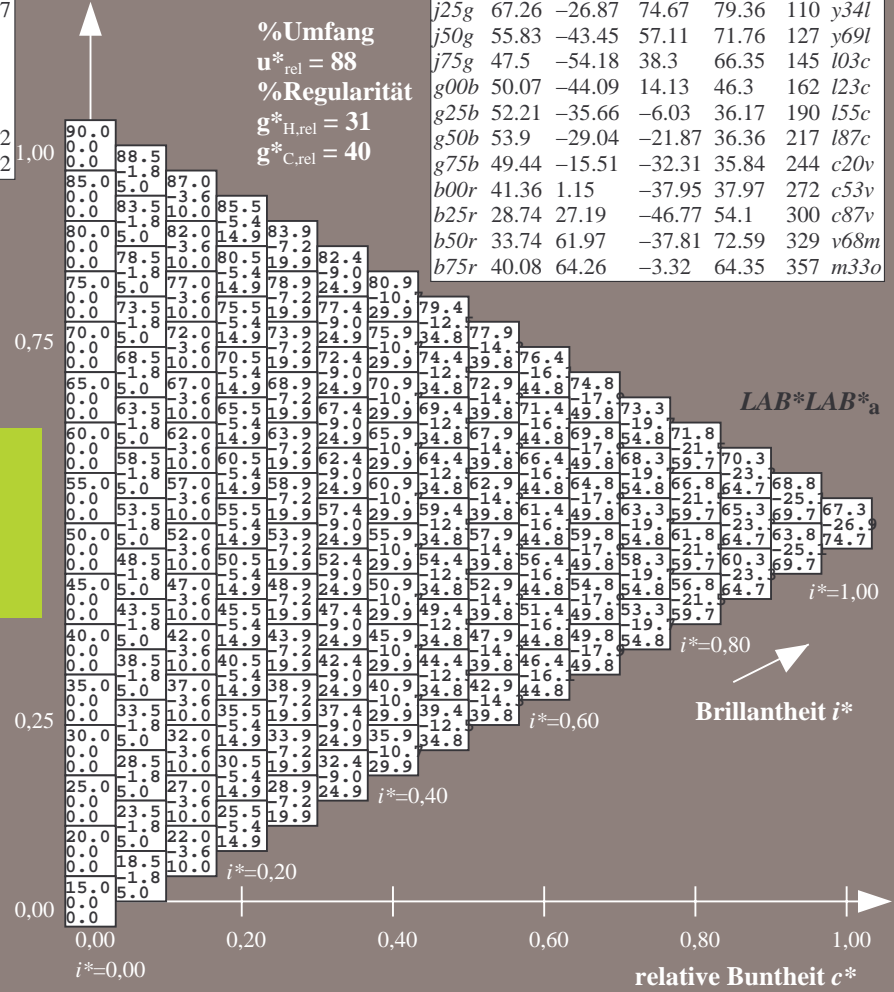
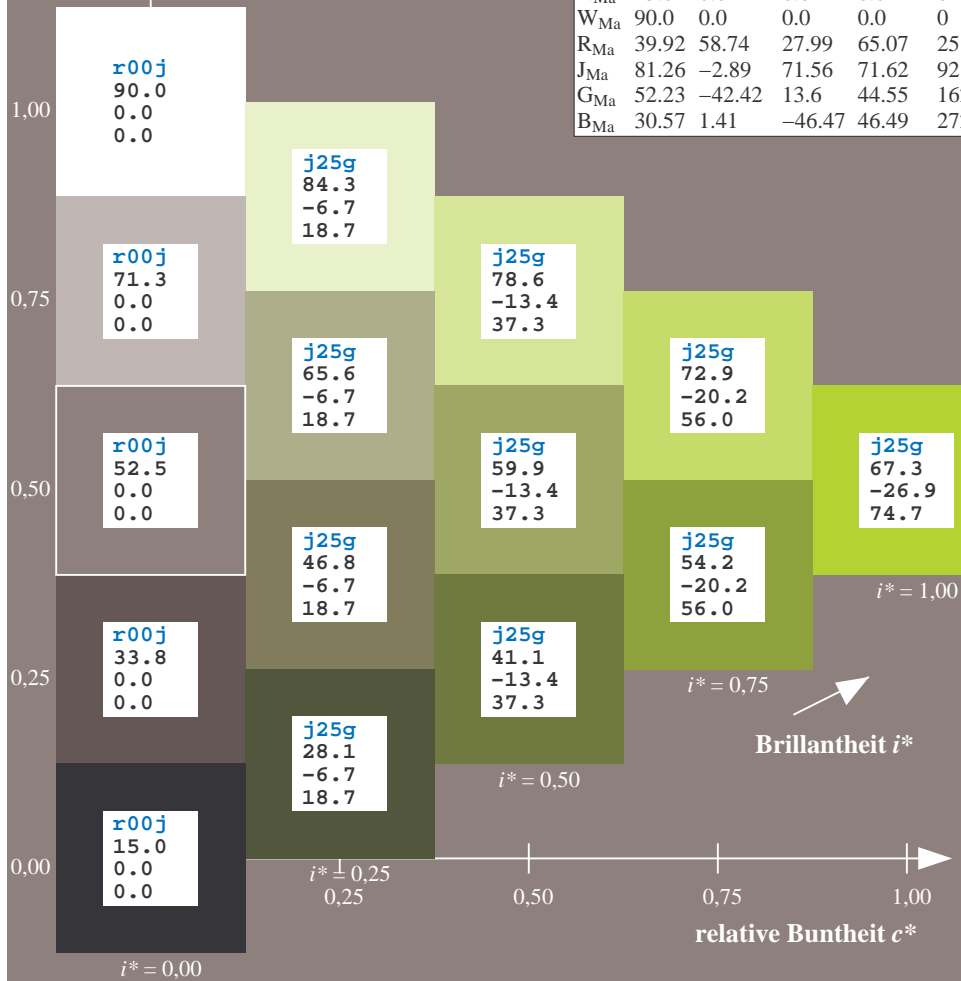
$lab^*rgb^*_Ma: 0.75 1.0 0.0$

$lab^*olv^*_Ma: 0.66 1.0 0.0$

Dreiecks-Helligkeit t^*

FRS15_90a; adaptierte CIELAB-Daten

u^*_e	$L^*=L^*_a$	a^*_a	b^*_a	$C^*_{ab,a}$	$h^*_{ab,a}$	u^*_d
r00j	39.18	56.94	27.13	63.07	25	m81o
r25j	42.41	49.1	44.5	66.26	42	o10y
r50j	52.78	35.22	58.37	68.17	59	o40y
r75j	64.82	19.12	74.47	76.89	76	o69y
j00g	82.06	-3.94	97.52	97.6	92	o98y
j25g	67.26	-26.87	74.67	79.36	110	y34l
j50g	55.83	-43.45	57.11	71.76	127	y69l
j75g	47.5	-54.18	38.3	66.35	145	l03c
g00b	50.07	-44.09	14.13	46.3	162	l23c
g25b	52.21	-35.66	-6.03	36.17	190	l55c
g50b	53.9	-29.04	-21.87	36.36	217	l87c
g75b	49.44	-15.51	-32.31	35.84	244	c20v
b00r	41.36	1.15	-37.95	37.97	272	c53v
b25r	28.74	27.19	-46.77	54.1	300	c87v
b50r	33.74	61.97	-37.81	72.59	329	v68m
b75r	40.08	64.26	-3.32	64.35	357	m33o



Ein und Ausgabe: Farbmatisches Drucker-Reflektiv-System FRS15_90a für relativen CIELAB-Bunton $h^* = lab \cdot h^* = h_{ab}/360 = 0.354$

$u^*_e = j50g$
 $LAB^*LAB^*_a$

Daten für jede Farbe:

lab^*tch^* und lab^*icu^*

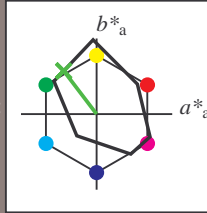
Buntontexte:

$u^*_e = j50g$ $u^*_d = y69l$

Kontrastreduzierungsfaktor:

$c_R = 0.9$

Dreiecks-Helligkeit t^*



FRS15_90a; adaptierte CIELAB-Daten

	u^*_e	$L^*=L^*_a$	a^*_a	b^*_a	$C^*_{ab,a}$	$h^*_{ab,a}$
O _{Ma}	38.8	53.92	39.68	66.95	36	
Y _{Ma}	82.58	-4.64	98.22	98.33	93	
L _{Ma}	46.95	-56.34	43.46	71.15	142	
C _{Ma}	54.62	-26.2	-28.68	38.85	228	
V _{Ma}	20.01	45.2	-52.87	69.56	311	
M _{Ma}	40.88	70.68	-29.99	76.78	337	
N _{Ma}	15.0	0.0	0.0	0.0	0	
W _{Ma}	90.0	0.0	0.0	0.0	0	
R _{Ma}	39.92	58.74	27.99	65.07	25	
J _{Ma}	81.26	-2.89	71.56	71.62	92	
G _{Ma}	52.23	-42.42	13.6	44.55	162	
B _{Ma}	30.57	1.41	-46.47	46.49	272	

Daten für Maximalfarbe (Ma):

$LAB^*LAB^*_Ma: 56 -43 57$

$LAB^*LCH^*_Ma: 56 72 127$

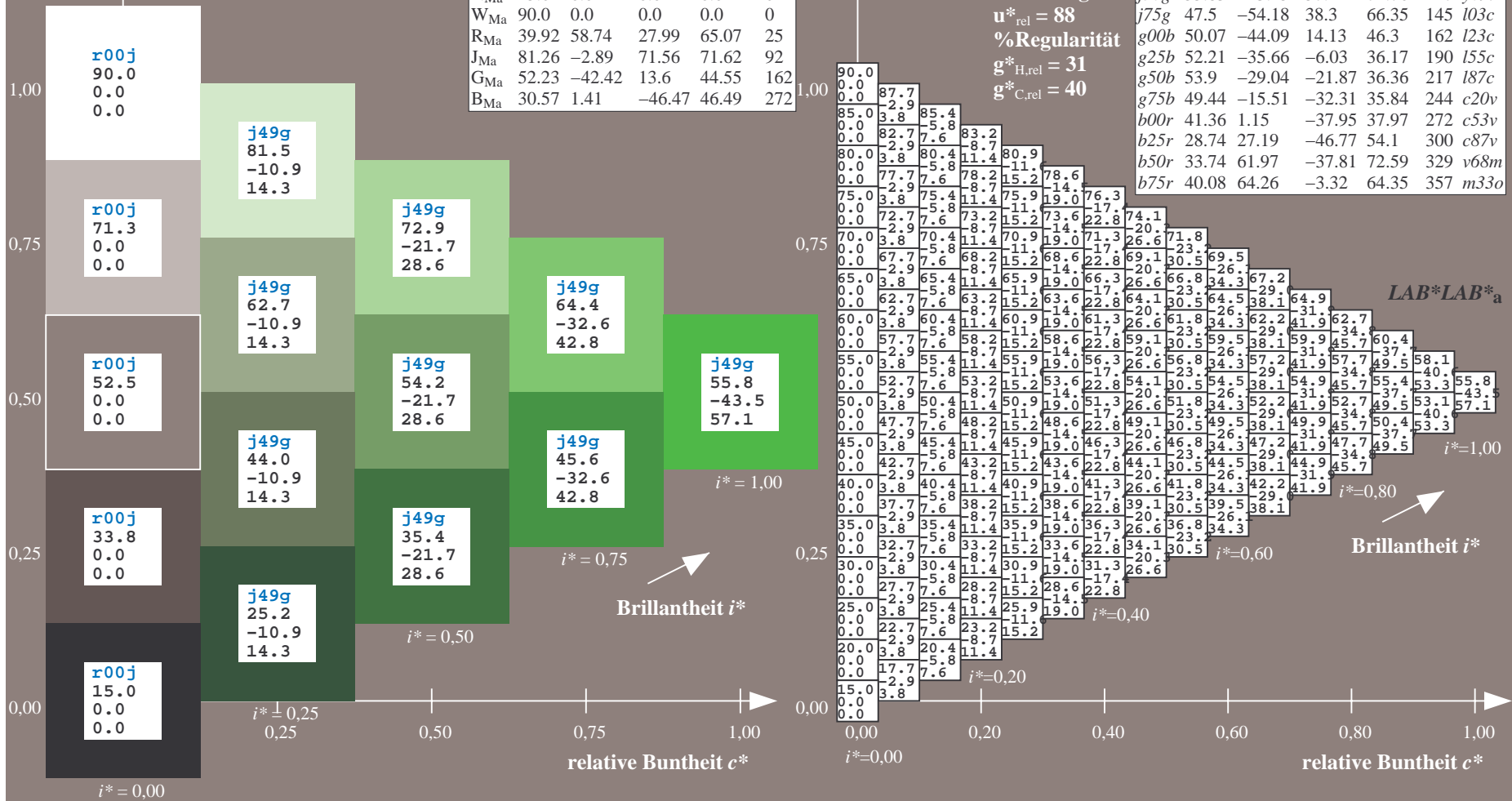
$lab^*rgb^*_Ma: 0.5 1.0 0.0$

$lab^*olv^*_Ma: 0.3 1.0 0.0$

Dreiecks-Helligkeit t^*

FRS15_90a; adaptierte CIELAB-Daten

	u^*_e	$L^*=L^*_a$	a^*_a	b^*_a	$C^*_{ab,a}$	$h^*_{ab,a}$	u^*_d
r00j	39.18	56.94	27.13	63.07	25	m81o	
r25j	42.41	49.1	44.5	66.26	42	o10y	
r50j	52.78	35.22	58.37	68.17	59	o40y	
r75j	64.82	19.12	74.47	76.89	76	o69y	
j00g	82.06	-3.94	97.52	97.6	92	o98y	
j25g	67.26	-26.87	74.67	79.36	110	y34l	
j50g	55.83	-43.45	57.11	71.76	127	y69l	
j75g	47.5	-54.18	38.3	66.35	145	l03c	
g00b	50.07	-44.09	14.13	46.3	162	l23c	
g25b	52.21	-35.66	-6.03	36.17	190	l55c	
g50b	53.9	-29.04	-21.87	36.36	217	l87c	
g75b	49.44	-15.51	-32.31	35.84	244	c20v	
b00r	41.36	1.15	-37.95	37.97	272	c53v	
b25r	28.74	27.19	-46.77	54.1	300	c87v	
b50r	33.74	61.97	-37.81	72.59	329	v68m	
b75r	40.08	64.26	-3.32	64.35	357	m33o	



Ein und Ausgabe: Farbmatisches Drucker-Reflektiv-System FRS15_90a für relativen CIELAB-Bunton $h^* = lab \cdot h^* = h_{ab}/360 = 0.402$

$u^*_e = j75g$
 $LAB^*LAB^*_a$

Daten für jede Farbe:

lab^*ch^* und lab^*icu^*

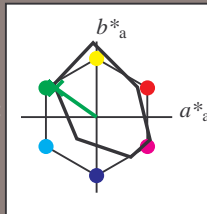
Buntontexte:

$u^*_e = j75g$ $u^*_d = l03c$

Kontrastreduzierungsfaktor:

$c_R = 0.9$

Dreiecks-Helligkeit t^*



FRS15_90a; adaptierte CIELAB-Daten

	u^*_e	$L^*=L^*_a$	a^*_a	b^*_a	$C^*_{ab,a}$	$h^*_{ab,a}$
O _{Ma}	38.8	53.92	39.68	66.95	36	
Y _{Ma}	82.58	-4.64	98.22	98.33	93	
L _{Ma}	46.95	-56.34	43.46	71.15	142	
C _{Ma}	54.62	-26.2	-28.68	38.85	228	
V _{Ma}	20.01	45.2	-52.87	69.56	311	
M _{Ma}	40.88	70.68	-29.99	76.78	337	
N _{Ma}	15.0	0.0	0.0	0.0	0	
W _{Ma}	90.0	0.0	0.0	0.0	0	
R _{Ma}	39.92	58.74	27.99	65.07	25	
J _{Ma}	81.26	-2.89	71.56	71.62	92	
G _{Ma}	52.23	-42.42	13.6	44.55	162	
B _{Ma}	30.57	1.41	-46.47	46.49	272	

Daten für Maximalfarbe (Ma):

$LAB^*LAB^*_Ma: 48 -54 38$

$LAB^*LCH^*_Ma: 48 66 144$

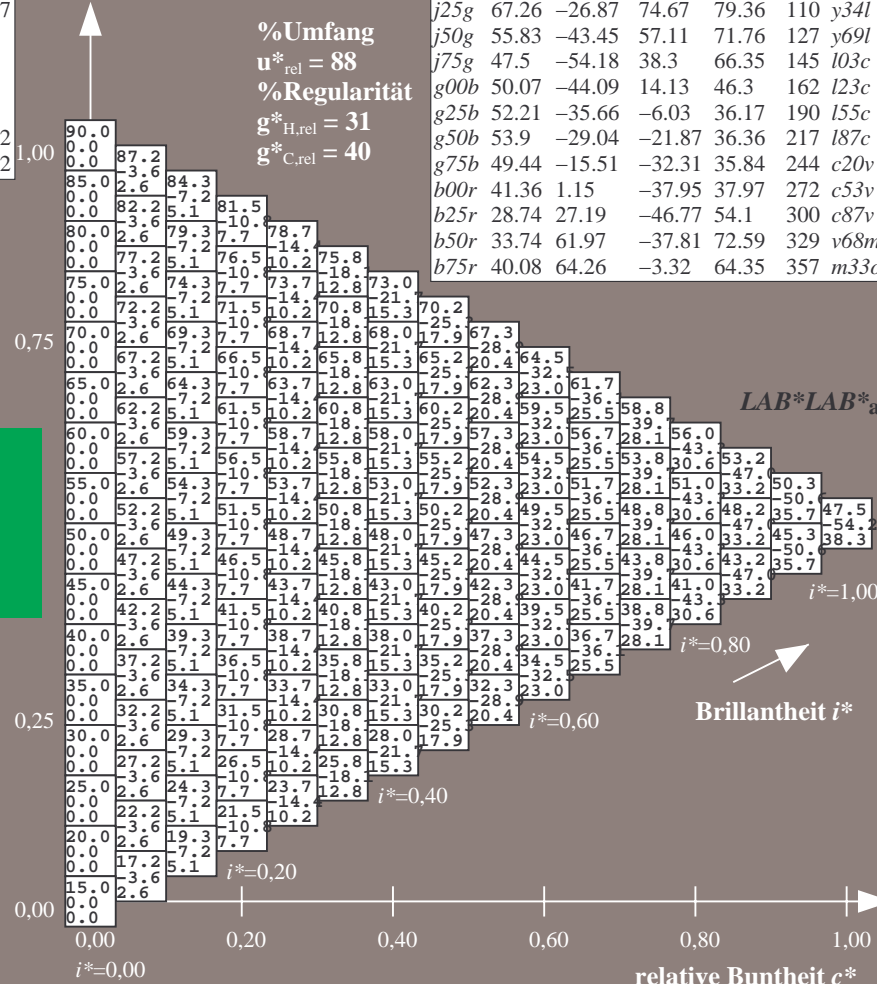
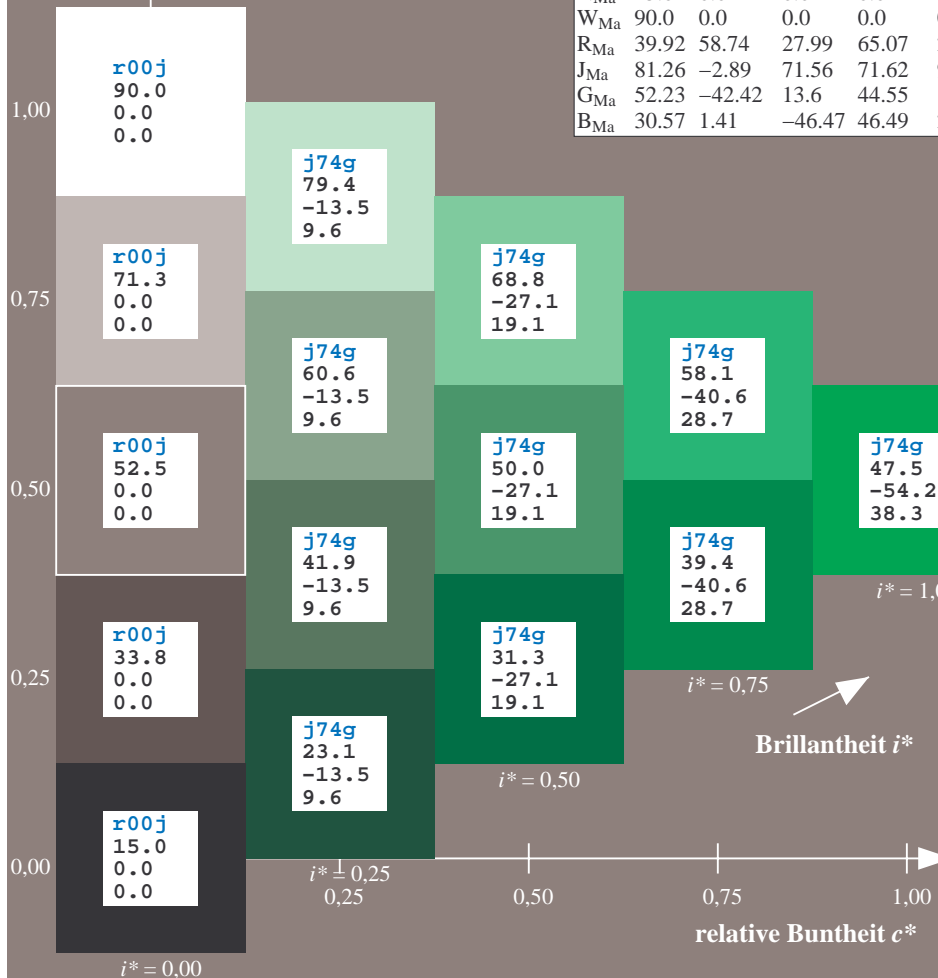
$lab^*rgb^*_Ma: 0.25 1.0 0.0$

$lab^*olv^*_Ma: 0.0 1.0 0.03$

Dreiecks-Helligkeit t^*

FRS15_90a; adaptierte CIELAB-Daten

	u^*_e	$L^*=L^*_a$	a^*_a	b^*_a	$C^*_{ab,a}$	$h^*_{ab,a}$	u^*_d
r00j	39.18	56.94	27.13	63.07	25	m81o	
r25j	42.41	49.1	44.5	66.26	42	o10y	
r50j	52.78	35.22	58.37	68.17	59	o40y	
r75j	64.82	19.12	74.47	76.89	76	o69y	
j00g	82.06	-3.94	97.52	97.6	92	o98y	
j25g	67.26	-26.87	74.67	79.36	110	y34l	
j50g	55.83	-43.45	57.11	71.76	127	y69l	
j75g	47.5	-54.18	38.3	66.35	145	l03c	
g00b	50.07	-44.09	14.13	46.3	162	l23c	
g25b	52.21	-35.66	-6.03	36.17	190	l55c	
g50b	53.9	-29.04	-21.87	36.36	217	l87c	
g75b	49.44	-15.51	-32.31	35.84	244	c20v	
b00r	41.36	1.15	-37.95	37.97	272	c53v	
b25r	28.74	27.19	-46.77	54.1	300	c87v	
b50r	33.74	61.97	-37.81	72.59	329	v68m	
b75r	40.08	64.26	-3.32	64.35	357	m33o	



%Umfang
 $u^*_{rel} = 88$
%Regularität
 $g^*_{H,rel} = 31$
 $g^*_{C,rel} = 40$

$LAB^*LAB^*_a$

Brillantheit i^*

$i^* = 1.00$

$i^* = 0.80$

$i^* = 0.60$

$i^* = 0.40$

$i^* = 0.20$

$i^* = 0.00$

Ein und Ausgabe: Farbmatisches Drucker-Reflektiv-System FRS15_90a für relativen CIELAB-Bunton $h^* = lab \cdot h^* = h_{ab}/360 = 0.451$

$u^*_e = g00b$
 $LAB^*LAB^*_a$

Daten für jede Farbe:

lab^*tch^* und lab^*icu^*

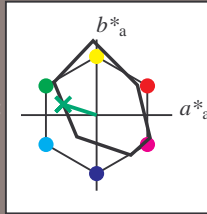
Buntontexte:

$u^*_e = g00b$ $u^*_d = l23c$

Kontrastreduzierungsfaktor:

$c_R = 0.9$

Dreiecks-Helligkeit t^*



FRS15_90a; adaptierte CIELAB-Daten

	u^*_e	$L^*=L^*_a$	a^*_a	b^*_a	$C^*_{ab,a}$	$h^*_{ab,a}$
O _{Ma}	38.8	53.92	39.68	66.95	36	
Y _{Ma}	82.58	-4.64	98.22	98.33	93	
L _{Ma}	46.95	-56.34	43.46	71.15	142	
C _{Ma}	54.62	-26.2	-28.68	38.85	228	
V _{Ma}	20.01	45.2	-52.87	69.56	311	
M _{Ma}	40.88	70.68	-29.99	76.78	337	
N _{Ma}	15.0	0.0	0.0	0.0	0	
W _{Ma}	90.0	0.0	0.0	0.0	0	
R _{Ma}	39.92	58.74	27.99	65.07	25	
J _{Ma}	81.26	-2.89	71.56	71.62	92	
G _{Ma}	52.23	-42.42	13.6	44.55	162	
B _{Ma}	30.57	1.41	-46.47	46.49	272	

Daten für Maximalfarbe (Ma):

$LAB^*LAB^*_Ma: 50 -44 14$

$LAB^*LCH^*_Ma: 50 46 162$

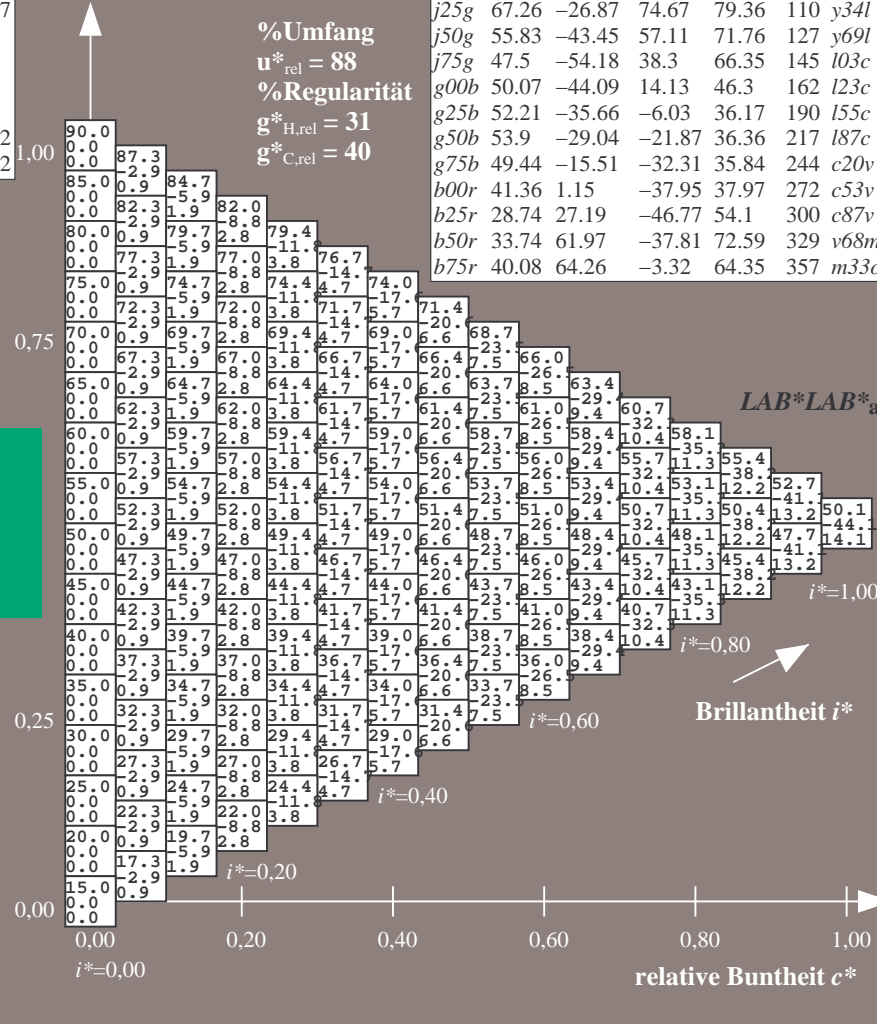
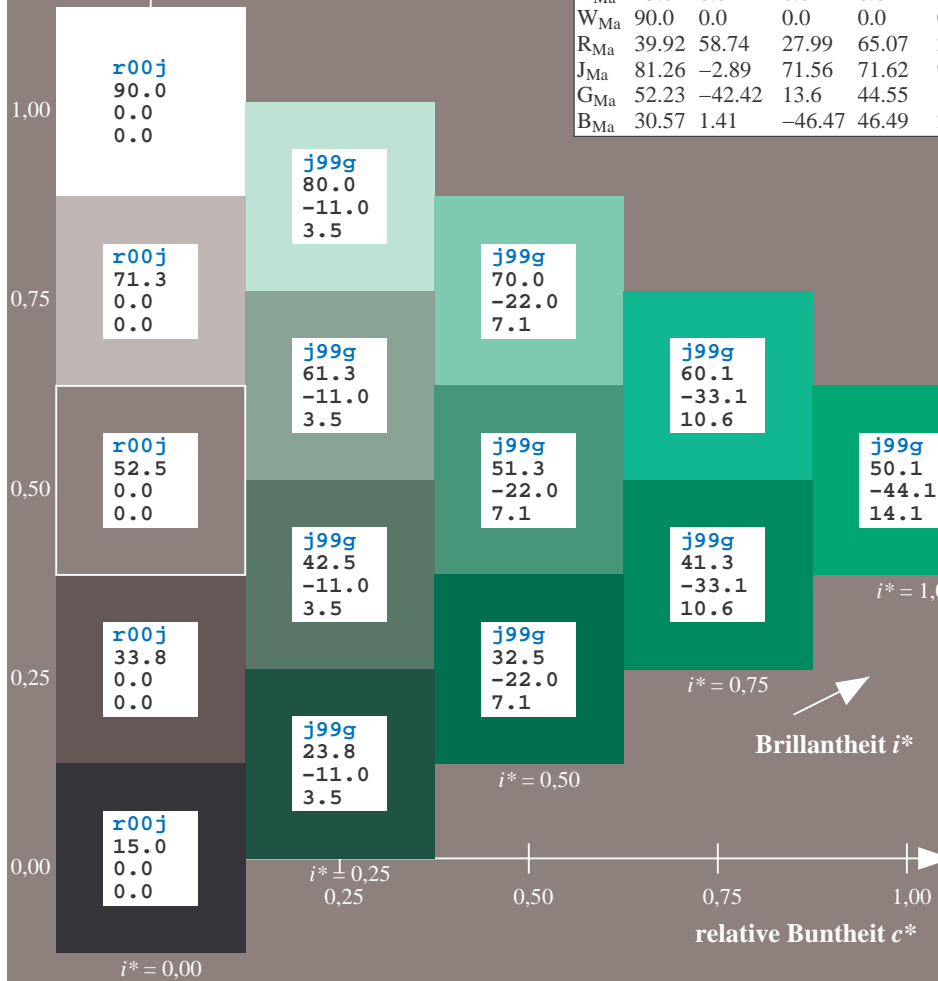
$lab^*rgb^*_Ma: 0.0 1.0 0.0$

$lab^*olv^*_Ma: 0.0 1.0 0.23$

Dreiecks-Helligkeit t^*

FRS15_90a; adaptierte CIELAB-Daten

	u^*_e	$L^*=L^*_a$	a^*_a	b^*_a	$C^*_{ab,a}$	$h^*_{ab,a}$	u^*_d
r00j	39.18	56.94	27.13	63.07	25	m81o	
r25j	42.41	49.1	44.5	66.26	42	o10y	
r50j	52.78	35.22	58.37	68.17	59	o40y	
r75j	64.82	19.12	74.47	76.89	76	o69y	
j00g	82.06	-3.94	97.52	97.6	92	o98y	
j25g	67.26	-26.87	74.67	79.36	110	y34l	
j50g	55.83	-43.45	57.11	71.76	127	y69l	
j75g	47.5	-54.18	38.3	66.35	145	l03c	
g00b	50.07	-44.09	14.13	46.3	162	l23c	
g25b	52.21	-35.66	-6.03	36.17	190	l55c	
g50b	53.9	-29.04	-21.87	36.36	217	l87c	
g75b	49.44	-15.51	-32.31	35.84	244	c20v	
b00r	41.36	1.15	-37.95	37.97	272	c53v	
b25r	28.74	27.19	-46.77	54.1	300	c87v	
b50r	33.74	61.97	-37.81	72.59	329	v68m	
b75r	40.08	64.26	-3.32	64.35	357	m33o	



Ein und Ausgabe: Farbmatisches Drucker-Reflektiv-System FRS15_90a für relativen CIELAB-Bunton $h^* = lab^*h^* = h_{ab}/360 = 0.527$

$u^*_e = g25b$
 $LAB^*LAB^*_a$

Daten für jede Farbe:

lab^*tch^* und lab^*icu^*

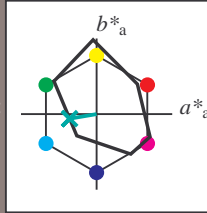
Buntontexte:

$u^*_e = g25b$ $u^*_d = l55c$

Kontrastreduzierungsfaktor:

$c_R = 0.9$

Dreiecks-Helligkeit t^*



FRS15_90a; adaptierte CIELAB-Daten

	u^*_e	$L^*=L^*_a$	a^*_a	b^*_a	$C^*_{ab,a}$	$h^*_{ab,a}$
O _{Ma}	38.8	53.92	39.68	66.95	36	
Y _{Ma}	82.58	-4.64	98.22	98.33	93	
L _{Ma}	46.95	-56.34	43.46	71.15	142	
C _{Ma}	54.62	-26.2	-28.68	38.85	228	
V _{Ma}	20.01	45.2	-52.87	69.56	311	
M _{Ma}	40.88	70.68	-29.99	76.78	337	
N _{Ma}	15.0	0.0	0.0	0.0	0	
W _{Ma}	90.0	0.0	0.0	0.0	0	
R _{Ma}	39.92	58.74	27.99	65.07	25	
J _{Ma}	81.26	-2.89	71.56	71.62	92	
G _{Ma}	52.23	-42.42	13.6	44.55	162	
B _{Ma}	30.57	1.41	-46.47	46.49	272	

Daten für Maximalfarbe (Ma):

$LAB^*LAB^*_Ma: 52 -36 -6$

$LAB^*LCH^*_Ma: 52 36 189$

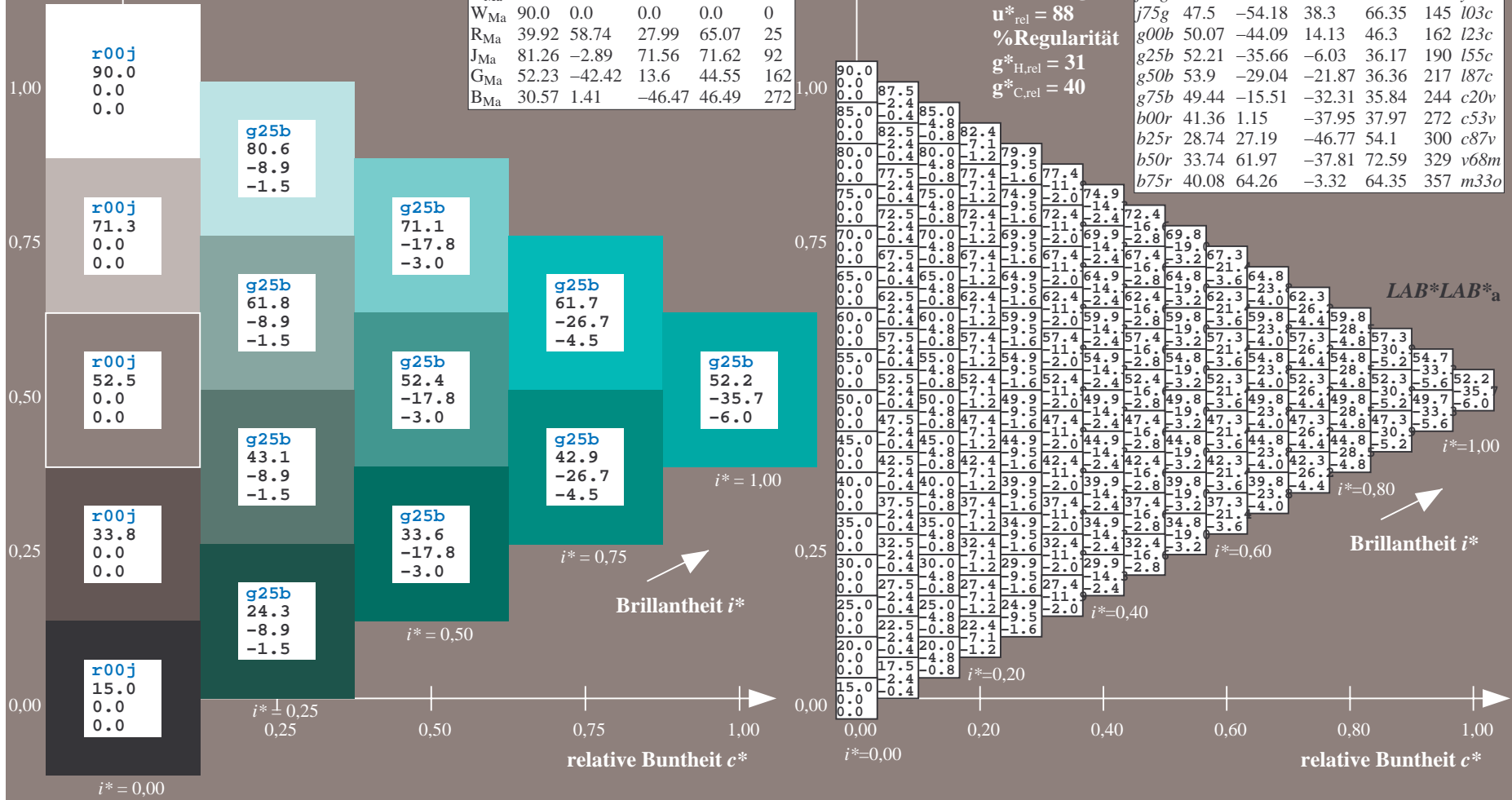
$lab^*rgb^*_Ma: 0.0 1.0 0.5$

$lab^*olv^*_Ma: 0.0 1.0 0.55$

Dreiecks-Helligkeit t^*

FRS15_90a; adaptierte CIELAB-Daten

	u^*_e	$L^*=L^*_a$	a^*_a	b^*_a	$C^*_{ab,a}$	$h^*_{ab,a}$	u^*_d
r00j	39.18	56.94	27.13	63.07	25	m81o	
r25j	42.41	49.1	44.5	66.26	42	o10y	
r50j	52.78	35.22	58.37	68.17	59	o40y	
r75j	64.82	19.12	74.47	76.89	76	o69y	
j00g	82.06	-3.94	97.52	97.6	92	o98y	
j25g	67.26	-26.87	74.67	79.36	110	y34l	
j50g	55.83	-43.45	57.11	71.76	127	y69l	
j75g	47.5	-54.18	38.3	66.35	145	l03c	
g00b	50.07	-44.09	14.13	46.3	162	l23c	
g25b	52.21	-35.66	-6.03	36.17	190	l55c	
g50b	53.9	-29.04	-21.87	36.36	217	l87c	
g75b	49.44	-15.51	-32.31	35.84	244	c20v	
b00r	41.36	1.15	-37.95	37.97	272	c53v	
b25r	28.74	27.19	-46.77	51.1	300	c87v	
b50r	33.74	61.97	-37.81	72.59	329	v68m	
b75r	40.08	64.26	-3.32	64.35	357	m33o	



Ein und Ausgabe: Farbmatisches Drucker-Reflektiv-System FRS15_90a für relativen CIELAB-Bunton $h^* = lab^*h^* = h_{ab}/360 = 0.603$

$u^*_e = g50b$
 $LAB^*LAB^*_a$

Daten für jede Farbe:

lab^*tch^* und lab^*icu^*

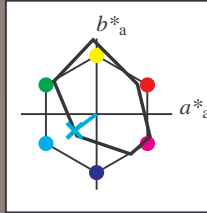
Buntontexte:

$u^*_e = g50b$ $u^*_d = l87c$

Kontrastreduzierungsfaktor:

$c_R = 0.9$

Dreiecks-Helligkeit t^*



FRS15_90a; adaptierte CIELAB-Daten

u^*_e	$L^*=L^*_a$	a^*_a	b^*_a	$C^*_{ab,a}$	$h^*_{ab,a}$
O _{Ma}	38.8	53.92	39.68	66.95	36
Y _{Ma}	82.58	-4.64	98.22	98.33	93
L _{Ma}	46.95	-56.34	43.46	71.15	142
C _{Ma}	54.62	-26.2	-28.68	38.85	228
V _{Ma}	20.01	45.2	-52.87	69.56	311
M _{Ma}	40.88	70.68	-29.99	76.78	337
N _{Ma}	15.0	0.0	0.0	0.0	0
W _{Ma}	90.0	0.0	0.0	0.0	0
R _{Ma}	39.92	58.74	27.99	65.07	25
J _{Ma}	81.26	-2.89	71.56	71.62	92
G _{Ma}	52.23	-42.42	13.6	44.55	162
B _{Ma}	30.57	1.41	-46.47	46.49	272

Daten für Maximalfarbe (Ma):

$LAB^*LAB^*_Ma: 54 -29 -22$

$LAB^*LCH^*_Ma: 54 36 216$

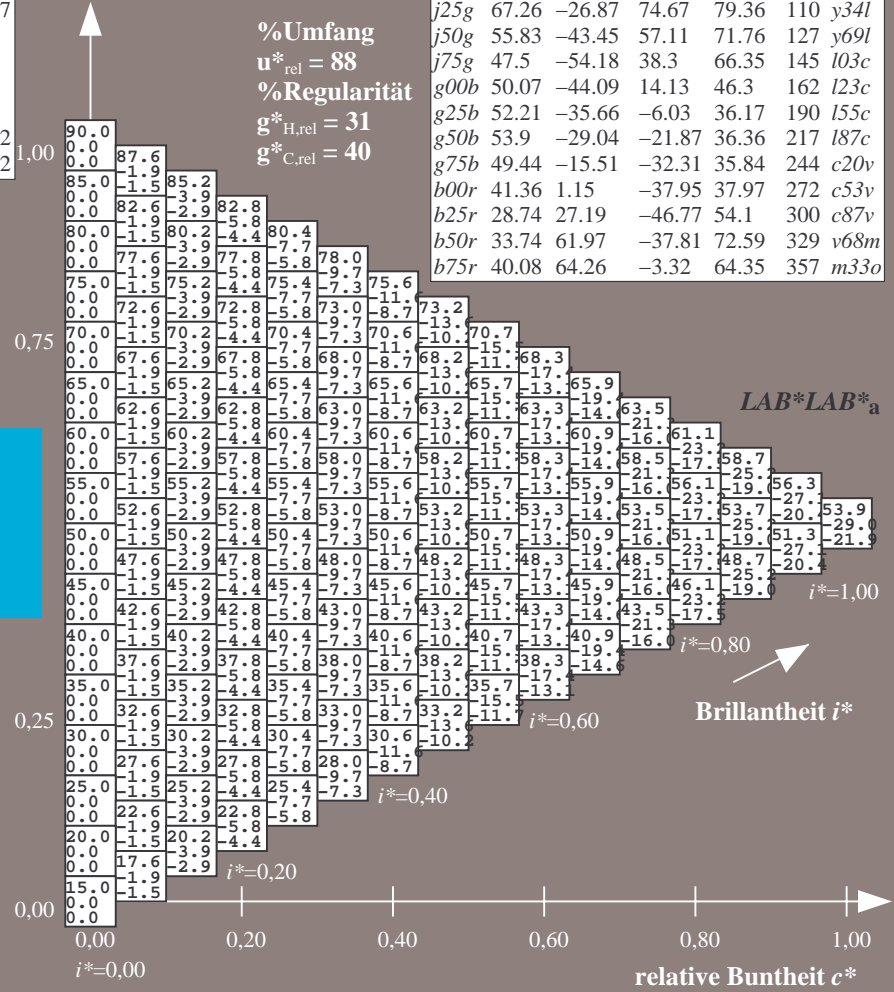
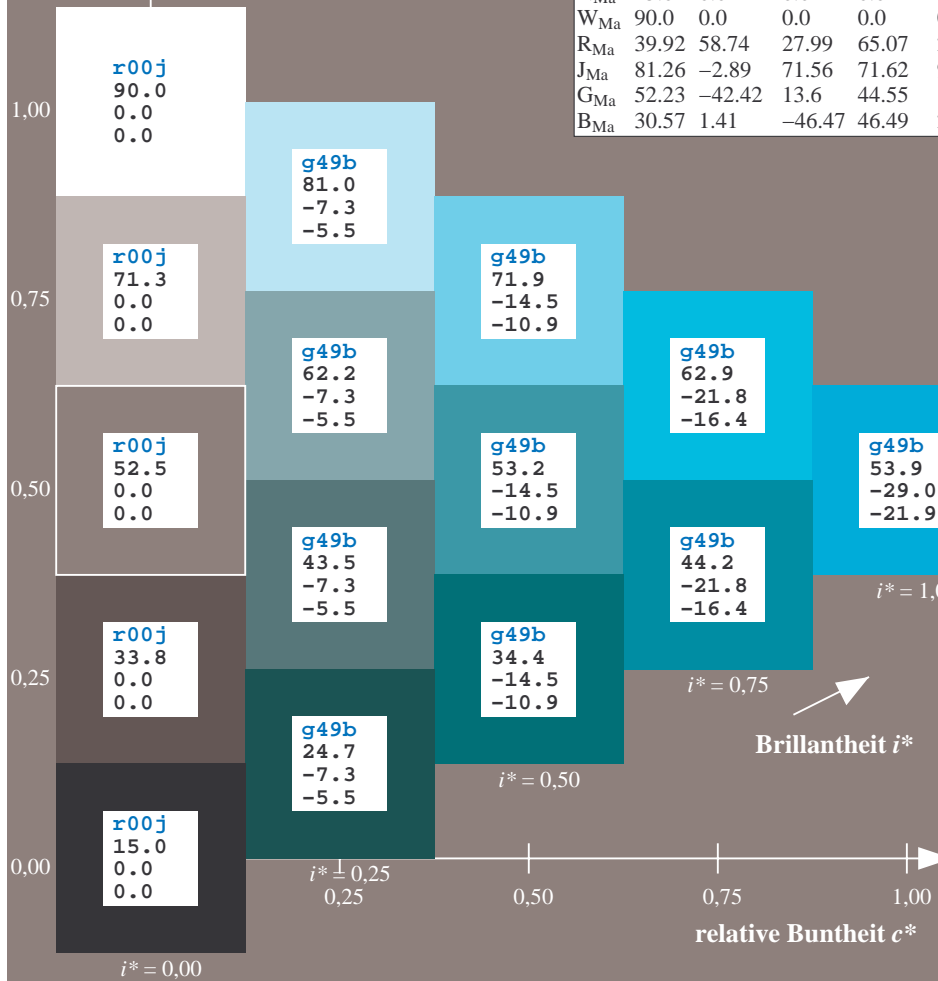
$lab^*rgb^*_Ma: 0.0 1.0 1.0$

$lab^*olv^*_Ma: 0.0 1.0 0.88$

Dreiecks-Helligkeit t^*

FRS15_90a; adaptierte CIELAB-Daten

u^*_e	$L^*=L^*_a$	a^*_a	b^*_a	$C^*_{ab,a}$	$h^*_{ab,a}$	u^*_d
r00j	39.18	56.94	27.13	63.07	25	m81o
r25j	42.41	49.1	44.5	66.26	42	o10y
r50j	52.78	35.22	58.37	68.17	59	o40y
r75j	64.82	19.12	74.47	76.89	76	o69y
j00g	82.06	-3.94	97.52	97.6	92	o98y
j25g	67.26	-26.87	74.67	79.36	110	y34l
j50g	55.83	-43.45	57.11	71.76	127	y69l
j75g	47.5	-54.18	38.3	66.35	145	l03c
g00b	50.07	-44.09	14.13	46.3	162	l23c
g25b	52.21	-35.66	-6.03	36.17	190	l55c
g50b	53.9	-29.04	-21.87	36.36	217	l87c
g75b	49.44	-15.51	-32.31	35.84	244	c20v
b00r	41.36	1.15	-37.95	37.97	272	c53v
b25r	28.74	27.19	-46.77	54.1	300	c87v
b50r	33.74	61.97	-37.81	72.59	329	v68m
b75r	40.08	64.26	-3.32	64.35	357	m33o



%Umfang
 $u^*_{rel} = 88$
%Regularität
 $g^*_{H,rel} = 31$
 $g^*_{C,rel} = 40$

Ein und Ausgabe: Farbmetrisches Drucker-Reflektiv-System FRS15_90a für relativen CIELAB-Bunton $h^* = lab^*h^* = h_{ab}/360 = 0.679$

$u^*_e = g75b$
 $LAB^*LAB^*_a$

Daten für jede Farbe:

lab^*tch^* und lab^*icu^*

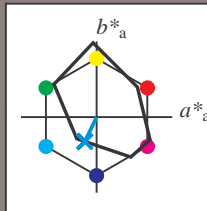
Buntontexte:

$u^*_e = g75b$ $u^*_d = c20v$

Kontrastreduzierungsfaktor:

$c_R = 0.9$

Dreiecks-Helligkeit t^*



FRS15_90a; adaptierte CIELAB-Daten

	u^*_e	$L^*=L^*_a$	a^*_a	b^*_a	$C^*_{ab,a}$	$h^*_{ab,a}$
O _{Ma}	38.8	53.92	39.68	66.95	36	
Y _{Ma}	82.58	-4.64	98.22	98.33	93	
L _{Ma}	46.95	-56.34	43.46	71.15	142	
C _{Ma}	54.62	-26.2	-28.68	38.85	228	
V _{Ma}	20.01	45.2	-52.87	69.56	311	
M _{Ma}	40.88	70.68	-29.99	76.78	337	
N _{Ma}	15.0	0.0	0.0	0.0	0	
W _{Ma}	90.0	0.0	0.0	0.0	0	
R _{Ma}	39.92	58.74	27.99	65.07	25	
J _{Ma}	81.26	-2.89	71.56	71.62	92	
G _{Ma}	52.23	-42.42	13.6	44.55	162	
B _{Ma}	30.57	1.41	-46.47	46.49	272	

Daten für Maximalfarbe (Ma):

$LAB^*LAB^*_Ma: 49 -16 -32$

$LAB^*LCH^*_Ma: 49 36 244$

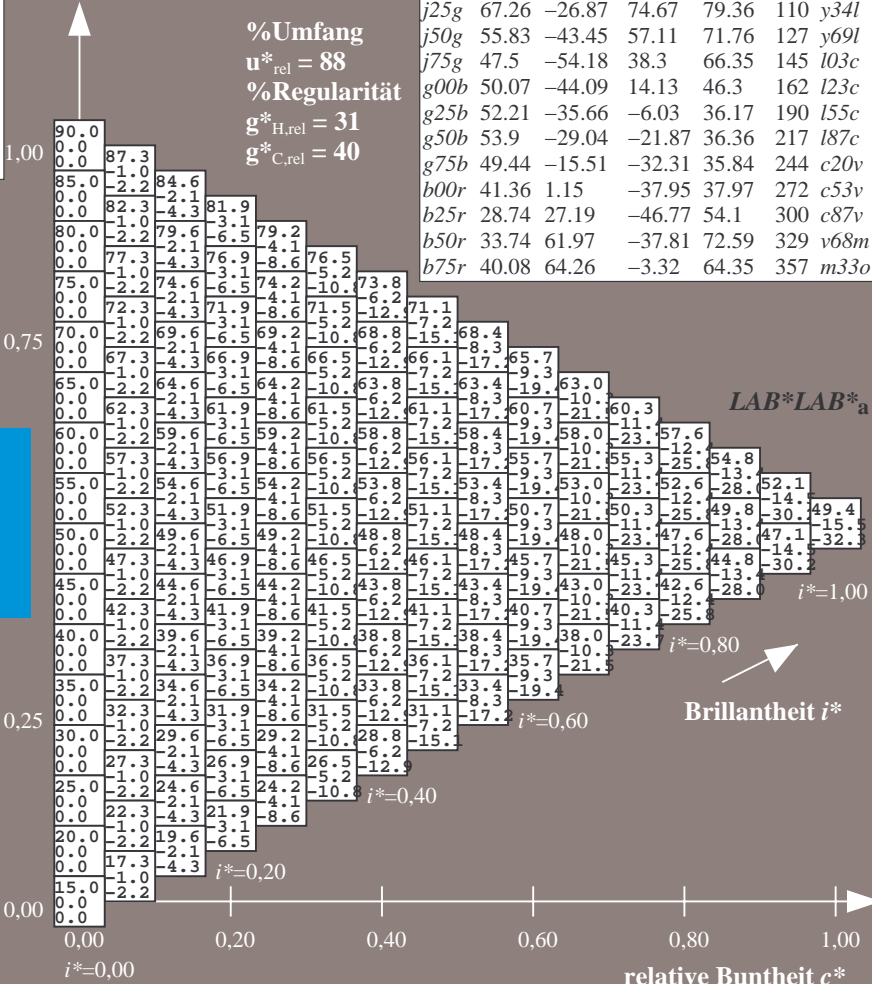
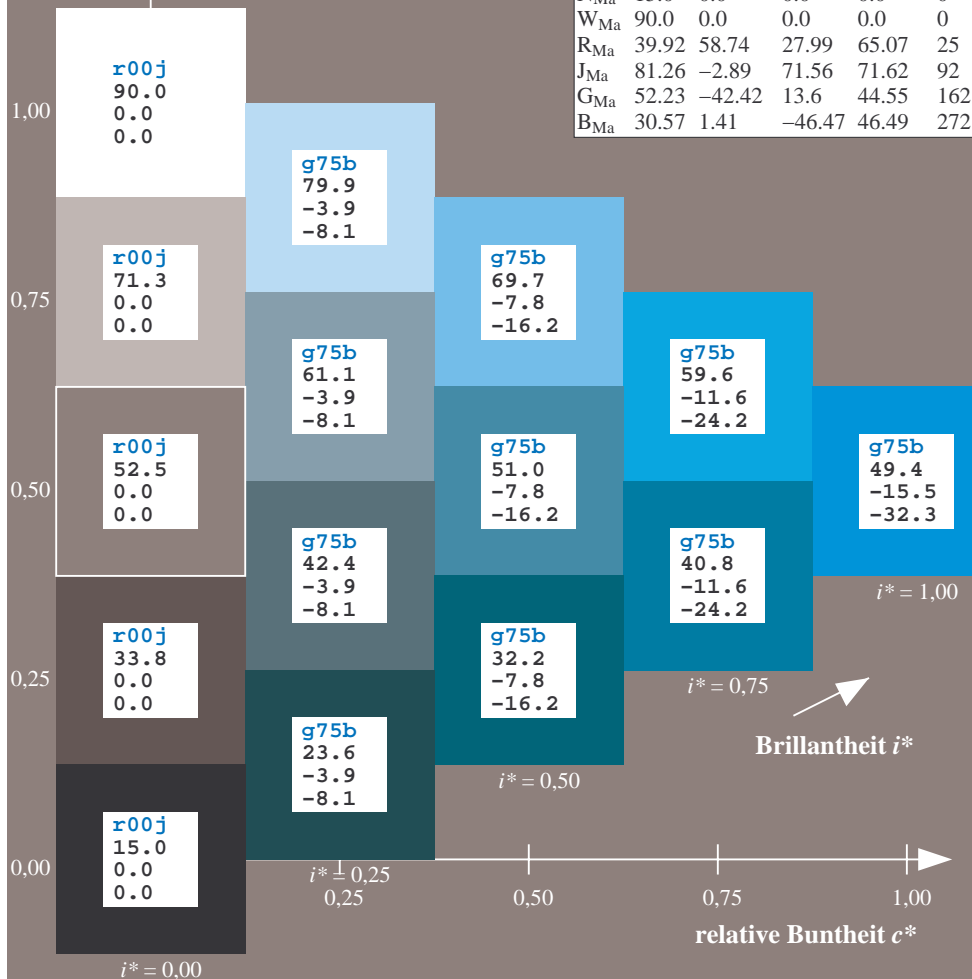
$lab^*rgb^*_Ma: 0.0 0.5 1.0$

$lab^*olv^*_Ma: 0.0 0.8 1.0$

Dreiecks-Helligkeit t^*

FRS15_90a; adaptierte CIELAB-Daten

	u^*_e	$L^*=L^*_a$	a^*_a	b^*_a	$C^*_{ab,a}$	$h^*_{ab,a}$	u^*_d
r00j	39.18	56.94	27.13	63.07	25	m81o	
r25j	42.41	49.1	44.5	66.26	42	o10y	
r50j	52.78	35.22	58.37	68.17	59	o40y	
r75j	64.82	19.12	74.47	76.89	76	o69y	
j00g	82.06	-3.94	97.52	97.6	92	o98y	
j25g	67.26	-26.87	74.67	79.36	110	y34l	
j50g	55.83	-43.45	57.11	71.76	127	y69l	
j75g	47.5	-54.18	38.3	66.35	145	l03c	
g00b	50.07	-44.09	14.13	46.3	162	l23c	
g25b	52.21	-35.66	-6.03	36.17	190	l55c	
g50b	53.9	-29.04	-21.87	36.36	217	l87c	
g75b	49.44	-15.51	-32.31	35.84	244	c20v	
b00r	41.36	1.15	-37.95	37.97	272	c53v	
b25r	28.74	27.19	-46.77	54.1	300	c87v	
b50r	33.74	61.97	-37.81	72.59	329	v68m	
b75r	40.08	64.26	-3.32	64.35	357	m33o	



%Umfang
 $u^*_{rel} = 88$
%Regularität
 $g^*_{H,rel} = 31$
 $g^*_{C,rel} = 40$

$LAB^*LAB^*_a$

Brillantheit i^*

Ein und Ausgabe: Farbmatisches Drucker-Reflektiv-System FRS15_90a für relativen CIELAB-Bunton $h^* = lab \cdot h^* = h_{ab}/360 = 0.755$

$u^*_e = b00r$
 $LAB^*LAB^*_a$

Daten für jede Farbe:

lab^*tch^* und lab^*icu^*

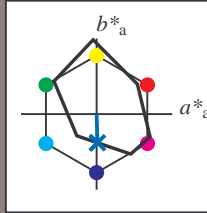
Buntontexte:

$u^*_e = b00r$ $u^*_d = c53v$

Kontrastreduzierungsfaktor:

$c_R = 0.9$

Dreiecks-Helligkeit t^*



FRS15_90a; adaptierte CIELAB-Daten

	u^*_e	$L^*=L^*_a$	a^*_a	b^*_a	$C^*_{ab,a}$	$h^*_{ab,a}$
O _{Ma}	38.8	53.92	39.68	66.95	36	
Y _{Ma}	82.58	-4.64	98.22	98.33	93	
L _{Ma}	46.95	-56.34	43.46	71.15	142	
C _{Ma}	54.62	-26.2	-28.68	38.85	228	
V _{Ma}	20.01	45.2	-52.87	69.56	311	
M _{Ma}	40.88	70.68	-29.99	76.78	337	
N _{Ma}	15.0	0.0	0.0	0.0	0	
W _{Ma}	90.0	0.0	0.0	0.0	0	
R _{Ma}	39.92	58.74	27.99	65.07	25	
J _{Ma}	81.26	-2.89	71.56	71.62	92	
G _{Ma}	52.23	-42.42	13.6	44.55	162	
B _{Ma}	30.57	1.41	-46.47	46.49	272	

Daten für Maximalfarbe (Ma):

$LAB^*LAB^*_Ma$: 41 1 -38

$LAB^*LCH^*_Ma$: 41 38 271

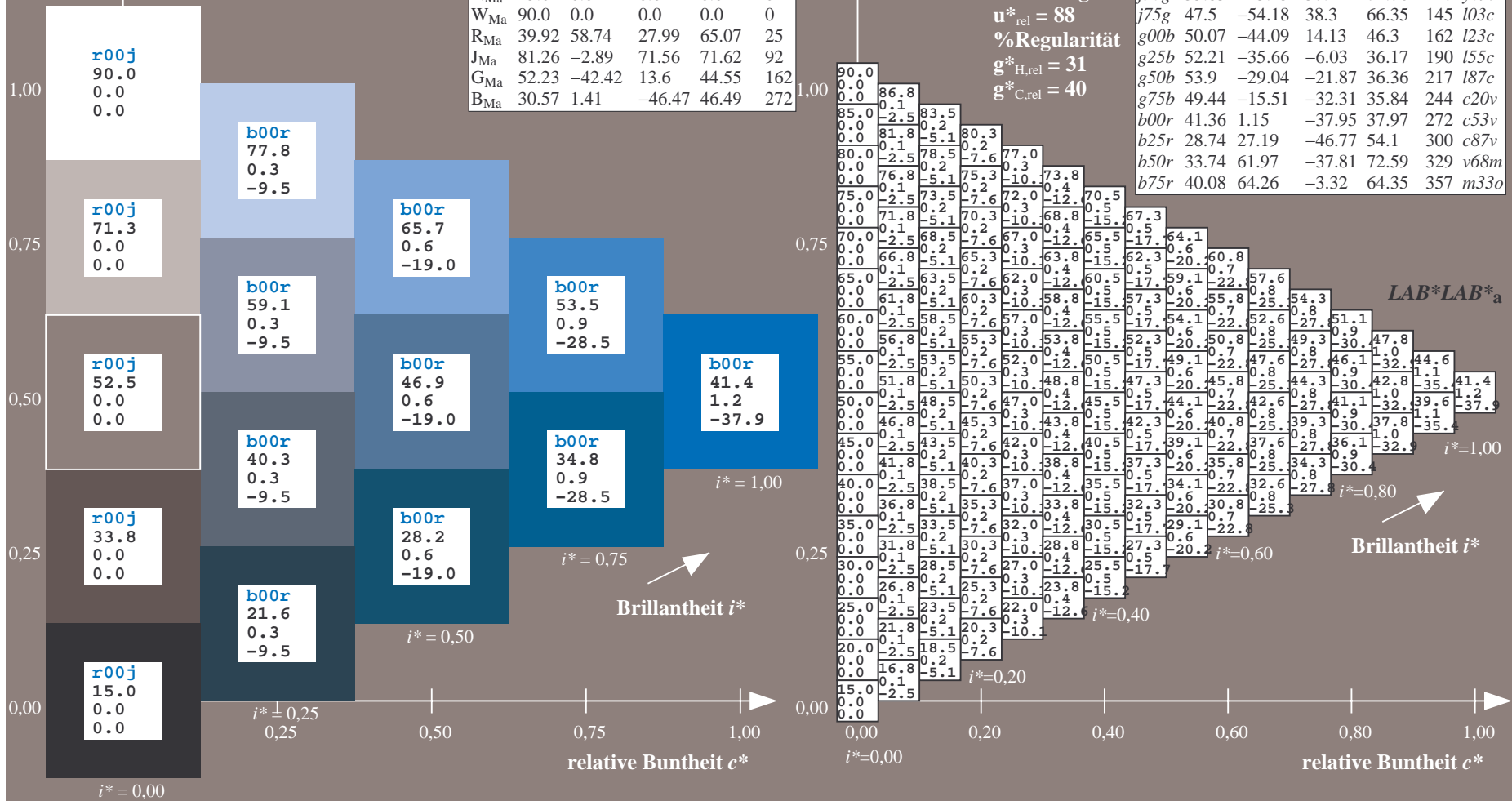
$lab^*rgb^*_Ma$: 0.0 0.0 1.0

$lab^*olv^*_Ma$: 0.0 0.47 1.0

Dreiecks-Helligkeit t^*

FRS15_90a; adaptierte CIELAB-Daten

	u^*_e	$L^*=L^*_a$	a^*_a	b^*_a	$C^*_{ab,a}$	$h^*_{ab,a}$	u^*_d
r00j	39.18	56.94	27.13	63.07	25	m81o	
r25j	42.41	49.1	44.5	66.26	42	o10y	
r50j	52.78	35.22	58.37	68.17	59	o40y	
r75j	64.82	19.12	74.47	76.89	76	o69y	
j00g	82.06	-3.94	97.52	97.6	92	o98y	
j25g	67.26	-26.87	74.67	79.36	110	y34l	
j50g	55.83	-43.45	57.11	71.76	127	y69l	
j75g	47.5	-54.18	38.3	66.35	145	l03c	
g00b	50.07	-44.09	14.13	46.3	162	l23c	
g25b	52.21	-35.66	-6.03	36.17	190	l55c	
g50b	53.9	-29.04	-21.87	36.36	217	l87c	
g75b	49.44	-15.51	-32.31	35.84	244	c20v	
b00r	41.36	1.15	-37.95	37.97	272	c53v	
b25r	28.74	27.19	-46.77	54.1	300	c87v	
b50r	33.74	61.97	-37.81	72.59	329	v68m	
b75r	40.08	64.26	-3.32	64.35	357	m33o	



Ein und Ausgabe: Farbmetrisches Drucker-Reflektiv-System FRS15_90a für relativen CIELAB-Bunton $h^* = lab^*h^* = h_{ab}/360 = 0.834$

$u^*_e = b25r$
LAB*LAB*a

Daten für jede Farbe:

lab^*tch^* und lab^*icu^*

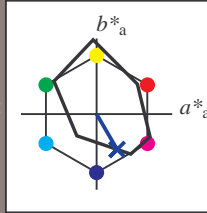
Buntontexte:

$u^*_e = b25r$ $u^*_d = c87v$

Kontrastreduzierungsfaktor:

$c_R = 0.9$

Dreiecks-Helligkeit t^*



FRS15_90a; adaptierte CIELAB-Daten

	u^*_e	$L^*=L^*_a$	a^*_a	b^*_a	$C^*_{ab,a}$	$h^*_{ab,a}$
O _{Ma}	38.8	53.92	39.68	66.95	36	
Y _{Ma}	82.58	-4.64	98.22	98.33	93	
L _{Ma}	46.95	-56.34	43.46	71.15	142	
C _{Ma}	54.62	-26.2	-28.68	38.85	228	
V _{Ma}	20.01	45.2	-52.87	69.56	311	
M _{Ma}	40.88	70.68	-29.99	76.78	337	
N _{Ma}	15.0	0.0	0.0	0.0	0	
W _{Ma}	90.0	0.0	0.0	0.0	0	
R _{Ma}	39.92	58.74	27.99	65.07	25	
J _{Ma}	81.26	-2.89	71.56	71.62	92	
G _{Ma}	52.23	-42.42	13.6	44.55	162	
B _{Ma}	30.57	1.41	-46.47	46.49	272	

Daten für Maximalfarbe (Ma):

LAB*LAB*_{Ma}: 29 27 -47

LAB*LCH*_{Ma}: 29 54 300

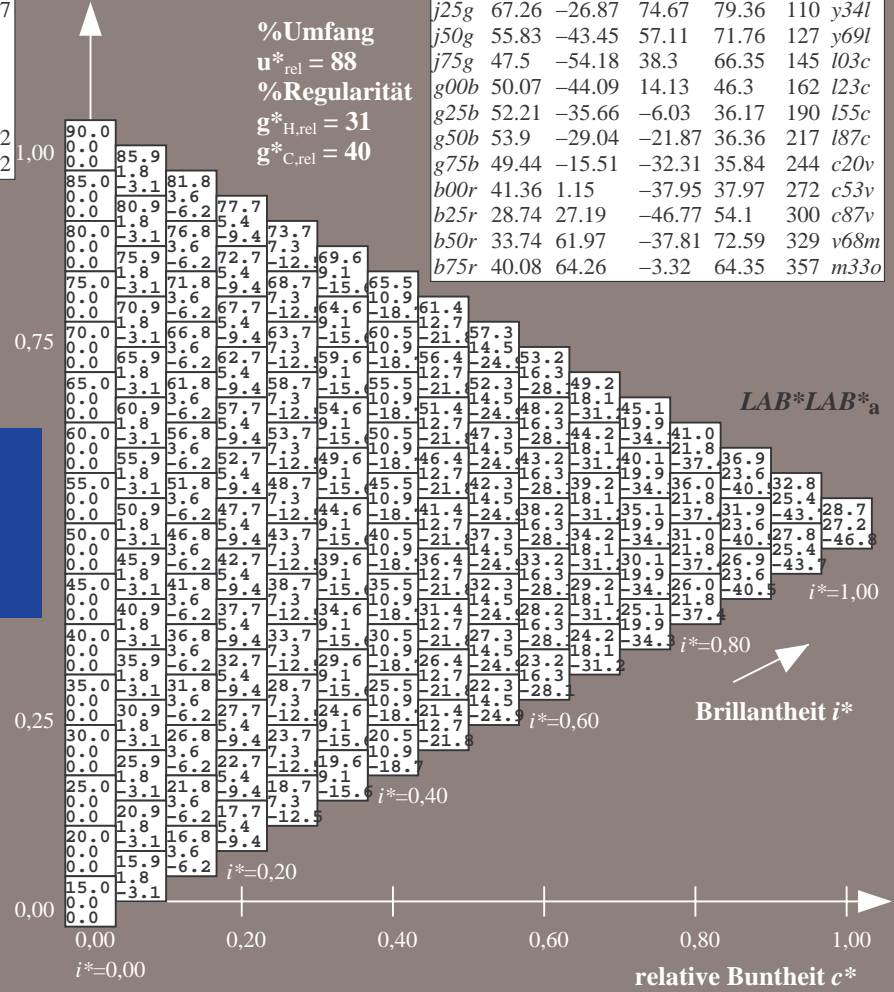
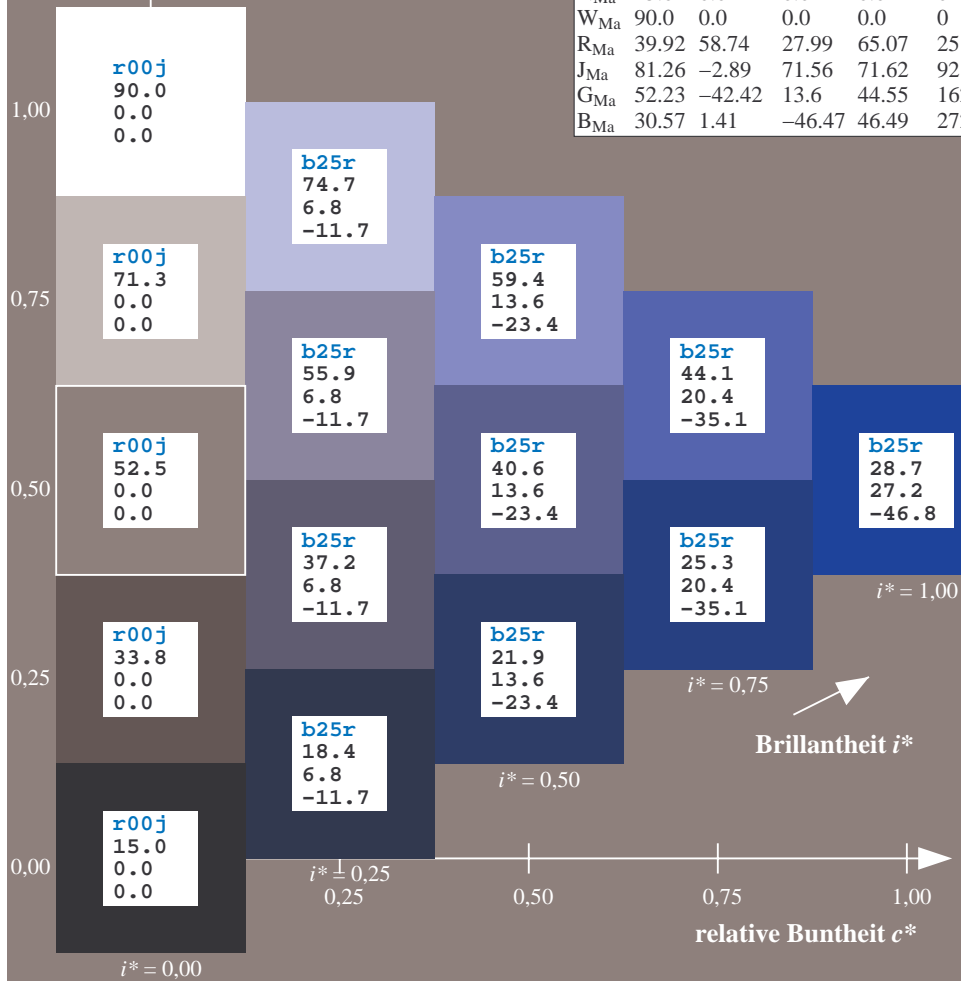
lab*rgb*_{Ma}: 0.5 0.0 1.0

lab*olv*_{Ma}: 0.0 0.12 1.0

Dreiecks-Helligkeit t^*

FRS15_90a; adaptierte CIELAB-Daten

	u^*_e	$L^*=L^*_a$	a^*_a	b^*_a	$C^*_{ab,a}$	$h^*_{ab,a}$	u^*_d
r00j	39.18	56.94	27.13	63.07	25	m81o	
r25j	42.41	49.1	44.5	66.26	42	o10y	
r50j	52.78	35.22	58.37	68.17	59	o40y	
r75j	64.82	19.12	74.47	76.89	76	o69y	
j00g	82.06	-3.94	97.52	97.6	92	o98y	
j25g	67.26	-26.87	74.67	79.36	110	y34l	
j50g	55.83	-43.45	57.11	71.76	127	y69l	
j75g	47.5	-54.18	38.3	66.35	145	l03c	
g00b	50.07	-44.09	14.13	46.3	162	l23c	
g25b	52.21	-35.66	-6.03	36.17	190	l55c	
g50b	53.9	-29.04	-21.87	36.36	217	l87c	
g75b	49.44	-15.51	-32.31	35.84	244	c20v	
b00r	41.36	1.15	-37.95	37.97	272	c53v	
b25r	28.74	27.19	-46.77	54.1	300	c87v	
b50r	33.74	61.97	-37.81	72.59	329	v68m	
b75r	40.08	64.26	-3.32	64.35	357	m33o	



%Umfang
 $u^*_{rel} = 88$
%Regularität
 $g^*_{H,rel} = 31$
 $g^*_{C,rel} = 40$

LAB*LAB*a

Brillantheit i^*

Ein und Ausgabe: Farbmatisches Drucker-Reflektiv-System FRS15_90a für relativen CIELAB-Bunton $h^* = lab^*h^* = h_{ab}/360 = 0.913$

$u^*_e = b50r$
LAB*LAB*a

Daten für jede Farbe:

lab^*ch^* und lab^*icu^*

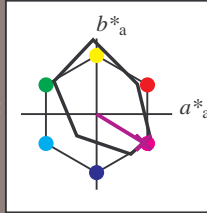
Buntontexte:

$u^*_e = b50r$ $u^*_d = v68m$

Kontrastreduzierungsfaktor:

$c_R = 0.9$

Dreiecks-Helligkeit t^*



FRS15_90a; adaptierte CIELAB-Daten						
u^*_e	$L^*=L^*_a$	a^*_a	b^*_a	$C^*_{ab,a}$	$h^*_{ab,a}$	
O _{Ma}	38.8	53.92	39.68	66.95	36	
Y _{Ma}	82.58	-4.64	98.22	98.33	93	
L _{Ma}	46.95	-56.34	43.46	71.15	142	
C _{Ma}	54.62	-26.2	-28.68	38.85	228	
V _{Ma}	20.01	45.2	-52.87	69.56	311	
M _{Ma}	40.88	70.68	-29.99	76.78	337	
N _{Ma}	15.0	0.0	0.0	0.0	0	
W _{Ma}	90.0	0.0	0.0	0.0	0	
R _{Ma}	39.92	58.74	27.99	65.07	25	
J _{Ma}	81.26	-2.89	71.56	71.62	92	
G _{Ma}	52.23	-42.42	13.6	44.55	162	
B _{Ma}	30.57	1.41	-46.47	46.49	272	

Daten für Maximalfarbe (Ma):

LAB*LAB*_{Ma}: 34 62 -38

LAB*LCH*_{Ma}: 34 73 328

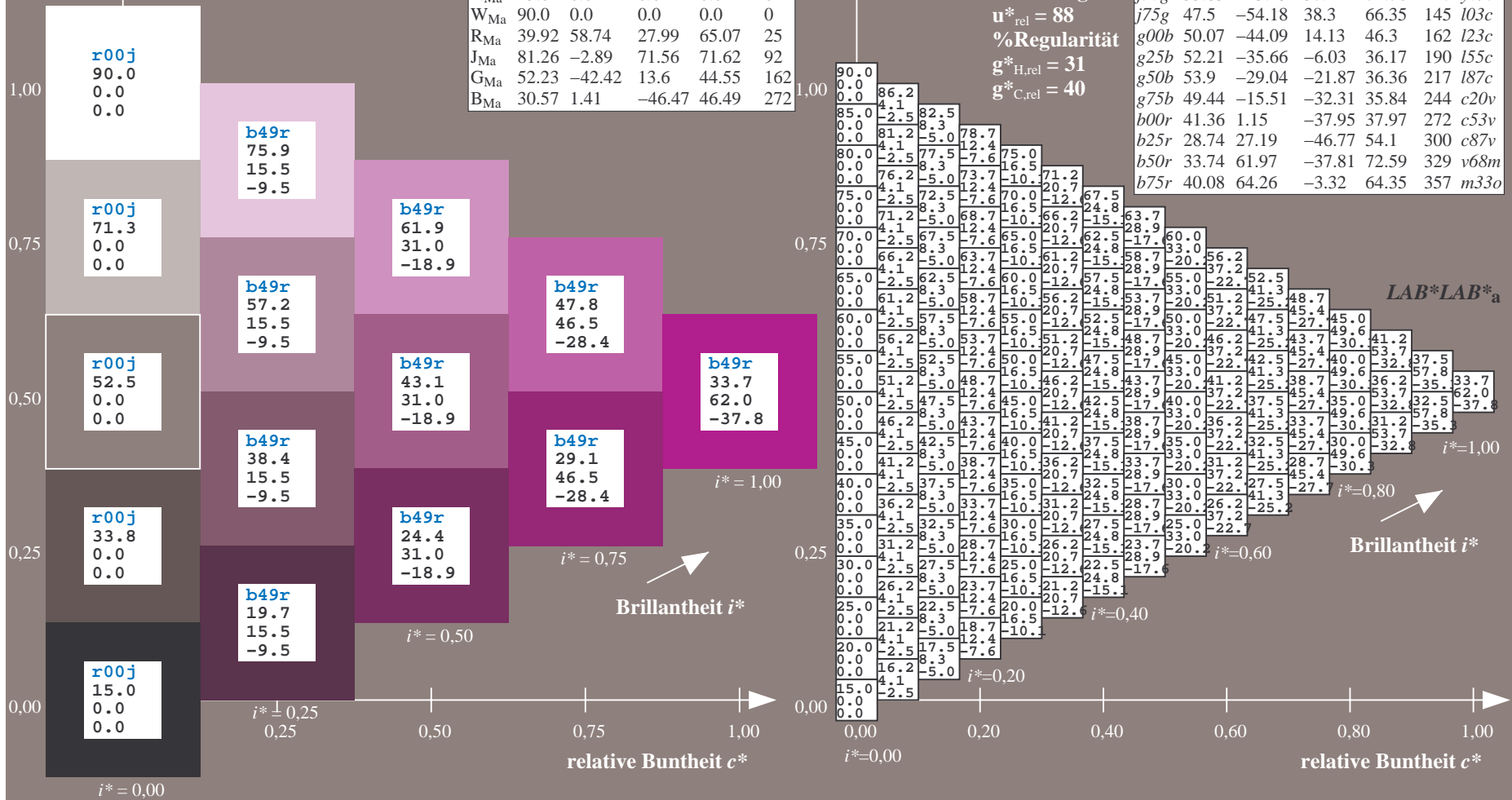
lab*rgb*_{Ma}: 1.0 0.0 1.0

lab*olv*_{Ma}: 0.68 0.0 1.0

Dreiecks-Helligkeit t^*

FRS15_90a; adaptierte CIELAB-Daten

u^*_e	$L^*=L^*_a$	a^*_a	b^*_a	$C^*_{ab,a}$	$h^*_{ab,a}$	u^*_d
r00j	39.18	56.94	27.13	63.07	25	m81o
r25j	42.41	49.1	44.5	66.26	42	o10y
r50j	52.78	35.22	58.37	68.17	59	o40y
r75j	64.82	19.12	74.47	76.89	76	o69y
j00g	82.06	-3.94	97.52	97.6	92	o98y
j25g	67.26	-26.87	74.67	79.36	110	y34l
j50g	55.83	-43.45	57.11	71.76	127	y69l
j75g	47.5	-54.18	38.3	66.35	145	l03c
g00b	50.07	-44.09	14.13	46.3	162	l23c
g25b	52.21	-35.66	-6.03	36.17	190	l55c
g50b	53.9	-29.04	-21.87	36.36	217	l87c
g75b	49.44	-15.51	-32.31	35.84	244	c20v
b00r	41.36	1.15	-37.95	37.97	272	c53v
b25r	28.74	27.19	-46.77	54.1	300	c87v
b50r	33.74	61.97	-37.81	72.59	329	v68m
b75r	40.08	64.26	-3.32	64.35	357	m33o



Ein und Ausgabe: Farbmatisches Drucker-Reflektiv-System FRS15_90a für relativen CIELAB-Bunton $h^* = lab^*h^* = h_{ab}/360 = 0.992$

$u^*_e = b75r$
 $LAB^*LAB^*_a$

Daten für jede Farbe:

lab^*tch^* und lab^*icu^*

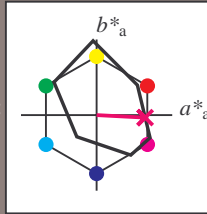
Buntontexte:

$u^*_e = b75r$ $u^*_d = m33o$

Kontrastreduzierungsfaktor:

$c_R = 0.9$

Dreiecks-Helligkeit t^*



FRS15_90a; adaptierte CIELAB-Daten

u^*_e	$L^*=L^*_a$	a^*_a	b^*_a	$C^*_{ab,a}$	$h^*_{ab,a}$
O _{Ma}	38.8	53.92	39.68	66.95	36
Y _{Ma}	82.58	-4.64	98.22	98.33	93
L _{Ma}	46.95	-56.34	43.46	71.15	142
C _{Ma}	54.62	-26.2	-28.68	38.85	228
V _{Ma}	20.01	45.2	-52.87	69.56	311
M _{Ma}	40.88	70.68	-29.99	76.78	337
N _{Ma}	15.0	0.0	0.0	0.0	0
W _{Ma}	90.0	0.0	0.0	0.0	0
R _{Ma}	39.92	58.74	27.99	65.07	25
J _{Ma}	81.26	-2.89	71.56	71.62	92
G _{Ma}	52.23	-42.42	13.6	44.55	162
B _{Ma}	30.57	1.41	-46.47	46.49	272

Daten für Maximalfarbe (Ma):

$LAB^*LAB^*_Ma: 40\ 64\ -3$

$LAB^*LCH^*_Ma: 40\ 64\ 357$

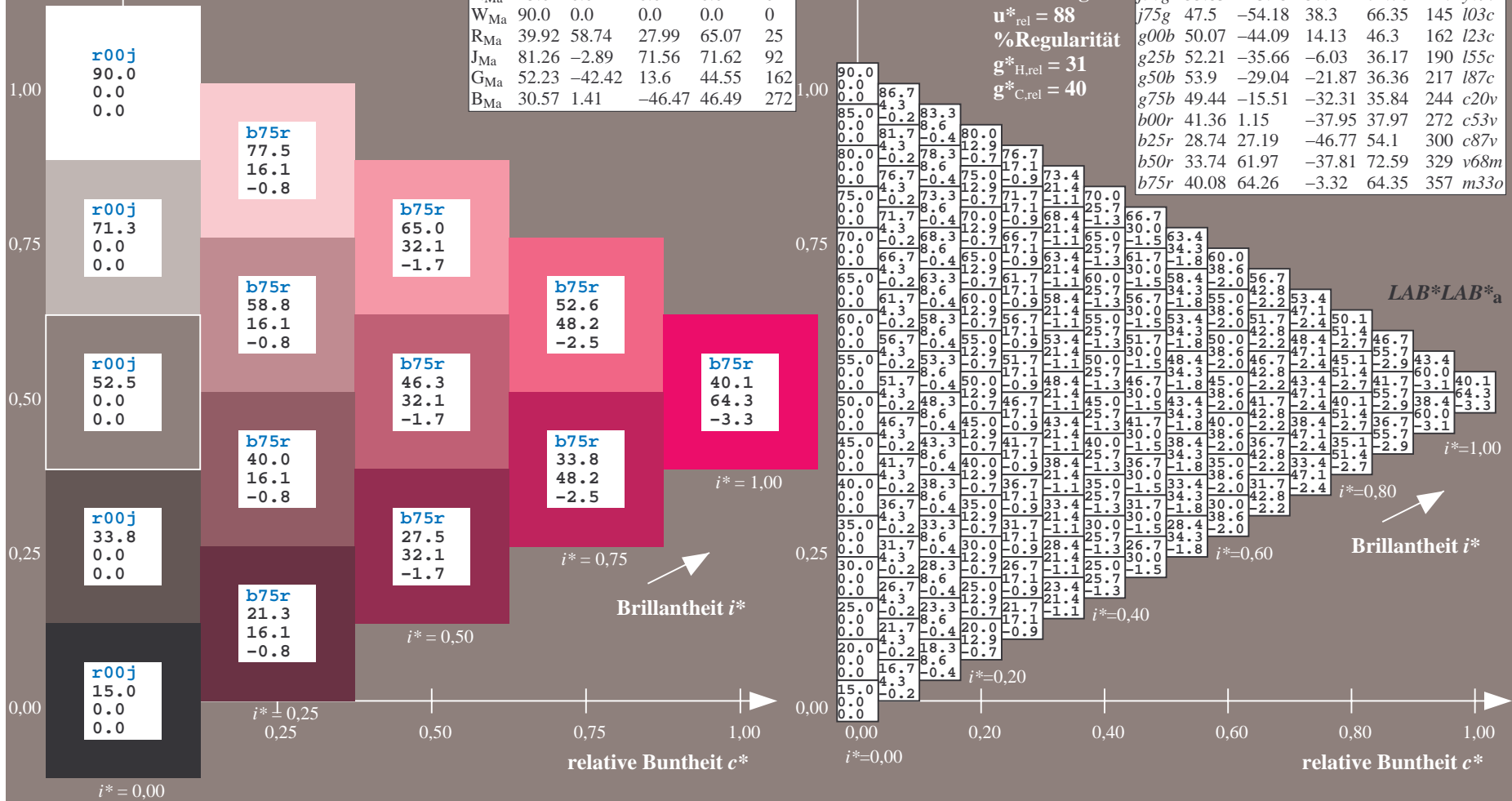
$lab^*rgb^*_Ma: 1.0\ 0.0\ 0.5$

$lab^*olv^*_Ma: 1.0\ 0.0\ 0.66$

Dreiecks-Helligkeit t^*

FRS15_90a; adaptierte CIELAB-Daten

u^*_e	$L^*=L^*_a$	a^*_a	b^*_a	$C^*_{ab,a}$	$h^*_{ab,a}$	u^*_d
r00j	39.18	56.94	27.13	63.07	25	m81o
r25j	42.41	49.1	44.5	66.26	42	o10y
r50j	52.78	35.22	58.37	68.17	59	o40y
r75j	64.82	19.12	74.47	76.89	76	o69y
j00g	82.06	-3.94	97.52	97.6	92	o98y
j25g	67.26	-26.87	74.67	79.36	110	y34l
j50g	55.83	-43.45	57.11	71.76	127	y69l
j75g	47.5	-54.18	38.3	66.35	145	l03c
g00b	50.07	-44.09	14.13	46.3	162	l23c
g25b	52.21	-35.66	-6.03	36.17	190	l55c
g50b	53.9	-29.04	-21.87	36.36	217	l87c
g75b	49.44	-15.51	-32.31	35.84	244	c20v
b00r	41.36	1.15	-37.95	37.97	272	c53v
b25r	28.74	27.19	-46.77	54.1	300	c87v
b50r	33.74	61.97	-37.81	72.59	329	v68m
b75r	40.08	64.26	-3.32	64.35	357	m33o



Ein und Ausgabe:
Farbmetrisches Drucker-Reflektiv-System FRS15_90a

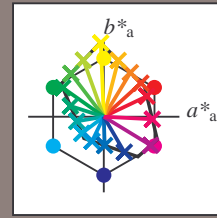
Daten für jede Farbe:
 u^*_e und Nummer $Nr. = 00 \dots 15$

Elementar-Bunttextext:
 $u^*_e = 16$ Bunttoene $r00j, r25j, \dots, b75r$

Kontrastreduzierungsfaktor:
 $c_R = 0.9$

FRS15_90a; adaptierte CIELAB-Daten

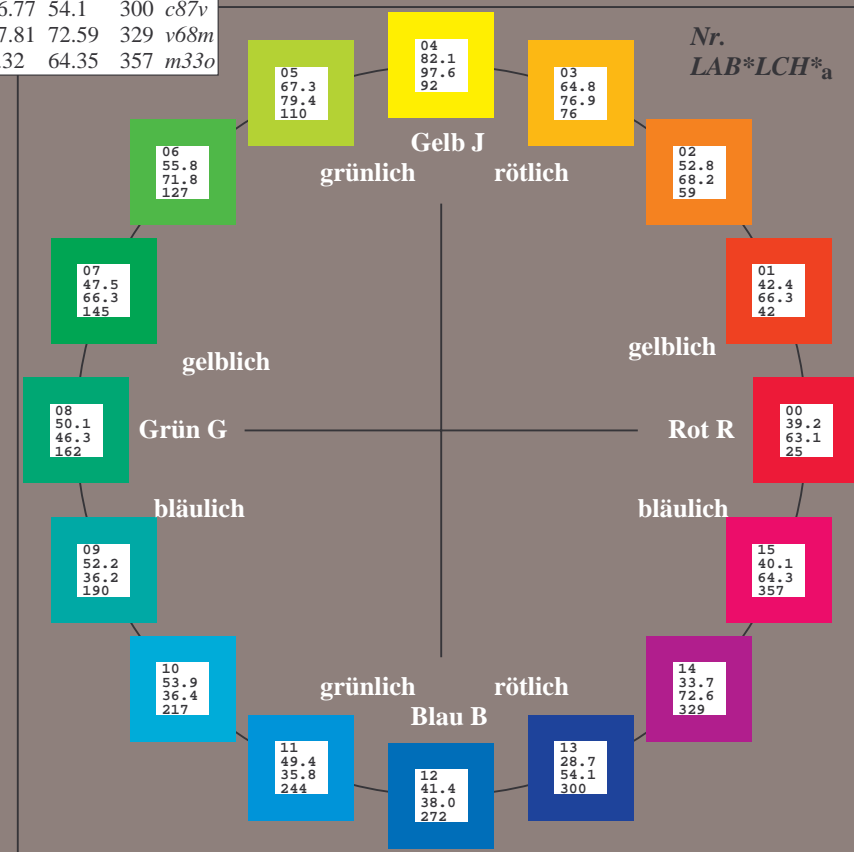
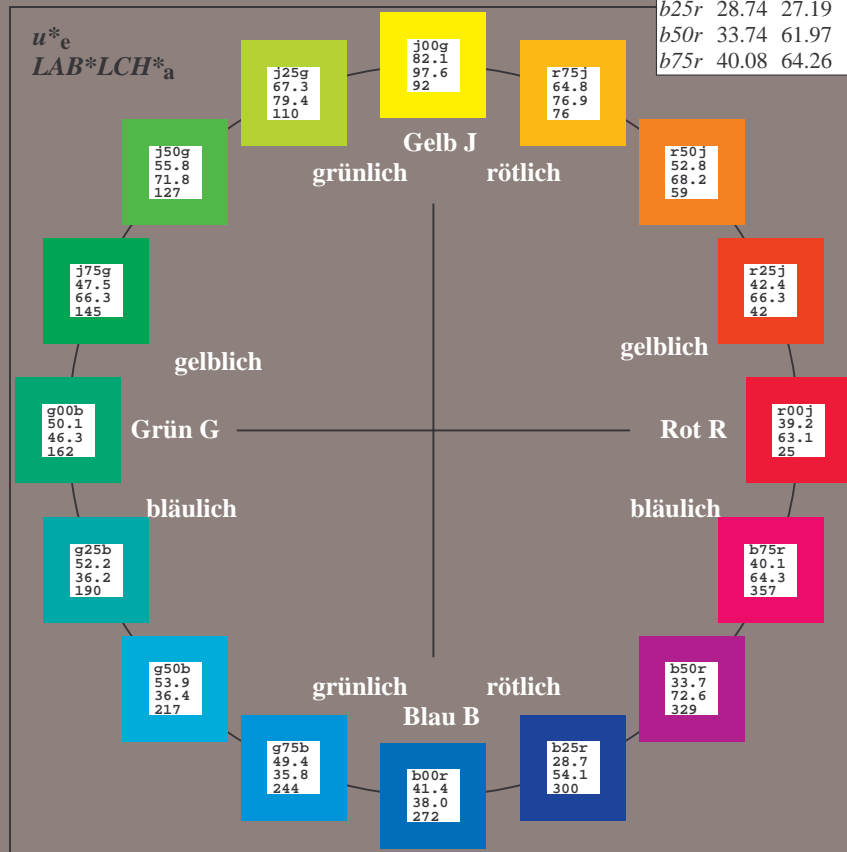
u^*_e	$L^*=L^*_a$	a^*_a	b^*_a	$C^*_{ab,a}$	$h^*_{ab,a}$	u^*_d
r00j	39.18	56.94	27.13	63.07	25	m81o
r25j	42.41	49.1	44.5	66.26	42	o10y
r50j	52.78	35.22	58.37	68.17	59	o40y
r75j	64.82	19.12	74.47	76.89	76	o69y
j00g	82.06	-3.94	97.52	97.6	92	o98y
j25g	67.26	-26.87	74.67	79.36	110	y34l
j50g	55.83	-43.45	57.11	71.76	127	y69l
j75g	47.5	-54.18	38.3	66.35	145	l03c
g00b	50.07	-44.09	14.13	46.3	162	l23c
g25b	52.21	-35.66	-6.03	36.17	190	l55c
g50b	53.9	-29.04	-21.87	36.36	217	l87c
g75b	49.44	-15.51	-32.31	35.84	244	c20v
b00r	41.36	1.15	-37.95	37.97	272	c53v
b25r	28.74	27.19	-46.77	54.1	300	c87v
b50r	33.74	61.97	-37.81	72.59	329	v68m
b75r	40.08	64.26	-3.32	64.35	357	m33o



%Umfang
 $u^*_{rel} = 88$
%Regularität
 $g^*_{H,rel} = 31$
 $g^*_{C,rel} = 40$

FRS15_90a; adaptierte CIELAB-Daten

Name	$L^*=L^*_a$	a^*_a	b^*_a	$C^*_{ab,a}$	$h^*_{ab,a}$
OMa	38.8	53.92	39.68	66.95	36
YMa	82.58	-4.64	98.22	98.33	93
LMa	46.95	-56.34	43.46	71.15	142
CMa	54.62	-26.2	-28.68	38.85	228
VMa	20.01	45.2	-52.87	69.56	311
MMa	40.88	70.68	-29.99	76.78	337
NMa	15.0	0.0	0.0	0.0	0
WMa	90.0	0.0	0.0	0.0	0
RCIE	39.92	58.74	27.99	65.07	25
JCIE	81.26	-2.89	71.56	71.62	92
GCIE	52.23	-42.42	13.6	44.55	162
BCIE	30.57	1.41	-46.47	46.49	272



Ein und Ausgabe: Farbmatisches Drucker-Reflektiv-System FRS15_90a für relativen CIELAB-Bunton $h^* = lab^*h^* = h_{ab}/360 = 0.071$

$u^*_e = r00j$
 $LAB^*LCH^*_a$

Daten für jede Farbe:

lab^*tch^* und lab^*icu^*

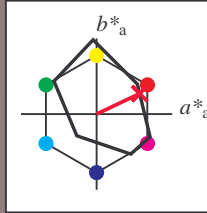
Buntontexte:

$u^*_e = r00j$ $u^*_d = m81o$

Kontrastreduzierungsfaktor:

$c_R = 0.9$

Dreiecks-Helligkeit t^*



FRS15_90a; adaptierte CIELAB-Daten

	u^*_e	$L^*=L^*_a$	a^*_a	b^*_a	$C^*_{ab,a}$	$h^*_{ab,a}$
O _{Ma}	38.8	53.92	39.68	66.95	36	
Y _{Ma}	82.58	-4.64	98.22	98.33	93	
L _{Ma}	46.95	-56.34	43.46	71.15	142	
C _{Ma}	54.62	-26.2	-28.68	38.85	228	
V _{Ma}	20.01	45.2	-52.87	69.56	311	
M _{Ma}	40.88	70.68	-29.99	76.78	337	
N _{Ma}	15.0	0.0	0.0	0.0	0	
W _{Ma}	90.0	0.0	0.0	0.0	0	
R _{Ma}	39.92	58.74	27.99	65.07	25	
J _{Ma}	81.26	-2.89	71.56	71.62	92	
G _{Ma}	52.23	-42.42	13.6	44.55	162	
B _{Ma}	30.57	1.41	-46.47	46.49	272	

Daten für Maximalfarbe (Ma):

$LAB^*LAB^*_Ma: 39\ 57\ 27$

$LAB^*LCH^*_Ma: 39\ 63\ 25$

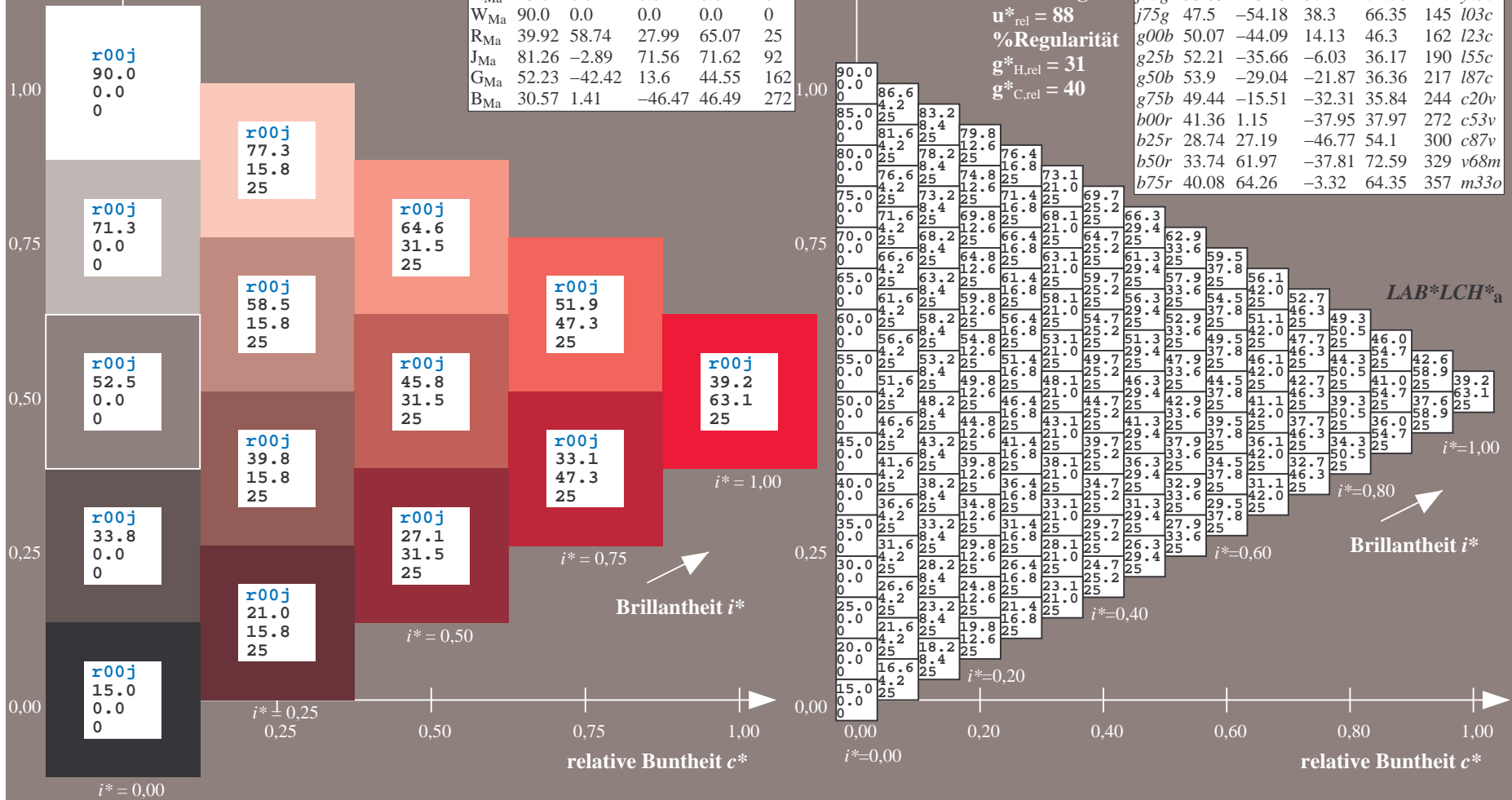
$lab^*rgb^*_Ma: 1.0\ 0.0\ 0.0$

$lab^*olv^*_Ma: 1.0\ 0.0\ 0.18$

Dreiecks-Helligkeit t^*

FRS15_90a; adaptierte CIELAB-Daten

	u^*_e	$L^*=L^*_a$	a^*_a	b^*_a	$C^*_{ab,a}$	$h^*_{ab,a}$	u^*_d
r00j	39.18	56.94	27.13	63.07	25	m81o	
r25j	42.41	49.1	44.5	66.26	42	o10y	
r50j	52.78	35.22	58.37	68.17	59	o40y	
r75j	64.82	19.12	74.47	76.89	76	o69y	
j00g	82.06	-3.94	97.52	97.6	92	o98y	
j25g	67.26	-26.87	74.67	79.36	110	y34l	
j50g	55.83	-43.45	57.11	71.76	127	y69l	
j75g	47.5	-54.18	38.3	66.35	145	l03c	
g00b	50.07	-44.09	14.13	46.3	162	l23c	
g25b	52.21	-35.66	-6.03	36.17	190	l55c	
g50b	53.9	-29.04	-21.87	36.36	217	l87c	
g75b	49.44	-15.51	-32.31	35.84	244	c20v	
b00r	41.36	1.15	-37.95	37.97	272	c53v	
b25r	28.74	27.19	-46.77	54.1	300	c87v	
b50r	33.74	61.97	-37.81	72.59	329	v68m	
b75r	40.08	64.26	-3.32	64.35	357	m33o	



%Umfang
 $u^*_{rel} = 88$
%Regularität
 $g^*_{H,rel} = 31$
 $g^*_{C,rel} = 40$

$LAB^*LCH^*_a$

$i^* = 1.00$

$i^* = 0.80$

$i^* = 0.60$

$i^* = 0.40$

$i^* = 0.20$

Ein und Ausgabe: Farbmatisches Drucker-Reflektiv-System FRS15_90a für relativen CIELAB-Bunton $h^* = lab^*h^* = h_{ab}/360 = 0.117$

$u^*_e = r25j$
 $LAB^*LCH^*_a$

Daten für jede Farbe:

lab^*ch^* und lab^*icu^*

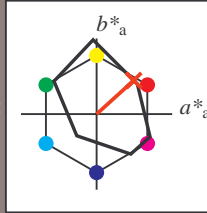
Buntontexte:

$u^*_e = r25j$ $u^*_d = o10y$

Kontrastreduzierungsfaktor:

$c_R = 0.9$

Dreiecks-Helligkeit t^*



FRS15_90a; adaptierte CIELAB-Daten						
u^*_e	$L^*=L^*_a$	a^*_a	b^*_a	$C^*_{ab,a}$	$h^*_{ab,a}$	
O _{Ma}	38.8	53.92	39.68	66.95	36	
Y _{Ma}	82.58	-4.64	98.22	98.33	93	
L _{Ma}	46.95	-56.34	43.46	71.15	142	
C _{Ma}	54.62	-26.2	-28.68	38.85	228	
V _{Ma}	20.01	45.2	-52.87	69.56	311	
M _{Ma}	40.88	70.68	-29.99	76.78	337	
N _{Ma}	15.0	0.0	0.0	0.0	0	
W _{Ma}	90.0	0.0	0.0	0.0	0	
R _{Ma}	39.92	58.74	27.99	65.07	25	
J _{Ma}	81.26	-2.89	71.56	71.62	92	
G _{Ma}	52.23	-42.42	13.6	44.55	162	
B _{Ma}	30.57	1.41	-46.47	46.49	272	

Daten für Maximalfarbe (Ma):

$LAB^*LAB^*_Ma: 42\ 49\ 44$

$LAB^*LCH^*_Ma: 42\ 66\ 42$

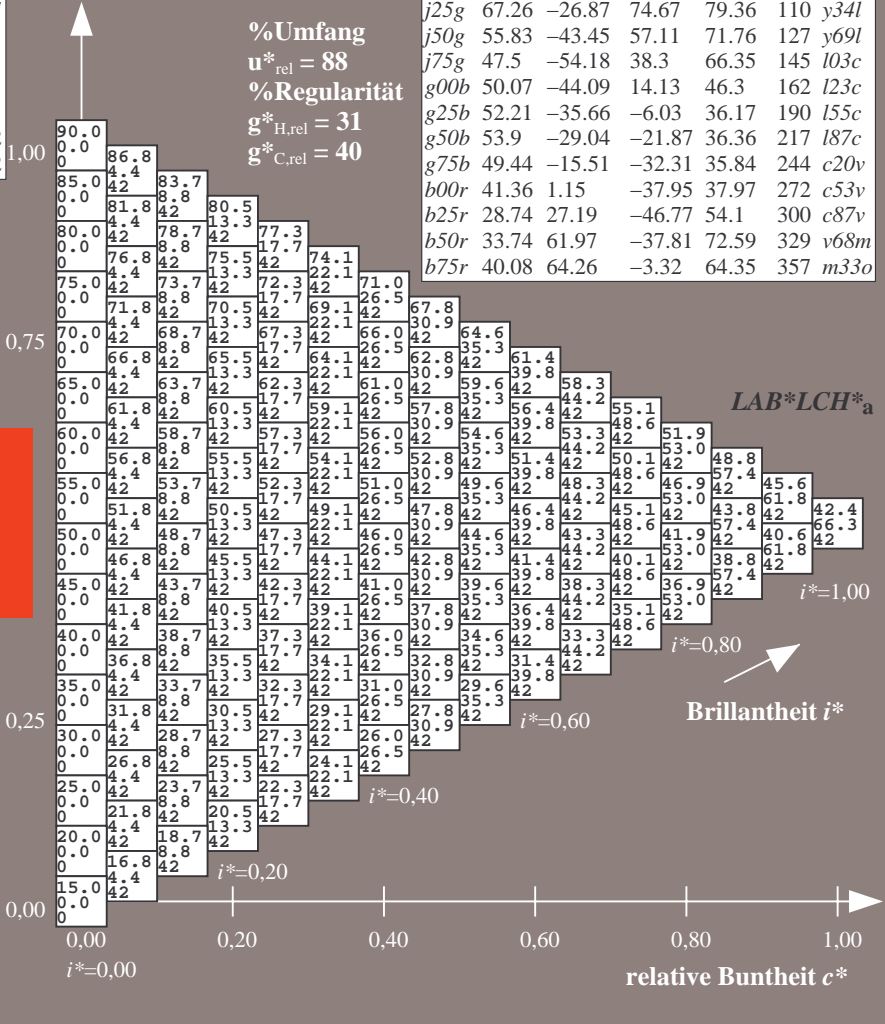
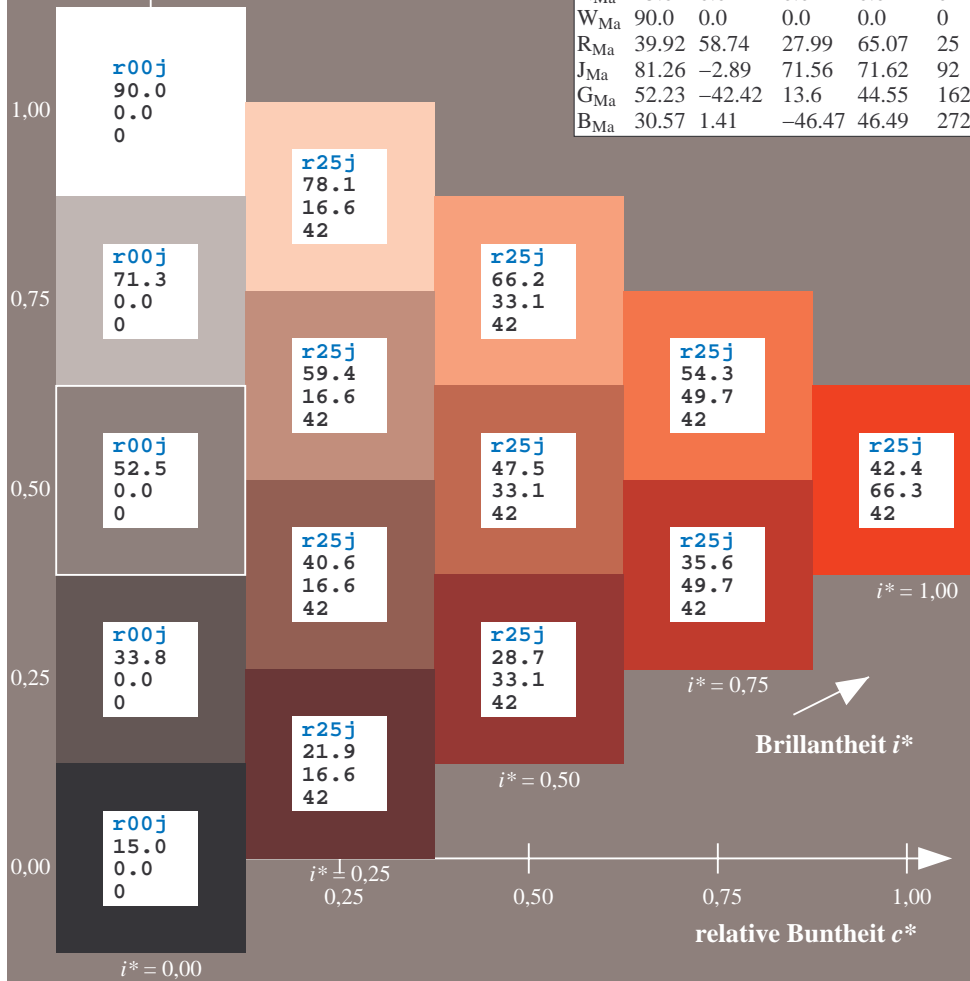
$lab^*rgb^*_Ma: 1.0\ 0.25\ 0.0$

$lab^*olv^*_Ma: 1.0\ 0.1\ 0.0$

Dreiecks-Helligkeit t^*

FRS15_90a; adaptierte CIELAB-Daten

u^*_e	$L^*=L^*_a$	a^*_a	b^*_a	$C^*_{ab,a}$	$h^*_{ab,a}$	u^*_d
r00j	39.18	56.94	27.13	63.07	25	m81o
r25j	42.41	49.1	44.5	66.26	42	o10y
r50j	52.78	35.22	58.37	68.17	59	o40y
r75j	64.82	19.12	74.47	76.89	76	o69y
j00g	82.06	-3.94	97.52	97.6	92	o98y
j25g	67.26	-26.87	74.67	79.36	110	y34l
j50g	55.83	-43.45	57.11	71.76	127	y69l
j75g	47.5	-54.18	38.3	66.35	145	l03c
g00b	50.07	-44.09	14.13	46.3	162	l23c
g25b	52.21	-35.66	-6.03	36.17	190	l55c
g50b	53.9	-29.04	-21.87	36.36	217	l87c
g75b	49.44	-15.51	-32.31	35.84	244	c20v
b00r	41.36	1.15	-37.95	37.97	272	c53v
b25r	28.74	27.19	-46.77	54.1	300	c87v
b50r	33.74	61.97	-37.81	72.59	329	v68m
b75r	40.08	64.26	-3.32	64.35	357	m33o



%Umfang
 $u^*_{rel} = 88$
%Regularität
 $g^*_{H,rel} = 31$
 $g^*_{C,rel} = 40$

$LAB^*LCH^*_a$

Brillantheit i^*

$i^* = 1.00$

$i^* = 0.80$

$i^* = 0.60$

$i^* = 0.40$

$i^* = 0.20$

$i^* = 0.00$

Ein und Ausgabe: Farbmatisches Drucker-Reflektiv-System FRS15_90a für relativen CIELAB-Bunton $h^* = lab^*h^* = h_{ab}/360 = 0.164$

$u^*_e = r50j$
 $LAB^*LCH^*_a$

Daten für jede Farbe:

lab^*tch^* und lab^*icu^*

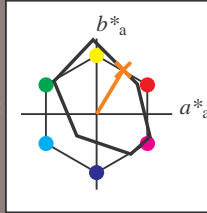
Buntontexte:

$u^*_e = r50j$ $u^*_d = o40y$

Kontrastreduzierungsfaktor:

$c_R = 0.9$

Dreiecks-Helligkeit t^*



FRS15_90a; adaptierte CIELAB-Daten

	u^*_e	$L^*=L^*_a$	a^*_a	b^*_a	$C^*_{ab,a}$	$h^*_{ab,a}$
O _{Ma}	38.8	53.92	39.68	66.95	36	
Y _{Ma}	82.58	-4.64	98.22	98.33	93	
L _{Ma}	46.95	-56.34	43.46	71.15	142	
C _{Ma}	54.62	-26.2	-28.68	38.85	228	
V _{Ma}	20.01	45.2	-52.87	69.56	311	
M _{Ma}	40.88	70.68	-29.99	76.78	337	
N _{Ma}	15.0	0.0	0.0	0.0	0	
W _{Ma}	90.0	0.0	0.0	0.0	0	
R _{Ma}	39.92	58.74	27.99	65.07	25	
J _{Ma}	81.26	-2.89	71.56	71.62	92	
G _{Ma}	52.23	-42.42	13.6	44.55	162	
B _{Ma}	30.57	1.41	-46.47	46.49	272	

Daten für Maximalfarbe (Ma):

$LAB^*LAB^*_Ma: 53\ 35\ 58$

$LAB^*LCH^*_Ma: 53\ 68\ 58$

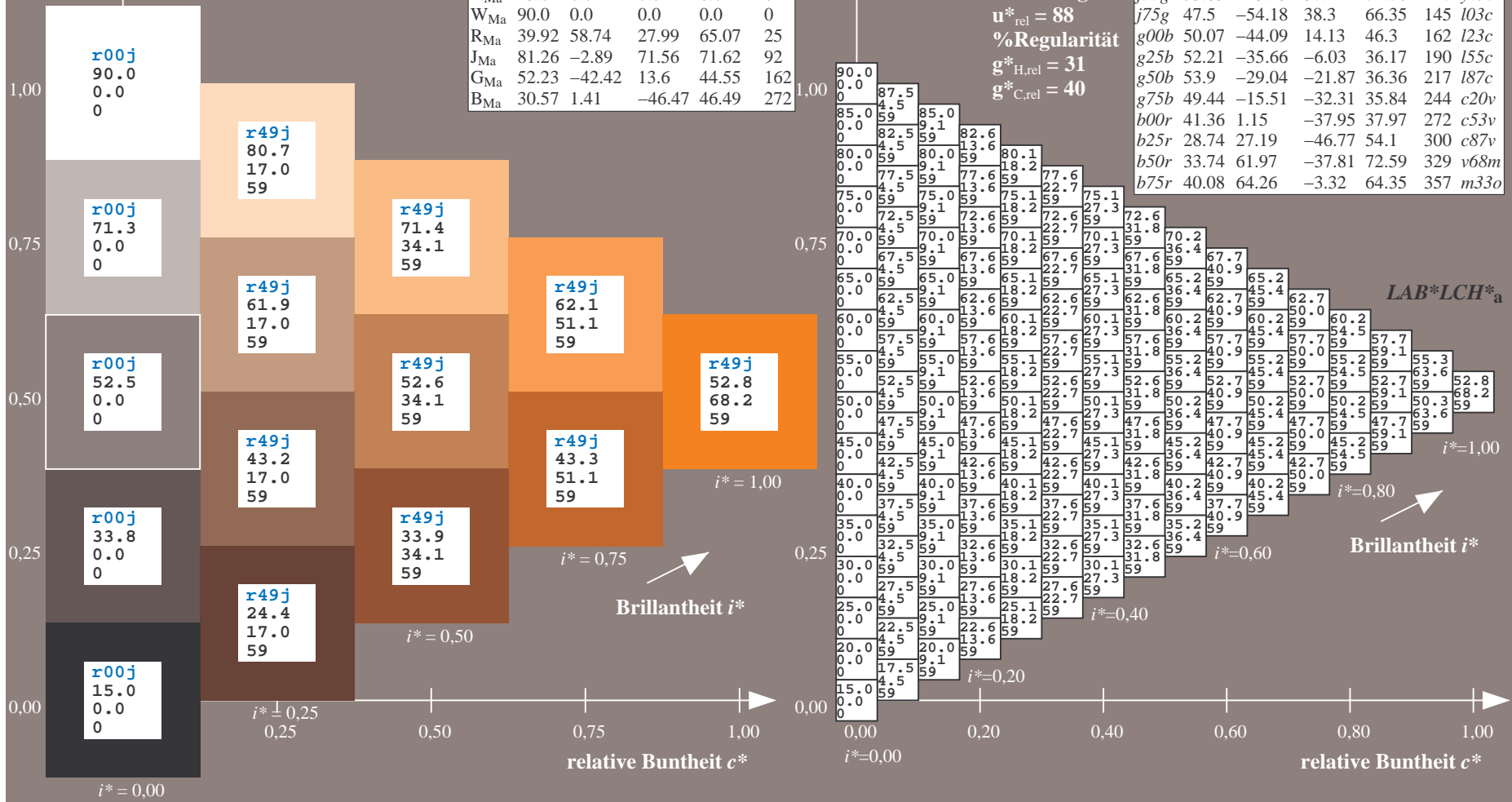
$lab^*rgb^*_Ma: 1.0\ 0.5\ 0.0$

$lab^*olv^*_Ma: 1.0\ 0.4\ 0.0$

Dreiecks-Helligkeit t^*

FRS15_90a; adaptierte CIELAB-Daten

	u^*_e	$L^*=L^*_a$	a^*_a	b^*_a	$C^*_{ab,a}$	$h^*_{ab,a}$	u^*_d
r00j	39.18	56.94	27.13	63.07	25	m81o	
r25j	42.41	49.1	44.5	66.26	42	o10y	
r50j	52.78	35.22	58.37	68.17	59	o40y	
r75j	64.82	19.12	74.47	76.89	76	o69y	
j00g	82.06	-3.94	97.52	97.6	92	o98y	
j25g	67.26	-26.87	74.67	79.36	110	y34l	
j50g	55.83	-43.45	57.11	71.76	127	y69l	
j75g	47.5	-54.18	38.3	66.35	145	l03c	
g00b	50.07	-44.09	14.13	46.3	162	l23c	
g25b	52.21	-35.66	-6.03	36.17	190	l55c	
g50b	53.9	-29.04	-21.87	36.36	217	l87c	
g75b	49.44	-15.51	-32.31	35.84	244	c20v	
b00r	41.36	1.15	-37.95	37.97	272	c53v	
b25r	28.74	27.19	-46.77	54.1	300	c87v	
b50r	33.74	61.97	-37.81	72.59	329	v68m	
b75r	40.08	64.26	-3.32	64.35	357	m33o	



Ein und Ausgabe: Farbmatisches Drucker-Reflektiv-System FRS15_90a für relativen CIELAB-Bunton $h^* = lab \cdot h^* = h_{ab}/360 = 0.21$

$u^*_e = r75j$
 $LAB^*LCH^*_a$

Daten für jede Farbe:

lab^*ch^* und lab^*icu^*

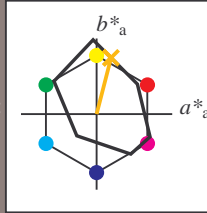
Buntontexte:

$u^*_e = r75j$ $u^*_d = o69y$

Kontrastreduzierungsfaktor:

$c_R = 0.9$

Dreiecks-Helligkeit t^*



FRS15_90a; adaptierte CIELAB-Daten

	u^*_e	$L^*=L^*_a$	a^*_a	b^*_a	$C^*_{ab,a}$	$h^*_{ab,a}$
O _{Ma}	38.8	53.92	39.68	66.95	36	
Y _{Ma}	82.58	-4.64	98.22	98.33	93	
L _{Ma}	46.95	-56.34	43.46	71.15	142	
C _{Ma}	54.62	-26.2	-28.68	38.85	228	
V _{Ma}	20.01	45.2	-52.87	69.56	311	
M _{Ma}	40.88	70.68	-29.99	76.78	337	
N _{Ma}	15.0	0.0	0.0	0.0	0	
W _{Ma}	90.0	0.0	0.0	0.0	0	
R _{Ma}	39.92	58.74	27.99	65.07	25	
J _{Ma}	81.26	-2.89	71.56	71.62	92	
G _{Ma}	52.23	-42.42	13.6	44.55	162	
B _{Ma}	30.57	1.41	-46.47	46.49	272	

Daten für Maximalfarbe (Ma):

$LAB^*LAB^*_Ma: 65 19 74$

$LAB^*LCH^*_Ma: 65 77 75$

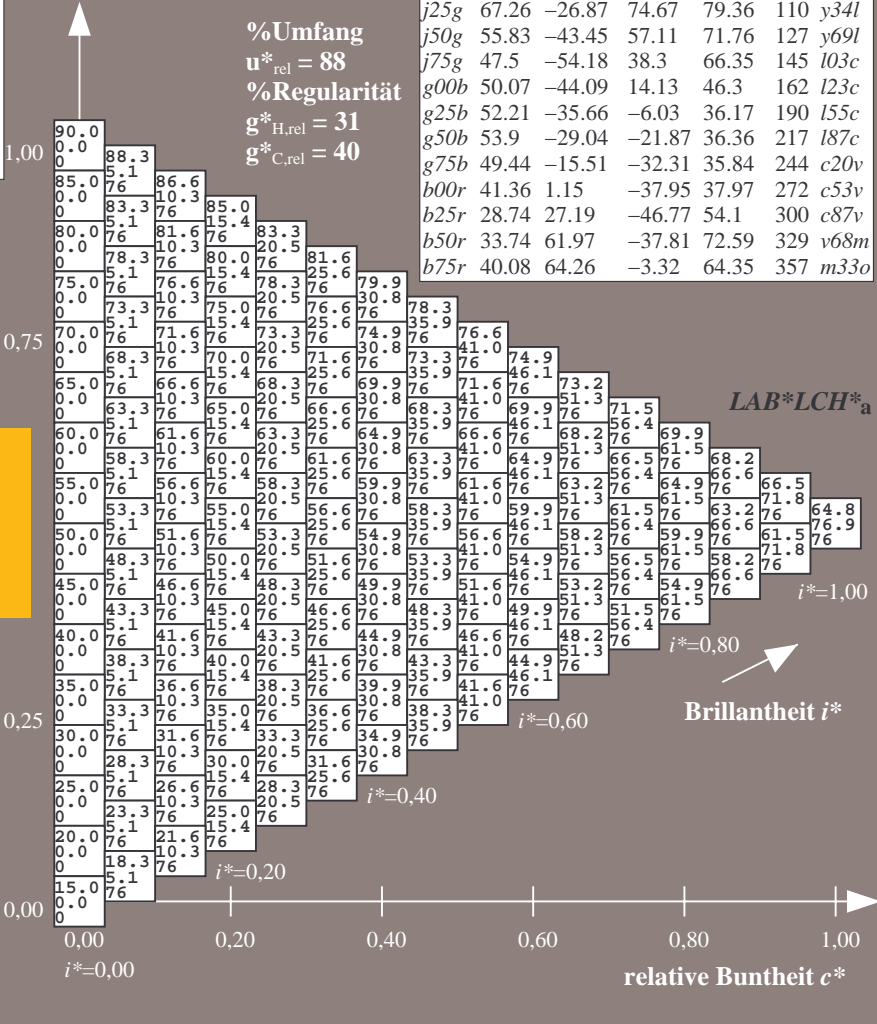
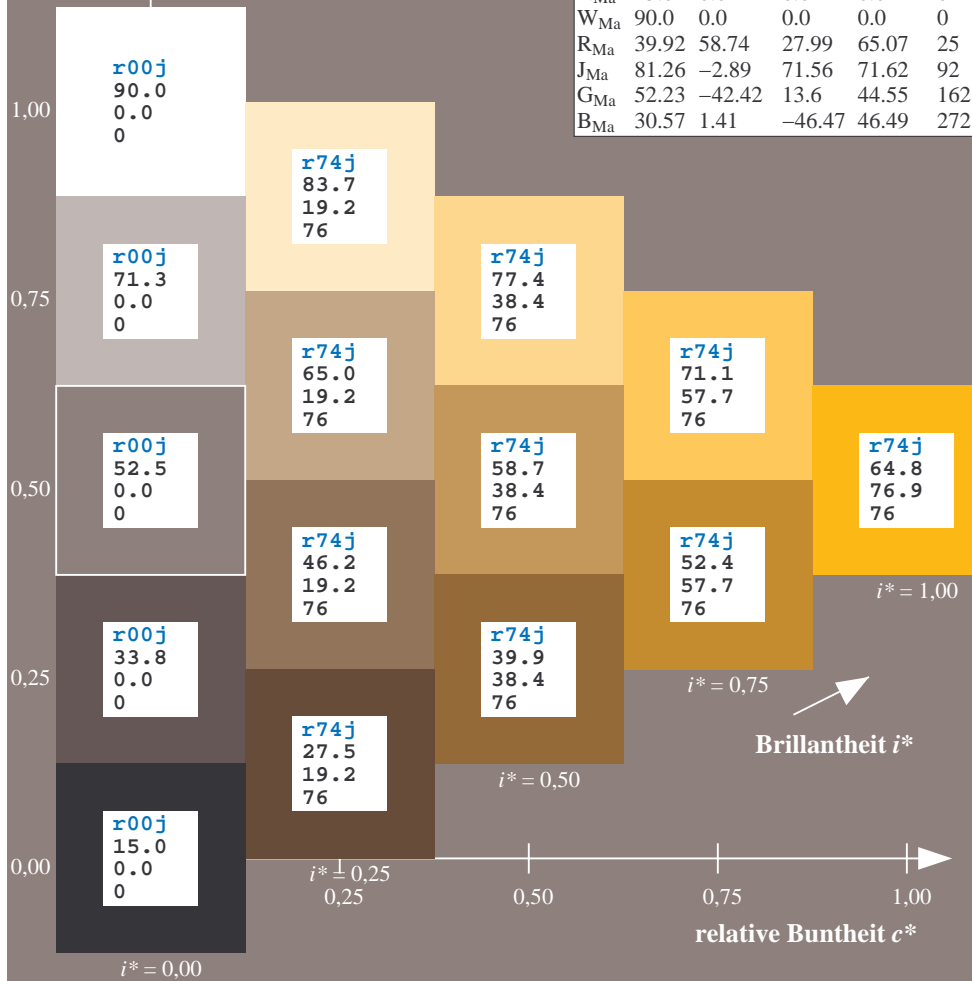
$lab^*rgb^*_Ma: 1.0 0.75 0.0$

$lab^*olv^*_Ma: 1.0 0.7 0.0$

Dreiecks-Helligkeit t^*

FRS15_90a; adaptierte CIELAB-Daten

	u^*_e	$L^*=L^*_a$	a^*_a	b^*_a	$C^*_{ab,a}$	$h^*_{ab,a}$	u^*_d
r00j	39.18	56.94	27.13	63.07	25	m81o	
r25j	42.41	49.1	44.5	66.26	42	o10y	
r50j	52.78	35.22	58.37	68.17	59	o40y	
r75j	64.82	19.12	74.47	76.89	76	o69y	
j00g	82.06	-3.94	97.52	97.6	92	o98y	
j25g	67.26	-26.87	74.67	79.36	110	y34l	
j50g	55.83	-43.45	57.11	71.76	127	y69l	
j75g	47.5	-54.18	38.3	66.35	145	l03c	
g00b	50.07	-44.09	14.13	46.3	162	l23c	
g25b	52.21	-35.66	-6.03	36.17	190	l55c	
g50b	53.9	-29.04	-21.87	36.36	217	l87c	
g75b	49.44	-15.51	-32.31	35.84	244	c20v	
b00r	41.36	1.15	-37.95	37.97	272	c53v	
b25r	28.74	27.19	-46.77	54.1	300	c87v	
b50r	33.74	61.97	-37.81	72.59	329	v68m	
b75r	40.08	64.26	-3.32	64.35	357	m33o	



Ein und Ausgabe: Farbmetrisches Drucker-Reflektiv-System FRS15_90a für relativen CIELAB-Bunton $h^* = lab^*h^* = h_{ab}/360 = 0.256$

$u^*_e = j00g$
 $LAB^*LCH^*_a$

Daten für jede Farbe:

lab^*tch^* und lab^*icu^*

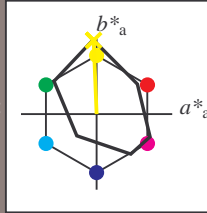
Buntontexte:

$u^*_e = j00g$ $u^*_d = o98y$

Kontrastreduzierungsfaktor:

$c_R = 0.9$

Dreiecks-Helligkeit t^*



FRS15_90a; adaptierte CIELAB-Daten

	u^*_e	$L^*=L^*_a$	a^*_a	b^*_a	$C^*_{ab,a}$	$h^*_{ab,a}$
O _{Ma}	38.8	53.92	39.68	66.95	36	
Y _{Ma}	82.58	-4.64	98.22	98.33	93	
L _{Ma}	46.95	-56.34	43.46	71.15	142	
C _{Ma}	54.62	-26.2	-28.68	38.85	228	
V _{Ma}	20.01	45.2	-52.87	69.56	311	
M _{Ma}	40.88	70.68	-29.99	76.78	337	
N _{Ma}	15.0	0.0	0.0	0.0	0	
W _{Ma}	90.0	0.0	0.0	0.0	0	
R _{Ma}	39.92	58.74	27.99	65.07	25	
J _{Ma}	81.26	-2.89	71.56	71.62	92	
G _{Ma}	52.23	-42.42	13.6	44.55	162	
B _{Ma}	30.57	1.41	-46.47	46.49	272	

Daten für Maximalfarbe (Ma):

$LAB^*LAB^*_Ma: 82 -4 98$

$LAB^*LCH^*_Ma: 82 98 92$

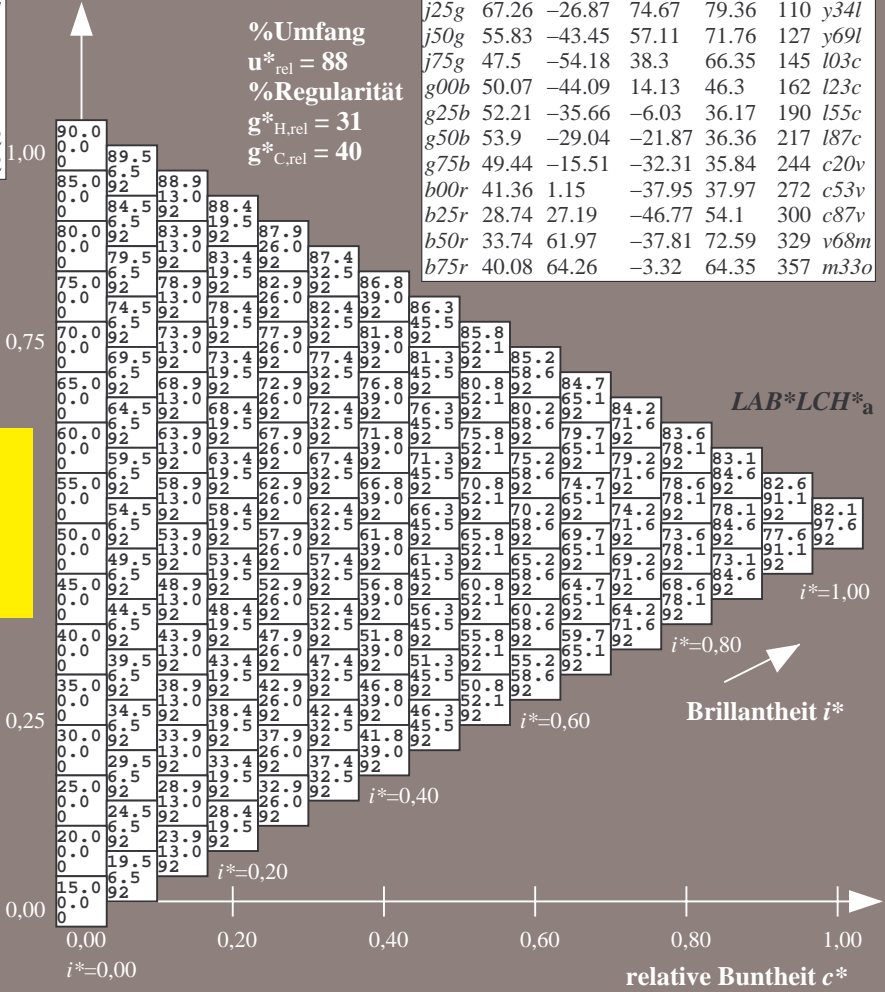
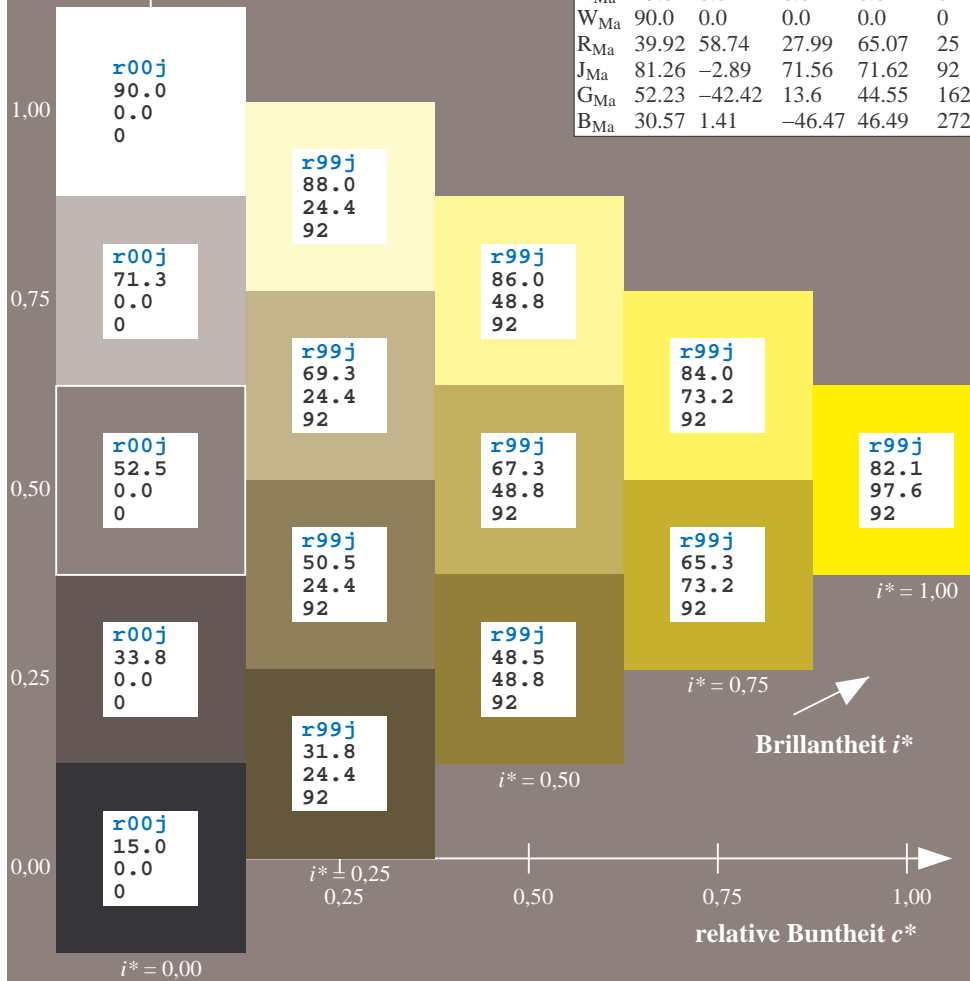
$lab^*rgb^*_Ma: 1.0 1.0 0.0$

$lab^*olv^*_Ma: 1.0 0.99 0.0$

Dreiecks-Helligkeit t^*

FRS15_90a; adaptierte CIELAB-Daten

	u^*_e	$L^*=L^*_a$	a^*_a	b^*_a	$C^*_{ab,a}$	$h^*_{ab,a}$	u^*_d
r00j	39.18	56.94	27.13	63.07	25	m81o	
r25j	42.41	49.1	44.5	66.26	42	o10y	
r50j	52.78	35.22	58.37	68.17	59	o40y	
r75j	64.82	19.12	74.47	76.89	76	o69y	
j00g	82.06	-3.94	97.52	97.6	92	o98y	
j25g	67.26	-26.87	74.67	79.36	110	y34l	
j50g	55.83	-43.45	57.11	71.76	127	y69l	
j75g	47.5	-54.18	38.3	66.35	145	i03c	
g00b	50.07	-44.09	14.13	46.3	162	i23c	
g25b	52.21	-35.66	-6.03	36.17	190	i55c	
g50b	53.9	-29.04	-21.87	36.36	217	i87c	
g75b	49.44	-15.51	-32.31	35.84	244	c20v	
b00r	41.36	1.15	-37.95	37.97	272	c53v	
b25r	28.74	27.19	-46.77	54.1	300	c87v	
b50r	33.74	61.97	-37.81	72.59	329	v68m	
b75r	40.08	64.26	-3.32	64.35	357	m33o	



Ein und Ausgabe: Farbmetrisches Drucker-Reflektiv-System FRS15_90a für relativen CIELAB-Bunton $h^* = lab^*h^* = h_{ab}/360 = 0.305$

$u^*_e = j25g$
 $LAB^*LCH^*_a$

Daten für jede Farbe:

lab^*tch^* und lab^*icu^*

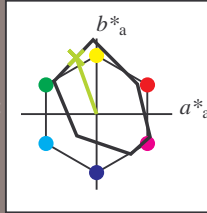
Buntontexte:

$u^*_e = j25g$ $u^*_d = y34l$

Kontrastreduzierungsfaktor:

$c_R = 0.9$

Dreiecks-Helligkeit t^*



FRS15_90a; adaptierte CIELAB-Daten

u^*_e	$L^*=L^*_a$	a^*_a	b^*_a	$C^*_{ab,a}$	$h^*_{ab,a}$
O _{Ma}	38.8	53.92	39.68	66.95	36
Y _{Ma}	82.58	-4.64	98.22	98.33	93
L _{Ma}	46.95	-56.34	43.46	71.15	142
C _{Ma}	54.62	-26.2	-28.68	38.85	228
V _{Ma}	20.01	45.2	-52.87	69.56	311
M _{Ma}	40.88	70.68	-29.99	76.78	337
N _{Ma}	15.0	0.0	0.0	0.0	0
W _{Ma}	90.0	0.0	0.0	0.0	0
R _{Ma}	39.92	58.74	27.99	65.07	25
J _{Ma}	81.26	-2.89	71.56	71.62	92
G _{Ma}	52.23	-42.42	13.6	44.55	162
B _{Ma}	30.57	1.41	-46.47	46.49	272

Daten für Maximalfarbe (Ma):

$LAB^*LAB^*_Ma: 67 -27 75$

$LAB^*LCH^*_Ma: 67 79 109$

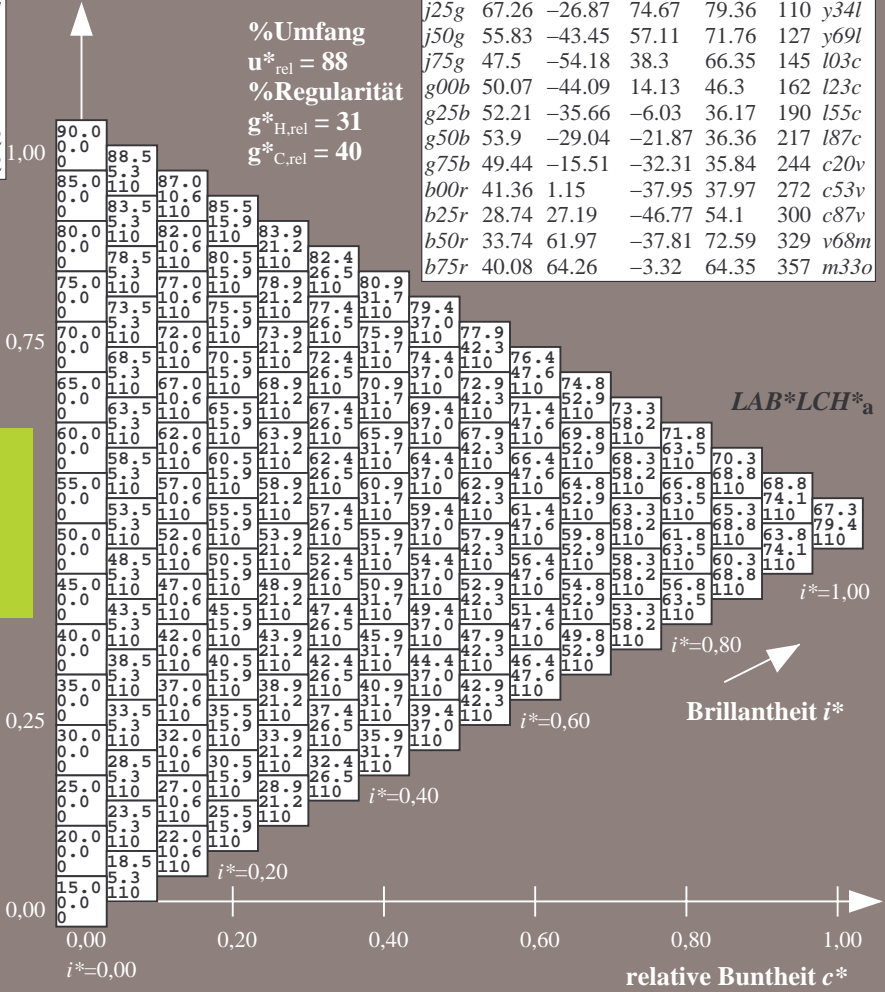
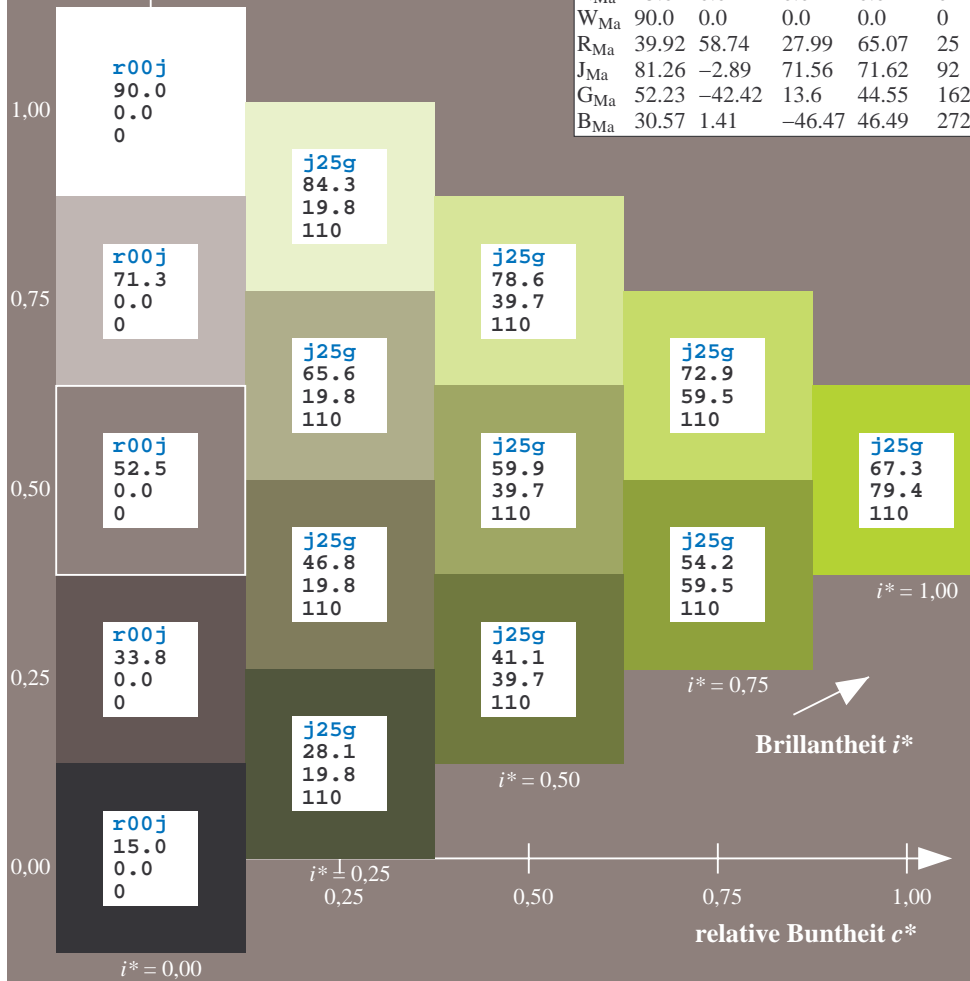
$lab^*rgb^*_Ma: 0.75 1.0 0.0$

$lab^*olv^*_Ma: 0.66 1.0 0.0$

Dreiecks-Helligkeit t^*

FRS15_90a; adaptierte CIELAB-Daten

u^*_e	$L^*=L^*_a$	a^*_a	b^*_a	$C^*_{ab,a}$	$h^*_{ab,a}$	u^*_d
r00j	39.18	56.94	27.13	63.07	25	m81o
r25j	42.41	49.1	44.5	66.26	42	o10y
r50j	52.78	35.22	58.37	68.17	59	o40y
r75j	64.82	19.12	74.47	76.89	76	o69y
j00g	82.06	-3.94	97.52	97.6	92	o98y
j25g	67.26	-26.87	74.67	79.36	110	y34l
j50g	55.83	-43.45	57.11	71.76	127	y69l
j75g	47.5	-54.18	38.3	66.35	145	l03c
g00b	50.07	-44.09	14.13	46.3	162	l23c
g25b	52.21	-35.66	-6.03	36.17	190	l55c
g50b	53.9	-29.04	-21.87	36.36	217	l87c
g75b	49.44	-15.51	-32.31	35.84	244	c20v
b00r	41.36	1.15	-37.95	37.97	272	c53v
b25r	28.74	27.19	-46.77	54.1	300	c87v
b50r	33.74	61.97	-37.81	72.59	329	v68m
b75r	40.08	64.26	-3.32	64.35	357	m33o



Ein und Ausgabe: Farbmatisches Drucker-Reflektiv-System FRS15_90a für relativen CIELAB-Bunton $h^* = lab^*h^* = h_{ab}/360 = 0.354$

$u^*_e = j50g$
 $LAB^*LCH^*_a$

Daten für jede Farbe:

lab^*tch^* und lab^*icu^*

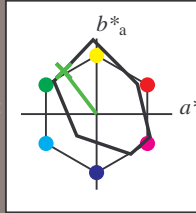
Buntontexte:

$u^*_e = j50g$ $u^*_d = y69l$

Kontrastreduzierungsfaktor:

$c_R = 0.9$

Dreiecks-Helligkeit t^*



FRS15_90a; adaptierte CIELAB-Daten

	u^*_e	$L^*=L^*_a$	a^*_a	b^*_a	$C^*_{ab,a}$	$h^*_{ab,a}$
O _{Ma}	38.8	53.92	39.68	66.95	36	
Y _{Ma}	82.58	-4.64	98.22	98.33	93	
L _{Ma}	46.95	-56.34	43.46	71.15	142	
C _{Ma}	54.62	-26.2	-28.68	38.85	228	
V _{Ma}	20.01	45.2	-52.87	69.56	311	
M _{Ma}	40.88	70.68	-29.99	76.78	337	
N _{Ma}	15.0	0.0	0.0	0.0	0	
W _{Ma}	90.0	0.0	0.0	0.0	0	
R _{Ma}	39.92	58.74	27.99	65.07	25	
J _{Ma}	81.26	-2.89	71.56	71.62	92	
G _{Ma}	52.23	-42.42	13.6	44.55	162	
B _{Ma}	30.57	1.41	-46.47	46.49	272	

Daten für Maximalfarbe (Ma):

$LAB^*LAB^*_Ma: 56 -43 57$

$LAB^*LCH^*_Ma: 56 72 127$

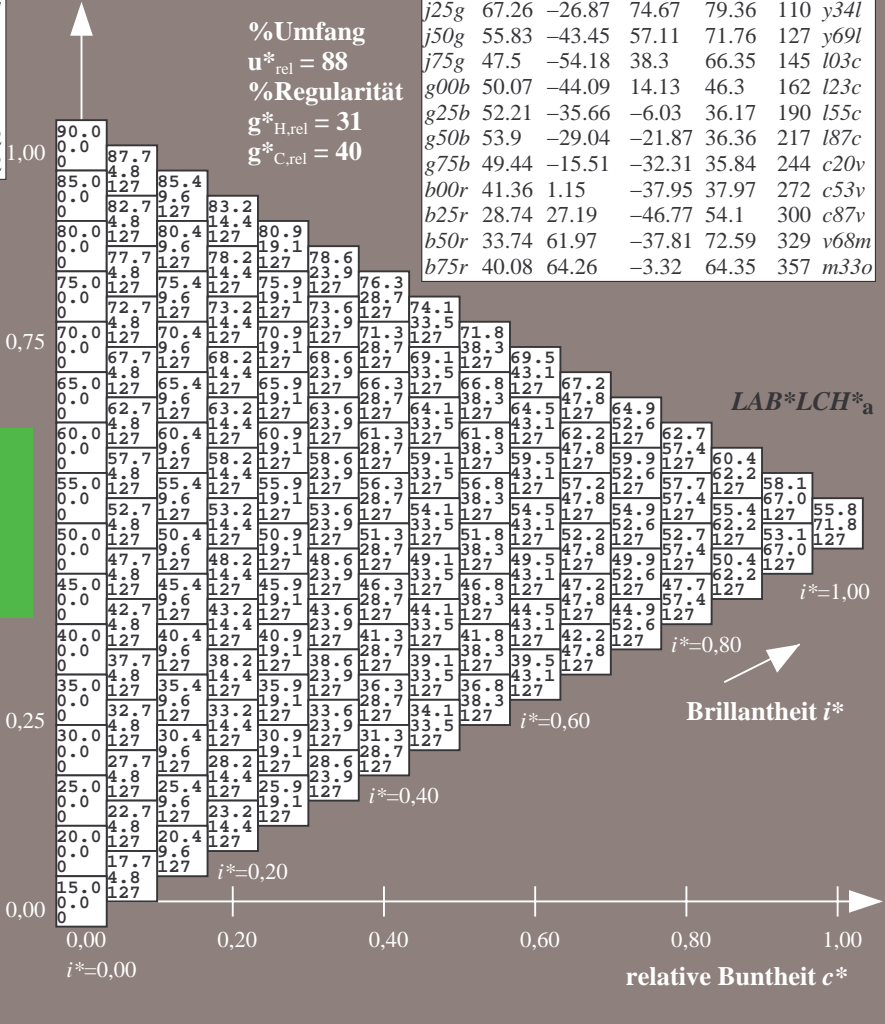
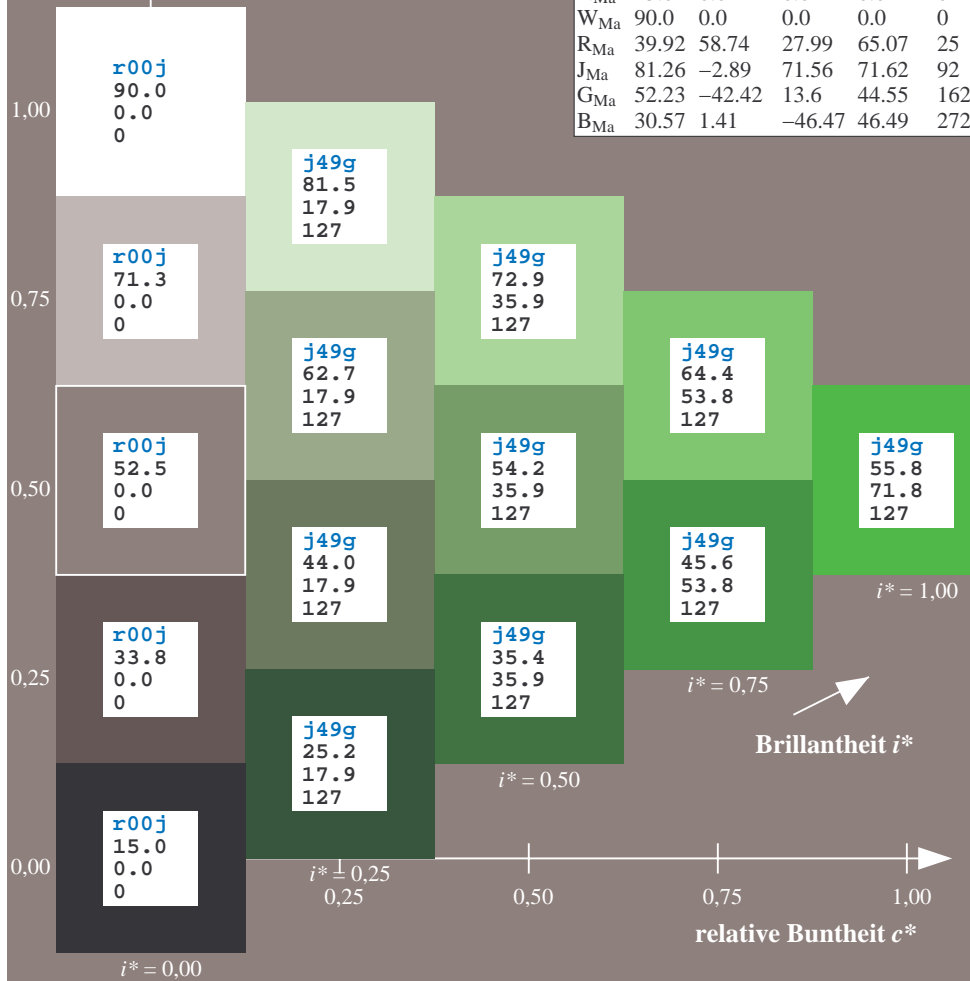
$lab^*rgb^*_Ma: 0.5 1.0 0.0$

$lab^*olv^*_Ma: 0.3 1.0 0.0$

Dreiecks-Helligkeit t^*

FRS15_90a; adaptierte CIELAB-Daten

	u^*_e	$L^*=L^*_a$	a^*_a	b^*_a	$C^*_{ab,a}$	$h^*_{ab,a}$	u^*_d
r00j	39.18	56.94	27.13	63.07	25	m81o	
r25j	42.41	49.1	44.5	66.26	42	o10y	
r50j	52.78	35.22	58.37	68.17	59	o40y	
r75j	64.82	19.12	74.47	76.89	76	o69y	
j00g	82.06	-3.94	97.52	97.6	92	o98y	
j25g	67.26	-26.87	74.67	79.36	110	y34l	
j50g	55.83	-43.45	57.11	71.76	127	y69l	
j75g	47.5	-54.18	38.3	66.35	145	i03c	
g00b	50.07	-44.09	14.13	46.3	162	i23c	
g25b	52.21	-35.66	-6.03	36.17	190	i55c	
g50b	53.9	-29.04	-21.87	36.36	217	i87c	
g75b	49.44	-15.51	-32.31	35.84	244	c20v	
b00r	41.36	1.15	-37.95	37.97	272	c53v	
b25r	28.74	27.19	-46.77	54.1	300	c87v	
b50r	33.74	61.97	-37.81	72.59	329	v68m	
b75r	40.08	64.26	-3.32	64.35	357	m33o	



%Umfang
 $u^*_{rel} = 88$
%Regularität
 $g^*_{H,rel} = 31$
 $g^*_{C,rel} = 40$

Ein und Ausgabe: Farbmatisches Drucker-Reflektiv-System FRS15_90a für relativen CIELAB-Bunton $h^* = lab^*h^* = h_{ab}/360 = 0.402$

$u^*_e = j75g$
 $LAB^*LCH^*_a$

Daten für jede Farbe:

lab^*tch^* und lab^*icu^*

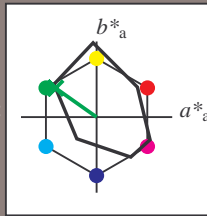
Buntontexte:

$u^*_e = j75g$ $u^*_d = l03c$

Kontrastreduzierungsfaktor:

$c_R = 0.9$

Dreiecks-Helligkeit t^*



FRS15_90a; adaptierte CIELAB-Daten

	u^*_e	$L^*=L^*_a$	a^*_a	b^*_a	$C^*_{ab,a}$	$h^*_{ab,a}$
O _{Ma}	38.8	53.92	39.68	66.95	36	
Y _{Ma}	82.58	-4.64	98.22	98.33	93	
L _{Ma}	46.95	-56.34	43.46	71.15	142	
C _{Ma}	54.62	-26.2	-28.68	38.85	228	
V _{Ma}	20.01	45.2	-52.87	69.56	311	
M _{Ma}	40.88	70.68	-29.99	76.78	337	
N _{Ma}	15.0	0.0	0.0	0.0	0	
W _{Ma}	90.0	0.0	0.0	0.0	0	
R _{Ma}	39.92	58.74	27.99	65.07	25	
J _{Ma}	81.26	-2.89	71.56	71.62	92	
G _{Ma}	52.23	-42.42	13.6	44.55	162	
B _{Ma}	30.57	1.41	-46.47	46.49	272	

Daten für Maximalfarbe (Ma):

$LAB^*LAB^*_Ma: 48 -54 38$

$LAB^*LCH^*_Ma: 48 66 144$

$lab^*rgb^*_Ma: 0.25 1.0 0.0$

$lab^*olv^*_Ma: 0.0 1.0 0.03$

Dreiecks-Helligkeit t^*

FRS15_90a; adaptierte CIELAB-Daten

	u^*_e	$L^*=L^*_a$	a^*_a	b^*_a	$C^*_{ab,a}$	$h^*_{ab,a}$	u^*_d
r00j	39.18	56.94	27.13	63.07	25	m81o	
r25j	42.41	49.1	44.5	66.26	42	o10y	
r50j	52.78	35.22	58.37	68.17	59	o40y	
r75j	64.82	19.12	74.47	76.89	76	o69y	
j00g	82.06	-3.94	97.52	97.6	92	o98y	
j25g	67.26	-26.87	74.67	79.36	110	y34l	
j50g	55.83	-43.45	57.11	71.76	127	y69l	
j75g	47.5	-54.18	38.3	66.35	145	i03c	
g00b	50.07	-44.09	14.13	46.3	162	i23c	
g25b	52.21	-35.66	-6.03	36.17	190	i55c	
g50b	53.9	-29.04	-21.87	36.36	217	i87c	
g75b	49.44	-15.51	-32.31	35.84	244	c20v	
b00r	41.36	1.15	-37.95	37.97	272	c53v	
b25r	28.74	27.19	-46.77	58.1	300	c87v	
b50r	33.74	61.97	-37.81	72.59	329	v68m	
b75r	40.08	64.26	-3.32	64.35	357	m33o	

%Umfang

$u^*_{rel} = 88$

%Regularität

$g^*_{H,rel} = 31$

$g^*_{C,rel} = 40$

$LAB^*LCH^*_a$

$i^* = 1.00$

$i^* = 0.80$

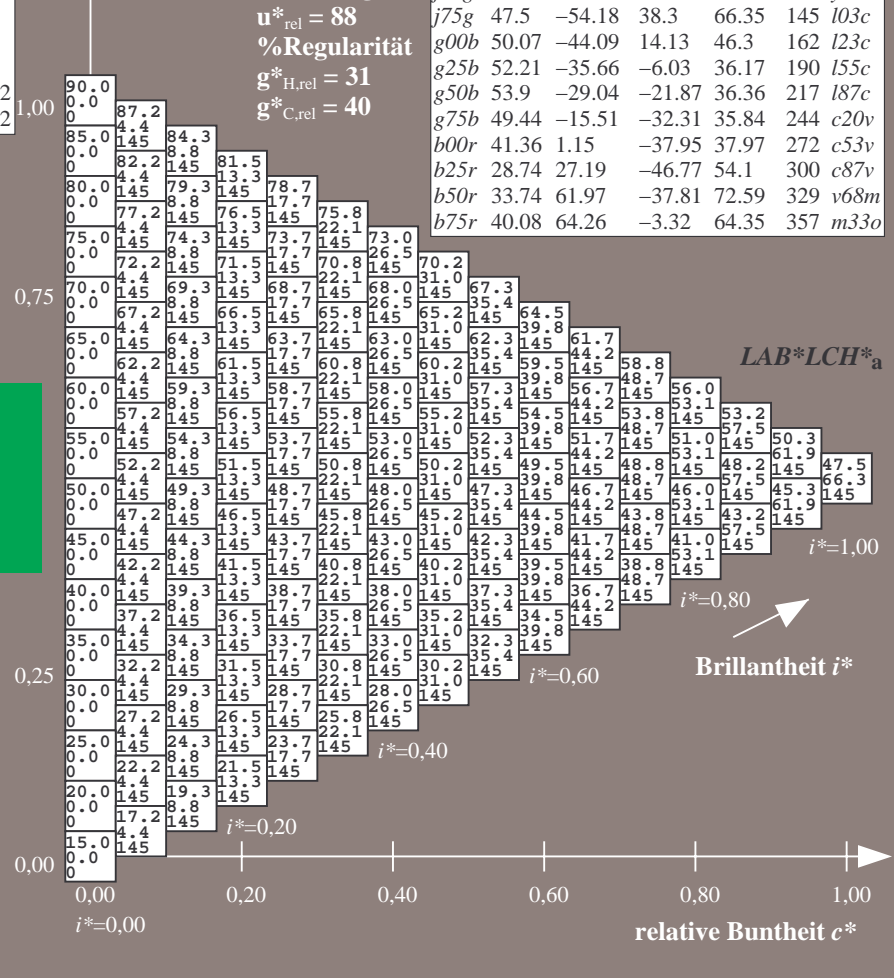
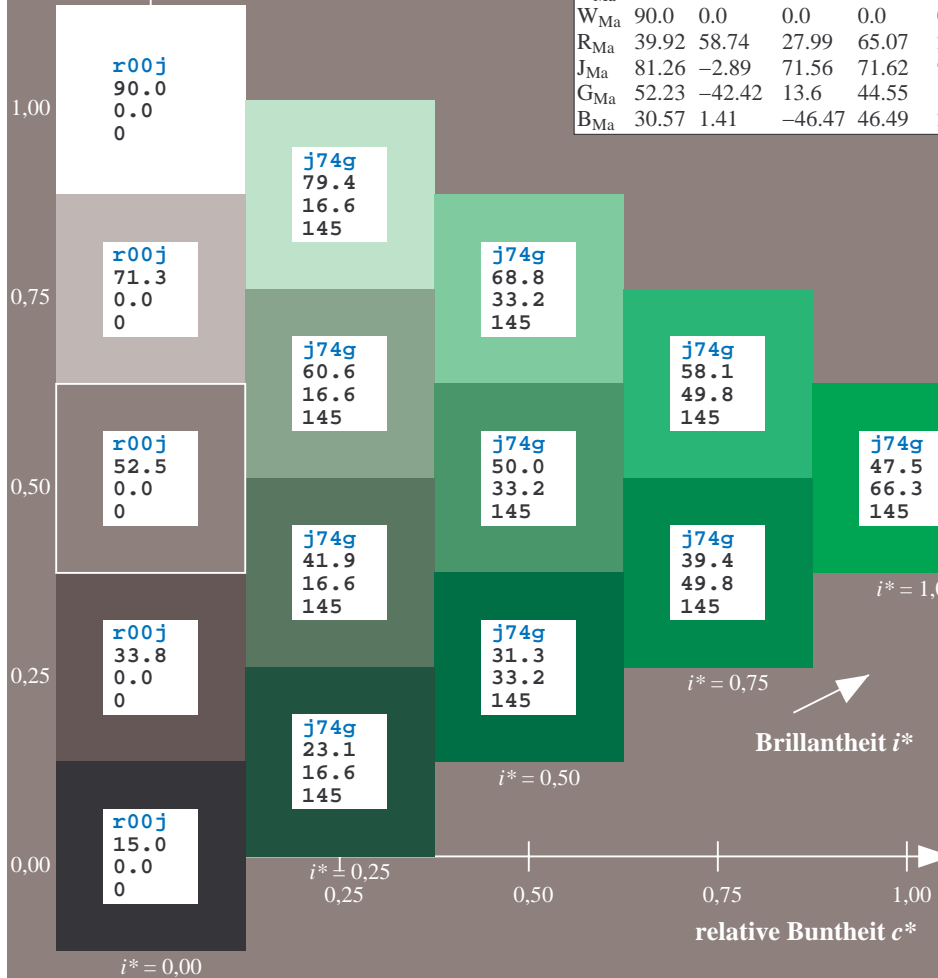
Brillantheit i^*

$i^* = 0.60$

$i^* = 0.40$

$i^* = 0.20$

$i^* = 0.00$



Ein und Ausgabe: Farbmatisches Drucker-Reflektiv-System FRS15_90a für relativen CIELAB-Bunton $h^* = lab^*h^* = h_{ab}/360 = 0.451$

$u^*_e = g00b$
 $LAB^*LCH^*_a$

Daten für jede Farbe:

lab^*tch^* und lab^*icu^*

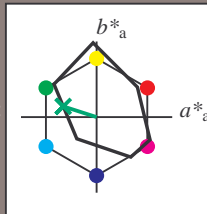
Buntontexte:

$u^*_e = g00b$ $u^*_d = l23c$

Kontrastreduzierungsfaktor:

$c_R = 0.9$

Dreiecks-Helligkeit t^*



FRS15_90a; adaptierte CIELAB-Daten

	u^*_e	$L^*=L^*_a$	a^*_a	b^*_a	$C^*_{ab,a}$	$h^*_{ab,a}$
O _{Ma}	38.8	53.92	39.68	66.95	36	
Y _{Ma}	82.58	-4.64	98.22	98.33	93	
L _{Ma}	46.95	-56.34	43.46	71.15	142	
C _{Ma}	54.62	-26.2	-28.68	38.85	228	
V _{Ma}	20.01	45.2	-52.87	69.56	311	
M _{Ma}	40.88	70.68	-29.99	76.78	337	
N _{Ma}	15.0	0.0	0.0	0.0	0	
W _{Ma}	90.0	0.0	0.0	0.0	0	
R _{Ma}	39.92	58.74	27.99	65.07	25	
J _{Ma}	81.26	-2.89	71.56	71.62	92	
G _{Ma}	52.23	-42.42	13.6	44.55	162	
B _{Ma}	30.57	1.41	-46.47	46.49	272	

Daten für Maximalfarbe (Ma):

$LAB^*LAB^*_Ma: 50 -44 14$

$LAB^*LCH^*_Ma: 50 46 162$

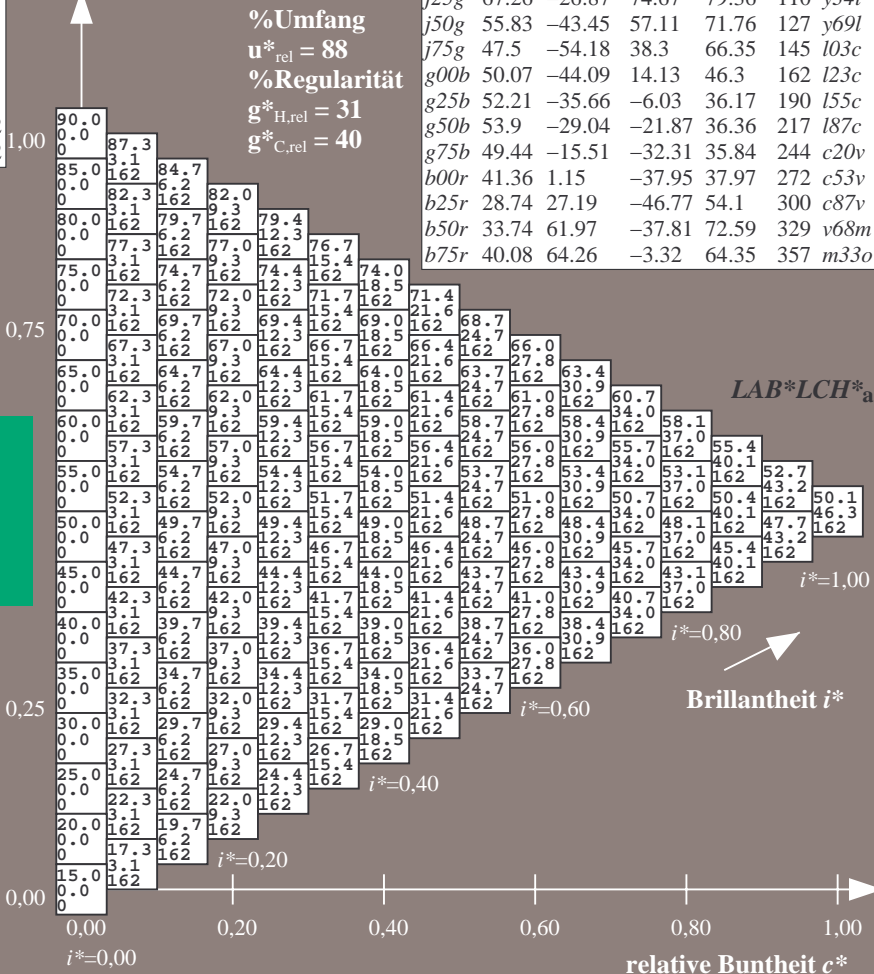
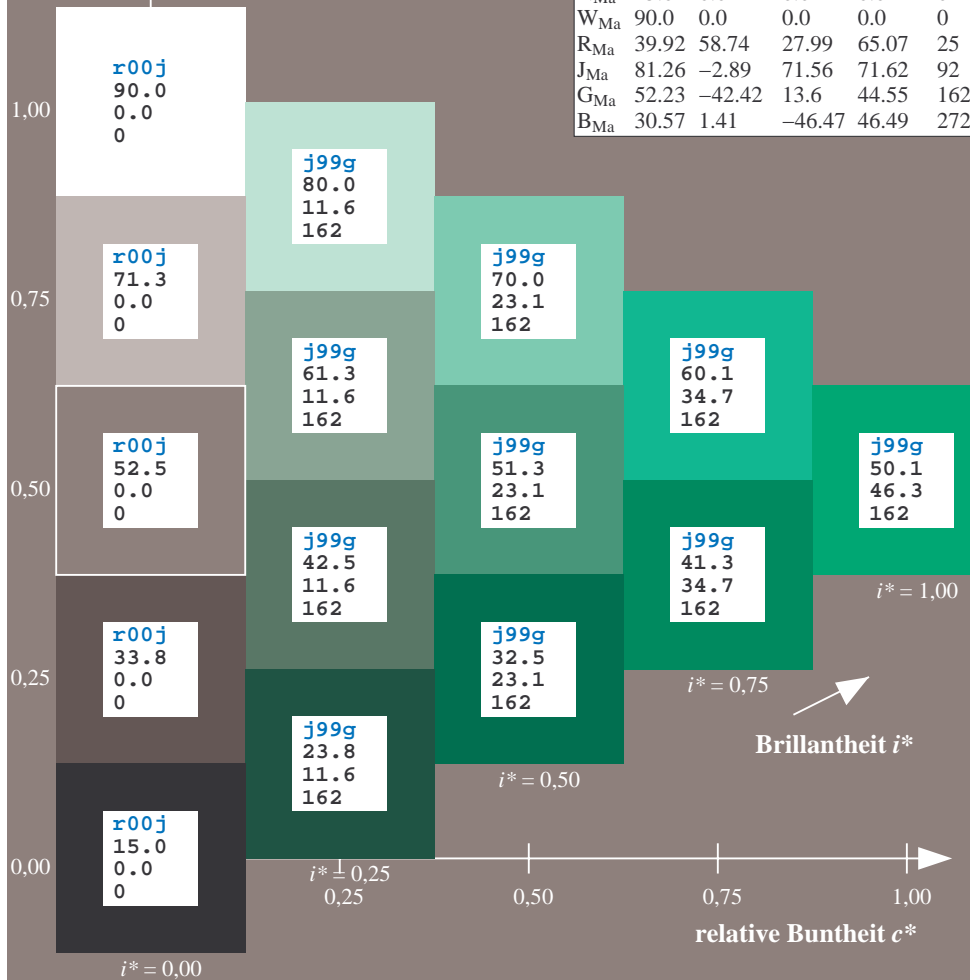
$lab^*rgb^*_Ma: 0.0 1.0 0.0$

$lab^*olv^*_Ma: 0.0 1.0 0.23$

Dreiecks-Helligkeit t^*

FRS15_90a; adaptierte CIELAB-Daten

	u^*_e	$L^*=L^*_a$	a^*_a	b^*_a	$C^*_{ab,a}$	$h^*_{ab,a}$	u^*_d
r00j	39.18	56.94	27.13	63.07	25	m81o	
r25j	42.41	49.1	44.5	66.26	42	o10y	
r50j	52.78	35.22	58.37	68.17	59	o40y	
r75j	64.82	19.12	74.47	76.89	76	o69y	
j00g	82.06	-3.94	97.52	97.6	92	o98y	
j25g	67.26	-26.87	74.67	79.36	110	y34l	
j50g	55.83	-43.45	57.11	71.76	127	y69l	
j75g	47.5	-54.18	38.3	66.35	145	l03c	
g00b	50.07	-44.09	14.13	46.3	162	l23c	
g25b	52.21	-35.66	-6.03	36.17	190	l55c	
g50b	53.9	-29.04	-21.87	36.36	217	l87c	
g75b	49.44	-15.51	-32.31	35.84	244	c20v	
b00r	41.36	1.15	-37.95	37.97	272	c53v	
b25r	28.74	27.19	-46.77	54.1	300	c87v	
b50r	33.74	61.97	-37.81	72.59	329	v68m	
b75r	40.08	64.26	-3.32	64.35	357	m33o	



Ein und Ausgabe: Farbmetrisches Drucker-Reflektiv-System FRS15_90a für relativen CIELAB-Bunton $h^* = lab^*h^* = h_{ab}/360 = 0.527$

$u^*_e = g25b$
 $LAB^*LCH^*_a$

Daten für jede Farbe:

lab^*tch^* und lab^*icu^*

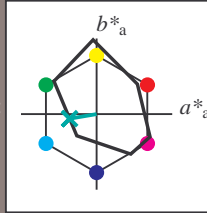
Buntontexte:

$u^*_e = g25b$ $u^*_d = l55c$

Kontrastreduzierungsfaktor:

$c_R = 0.9$

Dreiecks-Helligkeit t^*



FRS15_90a; adaptierte CIELAB-Daten

	u^*_e	$L^*=L^*_a$	a^*_a	b^*_a	$C^*_{ab,a}$	$h^*_{ab,a}$
O _{Ma}	38.8	53.92	39.68	66.95	36	
Y _{Ma}	82.58	-4.64	98.22	98.33	93	
L _{Ma}	46.95	-56.34	43.46	71.15	142	
C _{Ma}	54.62	-26.2	-28.68	38.85	228	
V _{Ma}	20.01	45.2	-52.87	69.56	311	
M _{Ma}	40.88	70.68	-29.99	76.78	337	
N _{Ma}	15.0	0.0	0.0	0.0	0	
W _{Ma}	90.0	0.0	0.0	0.0	0	
R _{Ma}	39.92	58.74	27.99	65.07	25	
J _{Ma}	81.26	-2.89	71.56	71.62	92	
G _{Ma}	52.23	-42.42	13.6	44.55	162	
B _{Ma}	30.57	1.41	-46.47	46.49	272	

Daten für Maximalfarbe (Ma):

$LAB^*LAB^*_Ma: 52 -36 -6$

$LAB^*LCH^*_Ma: 52 36 189$

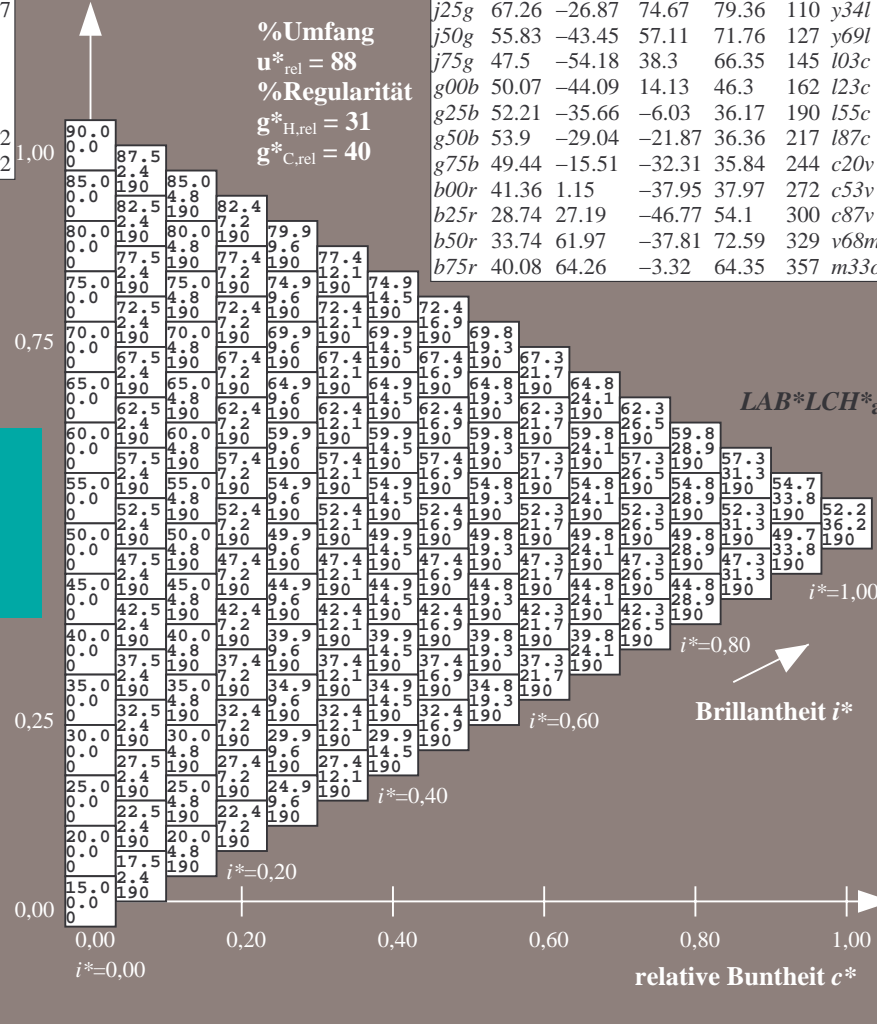
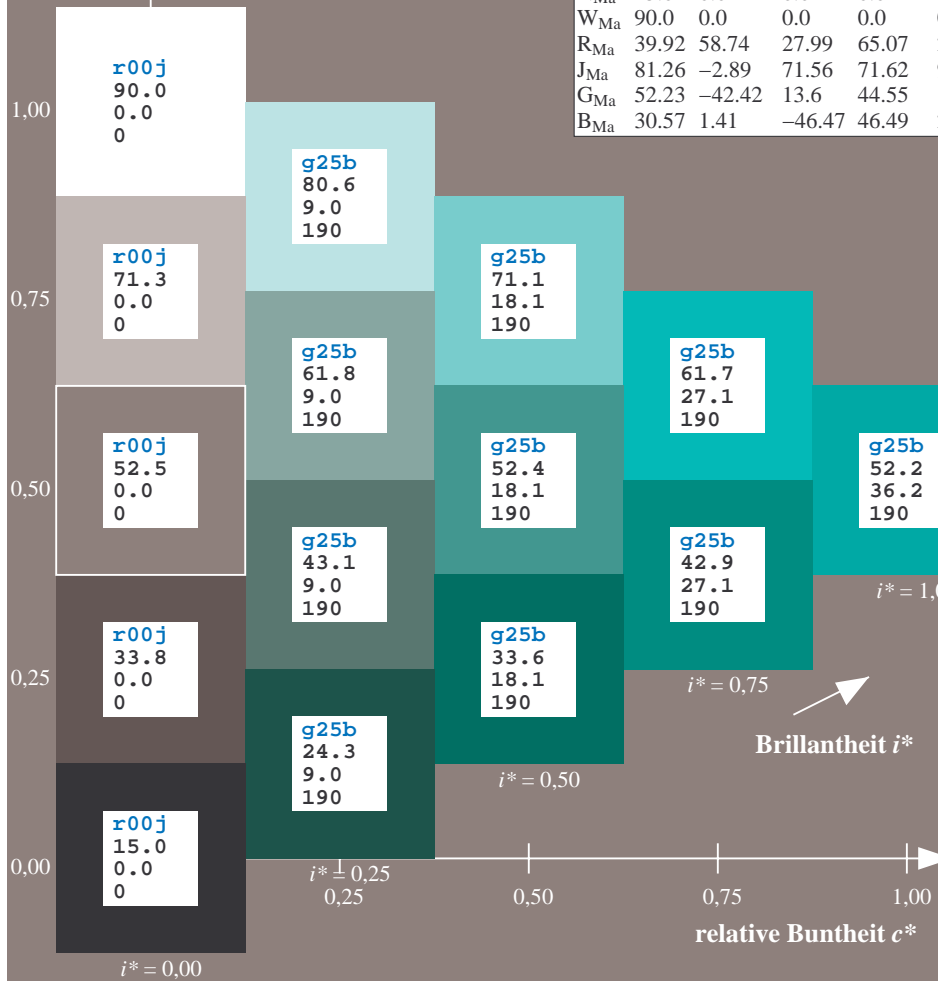
$lab^*rgb^*_Ma: 0.0 1.0 0.5$

$lab^*olv^*_Ma: 0.0 1.0 0.55$

Dreiecks-Helligkeit t^*

FRS15_90a; adaptierte CIELAB-Daten

	u^*_e	$L^*=L^*_a$	a^*_a	b^*_a	$C^*_{ab,a}$	$h^*_{ab,a}$	u^*_d
r00j	39.18	56.94	27.13	63.07	25	m81o	
r25j	42.41	49.1	44.5	66.26	42	o10y	
r50j	52.78	35.22	58.37	68.17	59	o40y	
r75j	64.82	19.12	74.47	76.89	76	o69y	
j00g	82.06	-3.94	97.52	97.6	92	o98y	
j25g	67.26	-26.87	74.67	79.36	110	y34l	
j50g	55.83	-43.45	57.11	71.76	127	y69l	
j75g	47.5	-54.18	38.3	66.35	145	l03c	
g00b	50.07	-44.09	14.13	46.3	162	l23c	
g25b	52.21	-35.66	-6.03	36.17	190	l55c	
g50b	53.9	-29.04	-21.87	36.36	217	l87c	
g75b	49.44	-15.51	-32.31	35.84	244	c20v	
b00r	41.36	1.15	-37.95	37.97	272	c53v	
b25r	28.74	27.19	-46.77	54.1	300	c87v	
b50r	33.74	61.97	-37.81	72.59	329	v68m	
b75r	40.08	64.26	-3.32	64.35	357	m33o	



%Umfang
 $u^*_{rel} = 88$
%Regularität
 $g^*_{H,rel} = 31$
 $g^*_{C,rel} = 40$

$LAB^*LCH^*_a$

Brillantheit i^*

relative Buntheit c^*

relative Buntheit c^*

Ein und Ausgabe: Farbmatisches Drucker-Reflektiv-System FRS15_90a für relativen CIELAB-Bunton $h^* = lab^*h^* = h_{ab}/360 = 0.603$

$u^*_e = g50b$
 $LAB^*LCH^*_a$

Daten für jede Farbe:

lab^*ch^* und lab^*icu^*

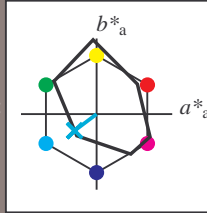
Buntontexte:

$u^*_e = g50b$ $u^*_d = l87c$

Kontrastreduzierungsfaktor:

$c_R = 0.9$

Dreiecks-Helligkeit t^*



FRS15_90a; adaptierte CIELAB-Daten

	u^*_e	$L^*=L^*_a$	a^*_a	b^*_a	$C^*_{ab,a}$	$h^*_{ab,a}$
O _{Ma}	38.8	53.92	39.68	66.95	36	
Y _{Ma}	82.58	-4.64	98.22	98.33	93	
L _{Ma}	46.95	-56.34	43.46	71.15	142	
C _{Ma}	54.62	-26.2	-28.68	38.85	228	
V _{Ma}	20.01	45.2	-52.87	69.56	311	
M _{Ma}	40.88	70.68	-29.99	76.78	337	
N _{Ma}	15.0	0.0	0.0	0.0	0	
W _{Ma}	90.0	0.0	0.0	0.0	0	
R _{Ma}	39.92	58.74	27.99	65.07	25	
J _{Ma}	81.26	-2.89	71.56	71.62	92	
G _{Ma}	52.23	-42.42	13.6	44.55	162	
B _{Ma}	30.57	1.41	-46.47	46.49	272	

Daten für Maximalfarbe (Ma):

$LAB^*LAB^*_Ma: 54 -29 -22$

$LAB^*LCH^*_Ma: 54 36 216$

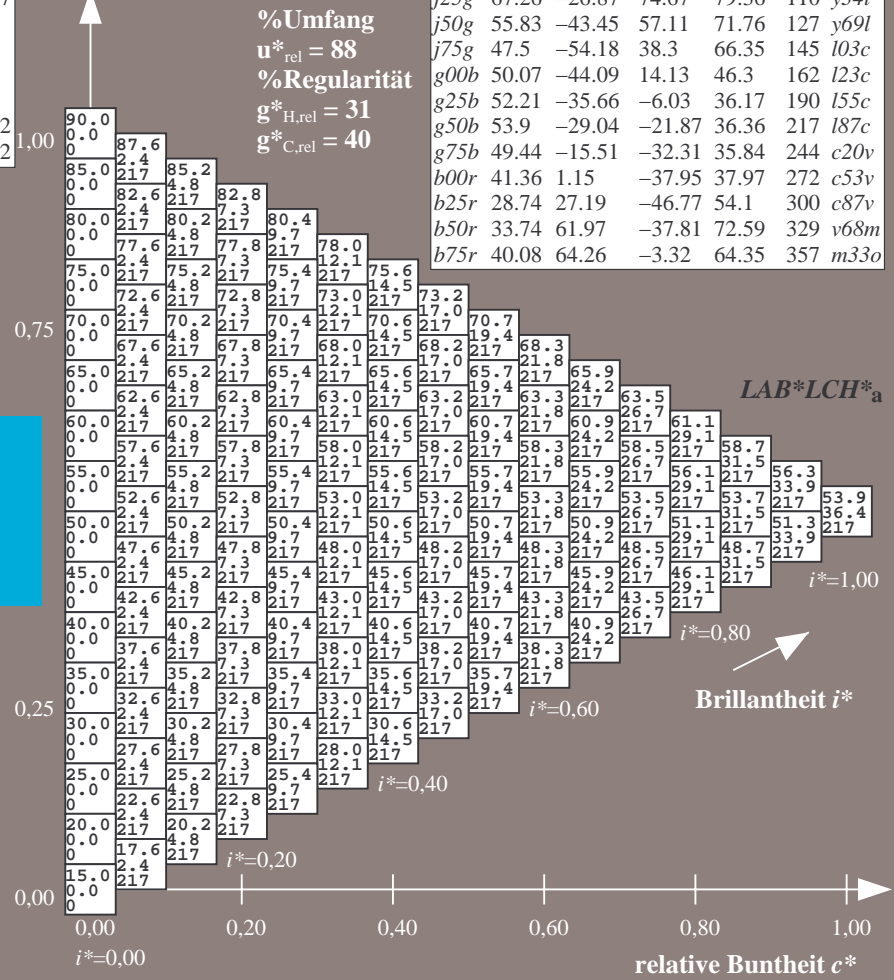
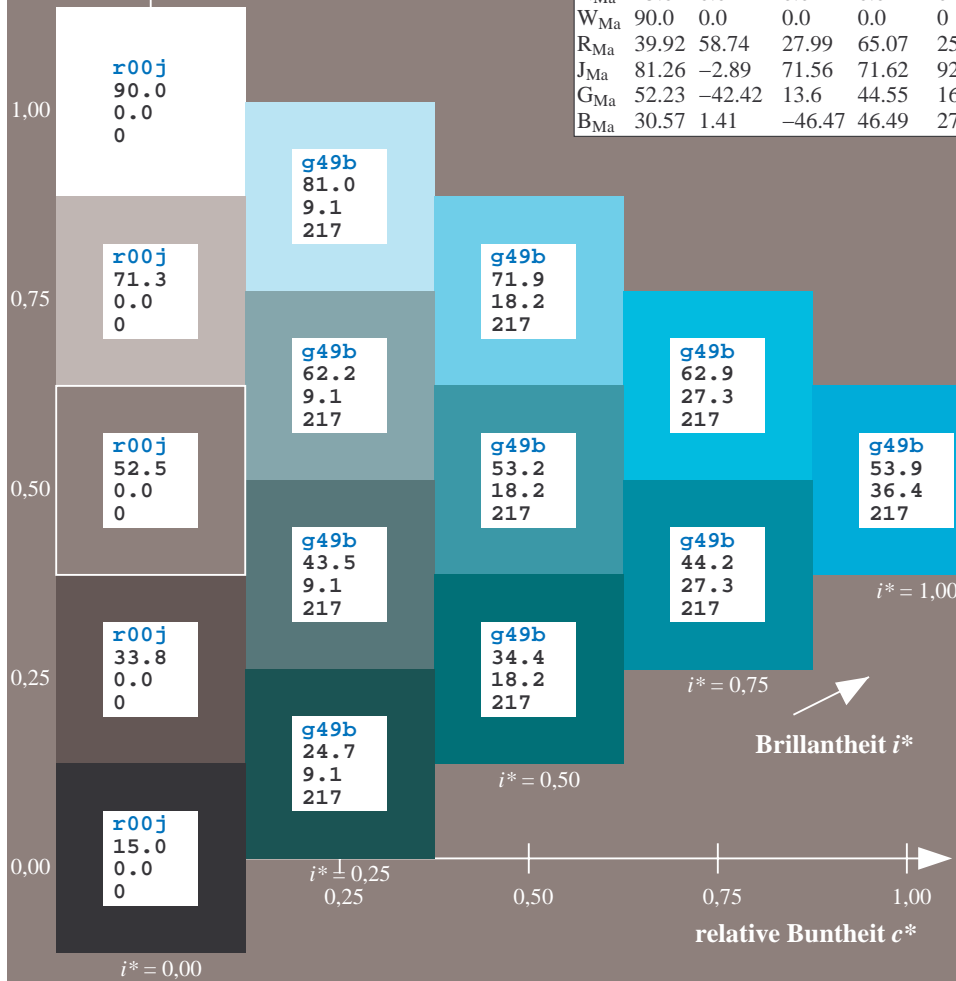
$lab^*rgb^*_Ma: 0.0 1.0 1.0$

$lab^*olv^*_Ma: 0.0 1.0 0.88$

Dreiecks-Helligkeit t^*

FRS15_90a; adaptierte CIELAB-Daten

	u^*_e	$L^*=L^*_a$	a^*_a	b^*_a	$C^*_{ab,a}$	$h^*_{ab,a}$	u^*_d
r00j	39.18	56.94	27.13	63.07	25	m81o	
r25j	42.41	49.1	44.5	66.26	42	o10y	
r50j	52.78	35.22	58.37	68.17	59	o40y	
r75j	64.82	19.12	74.47	76.89	76	o69y	
j00g	82.06	-3.94	97.52	97.6	92	o98y	
j25g	67.26	-26.87	74.67	79.36	110	y34l	
j50g	55.83	-43.45	57.11	71.76	127	y69l	
j75g	47.5	-54.18	38.3	66.35	145	l03c	
g00b	50.07	-44.09	14.13	46.3	162	l23c	
g25b	52.21	-35.66	-6.03	36.17	190	l55c	
g50b	53.9	-29.04	-21.87	36.36	217	l87c	
g75b	49.44	-15.51	-32.31	35.84	244	c20v	
b00r	41.36	1.15	-37.95	37.97	272	c53v	
b25r	28.74	27.19	-46.77	54.1	300	c87v	
b50r	33.74	61.97	-37.81	72.59	329	v68m	
b75r	40.08	64.26	-3.32	64.35	357	m33o	



Ein und Ausgabe: Farbmatisches Drucker-Reflektiv-System FRS15_90a für relativen CIELAB-Bunton $h^* = lab^*h^* = h_{ab}/360 = 0.679$

$u^*_e = g75b$
 $LAB^*LCH^*_a$

Daten für jede Farbe:

lab^*tch^* und lab^*icu^*

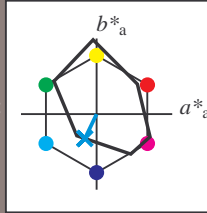
Buntontexte:

$u^*_e = g75b$ $u^*_d = c20v$

Kontrastreduzierungsfaktor:

$c_R = 0.9$

Dreiecks-Helligkeit t^*



FRS15_90a; adaptierte CIELAB-Daten

	u^*_e	$L^*=L^*_a$	a^*_a	b^*_a	$C^*_{ab,a}$	$h^*_{ab,a}$
O _{Ma}	38.8	53.92	39.68	66.95	36	
Y _{Ma}	82.58	-4.64	98.22	98.33	93	
L _{Ma}	46.95	-56.34	43.46	71.15	142	
C _{Ma}	54.62	-26.2	-28.68	38.85	228	
V _{Ma}	20.01	45.2	-52.87	69.56	311	
M _{Ma}	40.88	70.68	-29.99	76.78	337	
N _{Ma}	15.0	0.0	0.0	0.0	0	
W _{Ma}	90.0	0.0	0.0	0.0	0	
R _{Ma}	39.92	58.74	27.99	65.07	25	
J _{Ma}	81.26	-2.89	71.56	71.62	92	
G _{Ma}	52.23	-42.42	13.6	44.55	162	
B _{Ma}	30.57	1.41	-46.47	46.49	272	

Daten für Maximalfarbe (Ma):

$LAB^*LAB^*_Ma: 49 -16 -32$

$LAB^*LCH^*_Ma: 49 36 244$

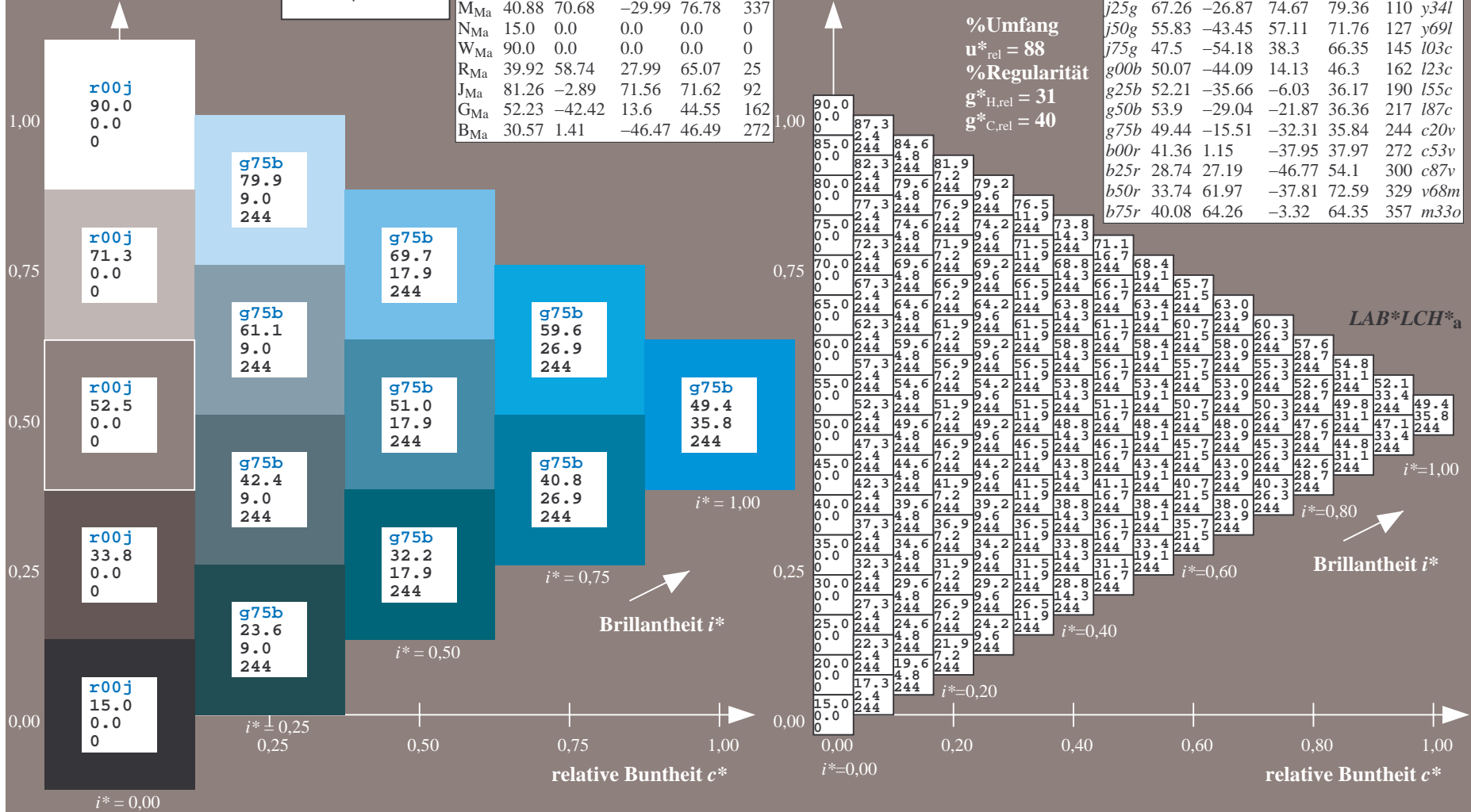
$lab^*rgb^*_Ma: 0.0 0.5 1.0$

$lab^*olv^*_Ma: 0.0 0.8 1.0$

Dreiecks-Helligkeit t^*

FRS15_90a; adaptierte CIELAB-Daten

	u^*_e	$L^*=L^*_a$	a^*_a	b^*_a	$C^*_{ab,a}$	$h^*_{ab,a}$	u^*_d
r00j	39.18	56.94	27.13	63.07	25	m81o	
r25j	42.41	49.1	44.5	66.26	42	o10y	
r50j	52.78	35.22	58.37	68.17	59	o40y	
r75j	64.82	19.12	74.47	76.89	76	o69y	
j00g	82.06	-3.94	97.52	97.6	92	o98y	
j25g	67.26	-26.87	74.67	79.36	110	y34l	
j50g	55.83	-43.45	57.11	71.76	127	y69l	
j75g	47.5	-54.18	38.3	66.35	145	l03c	
g00b	50.07	-44.09	14.13	46.3	162	l23c	
g25b	52.21	-35.66	-6.03	36.17	190	l55c	
g50b	53.9	-29.04	-21.87	36.36	217	l87c	
g75b	49.44	-15.51	-32.31	35.84	244	c20v	
b00r	41.36	1.15	-37.95	37.97	272	c53v	
b25r	28.74	27.19	-46.77	51.1	300	c87v	
b50r	33.74	61.97	-37.81	72.59	329	v68m	
b75r	40.08	64.26	-3.32	64.35	357	m33o	



Ein und Ausgabe: Farbmetrisches Drucker-Reflektiv-System FRS15_90a für relativen CIELAB-Bunton $h^* = lab^*h^* = h_{ab}/360 = 0.755$

$u^*_e = b00r$
 $LAB^*LCH^*_a$

Daten für jede Farbe:

lab^*tch^* und lab^*icu^*

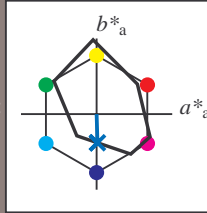
Buntontexte:

$u^*_e = b00r$ $u^*_d = c53v$

Kontrastreduzierungsfaktor:

$c_R = 0.9$

Dreiecks-Helligkeit t^*



FRS15_90a; adaptierte CIELAB-Daten

	u^*_e	$L^*=L^*_a$	a^*_a	b^*_a	$C^*_{ab,a}$	$h^*_{ab,a}$
O _{Ma}	38.8	53.92	39.68	66.95	36	
Y _{Ma}	82.58	-4.64	98.22	98.33	93	
L _{Ma}	46.95	-56.34	43.46	71.15	142	
C _{Ma}	54.62	-26.2	-28.68	38.85	228	
V _{Ma}	20.01	45.2	-52.87	69.56	311	
M _{Ma}	40.88	70.68	-29.99	76.78	337	
N _{Ma}	15.0	0.0	0.0	0.0	0	
W _{Ma}	90.0	0.0	0.0	0.0	0	
R _{Ma}	39.92	58.74	27.99	65.07	25	
J _{Ma}	81.26	-2.89	71.56	71.62	92	
G _{Ma}	52.23	-42.42	13.6	44.55	162	
B _{Ma}	30.57	1.41	-46.47	46.49	272	

Daten für Maximalfarbe (Ma):

$LAB^*LAB^*_Ma: 41 \ 1 \ -38$

$LAB^*LCH^*_Ma: 41 \ 38 \ 271$

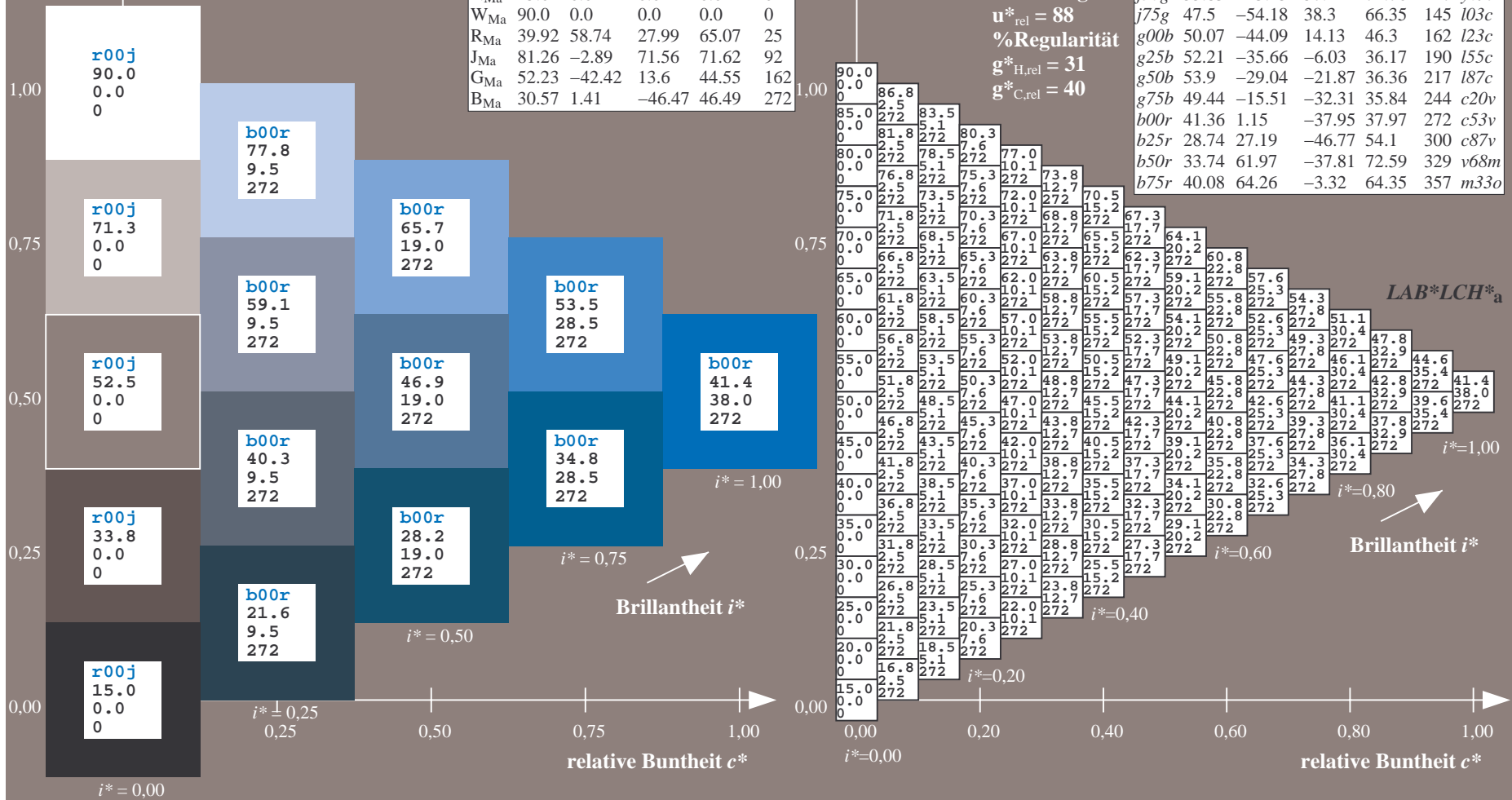
$lab^*rgb^*_Ma: 0.0 \ 0.0 \ 1.0$

$lab^*olv^*_Ma: 0.0 \ 0.47 \ 1.0$

Dreiecks-Helligkeit t^*

FRS15_90a; adaptierte CIELAB-Daten

	u^*_e	$L^*=L^*_a$	a^*_a	b^*_a	$C^*_{ab,a}$	$h^*_{ab,a}$	u^*_d
r00j	39.18	56.94	27.13	63.07	25	m81o	
r25j	42.41	49.1	44.5	66.26	42	o10y	
r50j	52.78	35.22	58.37	68.17	59	o40y	
r75j	64.82	19.12	74.47	76.89	76	o69y	
j00g	82.06	-3.94	97.52	97.6	92	o98y	
j25g	67.26	-26.87	74.67	79.36	110	y34l	
j50g	55.83	-43.45	57.11	71.76	127	y69l	
j75g	47.5	-54.18	38.3	66.35	145	l03c	
g00b	50.07	-44.09	14.13	46.3	162	i23c	
g25b	52.21	-35.66	-6.03	36.17	190	i55c	
g50b	53.9	-29.04	-21.87	36.36	217	i87c	
g75b	49.44	-15.51	-32.31	35.84	244	c20v	
b00r	41.36	1.15	-37.95	37.97	272	c53v	
b25r	28.74	27.19	-46.77	54.1	300	c87v	
b50r	33.74	61.97	-37.81	72.59	329	v68m	
b75r	40.08	64.26	-3.32	64.35	357	m33o	



%Umfang
 $u^*_{rel} = 88$
%Regularität
 $g^*_{H,rel} = 31$
 $g^*_{C,rel} = 40$

$LAB^*LCH^*_a$

$i^* = 1.00$

$i^* = 0.80$

$i^* = 0.60$

$i^* = 0.40$

$i^* = 0.20$

Ein und Ausgabe: Farbmatisches Drucker-Reflektiv-System FRS15_90a für relativen CIELAB-Bunton $h^* = lab^*h^* = h_{ab}/360 = 0.834$

$u^*_e = b25r$
 $LAB^*LCH^*_a$

Daten für jede Farbe:

lab^*tch^* und lab^*icu^*

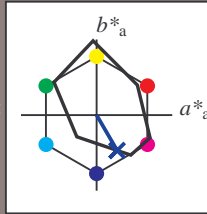
Buntontexte:

$u^*_e = b25r$ $u^*_d = c87v$

Kontrastreduzierungsfaktor:

$c_R = 0.9$

Dreiecks-Helligkeit t^*



FRS15_90a; adaptierte CIELAB-Daten

	u^*_e	$L^*=L^*_a$	a^*_a	b^*_a	$C^*_{ab,a}$	$h^*_{ab,a}$
O _{Ma}	38.8	53.92	39.68	66.95	36	
Y _{Ma}	82.58	-4.64	98.22	98.33	93	
L _{Ma}	46.95	-56.34	43.46	71.15	142	
C _{Ma}	54.62	-26.2	-28.68	38.85	228	
V _{Ma}	20.01	45.2	-52.87	69.56	311	
M _{Ma}	40.88	70.68	-29.99	76.78	337	
N _{Ma}	15.0	0.0	0.0	0.0	0	
W _{Ma}	90.0	0.0	0.0	0.0	0	
R _{Ma}	39.92	58.74	27.99	65.07	25	
J _{Ma}	81.26	-2.89	71.56	71.62	92	
G _{Ma}	52.23	-42.42	13.6	44.55	162	
B _{Ma}	30.57	1.41	-46.47	46.49	272	

Daten für Maximalfarbe (Ma):

$LAB^*LAB^*_Ma: 29\ 27\ -47$

$LAB^*LCH^*_Ma: 29\ 54\ 300$

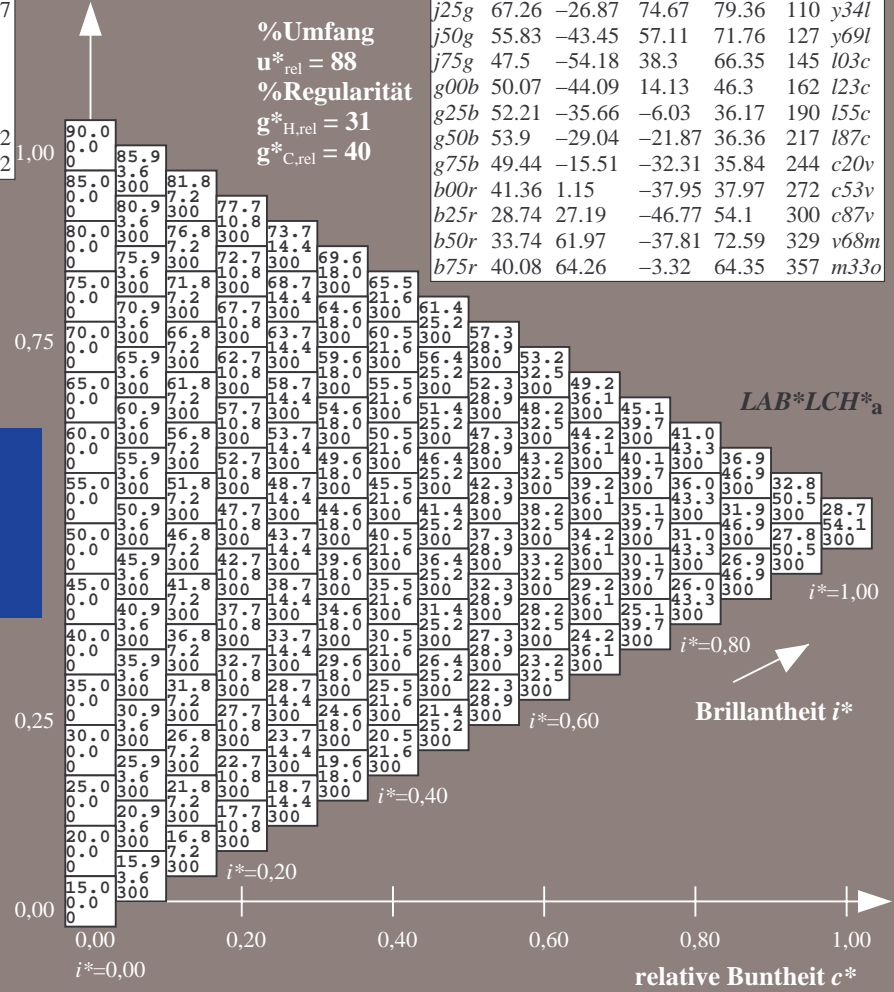
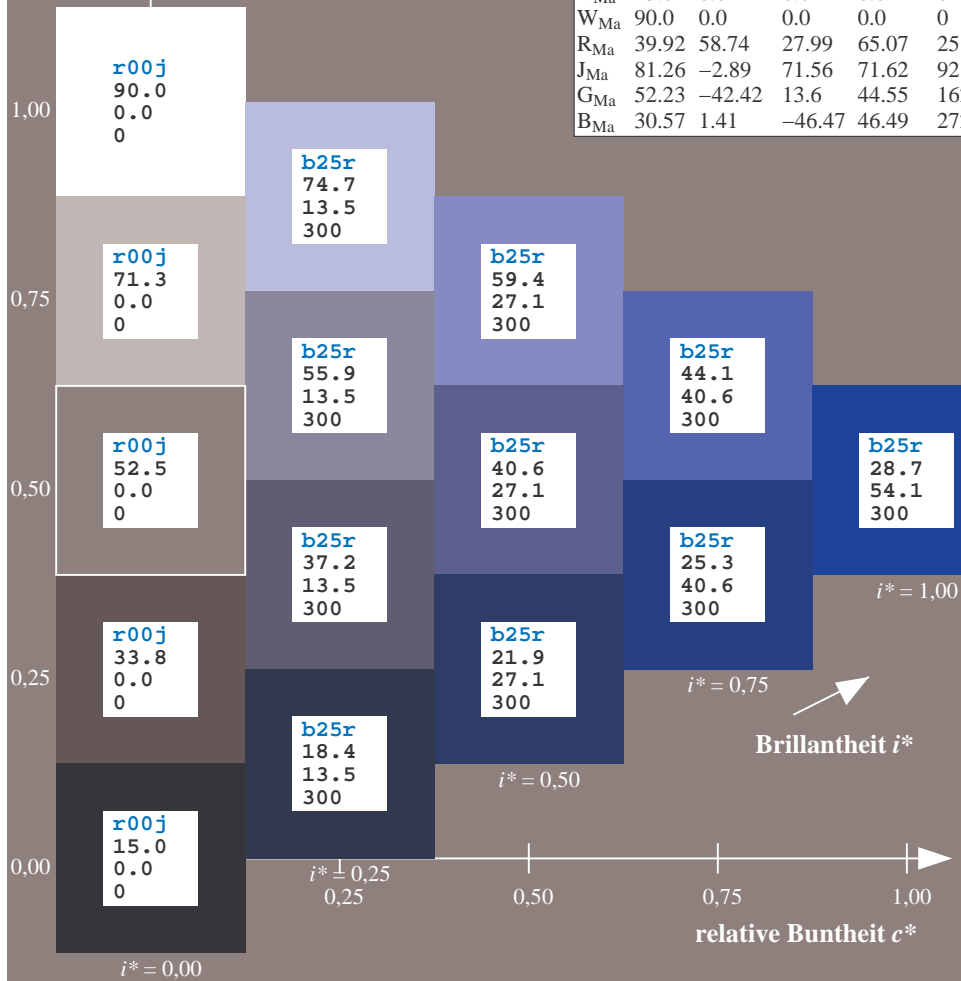
$lab^*rgb^*_Ma: 0.5\ 0.0\ 1.0$

$lab^*olv^*_Ma: 0.0\ 0.12\ 1.0$

Dreiecks-Helligkeit t^*

FRS15_90a; adaptierte CIELAB-Daten

	u^*_e	$L^*=L^*_a$	a^*_a	b^*_a	$C^*_{ab,a}$	$h^*_{ab,a}$	u^*_d
r00j	39.18	56.94	27.13	63.07	25	m81o	
r25j	42.41	49.1	44.5	66.26	42	o10y	
r50j	52.78	35.22	58.37	68.17	59	o40y	
r75j	64.82	19.12	74.47	76.89	76	o69y	
j00g	82.06	-3.94	97.52	97.6	92	o98y	
j25g	67.26	-26.87	74.67	79.36	110	y34l	
j50g	55.83	-43.45	57.11	71.76	127	y69l	
j75g	47.5	-54.18	38.3	66.35	145	i03c	
g00b	50.07	-44.09	14.13	46.3	162	i23c	
g25b	52.21	-35.66	-6.03	36.17	190	i55c	
g50b	53.9	-29.04	-21.87	36.36	217	i87c	
g75b	49.44	-15.51	-32.31	35.84	244	c20v	
b00r	41.36	1.15	-37.95	37.97	272	c53v	
b25r	28.74	27.19	-46.77	54.1	300	c87v	
b50r	33.74	61.97	-37.81	72.59	329	v68m	
b75r	40.08	64.26	-3.32	64.35	357	m33o	



Ein und Ausgabe: Farbmatisches Drucker-Reflektiv-System FRS15_90a für relativen CIELAB-Bunton $h^* = lab^*h^* = h_{ab}/360 = 0.913$

$u^*_e = b50r$
 $LAB^*LCH^*_a$

Daten für jede Farbe:

lab^*tch^* und lab^*icu^*

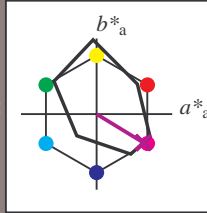
Buntontexte:

$u^*_e = b50r$ $u^*_d = v68m$

Kontrastreduzierungsfaktor:

$c_R = 0.9$

Dreiecks-Helligkeit t^*



FRS15_90a; adaptierte CIELAB-Daten

	u^*_e	$L^*=L^*_a$	a^*_a	b^*_a	$C^*_{ab,a}$	$h^*_{ab,a}$
O _{Ma}	38.8	53.92	39.68	66.95	36	
Y _{Ma}	82.58	-4.64	98.22	98.33	93	
L _{Ma}	46.95	-56.34	43.46	71.15	142	
C _{Ma}	54.62	-26.2	-28.68	38.85	228	
V _{Ma}	20.01	45.2	-52.87	69.56	311	
M _{Ma}	40.88	70.68	-29.99	76.78	337	
N _{Ma}	15.0	0.0	0.0	0.0	0	
W _{Ma}	90.0	0.0	0.0	0.0	0	
R _{Ma}	39.92	58.74	27.99	65.07	25	
J _{Ma}	81.26	-2.89	71.56	71.62	92	
G _{Ma}	52.23	-42.42	13.6	44.55	162	
B _{Ma}	30.57	1.41	-46.47	46.49	272	

Daten für Maximalfarbe (Ma):

$LAB^*LAB^*_Ma: 34\ 62\ -38$

$LAB^*LCH^*_Ma: 34\ 73\ 328$

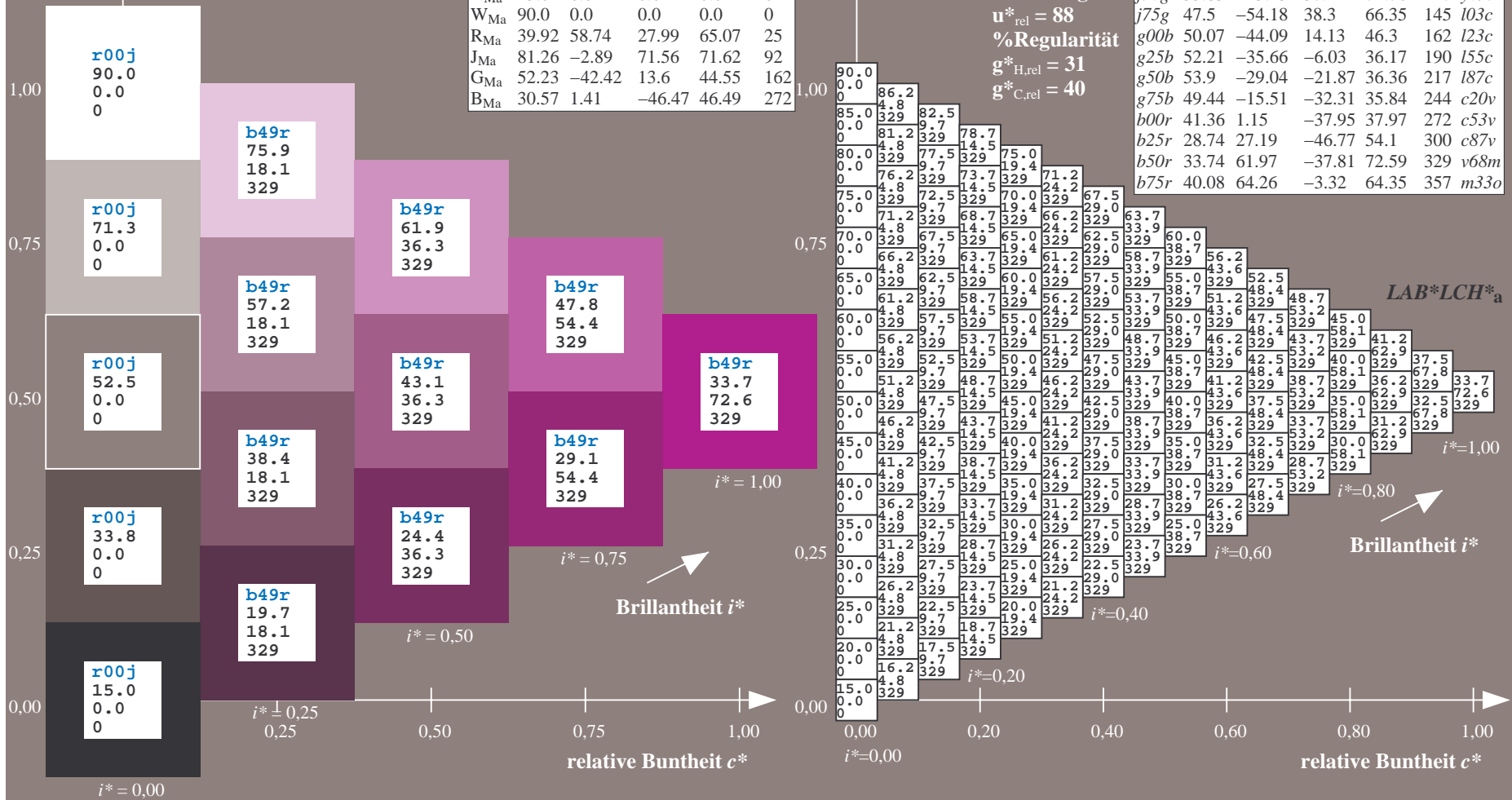
$lab^*rgb^*_Ma: 1.0\ 0.0\ 1.0$

$lab^*olv^*_Ma: 0.68\ 0.0\ 1.0$

Dreiecks-Helligkeit t^*

FRS15_90a; adaptierte CIELAB-Daten

	u^*_e	$L^*=L^*_a$	a^*_a	b^*_a	$C^*_{ab,a}$	$h^*_{ab,a}$	u^*_d
r00j	39.18	56.94	27.13	63.07	25	m81o	
r25j	42.41	49.1	44.5	66.26	42	o10y	
r50j	52.78	35.22	58.37	68.17	59	o40y	
r75j	64.82	19.12	74.47	76.89	76	o69y	
j00g	82.06	-3.94	97.52	97.6	92	o98y	
j25g	67.26	-26.87	74.67	79.36	110	y34l	
j50g	55.83	-43.45	57.11	71.76	127	y69l	
j75g	47.5	-54.18	38.3	66.35	145	l03c	
g00b	50.07	-44.09	14.13	46.3	162	l23c	
g25b	52.21	-35.66	-6.03	36.17	190	l55c	
g50b	53.9	-29.04	-21.87	36.36	217	l87c	
g75b	49.44	-15.51	-32.31	35.84	244	c20v	
b00r	41.36	1.15	-37.95	37.97	272	c53v	
b25r	28.74	27.19	-46.77	54.1	300	c87v	
b50r	33.74	61.97	-37.81	72.59	329	v68m	
b75r	40.08	64.26	-3.32	64.35	357	m33o	



Ein und Ausgabe: Farbmatisches Drucker-Reflektiv-System FRS15_90a für relativen CIELAB-Bunton $h^* = lab \cdot h^* = h_{ab}/360 = 0.992$

$u^*_e = b75r$
 $LAB \cdot LCH^*_a$

Daten für jede Farbe:

$lab \cdot tch^*$ und $lab \cdot icu^*$

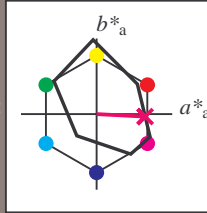
Buntontexte:

$u^*_e = b75r$ $u^*_d = m33o$

Kontrastreduzierungsfaktor:

$c_R = 0.9$

Dreiecks-Helligkeit t^*



FRS15_90a; adaptierte CIELAB-Daten

	u^*_e	$L^*=L^*_a$	a^*_a	b^*_a	$C^*_{ab,a}$	$h^*_{ab,a}$
O _{Ma}	38.8	53.92	39.68	66.95	36	
Y _{Ma}	82.58	-4.64	98.22	98.33	93	
L _{Ma}	46.95	-56.34	43.46	71.15	142	
C _{Ma}	54.62	-26.2	-28.68	38.85	228	
V _{Ma}	20.01	45.2	-52.87	69.56	311	
M _{Ma}	40.88	70.68	-29.99	76.78	337	
N _{Ma}	15.0	0.0	0.0	0.0	0	
W _{Ma}	90.0	0.0	0.0	0.0	0	
R _{Ma}	39.92	58.74	27.99	65.07	25	
J _{Ma}	81.26	-2.89	71.56	71.62	92	
G _{Ma}	52.23	-42.42	13.6	44.55	162	
B _{Ma}	30.57	1.41	-46.47	46.49	272	

Daten für Maximalfarbe (Ma):

$LAB \cdot LAB^*_Ma: 40 \ 64 \ -3$

$LAB \cdot LCH^*_Ma: 40 \ 64 \ 357$

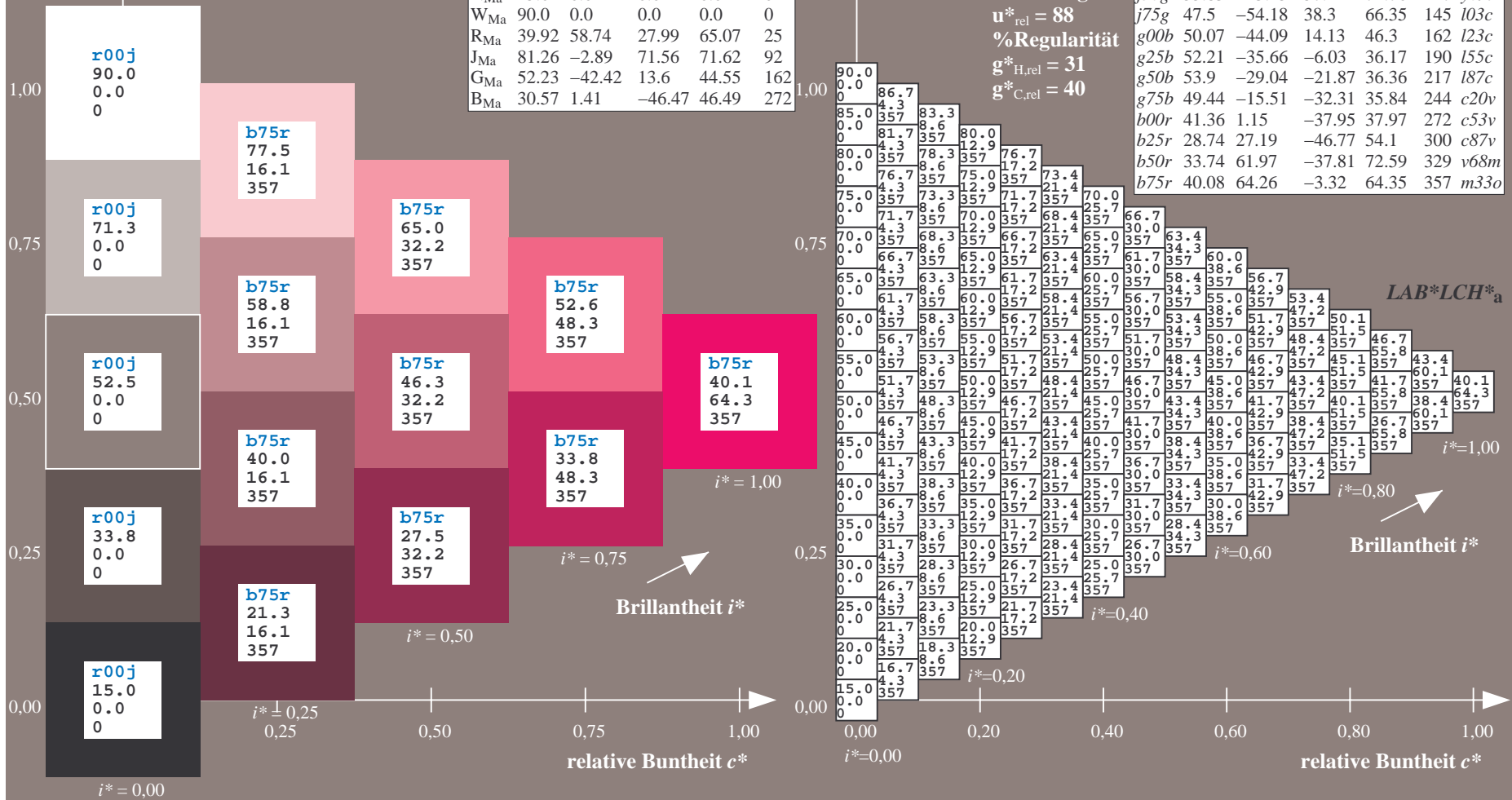
$lab \cdot rgb^*_Ma: 1.0 \ 0.0 \ 0.5$

$lab \cdot olv^*_Ma: 1.0 \ 0.0 \ 0.66$

Dreiecks-Helligkeit t^*

FRS15_90a; adaptierte CIELAB-Daten

	u^*_e	$L^*=L^*_a$	a^*_a	b^*_a	$C^*_{ab,a}$	$h^*_{ab,a}$	u^*_d
r00j	39.18	56.94	27.13	63.07	25	m81o	
r25j	42.41	49.1	44.5	66.26	42	o10y	
r50j	52.78	35.22	58.37	68.17	59	o40y	
r75j	64.82	19.12	74.47	76.89	76	o69y	
j00g	82.06	-3.94	97.52	97.6	92	o98y	
j25g	67.26	-26.87	74.67	79.36	110	y34l	
j50g	55.83	-43.45	57.11	71.76	127	y69l	
j75g	47.5	-54.18	38.3	66.35	145	l03c	
g00b	50.07	-44.09	14.13	46.3	162	l23c	
g25b	52.21	-35.66	-6.03	36.17	190	l55c	
g50b	53.9	-29.04	-21.87	36.36	217	l87c	
g75b	49.44	-15.51	-32.31	35.84	244	c20v	
b00r	41.36	1.15	-37.95	37.97	272	c53v	
b25r	28.74	27.19	-46.77	54.1	300	c87v	
b50r	33.74	61.97	-37.81	72.59	329	v68m	
b75r	40.08	64.26	-3.32	64.35	357	m33o	



Ein und Ausgabe:
Farbmetrisches Drucker-Reflektiv-System FRS15_90a

Daten für jede Farbe:

u^*_e und Nummer $Nr. = 00 \dots 15$

Elementar-Bunttextext:

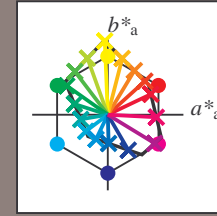
$u^*_e = 16$ Bunttoene $r00j, r25j, \dots, b75r$

Kontrastreduzierungsfaktor:

$c_R = 0.9$

FRS15_90a; adaptierte CIELAB-Daten

u^*_e	$L^*=L^*_a$	a^*_a	b^*_a	$C^*_{ab,a}$	$h^*_{ab,a}$	u^*_d
r00j	39.18	56.94	27.13	63.07	25	m81o
r25j	42.41	49.1	44.5	66.26	42	o10y
r50j	52.78	35.22	58.37	68.17	59	o40y
r75j	64.82	19.12	74.47	76.89	76	o69y
j00g	82.06	-3.94	97.52	97.6	92	o98y
j25g	67.26	-26.87	74.67	79.36	110	y34l
j50g	55.83	-43.45	57.11	71.76	127	y69l
j75g	47.5	-54.18	38.3	66.35	145	l03c
g00b	50.07	-44.09	14.13	46.3	162	l23c
g25b	52.21	-35.66	-6.03	36.17	190	l55c
g50b	53.9	-29.04	-21.87	36.36	217	l87c
g75b	49.44	-15.51	-32.31	35.84	244	c20v
b00r	41.36	1.15	-37.95	37.97	272	c53v
b25r	28.74	27.19	-46.77	54.1	300	c87v
b50r	33.74	61.97	-37.81	72.59	329	v68m
b75r	40.08	64.26	-3.32	64.35	357	m33o



%Umfang

$u^*_{rel} = 88$

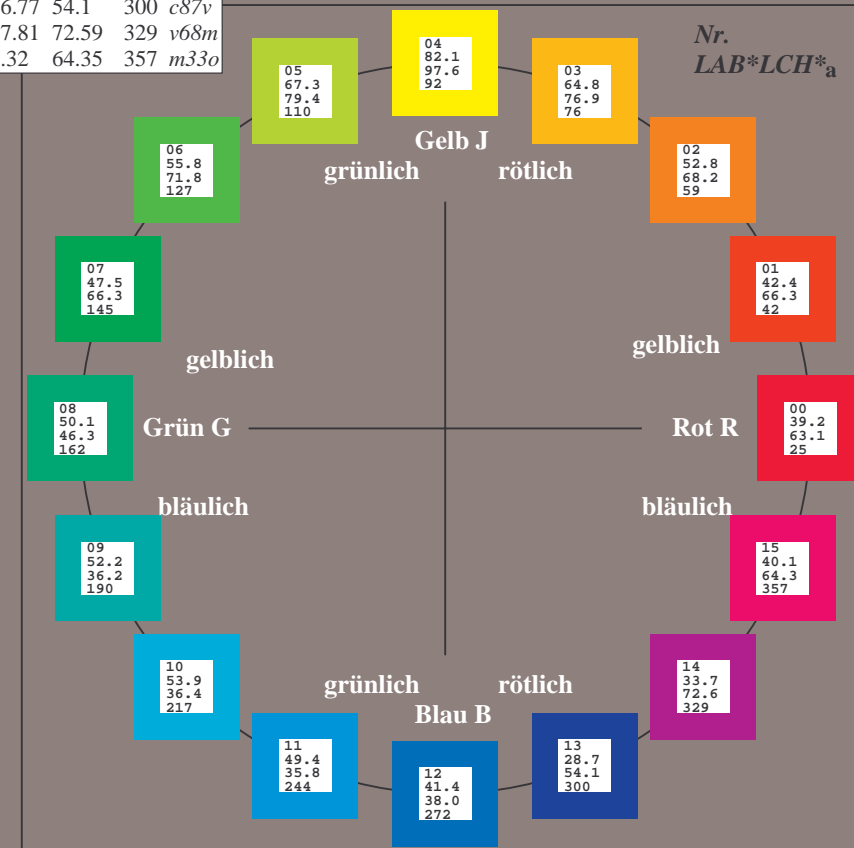
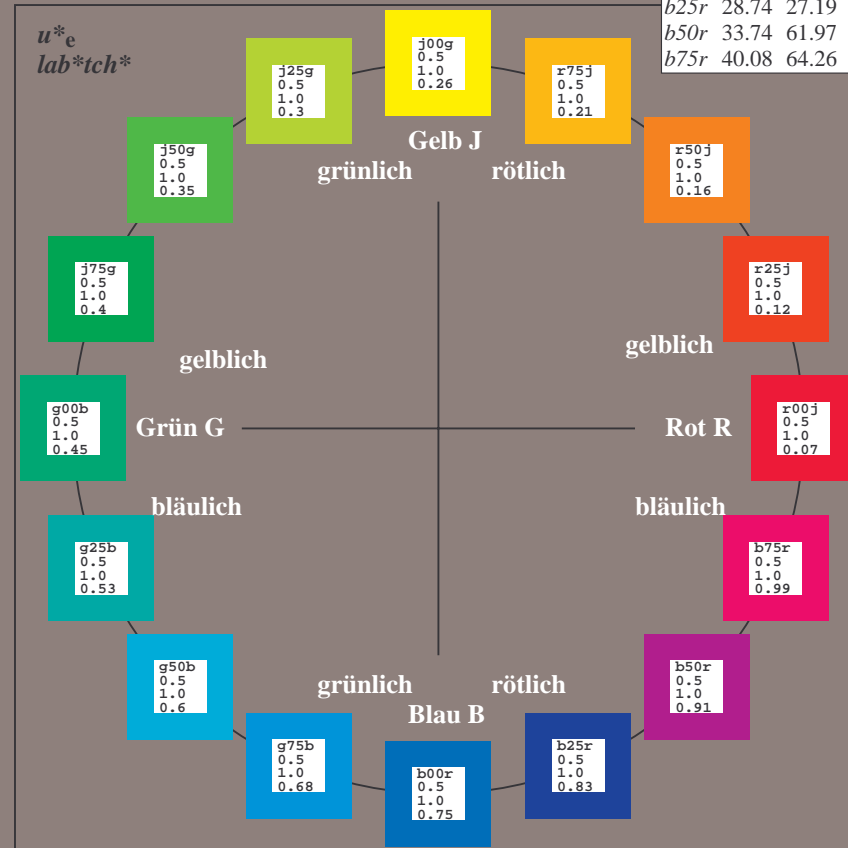
%Regularität

$g^*_{H,rel} = 31$

$g^*_{C,rel} = 40$

FRS15_90a; adaptierte CIELAB-Daten

Name	$L^*=L^*_a$	a^*_a	b^*_a	$C^*_{ab,a}$	$h^*_{ab,a}$
OMa	38.8	53.92	39.68	66.95	36
YMa	82.58	-4.64	98.22	98.33	93
LMa	46.95	-56.34	43.46	71.15	142
CMa	54.62	-26.2	-28.68	38.85	228
VMa	20.01	45.2	-52.87	69.56	311
MMa	40.88	70.68	-29.99	76.78	337
NMa	15.0	0.0	0.0	0.0	0
WMa	90.0	0.0	0.0	0.0	0
RCIE	39.92	58.74	27.99	65.07	25
JCIE	81.26	-2.89	71.56	71.62	92
GCIE	52.23	-42.42	13.6	44.55	162
BCIE	30.57	1.41	-46.47	46.49	272



Ein und Ausgabe: Farbmatisches Drucker-Reflektiv-System FRS15_90a für relativen CIELAB-Bunton $h^* = lab^*h^* = h_{ab}/360 = 0.071$

$u^*_e = r00j$
 lab^*tch^*

Daten für jede Farbe:

lab^*tch^* und lab^*icu^*

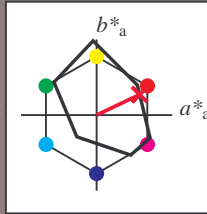
Buntontexte:

$u^*_e = r00j$ $u^*_d = m81o$

Kontrastreduzierungsfaktor:

$c_R = 0.9$

Dreiecks-Helligkeit t^*



FRS15_90a; adaptierte CIELAB-Daten

u^*_e	$L^*=L^*_a$	a^*_a	b^*_a	$C^*_{ab,a}$	$h^*_{ab,a}$
O _{Ma}	38.8	53.92	39.68	66.95	36
Y _{Ma}	82.58	-4.64	98.22	98.33	93
L _{Ma}	46.95	-56.34	43.46	71.15	142
C _{Ma}	54.62	-26.2	-28.68	38.85	228
V _{Ma}	20.01	45.2	-52.87	69.56	311
M _{Ma}	40.88	70.68	-29.99	76.78	337
N _{Ma}	15.0	0.0	0.0	0.0	0
W _{Ma}	90.0	0.0	0.0	0.0	0
R _{Ma}	39.92	58.74	27.99	65.07	25
J _{Ma}	81.26	-2.89	71.56	71.62	92
G _{Ma}	52.23	-42.42	13.6	44.55	162
B _{Ma}	30.57	1.41	-46.47	46.49	272

Daten für Maximalfarbe (Ma):

$LAB^*LAB^*_{Ma}$: 39 57 27

$LAB^*LCH^*_{Ma}$: 39 63 25

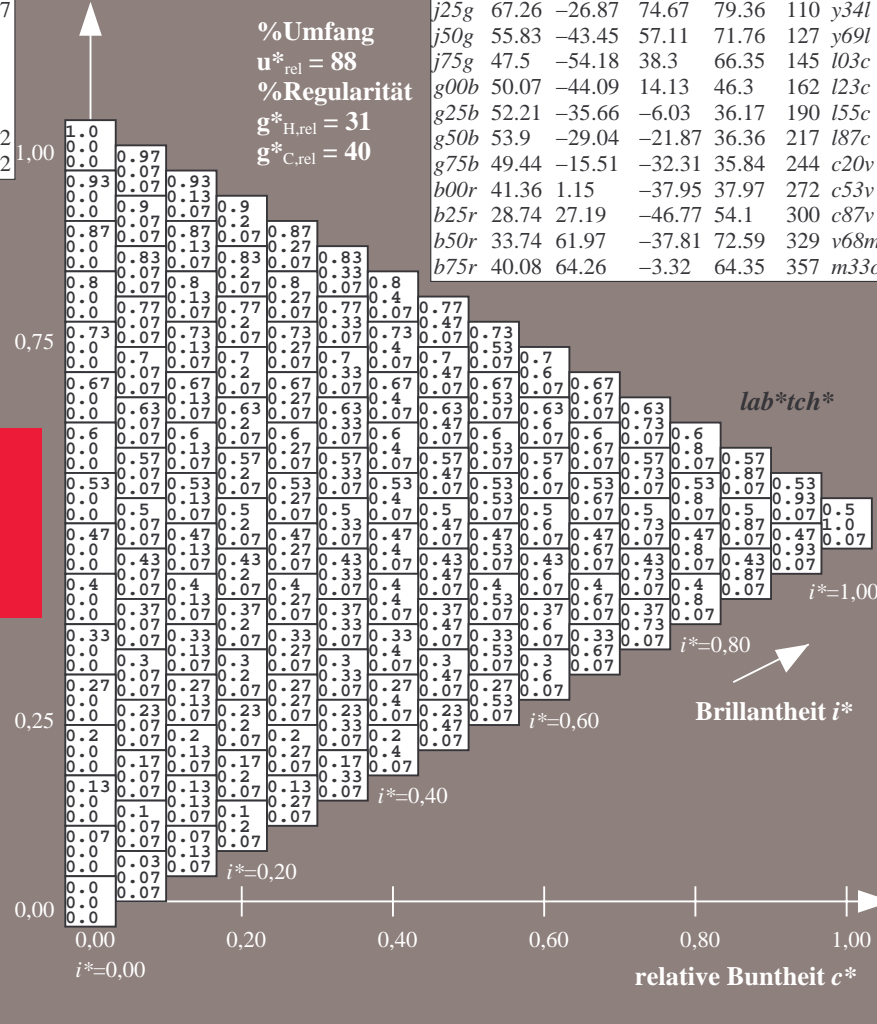
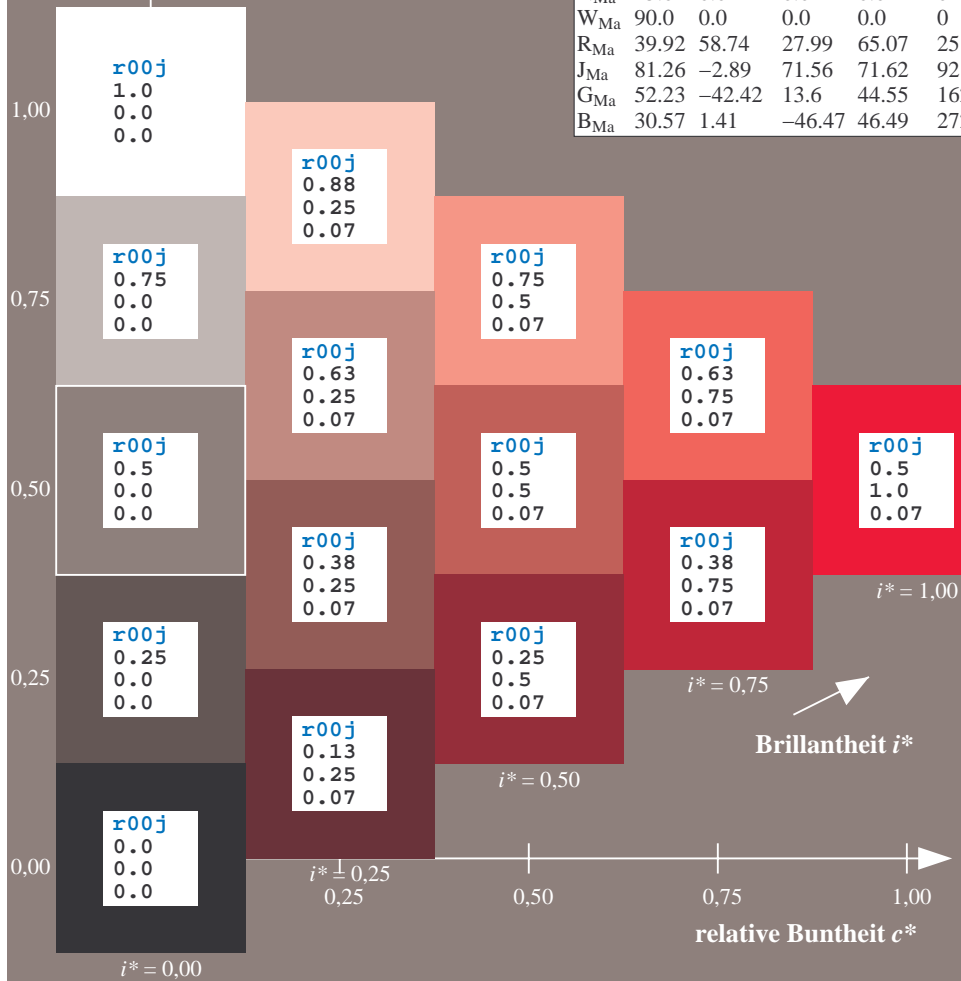
$lab^*rgb^*_{Ma}$: 1.0 0.0 0.0

$lab^*olv^*_{Ma}$: 1.0 0.0 0.18

Dreiecks-Helligkeit t^*

FRS15_90a; adaptierte CIELAB-Daten

u^*_e	$L^*=L^*_a$	a^*_a	b^*_a	$C^*_{ab,a}$	$h^*_{ab,a}$	u^*_d
r00j	39.18	56.94	27.13	63.07	25	m81o
r25j	42.41	49.1	44.5	66.26	42	o10y
r50j	52.78	35.22	58.37	68.17	59	o40y
r75j	64.82	19.12	74.47	76.89	76	o69y
j00g	82.06	-3.94	97.52	97.6	92	o98y
j25g	67.26	-26.87	74.67	79.36	110	y34l
j50g	55.83	-43.45	57.11	71.76	127	y69l
j75g	47.5	-54.18	38.3	66.35	145	l03c
g00b	50.07	-44.09	14.13	46.3	162	l23c
g25b	52.21	-35.66	-6.03	36.17	190	l55c
g50b	53.9	-29.04	-21.87	36.36	217	l87c
g75b	49.44	-15.51	-32.31	35.84	244	c20v
b00r	41.36	1.15	-37.95	37.97	272	c53v
b25r	28.74	27.19	-46.77	54.1	300	c87v
b50r	33.74	61.97	-37.81	72.59	329	v68m
b75r	40.08	64.26	-3.32	64.35	357	m33o



Ein und Ausgabe: Farbmatisches Drucker-Reflektiv-System FRS15_90a für relativen CIELAB-Bunton $h^* = lab^*h^* = h_{ab}/360 = 0.117$

$u^*_e = r25j$

Daten für jede Farbe:

lab^*tch^* und lab^*icu^*

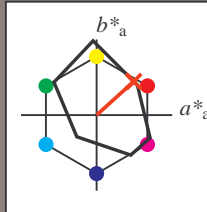
Buntontexte:

$u^*_e = r25j$ $u^*_d = o10y$

Kontrastreduzierungsfaktor:

$c_R = 0.9$

Dreiecks-Helligkeit t^*



FRS15_90a; adaptierte CIELAB-Daten

u^*_e	$L^*=L^*_a$	a^*_a	b^*_a	$C^*_{ab,a}$	$h^*_{ab,a}$
O _{Ma}	38.8	53.92	39.68	66.95	36
Y _{Ma}	82.58	-4.64	98.22	98.33	93
L _{Ma}	46.95	-56.34	43.46	71.15	142
C _{Ma}	54.62	-26.2	-28.68	38.85	228
V _{Ma}	20.01	45.2	-52.87	69.56	311
M _{Ma}	40.88	70.68	-29.99	76.78	337
N _{Ma}	15.0	0.0	0.0	0.0	0
W _{Ma}	90.0	0.0	0.0	0.0	0
R _{Ma}	39.92	58.74	27.99	65.07	25
J _{Ma}	81.26	-2.89	71.56	71.62	92
G _{Ma}	52.23	-42.42	13.6	44.55	162
B _{Ma}	30.57	1.41	-46.47	46.49	272

Daten für Maximalfarbe (Ma):

$LAB^*LAB^*_{Ma}$: 42 49 44

$LAB^*LCH^*_{Ma}$: 42 66 42

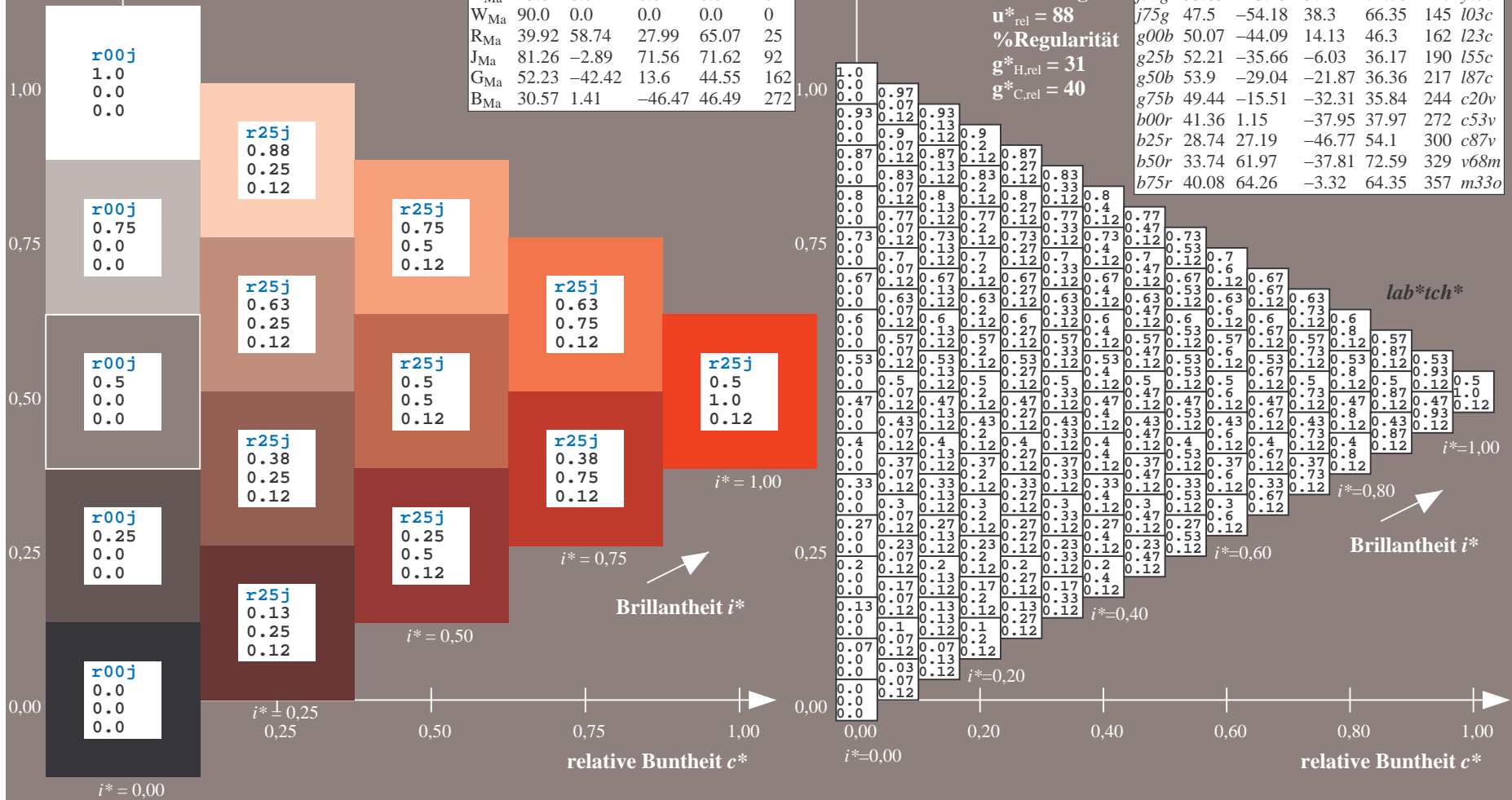
$lab^*rgb^*_{Ma}$: 1.0 0.25 0.0

$lab^*olv^*_{Ma}$: 1.0 0.1 0.0

Dreiecks-Helligkeit t^*

FRS15_90a; adaptierte CIELAB-Daten

u^*_e	$L^*=L^*_a$	a^*_a	b^*_a	$C^*_{ab,a}$	$h^*_{ab,a}$	u^*_d
r00j	39.18	56.94	27.13	63.07	25	m81o
r25j	42.41	49.1	44.5	66.26	42	o10y
r50j	52.78	35.22	58.37	68.17	59	o40y
r75j	64.82	19.12	74.47	76.89	76	o69y
j00g	82.06	-3.94	97.52	97.6	92	o98y
j25g	67.26	-26.87	74.67	79.36	110	y34l
j50g	55.83	-43.45	57.11	71.76	127	y69l
j75g	47.5	-54.18	38.3	66.35	145	l03c
g00b	50.07	-44.09	14.13	46.3	162	l23c
g25b	52.21	-35.66	-6.03	36.17	190	l55c
g50b	53.9	-29.04	-21.87	36.36	217	l87c
g75b	49.44	-15.51	-32.31	35.84	244	c20v
b00r	41.36	1.15	-37.95	37.97	272	c53v
b25r	28.74	27.19	-46.77	54.1	300	c87v
b50r	33.74	61.97	-37.81	72.59	329	v68m
b75r	40.08	64.26	-3.32	64.35	357	m33o



Ein und Ausgabe: Farbmatisches Drucker-Reflektiv-System FRS15_90a für relativen CIELAB-Bunton $h^* = lab^*h^* = h_{ab}/360 = 0.164$

$u^*_e = r50j$

Daten für jede Farbe:

lab^*tch^* und lab^*icu^*

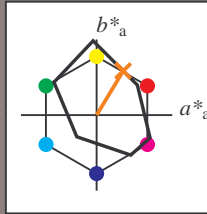
Buntontexte:

$u^*_e = r50j$ $u^*_d = o40y$

Kontrastreduzierungsfaktor:

$c_R = 0.9$

Dreiecks-Helligkeit t^*



FRS15_90a; adaptierte CIELAB-Daten						
u^*_e	$L^*=L^*_a$	a^*_a	b^*_a	$C^*_{ab,a}$	$h^*_{ab,a}$	
O _{Ma}	38.8	53.92	39.68	66.95	36	
Y _{Ma}	82.58	-4.64	98.22	98.33	93	
L _{Ma}	46.95	-56.34	43.46	71.15	142	
C _{Ma}	54.62	-26.2	-28.68	38.85	228	
V _{Ma}	20.01	45.2	-52.87	69.56	311	
M _{Ma}	40.88	70.68	-29.99	76.78	337	
N _{Ma}	15.0	0.0	0.0	0.0	0	
W _{Ma}	90.0	0.0	0.0	0.0	0	
R _{Ma}	39.92	58.74	27.99	65.07	25	
J _{Ma}	81.26	-2.89	71.56	71.62	92	
G _{Ma}	52.23	-42.42	13.6	44.55	162	
B _{Ma}	30.57	1.41	-46.47	46.49	272	

Daten für Maximalfarbe (Ma):

$LAB^*LAB^*_{Ma}: 53\ 35\ 58$

$LAB^*LCH^*_{Ma}: 53\ 68\ 58$

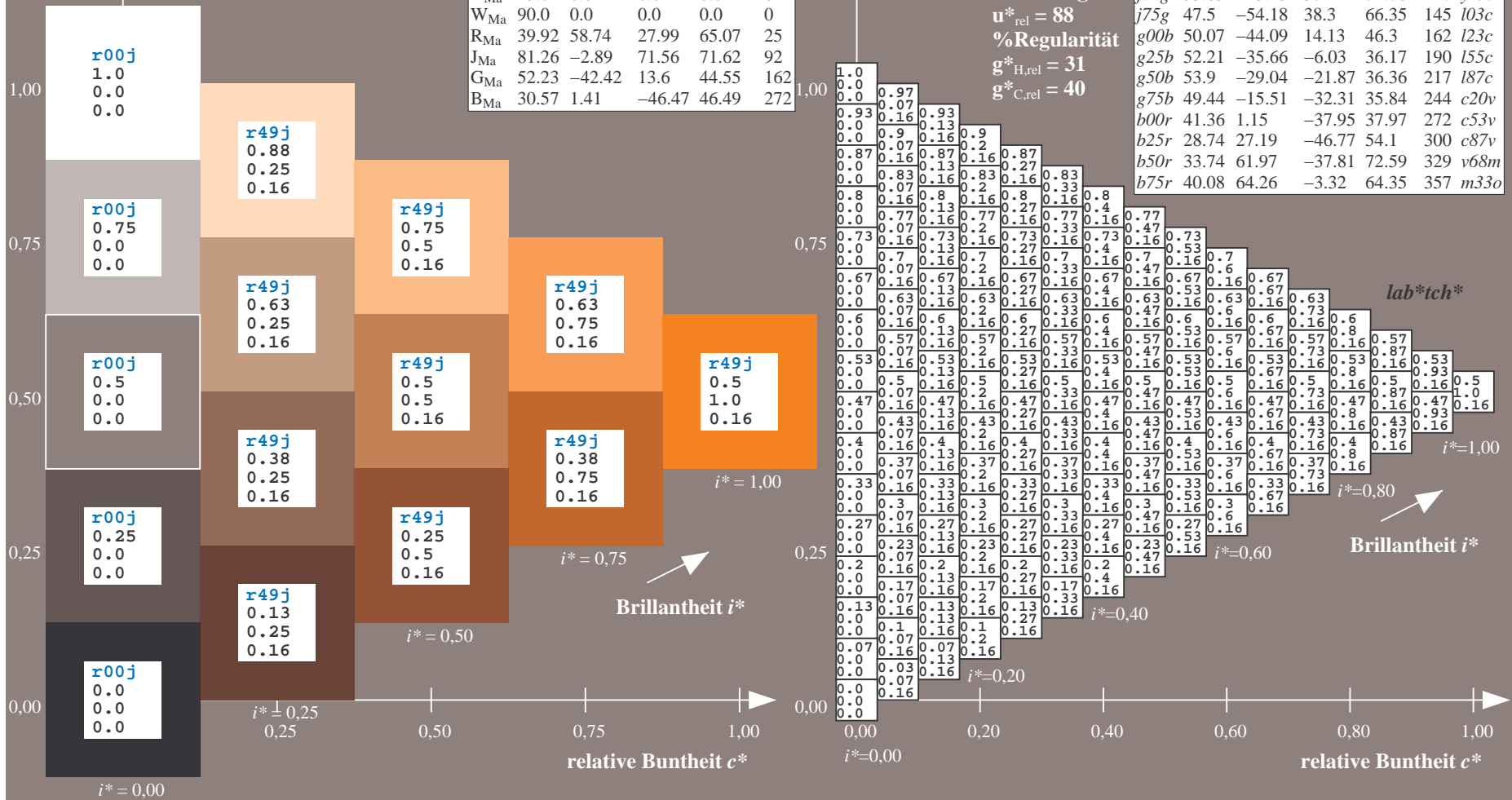
$lab^*rgb^*_{Ma}: 1.0\ 0.5\ 0.0$

$lab^*olv^*_{Ma}: 1.0\ 0.4\ 0.0$

Dreiecks-Helligkeit t^*

FRS15_90a; adaptierte CIELAB-Daten

u^*_e	$L^*=L^*_a$	a^*_a	b^*_a	$C^*_{ab,a}$	$h^*_{ab,a}$	u^*_d
r00j	39.18	56.94	27.13	63.07	25	m81o
r25j	42.41	49.1	44.5	66.26	42	o10y
r50j	52.78	35.22	58.37	68.17	59	o40y
r75j	64.82	19.12	74.47	76.89	76	o69y
j00g	82.06	-3.94	97.52	97.6	92	o98y
j25g	67.26	-26.87	74.67	79.36	110	y34l
j50g	55.83	-43.45	57.11	71.76	127	y69l
j75g	47.5	-54.18	38.3	66.35	145	l03c
g00b	50.07	-44.09	14.13	46.3	162	l23c
g25b	52.21	-35.66	-6.03	36.17	190	l55c
g50b	53.9	-29.04	-21.87	36.36	217	l87c
g75b	49.44	-15.51	-32.31	35.84	244	c20v
b00r	41.36	1.15	-37.95	37.97	272	c53v
b25r	28.74	27.19	-46.77	54.1	300	c87v
b50r	33.74	61.97	-37.81	72.59	329	v68m
b75r	40.08	64.26	-3.32	64.35	357	m33o



Ein und Ausgabe: Farbmatisches Drucker-Reflektiv-System FRS15_90a für relativen CIELAB-Bunton $h^* = lab^*h^* = h_{ab}/360 = 0.21$

$u^*_e = r75j$
 lab^*tch^*

Daten für jede Farbe:

lab^*tch^* und lab^*icu^*

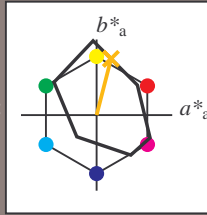
Buntontexte:

$u^*_e = r75j$ $u^*_d = o69y$

Kontrastreduzierungsfaktor:

$c_R = 0.9$

Dreiecks-Helligkeit t^*



FRS15_90a; adaptierte CIELAB-Daten

	u^*_e	$L^*=L^*_a$	a^*_a	b^*_a	$C^*_{ab,a}$	$h^*_{ab,a}$
O _{Ma}	38.8	53.92	39.68	66.95	36	
Y _{Ma}	82.58	-4.64	98.22	98.33	93	
L _{Ma}	46.95	-56.34	43.46	71.15	142	
C _{Ma}	54.62	-26.2	-28.68	38.85	228	
V _{Ma}	20.01	45.2	-52.87	69.56	311	
M _{Ma}	40.88	70.68	-29.99	76.78	337	
N _{Ma}	15.0	0.0	0.0	0.0	0	
W _{Ma}	90.0	0.0	0.0	0.0	0	
R _{Ma}	39.92	58.74	27.99	65.07	25	
J _{Ma}	81.26	-2.89	71.56	71.62	92	
G _{Ma}	52.23	-42.42	13.6	44.55	162	
B _{Ma}	30.57	1.41	-46.47	46.49	272	

Daten für Maximalfarbe (Ma):

$LAB^*LAB^*_{Ma}$: 65 19 74

$LAB^*LCH^*_{Ma}$: 65 77 75

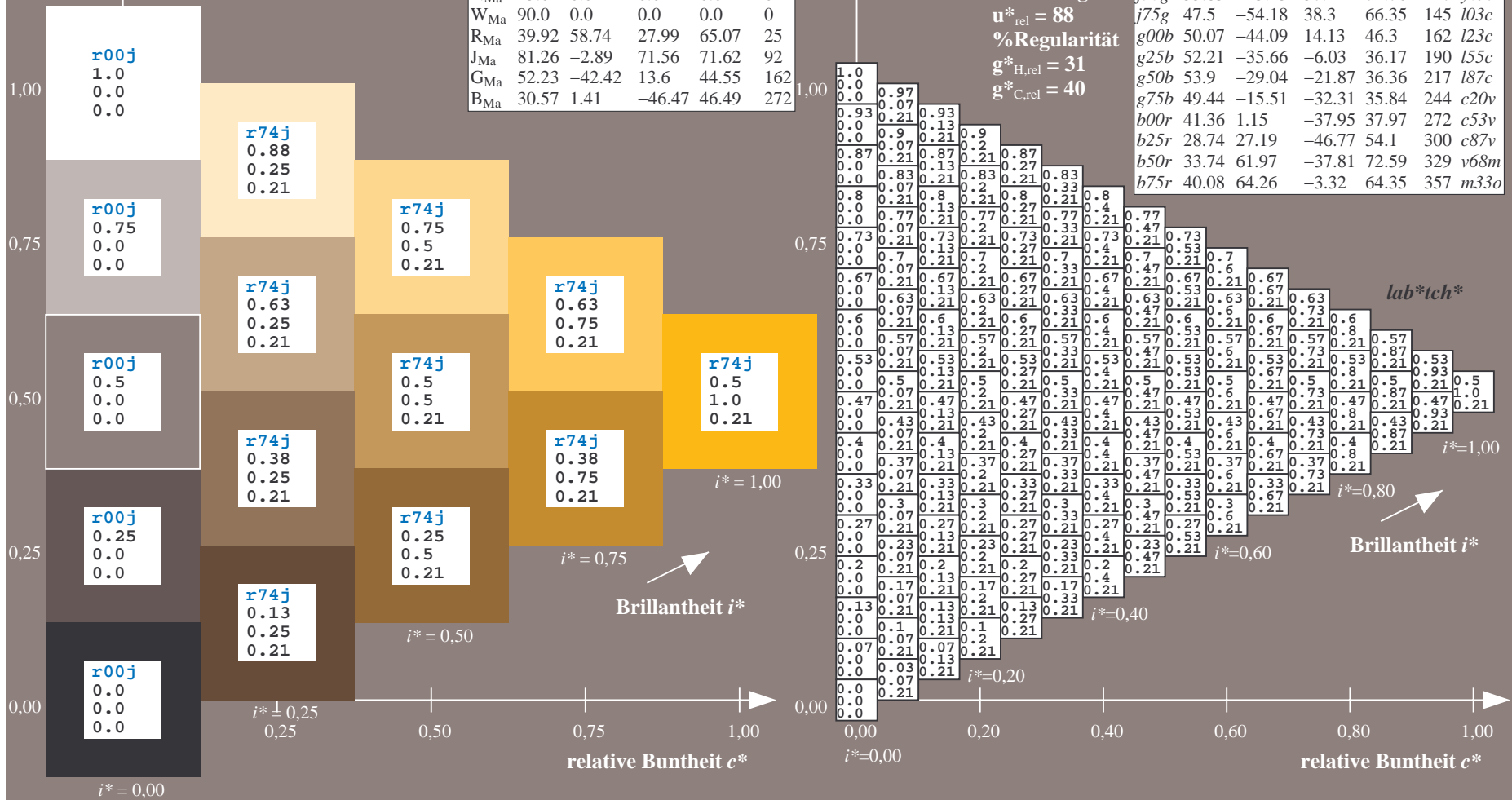
$lab^*rgb^*_{Ma}$: 1.0 0.75 0.0

$lab^*olv^*_{Ma}$: 1.0 0.7 0.0

Dreiecks-Helligkeit t^*

FRS15_90a; adaptierte CIELAB-Daten

	u^*_e	$L^*=L^*_a$	a^*_a	b^*_a	$C^*_{ab,a}$	$h^*_{ab,a}$	u^*_d
r00j	39.18	56.94	27.13	63.07	25	m81o	
r25j	42.41	49.1	44.5	66.26	42	o10y	
r50j	52.78	35.22	58.37	68.17	59	o40y	
r75j	64.82	19.12	74.47	76.89	76	o69y	
j00g	82.06	-3.94	97.52	97.6	92	o98y	
j25g	67.26	-26.87	74.67	79.36	110	y34l	
j50g	55.83	-43.45	57.11	71.76	127	y69l	
j75g	47.5	-54.18	38.3	66.35	145	103c	
g00b	50.07	-44.09	14.13	46.3	162	l23c	
g25b	52.21	-35.66	-6.03	36.17	190	l55c	
g50b	53.9	-29.04	-21.87	36.36	217	l87c	
g75b	49.44	-15.51	-32.31	35.84	244	c20v	
b00r	41.36	1.15	-37.95	37.97	272	c53v	
b25r	28.74	27.19	-46.77	54.1	300	c87v	
b50r	33.74	61.97	-37.81	72.59	329	v68m	
b75r	40.08	64.26	-3.32	64.35	357	m33o	



Ein und Ausgabe: Farbmatisches Drucker-Reflektiv-System FRS15_90a für relativen CIELAB-Bunton $h^* = lab^*h^* = h_{ab}/360 = 0.256$

$u^*_e = j00g$
 lab^*tch^*

Daten für jede Farbe:

lab^*tch^* und lab^*icu^*

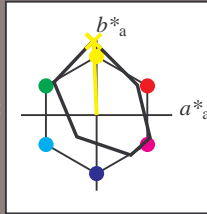
Buntontexte:

$u^*_e = j00g$ $u^*_d = o98y$

Kontrastreduzierungsfaktor:

$c_R = 0.9$

Dreiecks-Helligkeit t^*



FRS15_90a; adaptierte CIELAB-Daten						
u^*_e	$L^*=L^*_a$	a^*_a	b^*_a	$C^*_{ab,a}$	$h^*_{ab,a}$	
O _{Ma}	38.8	53.92	39.68	66.95	36	
Y _{Ma}	82.58	-4.64	98.22	98.33	93	
L _{Ma}	46.95	-56.34	43.46	71.15	142	
C _{Ma}	54.62	-26.2	-28.68	38.85	228	
V _{Ma}	20.01	45.2	-52.87	69.56	311	
M _{Ma}	40.88	70.68	-29.99	76.78	337	
N _{Ma}	15.0	0.0	0.0	0.0	0	
W _{Ma}	90.0	0.0	0.0	0.0	0	
R _{Ma}	39.92	58.74	27.99	65.07	25	
J _{Ma}	81.26	-2.89	71.56	71.62	92	
G _{Ma}	52.23	-42.42	13.6	44.55	162	
B _{Ma}	30.57	1.41	-46.47	46.49	272	

Daten für Maximalfarbe (Ma):

$LAB^*LAB^*_{Ma}$: 82 -4 98

$LAB^*LCH^*_{Ma}$: 82 98 92

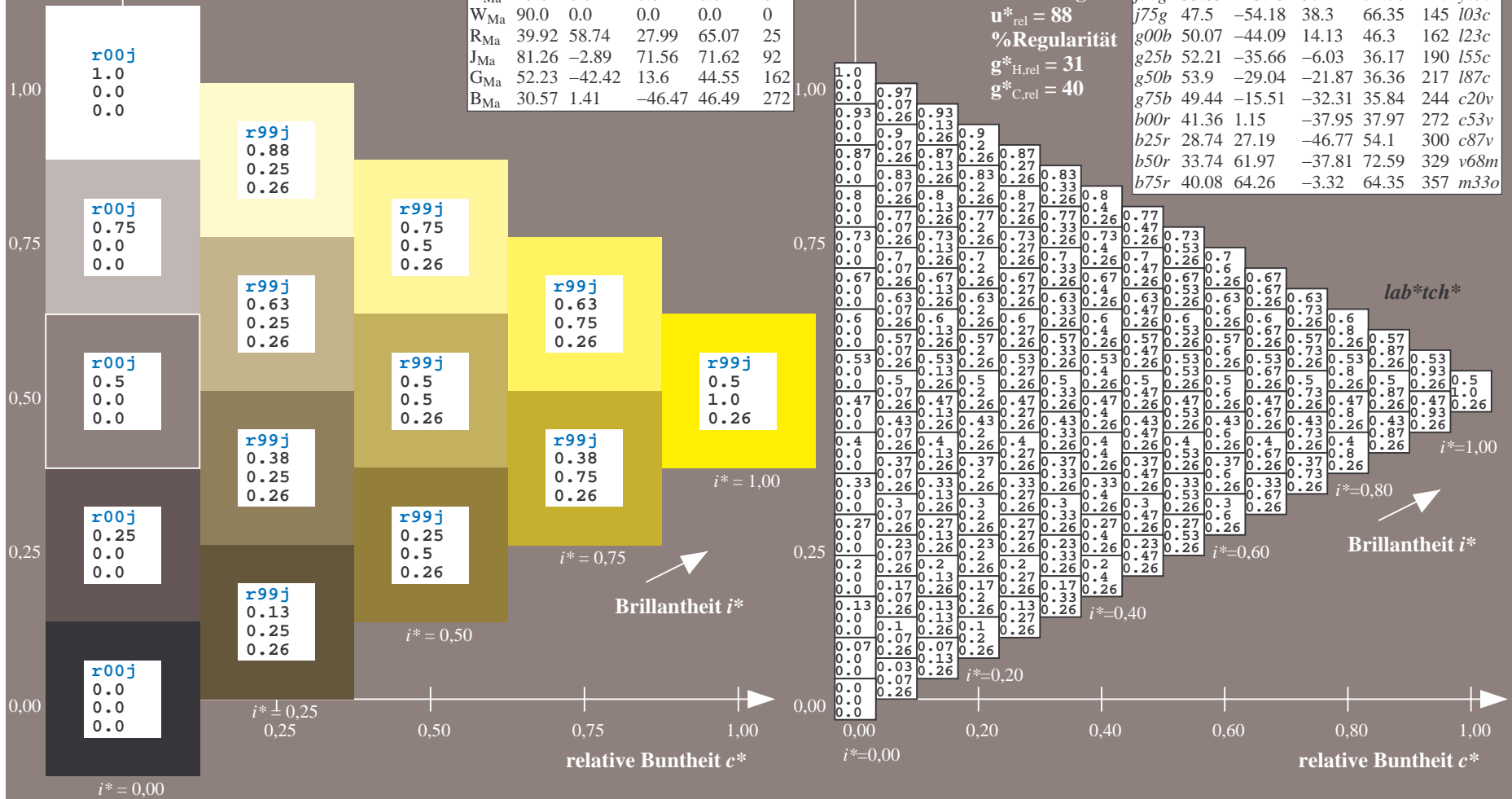
$lab^*rgb^*_{Ma}$: 1.0 1.0 0.0

$lab^*olv^*_{Ma}$: 1.0 0.99 0.0

Dreiecks-Helligkeit t^*

FRS15_90a; adaptierte CIELAB-Daten

u^*_e	$L^*=L^*_a$	a^*_a	b^*_a	$C^*_{ab,a}$	$h^*_{ab,a}$	u^*_d
r00j	39.18	56.94	27.13	63.07	25	m81o
r25j	42.41	49.1	44.5	66.26	42	o10y
r50j	52.78	35.22	58.37	68.17	59	o40y
r75j	64.82	19.12	74.47	76.89	76	o69y
j00g	82.06	-3.94	97.52	97.6	92	o98y
j25g	67.26	-26.87	74.67	79.36	110	y34l
j50g	55.83	-43.45	57.11	71.76	127	y69l
j75g	47.5	-54.18	38.3	66.35	145	l03c
g00b	50.07	-44.09	14.13	46.3	162	l23c
g25b	52.21	-35.66	-6.03	36.17	190	l55c
g50b	53.9	-29.04	-21.87	36.36	217	l87c
g75b	49.44	-15.51	-32.31	35.84	244	c20v
b00r	41.36	1.15	-37.95	37.97	272	c53v
b25r	28.74	27.19	-46.77	54.1	300	c87v
b50r	33.74	61.97	-37.81	72.59	329	v68m
b75r	40.08	64.26	-3.32	64.35	357	m33o



Ein und Ausgabe: Farbmatisches Drucker-Reflektiv-System FRS15_90a für relativen CIELAB-Bunton $h^* = lab^*h^* = h_{ab}/360 = 0.305$

$u^*_e = j25g$
 lab^*tch^*

Daten für jede Farbe:

lab^*tch^* und lab^*icu^*

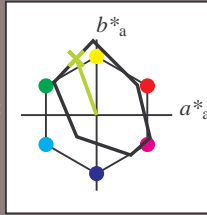
Buntontexte:

$u^*_e = j25g$ $u^*_d = y34l$

Kontrastreduzierungsfaktor:

$c_R = 0.9$

Dreiecks-Helligkeit t^*



FRS15_90a; adaptierte CIELAB-Daten

u^*_e	$L^*=L^*_a$	a^*_a	b^*_a	$C^*_{ab,a}$	$h^*_{ab,a}$
O _{Ma}	38.8	53.92	39.68	66.95	36
Y _{Ma}	82.58	-4.64	98.22	98.33	93
L _{Ma}	46.95	-56.34	43.46	71.15	142
C _{Ma}	54.62	-26.2	-28.68	38.85	228
V _{Ma}	20.01	45.2	-52.87	69.56	311
M _{Ma}	40.88	70.68	-29.99	76.78	337
N _{Ma}	15.0	0.0	0.0	0.0	0
W _{Ma}	90.0	0.0	0.0	0.0	0
R _{Ma}	39.92	58.74	27.99	65.07	25
J _{Ma}	81.26	-2.89	71.56	71.62	92
G _{Ma}	52.23	-42.42	13.6	44.55	162
B _{Ma}	30.57	1.41	-46.47	46.49	272

Daten für Maximalfarbe (Ma):

$LAB^*LAB^*_{Ma}$: 67 -27 75

$LAB^*LCH^*_{Ma}$: 67 79 109

$lab^*rgb^*_{Ma}$: 0.75 1.0 0.0

$lab^*olv^*_{Ma}$: 0.66 1.0 0.0

Dreiecks-Helligkeit t^*

%Umfang

$u^*_{rel} = 88$

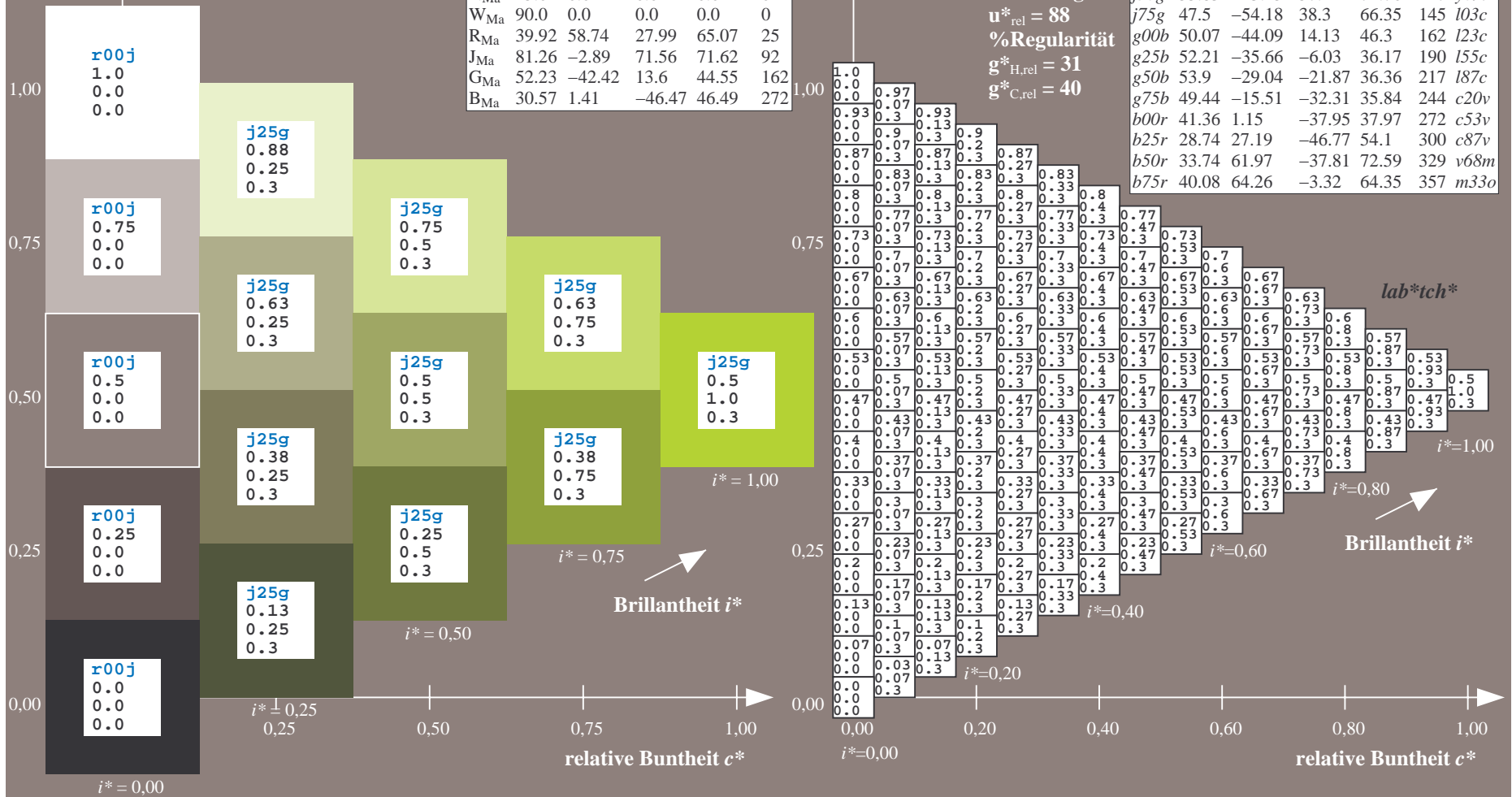
%Regularität

$g^*_{H,rel} = 31$

$g^*_{C,rel} = 40$

FRS15_90a; adaptierte CIELAB-Daten

u^*_e	$L^*=L^*_a$	a^*_a	b^*_a	$C^*_{ab,a}$	$h^*_{ab,a}$	u^*_d
r00j	39.18	56.94	27.13	63.07	25	m81o
r25j	42.41	49.1	44.5	66.26	42	o10y
r50j	52.78	35.22	58.37	68.17	59	o40y
r75j	64.82	19.12	74.47	76.89	76	o69y
j00g	82.06	-3.94	97.52	97.6	92	o98y
j25g	67.26	-26.87	74.67	79.36	110	y34l
j50g	55.83	-43.45	57.11	71.76	127	y69l
j75g	47.5	-54.18	38.3	66.35	145	l03c
g00b	50.07	-44.09	14.13	46.3	162	l23c
g25b	52.21	-35.66	-6.03	36.17	190	l55c
g50b	53.9	-29.04	-21.87	36.36	217	l87c
g75b	49.44	-15.51	-32.31	35.84	244	c20v
b00r	41.36	1.15	-37.95	37.97	272	c53v
b25r	28.74	27.19	-46.77	54.1	300	c87v
b50r	33.74	61.97	-37.81	72.59	329	v68m
b75r	40.08	64.26	-3.32	64.35	357	m33o



Ein und Ausgabe: Farbmetrisches Drucker-Reflektiv-System FRS15_90a für relativen CIELAB-Bunton $h^* = \text{lab}^*h^* = h_{ab}/360 = 0.354$

Daten für jede Farbe:

lab^*tch^* und lab^*icu^*

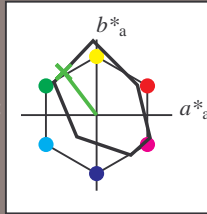
Buntontexte:

$u^*_e = j50g$ $u^*_d = y69l$

Kontrastreduzierungsfaktor:

$c_R = 0.9$

Dreiecks-Helligkeit t^*



FRS15_90a; adaptierte CIELAB-Daten

	u^*_e	$L^*=L^*_a$	a^*_a	b^*_a	$C^*_{ab,a}$	$h^*_{ab,a}$
O _{Ma}	38.8	53.92	39.68	66.95	36	
Y _{Ma}	82.58	-4.64	98.22	98.33	93	
L _{Ma}	46.95	-56.34	43.46	71.15	142	
C _{Ma}	54.62	-26.2	-28.68	38.85	228	
V _{Ma}	20.01	45.2	-52.87	69.56	311	
M _{Ma}	40.88	70.68	-29.99	76.78	337	
N _{Ma}	15.0	0.0	0.0	0.0	0	
W _{Ma}	90.0	0.0	0.0	0.0	0	
R _{Ma}	39.92	58.74	27.99	65.07	25	
J _{Ma}	81.26	-2.89	71.56	71.62	92	
G _{Ma}	52.23	-42.42	13.6	44.55	162	
B _{Ma}	30.57	1.41	-46.47	46.49	272	

$u^*_e = j50g$

lab^*tch^*

Daten für Maximalfarbe (Ma):

$\text{LAB}^*\text{LAB}^*_{Ma}: 56 -43 57$

$\text{LAB}^*\text{LCH}^*_{Ma}: 56 72 127$

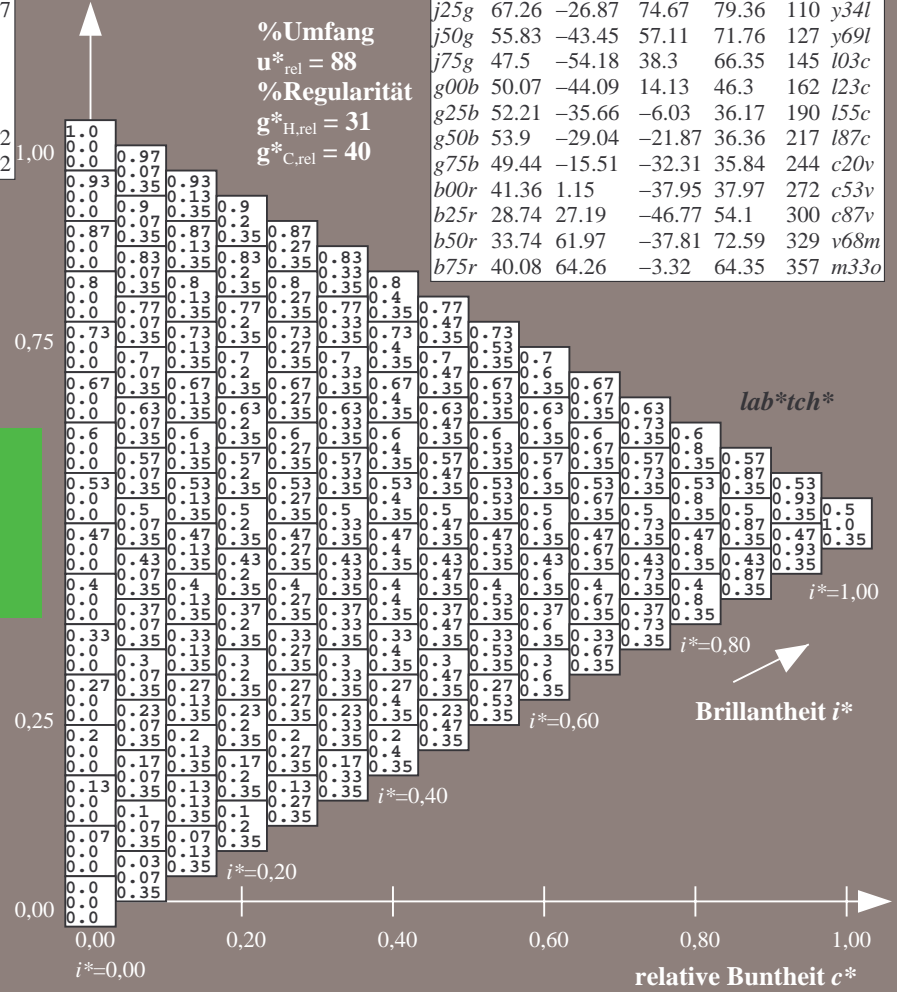
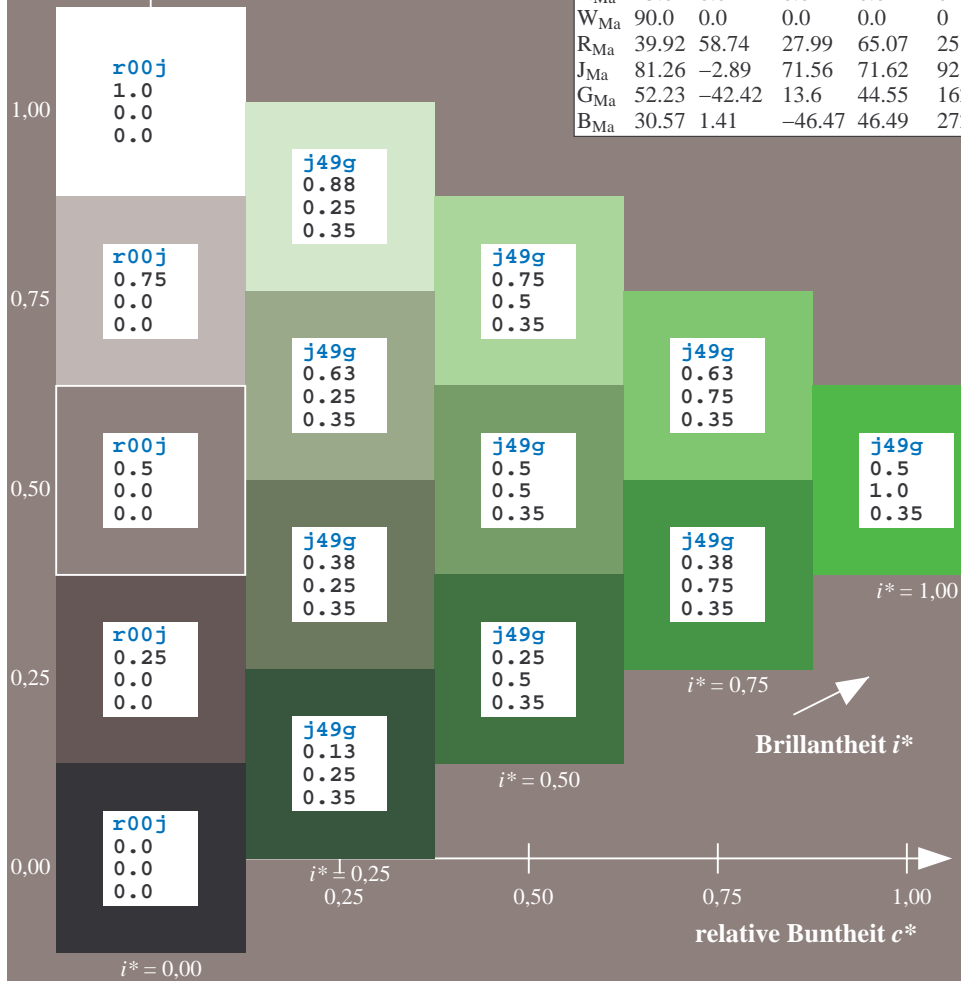
$\text{lab}^*rgb^*_{Ma}: 0.5 1.0 0.0$

$\text{lab}^*olv^*_{Ma}: 0.3 1.0 0.0$

Dreiecks-Helligkeit t^*

FRS15_90a; adaptierte CIELAB-Daten

	u^*_e	$L^*=L^*_a$	a^*_a	b^*_a	$C^*_{ab,a}$	$h^*_{ab,a}$	u^*_d
r00j	39.18	56.94	27.13	63.07	25	m81o	
r25j	42.41	49.1	44.5	66.26	42	o10y	
r50j	52.78	35.22	58.37	68.17	59	o40y	
r75j	64.82	19.12	74.47	76.89	76	o69y	
j00g	82.06	-3.94	97.52	97.6	92	o98y	
j25g	67.26	-26.87	74.67	79.36	110	y34l	
j50g	55.83	-43.45	57.11	71.76	127	y69l	
j75g	47.5	-54.18	38.3	66.35	145	i03c	
g00b	50.07	-44.09	14.13	46.3	162	i23c	
g25b	52.21	-35.66	-6.03	36.17	190	i55c	
g50b	53.9	-29.04	-21.87	36.36	217	i87c	
g75b	49.44	-15.51	-32.31	35.84	244	c20v	
b00r	41.36	1.15	-37.95	37.97	272	c53v	
b25r	28.74	27.19	-46.77	54.1	300	c87v	
b50r	33.74	61.97	-37.81	72.59	329	v68m	
b75r	40.08	64.26	-3.32	64.35	357	m33o	



Ein und Ausgabe: Farbmatisches Drucker-Reflektiv-System FRS15_90a für relativen CIELAB-Bunton $h^* = lab^*h^* = h_{ab}/360 = 0.402$

$u^*_e = j75g$

Daten für jede Farbe:

lab^*tch^* und lab^*icu^*

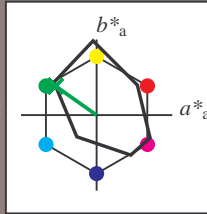
Buntontexte:

$u^*_e = j75g$ $u^*_d = l03c$

Kontrastreduzierungsfaktor:

$c_R = 0.9$

Dreiecks-Helligkeit t^*



FRS15_90a; adaptierte CIELAB-Daten

u^*_e	$L^*=L^*_a$	a^*_a	b^*_a	$C^*_{ab,a}$	$h^*_{ab,a}$
O _{Ma}	38.8	53.92	39.68	66.95	36
Y _{Ma}	82.58	-4.64	98.22	98.33	93
L _{Ma}	46.95	-56.34	43.46	71.15	142
C _{Ma}	54.62	-26.2	-28.68	38.85	228
V _{Ma}	20.01	45.2	-52.87	69.56	311
M _{Ma}	40.88	70.68	-29.99	76.78	337
N _{Ma}	15.0	0.0	0.0	0.0	0
W _{Ma}	90.0	0.0	0.0	0.0	0
R _{Ma}	39.92	58.74	27.99	65.07	25
J _{Ma}	81.26	-2.89	71.56	71.62	92
G _{Ma}	52.23	-42.42	13.6	44.55	162
B _{Ma}	30.57	1.41	-46.47	46.49	272

Daten für Maximalfarbe (Ma):

$LAB^*LAB^*_{Ma}$: 48 -54 38

$LAB^*LCH^*_{Ma}$: 48 66 144

$lab^*rgb^*_{Ma}$: 0.25 1.0 0.0

$lab^*olv^*_{Ma}$: 0.0 1.0 0.03

Dreiecks-Helligkeit t^*

FRS15_90a; adaptierte CIELAB-Daten

u^*_e	$L^*=L^*_a$	a^*_a	b^*_a	$C^*_{ab,a}$	$h^*_{ab,a}$	u^*_d
r00j	39.18	56.94	27.13	63.07	25	m81o
r25j	42.41	49.1	44.5	66.26	42	o10y
r50j	52.78	35.22	58.37	68.17	59	o40y
r75j	64.82	19.12	74.47	76.89	76	o69y
j00g	82.06	-3.94	97.52	97.6	92	o98y
j25g	67.26	-26.87	74.67	79.36	110	y34l
j50g	55.83	-43.45	57.11	71.76	127	y69l
j75g	47.5	-54.18	38.3	66.35	145	l03c
g00b	50.07	-44.09	14.13	46.3	162	l23c
g25b	52.21	-35.66	-6.03	36.17	190	l55c
g50b	53.9	-29.04	-21.87	36.36	217	l87c
g75b	49.44	-15.51	-32.31	35.84	244	c20v
b00r	41.36	1.15	-37.95	37.97	272	c53v
b25r	28.74	27.19	-46.77	54.1	300	c87v
b50r	33.74	61.97	-37.81	72.59	329	v68m
b75r	40.08	64.26	-3.32	64.35	357	m33o

lab^*tch^*

$i^* = 1.00$

Brillantheit i^*

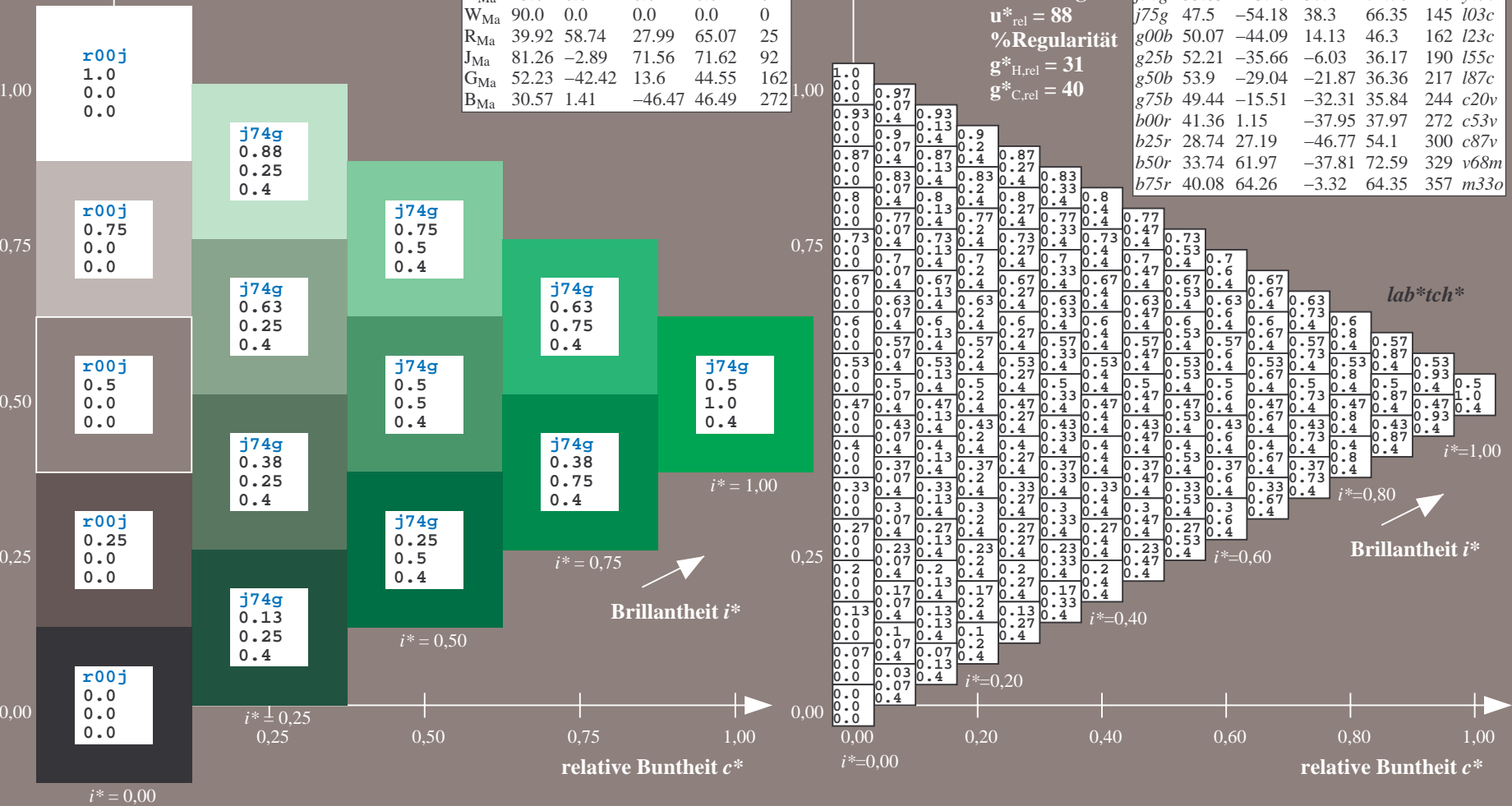
$i^* = 0.80$

$i^* = 0.60$

$i^* = 0.40$

$i^* = 0.20$

$i^* = 0.00$



Ein und Ausgabe: Farbmatisches Drucker-Reflektiv-System FRS15_90a für relativen CIELAB-Bunton $h^* = lab^*h^* = h_{ab}/360 = 0.451$

$u^*_e = g00b$
 lab^*tch^*

Daten für jede Farbe:

lab^*tch^* und lab^*icu^*

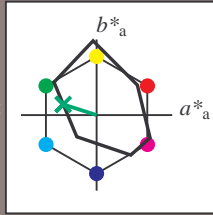
Buntontexte:

$u^*_e = g00b$ $u^*_d = l23c$

Kontrastreduzierungsfaktor:

$c_R = 0.9$

Dreiecks-Helligkeit t^*



FRS15_90a; adaptierte CIELAB-Daten						
u^*_e	$L^*=L^*_a$	a^*_a	b^*_a	$C^*_{ab,a}$	$h^*_{ab,a}$	
O _{Ma}	38.8	53.92	39.68	66.95	36	
Y _{Ma}	82.58	-4.64	98.22	98.33	93	
L _{Ma}	46.95	-56.34	43.46	71.15	142	
C _{Ma}	54.62	-26.2	-28.68	38.85	228	
V _{Ma}	20.01	45.2	-52.87	69.56	311	
M _{Ma}	40.88	70.68	-29.99	76.78	337	
N _{Ma}	15.0	0.0	0.0	0.0	0	
W _{Ma}	90.0	0.0	0.0	0.0	0	
R _{Ma}	39.92	58.74	27.99	65.07	25	
J _{Ma}	81.26	-2.89	71.56	71.62	92	
G _{Ma}	52.23	-42.42	13.6	44.55	162	
B _{Ma}	30.57	1.41	-46.47	46.49	272	

Daten für Maximalfarbe (Ma):

$LAB^*LAB^*_{Ma}: 50 -44 14$

$LAB^*LCH^*_{Ma}: 50 46 162$

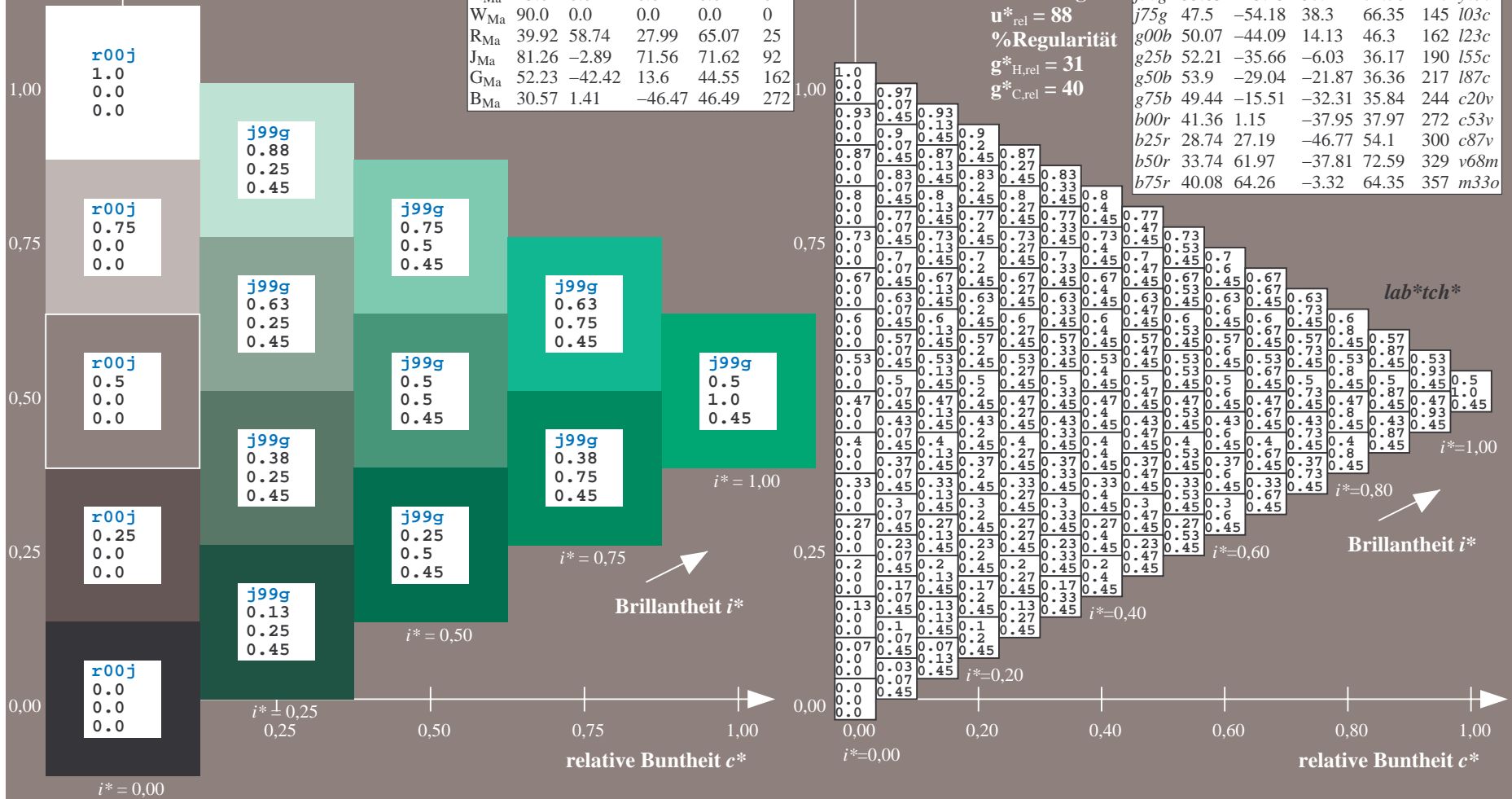
$lab^*rgb^*_{Ma}: 0.0 1.0 0.0$

$lab^*olv^*_{Ma}: 0.0 1.0 0.23$

Dreiecks-Helligkeit t^*

FRS15_90a; adaptierte CIELAB-Daten

u^*_e	$L^*=L^*_a$	a^*_a	b^*_a	$C^*_{ab,a}$	$h^*_{ab,a}$	u^*_d
r00j	39.18	56.94	27.13	63.07	25	m81o
r25j	42.41	49.1	44.5	66.26	42	o10y
r50j	52.78	35.22	58.37	68.17	59	o40y
r75j	64.82	19.12	74.47	76.89	76	o69y
j00g	82.06	-3.94	97.52	97.6	92	o98y
j25g	67.26	-26.87	74.67	79.36	110	y34l
j50g	55.83	-43.45	57.11	71.76	127	y69l
j75g	47.5	-54.18	38.3	66.35	145	l03c
g00b	50.07	-44.09	14.13	46.3	162	l23c
g25b	52.21	-35.66	-6.03	36.17	190	l55c
g50b	53.9	-29.04	-21.87	36.36	217	l87c
g75b	49.44	-15.51	-32.31	35.84	244	c20v
b00r	41.36	1.15	-37.95	37.97	272	c53v
b25r	28.74	27.19	-46.77	54.1	300	c87v
b50r	33.74	61.97	-37.81	72.59	329	v68m
b75r	40.08	64.26	-3.32	64.35	357	m33o



Ein und Ausgabe: Farbmatisches Drucker-Reflektiv-System FRS15_90a für relativen CIELAB-Bunton $h^* = lab^*h^* = h_{ab}/360 = 0.527$

$u^*_e = g25b$

Daten für jede Farbe:

lab^*tch^* und lab^*icu^*

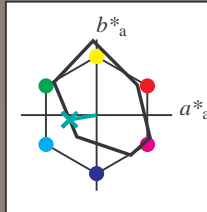
Buntontexte:

$u^*_e = g25b$ $u^*_d = l55c$

Kontrastreduzierungsfaktor:

$c_R = 0.9$

Dreiecks-Helligkeit t^*



FRS15_90a; adaptierte CIELAB-Daten

	u^*_e	$L^*=L^*_a$	a^*_a	b^*_a	$C^*_{ab,a}$	$h^*_{ab,a}$
O _{Ma}	38.8	53.92	39.68	66.95	36	
Y _{Ma}	82.58	-4.64	98.22	98.33	93	
L _{Ma}	46.95	-56.34	43.46	71.15	142	
C _{Ma}	54.62	-26.2	-28.68	38.85	228	
V _{Ma}	20.01	45.2	-52.87	69.56	311	
M _{Ma}	40.88	70.68	-29.99	76.78	337	
N _{Ma}	15.0	0.0	0.0	0.0	0	
W _{Ma}	90.0	0.0	0.0	0.0	0	
R _{Ma}	39.92	58.74	27.99	65.07	25	
J _{Ma}	81.26	-2.89	71.56	71.62	92	
G _{Ma}	52.23	-42.42	13.6	44.55	162	
B _{Ma}	30.57	1.41	-46.47	46.49	272	

Daten für Maximalfarbe (Ma):

$LAB^*LAB^*_{Ma}: 52 -36 -6$

$LAB^*LCH^*_{Ma}: 52 36 189$

$lab^*rgb^*_{Ma}: 0.0 1.0 0.5$

$lab^*olv^*_{Ma}: 0.0 1.0 0.55$

Dreiecks-Helligkeit t^*

FRS15_90a; adaptierte CIELAB-Daten

	u^*_e	$L^*=L^*_a$	a^*_a	b^*_a	$C^*_{ab,a}$	$h^*_{ab,a}$	u^*_d
r00j	39.18	56.94	27.13	63.07	25	m81o	
r25j	42.41	49.1	44.5	66.26	42	o10y	
r50j	52.78	35.22	58.37	68.17	59	o40y	
r75j	64.82	19.12	74.47	76.89	76	o69y	
j00g	82.06	-3.94	97.52	97.6	92	o98y	
j25g	67.26	-26.87	74.67	79.36	110	y34l	
j50g	55.83	-43.45	57.11	71.76	127	y69l	
j75g	47.5	-54.18	38.3	66.35	145	l03c	
g00b	50.07	-44.09	14.13	46.3	162	l23c	
g25b	52.21	-35.66	-6.03	36.17	190	l55c	
g50b	53.9	-29.04	-21.87	36.36	217	l87c	
g75b	49.44	-15.51	-32.31	35.84	244	c20v	
b00r	41.36	1.15	-37.95	37.97	272	c53v	
b25r	28.74	27.19	-46.77	54.1	300	c87v	
b50r	33.74	61.97	-37.81	72.59	329	v68m	
b75r	40.08	64.26	-3.32	64.35	357	m33o	

lab^*tch^*

Brillantheit i^*

$i^*=1.00$

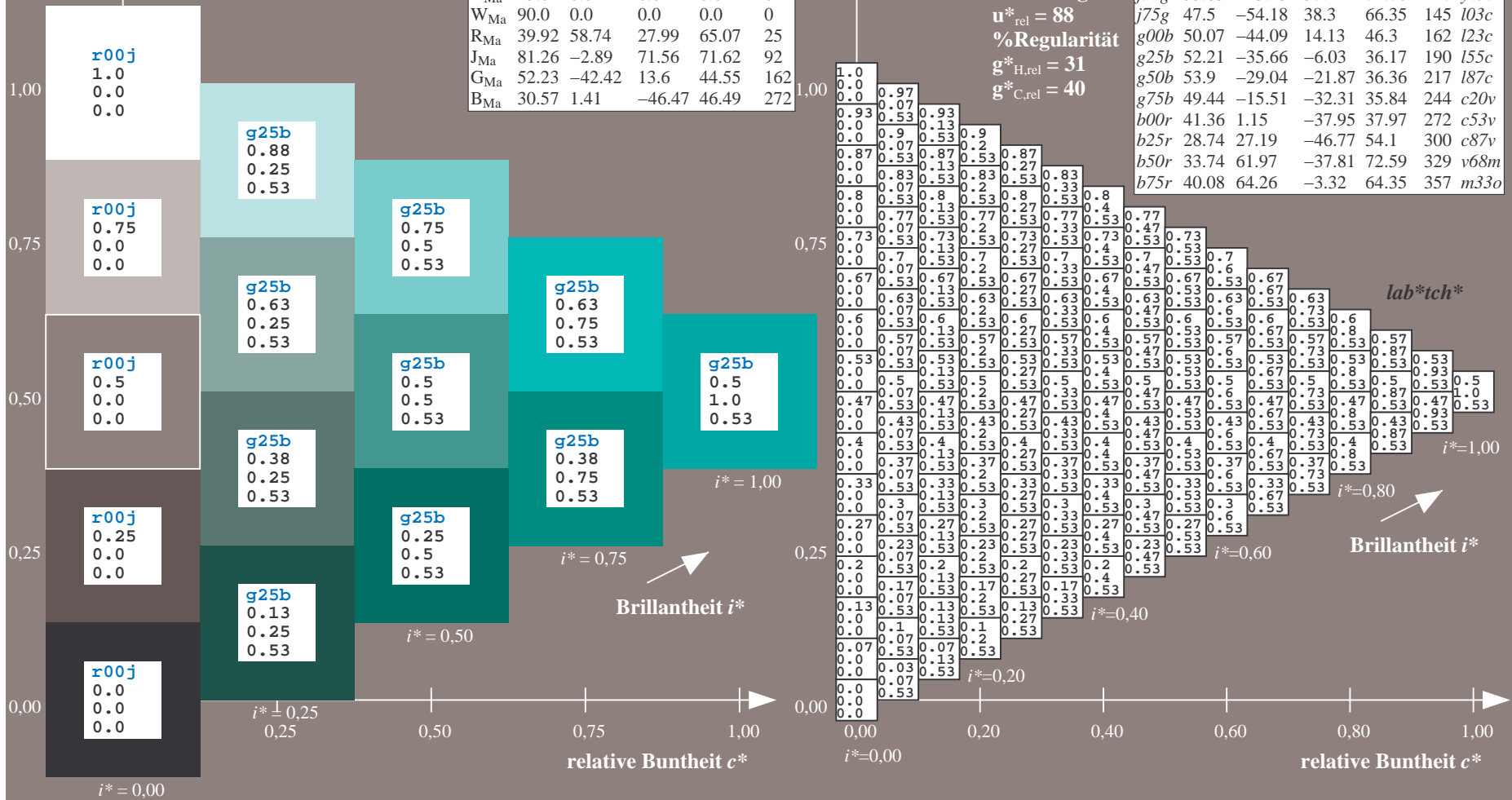
$i^*=0.80$

$i^*=0.60$

$i^*=0.40$

$i^*=0.20$

$i^*=0.00$



Ein und Ausgabe: Farbmatisches Drucker-Reflektiv-System FRS15_90a für relativen CIELAB-Bunton $h^* = lab^*h^* = h_{ab}/360 = 0.603$

$u^*_e = g50b$
 lab^*tch^*

Daten für jede Farbe:

lab^*tch^* und lab^*icu^*

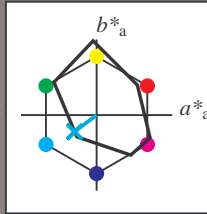
Buntontexte:

$u^*_e = g50b$ $u^*_d = l87c$

Kontrastreduzierungsfaktor:

$c_R = 0.9$

Dreiecks-Helligkeit t^*



FRS15_90a; adaptierte CIELAB-Daten

	u^*_e	$L^*=L^*_a$	a^*_a	b^*_a	$C^*_{ab,a}$	$h^*_{ab,a}$
O _{Ma}	38.8	53.92	39.68	66.95	36	
Y _{Ma}	82.58	-4.64	98.22	98.33	93	
L _{Ma}	46.95	-56.34	43.46	71.15	142	
C _{Ma}	54.62	-26.2	-28.68	38.85	228	
V _{Ma}	20.01	45.2	-52.87	69.56	311	
M _{Ma}	40.88	70.68	-29.99	76.78	337	
N _{Ma}	15.0	0.0	0.0	0.0	0	
W _{Ma}	90.0	0.0	0.0	0.0	0	
R _{Ma}	39.92	58.74	27.99	65.07	25	
J _{Ma}	81.26	-2.89	71.56	71.62	92	
G _{Ma}	52.23	-42.42	13.6	44.55	162	
B _{Ma}	30.57	1.41	-46.47	46.49	272	

Daten für Maximalfarbe (Ma):

$LAB^*LAB^*_{Ma}$: 54 -29 -22

$LAB^*LCH^*_{Ma}$: 54 36 216

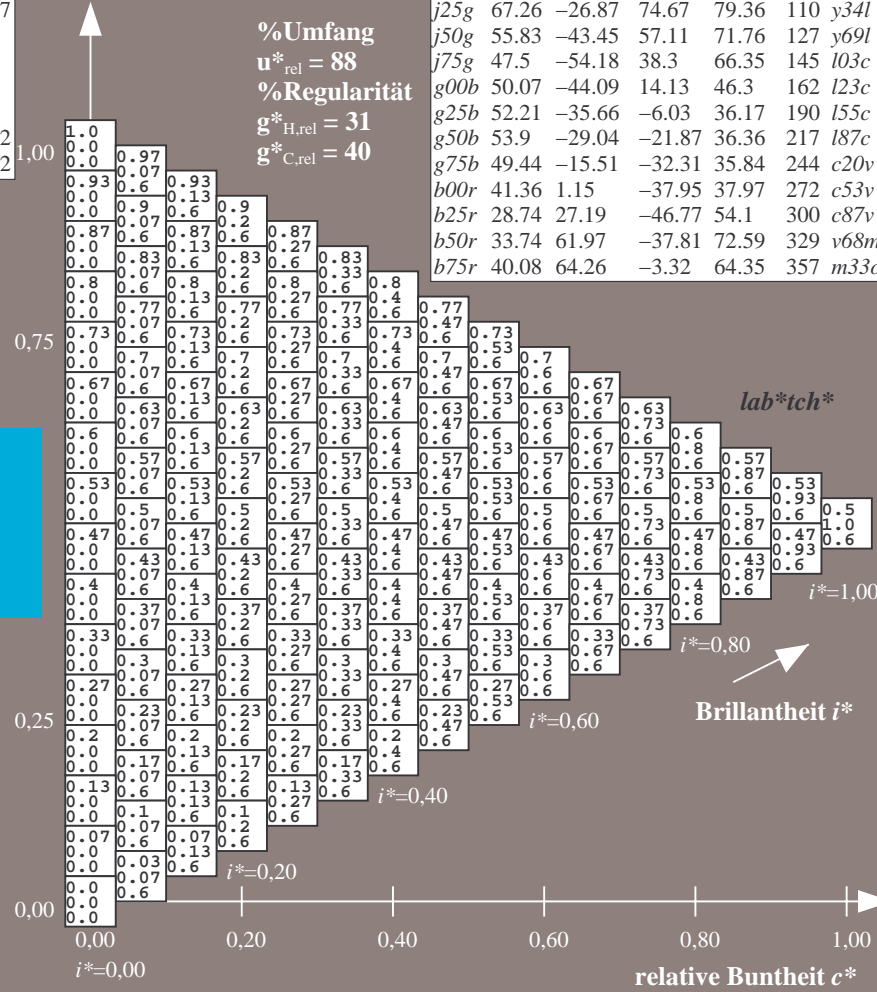
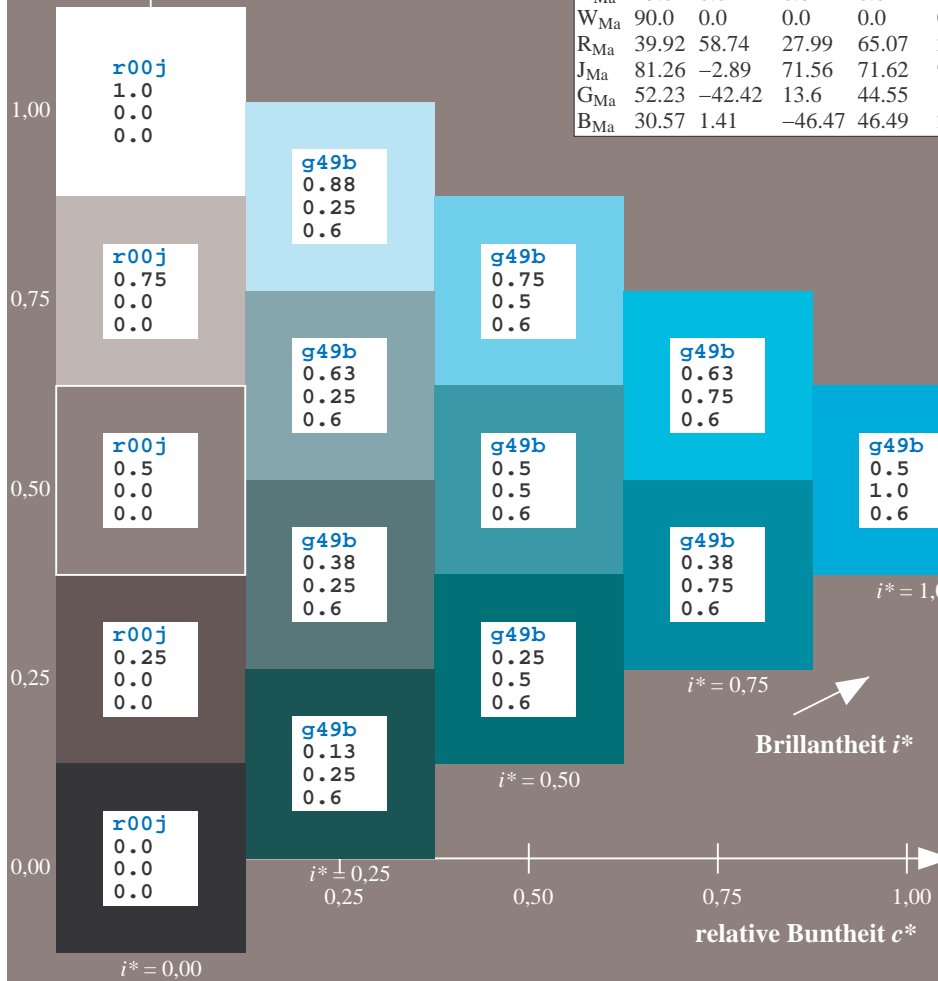
$lab^*rgb^*_{Ma}$: 0.0 1.0 1.0

$lab^*olv^*_{Ma}$: 0.0 1.0 0.88

Dreiecks-Helligkeit t^*

FRS15_90a; adaptierte CIELAB-Daten

	u^*_e	$L^*=L^*_a$	a^*_a	b^*_a	$C^*_{ab,a}$	$h^*_{ab,a}$	u^*_d
r00j	39.18	56.94	27.13	63.07	25	m81o	
r25j	42.41	49.1	44.5	66.26	42	o10y	
r50j	52.78	35.22	58.37	68.17	59	o40y	
r75j	64.82	19.12	74.47	76.89	76	o69y	
j00g	82.06	-3.94	97.52	97.6	92	o98y	
j25g	67.26	-26.87	74.67	79.36	110	y34l	
j50g	55.83	-43.45	57.11	71.76	127	y69l	
j75g	47.5	-54.18	38.3	66.35	145	103c	
g00b	50.07	-44.09	14.13	46.3	162	l23c	
g25b	52.21	-35.66	-6.03	36.17	190	l55c	
g50b	53.9	-29.04	-21.87	36.36	217	l87c	
g75b	49.44	-15.51	-32.31	35.84	244	c20v	
b00r	41.36	1.15	-37.95	37.97	272	c53v	
b25r	28.74	27.19	-46.77	54.1	300	c87v	
b50r	33.74	61.97	-37.81	72.59	329	v68m	
b75r	40.08	64.26	-3.32	64.35	357	m33o	



%Umfang
 $u^*_{rel} = 88$
%Regularität
 $g^*_{H,rel} = 31$
 $g^*_{C,rel} = 40$

Brillantheit i^*

lab^*tch^*

$i^* = 1.00$

$i^* = 0.80$

$i^* = 0.40$

$i^* = 0.20$

Ein und Ausgabe: Farbmatisches Drucker-Reflektiv-System FRS15_90a für relativen CIELAB-Bunton $h^* = lab^*h^* = h_{ab}/360 = 0.679$

$u^*_e = g75b$

Daten für jede Farbe:

lab^*tch^* und lab^*icu^*

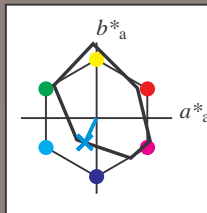
Buntontexte:

$u^*_e = g75b$ $u^*_d = c20v$

Kontrastreduzierungsfaktor:

$c_R = 0.9$

Dreiecks-Helligkeit t^*



FRS15_90a; adaptierte CIELAB-Daten

	u^*_e	$L^*=L^*_a$	a^*_a	b^*_a	$C^*_{ab,a}$	$h^*_{ab,a}$
O _{Ma}	38.8	53.92	39.68	66.95	36	
Y _{Ma}	82.58	-4.64	98.22	98.33	93	
L _{Ma}	46.95	-56.34	43.46	71.15	142	
C _{Ma}	54.62	-26.2	-28.68	38.85	228	
V _{Ma}	20.01	45.2	-52.87	69.56	311	
M _{Ma}	40.88	70.68	-29.99	76.78	337	
N _{Ma}	15.0	0.0	0.0	0.0	0	
W _{Ma}	90.0	0.0	0.0	0.0	0	
R _{Ma}	39.92	58.74	27.99	65.07	25	
J _{Ma}	81.26	-2.89	71.56	71.62	92	
G _{Ma}	52.23	-42.42	13.6	44.55	162	
B _{Ma}	30.57	1.41	-46.47	46.49	272	

Daten für Maximalfarbe (Ma):

$LAB^*LAB^*_{Ma}: 49 -16 -32$

$LAB^*LCH^*_{Ma}: 49 36 244$

$lab^*rgb^*_{Ma}: 0.0 0.5 1.0$

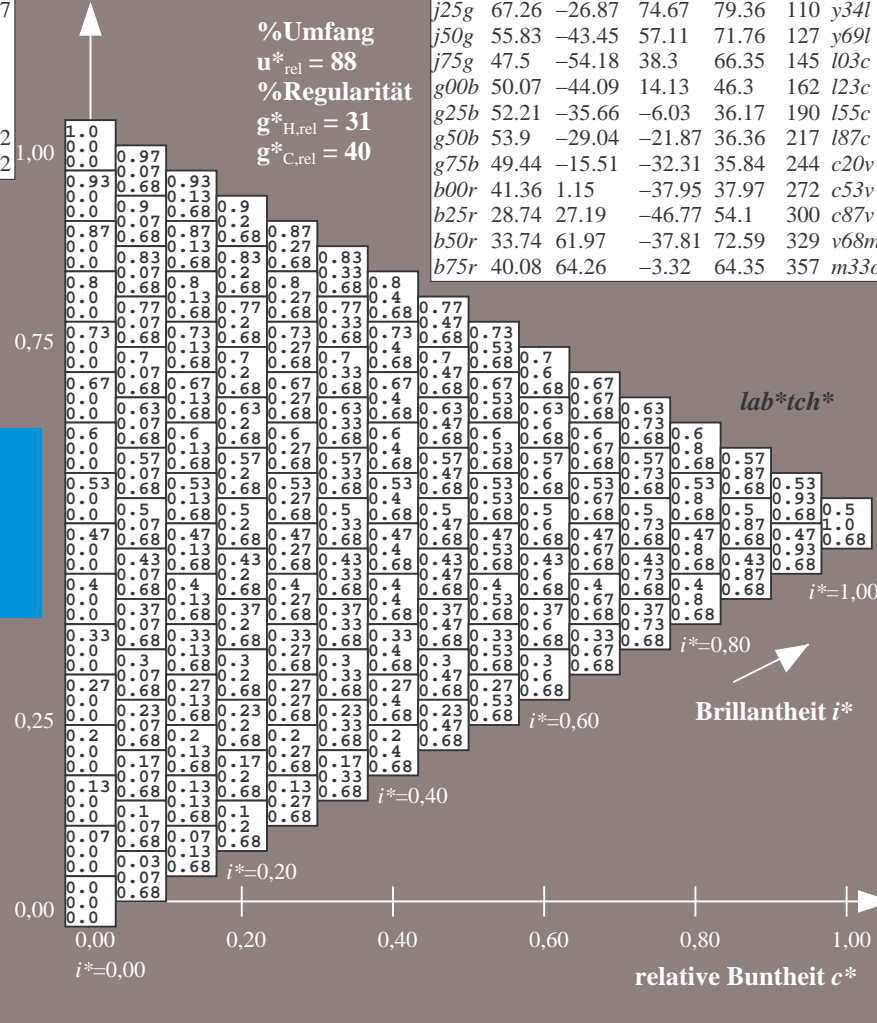
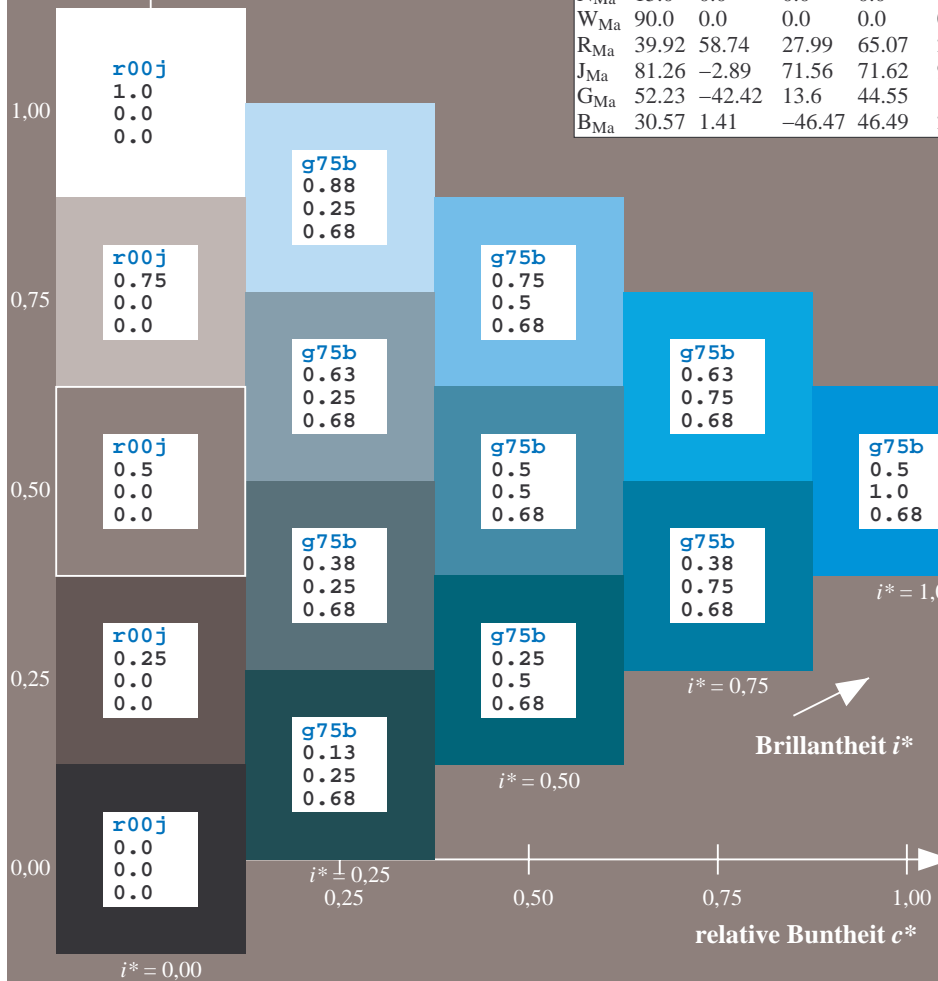
$lab^*olv^*_{Ma}: 0.0 0.8 1.0$

Dreiecks-Helligkeit t^*

FRS15_90a; adaptierte CIELAB-Daten

	u^*_e	$L^*=L^*_a$	a^*_a	b^*_a	$C^*_{ab,a}$	$h^*_{ab,a}$	u^*_d
r00j	39.18	56.94	27.13	63.07	25	m81o	
r25j	42.41	49.1	44.5	66.26	42	o10y	
r50j	52.78	35.22	58.37	68.17	59	o40y	
r75j	64.82	19.12	74.47	76.89	76	o69y	
j00g	82.06	-3.94	97.52	97.6	92	o98y	
j25g	67.26	-26.87	74.67	79.36	110	y34l	
j50g	55.83	-43.45	57.11	71.76	127	y69l	
j75g	47.5	-54.18	38.3	66.35	145	103c	
g00b	50.07	-44.09	14.13	46.3	162	l23c	
g25b	52.21	-35.66	-6.03	36.17	190	l55c	
g50b	53.9	-29.04	-21.87	36.36	217	l87c	
g75b	49.44	-15.51	-32.31	35.84	244	c20v	
b00r	41.36	1.15	-37.95	37.97	272	c53v	
b25r	28.74	27.19	-46.77	54.1	300	c87v	
b50r	33.74	61.97	-37.81	72.59	329	v68m	
b75r	40.08	64.26	-3.32	64.35	357	m33o	

lab^*tch^*



%Umfang
 $u^*_{rel} = 88$
 %Regularität
 $g^*_{H,rel} = 31$
 $g^*_{C,rel} = 40$

Ein und Ausgabe: Farbmatisches Drucker-Reflektiv-System FRS15_90a für relativen CIELAB-Bunton $h^* = lab^*h^* = h_{ab}/360 = 0.755$

$u^*_e = b00r$

Daten für jede Farbe:

lab^*tch^* und lab^*icu^*

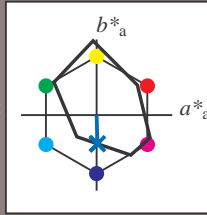
Buntontexte:

$u^*_e = b00r$ $u^*_d = c53v$

Kontrastreduzierungsfaktor:

$c_R = 0.9$

Dreiecks-Helligkeit t^*



FRS15_90a; adaptierte CIELAB-Daten

	u^*_e	$L^*=L^*_a$	a^*_a	b^*_a	$C^*_{ab,a}$	$h^*_{ab,a}$
O _{Ma}	38.8	53.92	39.68	66.95	36	
Y _{Ma}	82.58	-4.64	98.22	98.33	93	
L _{Ma}	46.95	-56.34	43.46	71.15	142	
C _{Ma}	54.62	-26.2	-28.68	38.85	228	
V _{Ma}	20.01	45.2	-52.87	69.56	311	
M _{Ma}	40.88	70.68	-29.99	76.78	337	
N _{Ma}	15.0	0.0	0.0	0.0	0	
W _{Ma}	90.0	0.0	0.0	0.0	0	
R _{Ma}	39.92	58.74	27.99	65.07	25	
J _{Ma}	81.26	-2.89	71.56	71.62	92	
G _{Ma}	52.23	-42.42	13.6	44.55	162	
B _{Ma}	30.57	1.41	-46.47	46.49	272	

Daten für Maximalfarbe (Ma):

$LAB^*LAB^*_{Ma}$: 41 1 -38

$LAB^*LCH^*_{Ma}$: 41 38 271

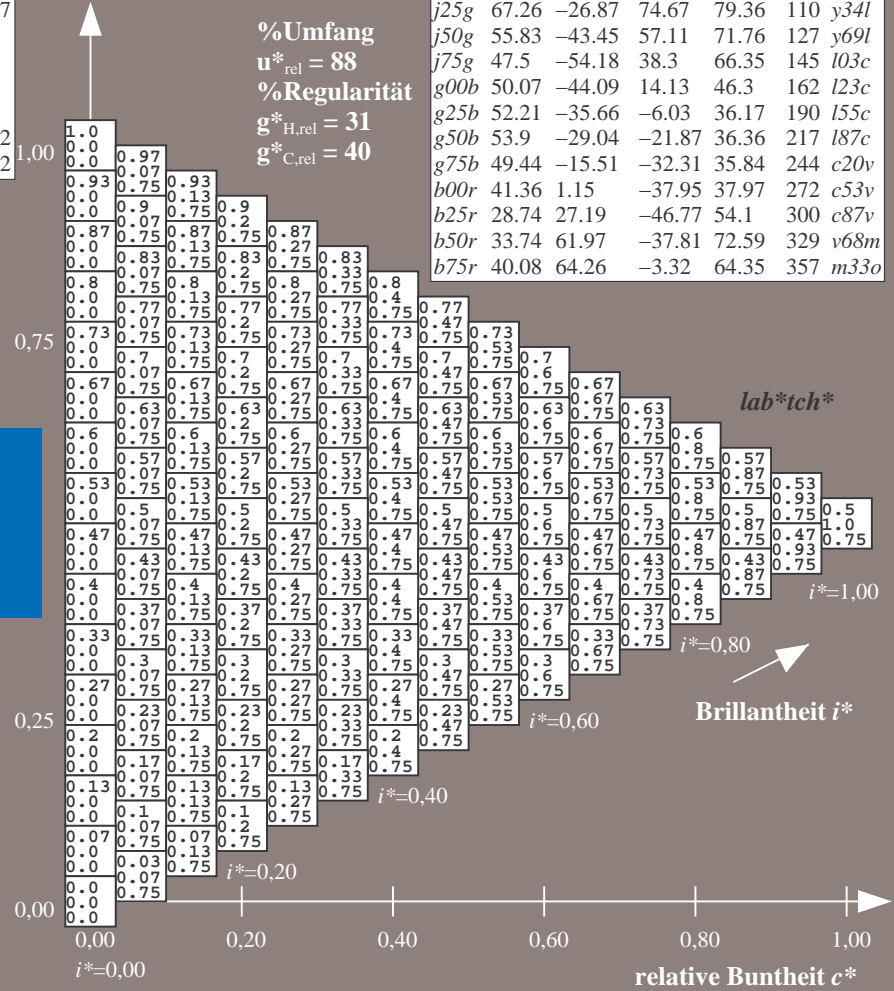
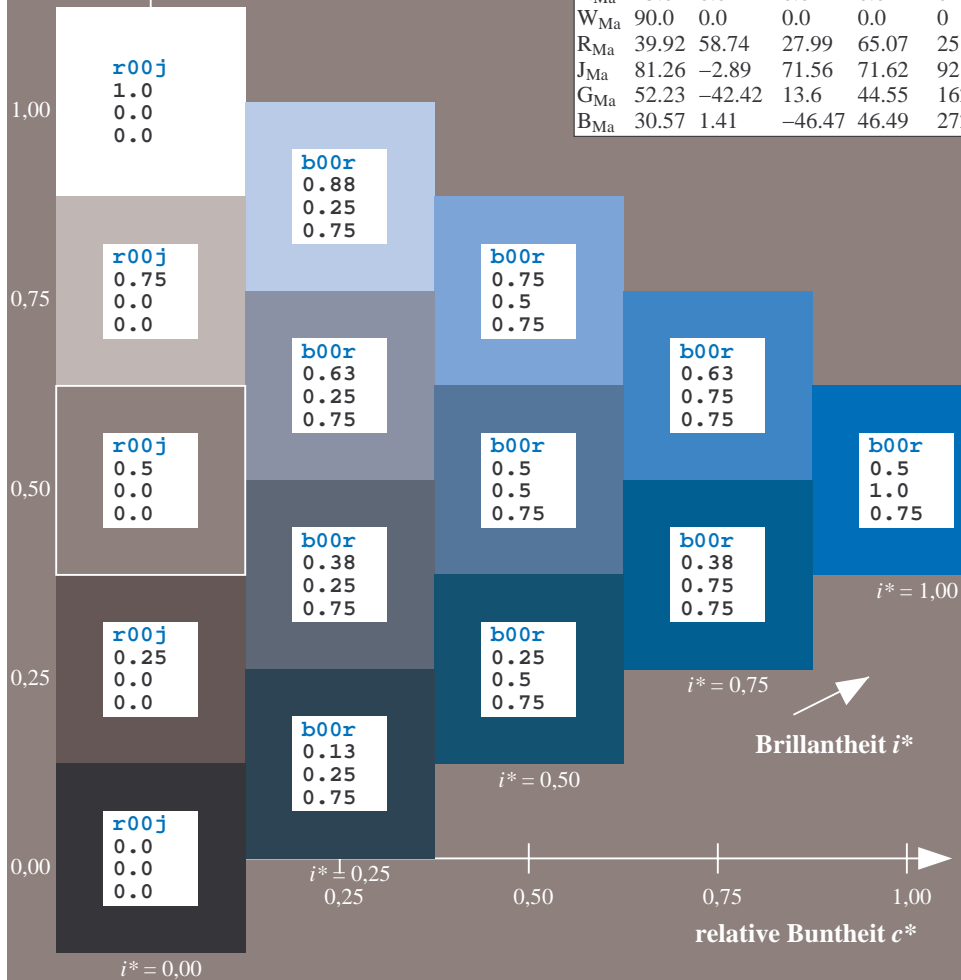
$lab^*rgb^*_{Ma}$: 0.0 0.0 1.0

$lab^*olv^*_{Ma}$: 0.0 0.47 1.0

Dreiecks-Helligkeit t^*

FRS15_90a; adaptierte CIELAB-Daten

	u^*_e	$L^*=L^*_a$	a^*_a	b^*_a	$C^*_{ab,a}$	$h^*_{ab,a}$	u^*_d
r00j	39.18	56.94	27.13	63.07	25	m81o	
r25j	42.41	49.1	44.5	66.26	42	o10y	
r50j	52.78	35.22	58.37	68.17	59	o40y	
r75j	64.82	19.12	74.47	76.89	76	o69y	
j00g	82.06	-3.94	97.52	97.6	92	o98y	
j25g	67.26	-26.87	74.67	79.36	110	y34l	
j50g	55.83	-43.45	57.11	71.76	127	y69l	
j75g	47.5	-54.18	38.3	66.35	145	l03c	
g00b	50.07	-44.09	14.13	46.3	162	l23c	
g25b	52.21	-35.66	-6.03	36.17	190	l55c	
g50b	53.9	-29.04	-21.87	36.36	217	l87c	
g75b	49.44	-15.51	-32.31	35.84	244	c20v	
b00r	41.36	1.15	-37.95	37.97	272	c53v	
b25r	28.74	27.19	-46.77	54.1	300	c87v	
b50r	33.74	61.97	-37.81	72.59	329	v68m	
b75r	40.08	64.26	-3.32	64.35	357	m33o	



%Umfang
 $u^*_{rel} = 88$
 %Regularität
 $g^*_{H,rel} = 31$
 $g^*_{C,rel} = 40$

Brillantheit i^*

Brillantheit i^*

Ein und Ausgabe: Farbmetrisches Drucker-Reflektiv-System FRS15_90a für relativen CIELAB-Bunton $h^* = \text{lab}^*h^* = h_{ab}/360 = 0.834$

$u^*_e = b25r$

Daten für jede Farbe:

lab^*tch^* und lab^*icu^*

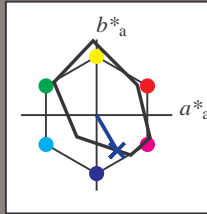
Buntontexte:

$u^*_e = b25r$ $u^*_d = c87v$

Kontrastreduzierungsfaktor:

$c_R = 0.9$

Dreiecks-Helligkeit t^*



FRS15_90a; adaptierte CIELAB-Daten

	u^*_e	$L^*=L^*_a$	a^*_a	b^*_a	$C^*_{ab,a}$	$h^*_{ab,a}$
O _{Ma}	38.8	53.92	39.68	66.95	36	
Y _{Ma}	82.58	-4.64	98.22	98.33	93	
L _{Ma}	46.95	-56.34	43.46	71.15	142	
C _{Ma}	54.62	-26.2	-28.68	38.85	228	
V _{Ma}	20.01	45.2	-52.87	69.56	311	
M _{Ma}	40.88	70.68	-29.99	76.78	337	
N _{Ma}	15.0	0.0	0.0	0.0	0	
W _{Ma}	90.0	0.0	0.0	0.0	0	
R _{Ma}	39.92	58.74	27.99	65.07	25	
J _{Ma}	81.26	-2.89	71.56	71.62	92	
G _{Ma}	52.23	-42.42	13.6	44.55	162	
B _{Ma}	30.57	1.41	-46.47	46.49	272	

Daten für Maximalfarbe (Ma):

$\text{LAB}^*\text{LAB}^*_{Ma}: 29 \ 27 \ -47$

$\text{LAB}^*\text{LCH}^*_{Ma}: 29 \ 54 \ 300$

$\text{lab}^*\text{rgb}^*_{Ma}: 0.5 \ 0.0 \ 1.0$

$\text{lab}^*\text{olv}^*_{Ma}: 0.0 \ 0.12 \ 1.0$

Dreiecks-Helligkeit t^*

FRS15_90a; adaptierte CIELAB-Daten

	u^*_e	$L^*=L^*_a$	a^*_a	b^*_a	$C^*_{ab,a}$	$h^*_{ab,a}$	u^*_d
r00j	39.18	56.94	27.13	63.07	25	m81o	
r25j	42.41	49.1	44.5	66.26	42	o10y	
r50j	52.78	35.22	58.37	68.17	59	o40y	
r75j	64.82	19.12	74.47	76.89	76	o69y	
j00g	82.06	-3.94	97.52	97.6	92	o98y	
j25g	67.26	-26.87	74.67	79.36	110	y34l	
j50g	55.83	-43.45	57.11	71.76	127	y69l	
j75g	47.5	-54.18	38.3	66.35	145	l03c	
g00b	50.07	-44.09	14.13	46.3	162	l23c	
g25b	52.21	-35.66	-6.03	36.17	190	l55c	
g50b	53.9	-29.04	-21.87	36.36	217	l87c	
g75b	49.44	-15.51	-32.31	35.84	244	c20v	
b00r	41.36	1.15	-37.95	37.97	272	c53v	
b25r	28.74	27.19	-46.77	54.1	300	c87v	
b50r	33.74	61.97	-37.81	72.59	329	v68m	
b75r	40.08	64.26	-3.32	64.35	357	m33o	

lab^*tch^*

$i^*=1.00$

Brillantheit i^*

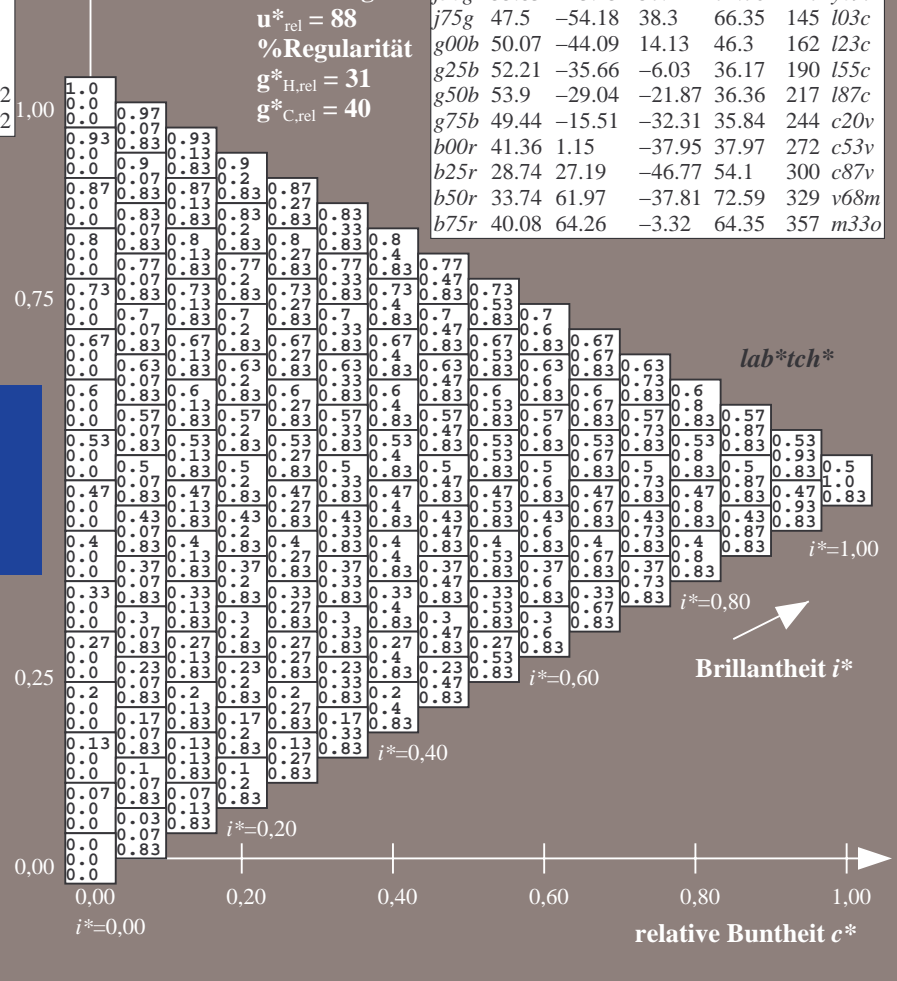
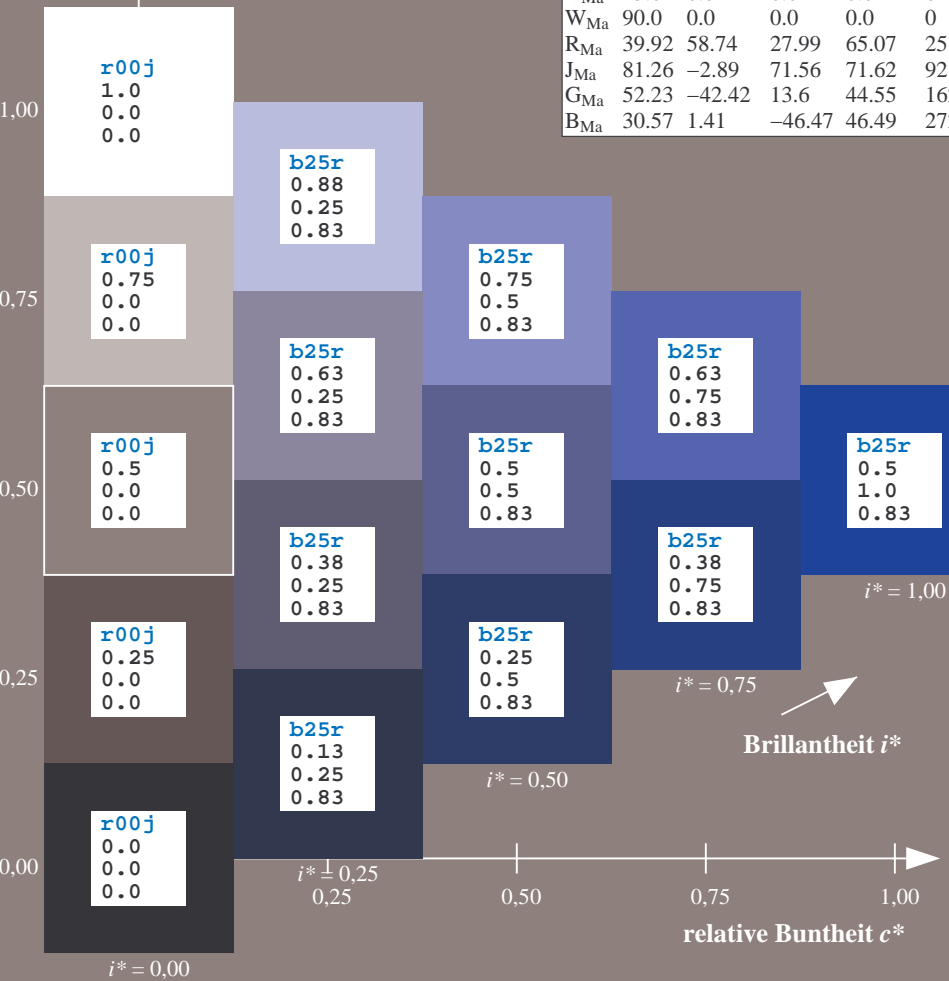
$i^*=0.80$

$i^*=0.60$

$i^*=0.40$

$i^*=0.20$

$i^*=0.00$



Ein und Ausgabe: Farbmatisches Drucker-Reflektiv-System FRS15_90a für relativen CIELAB-Bunton $h^* = lab^*h^* = h_{ab}/360 = 0.913$

$u^*_e = b50r$

Daten für jede Farbe:

lab^*tch^* und lab^*icu^*

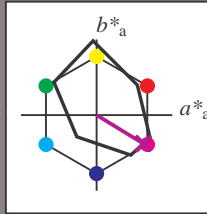
Buntontexte:

$u^*_e = b50r$ $u^*_d = v68m$

Kontrastreduzierungsfaktor:

$c_R = 0.9$

Dreiecks-Helligkeit t^*



FRS15_90a; adaptierte CIELAB-Daten

u^*_e	$L^*=L^*_a$	a^*_a	b^*_a	$C^*_{ab,a}$	$h^*_{ab,a}$
O _{Ma}	38.8	53.92	39.68	66.95	36
Y _{Ma}	82.58	-4.64	98.22	98.33	93
L _{Ma}	46.95	-56.34	43.46	71.15	142
C _{Ma}	54.62	-26.2	-28.68	38.85	228
V _{Ma}	20.01	45.2	-52.87	69.56	311
M _{Ma}	40.88	70.68	-29.99	76.78	337
N _{Ma}	15.0	0.0	0.0	0.0	0
W _{Ma}	90.0	0.0	0.0	0.0	0
R _{Ma}	39.92	58.74	27.99	65.07	25
J _{Ma}	81.26	-2.89	71.56	71.62	92
G _{Ma}	52.23	-42.42	13.6	44.55	162
B _{Ma}	30.57	1.41	-46.47	46.49	272

Daten für Maximalfarbe (Ma):

$LAB^*LAB^*_{Ma}$: 34 62 -38

$LAB^*LCH^*_{Ma}$: 34 73 328

$lab^*rgb^*_{Ma}$: 1.0 0.0 1.0

$lab^*olv^*_{Ma}$: 0.68 0.0 1.0

Dreiecks-Helligkeit t^*

%Umfang

$u^*_{rel} = 88$

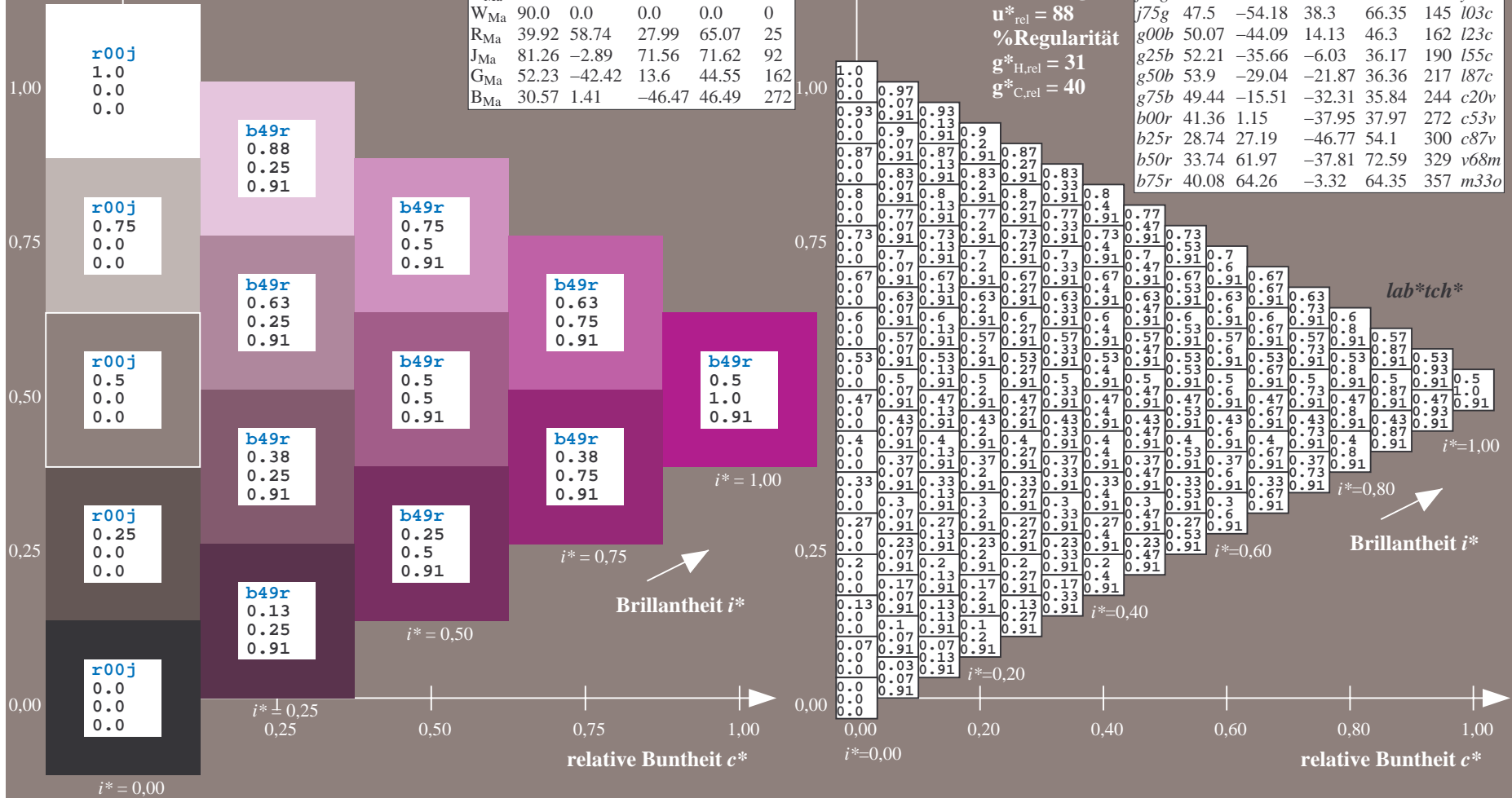
%Regularität

$g^*_{H,rel} = 31$

$g^*_{C,rel} = 40$

FRS15_90a; adaptierte CIELAB-Daten

u^*_e	$L^*=L^*_a$	a^*_a	b^*_a	$C^*_{ab,a}$	$h^*_{ab,a}$	u^*_d
r00j	39.18	56.94	27.13	63.07	25	m81o
r25j	42.41	49.1	44.5	66.26	42	o10y
r50j	52.78	35.22	58.37	68.17	59	o40y
r75j	64.82	19.12	74.47	76.89	76	o69y
j00g	82.06	-3.94	97.52	97.6	92	o98y
j25g	67.26	-26.87	74.67	79.36	110	y34l
j50g	55.83	-43.45	57.11	71.76	127	y69l
j75g	47.5	-54.18	38.3	66.35	145	l03c
g00b	50.07	-44.09	14.13	46.3	162	l23c
g25b	52.21	-35.66	-6.03	36.17	190	l55c
g50b	53.9	-29.04	-21.87	36.36	217	l87c
g75b	49.44	-15.51	-32.31	35.84	244	c20v
b00r	41.36	1.15	-37.95	37.97	272	c53v
b25r	28.74	27.19	-46.77	54.1	300	c87v
b50r	33.74	61.97	-37.81	72.59	329	v68m
b75r	40.08	64.26	-3.32	64.35	357	m33o



Ein und Ausgabe: Farbmatisches Drucker-Reflektiv-System FRS15_90a für relativen CIELAB-Bunton $h^* = lab^*h^* = h_{ab}/360 = 0.992$

$u^*_e = b75r$

Daten für jede Farbe:

lab^*tch^* und lab^*icu^*

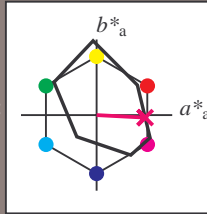
Buntontexte:

$u^*_e = b75r$ $u^*_d = m33o$

Kontrastreduzierungsfaktor:

$c_R = 0.9$

Dreiecks-Helligkeit t^*



FRS15_90a; adaptierte CIELAB-Daten

	u^*_e	$L^*=L^*_a$	a^*_a	b^*_a	$C^*_{ab,a}$	$h^*_{ab,a}$
O _{Ma}	38.8	53.92	39.68	66.95	36	
Y _{Ma}	82.58	-4.64	98.22	98.33	93	
L _{Ma}	46.95	-56.34	43.46	71.15	142	
C _{Ma}	54.62	-26.2	-28.68	38.85	228	
V _{Ma}	20.01	45.2	-52.87	69.56	311	
M _{Ma}	40.88	70.68	-29.99	76.78	337	
N _{Ma}	15.0	0.0	0.0	0.0	0	
W _{Ma}	90.0	0.0	0.0	0.0	0	
R _{Ma}	39.92	58.74	27.99	65.07	25	
J _{Ma}	81.26	-2.89	71.56	71.62	92	
G _{Ma}	52.23	-42.42	13.6	44.55	162	
B _{Ma}	30.57	1.41	-46.47	46.49	272	

Daten für Maximalfarbe (Ma):

$LAB^*LAB^*_{Ma}: 40 \ 64 \ -3$

$LAB^*LCH^*_{Ma}: 40 \ 64 \ 357$

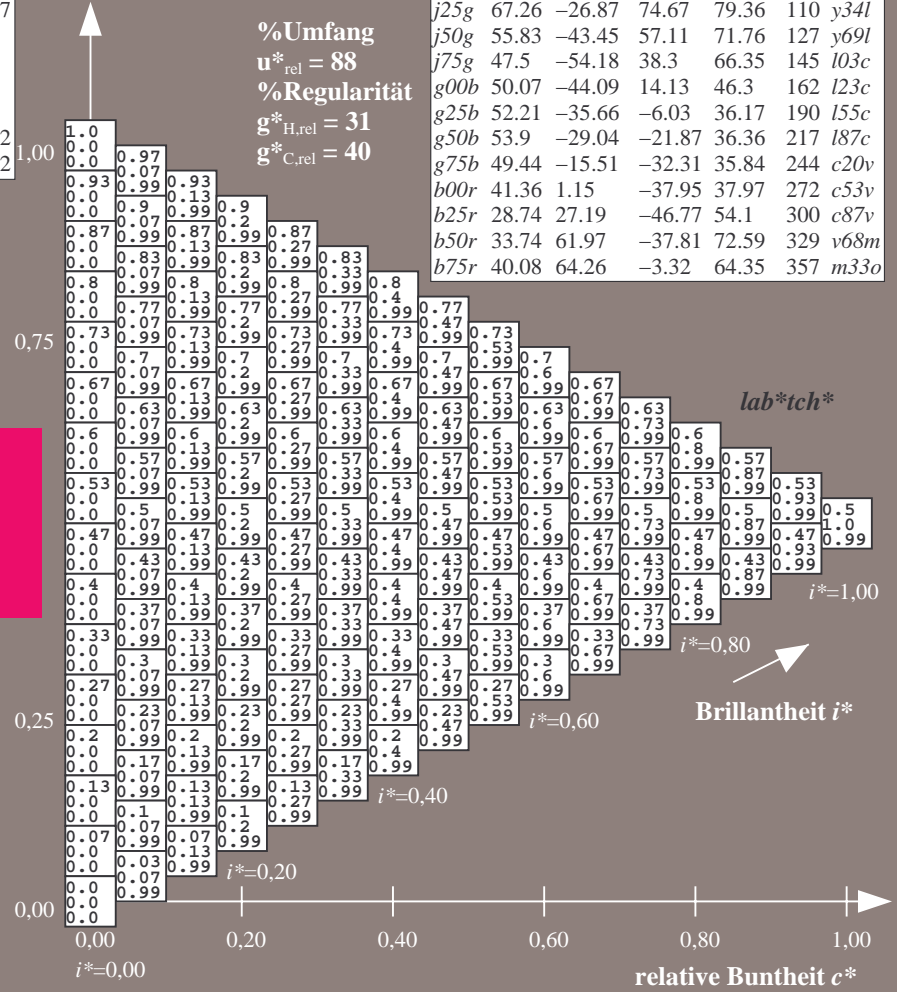
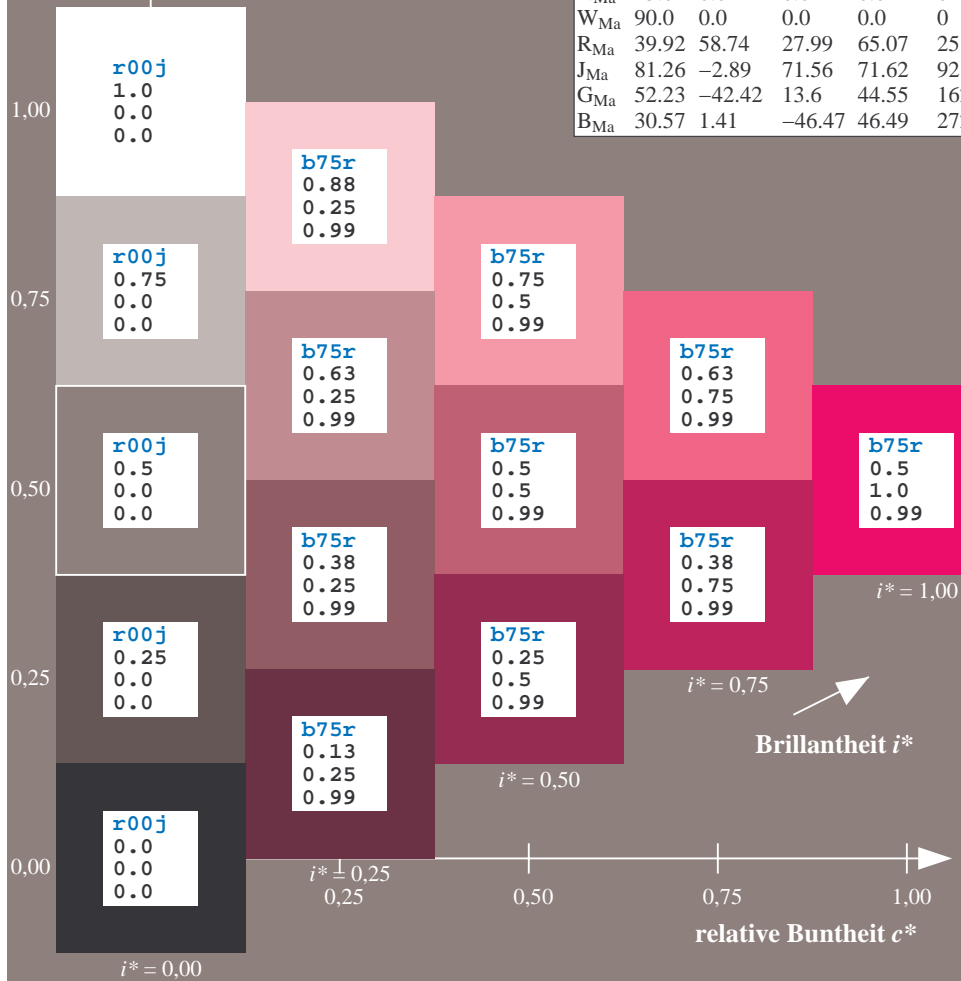
$lab^*rgb^*_{Ma}: 1.0 \ 0.0 \ 0.5$

$lab^*olv^*_{Ma}: 1.0 \ 0.0 \ 0.66$

Dreiecks-Helligkeit t^*

FRS15_90a; adaptierte CIELAB-Daten

	u^*_e	$L^*=L^*_a$	a^*_a	b^*_a	$C^*_{ab,a}$	$h^*_{ab,a}$	u^*_d
r00j	39.18	56.94	27.13	63.07	25	m81o	
r25j	42.41	49.1	44.5	66.26	42	o10y	
r50j	52.78	35.22	58.37	68.17	59	o40y	
r75j	64.82	19.12	74.47	76.89	76	o69y	
j00g	82.06	-3.94	97.52	97.6	92	o98y	
j25g	67.26	-26.87	74.67	79.36	110	y34l	
j50g	55.83	-43.45	57.11	71.76	127	y69l	
j75g	47.5	-54.18	38.3	66.35	145	l03c	
g00b	50.07	-44.09	14.13	46.3	162	l23c	
g25b	52.21	-35.66	-6.03	36.17	190	l55c	
g50b	53.9	-29.04	-21.87	36.36	217	l87c	
g75b	49.44	-15.51	-32.31	35.84	244	c20v	
b00r	41.36	1.15	-37.95	37.97	272	c53v	
b25r	28.74	27.19	-46.77	54.1	300	c87v	
b50r	33.74	61.97	-37.81	72.59	329	v68m	
b75r	40.08	64.26	-3.32	64.35	357	m33o	



%Umfang
 $u^*_{rel} = 88$
 %Regularität
 $g^*_{H,rel} = 31$
 $g^*_{C,rel} = 40$

lab^*tch^*
 Brillantheit i^*
 $i^* = 1.00$
 $i^* = 0.80$
 $i^* = 0.60$
 $i^* = 0.40$
 $i^* = 0.20$

Ein und Ausgabe:
Farbmetrisches Drucker-Reflektiv-System FRS15_90a

Daten für jede Farbe:

u^*_e und Nummer $Nr. = 00 \dots 15$

Elementar-Bunttextext:

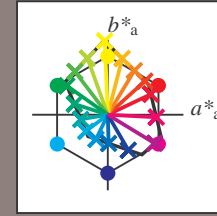
$u^*_e = 16$ Bunttoene $r00j, r25j, \dots, b75r$

Kontrastreduzierungsfaktor:

$c_R = 0.9$

FRS15_90a; adaptierte CIELAB-Daten

u^*_e	$L^*=L^*_a$	a^*_a	b^*_a	$C^*_{ab,a}$	$h^*_{ab,a}$	u^*_d
r00j	39.18	56.94	27.13	63.07	25	m81o
r25j	42.41	49.1	44.5	66.26	42	o10y
r50j	52.78	35.22	58.37	68.17	59	o40y
r75j	64.82	19.12	74.47	76.89	76	o69y
j00g	82.06	-3.94	97.52	97.6	92	o98y
j25g	67.26	-26.87	74.67	79.36	110	y34l
j50g	55.83	-43.45	57.11	71.76	127	y69l
j75g	47.5	-54.18	38.3	66.35	145	l03c
g00b	50.07	-44.09	14.13	46.3	162	l23c
g25b	52.21	-35.66	-6.03	36.17	190	l55c
g50b	53.9	-29.04	-21.87	36.36	217	l87c
g75b	49.44	-15.51	-32.31	35.84	244	c20v
b00r	41.36	1.15	-37.95	37.97	272	c53v
b25r	28.74	27.19	-46.77	54.1	300	c87v
b50r	33.74	61.97	-37.81	72.59	329	v68m
b75r	40.08	64.26	-3.32	64.35	357	m33o



%Umfang

$u^*_{rel} = 88$

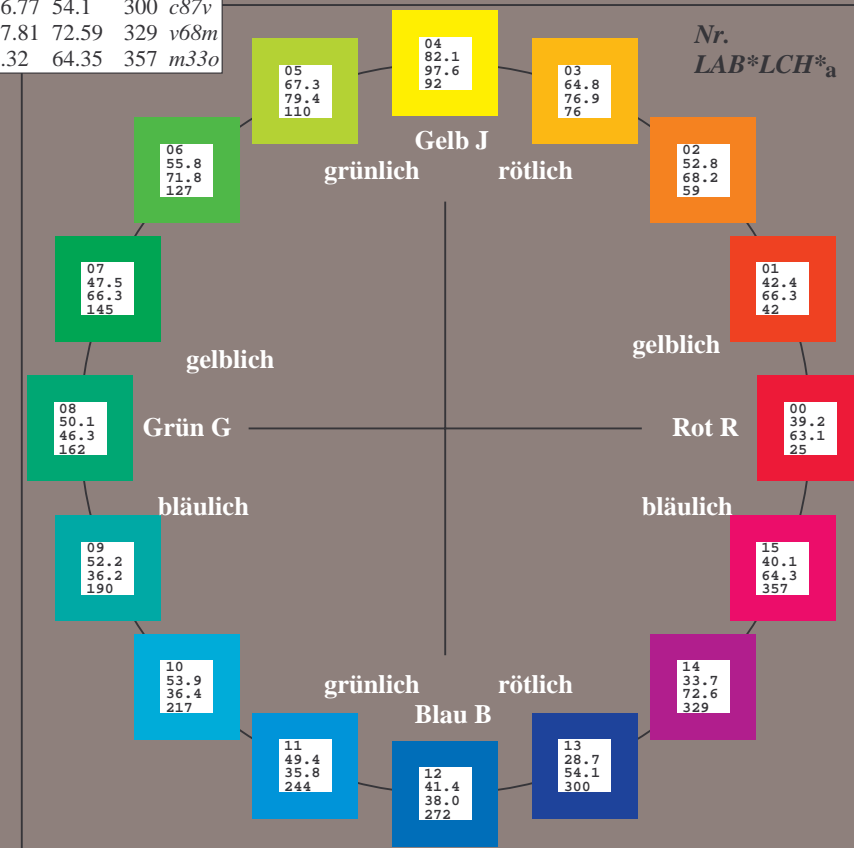
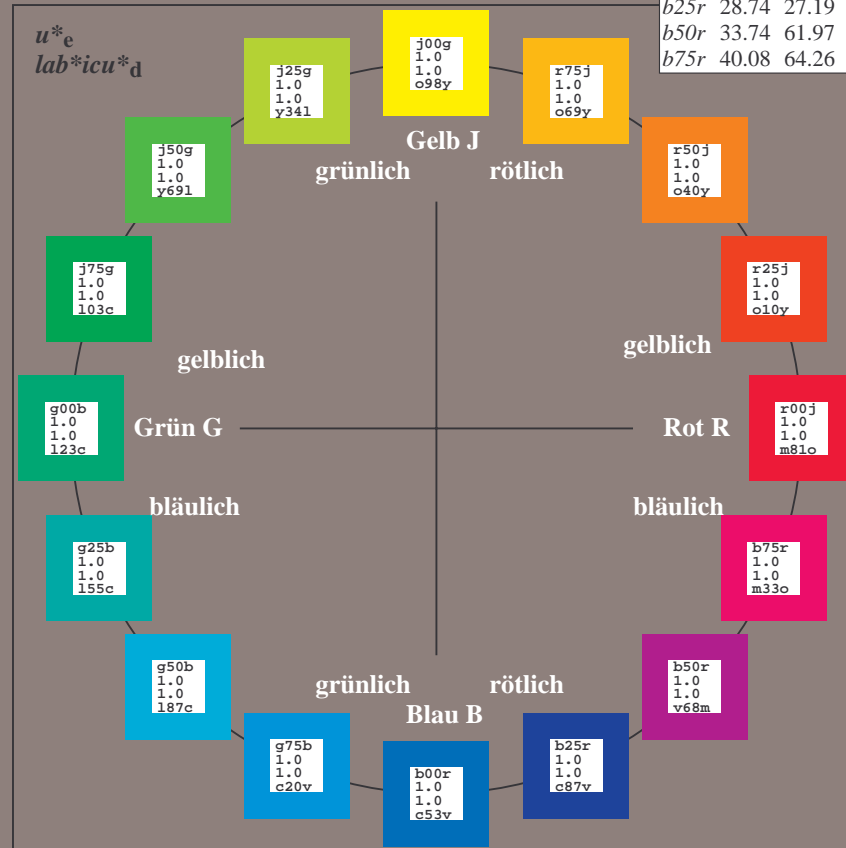
%Regularität

$g^*_{H,rel} = 31$

$g^*_{C,rel} = 40$

FRS15_90a; adaptierte CIELAB-Daten

Name	$L^*=L^*_a$	a^*_a	b^*_a	$C^*_{ab,a}$	$h^*_{ab,a}$
OMa	38.8	53.92	39.68	66.95	36
YMa	82.58	-4.64	98.22	98.33	93
LMa	46.95	-56.34	43.46	71.15	142
CMa	54.62	-26.2	-28.68	38.85	228
VMa	20.01	45.2	-52.87	69.56	311
MMa	40.88	70.68	-29.99	76.78	337
NMa	15.0	0.0	0.0	0.0	0
WMa	90.0	0.0	0.0	0.0	0
RCIE	39.92	58.74	27.99	65.07	25
JCIE	81.26	-2.89	71.56	71.62	92
GCIE	52.23	-42.42	13.6	44.55	162
BCIE	30.57	1.41	-46.47	46.49	272



Ein und Ausgabe: Farbmatisches Drucker-Reflektiv-System FRS15_90a für relativen CIELAB-Bunton $h^* = lab^*h^* = h_{ab}/360 = 0.071$

$u^*_e = r00j$
 $lab^*icu^*_d$

Daten für jede Farbe:

lab^*ch^* und lab^*icu^*

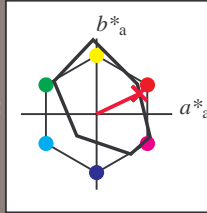
Buntontexte:

$u^*_e = r00j$ $u^*_d = m81o$

Kontrastreduzierungsfaktor:

$c_R = 0.9$

Dreiecks-Helligkeit t^*



FRS15_90a; adaptierte CIELAB-Daten

	u^*_e	$L^*=L^*_a$	a^*_a	b^*_a	$C^*_{ab,a}$	$h^*_{ab,a}$
O _{Ma}	38.8	53.92	39.68	66.95	36	
Y _{Ma}	82.58	-4.64	98.22	98.33	93	
L _{Ma}	46.95	-56.34	43.46	71.15	142	
C _{Ma}	54.62	-26.2	-28.68	38.85	228	
V _{Ma}	20.01	45.2	-52.87	69.56	311	
M _{Ma}	40.88	70.68	-29.99	76.78	337	
N _{Ma}	15.0	0.0	0.0	0.0	0	
W _{Ma}	90.0	0.0	0.0	0.0	0	
R _{Ma}	39.92	58.74	27.99	65.07	25	
J _{Ma}	81.26	-2.89	71.56	71.62	92	
G _{Ma}	52.23	-42.42	13.6	44.55	162	
B _{Ma}	30.57	1.41	-46.47	46.49	272	

Daten für Maximalfarbe (Ma):

$LAB^*LAB^*_{Ma}$: 39 57 27

$LAB^*LCH^*_{Ma}$: 39 63 25

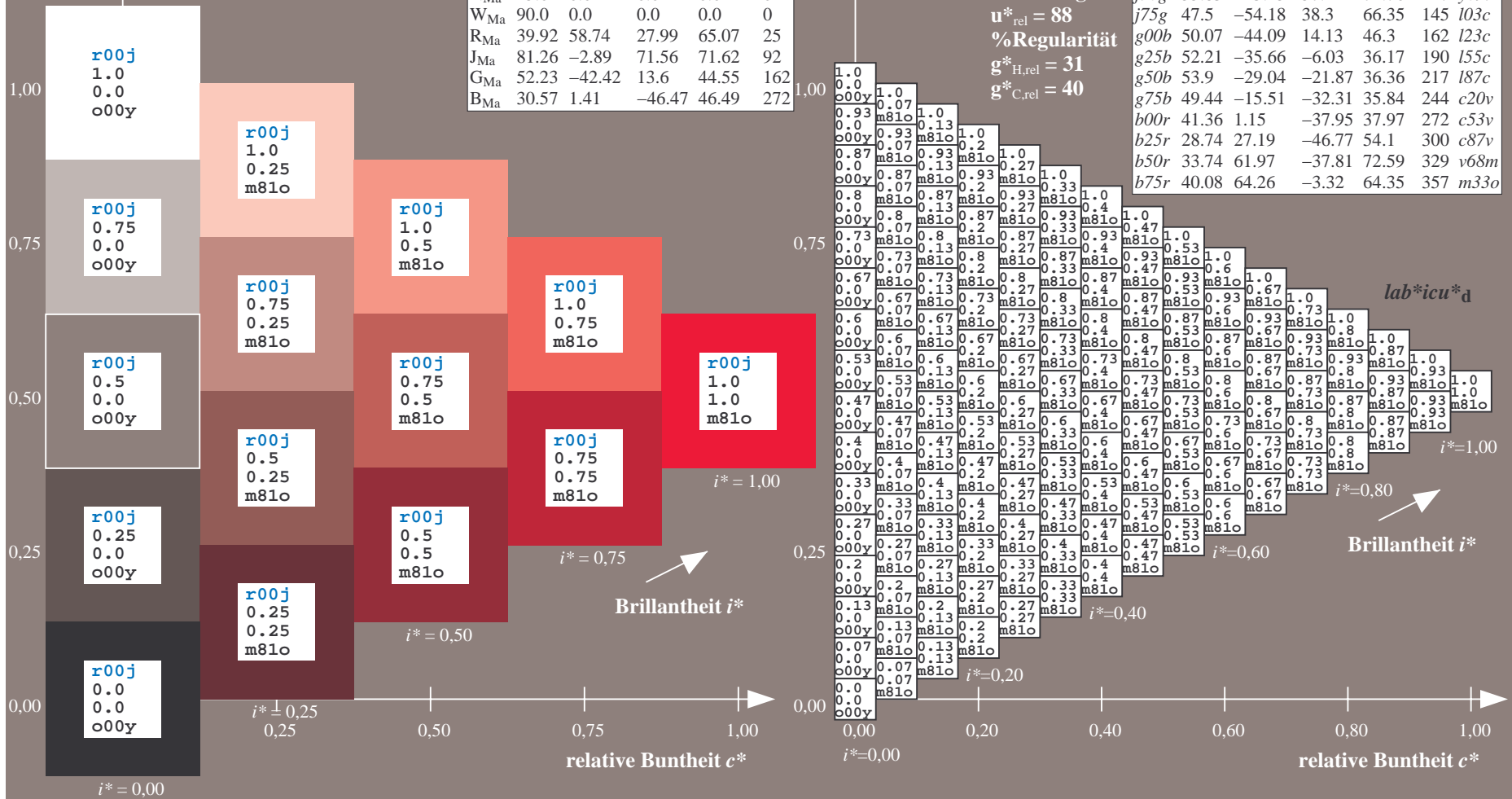
$lab^*rgb^*_{Ma}$: 1.0 0.0 0.0

$lab^*olv^*_{Ma}$: 1.0 0.0 0.18

Dreiecks-Helligkeit t^*

FRS15_90a; adaptierte CIELAB-Daten

	u^*_e	$L^*=L^*_a$	a^*_a	b^*_a	$C^*_{ab,a}$	$h^*_{ab,a}$	u^*_d
r00j	39.18	56.94	27.13	63.07	25	m81o	
r25j	42.41	49.1	44.5	66.26	42	o10y	
r50j	52.78	35.22	58.37	68.17	59	o40y	
r75j	64.82	19.12	74.47	76.89	76	o69y	
j00g	82.06	-3.94	97.52	97.6	92	o98y	
j25g	67.26	-26.87	74.67	79.36	110	y34l	
j50g	55.83	-43.45	57.11	71.76	127	y69l	
j75g	47.5	-54.18	38.3	66.35	145	l03c	
g00b	50.07	-44.09	14.13	46.3	162	l23c	
g25b	52.21	-35.66	-6.03	36.17	190	l55c	
g50b	53.9	-29.04	-21.87	36.36	217	l87c	
g75b	49.44	-15.51	-32.31	35.84	244	c20v	
b00r	41.36	1.15	-37.95	37.97	272	c53v	
b25r	28.74	27.19	-46.77	54.1	300	c87v	
b50r	33.74	61.97	-37.81	72.59	329	v68m	
b75r	40.08	64.26	-3.32	64.35	357	m33o	



Ein und Ausgabe: Farbmatisches Drucker-Reflektiv-System FRS15_90a für relativen CIELAB-Bunton $h^* = lab^*h^* = h_{ab}/360 = 0.117$

$u^*_e = r25j$
 $lab^*icu^*_d$

Daten für jede Farbe:

lab^*tch^* und lab^*icu^*

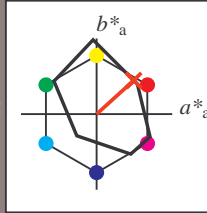
Buntontexte:

$u^*_e = r25j$ $u^*_d = o10y$

Kontrastreduzierungsfaktor:

$c_R = 0.9$

Dreiecks-Helligkeit t^*



FRS15_90a; adaptierte CIELAB-Daten

u^*_e	$L^*=L^*_a$	a^*_a	b^*_a	$C^*_{ab,a}$	$h^*_{ab,a}$
O _{Ma}	38.8	53.92	39.68	66.95	36
Y _{Ma}	82.58	-4.64	98.22	98.33	93
L _{Ma}	46.95	-56.34	43.46	71.15	142
C _{Ma}	54.62	-26.2	-28.68	38.85	228
V _{Ma}	20.01	45.2	-52.87	69.56	311
M _{Ma}	40.88	70.68	-29.99	76.78	337
N _{Ma}	15.0	0.0	0.0	0.0	0
W _{Ma}	90.0	0.0	0.0	0.0	0
R _{Ma}	39.92	58.74	27.99	65.07	25
J _{Ma}	81.26	-2.89	71.56	71.62	92
G _{Ma}	52.23	-42.42	13.6	44.55	162
B _{Ma}	30.57	1.41	-46.47	46.49	272

Daten für Maximalfarbe (Ma):

$LAB^*LAB^*_Ma: 42\ 49\ 44$

$LAB^*LCH^*_Ma: 42\ 66\ 42$

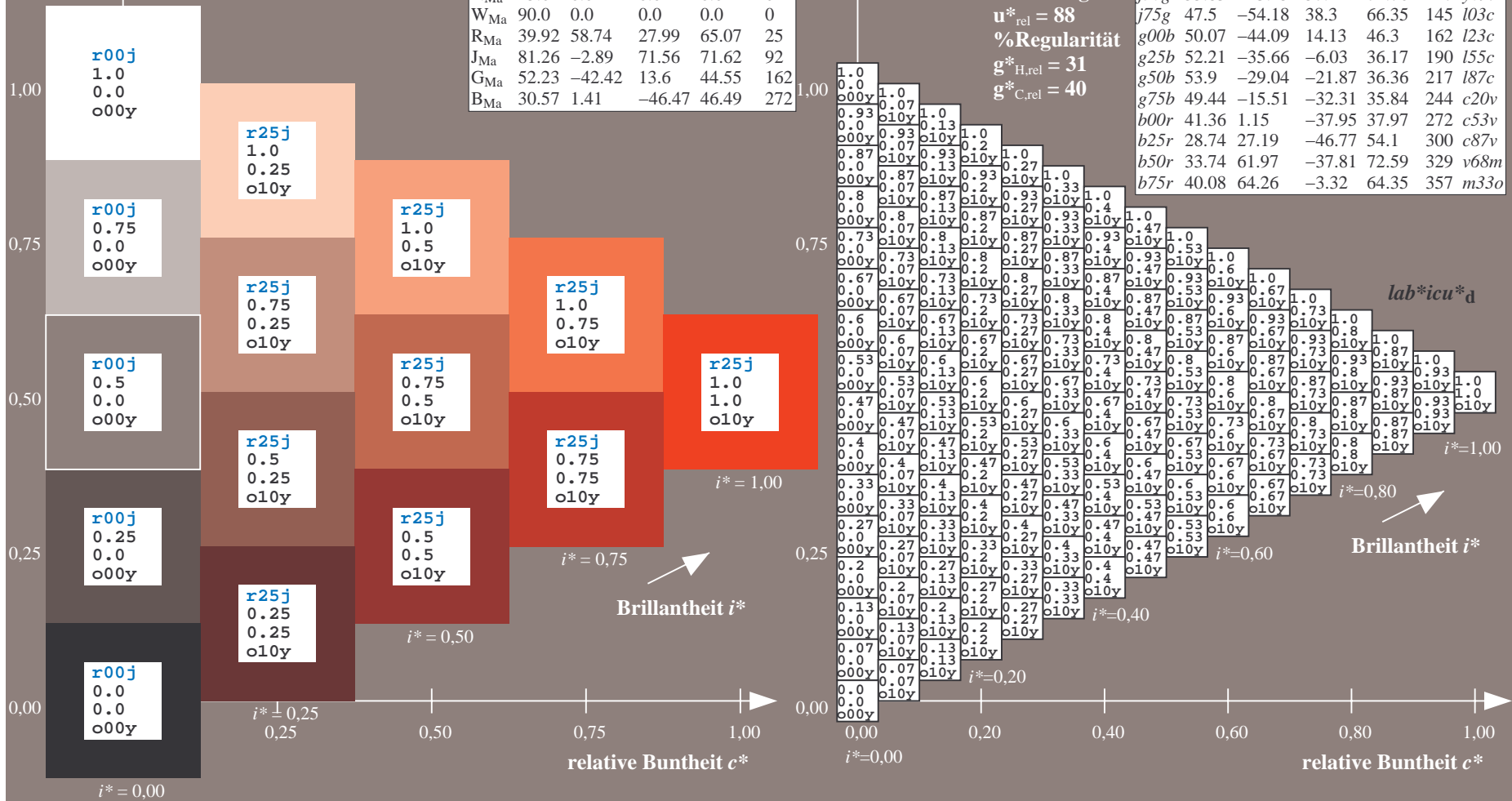
$lab^*rgb^*_Ma: 1.0\ 0.25\ 0.0$

$lab^*olv^*_Ma: 1.0\ 0.1\ 0.0$

Dreiecks-Helligkeit t^*

FRS15_90a; adaptierte CIELAB-Daten

u^*_e	$L^*=L^*_a$	a^*_a	b^*_a	$C^*_{ab,a}$	$h^*_{ab,a}$	u^*_d
r00j	39.18	56.94	27.13	63.07	25	m81o
r25j	42.41	49.1	44.5	66.26	42	o10y
r50j	52.78	35.22	58.37	68.17	59	o40y
r75j	64.82	19.12	74.47	76.89	76	o69y
j00g	82.06	-3.94	97.52	97.6	92	o98y
j25g	67.26	-26.87	74.67	79.36	110	y34l
j50g	55.83	-43.45	57.11	71.76	127	y69l
j75g	47.5	-54.18	38.3	66.35	145	l03c
g00b	50.07	-44.09	14.13	46.3	162	l23c
g25b	52.21	-35.66	-6.03	36.17	190	l55c
g50b	53.9	-29.04	-21.87	36.36	217	l87c
g75b	49.44	-15.51	-32.31	35.84	244	c20v
b00r	41.36	1.15	-37.95	37.97	272	c53v
b25r	28.74	27.19	-46.77	54.1	300	c87v
b50r	33.74	61.97	-37.81	72.59	329	v68m
b75r	40.08	64.26	-3.32	64.35	357	m33o



Ein und Ausgabe: Farbmatisches Drucker-Reflektiv-System FRS15_90a für relativen CIELAB-Bunton $h^* = lab^*h^* = h_{ab}/360 = 0.164$

$u^*_e = r50j$
 $lab^*icu^*_d$

Daten für jede Farbe:

lab^*tch^* und lab^*icu^*

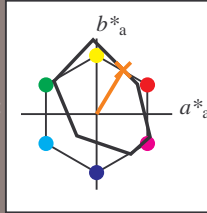
Buntontexte:

$u^*_e = r50j$ $u^*_d = o40y$

Kontrastreduzierungsfaktor:

$c_R = 0.9$

Dreiecks-Helligkeit t^*



FRS15_90a; adaptierte CIELAB-Daten						
u^*_e	$L^*=L^*_a$	a^*_a	b^*_a	$C^*_{ab,a}$	$h^*_{ab,a}$	
O _{Ma}	38.8	53.92	39.68	66.95	36	
Y _{Ma}	82.58	-4.64	98.22	98.33	93	
L _{Ma}	46.95	-56.34	43.46	71.15	142	
C _{Ma}	54.62	-26.2	-28.68	38.85	228	
V _{Ma}	20.01	45.2	-52.87	69.56	311	
M _{Ma}	40.88	70.68	-29.99	76.78	337	
N _{Ma}	15.0	0.0	0.0	0.0	0	
W _{Ma}	90.0	0.0	0.0	0.0	0	
R _{Ma}	39.92	58.74	27.99	65.07	25	
J _{Ma}	81.26	-2.89	71.56	71.62	92	
G _{Ma}	52.23	-42.42	13.6	44.55	162	
B _{Ma}	30.57	1.41	-46.47	46.49	272	

Daten für Maximalfarbe (Ma):

$LAB^*LAB^*_{Ma}: 53\ 35\ 58$

$LAB^*LCH^*_{Ma}: 53\ 68\ 58$

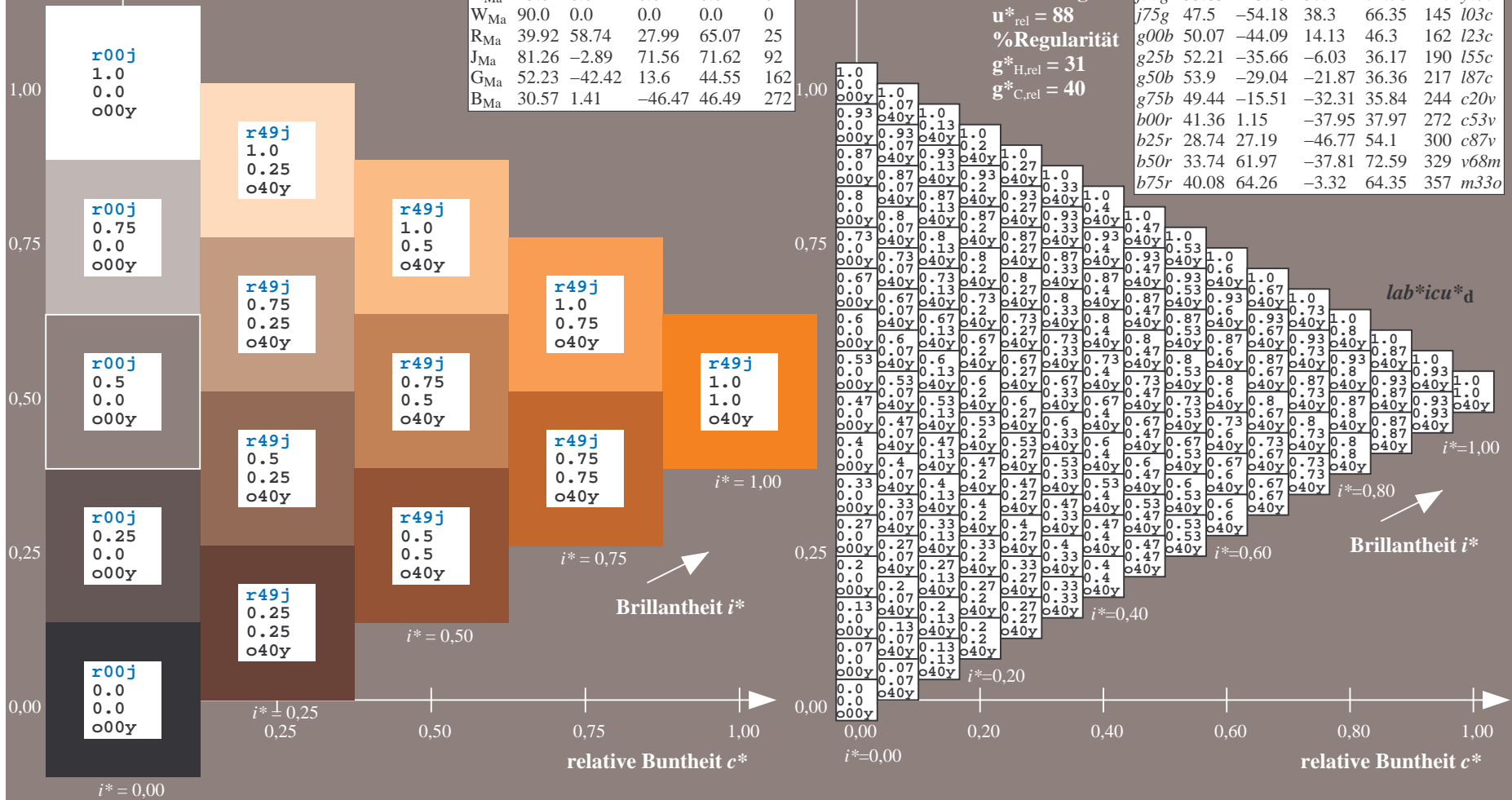
$lab^*rgb^*_{Ma}: 1.0\ 0.5\ 0.0$

$lab^*olv^*_{Ma}: 1.0\ 0.4\ 0.0$

Dreiecks-Helligkeit t^*

FRS15_90a; adaptierte CIELAB-Daten

u^*_e	$L^*=L^*_a$	a^*_a	b^*_a	$C^*_{ab,a}$	$h^*_{ab,a}$	u^*_d
r00j	39.18	56.94	27.13	63.07	25	m81o
r25j	42.41	49.1	44.5	66.26	42	o10y
r50j	52.78	35.22	58.37	68.17	59	o40y
r75j	64.82	19.12	74.47	76.89	76	o69y
j00g	82.06	-3.94	97.52	97.6	92	o98y
j25g	67.26	-26.87	74.67	79.36	110	y34l
j50g	55.83	-43.45	57.11	71.76	127	y69l
j75g	47.5	-54.18	38.3	66.35	145	l03c
g00b	50.07	-44.09	14.13	46.3	162	l23c
g25b	52.21	-35.66	-6.03	36.17	190	l55c
g50b	53.9	-29.04	-21.87	36.36	217	l87c
g75b	49.44	-15.51	-32.31	35.84	244	c20v
b00r	41.36	1.15	-37.95	37.97	272	c53v
b25r	28.74	27.19	-46.77	54.1	300	c87v
b50r	33.74	61.97	-37.81	72.59	329	v68m
b75r	40.08	64.26	-3.32	64.35	357	m33o



Ein und Ausgabe: Farbmimetrisches Drucker-Reflektiv-System FRS15_90a für relativen CIELAB-Bunton $h^* = lab^*h^* = h_{ab}/360 = 0.21$

$u^*_e = r75j$
 $lab^*icu^*_d$

Daten für jede Farbe:

lab^*tch^* und lab^*icu^*

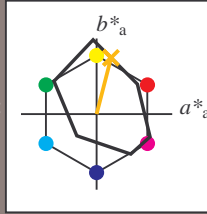
Buntontexte:

$u^*_e = r75j$ $u^*_d = o69y$

Kontrastreduzierungsfaktor:

$c_R = 0.9$

Dreiecks-Helligkeit t^*



FRS15_90a; adaptierte CIELAB-Daten

u^*_e	$L^*=L^*_a$	a^*_a	b^*_a	$C^*_{ab,a}$	$h^*_{ab,a}$
O _{Ma}	38.8	53.92	39.68	66.95	36
Y _{Ma}	82.58	-4.64	98.22	98.33	93
L _{Ma}	46.95	-56.34	43.46	71.15	142
C _{Ma}	54.62	-26.2	-28.68	38.85	228
V _{Ma}	20.01	45.2	-52.87	69.56	311
M _{Ma}	40.88	70.68	-29.99	76.78	337
N _{Ma}	15.0	0.0	0.0	0.0	0
W _{Ma}	90.0	0.0	0.0	0.0	0
R _{Ma}	39.92	58.74	27.99	65.07	25
J _{Ma}	81.26	-2.89	71.56	71.62	92
G _{Ma}	52.23	-42.42	13.6	44.55	162
B _{Ma}	30.57	1.41	-46.47	46.49	272

Daten für Maximalfarbe (Ma):

$LAB^*LAB^*_{Ma}$: 65 19 74

$LAB^*LCH^*_{Ma}$: 65 77 75

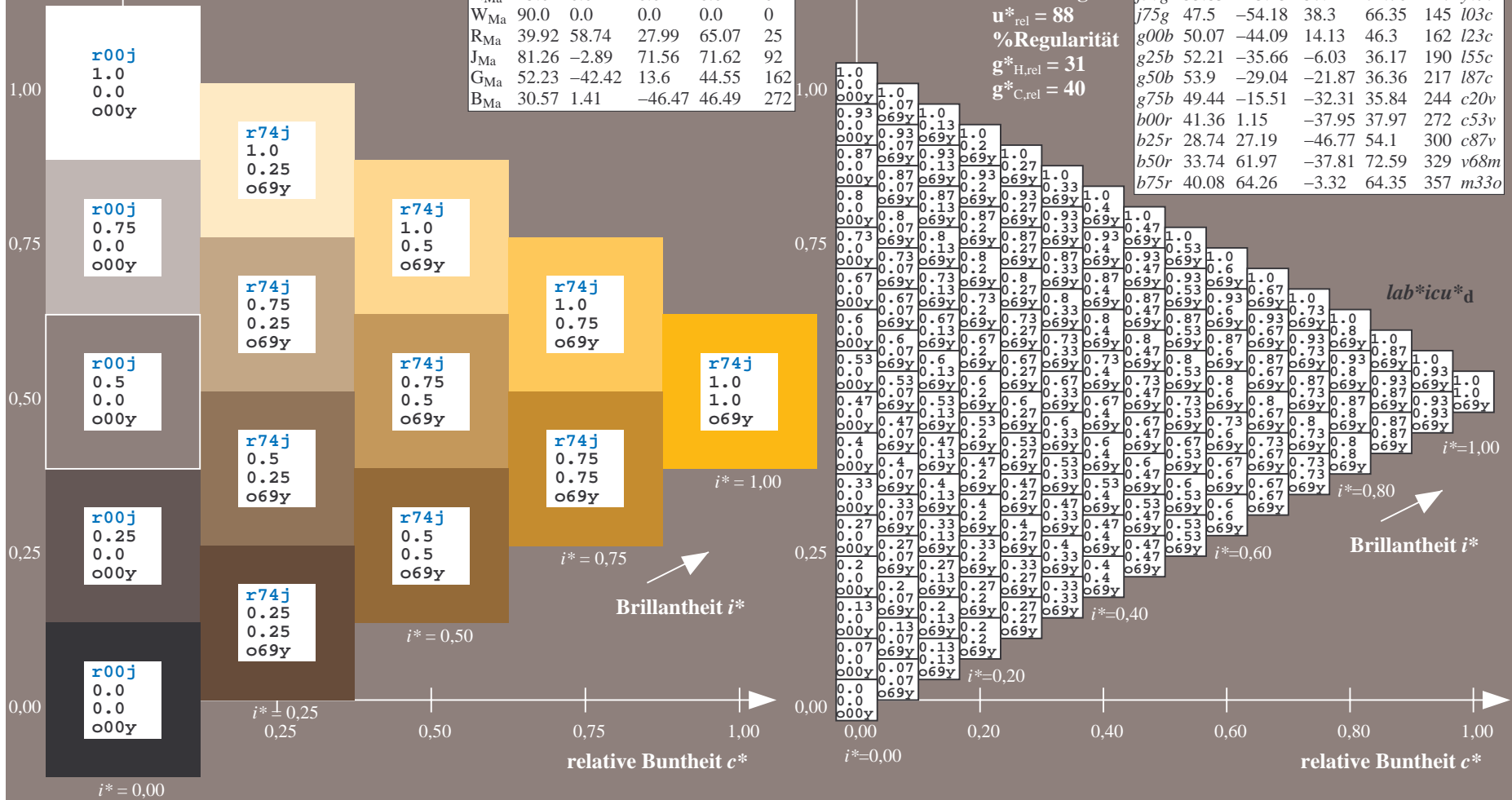
$lab^*rgb^*_{Ma}$: 1.0 0.75 0.0

$lab^*olv^*_{Ma}$: 1.0 0.7 0.0

Dreiecks-Helligkeit t^*

FRS15_90a; adaptierte CIELAB-Daten

u^*_e	$L^*=L^*_a$	a^*_a	b^*_a	$C^*_{ab,a}$	$h^*_{ab,a}$	u^*_d
r00j	39.18	56.94	27.13	63.07	25	m81o
r25j	42.41	49.1	44.5	66.26	42	o10y
r50j	52.78	35.22	58.37	68.17	59	o40y
r75j	64.82	19.12	74.47	76.89	76	o69y
j00g	82.06	-3.94	97.52	97.6	92	o98y
j25g	67.26	-26.87	74.67	79.36	110	y34l
j50g	55.83	-43.45	57.11	71.76	127	y69l
j75g	47.5	-54.18	38.3	66.35	145	l03c
g00b	50.07	-44.09	14.13	46.3	162	l23c
g25b	52.21	-35.66	-6.03	36.17	190	l55c
g50b	53.9	-29.04	-21.87	36.36	217	l87c
g75b	49.44	-15.51	-32.31	35.84	244	c20v
b00r	41.36	1.15	-37.95	37.97	272	c53v
b25r	28.74	27.19	-46.77	54.1	300	c87v
b50r	33.74	61.97	-37.81	72.59	329	v68m
b75r	40.08	64.26	-3.32	64.35	357	m33o



Ein und Ausgabe: Farbmatisches Drucker-Reflektiv-System FRS15_90a für relativen CIELAB-Bunton $h^* = lab^*h^* = h_{ab}/360 = 0.256$

$u^*_e = j00g$
 $lab^*icu^*_d$

Daten für jede Farbe:

lab^*tch^* und lab^*icu^*

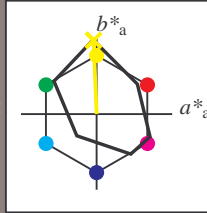
Buntontexte:

$u^*_e = j00g$ $u^*_d = o98y$

Kontrastreduzierungsfaktor:

$c_R = 0.9$

Dreiecks-Helligkeit t^*



FRS15_90a; adaptierte CIELAB-Daten						
u^*_e	$L^*=L^*_a$	a^*_a	b^*_a	$C^*_{ab,a}$	$h^*_{ab,a}$	
O _{Ma}	38.8	53.92	39.68	66.95	36	
Y _{Ma}	82.58	-4.64	98.22	98.33	93	
L _{Ma}	46.95	-56.34	43.46	71.15	142	
C _{Ma}	54.62	-26.2	-28.68	38.85	228	
V _{Ma}	20.01	45.2	-52.87	69.56	311	
M _{Ma}	40.88	70.68	-29.99	76.78	337	
N _{Ma}	15.0	0.0	0.0	0.0	0	
W _{Ma}	90.0	0.0	0.0	0.0	0	
R _{Ma}	39.92	58.74	27.99	65.07	25	
J _{Ma}	81.26	-2.89	71.56	71.62	92	
G _{Ma}	52.23	-42.42	13.6	44.55	162	
B _{Ma}	30.57	1.41	-46.47	46.49	272	

Daten für Maximalfarbe (Ma):

$LAB^*LAB^*_Ma: 82 -4 98$

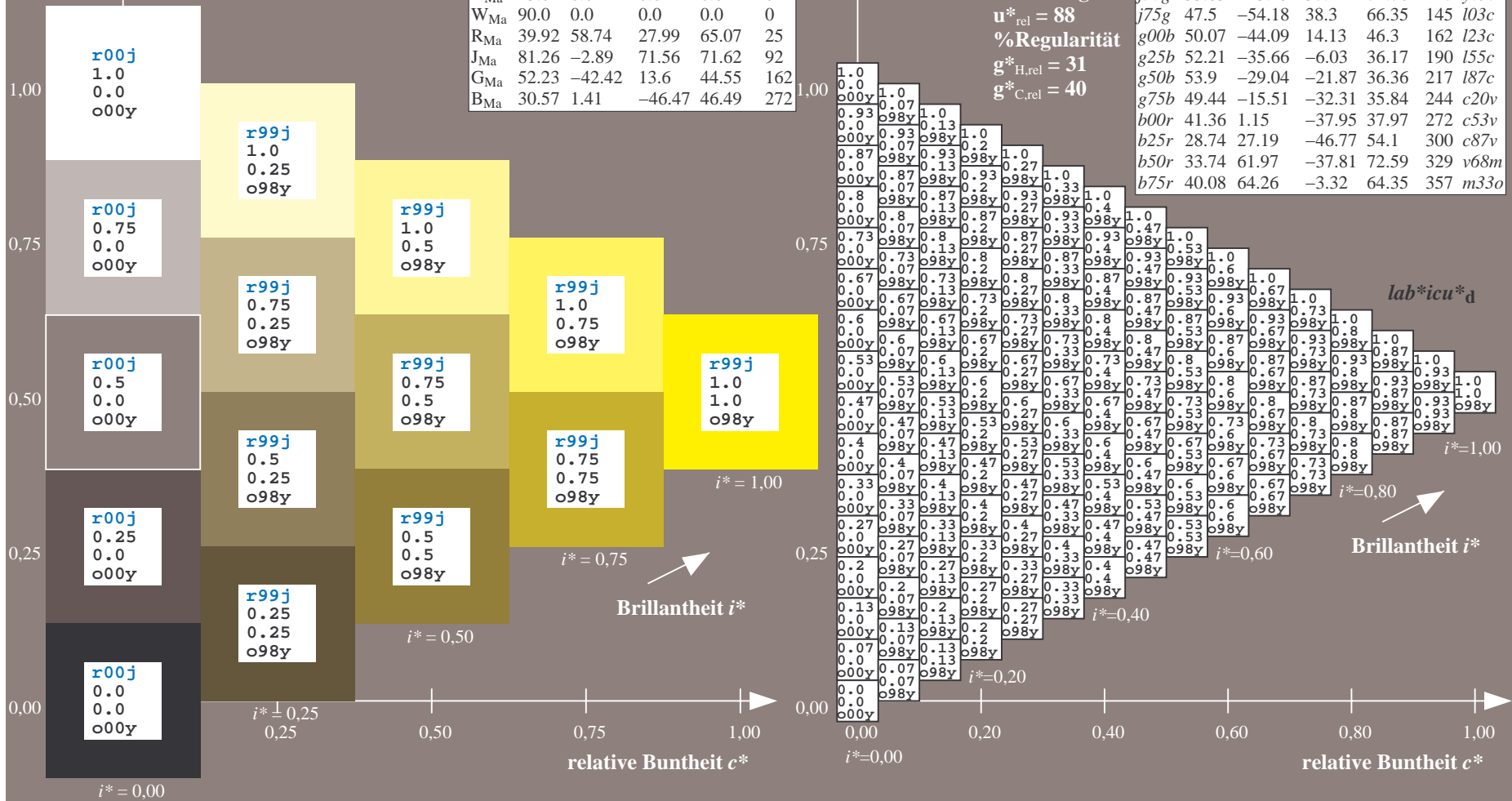
$LAB^*LCH^*_Ma: 82 98 92$

$lab^*rgb^*_Ma: 1.0 1.0 0.0$

$lab^*olv^*_Ma: 1.0 0.99 0.0$

Dreiecks-Helligkeit t^*

FRS15_90a; adaptierte CIELAB-Daten							
u^*_e	$L^*=L^*_a$	a^*_a	b^*_a	$C^*_{ab,a}$	$h^*_{ab,a}$	u^*_d	
r00j	39.18	56.94	27.13	63.07	25	m81o	
r25j	42.41	49.1	44.5	66.26	42	o10y	
r50j	52.78	35.22	58.37	68.17	59	o40y	
r75j	64.82	19.12	74.47	76.89	76	o69y	
j00g	82.06	-3.94	97.52	97.6	92	o98y	
j25g	67.26	-26.87	74.67	79.36	110	y34l	
j50g	55.83	-43.45	57.11	71.76	127	y69l	
j75g	47.5	-54.18	38.3	66.35	145	l03c	
g00b	50.07	-44.09	14.13	46.3	162	l23c	
g25b	52.21	-35.66	-6.03	36.17	190	l55c	
g50b	53.9	-29.04	-21.87	36.36	217	l87c	
g75b	49.44	-15.51	-32.31	35.84	244	c20v	
b00r	41.36	1.15	-37.95	37.97	272	c53v	
b25r	28.74	27.19	-46.77	54.1	300	c87v	
b50r	33.74	61.97	-37.81	72.59	329	v68m	
b75r	40.08	64.26	-3.32	64.35	357	m33o	



Ein und Ausgabe: Farbmatisches Drucker-Reflektiv-System FRS15_90a für relativen CIELAB-Bunton $h^* = lab^*h^* = h_{ab}/360 = 0.305$

$u^*_e = j25g$
 $lab^*icu^*_d$

Daten für jede Farbe:

lab^*tch^* und lab^*icu^*

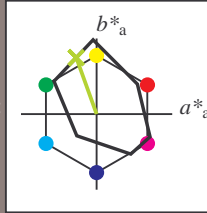
Buntontexte:

$u^*_e = j25g$ $u^*_d = y34l$

Kontrastreduzierungsfaktor:

$c_R = 0.9$

Dreiecks-Helligkeit t^*



FRS15_90a; adaptierte CIELAB-Daten

u^*_e	$L^*=L^*_a$	a^*_a	b^*_a	$C^*_{ab,a}$	$h^*_{ab,a}$
O _{Ma}	38.8	53.92	39.68	66.95	36
Y _{Ma}	82.58	-4.64	98.22	98.33	93
L _{Ma}	46.95	-56.34	43.46	71.15	142
C _{Ma}	54.62	-26.2	-28.68	38.85	228
V _{Ma}	20.01	45.2	-52.87	69.56	311
M _{Ma}	40.88	70.68	-29.99	76.78	337
N _{Ma}	15.0	0.0	0.0	0.0	0
W _{Ma}	90.0	0.0	0.0	0.0	0
R _{Ma}	39.92	58.74	27.99	65.07	25
J _{Ma}	81.26	-2.89	71.56	71.62	92
G _{Ma}	52.23	-42.42	13.6	44.55	162
B _{Ma}	30.57	1.41	-46.47	46.49	272

Daten für Maximalfarbe (Ma):

$LAB^*LAB^*_{Ma}: 67 -27 75$

$LAB^*LCH^*_{Ma}: 67 79 109$

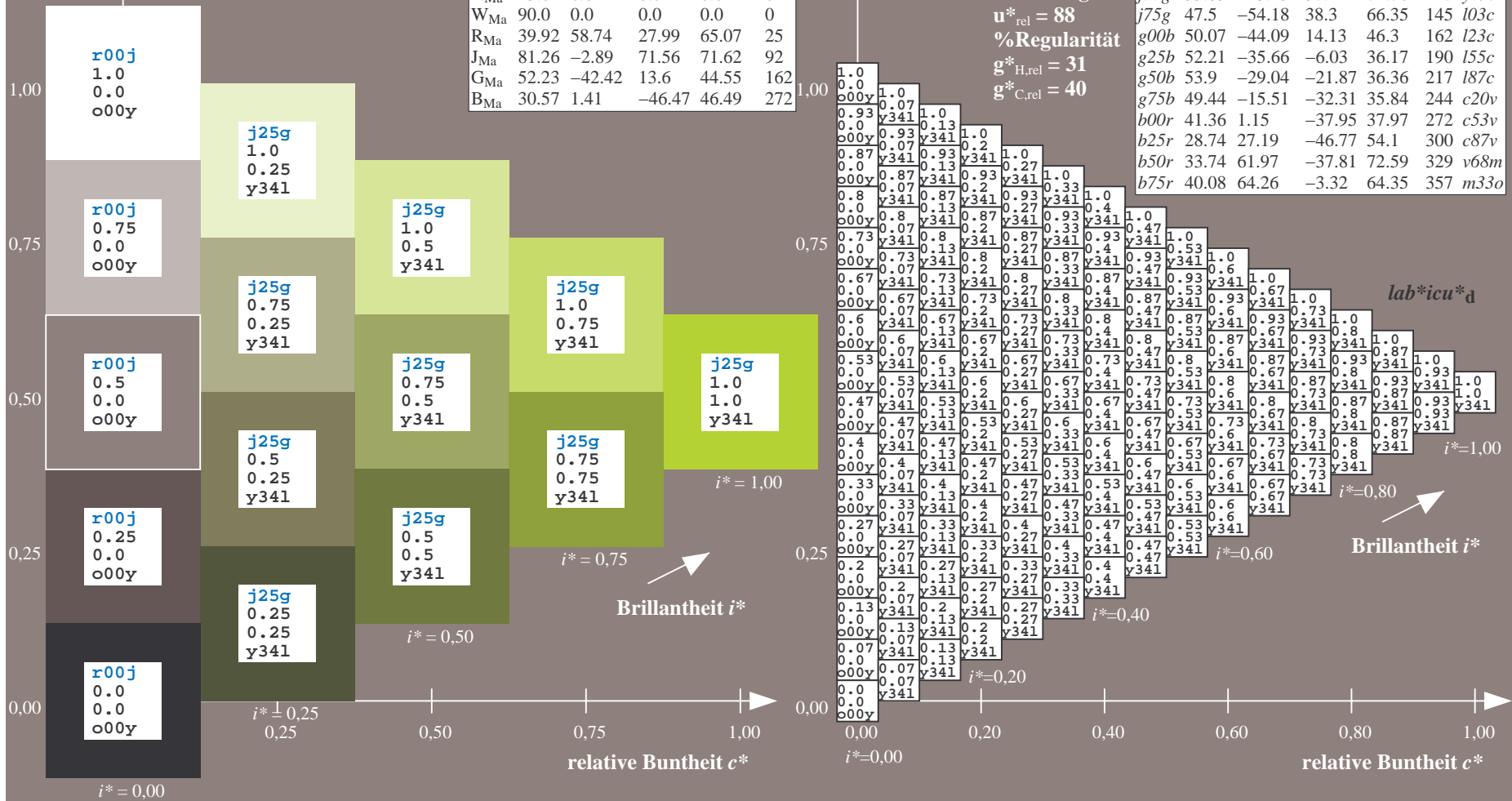
$lab^*rgb^*_{Ma}: 0.75 1.0 0.0$

$lab^*olv^*_{Ma}: 0.66 1.0 0.0$

Dreiecks-Helligkeit t^*

FRS15_90a; adaptierte CIELAB-Daten

u^*_e	$L^*=L^*_a$	a^*_a	b^*_a	$C^*_{ab,a}$	$h^*_{ab,a}$	u^*_d
r00j	39.18	56.94	27.13	63.07	25	m81o
r25j	42.41	49.1	44.5	66.26	42	o10y
r50j	52.78	35.22	58.37	68.17	59	o40y
r75j	64.82	19.12	74.47	76.89	76	o69y
j00g	82.06	-3.94	97.52	97.6	92	o98y
j25g	67.26	-26.87	74.67	79.36	110	y34l
j50g	55.83	-43.45	57.11	71.76	127	y69l
j75g	47.5	-54.18	38.3	66.35	145	l03c
g00b	50.07	-44.09	14.13	46.3	162	l23c
g25b	52.21	-35.66	-6.03	36.17	190	l55c
g50b	53.9	-29.04	-21.87	36.36	217	l87c
g75b	49.44	-15.51	-32.31	35.84	244	c20v
b00r	41.36	1.15	-37.95	37.97	272	c53v
b25r	28.74	27.19	-46.77	54.1	300	c87v
b50r	33.74	61.97	-37.81	72.59	329	v68m
b75r	40.08	64.26	-3.32	64.35	357	m33o



Ein und Ausgabe: Farbmatisches Drucker-Reflektiv-System FRS15_90a für relativen CIELAB-Bunton $h^* = lab^*h^* = h_{ab}/360 = 0.354$

$u^*_e = j50g$
 $lab^*icu^*_d$

Daten für jede Farbe:

lab^*ch^* und lab^*icu^*

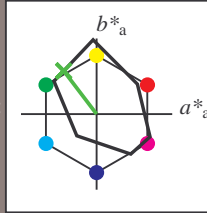
Buntontexte:

$u^*_e = j50g$ $u^*_d = y69l$

Kontrastreduzierungsfaktor:

$c_R = 0.9$

Dreiecks-Helligkeit t^*



FRS15_90a; adaptierte CIELAB-Daten

u^*_e	$L^*=L^*_a$	a^*_a	b^*_a	$C^*_{ab,a}$	$h^*_{ab,a}$
O _{Ma}	38.8	53.92	39.68	66.95	36
Y _{Ma}	82.58	-4.64	98.22	98.33	93
L _{Ma}	46.95	-56.34	43.46	71.15	142
C _{Ma}	54.62	-26.2	-28.68	38.85	228
V _{Ma}	20.01	45.2	-52.87	69.56	311
M _{Ma}	40.88	70.68	-29.99	76.78	337
N _{Ma}	15.0	0.0	0.0	0.0	0
W _{Ma}	90.0	0.0	0.0	0.0	0
R _{Ma}	39.92	58.74	27.99	65.07	25
J _{Ma}	81.26	-2.89	71.56	71.62	92
G _{Ma}	52.23	-42.42	13.6	44.55	162
B _{Ma}	30.57	1.41	-46.47	46.49	272

Daten für Maximalfarbe (Ma):

$LAB^*LAB^*_{Ma}$: 56 -43 57

$LAB^*LCH^*_{Ma}$: 56 72 127

$lab^*rgb^*_{Ma}$: 0.5 1.0 0.0

$lab^*olv^*_{Ma}$: 0.3 1.0 0.0

Dreiecks-Helligkeit t^*

%Umfang

$u^*_{rel} = 88$

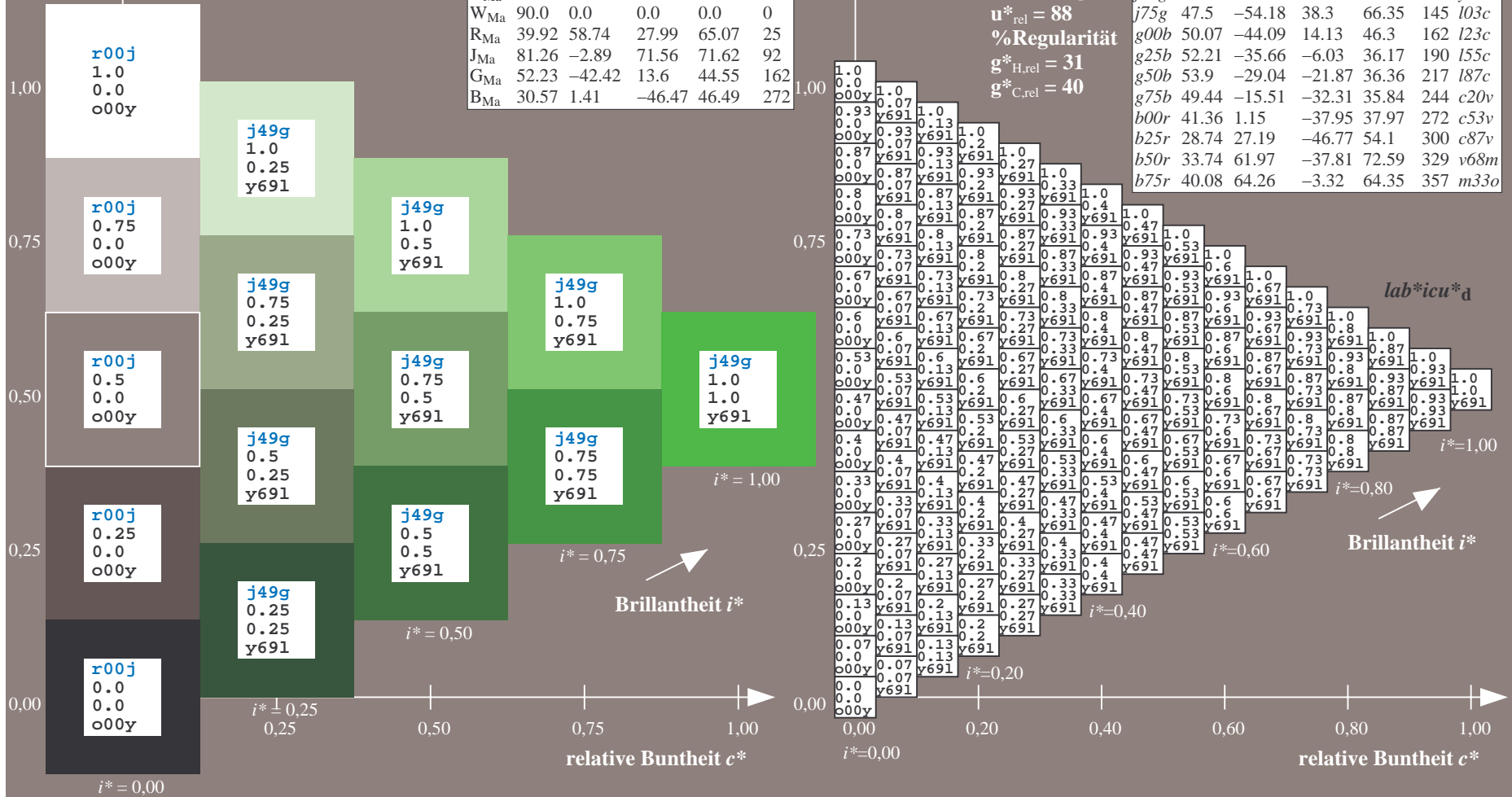
%Regularität

$g^*_{H,rel} = 31$

$g^*_{C,rel} = 40$

FRS15_90a; adaptierte CIELAB-Daten

u^*_e	$L^*=L^*_a$	a^*_a	b^*_a	$C^*_{ab,a}$	$h^*_{ab,a}$	u^*_d
r00j	39.18	56.94	27.13	63.07	25	m81o
r25j	42.41	49.1	44.5	66.26	42	o10y
r50j	52.78	35.22	58.37	68.17	59	o40y
r75j	64.82	19.12	74.47	76.89	76	o69y
j00g	82.06	-3.94	97.52	97.6	92	o98y
j25g	67.26	-26.87	74.67	79.36	110	y34l
j50g	55.83	-43.45	57.11	71.76	127	y69l
j75g	47.5	-54.18	38.3	66.35	145	l03c
g00b	50.07	-44.09	14.13	46.3	162	l23c
g25b	52.21	-35.66	-6.03	36.17	190	l55c
g50b	53.9	-29.04	-21.87	36.36	217	l87c
g75b	49.44	-15.51	-32.31	35.84	244	c20v
b00r	41.36	1.15	-37.95	37.97	272	c53v
b25r	28.74	27.19	-46.77	54.1	300	c87v
b50r	33.74	61.97	-37.81	72.59	329	v68m
b75r	40.08	64.26	-3.32	64.35	357	m33o



Ein und Ausgabe: Farbmatisches Drucker-Reflektiv-System FRS15_90a für relativen CIELAB-Bunton $h^* = lab^*h^* = h_{ab}/360 = 0.402$

$u^*_e = j75g$
 $lab^*icu^*_d$

Daten für jede Farbe:

lab^*tch^* und lab^*icu^*

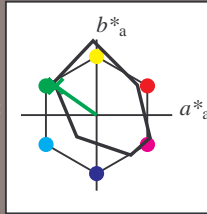
Buntontexte:

$u^*_e = j75g$ $u^*_d = l03c$

Kontrastreduzierungsfaktor:

$c_R = 0.9$

Dreiecks-Helligkeit t^*



FRS15_90a; adaptierte CIELAB-Daten

u^*_e	$L^*=L^*_a$	a^*_a	b^*_a	$C^*_{ab,a}$	$h^*_{ab,a}$
O _{Ma}	38.8	53.92	39.68	66.95	36
Y _{Ma}	82.58	-4.64	98.22	98.33	93
L _{Ma}	46.95	-56.34	43.46	71.15	142
C _{Ma}	54.62	-26.2	-28.68	38.85	228
V _{Ma}	20.01	45.2	-52.87	69.56	311
M _{Ma}	40.88	70.68	-29.99	76.78	337
N _{Ma}	15.0	0.0	0.0	0.0	0
W _{Ma}	90.0	0.0	0.0	0.0	0
R _{Ma}	39.92	58.74	27.99	65.07	25
J _{Ma}	81.26	-2.89	71.56	71.62	92
G _{Ma}	52.23	-42.42	13.6	44.55	162
B _{Ma}	30.57	1.41	-46.47	46.49	272

Daten für Maximalfarbe (Ma):

$LAB^*LAB^*_{Ma}$: 48 -54 38

$LAB^*LCH^*_{Ma}$: 48 66 144

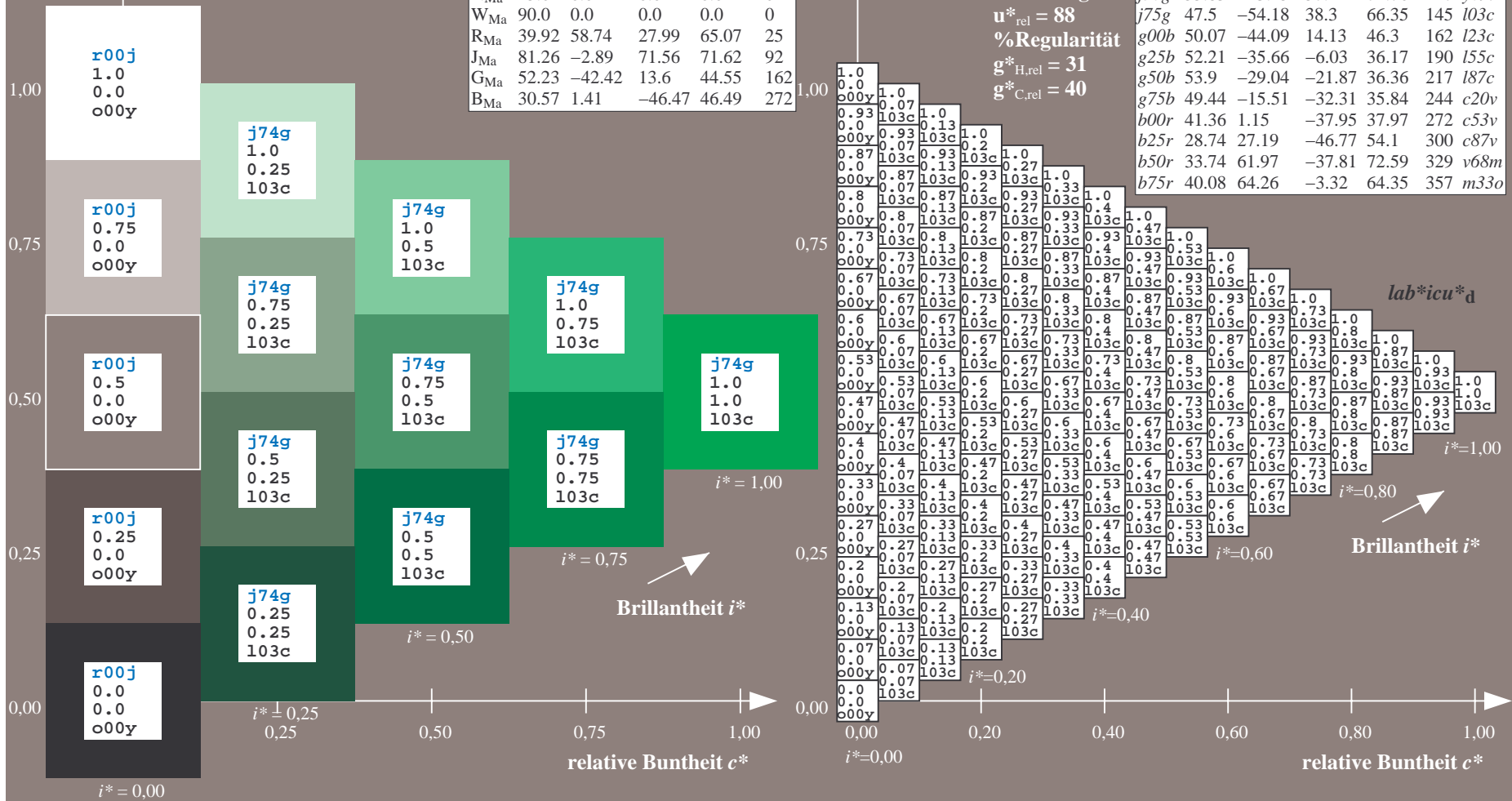
$lab^*rgb^*_{Ma}$: 0.25 1.0 0.0

$lab^*olv^*_{Ma}$: 0.0 1.0 0.03

Dreiecks-Helligkeit t^*

FRS15_90a; adaptierte CIELAB-Daten

u^*_e	$L^*=L^*_a$	a^*_a	b^*_a	$C^*_{ab,a}$	$h^*_{ab,a}$	u^*_d
r00j	39.18	56.94	27.13	63.07	25	m81o
r25j	42.41	49.1	44.5	66.26	42	o10y
r50j	52.78	35.22	58.37	68.17	59	o40y
r75j	64.82	19.12	74.47	76.89	76	o69y
j00g	82.06	-3.94	97.52	97.6	92	o98y
j25g	67.26	-26.87	74.67	79.36	110	y34l
j50g	55.83	-43.45	57.11	71.76	127	y69l
j75g	47.5	-54.18	38.3	66.35	145	l03c
g00b	50.07	-44.09	14.13	46.3	162	l23c
g25b	52.21	-35.66	-6.03	36.17	190	l55c
g50b	53.9	-29.04	-21.87	36.36	217	l87c
g75b	49.44	-15.51	-32.31	35.84	244	c20v
b00r	41.36	1.15	-37.95	37.97	272	c53v
b25r	28.74	27.19	-46.77	54.1	300	c87v
b50r	33.74	61.97	-37.81	72.59	329	v68m
b75r	40.08	64.26	-3.32	64.35	357	m33o



Ein und Ausgabe: Farbmatisches Drucker-Reflektiv-System FRS15_90a für relativen CIELAB-Bunton $h^* = lab^*h^* = h_{ab}/360 = 0.451$

$u^*_e = g00b$
 $lab^*icu^*_d$

Daten für jede Farbe:

lab^*ch^* und lab^*icu^*

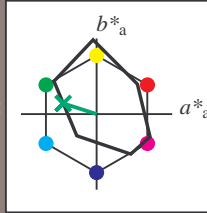
Buntontexte:

$u^*_e = g00b$ $u^*_d = l23c$

Kontrastreduzierungsfaktor:

$c_R = 0.9$

Dreiecks-Helligkeit t^*



FRS15_90a; adaptierte CIELAB-Daten

u^*_e	$L^*=L^*_a$	a^*_a	b^*_a	$C^*_{ab,a}$	$h^*_{ab,a}$
O _{Ma}	38.8	53.92	39.68	66.95	36
Y _{Ma}	82.58	-4.64	98.22	98.33	93
L _{Ma}	46.95	-56.34	43.46	71.15	142
C _{Ma}	54.62	-26.2	-28.68	38.85	228
V _{Ma}	20.01	45.2	-52.87	69.56	311
M _{Ma}	40.88	70.68	-29.99	76.78	337
N _{Ma}	15.0	0.0	0.0	0.0	0
W _{Ma}	90.0	0.0	0.0	0.0	0
R _{Ma}	39.92	58.74	27.99	65.07	25
J _{Ma}	81.26	-2.89	71.56	71.62	92
G _{Ma}	52.23	-42.42	13.6	44.55	162
B _{Ma}	30.57	1.41	-46.47	46.49	272

Daten für Maximalfarbe (Ma):

$LAB^*LAB^*_{Ma}$: 50 -44 14

$LAB^*LCH^*_{Ma}$: 50 46 162

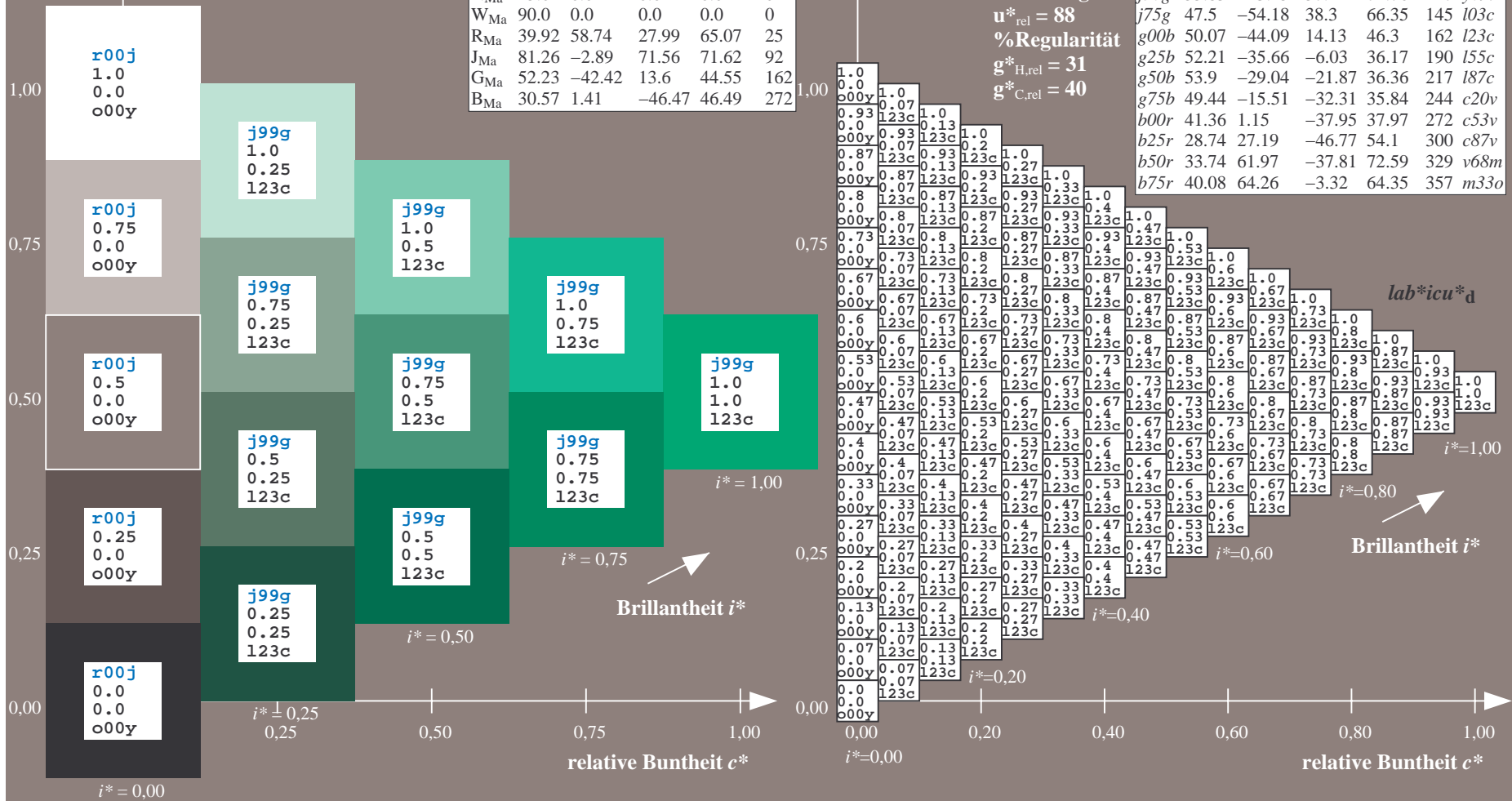
$lab^*rgb^*_{Ma}$: 0.0 1.0 0.0

$lab^*olv^*_{Ma}$: 0.0 1.0 0.23

Dreiecks-Helligkeit t^*

FRS15_90a; adaptierte CIELAB-Daten

u^*_e	$L^*=L^*_a$	a^*_a	b^*_a	$C^*_{ab,a}$	$h^*_{ab,a}$	u^*_d
r00j	39.18	56.94	27.13	63.07	25	m81o
r25j	42.41	49.1	44.5	66.26	42	o10y
r50j	52.78	35.22	58.37	68.17	59	o40y
r75j	64.82	19.12	74.47	76.89	76	o69y
j00g	82.06	-3.94	97.52	97.6	92	o98y
j25g	67.26	-26.87	74.67	79.36	110	y34l
j50g	55.83	-43.45	57.11	71.76	127	y69l
j75g	47.5	-54.18	38.3	66.35	145	l03c
g00b	50.07	-44.09	14.13	46.3	162	l23c
g25b	52.21	-35.66	-6.03	36.17	190	l55c
g50b	53.9	-29.04	-21.87	36.36	217	l87c
g75b	49.44	-15.51	-32.31	35.84	244	c20v
b00r	41.36	1.15	-37.95	37.97	272	c53v
b25r	28.74	27.19	-46.77	54.1	300	c87v
b50r	33.74	61.97	-37.81	72.59	329	v68m
b75r	40.08	64.26	-3.32	64.35	357	m33o



Ein und Ausgabe: Farbmatisches Drucker-Reflektiv-System FRS15_90a für relativen CIELAB-Bunton $h^* = lab^*h^* = h_{ab}/360 = 0.527$

$u^*_e = g25b$
 $lab^*icu^*_d$

Daten für jede Farbe:

lab^*tch^* und lab^*icu^*

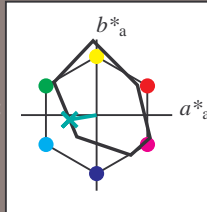
Buntontexte:

$u^*_e = g25b$ $u^*_d = l55c$

Kontrastreduzierungsfaktor:

$c_R = 0.9$

Dreiecks-Helligkeit t^*



FRS15_90a; adaptierte CIELAB-Daten

u^*_e	$L^*=L^*_a$	a^*_a	b^*_a	$C^*_{ab,a}$	$h^*_{ab,a}$
O _{Ma}	38.8	53.92	39.68	66.95	36
Y _{Ma}	82.58	-4.64	98.22	98.33	93
L _{Ma}	46.95	-56.34	43.46	71.15	142
C _{Ma}	54.62	-26.2	-28.68	38.85	228
V _{Ma}	20.01	45.2	-52.87	69.56	311
M _{Ma}	40.88	70.68	-29.99	76.78	337
N _{Ma}	15.0	0.0	0.0	0.0	0
W _{Ma}	90.0	0.0	0.0	0.0	0
R _{Ma}	39.92	58.74	27.99	65.07	25
J _{Ma}	81.26	-2.89	71.56	71.62	92
G _{Ma}	52.23	-42.42	13.6	44.55	162
B _{Ma}	30.57	1.41	-46.47	46.49	272

Daten für Maximalfarbe (Ma):

$LAB^*LAB^*_{Ma}: 52 -36 -6$

$LAB^*LCH^*_{Ma}: 52 36 189$

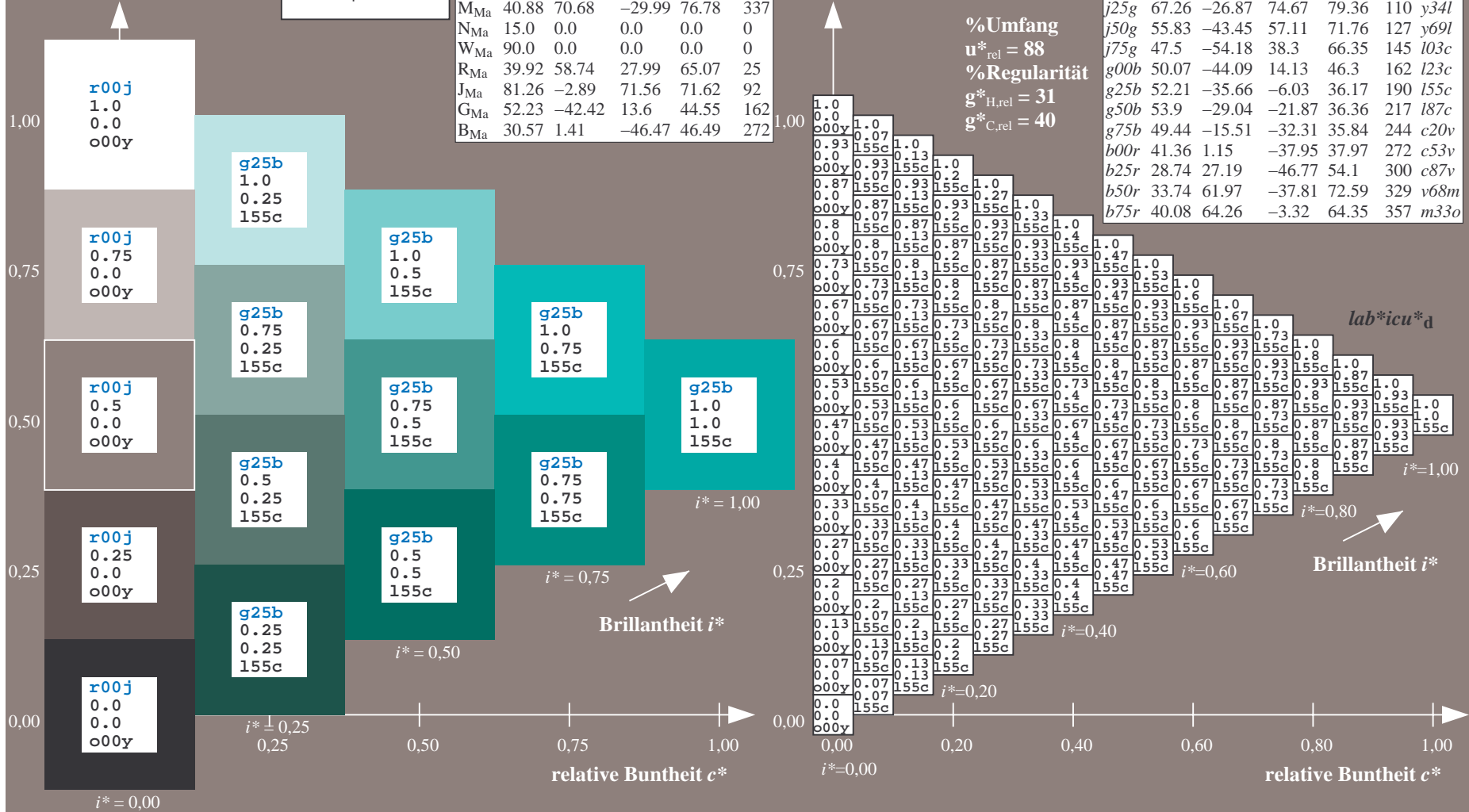
$lab^*rgb^*_{Ma}: 0.0 1.0 0.5$

$lab^*olv^*_{Ma}: 0.0 1.0 0.55$

Dreiecks-Helligkeit t^*

FRS15_90a; adaptierte CIELAB-Daten

u^*_e	$L^*=L^*_a$	a^*_a	b^*_a	$C^*_{ab,a}$	$h^*_{ab,a}$	u^*_d
r00j	39.18	56.94	27.13	63.07	25	m81o
r25j	42.41	49.1	44.5	66.26	42	o10y
r50j	52.78	35.22	58.37	68.17	59	o40y
r75j	64.82	19.12	74.47	76.89	76	o69y
j00g	82.06	-3.94	97.52	97.6	92	o98y
j25g	67.26	-26.87	74.67	79.36	110	y34l
j50g	55.83	-43.45	57.11	71.76	127	y69l
j75g	47.5	-54.18	38.3	66.35	145	l03c
g00b	50.07	-44.09	14.13	46.3	162	l23c
g25b	52.21	-35.66	-6.03	36.17	190	l55c
g50b	53.9	-29.04	-21.87	36.36	217	l87c
g75b	49.44	-15.51	-32.31	35.84	244	c20v
b00r	41.36	1.15	-37.95	37.97	272	c53v
b25r	28.74	27.19	-46.77	54.1	300	c87v
b50r	33.74	61.97	-37.81	72.59	329	v68m
b75r	40.08	64.26	-3.32	64.35	357	m33o



Ein und Ausgabe: Farbmatisches Drucker-Reflektiv-System FRS15_90a für relativen CIELAB-Bunton $h^* = lab^*h^* = h_{ab}/360 = 0.603$

$u^*_e = g50b$
 $lab^*icu^*_d$

Daten für jede Farbe:

lab^*tch^* und lab^*icu^*

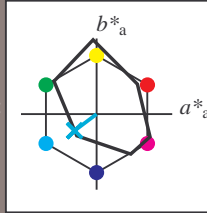
Buntontexte:

$u^*_e = g50b$ $u^*_d = l87c$

Kontrastreduzierungsfaktor:

$c_R = 0.9$

Dreiecks-Helligkeit t^*



FRS15_90a; adaptierte CIELAB-Daten

u^*_e	$L^*=L^*_a$	a^*_a	b^*_a	$C^*_{ab,a}$	$h^*_{ab,a}$
O _{Ma}	38.8	53.92	39.68	66.95	36
Y _{Ma}	82.58	-4.64	98.22	98.33	93
L _{Ma}	46.95	-56.34	43.46	71.15	142
C _{Ma}	54.62	-26.2	-28.68	38.85	228
V _{Ma}	20.01	45.2	-52.87	69.56	311
M _{Ma}	40.88	70.68	-29.99	76.78	337
N _{Ma}	15.0	0.0	0.0	0.0	0
W _{Ma}	90.0	0.0	0.0	0.0	0
R _{Ma}	39.92	58.74	27.99	65.07	25
J _{Ma}	81.26	-2.89	71.56	71.62	92
G _{Ma}	52.23	-42.42	13.6	44.55	162
B _{Ma}	30.57	1.41	-46.47	46.49	272

Daten für Maximalfarbe (Ma):

$LAB^*LAB^*_{Ma}$: 54 -29 -22

$LAB^*LCH^*_{Ma}$: 54 36 216

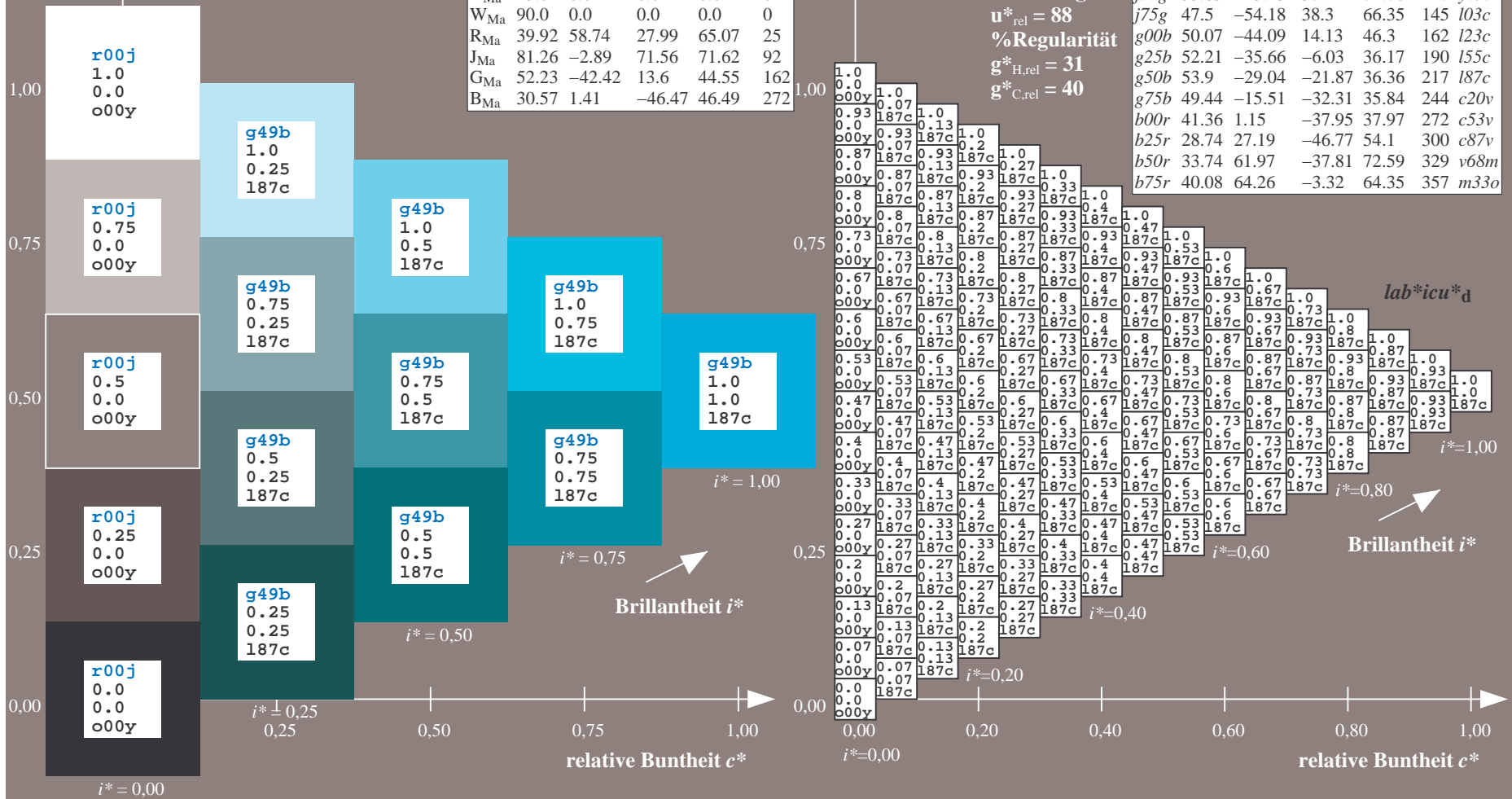
$lab^*rgb^*_{Ma}$: 0.0 1.0 1.0

$lab^*olv^*_{Ma}$: 0.0 1.0 0.88

Dreiecks-Helligkeit t^*

FRS15_90a; adaptierte CIELAB-Daten

u^*_e	$L^*=L^*_a$	a^*_a	b^*_a	$C^*_{ab,a}$	$h^*_{ab,a}$	u^*_d
r00j	39.18	56.94	27.13	63.07	25	m81o
r25j	42.41	49.1	44.5	66.26	42	o10y
r50j	52.78	35.22	58.37	68.17	59	o40y
r75j	64.82	19.12	74.47	76.89	76	o69y
j00g	82.06	-3.94	97.52	97.6	92	o98y
j25g	67.26	-26.87	74.67	79.36	110	y34l
j50g	55.83	-43.45	57.11	71.76	127	y69l
j75g	47.5	-54.18	38.3	66.35	145	l03c
g00b	50.07	-44.09	14.13	46.3	162	l23c
g25b	52.21	-35.66	-6.03	36.17	190	l55c
g50b	53.9	-29.04	-21.87	36.36	217	l87c
g75b	49.44	-15.51	-32.31	35.84	244	c20v
b00r	41.36	1.15	-37.95	37.97	272	c53v
b25r	28.74	27.19	-46.77	54.1	300	c87v
b50r	33.74	61.97	-37.81	72.59	329	v68m
b75r	40.08	64.26	-3.32	64.35	357	m33o



Ein und Ausgabe: Farbmatisches Drucker-Reflektiv-System FRS15_90a für relativen CIELAB-Bunton $h^* = lab^*h^* = h_{ab}/360 = 0.679$

$u^*_e = g75b$

Daten für jede Farbe:

lab^*ch^* und lab^*icu^*

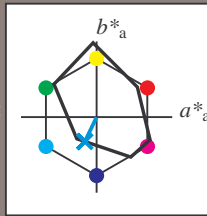
Buntontexte:

$u^*_e = g75b$ $u^*_d = c20v$

Kontrastreduzierungsfaktor:

$c_R = 0.9$

Dreiecks-Helligkeit t^*



FRS15_90a; adaptierte CIELAB-Daten

	u^*_e	$L^*=L^*_a$	a^*_a	b^*_a	$C^*_{ab,a}$	$h^*_{ab,a}$
O _{Ma}	38.8	53.92	39.68	66.95	36	
Y _{Ma}	82.58	-4.64	98.22	98.33	93	
L _{Ma}	46.95	-56.34	43.46	71.15	142	
C _{Ma}	54.62	-26.2	-28.68	38.85	228	
V _{Ma}	20.01	45.2	-52.87	69.56	311	
M _{Ma}	40.88	70.68	-29.99	76.78	337	
N _{Ma}	15.0	0.0	0.0	0.0	0	
W _{Ma}	90.0	0.0	0.0	0.0	0	
R _{Ma}	39.92	58.74	27.99	65.07	25	
J _{Ma}	81.26	-2.89	71.56	71.62	92	
G _{Ma}	52.23	-42.42	13.6	44.55	162	
B _{Ma}	30.57	1.41	-46.47	46.49	272	

Daten für Maximalfarbe (Ma):

$LAB^*LAB^*_{Ma}$: 49 -16 -32

$LAB^*LCH^*_{Ma}$: 49 36 244

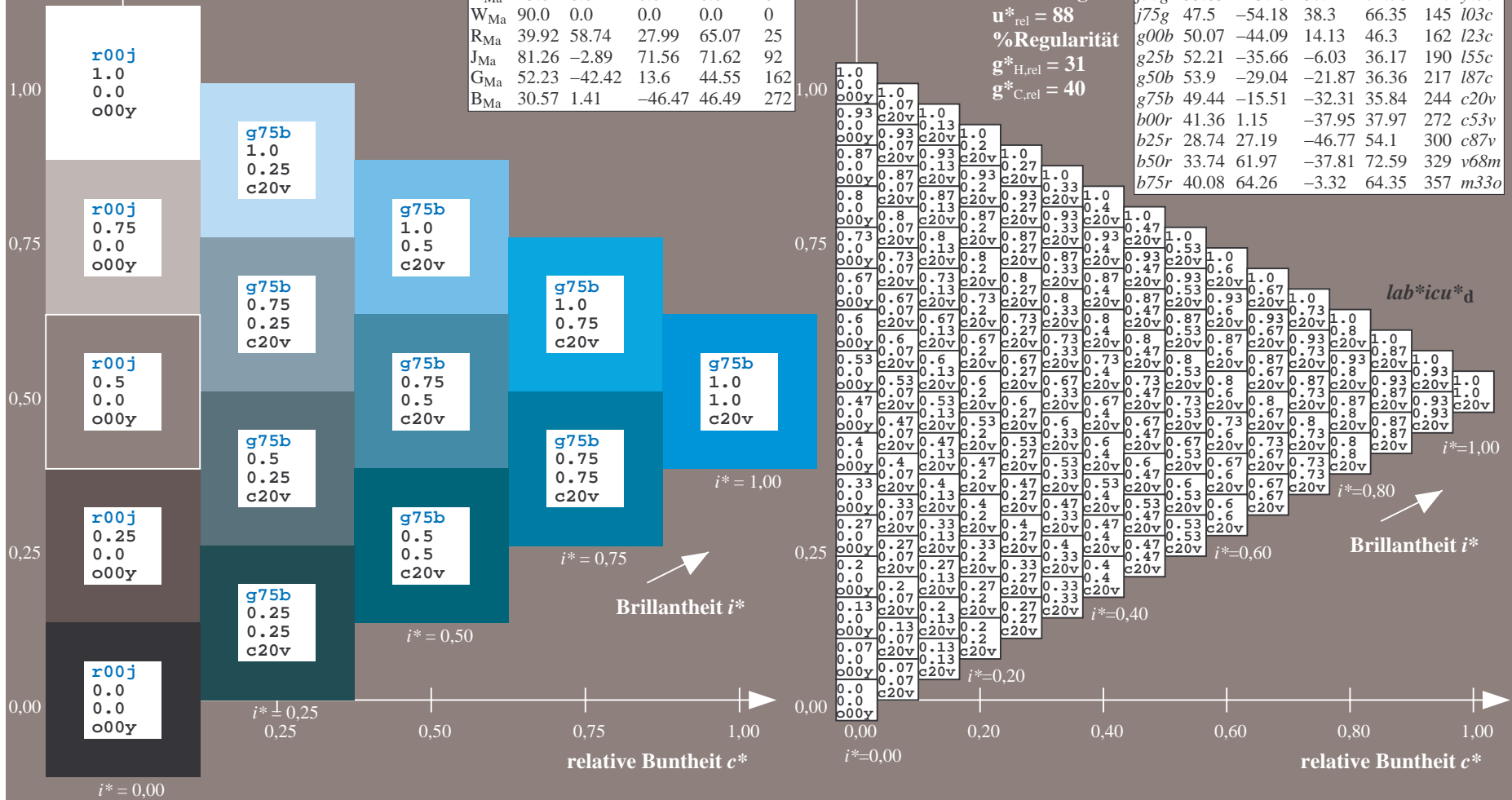
$lab^*rgb^*_{Ma}$: 0.0 0.5 1.0

$lab^*olv^*_{Ma}$: 0.0 0.8 1.0

Dreiecks-Helligkeit t^*

FRS15_90a; adaptierte CIELAB-Daten

	u^*_e	$L^*=L^*_a$	a^*_a	b^*_a	$C^*_{ab,a}$	$h^*_{ab,a}$	u^*_d
r00j	39.18	56.94	27.13	63.07	25	m81o	
r25j	42.41	49.1	44.5	66.26	42	o10y	
r50j	52.78	35.22	58.37	68.17	59	o40y	
r75j	64.82	19.12	74.47	76.89	76	o69y	
j00g	82.06	-3.94	97.52	97.6	92	o98y	
j25g	67.26	-26.87	74.67	79.36	110	y34l	
j50g	55.83	-43.45	57.11	71.76	127	y69l	
j75g	47.5	-54.18	38.3	66.35	145	l03c	
g00b	50.07	-44.09	14.13	46.3	162	l23c	
g25b	52.21	-35.66	-6.03	36.17	190	l55c	
g50b	53.9	-29.04	-21.87	36.36	217	l87c	
g75b	49.44	-15.51	-32.31	35.84	244	c20v	
b00r	41.36	1.15	-37.95	37.97	272	c53v	
b25r	28.74	27.19	-46.77	54.1	300	c87v	
b50r	33.74	61.97	-37.81	72.59	329	v68m	
b75r	40.08	64.26	-3.32	64.35	357	m33o	



Ein und Ausgabe: Farbmatisches Drucker-Reflektiv-System FRS15_90a für relativen CIELAB-Bunton $h^* = lab^*h^* = h_{ab}/360 = 0.755$

$u^*_e = b00r$
 $lab^*icu^*_d$

Daten für jede Farbe:

lab^*ch^* und lab^*icu^*

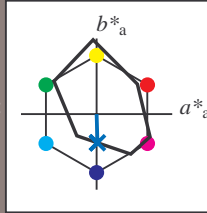
Buntontexte:

$u^*_e = b00r$ $u^*_d = c53v$

Kontrastreduzierungsfaktor:

$c_R = 0.9$

Dreiecks-Helligkeit t^*



FRS15_90a; adaptierte CIELAB-Daten						
u^*_e	$L^*=L^*_a$	a^*_a	b^*_a	$C^*_{ab,a}$	$h^*_{ab,a}$	
O _{Ma}	38.8	53.92	39.68	66.95	36	
Y _{Ma}	82.58	-4.64	98.22	98.33	93	
L _{Ma}	46.95	-56.34	43.46	71.15	142	
C _{Ma}	54.62	-26.2	-28.68	38.85	228	
V _{Ma}	20.01	45.2	-52.87	69.56	311	
M _{Ma}	40.88	70.68	-29.99	76.78	337	
N _{Ma}	15.0	0.0	0.0	0.0	0	
W _{Ma}	90.0	0.0	0.0	0.0	0	
R _{Ma}	39.92	58.74	27.99	65.07	25	
J _{Ma}	81.26	-2.89	71.56	71.62	92	
G _{Ma}	52.23	-42.42	13.6	44.55	162	
B _{Ma}	30.57	1.41	-46.47	46.49	272	

Daten für Maximalfarbe (Ma):

$LAB^*LAB^*_{Ma}$: 41 1 -38

$LAB^*LCH^*_{Ma}$: 41 38 271

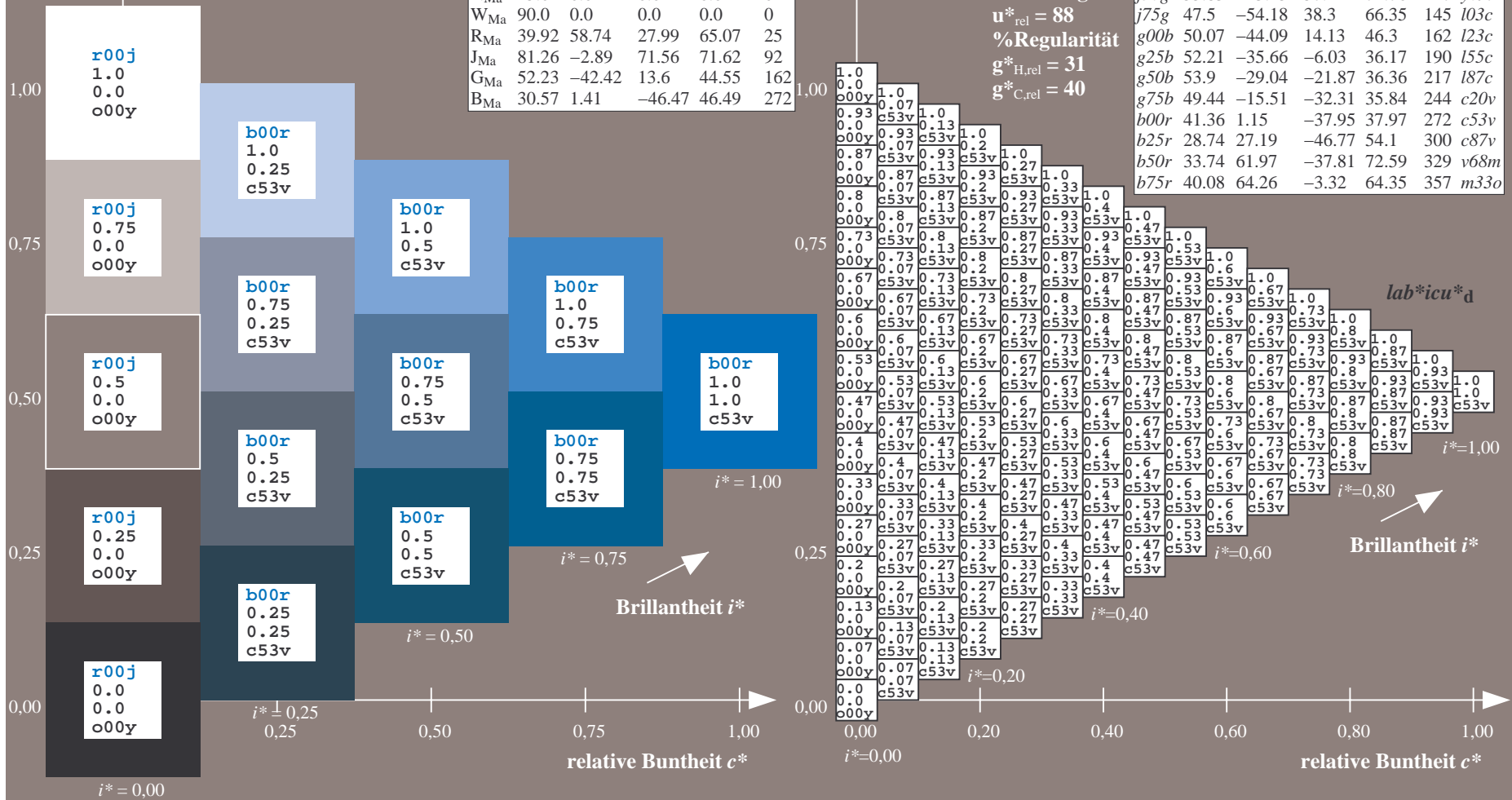
$lab^*rgb^*_{Ma}$: 0.0 0.0 1.0

$lab^*olv^*_{Ma}$: 0.0 0.47 1.0

Dreiecks-Helligkeit t^*

FRS15_90a; adaptierte CIELAB-Daten

u^*_e	$L^*=L^*_a$	a^*_a	b^*_a	$C^*_{ab,a}$	$h^*_{ab,a}$	u^*_d
r00j	39.18	56.94	27.13	63.07	25	m81o
r25j	42.41	49.1	44.5	66.26	42	o10y
r50j	52.78	35.22	58.37	68.17	59	o40y
r75j	64.82	19.12	74.47	76.89	76	o69y
j00g	82.06	-3.94	97.52	97.6	92	o98y
j25g	67.26	-26.87	74.67	79.36	110	y34l
j50g	55.83	-43.45	57.11	71.76	127	y69l
j75g	47.5	-54.18	38.3	66.35	145	l03c
g00b	50.07	-44.09	14.13	46.3	162	l23c
g25b	52.21	-35.66	-6.03	36.17	190	l55c
g50b	53.9	-29.04	-21.87	36.36	217	l87c
g75b	49.44	-15.51	-32.31	35.84	244	c20v
b00r	41.36	1.15	-37.95	37.97	272	c53v
b25r	28.74	27.19	-46.77	54.1	300	c87v
b50r	33.74	61.97	-37.81	72.59	329	v68m
b75r	40.08	64.26	-3.32	64.35	357	m33o



Ein und Ausgabe: Farbmatisches Drucker-Reflektiv-System FRS15_90a für relativen CIELAB-Bunton $h^* = lab^*h^* = h_{ab}/360 = 0.834$

$u^*_e = b25r$
 $lab^*icu^*_d$

Daten für jede Farbe:

lab^*ch^* und lab^*icu^*

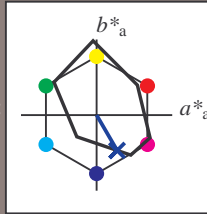
Buntontexte:

$u^*_e = b25r$ $u^*_d = c87v$

Kontrastreduzierungsfaktor:

$c_R = 0.9$

Dreiecks-Helligkeit t^*



FRS15_90a; adaptierte CIELAB-Daten

u^*_e	$L^*=L^*_a$	a^*_a	b^*_a	$C^*_{ab,a}$	$h^*_{ab,a}$
O _{Ma}	38.8	53.92	39.68	66.95	36
Y _{Ma}	82.58	-4.64	98.22	98.33	93
L _{Ma}	46.95	-56.34	43.46	71.15	142
C _{Ma}	54.62	-26.2	-28.68	38.85	228
V _{Ma}	20.01	45.2	-52.87	69.56	311
M _{Ma}	40.88	70.68	-29.99	76.78	337
N _{Ma}	15.0	0.0	0.0	0.0	0
W _{Ma}	90.0	0.0	0.0	0.0	0
R _{Ma}	39.92	58.74	27.99	65.07	25
J _{Ma}	81.26	-2.89	71.56	71.62	92
G _{Ma}	52.23	-42.42	13.6	44.55	162
B _{Ma}	30.57	1.41	-46.47	46.49	272

Daten für Maximalfarbe (Ma):

$LAB^*LAB^*_{Ma}$: 29 27 -47

$LAB^*LCH^*_{Ma}$: 29 54 300

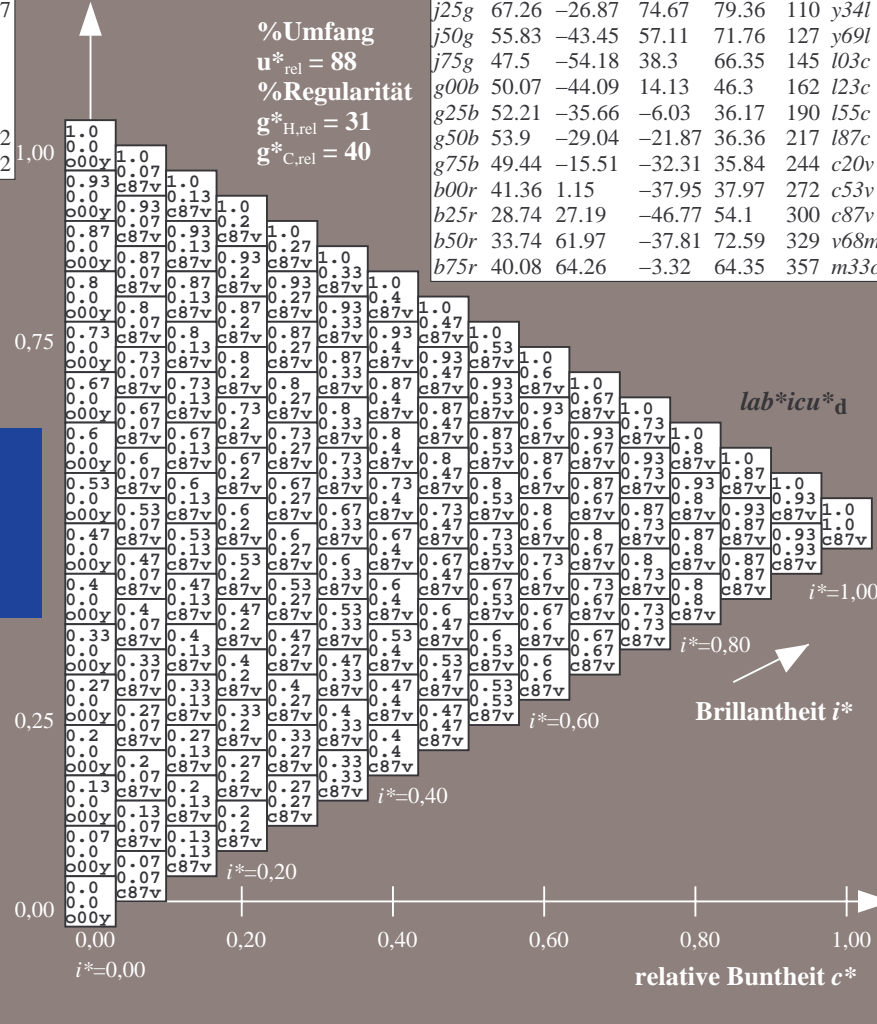
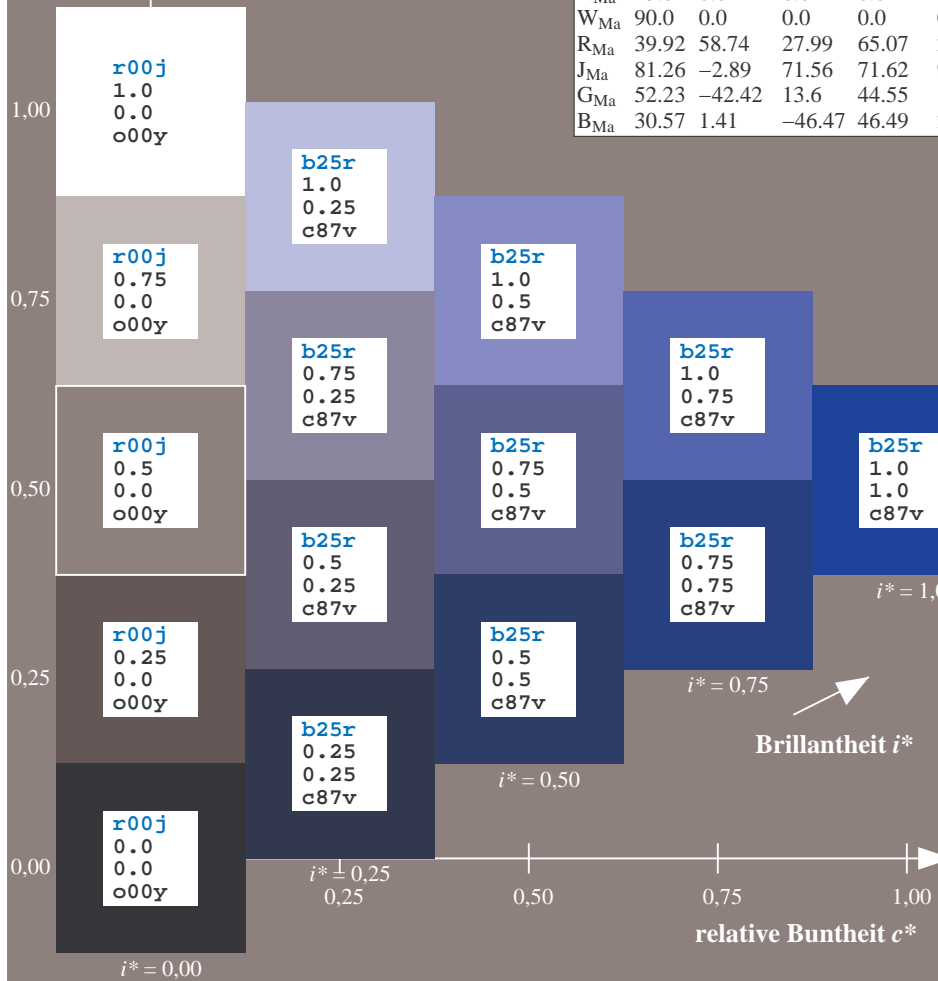
$lab^*rgb^*_{Ma}$: 0.5 0.0 1.0

$lab^*olv^*_{Ma}$: 0.0 0.12 1.0

Dreiecks-Helligkeit t^*

FRS15_90a; adaptierte CIELAB-Daten

u^*_e	$L^*=L^*_a$	a^*_a	b^*_a	$C^*_{ab,a}$	$h^*_{ab,a}$	u^*_d
r00j	39.18	56.94	27.13	63.07	25	m81o
r25j	42.41	49.1	44.5	66.26	42	o10y
r50j	52.78	35.22	58.37	68.17	59	o40y
r75j	64.82	19.12	74.47	76.89	76	o69y
j00g	82.06	-3.94	97.52	97.6	92	o98y
j25g	67.26	-26.87	74.67	79.36	110	y34l
j50g	55.83	-43.45	57.11	71.76	127	y69l
j75g	47.5	-54.18	38.3	66.35	145	l03c
g00b	50.07	-44.09	14.13	46.3	162	l23c
g25b	52.21	-35.66	-6.03	36.17	190	l55c
g50b	53.9	-29.04	-21.87	36.36	217	l87c
g75b	49.44	-15.51	-32.31	35.84	244	c20v
b00r	41.36	1.15	-37.95	37.97	272	c53v
b25r	28.74	27.19	-46.77	54.1	300	c87v
b50r	33.74	61.97	-37.81	72.59	329	v68m
b75r	40.08	64.26	-3.32	64.35	357	m33o



%Umfang
 $u^*_{rel} = 88$
%Regularität
 $g^*_{H,rel} = 31$
 $g^*_{C,rel} = 40$

Brillantheit i^*

Brillantheit i^*

Ein und Ausgabe: Farbmatisches Drucker-Reflektiv-System FRS15_90a für relativen CIELAB-Bunton $h^* = lab^*h^* = h_{ab}/360 = 0.913$

$u^*_e = b50r$

Daten für jede Farbe:

lab^*ch^* und lab^*icu^*

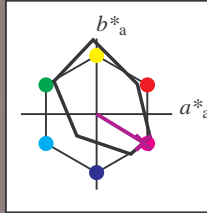
Buntontexte:

$u^*_e = b50r$ $u^*_d = v68m$

Kontrastreduzierungsfaktor:

$c_R = 0.9$

Dreiecks-Helligkeit t^*



FRS15_90a; adaptierte CIELAB-Daten

	u^*_e	$L^*=L^*_a$	a^*_a	b^*_a	$C^*_{ab,a}$	$h^*_{ab,a}$
O _{Ma}	38.8	53.92	39.68	66.95	36	
Y _{Ma}	82.58	-4.64	98.22	98.33	93	
L _{Ma}	46.95	-56.34	43.46	71.15	142	
C _{Ma}	54.62	-26.2	-28.68	38.85	228	
V _{Ma}	20.01	45.2	-52.87	69.56	311	
M _{Ma}	40.88	70.68	-29.99	76.78	337	
N _{Ma}	15.0	0.0	0.0	0.0	0	
W _{Ma}	90.0	0.0	0.0	0.0	0	
R _{Ma}	39.92	58.74	27.99	65.07	25	
J _{Ma}	81.26	-2.89	71.56	71.62	92	
G _{Ma}	52.23	-42.42	13.6	44.55	162	
B _{Ma}	30.57	1.41	-46.47	46.49	272	

Daten für Maximalfarbe (Ma):

$LAB^*LAB^*_{Ma}$: 34 62 -38

$LAB^*LCH^*_{Ma}$: 34 73 328

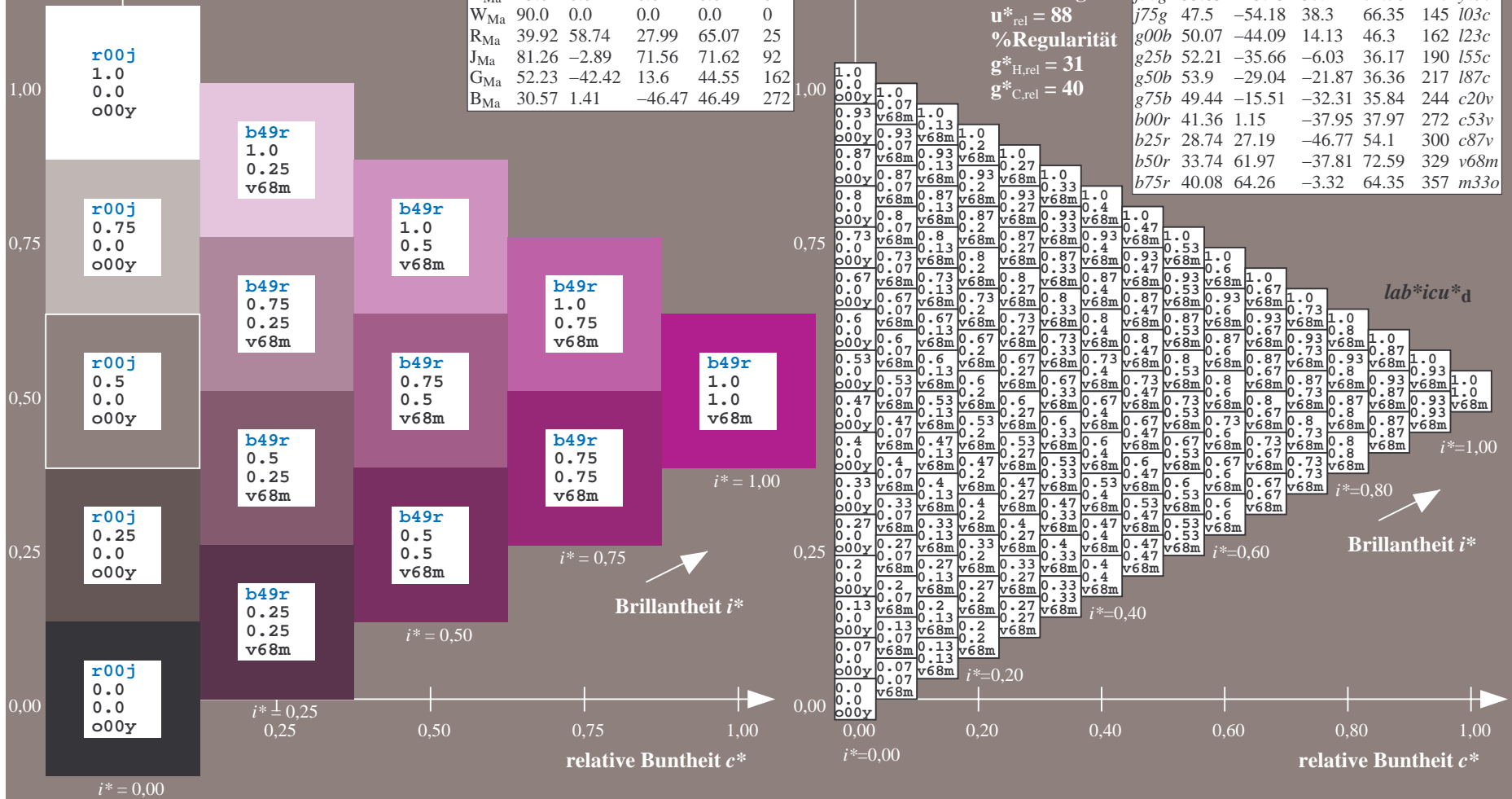
$lab^*rgb^*_{Ma}$: 1.0 0.0 1.0

$lab^*olv^*_{Ma}$: 0.68 0.0 1.0

Dreiecks-Helligkeit t^*

FRS15_90a; adaptierte CIELAB-Daten

	u^*_e	$L^*=L^*_a$	a^*_a	b^*_a	$C^*_{ab,a}$	$h^*_{ab,a}$	u^*_d
r00j	39.18	56.94	27.13	63.07	25	m81o	
r25j	42.41	49.1	44.5	66.26	42	o10y	
r50j	52.78	35.22	58.37	68.17	59	o40y	
r75j	64.82	19.12	74.47	76.89	76	o69y	
j00g	82.06	-3.94	97.52	97.6	92	o98y	
j25g	67.26	-26.87	74.67	79.36	110	y34l	
j50g	55.83	-43.45	57.11	71.76	127	y69l	
j75g	47.5	-54.18	38.3	66.35	145	l03c	
g00b	50.07	-44.09	14.13	46.3	162	l23c	
g25b	52.21	-35.66	-6.03	36.17	190	l55c	
g50b	53.9	-29.04	-21.87	36.36	217	l87c	
g75b	49.44	-15.51	-32.31	35.84	244	c20v	
b00r	41.36	1.15	-37.95	37.97	272	c53v	
b25r	28.74	27.19	-46.77	54.1	300	c87v	
b50r	33.74	61.97	-37.81	72.59	329	v68m	
b75r	40.08	64.26	-3.32	64.35	357	m33o	



Ein und Ausgabe: Farbmatisches Drucker-Reflektiv-System FRS15_90a für relativen CIELAB-Bunton $h^* = lab^*h^* = h_{ab}/360 = 0.992$

$u^*_e = b75r$

Daten für jede Farbe:

lab^*ch^* und lab^*icu^*

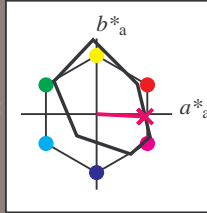
Buntontexte:

$u^*_e = b75r$ $u^*_d = m33o$

Kontrastreduzierungsfaktor:

$c_R = 0.9$

Dreiecks-Helligkeit t^*



FRS15_90a; adaptierte CIELAB-Daten

u^*_e	$L^*=L^*_a$	a^*_a	b^*_a	$C^*_{ab,a}$	$h^*_{ab,a}$
O _{Ma}	38.8	53.92	39.68	66.95	36
Y _{Ma}	82.58	-4.64	98.22	98.33	93
L _{Ma}	46.95	-56.34	43.46	71.15	142
C _{Ma}	54.62	-26.2	-28.68	38.85	228
V _{Ma}	20.01	45.2	-52.87	69.56	311
M _{Ma}	40.88	70.68	-29.99	76.78	337
N _{Ma}	15.0	0.0	0.0	0.0	0
W _{Ma}	90.0	0.0	0.0	0.0	0
R _{Ma}	39.92	58.74	27.99	65.07	25
J _{Ma}	81.26	-2.89	71.56	71.62	92
G _{Ma}	52.23	-42.42	13.6	44.55	162
B _{Ma}	30.57	1.41	-46.47	46.49	272

Daten für Maximalfarbe (Ma):

$LAB^*LAB^*_{Ma}$: 40 64 -3

$LAB^*LCH^*_{Ma}$: 40 64 357

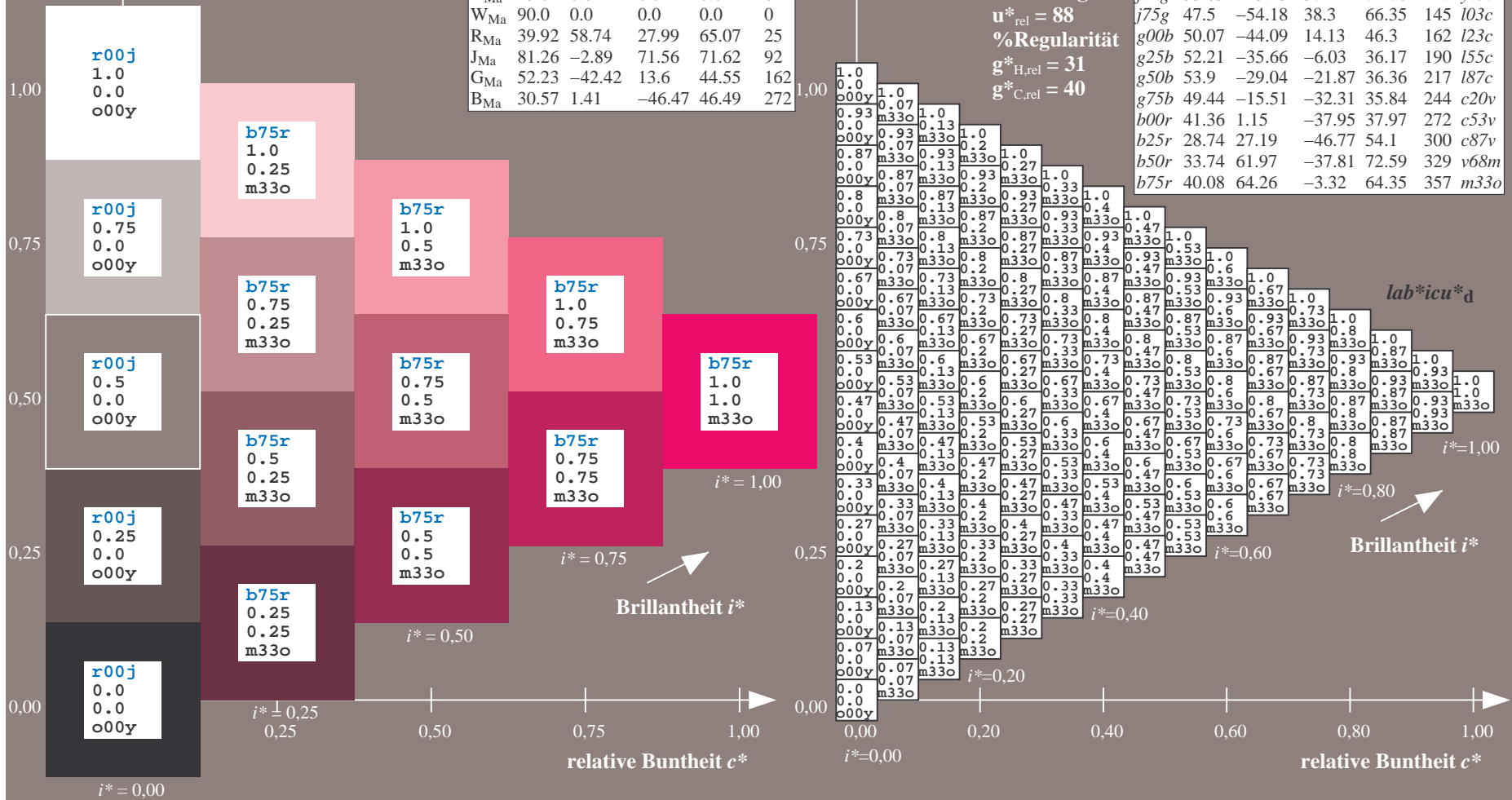
$lab^*rgb^*_{Ma}$: 1.0 0.0 0.5

$lab^*olv^*_{Ma}$: 1.0 0.0 0.66

Dreiecks-Helligkeit t^*

FRS15_90a; adaptierte CIELAB-Daten

u^*_e	$L^*=L^*_a$	a^*_a	b^*_a	$C^*_{ab,a}$	$h^*_{ab,a}$	u^*_d
r00j	39.18	56.94	27.13	63.07	25	m81o
r25j	42.41	49.1	44.5	66.26	42	o10y
r50j	52.78	35.22	58.37	68.17	59	o40y
r75j	64.82	19.12	74.47	76.89	76	o69y
j00g	82.06	-3.94	97.52	97.6	92	o98y
j25g	67.26	-26.87	74.67	79.36	110	y34l
j50g	55.83	-43.45	57.11	71.76	127	y69l
j75g	47.5	-54.18	38.3	66.35	145	l03c
g00b	50.07	-44.09	14.13	46.3	162	l23c
g25b	52.21	-35.66	-6.03	36.17	190	l55c
g50b	53.9	-29.04	-21.87	36.36	217	l87c
g75b	49.44	-15.51	-32.31	35.84	244	c20v
b00r	41.36	1.15	-37.95	37.97	272	c53v
b25r	28.74	27.19	-46.77	54.1	300	c87v
b50r	33.74	61.97	-37.81	72.59	329	v68m
b75r	40.08	64.26	-3.32	64.35	357	m33o



Ein und Ausgabe:
Farbmetrisches Drucker-Reflektiv-System FRS15_90a

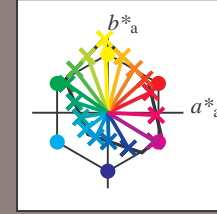
Daten für jede Farbe:
 u^*_e und Nummer $Nr. = 00 \dots 15$

Elementar-Bunttextext:
 $u^*_e = 16$ Bunttoene $r00j, r25j, \dots, b75r$

Kontrastreduzierungsfaktor:
 $c_R = 0.9$

FRS15_90a; adaptierte CIELAB-Daten

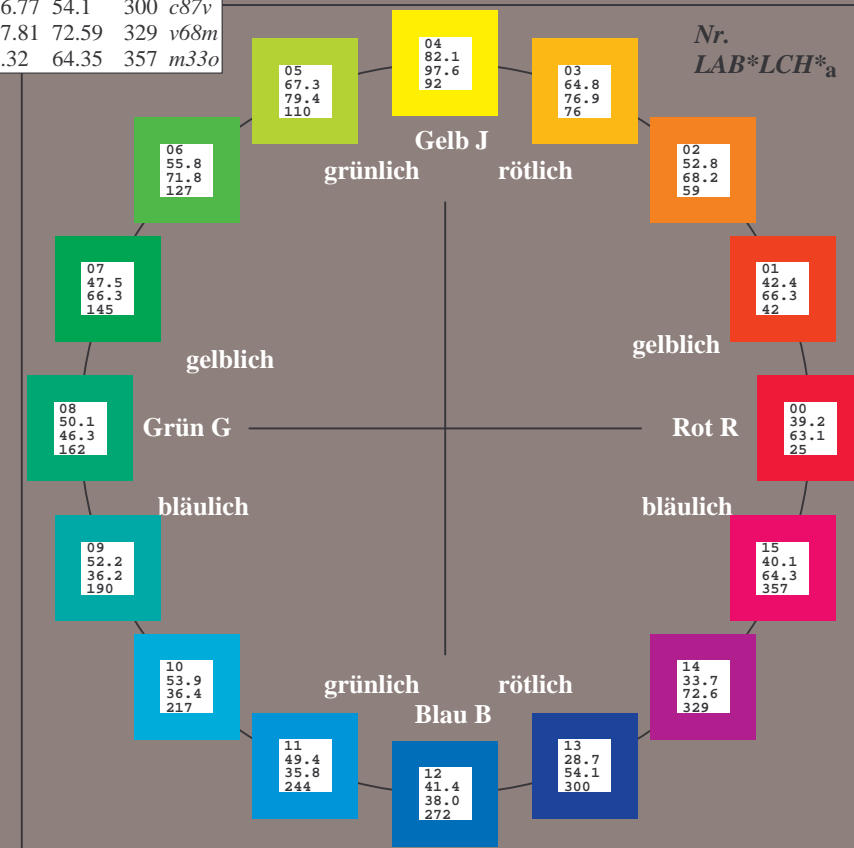
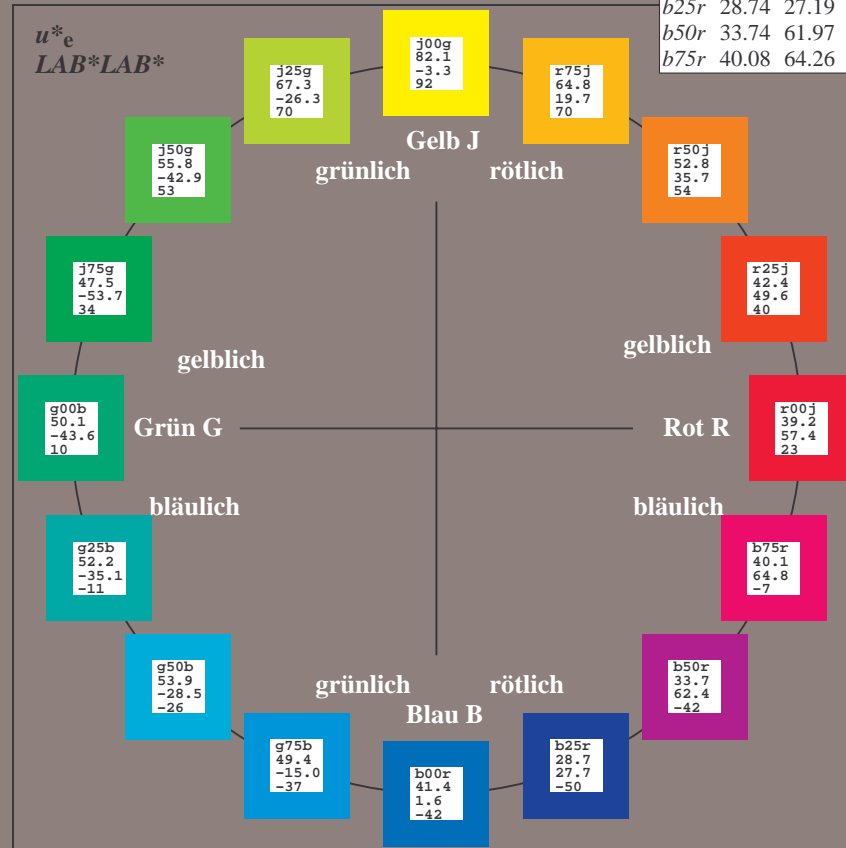
u^*_e	$L^*=L^*_a$	a^*_a	b^*_a	$C^*_{ab,a}$	$h^*_{ab,a}$	u^*_d
<i>r00j</i>	39.18	56.94	27.13	63.07	25	<i>m8lo</i>
<i>r25j</i>	42.41	49.1	44.5	66.26	42	<i>o10y</i>
<i>r50j</i>	52.78	35.22	58.37	68.17	59	<i>o40y</i>
<i>r75j</i>	64.82	19.12	74.47	76.89	76	<i>o69y</i>
<i>j00g</i>	82.06	-3.94	97.52	97.6	92	<i>o98y</i>
<i>j25g</i>	67.26	-26.87	74.67	79.36	110	<i>y34l</i>
<i>j50g</i>	55.83	-43.45	57.11	71.76	127	<i>y69l</i>
<i>j75g</i>	47.5	-54.18	38.3	66.35	145	<i>l03c</i>
<i>g00b</i>	50.07	-44.09	14.13	46.3	162	<i>l23c</i>
<i>g25b</i>	52.21	-35.66	-6.03	36.17	190	<i>l55c</i>
<i>g50b</i>	53.9	-29.04	-21.87	36.36	217	<i>l87c</i>
<i>g75b</i>	49.44	-15.51	-32.31	35.84	244	<i>c20v</i>
<i>b00r</i>	41.36	1.15	-37.95	37.97	272	<i>c53v</i>
<i>b25r</i>	28.74	27.19	-46.77	54.1	300	<i>c87v</i>
<i>b50r</i>	33.74	61.97	-37.81	72.59	329	<i>v68m</i>
<i>b75r</i>	40.08	64.26	-3.32	64.35	357	<i>m33o</i>



%Umfang
 $u^*_{rel} = 88$
%Regularität
 $g^*_{H,rel} = 31$
 $g^*_{C,rel} = 40$

FRS15_90; CIELAB-Daten

Name	$L^*=L^*$	a^*	b^*	C^*_{ab}	h^*_{ab}
O _M	38.8	54.41	35.65	65.05	33
Y _M	82.58	-4.04	92.72	92.8	92
L _M	46.95	-55.83	39.15	68.19	145
C _M	54.62	-25.67	-33.25	42.01	232
V _M	20.01	45.64	-56.27	72.45	309
M _M	40.88	71.17	-34.09	78.92	334
N _M	15.0	0.43	-3.23	3.26	278
W _M	90.0	0.62	-5.76	5.79	276
R _{CIE}	39.92	58.74	27.99	65.07	25
J _{CIE}	81.26	-2.89	71.56	71.62	92
G _{CIE}	52.23	-42.42	13.6	44.55	162
B _{CIE}	30.57	1.41	-46.47	46.49	272



Ein und Ausgabe: Farbmatisches Drucker-Reflektiv-System FRS15_90a für relativen CIELAB-Bunton $h^* = lab^*h^* = h_{ab}/360 = 0.071$

$u^*_e = r00j$
 LAB^*LAB^*

Daten für jede Farbe:

lab^*ch^* und lab^*icu^*

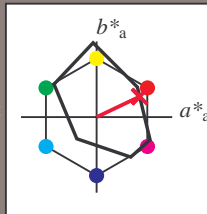
Buntontexte:

$u^*_e = r00j$ $u^*_d = m81o$

Kontrastreduzierungsfaktor:

$c_R = 0.9$

Dreiecks-Helligkeit t^*



FRS15_90; CIELAB-Daten						
	u^*_e	$L^*=L^*_a$	a^*_a	b^*_a	C^*_{ab}	h^*_{ab}
O _M	38.8	54.41	35.65	65.05	33	
Y _M	82.58	-4.04	92.72	92.8	92	
L _M	46.95	-55.83	39.15	68.19	145	
C _M	54.62	-25.67	-33.25	42.01	232	
V _M	20.01	45.64	-56.27	72.45	309	
M _M	40.88	71.17	-34.09	78.92	334	
N _M	15.0	0.43	-3.23	3.26	278	
W _M	90.0	0.62	-5.76	5.79	276	
R _M	39.92	58.74	27.99	65.07	25	
J _M	81.26	-2.89	71.56	71.62	92	
G _M	52.23	-42.42	13.6	44.55	162	
B _M	30.57	1.41	-46.47	46.49	272	

Daten für Maximalfarbe (Ma):

$LAB^*LAB^*_{Ma}: 39\ 57\ 27$

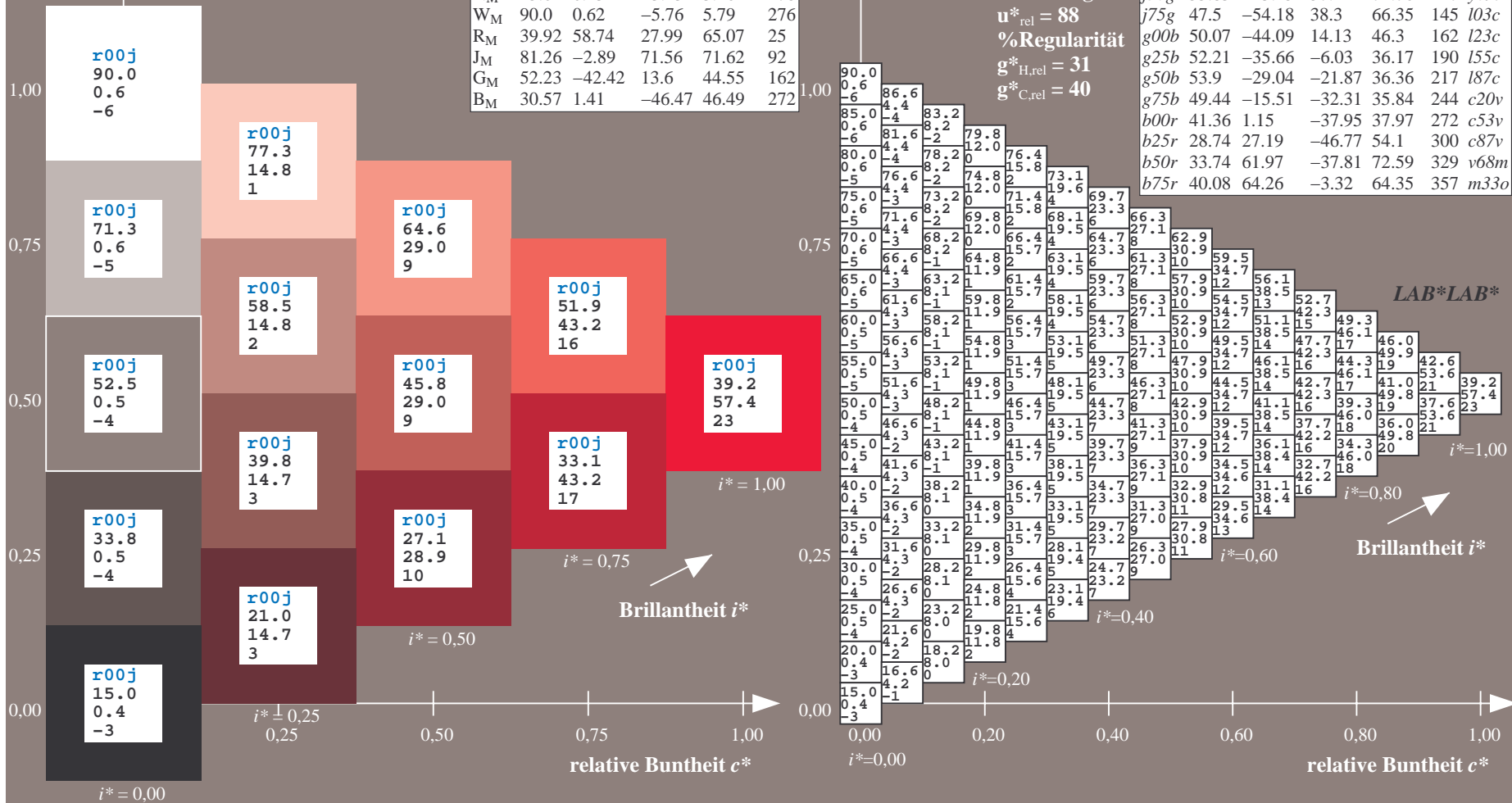
$LAB^*LCH^*_{Ma}: 39\ 63\ 25$

$lab^*rgb^*_{Ma}: 1.0\ 0.0\ 0.0$

$lab^*olv^*_{Ma}: 1.0\ 0.0\ 0.18$

Dreiecks-Helligkeit t^*

FRS15_90a; adaptierte CIELAB-Daten							
	u^*_e	$L^*=L^*_a$	a^*_a	b^*_a	$C^*_{ab,a}$	$h^*_{ab,a}$	u^*_d
r00j	39.18	56.94	27.13	63.07	25	m81o	
r25j	42.41	49.1	44.5	66.26	42	o10y	
r50j	52.78	35.22	58.37	68.17	59	o40y	
r75j	64.82	19.12	74.47	76.89	76	o69y	
j00g	82.06	-3.94	97.52	97.6	92	o98y	
j25g	67.26	-26.87	74.67	79.36	110	y34l	
j50g	55.83	-43.45	57.11	71.76	127	y69l	
j75g	47.5	-54.18	38.3	66.35	145	l03c	
g00b	50.07	-44.09	14.13	46.3	162	i23c	
g25b	52.21	-35.66	-6.03	36.17	190	i55c	
g50b	53.9	-29.04	-21.87	36.36	217	i87c	
g75b	49.44	-15.51	-32.31	35.84	244	c20v	
b00r	41.36	1.15	-37.95	37.97	272	c53v	
b25r	28.74	27.19	-46.77	54.1	300	c87v	
b50r	33.74	61.97	-37.81	72.59	329	v68m	
b75r	40.08	64.26	-3.32	64.35	357	m33o	



Ein und Ausgabe: Farbmatisches Drucker-Reflektiv-System FRS15_90a für relativen CIELAB-Bunton $h^* = lab^*h^* = h_{ab}/360 = 0.117$

$u^*_e = r25j$
 LAB^*LAB^*

Daten für jede Farbe:

lab^*ch^* und lab^*icu^*

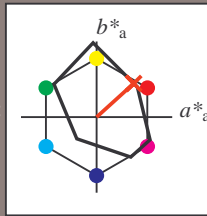
Buntontexte:

$u^*_e = r25j$ $u^*_d = o10y$

Kontrastreduzierungsfaktor:

$c_R = 0.9$

Dreiecks-Helligkeit t^*



FRS15_90; CIELAB-Daten						
	u^*_e	$L^*=L^*$	a^*	b^*	C^*_{ab}	h^*_{ab}
O _M	38.8	54.41	35.65	65.05	33	
Y _M	82.58	-4.04	92.72	92.8	92	
L _M	46.95	-55.83	39.15	68.19	145	
C _M	54.62	-25.67	-33.25	42.01	232	
V _M	20.01	45.64	-56.27	72.45	309	
M _M	40.88	71.17	-34.09	78.92	334	
N _M	15.0	0.43	-3.23	3.26	278	
W _M	90.0	0.62	-5.76	5.79	276	
R _M	39.92	58.74	27.99	65.07	25	
J _M	81.26	-2.89	71.56	71.62	92	
G _M	52.23	-42.42	13.6	44.55	162	
B _M	30.57	1.41	-46.47	46.49	272	

Daten für Maximalfarbe (Ma):

$LAB^*LAB^*_{Ma}: 42\ 49\ 44$

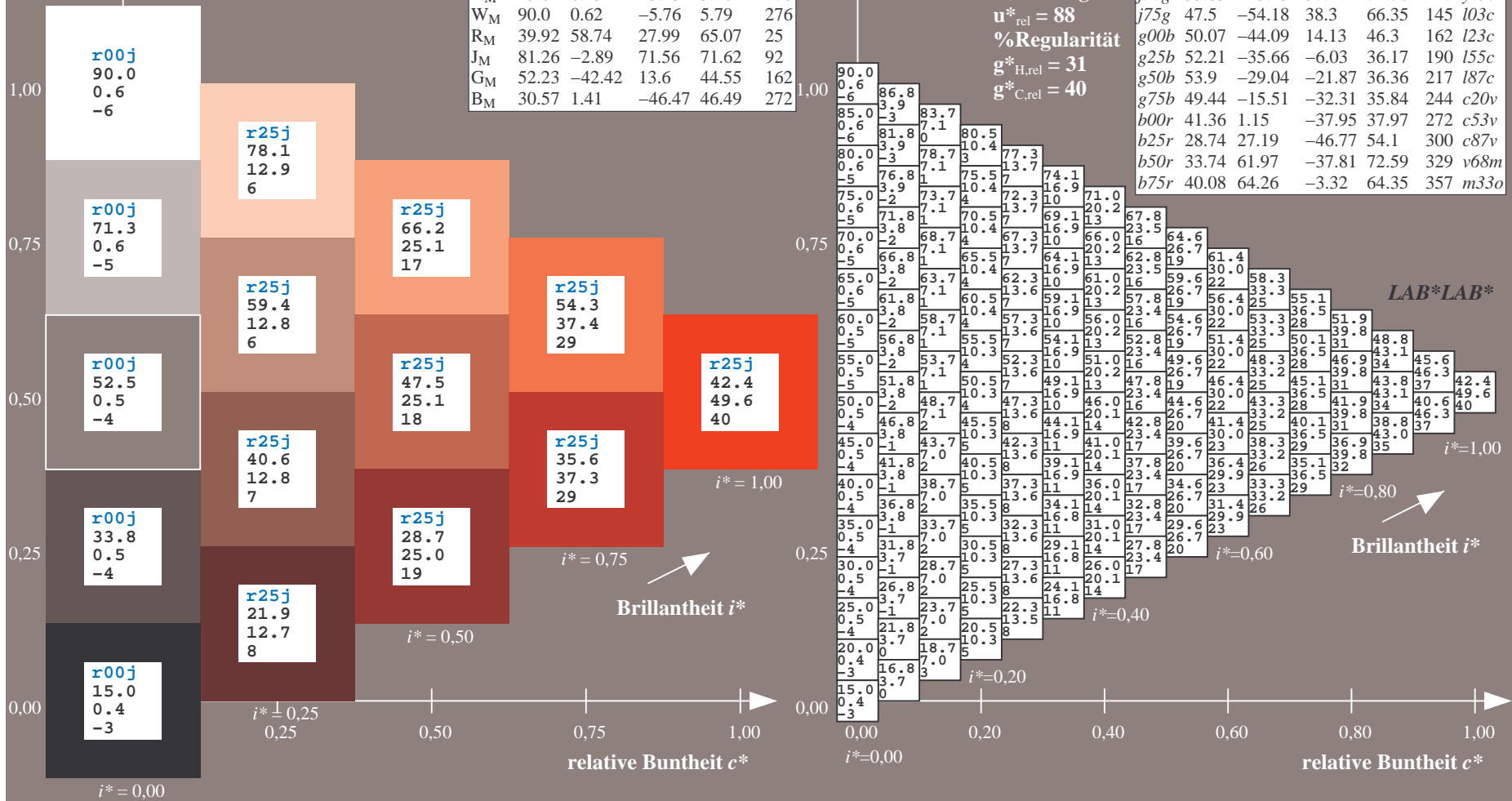
$LAB^*LCH^*_{Ma}: 42\ 66\ 42$

$lab^*rgb^*_{Ma}: 1.0\ 0.25\ 0.0$

$lab^*olv^*_{Ma}: 1.0\ 0.1\ 0.0$

Dreiecks-Helligkeit t^*

FRS15_90a; adaptierte CIELAB-Daten							
	u^*_e	$L^*=L^*_a$	a^*_a	b^*_a	$C^*_{ab,a}$	$h^*_{ab,a}$	u^*_d
r00j	39.18	56.94	27.13	63.07	25	m81o	
r25j	42.41	49.1	44.5	66.26	42	o10y	
r50j	52.78	35.22	58.37	68.17	59	o40y	
r75j	64.82	19.12	74.47	76.89	76	o69y	
j00g	82.06	-3.94	97.52	97.6	92	o98y	
j25g	67.26	-26.87	74.67	79.36	110	y34l	
j50g	55.83	-43.45	57.11	71.76	127	y69l	
j75g	47.5	-54.18	38.3	66.35	145	152c	
g00b	50.07	-44.09	14.13	46.3	162	l23c	
g25b	52.21	-35.66	-6.03	36.17	190	l55c	
g50b	53.9	-29.04	-21.87	36.36	217	l87c	
g75b	49.44	-15.51	-32.31	35.84	244	c20v	
b00r	41.36	1.15	-37.95	37.97	272	c53v	
b25r	28.74	27.19	-46.77	54.1	300	c87v	
b50r	33.74	61.97	-37.81	72.59	329	v68m	
b75r	40.08	64.26	-3.32	64.35	357	m33o	



Ein und Ausgabe: Farbmatisches Drucker-Reflektiv-System FRS15_90a für relativen CIELAB-Bunton $h^* = lab^*h^* = h_{ab}/360 = 0.164$

$u^*_e = r50j$
 LAB^*LAB^*

Daten für jede Farbe:

lab^*ch^* und lab^*icu^*

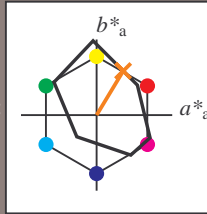
Buntontexte:

$u^*_e = r50j$ $u^*_d = o40y$

Kontrastreduzierungsfaktor:

$c_R = 0.9$

Dreiecks-Helligkeit t^*



FRS15_90; CIELAB-Daten						
	u^*_e	$L^*=L^*$	a^*	b^*	C^*_{ab}	h^*_{ab}
O _M	38.8	54.41	35.65	65.05	33	
Y _M	82.58	-4.04	92.72	92.8	92	
L _M	46.95	-55.83	39.15	68.19	145	
C _M	54.62	-25.67	-33.25	42.01	232	
V _M	20.01	45.64	-56.27	72.45	309	
M _M	40.88	71.17	-34.09	78.92	334	
N _M	15.0	0.43	-3.23	3.26	278	
W _M	90.0	0.62	-5.76	5.79	276	
R _M	39.92	58.74	27.99	65.07	25	
J _M	81.26	-2.89	71.56	71.62	92	
G _M	52.23	-42.42	13.6	44.55	162	
B _M	30.57	1.41	-46.47	46.49	272	

Daten für Maximalfarbe (Ma):

$LAB^*LAB^*_{Ma}: 53\ 35\ 58$

$LAB^*LCH^*_{Ma}: 53\ 68\ 58$

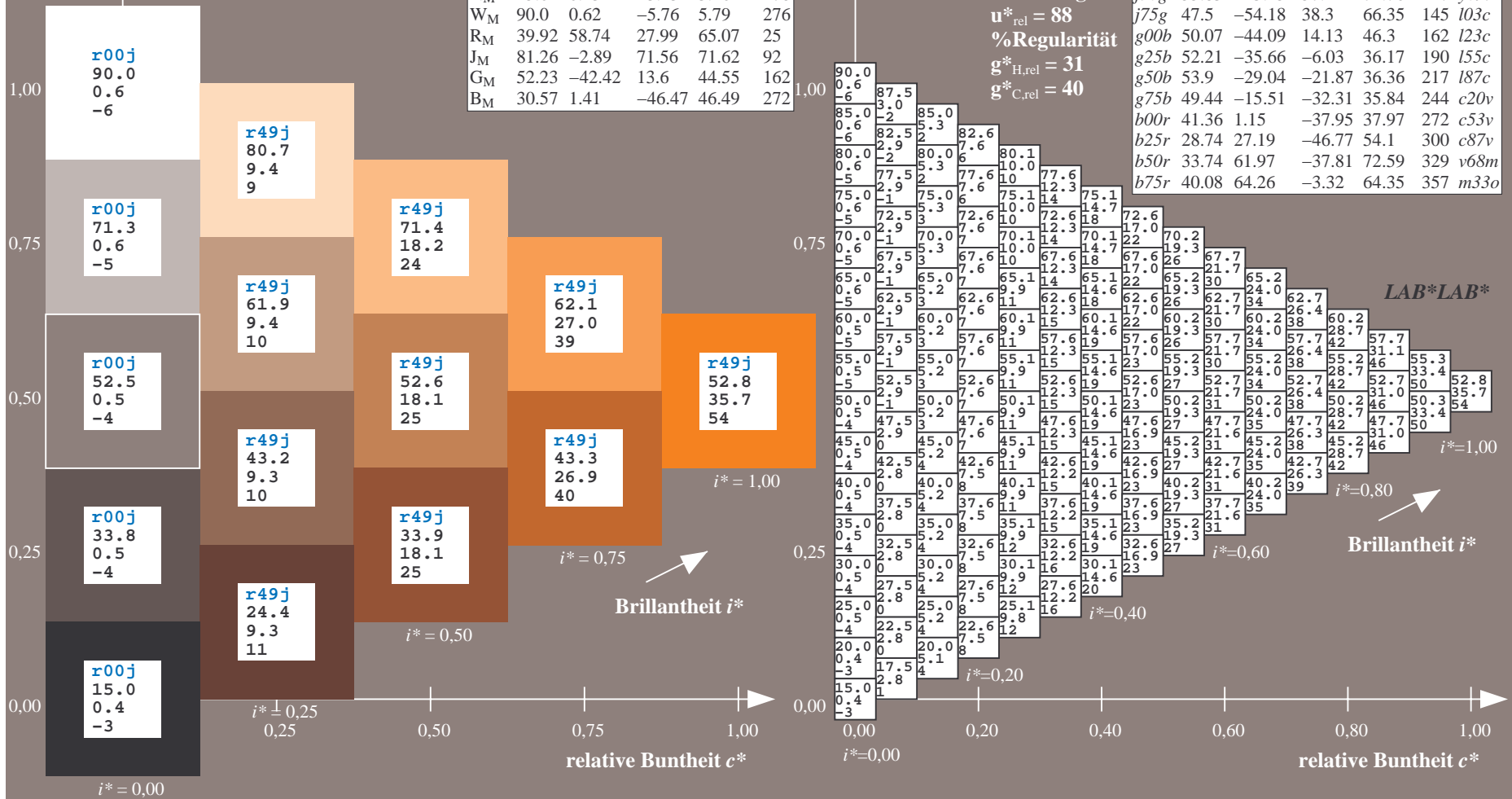
$lab^*rgb^*_{Ma}: 1.0\ 0.5\ 0.0$

$lab^*olv^*_{Ma}: 1.0\ 0.4\ 0.0$

Dreiecks-Helligkeit t^*

FRS15_90a; adaptierte CIELAB-Daten

	u^*_e	$L^*=L^*_a$	a^*_a	b^*_a	$C^*_{ab,a}$	$h^*_{ab,a}$	u^*_d
r00j	39.18	56.94	27.13	63.07	25	m81o	
r25j	42.41	49.1	44.5	66.26	42	o10y	
r50j	52.78	35.22	58.37	68.17	59	o40y	
r75j	64.82	19.12	74.47	76.89	76	o69y	
j00g	82.06	-3.94	97.52	97.6	92	o98y	
j25g	67.26	-26.87	74.67	79.36	110	y34l	
j50g	55.83	-43.45	57.11	71.76	127	y69l	
j75g	47.5	-54.18	38.3	66.35	145	i03c	
g00b	50.07	-44.09	14.13	46.3	162	i23c	
g25b	52.21	-35.66	-6.03	36.17	190	i55c	
g50b	53.9	-29.04	-21.87	36.36	217	i87c	
g75b	49.44	-15.51	-32.31	35.84	244	c20v	
b00r	41.36	1.15	-37.95	37.97	272	c53v	
b25r	28.74	27.19	-46.77	54.1	300	c87v	
b50r	33.74	61.97	-37.81	72.59	329	v68m	
b75r	40.08	64.26	-3.32	64.35	357	m33o	



Ein und Ausgabe: Farbmatisches Drucker-Reflektiv-System FRS15_90a für relativen CIELAB-Bunton $h^* = lab^*h^* = h_{ab}/360 = 0.21$

$u^*_e = r75j$
 LAB^*LAB^*

Daten für jede Farbe:

lab^*tch^* und lab^*icu^*

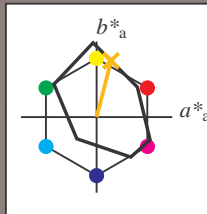
Buntontexte:

$u^*_e = r75j$ $u^*_d = o69y$

Kontrastreduzierungsfaktor:

$c_R = 0.9$

Dreiecks-Helligkeit t^*



FRS15_90; CIELAB-Daten						
	u^*_e	$L^*=L^*_a$	a^*	b^*	C^*_{ab}	h^*_{ab}
O_M	38.8	54.41	35.65	65.05	33	
Y_M	82.58	-4.04	92.72	92.8	92	
L_M	46.95	-55.83	39.15	68.19	145	
C_M	54.62	-25.67	-33.25	42.01	232	
V_M	20.01	45.64	-56.27	72.45	309	
M_M	40.88	71.17	-34.09	78.92	334	
N_M	15.0	0.43	-3.23	3.26	278	
W_M	90.0	0.62	-5.76	5.79	276	
R_M	39.92	58.74	27.99	65.07	25	
J_M	81.26	-2.89	71.56	71.62	92	
G_M	52.23	-42.42	13.6	44.55	162	
B_M	30.57	1.41	-46.47	46.49	272	

Daten für Maximalfarbe (Ma):

$LAB^*LAB^*_{Ma}: 65\ 19\ 74$

$LAB^*LCH^*_{Ma}: 65\ 77\ 75$

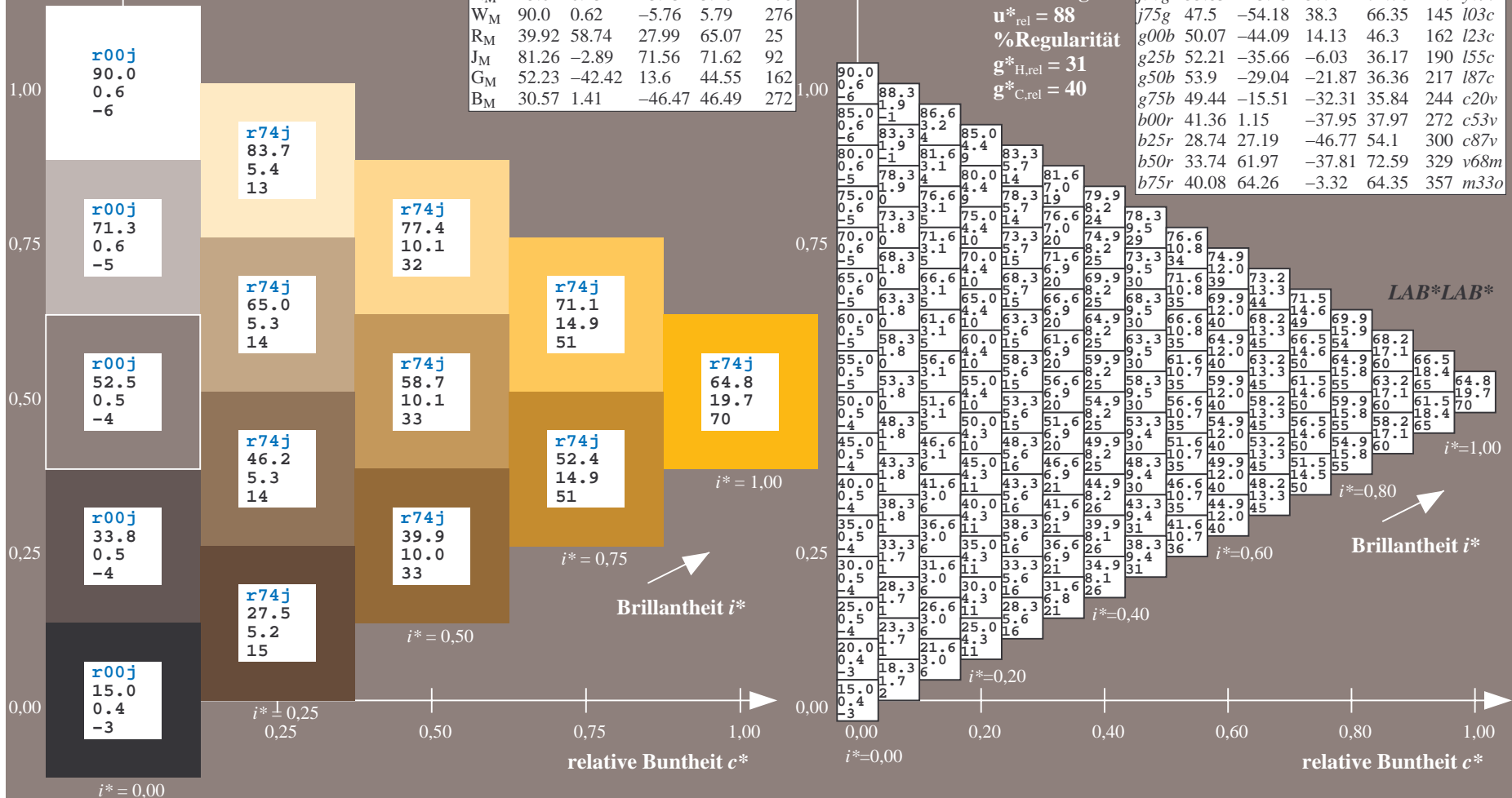
$lab^*rgb^*_{Ma}: 1.0\ 0.75\ 0.0$

$lab^*olv^*_{Ma}: 1.0\ 0.7\ 0.0$

Dreiecks-Helligkeit t^*

FRS15_90a; adaptierte CIELAB-Daten

	u^*_e	$L^*=L^*_a$	a^*_a	b^*_a	$C^*_{ab,a}$	$h^*_{ab,a}$	u^*_d
r00j	39.18	56.94	27.13	63.07	25	m81o	
r25j	42.41	49.1	44.5	66.26	42	o10y	
r50j	52.78	35.22	58.37	68.17	59	o40y	
r75j	64.82	19.12	74.47	76.89	76	o69y	
j00g	82.06	-3.94	97.52	97.6	92	o98y	
j25g	67.26	-26.87	74.67	79.36	110	y34l	
j50g	55.83	-43.45	57.11	71.76	127	y69l	
j75g	47.5	-54.18	38.3	66.35	145	103c	
g00b	50.07	-44.09	14.13	46.3	162	l23c	
g25b	52.21	-35.66	-6.03	36.17	190	l55c	
g50b	53.9	-29.04	-21.87	36.36	217	l87c	
g75b	49.44	-15.51	-32.31	35.84	244	c20v	
b00r	41.36	1.15	-37.95	37.97	272	c53v	
b25r	28.74	27.19	-46.77	54.1	300	c87v	
b50r	33.74	61.97	-37.81	72.59	329	v68m	
b75r	40.08	64.26	-3.32	64.35	357	m33o	



Ein und Ausgabe: Farbmatisches Drucker-Reflektiv-System FRS15_90a für relativen CIELAB-Bunton $h^* = lab^*h^* = h_{ab}/360 = 0.256$

$u^*_e = j00g$
 LAB^*LAB^*

Daten für jede Farbe:

lab^*ch^* und lab^*icu^*

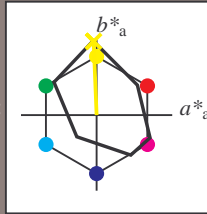
Buntontexte:

$u^*_e = j00g$ $u^*_d = o98y$

Kontrastreduzierungsfaktor:

$c_R = 0.9$

Dreiecks-Helligkeit t^*



FRS15_90; CIELAB-Daten						
	u^*_e	$L^*=L^*$	a^*	b^*	C^*_{ab}	h^*_{ab}
O _M	38.8	54.41	35.65	65.05	33	
Y _M	82.58	-4.04	92.72	92.8	92	
L _M	46.95	-55.83	39.15	68.19	145	
C _M	54.62	-25.67	-33.25	42.01	232	
V _M	20.01	45.64	-56.27	72.45	309	
M _M	40.88	71.17	-34.09	78.92	334	
N _M	15.0	0.43	-3.23	3.26	278	
W _M	90.0	0.62	-5.76	5.79	276	
R _M	39.92	58.74	27.99	65.07	25	
J _M	81.26	-2.89	71.56	71.62	92	
G _M	52.23	-42.42	13.6	44.55	162	
B _M	30.57	1.41	-46.47	46.49	272	

Daten für Maximalfarbe (Ma):

$LAB^*LAB^*_{Ma}: 82 -4 98$

$LAB^*LCH^*_{Ma}: 82 98 92$

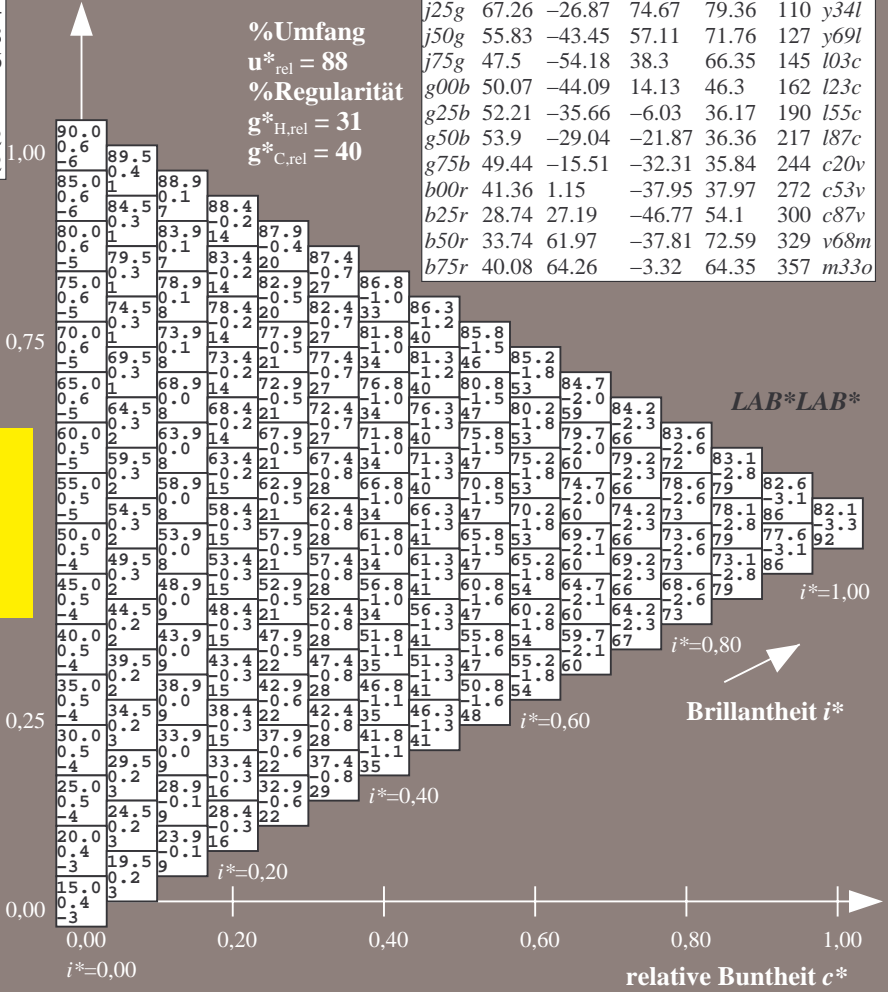
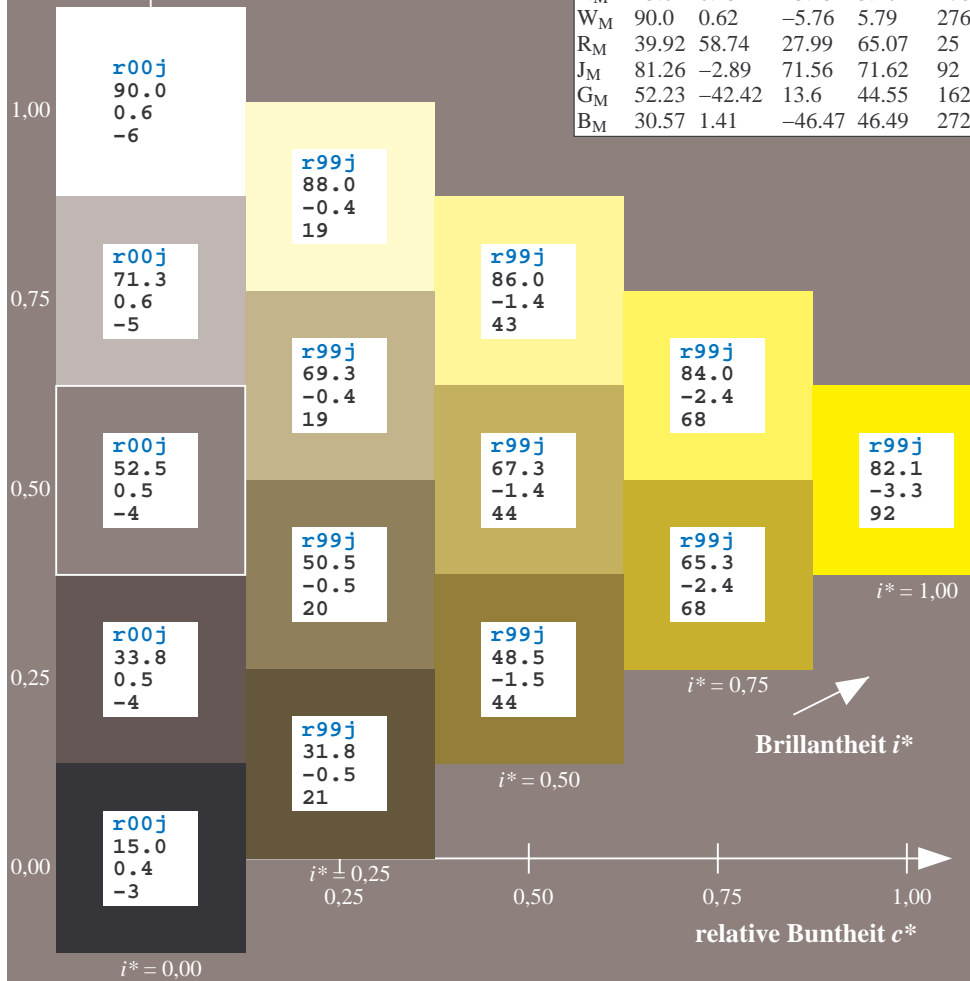
$lab^*rgb^*_{Ma}: 1.0 1.0 0.0$

$lab^*olv^*_{Ma}: 1.0 0.99 0.0$

Dreiecks-Helligkeit t^*

FRS15_90a; adaptierte CIELAB-Daten

	u^*_e	$L^*=L^*_a$	a^*_a	b^*_a	$C^*_{ab,a}$	$h^*_{ab,a}$	u^*_d
r00j	39.18	56.94	27.13	63.07	25	m81o	
r25j	42.41	49.1	44.5	66.26	42	o10y	
r50j	52.78	35.22	58.37	68.17	59	o40y	
r75j	64.82	19.12	74.47	76.89	76	o69y	
j00g	82.06	-3.94	97.52	97.6	92	o98y	
j25g	67.26	-26.87	74.67	79.36	110	y34l	
j50g	55.83	-43.45	57.11	71.76	127	y69l	
j75g	47.5	-54.18	38.3	66.35	145	l03c	
g00b	50.07	-44.09	14.13	46.3	162	l23c	
g25b	52.21	-35.66	-6.03	36.17	190	l55c	
g50b	53.9	-29.04	-21.87	36.36	217	l87c	
g75b	49.44	-15.51	-32.31	35.84	244	c20v	
b00r	41.36	1.15	-37.95	37.97	272	c53v	
b25r	28.74	27.19	-46.77	54.1	300	c87v	
b50r	33.74	61.97	-37.81	72.59	329	v68m	
b75r	40.08	64.26	-3.32	64.35	357	m33o	



%Umfang
 $u^*_{rel} = 88$
%Regularität
 $g^*_{H,rel} = 31$
 $g^*_{C,rel} = 40$

LAB^*LAB^*

$i^* = 1.00$

$i^* = 0.80$

Brillantheit i^*

$i^* = 0.60$

$i^* = 0.40$

$i^* = 0.20$

$i^* = 0.00$

Ein und Ausgabe: Farbmatisches Drucker-Reflektiv-System FRS15_90a für relativen CIELAB-Bunton $h^* = lab^*h^* = h_{ab}/360 = 0.305$

$u^*_e = j25g$
 LAB^*LAB^*

Daten für jede Farbe:

lab^*ch^* und lab^*icu^*

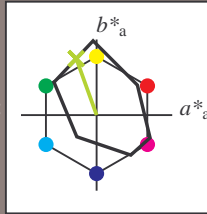
Buntontexte:

$u^*_e = j25g$ $u^*_d = y34l$

Kontrastreduzierungsfaktor:

$c_R = 0.9$

Dreiecks-Helligkeit t^*



FRS15_90; CIELAB-Daten						
	u^*_e	$L^*=L^*_a$	a^*	b^*	C^*_{ab}	h^*_{ab}
O _M	38.8	54.41	35.65	65.05	33	
Y _M	82.58	-4.04	92.72	92.8	92	
L _M	46.95	-55.83	39.15	68.19	145	
C _M	54.62	-25.67	-33.25	42.01	232	
V _M	20.01	45.64	-56.27	72.45	309	
M _M	40.88	71.17	-34.09	78.92	334	
N _M	15.0	0.43	-3.23	3.26	278	
W _M	90.0	0.62	-5.76	5.79	276	
R _M	39.92	58.74	27.99	65.07	25	
J _M	81.26	-2.89	71.56	71.62	92	
G _M	52.23	-42.42	13.6	44.55	162	
B _M	30.57	1.41	-46.47	46.49	272	

Daten für Maximalfarbe (Ma):

$LAB^*LAB^*_{Ma}: 67 -27 75$

$LAB^*LCH^*_{Ma}: 67 79 109$

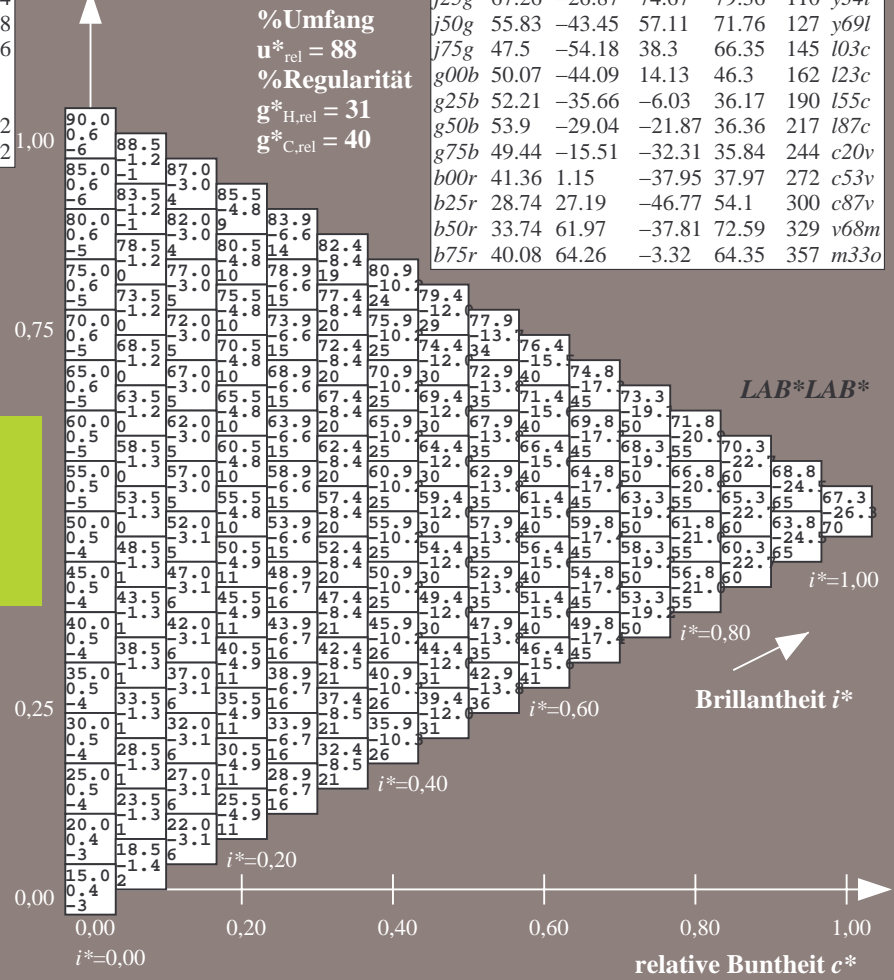
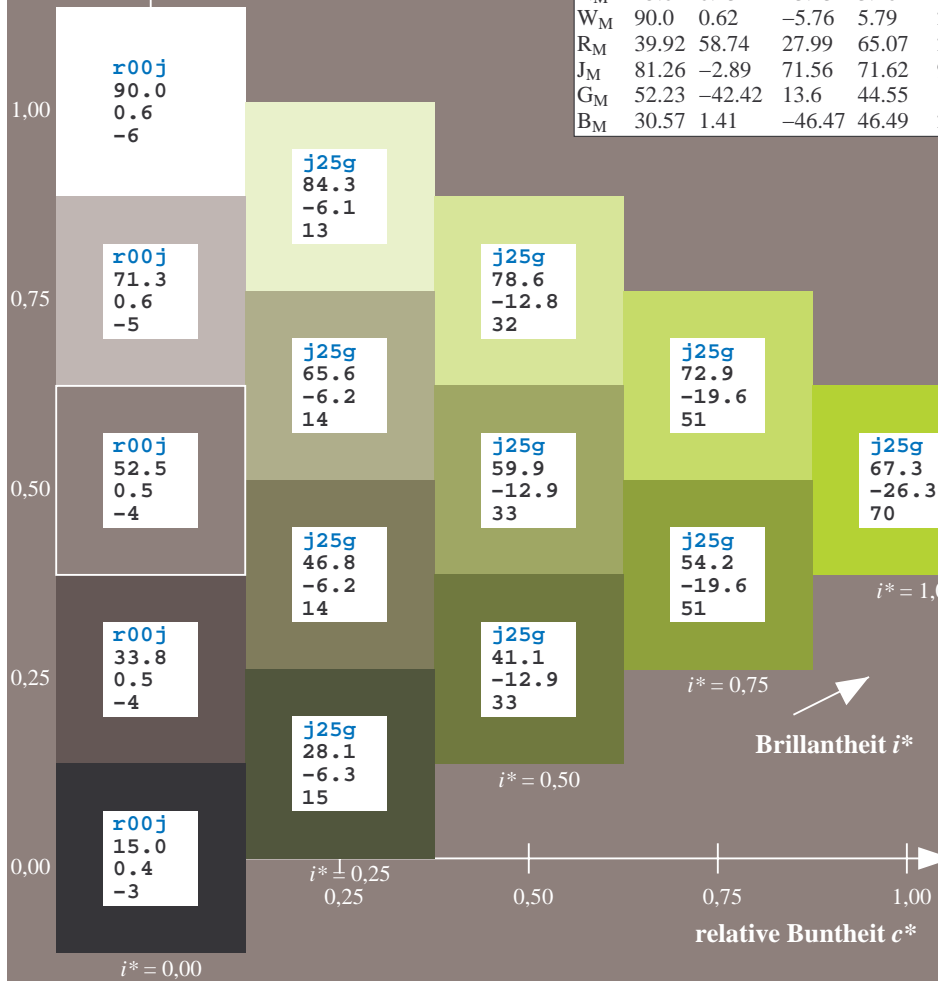
$lab^*rgb^*_{Ma}: 0.75 1.0 0.0$

$lab^*olv^*_{Ma}: 0.66 1.0 0.0$

Dreiecks-Helligkeit t^*

FRS15_90a; adaptierte CIELAB-Daten

	u^*_e	$L^*=L^*_a$	a^*_a	b^*_a	$C^*_{ab,a}$	$h^*_{ab,a}$	u^*_d
r00j	39.18	56.94	27.13	63.07	25	m81o	
r25j	42.41	49.1	44.5	66.26	42	o10y	
r50j	52.78	35.22	58.37	68.17	59	o40y	
r75j	64.82	19.12	74.47	76.89	76	o69y	
j00g	82.06	-3.94	97.52	97.6	92	o98y	
j25g	67.26	-26.87	74.67	79.36	110	y34l	
j50g	55.83	-43.45	57.11	71.76	127	y69l	
j75g	47.5	-54.18	38.3	66.35	145	i03c	
g00b	50.07	-44.09	14.13	46.3	162	i23c	
g25b	52.21	-35.66	-6.03	36.17	190	i55c	
g50b	53.9	-29.04	-21.87	36.36	217	i87c	
g75b	49.44	-15.51	-32.31	35.84	244	c20v	
b00r	41.36	1.15	-37.95	37.97	272	c53v	
b25r	28.74	27.19	-46.77	54.1	300	c87v	
b50r	33.74	61.97	-37.81	72.59	329	v68m	
b75r	40.08	64.26	-3.32	64.35	357	m33o	



%Umfang
 $u^*_{rel} = 88$
%Regularität
 $g^*_{H,rel} = 31$
 $g^*_{C,rel} = 40$

LAB^*LAB^*

Brillantheit i^*

$i^* = 1,00$

$i^* = 0,80$

$i^* = 0,60$

$i^* = 0,40$

$i^* = 0,20$

Ein und Ausgabe: Farbmatisches Drucker-Reflektiv-System FRS15_90a für relativen CIELAB-Bunton $h^* = lab^*h^* = h_{ab}/360 = 0.354$

$u^*_e = j50g$
LAB*LAB*

Daten für jede Farbe:

lab^*ch^* und lab^*icu^*

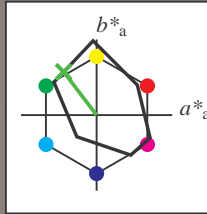
Buntontexte:

$u^*_e = j50g$ $u^*_d = y69l$

Kontrastreduzierungsfaktor:

$c_R = 0.9$

Dreiecks-Helligkeit t^*



FRS15_90; CIELAB-Daten						
	u^*_e	$L^*=L^*$	a^*	b^*	C^*_{ab}	h^*_{ab}
O _M	38.8	54.41	35.65	65.05	33	
Y _M	82.58	-4.04	92.72	92.8	92	
L _M	46.95	-55.83	39.15	68.19	145	
C _M	54.62	-25.67	-33.25	42.01	232	
V _M	20.01	45.64	-56.27	72.45	309	
M _M	40.88	71.17	-34.09	78.92	334	
N _M	15.0	0.43	-3.23	3.26	278	
W _M	90.0	0.62	-5.76	5.79	276	
R _M	39.92	58.74	27.99	65.07	25	
J _M	81.26	-2.89	71.56	71.62	92	
G _M	52.23	-42.42	13.6	44.55	162	
B _M	30.57	1.41	-46.47	46.49	272	

Daten für Maximalfarbe (Ma):

LAB*LAB*_{Ma}: 56 -43 57

LAB*LCH*_{Ma}: 56 72 127

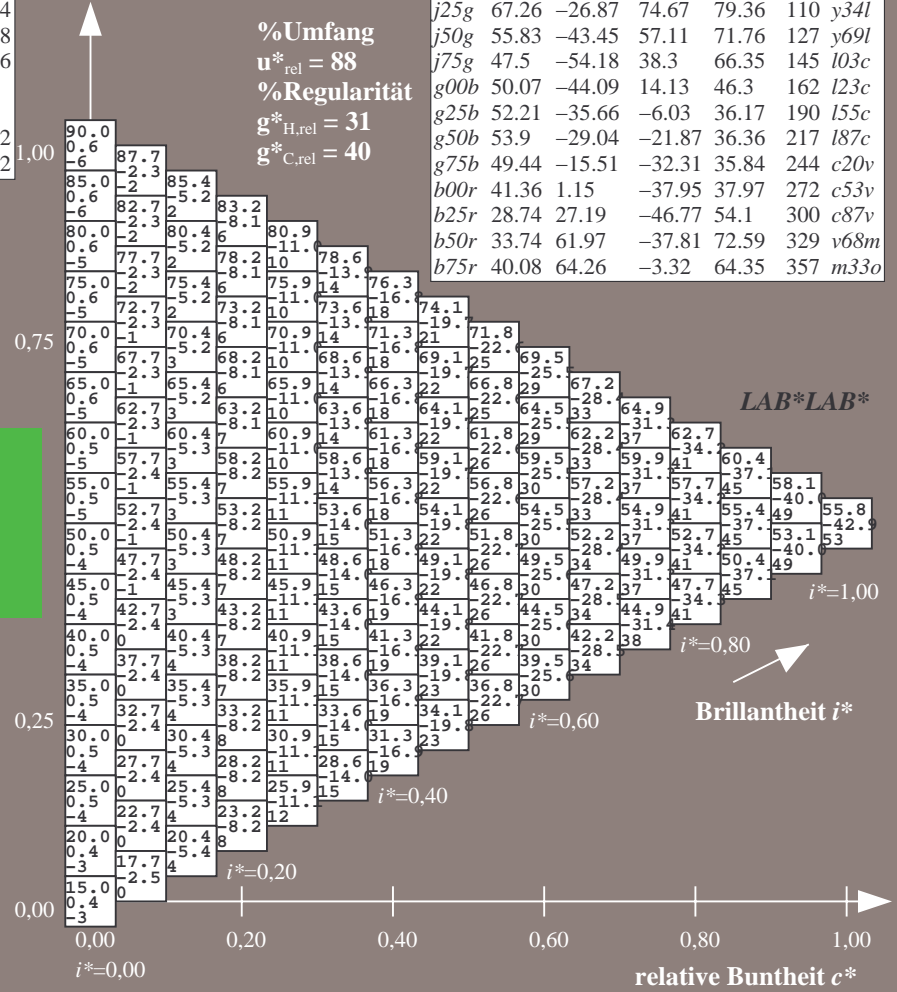
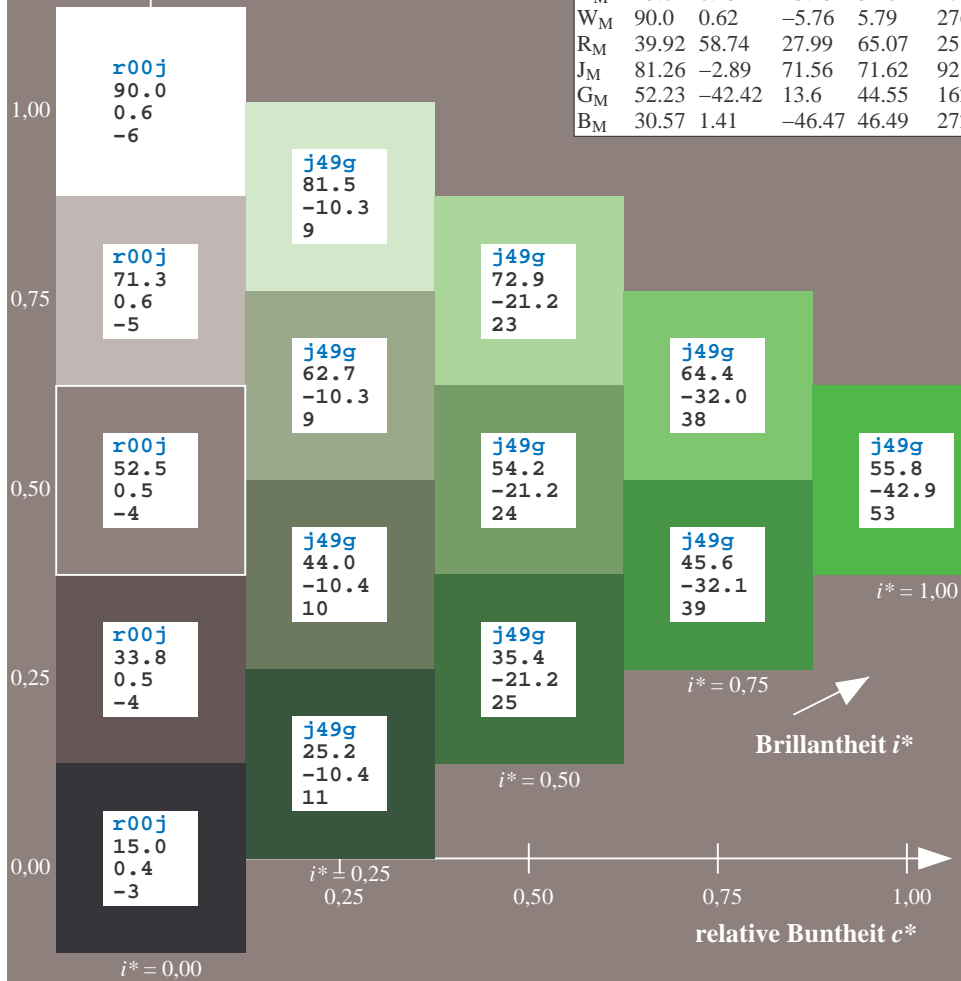
lab*rgb*_{Ma}: 0.5 1.0 0.0

lab*olv*_{Ma}: 0.3 1.0 0.0

Dreiecks-Helligkeit t^*

FRS15_90a; adaptierte CIELAB-Daten

	u^*_e	$L^*=L^*_a$	a^*_a	b^*_a	$C^*_{ab,a}$	$h^*_{ab,a}$	u^*_d
r00j	39.18	56.94	27.13	63.07	25	m81o	
r25j	42.41	49.1	44.5	66.26	42	o10y	
r50j	52.78	35.22	58.37	68.17	59	o40y	
r75j	64.82	19.12	74.47	76.89	76	o69y	
j00g	82.06	-3.94	97.52	97.6	92	o98y	
j25g	67.26	-26.87	74.67	79.36	110	y34l	
j50g	55.83	-43.45	57.11	71.76	127	y69l	
j75g	47.5	-54.18	38.3	66.35	145	103c	
g00b	50.07	-44.09	14.13	46.3	162	l23c	
g25b	52.21	-35.66	-6.03	36.17	190	l55c	
g50b	53.9	-29.04	-21.87	36.36	217	l87c	
g75b	49.44	-15.51	-32.31	35.84	244	c20v	
b00r	41.36	1.15	-37.95	37.97	272	c53v	
b25r	28.74	27.19	-46.77	54.1	300	c87v	
b50r	33.74	61.97	-37.81	72.59	329	v68m	
b75r	40.08	64.26	-3.32	64.35	357	m33o	



%Umfang
 $u^*_{rel} = 88$
%Regularität
 $g^*_{H,rel} = 31$
 $g^*_{C,rel} = 40$

LAB*LAB*

Brillantheit i^*

Ein und Ausgabe: Farbmatisches Drucker-Reflektiv-System FRS15_90a für relativen CIELAB-Bunton $h^* = lab^*h^* = h_{ab}/360 = 0.402$

$u^*_e = j75g$
 LAB^*LAB^*

Daten für jede Farbe:

lab^*ch^* und lab^*icu^*

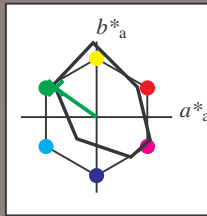
Buntontexte:

$u^*_e = j75g$ $u^*_d = l03c$

Kontrastreduzierungsfaktor:

$c_R = 0.9$

Dreiecks-Helligkeit t^*



FRS15_90; CIELAB-Daten

	u^*_e	$L^*=L^*$	a^*	b^*	C^*_{ab}	h^*_{ab}
O _M	38.8	54.41	35.65	65.05	33	
Y _M	82.58	-4.04	92.72	92.8	92	
L _M	46.95	-55.83	39.15	68.19	145	
C _M	54.62	-25.67	-33.25	42.01	232	
V _M	20.01	45.64	-56.27	72.45	309	
M _M	40.88	71.17	-34.09	78.92	334	
N _M	15.0	0.43	-3.23	3.26	278	
W _M	90.0	0.62	-5.76	5.79	276	
R _M	39.92	58.74	27.99	65.07	25	
J _M	81.26	-2.89	71.56	71.62	92	
G _M	52.23	-42.42	13.6	44.55	162	
B _M	30.57	1.41	-46.47	46.49	272	

Daten für Maximalfarbe (Ma):

$LAB^*LAB^*_{Ma}: 48 -54 38$

$LAB^*LCH^*_{Ma}: 48 66 144$

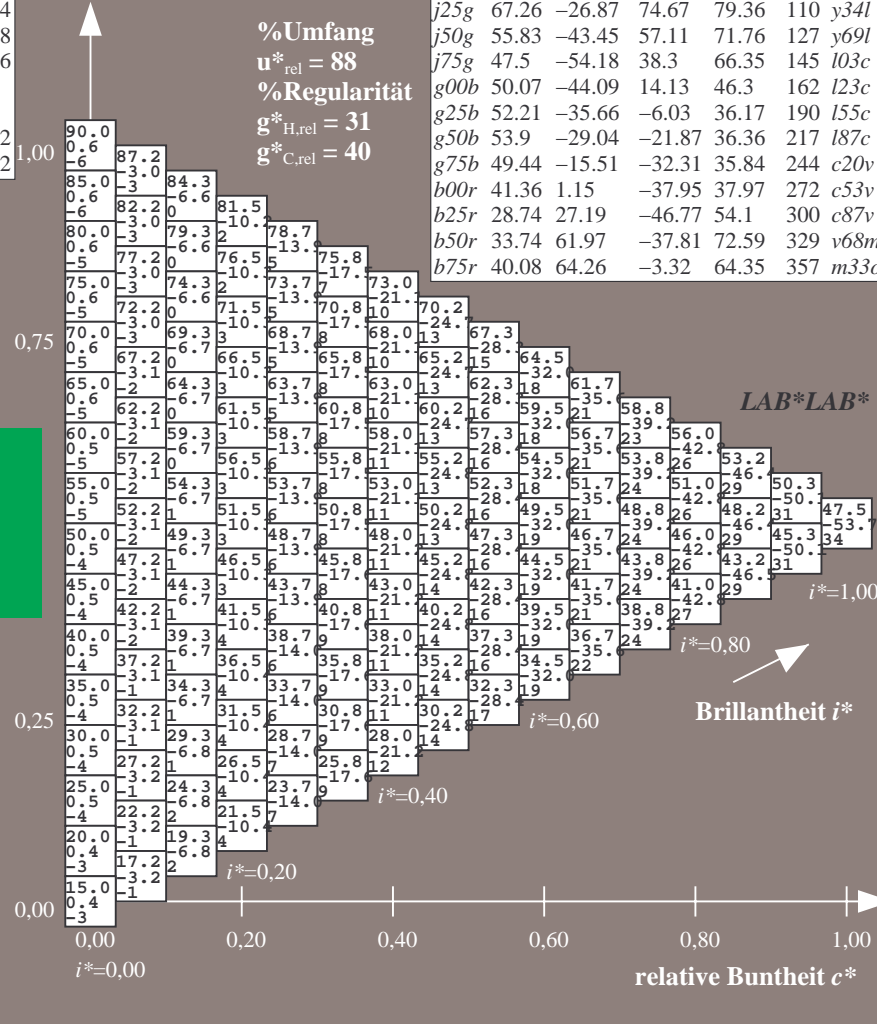
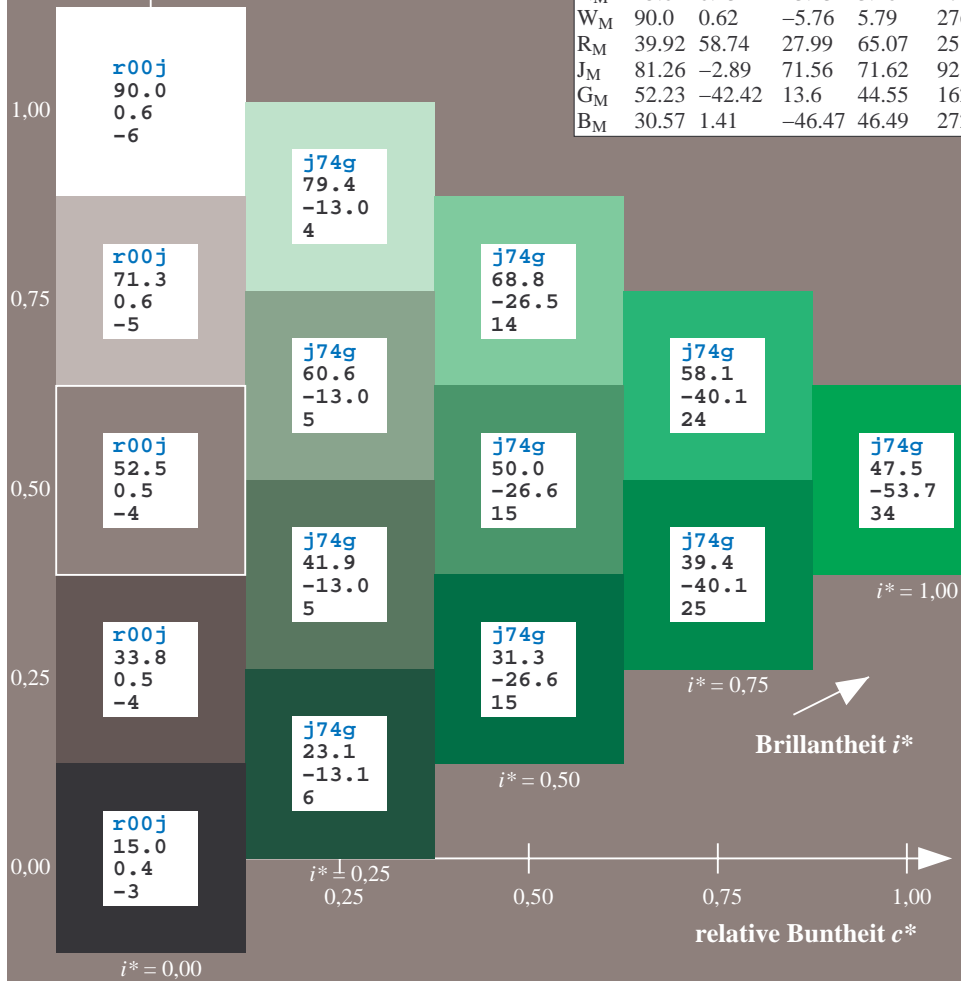
$lab^*rgb^*_{Ma}: 0.25 1.0 0.0$

$lab^*olv^*_{Ma}: 0.0 1.0 0.03$

Dreiecks-Helligkeit t^*

FRS15_90a; adaptierte CIELAB-Daten

	u^*_e	$L^*=L^*_a$	a^*_a	b^*_a	$C^*_{ab,a}$	$h^*_{ab,a}$	u^*_d
r00j	39.18	56.94	27.13	63.07	25	m81o	
r25j	42.41	49.1	44.5	66.26	42	o10y	
r50j	52.78	35.22	58.37	68.17	59	o40y	
r75j	64.82	19.12	74.47	76.89	76	o69y	
j00g	82.06	-3.94	97.52	97.6	92	o98y	
j25g	67.26	-26.87	74.67	79.36	110	y34l	
j50g	55.83	-43.45	57.11	71.76	127	y69l	
j75g	47.5	-54.18	38.3	66.35	145	i03c	
g00b	50.07	-44.09	14.13	46.3	162	i23c	
g25b	52.21	-35.66	-6.03	36.17	190	i55c	
g50b	53.9	-29.04	-21.87	36.36	217	i87c	
g75b	49.44	-15.51	-32.31	35.84	244	c20v	
b00r	41.36	1.15	-37.95	37.97	272	c53v	
b25r	28.74	27.19	-46.77	54.1	300	c87v	
b50r	33.74	61.97	-37.81	72.59	329	v68m	
b75r	40.08	64.26	-3.32	64.35	357	m33o	



%Umfang
 $u^*_{rel} = 88$
%Regularität
 $g^*_{H,rel} = 31$
 $g^*_{C,rel} = 40$

LAB^*LAB^*

Brillantheit i^*

relative Buntheit c^*

Ein und Ausgabe: Farbmatisches Drucker-Reflektiv-System FRS15_90a für relativen CIELAB-Bunton $h^* = lab \cdot h^* = h_{ab}/360 = 0.451$

$u^*_e = g00b$
 LAB^*LAB^*

Daten für jede Farbe:

lab^*ch^* und lab^*icu^*

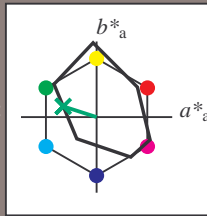
Buntontexte:

$u^*_e = g00b$ $u^*_d = l23c$

Kontrastreduzierungsfaktor:

$c_R = 0.9$

Dreiecks-Helligkeit t^*



FRS15_90; CIELAB-Daten						
	u^*_e	$L^*=L^*_a$	a^*_a	b^*_a	C^*_{ab}	h^*_{ab}
O _M	38.8	54.41	35.65	65.05	33	
Y _M	82.58	-4.04	92.72	92.8	92	
L _M	46.95	-55.83	39.15	68.19	145	
C _M	54.62	-25.67	-33.25	42.01	232	
V _M	20.01	45.64	-56.27	72.45	309	
M _M	40.88	71.17	-34.09	78.92	334	
N _M	15.0	0.43	-3.23	3.26	278	
W _M	90.0	0.62	-5.76	5.79	276	
R _M	39.92	58.74	27.99	65.07	25	
J _M	81.26	-2.89	71.56	71.62	92	
G _M	52.23	-42.42	13.6	44.55	162	
B _M	30.57	1.41	-46.47	46.49	272	

Daten für Maximalfarbe (Ma):

$LAB^*LAB^*_{Ma}: 50 -44 14$

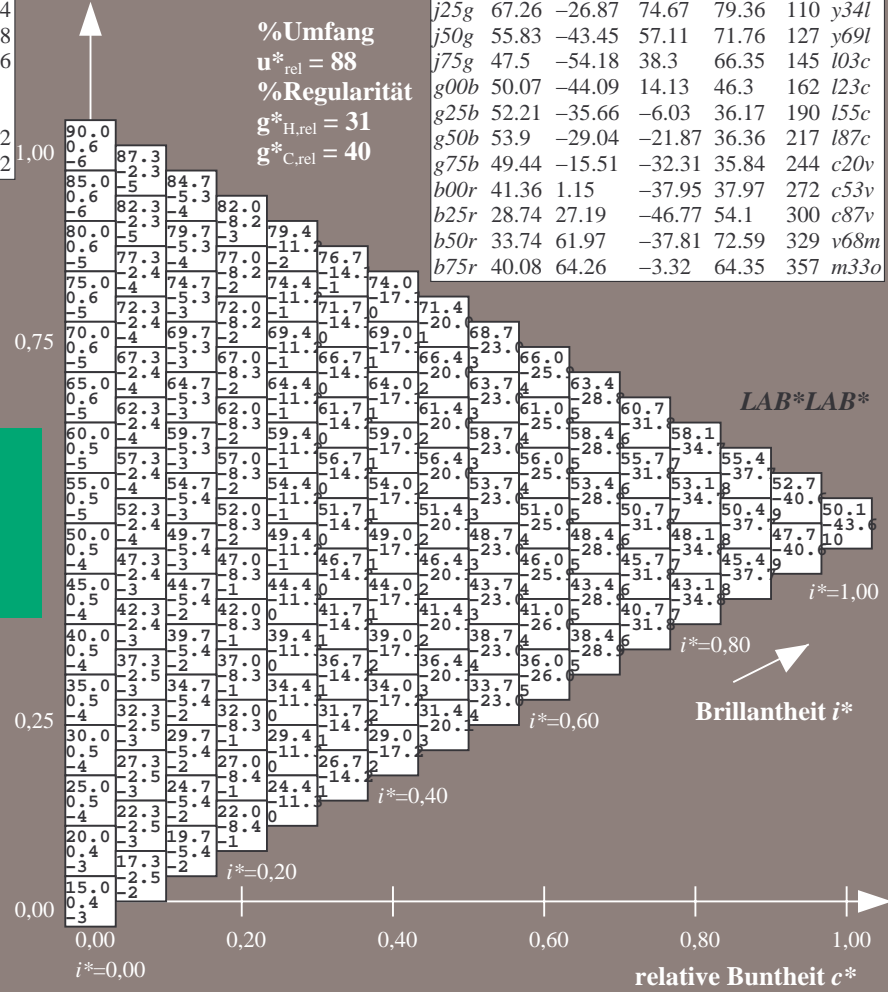
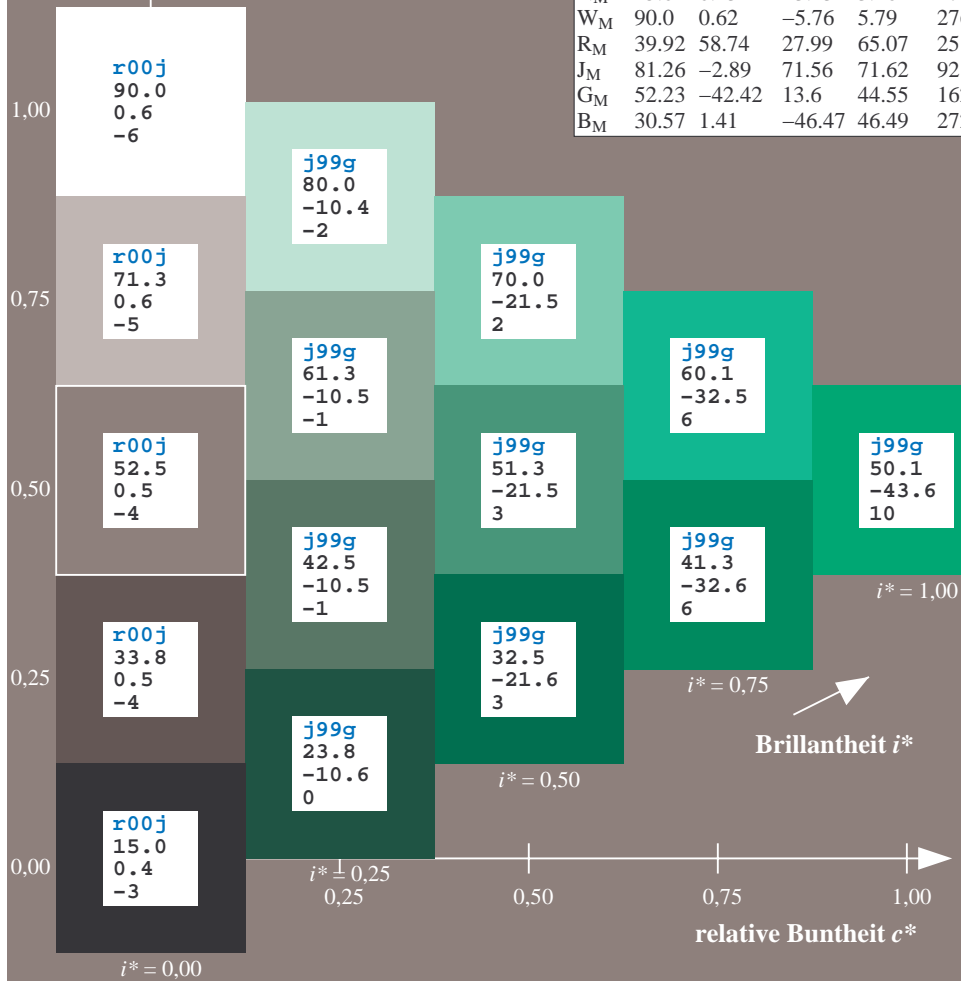
$LAB^*LCH^*_{Ma}: 50 46 162$

$lab^*rgb^*_{Ma}: 0.0 1.0 0.0$

$lab^*olv^*_{Ma}: 0.0 1.0 0.23$

Dreiecks-Helligkeit t^*

FRS15_90a; adaptierte CIELAB-Daten							
	u^*_e	$L^*=L^*_a$	a^*_a	b^*_a	$C^*_{ab,a}$	$h^*_{ab,a}$	u^*_d
r00j	39.18	56.94	27.13	63.07	25	m81o	
r25j	42.41	49.1	44.5	66.26	42	o10y	
r50j	52.78	35.22	58.37	68.17	59	o40y	
r75j	64.82	19.12	74.47	76.89	76	o69y	
j00g	82.06	-3.94	97.52	97.6	92	o98y	
j25g	67.26	-26.87	74.67	79.36	110	y34l	
j50g	55.83	-43.45	57.11	71.76	127	y69l	
j75g	47.5	-54.18	38.3	66.35	145	103c	
g00b	50.07	-44.09	14.13	46.3	162	l23c	
g25b	52.21	-35.66	-6.03	36.17	190	l55c	
g50b	53.9	-29.04	-21.87	36.36	217	l87c	
g75b	49.44	-15.51	-32.31	35.84	244	c20v	
b00r	41.36	1.15	-37.95	37.97	272	c53v	
b25r	28.74	27.19	-46.77	54.1	300	c87v	
b50r	33.74	61.97	-37.81	72.59	329	v68m	
b75r	40.08	64.26	-3.32	64.35	357	m33o	



%Umfang
 $u^*_{rel} = 88$
%Regularität
 $g^*_{H,rel} = 31$
 $g^*_{C,rel} = 40$

LAB^*LAB^*

Brillantheit i^*

Ein und Ausgabe: Farbmatisches Drucker-Reflektiv-System FRS15_90a für relativen CIELAB-Bunton $h^* = lab^*h^* = h_{ab}/360 = 0.527$

$u^*_e = g25b$
 LAB^*LAB^*

Daten für jede Farbe:

lab^*tch^* und lab^*icu^*

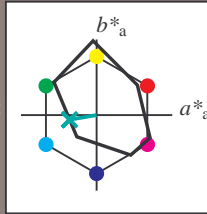
Buntontexte:

$u^*_e = g25b$ $u^*_d = l55c$

Kontrastreduzierungsfaktor:

$c_R = 0.9$

Dreiecks-Helligkeit t^*



FRS15_90; CIELAB-Daten						
	u^*_e	$L^*=L^*_a$	a^*_a	b^*_a	C^*_{ab}	h^*_{ab}
O _M	38.8	54.41	35.65	65.05	33	
Y _M	82.58	-4.04	92.72	92.8	92	
L _M	46.95	-55.83	39.15	68.19	145	
C _M	54.62	-25.67	-33.25	42.01	232	
V _M	20.01	45.64	-56.27	72.45	309	
M _M	40.88	71.17	-34.09	78.92	334	
N _M	15.0	0.43	-3.23	3.26	278	
W _M	90.0	0.62	-5.76	5.79	276	
R _M	39.92	58.74	27.99	65.07	25	
J _M	81.26	-2.89	71.56	71.62	92	
G _M	52.23	-42.42	13.6	44.55	162	
B _M	30.57	1.41	-46.47	46.49	272	

Daten für Maximalfarbe (Ma):

$LAB^*LAB^*_{Ma}: 52 -36 -6$

$LAB^*LCH^*_{Ma}: 52 36 189$

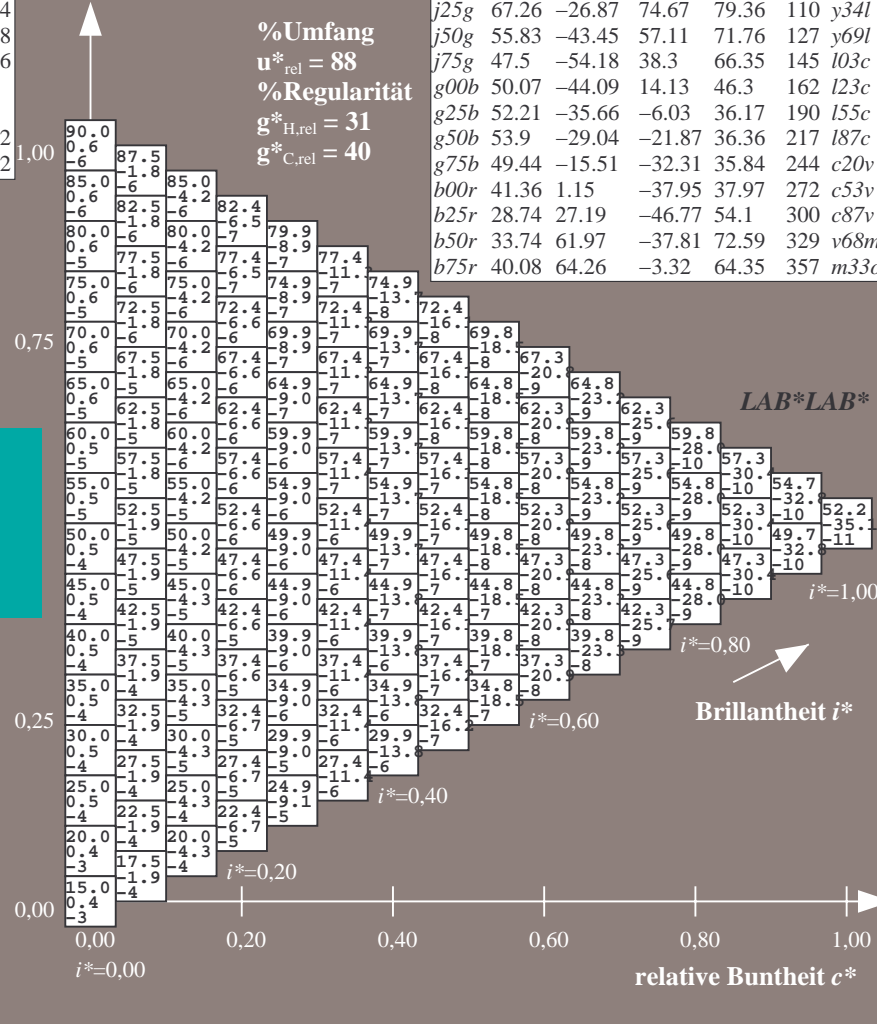
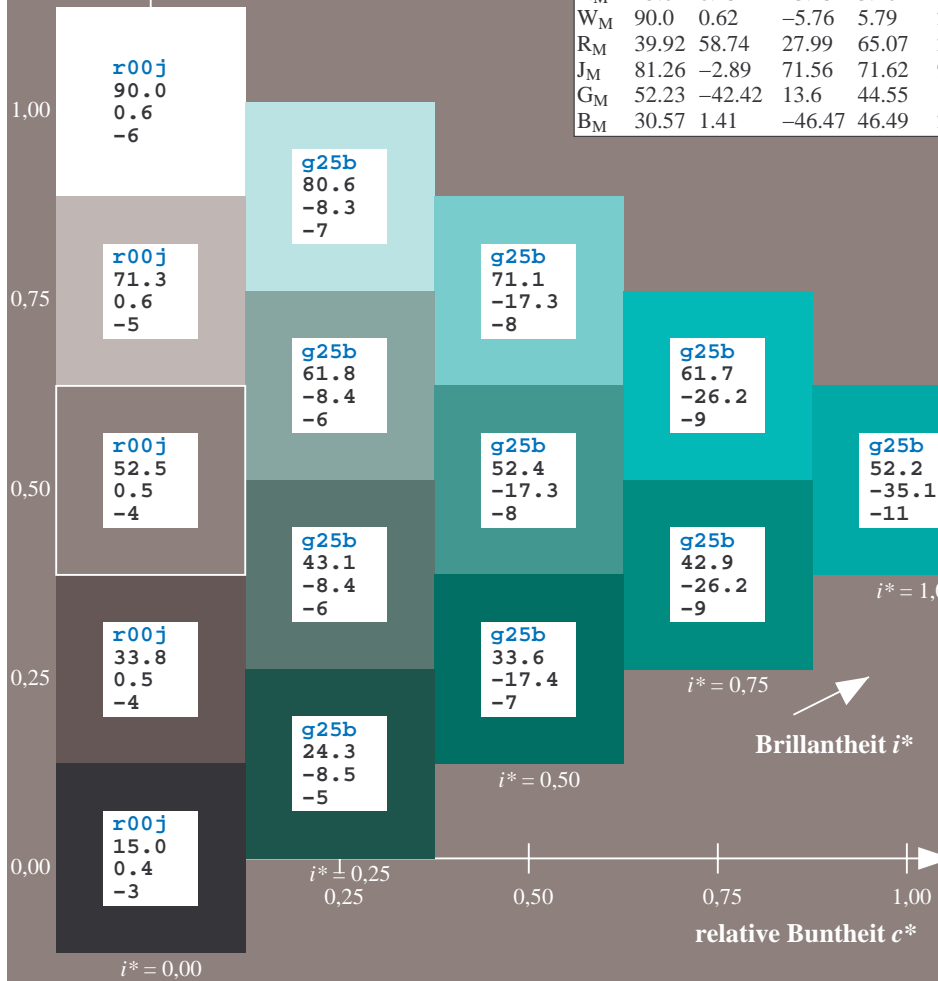
$lab^*rgb^*_{Ma}: 0.0 1.0 0.5$

$lab^*olv^*_{Ma}: 0.0 1.0 0.55$

Dreiecks-Helligkeit t^*

FRS15_90a; adaptierte CIELAB-Daten

	u^*_e	$L^*=L^*_a$	a^*_a	b^*_a	$C^*_{ab,a}$	$h^*_{ab,a}$	u^*_d
r00j	39.18	56.94	27.13	63.07	25	m81o	
r25j	42.41	49.1	44.5	66.26	42	o10y	
r50j	52.78	35.22	58.37	68.17	59	o40y	
r75j	64.82	19.12	74.47	76.89	76	o69y	
j00g	82.06	-3.94	97.52	97.6	92	o98y	
j25g	67.26	-26.87	74.67	79.36	110	y34l	
j50g	55.83	-43.45	57.11	71.76	127	y69l	
j75g	47.5	-54.18	38.3	66.35	145	l03c	
g00b	50.07	-44.09	14.13	46.3	162	l23c	
g25b	52.21	-35.66	-6.03	36.17	190	l55c	
g50b	53.9	-29.04	-21.87	36.36	217	l87c	
g75b	49.44	-15.51	-32.31	35.84	244	c20v	
b00r	41.36	1.15	-37.95	37.97	272	c53v	
b25r	28.74	27.19	-46.77	54.1	300	c87v	
b50r	33.74	61.97	-37.81	72.59	329	v68m	
b75r	40.08	64.26	-3.32	64.35	357	m33o	



%Umfang
 $u^*_{rel} = 88$
%Regularität
 $g^*_{H,rel} = 31$
 $g^*_{C,rel} = 40$

LAB^*LAB^*

Brillantheit i^*

Ein und Ausgabe: Farbmatisches Drucker-Reflektiv-System FRS15_90a für relativen CIELAB-Bunton $h^* = lab^*h^* = h_{ab}/360 = 0.603$

$u^*_e = g50b$
 LAB^*LAB^*

Daten für jede Farbe:

lab^*tch^* und lab^*icu^*

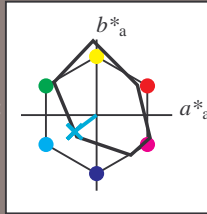
Buntontexte:

$u^*_e = g50b$ $u^*_d = l87c$

Kontrastreduzierungsfaktor:

$c_R = 0.9$

Dreiecks-Helligkeit t^*



FRS15_90; CIELAB-Daten

	u^*_e	$L^*=L^*$	a^*	b^*	C^*_{ab}	h^*_{ab}
O _M	38.8	54.41	35.65	65.05	33	
Y _M	82.58	-4.04	92.72	92.8	92	
L _M	46.95	-55.83	39.15	68.19	145	
C _M	54.62	-25.67	-33.25	42.01	232	
V _M	20.01	45.64	-56.27	72.45	309	
M _M	40.88	71.17	-34.09	78.92	334	
N _M	15.0	0.43	-3.23	3.26	278	
W _M	90.0	0.62	-5.76	5.79	276	
R _M	39.92	58.74	27.99	65.07	25	
J _M	81.26	-2.89	71.56	71.62	92	
G _M	52.23	-42.42	13.6	44.55	162	
B _M	30.57	1.41	-46.47	46.49	272	

Daten für Maximalfarbe (Ma):

$LAB^*LAB^*_{Ma}: 54 -29 -22$

$LAB^*LCH^*_{Ma}: 54 36 216$

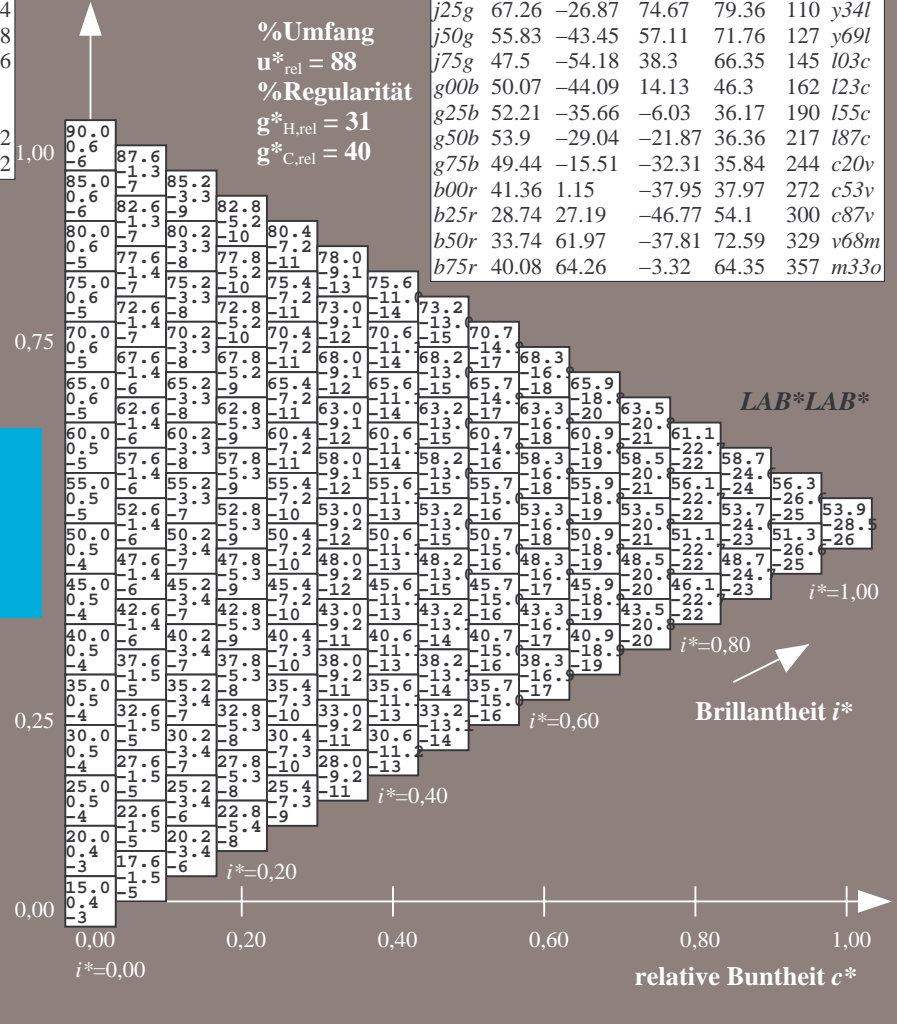
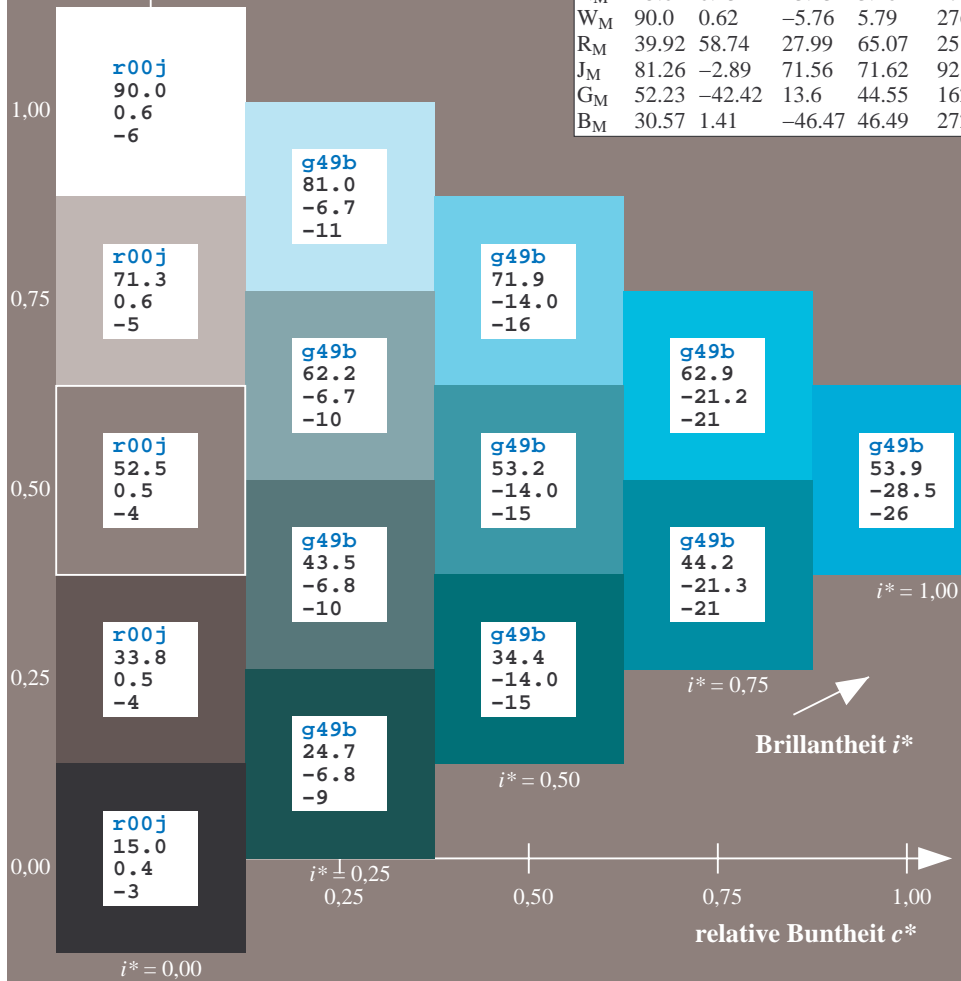
$lab^*rgb^*_{Ma}: 0.0 1.0 1.0$

$lab^*olv^*_{Ma}: 0.0 1.0 0.88$

Dreiecks-Helligkeit t^*

FRS15_90a; adaptierte CIELAB-Daten

	u^*_e	$L^*=L^*_a$	a^*_a	b^*_a	$C^*_{ab,a}$	$h^*_{ab,a}$	u^*_d
r00j	39.18	56.94	27.13	63.07	25	m81o	
r25j	42.41	49.1	44.5	66.26	42	o10y	
r50j	52.78	35.22	58.37	68.17	59	o40y	
r75j	64.82	19.12	74.47	76.89	76	o69y	
j00g	82.06	-3.94	97.52	97.6	92	o98y	
j25g	67.26	-26.87	74.67	79.36	110	y34l	
j50g	55.83	-43.45	57.11	71.76	127	y69l	
j75g	47.5	-54.18	38.3	66.35	145	l03c	
g00b	50.07	-44.09	14.13	46.3	162	l23c	
g25b	52.21	-35.66	-6.03	36.17	190	l55c	
g50b	53.9	-29.04	-21.87	36.36	217	l87c	
g75b	49.44	-15.51	-32.31	35.84	244	c20v	
b00r	41.36	1.15	-37.95	37.97	272	c53v	
b25r	28.74	27.19	-46.77	54.1	300	c87v	
b50r	33.74	61.97	-37.81	72.59	329	v68m	
b75r	40.08	64.26	-3.32	64.35	357	m33o	



%Umfang
 $u^*_{rel} = 88$
%Regularität
 $g^*_{H,rel} = 31$
 $g^*_{C,rel} = 40$

Ein und Ausgabe: Farbmatisches Drucker-Reflektiv-System FRS15_90a für relativen CIELAB-Bunton $h^* = lab^*h^* = h_{ab}/360 = 0.679$

$u^*_e = g75b$
 LAB^*LAB^*

Daten für jede Farbe:

lab^*ch^* und lab^*icu^*

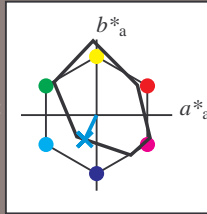
Buntontexte:

$u^*_e = g75b$ $u^*_d = c20v$

Kontrastreduzierungsfaktor:

$c_R = 0.9$

Dreiecks-Helligkeit t^*



FRS15_90; CIELAB-Daten						
	u^*_e	$L^*=L^*_a$	a^*_a	b^*_b	C^*_{ab}	h^*_{ab}
O _M	38.8	54.41	35.65	65.05	33	
Y _M	82.58	-4.04	92.72	92.8	92	
L _M	46.95	-55.83	39.15	68.19	145	
C _M	54.62	-25.67	-33.25	42.01	232	
V _M	20.01	45.64	-56.27	72.45	309	
M _M	40.88	71.17	-34.09	78.92	334	
N _M	15.0	0.43	-3.23	3.26	278	
W _M	90.0	0.62	-5.76	5.79	276	
R _M	39.92	58.74	27.99	65.07	25	
J _M	81.26	-2.89	71.56	71.62	92	
G _M	52.23	-42.42	13.6	44.55	162	
B _M	30.57	1.41	-46.47	46.49	272	

Daten für Maximalfarbe (Ma):

$LAB^*LAB^*_{Ma}: 49 -16 -32$

$LAB^*LCH^*_{Ma}: 49 36 244$

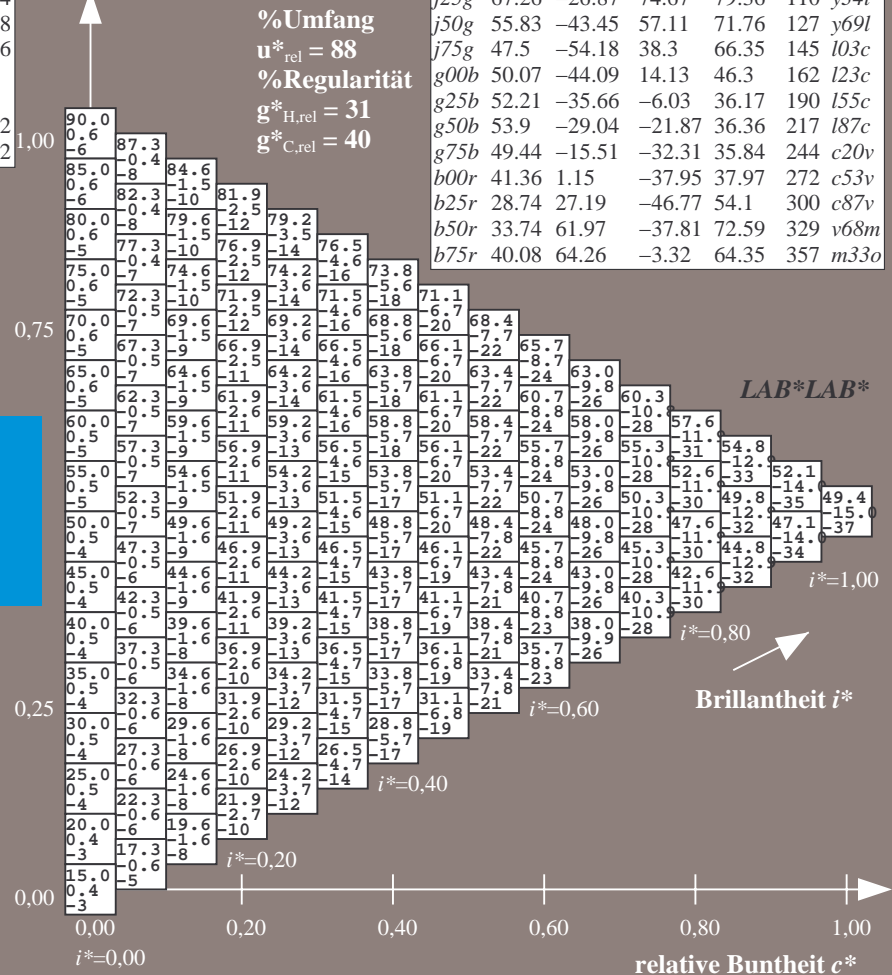
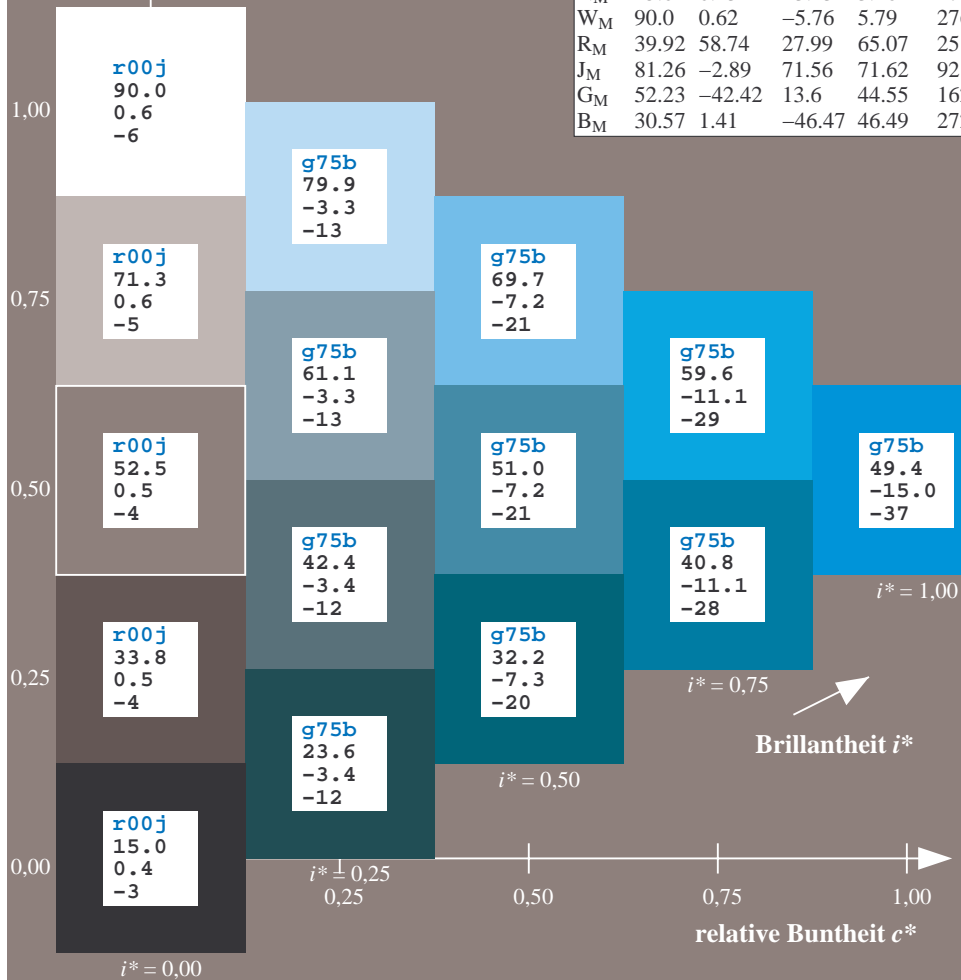
$lab^*rgb^*_{Ma}: 0.0 0.5 1.0$

$lab^*olv^*_{Ma}: 0.0 0.8 1.0$

Dreiecks-Helligkeit t^*

FRS15_90a; adaptierte CIELAB-Daten

	u^*_e	$L^*=L^*_a$	a^*_a	b^*_b	$C^*_{ab,a}$	$h^*_{ab,a}$	u^*_d
r00j	39.18	56.94	27.13	63.07	25	m81o	
r25j	42.41	49.1	44.5	66.26	42	o10y	
r50j	52.78	35.22	58.37	68.17	59	o40y	
r75j	64.82	19.12	74.47	76.89	76	o69y	
j00g	82.06	-3.94	97.52	97.6	92	o98y	
j25g	67.26	-26.87	74.67	79.36	110	y34l	
j50g	55.83	-43.45	57.11	71.76	127	y69l	
j75g	47.5	-54.18	38.3	66.35	145	l03c	
g00b	50.07	-44.09	14.13	46.3	162	l23c	
g25b	52.21	-35.66	-6.03	36.17	190	l55c	
g50b	53.9	-29.04	-21.87	36.36	217	l87c	
g75b	49.44	-15.51	-32.31	35.84	244	c20v	
b00r	41.36	1.15	-37.95	37.97	272	c53v	
b25r	28.74	27.19	-46.77	54.1	300	c87v	
b50r	33.74	61.97	-37.81	72.59	329	v68m	
b75r	40.08	64.26	-3.32	64.35	357	m33o	



%Umfang
 $u^*_{rel} = 88$
%Regularität
 $g^*_{H,rel} = 31$
 $g^*_{C,rel} = 40$

LAB^*LAB^*

Brillantheit i^*

Ein und Ausgabe: Farbmatisches Drucker-Reflektiv-System FRS15_90a für relativen CIELAB-Bunton $h^* = lab^*h^* = h_{ab}/360 = 0.755$

$u^*_e = b00r$
 LAB^*LAB^*

Daten für jede Farbe:

lab^*tch^* und lab^*icu^*

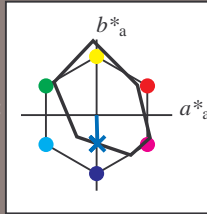
Buntontexte:

$u^*_e = b00r$ $u^*_d = c53v$

Kontrastreduzierungsfaktor:

$c_R = 0.9$

Dreiecks-Helligkeit t^*



FRS15_90; CIELAB-Daten

	u^*_e	$L^*=L^*$	a^*	b^*	C^*_{ab}	h^*_{ab}
O _M	38.8	54.41	35.65	65.05	33	
Y _M	82.58	-4.04	92.72	92.8	92	
L _M	46.95	-55.83	39.15	68.19	145	
C _M	54.62	-25.67	-33.25	42.01	232	
V _M	20.01	45.64	-56.27	72.45	309	
M _M	40.88	71.17	-34.09	78.92	334	
N _M	15.0	0.43	-3.23	3.26	278	
W _M	90.0	0.62	-5.76	5.79	276	
R _M	39.92	58.74	27.99	65.07	25	
J _M	81.26	-2.89	71.56	71.62	92	
G _M	52.23	-42.42	13.6	44.55	162	
B _M	30.57	1.41	-46.47	46.49	272	

Daten für Maximalfarbe (Ma):

$LAB^*LAB^*_{Ma}: 41 \ 1 \ -38$

$LAB^*LCH^*_{Ma}: 41 \ 38 \ 271$

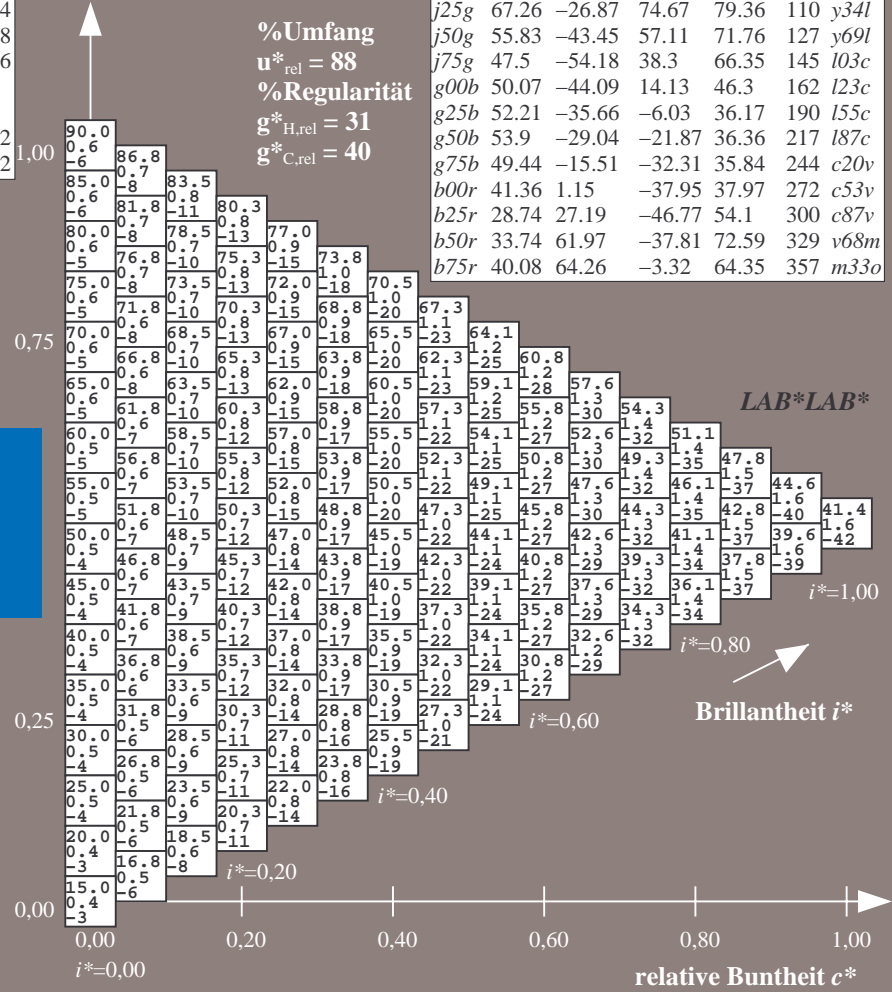
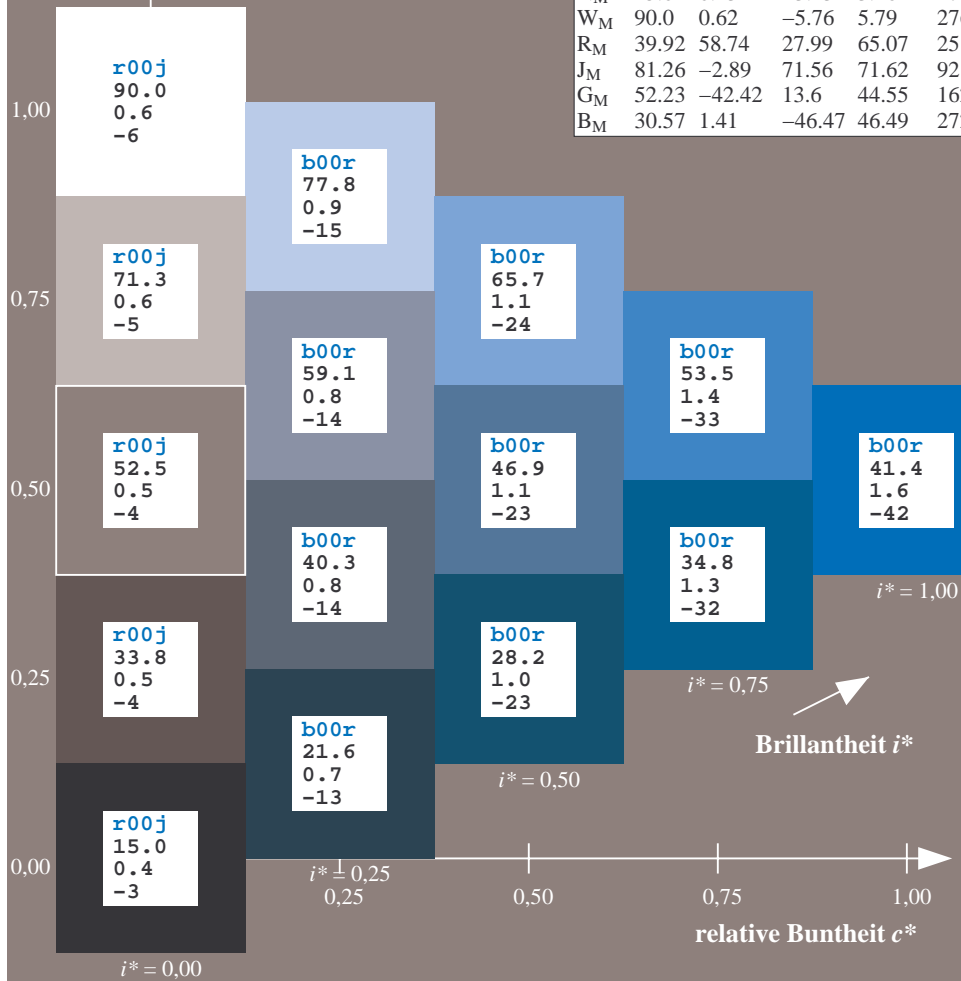
$lab^*rgb^*_{Ma}: 0.0 \ 0.0 \ 1.0$

$lab^*olv^*_{Ma}: 0.0 \ 0.47 \ 1.0$

Dreiecks-Helligkeit t^*

FRS15_90a; adaptierte CIELAB-Daten

	u^*_e	$L^*=L^*_a$	a^*_a	b^*_a	$C^*_{ab,a}$	$h^*_{ab,a}$	u^*_d
r00j	39.18	56.94	27.13	63.07	25	m81o	
r25j	42.41	49.1	44.5	66.26	42	o10y	
r50j	52.78	35.22	58.37	68.17	59	o40y	
r75j	64.82	19.12	74.47	76.89	76	o69y	
j00g	82.06	-3.94	97.52	97.6	92	o98y	
j25g	67.26	-26.87	74.67	79.36	110	y34l	
j50g	55.83	-43.45	57.11	71.76	127	y69l	
j75g	47.5	-54.18	38.3	66.35	145	l03c	
g00b	50.07	-44.09	14.13	46.3	162	l23c	
g25b	52.21	-35.66	-6.03	36.17	190	l55c	
g50b	53.9	-29.04	-21.87	36.36	217	l87c	
g75b	49.44	-15.51	-32.31	35.84	244	c20v	
b00r	41.36	1.15	-37.95	37.97	272	c53v	
b25r	28.74	27.19	-46.77	54.1	300	c87v	
b50r	33.74	61.97	-37.81	72.59	329	v68m	
b75r	40.08	64.26	-3.32	64.35	357	m33o	



%Umfang
 $u^*_{rel} = 88$
%Regularität
 $g^*_{H,rel} = 31$
 $g^*_{C,rel} = 40$

LAB^*LAB^*

Brillantheit i^*

Ein und Ausgabe: Farbmatisches Drucker-Reflektiv-System FRS15_90a für relativen CIELAB-Bunton $h^* = lab^*h^* = h_{ab}/360 = 0.834$

$u^*_e = b25r$
 LAB^*LAB^*

Daten für jede Farbe:

lab^*ch^* und lab^*icu^*

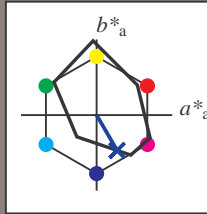
Buntontexte:

$u^*_e = b25r$ $u^*_d = c87v$

Kontrastreduzierungsfaktor:

$c_R = 0.9$

Dreiecks-Helligkeit t^*



FRS15_90; CIELAB-Daten						
	u^*_e	$L^*=L^*$	a^*	b^*	C^*_{ab}	h^*_{ab}
O _M	38.8	54.41	35.65	65.05	33	
Y _M	82.58	-4.04	92.72	92.8	92	
L _M	46.95	-55.83	39.15	68.19	145	
C _M	54.62	-25.67	-33.25	42.01	232	
V _M	20.01	45.64	-56.27	72.45	309	
M _M	40.88	71.17	-34.09	78.92	334	
N _M	15.0	0.43	-3.23	3.26	278	
W _M	90.0	0.62	-5.76	5.79	276	
R _M	39.92	58.74	27.99	65.07	25	
J _M	81.26	-2.89	71.56	71.62	92	
G _M	52.23	-42.42	13.6	44.55	162	
B _M	30.57	1.41	-46.47	46.49	272	

Daten für Maximalfarbe (Ma):

$LAB^*LAB^*_{Ma}: 29\ 27\ -47$

$LAB^*LCH^*_{Ma}: 29\ 54\ 300$

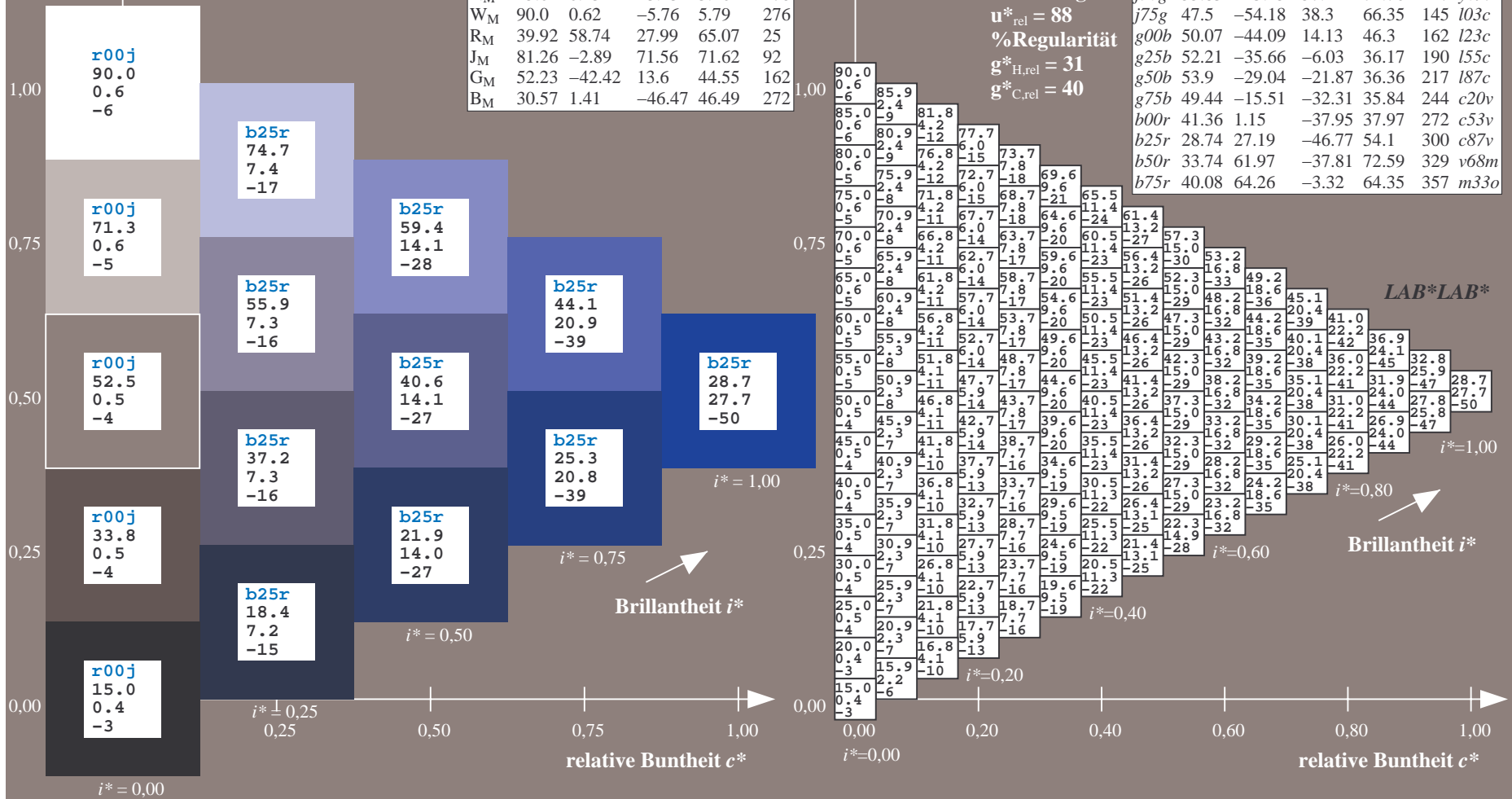
$lab^*rgb^*_{Ma}: 0.5\ 0.0\ 1.0$

$lab^*olv^*_{Ma}: 0.0\ 0.12\ 1.0$

Dreiecks-Helligkeit t^*

FRS15_90a; adaptierte CIELAB-Daten

	u^*_e	$L^*=L^*_a$	a^*_a	b^*_a	$C^*_{ab,a}$	$h^*_{ab,a}$	u^*_d
r00j	39.18	56.94	27.13	63.07	25	m81o	
r25j	42.41	49.1	44.5	66.26	42	o10y	
r50j	52.78	35.22	58.37	68.17	59	o40y	
r75j	64.82	19.12	74.47	76.89	76	o69y	
j00g	82.06	-3.94	97.52	97.6	92	o98y	
j25g	67.26	-26.87	74.67	79.36	110	y34l	
j50g	55.83	-43.45	57.11	71.76	127	y69l	
j75g	47.5	-54.18	38.3	66.35	145	l03c	
g00b	50.07	-44.09	14.13	46.3	162	l23c	
g25b	52.21	-35.66	-6.03	36.17	190	l55c	
g50b	53.9	-29.04	-21.87	36.36	217	l87c	
g75b	49.44	-15.51	-32.31	35.84	244	c20v	
b00r	41.36	1.15	-37.95	37.97	272	c53v	
b25r	28.74	27.19	-46.77	54.1	300	c87v	
b50r	33.74	61.97	-37.81	72.59	329	v68m	
b75r	40.08	64.26	-3.32	64.35	357	m33o	



Ein und Ausgabe: Farbmatisches Drucker-Reflektiv-System FRS15_90a für relativen CIELAB-Bunton $h^* = lab^*h^* = h_{ab}/360 = 0.913$

$u^*_e = b50r$
 LAB^*LAB^*

Daten für jede Farbe:

lab^*ch^* und lab^*icu^*

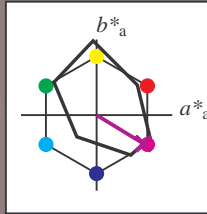
Buntontexte:

$u^*_e = b50r$ $u^*_d = v68m$

Kontrastreduzierungsfaktor:

$c_R = 0.9$

Dreiecks-Helligkeit t^*



FRS15_90; CIELAB-Daten						
	u^*_e	$L^*=L^*_a$	a^*	b^*	C^*_{ab}	h^*_{ab}
O _M	38.8	54.41	35.65	65.05	33	
Y _M	82.58	-4.04	92.72	92.8	92	
L _M	46.95	-55.83	39.15	68.19	145	
C _M	54.62	-25.67	-33.25	42.01	232	
V _M	20.01	45.64	-56.27	72.45	309	
M _M	40.88	71.17	-34.09	78.92	334	
N _M	15.0	0.43	-3.23	3.26	278	
W _M	90.0	0.62	-5.76	5.79	276	
R _M	39.92	58.74	27.99	65.07	25	
J _M	81.26	-2.89	71.56	71.62	92	
G _M	52.23	-42.42	13.6	44.55	162	
B _M	30.57	1.41	-46.47	46.49	272	

Daten für Maximalfarbe (Ma):

$LAB^*LAB^*_{Ma}: 34 \ 62 \ -38$

$LAB^*LCH^*_{Ma}: 34 \ 73 \ 328$

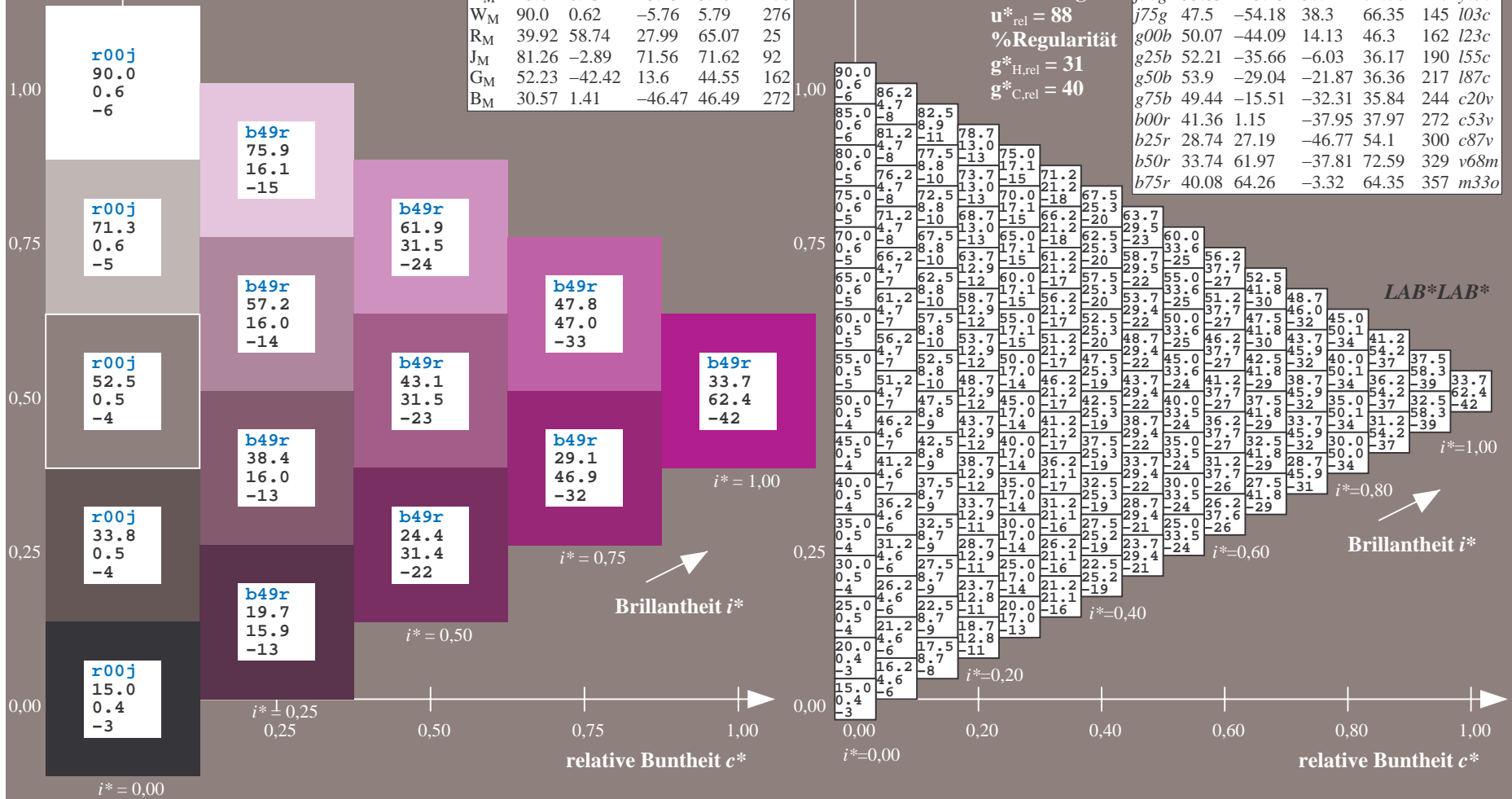
$lab^*rgb^*_{Ma}: 1.0 \ 0.0 \ 1.0$

$lab^*olv^*_{Ma}: 0.68 \ 0.0 \ 1.0$

Dreiecks-Helligkeit t^*

FRS15_90a; adaptierte CIELAB-Daten

	u^*_e	$L^*=L^*_a$	a^*_a	b^*_a	$C^*_{ab,a}$	$h^*_{ab,a}$	u^*_d
r00j	39.18	56.94	27.13	63.07	25	m81o	
r25j	42.41	49.1	44.5	66.26	42	o10y	
r50j	52.78	35.22	58.37	68.17	59	o40y	
r75j	64.82	19.12	74.47	76.89	76	o69y	
j00g	82.06	-3.94	97.52	97.6	92	o98y	
j25g	67.26	-26.87	74.67	79.36	110	y34l	
j50g	55.83	-43.45	57.11	71.76	127	y69l	
j75g	47.5	-54.18	38.3	66.35	145	l03c	
g00b	50.07	-44.09	14.13	46.3	162	l23c	
g25b	52.21	-35.66	-6.03	36.17	190	l55c	
g50b	53.9	-29.04	-21.87	36.36	217	l87c	
g75b	49.44	-15.51	-32.31	35.84	244	c20v	
b00r	41.36	1.15	-37.95	37.97	272	c53v	
b25r	28.74	27.19	-46.77	54.1	300	c87v	
b50r	33.74	61.97	-37.81	72.59	329	v68m	
b75r	40.08	64.26	-3.32	64.35	357	m33o	



Ein und Ausgabe: Farbmatisches Drucker-Reflektiv-System FRS15_90a für relativen CIELAB-Bunton $h^* = lab \cdot h^* = h_{ab}/360 = 0.992$

$u^*_e = b75r$
 LAB^*LAB^*

Daten für jede Farbe:

lab^*tch^* und lab^*icu^*

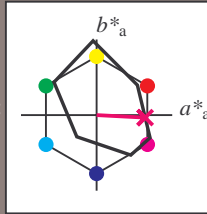
Buntontexte:

$u^*_e = b75r$ $u^*_d = m33o$

Kontrastreduzierungsfaktor:

$c_R = 0.9$

Dreiecks-Helligkeit t^*



FRS15_90; CIELAB-Daten

	u^*_e	$L^*=L^*_a$	a^*_a	b^*_a	C^*_{ab}	h^*_{ab}
O _M	38.8	54.41	35.65	65.05	33	
Y _M	82.58	-4.04	92.72	92.8	92	
L _M	46.95	-55.83	39.15	68.19	145	
C _M	54.62	-25.67	-33.25	42.01	232	
V _M	20.01	45.64	-56.27	72.45	309	
M _M	40.88	71.17	-34.09	78.92	334	
N _M	15.0	0.43	-3.23	3.26	278	
W _M	90.0	0.62	-5.76	5.79	276	
R _M	39.92	58.74	27.99	65.07	25	
J _M	81.26	-2.89	71.56	71.62	92	
G _M	52.23	-42.42	13.6	44.55	162	
B _M	30.57	1.41	-46.47	46.49	272	

Daten für Maximalfarbe (Ma):

$LAB^*LAB^*_{Ma}: 40 \ 64 \ -3$

$LAB^*LCH^*_{Ma}: 40 \ 64 \ 357$

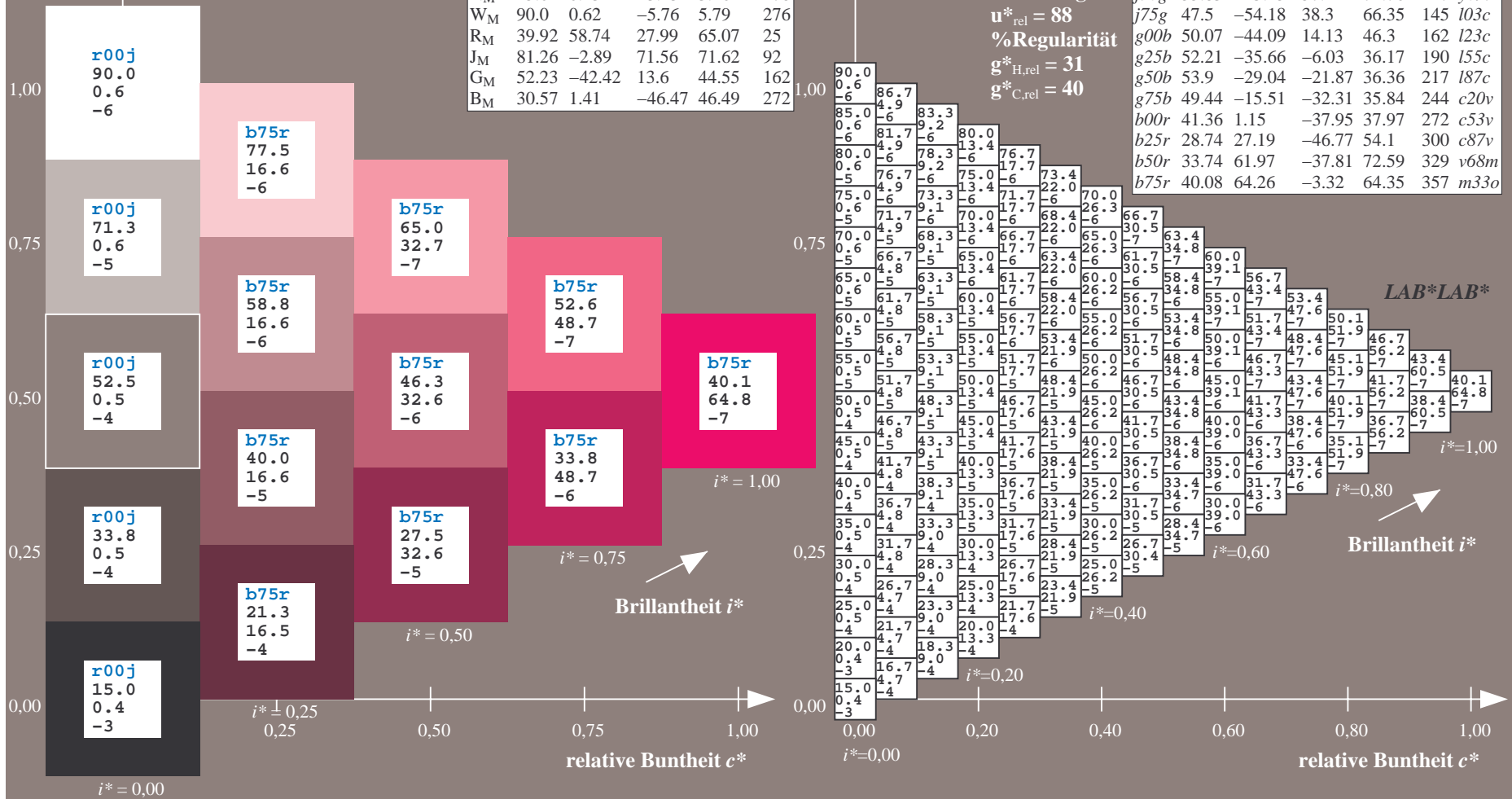
$lab^*rgb^*_{Ma}: 1.0 \ 0.0 \ 0.5$

$lab^*olv^*_{Ma}: 1.0 \ 0.0 \ 0.66$

Dreiecks-Helligkeit t^*

FRS15_90a; adaptierte CIELAB-Daten

	u^*_e	$L^*=L^*_a$	a^*_a	b^*_a	$C^*_{ab,a}$	$h^*_{ab,a}$	u^*_d
r00j	39.18	56.94	27.13	63.07	25	m81o	
r25j	42.41	49.1	44.5	66.26	42	o10y	
r50j	52.78	35.22	58.37	68.17	59	o40y	
r75j	64.82	19.12	74.47	76.89	76	o69y	
j00g	82.06	-3.94	97.52	97.6	92	o98y	
j25g	67.26	-26.87	74.67	79.36	110	y34l	
j50g	55.83	-43.45	57.11	71.76	127	y69l	
j75g	47.5	-54.18	38.3	66.35	145	l03c	
g00b	50.07	-44.09	14.13	46.3	162	l23c	
g25b	52.21	-35.66	-6.03	36.17	190	l55c	
g50b	53.9	-29.04	-21.87	36.36	217	l87c	
g75b	49.44	-15.51	-32.31	35.84	244	c20v	
b00r	41.36	1.15	-37.95	37.97	272	c53v	
b25r	28.74	27.19	-46.77	54.1	300	c87v	
b50r	33.74	61.97	-37.81	72.59	329	v68m	
b75r	40.08	64.26	-3.32	64.35	357	m33o	



	A	B	C	D	E	F	G	H	I	J	K	L	M	N	O	P	Q	R	S	T	U	V	W	X	Y	Z	a	b	c	d	e	f	g	h	i	j	k	LAB*LAB*																																																																												
01	15.0	19.0	23.0	27.0	31.0	35.0	39.0	43.0	47.0	18.0	23.4	26.7	30.6	34.6	38.6	42.6	46.6	50.6	21.0	25.4	31.9	34.7	38.5	42.3	46.3	50.3	54.2	90.0	83.6	77.2	70.8	64.4	58.0	51.6	45.2	38.8	15.0	15.0	15.0	15.0																																																																										
02	15.6	20.0	24.2	28.4	32.6	36.7	40.8	44.9	48.9	18.2	24.4	28.4	32.4	36.4	40.4	44.3	48.3	52.3	21.2	27.4	32.8	36.1	40.0	44.0	48.0	52.0	56.0	80.6	74.2	67.8	61.4	55.0	48.6	42.2	35.8	29.4	23.0	16.6	10.2	3.8	15.6																																																																									
03	16.3	21.8	24.9	29.2	33.5	37.7	41.9	46.1	50.2	18.7	25.0	29.3	33.6	37.8	42.0	46.1	50.2	54.3	21.5	27.6	33.8	37.7	41.7	45.7	49.7	53.7	57.7	81.2	76.2	71.3	64.9	58.5	52.1	45.7	39.3	32.9	26.5	20.1	13.7	7.3	0.9	16.3																																																																								
04	16.9	23.4	26.7	29.9	34.1	38.4	42.7	46.9	51.2	19.3	25.6	31.2	35.3	38.6	42.8	47.1	51.3	55.4	21.9	28.1	34.4	38.7	43.0	47.2	51.4	55.5	59.6	76.7	71.8	66.8	61.9	55.5	49.1	42.7	36.3	29.9	23.4	17.0	10.6	4.2	16.9																																																																									
05	17.4	3.9	-2.9	-9.4	-15.3	-21.2	-27.1	-33.2	-39.2	30.4	11.8	0.3	-6.1	-12.0	-17.9	-24.0	-30.2	-36.5	23.5	28.4	35.0	41.8	48.6	55.4	62.2	68.9	75.7	92.8	87.8	82.8	77.8	72.8	67.8	62.8	57.8	52.8	47.8	42.8	37.8	32.8	27.8	22.8	17.8	12.8	7.8	2.8	17.4																																																																			
06	18.0	-25	-22	-20	-18	-15	-13	-10	-8	-7	-5	-3	-2	-1	1	2	3	4	5	6	7	8	9	10	11	12	13	14	15	16	17	18	19	20	21	22	23	24	25	26	27	28	29	30	31	32	33	34	35	36	37	38	39	40	41	42	43	44	45	46	47	48	49	50	51	52	53	54	55	56	57	58	59	60	61	62	63	64	65	66	67	68	69	70	71	72	73	74	75	76	77	78	79	80	81	82	83	84	85	86	87	88	89	90	91	92	93	94	95	96	97	98	99	100

Ein und Ausgabe:
 Farbmetrisches Drucker-Reflektiv-System FRS15_90a

Daten für jede Farbe:

u^*_e und Nummer $Nr. = 00 \dots 15$

Elementar-Bunttextext:

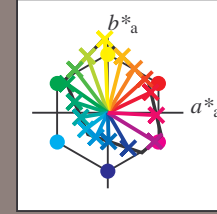
$u^*_e = 16$ Bunttoene $r00j, r25j, \dots, b75r$

Kontrastreduzierungsfaktor:

$c_R = 0.9$

FRS15_90a; adaptierte CIELAB-Daten

u^*_e	$L^*=L^*_a$	a^*_a	b^*_a	$C^*_{ab,a}$	$h^*_{ab,a}$	u^*_d
<i>r00j</i>	39.18	56.94	27.13	63.07	25	<i>m81o</i>
<i>r25j</i>	42.41	49.1	44.5	66.26	42	<i>o10y</i>
<i>r50j</i>	52.78	35.22	58.37	68.17	59	<i>o40y</i>
<i>r75j</i>	64.82	19.12	74.47	76.89	76	<i>o69y</i>
<i>j00g</i>	82.06	-3.94	97.52	97.6	92	<i>o98y</i>
<i>j25g</i>	67.26	-26.87	74.67	79.36	110	<i>y34l</i>
<i>j50g</i>	55.83	-43.45	57.11	71.76	127	<i>y69l</i>
<i>j75g</i>	47.5	-54.18	38.3	66.35	145	<i>l03c</i>
<i>g00b</i>	50.07	-44.09	14.13	46.3	162	<i>l23c</i>
<i>g25b</i>	52.21	-35.66	-6.03	36.17	190	<i>l55c</i>
<i>g50b</i>	53.9	-29.04	-21.87	36.36	217	<i>l87c</i>
<i>g75b</i>	49.44	-15.51	-32.31	35.84	244	<i>c20v</i>
<i>b00r</i>	41.36	1.15	-37.95	37.97	272	<i>c53v</i>
<i>b25r</i>	28.74	27.19	-46.77	54.1	300	<i>c87v</i>
<i>b50r</i>	33.74	61.97	-37.81	72.59	329	<i>v68m</i>
<i>b75r</i>	40.08	64.26	-3.32	64.35	357	<i>m33o</i>



%Umfang

$u^*_{rel} = 88$

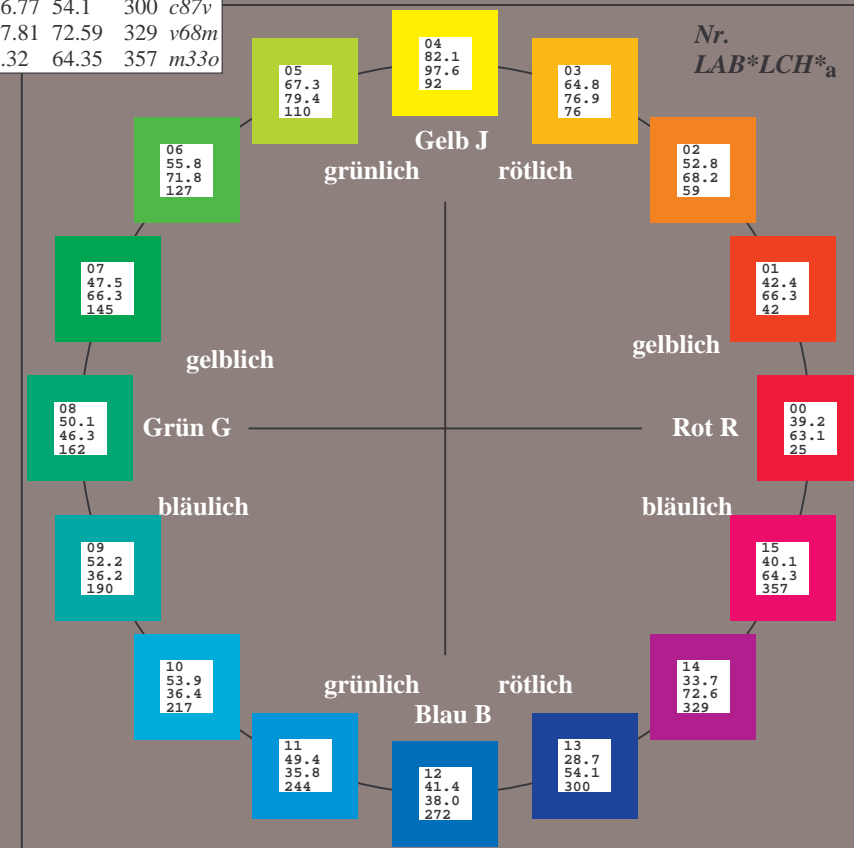
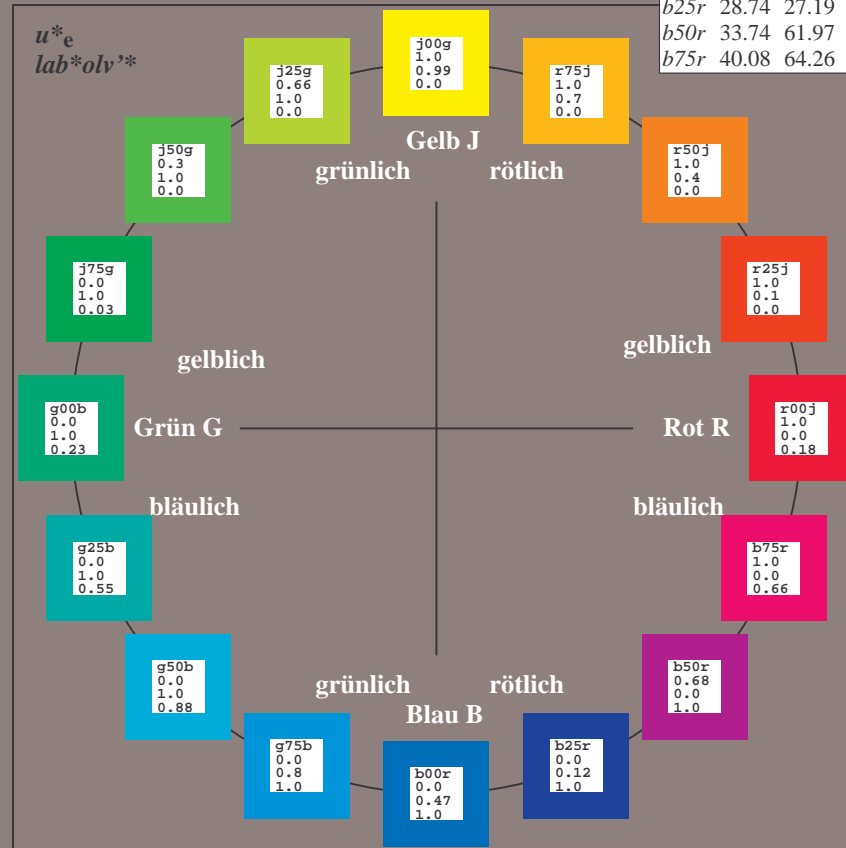
%Regularität

$g^*_{H,rel} = 31$

$g^*_{C,rel} = 40$

FRS15_90a; CIELAB-Daten

Name	$L^*=L^*$	a^*	b^*	C^*_{ab}	h^*_{ab}
O _M	38.8	54.41	35.65	65.05	33
Y _M	82.58	-4.04	92.72	92.8	92
L _M	46.95	-55.83	39.15	68.19	145
C _M	54.62	-25.67	-33.25	42.01	232
V _M	20.01	45.64	-56.27	72.45	309
M _M	40.88	71.17	-34.09	78.92	334
N _M	15.0	0.43	-3.23	3.26	278
W _M	90.0	0.62	-5.76	5.79	276
R _{CIE}	39.92	58.74	27.99	65.07	25
J _{CIE}	81.26	-2.89	71.56	71.62	92
G _{CIE}	52.23	-42.42	13.6	44.55	162
B _{CIE}	30.57	1.41	-46.47	46.49	272



Ein und Ausgabe: Farbmatisches Drucker-Reflektiv-System FRS15_90a für relativen CIELAB-Bunton $h^* = lab^*h^* = h_{ab}/360 = 0.071$

$u^*_e = r00j$
 lab^*olv^*

Daten für jede Farbe:

lab^*tch^* und lab^*icu^*

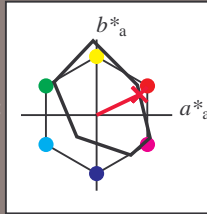
Buntontexte:

$u^*_e = r00j$ $u^*_d = m81o$

Kontrastreduzierungsfaktor:

$c_R = 0.9$

Dreiecks-Helligkeit t^*



FRS15_90a; CIELAB-Daten

	u^*_e	$L^*=L^*$	a^*	b^*	C^*_{ab}	h^*_{ab}
O _M	38.8	54.41	35.65	65.05	33	
Y _M	82.58	-4.04	92.72	92.8	92	
L _M	46.95	-55.83	39.15	68.19	145	
C _M	54.62	-25.67	-33.25	42.01	232	
V _M	20.01	45.64	-56.27	72.45	309	
M _M	40.88	71.17	-34.09	78.92	334	
N _M	15.0	0.43	-3.23	3.26	278	
W _M	90.0	0.62	-5.76	5.79	276	
R _M	39.92	58.74	27.99	65.07	25	
J _M	81.26	-2.89	71.56	71.62	92	
G _M	52.23	-42.42	13.6	44.55	162	
B _M	30.57	1.41	-46.47	46.49	272	

Daten für Maximalfarbe (Ma):

$LAB^*LAB^*_{Ma}$: 39 57 27

$LAB^*LCH^*_{Ma}$: 39 63 25

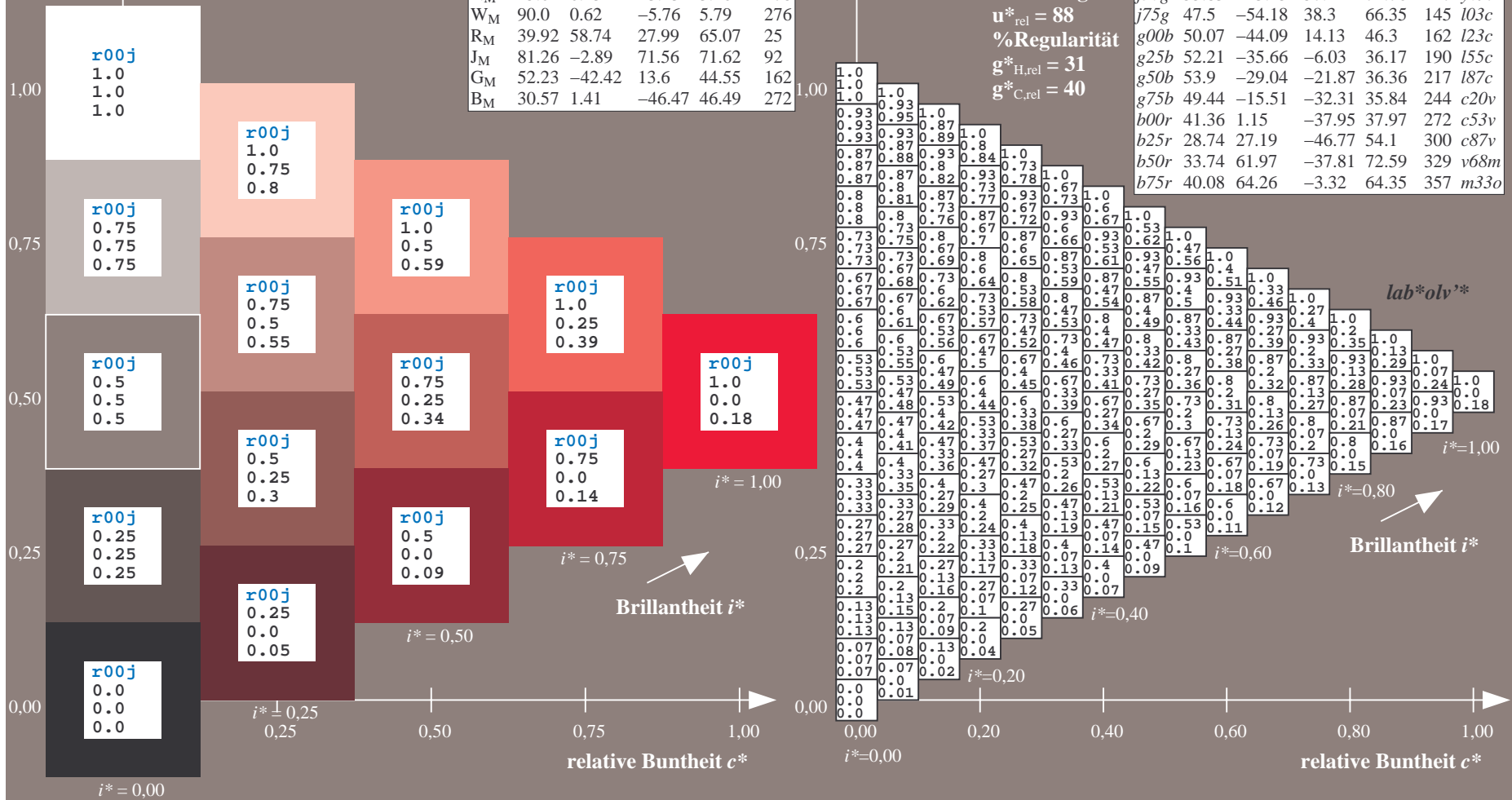
$lab^*rgb^*_{Ma}$: 1.0 0.0 0.0

$lab^*olv^*_{Ma}$: 1.0 0.0 0.18

Dreiecks-Helligkeit t^*

FRS15_90a; adaptierte CIELAB-Daten

	u^*_e	$L^*=L^*_a$	a^*_a	b^*_a	$C^*_{ab,a}$	$h^*_{ab,a}$	u^*_d
r00j	39.18	56.94	27.13	63.07	25	m81o	
r25j	42.41	49.1	44.5	66.26	42	o10y	
r50j	52.78	35.22	58.37	68.17	59	o40y	
r75j	64.82	19.12	74.47	76.89	76	o69y	
j00g	82.06	-3.94	97.52	97.6	92	o98y	
j25g	67.26	-26.87	74.67	79.36	110	y34l	
j50g	55.83	-43.45	57.11	71.76	127	y69l	
j75g	47.5	-54.18	38.3	66.35	145	l03c	
g00b	50.07	-44.09	14.13	46.3	162	l23c	
g25b	52.21	-35.66	-6.03	36.17	190	l55c	
g50b	53.9	-29.04	-21.87	36.36	217	l87c	
g75b	49.44	-15.51	-32.31	35.84	244	c20v	
b00r	41.36	1.15	-37.95	37.97	272	c53v	
b25r	28.74	27.19	-46.77	54.1	300	c87v	
b50r	33.74	61.97	-37.81	72.59	329	v68m	
b75r	40.08	64.26	-3.32	64.35	357	m33o	



Ein und Ausgabe: Farbmatisches Drucker-Reflektiv-System FRS15_90a für relativen CIELAB-Bunton $h^* = lab^*h^* = h_{ab}/360 = 0.117$

$u^*_e = r25j$
 lab^*olv^*

Daten für jede Farbe:

lab^*tch^* und lab^*icu^*

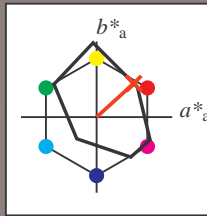
Buntontexte:

$u^*_e = r25j$ $u^*_d = o10y$

Kontrastreduzierungsfaktor:

$c_R = 0.9$

Dreiecks-Helligkeit t^*



FRS15_90a; CIELAB-Daten

	u^*_e	$L^*=L^*_a$	a^*	b^*	C^*_{ab}	h^*_{ab}
O _M	38.8	54.41	35.65	65.05	33	
Y _M	82.58	-4.04	92.72	92.8	92	
L _M	46.95	-55.83	39.15	68.19	145	
C _M	54.62	-25.67	-33.25	42.01	232	
V _M	20.01	45.64	-56.27	72.45	309	
M _M	40.88	71.17	-34.09	78.92	334	
N _M	15.0	0.43	-3.23	3.26	278	
W _M	90.0	0.62	-5.76	5.79	276	
R _M	39.92	58.74	27.99	65.07	25	
J _M	81.26	-2.89	71.56	71.62	92	
G _M	52.23	-42.42	13.6	44.55	162	
B _M	30.57	1.41	-46.47	46.49	272	

Daten für Maximalfarbe (Ma):

$LAB^*LAB^*_Ma: 42\ 49\ 44$

$LAB^*LCH^*_Ma: 42\ 66\ 42$

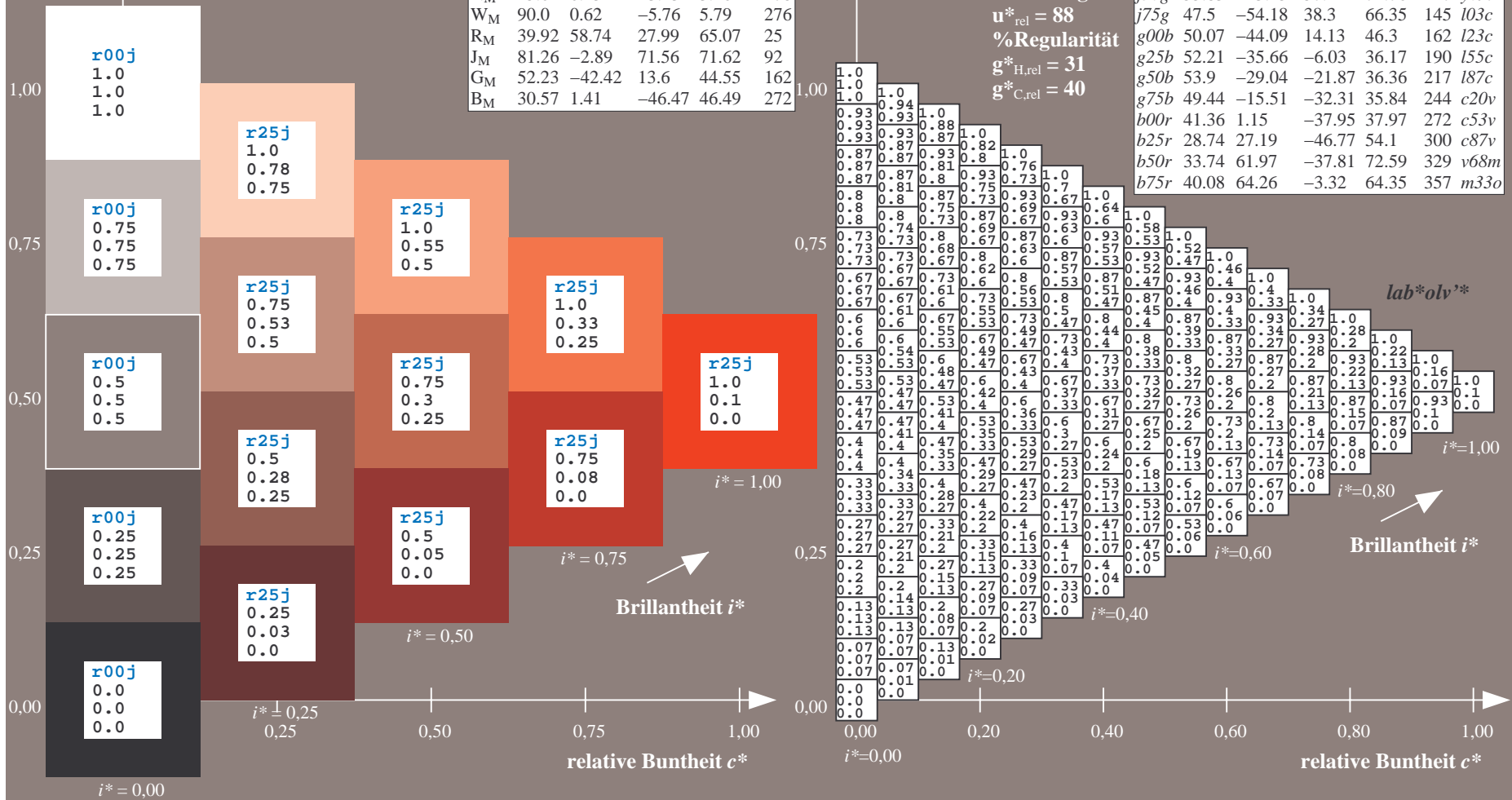
$lab^*rgb^*_Ma: 1.0\ 0.25\ 0.0$

$lab^*olv^*_Ma: 1.0\ 0.1\ 0.0$

Dreiecks-Helligkeit t^*

FRS15_90a; adaptierte CIELAB-Daten

	u^*_e	$L^*=L^*_a$	a^*_a	b^*_a	$C^*_{ab,a}$	$h^*_{ab,a}$	u^*_d
r00j	39.18	56.94	27.13	63.07	25	m81o	
r25j	42.41	49.1	44.5	66.26	42	o10y	
r50j	52.78	35.22	58.37	68.17	59	o40y	
r75j	64.82	19.12	74.47	76.89	76	o69y	
j00g	82.06	-3.94	97.52	97.6	92	o98y	
j25g	67.26	-26.87	74.67	79.36	110	y34l	
j50g	55.83	-43.45	57.11	71.76	127	y69l	
j75g	47.5	-54.18	38.3	66.35	145	l03c	
g00b	50.07	-44.09	14.13	46.3	162	l23c	
g25b	52.21	-35.66	-6.03	36.17	190	l55c	
g50b	53.9	-29.04	-21.87	36.36	217	l87c	
g75b	49.44	-15.51	-32.31	35.84	244	c20v	
b00r	41.36	1.15	-37.95	37.97	272	c53v	
b25r	28.74	27.19	-46.77	54.1	300	c87v	
b50r	33.74	61.97	-37.81	72.59	329	v68m	
b75r	40.08	64.26	-3.32	64.35	357	m33o	



Ein und Ausgabe: Farbmatisches Drucker-Reflektiv-System FRS15_90a für relativen CIELAB-Bunton $h^* = lab^*h^* = h_{ab}/360 = 0.164$

$u^*_e = r50j$
 lab^*olv^*

Daten für jede Farbe:

lab^*tch^* und lab^*icu^*

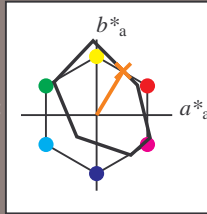
Buntontexte:

$u^*_e = r50j$ $u^*_d = o40y$

Kontrastreduzierungsfaktor:

$c_R = 0.9$

Dreiecks-Helligkeit t^*



FRS15_90a; CIELAB-Daten

u^*_e	$L^*=L^*$	a^*	b^*	C^*_{ab}	h^*_{ab}
O _M	38.8	54.41	35.65	65.05	33
Y _M	82.58	-4.04	92.72	92.8	92
L _M	46.95	-55.83	39.15	68.19	145
C _M	54.62	-25.67	-33.25	42.01	232
V _M	20.01	45.64	-56.27	72.45	309
M _M	40.88	71.17	-34.09	78.92	334
N _M	15.0	0.43	-3.23	3.26	278
W _M	90.0	0.62	-5.76	5.79	276
R _M	39.92	58.74	27.99	65.07	25
J _M	81.26	-2.89	71.56	71.62	92
G _M	52.23	-42.42	13.6	44.55	162
B _M	30.57	1.41	-46.47	46.49	272

Daten für Maximalfarbe (Ma):

$LAB^*LAB^*_{Ma}: 53\ 35\ 58$

$LAB^*LCH^*_{Ma}: 53\ 68\ 58$

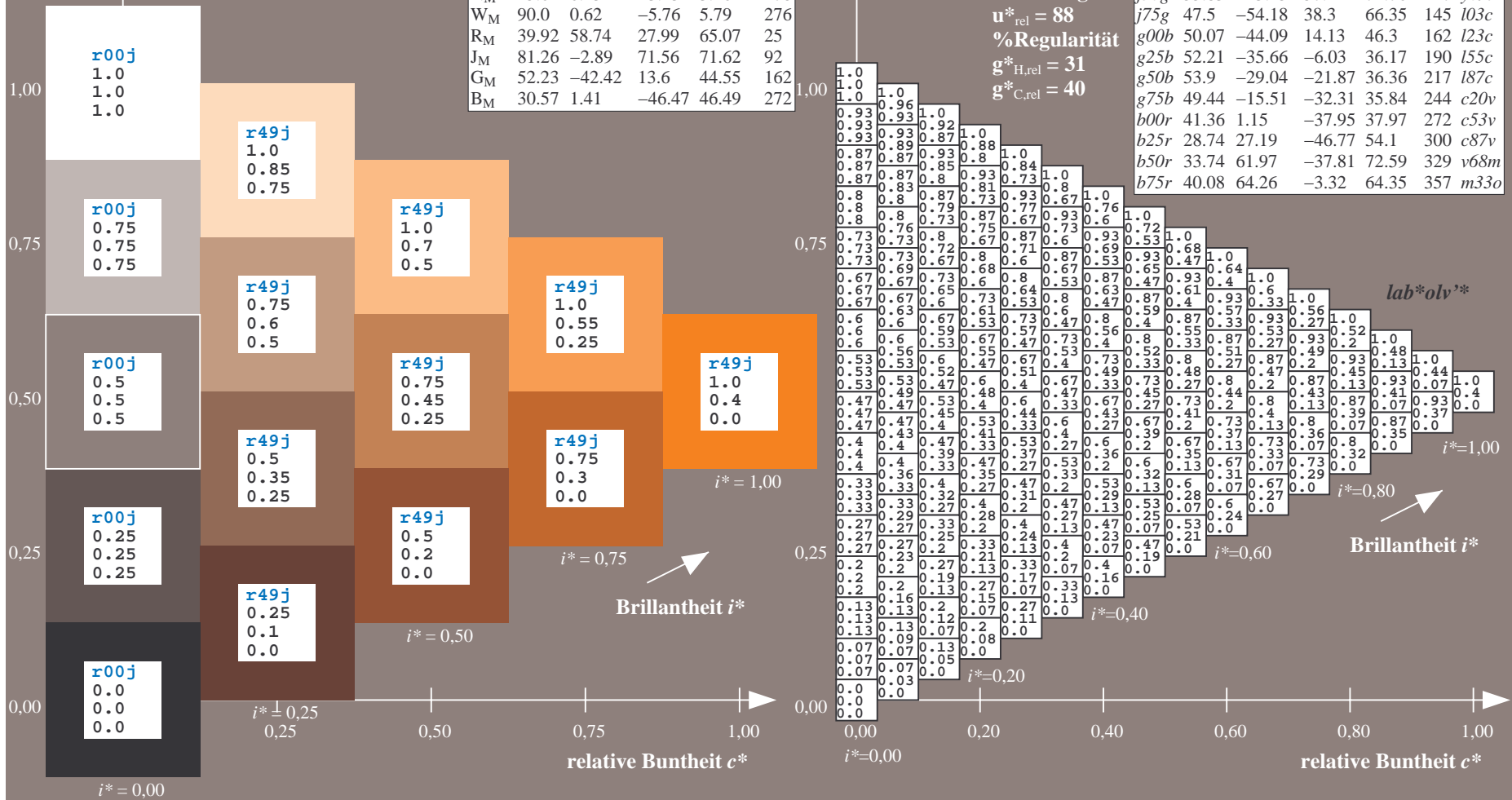
$lab^*rgb^*_{Ma}: 1.0\ 0.5\ 0.0$

$lab^*olv^*_{Ma}: 1.0\ 0.4\ 0.0$

Dreiecks-Helligkeit t^*

FRS15_90a; adaptierte CIELAB-Daten

u^*_e	$L^*=L^*_a$	a^*_a	b^*_a	$C^*_{ab,a}$	$h^*_{ab,a}$	u^*_d
r00j	39.18	56.94	27.13	63.07	25	m81o
r25j	42.41	49.1	44.5	66.26	42	o10y
r50j	52.78	35.22	58.37	68.17	59	o40y
r75j	64.82	19.12	74.47	76.89	76	o69y
j00g	82.06	-3.94	97.52	97.6	92	o98y
j25g	67.26	-26.87	74.67	79.36	110	y34l
j50g	55.83	-43.45	57.11	71.76	127	y69l
j75g	47.5	-54.18	38.3	66.35	145	l03c
g00b	50.07	-44.09	14.13	46.3	162	l23c
g25b	52.21	-35.66	-6.03	36.17	190	l55c
g50b	53.9	-29.04	-21.87	36.36	217	l87c
g75b	49.44	-15.51	-32.31	35.84	244	c20v
b00r	41.36	1.15	-37.95	37.97	272	c53v
b25r	28.74	27.19	-46.77	54.1	300	c87v
b50r	33.74	61.97	-37.81	72.59	329	v68m
b75r	40.08	64.26	-3.32	64.35	357	m33o



Ein und Ausgabe: Farbmatisches Drucker-Reflektiv-System FRS15_90a für relativen CIELAB-Bunton $h^* = lab^*h^* = h_{ab}/360 = 0.21$

$u^*_e = r75j$
 lab^*olv^*

Daten für jede Farbe:

lab^*tch^* und lab^*icu^*

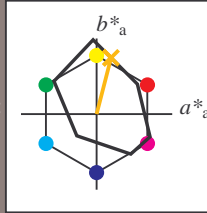
Buntontexte:

$u^*_e = r75j$ $u^*_d = o69y$

Kontrastreduzierungsfaktor:

$c_R = 0.9$

Dreiecks-Helligkeit t^*



FRS15_90a; CIELAB-Daten

	u^*_e	$L^*=L^*$	a^*	b^*	C^*_{ab}	h^*_{ab}
O _M	38.8	54.41	35.65	65.05	33	
Y _M	82.58	-4.04	92.72	92.8	92	
L _M	46.95	-55.83	39.15	68.19	145	
C _M	54.62	-25.67	-33.25	42.01	232	
V _M	20.01	45.64	-56.27	72.45	309	
M _M	40.88	71.17	-34.09	78.92	334	
N _M	15.0	0.43	-3.23	3.26	278	
W _M	90.0	0.62	-5.76	5.79	276	
R _M	39.92	58.74	27.99	65.07	25	
J _M	81.26	-2.89	71.56	71.62	92	
G _M	52.23	-42.42	13.6	44.55	162	
B _M	30.57	1.41	-46.47	46.49	272	

Daten für Maximalfarbe (Ma):

$LAB^*LAB^*_{Ma}: 65\ 19\ 74$

$LAB^*LCH^*_{Ma}: 65\ 77\ 75$

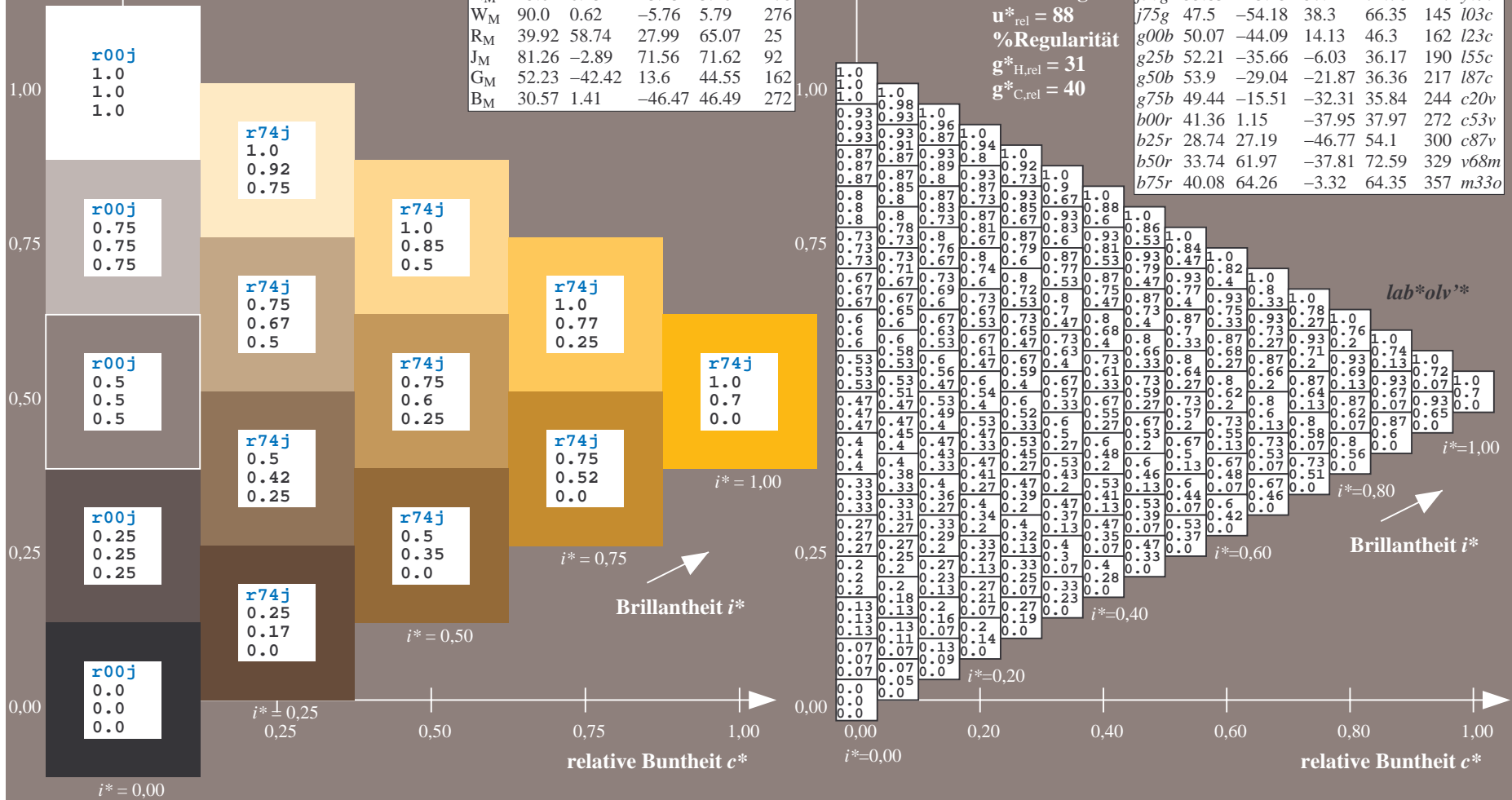
$lab^*rgb^*_{Ma}: 1.0\ 0.75\ 0.0$

$lab^*olv^*_{Ma}: 1.0\ 0.7\ 0.0$

Dreiecks-Helligkeit t^*

FRS15_90a; adaptierte CIELAB-Daten

	u^*_e	$L^*=L^*_a$	a^*_a	b^*_a	$C^*_{ab,a}$	$h^*_{ab,a}$	u^*_d
r00j	39.18	56.94	27.13	63.07	25	m81o	
r25j	42.41	49.1	44.5	66.26	42	o10y	
r50j	52.78	35.22	58.37	68.17	59	o40y	
r75j	64.82	19.12	74.47	76.89	76	o69y	
j00g	82.06	-3.94	97.52	97.6	92	o98y	
j25g	67.26	-26.87	74.67	79.36	110	y34l	
j50g	55.83	-43.45	57.11	71.76	127	y69l	
j75g	47.5	-54.18	38.3	66.35	145	103c	
g00b	50.07	-44.09	14.13	46.3	162	l23c	
g25b	52.21	-35.66	-6.03	36.17	190	l55c	
g50b	53.9	-29.04	-21.87	36.36	217	l87c	
g75b	49.44	-15.51	-32.31	35.84	244	c20v	
b00r	41.36	1.15	-37.95	37.97	272	c53v	
b25r	28.74	27.19	-46.77	54.1	300	c87v	
b50r	33.74	61.97	-37.81	72.59	329	v68m	
b75r	40.08	64.26	-3.32	64.35	357	m33o	



Ein und Ausgabe: Farbmatisches Drucker-Reflektiv-System FRS15_90a für relativen CIELAB-Bunton $h^* = lab^*h^* = h_{ab}/360 = 0.256$

$u^*_e = j00g$
 lab^*olv^*

Daten für jede Farbe:

lab^*tch^* und lab^*icu^*

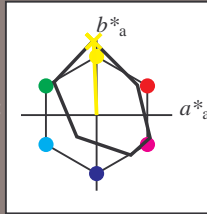
Buntontexte:

$u^*_e = j00g$ $u^*_d = o98y$

Kontrastreduzierungsfaktor:

$c_R = 0.9$

Dreiecks-Helligkeit t^*



FRS15_90a; CIELAB-Daten

	u^*_e	$L^*=L^*$	a^*	b^*	C^*_{ab}	h^*_{ab}
O _M	38.8	54.41	35.65	65.05	33	
Y _M	82.58	-4.04	92.72	92.8	92	
L _M	46.95	-55.83	39.15	68.19	145	
C _M	54.62	-25.67	-33.25	42.01	232	
V _M	20.01	45.64	-56.27	72.45	309	
M _M	40.88	71.17	-34.09	78.92	334	
N _M	15.0	0.43	-3.23	3.26	278	
W _M	90.0	0.62	-5.76	5.79	276	
R _M	39.92	58.74	27.99	65.07	25	
J _M	81.26	-2.89	71.56	71.62	92	
G _M	52.23	-42.42	13.6	44.55	162	
B _M	30.57	1.41	-46.47	46.49	272	

Daten für Maximalfarbe (Ma):

$LAB^*LAB^*_{Ma}$: 82 -4 98

$LAB^*LCH^*_{Ma}$: 82 98 92

$lab^*rgb^*_{Ma}$: 1.0 1.0 0.0

$lab^*olv^*_{Ma}$: 1.0 0.99 0.0

Dreiecks-Helligkeit t^*

%Umfang

$u^*_{rel} = 88$

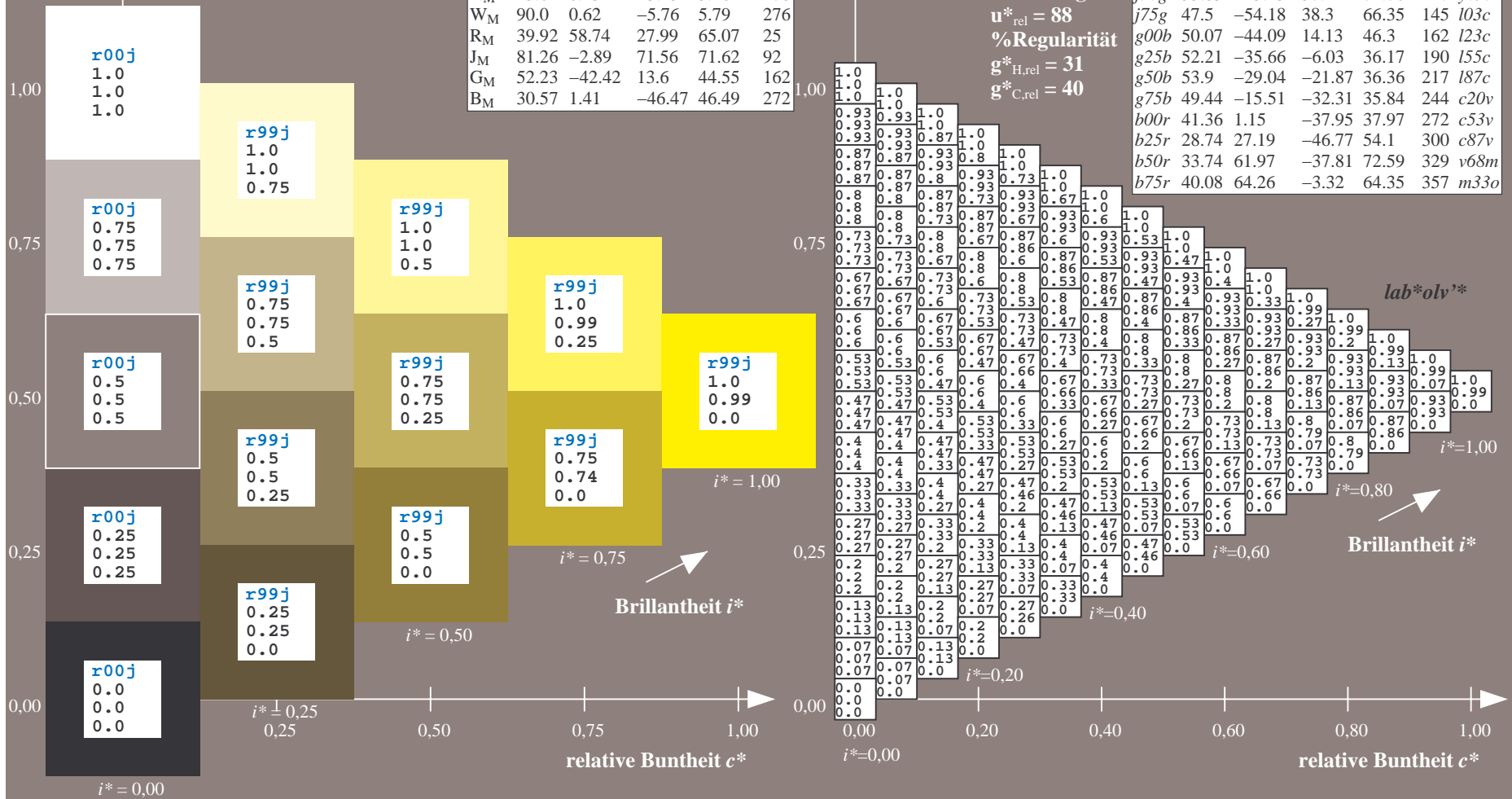
%Regularität

$g^*_{H,rel} = 31$

$g^*_{C,rel} = 40$

FRS15_90a; adaptierte CIELAB-Daten

	u^*_e	$L^*=L^*_a$	a^*_a	b^*_a	$C^*_{ab,a}$	$h^*_{ab,a}$	u^*_d
r00j	39.18	56.94	27.13	63.07	25	m81o	
r25j	42.41	49.1	44.5	66.26	42	o10y	
r50j	52.78	35.22	58.37	68.17	59	o40y	
r75j	64.82	19.12	74.47	76.89	76	o69y	
j00g	82.06	-3.94	97.52	97.6	92	o98y	
j25g	67.26	-26.87	74.67	79.36	110	y34l	
j50g	55.83	-43.45	57.11	71.76	127	y69l	
j75g	47.5	-54.18	38.3	66.35	145	l03c	
g00b	50.07	-44.09	14.13	46.3	162	i23c	
g25b	52.21	-35.66	-6.03	36.17	190	i55c	
g50b	53.9	-29.04	-21.87	36.36	217	i87c	
g75b	49.44	-15.51	-32.31	35.84	244	c20v	
b00r	41.36	1.15	-37.95	37.97	272	c53v	
b25r	28.74	27.19	-46.77	54.1	300	c87v	
b50r	33.74	61.97	-37.81	72.59	329	v68m	
b75r	40.08	64.26	-3.32	64.35	357	m33o	



Ein und Ausgabe: Farbmatisches Drucker-Reflektiv-System FRS15_90a für relativen CIELAB-Bunton $h^* = lab^*h^* = h_{ab}/360 = 0.305$

$u^*_e = j25g$
 lab^*olv^*

Daten für jede Farbe:

lab^*tch^* und lab^*icu^*

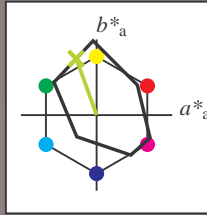
Buntontexte:

$u^*_e = j25g$ $u^*_d = y34l$

Kontrastreduzierungsfaktor:

$c_R = 0.9$

Dreiecks-Helligkeit t^*



FRS15_90a; CIELAB-Daten

	u^*_e	$L^*=L^*$	a^*	b^*	C^*_{ab}	h^*_{ab}
O _M	38.8	54.41	35.65	65.05	33	
Y _M	82.58	-4.04	92.72	92.8	92	
L _M	46.95	-55.83	39.15	68.19	145	
C _M	54.62	-25.67	-33.25	42.01	232	
V _M	20.01	45.64	-56.27	72.45	309	
M _M	40.88	71.17	-34.09	78.92	334	
N _M	15.0	0.43	-3.23	3.26	278	
W _M	90.0	0.62	-5.76	5.79	276	
R _M	39.92	58.74	27.99	65.07	25	
J _M	81.26	-2.89	71.56	71.62	92	
G _M	52.23	-42.42	13.6	44.55	162	
B _M	30.57	1.41	-46.47	46.49	272	

Daten für Maximalfarbe (Ma):

$LAB^*LAB^*_{Ma}$: 67 -27 75

$LAB^*LCH^*_{Ma}$: 67 79 109

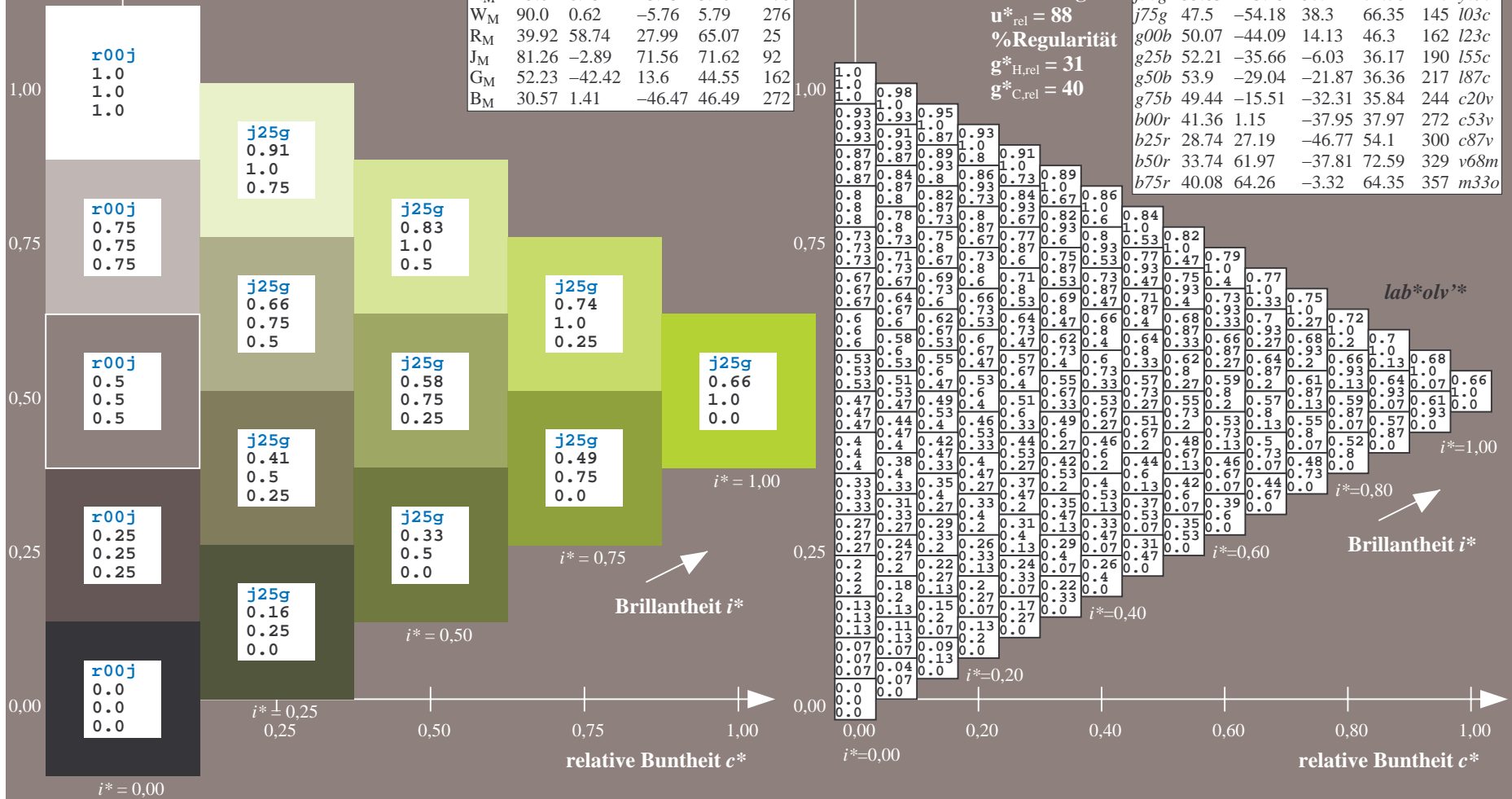
$lab^*rgb^*_{Ma}$: 0.75 1.0 0.0

$lab^*olv^*_{Ma}$: 0.66 1.0 0.0

Dreiecks-Helligkeit t^*

FRS15_90a; adaptierte CIELAB-Daten

	u^*_e	$L^*=L^*_a$	a^*_a	b^*_a	$C^*_{ab,a}$	$h^*_{ab,a}$	u^*_d
r00j	39.18	56.94	27.13	63.07	25	m81o	
r25j	42.41	49.1	44.5	66.26	42	o10y	
r50j	52.78	35.22	58.37	68.17	59	o40y	
r75j	64.82	19.12	74.47	76.89	76	o69y	
j00g	82.06	-3.94	97.52	97.6	92	o98y	
j25g	67.26	-26.87	74.67	79.36	110	y34l	
j50g	55.83	-43.45	57.11	71.76	127	y69l	
j75g	47.5	-54.18	38.3	66.35	145	103c	
g00b	50.07	-44.09	14.13	46.3	162	l23c	
g25b	52.21	-35.66	-6.03	36.17	190	l55c	
g50b	53.9	-29.04	-21.87	36.36	217	l87c	
g75b	49.44	-15.51	-32.31	35.84	244	c20v	
b00r	41.36	1.15	-37.95	37.97	272	c53v	
b25r	28.74	27.19	-46.77	54.1	300	c87v	
b50r	33.74	61.97	-37.81	72.59	329	v68m	
b75r	40.08	64.26	-3.32	64.35	357	m33o	



Ein und Ausgabe: Farbmatisches Drucker-Reflektiv-System FRS15_90a für relativen CIELAB-Bunton $h^* = lab^*h^* = h_{ab}/360 = 0.354$

$u^*_e = j50g$
 lab^*olv^*

Daten für jede Farbe:

lab^*tch^* und lab^*icu^*

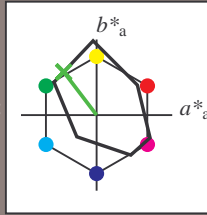
Buntontexte:

$u^*_e = j50g$ $u^*_d = y69l$

Kontrastreduzierungsfaktor:

$c_R = 0.9$

Dreiecks-Helligkeit t^*



FRS15_90a; CIELAB-Daten

u^*_e	$L^*=L^*$	a^*	b^*	C^*_{ab}	h^*_{ab}
O _M	38.8	54.41	35.65	65.05	33
Y _M	82.58	-4.04	92.72	92.8	92
L _M	46.95	-55.83	39.15	68.19	145
C _M	54.62	-25.67	-33.25	42.01	232
V _M	20.01	45.64	-56.27	72.45	309
M _M	40.88	71.17	-34.09	78.92	334
N _M	15.0	0.43	-3.23	3.26	278
W _M	90.0	0.62	-5.76	5.79	276
R _M	39.92	58.74	27.99	65.07	25
J _M	81.26	-2.89	71.56	71.62	92
G _M	52.23	-42.42	13.6	44.55	162
B _M	30.57	1.41	-46.47	46.49	272

Daten für Maximalfarbe (Ma):

$LAB^*LAB^*_{Ma}: 56 -43 57$

$LAB^*LCH^*_{Ma}: 56 72 127$

$lab^*rgb^*_{Ma}: 0.5 1.0 0.0$

$lab^*olv^*_{Ma}: 0.3 1.0 0.0$

Dreiecks-Helligkeit t^*

%Umfang

$u^*_{rel} = 88$

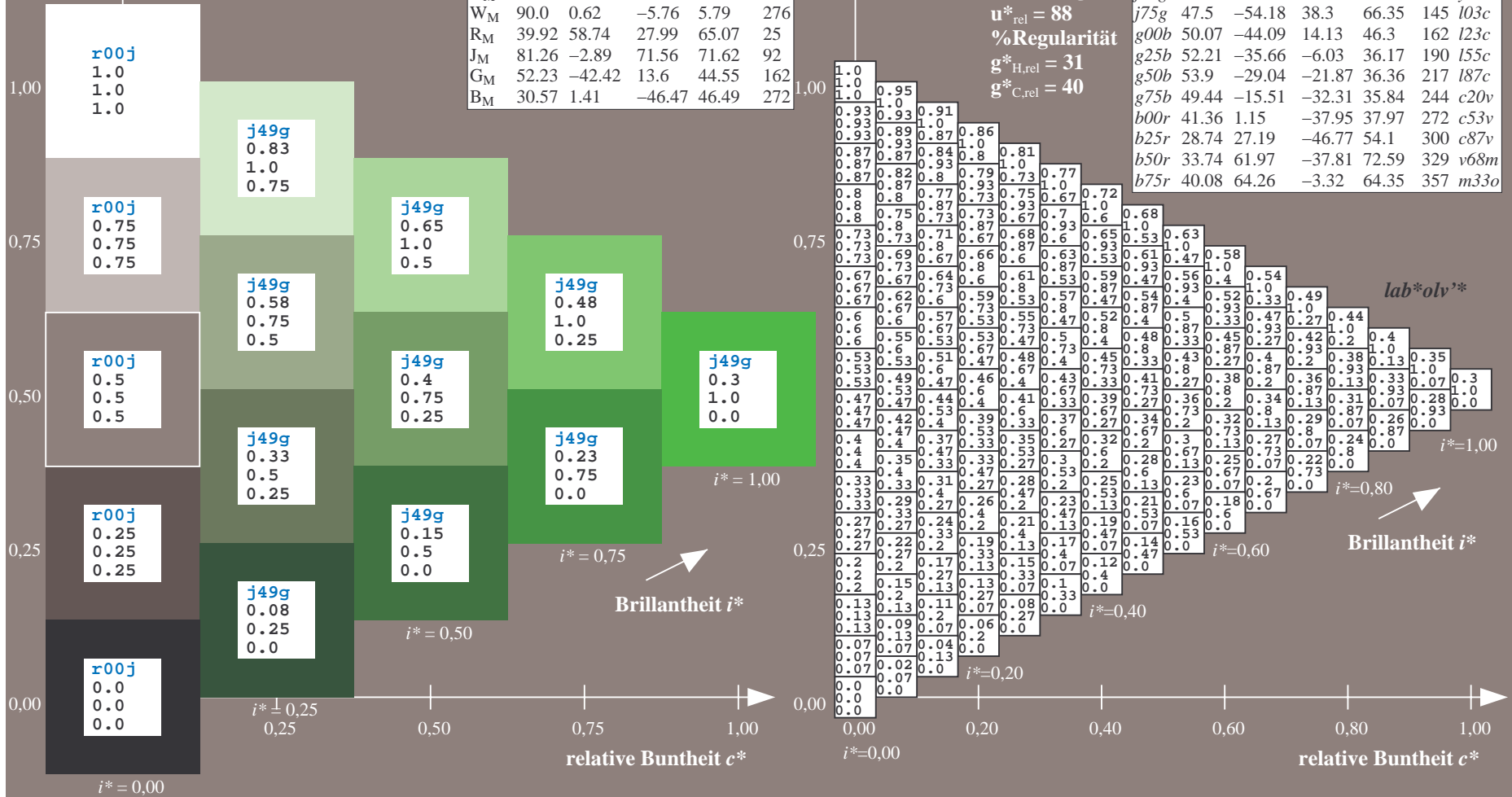
%Regularität

$g^*_{H,rel} = 31$

$g^*_{C,rel} = 40$

FRS15_90a; adaptierte CIELAB-Daten

u^*_e	$L^*=L^*_a$	a^*_a	b^*_a	$C^*_{ab,a}$	$h^*_{ab,a}$	u^*_d
r00j	39.18	56.94	27.13	63.07	25	m81o
r25j	42.41	49.1	44.5	66.26	42	o10y
r50j	52.78	35.22	58.37	68.17	59	o40y
r75j	64.82	19.12	74.47	76.89	76	o69y
j00g	82.06	-3.94	97.52	97.6	92	o98y
j25g	67.26	-26.87	74.67	79.36	110	y34l
j50g	55.83	-43.45	57.11	71.76	127	y69l
j75g	47.5	-54.18	38.3	66.35	145	l03c
g00b	50.07	-44.09	14.13	46.3	162	l23c
g25b	52.21	-35.66	-6.03	36.17	190	l55c
g50b	53.9	-29.04	-21.87	36.36	217	l87c
g75b	49.44	-15.51	-32.31	35.84	244	c20v
b00r	41.36	1.15	-37.95	37.97	272	c53v
b25r	28.74	27.19	-46.77	54.1	300	c87v
b50r	33.74	61.97	-37.81	72.59	329	v68m
b75r	40.08	64.26	-3.32	64.35	357	m33o



Ein und Ausgabe: Farbmatisches Drucker-Reflektiv-System FRS15_90a für relativen CIELAB-Bunton $h^* = lab^*h^* = h_{ab}/360 = 0.402$

$u^*_e = j75g$
 lab^*olv^*

Daten für jede Farbe:

lab^*tch^* und lab^*icu^*

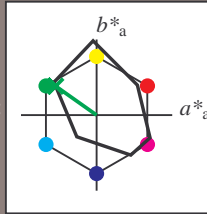
Buntontexte:

$u^*_e = j75g$ $u^*_d = l03c$

Kontrastreduzierungsfaktor:

$c_R = 0.9$

Dreiecks-Helligkeit t^*



FRS15_90a; CIELAB-Daten

	u^*_e	$L^*=L^*$	a^*	b^*	C^*_{ab}	h^*_{ab}
O _M	38.8	54.41	35.65	65.05	33	
Y _M	82.58	-4.04	92.72	92.8	92	
L _M	46.95	-55.83	39.15	68.19	145	
C _M	54.62	-25.67	-33.25	42.01	232	
V _M	20.01	45.64	-56.27	72.45	309	
M _M	40.88	71.17	-34.09	78.92	334	
N _M	15.0	0.43	-3.23	3.26	278	
W _M	90.0	0.62	-5.76	5.79	276	
R _M	39.92	58.74	27.99	65.07	25	
J _M	81.26	-2.89	71.56	71.62	92	
G _M	52.23	-42.42	13.6	44.55	162	
B _M	30.57	1.41	-46.47	46.49	272	

Daten für Maximalfarbe (Ma):

$LAB^*LAB^*_{Ma}: 48 -54 38$

$LAB^*LCH^*_{Ma}: 48 66 144$

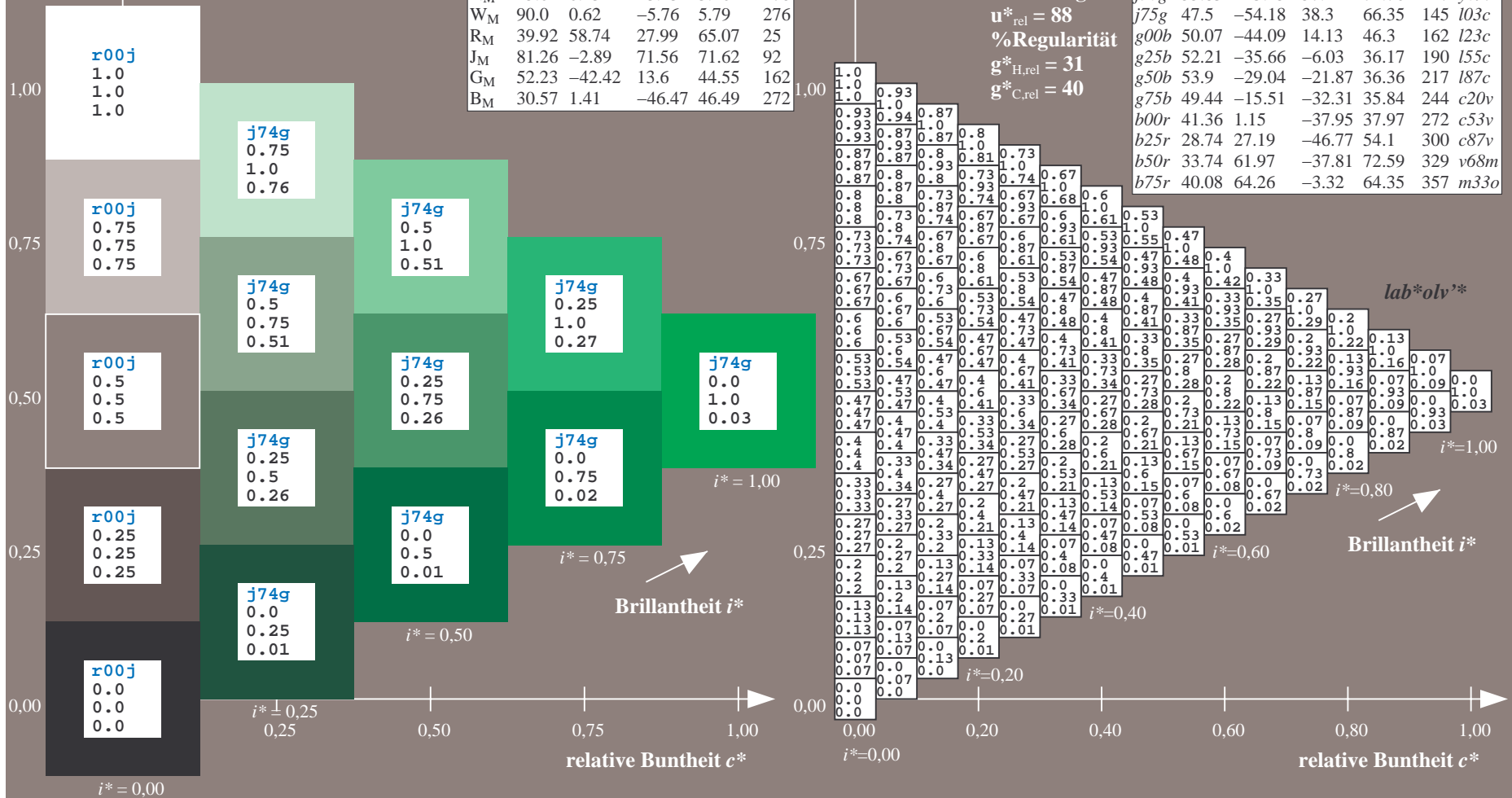
$lab^*rgb^*_{Ma}: 0.25 1.0 0.0$

$lab^*olv^*_{Ma}: 0.0 1.0 0.03$

Dreiecks-Helligkeit t^*

FRS15_90a; adaptierte CIELAB-Daten

	u^*_e	$L^*=L^*_a$	a^*_a	b^*_a	$C^*_{ab,a}$	$h^*_{ab,a}$	u^*_d
r00j	39.18	56.94	27.13	63.07	25	m81o	
r25j	42.41	49.1	44.5	66.26	42	o10y	
r50j	52.78	35.22	58.37	68.17	59	o40y	
r75j	64.82	19.12	74.47	76.89	76	o69y	
j00g	82.06	-3.94	97.52	97.6	92	o98y	
j25g	67.26	-26.87	74.67	79.36	110	y34l	
j50g	55.83	-43.45	57.11	71.76	127	y69l	
j75g	47.5	-54.18	38.3	66.35	145	l03c	
g00b	50.07	-44.09	14.13	46.3	162	l23c	
g25b	52.21	-35.66	-6.03	36.17	190	l55c	
g50b	53.9	-29.04	-21.87	36.36	217	l87c	
g75b	49.44	-15.51	-32.31	35.84	244	c20v	
b00r	41.36	1.15	-37.95	37.97	272	c53v	
b25r	28.74	27.19	-46.77	54.1	300	c87v	
b50r	33.74	61.97	-37.81	72.59	329	v68m	
b75r	40.08	64.26	-3.32	64.35	357	m33o	



Ein und Ausgabe: Farbmatisches Drucker-Reflektiv-System FRS15_90a für relativen CIELAB-Bunton $h^* = lab^*h^* = h_{ab}/360 = 0.451$

$u^*_e = g00b$

Daten für jede Farbe:

lab^*ch^* und lab^*icu^*

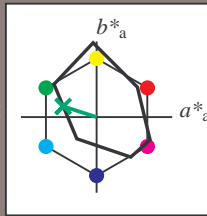
Buntontexte:

$u^*_e = g00b$ $u^*_d = l23c$

Kontrastreduzierungsfaktor:

$c_R = 0.9$

Dreiecks-Helligkeit t^*



FRS15_90a; CIELAB-Daten

	u^*_e	$L^*=L^*$	a^*	b^*	C^*_{ab}	h^*_{ab}
O _M	38.8	54.41	35.65	65.05	33	
Y _M	82.58	-4.04	92.72	92.8	92	
L _M	46.95	-55.83	39.15	68.19	145	
C _M	54.62	-25.67	-33.25	42.01	232	
V _M	20.01	45.64	-56.27	72.45	309	
M _M	40.88	71.17	-34.09	78.92	334	
N _M	15.0	0.43	-3.23	3.26	278	
W _M	90.0	0.62	-5.76	5.79	276	
R _M	39.92	58.74	27.99	65.07	25	
J _M	81.26	-2.89	71.56	71.62	92	
G _M	52.23	-42.42	13.6	44.55	162	
B _M	30.57	1.41	-46.47	46.49	272	

Daten für Maximalfarbe (Ma):

$LAB^*LAB^*_{Ma}: 50 -44 14$

$LAB^*LCH^*_{Ma}: 50 46 162$

$lab^*rgb^*_{Ma}: 0.0 1.0 0.0$

$lab^*olv^*_{Ma}: 0.0 1.0 0.23$

Dreiecks-Helligkeit t^*

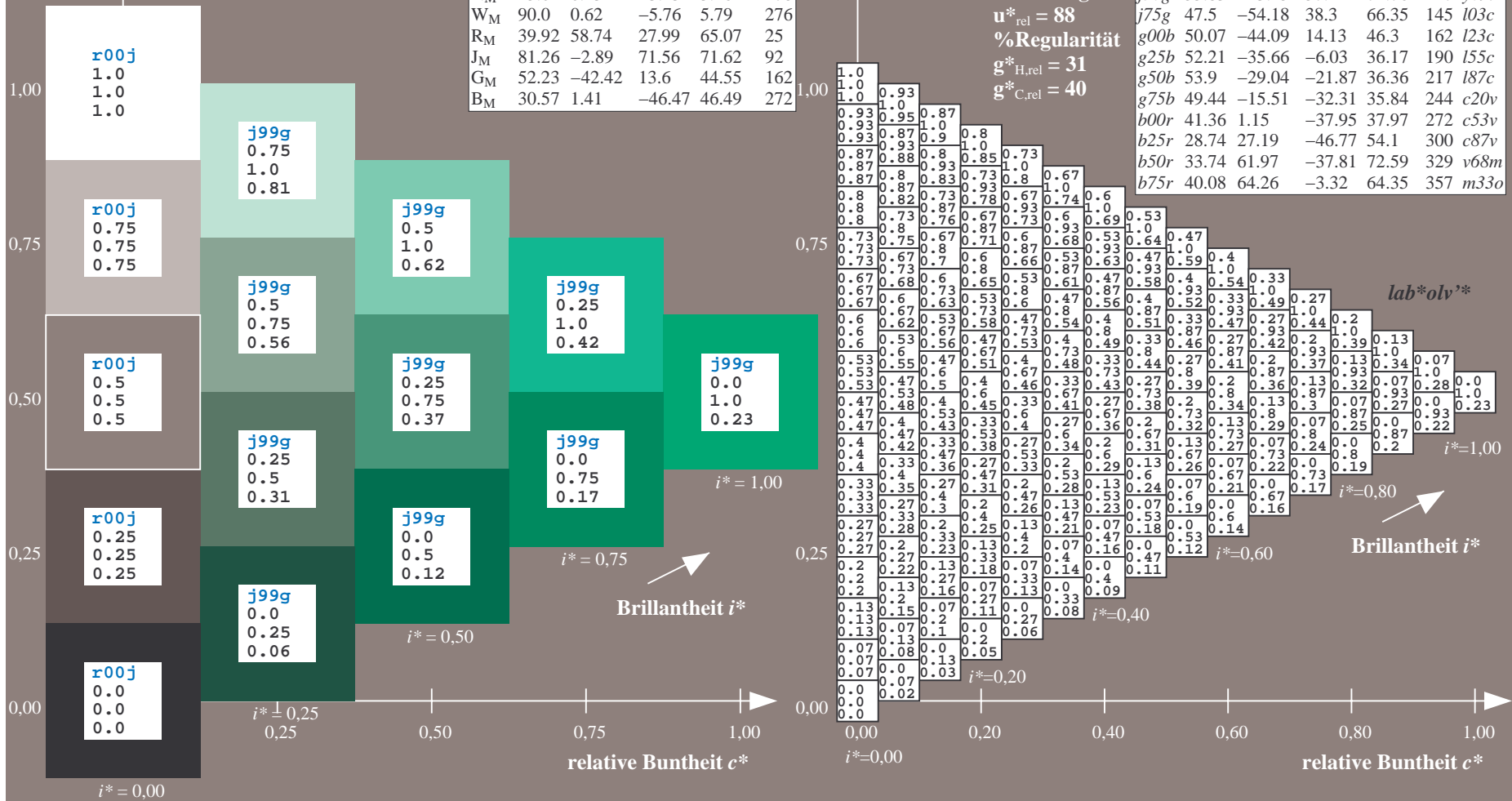
FRS15_90a; adaptierte CIELAB-Daten

	u^*_e	$L^*=L^*_a$	a^*_a	b^*_a	$C^*_{ab,a}$	$h^*_{ab,a}$	u^*_d
r00j	39.18	56.94	27.13	63.07	25	m81o	
r25j	42.41	49.1	44.5	66.26	42	o10y	
r50j	52.78	35.22	58.37	68.17	59	o40y	
r75j	64.82	19.12	74.47	76.89	76	o69y	
j00g	82.06	-3.94	97.52	97.6	92	o98y	
j25g	67.26	-26.87	74.67	79.36	110	y34l	
j50g	55.83	-43.45	57.11	71.76	127	y69l	
j75g	47.5	-54.18	38.3	66.35	145	l03c	
g00b	50.07	-44.09	14.13	46.3	162	l23c	
g25b	52.21	-35.66	-6.03	36.17	190	l55c	
g50b	53.9	-29.04	-21.87	36.36	217	l87c	
g75b	49.44	-15.51	-32.31	35.84	244	c20v	
b00r	41.36	1.15	-37.95	37.97	272	c53v	
b25r	28.74	27.19	-46.77	54.1	300	c87v	
b50r	33.74	61.97	-37.81	72.59	329	v68m	
b75r	40.08	64.26	-3.32	64.35	357	m33o	

lab^*olv^*

Brillantheit i^*

relative Buntheit c^*



Ein und Ausgabe: Farbmatisches Drucker-Reflektiv-System FRS15_90a für relativen CIELAB-Bunton $h^* = lab^*h^* = h_{ab}/360 = 0.527$

$u^*_e = g25b$
 lab^*olv^*

Daten für jede Farbe:

lab^*tch^* und lab^*icu^*

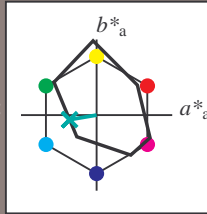
Buntontexte:

$u^*_e = g25b$ $u^*_d = l55c$

Kontrastreduzierungsfaktor:

$c_R = 0.9$

Dreiecks-Helligkeit t^*



FRS15_90a; CIELAB-Daten

	u^*_e	$L^*=L^*_a$	a^*	b^*	C^*_{ab}	h^*_{ab}
O _M	38.8	54.41	35.65	65.05	33	
Y _M	82.58	-4.04	92.72	92.8	92	
L _M	46.95	-55.83	39.15	68.19	145	
C _M	54.62	-25.67	-33.25	42.01	232	
V _M	20.01	45.64	-56.27	72.45	309	
M _M	40.88	71.17	-34.09	78.92	334	
N _M	15.0	0.43	-3.23	3.26	278	
W _M	90.0	0.62	-5.76	5.79	276	
R _M	39.92	58.74	27.99	65.07	25	
J _M	81.26	-2.89	71.56	71.62	92	
G _M	52.23	-42.42	13.6	44.55	162	
B _M	30.57	1.41	-46.47	46.49	272	

Daten für Maximalfarbe (Ma):

$LAB^*LAB^*_{Ma}: 52 -36 -6$

$LAB^*LCH^*_{Ma}: 52 36 189$

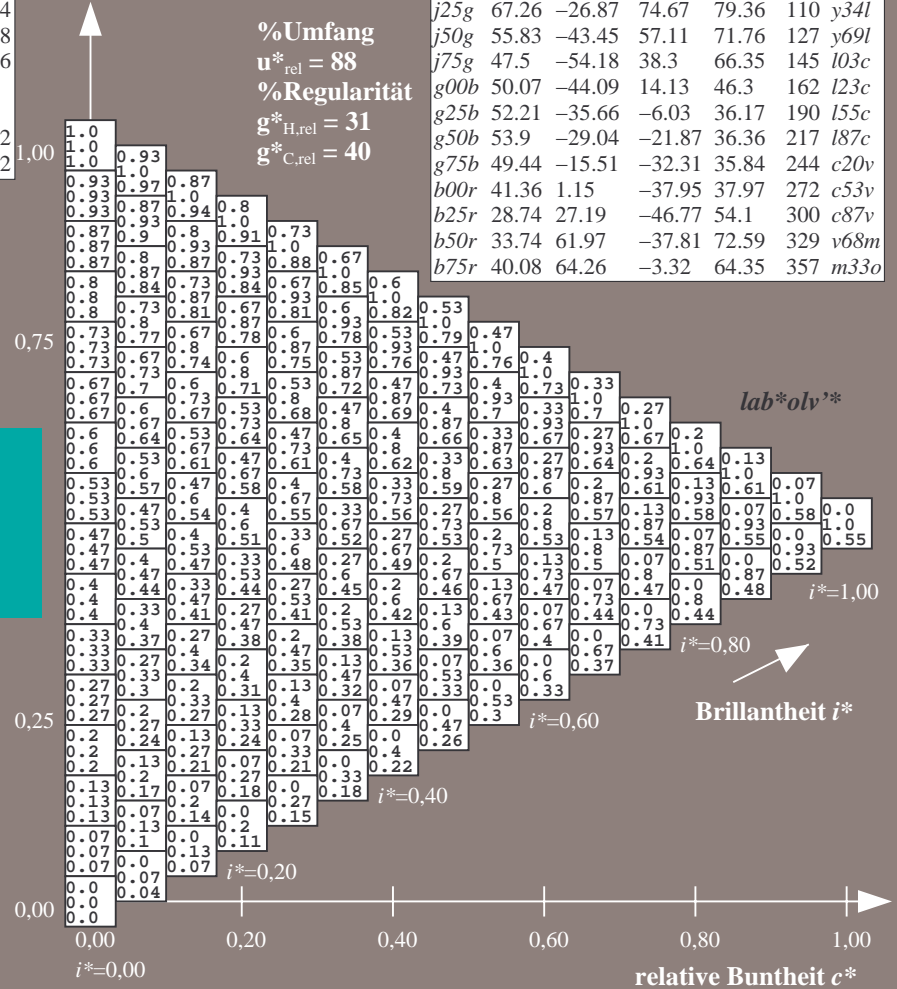
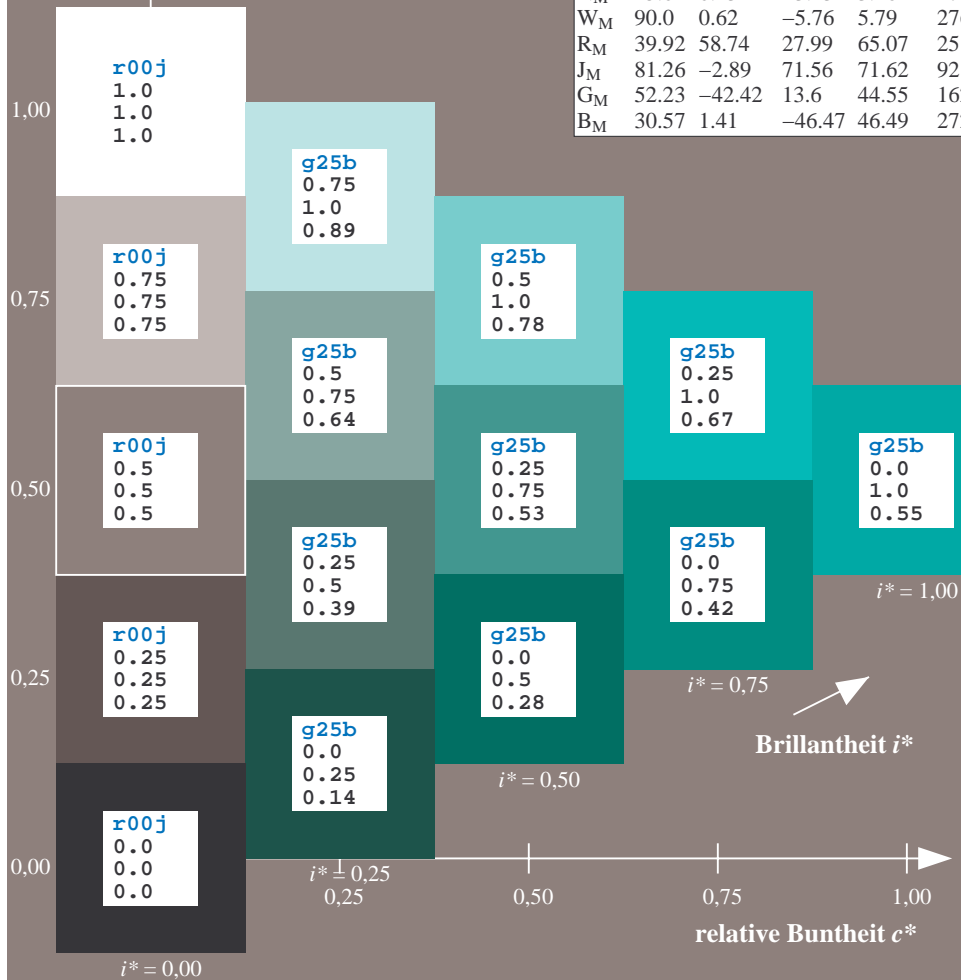
$lab^*rgb^*_{Ma}: 0.0 1.0 0.5$

$lab^*olv^*_{Ma}: 0.0 1.0 0.55$

Dreiecks-Helligkeit t^*

FRS15_90a; adaptierte CIELAB-Daten

	u^*_e	$L^*=L^*_a$	a^*_a	b^*_a	$C^*_{ab,a}$	$h^*_{ab,a}$	u^*_d
r00j	39.18	56.94	27.13	63.07	25	m81o	
r25j	42.41	49.1	44.5	66.26	42	o10y	
r50j	52.78	35.22	58.37	68.17	59	o40y	
r75j	64.82	19.12	74.47	76.89	76	o69y	
j00g	82.06	-3.94	97.52	97.6	92	o98y	
j25g	67.26	-26.87	74.67	79.36	110	y34l	
j50g	55.83	-43.45	57.11	71.76	127	y69l	
j75g	47.5	-54.18	38.3	66.35	145	l03c	
g00b	50.07	-44.09	14.13	46.3	162	l23c	
g25b	52.21	-35.66	-6.03	36.17	190	l55c	
g50b	53.9	-29.04	-21.87	36.36	217	l87c	
g75b	49.44	-15.51	-32.31	35.84	244	c20v	
b00r	41.36	1.15	-37.95	37.97	272	c53v	
b25r	28.74	27.19	-46.77	54.1	300	c87v	
b50r	33.74	61.97	-37.81	72.59	329	v68m	
b75r	40.08	64.26	-3.32	64.35	357	m33o	



%Umfang
 $u^*_{rel} = 88$
%Regularität
 $g^*_{H,rel} = 31$
 $g^*_{C,rel} = 40$

Ein und Ausgabe: Farbmatisches Drucker-Reflektiv-System FRS15_90a für relativen CIELAB-Bunton $h^* = lab^*h^* = h_{ab}/360 = 0.603$

$u^*_e = g50b$
 lab^*olv^*

Daten für jede Farbe:

lab^*tch^* und lab^*icu^*

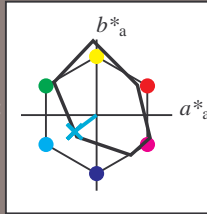
Buntontexte:

$u^*_e = g50b$ $u^*_d = l87c$

Kontrastreduzierungsfaktor:

$c_R = 0.9$

Dreiecks-Helligkeit t^*



FRS15_90a; CIELAB-Daten

	u^*_e	$L^*=L^*_a$	a^*	b^*	C^*_{ab}	h^*_{ab}
O _M	38.8	54.41	35.65	65.05	33	
Y _M	82.58	-4.04	92.72	92.8	92	
L _M	46.95	-55.83	39.15	68.19	145	
C _M	54.62	-25.67	-33.25	42.01	232	
V _M	20.01	45.64	-56.27	72.45	309	
M _M	40.88	71.17	-34.09	78.92	334	
N _M	15.0	0.43	-3.23	3.26	278	
W _M	90.0	0.62	-5.76	5.79	276	
R _M	39.92	58.74	27.99	65.07	25	
J _M	81.26	-2.89	71.56	71.62	92	
G _M	52.23	-42.42	13.6	44.55	162	
B _M	30.57	1.41	-46.47	46.49	272	

Daten für Maximalfarbe (Ma):

$LAB^*LAB^*_{Ma}: 54 -29 -22$

$LAB^*LCH^*_{Ma}: 54 36 216$

$lab^*rgb^*_{Ma}: 0.0 1.0 1.0$

$lab^*olv^*_{Ma}: 0.0 1.0 0.88$

Dreiecks-Helligkeit t^*

%Umfang

$u^*_{rel} = 88$

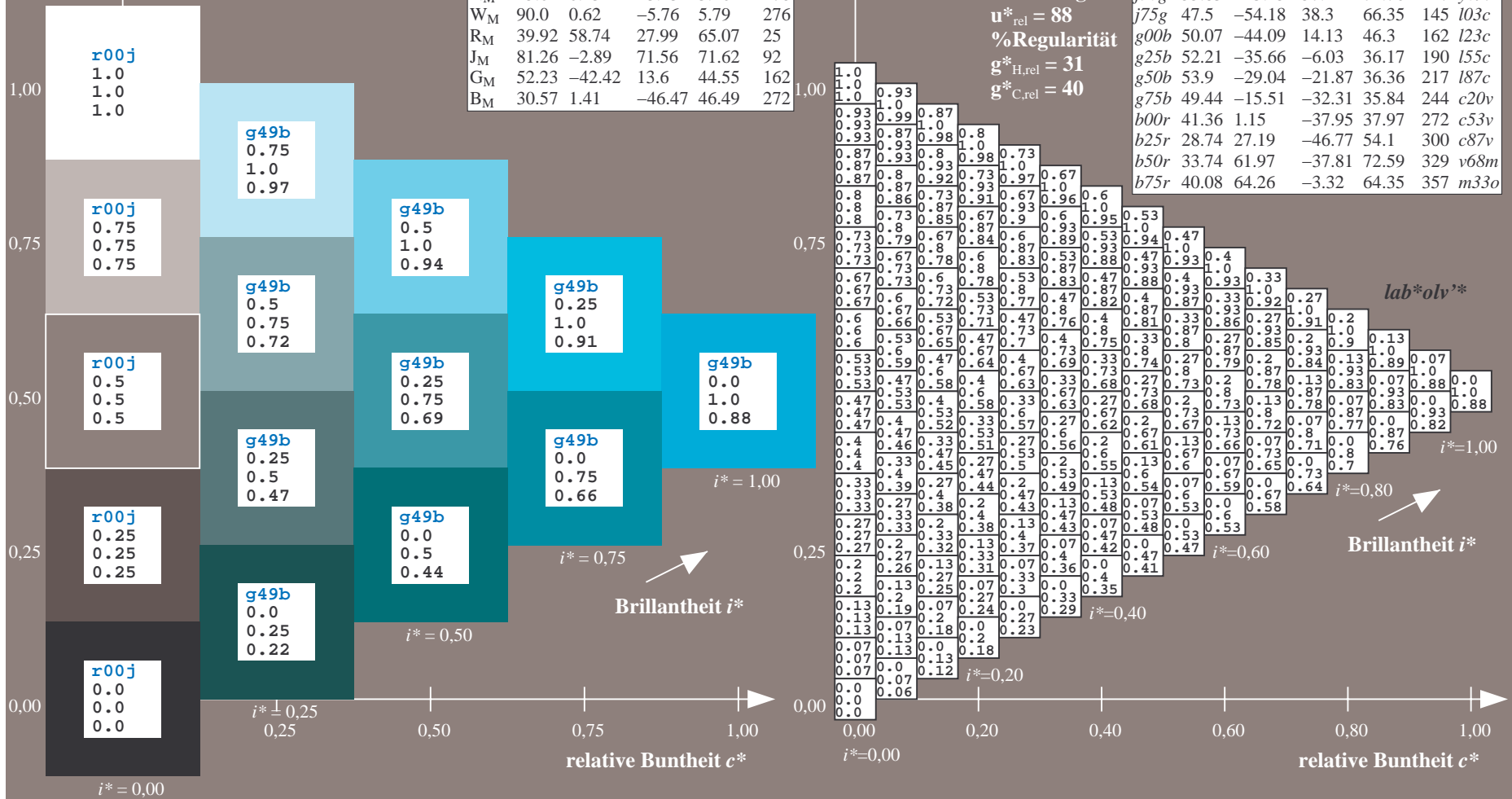
%Regularität

$g^*_{H,rel} = 31$

$g^*_{C,rel} = 40$

FRS15_90a; adaptierte CIELAB-Daten

	u^*_e	$L^*=L^*_a$	a^*_a	b^*_a	$C^*_{ab,a}$	$h^*_{ab,a}$	u^*_d
r00j	39.18	56.94	27.13	63.07	25	m81o	
r25j	42.41	49.1	44.5	66.26	42	o10y	
r50j	52.78	35.22	58.37	68.17	59	o40y	
r75j	64.82	19.12	74.47	76.89	76	o69y	
j00g	82.06	-3.94	97.52	97.6	92	o98y	
j25g	67.26	-26.87	74.67	79.36	110	y34l	
j50g	55.83	-43.45	57.11	71.76	127	y69l	
j75g	47.5	-54.18	38.3	66.35	145	103c	
g00b	50.07	-44.09	14.13	46.3	162	l23c	
g25b	52.21	-35.66	-6.03	36.17	190	l55c	
g50b	53.9	-29.04	-21.87	36.36	217	l87c	
g75b	49.44	-15.51	-32.31	35.84	244	c20v	
b00r	41.36	1.15	-37.95	37.97	272	c53v	
b25r	28.74	27.19	-46.77	54.1	300	c87v	
b50r	33.74	61.97	-37.81	72.59	329	v68m	
b75r	40.08	64.26	-3.32	64.35	357	m33o	



Ein und Ausgabe: Farbmatisches Drucker-Reflektiv-System FRS15_90a für relativen CIELAB-Bunton $h^* = lab^*h^* = h_{ab}/360 = 0.679$

$u^*_e = g75b$

Daten für jede Farbe:

lab^*ch^* und lab^*icu^*

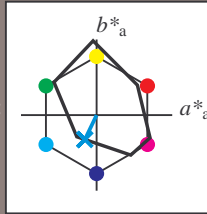
Buntontexte:

$u^*_e = g75b$ $u^*_d = c20v$

Kontrastreduzierungsfaktor:

$c_R = 0.9$

Dreiecks-Helligkeit t^*



FRS15_90a; CIELAB-Daten

	u^*_e	$L^*=L^*_a$	a^*	b^*	C^*_{ab}	h^*_{ab}
O _M	38.8	54.41	35.65	65.05	33	
Y _M	82.58	-4.04	92.72	92.8	92	
L _M	46.95	-55.83	39.15	68.19	145	
C _M	54.62	-25.67	-33.25	42.01	232	
V _M	20.01	45.64	-56.27	72.45	309	
M _M	40.88	71.17	-34.09	78.92	334	
N _M	15.0	0.43	-3.23	3.26	278	
W _M	90.0	0.62	-5.76	5.79	276	
R _M	39.92	58.74	27.99	65.07	25	
J _M	81.26	-2.89	71.56	71.62	92	
G _M	52.23	-42.42	13.6	44.55	162	
B _M	30.57	1.41	-46.47	46.49	272	

Daten für Maximalfarbe (Ma):

$LAB^*LAB^*_{Ma}: 49 -16 -32$

$LAB^*LCH^*_{Ma}: 49 36 244$

$lab^*rgb^*_{Ma}: 0.0 0.5 1.0$

$lab^*olv^*_{Ma}: 0.0 0.8 1.0$

Dreiecks-Helligkeit t^*

FRS15_90a; adaptierte CIELAB-Daten

	u^*_e	$L^*=L^*_a$	a^*_a	b^*_a	$C^*_{ab,a}$	$h^*_{ab,a}$	u^*_d
r00j	39.18	56.94	27.13	63.07	25	m81o	
r25j	42.41	49.1	44.5	66.26	42	o10y	
r50j	52.78	35.22	58.37	68.17	59	o40y	
r75j	64.82	19.12	74.47	76.89	76	o69y	
j00g	82.06	-3.94	97.52	97.6	92	o98y	
j25g	67.26	-26.87	74.67	79.36	110	y34l	
j50g	55.83	-43.45	57.11	71.76	127	y69l	
j75g	47.5	-54.18	38.3	66.35	145	103c	
g00b	50.07	-44.09	14.13	46.3	162	l23c	
g25b	52.21	-35.66	-6.03	36.17	190	l55c	
g50b	53.9	-29.04	-21.87	36.36	217	l87c	
g75b	49.44	-15.51	-32.31	35.84	244	c20v	
b00r	41.36	1.15	-37.95	37.97	272	c53v	
b25r	28.74	27.19	-46.77	54.1	300	c87v	
b50r	33.74	61.97	-37.81	72.59	329	v68m	
b75r	40.08	64.26	-3.32	64.35	357	m33o	

lab^*olv^*

Brillantheit i^*

$i^* = 1.00$

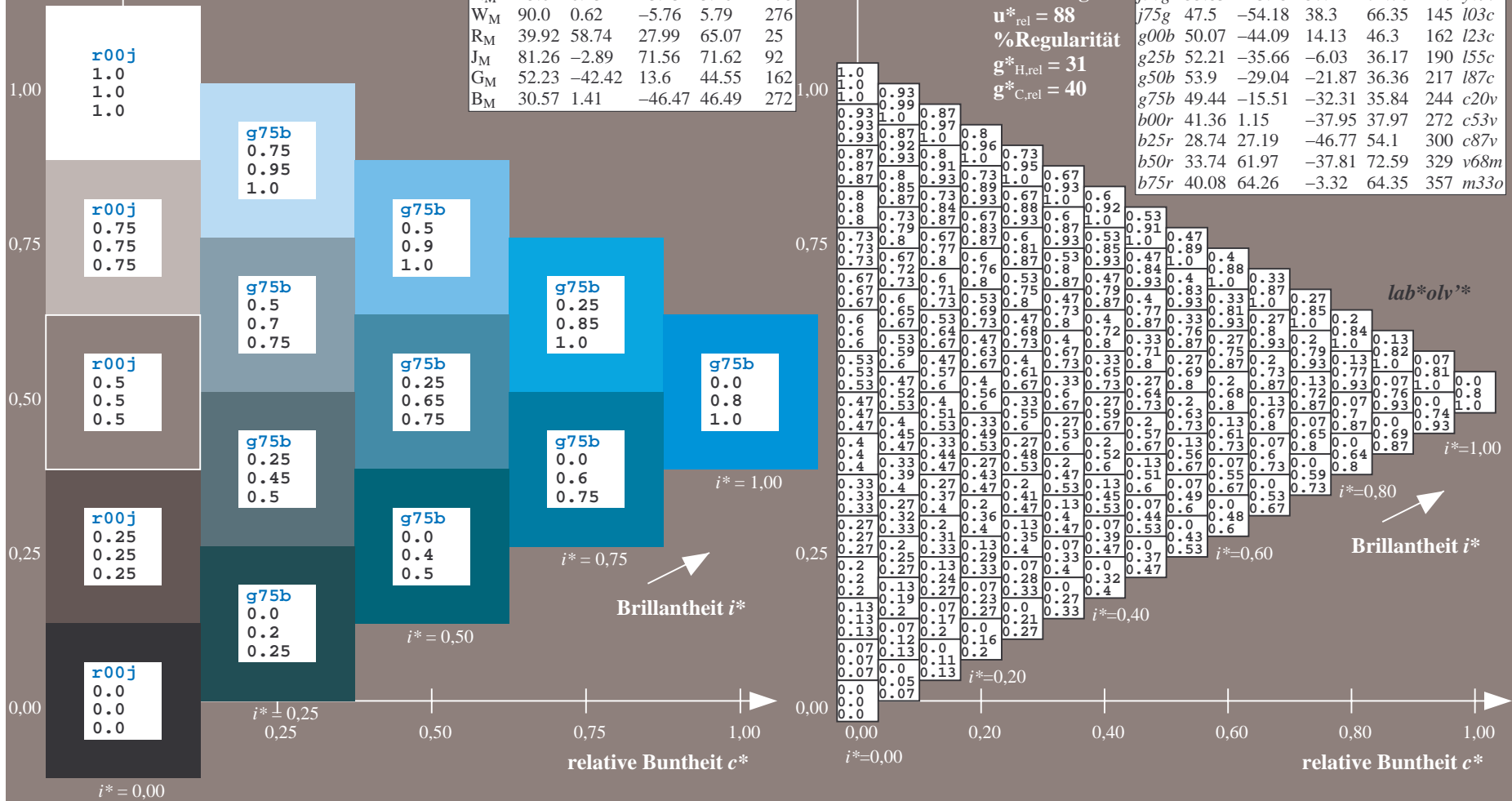
$i^* = 0.80$

$i^* = 0.60$

$i^* = 0.40$

$i^* = 0.20$

$i^* = 0.00$



Ein und Ausgabe: Farbmatisches Drucker-Reflektiv-System FRS15_90a für relativen CIELAB-Bunton $h^* = lab^*h^* = h_{ab}/360 = 0.755$

$u^*_e = b00r$
 lab^*olv^*

Daten für jede Farbe:

lab^*tch^* und lab^*icu^*

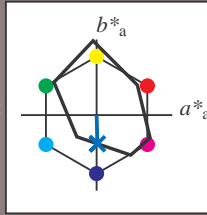
Buntontexte:

$u^*_e = b00r$ $u^*_d = c53v$

Kontrastreduzierungsfaktor:

$c_R = 0.9$

Dreiecks-Helligkeit t^*



FRS15_90a; CIELAB-Daten

	u^*_e	$L^*=L^*_a$	a^*	b^*	C^*_{ab}	h^*_{ab}
O _M	38.8	54.41	35.65	65.05	33	
Y _M	82.58	-4.04	92.72	92.8	92	
L _M	46.95	-55.83	39.15	68.19	145	
C _M	54.62	-25.67	-33.25	42.01	232	
V _M	20.01	45.64	-56.27	72.45	309	
M _M	40.88	71.17	-34.09	78.92	334	
N _M	15.0	0.43	-3.23	3.26	278	
W _M	90.0	0.62	-5.76	5.79	276	
R _M	39.92	58.74	27.99	65.07	25	
J _M	81.26	-2.89	71.56	71.62	92	
G _M	52.23	-42.42	13.6	44.55	162	
B _M	30.57	1.41	-46.47	46.49	272	

Daten für Maximalfarbe (Ma):

$LAB^*LAB^*_{Ma}$: 41 1 -38

$LAB^*LCH^*_{Ma}$: 41 38 271

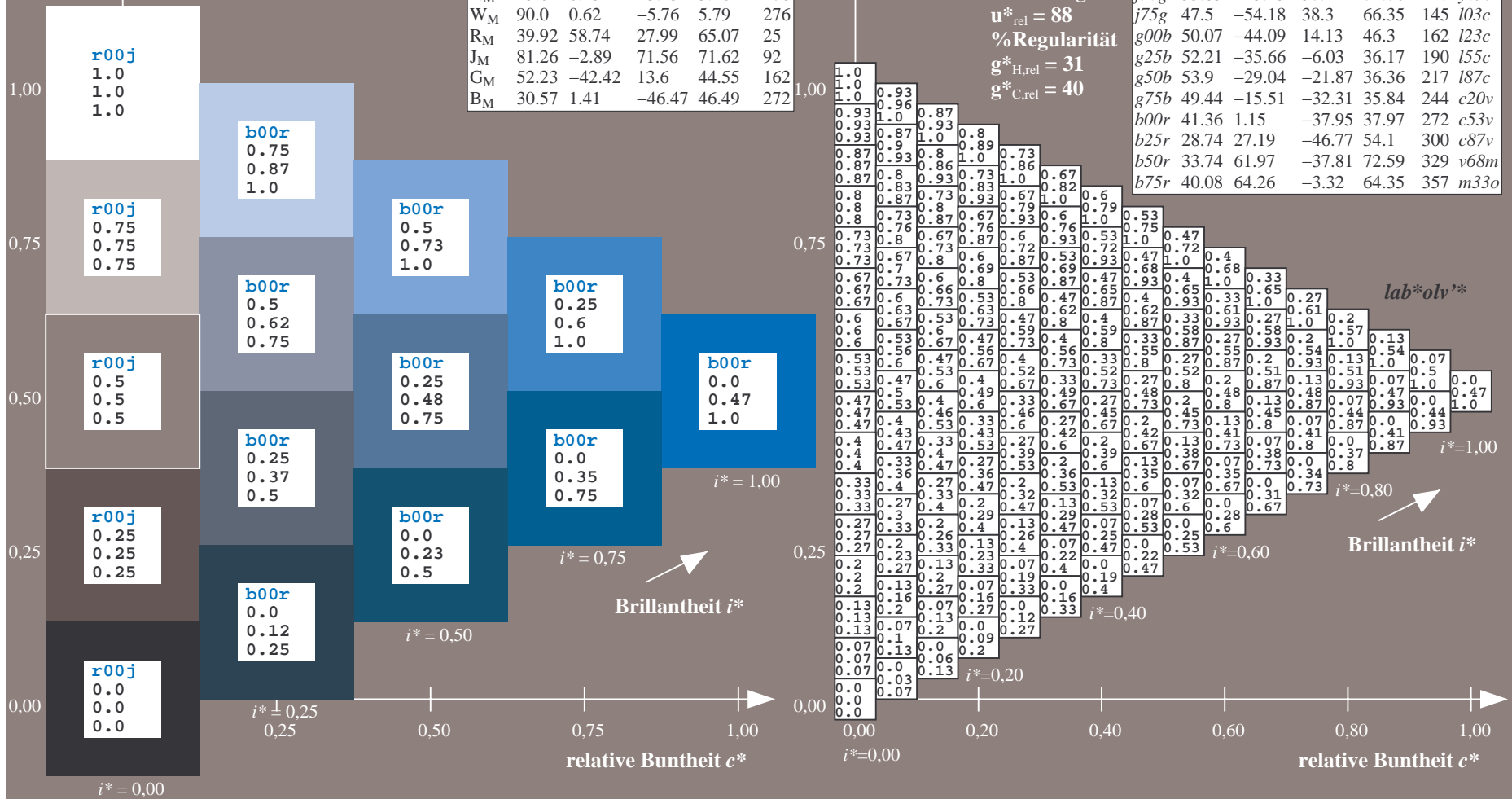
$lab^*rgb^*_{Ma}$: 0.0 0.0 1.0

$lab^*olv^*_{Ma}$: 0.0 0.47 1.0

Dreiecks-Helligkeit t^*

FRS15_90a; adaptierte CIELAB-Daten

	u^*_e	$L^*=L^*_a$	a^*_a	b^*_a	$C^*_{ab,a}$	$h^*_{ab,a}$	u^*_d
r00j	39.18	56.94	27.13	63.07	25	m81o	
r25j	42.41	49.1	44.5	66.26	42	o10y	
r50j	52.78	35.22	58.37	68.17	59	o40y	
r75j	64.82	19.12	74.47	76.89	76	o69y	
j00g	82.06	-3.94	97.52	97.6	92	o98y	
j25g	67.26	-26.87	74.67	79.36	110	y34l	
j50g	55.83	-43.45	57.11	71.76	127	y69l	
j75g	47.5	-54.18	38.3	66.35	145	l03c	
g00b	50.07	-44.09	14.13	46.3	162	l23c	
g25b	52.21	-35.66	-6.03	36.17	190	l55c	
g50b	53.9	-29.04	-21.87	36.36	217	l87c	
g75b	49.44	-15.51	-32.31	35.84	244	c20v	
b00r	41.36	1.15	-37.95	37.97	272	c53v	
b25r	28.74	27.19	-46.77	54.1	300	c87v	
b50r	33.74	61.97	-37.81	72.59	329	v68m	
b75r	40.08	64.26	-3.32	64.35	357	m33o	



Ein und Ausgabe: Farbmatisches Drucker-Reflektiv-System FRS15_90a für relativen CIELAB-Bunton $h^* = lab^*h^* = h_{ab}/360 = 0.834$

$u^*_e = b25r$

Daten für jede Farbe:

lab^*ch^* und lab^*icu^*

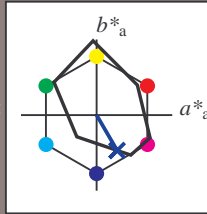
Buntontexte:

$u^*_e = b25r$ $u^*_d = c87v$

Kontrastreduzierungsfaktor:

$c_R = 0.9$

Dreiecks-Helligkeit t^*



FRS15_90a; CIELAB-Daten

u^*_e	$L^*=L^*$	a^*	b^*	C^*_{ab}	h^*_{ab}
O _M	38.8	54.41	35.65	65.05	33
Y _M	82.58	-4.04	92.72	92.8	92
L _M	46.95	-55.83	39.15	68.19	145
C _M	54.62	-25.67	-33.25	42.01	232
V _M	20.01	45.64	-56.27	72.45	309
M _M	40.88	71.17	-34.09	78.92	334
N _M	15.0	0.43	-3.23	3.26	278
W _M	90.0	0.62	-5.76	5.79	276
R _M	39.92	58.74	27.99	65.07	25
J _M	81.26	-2.89	71.56	71.62	92
G _M	52.23	-42.42	13.6	44.55	162
B _M	30.57	1.41	-46.47	46.49	272

Daten für Maximalfarbe (Ma):

$LAB^*LAB^*_{Ma}: 29\ 27\ -47$

$LAB^*LCH^*_{Ma}: 29\ 54\ 300$

$lab^*rgb^*_{Ma}: 0.5\ 0.0\ 1.0$

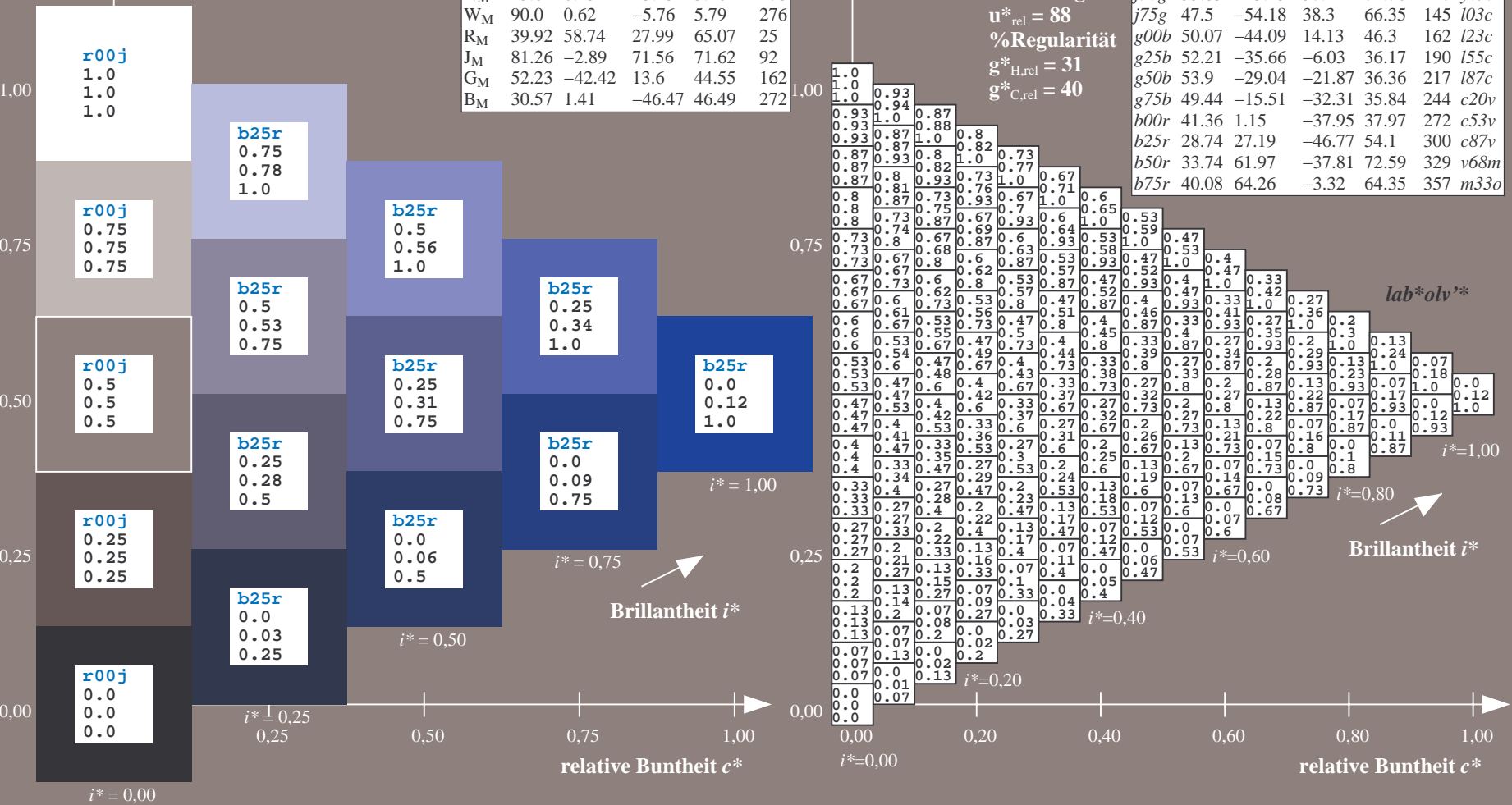
$lab^*olv^*_{Ma}: 0.0\ 0.12\ 1.0$

Dreiecks-Helligkeit t^*

FRS15_90a; adaptierte CIELAB-Daten

u^*_e	$L^*=L^*_a$	a^*_a	b^*_a	$C^*_{ab,a}$	$h^*_{ab,a}$	u^*_d
r00j	39.18	56.94	27.13	63.07	25	m81o
r25j	42.41	49.1	44.5	66.26	42	o10y
r50j	52.78	35.22	58.37	68.17	59	o40y
r75j	64.82	19.12	74.47	76.89	76	o69y
j00g	82.06	-3.94	97.52	97.6	92	o98y
j25g	67.26	-26.87	74.67	79.36	110	y34l
j50g	55.83	-43.45	57.11	71.76	127	y69l
j75g	47.5	-54.18	38.3	66.35	145	l03c
g00b	50.07	-44.09	14.13	46.3	162	l23c
g25b	52.21	-35.66	-6.03	36.17	190	l55c
g50b	53.9	-29.04	-21.87	36.36	217	l87c
g75b	49.44	-15.51	-32.31	35.84	244	c20v
b00r	41.36	1.15	-37.95	37.97	272	c53v
b25r	28.74	27.19	-46.77	54.1	300	c87v
b50r	33.74	61.97	-37.81	72.59	329	v68m
b75r	40.08	64.26	-3.32	64.35	357	m33o

lab^*olv^*



%Umfang

$u^*_{rel} = 88$

%Regularität

$g^*_{H,rel} = 31$

$g^*_{C,rel} = 40$

Ein und Ausgabe: Farbmatisches Drucker-Reflektiv-System FRS15_90a für relativen CIELAB-Bunton $h^* = lab^*h^* = h_{ab}/360 = 0.913$

$u^*_e = b50r$
 lab^*olv^*

Daten für jede Farbe:

lab^*tch^* und lab^*icu^*

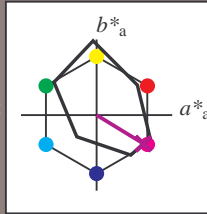
Buntontexte:

$u^*_e = b50r$ $u^*_d = v68m$

Kontrastreduzierungsfaktor:

$c_R = 0.9$

Dreiecks-Helligkeit t^*



FRS15_90a; CIELAB-Daten

	u^*_e	$L^*=L^*$	a^*	b^*	C^*_{ab}	h^*_{ab}
O _M	38.8	54.41	35.65	65.05	33	
Y _M	82.58	-4.04	92.72	92.8	92	
L _M	46.95	-55.83	39.15	68.19	145	
C _M	54.62	-25.67	-33.25	42.01	232	
V _M	20.01	45.64	-56.27	72.45	309	
M _M	40.88	71.17	-34.09	78.92	334	
N _M	15.0	0.43	-3.23	3.26	278	
W _M	90.0	0.62	-5.76	5.79	276	
R _M	39.92	58.74	27.99	65.07	25	
J _M	81.26	-2.89	71.56	71.62	92	
G _M	52.23	-42.42	13.6	44.55	162	
B _M	30.57	1.41	-46.47	46.49	272	

Daten für Maximalfarbe (Ma):

$LAB^*LAB^*_{Ma}$: 34 62 -38

$LAB^*LCH^*_{Ma}$: 34 73 328

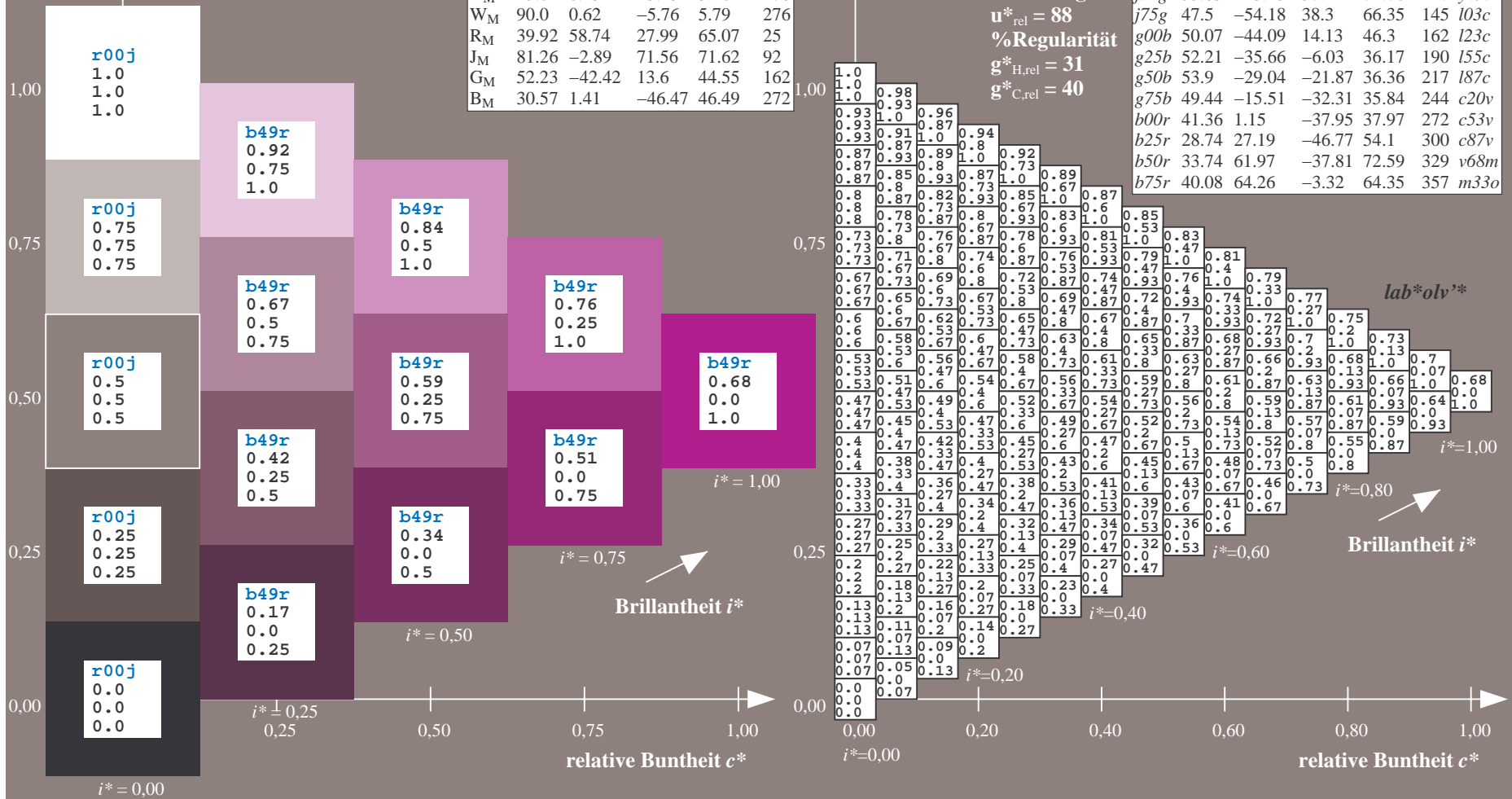
$lab^*rgb^*_{Ma}$: 1.0 0.0 1.0

$lab^*olv^*_{Ma}$: 0.68 0.0 1.0

Dreiecks-Helligkeit t^*

FRS15_90a; adaptierte CIELAB-Daten

	u^*_e	$L^*=L^*_a$	a^*_a	b^*_a	$C^*_{ab,a}$	$h^*_{ab,a}$	u^*_d
r00j	39.18	56.94	27.13	63.07	25	m81o	
r25j	42.41	49.1	44.5	66.26	42	o10y	
r50j	52.78	35.22	58.37	68.17	59	o40y	
r75j	64.82	19.12	74.47	76.89	76	o69y	
j00g	82.06	-3.94	97.52	97.6	92	o98y	
j25g	67.26	-26.87	74.67	79.36	110	y34l	
j50g	55.83	-43.45	57.11	71.76	127	y69l	
j75g	47.5	-54.18	38.3	66.35	145	l03c	
g00b	50.07	-44.09	14.13	46.3	162	l23c	
g25b	52.21	-35.66	-6.03	36.17	190	l55c	
g50b	53.9	-29.04	-21.87	36.36	217	l87c	
g75b	49.44	-15.51	-32.31	35.84	244	c20v	
b00r	41.36	1.15	-37.95	37.97	272	c53v	
b25r	28.74	27.19	-46.77	54.1	300	c87v	
b50r	33.74	61.97	-37.81	72.59	329	v68m	
b75r	40.08	64.26	-3.32	64.35	357	m33o	



Ein und Ausgabe: Farbmatisches Drucker-Reflektiv-System FRS15_90a für relativen CIELAB-Bunton $h^* = \text{lab}^*h^* = h_{ab}/360 = 0.992$

$u^*_e = b75r$

Daten für jede Farbe:

lab^*tch^* und lab^*icu^*

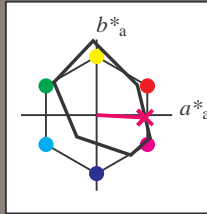
Buntontexte:

$u^*_e = b75r$ $u^*_d = m33o$

Kontrastreduzierungsfaktor:

$c_R = 0.9$

Dreiecks-Helligkeit t^*



FRS15_90a; CIELAB-Daten

	u^*_e	$L^*=L^*_a$	a^*	b^*	C^*_{ab}	h^*_{ab}
O _M	38.8	54.41	35.65	65.05	33	
Y _M	82.58	-4.04	92.72	92.8	92	
L _M	46.95	-55.83	39.15	68.19	145	
C _M	54.62	-25.67	-33.25	42.01	232	
V _M	20.01	45.64	-56.27	72.45	309	
M _M	40.88	71.17	-34.09	78.92	334	
N _M	15.0	0.43	-3.23	3.26	278	
W _M	90.0	0.62	-5.76	5.79	276	
R _M	39.92	58.74	27.99	65.07	25	
J _M	81.26	-2.89	71.56	71.62	92	
G _M	52.23	-42.42	13.6	44.55	162	
B _M	30.57	1.41	-46.47	46.49	272	

Daten für Maximalfarbe (Ma):

$\text{LAB}^*\text{LAB}^*_{Ma}: 40 \ 64 \ -3$

$\text{LAB}^*\text{LCH}^*_{Ma}: 40 \ 64 \ 357$

$\text{lab}^*rgb^*_{Ma}: 1.0 \ 0.0 \ 0.5$

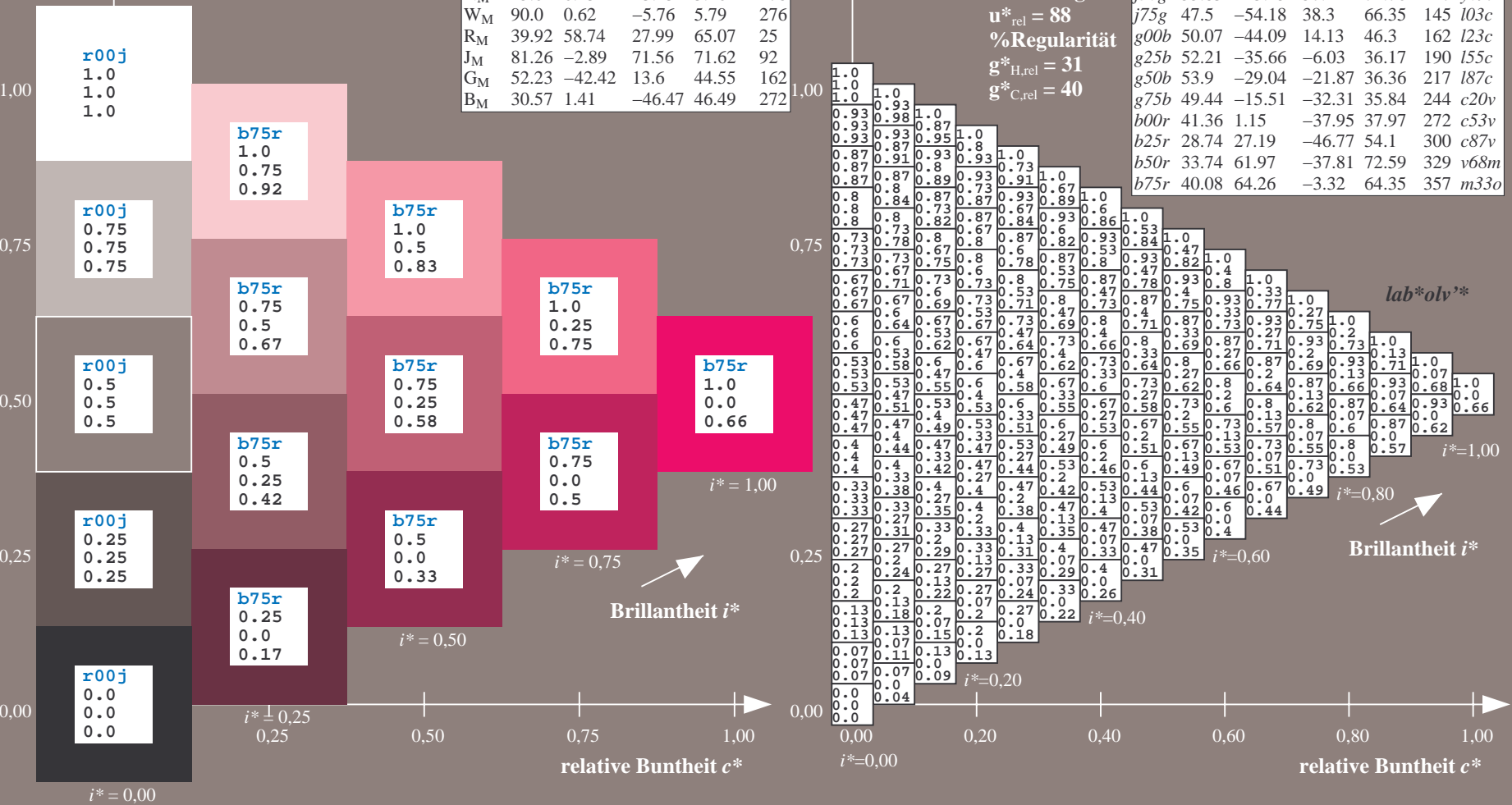
$\text{lab}^*olv^*_{Ma}: 1.0 \ 0.0 \ 0.66$

Dreiecks-Helligkeit t^*

FRS15_90a; adaptierte CIELAB-Daten

	u^*_e	$L^*=L^*_a$	a^*_a	b^*_a	$C^*_{ab,a}$	$h^*_{ab,a}$	u^*_d
r00j	39.18	56.94	27.13	63.07	25	m81o	
r25j	42.41	49.1	44.5	66.26	42	o10y	
r50j	52.78	35.22	58.37	68.17	59	o40y	
r75j	64.82	19.12	74.47	76.89	76	o69y	
j00g	82.06	-3.94	97.52	97.6	92	o98y	
j25g	67.26	-26.87	74.67	79.36	110	y34l	
j50g	55.83	-43.45	57.11	71.76	127	y69l	
j75g	47.5	-54.18	38.3	66.35	145	103c	
g00b	50.07	-44.09	14.13	46.3	162	l23c	
g25b	52.21	-35.66	-6.03	36.17	190	l55c	
g50b	53.9	-29.04	-21.87	36.36	217	l87c	
g75b	49.44	-15.51	-32.31	35.84	244	c20v	
b00r	41.36	1.15	-37.95	37.97	272	c53v	
b25r	28.74	27.19	-46.77	54.1	300	c87v	
b50r	33.74	61.97	-37.81	72.59	329	v68m	
b75r	40.08	64.26	-3.32	64.35	357	m33o	

lab^*olv^*



Ein und Ausgabe:
 Farbmetrisches Drucker-Reflektiv-System FRS15_90a

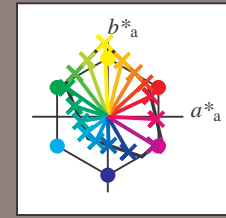
Daten für jede Farbe:
 u^*_e und Nummer $Nr. = 00 \dots 15$

Elementar-Bunttextext:
 $u^*_e = 16$ Bunttoene $r00j, r25j, \dots, b75r$

Kontrastreduzierungsfaktor:
 $c_R = 0.9$

FRS15_90a; adaptierte CIELAB-Daten

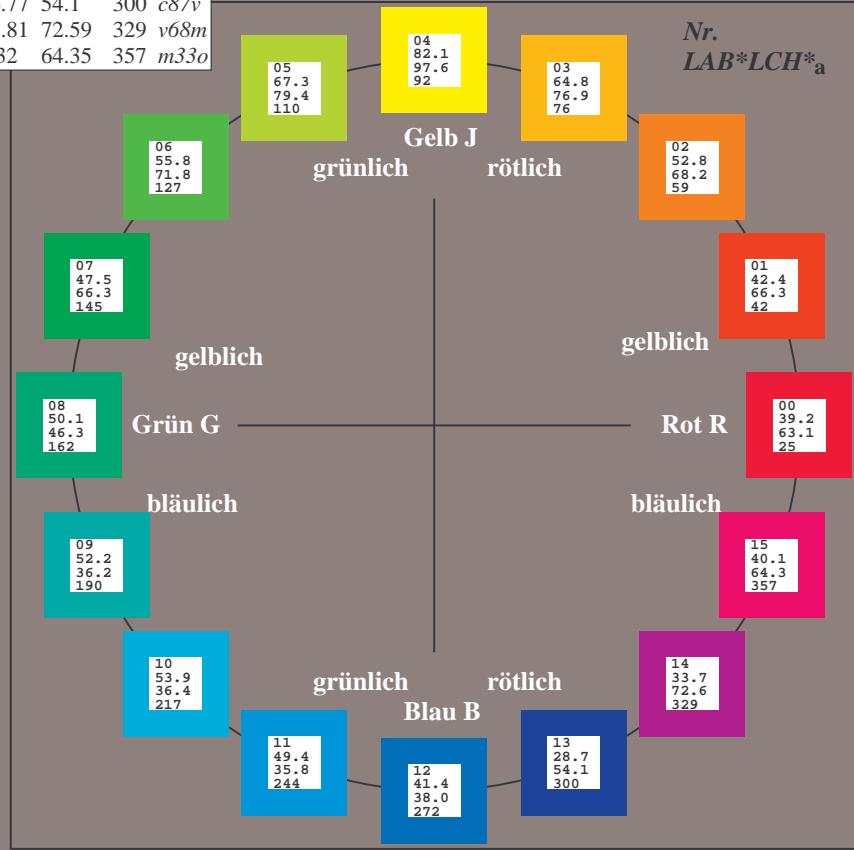
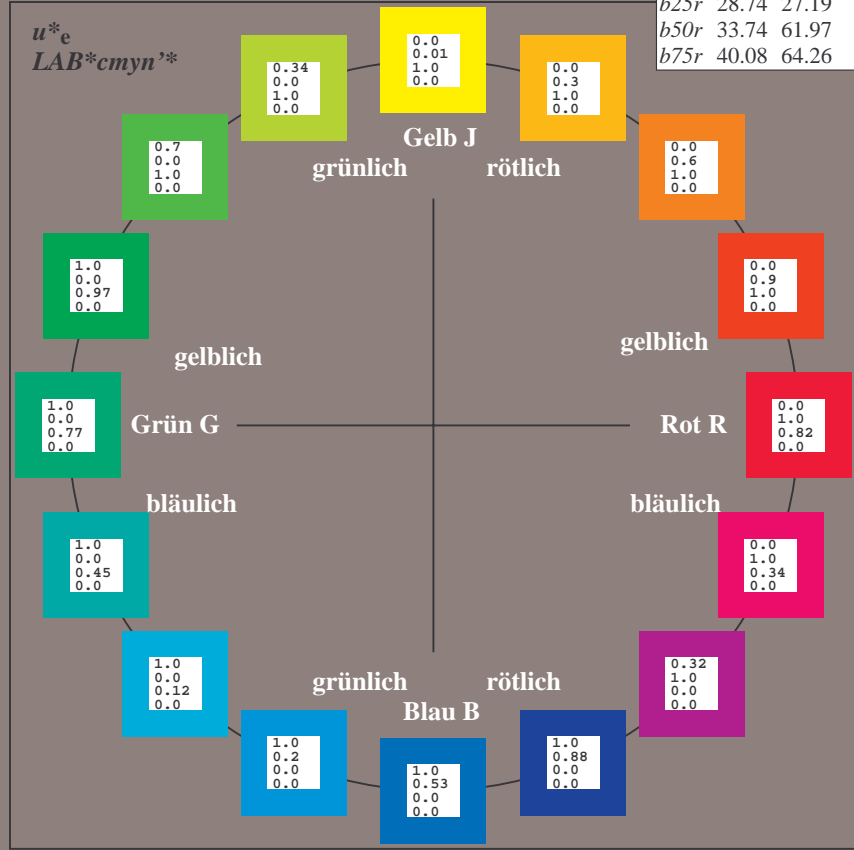
u^*_e	$L^*=L^*_a$	a^*_a	b^*_a	$C^*_{ab,a}$	$h^*_{ab,a}$	u^*_d
r00j	39.18	56.94	27.13	63.07	25	m81o
r25j	42.41	49.1	44.5	66.26	42	o10y
r50j	52.78	35.22	58.37	68.17	59	o40y
r75j	64.82	19.12	74.47	76.89	76	o69y
j00g	82.06	-3.94	97.52	97.6	92	o98y
j25g	67.26	-26.87	74.67	79.36	110	y34l
j50g	55.83	-43.45	57.11	71.76	127	y69l
j75g	47.5	-54.18	38.3	66.35	145	l03c
g00b	50.07	-44.09	14.13	46.3	162	l23c
g25b	52.21	-35.66	-6.03	36.17	190	l55c
g50b	53.9	-29.04	-21.87	36.36	217	l87c
g75b	49.44	-15.51	-32.31	35.84	244	c20v
b00r	41.36	1.15	-37.95	37.97	272	c53v
b25r	28.74	27.19	-46.77	54.1	300	c87v
b50r	33.74	61.97	-37.81	72.59	329	v68m
b75r	40.08	64.26	-3.32	64.35	357	m33o



%Umfang
 $u^*_{rel} = 88$
 %Regularität
 $g^*_{H,rel} = 31$
 $g^*_{C,rel} = 40$

FRS15_90a; CIELAB-Daten

Name	$L^*=L^*$	a^*	b^*	C^*_{ab}	h^*_{ab}
O _M	38.8	54.41	35.65	65.05	33
Y _M	82.58	-4.04	92.72	92.8	92
L _M	46.95	-55.83	39.15	68.19	145
C _M	54.62	-25.67	-33.25	42.01	232
V _M	20.01	45.64	-56.27	72.45	309
M _M	40.88	71.17	-34.09	78.92	334
N _M	15.0	0.43	-3.23	3.26	278
W _M	90.0	0.62	-5.76	5.79	276
R _{CIE}	39.92	58.74	27.99	65.07	25
J _{CIE}	81.26	-2.89	71.56	71.62	92
G _{CIE}	52.23	-42.42	13.6	44.55	162
B _{CIE}	30.57	1.41	-46.47	46.49	272



Ein und Ausgabe: Farbmatisches Drucker-Reflektiv-System FRS15_90a für relativen CIELAB-Bunton $h^* = lab^*h^* = h_{ab}/360 = 0.071$

$u^*_e = r00j$
 $LAB^*cmy^n'^*$

Daten für jede Farbe:

lab^*tch^* und lab^*icu^*

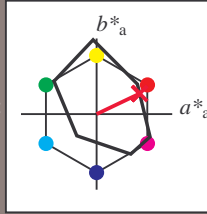
Buntontexte:

$u^*_e = r00j$ $u^*_d = m81o$

Kontrastreduzierungsfaktor:

$c_R = 0.9$

Dreiecks-Helligkeit t^*



FRS15_90a; CIELAB-Daten

	u^*_e	$L^*=L^*$	a^*	b^*	C^*_{ab}	h^*_{ab}
O _M	38.8	54.41	35.65	65.05	33	
Y _M	82.58	-4.04	92.72	92.8	92	
L _M	46.95	-55.83	39.15	68.19	145	
C _M	54.62	-25.67	-33.25	42.01	232	
V _M	20.01	45.64	-56.27	72.45	309	
M _M	40.88	71.17	-34.09	78.92	334	
N _M	15.0	0.43	-3.23	3.26	278	
W _M	90.0	0.62	-5.76	5.79	276	
R _M	39.92	58.74	27.99	65.07	25	
J _M	81.26	-2.89	71.56	71.62	92	
G _M	52.23	-42.42	13.6	44.55	162	
B _M	30.57	1.41	-46.47	46.49	272	

Daten für Maximalfarbe (Ma):

$LAB^*LAB^*_{Ma}$: 39 57 27

$LAB^*LCH^*_{Ma}$: 39 63 25

$lab^*rgb^*_{Ma}$: 1.0 0.0 0.0

$lab^*olv^*_{Ma}$: 1.0 0.0 0.18

Dreiecks-Helligkeit t^*

%Umfang

$u^*_{rel} = 88$

%Regularität

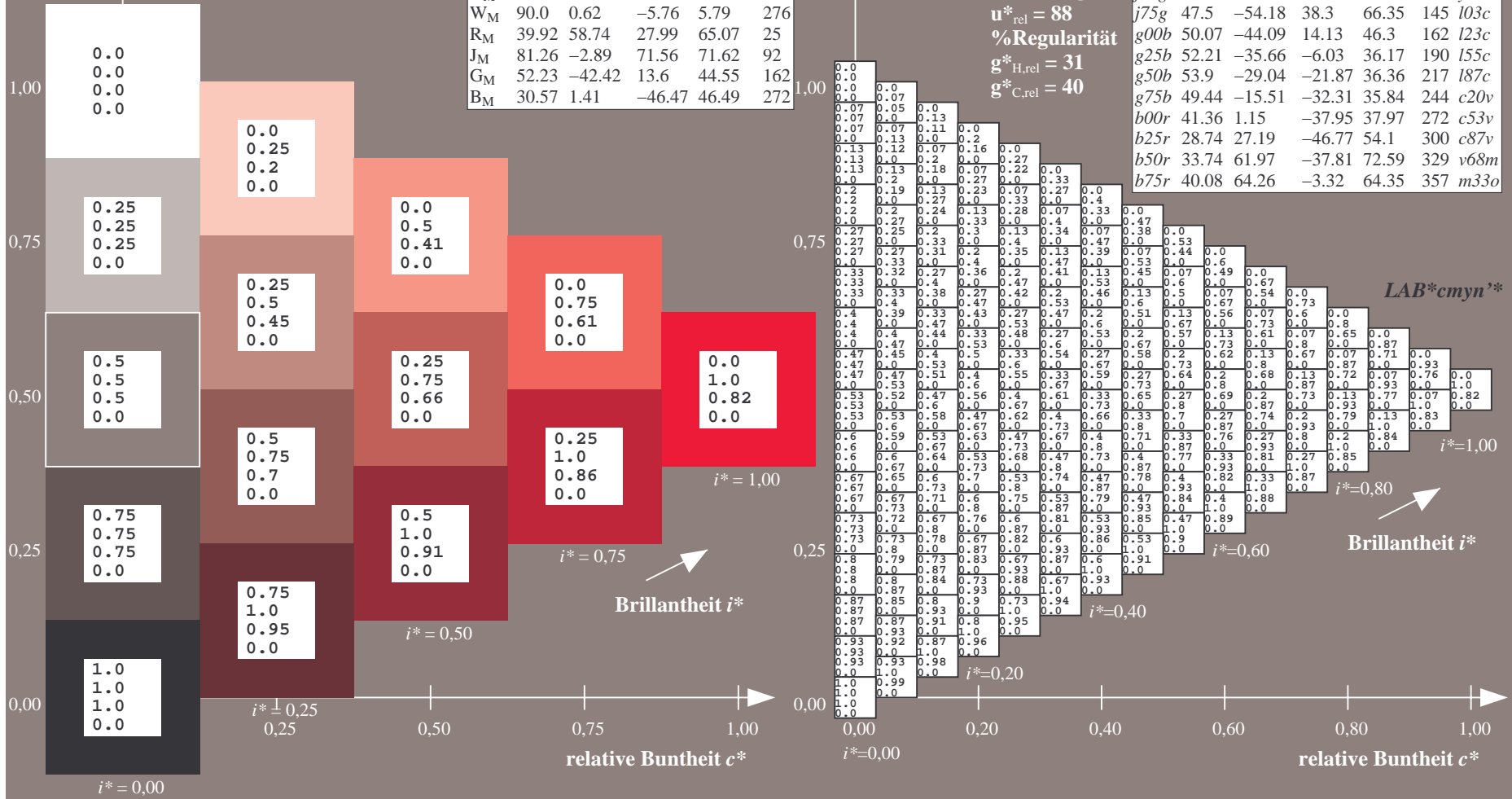
$g^*_{H,rel} = 31$

$g^*_{C,rel} = 40$

FRS15_90a; adaptierte CIELAB-Daten

	u^*_e	$L^*=L^*_a$	a^*_a	b^*_a	$C^*_{ab,a}$	$h^*_{ab,a}$	u^*_d
r00j	39.18	56.94	27.13	63.07	25	m81o	
r25j	42.41	49.1	44.5	66.26	42	o10y	
r50j	52.78	35.22	58.37	68.17	59	o40y	
r75j	64.82	19.12	74.47	76.89	76	o69y	
j00g	82.06	-3.94	97.52	97.6	92	o98y	
j25g	67.26	-26.87	74.67	79.36	110	y34l	
j50g	55.83	-43.45	57.11	71.76	127	y69l	
j75g	47.5	-54.18	38.3	66.35	145	l03c	
g00b	50.07	-44.09	14.13	46.3	162	l23c	
g25b	52.21	-35.66	-6.03	36.17	190	l55c	
g50b	53.9	-29.04	-21.87	36.36	217	l87c	
g75b	49.44	-15.51	-32.31	35.84	244	c20v	
b00r	41.36	1.15	-37.95	37.97	272	c53v	
b25r	28.74	27.19	-46.77	54.1	300	c87v	
b50r	33.74	61.97	-37.81	72.59	329	v68m	
b75r	40.08	64.26	-3.32	64.35	357	m33o	

$LAB^*cmy^n'^*$



Ein und Ausgabe: Farbmatisches Drucker-Reflektiv-System FRS15_90a für relativen CIELAB-Bunton $h^* = lab^*h^* = h_{ab}/360 = 0.117$

$u^*_e = r25j$
 $LAB^*cmy^n'^*$

Daten für jede Farbe:

lab^*tch^* und lab^*icu^*

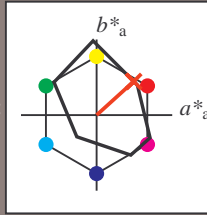
Buntontexte:

$u^*_e = r25j$ $u^*_d = o10y$

Kontrastreduzierungsfaktor:

$c_R = 0.9$

Dreiecks-Helligkeit t^*



FRS15_90a; CIELAB-Daten						
	u^*_e	$L^*=L^*_a$	a^*	b^*	C^*_{ab}	h^*_{ab}
O _M	38.8	54.41	35.65	65.05	33	
Y _M	82.58	-4.04	92.72	92.8	92	
L _M	46.95	-55.83	39.15	68.19	145	
C _M	54.62	-25.67	-33.25	42.01	232	
V _M	20.01	45.64	-56.27	72.45	309	
M _M	40.88	71.17	-34.09	78.92	334	
N _M	15.0	0.43	-3.23	3.26	278	
W _M	90.0	0.62	-5.76	5.79	276	
R _M	39.92	58.74	27.99	65.07	25	
J _M	81.26	-2.89	71.56	71.62	92	
G _M	52.23	-42.42	13.6	44.55	162	
B _M	30.57	1.41	-46.47	46.49	272	

Daten für Maximalfarbe (Ma):

$LAB^*LAB^*_{Ma}$: 42 49 44

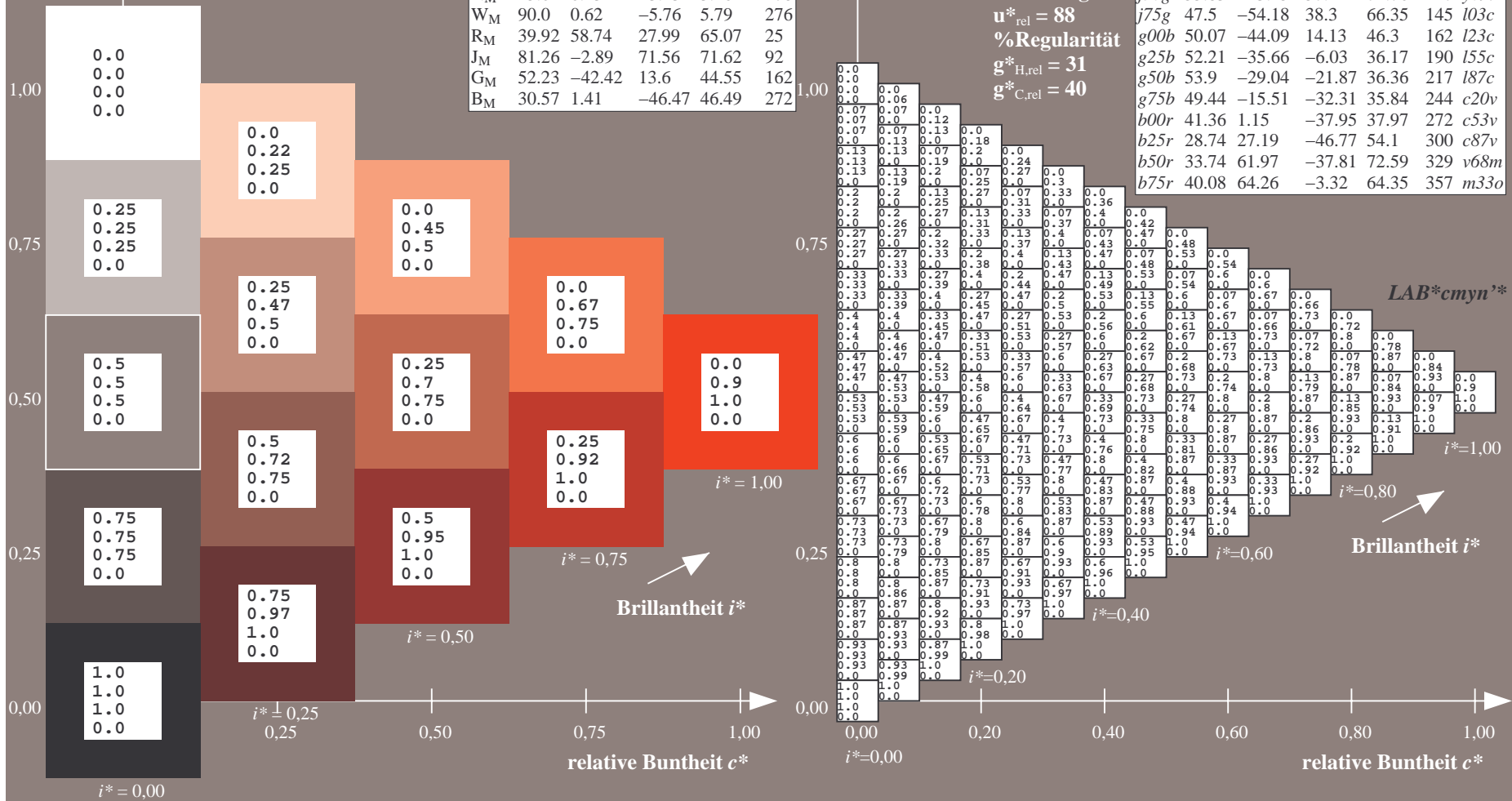
$LAB^*LCH^*_{Ma}$: 42 66 42

$lab^*rgb^*_{Ma}$: 1.0 0.25 0.0

$lab^*olv^*_{Ma}$: 1.0 0.1 0.0

Dreiecks-Helligkeit t^*

FRS15_90a; adaptierte CIELAB-Daten							
	u^*_e	$L^*=L^*_a$	a^*_a	b^*_a	$C^*_{ab,a}$	$h^*_{ab,a}$	u^*_d
r00j	39.18	56.94	27.13	63.07	25	m81o	
r25j	42.41	49.1	44.5	66.26	42	o10y	
r50j	52.78	35.22	58.37	68.17	59	o40y	
r75j	64.82	19.12	74.47	76.89	76	o69y	
j00g	82.06	-3.94	97.52	97.6	92	o98y	
j25g	67.26	-26.87	74.67	79.36	110	y34l	
j50g	55.83	-43.45	57.11	71.76	127	y69l	
j75g	47.5	-54.18	38.3	66.35	145	l03c	
g00b	50.07	-44.09	14.13	46.3	162	l23c	
g25b	52.21	-35.66	-6.03	36.17	190	l55c	
g50b	53.9	-29.04	-21.87	36.36	217	l87c	
g75b	49.44	-15.51	-32.31	35.84	244	c20v	
b00r	41.36	1.15	-37.95	37.97	272	c53v	
b25r	28.74	27.19	-46.77	54.1	300	c87v	
b50r	33.74	61.97	-37.81	72.59	329	v68m	
b75r	40.08	64.26	-3.32	64.35	357	m33o	



Ein und Ausgabe: Farbmatisches Drucker-Reflektiv-System FRS15_90a für relativen CIELAB-Bunton $h^* = lab^*h^* = h_{ab}/360 = 0.164$

$u^*_e = r50j$

Daten für jede Farbe:

lab^*tch^* und lab^*icu^*

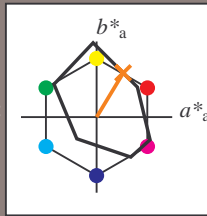
Buntontexte:

$u^*_e = r50j$ $u^*_d = o40y$

Kontrastreduzierungsfaktor:

$c_R = 0.9$

Dreiecks-Helligkeit t^*



FRS15_90a; CIELAB-Daten

	u^*_e	$L^*=L^*$	a^*	b^*	C^*_{ab}	h^*_{ab}
O _M	38.8	54.41	35.65	65.05	33	
Y _M	82.58	-4.04	92.72	92.8	92	
L _M	46.95	-55.83	39.15	68.19	145	
C _M	54.62	-25.67	-33.25	42.01	232	
V _M	20.01	45.64	-56.27	72.45	309	
M _M	40.88	71.17	-34.09	78.92	334	
N _M	15.0	0.43	-3.23	3.26	278	
W _M	90.0	0.62	-5.76	5.79	276	
R _M	39.92	58.74	27.99	65.07	25	
J _M	81.26	-2.89	71.56	71.62	92	
G _M	52.23	-42.42	13.6	44.55	162	
B _M	30.57	1.41	-46.47	46.49	272	

Daten für Maximalfarbe (Ma):

$LAB^*LAB^*_{Ma}: 53\ 35\ 58$

$LAB^*LCH^*_{Ma}: 53\ 68\ 58$

$lab^*rgb^*_{Ma}: 1.0\ 0.5\ 0.0$

$lab^*olv^*_{Ma}: 1.0\ 0.4\ 0.0$

Dreiecks-Helligkeit t^*

%Umfang

$u^*_{rel} = 88$

%Regularität

$g^*_{H,rel} = 31$

$g^*_{C,rel} = 40$

FRS15_90a; adaptierte CIELAB-Daten

	u^*_e	$L^*=L^*_a$	a^*_a	b^*_a	$C^*_{ab,a}$	$h^*_{ab,a}$	u^*_d
r00j	39.18	56.94	27.13	63.07	25	m81o	
r25j	42.41	49.1	44.5	66.26	42	o10y	
r50j	52.78	35.22	58.37	68.17	59	o40y	
r75j	64.82	19.12	74.47	76.89	76	o69y	
j00g	82.06	-3.94	97.52	97.6	92	o98y	
j25g	67.26	-26.87	74.67	79.36	110	y34l	
j50g	55.83	-43.45	57.11	71.76	127	y69l	
j75g	47.5	-54.18	38.3	66.35	145	l03c	
g00b	50.07	-44.09	14.13	46.3	162	l23c	
g25b	52.21	-35.66	-6.03	36.17	190	l55c	
g50b	53.9	-29.04	-21.87	36.36	217	l87c	
g75b	49.44	-15.51	-32.31	35.84	244	c20v	
b00r	41.36	1.15	-37.95	37.97	272	c53v	
b25r	28.74	27.19	-46.77	54.1	300	c87v	
b50r	33.74	61.97	-37.81	72.59	329	v68m	
b75r	40.08	64.26	-3.32	64.35	357	m33o	

$LAB^*cmy^n^*$

$i^* = 1.00$

$i^* = 0.80$

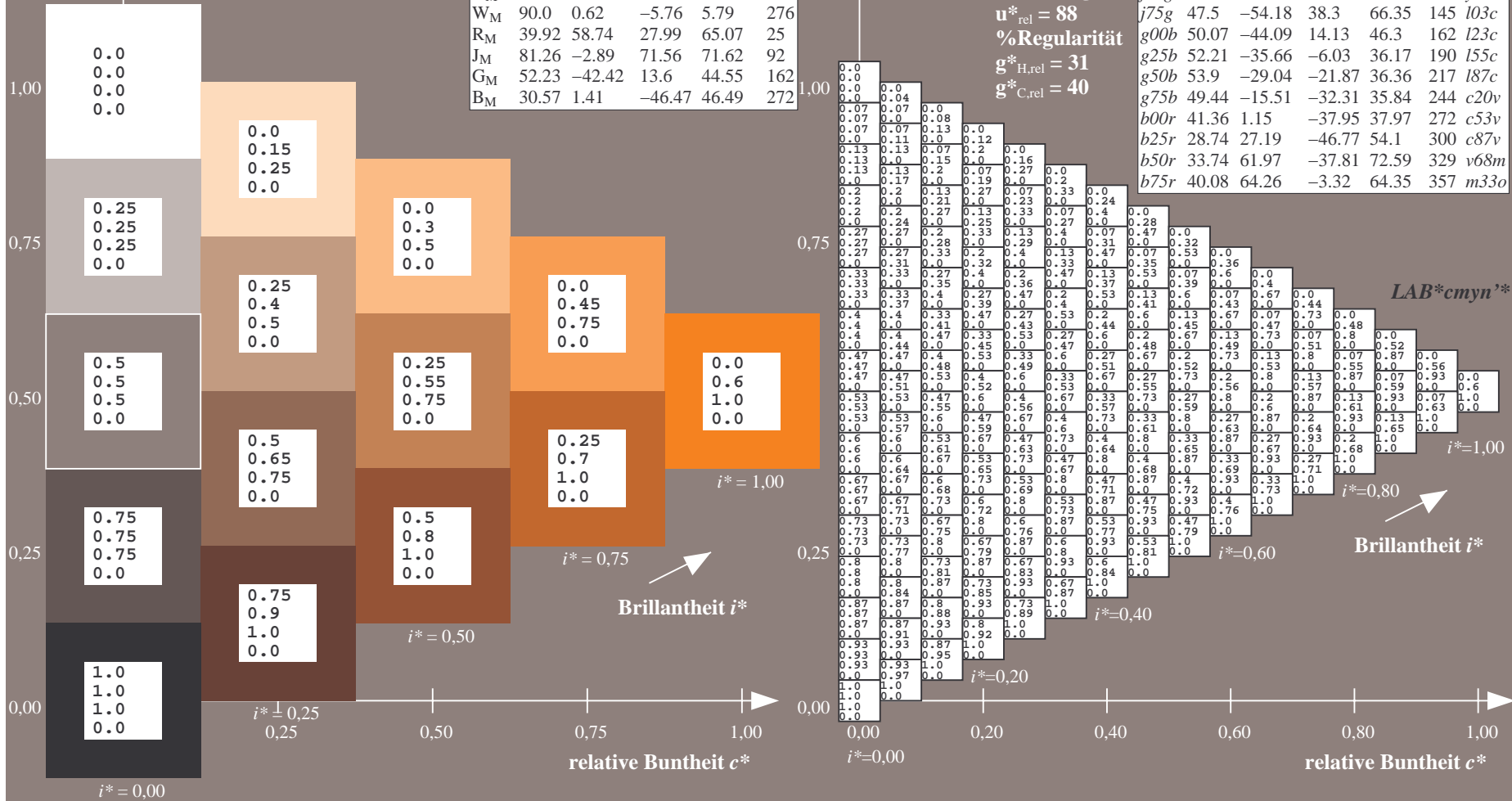
Brillantheit i^*

$i^* = 0.60$

$i^* = 0.40$

$i^* = 0.20$

$i^* = 0.00$



Ein und Ausgabe: Farbmatisches Drucker-Reflektiv-System FRS15_90a für relativen CIELAB-Bunton $h^* = lab^*h^* = h_{ab}/360 = 0.21$

$u^*_e = r75j$
 LAB^*cmy^n '*

Daten für jede Farbe:

lab^*tch^* und lab^*icu^*

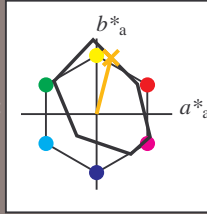
Buntontexte:

$u^*_e = r75j$ $u^*_d = o69y$

Kontrastreduzierungsfaktor:

$c_R = 0.9$

Dreiecks-Helligkeit t^*



FRS15_90a; CIELAB-Daten

	u^*_e	$L^*=L^*$	a^*	b^*	C^*_{ab}	h^*_{ab}
O _M	38.8	54.41	35.65	65.05	33	
Y _M	82.58	-4.04	92.72	92.8	92	
L _M	46.95	-55.83	39.15	68.19	145	
C _M	54.62	-25.67	-33.25	42.01	232	
V _M	20.01	45.64	-56.27	72.45	309	
M _M	40.88	71.17	-34.09	78.92	334	
N _M	15.0	0.43	-3.23	3.26	278	
W _M	90.0	0.62	-5.76	5.79	276	
R _M	39.92	58.74	27.99	65.07	25	
J _M	81.26	-2.89	71.56	71.62	92	
G _M	52.23	-42.42	13.6	44.55	162	
B _M	30.57	1.41	-46.47	46.49	272	

Daten für Maximalfarbe (Ma):

$LAB^*LAB^*_{Ma}$: 65 19 74

$LAB^*LCH^*_{Ma}$: 65 77 75

$lab^*rgb^*_{Ma}$: 1.0 0.75 0.0

$lab^*olv^*_{Ma}$: 1.0 0.7 0.0

Dreiecks-Helligkeit t^*

%Umfang

$u^*_{rel} = 88$

%Regularität

$g^*_{H,rel} = 31$

$g^*_{C,rel} = 40$

FRS15_90a; adaptierte CIELAB-Daten

	u^*_e	$L^*=L^*_a$	a^*_a	b^*_a	$C^*_{ab,a}$	$h^*_{ab,a}$	u^*_d
r00j	39.18	56.94	27.13	63.07	25	m81o	
r25j	42.41	49.1	44.5	66.26	42	o10y	
r50j	52.78	35.22	58.37	68.17	59	o40y	
r75j	64.82	19.12	74.47	76.89	76	o69y	
j00g	82.06	-3.94	97.52	97.6	92	o98y	
j25g	67.26	-26.87	74.67	79.36	110	y34l	
j50g	55.83	-43.45	57.11	71.76	127	y69l	
j75g	47.5	-54.18	38.3	66.35	145	l03c	
g00b	50.07	-44.09	14.13	46.3	162	l23c	
g25b	52.21	-35.66	-6.03	36.17	190	l55c	
g50b	53.9	-29.04	-21.87	36.36	217	l87c	
g75b	49.44	-15.51	-32.31	35.84	244	c20v	
b00r	41.36	1.15	-37.95	37.97	272	c53v	
b25r	28.74	27.19	-46.77	54.1	300	c87v	
b50r	33.74	61.97	-37.81	72.59	329	v68m	
b75r	40.08	64.26	-3.32	64.35	357	m33o	

LAB^*cmy^n '*

$i^* = 1.00$

$i^* = 0.80$

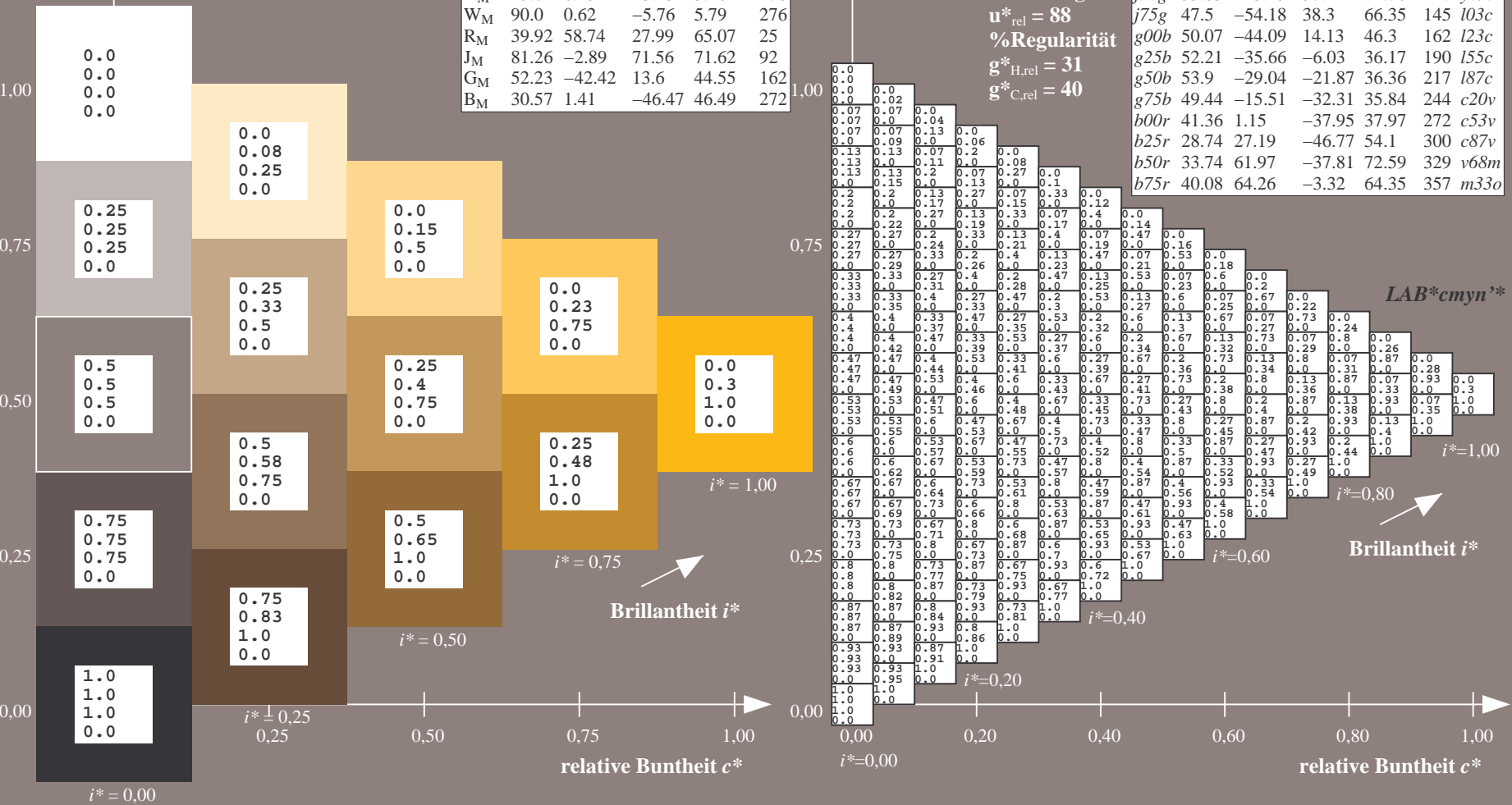
Brillantheit i^*

$i^* = 0.40$

$i^* = 0.60$

$i^* = 0.20$

$i^* = 0.00$



Ein und Ausgabe: Farbmatisches Drucker-Reflektiv-System FRS15_90a für relativen CIELAB-Bunton $h^* = lab^*h^* = h_{ab}/360 = 0.256$

$u^*_e = j00g$
 $LAB^*cmy^n'^*$

Daten für jede Farbe:

lab^*tch^* und lab^*icu^*

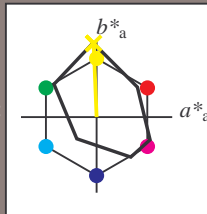
Buntontexte:

$u^*_e = j00g$ $u^*_d = o98y$

Kontrastreduzierungsfaktor:

$c_R = 0.9$

Dreiecks-Helligkeit t^*



FRS15_90a; CIELAB-Daten

	u^*_e	$L^*=L^*$	a^*	b^*	C^*_{ab}	h^*_{ab}
O _M	38.8	54.41	35.65	65.05	33	
Y _M	82.58	-4.04	92.72	92.8	92	
L _M	46.95	-55.83	39.15	68.19	145	
C _M	54.62	-25.67	-33.25	42.01	232	
V _M	20.01	45.64	-56.27	72.45	309	
M _M	40.88	71.17	-34.09	78.92	334	
N _M	15.0	0.43	-3.23	3.26	278	
W _M	90.0	0.62	-5.76	5.79	276	
R _M	39.92	58.74	27.99	65.07	25	
J _M	81.26	-2.89	71.56	71.62	92	
G _M	52.23	-42.42	13.6	44.55	162	
B _M	30.57	1.41	-46.47	46.49	272	

Daten für Maximalfarbe (Ma):

$LAB^*LAB^*_{Ma}$: 82 -4 98

$LAB^*LCH^*_{Ma}$: 82 98 92

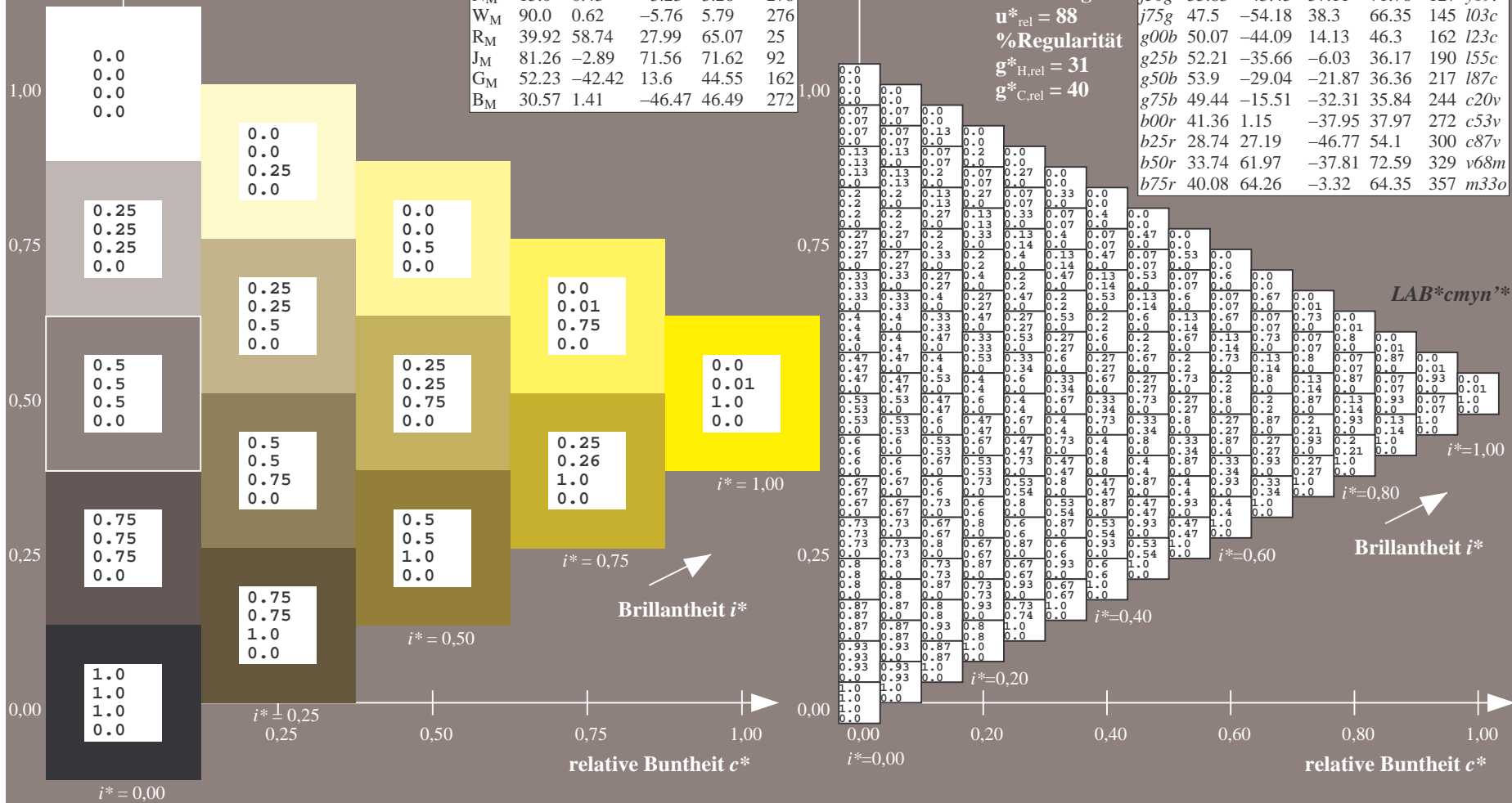
$lab^*rgb^*_{Ma}$: 1.0 1.0 0.0

$lab^*olv^*_{Ma}$: 1.0 0.99 0.0

Dreiecks-Helligkeit t^*

FRS15_90a; adaptierte CIELAB-Daten

	u^*_e	$L^*=L^*_a$	a^*_a	b^*_a	$C^*_{ab,a}$	$h^*_{ab,a}$	u^*_d
r00j	39.18	56.94	27.13	63.07	25	m81o	
r25j	42.41	49.1	44.5	66.26	42	o10y	
r50j	52.78	35.22	58.37	68.17	59	o40y	
r75j	64.82	19.12	74.47	76.89	76	o69y	
j00g	82.06	-3.94	97.52	97.6	92	o98y	
j25g	67.26	-26.87	74.67	79.36	110	y34l	
j50g	55.83	-43.45	57.11	71.76	127	y69l	
j75g	47.5	-54.18	38.3	66.35	145	l03c	
g00b	50.07	-44.09	14.13	46.3	162	l23c	
g25b	52.21	-35.66	-6.03	36.17	190	l55c	
g50b	53.9	-29.04	-21.87	36.36	217	l87c	
g75b	49.44	-15.51	-32.31	35.84	244	c20v	
b00r	41.36	1.15	-37.95	37.97	272	c53v	
b25r	28.74	27.19	-46.77	54.1	300	c87v	
b50r	33.74	61.97	-37.81	72.59	329	v68m	
b75r	40.08	64.26	-3.32	64.35	357	m33o	



Ein und Ausgabe: Farbmatisches Drucker-Reflektiv-System FRS15_90a für relativen CIELAB-Bunton $h^* = lab^*h^* = h_{ab}/360 = 0.305$

$u^*_e = j25g$

Daten für jede Farbe:

lab^*tch^* und lab^*icu^*

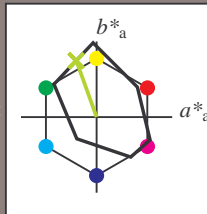
Buntontexte:

$u^*_e = j25g$ $u^*_d = y34l$

Kontrastreduzierungsfaktor:

$c_R = 0.9$

Dreiecks-Helligkeit t^*



FRS15_90a; CIELAB-Daten

	u^*_e	$L^*=L^*$	a^*	b^*	C^*_{ab}	h^*_{ab}
O _M	38.8	54.41	35.65	65.05	33	
Y _M	82.58	-4.04	92.72	92.8	92	
L _M	46.95	-55.83	39.15	68.19	145	
C _M	54.62	-25.67	-33.25	42.01	232	
V _M	20.01	45.64	-56.27	72.45	309	
M _M	40.88	71.17	-34.09	78.92	334	
N _M	15.0	0.43	-3.23	3.26	278	
W _M	90.0	0.62	-5.76	5.79	276	
R _M	39.92	58.74	27.99	65.07	25	
J _M	81.26	-2.89	71.56	71.62	92	
G _M	52.23	-42.42	13.6	44.55	162	
B _M	30.57	1.41	-46.47	46.49	272	

Daten für Maximalfarbe (Ma):

$LAB^*LAB^*_{Ma}: 67 -27 75$

$LAB^*LCH^*_{Ma}: 67 79 109$

$lab^*rgb^*_{Ma}: 0.75 1.0 0.0$

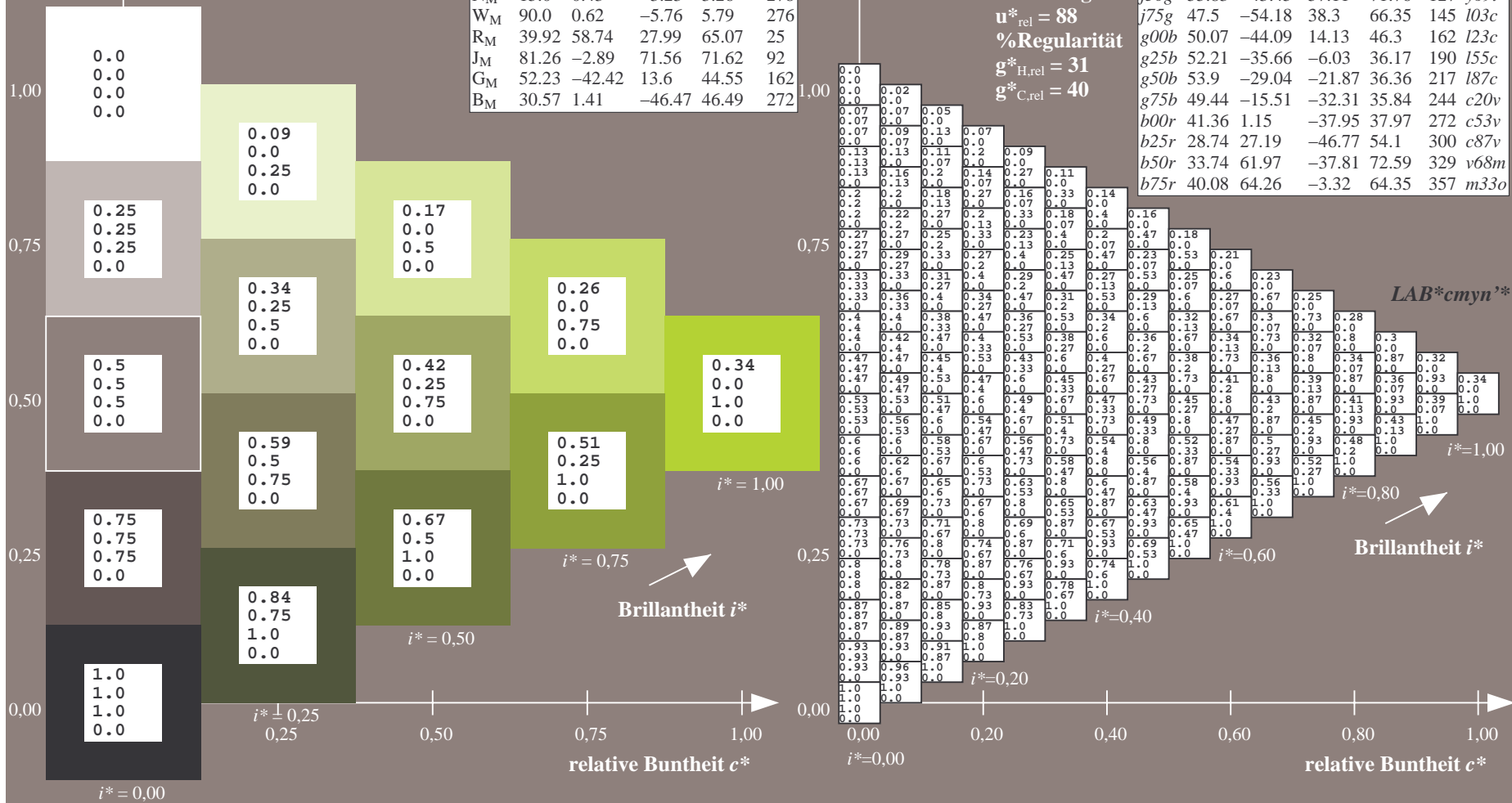
$lab^*olv^*_{Ma}: 0.66 1.0 0.0$

Dreiecks-Helligkeit t^*

FRS15_90a; adaptierte CIELAB-Daten

	u^*_e	$L^*=L^*_a$	a^*_a	b^*_a	$C^*_{ab,a}$	$h^*_{ab,a}$	u^*_d
r00j	39.18	56.94	27.13	63.07	25	m81o	
r25j	42.41	49.1	44.5	66.26	42	o10y	
r50j	52.78	35.22	58.37	68.17	59	o40y	
r75j	64.82	19.12	74.47	76.89	76	o69y	
j00g	82.06	-3.94	97.52	97.6	92	o98y	
j25g	67.26	-26.87	74.67	79.36	110	y34l	
j50g	55.83	-43.45	57.11	71.76	127	y69l	
j75g	47.5	-54.18	38.3	66.35	145	l03c	
g00b	50.07	-44.09	14.13	46.3	162	l23c	
g25b	52.21	-35.66	-6.03	36.17	190	l55c	
g50b	53.9	-29.04	-21.87	36.36	217	l87c	
g75b	49.44	-15.51	-32.31	35.84	244	c20v	
b00r	41.36	1.15	-37.95	37.97	272	c53v	
b25r	28.74	27.19	-46.77	54.1	300	c87v	
b50r	33.74	61.97	-37.81	72.59	329	v68m	
b75r	40.08	64.26	-3.32	64.35	357	m33o	

$LAB^*cmy^n^*$



Ein und Ausgabe: Farbmatisches Drucker-Reflektiv-System FRS15_90a für relativen CIELAB-Bunton $h^* = lab^*h^* = h_{ab}/360 = 0.354$

$u^*_e = j50g$
LAB**cmy*n**

Daten für jede Farbe:

lab^*tch^* und lab^*icu^*

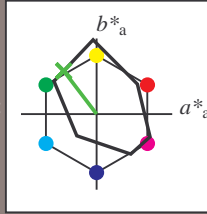
Buntontexte:

$u^*_e = j50g$ $u^*_d = y69l$

Kontrastreduzierungsfaktor:

$c_R = 0.9$

Dreiecks-Helligkeit t^*



FRS15_90a; CIELAB-Daten

	u^*_e	$L^*=L^*$	a^*	b^*	C^*_{ab}	h^*_{ab}
O _M	38.8	54.41	35.65	65.05	33	
Y _M	82.58	-4.04	92.72	92.8	92	
L _M	46.95	-55.83	39.15	68.19	145	
C _M	54.62	-25.67	-33.25	42.01	232	
V _M	20.01	45.64	-56.27	72.45	309	
M _M	40.88	71.17	-34.09	78.92	334	
N _M	15.0	0.43	-3.23	3.26	278	
W _M	90.0	0.62	-5.76	5.79	276	
R _M	39.92	58.74	27.99	65.07	25	
J _M	81.26	-2.89	71.56	71.62	92	
G _M	52.23	-42.42	13.6	44.55	162	
B _M	30.57	1.41	-46.47	46.49	272	

Daten für Maximalfarbe (Ma):

LAB*LAB*_{Ma}: 56 -43 57

LAB*LCH*_{Ma}: 56 72 127

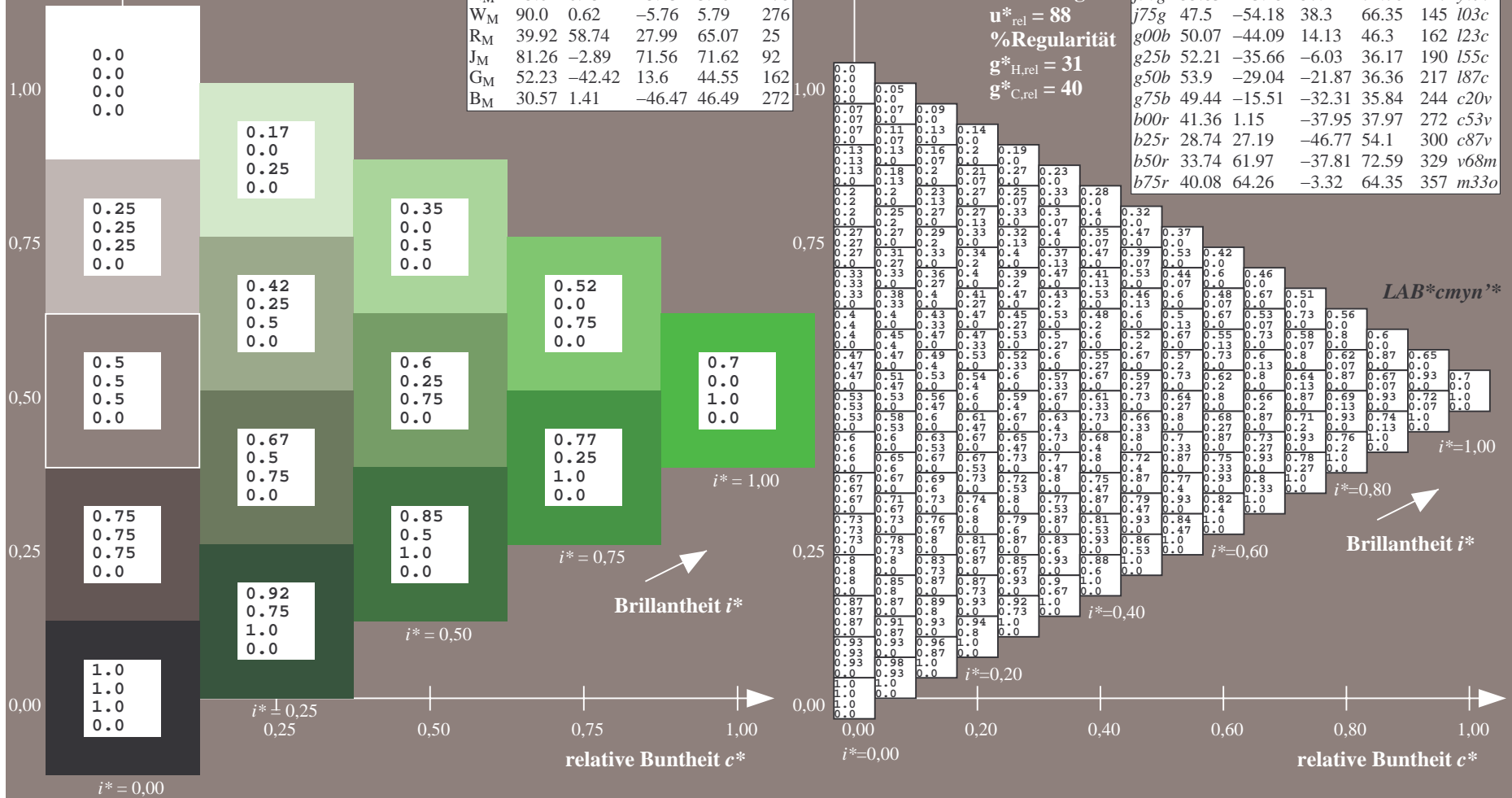
lab*rgb*_{Ma}: 0.5 1.0 0.0

lab*olv*_{Ma}: 0.3 1.0 0.0

Dreiecks-Helligkeit t^*

FRS15_90a; adaptierte CIELAB-Daten

	u^*_e	$L^*=L^*_a$	a^*_a	b^*_a	$C^*_{ab,a}$	$h^*_{ab,a}$	u^*_d
r00j	39.18	56.94	27.13	63.07	25	m81o	
r25j	42.41	49.1	44.5	66.26	42	o10y	
r50j	52.78	35.22	58.37	68.17	59	o40y	
r75j	64.82	19.12	74.47	76.89	76	o69y	
j00g	82.06	-3.94	97.52	97.6	92	o98y	
j25g	67.26	-26.87	74.67	79.36	110	y34l	
j50g	55.83	-43.45	57.11	71.76	127	y69l	
j75g	47.5	-54.18	38.3	66.35	145	l03c	
g00b	50.07	-44.09	14.13	46.3	162	i23c	
g25b	52.21	-35.66	-6.03	36.17	190	i55c	
g50b	53.9	-29.04	-21.87	36.36	217	i87c	
g75b	49.44	-15.51	-32.31	35.84	244	c20v	
b00r	41.36	1.15	-37.95	37.97	272	c53v	
b25r	28.74	27.19	-46.77	54.1	300	c87v	
b50r	33.74	61.97	-37.81	72.59	329	v68m	
b75r	40.08	64.26	-3.32	64.35	357	m33o	



Daten für jede Farbe:

$\text{lab}^* \text{tch}^*$ und $\text{lab}^* \text{icu}^*$

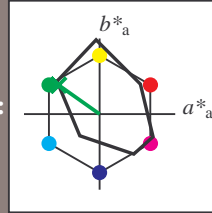
Bunntexte:

$u^*_e = j75g$ $u^*_d = l03c$

Kontrastreduzierungsfaktor:

$c_R = 0.9$

Dreiecks-Helligkeit t^*



FRS15_90a; CIELAB-Daten

	u^*_e	$L^*=L^*$	a^*	b^*	C^*_{ab}	h^*_{ab}
O _M	38.8	54.41	35.65	65.05	33	
Y _M	82.58	-4.04	92.72	92.8	92	
L _M	46.95	-55.83	39.15	68.19	145	
C _M	54.62	-25.67	-33.25	42.01	232	
V _M	20.01	45.64	-56.27	72.45	309	
M _M	40.88	71.17	-34.09	78.92	334	
N _M	15.0	0.43	-3.23	3.26	278	
W _M	90.0	0.62	-5.76	5.79	276	
R _M	39.92	58.74	27.99	65.07	25	
J _M	81.26	-2.89	71.56	71.62	92	
G _M	52.23	-42.42	13.6	44.55	162	
B _M	30.57	1.41	-46.47	46.49	272	

Daten für Maximalfarbe (Ma):

$\text{LAB}^* \text{LAB}^*_{Ma}: 48 -54 38$

$\text{LAB}^* \text{LCH}^*_{Ma}: 48 66 144$

$\text{lab}^* \text{rgb}^*_{Ma}: 0.25 1.0 0.0$

$\text{lab}^* \text{ol}v^*_{Ma}: 0.0 1.0 0.03$

Dreiecks-Helligkeit t^*

%Umfang

$u^*_{rel} = 88$

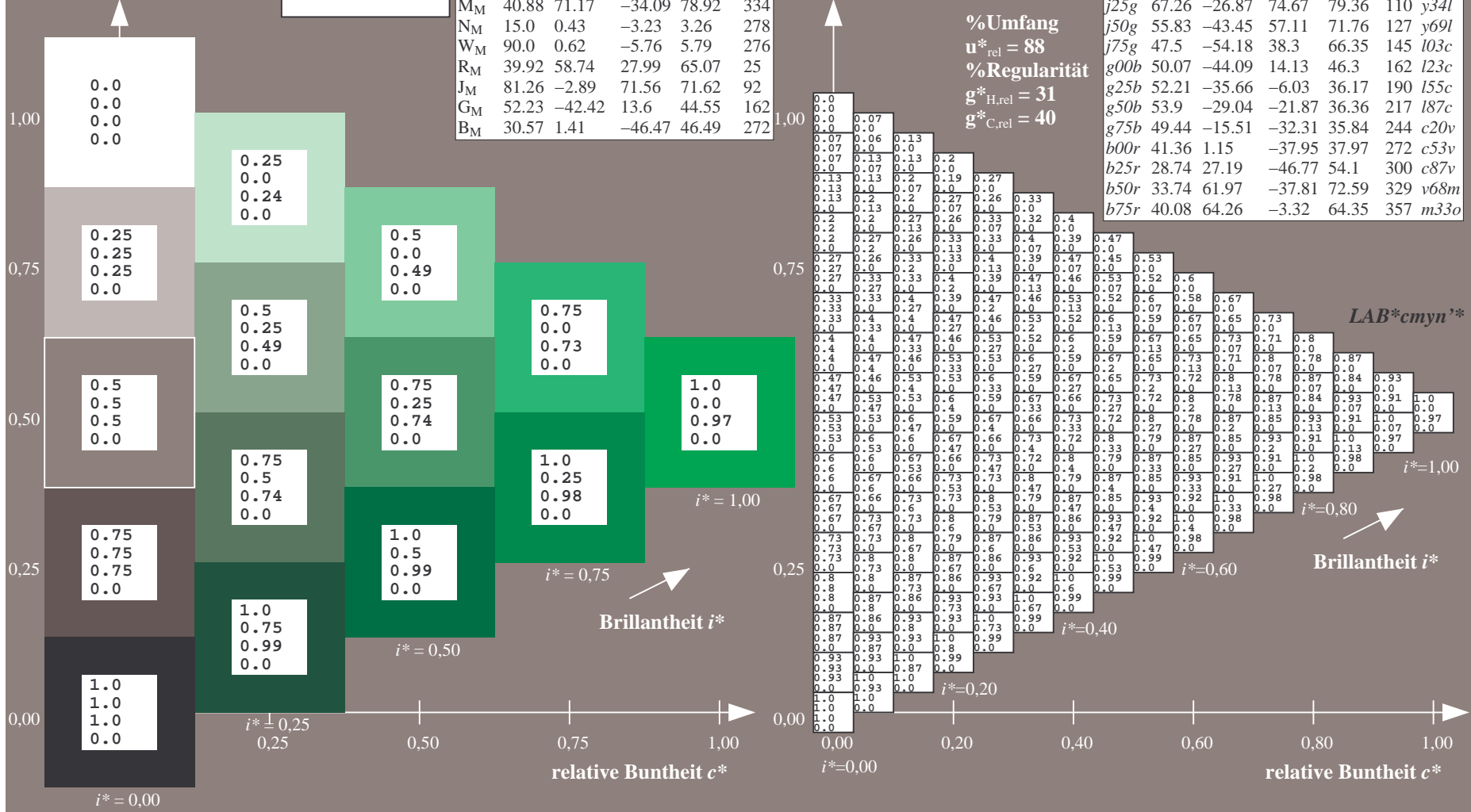
%Regularität

$g^*_{H,rel} = 31$

$g^*_{C,rel} = 40$

FRS15_90a; adaptierte CIELAB-Daten

	u^*_e	$L^*=L^*_a$	a^*_a	b^*_a	$C^*_{ab,a}$	$h^*_{ab,a}$	u^*_d
r00j	39.18	56.94	27.13	63.07	25	m81o	
r25j	42.41	49.1	44.5	66.26	42	o10y	
r50j	52.78	35.22	58.37	68.17	59	o40y	
r75j	64.82	19.12	74.47	76.89	76	o69y	
j00g	82.06	-3.94	97.52	97.6	92	o98y	
j25g	67.26	-26.87	74.67	79.36	110	y34l	
j50g	55.83	-43.45	57.11	71.76	127	y69l	
j75g	47.5	-54.18	38.3	66.35	145	l03c	
g00b	50.07	-44.09	14.13	46.3	162	l23c	
g25b	52.21	-35.66	-6.03	36.17	190	l55c	
g50b	53.9	-29.04	-21.87	36.36	217	l87c	
g75b	49.44	-15.51	-32.31	35.84	244	c20v	
b00r	41.36	1.15	-37.95	37.97	272	c53v	
b25r	28.74	27.19	-46.77	54.1	300	c87v	
b50r	33.74	61.97	-37.81	72.59	329	v68m	
b75r	40.08	64.26	-3.32	64.35	357	m33o	



Ein und Ausgabe: Farbmetrisches Drucker-Reflektiv-System FRS15_90a für relativen CIELAB-Bunton $h^* = lab^*h^* = h_{ab}/360 = 0.451$

$u^*_e = g00b$
 LAB^*cmy^n '*

Daten für jede Farbe:

lab^*ch^* und lab^*icu^*

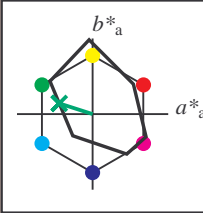
Buntontexte:

$u^*_e = g00b$ $u^*_d = l23c$

Kontrastreduzierungsfaktor:

$c_R = 0.9$

Dreiecks-Helligkeit t^*



FRS15_90a; CIELAB-Daten

	u^*_e	$L^*=L^*_a$	a^*	b^*	C^*_{ab}	h^*_{ab}
O _M	38.8	54.41	35.65	65.05	33	
Y _M	82.58	-4.04	92.72	92.8	92	
L _M	46.95	-55.83	39.15	68.19	145	
C _M	54.62	-25.67	-33.25	42.01	232	
V _M	20.01	45.64	-56.27	72.45	309	
M _M	40.88	71.17	-34.09	78.92	334	
N _M	15.0	0.43	-3.23	3.26	278	
W _M	90.0	0.62	-5.76	5.79	276	
R _M	39.92	58.74	27.99	65.07	25	
J _M	81.26	-2.89	71.56	71.62	92	
G _M	52.23	-42.42	13.6	44.55	162	
B _M	30.57	1.41	-46.47	46.49	272	

Daten für Maximalfarbe (Ma):

$LAB^*LAB^*_Ma: 50 -44 14$

$LAB^*LCH^*_Ma: 50 46 162$

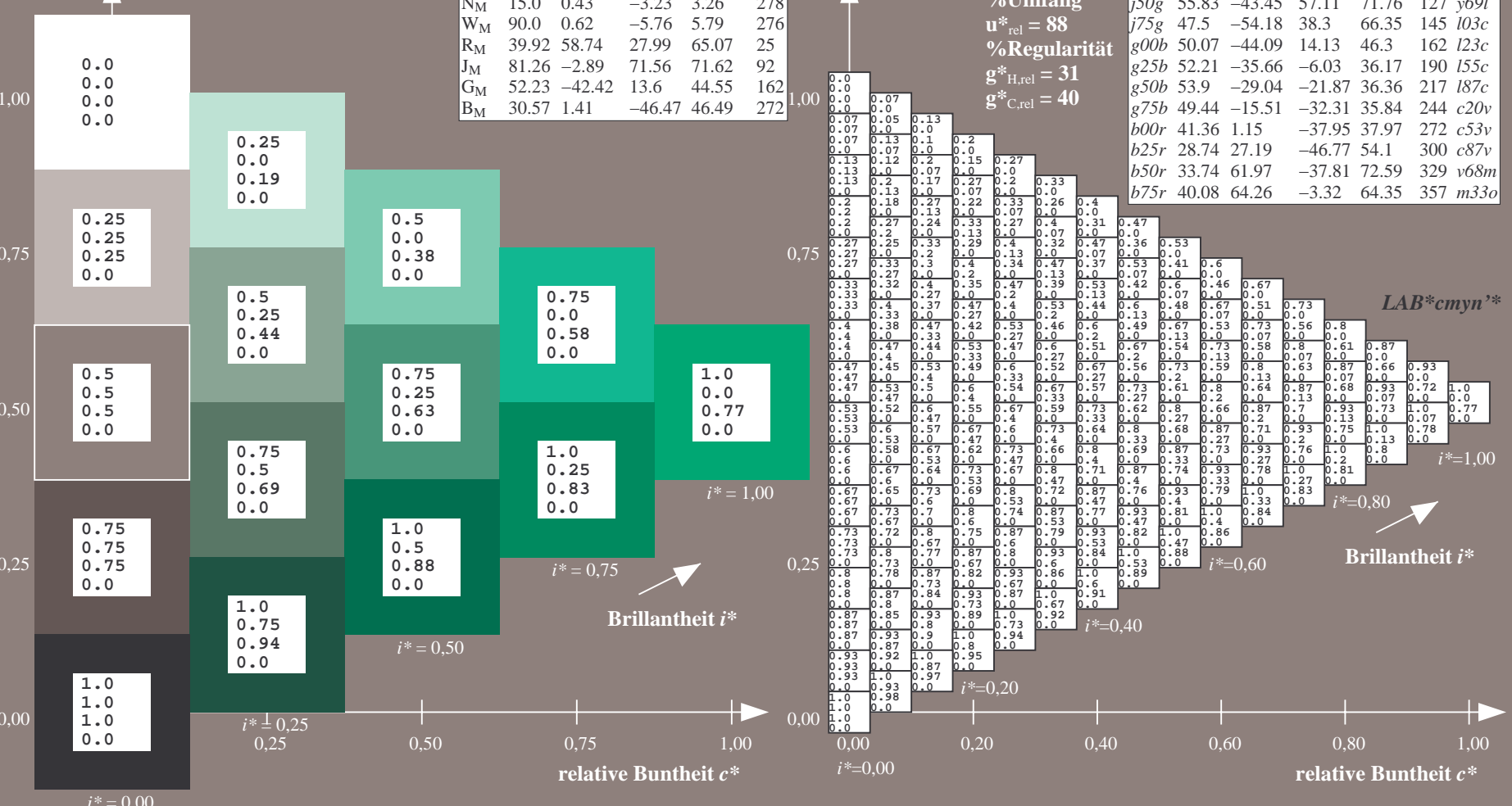
$lab^*rgb^*_Ma: 0.0 1.0 0.0$

$lab^*olv^*_Ma: 0.0 1.0 0.23$

Dreiecks-Helligkeit t^*

FRS15_90a; adaptierte CIELAB-Daten

	u^*_e	$L^*=L^*_a$	a^*_a	b^*_a	$C^*_{ab,a}$	$h^*_{ab,a}$	u^*_d
r00j	39.18	56.94	27.13	63.07	25	m81o	
r25j	42.41	49.1	44.5	66.26	42	o10y	
r50j	52.78	35.22	58.37	68.17	59	o40y	
r75j	64.82	19.12	74.47	76.89	76	o69y	
j00g	82.06	-3.94	97.52	97.6	92	o98y	
j25g	67.26	-26.87	74.67	79.36	110	y34l	
j50g	55.83	-43.45	57.11	71.76	127	y69l	
j75g	47.5	-54.18	38.3	66.35	145	l03c	
g00b	50.07	-44.09	14.13	46.3	162	i23c	
g25b	52.21	-35.66	-6.03	36.17	190	l55c	
g50b	53.9	-29.04	-21.87	36.36	217	l87c	
g75b	49.44	-15.51	-32.31	35.84	244	c20v	
b00r	41.36	1.15	-37.95	37.97	272	c53v	
b25r	28.74	27.19	-46.77	54.1	300	c87v	
b50r	33.74	61.97	-37.81	72.59	329	v68m	
b75r	40.08	64.26	-3.32	64.35	357	m33o	



%Umfang
 $u^*_{rel} = 88$
 %Regularität
 $g^*_{H,rel} = 31$
 $g^*_{C,rel} = 40$

Ein und Ausgabe: Farbmetrisches Drucker-Reflektiv-System FRS15_90a für relativen CIELAB-Bunton $h^* = lab^*h^* = h_{ab}/360 = 0.527$

$u^*_e = g25b$
LAB**cmy*'*

Daten für jede Farbe:

lab^*ch^* und lab^*icu^*

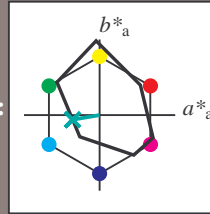
Buntontexte:

$u^*_e = g25b$ $u^*_d = l55c$

Kontrastreduzierungsfaktor:

$c_R = 0.9$

Dreiecks-Helligkeit t^*



FRS15_90a; CIELAB-Daten

	u^*_e	$L^*=L^*$	a^*	b^*	C^*_{ab}	h^*_{ab}
O _M	38.8	54.41	35.65	65.05	33	
Y _M	82.58	-4.04	92.72	92.8	92	
L _M	46.95	-55.83	39.15	68.19	145	
C _M	54.62	-25.67	-33.25	42.01	232	
V _M	20.01	45.64	-56.27	72.45	309	
M _M	40.88	71.17	-34.09	78.92	334	
N _M	15.0	0.43	-3.23	3.26	278	
W _M	90.0	0.62	-5.76	5.79	276	
R _M	39.92	58.74	27.99	65.07	25	
J _M	81.26	-2.89	71.56	71.62	92	
G _M	52.23	-42.42	13.6	44.55	162	
B _M	30.57	1.41	-46.47	46.49	272	

Daten für Maximalfarbe (Ma):

LAB*LAB*_{Ma}: 52 -36 -6

LAB*LCH*_{Ma}: 52 36 189

lab**rgb**_{Ma}: 0.0 1.0 0.5

lab**olv**_{Ma}: 0.0 1.0 0.55

Dreiecks-Helligkeit t^*

%Umfang

$u^*_{rel} = 88$

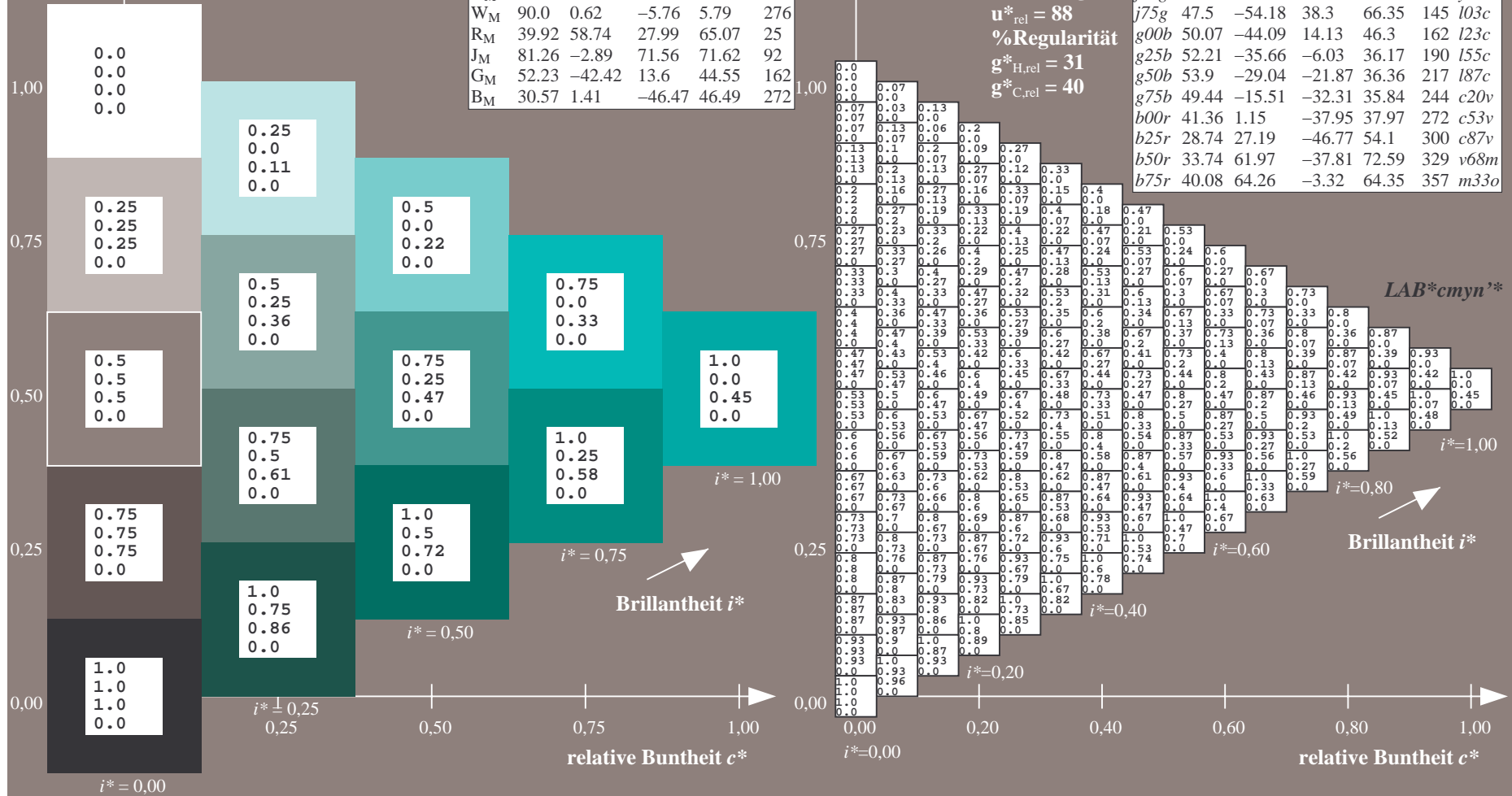
%Regularität

$g^*_{H,rel} = 31$

$g^*_{C,rel} = 40$

FRS15_90a; adaptierte CIELAB-Daten

	u^*_e	$L^*=L^*_a$	a^*_a	b^*_a	$C^*_{ab,a}$	$h^*_{ab,a}$	u^*_d
r00j	39.18	56.94	27.13	63.07	25	m81o	
r25j	42.41	49.1	44.5	66.26	42	o10y	
r50j	52.78	35.22	58.37	68.17	59	o40y	
r75j	64.82	19.12	74.47	76.89	76	o69y	
j00g	82.06	-3.94	97.52	97.6	92	o98y	
j25g	67.26	-26.87	74.67	79.36	110	y34l	
j50g	55.83	-43.45	57.11	71.76	127	y69l	
j75g	47.5	-54.18	38.3	66.35	145	l03c	
g00b	50.07	-44.09	14.13	46.3	162	l23c	
g25b	52.21	-35.66	-6.03	36.17	190	l55c	
g50b	53.9	-29.04	-21.87	36.36	217	l87c	
g75b	49.44	-15.51	-32.31	35.84	244	c20v	
b00r	41.36	1.15	-37.95	37.97	272	c53v	
b25r	28.74	27.19	-46.77	54.1	300	c87v	
b50r	33.74	61.97	-37.81	72.59	329	v68m	
b75r	40.08	64.26	-3.32	64.35	357	m33o	



Ein und Ausgabe: Farbmatisches Drucker-Reflektiv-System FRS15_90a für relativen CIELAB-Bunton $h^* = lab^*h^* = h_{ab}/360 = 0.603$

Daten für jede Farbe:

lab^*ch^* und lab^*icu^*

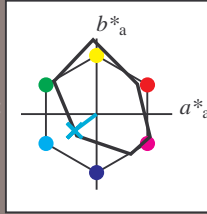
Buntontexte:

$u^*_e = g50b$ $u^*_d = l87c$

Kontrastreduzierungsfaktor:

$c_R = 0.9$

Dreiecks-Helligkeit t^*



FRS15_90a; CIELAB-Daten						
u^*_e	$L^*=L^*_a$	a^*_a	b^*_a	C^*_{ab}	h^*_{ab}	
O _M	38.8	54.41	35.65	65.05	33	
Y _M	82.58	-4.04	92.72	92.8	92	
L _M	46.95	-55.83	39.15	68.19	145	
C _M	54.62	-25.67	-33.25	42.01	232	
V _M	20.01	45.64	-56.27	72.45	309	
M _M	40.88	71.17	-34.09	78.92	334	
N _M	15.0	0.43	-3.23	3.26	278	
W _M	90.0	0.62	-5.76	5.79	276	
R _M	39.92	58.74	27.99	65.07	25	
J _M	81.26	-2.89	71.56	71.62	92	
G _M	52.23	-42.42	13.6	44.55	162	
B _M	30.57	1.41	-46.47	46.49	272	

$u^*_e = g50b$
 $LAB^*cmy^n'^*$

Daten für Maximalfarbe (Ma):

$LAB^*LAB^*_{Ma}: 54 -29 -22$

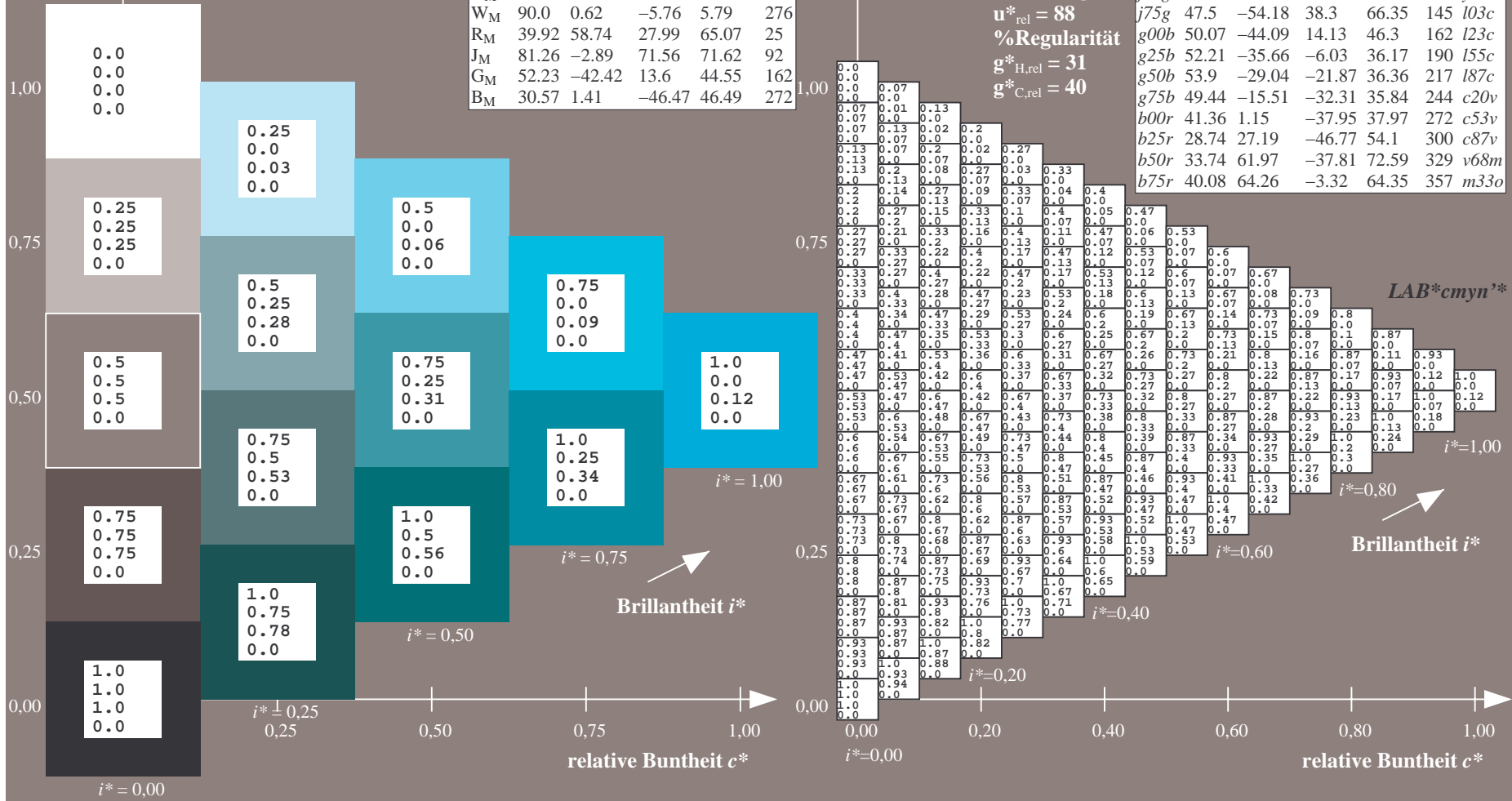
$LAB^*LCH^*_{Ma}: 54 36 216$

$lab^*rgb^*_{Ma}: 0.0 1.0 1.0$

$lab^*olv^*_{Ma}: 0.0 1.0 0.88$

Dreiecks-Helligkeit t^*

FRS15_90a; adaptierte CIELAB-Daten							
u^*_e	$L^*=L^*_a$	a^*_a	b^*_a	$C^*_{ab,a}$	$h^*_{ab,a}$	u^*_d	
r00j	39.18	56.94	27.13	63.07	25	m81o	
r25j	42.41	49.1	44.5	66.26	42	o10y	
r50j	52.78	35.22	58.37	68.17	59	o40y	
r75j	64.82	19.12	74.47	76.89	76	o69y	
j00g	82.06	-3.94	97.52	97.6	92	o98y	
j25g	67.26	-26.87	74.67	79.36	110	y34l	
j50g	55.83	-43.45	57.11	71.76	127	y69l	
j75g	47.5	-54.18	38.3	66.35	145	l03c	
g00b	50.07	-44.09	14.13	46.3	162	l23c	
g25b	52.21	-35.66	-6.03	36.17	190	l55c	
g50b	53.9	-29.04	-21.87	36.36	217	l87c	
g75b	49.44	-15.51	-32.31	35.84	244	c20v	
b00r	41.36	1.15	-37.95	37.97	272	c53v	
b25r	28.74	27.19	-46.77	54.1	300	c87v	
b50r	33.74	61.97	-37.81	72.59	329	v68m	
b75r	40.08	64.26	-3.32	64.35	357	m33o	



Daten für jede Farbe:

lab**ch** und lab**icu**

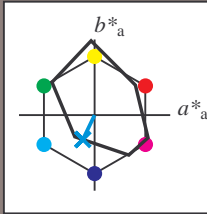
Bunntexte:

$u^*_e = g75b$ $u^*_d = c20v$

Kontrastreduzierungsfaktor:

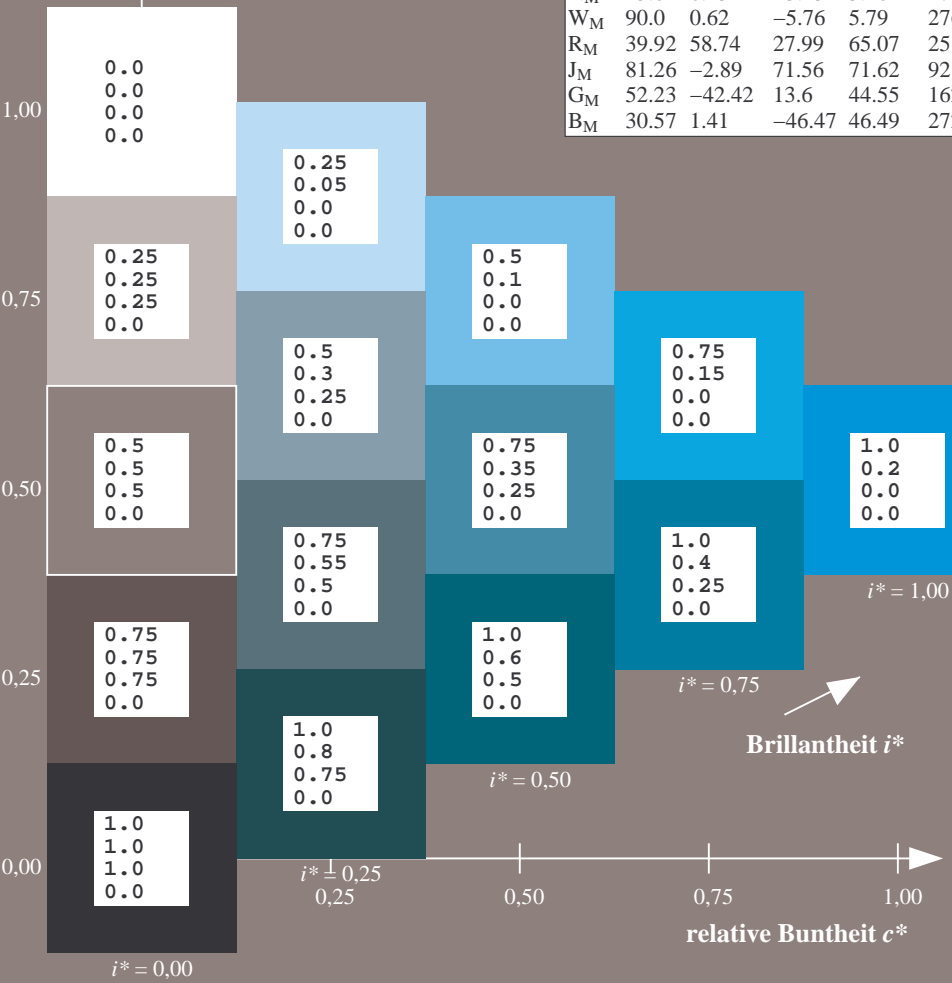
$c_R = 0.9$

Dreiecks-Helligkeit t^*



FRS15_90a; CIELAB-Daten

	u^*_e	$L^*=L^*$	a^*	b^*	C^*_{ab}	h^*_{ab}
O _M	38.8	54.41	35.65	65.05	33	
Y _M	82.58	-4.04	92.72	92.8	92	
L _M	46.95	-55.83	39.15	68.19	145	
C _M	54.62	-25.67	-33.25	42.01	232	
V _M	20.01	45.64	-56.27	72.45	309	
M _M	40.88	71.17	-34.09	78.92	334	
N _M	15.0	0.43	-3.23	3.26	278	
W _M	90.0	0.62	-5.76	5.79	276	
R _M	39.92	58.74	27.99	65.07	25	
J _M	81.26	-2.89	71.56	71.62	92	
G _M	52.23	-42.42	13.6	44.55	162	
B _M	30.57	1.41	-46.47	46.49	272	



$u^*_e = g75b$
 LAB^*c_{myn}''

Daten für Maximalfarbe (Ma):

LAB*LAB*Ma: 49 -16 -32

LAB*LCH*Ma: 49 36 244

lab*rgb*Ma: 0.0 0.5 1.0

lab*olv*Ma: 0.0 0.8 1.0

Dreiecks-Helligkeit t^*

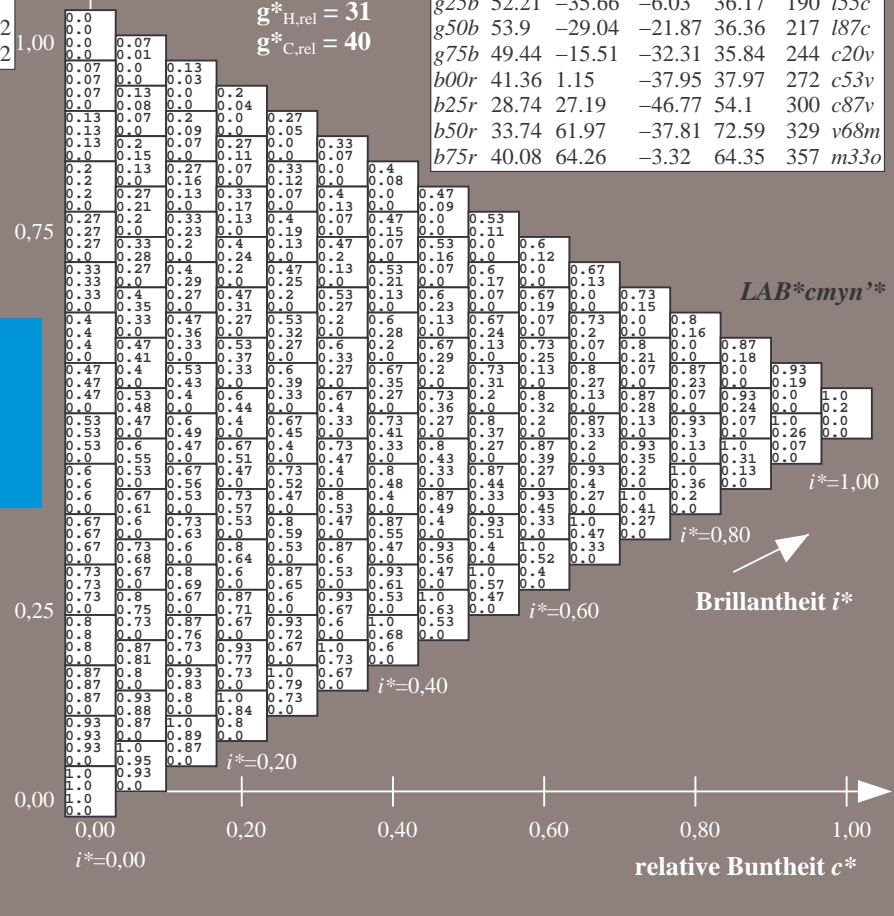
%Umfang

$u^*_{rel} = 88$

%Regularität

$g^*_{H,rel} = 31$

$g^*_{C,rel} = 40$



Daten für jede Farbe:

lab**tc** und lab**icu**

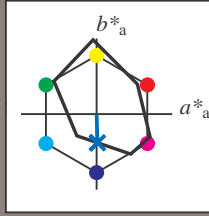
Bunttontexte:

$u^*_e = b00r$ $u^*_d = c53v$

Kontrastreduzierungsfaktor:

$c_R = 0.9$

Dreiecks-Helligkeit t^*



FRS15_90a; CIELAB-Daten

	u^*_e	$L^*=L^*$	a^*	b^*	C^*_{ab}	h^*_{ab}
O _M	38.8	54.41	35.65	65.05	33	
Y _M	82.58	-4.04	92.72	92.8	92	
L _M	46.95	-55.83	39.15	68.19	145	
C _M	54.62	-25.67	-33.25	42.01	232	
V _M	20.01	45.64	-56.27	72.45	309	
M _M	40.88	71.17	-34.09	78.92	334	
N _M	15.0	0.43	-3.23	3.26	278	
W _M	90.0	0.62	-5.76	5.79	276	
R _M	39.92	58.74	27.99	65.07	25	
J _M	81.26	-2.89	71.56	71.62	92	
G _M	52.23	-42.42	13.6	44.55	162	
B _M	30.57	1.41	-46.47	46.49	272	

Daten für Maximalfarbe (Ma):

LAB*LAB*_{Ma}: 41 1 -38

LAB*LCH*_{Ma}: 41 38 271

lab*rgb*_{Ma}: 0.0 0.0 1.0

lab*olv*_{Ma}: 0.0 0.47 1.0

Dreiecks-Helligkeit t^*

%Umfang

$u^*_{rel} = 88$

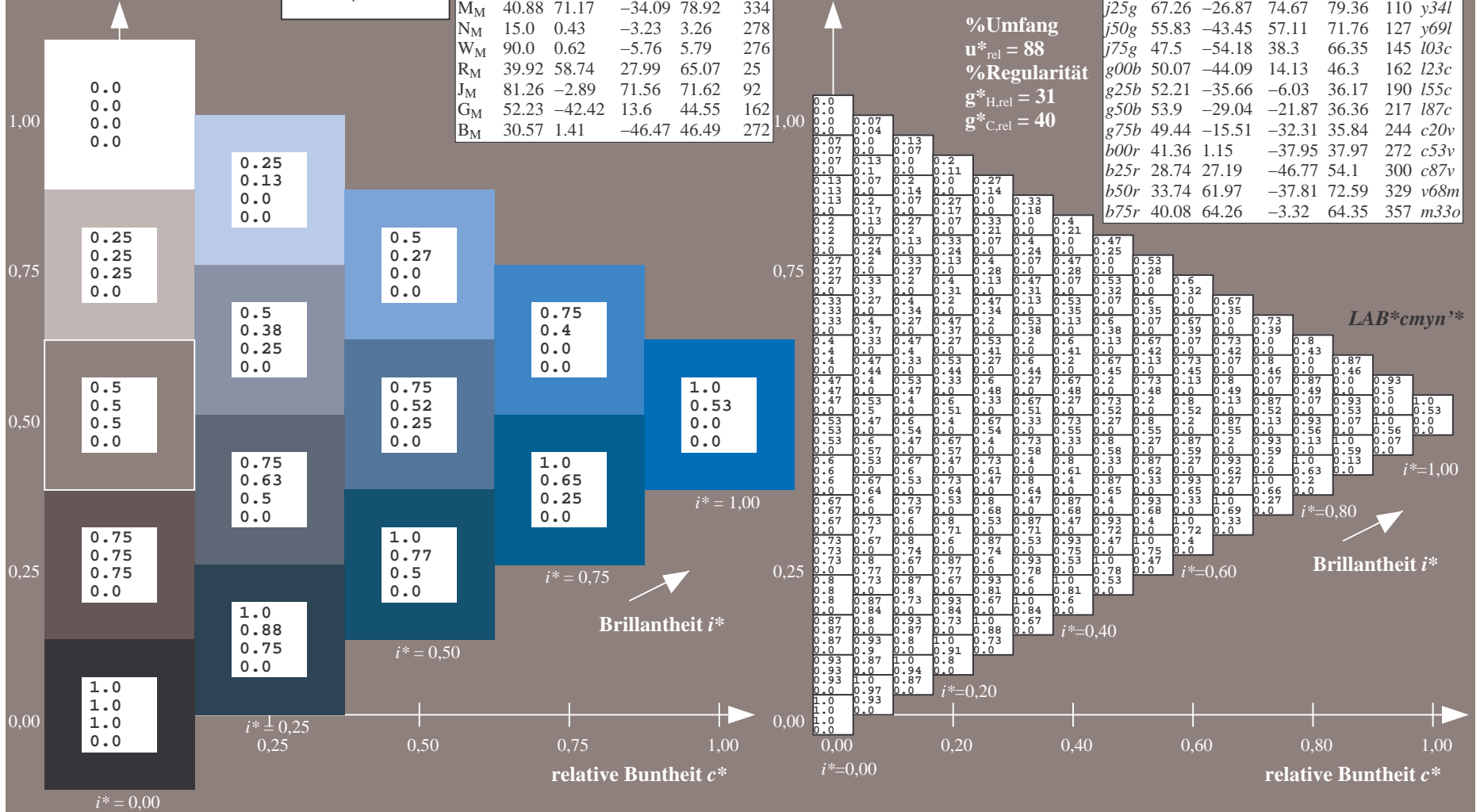
%Regularität

$g^*_{H,rel} = 31$

$g^*_{C,rel} = 40$

FRS15_90a; adaptierte CIELAB-Daten

	u^*_e	$L^*=L^*_a$	a^*_a	b^*_a	$C^*_{ab,a}$	$h^*_{ab,a}$	u^*_d
r00j	39.18	56.94	27.13	63.07	25	m81o	
r25j	42.41	49.1	44.5	66.26	42	o10y	
r50j	52.78	35.22	58.37	68.17	59	o40y	
r75j	64.82	19.12	74.47	76.89	76	o69y	
j00g	82.06	-3.94	97.52	97.6	92	o98y	
j25g	67.26	-26.87	74.67	79.36	110	y34l	
j50g	55.83	-43.45	57.11	71.76	127	y69l	
j75g	47.5	-54.18	38.3	66.35	145	l03c	
g00b	50.07	-44.09	14.13	46.3	162	l23c	
g25b	52.21	-35.66	-6.03	36.17	190	l55c	
g50b	53.9	-29.04	-21.87	36.36	217	l87c	
g75b	49.44	-15.51	-32.31	35.84	244	c20v	
b00r	41.36	1.15	-37.95	37.97	272	c53v	
b25r	28.74	27.19	-46.77	54.1	300	c87v	
b50r	33.74	61.97	-37.81	72.59	329	v68m	
b75r	40.08	64.26	-3.32	64.35	357	m33o	



Ein und Ausgabe: Farbmatisches Drucker-Reflektiv-System FRS15_90a für relativen CIELAB-Bunton $h^* = lab^*h^* = h_{ab}/360 = 0.834$

$u^*_e = b25r$
 $LAB^*c_{myn}^{**}$

Daten für jede Farbe:

lab^*tch^* und lab^*icu^*

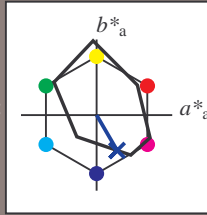
Buntontexte:

$u^*_e = b25r$ $u^*_d = c87v$

Kontrastreduzierungsfaktor:

$c_R = 0.9$

Dreiecks-Helligkeit t^*



FRS15_90a; CIELAB-Daten

	u^*_e	$L^*=L^*$	a^*	b^*	C^*_{ab}	h^*_{ab}
O _M	38.8	54.41	35.65	65.05	33	
Y _M	82.58	-4.04	92.72	92.8	92	
L _M	46.95	-55.83	39.15	68.19	145	
C _M	54.62	-25.67	-33.25	42.01	232	
V _M	20.01	45.64	-56.27	72.45	309	
M _M	40.88	71.17	-34.09	78.92	334	
N _M	15.0	0.43	-3.23	3.26	278	
W _M	90.0	0.62	-5.76	5.79	276	
R _M	39.92	58.74	27.99	65.07	25	
J _M	81.26	-2.89	71.56	71.62	92	
G _M	52.23	-42.42	13.6	44.55	162	
B _M	30.57	1.41	-46.47	46.49	272	

Daten für Maximalfarbe (Ma):

$LAB^*LAB^*_{Ma}$: 29 27 -47

$LAB^*LCH^*_{Ma}$: 29 54 300

$lab^*rgb^*_{Ma}$: 0.5 0.0 1.0

$lab^*olv^*_{Ma}$: 0.0 0.12 1.0

Dreiecks-Helligkeit t^*

%Umfang

$u^*_{rel} = 88$

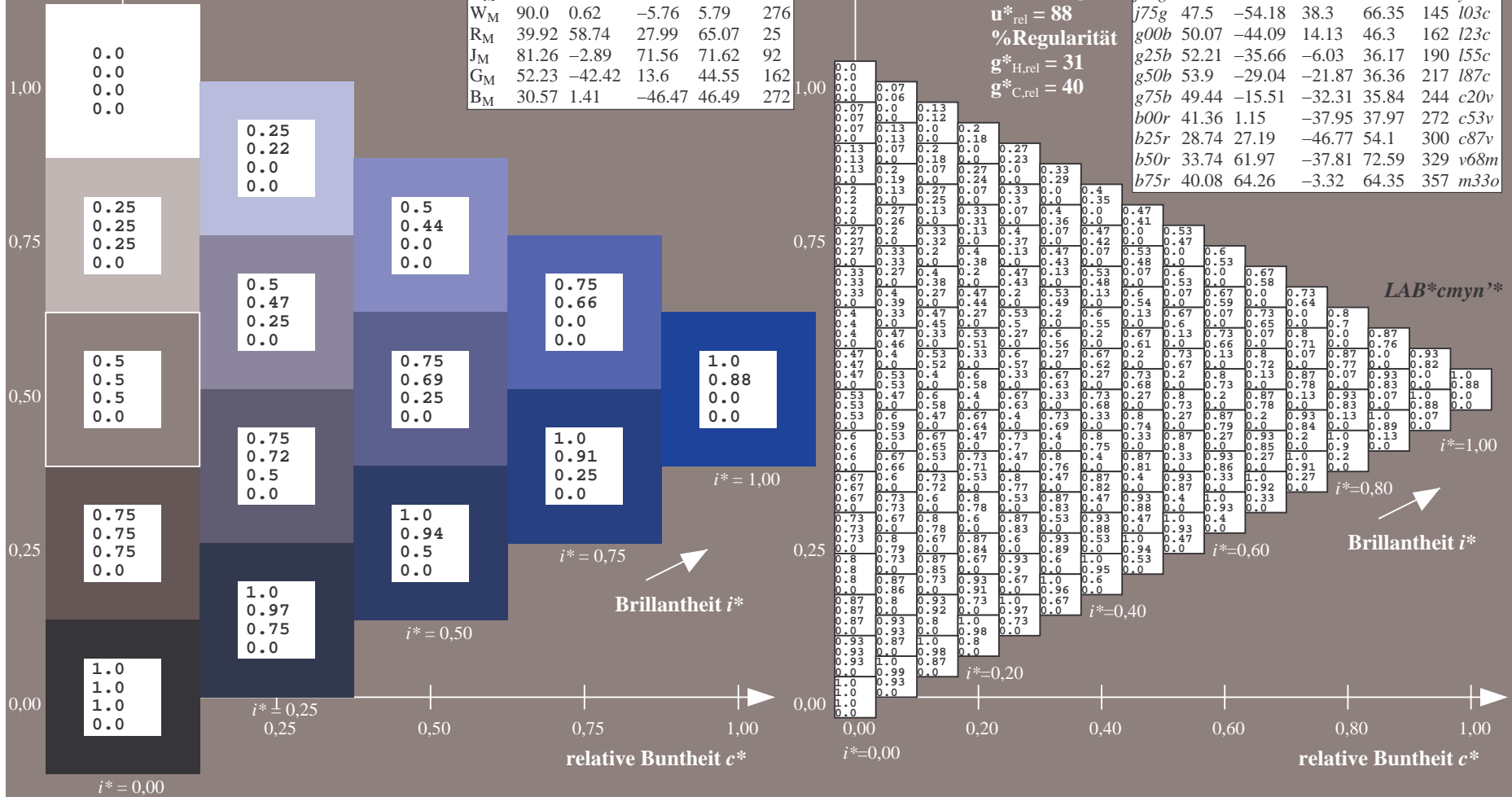
%Regularität

$g^*_{H,rel} = 31$

$g^*_{C,rel} = 40$

FRS15_90a; adaptierte CIELAB-Daten

	u^*_e	$L^*=L^*_a$	a^*_a	b^*_a	$C^*_{ab,a}$	$h^*_{ab,a}$	u^*_d
r00j	39.18	56.94	27.13	63.07	25	m81o	
r25j	42.41	49.1	44.5	66.26	42	o10y	
r50j	52.78	35.22	58.37	68.17	59	o40y	
r75j	64.82	19.12	74.47	76.89	76	o69y	
j00g	82.06	-3.94	97.52	97.6	92	o98y	
j25g	67.26	-26.87	74.67	79.36	110	y34l	
j50g	55.83	-43.45	57.11	71.76	127	y69l	
j75g	47.5	-54.18	38.3	66.35	145	l03c	
g00b	50.07	-44.09	14.13	46.3	162	l23c	
g25b	52.21	-35.66	-6.03	36.17	190	l55c	
g50b	53.9	-29.04	-21.87	36.36	217	l87c	
g75b	49.44	-15.51	-32.31	35.84	244	c20v	
b00r	41.36	1.15	-37.95	37.97	272	c53v	
b25r	28.74	27.19	-46.77	54.1	300	c87v	
b50r	33.74	61.97	-37.81	72.59	329	v68m	
b75r	40.08	64.26	-3.32	64.35	357	m33o	



Ein und Ausgabe: Farbmimetrisches Drucker-Reflektiv-System FRS15_90a für relativen CIELAB-Buntton $h^* = lab^*h^* = h_{ab}/360 = 0.913$

$u^*_e = b50r$

Daten für jede Farbe:

lab^*ch^* und lab^*icu^*

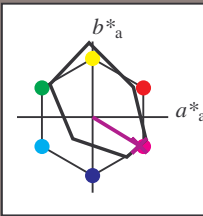
Bunttontexte:

$u^*_e = b50r$ $u^*_d = v68m$

Kontrastreduzierungsfaktor:

$c_R = 0.9$

Dreiecks-Helligkeit t^*



FRS15_90a; CIELAB-Daten

	u^*_e	$L^*=L^*$	a^*	b^*	C^*_{ab}	h^*_{ab}
O _M	38.8	54.41	35.65	65.05	33	
Y _M	82.58	-4.04	92.72	92.8	92	
L _M	46.95	-55.83	39.15	68.19	145	
C _M	54.62	-25.67	-33.25	42.01	232	
V _M	20.01	45.64	-56.27	72.45	309	
M _M	40.88	71.17	-34.09	78.92	334	
N _M	15.0	0.43	-3.23	3.26	278	
W _M	90.0	0.62	-5.76	5.79	276	
R _M	39.92	58.74	27.99	65.07	25	
J _M	81.26	-2.89	71.56	71.62	92	
G _M	52.23	-42.42	13.6	44.55	162	
B _M	30.57	1.41	-46.47	46.49	272	

Daten für Maximalfarbe (Ma):

$LAB^*LAB^*_{Ma}$: 34 62 -38

$LAB^*LCH^*_{Ma}$: 34 73 328

$lab^*rgb^*_{Ma}$: 1.0 0.0 1.0

$lab^*olv^*_{Ma}$: 0.68 0.0 1.0

Dreiecks-Helligkeit t^*

%Umfang

$u^*_{rel} = 88$

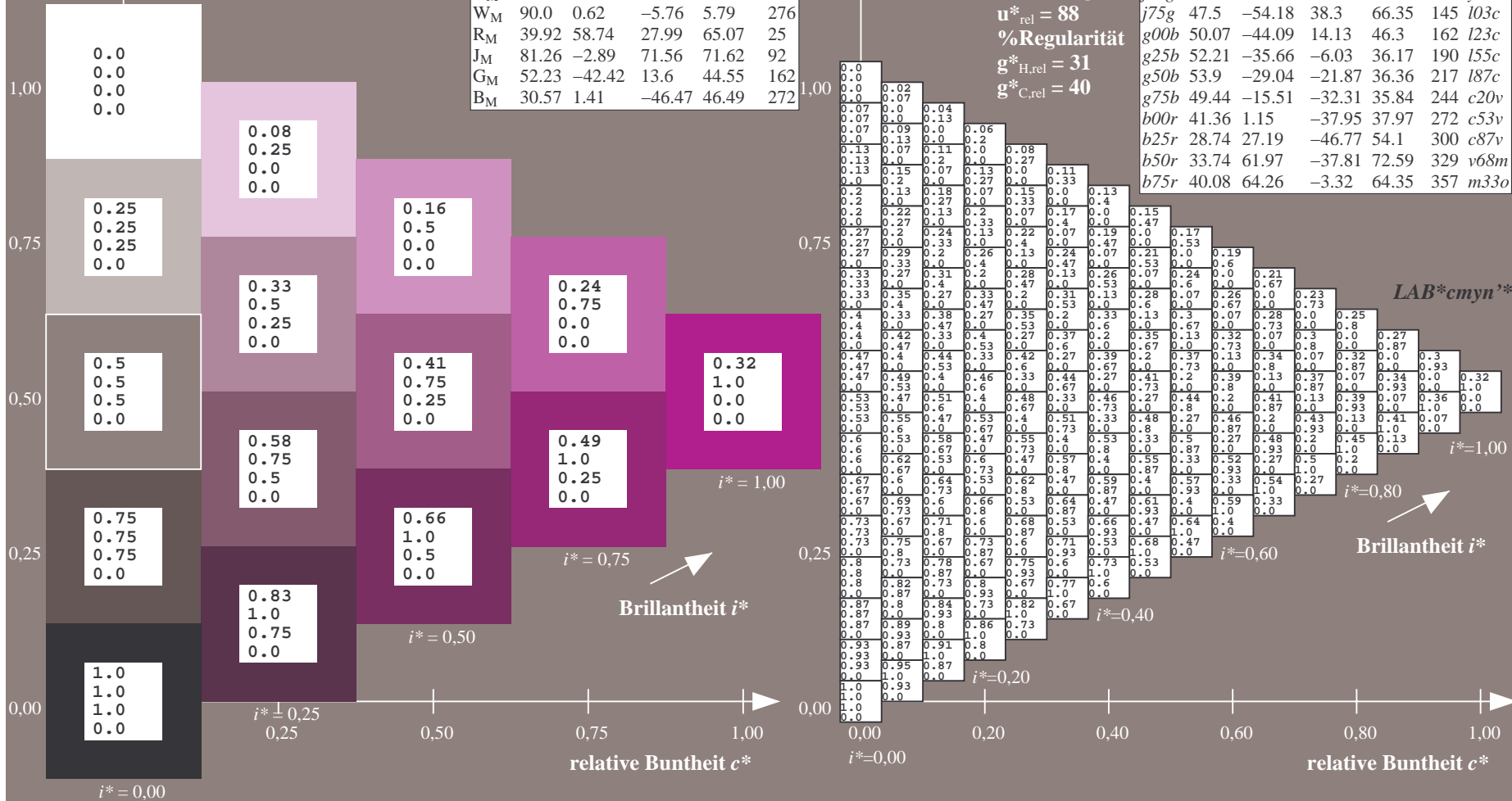
%Regularität

$g^*_{H,rel} = 31$

$g^*_{C,rel} = 40$

FRS15_90a; adaptierte CIELAB-Daten

	u^*_e	$L^*=L^*_a$	a^*_a	b^*_a	$C^*_{ab,a}$	$h^*_{ab,a}$	u^*_d
r00j	39.18	56.94	27.13	63.07	25	m81o	
r25j	42.41	49.1	44.5	66.26	42	o10y	
r50j	52.78	35.22	58.37	68.17	59	o40y	
r75j	64.82	19.12	74.47	76.89	76	o69y	
j00g	82.06	-3.94	97.52	97.6	92	o98y	
j25g	67.26	-26.87	74.67	79.36	110	y34l	
j50g	55.83	-43.45	57.11	71.76	127	y69l	
j75g	47.5	-54.18	38.3	66.35	145	l03c	
g00b	50.07	-44.09	14.13	46.3	162	l23c	
g25b	52.21	-35.66	-6.03	36.17	190	l55c	
g50b	53.9	-29.04	-21.87	36.36	217	l87c	
g75b	49.44	-15.51	-32.31	35.84	244	c20v	
b00r	41.36	1.15	-37.95	37.97	272	c53v	
b25r	28.74	27.19	-46.77	54.1	300	c87v	
b50r	33.74	61.97	-37.81	72.59	329	v68m	
b75r	40.08	64.26	-3.32	64.35	357	m33o	



Ein und Ausgabe: Farbmatisches Drucker-Reflektiv-System FRS15_90a für relativen CIELAB-Bunton $h^* = lab^*h^* = h_{ab}/360 = 0.992$

$u^*_e = b75r$
 $LAB^*cmy^n'^*$

Daten für jede Farbe:

lab^*tch^* und lab^*icu^*

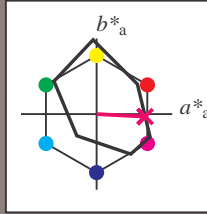
Buntontexte:

$u^*_e = b75r$ $u^*_d = m33o$

Kontrastreduzierungsfaktor:

$c_R = 0.9$

Dreiecks-Helligkeit t^*



FRS15_90a; CIELAB-Daten

	u^*_e	$L^*=L^*_a$	a^*	b^*	C^*_{ab}	h^*_{ab}
O _M	38.8	54.41	35.65	65.05	33	
Y _M	82.58	-4.04	92.72	92.8	92	
L _M	46.95	-55.83	39.15	68.19	145	
C _M	54.62	-25.67	-33.25	42.01	232	
V _M	20.01	45.64	-56.27	72.45	309	
M _M	40.88	71.17	-34.09	78.92	334	
N _M	15.0	0.43	-3.23	3.26	278	
W _M	90.0	0.62	-5.76	5.79	276	
R _M	39.92	58.74	27.99	65.07	25	
J _M	81.26	-2.89	71.56	71.62	92	
G _M	52.23	-42.42	13.6	44.55	162	
B _M	30.57	1.41	-46.47	46.49	272	

Daten für Maximalfarbe (Ma):

$LAB^*LAB^*_Ma: 40\ 64\ -3$

$LAB^*LCH^*_Ma: 40\ 64\ 357$

$lab^*rgb^*_Ma: 1.0\ 0.0\ 0.5$

$lab^*olv^*_Ma: 1.0\ 0.0\ 0.66$

Dreiecks-Helligkeit t^*

FRS15_90a; adaptierte CIELAB-Daten

	u^*_e	$L^*=L^*_a$	a^*_a	b^*_a	$C^*_{ab,a}$	$h^*_{ab,a}$	u^*_d
r00j	39.18	56.94	27.13	63.07	25	m81o	
r25j	42.41	49.1	44.5	66.26	42	o10y	
r50j	52.78	35.22	58.37	68.17	59	o40y	
r75j	64.82	19.12	74.47	76.89	76	o69y	
j00g	82.06	-3.94	97.52	97.6	92	o98y	
j25g	67.26	-26.87	74.67	79.36	110	y34l	
j50g	55.83	-43.45	57.11	71.76	127	y69l	
j75g	47.5	-54.18	38.3	66.35	145	l03c	
g00b	50.07	-44.09	14.13	46.3	162	l23c	
g25b	52.21	-35.66	-6.03	36.17	190	l55c	
g50b	53.9	-29.04	-21.87	36.36	217	l87c	
g75b	49.44	-15.51	-32.31	35.84	244	c20v	
b00r	41.36	1.15	-37.95	37.97	272	c53v	
b25r	28.74	27.19	-46.77	54.1	300	c87v	
b50r	33.74	61.97	-37.81	72.59	329	v68m	
b75r	40.08	64.26	-3.32	64.35	357	m33o	

